



This is a digital copy of a book that was preserved for generations on library shelves before it was carefully scanned by Google as part of a project to make the world's books discoverable online.

It has survived long enough for the copyright to expire and the book to enter the public domain. A public domain book is one that was never subject to copyright or whose legal copyright term has expired. Whether a book is in the public domain may vary country to country. Public domain books are our gateways to the past, representing a wealth of history, culture and knowledge that's often difficult to discover.

Marks, notations and other marginalia present in the original volume will appear in this file - a reminder of this book's long journey from the publisher to a library and finally to you.

### Usage guidelines

Google is proud to partner with libraries to digitize public domain materials and make them widely accessible. Public domain books belong to the public and we are merely their custodians. Nevertheless, this work is expensive, so in order to keep providing this resource, we have taken steps to prevent abuse by commercial parties, including placing technical restrictions on automated querying.

We also ask that you:

- + *Make non-commercial use of the files* We designed Google Book Search for use by individuals, and we request that you use these files for personal, non-commercial purposes.
- + *Refrain from automated querying* Do not send automated queries of any sort to Google's system: If you are conducting research on machine translation, optical character recognition or other areas where access to a large amount of text is helpful, please contact us. We encourage the use of public domain materials for these purposes and may be able to help.
- + *Maintain attribution* The Google "watermark" you see on each file is essential for informing people about this project and helping them find additional materials through Google Book Search. Please do not remove it.
- + *Keep it legal* Whatever your use, remember that you are responsible for ensuring that what you are doing is legal. Do not assume that just because we believe a book is in the public domain for users in the United States, that the work is also in the public domain for users in other countries. Whether a book is still in copyright varies from country to country, and we can't offer guidance on whether any specific use of any specific book is allowed. Please do not assume that a book's appearance in Google Book Search means it can be used in any manner anywhere in the world. Copyright infringement liability can be quite severe.

### About Google Book Search

Google's mission is to organize the world's information and to make it universally accessible and useful. Google Book Search helps readers discover the world's books while helping authors and publishers reach new audiences. You can search through the full text of this book on the web at <http://books.google.com/>



## Über dieses Buch

Dies ist ein digitales Exemplar eines Buches, das seit Generationen in den Regalen der Bibliotheken aufbewahrt wurde, bevor es von Google im Rahmen eines Projekts, mit dem die Bücher dieser Welt online verfügbar gemacht werden sollen, sorgfältig gescannt wurde.

Das Buch hat das Urheberrecht überdauert und kann nun öffentlich zugänglich gemacht werden. Ein öffentlich zugängliches Buch ist ein Buch, das niemals Urheberrechten unterlag oder bei dem die Schutzfrist des Urheberrechts abgelaufen ist. Ob ein Buch öffentlich zugänglich ist, kann von Land zu Land unterschiedlich sein. Öffentlich zugängliche Bücher sind unser Tor zur Vergangenheit und stellen ein geschichtliches, kulturelles und wissenschaftliches Vermögen dar, das häufig nur schwierig zu entdecken ist.

Gebrauchsspuren, Anmerkungen und andere Randbemerkungen, die im Originalband enthalten sind, finden sich auch in dieser Datei – eine Erinnerung an die lange Reise, die das Buch vom Verleger zu einer Bibliothek und weiter zu Ihnen hinter sich gebracht hat.

## Nutzungsrichtlinien

Google ist stolz, mit Bibliotheken in partnerschaftlicher Zusammenarbeit öffentlich zugängliches Material zu digitalisieren und einer breiten Masse zugänglich zu machen. Öffentlich zugängliche Bücher gehören der Öffentlichkeit, und wir sind nur ihre Hüter. Nichtsdestotrotz ist diese Arbeit kostspielig. Um diese Ressource weiterhin zur Verfügung stellen zu können, haben wir Schritte unternommen, um den Missbrauch durch kommerzielle Parteien zu verhindern. Dazu gehören technische Einschränkungen für automatisierte Abfragen.

Wir bitten Sie um Einhaltung folgender Richtlinien:

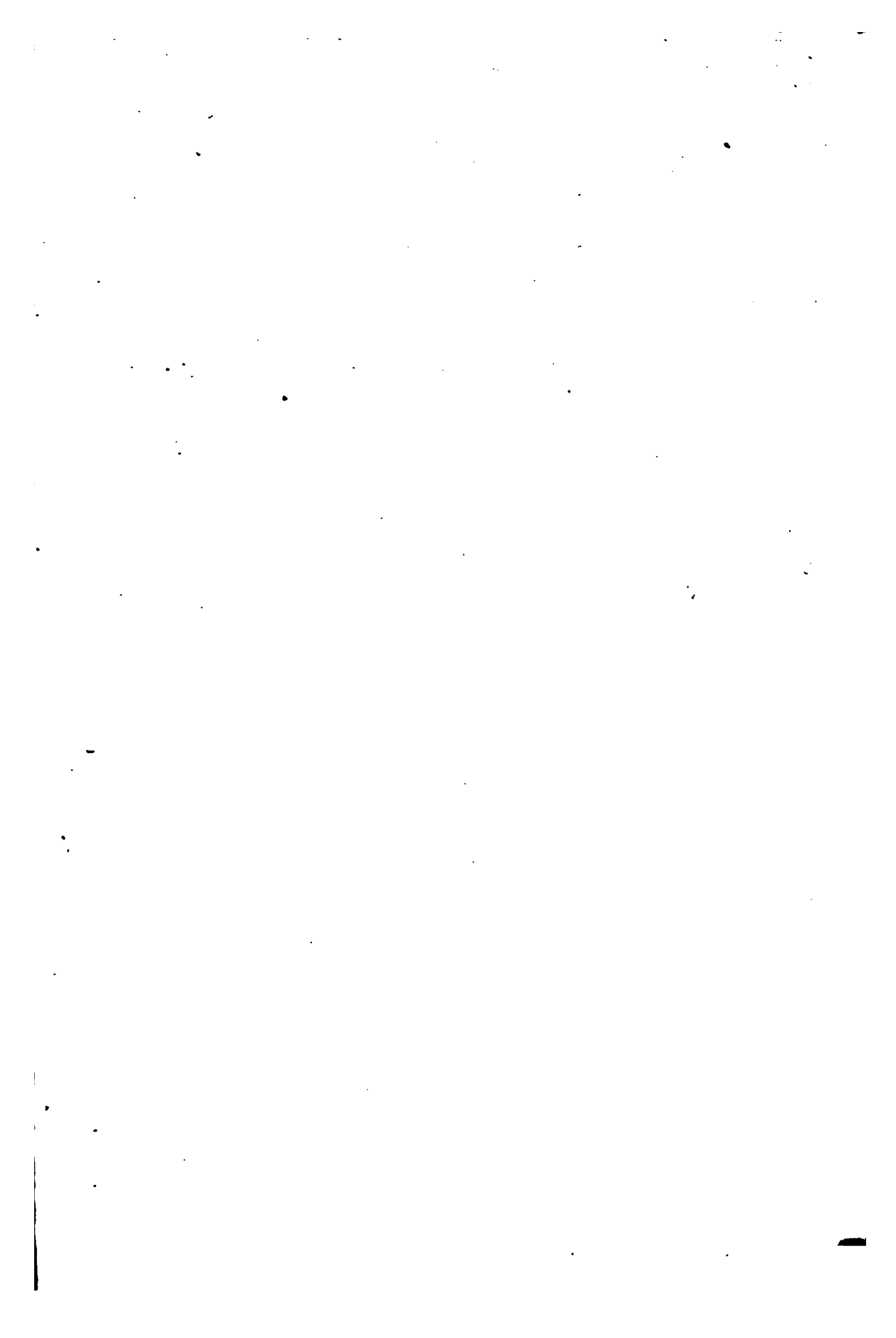
- + *Nutzung der Dateien zu nichtkommerziellen Zwecken* Wir haben Google Buchsuche für Endanwender konzipiert und möchten, dass Sie diese Dateien nur für persönliche, nichtkommerzielle Zwecke verwenden.
- + *Keine automatisierten Abfragen* Senden Sie keine automatisierten Abfragen irgendwelcher Art an das Google-System. Wenn Sie Recherchen über maschinelle Übersetzung, optische Zeichenerkennung oder andere Bereiche durchführen, in denen der Zugang zu Text in großen Mengen nützlich ist, wenden Sie sich bitte an uns. Wir fördern die Nutzung des öffentlich zugänglichen Materials für diese Zwecke und können Ihnen unter Umständen helfen.
- + *Beibehaltung von Google-Markenelementen* Das "Wasserzeichen" von Google, das Sie in jeder Datei finden, ist wichtig zur Information über dieses Projekt und hilft den Anwendern weiteres Material über Google Buchsuche zu finden. Bitte entfernen Sie das Wasserzeichen nicht.
- + *Bewegen Sie sich innerhalb der Legalität* Unabhängig von Ihrem Verwendungszweck müssen Sie sich Ihrer Verantwortung bewusst sein, sicherzustellen, dass Ihre Nutzung legal ist. Gehen Sie nicht davon aus, dass ein Buch, das nach unserem Dafürhalten für Nutzer in den USA öffentlich zugänglich ist, auch für Nutzer in anderen Ländern öffentlich zugänglich ist. Ob ein Buch noch dem Urheberrecht unterliegt, ist von Land zu Land verschieden. Wir können keine Beratung leisten, ob eine bestimmte Nutzung eines bestimmten Buches gesetzlich zulässig ist. Gehen Sie nicht davon aus, dass das Erscheinen eines Buchs in Google Buchsuche bedeutet, dass es in jeder Form und überall auf der Welt verwendet werden kann. Eine Urheberrechtsverletzung kann schwerwiegende Folgen haben.

## Über Google Buchsuche

Das Ziel von Google besteht darin, die weltweiten Informationen zu organisieren und allgemein nutzbar und zugänglich zu machen. Google Buchsuche hilft Lesern dabei, die Bücher dieser Welt zu entdecken, und unterstützt Autoren und Verleger dabei, neue Zielgruppen zu erreichen. Den gesamten Buchtext können Sie im Internet unter <http://books.google.com> durchsuchen.

University of Wisconsin  
LIBRARY

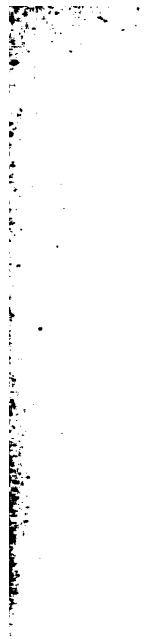
Class SP  
Book W 54  
B





AVR STECHER  
1ST ST STREET  
NEW YORK





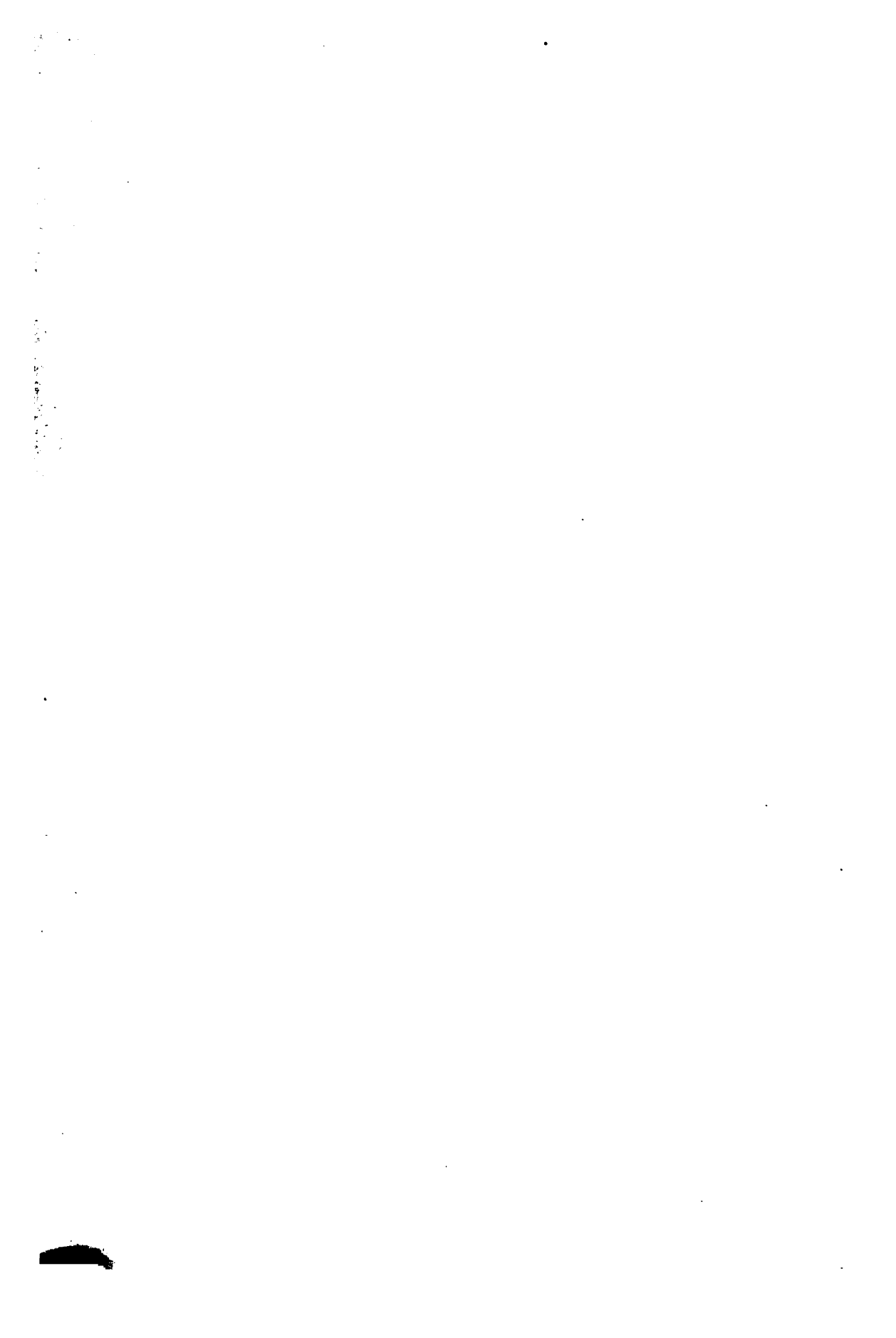
**BEISPIELE UND AUFGABEN**  
**ZUR**  
**BERECHNUNG**  
**DER**  
**STATISCH BESTIMMTEN TRÄGER**  
**FÜR**  
**BRÜCKEN UND DÄCHER.**

**VON**  
**DR. JACOB J. WEYRAUCH,**  
PROFESSOR AN DER TECHNISCHEN HOCHSCHULE ZU STUTTGART.

-----  
**MIT 222 FIGUREN AUF LITHOGRAPHIRTEN TAFELN.**



**LEIPZIG,**  
**DRUCK UND VERLAG VON B. G. TEUBNER.**  
**1888.**



6276879

1. 2. 3. 4. 5.  
7 Je '97

SP

## Vorwort.

---

Die vorliegende Sammlung von Beispielen und Aufgaben soll in erster Linie mit der Behandlung statisch bestimmter Träger vertraut machen, numerische Grundlagen für Constructionsübungen, Dimensionenberechnungen und Vergleiche mit graphischen Ableitungen auf der Hochschule bieten und dem projectirenden Ingenieur mittelst vollständig durchgerechneter Zahlenbeispiele bequeme Methoden für die Berechnung der am meisten vorkommenden Träger an die Hand geben. In zweiter Linie soll die Sammlung das Verständniss meiner *Theorie der statisch bestimmten Träger für Brücken und Dächer* erleichtern, die Anwendung der dort besprochenen Beziehungen und Rechnungsverfahren zeigen und weniger wichtige, aber doch praktisch nothwendige oder zweckmässige Ergänzungen der Theorie liefern. Schliesslich wünsche ich durch Vereinfachung der Berechnungen und zahlenmässige Klarlegung der Eigenschaften verschiedener Constructions zu grösserer Freiheit bei der Auswahl von Trägern mit Rücksicht auf technische und ästhetische Bedürfnisse, auch in gewöhnlichen Fällen, beizutragen.

Bezüglich der *Theorie* kann auf das Vorwort zu dem oben erwähnten Werke verwiesen werden. Den acht Abschnitten des Letzteren entsprechen die acht Abschnitte dieser Sammlung. Die in den einzelnen Beispielen verwendeten Formeln sind jedoch im Allgemeinen angeführt, sodass ähnliche Berechnungen auch ohne Rückgreifen auf die Theorie erledigt werden können. Etwaige Abweichungen gegen die angenommenen Fahrbahnlagen, Diagonalenstellungen u. s. w. wird man in dem beim Ansätze der Formeln citirten Paragraphen berücksichtigt finden. Für den Studirenden kann es zur Förderung der Selbstthätigkeit zweckmässig sein, bei eigenen Berechnungen nach Durchsicht entsprechender Beispiele nicht nur die gegebenen Abmessungen und Belastungen, sondern je nach Umständen auch die Diagonalenstellung, Fahrbahnlage, Trägerform

oder das Trägersystem zu ändern. Für praktische Zwecke geht man am besten direct auf den in Frage kommenden Fall los, und zwar immer auf den möglichst speziellen, sodass z. B. für die Berechnung eines Parallelträgers nicht bei Trägern mit beliebigen Gurtungsformen und für die Berechnung von Trägern mit Verticalen nicht bei beliebigen Systemen nachgesehen wird. Auf abweichende Verfahren und eventuelle Vereinfachungen ist gelegentlich in den Schlussbemerkungen zu den einzelnen Beispielen hingewiesen. Die angewandten Buchstabenbezeichnungen sind vielfach erklärt, in anderen Fällen können die am Ende der *Theorie* gegebenen Verzeichnisse dort gebrauchter Buchstaben und Worte zu schneller Orientirung dienen.

Die aufgenommenen Beispiele und Aufgaben sind natürlich den oben erwähnten Zwecken angepasst, sodass manche derselben nicht unmittelbar praktischen Bedürfnissen entsprechen, sondern zur Klärung der Theorie, zur Erleichterung von Vergleichen und Begründung von Vereinfachungen gegeben wurden. Wiederholungen vollständig gleichartiger Berechnungen sind vermieden und nirgends ist mehr zugelassen als die auftretenden Besonderheiten mit sich brachten. Letztere möglichst zu berücksichtigen, schien jedoch schon deshalb angezeigt, damit der praktische Ingenieur ohne spezielle Studien immer sofort den bequemsten Weg einschlagen kann. Viele Beispiele sind unter gleichen Voraussetzungen bezüglich der Spannweite, Trägerhöhe, Felderzahl u. s. w. berechnet, um so den Einfluss verschiedener Belastungsarten, Trägerformen und sonstiger Bedingungen hervortreten zu lassen. Die Formberechnung ist ebenfalls aufgenommen. Der Berechnung mit Radlastzügen und Lastäquivalenten (Eisenbahnbrücken) ist dieselbe Aufmerksamkeit gewidmet wie der Berechnung mit constanter gleichmässig vertheilter Verkehrslast (Strassenbrücken). Bei Dachbindern ist auch der schiefe Winddruck berücksichtigt.

Der besseren Unterscheidung wegen sind numerische Berechnungen als *Beispiele* (Anzahl 130), Formelnentwicklungen als *Aufgaben* (Anzahl 50) bezeichnet. Letztere zu verfolgen hat für den einen Zweck, welcher Aufschluss über die Entstehung darin gegebener Formeln sucht, oder die Theorie überall durchdringen will, oder auch Uebung in selbstständigen Ableitungen erstrebt. Die Berechnung einer grösseren Anzahl verschiedenartiger Zahlenbeispiele jedoch und die Durchsicht möglichst vieler derselben wird jedem Studirenden der Ingenieurwissenschaft nützlich sein. Um die Auswahl zu erleichtern, ist ein sehr ausführliches Inhaltsverzeichniss beigegeben und darin zu den einzelnen Beispielen und Aufgaben bemerkt, nach

welchem Paragraphen der Theorie sie etwa gelöst werden können, ohne dass damit andere Verwendungen ausgeschlossen sind. Bei Uebungen wird man im Allgemeinen mit den einfachsten Fällen beginnen.

Wie die *Theorie der statisch bestimmten Träger* einen Theil meiner Vorträge über *Analytische Theorie der Ingenieurconstructionen* wiedergiebt, so ist die vorliegende Sammlung von Beispielen und Aufgaben im Anschlusse an die begleitenden Uebungen entstanden. Demnach sind alle Lösungen analytisch oder numerisch, nicht graphisch, vorgenommen, wobei ich freilich nur meinen Neigungen zu folgen brauchte und im Einklange mit meiner Ansicht über die Bedeutung der beiden Methoden blieb. Da ferner an hiesiger Hochschule die Uebungen im Dimensioniren zweckmässiger Weise mit den Constructionsübungen verbunden sind, so bleibt auch diese Sammlung auf Formberechnungen und statische Berechnungen beschränkt. Um jedoch den Bedürfnissen der verschiedenen Dimensionirungsverfahren gerecht zu werden, bei welchen für jeden Constructionstheil entweder nur die absolut grösste Grenzbeanspruchung oder beide Grenzbeanspruchungen oder diese und die Beanspruchung durch die feste Last bekannt sein müssen, ist überall Bedacht auf Feststellung dieser drei besonderen Beanspruchungen genommen, welche zu vollständigem Einblick in das Kräftespiel ohnehin nöthig sind. \*)

Schliesslich erlaube ich mir an den freundlichen Leser die Bitte, mich von etwa gefundenen Fehlern recht bald benachrichtigen zu wollen. Dass solche hier und da vorhanden sind, ist anzunehmen, da nicht alle Beispiele in allen Theilen doppelt gerechnet werden konnten. Auch in den so umfangreichen theoretischen Entwicklungen dürfte sich noch Manches besser machen lassen. Ich werde für jede private wie öffentliche, wenn nur sachliche und wohlgemeinte Belehrung jederzeit dankbar sein.

Stuttgart, im Januar 1887.

**Der Verfasser.**

---

\*) Eine vollständige Uebersicht der gebräuchlichen und bis in die neueste Zeit vorgeschlagenen Dimensionirungsmethoden nebst Beispielen der Anwendung, sowie eine Darstellung und Discussion der neueren Versuchsergebnisse und sonstigen Erfahrungen über die Elasticität und Festigkeit von Schmiedeeisen, Flusseisen und Stahl enthält das demnächst erscheinende Werk: *Weyrauch, Stabilité des constructions en fer et en acier et calcul de leurs dimensions*, traduit et annoté par *M. Svilkossitch*, Paris 1888.



# Inhaltsverzeichniss.

## I. Abschnitt.

### Beliebige ebene Träger.

	Nach §	Seite
A.*) 1. Concentrirte Lasten . . . . .	4	1
A. 2. Stetig vertheilte Lasten . . . . .	5	2
A. 3. Bewegte Lasten . . . . .	6	4
A. 4. Träger mit beliebig gerichteten äussern Kräften . . . . .	7	4
A. 5. Spezielle Fälle zur vorigen Aufgabe . . . . .	8	6
B. 1. Curven der Momente und Verticalkräfte . . . . .	9	8
B. 2. Träger mit Zwischenträgern . . . . .	10	9
B. 3. Ermittlung von Influenzlinien . . . . .	11	11
A. 6. Ermittlung von Influenzlinien . . . . .	11	13
A. 7. Gewöhnliche (insbesondere vollwandige) Balkenträger mit beliebiger Belastung . . . . .	12	14
A. 8. Gewöhnliche Balkenträger. Influenzlinien . . . . .	12	17
Direct wirkende Verkehrslast . . . . .		17
Indirect wirkende Verkehrslast . . . . .		18
A. 9. Gewöhnliche Balkenträger. Bewegte Radlastzüge . . . . .	12	18
Bemerkungen . . . . .		20
B. 4. Zur vorigen Aufgabe . . . . .	12	21
Momente . . . . .		22
Verticalkräfte . . . . .		23
Bemerkungen . . . . .		24
A. 10. Gewöhnliche Balkenträger. Absolutes Maximalmoment . . . . .	12	25
Spezieller Fall . . . . .		27
Gleichmässig vertheilte bewegte Last . . . . .		28
B. 5. Zur vorigen Aufgabe . . . . .	12	28
B. 6. Tabelle von Lastmomenten . . . . .		29
Lastzug II . . . . .		30
Lastzug I . . . . .		31
Bemerkungen . . . . .		34
A. 11. Gewöhnliche Balkenträger. Gleichmässig vertheilte bewegte Last. Lastäquivalente . . . . .	12	35
Grenzwerte . . . . .		35
Lastäquivalente . . . . .		36

\*) A. = Aufgabe, B. = Beispiel.

	Nach §	Seite
B. 7. Zur vorigen Aufgabe . . . . .	12	37
Momente . . . . .		37
Verticalkräfte. . . . .		38
B. 8. Gewöhnliche Balkenträger. Tabellen von Lastäquivalenten . .	12	39
Verticalkräfte . . . . .		39
Momente . . . . .		40
Bemerkungen . . . . .		42
B. 9. Gewöhnliche Balkenträger. Berechnung mit Lastäquivalenten	12	42
Momente . . . . .		43
Verticalkräfte . . . . .		43
A. 12. Gewöhnliche Balkenträger mit Zwischenträgern. Einfachste Berechnung . . . . .	12	44
A. 13. Gewöhnliche Balkenträger mit Zwischenträgern. Genaueste Berechnung für bewegte Radlastzüge . . . . .	12	46
B. 10. Gewöhnliche Balkenträger mit Zwischenträgern. Berechnung für bewegte Radlastzüge . . . . .	12	48
Einfachstes Verfahren. Zu A. 12 . . . . .		48
Genauestes Verfahren. Zu A. 13 . . . . .		48
A. 14. Gewöhnliche Balkenträger mit Zwischenträgern. Genaueste Berechnung für gleichmässig vertheilte bewegte Last . . .	12	51
B. 11. Gewöhnliche Balkenträger mit Zwischenträgern. Berechnung mit Lastäquivalenten . . . . .	12	52
Einfachstes Verfahren. Zu A. 12 . . . . .		52
Genauestes Verfahren. Zu A. 14. . . . .		53
Bemerkungen . . . . .		55
B. 12. Berechnung für vorausbestimmte Knotenpunktlasten . . .	12	55
A. 15. Ueber Stützenreactionen von Trägern mit zwei Gelenkauflagern	12	57

## II. Abschnitt.

### Ebene Fachwerke beliebiger Art.

A. 16. Statische Bestimmtheit und Stabilität räumlicher Fachwerke .	14	60
B. 13. Statisch bestimmtes Balkenfachwerk doppelten Systems. Be- rechnung von Stabkräften aus Knotenpunktsgleichungen. .	14	64
Bemerkungen . . . . .		66
B. 14. Statisch bestimmtes Fachwerk doppelten Systems mit schief verschiebbarem Auflager. Berechnung von Stabkräften aus Knotenpunktsgleichungen . . . . .	14	67
A. 17. Ableitung von Stabkräften aus Knotenpunktsgleichungen . .	14	69
Bemerkungen . . . . .		71
A. 18. Verschiedene Fachwerke. Ableitung von Grenzbeanspruchungen aus Knotenpunktsgleichungen . . . . .	14	71
Erster Fall . . . . .		72
Zweiter Fall . . . . .		72
Dritter Fall . . . . .		74
Bemerkungen . . . . .		75

	Nach §	Seite
B. 15. Zur vorigen Aufgabe. Berechnung für gleichmässig vertheilte bewegte Last . . . . .	14	76
B. 16. Zur vorigen Aufgabe. Berechnung für bewegte Radlastzüge . . . . .	14	77
A. 19. Formeln für Endstäbe von einfachen Fachwerken . . . . .	14	78
Die Fahrbahnlast greift in den Knotenpunkten des Obergurts an . . . . .		79
Die Fahrbahnlast greift in den Knotenpunkten des Untergurts an . . . . .		80
Die Fahrbahnlast greift zwischen beiden Gurten in der Endverticale an . . . . .		81
B. 17. Dachbinder*). Berechnung von Stabkräften aus Schnittgleichungen . . . . .	15	81
A. 20. Freitragender Perrondachbinder. Ableitung von Grenzbeanspruchungen aus Schnittgleichungen . . . . .	15	82
A. 21. Füllungsglieder von Parallelträgern beliebigen einfachen Systems . . . . .	15	84
Gleichmässig vertheilte bewegte Last . . . . .		86
Bewegte Radlastzüge . . . . .		86
B. 18. Dachbinder. Berechnung von Stabkräften aus Momentengleichungen . . . . .	15	87
Bemerkungen . . . . .		88
B. 19. Berechnung von Grenzbeanspruchungen aus Momentengleichungen . . . . .	15	89
B. 20. Polonceaudachbinder. Berechnung von Stabkräften aus Momentengleichungen . . . . .	15	91
A. 22. Polonceaudachbinder. Formeln für die Stabkräfte . . . . .	15	92
Erstes System . . . . .		92
Zweites System . . . . .		93
A. 23. Polonceaudachbinder. Allgemeiner Formeln . . . . .	15	94
Erstes System . . . . .		94
Zweites System . . . . .		95
B. 21. Polonceaudachbinder. Berücksichtigung schiefen Winddrucks . . . . .	15	96
Dachfläche beim verschiebbaren Auflager getroffen . . . . .		97
Dachfläche beim unverschiebbaren Auflager getroffen . . . . .		98
Grenzwerte der Stabkräfte . . . . .		98
Bemerkungen . . . . .		99
B. 22. Dachbinder. Berücksichtigung schiefen Winddrucks . . . . .	15	100
Dachfläche beim verschiebbaren Auflager getroffen . . . . .		101
Dachfläche beim unverschiebbaren Auflager getroffen . . . . .		101
Grenzwerte der Stabkräfte . . . . .		102

---

\*) Dachbinder findet man speciell behandelt in den Beispielen 17, 18, 20, 21, 22, 34, 38, 39, 40, 49, 50, 57, 58, 75, 84, 85, 86, 103 sowie in den Aufgaben 20, 22, 23, 26. Zahlreiche andere Beispiele und Aufgaben, insbesondere solche für gleichmässig vertheilte bewegte Last, gelten gemeinsam für Brücken und Dächer.

	Nach §	Seite
A. 24. Abänderung der Trägerenden beim Parallelträger einfachen Systems des rechtwinkligen Dreiecks . . . . .	17	103
A. 25. Eine Eigenschaft der Parabelträger . . . . .	17	104
Bemerkungen . . . . .		104
A. 26. Freitragender Perrondachbinder. Ableitung von Formeln durch Spezialisirung . . . . .	18	105
A. 27. Fachwerke mit statischen Bedingungen . . . . .	18	106
A. 28. Mittelverticale von Balkenfachwerken . . . . .	18	108

## III. Abschnitt.

**Balkenträger mit zwei Gelenkauflagern.**

B. 23. Beliebige einfache Systeme mit gleichmässig vertheilter bewegter Last . . . . .	24	111
Eigengewicht allein . . . . .		112
Grenzwerte . . . . .		112
Bemerkungen . . . . .		113
B. 24. Beliebige einfache Systeme mit bewegten Radlastzügen . . . . .	25	114
Bemerkungen . . . . .		117
B. 25. Genaueste Berechnung beliebiger einfacher Systeme für bewegte Radlastzüge . . . . .	25	118
B. 26. Beliebige einfache Systeme mit gleichmässig vertheilter bewegter Last . . . . .	25	122
Formberechnung . . . . .		122
Statische Berechnung. Vorbereitung . . . . .		123
Eigengewicht allein . . . . .		125
Grenzwerte . . . . .		127
Bemerkungen . . . . .		130
B. 27. Beliebige einfache Systeme mit bewegten Radlastzügen . . . . .	25	130
Gurtungen . . . . .		132
Füllungsglieder . . . . .		136
Bemerkungen . . . . .		139
B. 28. Genaueste Berechnung beliebiger einfacher Systeme für bewegte Radlastzüge . . . . .	25	140
Obere Gurtung . . . . .		141
Untere Gurtung . . . . .		142
Füllungsglieder. Erster Grenzwert . . . . .		143
Füllungsglieder. Zweiter Grenzwert . . . . .		147
B. 29. Lastäquivalente bei beliebigen Systemen . . . . .	26	148
Gurtungsglieder . . . . .		148
Füllungsglieder . . . . .		149
A. 29. Lastäquivalente bei beliebigen Systemen . . . . .	26	150
Drehpunkt $\mu$ ausserhalb $l$ . . . . .		150
Drehpunkt $\mu$ innerhalb $l$ . . . . .		152
Drehpunkt $\mu$ an der Grenze von $l$ . . . . .		152
Bemerkungen . . . . .		153

	Nach §	Seite
B. 30. Berechnung beliebiger Systeme mit Lastäquivalenten . . . . .	26	154
Bemerkungen . . . . .		156
A. 30. Parallelträger beliebigen einfachen Systems . . . . .	26	157
B. 31. Parallelträger. Einfaches System des gleichschenkligen Dreiecks. Berechnung für gleichmässig vertheilte bewegte Last	29	158
Fall I. X-Gurtung oben . . . . .		159
Fall II. X-Gurtung unten . . . . .		160
B. 32. Parallelträger. Einfaches System des gleichschenkligen Dreiecks. Berechnung mit Lastäquivalenten . . . . .	29	162
Eigengewicht allein . . . . .		162
Grenzwerte . . . . .		163
B. 33. Parallelträger. Einfaches System des gleichschenkligen Dreiecks. Berechnung für bewegte Radlastzüge . . . . .	30	165
Bemerkungen . . . . .		167
A. 31. Parallelträger. Einfaches System des gleichschenkligen Dreiecks. Maximalbedingungen für die Stabkräfte . . . . .	30	168
B. 34. Dachbinder einfachen Systems mit Verticalen und beliebigen Gurtungsformen. Gleichmässig vertheilte Last . . . . .	31	169
Formberechnung . . . . .		169
Beanspruchungen . . . . .		170
B. 35. Einfaches System mit Verticalen und beliebigen Gurtungsformen (Ellipsenträger). Berechnung für gleichmässig vertheilte bewegte Last . . . . .	32	171
Formberechnung . . . . .		172
Eigengewicht allein . . . . .		172
Grenzwerte . . . . .		173
Bemerkungen . . . . .		175
B. 36. Einfaches System mit Verticalen und beliebigen Gurtungsformen (Ellipsenträger). Berechnung für bewegte Radlastzüge . . . . .	33	177
A. 32. Einfaches System mit Verticalen und beliebigen Gurtungsformen. Anwendung von Lastäquivalenten . . . . .	33	181
Gurtungsstäbe . . . . .		181
Füllungsglieder. Gewöhnliche Gurtungsformen . . . . .		181
Füllungsglieder. Ungewöhnliche Gurtungsformen . . . . .		183
Bemerkungen . . . . .		183
B. 37. Einfaches System mit Verticalen bei beliebigen Gurtungsformen (Ellipsenträger). Berechnung mit Lastäquivalenten	33	183
B. 38. Dachbinder einfachen Systems mit Verticalen und beliebigen Gurtungsformen (Kreissichelträger). Grenzwerte der Stabkräfte . . . . .	33	186
Formberechnung . . . . .		186
Eigengewicht allein . . . . .		187
Grenzwerte . . . . .		188
B. 39. Dachbinder einfachen Systems mit Verticalen und beliebigen Gurtungsformen. Grenzwerte der Stabkräfte mit Rücksicht auf schiefen Winddruck . . . . .	33	189

	Nach §	Seite
Eigengewicht allein . . . . .		189
Grenzwerte ohne Winddruck . . . . .		191
Grenzwerte mit Winddruck . . . . .		194
B. 40. Dachbinder einfachen Systems mit Verticalen und beliebigen Gurtungsformen. Einfluss schiefen Winddrucks . . . . .	33	194
Dachfläche beim verschiebbaren Auflager getroffen . . . . .		197
Dachfläche beim unverschiebbaren Auflager getroffen . . . . .		198
Bemerkungen . . . . .		199
A. 33. Einfaches System mit Verticalen bei beliebigen Gurtungs- formen. Maximalbedingungen für die Stabkräfte . . . . .	33	199
B. 41. Parallelträger einfachen Systems des rechtwinkligen Dreiecks. Berechnung für gleichmässig vertheilte bewegte Last . . . . .	35	201
Eigengewicht allein . . . . .		201
Grenzwerte . . . . .		202
Gegendiagonalen. Abänderung der Trägerenden . . . . .		203
Bemerkungen . . . . .		203
B. 42. Parallelträger einfachen Systems des rechtwinkligen Dreiecks. Berechnung für bewegte Radlastzüge . . . . .	36	204
B. 43. Parallelträger einfachen Systems des rechtwinkligen Dreiecks. Berechnung mit Lastäquivalenten . . . . .	36	210
B. 44. Parallelträger einfachen Systems des rechtwinkligen Dreiecks. Berechnung für gleichmässig vertheilte bewegte Last . . . . .	36	210
Eigengewicht allein . . . . .		213
Grenzwerte . . . . .		213
Gegendiagonalen . . . . .		214
B. 45. Parallelträger einfachen Systems des rechtwinkligen Dreiecks. Berechnung für bewegte Radlastzüge . . . . .	36	215
B. 46. Parallelträger einfachen Systems mit ungleichlangen Feldern. Berechnung für gleichmässig vertheilte bewegte Last . . . . .	37	217
Eigengewicht allein . . . . .		218
Grenzwerte . . . . .		218
Gegendiagonalen. Abänderung der Trägerenden . . . . .		220
B. 47. Parallelträger einfachen Systems mit ungleichlangen Feldern. Berechnung für bewegte Radlastzüge . . . . .	37	221
A. 34. Lastäquivalente beim Parallelträger einfachen Systems mit ungleichlangen Feldern . . . . .	37	223
B. 48. Parallelträger einfachen Systems mit ungleichlangen Feldern. Berechnung mit Lastäquivalenten . . . . .	37	225
B. 49. Dreiecksdachbinder einfachen Systems mit Verticalen. X-Gur- tung oben . . . . .	39	227
Bemerkungen . . . . .		229
B. 50. Dreiecksdachbinder einfachen Systems mit Verticalen. X-Gur- tung unten . . . . .	39	230
Bemerkungen . . . . .		231
B. 51. Dreiecksträger einfachen Systems mit Verticalen. Berechnung für gleichmässig vertheilte bewegte Last . . . . .	39	232
Untere Grenzwerte . . . . .		232

	Nach §	Seite
Obere Grenzwerte . . . . .		233
B. 52. Dreiecksträger einfachen Systems mit Verticalen. Berechnung für bewegte Radlastzüge . . . . .	40	234
Bemerkungen . . . . .		236
B. 53. Dreiecksträger einfachen Systems mit Verticalen. Berechnung mit Lastäquivalenten . . . . .	40	237
Bemerkungen . . . . .		238
B. 54. Parabelträger einfachen Systems mit Verticalen. Berechnung für gleichmässig vertheilte bewegte Last . . . . .	42	239
Formberechnung . . . . .		239
Eigengewicht allein . . . . .		239
Grenzwerte . . . . .		240
B. 55. Parabelträger einfachen Systems mit Verticalen. Berechnung für bewegte Radlastzüge . . . . .	42	241
A. 35. Parabelträger einfachen Systems mit Verticalen. Anwendung von Lastäquivalenten . . . . .	42	242
B. 56. Parabelträger einfachen Systems mit Verticalen. Berechnung mit Lastäquivalenten . . . . .	42	244
B. 57. Parabelsichelträger (Dachbinder) einfachen Systems mit Verticalen. Grenzwerte der Stabkräfte mit Rücksicht auf schiefen Winddruck . . . . .	42	245
Formberechnung . . . . .		246
Eigengewicht allein . . . . .		246
Grenzwerte ohne Winddruck . . . . .		247
Grenzwerte mit Winddruck . . . . .		248
B. 58. Dachbinder einfachen Systems mit Verticalen und beliebigen Gurtungsformen. Einfluss schiefen Winddrucks . . . . .	42	248
Knotenpunktskräfte . . . . .		250
Beanspruchungen . . . . .		251
Dachfläche beim verschiebbaren Auflager getroffen . . . . .		253
Dachfläche beim unverschiebbaren Auflager getroffen . . . . .		254
B. 59. Schwedlerträger einfachen Systems. Berechnung für gleichmässig vertheilte bewegte Last . . . . .	45	254
Formberechnung . . . . .		255
Eigengewicht allein . . . . .		256
Grenzbeanspruchungen . . . . .		256
Gegendiagonalen . . . . .		258
Bemerkungen . . . . .		258
B. 60. Schwedlerträger einfachen Systems. Berechnung für bewegte Radlastzüge . . . . .	45	259
Formberechnung . . . . .		259
Eigengewicht allein . . . . .		260
Grenzbeanspruchungen . . . . .		260
Gegendiagonalen . . . . .		263
Bemerkungen . . . . .		263
A. 36. Träger nach der Grenzform gleichartiger Diagonalenbeanspruchungen. Anwendung von Lastäquivalenten . . . . .	45	264

	Nach §	Seite
B. 61. Schwedlerträger einfachen Systems. Berechnung mit Lastäquivalenten. . . . .	45	265
Formberechnung . . . . .		266
Beanspruchungen . . . . .		266
Gegendiagonalen . . . . .		268
B. 62. Paulischer Segmentträger einfachen Systems. Berechnung für gleichmässig vertheilte bewegte Last . . . . .	48	269
Formberechnung . . . . .		269
Beanspruchungen . . . . .		271
B. 63. Paulischer Segmentträger einfachen Systems. Berechnung für bewegte Radlastzüge . . . . .	48	274
Formberechnung . . . . .		274
Beanspruchungen . . . . .		276
B. 64. Paulischer Segmentträger einfachen Systems. Berechnung mit Lastäquivalenten . . . . .	48	278
Bemerkungen . . . . .		280
B. 65. Paulischer Linsenträger einfachen Systems. Berechnung für gleichmässig vertheilte bewegte Last . . . . .	48	280
Formberechnung . . . . .		281
Beanspruchungen . . . . .		282
B. 66. Paulischer Linsenträger einfachen Systems. Berechnung für bewegte Radlastzüge . . . . .	48	284
Formberechnung . . . . .		284
Beanspruchungen . . . . .		285
B. 67. Paulischer Linsenträger einfachen Systems. Berechnung mit Lastäquivalenten . . . . .	48	288

## IV. Abschnitt.

## Einfluss der Gegendiagonalen \*).

B. 68. Einfaches System mit Gegendiagonalen bei beliebigen Gurtungsformen (Halbparabelträger). Berechnung für gleichmässig vertheilte bewegte Last. . . . .	52	290
Formberechnung . . . . .		290
Eigengewicht allein . . . . .		291
Grenzwerte . . . . .		292
B. 69. Einfaches System mit Gegendiagonalen bei beliebigen Gurtungsformen (Halbparabelträger). Berechnung für bewegte Radlastzüge . . . . .	52	294

---

\*) Träger mit Gegendiagonalen sind weiter behandelt in den Beispielen 41—48 (einfache Parallelträger), 59—61 (Schwedlerträger), 80—83 (continuirliche Gelenkträger), 101—102 (continuirliche Bogenträger). Der Einfluss der Gegendiagonalen ist im Allgemeinen nachträglich berücksichtigt, weil wir die Anwendung von Gegendiagonalen bei keinem Träger für selbstverständlich halten.



	Nach §	Seite
A. 37. Positive Grenzbeanspruchungen der Verticalen mit anschliessenden Gegendiagonalen bei Berechnung mit Lastäquivalenten. . . . .	52	298
Fahrbahn unten. . . . .		299
Fahrbahn oben. . . . .		299
B. 70. Einfaches System mit Gegendiagonalen bei beliebigen Gurtungsformen (Halbparabelträger). Berechnung mit Lastäquivalenten. . . . .	52	300
B. 71. Einfaches System mit Gegendiagonalen bei beliebigen Gurtungsformen (Ellipsenträger) . . . . .	52	308
Gleichmässig vertheilte bewegte Last. . . . .		304
Bewegte Radlastzüge . . . . .		305
Lastäquivalente . . . . .		306
B. 72. Parabelträger einfachen Systems mit Gegendiagonalen. . . . .	52	307
Gleichmässig vertheilte bewegte Last. . . . .		307
Bewegte Radlastzüge . . . . .		308
Lastäquivalente . . . . .		309
B. 73. Paulischer Segmentträger einfachen Systems mit Gegendiagonalen . . . . .	52	310
Gleichmässig vertheilte bewegte Last. . . . .		310
Bewegte Radlastzüge . . . . .		312
Lastäquivalente . . . . .		313
B. 74. Paulischer Linsenträger einfachen Systems mit Gegendiagonalen . . . . .	52	315
Gleichmässig vertheilte bewegte Last. . . . .		315
Bewegte Radlastzüge . . . . .		317
Lastäquivalente . . . . .		318
A. 38. Verticalen mit anschliessenden Gegendiagonalen beim Parabelträger. . . . .	52	320
Segmentträger . . . . .		320
Linsenträger . . . . .		320

## V. Abschnitt.

## Continuirliche Gelenkträger.

B. 75. Continuirlicher Gelenkträger (Dachbinder) einfachen Systems mit Verticalen und beliebigen Gurtungsformen . . . . .	61	322
Formberechnung . . . . .		322
Eigengewicht allein . . . . .		324
Grenzwerte . . . . .		326
Bemerkungen. . . . .		330
B. 76. Continuirlicher Gelenkträger einfachen Systems mit Verticalen und parallelen Gurtungen. Berechnung für gleichmässig vertheilte bewegte Last. . . . .	64	331
Eigengewicht allein . . . . .		331
Grenzwerte . . . . .		333

	Nach §	Seite
B. 77. Continuirlicher Gelenkträger einfachen Systems mit Verticalen und parallelen Gurtungen. Berechnung für bewegte Radlastzüge . . . . .	65	336
B. 78. Continuirlicher Gelenkträger einfachen Systems mit Verticalen. Berechnung für gleichmässig vertheilte bewegte Last . . .	65	343
Eigengewicht allein . . . . .		343
Grenzwerte . . . . .		344
B. 79. Continuirlicher Gelenkträger einfachen Systems mit Verticalen. Berechnung für bewegte Radlastzüge . . . . .	65	345
Ableitung der Formeln für $V_0$ . . . . .		347
B. 80. Continuirlicher Gelenkträger einfachen Systems mit Gegen-diagonalen und parallelen Gurtungen. Berechnung für gleichmässig vertheilte bewegte Last . . . . .	65	348
Bemerkungen . . . . .		350
B. 81. Continuirlicher Gelenkträger einfachen Systems mit Gegen-diagonalen und parallelen Gurtungen. Berechnung für bewegte Radlastzüge . . . . .	65	351
B. 82. Continuirlicher Gelenkträger einfachen Systems mit Gegen-diagonalen. Berechnung für gleichmässig vertheilte bewegte Last . . . . .	65	354
B. 83. Continuirlicher Gelenkträger einfachen Systems mit Gegen-diagonalen. Berechnung für bewegte Radlastzüge . . . . .	65	356
Bemerkungen . . . . .		358

## VI. Abschnitt.

## Bogenträger mit drei Gelenken.

B. 84. Bogendachbinder einfachen Systems mit Verticalen und beliebigen Gurtungsformen. Gleichmässig vertheilte Last . .	69	360
Formberechnung . . . . .		360
Beanspruchungen . . . . .		360
B. 85. Bogendachbinder einfachen Systems mit Verticalen und beliebigen Gurtungsformen. Grenzbeanspruchungen mit Rücksicht auf schiefen Winddruck . . . . .	70	362
Eigengewicht allein . . . . .		362
Grenzwerte ohne Winddruck . . . . .		363
Grenzwerte mit Winddruck . . . . .		367
B. 86. Bogendachbinder einfachen Systems mit Verticalen und beliebigen Gurtungsformen. Einfluss schiefen Winddrucks . .	70	368
Dachfläche beim Auflager 1 getroffen . . . . .		371
Dachfläche beim Auflager 0 getroffen . . . . .		371
B. 87. Bogenfachwerk einfachen Systems mit Verticalen und beliebigen Gurtungsformen. Berechnung für gleichmässig vertheilte bewegte Last . . . . .	70	372
Formberechnung . . . . .		372
Eigengewicht allein . . . . .		373
Grenzwerte . . . . .		374

	Nach §	Seite
B. 88. Bogenfachwerk einfachen Systems mit Verticalen und beliebigen Gurtungsformen. Berechnung für bewegte Radlastzüge . . . . .	71	378
Bemerkungen . . . . .		387
B. 89. Trapezbogenfachwerk einfachen Systems mit Verticalen. Berechnung für gleichmässig vertheilte bewegte Last . . . . .	73	388
Eigengewicht allein . . . . .		388
Grenzbeanspruchungen . . . . .		389
B. 90. Trapezbogenfachwerk einfachen Systems mit Verticalen. Berechnung für bewegte Radlastzüge . . . . .	74	390
Bemerkungen . . . . .		395
B. 91. Haloparabelbogenfachwerk einfachen Systems mit Verticalen. Berechnung für gleichmässig vertheilte bewegte Last . . . . .	75	395
Formberechnung . . . . .		395
Eigengewicht allein . . . . .		397
Grenzwerte . . . . .		397
A. 39. Kämpferverticalen und Scheitelverticalen von Bogenfachwerken	75	401
Kämpferverticalen, Fig. 149 u. 150 . . . . .		401
Scheitelverticalen, Fig. 149 u. 150 . . . . .		404
Kämpferverticalen, Fig. 151 u. 152 . . . . .		404
Scheitelverticalen, Fig. 151 u. 152 . . . . .		404
A. 40. Symmetrisches Bogenfachwerk einfachen Systems mit Verticalen und beliebigen Gurtungsformen. Maximalbedingungen für die Stabkräfte . . . . .	75	407
A. 41. Gelenkdrücke bei symmetrischen Bogenträgern mit drei Gelenken und beliebigem Systeme . . . . .	75	408
Scheiteldruck . . . . .		408
Kämpferdrücke . . . . .		409

## VII. Abschnitt.

**Träger mit constantem Horizontalschube. Continuirliche Bogenträger. Träger mit schief verschiebbarem Auflager. Träger mit imaginären Gelenken.**

B. 92. Träger mit constantem Horizontalschube . . . . .	76	411
Bemerkungen . . . . .		411
B. 93. Continuirliches Trapezbogenfachwerk einfachen Systems mit Verticalen (feste Hängebrücke). Berechnung für gleichmässig vertheilte bewegte Last . . . . .	79	412
Eigengewicht allein . . . . .		412
Grenzwerte . . . . .		414
B. 94. Continuirliches Trapezbogenfachwerk einfachen Systems mit Verticalen (feste Hängebrücke oder Sprengbrücke). Berechnung für gleichmässig vertheilte bewegte Last . . . . .	79	416
Eigengewicht allein . . . . .		416
Grenzwerte . . . . .		417
Bemerkungen . . . . .		419

	Nach §	Seite
B. 95. Continuirliches Trapezbogenfachwerk einfachen Systems mit Verticalen. Berechnung für bewegte Radlastzüge . . . . .	79	420
B. 96. Continuirliches Halbparabelbogenfachwerk einfachen Systems mit Verticalen (feste Hängebrücke). Berechnung für gleichmässig vertheilte bewegte Last . . . . .	79	423
Eigengewicht allein . . . . .		423
Grenzwerte . . . . .		424
B. 97. Continuirliches Halbparabelbogenfachwerk einfachen Systems mit Verticalen (feste Hängebrücke oder Sprengbrücke). Berechnung für gleichmässig vertheilte bewegte Last . . . . .	79	426
Eigengewicht allein . . . . .		427
Grenzwerte . . . . .		428
Bemerkungen . . . . .		433
B. 98. Continuirliches Bogenfachwerk einfachen Systems mit Verticalen und beliebigen Gurtungsformen (feste Hängebrücke). Berechnung für gleichmässig vertheilte bewegte Last . . . . .	79	433
B. 99. Continuirliches Bogenfachwerk einfachen Systems mit Verticalen und beliebigen Gurtungsformen (feste Hängebrücke oder Sprengbrücke). Berechnung für gleichmässig vertheilte bewegte Last . . . . .	79	434
Eigengewicht allein . . . . .		435
Grenzwerte . . . . .		437
Bemerkungen . . . . .		439
B. 100. Continuirliches Bogenfachwerk einfachen Systems mit Verticalen und beliebigen Gurtungsformen. Berechnung für bewegte Radlastzüge . . . . .	79	440
Bemerkungen . . . . .		445
B. 101. Continuirliches Bogenfachwerk einfachen Systems mit Verticalen (und Gegendiagonalen). Berechnung für gleichmässig vertheilte bewegte Last . . . . .	79	446
Eigengewicht allein . . . . .		446
Grenzwerte . . . . .		447
Bemerkungen . . . . .		449
B. 102. Continuirliches Bogenfachwerk einfachen Systems mit Verticalen (und Gegendiagonalen). Berechnung für bewegte Radlastzüge . . . . .	79	451
B. 103. Continuirliches Bogenfachwerk einfachen Systems mit Verticalen und beliebigen Gurtungsformen (Dachbinder) . . . . .	79	454
Formberechnung . . . . .		455
Eigengewicht allein . . . . .		455
Grenzwerte . . . . .		457
Bemerkungen . . . . .		458
A. 42. Pfeilervverticalen und Widerlagervverticalen bei continuirlichen Bogenträgern . . . . .	79	459
Pfeilervverticale, Fig. 175 u. 176 . . . . .		460
Widerlagervverticale, Fig. 175 u. 176 . . . . .		461
Pfeilervverticale, Fig. 177 u. 178 . . . . .		461

	Nach §	Seite
Widerlagerverticale, Fig. 177 u. 178 . . . . .		462
A. 43. Gelenkdrücke bei continuirlichen Bogenträgern . . . . .	81	463
B. 104. Träger mit schief verschiebbarem Auflager. Berechnung für gleichmässig vertheilte bewegte Last . . . . .	84	464
B. 105. Träger mit schief verschiebbarem Auflager. Berechnung für bewegte Radlastzüge . . . . .	84	466
Bemerkungen . . . . .		469
A. 44. Gelenkdrücke bei Trägern mit schief verschiebbarem Auflager . . . . .	84	469
Verschiebbares Auflager . . . . .		469
Unverschiebbares Auflager . . . . .		470
B. 106. Bogenträger mit reellen Kämpfergelenken und einem imaginären Zwischengelenke . . . . .	85	471
A. 45. Bogenträger mit reellen Kämpfergelenken und einem imaginären Zwischengelenke . . . . .	85	472

## VIII. Abschnitt.

## Berechnung statisch unbestimmter Fachwerke mehrfachen Systems auf Grund der Zerlegung in einfache Systeme.

B. 107. Parallelträger doppelten Systems mit gleichgestellten Diagonalen . . . . .	86	474
B. 108. Parallelträger vierfachen Systems des gleichschenkligen Dreiecks . . . . .	86	475
A. 46. Formeln für Endverticalen von einfachen Fachwerkträgern . . . . .	86	478
Die Fahrbahnlast greift in den Knotenpunkten des Obergurts an . . . . .		479
Die Fahrbahnlast greift in den Knotenpunkten des Untergurts an . . . . .		479
Die Fahrbahnlast greift zwischen beiden Gurten in der Endverticale an . . . . .		479
A. 47. Abänderung der Trägerenden beim Parallelträger doppelten Systems mit gekreuzten Diagonalen . . . . .	89	480
B. 109. Doppeltes System mit gekreuzten Diagonalen bei beliebigen Gurtungsformen (Ellipsenträger). Berechnung für gleichmässig vertheilte bewegte Last . . . . .	91	481
Eigengewicht allein . . . . .		481
Grenzwerte . . . . .		482
B. 110. Doppeltes System mit gekreuzten Diagonalen bei beliebigen Gurtungsformen (Ellipsenträger). Berechnung für bewegte Radlastzüge . . . . .	92	483
A. 48. Einfache Balkenfachwerke doppelten Systems mit gekreuzten Diagonalen. Anwendung von Lastäquivalenten . . . . .	92	486
B. 111. Doppeltes System mit gekreuzten Diagonalen bei beliebigen Gurtungsformen (Ellipsenträger). Berechnung mit Lastäquivalenten . . . . .	92	487
A. 49. Endstäbe von Gurtungen einfacher Balkenfachwerke . . . . .	92	488

	Nach §	Seite
A. 50. Einfaches Balkenfachwerk doppelten Systems mit gekreuzten Diagonalen. Maximalbedingungen für die Stabkräfte. . .	92	490
B. 112. Parallelträger doppelten Systems mit gekreuzten Diagonalen. Berechnung für gleichmässig vertheilte bewegte Last . .	93	491
Eigengewicht allein . . . . .		491
Grenzwerte . . . . .		492
B. 113. Parallelträger doppelten Systems mit gekreuzten Diagonalen. Berechnung für bewegte Radlastzüge . . . . .	93	493
B. 114. Parallelträger doppelten Systems mit gekreuzten Diagonalen. Berechnung mit Lastäquivalenten. . . . .	93	495
B. 115. Parallelträger doppelten Systems mit ungleichlangen Feldern. Berechnung für gleichmässig vertheilte bewegte Last . .	94	496
Eigengewicht allein . . . . .		496
Grenzwerte . . . . .		497
B. 116. Parallelträger doppelten Systems mit ungleichlangen Feldern. Berechnung für bewegte Radlastzüge . . . . .	94	498
B. 117. Parallelträger doppelten Systems mit ungleichlangen Feldern. Berechnung mit Lastäquivalenten. . . . .	94	500
B. 118. Parallelträger vierfachen Systems mit gekreuzten Diagonalen	94	501
B. 119. Dreiecksträger doppelten Systems mit gekreuzten Diagonalen. Berechnung für gleichmässig vertheilte bewegte Last. . .	95	503
Eigengewicht allein . . . . .		503
Grenzwerte . . . . .		504
B. 120. Dreiecksträger doppelten Systems mit gekreuzten Diagonalen. Berechnung für bewegte Radlastzüge . . . . .	95	504
B. 121. Dreiecksträger doppelten Systems mit gekreuzten Diagonalen. Berechnung mit Lastäquivalenten. . . . .	95	506
B. 122. Parallelträger doppelten Systems mit gekreuzten Diagonalen. Berechnung für gleichmässig vertheilte bewegte Last . .	97	507
Eigengewicht allein . . . . .		508
Grenzwerte . . . . .		508
B. 123. Parallelträger doppelten Systems mit gekreuzten Diagonalen. Berechnung für bewegte Radlastzüge . . . . .	97	508
B. 124. Parallelträger doppelten Systems mit gekreuzten Diagonalen. Berechnung mit Lastäquivalenten. . . . .	97	510
B. 125. Paulischer Linsenträger doppelten Systems mit gekreuzten Diagonalen. Berechnung für gleichmässig vertheilte bewegte Last . . . . .	98	511
Formberechnung . . . . .		512
Beanspruchungen. . . . .		513
Bemerkungen . . . . .		514
B. 126. Paulischer Linsenträger doppelten Systems mit gekreuzten Diagonalen. Berechnung für bewegte Radlastzüge. . . .	99	515
Formberechnung . . . . .		515
Beanspruchungen. . . . .		519
B. 127. Paulischer Linsenträger doppelten Systems mit gekreuzten Diagonalen. Berechnung mit Lastäquivalenten . . . . .	99	521

	Nach §	Seite
B. 128. Paulischer Segmentträger doppelten Systems mit gekreuzten Diagonalen. Berechnung für gleichmässig vertheilte be- wegte Last . . . . .	100	522
Formberechnung . . . . .		523
Beanspruchungen. . . . .		524
Bemerkungen . . . . .		525
B. 129. Paulischer Segmentträger doppelten Systems mit gekreuzten Diagonalen. Berechnung für bewegte Radlastzüge . . . .	100	526
Formberechnung . . . . .		526
Beanspruchungen. . . . .		527
B. 130. Paulischer Segmentträger doppelten Systems mit gekreuzten Diagonalen. Berechnung mit Lastäquivalenten . . . . .	100	529
Fehlerverzeichnisse . . . . .		531

## I. Abschnitt.

### Beliebige ebene Träger.

#### Aufgabe 1. Concentrirte Lasten.

Es sind die Werthe der Integrale

$$\int_0^x x \sum_0^x P dx, \quad \int_0^x \sum_0^x P(x^2 - a^2) dx$$

und der Differentialquotienten

$$\frac{d \sum_0^x P(x^2 - a^2)}{dx}, \quad \frac{dx \sum_0^x P(x - a)^2}{dx}$$

zu berechnen.

Nach § 4, 5) 6) hat man bei beliebigem Ausdrucke der Function  $\varphi(x, a)$

$$(1) \quad \int_0^x \sum_0^x \varphi(x, a) dx = \sum_0^x P \int_a^x \varphi(x, a) dx,$$

$$(2) \quad \frac{d \sum_0^x P \varphi(x, a)}{dx} = \sum_0^x P \frac{d \varphi(x, a)}{dx}.$$

Demgemäss folgen die Werthe der oben gegebenen Integrale

$$(3) \quad \int_0^x x \sum_0^x P dx = \sum_0^x P \int_a^x x dx = \sum_0^x P \left( \frac{x^2}{2} \right)_{x=a}^{x=x} = \frac{1}{2} \sum_0^x P(x^2 - a^2),$$

$$(4) \quad \begin{aligned} \int_0^x \sum_0^x P(x^2 - a^2) dx &= \sum_0^x P \int_0^x (x^2 - a^2) dx \\ &= \frac{1}{3} \sum_0^x P(x^3 - 3xa^2 + 2a^3) \end{aligned}$$



und die Werthe der gegebenen Differentialquotienten

$$(5) \quad \frac{d \sum_0^x P(x^2 - a^2)}{dx} = \sum_0^x P \frac{d(x^2 - a^2)}{dx} = 2x \sum_0^x P,$$

$$(6) \quad \frac{dx \sum_0^x P(x-a)^2}{dx} = \sum_0^x P \frac{d(x^3 - 2ax^2 + xa^2)}{dx} = \sum_0^x P(x-a)(3x-a).$$

Integrationen und Differentiationen von der Art 1) 2) kommen besonders in der Theorie der Biegung gerader und einfach gekrümmter Stäbe vor. Doch hat man auch in § 9 und A. 10 Beispiele solcher Differentiationen.

### Aufgabe 2. Stetig vertheilte Lasten.

Es sollen folgende Summen berechnet werden:

$$\sum_0^x Pa, \quad \sum_x^l P(l-a)$$

für eine gleichmässig vertheilte Last von  $p$  per Längeneinheit,

$$\sum_0^l (Pa(l-a)(l^2 + la - a^2))$$

für gleichmässig vertheilte Lasten  $p$  von 0 bis  $z$  und  $p'$  von  $z$  bis  $l$ ,

$$\sum_0^x P, \quad \sum_0^x P(x-a)$$

für eine stetig vertheilte Last des Gesetzes

$$p = a(l-a) \frac{4f}{l^2}$$

bei constanten  $l, f$ , wonach die  $p$  wie die Ordinaten einer Parabel durch die Punkte 0 und  $l$  mit verticaler Axe variiren.

Nach § 5, 6) haben wir bei beliebigen Streckengrenzen  $v, w$  und beliebigen Ausdrücken von  $p, \varphi(x, a)$

$$(1) \quad \sum_v^w P \varphi(x, a) = \int_v^w \varphi(x, a) p da.$$

Demgemäss erhält man für die zwei ersten der oben gegebenen Summen mit constantem  $p$

$$(2) \quad \sum_0^x Pa = p \int_0^x a da = p \left( \frac{a^2}{2} \right)_{a=0}^{a=x} = \frac{px^2}{2},$$

$$(3) \quad \sum_x^l P(l-a) = p \int_x^l (l-a) da = p \left( la - \frac{a^2}{2} \right)_{a=x}^{a=l} = \frac{p(l-x)^2}{2}.$$

Weiter ist mit  $p$  von  $a=0$  bis  $a=z$  und  $p'$  von  $a=z$  bis  $a=l$

$$\begin{aligned} \sum_0^l Pa(l-a)(l^2+la-a^2) &= p \int_0^z (l^3a - 2la^3 + a^4) da \\ &\quad + p' \int_z^l (l^3a - 2la^3 + a^4) da, \end{aligned}$$

woraus bei gleichem Vorgehen wie oben

$$(4) \quad \begin{aligned} \sum_0^l Pa(l-a)(l^2+la-a^2) &= p \left( \frac{l^3z^2}{2} - \frac{lz^4}{2} + \frac{z^5}{5} \right) \\ &\quad + p' \left( \frac{l^5}{5} - \frac{l^3z^2}{2} + \frac{lz^4}{2} - \frac{z^5}{5} \right) \end{aligned}$$

oder auch

$$(5) \quad \begin{aligned} \sum_0^l Pa(l-a)(l^2+la-a^2) &= \frac{pl^5}{5} \\ &\quad + \frac{p'}{10} (l-z)^2 (2l^3 + 4l^2z + lz^2 - 2z^3) \end{aligned}$$

und speziell wenn die Last von 0 bis  $l$  gleichmässig vertheilt ist, mit  $p' = p$  oder  $z = l$ ,

$$(6) \quad \sum_0^l Pa(l-a)(l^2+la-a^2) = \frac{pl^5}{5}.$$

Für die oben erwähnte parabolische Belastung schliesslich liefert 1) die beiden letzten verlangten Summenwerthe

$$(7) \quad \sum_0^x P = \frac{4f}{l^2} \int_0^x (l-a) a da = \frac{2f}{3l^2} x^2 (3l - 2x),$$

$$\begin{aligned} (8) \quad \sum_0^x P(x-a) &= \frac{4f}{l^2} \int_0^x (x-a)(l-a) ada \\ &= \frac{4f}{l^2} \int_0^x (lxa - la^2 - xa^2 + a^3) da = \frac{fx^3}{3l^2} (2l - x). \end{aligned}$$

Zu weiterer Uebung kann man die Formeln § 10, 4)—6) oder § 23, 6) 7) oder auch § 66, 12) 13) und andere berechnen.

### Aufgabe 3. Bewegte Lasten.

Es sollen die Differentialquotienten

$$\frac{d}{da} \sum_c^v P(z-a), \quad \frac{d}{da} \sum_0^x P(x^2-a^2), \quad \frac{d}{da} \sum_0^x Pa(x-a)^2$$

für ein zwischen den Streckengrenzen  $c$  und  $v$  bzw. 0 und  $x$  bleibendes System von Lasten  $P$  in festen Entfernungen berechnet werden.

Nach § 6, 5) hat man bei beliebigen Streckengrenzen  $v$ ,  $w$  und beliebigem Ausdrucke der Function  $\varphi(x, a)$

$$(1) \quad \frac{d}{da} \sum_v^w P \varphi(x, a) = \sum_v^w P \frac{d\varphi(x, a)}{da}.$$

Wir erhalten hieraus die verlangten Werthe

$$(2) \quad \frac{d}{da} \sum_c^v P(z-a) = \sum_c^v P \frac{d(z-a)}{da} = - \sum_c^v P,$$

$$(3) \quad \frac{d}{da} \sum_0^x P(x^2-a^2) = \sum_0^x P \frac{d(x^2-a^2)}{da} = -2 \sum_0^x Pa,$$

$$(4) \quad \frac{d}{da} \sum_0^x Pa(x-a)^2 = \sum_0^x P \frac{d(ax^2 - 2xa^2 + a^3)}{da} \\ = \sum_0^x P(x-a)(x-3a).$$

Zu weiterer Uebung kann man die Formeln § 25, 7) oder § 59, 7) 8) oder auch § 68, 14)—16) berechnen.

### Aufgabe 4. Träger mit beliebig gerichteten äusseren Kräften.

Für die Schnittkräfte und Schnittmomente ebener Träger sollen Beziehungen analog denjenigen des § 7 unter der Voraussetzung abgeleitet werden, dass die äusseren Activkräfte beliebige Richtungen in der Trägerebene haben.

Wir gehen ganz wie in § 7 vor. Zwischen den Schnitten 0 und  $s$  mögen in Punkten der Abscissen  $c_1, c_2, \dots$  und Ordinaten  $c_1, c_2, \dots$

äussere Activkräfte  $R_1, R_2, \dots$  auf den Träger kommen, deren Verticalcomponenten  $K_1, K_2, \dots$  und deren Horizontalcomponenten  $L_1, L_2, \dots$  seien. Die  $K$  und  $L$  sollen als positiv gelten, wenn sie von oben nach unten (entgegengesetzt der Richtung der wachsenden Ordinaten) bzw. von rechts nach links wirken (entgegengesetzt der Richtung der wachsenden Abscissen). Dann hat man für den beliebigen Schnitt  $s$  die resultirende Horizontalkraft (Fig. 1)

$$(1) \quad H_s = H - \sum_0^s L,$$

die resultirende Vertikalkraft

$$(2) \quad V_s = V - \sum_0^s K,$$

und das resultirende Moment hinsichtlich eines beliebigen Drehpunkts der Coordinaten  $u, w$

$$(3) \quad M_s = M + Vu - Hw - \sum_0^s K(u - e) + \sum_0^s L(w - c).$$

Auch hier bedeuten die Grenzen der  $\Sigma$  Schnitte, also im Allgemeinen nicht Abscissen.

Es sei  $R_s$  die resultirende Schnittkraft und  $\psi$  der Winkel, welchen ihre Richtung mit der Abscissenaxe bildet; dann hat man für die Componenten von  $R_s$  in beliebigen Richtungen, welche die Winkel  $\varphi$  mit der Abscissenaxe bzw. Ordinatenaxe einschliessen

$$(4) \quad N_s = V_s \sin \varphi + H_s \cos \varphi = R_s \cos (\psi - \varphi)$$

$$(5) \quad T_s = V_s \cos \varphi - H_s \sin \varphi = R_s \sin (\psi - \varphi).$$

Für den Winkel  $\psi$  gilt weiter

$$(6) \quad \operatorname{tg} \psi = \frac{V_s}{H_s}$$

und für die als Absolutwerth aufzufassende Resultante

$$(7) \quad R_s = \sqrt{H_s^2 + V_s^2} = \sqrt{N_s^2 + T_s^2} = \frac{H_s}{\cos \psi} = \frac{V_s}{\sin \psi}.$$

Wir nehmen nun rechts von Schnitt  $s$  einen Trägerpunkt der Coordinaten  $l, k$  an und durch denselben einen beliebig geformten Schnitt  $l$  so, dass zwischen den Schnitten 0 und  $l$  keine Auflager liegen. Gleichung 3) liefert dann für das Moment im Schnitte  $l$  bezüglich des Drehpunktes  $l, k$

$$M' = M + Vl - Hk - \sum_0^l K(l - e) + \sum_0^l L(k - c),$$

und hieraus folgt für die Verticalkraft im Schnitte 0

$$(8) \quad V_0 = V = \frac{1}{l} \left[ M' - M + Hk + \sum_0^l K(l - e) - \sum_0^l L(k - c) \right].$$

Durch Substitution dieses Ausdrucks in 2) erhält man mit  $s = l$  die Verticalkraft im Schnitte  $l$

$$(9) \quad V_l = -V' = \frac{1}{l} \left[ M' - M + Hk - \sum_0^l Ke - \sum_0^l L(k - c) \right].$$

Die Subtraction dieser Gleichung von 8) ergibt

$$(10) \quad V_0 - V_l = V + V' = \sum_0^l K.$$

Diese Formel drückt aus, dass die Summe der Verticalreactionen gegen einen beliebigen Trägertheil gleich der Summe der Verticalcomponenten aller äusseren Activkräfte auf denselben ist.

**Aufgabe 5. Spezielle Fälle zur vorigen Aufgabe.**

Die Formeln der vorigen Aufgabe für die am Schlusse des § 8 betrachteten Fälle zu spezialisiren.

Die Schnitte und Punkte 0,  $l$  sind ganz wie in § 8 anzunehmen. Fassen wir zunächst einen Träger mit zwei beliebigen Gelenkaufslagern ins Auge. Wegen  $M = 0$ ,  $M' = 0$  erhält man das Moment in einem beliebigen Schnitte  $s$

$$(1) \quad M_s = Vu - Hw - \sum_0^s K(u - e) + \sum_0^s L(w - c)$$

und die Verticalreactionen der Auflager

$$(2) \quad V = \frac{1}{l} \left[ \sum_0^l K(l - e) - \sum_0^l L(k - c) + Hk \right],$$

$$(3) \quad V' = \frac{1}{l} \left[ \sum_0^l Ke + \sum_0^l L(k - c) - Hk \right].$$

Die übrigen Gleichungen der Aufgabe 4 bleiben ungeändert. 1)–3) gelten für beliebige Bogen und Balken mit zwei Gelenkaufslagern und ist also der in § 8 zuletzt betrachtete Fall bereits erledigt. Der Werth des Horizontalschubs  $H$  hängt von weiteren constructiven Mitteln ab oder ergibt sich aus der Elasticitätstheorie.

Handelt es sich beispielsweise um den in § 8 behandelten Balken

mit einem verschiebbaren und einem unverschiebbaren Gelenkaufleger, so legen wir den Ursprung der Coordinaten in das Letztere und erhalten nach A. 4, 1)

$$H_i = H - \sum_0^i L = 0,$$

wonach der Horizontalschub und die Horizontalkraft in einem beliebigen Schnitte  $s$

$$(4) \quad H = \sum_0^i L, \quad H_s = \sum_i^l L.$$

Die Beziehungen 1) — 3) nehmen hiermit folgende speziellere Formen an

$$(5) \quad V = \frac{1}{l} \left[ \sum_0^i K(l - e) + \sum_0^i Lc \right],$$

$$(6) \quad V' = \frac{1}{l} \left[ \sum_0^i Ke - \sum_0^i Lc \right],$$

$$(7) \quad M_s = \frac{l-u}{l} \left[ \sum_0^i Ke - \sum_0^i Lc \right] + \frac{u}{l} \left[ \sum_i^l K(l - e) - \sum_i^l L \left( \frac{l}{u} w - c \right) \right],$$

während wir natürlich auch nach 1) — 3) mit 4) rechnen können.

Für den Balkenträger mit einem festgespannten und einem freischwebenden Ende haben wir wie im vorigen Falle nach A. 4, 1)

$$(8) \quad H = \sum_0^i L, \quad H_s = \sum_i^l L.$$

Durch Substitution des Ausdrucks für  $H$  in A. 4, 9) folgt wegen  $V' = 0$  und  $M' = 0$  das Moment im Einspannungsquerschnitt

$$(9) \quad M = \sum_0^i Lc - \sum_0^i Ke,$$

und hiermit aus A. 4, 8) die Vertikalkraft daselbst

$$(10) \quad V = \sum_0^i K.$$

Mit 8) — 10) aber liefert A. 4, 3) das Moment in einem beliebigen Schnitte  $s$

$$(11) \quad M_s = \sum_0^l K(u - e) - \sum_0^l L(w - c).$$

Lässt man die  $L$  verschwinden, so gehen alle Formeln in die entsprechenden des § 8 über.

**Beispiel 1. Curven der Momente und Verticalkräfte.**

Für den in Fig. 2 angedeuteten Träger sind zu bestimmen: a) die Stützenreactionen, b) die Verticalkräfte  $V_x$  und Momente  $M_x$  soweit, dass die Curven dieser Grössen verzeichnet werden können (Fig. 3), c) die Werthe von  $M_x$  und  $V_x$  für  $x = 4$  m.

a) Greifen bei den Abscissen  $a_1, a_2, \dots$  die Lasten  $P_1, P_2, \dots$  am Träger an, dann sind nach § 8, 8) die Stützenreactionen

$$(1) \quad V = \frac{1}{l} \sum_0^l P(l - a), \quad V' = \frac{1}{l} \sum_0^l P a,$$

wonach im vorliegenden Falle

$$V = \frac{1}{10} (6 \cdot 8 + 4 \cdot 7 + 10 \cdot 5 + 3 \cdot 2) = 13,2 \text{ tn},$$

$$V' = \frac{1}{10} (6 \cdot 2 + 4 \cdot 3 + 10 \cdot 5 + 3 \cdot 8) = 9,8 \text{ tn}.$$

Natürlich hätte man auch rechnen können

$$V' = \sum_0^l P - V = 23 - 13,2 = 9,8 \text{ tn}.$$

b) Für die Verticalkraft und das Moment in einem beliebigen Querschnitte  $x$  hat man nach § 8, 6) 7)

$$(2) \quad V_x = P - \sum_0^x P, \quad M_x = Vx - \sum_0^x P(x - a).$$

Da nun zwischen zwei aufeinanderfolgenden  $P$  die Curve der  $V_x$  horizontal und diejenige der  $M_x$  geradlinig verläuft, so können wir die erstere sofort auftragen, während zur Verzeichnung der letzteren genügt, die  $M_x$  bei den Angriffspunkten der  $P$  zu kennen. Es folgen aber aus 2)

$$\text{für } x = 2 \quad M_x = 13,2 \cdot 2 = 26,4 \text{ mtn},$$

$$\text{„ } x = 3 \quad M_x = 13,2 \cdot 3 - 6 \cdot 1 = 33,6 \text{ mtn},$$

$$\text{„ } x = 5 \quad M_x = 13,2 \cdot 5 - 6 \cdot 3 - 4 \cdot 2 = 40,0 \text{ mtn},$$

$$\text{„ } x = 8 \quad M_x = 13,2 \cdot 8 - 6 \cdot 6 - 4 \cdot 5 - 10 \cdot 3 = 19,6 \text{ mtn}.$$

c) Die Werthe aller am Träger vorkommenden Verticalkräfte liegen zwischen denjenigen bei den Stützen

$$V_0 = V = 13,2 \quad \text{und} \quad V_i = -V' = -9,8,$$

während das grösste Moment nach  $x = 5$  liegt, nämlich da, wo die Verticalkraft von

$$V_x = 13,2 - (2 + 3) = 8,2 \text{ in } V_x = 13,2 - (2 + 3 + 10) = -1,8$$

übergeht, also den Werth Null durchschreitet. Für  $x = 4$  liefert 2)

$$M_x = 13,2 \cdot 4 - 6 \cdot 2 - 4 \cdot 1 = 36,8 \text{ mtn},$$

$$V_x = 13,2 - 6 - 4 = 3,2 \text{ tn}.$$

### Beispiel 2. Träger mit Zwischenträgern.

Es sollen die Stützenreactionen  $V, V', H$  und die Stabkräfte  $O, U$  des in Fig. 4 verzeichneten Bogenträgers von 30 m Spannweite mit parabolischem (einer Parabel mit verticaler Axe eingeschriebenem) Untergurt berechnet werden: a) für die angedeutete Locomotivbelastung, b) für den Fall, dass noch eine weitere Locomotive gleicher Anordnung mit dem Schlote gegen die vorhandenen auf die Fahrbahn gestellt wird. Länge der je ein Feld überspannenden Fahrbahnträger  $\lambda = v - c = 3 \text{ m}$ .

Bezeichnen  $f$  den Pfeil und  $p$  den Parameter der Parabel des Untergurts, wird ferner der Ursprung der Coordinaten in ein Kämpfergelenke gelegt und die Abscissenaxe horizontal angenommen, so lautet die Scheitelgleichung der Parabel

$$\left(\frac{l}{2} - x\right)^2 = 2p(f - y),$$

wir erhalten für  $x = 0$

$$\frac{l^2}{4} = 2pf$$

und durch Elimination von  $p$

$$(1) \quad y = \frac{4f}{l^2} x(l - x).$$

Speziell für unsern Fall folgt mit  $l = 30, f = 5$

$$y = x \frac{30 - x}{45},$$

wonach bei

$x =$	0	3	6	9	12	15 m,
$y =$	0	1,8	3,2	4,2	4,8	5 m.



Die Resultante der Stabkräfte  $O$ ,  $U$  geht stets durch den Schnittpunkt ihrer Richtungslinien, dessen Entfernung  $d$  vom Ende des dritten Feldes sich ergibt aus

$$d : 1,8 = d + 3 : 2,8,$$

sodass  $d = 5,4$  m und die Abscisse des Schnittpunkts gleich 14,4 m ist.

Für die äusseren Kräfte des Trägers im Ganzen hat man

$$(2) \quad Vl - \sum_0^i P(l - a) = 0, \quad V'l - \sum_0^i Pa = 0$$

und für die äusseren Kräfte des Trägertheils vor dem Schnitte  $s$ , wenn der Drehpunkt für  $M_s$  in den Durchschnitt der Richtungslinien von  $O$ ,  $U$  gelegt wird und  $\sigma$  die Länge des durch  $U$  beanspruchten Stabes bedeutet,

$$(3) \quad V - \sum_0^s K + U \frac{x}{\sigma} = 0,$$

$$(4) \quad H + O + U \frac{l}{\sigma} = 0,$$

$$(5) \quad M_s = 0 = Vu - Hw - \sum_0^s K(u - e).$$

Aus diesen Gleichungen lassen sich  $U$ ,  $O$ ,  $H$  bestimmen.

Im Belastungsfall a) hat man nach 2)

$$V = \frac{1}{30} (6 \cdot 15 + 6 \cdot 13,7 + 6 \cdot 12,4 + 4 \cdot 11,2 + 5 \cdot 8,2 + 6 \cdot 4 + 6 \cdot 2,7 + 6 \cdot 1,4 + 4 \cdot 0,2) = 12,73 \text{ tn},$$

$$V' = \frac{1}{30} (6 \cdot 15 + 6 \cdot 16,3 + 6 \cdot 17,6 + 4 \cdot 18,8 + 5 \cdot 21,8 + 6 \cdot 26 + 6 \cdot 27,3 + 6 \cdot 28,6 + 4 \cdot 29,8) = 36,27 \text{ tn},$$

$$\text{Probe } \sum_0^i P = 6 \cdot 6 + 2 \cdot 4 + 5 = 49.$$

Sodann ergeben sich nach 5) 3) 4)

$$12,73 \cdot 14,4 - H \cdot 6 = 0, \quad H = 30,55 \text{ tn},$$

$$12,73 + U \frac{1}{3,16} = 0, \quad U = -40,23 \text{ tn},$$

$$30,55 + O - 40,23 \frac{3}{3,16} = 0, \quad O = 7,64 \text{ tn},$$

Bei letzteren beiden Ansätzen war zu beachten, dass  $\sigma = \sqrt{1 + 3^2} = 3,16$  m ist.

Im Belastungsfalle b) hat man

$$V = 12,73 + \frac{1}{30}(6.19 + 6.20,3 + 6.21,6 + 4.22,8 + 5.25,8) = 32,25 \text{ tn},$$

$$V' = 36,27 + \frac{1}{30}(6.11 + 6.9,7 + 6.8,4 + 4.7,2 + 5.4,2) = 43,75 \text{ tn},$$

$$\text{Probe } \sum_0^l P = 9.6 + 3.4 + 2.5 = 76,$$

und da nun nach § 10, 1)

$$(6) \quad \sum_0^i K = \sum_0^c P + \frac{1}{l} \sum_c^v P(v-a),$$

$$(7) \quad \sum_0^i K(u-e) = \sum_0^c P(u-a) + \frac{u-c}{l} \sum_c^v P(v-a),$$

so folgen weiter

$$32,25.14,4 - H.6 - 5.10,2 - \frac{8,4}{3}(4.1,8 + 6.0,6) = 0, \quad H = 63,86 \text{ tn},$$

$$32,25 - 5 - \frac{1}{3}(4.1,8 + 6.0,6) + U \frac{1}{3,16} = 0, \quad U = -74,73 \text{ tn},$$

$$63,86 + 0 - 74,73 \frac{8}{3,16} = 0, \quad O = -7,08 \text{ tn}.$$

### Beispiel 3. Ermittlung von Influenzlinien.

Für den im vorigen Beispiele behandelten Träger sind die Influenzlinien der Kräfte  $V$ ,  $V'$ ,  $H$ ,  $U$ ,  $O$  zu verzeichnen.

Da die Fahrbahnträger von Feldlänge sind, so verläuft die Influenzlinie nach § 11 zwischen je zwei aufeinanderfolgenden Knotenpunkten geradlinig. Bezüglich der Rechnung mit den Fahrbahnlasten  $P$  wird auf den in § 10 hervorgehobenen Satz verwiesen.

Für eine an beliebiger Stelle  $a$  auf die Fahrbahn kommende Last  $P$  haben wir

$$V = P \frac{l-a}{l}, \quad V' = P \frac{a}{l}.$$

Die Gleichungen der Influenzlinien von  $V$ ,  $V'$  folgen daraus mit  $P=1$

$$(1) \quad b = \frac{l-a}{l}, \quad b = \frac{a}{l}.$$

In Fig. 5 sind die Linien verzeichnet.

Zur Bestimmung der Influenzlinien von  $H$  hat man für eine bei  $a$  auf die Fahrbahn kommende Kraft  $P$ , wenn  $a < c$

$$Vu - Hw - P(u - a) = 0$$

und wenn  $a > v$

$$Vu - Hw = 0$$

Nach Einsetzen des obigen Ausdrucks von  $V$  liefern diese Gleichungen

$$\frac{l-u}{l} Pa - Hw = 0 \quad \frac{l-a}{l} Pu - Hw = 0$$

woraus mit  $P = 1$  die Gleichung der Influenzlinie von  $H$  allgemein und bei den gegebenen Dimensionen folgen:

$$(2) \quad \begin{cases} \text{für } a < c & b = \frac{l-u}{l} \frac{a}{w} = 0,087 a, \\ \text{für } a > v & b = \frac{l-a}{l} \frac{u}{w} = 2,4 - 0,08 a, \end{cases}$$

Die Influenzlinie verläuft hiernach und mit Rücksicht auf das Anfangs Gesagte auf den Strecken 0 bis  $c$ ,  $c$  bis  $v$ ,  $v$  bis  $l$  geradlinig. Zur Verzeichnung in Fig. 6 genügt zu berechnen

$$\begin{aligned} \text{für } a = c & \quad b = 0,087 \cdot 6 = 0,52 \text{ tn}, \\ \text{für } a = v & \quad b = 2,4 - 0,08 \cdot 9 = 1,68 \text{ tn}. \end{aligned}$$

Behufs Ermittlung der Influenzlinie von  $U$  hat man für eine bei  $a$  auf die Fahrbahn wirkende Last  $P$ , wenn  $a < c$

$$V - P + U \frac{x}{\sigma} = 0$$

und wenn  $a > v$

$$V + U \frac{x}{\sigma} = 0.$$

Nach Einsetzen von  $V$  folgen daraus

$$-P \frac{a}{l} + U \frac{x}{\sigma} = 0, \quad P \frac{l-a}{l} + U \frac{x}{\sigma} = 0$$

und mit  $P = 1$  als Gleichung der Influenzlinie von  $U$ :

$$(3) \quad \begin{cases} \text{für } a < c & b = \frac{\sigma}{x} \frac{a}{l} = 0,105 a, \\ \text{für } a > v & b = -\frac{l-a}{l} \frac{\sigma}{x} = -3,16 + 0,105 a. \end{cases}$$

Auch hier verläuft die Influenzlinie auf den Strecken 0 bis  $c$ ,  $c$  bis  $v$ ,  $v$  bis  $l$  geradlinig. Zur Verzeichnung in Fig. 7 wurden berechnet

$$\begin{aligned} \text{für } a = c & \quad b = 0,105 \cdot 6 = 0,63 \text{ tn}, \\ \text{für } a = v & \quad b = -3,16 + 0,105 \cdot 9 = -2,22 \text{ tn}. \end{aligned}$$

Für die Stabkraft  $O$  hat man bei jeder Belastung

$$H + O + U \frac{l}{\sigma} = 0$$

und speziell einer bei  $a$  angreifenden Last  $P$  entsprechend, mit obigen  $H$ ,  $U$ , wenn  $a < c$

$$P \frac{a}{l} \left( \frac{l-u}{l} + \frac{l}{\sigma} \right) + O = 0$$

und wenn  $a > v$

$$P \frac{l-a}{l} \left( \frac{u}{w} - \frac{l}{\sigma} \right) + O = 0.$$

Wir erhalten mit  $P = 1$  als Gleichung der Influenzlinie von  $O$ :

$$(4) \quad \begin{cases} \text{für } a < c & b = - \left( \frac{l-u}{w} + \frac{l}{\sigma} \right) \frac{a}{l} = -0,187 a, \\ \text{für } a > v & b = \left( \frac{l}{\sigma} - \frac{u}{w} \right) \frac{l-a}{l} = 0,6 - 0,02 a. \end{cases}$$

Zur Verzeichnung der wieder aus drei geraden Strecken bestehenden Linie in Fig. 8 genügen

$$\begin{aligned} \text{für } a = c & \quad b = -0,187 \cdot 9 = -1,12 \text{ tn}, \\ \text{für } a = v & \quad b = 0,6 - 0,02 \cdot 9 = 0,42 \text{ tn}. \end{aligned}$$

#### Aufgabe 6. Ermittlung von Influenzlinien.

Es sollen bestimmt werden: a) die Influenzlinien der Stützenreactionen des einfachen Balkenträgers mit zwei Gelenkauflagern; b) die Influenzlinien sämtlicher Stabkräfte des in Fig. 9 angedeuteten Trägers dieser Art, bei welchem die Fahrbahnträger von Feldlänge sind.

a) Für die von beliebigen Lasten  $P$  bei Abscissen  $a$  herrührenden Stützenreactionen des einfachen Balkenträgers mit zwei Gelenkaulagern hat man nach § 10

$$V = \frac{1}{l} \sum_0^l P(l-a), \quad V' = \frac{1}{l} \sum_0^l Pa.$$

Hieraus folgen die Gleichungen der Influenzlinien von  $V$  und  $V'$

$$b = \frac{l-a}{l}, \quad b = \frac{a}{l}.$$

Die Linien sind in Fig. 5 verzeichnet.

b) Wie sich in Aufgabe 18 zeigen wird, hat man bei beliebiger Belastung der Fahrbahn, wenn die  $K$  entsprechende Knotenpunktslasten bedeuten, die Stabkräfte

$$\begin{aligned}
 V_1 &= -K_1 & Y_1 &= K_1 \frac{3d_1}{4h} & Z_1 &= K_1 \frac{d_3}{4h} \\
 V_2 &= -K_2 & Y_2 &= K_2 \frac{d_2}{2h} & Z_2 &= K_2 \frac{d_3}{2h} \\
 V_3 &= -K_3 & Y_3 &= K_3 \frac{d_3}{4h} & Z_3 &= K_3 \frac{3d_3}{4h} \\
 X &= -(3K_1 + 4K_2 + 3K_3) \frac{\lambda}{4h},
 \end{aligned}$$

worin  $\lambda$ ,  $h$  und  $d_1$ ,  $d_2$ ,  $d_3$  die Längen der horizontalen, verticalen und durch  $Y_1$ ,  $Y_2$ ,  $Y_3$  beanspruchten Stäbe sind. Demnach liefert eine Last  $P=1$

bei	$a =$	0	$\lambda$	$2\lambda$	$3\lambda$	$l$
	$V_1 =$	0	-1	0	0	0
	$V_2 =$	0	0	-1	0	0
	$V_3 =$	0	0	0	-1	0
	$Y_1 =$	0	$\frac{3d_1}{4h}$	0	0	0
	$Y_2 =$	0	0	$\frac{d_2}{2h}$	0	0
	$Y_3 =$	0	0	0	$\frac{d_3}{4h}$	0
	$Z_1 =$	0	$\frac{d_3}{4h}$	0	0	0
	$Z_2 =$	0	0	$\frac{d_2}{2h}$	0	0
	$Z_3 =$	0	0	0	$\frac{3d_1}{4h}$	0
	$X =$	0	$-\frac{3\lambda}{4h}$	$-\frac{\lambda}{h}$	$-\frac{3\lambda}{4h}$	0

Da nun die Influenzlinien zwischen zwei aufeinanderfolgenden Knotenpunkten geradlinig verlaufen (§ 14), so können dieselben nach vorstehenden Angaben verzeichnet werden. In Fig. 10 ist dies für die Stabkräfte der ersten Trägerhälfte geschehen, während die Influenzlinien für  $Z_1$ ,  $Z_2$ ,  $Z_3$ ,  $V_3$  symmetrisch zu derjenigen von  $Y_1$ ,  $Y_2$ ,  $Y_3$ ,  $V_1$  liegen.

**Aufgabe 7. Gewöhnliche (insbesondere vollwandige) Balkenträger mit beliebiger Belastung.**

Für stabförmige Balkenträger mit zwei Gelenkaufagern seien die Momente  $M_s$  auf die Axpunkte ihrer Schnitte  $s$  bezogen und

diese vertical oder so klein, dass allgemein  $\sum_0^x K = \sum_0^x K$  gesetzt werden kann, wenn  $x$  die Abscisse des Axpunktes vom Schnitte  $s$  bedeutet. Das Moment und die Verticalkraft eines beliebigen Schnittes auszudrücken: a) im allgemeinsten Falle; b) wenn die Verkehrslast direct auf die betrachteten Träger wirkt; c) wenn die Verkehrslast zunächst auf Zwischenträger kommt; d) für das Eigengewicht allein ohne und mit Rücksicht auf Zwischenträger.

a) Es mögen, wie für stabförmige Träger üblich, die Schnitte  $s$  durch die Abscissen ihrer Axpunkte bezeichnet sein. Dann hat man nach § 8, 6) 7) das Moment und die Verticalkraft bei  $x$  für jede Belastung

$$(1) \quad M_x = \frac{l-x}{l} S + \frac{x}{l} S', \quad V_x = \frac{1}{l} (S' - S),$$

worin  $S, S'$  die statischen Momente der Lasten, welche von 0 bis  $x$  bzw. von  $x$  bis  $l$  wirklich auf den Träger kommen, in Hinsicht der Punkte 0 und  $l$ . Bezeichnen  $\mathfrak{M}_x, \mathfrak{B}_x$  die Beiträge des Eigengewichts zu  $M_x, V_x$ , während  $S, S'$  sich allein auf die Verkehrslast beziehen, so können wir setzen

$$(2) \quad M_x = \mathfrak{M}_x + \frac{l-x}{l} S + \frac{x}{l} S', \quad V_x = \mathfrak{B}_x + \frac{1}{l} (S' - S).$$

Für  $x=0$  erhält man als  $V = V_0$  stets auch die Stützenreaction bei 0 und ebenso mit  $x=l$  als  $V' = -V_l$  die Stützenreaction bei  $l$ .

b) Kommen die Verkehrslasten  $P_1, P_2, \dots$  bei den Abscissen  $a_1, a_2, \dots$  direct auf den betrachteten Träger, so liefert 2)

$$(3) \quad \begin{cases} M_x = \mathfrak{M}_x + \frac{l-x}{l} \sum_0^x P a + \frac{x}{l} \sum_x^l P (l-a), \\ V_x = \mathfrak{B}_x - \frac{1}{l} \sum_0^x P a + \frac{1}{l} \sum_x^l P (l-a). \end{cases}$$

c) Wirken dagegen die Verkehrslasten  $P_1, P_2, \dots$  bei  $a_1, a_2, \dots$  zunächst auf Zwischenträger und bezeichnen  $K_1, K_2, \dots$  die von ihnen allein herrührenden Knotenpunktslasten bei  $e_1, e_2, \dots$  dann folgen aus 2)

$$(4) \quad \begin{cases} M_x = \mathfrak{M}_x + \frac{l-x}{l} \sum_0^x K e + \frac{x}{l} \sum_x^l K (l-e) \\ V_x = \mathfrak{B}_x - \frac{1}{l} \sum_0^x K e + \frac{1}{l} \sum_x^l K (l-e) \end{cases}$$

oder wegen § 10, 2)

$$(5) \quad \left\{ \begin{aligned} M_x &= \mathfrak{M}_x + \frac{l-x}{l} \sum_0^c Pa + \left( \frac{x}{l} - \frac{x-c}{v-c} \right) \sum_c^v P(z-a) \\ &\quad + \frac{x}{l} \sum_v^l P(l-a) \\ \text{mit } z &= \frac{v-c}{cl-x(l-v+c)} cl, \end{aligned} \right.$$

$$(6) \quad \left\{ \begin{aligned} V_x &= \mathfrak{B}_x - \frac{1}{l} \sum_0^c Pa + \left( \frac{1}{l} - \frac{1}{v-c} \right) \sum_c^v P(z-a) \\ &\quad + \frac{1}{l} \sum_v^l P(l-a) \\ \text{mit } z &= \frac{cl}{l-v+c}. \end{aligned} \right.$$

Hierin bedeuten  $c, v$  die Abscissen derjenigen Knotenpunkte, bei welchen der vom Schnitte  $x$  getroffene Fahrbahnträger aufliegt.

d) Wenn das Eigengewicht mit  $g$  per Längeneinheit als gleichmässig vertheilt auf den Hauptträger gelten soll, so hat man nach 1) mit A. 2, 2) 3)

$$(7) \quad \mathfrak{M}_x = \frac{g}{2} x(l-x), \quad \mathfrak{B}_x = g \left( \frac{l}{2} - x \right).$$

Diese Ausdrücke werden am meisten verwendet und sind besonders bei Ueberwiegen des Hauptträgergewichts berechtigt.

Wenn dagegen das Eigengewicht mit  $g$  per Längeneinheit als gleichmässig vertheilt auf die Fahrbahn gelten soll, dann ergeben sich aus 1) mit § 10, 5)

$$(8) \quad \mathfrak{M}_x = \frac{g}{2} [x(l-c-v) + cv], \quad \mathfrak{B}_x = \frac{g}{2} (l-c-v).$$

Diese Gleichungen können bei Ueberwiegen des Fahrbahngewichts (am ehesten bei Strassenbrücken) in Frage kommen.

Wenn schliesslich ein Theil des Eigengewichts von  $h$  per Längeneinheit gleichmässig vertheilt auf den Hauptträger ist (Eigengewicht desselben), während andre Theile des Eigengewichts als Knotenpunktslasten  $G_1, G_2, \dots$  bei  $e_1, e_2, \dots$  angreifen, so folgen

$$(9) \quad \left\{ \begin{aligned} \mathfrak{M}_x &= \frac{h}{2} x(l-x) + \frac{l-x}{l} \sum_0^x Ge + \frac{x}{l} \sum_x^l G(l-e), \\ \mathfrak{B}_x &= h \left( \frac{l}{2} - x \right) - \frac{1}{l} \sum_0^x Ge + \frac{1}{l} \sum_x^l G(l-e). \end{aligned} \right.$$

Die für den Fall von Zwischenträgern abgeleiteten Gleichungen 5) 6) 8) nehmen bei Anwendung auf Schnitte  $x$  durch Knotenpunkte mit  $c = v = x$  dieselben Formen an, welche ohne Vorhandensein von Zwischenträgern gelten. Daher: *Für diejenigen Schnitte  $x$ , welche mit Knotenpunkten zusammenfallen, kann bei Berechnung der  $M_x$ ,  $V_x$  ganz so verfahren werden, als ob gar keine Zwischenträger vorhanden wären.* Dies gilt beispielsweise für die Stützenreactionen  $V = V_0$ ,  $V' = -V_l$ , da bei 0 und  $l$  immer Knotenpunkte liegen, wenn Zwischenträger vorhanden sind.

#### Aufgabe 8. Gewöhnliche Balkenträger. Influenzlinien.

Für den in Aufgabe 7 behandelten Träger sind die Influenzlinien des Moments  $M_x$  und der Verticalkraft  $V_x$  zu bestimmen: a) unter Voraussetzung direct auf den Träger wirkender Verkehrslast, b) für den Fall, dass die Verkehrslast durch Zwischenträger übertragen wird.

Wir bleiben bei den Bezeichnungen der Aufgabe 7. Die Influenzlinie einer Grösse  $B$  entsteht, wenn bei jeder Abscisse  $a$  die Ordinate  $b$  gleich dem Factor gemacht wird, mit welchem  $P$  für diese Stelle  $a$  im allgemeinen Ausdrucke von  $B$  multiplicirt erscheint.

Direct wirkende Verkehrslast. Nun haben wir für unmittelbar auf den betrachteten Träger wirkende Verkehrslasten  $P$  nach A. 7, 3)

$$(1) \quad \begin{cases} M_x = \mathfrak{M}_x + \frac{l-x}{l} \sum_0^x Pa + \frac{x}{l} \sum_x^l P(l-a) \\ V_x = \mathfrak{B}_x - \frac{1}{l} \sum_0^x Pa + \frac{1}{l} \sum_x^l P(l-a). \end{cases}$$

Daher muss sein

$$\begin{array}{ll} \text{von } a=0 \text{ bis } a=x, & \text{von } a=x \text{ bis } a=l, \\ \text{für } M_x & b = \frac{l-x}{l} a, \quad b = \frac{l-a}{l} x, \\ \text{„ } V_x & b = -\frac{a}{l}, \quad b = \frac{l-a}{l}, \end{array}$$

und es ergeben sich folgende Constructionen (Fig. 11, 12): Man trage  $00_1 = x$  bei 0 als Ordinate an, ziehe  $l0_1$ , errichte in  $x$  das Perpendikel  $xx_1$ , welches die Gerade  $l0_1$  bei  $x_1$  schneidet und verbinde 0 mit  $x_1$ , dann ist  $0x_1l$  die Influenzlinie für  $M_x$ . — Trägt man ferner bei 0 und  $l$  bezw.  $00_1 = 1$ ,  $l1_1 = -1$  als Ordinaten an, zieht  $0l_1$ ,  $l0_1$  und in  $x$  bis zu den Schnittpunkten mit diesen Geraden das Perpendikel  $x_1x_2$ , dann ist  $0x_1x_2l$  die Influenzlinie für  $V_x$ . Mit



$x = 0$  entsteht, daraus die Influenzlinie Fig. 13 für die Stützenreaction  $V = V_x$ .

**Indirect wirkende Verkehrslast.** Kommt die Verkehrslast zunächst auf ein System von Zwischenträgern, so hat man nach A. 7, 5) 6)

$$(2) \quad \left\{ \begin{array}{l} M_x = \mathfrak{M}_x + \frac{l-x}{l} \sum_0^c Pa + \left( \frac{x}{l} - \frac{x-c}{v-c} \right) \sum_c^v P(z-a) \\ \quad \quad \quad + \frac{x}{l} \sum_v^l P(l-a), \\ V_x = \mathfrak{B}_x - \frac{1}{l} \sum_0^x Pa + \left( \frac{1}{l} - \frac{1}{v-c} \right) \sum_c^v P(z-a) \\ \quad \quad \quad + \frac{1}{l} \sum_v^l P(l-a). \end{array} \right.$$

Es sind hiernach die Ordinaten der Influenzlinien

von  $a = 0$  bis  $a = c$ ,      von  $a = v$  bis  $a = l$ ,

für  $M_x$        $b = \frac{l-x}{l} a$ ,       $b = \frac{l-a}{l} x$ ,

„  $V_x$        $b = -\frac{a}{l}$ ,       $b = \frac{l-a}{l}$ .

Die Influenzlinien verlaufen auf den Strecken 0 bis  $c$  und  $v$  bis  $l$  ganz wie ohne Vorhandensein von Zwischenträgern, und da der Beitrag einer Last  $P = 1$  nach 2) oder § 11 auch zwischen  $c$  und  $v$  mit  $a$  der Gleichung einer geraden Linie entsprechend variiert, so besteht die Abweichung der Influenzlinien gegenüber deren Verlauf im obigen Falle lediglich darin, dass nur ihre auf den Verticalen in  $c$  und  $v$  liegenden Punkte  $c_1, v_1$  durch gerade Linien verbunden sind (Fig. 14, 15). Die Abscissen  $z$  entsprechen nach 2) den Durchschnittspunkten der Geraden  $c_1 v_1$  mit der Abscissenaxe.

Mit  $c = v = x$  gehen die jetzt gefundenen Influenzlinien in die oben erhaltenen über. Wir haben diesen Fall für diejenigen Schnitte, welche mit Knotenpunkten zusammenfallen. Beispielsweise bleibt die Influenzlinie der Stützenreaction  $V = V_0$  durch Fig. 13 bestimmt.

#### Aufgabe 9. Gewöhnliche Balkenträger. Bewegte Radlastzüge.

Für den in Aufgabe 7 behandelten Balkenträger mit zwei Gelenkaufslagern sind die Grenzwerte von  $M_x$  und  $V_x$  bei verschiedenen möglichen Radlastzügen unter der Voraussetzung abzuleiten, dass diese bewegte Lasten direct auf den betrachteten Träger wirken.

Nach A. 7, 3) haben wir für jede bestimmte Belastung

$$(1) \quad M_x = \mathfrak{M}_x + \frac{l-x}{l} \sum_0^x Pa + \frac{x}{l} \sum_x^l P(l-a),$$

$$(2) \quad V_x = \mathfrak{B}_x - \frac{1}{l} \sum_0^x Pa + \frac{1}{l} \sum_x^l P(l-a).$$

Die Beiträge  $\mathfrak{M}_x$ ,  $\mathfrak{B}_x$  der festen Last sind in Aufgabe 7 für alle Fälle bestimmt. Gewöhnlich kommen im vorliegenden Falle die Ausdrücke A. 7, 7) zur Verwendung.

Bewegt sich ein beliebiges System gleichzeitig auf dem Träger Platz findender Lasten in festen Entfernungen um unendlich wenig weiter, so ändern sich die Abscissen  $a_1, a_2, \dots$  aller  $P$  um das gleiche  $da$ , wir erhalten nach der Anleitung in § 6

$$(3) \quad \frac{dM_x}{da} = \frac{l-x}{l} \sum_0^x P - \frac{x}{l} \sum_x^l P = \sum_0^x P - \frac{x}{l} \sum_0^l P,$$

$$(4) \quad \frac{dV_x}{da} = -\frac{1}{l} \sum_0^x P - \frac{1}{l} \sum_x^l P = -\frac{1}{l} \sum_0^l P.$$

Die Bedingung für das Maximum von  $M_x$  lautet daher

$$(5) \quad \sum_0^x P = \frac{x}{l} \sum_0^l P.$$

Dasselbe tritt ein, wenn diejenige Last  $P_x$  bei  $x$  anlangt, bei welcher die Summe der von 0 nach  $l$  hin addirten Lasten des bewegten Systems den Werth  $\frac{x}{l} \sum_0^l P$  durchschreitet. Für mathematische Maxima und Minima von  $V_x$  müsste sein

$$-\frac{1}{l} \sum_0^l P = 0.$$

Da dies für wirkliche Lasten  $P$  nicht möglich ist, so existiren keine mathematischen Maxima und Minima der Verticalkraft  $V_x$ .

Es handelt sich nun aber darum, die Grenzwerte von  $M_x$  und  $V_x$  bei verschiedenen möglichen Lastsystemen festzustellen. Ein Blick auf die Influenzlinien Fig. 11–13, oder die Formeln 1) 2) genügt, um den Einfluss der Lasten  $P$  an beliebigen Stellen  $a$  zu übersehen. Für  $M_x$  tragen alle  $P$  in gleichem Sinne bei und zwar umsomehr, jemehr sich dieselben dem Schnitte  $x$  nähern; für  $V_x$  erhalten wir

von 0 bis  $x$  negative, von  $x$  bis  $l$  positive Beiträge, dem Zahlenwerthe nach aber wieder um so grössere, je näher die Last an den Schnitt  $x$  gelangt. Die Beiträge sind stets proportional den Grössen der Lasten. Es ergeben sich hiernach folgende Berechnungsmethoden.

*Momente.* Wir bringen einen Lastzug I, welcher möglichst grosse Lasten möglichst dicht um ein Rad  $O$  enthält, in solcher Richtung auf den Träger, dass mit  $O$  über  $x$  die ungünstigste Zugseite von  $O$  aus auf die längste Trägerstrecke von  $x$  aus käme, bestimmen die ungünstigste Stellung mit Hülfe von 5) und erhalten für dieselbe  $\max M_x$  nach 1). Der zweite Grenzwert ist  $\min M_x = \mathfrak{M}_x$ . — Für den gewöhnlichen Fall, dass die feste Last zur Mitte symmetrisch liegt, braucht man wegen

$$(6) \quad \max M_x = \max M_{l-x}, \quad \mathfrak{M}_x = \mathfrak{M}_{l-x}$$

nur eine Trägerhälfte zu berechnen, andernfalls gilt dies wenigstens bezüglich des Beitrags der Verkehrslast. — Bei Unsicherheit über die ungünstigste Zugrichtung wären beide Richtungen zu probiren.

*Vertikalkraft.* Ein Lastsystem II, welches möglichst grosse Lasten möglichst dicht beim Vorderrad  $O$  enthält, sei in der Richtung von  $l$  nach 0 kommend mit dem Vorderrad  $O$  bis  $x$  gelangt. Wir erhalten dann nach 2)

$$(7) \quad \text{pos max } V_x = \mathfrak{B}_x + \frac{1}{l} \sum_x^l P(l-a).$$

Dasselbe Lastsystem, in der Richtung von 0 nach  $l$  fahrend, mit dem Vorderrade  $O$  bis  $x$  gelangt, liefert den zweiten Grenzwert

$$(8) \quad \text{neg max } V_x = \mathfrak{B}_x - \frac{1}{l} \sum_0^x Pa.$$

Mit den Grenzwerten von  $V_0 = V$  haben wir auch diejenigen der Stützenreaction bei 0

$$(9) \quad \max V = \mathfrak{B} + \frac{1}{l} \sum_0^l P(l-a), \quad \min V = \mathfrak{B}.$$

Für symmetrisch zur Trägermitte liegende feste Last genügt wegen

$$(10) \quad \text{neg max } V_x = -\text{pos max } V_{l-x}, \quad \mathfrak{B}_x = -\mathfrak{B}_{l-x}$$

die Berechnung der positiven  $\max V_x$ , im anderen Falle gilt dies nur hinsichtlich der Beiträge der Verkehrslast.

*Bemerkungen.* Nach 5) tritt  $\max M_x$  im Augenblicke der Ankunft eines Rades bei  $x$  oder bei Aenderung des Lastsystems auf

dem Träger ein, weil nur dann Aenderungen von  $\sum_0^x P$ ,  $\sum_0^l P$  entstehen. Es gibt jedoch für jedes gleichzeitig auf dem Träger Platz findende bewegte System  $P_1, P_2 \dots P_n$  eine Anzahl Schnitte  $x$ , welche ihr  $\max M_x$  vom erwähnten Augenblicke an solange beibehalten, bis das nächste Rad nach  $x$  gelangt, weil eben die Bedingung 5) solange erfüllt bleibt. Diese Schnitte finden sich aus

$$(11) \quad \frac{x}{l} \sum_0^l P = P_1, P_1 + P_2, \dots P_1 + P_2 + P_{n-1}:$$

$$x = \frac{P_1}{\sum_0^l P} l, \quad \frac{P_1 + P_2}{\sum_0^l P} l, \quad \frac{P_1 + \dots + P_{n-1}}{\sum_0^l P} l.$$

Aus 5) folgt unmittelbar auch ein graphisches Verfahren (Fig. 16) zur Bestimmung der für  $\max M_x$  gültigen Stellung eines gegebenen Lastsystems: Man trage die  $P$  der Reihe nach von  $l$  aus senkrecht auf, verbinde 0 mit dem Endpunkte  $l_1$ , errichte in  $x$  das Perpendikel  $xx_1$  bis zum Schnittpunkte  $x_1$  mit  $Ol_1$  und ziehe von  $x_1$  aus eine Parallele zu  $Ol$  nach  $ll_1$  hin; die Last, welche getroffen wird, muss über  $x$  stehen. — Trifft die Parallele gerade den Grenzpunkt zweier Lasten, so darf man jede derselben über  $x$  bringen oder sie beliebig zu beiden Seiten stellen, wir haben es dann mit einem der Schnitte 11) zu thun. Die in Fig. 17 angedeutete Bestimmung der letzteren bedarf hiernach keiner weiteren Erklärung.

Liesse sich nur ein Lastsystem II mit verhältnissmässig kleiner oder von der nächsten weit abliegender Last  $O$  bilden, so wäre denkbar, dass die  $\max V_x$  erst eintreten, wenn das zweite Rad bei  $x$  anlangt. Denn wenn zwar  $O$  letzterenfalls in entgegengesetztem Sinne wie die übrigen Lasten wirkt, so kommen doch diese mit grösseren Beiträgen zur Geltung und dieser Einfluss kann überwiegen. Bei Brückenträgern treten solche Fälle nicht ein, eventuell wären, wie auch sonst in Zweifelsfällen, Proberechnungen vorzunehmen, wobei die Influenzlinien gute Dienste leisten.

Ausführlicheres über die Maximalmomente gewöhnlicher Balkenträger mit und ohne Zwischenträger bei festen und bewegten Lastsystemen enthält ein Aufsatz des Verfassers, Zeitschrift d. Hannöv. Arch. u. Ing. Vereins 1875.

#### Beispiel 4. Zur vorigen Aufgabe.

Eine durch gewöhnliche Balkenträger von  $l = 10$  m Spannweite gebildete eingeleisige Brücke wird von Locomotiven der in Fig. 18

skizzirten Radanordnung befahren. Die Radlasten wirken direct auf die Brückenträger, das Eigengewicht soll mit  $g = 0,6$  tn pro laufenden Meter Brückenträger als gleichmässig vertheilt auf die Letzteren gelten. Die Grenzwerthe des Momentes  $M_x$  und der Verticalkraft  $V_x$  für Querschnitte  $x$  in Abständen von je 1 m zu berechnen.

Da die Bufferlänge der angenommenen Maschine 11 m und die Entfernung vom Ende bis zur nächsten Radaxe noch mindestens 2 m beträgt, so können entweder zwei Maschinen theilweise oder eine vollständig auf dem Träger Platz finden. Sowohl für die  $M_x$  als für die  $V_x$  wirkt eine Maschine ungünstiger.

Momente. Nach A. 7, 3) 7) hat man für den vorliegenden Fall bei jeder Belastung

$$(1) \quad M_x = \mathfrak{M}_x + \frac{l-x}{l} \sum_0^x Pa + \frac{x}{l} \sum_x^l P(l-a),$$

$$(2) \quad \mathfrak{M}_x = \frac{g}{2} x(l-x).$$

Zur Erzeugung der  $\max M_x$  auf der ersten Trägerhälfte lassen wir die Maschine mit dem Schlote vorn von  $l$  nach 0 hin fahren. Das Moment  $\max M_x$  tritt dann ein, wenn dasjenige Rad  $P_x$  bei  $x$  anlangt, mit welchem in

$$(3) \quad \sum_0^x P = \frac{x}{l} \sum_0^l P$$

die Summe links den Werth rechts durchschreitet.

Gesammtlast des bewegten Systems für einen Träger, wenn die ganze Maschine auf der Brücke steht,  $\sum_0^l P = 3 \cdot 6 + 4 + 5 = 27$ , also  $\frac{1}{l} 27 = 2,7$ . Für  $x = 1$  ist  $2,7x = 2,7$ ,  $P_x = P_1$  und mit  $\mathfrak{M}_x = 0,3 \cdot 1 \cdot 9 = 2,7$

$$\begin{aligned} \max M_x &= 2,7 + \frac{1}{10} [6(9 + 7,7 + 6,4) + 4 \cdot 5,2 + 5 \cdot 2,2] \\ &= 2,7 + 17,04 = 19,74 \text{ mtn.} \end{aligned}$$

Für  $x = 2$  ist  $2,7x = 5,4$ ,  $P_x = P_1$  und mit  $\mathfrak{M}_x = 0,3 \cdot 2 \cdot 8 = 4,8$

$$\begin{aligned} \max M_x &= 4,8 + \frac{2}{10} [6(8 + 6,7 + 5,4) + 4 \cdot 4,2 + 5 \cdot 1,2] \\ &= 4,8 + 28,68 = 33,48 \text{ mtn.} \end{aligned}$$

Für  $x = 3$  ist  $2,7x = 8,1$ ,  $P_x = P_2$  und mit  $\mathfrak{M}_x = 0,3 \cdot 3 \cdot 7 = 6,3$

$$\begin{aligned}\max M_x &= 6,3 + \frac{7}{10} 6 \cdot 1,7 + \frac{8}{10} [6(7 + 5,7) + 4 \cdot 4,5 + 5 \cdot 1,5] \\ &= 6,3 + 37,65 = 43,95 \text{ mtn.}\end{aligned}$$

Für  $x = 4$  ist  $2,7x = 10,8$ ,  $P_x = P_2$  und mit  $\mathfrak{M}_x = 0,3 \cdot 4 \cdot 6 = 7,2$

$$\begin{aligned}\max M_x &= 7,2 + \frac{6}{10} 6 \cdot 2,7 + \frac{4}{10} [6(6 + 4,7) + 4 \cdot 3,5 + 5 \cdot 0,5] \\ &= 7,2 + 42,00 = 49,20 \text{ mtn.}\end{aligned}$$

Für  $x = 5$  ist  $2,7x = 13,5$ ,  $P_x = P_3$  und mit  $\mathfrak{M}_x = 0,3 \cdot 5 \cdot 5 = 7,5$

$$\begin{aligned}\max M_x &= 7,5 + \frac{5}{10} [6(5 + 3,7 + 2,4) + 4 \cdot 3,8 + 5 \cdot 0,8] \\ &= 7,5 + 42,90 = 50,40 \text{ mtn.}\end{aligned}$$

Wegen  $\max M_x = \max M_{l-x}$  hat man für

$$\begin{array}{ccccccc} x = & 6 & 7 & 8 & 9 & m \\ \max M_x = & 49,20 & 43,95 & 33,48 & 19,74 & \text{mtn.} \end{array}$$

**Vertikalkräfte.** Die positiven  $\max V_x$  entstehen, wenn die Maschine mit dem Schlote vorn in der Richtung von  $l$  nach 0 fahrend mit dem Vorderrade bei  $x$  anlangt. Man hat dann nach A. 9, 7) und A. 7, 7)

$$(4) \quad \text{pos max } V_x = \mathfrak{B}_x + \frac{1}{l} \sum_x^l P(l-a)$$

$$(5) \quad \mathfrak{B}_x = g \left( \binom{l}{x} - x \right)$$

und erhält für  $x = 0$  mit  $\mathfrak{B}_0 = 0,6 \cdot 5 = 3,0$

$$\begin{aligned}\text{pos max } V_x &= 3,0 + \frac{1}{10} [6(10 + 8,7 + 7,4) + 4 \cdot 6,2 + 5 \cdot 3,2] \\ &= 3,0 + 19,74 = 22,74 \text{ tn,}\end{aligned}$$

für  $x = 1$  mit  $\mathfrak{B}_x = 0,6 \cdot 4 = 2,4$

$$\begin{aligned}\text{pos max } V_x &= 2,4 + \frac{1}{10} [6(9 + 7,7 + 6,4) + 4 \cdot 5,2 + 5 \cdot 2,2] \\ &= 2,4 + 17,04 = 19,44 \text{ tn,}\end{aligned}$$

für  $x = 2$  mit  $\mathfrak{B}_x = 0,6 \cdot 3 = 1,8$

$$\begin{aligned}\text{pos max } V_x &= 1,8 + \frac{1}{10} [6(8 + 6,7 + 5,4) + 4 \cdot 4,2 + 5 \cdot 1,2] \\ &= 1,8 + 14,34 = 16,14 \text{ tn,}\end{aligned}$$

für  $x = 3$  mit  $\mathfrak{B}_x = 0,6 \cdot 2 = 1,2$

$$\begin{aligned}\text{pos max } V_x &= 1,2 + \frac{1}{10} [6(7 + 5,7 + 4,4) + 4 \cdot 3,2 + 5 \cdot 0,2] \\ &= 1,2 + 11,64 = 12,84 \text{ tn,}\end{aligned}$$

für  $x = 4$  mit  $\mathfrak{B}_x = 0,6 \cdot 1 = 0,6$

$$\begin{aligned} \text{pos max } V_x &= 0,6 + \frac{1}{10} [6(6 + 4,7 + 3,4) + 4 \cdot 2,2] \\ &= 0,6 + 9,34 = 9,94 \text{ tn,} \end{aligned}$$

für  $x = 5$  mit  $\mathfrak{B}_x = 0,6 \cdot 0 = 0$

$$\begin{aligned} \text{pos max } V_x &= 0 + \frac{1}{10} [6(5 + 3,7 + 2,4) + 4 \cdot 1,2] \\ &= 0 + 7,14 = 7,14 \text{ tn,} \end{aligned}$$

für  $x = 6$  mit  $\mathfrak{B}_x = -0,6$

$$\begin{aligned} \text{pos max } V_x &= -0,6 + \frac{1}{10} [6(4 + 2,7 + 1,4) + 4 \cdot 0,2] \\ &= -0,6 + 4,94 = 4,34 \text{ tn,} \end{aligned}$$

für  $x = 7$  mit  $\mathfrak{B}_x = -1,2$

$$\begin{aligned} \text{pos max } V_x &= -1,2 + \frac{6}{10} (3 + 1,7 + 0,4) \\ &= -1,2 + 3,06 = 1,86 \text{ tn,} \end{aligned}$$

für  $x = 8$  mit  $\mathfrak{B}_x = -1,8$

$$\text{pos max } V_x = -1,8 + \frac{6}{10} (2 + 0,7) = -1,8 + 1,62 = -0,18 \text{ tn,}$$

für  $x = 9$  mit  $\mathfrak{B}_x = -2,4$

$$\text{pos max } V_x = -2,4 + \frac{6}{10} 1 = -2,4 + 0,6 = -1,80 \text{ tn,}$$

für  $x = 10$  mit  $\mathfrak{B}_x = -3,0$

$$\text{pos max } V_x = \mathfrak{B}_x = -3,00 \text{ tn.}$$

Wegen  $\text{neg max } V_x = -\text{pos max } V_{l-x}$  folgen weiter

für $x =$	0	1	2	3	4	5	6 m:
neg max $V_x =$	3	1,8	0,18	-1,86	-4,34	-7,14	-9,94 tn,
für $x =$		7	8	9	10	m:	
neg max $V_x =$		-12,84	-16,14	-19,44	-22,74	tn,	

während die Grenzwerte der Stützenreactionen sind

$$\max V = 22,74 \text{ tn,} \quad \min V = \mathfrak{B} = 3 \text{ tn.}$$

In Fig. 19 sind die Curven der  $\max M_x$  und  $\max V_x$  aufgetragen.

**Bemerkungen.** Angenommen, es läge das Rad  $P_1$  um 3,5 m von  $P_2$  ab und wäre  $\max M_x$  für  $x = 3$  zu berechnen. Dann würden, wenn alle Radlasten auf der Brücke stünden, wie oben

$$\sum_{i=0}^x P = 8,1, \quad P_x = P_2.$$

Für diese Stellung des Lastsystems ist aber  $P_1$  gar nicht mehr auf dem Träger. Daraus geht hervor, dass für  $x = 3$  durch die Lasten  $P_2$  bis  $P_5$  ein grösseres Moment erzeugt werden kann als durch  $P_1$  bis  $P_5$ . Denn wenn die Lasten  $P_2$  bis  $P_5$  beim Vorrücken gegen 0 hin wachsende  $M_x$  erzeugen, obschon der Beitrag von  $P_1$  abnimmt, so muss  $M_x$  umsomehr zunehmen, wenn dieser entgegengesetzte Einfluss wegfällt, man hat einfach nicht das richtige Lastsystem auf dem Träger gewählt. Mit dem neuen System erhält man für  $x = 3$

$$\sum_1^x P = \sum_0^3 P = \frac{3}{10} 21 = 6,3, \quad P_x = P_2 \text{ (neuer Index),}$$

$$\max M_x = 6,3 + \frac{7}{10} 6 \cdot 1,7 + \frac{3}{10} (6 \cdot 7 + 4 \cdot 5,8 + 5 \cdot 2,8)$$

$$= 37,20 \text{ mtn,}$$

während der grösste mit dem erstgewählten System zu erzielende Werth von  $M_x$ , welcher kein Maximum in mathematischem Sinne ist, sich ergibt wenn  $P_1$  bei 0 ankommt

$$M_x = 6,3 + \frac{3}{10} (6 \cdot 6,5 + 6 \cdot 5,2 + 4 \cdot 4 + 5 \cdot 1) = 33,66 \text{ mtn.}$$

In Wirklichkeit würde man natürlich nicht auf das erste Lastsystem verfallen sein und auch in weniger drastischen Fällen können nur selten Zweifel über die Wahl des Lastsystems bestehen.

Wir haben oben bei Berechnung der  $\max M_x$  die gerade bei  $x$  befindliche Last  $P$  in  $\sum_x^l P$  berücksichtigt, würden aber zu den glei-

chen Resultaten gelangt sein, wenn wir sie in  $\sum_0^x P$  aufgenommen hätten. Dies zeigt schon ein Blick auf Fig. 11, folgt aber auch aus 1), da für  $a = x$

$$\frac{l-x}{l} Pa = \frac{x}{l} P(l-a)$$

ist. Der Werth von  $V_x$  dagegen ändert sich nach Fig. 12 oder A. 7, 3) um  $P$  wenn eine gerade bei  $x$  befindliche Last einmal auf die Strecke vor  $x$ , dann auf diejenige nach  $x$  gerechnet wird.

#### Aufgabe 10. Gewöhnliche Balkenträger. Absolutes Maximalmoment.

Das absolut grösste Moment  $M_x$  zu bestimmen, welches an dem in Aufgabe 7 betrachteten Balkenträger mit zwei Gelenkauflagern beim Befahren mit Radlastzügen entstehen kann, wenn letztere direct



auf den Träger wirken und das Eigengewicht mit  $g$  per Längeneinheit als gleichmässig vertheilt auf denselben gelten soll.

Für jede bestimmte Belastung sei das grösste am Träger vorkommende Moment  $M_x$  durch  $M_m$  bezeichnet (§ 9). Befindet sich die Verkehrslast in Bewegung, dann wechselt der *Maximalmomentenpunkt*  $m$  fortwährend seinen Ort und das Maximalmoment  $M_m$  seinen Werth. Das grösste aller möglichen  $M_m$  ist das gesuchte *absolute Maximalmoment*  $\max M_m$ . Da dasselbe natürlich auch das  $\max M_x$  für seinen Querschnitt  $x = m$  ist, so muss nach A. 9, 5) beim Eintreten von  $\max M_m$  die Bedingung erfüllt sein

$$(1) \quad \sum_0^m P = \frac{m}{l} \sum_0^l P.$$

Bestimmen wir nun zunächst  $m$  und  $\max M_m$  unter der Voraussetzung, dass die Radlast  $P_m$  bereits bekannt ist, unter welcher  $\max M_m$  eintreten wird. Für ein beliebiges auf dem Träger befindliches bewegtes System seien die (absoluten) Abstände der Lasten  $P_1, P_2, \dots P_n$  von  $P_m$  durch  $d_1, d_2, \dots d_m$  bezeichnet (Fig. 20). Dann können wir in der nach A. 7, 3) 7) für beliebige  $x$  bei jeder Laststellung gültigen Formel

$$(2) \quad M_x = \frac{g}{2} x(l-x) + \frac{l-x}{l} \sum_0^x Pa + \frac{x}{l} \sum_x^l P(l-a)$$

für alle unter  $P_m$  eintretenden Momente setzen

$$\sum_0^x Pa = \sum_0^x P(x-d), \quad \sum_x^l P(l-a) = \sum_x^l P(l-x-d),$$

womit speziell für diese Momente gilt

$$lM_x = x(l-x) \left( \frac{gl}{2} + \sum_0^l P \right) - (l-x) \sum_0^x Pd - x \sum_x^l Pd.$$

Da nun das grösste unter  $P_m$  eintretende Moment das gesuchte  $\max M_m$  ist, so lautet die Bedingung für dasselbe

$$l \frac{dM_x}{dx} = 0 = (l-2x) \left( \frac{gl}{2} + \sum_0^l P \right) + \sum_0^x Pd - \sum_x^l Pd$$

und wir erhalten die Abscisse  $x = m$  des absoluten Maximalmoments

$$(3) \quad m = \frac{l}{2} + \frac{(P_1 d_1 + \dots + P_{m-1} d_{m-1}) - (P_{m+1} d_{m+1} + \dots + P_n d_n)}{2 \sum_0^l P + gl}.$$

Subtrahirt man die mit  $x$  multiplicirte letzte Gleichung über 3) von der vorletzten, so folgt als Werth des absoluten Maximalmoments

$$(4) \quad \max M_m = \left( \sum_0^l P + \frac{gl}{2} \right) \frac{m^2}{l} - (P_1 d_1 + \dots + P_{m-1} d_{m-1}).$$

Diese Formel ist bequemer als 2), da der zweite Klammerausdruck und das Doppelte des ersten schon bei der Berechnung von  $m$  vorkommen.

Mittelst der Gleichungen 3) und 4) können Ort und Werth des absoluten Maximalmoments berechnet werden, wenn dasjenige Rad  $P_m$  bekannt ist, unter welchem  $\max M_m$  eintritt. Unter  $P_m$  muss nach 1) die Summe der von 0 nach  $l$  hin addirten Lasten des bewegten

Systems den Werth  $\frac{m}{l} \sum_0^l P$  durchschreiten. Da aber  $\sum_0^x P$  unter  $P_m$  eine ganze Reihe von Werthen durchschreitet, da ferner  $m$  stets nahe bei  $\frac{l}{2}$  liegt und also

$$\frac{l}{2} \sum_0^l P = \frac{1}{2} \sum_0^l P \quad \text{ein} \quad \frac{m}{l} \sum_0^l P$$

benachbarter Werth ist, so können wir aussprechen: *Die Last  $P_m$ , unter welcher das absolute Maximalmoment eintritt, ist in der Regel diejenige Radlast, bei welcher die Summe der von 0 nach  $l$  hin addirten Lasten des bewegten Systems die halbe Gesamtlast des Letzteren durchschreitet.*

Zur Ermittlung des absoluten Maximalmoments würde also wie folgt zu verfahren sein: Man bringt einen Lastzug I, welcher möglichst grosse Lasten möglichst dicht um ein Rad  $O$  enthält in beliebiger Richtung auf den Träger, findet  $P_m$  durch Anwendung des vorstehenden Satzes und berechnet dann  $m$  und  $\max M_m$  aus 3) und 4). — Der erwähnte Satz liefert wohl in allen praktischen Fällen das richtige  $P_m$ , was nach 1) controlirt werden kann, indem man zusieht,

ob für das gefundene  $m$  nun wirklich  $\frac{m}{l} \sum_0^l P$  unter  $P_m$  durchschritten wird. Wäre es nicht der Fall, so würde das folgende oder das vorhergehende Rad als  $P_m$  anzunehmen sein, jenachdem die Summe  $\sum_0^m P$  kleiner oder grösser als  $\frac{m}{l} \sum_0^l P$  ist.

**Spezieller Fall.** Fig. 21. In vielen Fällen, besonders bei Schienen-

trägern, finden nur zwei Räder gleichzeitig auf dem Träger Platz. Da so kleine Träger fast immer constanten Querschnitt erhalten, so pflegen nur die absolut grössten Werthe von Moment und Verticalkraft zu interessiren. Letztere findet sich nach Aufgabe 9 bei den Stützen. Wählen wir die grösste Radlast als  $P_1$ , so hat man  $P_m = P_1$ , und damit nach 3) 4) Ort und Werth des absoluten Maximalmoments

$$(5) \quad m = \frac{l}{2} - \frac{P_2 d}{2(P_1 + P_2) + gl}$$

$$(6) \quad \max M_m = \left( P_1 + P_2 + \frac{gl}{2} \right) \frac{m^2}{2}.$$

Natürlich hat man sich, nachdem  $m$  bestimmt ist, zu überzeugen, ob  $P_2$  noch auf dem Träger ist, wenn  $P_1$  über  $m$  steht. Wäre es nicht der Fall, so würde  $\max M_m$  mit der grösstmöglichen Radlast über  $m = \frac{l}{2}$  eintreten.

**Gleichmässig vertheilte bewegte Last.** Dass für solche das absolute Maximalmoment bei der Trägermitte entsteht, ist dann ohne Weiteres klar, wenn die Belastung per Längeneinheit für alle  $x$  gleich gross angenommen wird. Nach A. 10, 2) mit A. 2, 2) 3) und A. 7, 7) haben wir für beliebige  $x$

$$\max M_x = \frac{q}{2} x(l - x).$$

Daher für  $\max M_m$

$$\frac{d \max M_m}{dx} = 0 = q(l - 2x)$$

und hieraus

$$(7) \quad m = \frac{l}{2}, \quad \max M_m = \frac{ql^2}{8}.$$

#### Beispiel 5. Zur vorigen Aufgabe.

Die grössten Werthe des Moments und der Verticalkraft zu berechnen, welche für die Träger des Beispiels 4 beim Befahren mit den dort gewählten Locomotiven entstehen.

Bezüglich der Wahl des Lastsystems gilt das im Beispiel 4 Gesagte. Zur Berechnung des absoluten Maximalmoments haben wir

$$\frac{1}{2} \sum_0^l P = \frac{1}{2} (3 \cdot 6 + 4 + 5) = 13,5 \text{ tn.}$$

Dieser Werth wird von  $\sum_0^x P$  unter dem dritten Rade durchschritten, daher  $P_m = P_3$  und nach A. 10, 3) 4)

$$m = 5 + \frac{6 \cdot 2,6 + 6 \cdot 1,3 - 4 \cdot 1,2 - 5 \cdot 4,2}{54 + 0,6 \cdot 10} = 4,96 \text{ m},$$

$$\max M_m = (27 + 3) \frac{4,96^2}{10} - 6(2,6 + 1,3) = 50,40 \text{ mtn.}$$

Die Summe  $\sum_0^x P$ , welche unter  $P_3$  von 12 bis 18 wächst, durchschreitet daselbst, wie es verlangt wird, auch den Werth

$$\sum_0^l P = 13,39 \text{ tn.}$$

Das absolute Maximalmoment tritt also fast genau bei der Trägermitte ein und weicht von dem  $\max M_x$  daselbst, welches sich in Beispiel 4 gleich 50,40 ergab, nicht merklich ab. Dies wird in praktischen Fällen bei mehr als drei Rädern immer so sein und es ist dann genügend genau, wenn als  $\max M_m$  einfach  $\max M_x$  bei  $x = \frac{l}{2}$  angenommen wird.

Die absolut grösste Verticalkraft entsteht unmittelbar bei den Stützen und findet sich wie in Beispiel 4

$$\max V_0 = 22,74 \text{ tn.}$$

Mit ihr haben wir auch die grössten vorkommenden Stützenreactionen.

#### Beispiel 6. Tabelle von Lastmomenten.

In den Ausdrücken

$$r_x = \sum_0^x Pa, \quad s_x = \sum_x^l P(l - a)$$

mögen  $0, x, l$  die Abscissen irgendwelcher Streckengränzen und die  $a$  Abscissen der Angriffspunkte von Lasten  $P$  bedeuten. Man verlangt für Streckenlängen  $x$  und  $l - x$  von 0 bis 50 m:

a) Die Werthe  $s$ , wenn der in Fig. 22 angedeutete Lastzug II die Strecke nach  $x$  belastend mit dem Vorderrade  $O$  bei  $x$  steht, und die Werthe  $r$ , wenn derselbe Zug die Strecke vor  $x$  belastend mit dem Vorderrade  $O$  bei  $x$  steht, wobei das Rad  $O$  immer auf die belastete Strecke zu rechnen ist;

b) Die Werthe  $r, s$ , wenn der in Fig. 23 angedeutete Lastzug I wie dort mit Rad  $O$  bei  $x$  steht, wobei  $O$  auf die Strecke vor  $x$  gerechnet werden soll und die Werthe  $r, s$ , wenn derselbe Zug entsprechend Fig. 24 in entgegengesetzter Richtung mit Rad  $O$  bei  $x$  steht, wobei Rad  $O$  auf die Strecke nach  $x$  zu rechnen ist.

Ueber die Bedeutung der Züge I und II gibt § 12 Aufschluss. Bei bestimmter Zusammenstellung des Lastzugs sind die Werthe  $r$  nur von den Streckenlängen  $x$  und die  $s$  nur von den Streckenlängen  $l - x$  abhängig, die Länge  $l$  ist gleichgültig.

**Lastzug II.** Wenn Zug II nach der Andeutung in Fig. 22 mit dem Vorderrade  $O$  bei  $x$  steht, so hat man für  $l - x = 50$  m

$$\begin{aligned} s &= 6 (50 + 48,7 + 47,4 + 39 + 37,7 + 36,4 + 28 + 26,7 + 25,4 \\ &\quad + 17 + 15,7 + 14,4 + 6 + 4,7 + 3,4) \\ &\quad + 4 (46,2 + 35,2 + 24,2 + 13,2 + 2,2) \\ &\quad + 5 (43,2 + 32,2 + 21,2 + 10,2) \\ &= 6 \cdot 400,5 + 4 \cdot 121 + 5 \cdot 106,8 = 3421 \text{ mtn,} \end{aligned}$$

für  $l - x = 20$

$$\begin{aligned} s &= 6 (30 + 28,7 + 27,4 + 19 + 17,7 + 16,4 + 8 + 6,7 + 5,4) \\ &\quad + 4 (26,2 + 15,2 + 4,2) + 5 (23,2 + 12,2 + 1,2) \\ &= 6 \cdot 159,3 + 4 \cdot 45,6 + 5 \cdot 36,6 = 1321, \end{aligned}$$

für  $l - x = 10$

$$s = 6 (10 + 8,7 + 7,4) + 4 \cdot 6,2 + 5 \cdot 3,2 = 197,4.$$

In dieser Weise können die  $s$  für beliebige  $l - x$  berechnet werden. Das Verfahren ist jedoch für grosse Streckenlängen etwas langweilig und bald erkennt man, dass sich nach Ermittlung des ersten Werthes  $s$  wie folgt weiter rechnen lässt. Für  $l - x = 49$

$$s = 6(400,5 - 15) + 4(121 - 5) + 5(106,8 - 4) = 3291,$$

für  $l - x = 48$

$$s = 6(385,5 - 15) + 4(116 - 5) + 5(102,8 - 4) = 3161,$$

für  $l - x = 47$

$$s = 6(370,5 - 15) + 4(111 - 4,2) + 5(98,8 - 4) = 3064,$$

für  $l - x = 46$

$$s = 6(355,5 - 14,4) + 4(106,8 - 4) + 6(94,8 - 4) = 2912.$$

Man hat dabei nur die Aenderung der Radzahl mit der Streckenlänge im Auge zu behalten, was bei obigem Verfahren nicht nöthig ist. Gelegentlich kann nach letzterem controlirt werden. Die berechneten  $s$  sind in der letzten Columnne der unten folgenden Tabelle eingestellt. Man kennt damit auch die  $r_x = s_{l-x}$  für den Fall, dass Zug II die Strecke von 0 bis  $x$  belastend mit dem Vorderrade  $O$  bei

$x$  steht; diese sind in der vierten Columnne der nachstehenden Tabelle aufgeführt.

**Lastzug I.** Wenn Zug I nach der Andeutung in Fig. 23 (*erste Zugrichtung*) mit Rad  $O$  über  $x$  steht erhält man für  $x = 50$  m

$$r = 6 (50 + 48,7 + 40,3 + 39 + 37,7 + 29,3 + 28 + 26,7 + 18,3 \\ + 17 + 15,7 + 7,3 + 6 + 4,7)$$

$$+ 4 (47,5 + 36,5 + 25,5 + 14,5 + 3,5)$$

$$+ 5 (44,5 + 33,5 + 22,5 + 11,5 + 0,5)$$

$$= 6 \cdot 368,7 + 4 \cdot 127,5 + 5 \cdot 112,5 = 3285 \text{ mtn},$$

für  $x = 30$

$$r = 6 (30 + 28,7 + 20,3 + 19 + 17,7 + 9,3 + 8 + 6,7)$$

$$+ 4 (27,5 + 16,5 + 5,5) + 5 (24,5 + 13,5 + 2,5)$$

$$= 6 \cdot 139,7 + 4 \cdot 49,5 + 5 \cdot 40,5 = 1239,$$

für  $x = 10$

$$r = 6 (10 + 8,7 + 0,3) + 4 \cdot 7,5 + 5 \cdot 4,5 = 166,5.$$

In dieser Weise lassen sich alle  $r$  berechnen. Einfacher ist es wie im vorigen Falle nach Ermittlung des ersten Werthes wie folgt fortzufahren.

Für  $x = 49$

$$r = 6 (368,7 - 14) + 4 (127,5 - 5) + 5 (122,5 - 4,5) = 3158,$$

für  $x = 48$

$$r = 6 (354,7 - 14) + 4 (122,5 - 5) + 5 (118 - 4) = 3034 \text{ u. s. w.}$$

Auch hier wird man von Zeit zu Zeit mittelst des ersten Verfahrens controliren. Die berechneten  $r$  sind in der zweiten Columnne unsrer Tabelle zusammengestellt.

Bei derselben Stellung des Lastzugs I, welche für die jetzt ermittelten  $r$  angenommen wurde, ergeben sich für  $l - x = 50$  m

$$s = 6 (48,7 + 44,7 + 43,4 + 42,1 + 33,7 + 32,4 + 31,1 + 22,7 \\ + 21,4 + 20,1 + 11,7 + 10,4 + 9,1 + 0,7)$$

$$+ 4 (40,9 + 29,9 + 18,9 + 7,9) + 5 (37,9 + 26,9 + 15,9 + 4,9)$$

$$= 6 \cdot 370,2 + 4 \cdot 97,6 + 5 \cdot 85,6 = 3052 \text{ mtn},$$

für  $l - x = 30$

$$s = 6 (28,7 + 24,7 + 23,4 + 22,1 + 13,7 + 12,4 + 11,1 + 2,7 \\ + 1,4 + 0,1) + 4 (20,9 + 9,9) + 5 (17,9 + 6,9)$$

$$= 6 \cdot 140,3 + 4 \cdot 30,8 + 5 \cdot 24,8 = 1089,$$

für  $l - x = 10$

$$s = 6 (8,7 + 4,7 + 3,4 + 2,1) + 4 \cdot 0,9 = 117,0.$$

Schneller als bei dieser Berechnungsweise kommt man wieder wie folgt zum Ziele.

Für  $x = 49$

$$s = 6 (372,2 - 13,7) + 4 (97,6 - 4) + 5 (85,6 - 4) = 2933,$$

für  $x = 48$

$$s = 6 (358,5 - 13) + 4 (93,6 - 4) + 5 (81,6 - 4) = 2819 \text{ u. s. f.}$$

Die erhaltenen Werthe sind in der zweiten Columnne der nachstehenden Tabelle aufgeführt.

Denkt man sich den Zug I nach der Andeutung Fig. 24 in umgekehrter Richtung wie oben mit dem Rade  $O$  über  $x$  stehend (*zweite Zugrichtung*), dann wird

$$\sum_0^x Pa \text{ gleich dem oben berechneten } \sum_x^l P(l-a) \text{ für } l-x \text{ gleich } x,$$

$$\sum_x^l P(l-a) \text{ gleich dem oben berechneten } \sum_0^x Pa \text{ für } x \text{ gleich } l-x,$$

Wenn beispielsweise der ersten Zugrichtung entsprechen

für  $x = 50, 30, 10$

$$r = 3285, \quad 1239, \quad 166,5,$$

so erhält man bei der zweiten Zugrichtung

für  $l - x = 50, 30, 10$

$$s = 3285, \quad 1239, \quad 166,5,$$

und wenn sich bei der ersten Zugrichtung fanden

für  $l - x = 50, 30, 10$

$$s = 3040, \quad 1089, \quad 117,0,$$

dann müssen der zweiten Zugrichtung entsprechen

für  $x = 50, 30, 10$

$$r = 3040, \quad 1089, \quad 117,0.$$

Die Werthe  $r, s$  für die zweite Zugrichtung sind in den Columnen 3 und 7 unsrer Tabelle eingestellt.

Länge $x$ in m.	$r_x = \sum_0^x Pa$ in mtn			Länge $l - x$ in m.	$s_x = \sum_x^l P(l - a)$ in mtn		
	Zug I, erste Richtung.	Zug I, zweite Richtung.	Zug II,		Zug I, erste Richtung.	Zug I, zweite Richtung.	Zug II.
0	0	0	0	0	0	0	0
1	6,0	0	6,0	1	0	6,0	6,0
2	16,2	4,2	16,2	2	4,2	16,2	16,2
3	30,2	10,2	30,6	3	10,2	30,2	30,6
4	46,2	16,2	49,4	4	16,2	46,2	49,4
5	62,2	22,2	71,4	5	22,2	62,2	71,4
6	80,7	32,4	93,4	6	32,4	80,7	93,4
7	101,7	46,8	116,4	7	46,8	101,7	116,4
8	122,7	65,4	143,4	8	65,4	122,7	143,4
9	143,7	89,4	170,4	9	89,4	143,7	170,4
10	166,5	117,0	197,4	10	117,0	166,5	197,4
11	193,5	145,0	224	11	145,0	193,5	224
12	226	173,0	257	12	173,0	226	257
13	264	205	295	13	205	264	295
14	305	238	336	14	238	305	336
15	348	271	382	15	271	348	382
16	383	304	431	16	304	383	431
17	428	342	481	17	342	428	481
18	490	383	530	18	383	490	530
19	532	429	583	19	429	532	583
20	580	480	638	20	480	580	638
21	630	535	692	21	535	630	692
22	684	589	746	22	589	684	746
23	744	644	806	23	644	744	806
24	808	704	870	24	704	808	870
25	876	764	938	25	764	876	938
26	946	824	1011	26	824	946	1011
27	1016	884	1087	27	884	1016	1087
28	1089	948	1163	28	948	1089	1163
29	1164	1016	1240	29	1016	1164	1240
30	1239	1089	1321	30	1089	1239	1321
31	1314	1167	1401	31	1167	1314	1401
32	1390	1249	1482	32	1249	1390	1482



Länge $x$ in m.	$r_x = \sum_0^x Pa$ in mtn			Länge $l - x$ in m.	$s_x = \sum_x^l P(l - a)$ in mtn		
	Zug I, erste Richtung.	Zug I, zweite Richtung.	Zug II.		Zug I, erste Richtung.	Zug I, zweite Richtung.	Zug II.
33	1471	1331	1562	33	1331	1471	1562
34	1558	1413	1650	34	1413	1558	1650
35	1650	1499	1741	35	1499	1650	1741
36	1745	1586	1836	36	1586	1745	1836
37	1842	1673	1938	37	1673	1842	1938
38	1939	1760	2041	38	1760	1939	2041
39	2038	1851	2144	39	1851	2038	2144
40	2140	1947	2248	40	1947	2140	2248
41	2242	2046	2356	41	2046	2242	2356
42	2344	2151	2464	42	2151	2344	2464
43	2448	2260	2572	43	2260	2448	2572
44	2556	2369	2680	44	2369	2556	2680
45	2670	2478	2794	45	2478	2670	2794
46	2896	2591	2912	46	2591	2896	2912
47	2910	2705	3034	47	2705	2910	3034
48	3034	2819	3161	48	2819	3034	3161
49	3158	2933	3291	49	2933	3158	3291
50	3285	3052	3421	50	3052	3285	3421

**Bemerkungen.** Da die Tabellenwerthe den Radlasten auf einer Schiene entsprechen, so sind die Lastmomente per Geleise gleich dem doppelten derselben. Wir werden jedoch, um für den Druck möglichst kleine Zahlen zu erhalten, bei Berechnung von Eisenbahnbrücken immer eingleisige Brücken mit zwei Hauptträgern annehmen. Für zweigleisige Brücken mit zwei Hauptträgern sind unter den üblichen Voraussetzungen die Beanspruchungen doppelt so gross.

Eine Tabelle der vorgeführten Art sollte vor Berechnung der Brücken jeder grösseren Bahn angelegt werden, da wesentliche Abkürzungen der Berechnung damit erreicht werden. Die Züge I und II sind aus Locomotiven allein (was wir im Allgemeinen vorziehen) oder aus solchen und angehängten schwersten Güterwagen zusammen zu stellen, jenachdem man das eine oder andere für die Sicherheit erforderlich oder genügend erachtet. Bis zu welchen Streckenlängen

$x$  und  $l - x$  die Tabelle auszudehnen ist, hängt von den vorkommenden Spannweiten ab.

**Aufgabe 11. Gewöhnliche Balkenträger. Gleichmässig vertheilte bewegte Last. Lastäquivalente.**

Für den in Aufgabe 7 behandelten Balkenträger mit zwei Gelenkaufagern unter Voraussetzung direct wirkender Verkehrslasten abzuleiten: a) die Grenzwerte von  $M_x$  und  $V_x$  wenn die bewegte Last mit  $p$  per Längeneinheit auf die ergriffene Strecke gleichmässig vertheilt ist; b) diejenigen Werthe von  $p$ , welche gleiche  $\max M_x$  und gleiche  $\max V_x$  wie bewegte Radlastzüge erzeugen.

**Grenzwerte.** Nach A. 7, 2) hat man bei beliebiger Belastung

$$(1) \quad M_x = \mathfrak{M}_x + \frac{l-x}{l} S + \frac{x}{l} S', \quad V_x = \mathfrak{B}_x + \frac{1}{l} (S' - S),$$

worin  $S, S'$  die Momente der von 0 bis  $x$  bzw.  $x$  bis  $l$  wirklich auf den Träger kommenden Verkehrslasten in Hinsicht der Punkte 0 und  $l$ . Der ersten dieser Gleichungen oder Fig. 11 zufolge treten die Grenzwerte von  $M_x$  für Totalbelastung des ganzen Trägers und Eigengewicht allein ein. Für den ersten Fall liefert A. 2, 2) 3)

$$S = \frac{p}{2} x^2, \quad S' = \frac{p}{2} (l-x)^2,$$

womit nach 1)

$$(2) \quad \max M_x = \mathfrak{M}_x + \frac{p}{2} x(l-x), \quad \min M_x = \mathfrak{M}_x.$$

Die Grenzwerte von  $V_x$  entstehen nach 1) oder Fig. 12, wenn die Verkehrslast das eine Mal von  $x$  bis  $l$ , das andre Mal von 0 bis  $x$  reicht. Da im ersten Falle

$$S = 0, \quad S' = \frac{p}{2} (l-x)^2$$

und im zweiten

$$S = \frac{p}{2} x^2, \quad S' = 0,$$

so liefert 1)

$$(3) \quad \text{pos } \max V_x = \mathfrak{B}_x + \frac{p}{2l} (l-x)^2, \quad \text{neg } \max V_x = \mathfrak{B}_x - \frac{p}{2l} x^2.$$

Wegen  $V = V_0$  sind die Grenzwerte der Stützenreaction bei 0

$$(4) \quad \max V = \mathfrak{B} + \frac{pl}{2}, \quad \min V = \mathfrak{B}.$$

Die vom Eigengewicht allein herrührenden Werthe  $\mathfrak{M}_x, \mathfrak{B}_x, \mathfrak{B}$  sind in Aufgabe 7 für alle Fälle bestimmt.

Liegt die feste Last symmetrisch zur Trägermitte, so hat man

$$(5) \quad \begin{cases} \max M_x = \max M_{l-x}, & \mathfrak{M}_x = \mathfrak{M}_{l-x}, \\ \text{neg max } V_x = -\text{pos max } V_{l-x}, & \mathfrak{B}_x = -\mathfrak{B}_{l-x}, \end{cases}$$

es brauchen also dann nur die Grenzwerte von  $M_x$  für eine Trägerhälfte und die  $\text{pos max } V_x$  berechnet zu werden. Bei unsymmetrischer fester Last gilt Analoges nur für die Beiträge der Verkehrslast. Wird die feste Last mit  $g$  per Längeneinheit als gleichmässig vertheilt auf den Träger angenommen, so hat man nach 2) 4) und A. 7, 7) mit  $q = g + p$

$$(6) \quad \mathfrak{M}_x : \max M_x = g : q, \quad \mathfrak{B} : \max V = g : q.$$

Die berechneten Grenzwerte lassen sich natürlich auch sehr leicht mittelst der Influenzlinien ermitteln. Man entnimmt, § 12 c entsprechend, aus Fig. 11

$$\max M_x = \mathfrak{M}_x + p \cdot \overline{xx_1} \frac{l}{2}, \quad \min M_x = \mathfrak{M}_x$$

und aus Fig. 12

$$\text{pos max } V_x = \mathfrak{B}_x + p \cdot \overline{xx_2} \frac{l-x}{2}, \quad \text{neg max } V_x = \mathfrak{B}_x - p \cdot \overline{xx_1} \frac{x}{2},$$

woraus wegen  $\overline{xx_1} = \frac{l-x}{l}x$  im ersten Falle und  $\overline{xx_1} = \frac{x}{2}$ ,  $\overline{xx_2} = \frac{l-x}{2}$  im zweiten Falle sofort die Gleichungen 2) 3) folgen.

**Lastaequivalente.** Bezeichnen wir für bewegte Radlastzüge

$$\max M_x = \mathfrak{M}_x + m_x,$$

so folgt durch Gleichsetzen mit 2) zur Berechnung der  $\max M_x$

$$(7) \quad p = \frac{2m_x}{x(l-x)},$$

worin für die in Aufgabe 9 bestimmte Totalbelastung des ganzen Trägers

$$(8) \quad m_x = \frac{l-x}{l} \sum_0^x Pa + \frac{x}{l} \sum_x^l P(l-a).$$

Setzen wir ferner für bewegte Radlastzüge

$$\text{pos max } V_x = \mathfrak{B}_x + v_x, \quad \text{neg max } V_x = \mathfrak{B}_x - w_x,$$

so ergeben sich mit 3) zur Berechnung der  $\text{pos max } V_x$

$$(9) \quad p = \frac{2lv_x}{(l-x)^2}$$

und zur Berechnung der neg max  $V_x$

$$(10) \quad p = \frac{2lw_x}{x^2}.$$

Nach Aufgabe 9 ist bei Belastung durch einen Zug II von  $x$  bis  $l$  mit Vorderrad  $O$  bei  $x$

$$(11) \quad v_x = \frac{1}{l} \sum_x^l P(l - a)$$

und bei Belastung durch denselben Zug II von  $O$  bis  $x$  mit Vorder-  
rad  $O$  bei  $x$

$$(12) \quad w_x = \frac{1}{l} \sum_0^x Pa,$$

wonach stets  $w_x = v_{l-x}$  ist und zur Berechnung des neg max  $V_x$  für  $x=e$  dasselbe  $p$  gilt wie zur Berechnung des pos max  $V_x$  für  $l-x=e$ .

Bei bestimmter Zusammenstellung des Lastzugs hängt  $lv_x$  nur von der Streckenlänge  $l-x$  und  $lw_x$  nur von der Streckenlänge  $x$  ab, die Spannweite  $l$  ist ohne Einfluss. Auf Grund von 9) 10) lässt sich daher aussprechen: *Bei bestimmtem Lastzug II sind für Träger aller Spannweiten  $l$  die Lastäquivalente  $p$  zur Berechnung der pos max  $V_x$  in Schnitten von gleichem  $l-x$  gleich gross und ebenso die  $p$  zur Berechnung der neg max  $V_x$  in Schnitten von gleichem  $x$ . Beispielsweise entspricht dem Maximum der Stützenreaction  $V = V_0$  eines Trägers der Spannweite  $l$  dasselbe  $p$  wie dem pos max  $V_x$  in demjenigen Schnitte eines Trägers der Spannweite  $L$ , für welchen  $L-x=l$  ist (Schäffer, Deutsche Bauzeitung 1876).*

#### Beispiel 7. Zur vorigen Aufgabe.

Für die in Beispiel 4 betrachteten Balkenträger sind diejenigen gleichmässig vertheilten Lasten  $p$  zu ermitteln, welche gleiche max  $M_x$  und gleiche max  $V_x$  wie die angenommenen Radlastsysteme ergeben.

**Momente.** Nach A. 11, 7) hat man zur Berechnung der Momente

$$(1) \quad p = \frac{2m_x}{x(l-x)},$$

woraus mit den in Beispiel 4 berechneten  $m_x$ :

$$\text{für } x = 1 \quad p = \frac{2 \cdot 17,04}{1 \cdot 9} = 3,79 \text{ tn,}$$

$$x = 2 \quad p = \frac{2 \cdot 28,68}{2 \cdot 8} = 3,58 \text{ „}$$

$$\begin{aligned}
 \text{für } x = 3 \quad p &= \frac{2 \cdot 37,65}{3 \cdot 7} = 3,59 \text{ tn,} \\
 x = 4 \quad p &= \frac{2 \cdot 42,00}{4 \cdot 6} = 3,50 \text{ „} \\
 x = 5 \quad p &= \frac{2 \cdot 42,90}{5 \cdot 5} = 3,43 \text{ „}
 \end{aligned}$$

Hiernach lässt sich die übliche Wahl eines constanten  $p$  für Berechnung sämtlicher  $\max M_x$  zur Noth rechtfertigen, da man den Momenten nach den Trägerenden hin mit den Dimensionen doch nicht genau folgen kann. Bei grösseren Spannweiten stimmen die  $p$  noch mehr überein.

**Verticalkräfte.** Zur Berechnung der pos  $\max V_x$  hat man nach A. 11, 9)

$$(2) \quad p = \frac{2l v_x}{(l-x)^2}$$

und mit den in Beispiel 4 berechneten  $v_x$ :

$$\begin{aligned}
 \text{für } x = 0 \quad p &= \frac{20 \cdot 19,74}{100} = 3,94 \text{ tn,} \\
 x = 1 \quad p &= \frac{20 \cdot 17,04}{81} = 4,21 \text{ „} \\
 x = 2 \quad p &= \frac{20 \cdot 14,34}{64} = 4,48 \text{ „} \\
 x = 3 \quad p &= \frac{20 \cdot 11,64}{49} = 4,75 \text{ „} \\
 x = 4 \quad p &= \frac{20 \cdot 9,34}{36} = 5,19 \text{ „} \\
 x = 5 \quad p &= \frac{20 \cdot 7,14}{25} = 5,71 \text{ „} \\
 x = 6 \quad p &= \frac{20 \cdot 4,94}{16} = 6,17 \text{ „} \\
 x = 7 \quad p &= \frac{20 \cdot 3,06}{9} = 6,80 \text{ „} \\
 x = 8 \quad p &= \frac{20 \cdot 1,62}{4} = 8,10 \text{ „} \\
 x = 9 \quad p &= \frac{20 \cdot 0,6}{1} = 12,00 \text{ „} \\
 x = 10 \quad p &= \frac{20 \cdot 0}{0^2} = \infty \text{ „}
 \end{aligned}$$

Von der Annahme eines constanten  $p$  zur Berechnung aller  $\max V_x$  kann hiernach keine Rede sein. In Fig. 25 sind die berechneten  $p$  bei den zugehörigen  $x$  aufgetragen.

**Beispiel 8. Gewöhnliche Balkenträger. Tabellen von Lastäquivalenten.**

Für direct befahrene vollwandige Balkenträger mit zwei Gelenk-auflagern sind zu ermitteln: a) die Lastäquivalente  $p$  des in § 12 angenommenen Lastzugs II (Fig. 22) zur Berechnung der  $\max V_x$  bei Spannweiten  $l$  von 0 bis 50 m; b) die Lastäquivalente  $p$  des in § 12 angenommenen Lastzugs I (Fig. 24) zur Berechnung der  $\max M_x$  in der Trägermitte für Spannweiten  $l$  von 0 bis 50 m.

**Vertikalkräfte.** Nach A. 11, 9) 11) haben wir zur Berechnung der pos  $\max V_x$

$$(1) \quad p = \frac{2s_x}{(l-x)^3} \quad \text{mit} \quad s_x = \sum_x^l P(l-a),$$

wobei Zug II von  $l$  nach 0 fahrend mit dem Vorderrade  $O$  bei  $x$  angelangt ist. Die  $s_x$  lassen sich wie in Beispiel 6 berechnen oder aus der dortigen Tabelle entnehmen. Wir erhalten dann

$$\begin{aligned} \text{für } l-x &= 50 \text{ m} & p &= \frac{2 \cdot 3421}{2500} = 2,74 \text{ tn} \\ l-x &= 30 & p &= \frac{2 \cdot 1321}{900} = 2,93, \\ l-x &= 10 & p &= \frac{2 \cdot 197,4}{100} = 3,95. \end{aligned}$$

In gleicher Weise sind die übrigen  $p$  für pos  $\max V_x$  der folgenden Tabelle berechnet, während nach Aufgabe 11 zur Berechnung des neg  $\max V_x$  für  $x=c$  dasselbe  $p$  gilt wie zur Berechnung des pos  $\max V_x$  für  $l-x=c$ .

Lastäquivalente  $p$  für  $\max V_x$  (Lastzug II).

$l-x$ für pos $\max V_x$ $x$ für neg $\max V_x$	0	10	20	30	40 m
1	12,00	3,70	3,14	2,92	2,80
2	8,10	3,57	3,08	2,89	2,79
3	6,80	3,49	3,05	2,87	2,78
4	6,17	3,43	3,02	2,85	2,77
5	5,71	3,39	3,00	2,84	2,76
6	5,19	3,37	2,99	2,83	2,75
7	4,75	3,33	2,98	2,83	2,75
8	4,48	3,27	2,97	2,83	2,74
9	4,21	3,23	2,95	2,82	2,74
10 m	3,95	3,19	2,93	2,81	2,74

Die Einrichtung der Tabelle wird klar, wenn wir bemerken, dass beispielsweise für  $\max V_x$  bei  $l - x = 23$  und für  $\max V_x$  bei  $x = 23$  m das Lastäquivalent  $p = 3,05$  tn ist.

**Momente.** Zur Berechnung von  $\max M_x$  bei  $x = \frac{l}{2}$  hat man nach A. 11, 7) 8)

$$(2) \quad p = \frac{8m_x}{l^2} \quad \text{mit} \quad 2m_x = \sum_0^x Pa + \sum_x^l P(l - a).$$

Wir stellen nun den Lastzug I mit Rad  $O$  über  $x$ , berechnen die Summen in 2) wie in Beispiel 6 oder entnehmen sie aus der dortigen Tabelle und erhalten

$$\text{für } l = 50 \quad 2m_x = 764 + 876 = 1640, \quad p = \frac{4 \cdot 1640}{2500} = 2,63 \text{ tn},$$

$$l = 30 \quad 2m_x = 271 + 348 = 619, \quad p = \frac{4 \cdot 619}{900} = 2,75,$$

$$l = 10 \quad 2m_x = 22,2 + 62,2 = 84,4, \quad p = \frac{4 \cdot 84,4}{100} = 3,38.$$

In gleicher Weise sind alle nachstehenden Lastäquivalente  $p$  berechnet, welchen wir diejenigen beisetzen, welche sich ergeben hätten, wenn als Rad  $O$  über  $x$  das dritte Rad der gleichen Locomotive anstatt des zweiten gewählt worden wäre.

Für

$$\begin{array}{cccccccccccccccccccc} l = & 2 & 4 & 6 & 8 & 10 & 12 & 15 & 20 & 25 & 30 & 35 & 40 & 45 & 50 \text{ m,} \\ p = & 6,00 & 5,10 & 4,49 & 3,90 & 3,38 & 3,14 & 2,99 & 2,84 & 2,77 & 2,75 & 2,66 & 2,65 & 2,63 & 2,63 \text{ tn.} \\ & 6,00 & 4,85 & 4,20 & 3,74 & 3,43 & 3,13 & 2,82 & 2,70 & 2,76 & 2,71 & 2,67 & 2,61 & 2,62 & 2,61. \end{array}$$

Abgesehen von der Spannweite  $l = 10$  m (wir haben dann mit dem dritten Rade über  $x$  ein Rad mehr auf dem Träger als mit dem zweiten, Beispiel 4) erhält man also im ersten Falle ungünstigere Lastsysteme für  $M_x$  bei der Trägermitte als im zweiten Falle. Grosse Differenzen treten aber überhaupt nicht ein und es ist wenigstens für grössere Spannweiten besondere Aengstlichkeit bei der Auswahl des Rades  $O$  nicht nöthig. Die Richtung des Lastzugs ist, da es sich um die Trägermitte handelt, natürlich gleichgültig.

Nach § 12, b) lässt sich annehmen, dass die gewählten Laststellungen mit  $O$  über  $x$  entweder die genauen  $\max M_x$  erzeugen oder doch nur wenig davon abweichende Momente. Wenn die Stellung genau richtig sein soll, so muss für dieselbe nach A. 9, 5) bei  $x = \frac{l}{2}$

$$(3) \quad \sum_0^x P = \frac{1}{2} \sum_0^l P$$

sein. Dies trifft für alle betrachteten Fälle zu, mit Ausnahme von  $l = 40$  und  $l = 20$ . Da bei den angenommenen Laststellungen

$$\text{für } l = 40 \quad \sum_0^l P = 99, \quad \sum_0^x P = 51 \text{ bis } 57,$$

$$l = 20 \quad \sum_0^l P = 55, \quad \sum_0^x P = 28 \text{ „ } 34,$$

also beidemal  $\frac{1}{2} \sum_0^l P$  von  $\sum_0^x P$  schon vor  $x = \frac{l}{2}$  überschritten ist, so bringen wir das letzte Rad vor dem in Fig. 24 bezeichneten  $O$  über  $x$  und erhalten für  $l = 40$

$$\sum_x^l P(l-a) = 6(20 + 18,7 + 17,4 + 9 + 7,7 + 6,4) + 4(16,2 + 5,2) \\ + 5(13,2 + 2,2) = 638,$$

$$\sum_0^x Pa = 6(16 + 14,7 + 13,4 + 5 + 3,7 + 2,4) + 4(12,2 + 1,2) \\ + 5 \cdot 0,2 = 430,$$

$$2m_x = 430 + 638 = 1068, \quad p = \frac{4 \cdot 1068}{1600} = 2,67,$$

$$\sum_0^l P = 6 \cdot 12 + 4 \cdot 4 + 5 \cdot 3 = 103, \quad \sum_0^x P = 49 \text{ bis } 55,$$

und für  $l = 20$

$$\sum_x^l P(l-a) = 6(10 + 8,7 + 7,4) + 4 \cdot 6,2 + 5 \cdot 3,2 = 197,4,$$

$$\sum_0^x Pa = 6(6 + 4,7 + 3,4) + 4 \cdot 2,2 = 93,4,$$

$$2m_x = 93,4 + 197,4 = 291, \quad p = \frac{4 \cdot 291}{400} = 2,91,$$

$$\sum_0^l P = 6 \cdot 6 + 4 \cdot 2 + 5 = 49, \quad \sum_0^x P = 22 \text{ bis } 28.$$

Wir haben also jetzt mit veränderten Lastsystemen auf den Trägern die genauen Bedingungen für  $\max M_x$  erfüllt, dabei aber an Stelle



von  $p = 2,65$  und  $2,84$  die nur wenig abweichenden  $p = 2,67$  und  $2,91$  erhalten. Die Neuberechnung hätte füglich unterbleiben können. Wir stellen nun die wie oben berechneten  $p$  für Spannweiten  $l$  von 1 bis 50 m in einer Tabelle zusammen.

Lastäquivalente  $p$  für  $\max M_x$  (Lastzug I).

$l$	0	10	20	30	40 m
1	12,00	3,19	2,82	2,72	2,65
2	6,00	3,14	2,80	2,69	2,64
3	5,07	3,07	2,79	2,68	2,64
4	5,10	3,03	2,77	2,67	2,63
5	4,70	2,99	2,77	2,66	2,63
6	4,49	2,94	2,77	2,66	2,63
7	4,20	2,92	2,77	2,66	2,63
8	3,90	2,89	2,77	2,66	2,63
9	3,62	2,87	2,76	2,66	2,63
10 m	3,38	2,84	2,75	2,65	2,63

**Bemerkungen.** Zu beachten ist, dass alle berechneten  $p$  den Radlasten auf einer Schiene entsprechen, die  $p$  per Geleise also doppelt so gross sind.

Wir haben die  $p$  nach den Formeln für direct wirkende Verkehrslast berechnet. Dem am Schlusse der Aufgabe 7 hervorgehobenen Satze zufolge gelten jedoch dieselben Werthe auch für die Knotenpunkte solcher Balkenträger mit zwei Gelenkaufslagern, bei welchen die Verkehrslast zunächst auf Zwischenträger wirkt.

Den in Beispiel 6 besprochenen Tabellen können bei grösseren Bahnbauten Tabellen der obigen Arten angeschlossen werden, wenn man nach Formeln für gleichmässig vertheilte Lasten mit gleicher Genauigkeit wie mit bewegten Radlastzügen rechnen will. Uebrigens gestaltet sich letzteres Verfahren bei Vorhandensein einer Tabelle der in Beispiel 6 vorgeführten Art mindestens ebenso einfach als ersteres.

**Beispiel 9. Gewöhnliche Balkenträger. Berechnung mit Lastäquivalenten.**

Für eine eingleisige Eisenbahnbrücke von  $l = 12$  m Spannweite, deren Hauptträger direct befahrene gewöhnliche Balkenträger sind,

werden Eigengewicht und Verkehrslast als gleichmässig vertheilt auf die ergriffenen Strecken angenommen. Die Grenzwerte der Momente  $M_x$  und Vertikalkräfte  $V_x$  unter folgenden Voraussetzungen zu berechnen: Eigengewicht per laufenden Meter Träger  $g = 0,7$  tn, Verkehrslast für die max  $M_x$   $p = 3,3$  tn, die Lastäquivalente zur Berechnung der max  $V_x$  sind aus der Tabelle in Beispiel 8 zu entnehmen.

**Momente.** Nach A. 11, 2) und A. 7, 7) hat man mit  $q = g + p$

$$(1) \quad \max M_x = \frac{q}{2} x (l - x) = \frac{q}{g} \mathfrak{M}_x,$$

also im vorliegenden Falle

$$\begin{array}{ll} \text{für } x = 1 & \max M_x = 2 \cdot 1 \cdot 11 = 22 \text{ mtn,} \\ x = 2 & M_x = 2 \cdot 2 \cdot 10 = 40 \\ x = 3 & M_x = 2 \cdot 3 \cdot 9 = 54 \\ x = 4 & M_x = 2 \cdot 4 \cdot 8 = 64 \\ x = 5 & M_x = 2 \cdot 5 \cdot 7 = 70 \\ x = 6 & M_x = 2 \cdot 6 \cdot 6 = 72. \end{array}$$

Damit sind nach A. 11, 5) auch die max  $M_x$  der zweiten Trägerhälfte bekannt, die min  $M_x = \mathfrak{M}_x$  sind sämmtlich  $\frac{g}{p} = \frac{7}{40}$  so gross.

**Vertikalkräfte.** Nach A. 11, 3) und A. 7, 7) haben wir

$$(2) \quad \text{pos max } V_x = \mathfrak{B}_x + \frac{p}{2l} (l - x)^2 \quad \text{mit} \quad \mathfrak{B}_x = g \left( \frac{l}{2} - x \right),$$

woraus im vorliegenden Falle

für  $x = 0$  mit  $p = 3,57$

$$\text{pos max } V_x = 0,7 \cdot 6 + 3,57 \frac{144}{24} = 25,62 \text{ tn (24,00),}$$

für  $x = 1$  mit  $p = 3,70$

$$\text{pos max } V_x = 0,7 \cdot 5 + 3,70 \frac{121}{24} = 22,15 \text{ tn (20,14),}$$

für  $x = 2$  mit  $p = 3,95$

$$\text{pos max } V_x = 0,7 \cdot 4 + 3,95 \frac{100}{24} = 19,26 \text{ tn (16,55),}$$

für  $x = 3$  mit  $p = 4,21$

$$\text{pos max } V_x = 0,7 \cdot 3 + 4,21 \frac{81}{24} = 16,31 \text{ tn (13,24),}$$

für  $x = 4$  mit  $p = 4,48$

$$\text{pos max } V_x = 0,7 \cdot 2 + 4,48 \frac{64}{24} = 13,35 \text{ tn (10,20),}$$

für  $x = 5$  mit  $p = 4,75$

$$\text{pos max } V_x = 0,7 \cdot 1 + 4,75 \frac{49}{24} = 10,40 \text{ tn } (7,44),$$

für  $x = 6$  mit  $p = 5,19$

$$\text{pos max } V_x = 0,7 \cdot 0 + 5,19 \frac{36}{24} = 7,78 \text{ tn } (4,95),$$

für  $x = 7$  mit  $p = 5,71$

$$\text{pos max } V_x = 0,7 \cdot 1 + 5,71 \frac{25}{24} = 5,25 \text{ tn } (2,73),$$

für  $x = 8$  mit  $p = 6,17$

$$\text{pos max } V_x = 0,7 \cdot 2 + 6,17 \frac{16}{24} = 2,71 \text{ tn } (0,80),$$

für  $x = 9$  mit  $p = 6,80$

$$\text{pos max } V_x = 0,7 \cdot 3 + 6,80 \frac{9}{24} = -0,45 \text{ tn } (-0,86),$$

für  $x = 10$  mit  $p = 8,10$

$$\text{pos max } V_x = 0,7 \cdot 4 + 8,10 \frac{4}{24} = -1,45 \text{ tn } (-2,25),$$

für  $x = 11$  mit  $p = 12,00$

$$\text{pos max } V_x = 0,7 \cdot 5 + 12,00 \frac{1}{24} = -3,00 \text{ tn } (-3,36),$$

für  $x = 12$  mit  $p = \infty$

$$\text{pos max } V_x = 0,7 \cdot 6 + \infty \cdot \frac{0^2}{24} = -4,20 \text{ tn } (-4,20).$$

Die neg max  $V_x$  sind damit nach A. 11, 5) ebenfalls bestimmt und als Grenzwerte der Stützenreactionen hat man

$$\text{max } V = 25,62 \text{ tn } (24,00), \quad \text{min } V = \mathfrak{B} = 4,20 \text{ tn } (4,20).$$

Allen berechneten  $V$ ,  $V_x$  sind diejenigen Werthe in Klammer beigesetzt, welche sich ergeben hätten, wenn  $p$  constant wie für die max  $M_x$  gewählt worden wäre. Das angewandte Verfahren liefert dieselben  $V$ ,  $V_x$  wie die Berechnung für die wirklichen Lastzüge.

#### Aufgabe 12. Gewöhnliche Balkenträger mit Zwischenträgern. Einfachste Berechnung.

Für den in Aufgabe 7 behandelten Balkenträger mit zwei Gelenkauflagern ein möglichst einfaches Verfahren zur Bestimmung der Grenzwerte von  $M_x$ ,  $V_x$  unter der Voraussetzung anzugeben, dass die bewegte Last zunächst auf ein System von Zwischenträgern kommt.

Nach Aufgabe 7 kann die Berechnung der Grenzwerte von  $M_x$  und  $V_x$  für diejenigen Schnitte  $x$ , welche mit Knotenpunkten zu-

sammenfallen, genau so vorgenommen werden, als ob gar keine Zwischenträger vorhanden wären. Damit erhalten wir eine Anzahl Punkte der Curven der  $\max M_x$  und der positiven und negativen  $\max V_x$ , während  $\min M_x = \mathfrak{M}_x$  für alle Schnitte in Aufgabe 7 bestimmt ist. Es fragt sich also nur noch, wie die erwähnten Curven zwischen den Knotenpunkten verlaufen. Führt man die Untersuchung durch (Aufgaben 13, 14, Beispiele 10, 11), so zeigt sich, dass die genauen Curven wie in Fig. 26, 27 strichpunktirt nach Innen gekrümmt sind. Nur in den Endfeldern verläuft die Curve der  $\max M_x$  nahezu geradlinig. Es folgt hiernach zur Berechnung der Grenzwerte von  $M_x$  und  $V_x$  folgendes einfache Verfahren:

a) Berechnung der  $\max M_x$  und der positiven wie negativen  $\max V_x$  für die Knotenpunkte, ganz als wenn die bewegten Lasten direct auf die Hauptträger wirkten;

b) Herstellung der Curven jener Grössen durch Auftragen der erhaltenen Werthe als Ordinaten bei ihren  $x$  und Verbinden je zweier aufeinanderfolgender Endpunkte durch gerade Linien (Fig. 26, 27).

Anstatt Curven der  $\max M_x$  und  $\max V_x$  zu verzeichnen, kann man natürlich auch diese Grenzwerte für beliebige Zwischenpunkte durch Interpolation finden, womit die Veränderlichkeit ebenfalls geraden Linien entsprechend angenommen wird. — Das Verfahren gilt sowohl für bewegte Radlastzüge wie für gleichmässig vertheilte bewegte Last. Man erhält damit die Grenzwerte für die Knotenpunkte genau, für die übrigen  $x$  im Allgemeinen etwas zu ungünstig, aber genauer als wenn gar keine Rücksicht auf die Zwischenträger genommen wird. Für letzteren Fall ist die Curve der  $\max M_x$  in Fig. 26 punktirt angedeutet, während die entsprechenden Curven der  $\max V_x$  in Fig. 27 von den wie oben durch gerade Linien hergestellten kaum zu unterscheiden waren. Da überdies die Berechnung nach dem obigen Verfahren kürzer als für direct wirkende Verkehrslast ist (weil man die Grenzwerte für weniger  $x$  braucht), so hat man jedenfalls keinen Grund, die Zwischenträger unberücksichtigt zu lassen.

Das absolute Maximalmoment  $\max M_m$  tritt stets unter dem der Trägermitte zunächst liegenden Knotenpunkte ein (nur eine praktisch nicht vorkommende Vertheilung der festen Last könnte Ausnahmen bedingen) und kann also wie jedes  $\max M_x$  bei einem Knotenpunkte auch allein bestimmt werden. Dass die absolut grössten  $\max V_x$  bei den Stützen eintreten, ist bereits bekannt. Mit den Grenzwerten von  $V_0 = V$  und  $V_l = -V'$  haben wir auch diejenigen der Stützenreactionen.

**Aufgabe 13. Gewöhnliche Balkenträger mit Zwischenträgern. Genaueste Berechnung für bewegte Radlastzüge.**

Für den in Aufgabe 7 behandelten Balkenträger mit zwei Gelenkauflagern sind die Grenzwerte von  $M_x$  und  $V_x$  bei verschiedenen möglichen Radlastsystemen unter der Voraussetzung abzuleiten, dass die Letzteren zunächst auf Zwischenträger kommen.

Nach A. 7, 5) 6) haben wir für jeden Schnitt  $x$  bei beliebiger Belastung

$$(1) \quad M_x = \mathfrak{M}_x + \frac{l-x}{l} \sum_0^c Pa + c \frac{v-x}{v-c} \sum_c^v P \\ + \left( \frac{x-c}{v-c} - \frac{x}{l} \right) \sum_c^v Pa + \frac{x}{l} \sum_v^l P(l-a),$$

$$(2) \quad V_x = \mathfrak{B}_x - \frac{1}{l} \sum_0^c Pa - \frac{c}{v-c} \sum_c^v P \\ + \left( \frac{1}{v-c} - \frac{1}{l} \right) \sum_c^v Pa + \frac{1}{l} \sum_v^l P(l-a).$$

Hierin bedeuten  $c, v$  die Abscissen derjenigen Knotenpunkte, bei welchen der von Schnitt  $x$  getroffene Fahrbahnträger aufliegt. Die Beiträge  $\mathfrak{M}_x, \mathfrak{B}_x$  der festen Last sind in Aufgabe 7 für alle Fälle gegeben.

Bewegt sich nun ein beliebiges Radlastsystem auf dem Träger, so ändern sich mit jeder unendlich kleinen Verrückung die Abscissen  $a_1, a_2, \dots$  aller Lasten  $P_1, P_2, \dots$  desselben um das gleiche  $da$ , wir erhalten nach der Anleitung in § 6

$$(3) \quad \frac{dM_x}{da} = \sum_0^c P + \frac{x-c}{v-c} \sum_c^v P - \frac{x}{l} \sum_0^l P,$$

$$(4) \quad \frac{dV_x}{da} = -\frac{1}{v-c} \sum_c^v P - \frac{1}{l} \sum_0^l P$$

und hiernach die Bedingung für  $\max M_x$

$$(5) \quad \sum_0^c P + \frac{x-c}{v-c} \sum_c^v P = \frac{x}{l} \sum_0^l P,$$

sowie die Bedingung für positive und negative  $\max V_x$

$$(6) \quad \sum_c^v P = \frac{v-c}{l} \sum_0^l P.$$

Es treten also jetzt, abweichend vom Falle direct wirkender Verkehrlast, auch mathematische Maxima und Minima von  $V_x$  ein. Für die Knotenpunkte gehen mit  $c = v = x$  alle Gleichungen in die entsprechenden, ohne Zwischenträger gültigen über.

Handelt es sich nun darum, die Grenzwerte von  $M_x$ ,  $V_x$  bei verschiedenen möglichen Lastsystemen festzustellen, so entnimmt man aus 1) 2) oder dem Verlaufe der Influenzlinien Fig. 14, 15, dass alle Lasten auf dem Träger in gleichem Sinne zu  $M_x$  beitragen, während für  $V_x$  die Lasten von 0 bis  $z$  negative, diejenigen von  $z$  bis  $l$  positive Beiträge liefern, wobei  $z$  zwischen  $c$  und  $v$  liegt und nach A. 7, 6) berechnet werden könnte. Die Beiträge der einzelnen Lasten sind proportional den Letzteren und für bestimmte  $P$  am grössten: hinsichtlich  $M_x$  bei  $c$  oder  $v$  (bei  $v$  für  $z < 0$ , bei  $c$  für  $z > l$ ), hinsichtlich  $V_x$  auf der negativen Beitragsstrecke bei  $c$ , auf der positiven Beitragsstrecke bei  $v$ . Wir gelangen so zu folgenden Verfahren zur Bestimmung der Grenzwerte.

**Momente.** Ein Lastzug I, welcher möglichst grosse Lasten möglichst dicht um ein Rad  $O$  enthält, wird in solcher Richtung auf den Träger gebracht, dass mit  $O$  über  $x$  die ungünstigste Zugseite von  $O$  aus auf die längste Trägerstrecke von  $x$  aus käme. Dann finden sich die ungünstigsten Laststellungen und entsprechenden  $\max M_x$  für die Knotenpunkte nach A. 9, 5) 1), für beliebige andre  $x$  nach obigen Formeln 5) 1). Der zweite Grenzwert ist

$$\min M_x = \mathfrak{M}_x.$$

In dem gewöhnlichen Falle, dass die Anordnung des Trägers zur Mitte symmetrisch ist, braucht man wegen

$$\max M_x = \max M_{l-x}, \quad \mathfrak{M}_x = \mathfrak{M}_{l-x}$$

nur die Momente einer Trägerhälfte zu berechnen.

**Vertikalkräfte.** Ein Lastsystem II, welches möglichst grosse Lasten möglichst dicht beim Vorderrad  $O$  enthält, fährt in der Richtung von  $l$  nach  $0$  auf den Träger. Für die Knotenpunkte  $x$  ergibt sich, wenn das Vorderrad  $O$  bei  $x$  steht,  $\max V_x$  nach A. 9, 7); für zwischenliegende  $x$  bringt man Rad  $O$  vorläufig bis  $v$ , findet die genaue Stellung für  $\max V_x$  nach 6) und diesen Werth selbst nach 2). — Fährt dasselbe Lastsystem in der Richtung von  $l$  nach  $0$  hin, so folgt  $\min V_x$  für die Knotenpunkte, wenn das Vorderrad  $O$  bei  $x$  anlangt, aus A. 9, 8), und für zwischenliegende  $x$ , wenn man vorläufig Rad  $O$  bei  $c$  annimmt und die genaue Stellung mit-

telst 6) bestimmt, nach obiger Gleichung 2). — Ist die Anordnung des Trägers zur Mitte symmetrisch, so braucht man wegen

$$(8) \quad \text{neg max } V_x = - \text{pos max } V_{l-x}, \quad \mathfrak{B}_x = - \mathfrak{B}_{l-x}$$

nur die pos max  $V_x$  zu berechnen.

**Beispiel 10. Gewöhnliche Balkenträger mit Zwischenträgern. Berechnung für bewegte Radlastzüge.**

Die Grenzwerte der  $M_x$  und  $V_x$  für die in Beispiel 4 betrachteten Brückenträger zu bestimmen, wenn das dort angenommene Lastsystem nicht direct auf die Hauptträger wirkt und die Querträger in Entfernungen von 2 m auf einander folgen. Eigengewicht der Hauptträger per Längeneinheit  $h = 0,3$  tn, Eigengewicht der Zwischenträger per Knotenpunkt  $G = 2 \cdot 0,3 = 0,6$  tn.

**Einfachstes Verfahren.** Zu A. 12. Für die Knotenpunkte erhalten wir die Grenzwerte  $M_x$  und  $V_x$  ganz wie in Beispiel 4. Man hat also

$$\text{bei } x = 2 \quad M_x = 4,8 \text{ mtn}, \quad \text{max } M_x = 33,48 \text{ mtn},$$

$$,, \quad x = 4 \quad M_x = 7,2 \quad ,, \quad ,, \quad M_x = 49,20 \quad ,,$$

und ferner bei

$$x = \quad 0 \quad 2 \quad 4 \quad 6 \quad 8 \quad 10 \text{ m:}$$

$$\mathfrak{B}_x = \quad 3,0 \quad 1,8 \quad 0,6 \quad -0,6 \quad -1,8 \quad -3,0 \text{ tn},$$

$$\text{pos max } V_x = 22,74 \quad 16,14 \quad 9,94 \quad 4,34 \quad -0,18 \quad -3,00 \text{ tn}.$$

Hiernach können die Curven der max  $M_x$  und der positiven und negativen max  $V_x$  nach der Anleitung in Aufgabe 12 verzeichnet werden, wie dies in Fig. 26 und 27 geschehen ist. Wollte man die Grenzwerte für beliebige Querschnitte berechnen, so würde beispielsweise für  $x = 3$  m

$$\text{max } M_x = \frac{1}{2} (33,48 + 49,20) = 41,34 \text{ mtn},$$

$$\text{pos max } V_x = \frac{1}{2} (16,14 + 9,94) = 13,04 \text{ tn}.$$

Das beim Befahren entstehende absolute Maximalmoment tritt als max  $M_m = 49,20$  bei  $m = 4$  ein, die grösste vorkommende Verticalkraft und Stützenreaction ist max  $V_0 = \text{max } V = 22,74$  tn.

**Genauestes Verfahren.** Zu A. 13. Für die Knotenpunkte bleiben die vorstehenden Resultate gültig. Es sollen nun die verlangten Grenzwerte noch für je einen Schnitt in der Mitte zwischen zwei Querträgern berechnet werden.

Die vom Eigengewichte allein herrührenden Momente und Verticalkräfte für beliebige  $x$  sind nach A. 7, 9)

$$(1) \quad M_x = 0,15x(l-x) + \frac{l-x}{10} \sum_0^x Gc + \frac{x}{10} \sum_x^l G(l-c),$$

$$(2) \quad V_x = 0,3(5-x) - \frac{1}{10} \sum_0^x Gc + \frac{1}{l} \sum_x^l G(l-c).$$

Es folgen daraus

für  $x = 1$

$$M_x = 0,15 \cdot 1 \cdot 9 + 0,06(8 + 6 + 4 + 2) = 2,55 \text{ mtn},$$

für  $x = 3$

$$M_x = 0,15 \cdot 3 \cdot 7 + 0,06 \cdot 7 \cdot 2 + 0,06 \cdot 3(6 + 4 + 2) = 6,15 \text{ mtn},$$

für  $x = 5$

$$M_x = 0,15 \cdot 5 \cdot 5 + 0,06 \cdot 5(2 + 4 + 4 + 2) = 7,35 \text{ mtn},$$

und ferner

$$\text{für } x = 1 \quad \mathfrak{B}_x = 0,3 \cdot 4 + 0,06(8 + 6 + 4 + 2) = 2,4 \text{ tn},$$

$$,, \quad x = 3 \quad \mathfrak{B}_x = 0,3 \cdot 2 + 0,06(6 + 4 + 2 - 2) = 1,2 \text{ tn},$$

$$,, \quad x = 5 \quad \mathfrak{B}_x = 0,3 \cdot 0 + 0,06(4 + 2 - 2 - 4) = 0,$$

womit für  $x = 7$  und  $9$  die  $\mathfrak{B}_x = -1,2$  und  $-2,4 \text{ tn}$  werden.

Für die Schnitte in der Mitte zwischen zwei Querträgern hat man nach A. 13, 1) 2) bei beliebiger Belastung

$$(3) \quad M_x = M_x + \frac{l-x}{l} \sum_0^c Pa + \frac{c}{2} \sum_c^v P + \left(\frac{1}{2} - \frac{x}{l}\right) \sum_c^v Pa \\ + \frac{x}{10} \sum_v^l P(l-a),$$

$$(4) \quad V_x = \mathfrak{B}_x - \frac{1}{10} \sum_0^c Pa - \frac{c}{2} \sum_c^v Pa + \frac{2}{5} \sum_c^v Pa \\ + \frac{1}{10} \sum_v^l P(l-a).$$

Die Bedingung für Maxima dieser  $M_x$  ist nach A. 13, 5)

$$(5) \quad \sum_0^c P + \frac{1}{2} \sum_c^v P = \frac{x}{10} \sum_0^l P,$$

und die Bedingung für positive und negative max  $V_x$  nach A. 13, 6)

$$(6) \quad \sum_c^v P = \frac{1}{5} \sum_0^l P.$$



Zur Berechnung der  $\max M_x$  lassen wir wie in Beispiel 4 eine vollständige Locomotive mit dem Schlotte vorn von  $l$  nach 0 hin auf die Brücke fahren, womit  $\sum_0^l P = 27 \text{ tn}$ ,  $\frac{x}{10} \sum_0^l P = 2,7x$ . Für  $x = 1$  ist  $2,7x = 2,7$ . Dieser Werth wird von dem Aggregat in 5) durchschritten, wenn  $P_1$  bei  $v = 2$  ankommt, indem dasselbe dann von 0 bis  $\frac{1}{2} 6 = 3$  anwächst; wir erhalten

$$\begin{aligned} \max M_x &= 2,55 + \frac{1}{10} (6 \cdot 8 + 6 \cdot 6,7 + 6 \cdot 5,4 + 4 \cdot 4,2 + 5 \cdot 1,2) \\ &= 16,89 \text{ mtn.} \end{aligned}$$

Für  $x = 3$  ist  $2,7x = 8,1$ , welchen Werth das Aggregat in 5) durchschreitet, wenn  $P_1$  bei  $c = 2$  eintrifft, womit dasselbe von  $\frac{1}{2} (6 + 6) = 6$  bis  $6 + \frac{1}{2} 6$  wächst; es folgt

$$\begin{aligned} \max M_x &= 6,15 + \frac{7}{10} 6 \cdot 2 + 1 \cdot 6 + \frac{2}{5} 6 \cdot 3,33 \\ &\quad + \frac{3}{10} (6 \cdot 5,4 + 4 \cdot 4,2 + 5 \cdot 1,2) = 41,07 \text{ mtn.} \end{aligned}$$

Für  $x = 5$  ist  $2,7x = 13,5$ . Die Bedingung 5) wird erfüllt, wenn  $P_2$  bei  $c = 4$  anlangt, da der Werth des Aggregats dann von  $6 + \frac{1}{2} (6 + 6) = 12$  auf  $2 \cdot 6 + \frac{1}{2} 6 = 15$  steigt; man erhält

$$\begin{aligned} \max M_x &= 7,35 + \frac{1}{2} 6 (2,7 + 4) + 2 \cdot 6 + 0 + \frac{1}{2} (4 \cdot 3,5 + 5 \cdot 0,5) \\ &= 47,70 \text{ mtn.} \end{aligned}$$

Die positiven  $\max V_x$  bei  $x = 1, 3, 5, 7, 9$  treten ein, wenn die angenommene Locomotive in gleicher Fahrriichtung wie oben mit dem Vorderrad  $P_1$  den von  $x$  gegen  $l$  hin zunächst folgenden Quer-

träger passirt, da der Werth von  $\sum_c^v P$  dann von 0 auf 6 steigt und

Bedingung 6) erfüllt wird. Wir erhalten für  $x = 1$  mit  $P_1$  bei  $v = 2$

$$\begin{aligned} \text{pos max } V_x &= 2,4 + \frac{1}{10} [6 (8 + 6,7 + 5,4) + 4 \cdot 4,2 + 5 \cdot 1,2] \\ &= 16,74 \text{ tn,} \end{aligned}$$

für  $x = 3$  mit  $P_1$  bei  $v = 4$

$$\text{pos max } V_x = 1,2 + \frac{1}{10} [6 (6 + 4,7 + 3,4) + 4 \cdot 2,2] = 10,54 \text{ tn,}$$

für  $x = 5$  mit  $P_1$  bei  $v = 6$

$$\text{pos max } V_x = 0 + \frac{1}{10} [6 (4 + 2,7 + 1,4) + 4 \cdot 0,2] = 4,94 \text{ tn,}$$

für  $x = 7$  mit  $P_1$  bei  $v = 8$

$$\text{pos max } V_x = -1,2 + \frac{6}{10}(2 + 0,7) = 0,42 \text{ tn},$$

für  $x = 9$  mit  $P_1$  bei  $v = 10$

$$\text{pos max } V_x = \mathfrak{V}_x = -2,4 \text{ tn}.$$

In analoger Weise wie hier geschehen könnten die Grenzwerte der  $M_x$  und  $V_x$  für alle beliebigen Schnitte  $x$  berechnet werden. Auf Grund der erhaltenen Werte wurden die in Fig. 26, 27 strichpunktirten Curven der  $\text{max } M_x$  und  $\text{max } V_x$  aufgetragen. Die punktirten Curven entsprechen dem Falle, dass gar keine Rücksicht auf das Vorhandensein der Zwischenträger genommen, also wie in Beispiel 4 gerechnet wird.

**Aufgabe 14. Gewöhnliche Balkenträger mit Zwischenträgern. Genaueste Berechnung für gleichmässig vertheilte bewegte Last.**

Für den in Aufgabe 4 behandelten Balkenträger mit zwei Gelenkaulagern unter Voraussetzung gleichmässig vertheilter bewegter Last, welche durch Zwischenträger übertragen wird, die genauen Ausdrücke für die Grenzwerte von  $M_x$  und  $V_x$  zu bestimmen.

a) Nach A. 7, 2) oder der Influenzlinie Fig. 14 wissen wir, dass die Grenzwerte von  $M_x$  für Totalbelastung des ganzen Trägers und Eigengewicht allein eintreten. Für ersteren Fall liefert die Verkehrslast nach § 10, 5), wenn  $p$  sich auf die Längeneinheit Träger bezieht,

$$S = cv \frac{p}{2}, \quad S' = (l - c)(l - v) \frac{p}{2},$$

wir erhalten aus A. 7, 2)

$$(1) \quad \text{max } M_x = \mathfrak{M}_x + [x(l - c - v) + cv] \frac{p}{2}, \quad \text{min } M_x = \mathfrak{M}_x.$$

Die Grenzwerte von  $V_x$  entstehen nach A. 7, 2) oder der Influenzlinie Fig. 15, wenn die Verkehrslast das einmal von  $z$  bis  $l$ , das anderemal von 0 bis  $z$  reicht, wobei  $z$  durch A. 7, 6) bestimmt ist. Sie ergeben sich entweder aus A. 7, 6), wenn auf den betreffenden Strecken  $P = pda$  gesetzt und integrirt wird, oder mittelst der Influenzlinie Fig. 15. Schlagen wir den letzteren Weg ein, so folgen zunächst

$$\text{pos max } V_x = \mathfrak{V}_x + vv_1 \frac{l - z}{2} p, \quad \text{neg max } V_x = \mathfrak{V}_x + cc_1 \frac{z}{2} p,$$

$$\text{und wegen } vv_1 = \frac{l - v}{l}, \quad cc_1 = -\frac{c}{l}$$

$\text{pos max } V_x = \mathfrak{B}_x + (l - v)(l - z) \frac{p}{2l}, \quad \text{neg max } V_x = \mathfrak{B}_x - cz \frac{p}{2l},$   
 oder nach Einsetzen von  $z$  aus A. 7, 6)

$$(2) \quad \begin{cases} \text{pos max } V_x = \mathfrak{B}_x + \frac{(l - v)^2}{l + c - v} \frac{p}{2}, \\ \text{neg max } V_x = \mathfrak{B}_x - \frac{c^2}{l + c - v} \frac{p}{2}. \end{cases}$$

Für die Knotenpunkte gehen die Gleichungen 1) 2) mit  $c = v = x$  in die ohne Vorhandensein von Zwischenträgern gültigen A. 11, 2) 3) über. Bei zur Mitte symmetrischer Anordnung des Trägers hat man

$$(3) \quad \max M_x = \max M_{l-x}, \quad \mathfrak{M}_x = \mathfrak{M}_{l-x},$$

$$(4) \quad \text{neg max } V_x = - \text{pos max } V_{l-x}, \quad \mathfrak{B}_x = - \mathfrak{B}_{l-x},$$

sodass dann nur die Grenzwerte der  $M_x$  für eine Trägerhälfte und die positiven  $\max V_x$  berechnet zu werden brauchen. Die Beiträge  $\mathfrak{M}_x, \mathfrak{B}_x$  der festen Last sind für alle Fälle in Aufgabe 7 bestimmt.

Als Näherungsformeln für die Grenzwerte von  $V_x$  ergeben sich, wenn in den Ausdrücken über 2) an Stelle von  $z$  bzw.  $c$  und  $v$  gesetzt werden,

$$(5) \quad \begin{cases} \text{pos max } V_x = \mathfrak{B}_x + (l - c)(l - v) \frac{p}{2l}, \\ \text{neg max } V_x = \mathfrak{B}_x - cv \frac{p}{2l}. \end{cases}$$

Sie liefern die Grenzwerte für die Knotenpunkte genau, für die Zwischenpunkte zu ungünstig, nämlich so, wie sie sich bei Berechnung mittelst vorausbestimmter Knotenpunktslasten  $K = p\lambda$  ergeben. Das im Anschluss an 4) Gesagte bleibt gültig.

#### Beispiel 11. Gewöhnliche Balkenträger mit Zwischenträgern. Berechnung mit Lastäquivalenten.

Für die in Beispiel 9 behandelten Brückenträger die Grenzwerte der  $M_x$  und  $V_x$  unter der Voraussetzung zu berechnen, dass die bewegte Last nicht direct auf die Hauptträger wirkt und die Querträger in Abständen von 2 m liegen. Eigengewicht der Hauptträger per Längeneinheit  $h = 0,4$  tn, Eigengewicht der Zwischenträger per Knotenpunkt  $G = 2 \cdot 0,3 = 0,6$  tn. Die Verkehrslast ist wie in Beispiel 9 anzunehmen.

**Einfachstes Verfahren.** Zu A. 12. Für die Knotenpunkte erhalten wir ganz wie in Beispiel 9

bei  $x = 2 \quad 4 \quad 6 \text{ m:}$ 

$$\frac{40}{7} \mathfrak{M}_x = \max M_x = 40 \quad 64 \quad 72 \text{ mtn,}$$

sowie ferner bei

$$\begin{array}{ccccccc} x = & 0 & 2 & 4 & 6 & 8 & 10 & 12 \text{ m:} \\ \mathfrak{B}_x = & 4,2 & 2,8 & 1,4 & 0 & -1,4 & -2,8 & -4,2 \text{ tn,} \\ \text{pos max } V_x = & 25,62 & 19,26 & 13,35 & 7,78 & 2,71 & -1,45 & -4,20 \text{ tn.} \end{array}$$

Hiernach können die Curve der  $\max M_x$  und beide Curven der  $\max V_x$  nach Anleitung von Aufgabe 12 verzeichnet werden. Auch lassen sich die entsprechenden Grenzwerte für beliebige  $x$  durch Rechnung erhalten. Beispielsweise hat man

$$\text{für } x = 2,5 \text{ m} \quad \max M_x = 40 + \frac{1}{4} (64 - 40) = 46 \text{ mtn,}$$

$$\text{pos max } V_x = 19,26 - \frac{1}{4} (19,26 - 13,35) = 17,78 \text{ tn.}$$

Das absolute Maximalmoment tritt als  $\max M_m = 72 \text{ mtn}$  bei der Trägermitte ein, die grösste vorkommende Verticalkraft und Stützenreaction sind  $\max V_0 = \max V = 25,62 \text{ tn}$ .

**Genauestes Verfahren.** Zu A. 14. Für die Knotenpunkte bleiben obige Resultate gültig. Es sollen die Grenzwerte noch für je einen Schnitt in der Mitte zwischen zwei Querträgern abgeleitet werden.

Für beliebige Querschnitte hat man nach A. 7, 9) als Beiträge der festen Last

$$(1) \quad \mathfrak{M}_x = 0,2x(l-x) + \frac{l-x}{12} \sum_0^x Ge + \frac{x}{12} \sum_x^l G(l-e),$$

$$(2) \quad \mathfrak{B}_x = 0,4(6-x) - \frac{1}{12} \sum_0^x Ge + \frac{1}{12} \sum_x^l G(l-e),$$

woraus

$$\text{für } x = 1 \quad \mathfrak{M}_x = 0,2 \cdot 1 \cdot 11 + \frac{1}{20} (10 + 8 + 6 + 4 + 2) = 3,7 \text{ mtn,}$$

$$x = 3 \quad \mathfrak{M}_x = 0,2 \cdot 3 \cdot 9 + \frac{9}{20} 2 + \frac{3}{20} (8 + 6 + 4 + 2) = 9,3,$$

$$x = 5 \quad \mathfrak{M}_x = 0,2 \cdot 5 \cdot 7 + \frac{7}{20} (2 + 4) + \frac{5}{20} (6 + 4 + 2) = 12,1,$$

und ferner

$$\text{für } x = 1 \quad \mathfrak{B}_x = 0,4 \cdot 5 + \frac{1}{20} (10 + 8 + 6 + 4 + 2) = 3,5 \text{ tn,}$$

$$x = 3 \quad \mathfrak{B}_x = 0,4 \cdot 3 + \frac{1}{20} (8 + 6 + 4 + 2 - 2) = 2,1,$$

für  $x=5$   $\mathfrak{B}_x = 0,4 \cdot 1 + \frac{1}{20} (6 + 4 + 2 - 2 - 4) = 0,7$ ,

womit für  $x=7, 9, 11$  die  $\mathfrak{B}_x = -0,7, -2,1, -3,5$  werden.

Setzen wir zur Berechnung der  $\max M_x$  für unsern Träger  $p=3,3$  wie in Beispiel 9, so folgt nach A. 14, 1) für beliebige  $x$

$$(3) \quad \max M_x = M_x + 1,65 [x(l - c - v) + cv]$$

und speziell

$$\text{für } x=1 \quad \max M_x = 3,7 + 1,65 (1 \cdot 10 + 0 \cdot 2) = 20,2 \text{ mtn},$$

$$x=3 \quad M_x = 9,3 + 1,65 (3 \cdot 6 + 2 \cdot 4) = 48,9,$$

$$x=5 \quad M_x = 12,1 + 1,65 (5 \cdot 2 + 4 \cdot 6) = 68,2.$$

Zur Berechnung der  $\max V_x$  nach A. 14, 2) sind geeignete  $p$  zu wählen. Da das vorgeführte Verfahren nur in Betracht käme, wenn das obige einfachere nicht genügend erachtet würde oder controlirt werden sollte, so muss man möglichst genau rechnen. In Beispiel 10 zeigte sich, dass die  $\text{pos } \max V_x$  für Schnitte mitten zwischen zwei Querträgern gewöhnlich eintreten, wenn Zug II von  $l$  nach 0 fahrend mit Vorderrad 0 bei  $v$  anlangt. Daher folgt aus A. 13, 2) und A. 14, 2) als Bedingung für die entsprechenden  $p$

$$\frac{1}{l} \sum_v^l P(l - a) = \frac{(l - v)^2}{l + c - v} \frac{p}{2},$$

woraus, wenn  $p_v$  den Werth von  $p$  zur Berechnung von  $\text{pos } \max V_x$  bei  $x=v$  bedeutet, nach A. 11, 9) 11) und A. 14, 2)

$$(4) \quad p = \frac{l + c - v}{l} p_v, \quad \text{pos } \max V_x = \mathfrak{B}_x + \frac{p_v}{2l} (l - v)^2.$$

Wir erhalten nun mit Rücksicht auf die Tabelle in Beispiel 7

$$\text{für } x=1 \text{ mit } p_v = 3,95 \quad \text{pos } \max V_x = 3,5 + 3,95 \frac{100}{24} = 19,96 \text{ tn},$$

$$x=3 \quad p_v = 4,48 \quad V_x = 2,1 + 4,48 \frac{64}{24} = 15,45,$$

$$x=5 \quad p_v = 5,19 \quad V_x = 0,7 + 5,19 \frac{36}{24} = 8,49,$$

$$x=7 \quad p_v = 6,17 \quad V_x = -0,7 + 6,17 \frac{16}{24} = 3,41,$$

$$x=9 \quad p_v = 8,10 \quad V_x = -2,1 + 8,10 \frac{4}{24} = -0,95,$$

$$x=11 \quad p_v = \infty \quad V_x = -3,5 + \infty \frac{0^2}{24} = -3,50.$$

**Bemerkungen.** Die erste Formel A. 14, 2) lautet für unsern Fall

$$\text{pos max } V_x = \mathfrak{B}_x + \frac{p}{20} (l - v)^2.$$

Hätten wir darin  $p$  wie ohne Zwischenträger bei  $x$  gesetzt (nach der Tabelle im Beispiel 7), so würden sich statt der vorstehenden Werthe der Reihe nach ergeben haben

$$22,00 \quad 15,57 \quad 9,25 \quad 3,87 \quad - 0,74 \quad - 3,5$$

und mit constantem  $p = 3,3$  (wie für die max  $M_x$ ),

$$20,00 \quad 12,66 \quad 6,64 \quad 1,94 \quad - 1,44 \quad - 3,5.$$

Bei dem oben angewandten Verfahren erhält man auch für die gewählten Zwischenpunkte genau dieselben max  $V_x$  wie mit den Radlastzügen. Beispielsweise liefert 4) für den in Beispiel 10 betrachteten Träger

$$\text{bei } x = 1 \text{ mit } p_e = 4,48 \quad \text{pos max } V_x = 2,4 + 4,48 \frac{64}{20} = 16,74 \text{ tn,}$$

$$x = 3 \quad p_e = 5,19 \quad V_x = 1,2 + 5,19 \frac{36}{20} = 10,54,$$

$$x = 5 \quad p_e = 6,17 \quad V_x = 0 + 6,17 \frac{16}{20} = 4,94,$$

$$x = 7 \quad p_e = 8,10 \quad V_x = -1,2 + 8,1 \frac{4}{20} = 0,42,$$

$$x = 9 \quad p_e = \infty \quad V_x = -2,4 + \infty \frac{0^2}{20} = -2,40,$$

ganz wie in Beispiel 10 direct berechnet wurde.

**Beispiel 12. Berechnung für vorausbestimmte Knotenpunktlasten.**

Die Träger des Beispiels 11 für die dort angenommene Belastung durch Eigengewicht und Knotenpunktlasten durch Verkehrslast

$$K = p\lambda = 2p$$

zu berechnen.

Die vom Eigengewichte herrührenden Momente und Verticalkräfte  $\mathfrak{M}_x$ ,  $\mathfrak{B}_x$  bleiben wie in Beispiel 11 bestimmt. Da nach A. 7, 4) allgemein

$$(1) \quad M_x = \mathfrak{M}_x + \frac{l-x}{l} \sum_0^x Kc + \frac{x}{l} \sum_x^l K(l-c),$$

$$(2) \quad V_x = \mathfrak{B}_x - \frac{1}{l} \sum_0^x Kc + \frac{1}{l} \sum_x^l K(l-c),$$

so erhalten wir für Totalbelastung des ganzen Trägers  $\max M_x$  nach 1), für Eigengewicht allein  $\min M_x = \mathfrak{M}_x$ , dagegen

$$(3) \quad \begin{cases} \text{pos max } V_x = \mathfrak{B}_x + \frac{1}{l} \sum_x^l K(l-e), \\ \text{neg max } V_x = \mathfrak{B}_x - \frac{1}{l} \sum_0^x K e. \end{cases}$$

Nach dem gewöhnlichen Verfahren würde man nun  $K = 2p$  für alle Fälle constant setzen.

Für die Grenzwerte der  $M_x$  und diejenigen der  $V_x$  in den Knotenpunkten ergeben sich mittelst vorstehender Gleichungen dieselben Resultate wie bei Berechnung mit denjenigen gleichmässig vertheilten Lasten  $p$  (constanten oder variabeln), auf Grund deren die  $K$  festgestellt wurden (§ 10, § 12d). Wir haben also, bei Beachtung von  $\text{neg max } V_x = -\text{pos max } V_{l-x}$ , gegenüber den Ermittlungen in Beispiel 11 nur eine Neuberechnung der  $\text{pos max } V_x$  in den Zwischenpunkten vorzunehmen und erhalten bei Entnahme der  $p$  aus der Tabelle in Beispiel 7 für  $x = 1$  mit  $p = 3,70$

$$\text{pos max } V_x = 3,5 + \frac{3,70}{6} (10 + 8 + 6 + 4 + 2) = 22,00 \text{ tn } (19,96),$$

für  $x = 3$  mit  $p = 4,21$

$$\text{pos max } V_x = 2,1 + \frac{4,21}{6} (8 + 6 + 4 + 2) = 16,13 \text{ (15,45)},$$

für  $x = 5$  mit  $p = 4,75$

$$\text{pos max } V_x = 0,7 + \frac{4,75}{6} (6 + 4 + 2) = 10,20 \text{ (8,49)},$$

für  $x = 7$  mit  $p = 5,71$

$$\text{pos max } V_x = -0,7 + \frac{5,71}{6} (4 + 2) = 5,01 \text{ (3,41)},$$

für  $x = 9$  mit  $p = 6,80$

$$\text{pos max } V_x = -2,1 + \frac{6,80}{6} 2 = 0,17 \text{ (-0,95)},$$

für  $x = 11$  mit  $p = 12,00$

$$\text{pos max } V_x = -3,5 + \frac{12,00}{6} 0 = -3,50 \text{ (-3,50)}.$$

Die Abweichungen dieser Resultate von den in Klammer beigesetzten genauern des Beispiels 11 rührt nur daher, dass die Berechnung mittelst vorausbestimmter Knotenpunktslasten einen plötzlichen Uebergang von total belasteten zu nur mit Eigengewicht belasteten Knotenpunkten annimmt.

Auf mindestens ebenso einfache Weise wie oben hätten wir dieselben Resultate aus der Näherungsformel A. 14, 5) für gleichmässig vertheilte bewegte Last

$$(4) \quad \text{pos max } V_x = \mathfrak{B}_x + (l - c) (l - v) \frac{p}{2}$$

erhalten können. Sie liefert mit den obigen  $p$

$$\text{für } x = 1 \text{ pos max } V_x = 3,5 + 12 \cdot 10 \frac{3,70}{24} = 22,00 \text{ tn,}$$

$$x = 3 \quad V_x = 2,1 + 10 \cdot 8 \frac{4,21}{24} = 16,13,$$

$$x = 5 \quad V_x = 0,7 + 8 \cdot 6 \frac{4,75}{24} = 10,20,$$

$$x = 7 \quad V_x = -0,7 + 6 \cdot 4 \frac{5,71}{24} = 5,01,$$

$$x = 9 \quad V_x = -2,1 + 4 \cdot 2 \frac{6,80}{24} = -0,17,$$

$$x = 11 \quad V_x = -3,5 + 2 \cdot 0 \frac{12,00}{24} = -3,50.$$

Dies letzte Verfahren ist umsomehr gerechtfertigt, als die verwendeten  $p$  auf Grund der Formeln für gleichmässig vertheilte bewegte Last erhalten wurden.

#### Aufgabe 15. Ueber Stützenreactionen von Trägern mit zwei Gelenkauflagern.

Für Balkenträger mit zwei Gelenkauflagern und beliebige Träger mit ebensolchen in gleicher Höhe sind die Verticalreactionen der Stützen ausgedrückt

$$(1) \quad V = \mathfrak{B} + \frac{1}{l} \sum_0^l P(l - a), \quad V' = \mathfrak{B}' + \frac{1}{l} \sum_0^l Pa,$$

unter  $\mathfrak{B}$ ,  $\mathfrak{B}'$  die Beiträge des Eigengewichts allein verstanden, während  $P_1, P_2, \dots$  Verkehrslasten bei  $a_1, a_2, \dots$  bedeuten. Wenn nun die Verkehrslast durch Zwischenträger auf Knotenpunkte übertragen werden, zu welchen die Stützpunkte 0,  $l$  gehören und in

$$(2) \quad V = A + K_0, \quad V' = B + K_l$$

$K_0, K_l$  die auf diese Stützpunkte direct wirkenden ganzen Knotenpunktslasten bezeichnen, zu bestimmen: a) die Ausdrücke der  $A, B$  für beliebige Belastung; b) die Influenzlinien von  $A, B, A-B$  und  $B-A$ ; c) die Grenzwerte von  $A, B$  für gleichmässig vertheilte bewegte Last und bewegte Radlastzüge.



Es seien  $\mathfrak{A}$ ,  $\mathfrak{B}$  die Beiträge des Eigengewichts zu  $A$ ,  $B$  und  $v$ ,  $c$  die Abscissen der den Stützpunkten  $0$ ,  $l$  zunächst liegenden Knotenpunkte mit Verkehrslast, dann hat man nach 2)

$$A = \mathfrak{A} + \frac{1}{l} \sum_0^l P(l-a) - \frac{1}{v} \sum_0^v P(v-a),$$

$$B = \mathfrak{B} + \frac{1}{l} \sum_0^l Pa - \frac{1}{l-c} \sum_c^l P(a-c),$$

oder auch

$$(3) \quad \begin{cases} A = \mathfrak{A} + \frac{1}{l} \left[ \frac{l-v}{v} \sum_0^v Pa + \sum_v^l P(l-a) \right], \\ B = \mathfrak{B} + \frac{1}{l} \left[ \sum_0^c Pa + \frac{c}{l-c} \sum_c^l P(l-a) \right]. \end{cases}$$

Die Abscissen  $v$ ,  $c$  wie die Anzahl und Entfernung der belasteten Knotenpunkte können beliebig gross sein.

Nach 3) bestehen die Influenzlinien von  $A$  und  $B$  aus je zwei geraden Strecken, welche von den Stützpunkten ausgehend bei  $v$  und  $c$  zusammenstossen und daselbst die Ordinaten  $\frac{l-v}{l}$  und  $\frac{c}{l}$  erreichen; sie sind in Fig. 28 verzeichnet. Subtrahirt man die Ordinate der Influenzlinie für  $B$  von derjenigen für  $A$  bei gleicher Abscisse  $a$ , so entsteht die Influenzlinie für  $A - B$  und in ganz analoger Weise diejenige von  $B - A$ . Beide Linien sind in Fig. 29 aufgetragen. — Uebrigens hätten wir die Influenzlinien von  $A$ ,  $B$  auch ohne Rücksicht auf die Ausdrücke 3) erhalten können. Denn eine zunächst auf Zwischenträger kommende Last  $P = 1$  erzeugt bei Stütze  $0$

$$\text{für } a = 0 \quad K_0 = 1, \quad \text{für } a \geq v \quad K_0 = 0.$$

Da nun die Influenzlinie zwischen zwei auf einander folgenden belasteten Knotenpunkten geradlinig verläuft und diejenige für  $V$  in Fig. 28 durch  $l0_1$  dargestellt ist, so kommt man für  $A = V - K_0$  auf  $0v_1l$  und ganz analog für  $B$  auf  $0c_1l$ .

Um die Grenzwerte von  $A$ ,  $B$  für gleichmässig vertheilte bewegte Last zu erhalten, kann man entweder die Ausdrücke 2) oder die Formeln 3) oder die Influenzlinien verwenden. Sowohl letztere Gleichungen wie die Influenzlinien zeigen, dass die Grenzwerte für Totalbelastung des ganzen Trägers und Eigengewicht allein entstehen. Aus 2) erhalten wir für den ersten Belastungsfall die Maximalwerthe

$$A = \mathfrak{A} + \frac{pl}{2} - \frac{pv}{2}, \quad B = \mathfrak{B} + \frac{pl}{2} - \frac{p(l-c)}{2},$$

oder einfacher

$$(4) \quad A = \mathfrak{A} + p \frac{l-v}{2}, \quad B = \mathfrak{B} + p \frac{2l-c}{2},$$

während die Minimalwerthe  $A = \mathfrak{A}$ ,  $B = \mathfrak{B}$  sind. Die Letzteren bleiben auch für bewegte Radlastzüge gültig, dagegen berechnen sich für solche die oberen Grenzwerte nach 3), wenn für  $A$  ein Lastzug I mit Rad  $O$  über  $v$ , für  $B$  der gleiche Lastzug mit Rad  $O$  über  $c$  steht. Da nach 3) für jede Verrückung eines bestimmten auf dem Träger befindlichen Lastsystems um  $da$

$$(5) \quad \begin{cases} dA = \frac{1}{l} \left[ \frac{l}{v} \sum_0^v P - \sum_0^l P \right] da, \\ dB = \frac{1}{l} \left[ \sum_0^l P - \frac{l}{l-c} \sum_c^l P \right] da, \end{cases}$$

so folgen die Bedingungen

$$(6) \quad \begin{cases} \text{für Maxima von } A & \sum_0^v P = \frac{v}{l} \sum_0^l P, \\ \text{„ „ „ } B & \sum_c^l P = \frac{l-c}{l} \sum_0^l P, \end{cases}$$

welchen entsprechend die wie vorerwähnt angenommenen Laststellungen noch corrigirt werden könnten, was aber praktisch gewöhnlich überflüssig ist.

## II. Abschnitt.

### Ebene Fachwerke beliebiger Art.

#### Aufgabe 16. Statische Bestimmtheit und Stabilität räumlicher Fachwerke.

Es sollen entsprechend dem Vorgehen in § 14 Bedingungen für die statische Bestimmtheit und Stabilität *räumlicher* Fachwerke abgeleitet werden.

Ein Fachwerk wurde statisch bestimmt oder statisch unbestimmt genannt, jenachdem bei bekannten äussern Activkräften und Gleichgewichtslagen der Knotenpunkte die Stützenreactionen und Stabkräfte durch die Gesetze der Statik allein bestimmt sind oder nicht; es wurde als stabil oder labil bezeichnet, jenachdem abgesehen von verschwindend kleinen elastischen Formänderungen die relative Lage der Knotenpunkte zu einander und zu den Stützen eine feste oder mit den äussern Kräften veränderliche ist.

Wir nehmen ein rechtwinkliges Coordinatensystem in fester Lage gegen irgend eine anfängliche Gruppierung der Knotenpunkte an. Die durch einen Stab der anfänglichen Länge  $l$  verbundenen Knotenpunkte  $m$  und  $n$  sind von  $x_m, y_m, z_m$  und  $x_n, y_n, z_n$  nach  $x_m + \xi_m, y_m + \eta_m, z_m + \xi_m$  und  $x_n + \xi_n, y_n + \eta_n, z_n + \xi_n$  gelangt. Bezeichnen  $X_m, Y_m, Z_m$  die resultirenden Componenten der an  $m$  wirkenden äussern Kräfte in den Richtungen  $x, y, z$  und  $S, \lambda$  die Beanspruchung und Längenänderung des Stabes  $m n$ , dann lauten die Bedingungen fürs Gleichgewicht an Punkt  $m$  nach den eingetretenen Verrückungen

$$(1) \quad \begin{cases} X_m + \sum_n S \frac{x_n + \xi_n - x_m - \xi_m}{l + \lambda} = 0, \\ Y_m + \sum_n S \frac{y_n + \eta_n - y_m - \eta_m}{l + \lambda} = 0, \\ Z_m + \sum_n S \frac{z_n + \xi_n - z_m - \xi_m}{l + \lambda} = 0. \end{cases}$$

Die  $\sum$  beziehen sich auf alle in  $m$  eintreffenden Stäbe und für  $\lambda$  hat man

$$(2) \quad (l + \lambda)^2 = (x_n + \xi_n - x_m - \xi_m)^2 + (y_n + \eta_n - y_m - \eta_m)^2 + (z_n + \zeta_n - z_m - \zeta_m)^2.$$

Bei  $k$  Knotenpunkten liefert uns die Statik  $3k$  Gleichungen 1), welche zur Bestimmung von Unbekannten dienen können. Von den Stützenreactionen mögen  $r_1$  durch je eine Componente,  $r_2$  durch zwei und  $r_3$  durch drei Componenten bestimmt sein, dann ist die Anzahl der unabhängigen Reactionscomponenten überhaupt

$$r = r_1 + 2r_2 + 3r_3.$$

Da nun bei gegebenen äussern Activkräften und Gleichgewichtslagen der Knotenpunkte die  $3k$  Gleichungen 1) von Unbekannten nur  $r$  Reactionscomponenten und  $s$  Stabkräfte enthalten, so muss für statisch bestimmte Fachwerke sein

$$(3) \quad 3k \geq r + s.$$

Werden die Knotenpunktskoordinaten nicht als bekannt vorausgesetzt, so bestehen die Gleichungen 1) zwischen Stützenreactionen, Stabkräften und Verrückungen  $\xi, \eta, \zeta$ . Soll jedoch der Träger stabil sein, so verschwinden die  $\xi, \eta, \zeta, \lambda$  gegen die  $x, y, z, l$ , die Gleichungen 1) gehen in folgende über

$$(4) \quad \begin{cases} X_m + \sum_n S \frac{x_n - x_m}{l} = 0, \\ Y_m + \sum_n S \frac{y_n - y_m}{l} = 0, \\ Z_m + \sum_n S \frac{z_n - z_m}{l} = 0, \end{cases}$$

und aus 2) wird durch Subtraction von

$$l^2 = (x_n - x_m)^2 + (y_n - y_m)^2 + (z_n - z_m)^2$$

bei Vernachlässigung kleiner Grössen zweiter Ordnung gegen solche erster Ordnung

$$(5) \quad l\lambda = (x_n - x_m)(\xi_n - \xi_m) + (y_n - y_m)(\eta_n - \eta_m) + (z_n - z_m)(\zeta_n - \zeta_m).$$

Da nun aber den  $3k$  Gleichungen 4) mit den allein als Unbekannte darin verbliebenen  $r$  Reactionscomponenten und  $s$  Stabkräften genügt werden muss, so folgt für stabile Fachwerke die Bedingung

$$(6) \quad 3k \leq r + s.$$

Trifft dieselbe nicht zu, dann ist Gleichgewicht nur unter den allgemeineren Bedingungen 1) möglich, in welchen neben den  $r + s$  unbekannten Kräften auch unbekannte  $\xi$ ,  $\eta$ ,  $\zeta$  vorkommen, durch welche die Lagen der Knotenpunkte bestimmt sind.

Die Erfüllung der Bedingung 1) oder 2) reicht indessen nicht hin, ein Fachwerk statisch bestimmt oder stabil zu machen, es kommt nicht nur auf die Anzahl, sondern auch auf die Anordnung der Stäbe und Reactionen an. Zur statischen Bestimmtheit ist nöthig, dass sich mindestens die  $r + s$  Reactionscomponenten und Stabkräfte aus den  $3k$  statischen Bedingungsgleichungen bestimmen lassen, die Stabilität verlangt, dass mindestens diesen Gleichungen mit den verfügbaren  $r + s$  Kräften genügt werden kann. Nun lässt sich jede unbekannte Kraft nur aus einer Gleichung bestimmen, in welcher sie vorkommt und mit einer verfügbaren Kraft nur einer Gleichung genügen helfen, welche diese Kraft enthält. Daher können wir aussprechen:

a) Ein Fachwerk kann nur statisch bestimmt sein, wenn es bei  $k$  Knotenpunkten  $s + r \leq 3k$  wirksame Stäbe und unabhängige Reactionscomponenten enthält, welche sich den anliegenden Knotenpunkten so zuweisen lassen, dass auf jeden Knotenpunkt höchstens drei Stäbe und Reactionscomponenten verschiedener Richtung kommen. Im Grenzfalle  $s + r = 3k$  ist statisch bestimmte Stabilität möglich, in allen andern Fällen haben wir labile Fachwerke.

b) Ein Fachwerk kann nur stabil sein, wenn es bei  $k$  Knotenpunkten  $s + r \geq 3k$  wirksame Stäbe und unabhängige Reactionscomponenten enthält, welche sich den anliegenden Knotenpunkten so zuweisen lassen, dass auf jeden Knotenpunkt mindestens drei Stäbe und Reactionscomponenten verschiedener Richtung kommen. Im Grenzfalle  $s + r = 3k$  ist statisch bestimmte Stabilität möglich, in allen anderen Fällen haben wir statisch unbestimmte Fachwerke.

Nach a) lassen sich statisch bestimmte Fachwerke durch Zufügen von  $3k - s - r$  geeigneten Stäben oder Reactionscomponenten stabil machen, es müssen fürs Gleichgewicht ebensoviel von einander unabhängige Lagebedingungen erfüllt sein. Nach b) lassen sich stabile Fachwerke durch Wegnehmen von  $s + r - 3k$  geeigneten Stäben und Reactionscomponenten statisch bestimmt machen, es müssen zur Berechnung ebensoviel von einander unabhängige Gleichungen ausserhalb der Statik gesucht werden. Da durch  $s + r$  Stabkräfte und Reactionscomponenten, welche durch eine gleiche Anzahl Gleichungen bestimmt sind, diesen auch genügt wird, so folgt:

c) Ein Fachwerk, welches bei  $k$  Knotenpunkten  $s + r = 3k$  Stabkräfte und unabhängige Reactionscomponenten enthält, die sich aus statischen Bedingungsgleichungen bestimmen lassen, ist statisch bestimmt und stabil.

Um zu entscheiden, wieviel unabhängige Reactionscomponenten ein stabiles Fachwerk mindestens haben muss, denken wir uns für alle am Fachwerk wirkenden äussern und innern Kräfte die sechs statischen Bedingungsgleichungen angeschrieben. Die innern Kräfte fallen wegen doppelten Auftretens in entgegengesetzten Richtungen aus, wir müssen jenen Gleichungen mit den allein als Unbekannte darin vorkommenden Stützenreactionen genügen können, was nur möglich ist, wenn diese von wenigstens sechs unabhängigen Componenten abhängen. Im Falle der Minimalzahl  $r = 6$  muss für statisch-bestimmt-stabile Fachwerke sein

$$s = 3k - 6$$

und soviel Stäbe sind nöthig, um  $k$  Knotenpunkte ohne Hülfe von Reactionen in feste Verbindung zu einander zu bringen, während die Anzahl der zwischen  $k$  Knotenpunkten möglichen Stäbe wie in der Ebene  $k \frac{k-1}{2}$  ist. Für jede über  $r = 6$  hinaus vorhandene Reactionscomponente muss ein Stab wegbleiben, wenn das Fachwerk nicht statisch unbestimmt werden soll und für jeden an  $s = 3k - 6$  fehlenden Stab muss eine Reactionscomponente hinzutreten, wenn das Fachwerk nicht labil werden soll.

Fassen wir einige Beispiele ins Auge. Ein abgestumpftes  $n$ -Kant des in Fig. 30, 31 angedeuteten Systems mit geraden oder gebrochenen Kanten (Pfeiler, Kuppeln) hat bei  $m$  Ringen  $k = nm$  Knotenpunkte und

$$\begin{array}{ll} nm & \text{Ringstäbe,} \\ n(m-1) & \text{Kantenstäbe,} \\ n(m-1) & \text{Diagonalstäbe,} \\ \text{im Ganzen} & s = n(3m-2) \text{ Stäbe.} \end{array}$$

Es sind also zur statisch bestimmten Stabilität

$$3k - s = 3nm - n(3m-2) = 2n$$

von einander unabhängige Reactionscomponenten nöthig und soviel haben wir beispielsweise, wenn jede Stützenreaction von 2 Componenten abhängt, wie bei der den Sätzen a) b) entsprechenden Zuweisung in Fig. 30 angenommen wurde. Bei dem Dreikant Fig. 31 soll der Knotenpunkt XII festliegen, während X auf einer Linie und

XI auf einer Fläche reibungslos gleitet. Beide angedeuteten Fachwerke (das erste bei  $n$  Kanten) sind statisch-bestimmt-stabil und es gilt dies auch noch, wenn beliebige Diagonalstäbe ihre Stellung im Viereck wechseln. Läuft das  $n$ -Kant in einen Knotenpunkt aus (Thurmdächer, Kuppeln), dann haben wir bei  $m$  Ringen  $k = nm + 1$  Knotenpunkte, sowie

$$\begin{array}{rcl} nm & \text{Ringstäbe,} & \\ nm & \text{Kantenstäbe,} & \\ n(m-1) & \text{Diagonalstäbe,} & \\ \text{zusammen} & s = n(3m-1) \text{ Stäbe.} & \end{array}$$

Das Stabsystem lässt sich durch

$$3k - s = 3(nm + 1) - n(3m - 1) = n + 3$$

unabhängige Reactionscomponenten statisch bestimmt stabil machen.

In Fig. 31 dürfen alle Stäbe und Reactionscomponenten bleiben, da für  $n + 3 = 6$  ist und die hinzukommenden drei Stabkräfte aus den drei Gleichungen für den neuen Knotenpunkt berechnet werden können, in Fig. 30 verlangt die statisch-bestimmte Stabilität den Wegfall von drei (bei  $n$  Kanten von  $2n - n - 3 = n - 3$ ) Stäben oder Reactionscomponenten.

**Beispiel 13. Statisch - bestimmtes Balkenfachwerk doppelten Systems. Berechnung von Stabkräften aus Knotenpunktgleichungen.**

Für das in Fig. 32 angedeutete Fachwerk die von der Kraft  $P = 40$  tn erzeugten Stabkräfte zu berechnen, wenn sämtliche Stäbe auf Zug und Druck genügend widerstandsfähig sind. Die in Figur eingeschriebenen arabischen Ziffern geben die Stablängen an.

Als Stützenreactionen hat man

$$V = \frac{5}{8} 40 = 25 \text{ tn,} \quad V' = \frac{3}{8} 40 = 15 \text{ tn.}$$

Die Gesamtheit der in einem Knotenpunkt angreifenden äussern und innern Kräfte muss den durch § 14, 4) ausgedrückten Bedingungen genügen:

$$\begin{array}{lcl} \text{Summe aller Horizontalkräfte gleich Null,} & & \\ \text{„ „ Verticalkräfte „ „} & & \end{array}$$

Demzufolge lassen sich die Stabkräfte in nachstehender Reihenfolge aus den angesetzten Bedingungs-gleichungen für die durch lateinische Zahlen bezeichneten Knotenpunkte berechnen.

$$\begin{array}{ll}
 \text{I} & \left\{ \begin{array}{l} U_1 + O_1 \frac{3}{3,47} = 0 \\ 25 + O_1 \frac{1,75}{3,47} = 0 \end{array} \right. \quad \begin{array}{l} O_1 = -49,57 \text{ tn} \\ U_1 = -42,86 \end{array} \\
 \text{II} & \left\{ \begin{array}{l} U_2 - U_1 = 0 \\ V_1 + 0 = 0 \end{array} \right. \quad \begin{array}{l} U_2 = U_1 \\ V_1 = 0 \end{array} \\
 \text{III} & \left\{ \begin{array}{l} U_3 - U_2 = 0 \\ V_2 + 0 = 0 \end{array} \right. \quad \begin{array}{l} U_3 = U_1 \\ V_2 = 0 \end{array} \\
 \text{IV} & \left\{ \begin{array}{l} O_2 \frac{3}{3,25} + D_1 \frac{6}{6,25} - O_1 \frac{3}{3,47} = 0 \\ O_2 \frac{1,25}{3,25} - D_1 \frac{1,75}{6,25} - O_1 \frac{1,75}{3,47} - V_1 = 0 \end{array} \right. \quad \begin{array}{l} O_2 = -57,36 \\ D_1 = 10,51 \end{array} \\
 \text{V} & \left\{ \begin{array}{l} O_3 \frac{3}{3,09} + D_2 \frac{6}{6,71} - O_2 \frac{3}{3,25} = 0 \\ O_3 \frac{0,75}{3,09} - D_2 \frac{3}{6,71} - O_2 \frac{1,25}{3,25} - V_2 = 0 \end{array} \right. \quad \begin{array}{l} O_3 = -66,65 \\ D_2 = 13,16 \end{array} \\
 \text{VI} & \left\{ \begin{array}{l} U_8 + O_8 \frac{3}{3,47} = 0 \\ 15 + O_8 \frac{1,75}{3,47} = 0 \end{array} \right. \quad \begin{array}{l} O_8 = -29,74 \\ U_8 = 25,71 \end{array} \\
 \text{VII} & \left\{ \begin{array}{l} U_7 - U_8 = 0 \\ V_7 + 0 = 0 \end{array} \right. \quad \begin{array}{l} U_7 = U_8 \\ V_7 = 0 \end{array} \\
 \text{VIII} & \left\{ \begin{array}{l} U_6 - U_7 = 0 \\ V_6 + 0 = 0 \end{array} \right. \quad \begin{array}{l} U_6 = U_8 \\ V_6 = 0 \end{array} \\
 \text{IX} & \left\{ \begin{array}{l} O_7 \frac{3}{3,25} + D_6 \frac{6}{6,25} - O_8 \frac{3}{3,47} = 0 \\ O_7 \frac{1,25}{3,25} - D_6 \frac{1,75}{6,25} - O_8 \frac{1,75}{3,47} - V_7 = 0 \end{array} \right. \quad \begin{array}{l} O_7 = -34,41 \\ D_6 = 6,30 \end{array} \\
 \text{X} & \left\{ \begin{array}{l} O_6 \frac{3}{3,09} + D_5 \frac{6}{6,71} - O_7 \frac{3}{3,25} = 0 \\ O_6 \frac{0,75}{3,09} - D_5 \frac{3}{6,71} - O_7 \frac{1,25}{3,25} - V_6 = 0 \end{array} \right. \quad \begin{array}{l} O_6 = -39,99 \\ D_5 = 7,89 \end{array} \\
 \text{XI} & V_4 + D_2 \frac{3}{6,71} + D_5 \frac{3}{6,71} = 0 \quad V_4 = -9,41 \\
 \text{XII} & \left\{ \begin{array}{l} O_6 \frac{3}{3,01} - O_4 \frac{3}{3,01} = 0 \\ O_6 \frac{0,25}{3,01} + O_4 \frac{0,25}{3,01} + V_4 = 0 \end{array} \right. \quad \begin{array}{l} O_4 = 56,65 \\ O_6 = O_4 \end{array} \\
 \text{XIII} & O_4 \frac{3}{3,01} + D_3 \frac{6}{7,08} - O_3 \frac{3}{3,09} = 0 \quad D_3 = -142,98
 \end{array}$$



$$\text{XIV} \quad O_5 \frac{3}{3,01} + D_4 \frac{6}{7,08} - O_6 \frac{3}{3,09} = 0 \quad D_4 = -112,41$$

$$\text{XV} \quad \begin{cases} U_4 - U_3 - D_1 \frac{6}{6,25} + D_4 \frac{6}{7,08} = 0 & U_4 = 148,24 \\ V_3 - 40 + D_1 \frac{1,75}{6,25} + D_4 \frac{3,75}{7,08} = 0 & V_3 = 96,61 \end{cases}$$

$$\text{XVI} \quad \begin{cases} U_5 - U_6 - D_6 \frac{6}{6,25} + D_3 \frac{6}{7,08} = 0 & U_5 = 152,93 \\ V_5 + D_6 \frac{1,75}{6,25} + D_3 \frac{3,75}{7,08} = 0 & V_5 = 73,97. \end{cases}$$

Damit sind alle Stabkräfte und Stützenreactionen bestimmt. Als Proben können dienen

$$\text{bei XI} \quad U_5 - U_4 - D_2 \frac{6}{6,71} + D_5 \frac{6}{6,71} = 0,$$

$$\text{„ XIII} \quad O_4 \frac{0,25}{3,01} - O_3 \frac{0,75}{3,09} - D_3 \frac{3,75}{7,08} - V_3 = 0,$$

$$\text{„ XIV} \quad O_5 \frac{0,25}{3,01} - O_6 \frac{0,75}{3,09} - D_4 \frac{3,75}{7,08} - V_5 = 0.$$

Bemerkungen. Anstatt wie vorstehend hätten sich die Stabkräfte auch in anderer Reihenfolge oder nach einer der Methoden des § 15 berechnen lassen. Ferner konnte man direct angeben  $U_8, O_8, U_7, O_7, D_6, D_5, O_6$  gleich  $\frac{3}{6} U_1, O_1, U_2, O_2, D_1, D_2, O_3$ .

Angenommen, die beiden mittleren Obergurtstäbe wären horizontal. Dann würden an Stelle von XII bis XIV treten

$$\text{XII} \quad \begin{cases} O_5 - O_4 = 0 \\ O_5 \frac{0}{3} + O_4 \frac{0}{3} + V_4 = 0 \end{cases}$$

$$\text{XIII} \quad O_4 + D_3 \frac{6}{7,08} - O_3 \frac{3}{3,09} = 0$$

$$\text{XIV} \quad O_5 + D_4 \frac{6}{7,08} - O_6 \frac{3}{3,09} = 0,$$

und damit folgende Abweichungen gegen oben erhalten werden

$$O_4 = O_5 = \infty \quad D_3 = D_4 = -\infty$$

$$U_4 = U_5 = \infty \quad V_3 = V_5 = \infty.$$

Es ist dies ein Grenzfall, wie er in zahlreichen mathematischen und mechanischen Problemen vorkommt, ohne immer besonders erwähnt zu werden. Für Bogen vom Pfeile  $f=0$  beispielsweise wird der Horizontalschub  $H=\infty$ . Der obige Träger ist nur dann stabil, wenn jene 8 Stäbe unendlich grosse Widerstandsfähigkeit besitzen,

d. h. bei starren Stäben (ähnlich wie die Dreigelenkbogen Fig. 255—266 der Theorie für  $f=0$ ). In andern Fällen ist er nicht stabil, aber dasselbe gilt bei nicht horizontalen Stäben, wenn irgendwelche Stäbe nicht genügende Widerstandsfähigkeit besitzen. Praktisch ist der Träger ohne Bedeutung, weil auch bei nur annähernd horizontalen Stäben die Beanspruchungen der Stäbe, welche oben  $\infty$  wurden, durch kleine Neigungsdifferenzen zu stark beeinflusst werden.

**Beispiel 14. Statisch bestimmtes Fachwerk doppelten Systems mit schiefer Auflager. Berechnung von Stabkräften aus Knotenpunktgleichungen.**

Für das in Fig. 33 skizzierte Fachwerk sind sämtliche von der angedeuteten Locomotivbelastung herrührenden Stabkräfte und Stützenreactionen unter der Voraussetzung zu berechnen, dass die Stäbe dem auf sie entfallenden Zug oder Druck widerstehen können. Sodann ist anzugeben, welche Aenderungen der Stabkräfte und Stützenreactionen entstünden, wenn anstatt der schiefen Auflagerbahn eine horizontale gewählt würde.

Durch die angedeuteten Radlasten entstehen folgende Knotenpunktlasten

$$\begin{aligned}
 K_0 &= 0, \\
 K_1 &= 6 + 6 \frac{2,2 + 0,9}{3,5} = 11,32 \text{ tn}, \\
 K_2 &= 6 \frac{1,3 + 2,6}{3,5} + 4 \frac{3,2}{3,5} + 5 \frac{0,2}{3,5} = 10,63, \\
 K_3 &= 4 \frac{0,3}{3,5} + 5 \frac{3,3}{3,5} = 5,06, \\
 K_4 &= 6 \frac{3 + 1,7 + 0,4}{3,5} = 8,74, \\
 K_5 &= 6 \frac{0,5 + 1,8 + 3,1}{3,5} + 4 \frac{2,7}{3,5} = 12,34, \\
 K_6 &= 4 \frac{0,8}{3,5} = 0,91.
 \end{aligned}$$

$$\text{Probe } 6 \cdot 6 + 2 \cdot 4 + 5 = 49 \text{ tn.}$$

Schreiben wir nun die Momentengleichung für alle am Träger wirkenden äusseren Kräfte hinsichtlich des Auflagers V an, so folgt aus

$$V \cdot 6 - 11,32 \cdot 5 - 10,63 \cdot 4 - 5,06 \cdot 3 - 8,74 \cdot 2 - 12,34 = 0$$

5\*

die Verticalreaction bei I

$$V = 24,02 \text{ tn},$$

wonach die Verticalreaction bei V

$$V' = 49 - 24,02 = 24,98 \text{ tn},$$

die Totalreaction daselbst

$$R = \frac{V'}{\cos 30} = \frac{2 \cdot 24,98}{\sqrt{3}} = 28,85 \text{ tn},$$

und der Horizontalschub

$$H = R \sin 30 = \frac{R}{2} = 14,42 \text{ tn}.$$

Aus den für die äussern und innern Kräfte an jedem Knotenpunkte bestehenden Bedingungen

Summe aller Horizontalkräfte gleich Null,

„ „ Verticalkräfte „ „

lassen sich nun die Stabkräfte in nachstehender Reihenfolge berechnen. Die lateinischen Zahlen deuten an, welchen Knotenpunkten die beigesetzten Gleichungen entsprechen.

I	$\begin{cases} H + U_1 = 0 \\ V + V_0 = 0 \end{cases}$	$\begin{aligned} U_1 &= -14,42 \text{ tn} \\ V_0 &= -24,02 \end{aligned}$
II	$\begin{cases} O_1 \frac{3,5}{3,81} + D_1 \frac{7}{7,28} = 0 \\ O_1 \frac{1,5}{3,81} - D_2 \frac{2}{7,28} - V_0 = 0 \end{cases}$	$\begin{aligned} O_1 &= -36,51 \\ D_1 &= 34,97 \end{aligned}$
III	$\begin{cases} U_2 - U_1 = 0 \\ V_1 - K_1 = 0 \end{cases}$	$\begin{aligned} U_2 &= U_1 \\ V_1 &= 11,32 \end{aligned}$
IV	$\begin{cases} O_2 \frac{3,5}{3,64} + D_2 \frac{7}{7,83} - O_1 \frac{3,5}{3,81} = 0 \\ O_2 \frac{1}{3,64} - D_2 \frac{3,5}{7,83} - O_1 \frac{1,5}{3,81} - V_1 = 0 \end{cases}$	$\begin{aligned} O_2 &= -26,34 \\ D_2 &= -9,28 \end{aligned}$
V	$\begin{cases} H + U_6 = 0 \\ V' + V_6 - K_6 = 0 \end{cases}$	$\begin{aligned} U_6 &= U_1 \\ V_6 &= -24,07 \end{aligned}$
VI	$\begin{cases} O_6 \frac{3,5}{3,81} + D_6 \frac{7}{7,28} = 0 \\ O_6 \frac{1,5}{3,81} - D_5 \frac{2}{7,28} - V_6 = 0 \end{cases}$	$\begin{aligned} O_6 &= -36,67 \\ D_6 &= 35,05 \end{aligned}$
VII	$\begin{cases} U_5 - U_6 = 0 \\ V_5 - K_5 = 0 \end{cases}$	$\begin{aligned} U_5 &= U_1 \\ V_5 &= 12,34 \end{aligned}$

$$\text{VIII} \quad \begin{cases} O_5 \frac{3,5}{3,64} + D_5 \frac{7}{7,83} - O_6 \frac{3,5}{3,51} = 0 & O_5 = -25,08 \text{ tn} \\ O_5 \frac{1}{3,64} - D_5 \frac{3,5}{7,83} - O_6 \frac{1,5}{3,81} - V_5 = 0 & D_5 = -10,72 \end{cases}$$

$$\text{IX} \quad V_3 + (D_2 + D_6) \frac{3,5}{7,83} - K_3 = 0 \quad V_2 = 14,00$$

$$\text{X} \quad \begin{cases} (O_4 - O_3) \frac{3,5}{3,54} = 0 & O_3 = -49,56 \\ V_3 + 2O_3 \frac{0,5}{3,54} = 0 & O_4 = O_3 \end{cases}$$

$$\text{XI} \quad \begin{cases} O_3 \frac{3,5}{3,54} + D_3 \frac{7}{8,32} - O_2 \frac{3,5}{3,64} = 0 & D_3 = 28,13 \\ O_3 \frac{0,5}{3,54} - D_3 \frac{4,5}{8,32} - O_2 \frac{1}{3,64} - V_2 = 0 & V_2 = -14,97 \end{cases}$$

$$\text{XII} \quad \begin{cases} O_4 \frac{3,5}{3,54} + D_4 \frac{7}{8,32} - O_5 \frac{3,5}{3,64} = 0 & D_4 = 29,57 \\ O_4 \frac{0,5}{3,54} - D_4 \frac{4,5}{8,32} - O_5 \frac{1}{3,64} - V_4 = 0 & V_4 = -16,10 \end{cases}$$

$$\text{XIII} \quad U_3 + D_4 \frac{7}{8,32} - D_1 \frac{7}{7,28} - U_2 = 0 \quad U_3 = -5,67$$

$$\text{XIV} \quad U_4 + D_3 \frac{7}{8,32} - D_6 \frac{7}{7,28} - U_5 = 0 \quad U_4 = -4,39.$$

$$\text{Probe bei IX} \quad U_4 + (D_5 + D_2) \frac{7}{7,83} - U_3 = 0,$$

$$,, \quad ,, \quad \text{XIII} \quad V_2 - K_2 + D_4 \frac{4,5}{8,32} + D_1 \frac{2}{7,28} = 0,$$

$$,, \quad ,, \quad \text{XIV} \quad V_4 - K_4 + D_3 \frac{4,5}{8,32} + D_6 \frac{2}{7,28} = 0.$$

Wollte man anstatt der schiefen Auflagerbahn eine horizontale anwenden, so würden die Horizontalcomponenten der Auflagerreactionen wegfallen,  $V$ ,  $V'$  dagegen wie oben bleiben. Sämmtliche Stabkräfte des Untergurts würden in positivem Sinne 14,42 tn zunehmen (Werth von  $H$  bei schiefem Auflager) und alle übrigen Stabkräfte ungeändert bleiben. Bezüglich des Falles horizontaler Obergurtstäbe ist auf das am Schluss des vorigen Beispiels Gesagte zu verweisen.

#### Aufgabe 17. Ableitung von Stabkräften aus Knotenpunktsgleichungen.

Die Ausdrücke sämmtlicher Stabkräfte des in Fig. 34 angedeuteten Balkenfachwerks für beliebige Belastung aus den Gleichgewichtsbedingungen der einzelnen Knotenpunkte abzuleiten.

Es mögen  $\lambda$ ,  $h$ ,  $d$  die Feldlänge, Trägerhöhe und Länge der Diagonalen bedeuten. Ferner setzen wir

$$V = \frac{1}{l} \sum_0^l K(l - e) = A + K_0,$$

$$V' = \frac{1}{l} \sum_0^l K e = B + K_l,$$

sodass  $A$ ,  $B$  die Stützenreactionen abzüglich der (direct übertragenen) Knotenpunktlasten bei 0 und  $l$  bezeichnen. In unserem speziellen Falle sind

$$A = \frac{1}{5} (4K_1 + 3K_2 + 2K_3 + K_4),$$

$$B = \frac{1}{5} (4K_4 + 3K_3 + 2K_2 + K_1).$$

Die Stabkräfte ergeben sich damit aus den Gleichgewichtsbedingungen für die durch lateinische Zahlen benannten Knotenpunkte in nachstehender Reihenfolge.

$$\text{I} \quad \begin{cases} X_1 + Y_1 \frac{\lambda}{d} = 0 \\ A - Y_1 \frac{h}{d} = 0 \end{cases} \quad \begin{aligned} Y_1 &= \frac{d}{h} A \\ X_1 &= -\frac{\lambda}{h} A \end{aligned}$$

$$\text{II} \quad \begin{cases} Z_2 \frac{\lambda}{d} - Y_1 \frac{\lambda}{d} = 0 \\ Z_2 \frac{h}{d} + Y_1 \frac{h}{d} + V_1 = 0 \end{cases} \quad \begin{aligned} Z_2 &= Y_1 \\ V_1 &= -2A \end{aligned}$$

$$\text{III} \quad \begin{cases} X_2 - X_1 + Y_2 \frac{\lambda}{d} = 0 \\ V_1 + K_1 + Y_2 \frac{h}{d} = 0 \end{cases} \quad \begin{aligned} Y_2 &= (2A - K_1) \frac{d}{h} \\ X_2 &= -(3A - K_1) \frac{\lambda}{h} \end{aligned}$$

$$\text{IV} \quad \begin{cases} Z_3 \frac{\lambda}{d} - Y_2 \frac{\lambda}{d} = 0 \\ Z_3 \frac{h}{d} + Y_2 \frac{h}{d} + V_2 = 0 \end{cases} \quad \begin{aligned} Z_3 &= Y_2 \\ V_2 &= -(2A - K_1) 2 \end{aligned}$$

$$\text{V} \quad \begin{cases} X_3 - X_2 + Y_3 \frac{\lambda}{d} - Z_2 \frac{\lambda}{d} = 0 \\ V_2 + K_2 + Y_3 \frac{h}{d} + Z_2 \frac{h}{d} = 0 \end{cases} \quad \begin{aligned} Y_3 &= (3A - 2K_1 - K_2) \frac{d}{h} \\ X_3 &= -(5A - 3K_1 - K_2) \frac{\lambda}{h} \end{aligned}$$

$$\text{VI} \quad \begin{cases} Z_4 \frac{\lambda}{d} - Y_3 \frac{\lambda}{d} = 0 \\ Z_4 \frac{h}{d} + Y_3 \frac{h}{d} + V_3 = 0 \end{cases} \quad \begin{aligned} Z_4 &= Y_3 \\ V_3 &= -(3A - 2K_1 - K_2) 2 \end{aligned}$$

$$\text{VII} \begin{cases} X_4 - X_3 + Y_4 \frac{\lambda}{d} - Z_3 \frac{\lambda}{d} = 0 & Y_4 = (4A - 3K_1 - 2K_2 - K_3) \frac{d}{h} \\ V_3 + K_3 + Y_4 \frac{h}{d} + Z_3 \frac{h}{d} = 0 & X_4 = -(7A - 5K_1 - 3K_2 - K_3) \frac{\lambda}{h} \end{cases}$$

$$\text{VIII} \begin{cases} Z_5 \frac{\lambda}{d} - Y_4 \frac{\lambda}{d} = 0 & Z_5 = Y_4 \\ Z_5 \frac{h}{d} + Y_4 \frac{h}{d} + V_4 = 0 & V_4 = -(4A - 3K_1 - 2K_2 - K_3) 2 \end{cases}$$

$$\text{IX} \quad X_5 - X_4 - Z_4 \frac{\lambda}{d} = 0 \quad X_5 = -(4A - 3K_1 - 2K_2 - K_3) \frac{\lambda}{h}.$$

$$\text{Probe bei IX} \quad V_4 + K_4 + Z_4 \frac{h}{d} = 0,$$

$$,, \quad ,, \quad X \quad X_5 + Z_5 \frac{\lambda}{d} = 0,$$

$$,, \quad ,, \quad X \quad B - Z_5 \frac{h}{d} = 0.$$

**Bemerkungen.** Wir hätten mit Rücksicht auf die symmetrische Anordnung der Stäbe nach Erledigung des Knotenpunkts V aus I—IV sofort auf die folgenden Ausdrücke schliessen können.

$$\begin{aligned} Z_5 &= B \frac{d}{h} & X_5 &= -B \frac{\lambda}{h}, \\ Y_4 &= Z_5 & U_4 &= -2B, \\ Z_4 &= (2B - K_4) \frac{d}{h}, & X_4 &= -(3B - K_4) \frac{\lambda}{h}, \\ Y_3 &= Z_4 & V_3 &= -(2B - K_4) 2. \end{aligned}$$

Auch alle übrigen Stabkräfte lassen sich, so fortfahrend, noch anders als oben ausdrücken. Nachdem alle Stabkräfte für beliebige Belastung abgeleitet sind, könnte man die Grenzwerthe derselben für bewegte Lasten mittelst der gefundenen Ausdrücke entweder allgemein feststellen, oder in gegebenen Fällen nach einer der Methoden § 12, e) f) numerisch berechnen. Weitere Ableitungen von Stabkräften aus Knotenpunktsgleichungen sind in den beiden letzten Beispielen und der folgenden Aufgabe enthalten.

#### Aufgabe 18. Verschiedene Fachwerke. Ableitung von Grenzbeanspruchungen aus Knotenpunktsgleichungen.

Für die in Fig. 35—40 angedeuteten Fachwerke die Grenzwerthe der Stabkräfte bei bewegter Verkehrslast aus den Gleichgewichtsbedingungen für die einzelnen Knotenpunkte abzuleiten.

**Erster Fall.** Fig. 35 und 36. Die Bedingung „Summe aller Horizontalkräfte gleich Null“ in Anwendung auf die zwei mittleren Knotenpunkte ergibt, dass die Beanspruchungen der oberen Gurtungsstäbe sowohl wie diejenigen der unteren Gurtungsstäbe gleich gross sind. Es mögen nun  $\lambda$ ,  $h$ ,  $d$  die Längen der durch  $X$ ,  $Y$ ,  $Z$  beanspruchten Stäbe bezeichnen und im Folgenden die oberen und unteren Vorzeichen bezw. bei oben liegender und unten liegender  $X$ -Gurtung gelten, dann hat man

$$X + Z \frac{\lambda}{d} = 0, \quad K \pm Y = 0, \quad Y + 2Z \frac{h}{d} = 0,$$

woraus für beliebige Belastung

$$(1) \quad X = \mp K \frac{\lambda}{2h}, \quad Y = \mp K, \quad Z = \pm K \frac{d}{2h}.$$

Die Grenzwerte sämtlicher Stabkräfte entstehen hiernach gleichzeitig mit den Grenzwerten der Knotenpunktslast  $K$ . Für ein gleichmässig vertheiltes Eigengewicht von  $g$  per Längeneinheit und eine ebensolche Verkehrslast von  $p$  per Längeneinheit sind die Grenzwerte durch 1) mit

$$(2) \quad K = \mathfrak{R} = g\lambda, \quad K = (g + p)\lambda = q\lambda$$

bestimmt. Für beliebige feste Last und bewegte Radlastzüge ergeben sie sich aus 1) mit

$$(3) \quad K = \mathfrak{R}, \quad K = \mathfrak{R} + \frac{1}{\lambda} \sum_0^{\lambda} Pa + \frac{1}{\lambda} \sum_{\lambda}^l P(l - a),$$

wenn  $\mathfrak{R}$  der festen Last allein entspricht und bei Berechnung des letzten  $K$  ein Zug I mit Rad  $O$  über der Trägermitte angenommen wird. Aus 3) folgt durch Differentiation nach  $a$  als Bedingung für Maxima von  $K$  und der Stabkräfte

$$(4) \quad \sum_0^{\lambda} P = \frac{1}{2} \sum_0^l P.$$

Mittelst dieser Gleichung könnte die erwähnte Stellung des Lastzugs noch corrigirt werden, was jedoch praktisch selten nöthig sein wird.

**Zweiter Fall.** Fig. 37 und 38. Der Träger sei durch Verticalen in  $n$  Felder von gleichen Längen  $\lambda$  getheilt. Längen der durch  $V_m$ ,  $Y_m$ ,  $Z_m$  beanspruchten Stäbe  $h$ ,  $d_m$ ,  $d_{n-m}$ . Die Bedingung „Summe aller Horizontalkräfte gleich Null“ in Anwendung auf die Knotenpunkte des Obergurts ergibt, dass alle Stäbe des Letzteren gleich

stark beansprucht sind. Zur Berechnung der Stäbe vom Index  $m$  hat man

$$\begin{aligned} V_m + K_m &= 0, \\ Z_m \frac{(n-m)\lambda}{d_{n-m}} - Y_m \frac{m\lambda}{d_m} &= 0, \\ V_m + Z_m \frac{h}{d_{n-m}} + Y_m \frac{h}{d_m} &= 0 \end{aligned}$$

und für die Gurtungskräfte  $X$

$$X + Y_1 \frac{\lambda}{d_1} + Y_2 \frac{2\lambda}{d_2} + \dots + Y_{n-1} \frac{(n-1)\lambda}{d_{n-1}} = 0.$$

Es folgen daraus für beliebige Belastung

$$(5) \quad V_m = -K_m, \quad Y_m = \frac{n-m}{nh} d_m K_m, \quad Z_m = \frac{m}{nh} d_{n-m} K_m,$$

$$(6) \quad X = -\frac{\lambda}{nh} [(n-1) 1 K_1 + (n-2) 2 K_2 + \dots + 1 (n-1) K_{n-1}].$$

Diese Gleichungen führen mit  $n=2$  auf 1), und 6) liefert beispielsweise

$$\text{für } n=3 \quad X = -\frac{2\lambda}{3h} (K_1 + K_2),$$

$$,, \quad n=4 \quad X = -\frac{\lambda}{4h} (3K_1 + 4K_2 + 3K_3),$$

$$,, \quad n=5 \quad X = -\frac{2\lambda}{5h} (2K_1 + 3K_2 + 3K_3 + 2K_4).$$

Während die Stabkräfte  $V_m$ ,  $Y_m$ ,  $Z_m$  nur von der Knotenpunktslast  $K_m$  abhängen, tragen sämtliche Lasten auf dem Träger zu  $X$  bei.

Die Grenzwerte der Stabkräfte entstehen, wenn die beitragenden Knotenpunktslasten einmal möglichst gross und einmal möglichst klein sind. Für gleichmässig vertheilte feste Last und ebensolche Verkehrslast von  $g$  und  $p$  per Längeneinheit Träger erhält man die Grenzwerte mit  $K_m = K$  entsprechend 2), also insbesondere die Grenzwerte von  $X$

$$(7) \quad \mathfrak{X} = -(n^2 - 1) \frac{g\lambda^2}{6h}, \quad X = \frac{q}{g} \mathfrak{X},$$

worin  $q = g + p$  ist. Für beliebige feste Last und bewegte Radlastzüge hat man allgemein, wenn  $\mathfrak{R}_m$  der festen Last allein entspricht,

$$(8) \quad K_m = \mathfrak{R}_m + \frac{1}{\lambda} \left[ \sum_{m=1}^m P(a - m\lambda + \lambda) + \sum_{m=1}^{m+1} P(m\lambda + \lambda - a) \right].$$

Die Grenzwerte von  $V_m$ ,  $Y_m$ ,  $Z_m$  ergeben sich nun mit  $K_m = \mathfrak{R}_m$  und  $K_m$  nach 8), wenn im letzteren Fall ein Zug I mit Rad  $O$  über



Verticale  $m$  steht. Die Grenzwerte von  $X$  folgen ebenfalls mit  $K_m = R_m$  und  $K_m$  nach 8), wobei jedoch für letzteren Fall Zug I mit Rad  $O$  über der Trägermitte anzunehmen ist. Während bei gleichen  $R_m$  auch die  $K_m$  zur Berechnung aller Grenzwerte  $V_m, Y_m, Z_m$  gleich gross werden, ist dies für die  $K_m$  zur Berechnung des oberen Grenzwerts von  $X$  nicht der Fall. — Ist die feste Last wie gewöhnlich symmetrisch zur Trägermitte angeordnet, so hat man neben  $X$  nur die  $V$  der ersten Trägerhälfte und die  $Y$  zu berechnen.

Dritter Fall. Fig. 39 und 40. Es seien die ganzen Stützenreactionen bei 0 und  $l$

$$(9) \quad V = A + K_0, \quad V' = B + K_3,$$

dann hat man die Stützenreactionen abzüglich der direct auf die Stützen kommenden Knotenpunktlasten  $K_0, K_3$

$$(10) \quad A = \frac{2}{3} K_1 + \frac{1}{3} K_2, \quad B = \frac{1}{3} K_1 + \frac{2}{3} K_2.$$

Bezeichnen  $\lambda, h, d$  die Feldlänge, Trägerhöhe und Länge der schiefen Stäbe, so gelten folgende Knotenpunktsgleichungen, in welchen sich die oberen und unteren Vorzeichen bezw. auf oben liegende und unten liegende X-Gurtung beziehen.

$$\begin{aligned} X_1 + Z_1 \frac{\lambda}{d} &= 0 & A \mp Z_1 \frac{h}{d} &= 0 \\ Z_2 - Z_1 \frac{\lambda}{d} &= 0 & V_1 + Z_1 \frac{h}{d} &= 0 \\ X_3 + Z_3 \frac{\lambda}{d} &= 0 & B \mp Z_3 \frac{h}{d} &= 0 \\ X_3 - X_2 &= 0 & V_2 \pm K_2 &= 0 \\ Z_3 \frac{\lambda}{d} - Z_2 - D \frac{\lambda}{d} &= 0. \end{aligned}$$

Hieraus folgen die Stabkräfte für beliebige Belastung

$$(11) \quad \begin{cases} Z_1 = \pm A \frac{d}{h} & Z_3 = \pm B \frac{d}{h} \\ X_1 = \mp A \frac{\lambda}{h} & X_3 = \mp B \frac{\lambda}{h} \\ Z_2 = -X_1 & X_2 = X_3 \\ V_1 = \mp A & V_2 = \mp K_2 \\ D = \mp (B - A) \frac{d}{h} = \pm (K_2 - K_1) \frac{d}{3h}. \end{cases}$$

Nach 10) 11) tragen die Knotenpunktlasten  $K_1, K_2$  in gleichem Sinne zu den Stabkräften  $X, Z, V$  bei, zu  $D$  dagegen in verschiede-

denem Sinne. Für gleichmässig vertheilte feste Last und ebensolche Verkehrslast von  $g$  und  $p$  per Längeneinheit ergeben sich die Grenzwerte der  $X$ ,  $Z$ ,  $V$  aus 11) mit den durch 2) bestimmten Werthen von  $K_1 = K_2 = K$ , während die Grenzwerte von  $D$  sind

$$(12) \quad D = \pm \frac{p\lambda d}{3h}, \quad D = \mp \frac{p\lambda d}{3h}.$$

Für beliebige feste Last und bewegte Radlastzüge hat man nach A. 15, 3) allgemein

$$(13) \quad \begin{cases} A = \mathfrak{A} + \frac{2}{l} \sum_0^{\lambda} Pa + \frac{1}{l} \sum_{\lambda}^l P(l-a), \\ B = \mathfrak{B} + \frac{1}{l} \sum_0^{2\lambda} Pa + \frac{2}{l} \sum_{2\lambda}^l P(l-a), \\ K_2 = \mathfrak{K}_2 + \frac{1}{l} \sum_{\lambda}^{2\lambda} P(a-\lambda) + \frac{1}{l} \sum_{2\lambda}^l P(l-a), \end{cases}$$

worin sich  $\mathfrak{A}$ ,  $\mathfrak{B}$ ,  $\mathfrak{K}_2$  auf die feste Last allein beziehen. Die unteren Grenzwerte aller  $X$ ,  $Z$ ,  $V$  treten hiernach für Eigengewicht allein ein, die oberen von  $X_1$ ,  $Z_1$ ,  $Z_2$ ,  $V_1$ , wenn Zug I mit Rad  $O$  bei  $\lambda$  steht und die oberen von  $X_2$ ,  $X_3$ ,  $Z_3$ ,  $V_2$ , wenn Zug I mit Rad  $O$  bei  $2\lambda$  steht. Bei symmetrisch zur Trägermitte liegender fester Last, wie also insbesondere für  $\mathfrak{K}_1 = \mathfrak{K}_2 = g\lambda$ , sind die Grenzwerte von  $X_2$ ,  $X_3$ ,  $Z_3$  gleich denjenigen von  $X_1$ ,  $X_1$ ,  $Z_1$ . Die Grenzwerte von  $D$  ergeben sich nach 11) oder Aufgabe 15, wenn Zug I einmal mit Rad  $O$  bei  $\lambda$  stehend möglichst nur die erste Trägerhälfte belastet und dann mit Rad  $O$  bei  $2\lambda$  stehend möglichst nur die zweite Trägerhälfte belastet. Bei symmetrisch zur Trägermitte liegender fester Last erzeugt diese keine Beanspruchung  $D$ , womit die beiden Grenzwerte von  $D$  gleich gross werden. Mittelst der aus 13) folgenden oder schon durch A. 15, 6) bestimmten Maximalbedingungen könnten die Zugstellungen noch corrigirt werden.

**Bemerkungen.** Träger der Anordnung Fig. 35 und 39 mit obenliegender X-Gurtung hat man u. A. als Schienenträger und Querträger angewandt. Um im Falle von Schienenträgern die Uebertragung der Lasten bei den Knotenpunkten allein zu bewirken, kann man die Schienen daselbst auf Unterlagsplatten legen, wie dies bei der Brücke über den Spandauer Kanal im Zuge der Berliner Verbindungsbahn geschehen ist. Der Träger Fig. 37, 38 kommt in Amerika mit verschiedener Felderzahl  $n$  häufig vor.

Da bei den Fachwerken der Beispiele 13, 14 und Aufgaben 17, 18 die Anzahl der wirksamen Stäbe und unabhängigen Reactionscomponenten  $s + r = 2k$  ist und deren Berechnung aus statischen Bedingungsgleichungen allein möglich war, so sind dieselben nach § 14 statisch bestimmt und stabil. Zu beachten ist, dass in Fig. 34—40 zwar nur zwei Componenten der Stützenreactionen angedeutet sind, die letzteren aber doch von drei Componenten abhängen, deren eine aber nach § 8 für Balkenträger mit nur verticalen Activkräften (Lasten) den Werth  $H = 0$  hat. Der in Fig. 41 skizzirte, neuerdings mehrfach hervorgehobene Träger ist schon deshalb statisch bestimmt und stabil, weil er dem Träger Fig. 37 gegenüber nach Art und System nichts Neues bietet.

**Beispiel 15. Zur vorigen Aufgabe. Berechnung für gleichmässig vertheilte bewegte Last.**

Für das in Fig. 37 angedeutete Balkenfachwerk betrage per laufenden Meter das Eigengewicht  $g = 0,6$  tn, die bewegte Last  $p = 3$  tn. Das Eigengewicht soll wie die Verkehrslast nur auf die oberen Knotenpunkte vertheilt gelten. Es sind die Grenzbeanspruchungen der Stäbe festzustellen.

Die Längen der durch  $Y_1, Y_2, Y_3$  beanspruchten Stäbe sind

$$d_1 = 4\sqrt{2} = 5,66, \quad d_2 = 4\sqrt{5} = 8,94, \quad d_3 = 4\sqrt{10} = 12,65 \text{ m.}$$

Nach A. 18, 5) 7) mit  $n = 4, \lambda = 4, h = 4, q = 3,6, K_m = q\lambda = 14,4$  erhält man die oberen Grenzwerte der Stabkräfte in Tonnen

$$V_1 = V_2 = V_3 = -q\lambda = -14,4$$

$$Y_1 = Z_3 = \frac{q\lambda}{4h} 3d_1 = 15,28$$

$$Y_2 = Z_2 = \frac{q\lambda}{2h} d_2 = 16,09$$

$$Y_3 = Z_1 = \frac{q\lambda}{4h} d_3 = 11,39$$

$$X = -\frac{5q}{2h} \lambda^2 = -36.$$

Die unteren Grenzwerte, welche für Eigengewicht allein eintreten, sind wegen

$$\frac{g}{q} = \frac{0,6}{3,6} = \frac{1}{6}$$

ein Sechstel so gross wie die oberen.

**Beispiel 18. Zur vorigen Aufgabe. Berechnung für bewegte Radlastzüge.**

Die Grenzwerte der Stabkräfte für den Träger des vorigen Beispiels unter der Voraussetzung zu berechnen, dass der Träger einer eingleisigen Eisenbahnbrücke angehört, welche von Locomotiven der Radanordnung Fig. 18 befahren wird.

Nach A. 18, 5) 6) hat man bei beliebiger Belastung

$$(1) \quad V_1 = -K_1, \quad V_2 = -K_2,$$

$$(2) \quad Y_1 = K_1 \frac{3d_1}{4h}, \quad Y_2 = K_2 \frac{d_2}{2h}, \quad Y_3 = K_3 \frac{d_3}{4h},$$

$$(3) \quad X = -(3K_1 + 4K_2 + 3K_3) \frac{1}{4h}.$$

Die unteren Grenzbeanspruchungen ergeben sich hieraus für Eigengewicht allein mit

$$K_1 = K_2 = K_3 = g\lambda = 2,4 \text{ tn}$$

wie im vorigen Beispiel

$$\mathfrak{B}_1 = \mathfrak{B}_2 = \mathfrak{B}_3 = -2,4$$

$$\mathfrak{Y}_1 = \mathfrak{B}_3 = 2,55, \quad \mathfrak{Y}_2 = \mathfrak{B}_2 = 2,68, \quad \mathfrak{Y}_3 = \mathfrak{B}_1 = 1,90,$$

$$\mathfrak{X} = -6 \text{ tn}.$$

Die grösste durch die Verkehrslast erreichbare Knotenpunktslast entsteht, wenn die Locomotive mit dem zweiten Rad über dem betreffenden Knotenpunkte steht,

$$K = 6 + 2 \cdot 6 \frac{2,7}{4} + 4 \frac{1,5}{4} = 15,6 \text{ tn}.$$

Damit folgen die oberen Grenzbeanspruchungen

$$V_1 = V_2 = V_3 = -2,4 - 15,6 = -18$$

$$Y_1 = Z_3 = 2,55 + \frac{3 \cdot 5,66}{16} 15,6 = 19,11$$

$$Y_2 = Z_2 = 2,68 + \frac{8,94}{8} 15,6 = 20,11$$

$$Y_3 = Z_1 = 1,90 + \frac{12,65}{16} 15,6 = 14,23 \text{ tn}.$$

Den oberen Grenzwert von  $X$  erhalten wir, wenn Zug I (Fig. 24) mit Rad  $O$  über der Trägermitte steht. Es sind dann

$$K_1 = 6 \frac{0,1 + 1,4 + 2,7}{4} = 6,3 \quad K_2 = 15,6 \quad K_3 = 6 \frac{2,5}{4} = 3,75 \text{ tn},$$

womit

$$X = -6 - (3 \cdot 6,3 + 4 \cdot 15,6 + 3 \cdot 3,75) \frac{1}{4} = -29,14 \text{ tn}.$$

Hätten wir den Zug nach  $l$  hin verschoben bis das nächste Rad über die Trägermitte gelangt wäre, so würde sich nur  $X = -27,81$  ergeben haben und bei Verschiebung um ein Rad nach 0 hin nur  $X = -26,2$  tn.

**Bemerkung.** Da wir im vorigen Beispiele  $X$  wesentlich grösser und alle übrigen Stabkräfte wesentlich kleiner als oben erhalten haben, so erkennt man wieder, wie wenig berechtigt es ist, anstatt bewegter Radlastzüge für beliebige Träger und Beanspruchungen dieselbe gleichmässig vertheilte Last  $p$  zu verwenden. Für die max  $M_x$  eines vollwandigen Trägers der Spannweite 16 m wäre nach Beispiel 8 das im vorigen Beispiel eingeführte  $p = 3$  tn ein geeigneter Werth gewesen, während im vorliegenden Falle die genauen Lastäquivalente betragen

$$\text{für } X \quad p = \frac{3K_1 + 4K_2 + 3K_3}{10\lambda} = 2,31 \text{ tn,}$$

für alle übrigen Stäbe

$$p = \frac{K}{\lambda} = 3,90 \text{ tn.}$$

#### Aufgabe 19. Formeln für Endstäbe von einfachen Fachwerken.

Für einfache Balkenfachwerke mit Auflagern am Untergurt die Grenzwerte der Stabkräfte  $V_0$ ,  $G_0$  Fig. 42 und 43 bei Belastung durch beliebige feste Last und gleichmässig vertheilte bewegte Last oder bewegte Radlastzüge anzugeben.

Bezeichnen  $K_o$ ,  $K_u$  die obere und untere Knotenpunktslast bei 0, so verlangt das Gleichgewicht gegen horizontale und verticale Verschiebung des Knotenpunkts 0 im Untergurt bzw. Obergurt

- (1) für Fig. 42  $G_0 = 0$ ,  $V_0 = K_u - V$ ,
- (2) für Fig. 43  $G_0 = 0$ ,  $V_0 = -K_o$ .

Diese Formeln mit Ausnahme derjenigen für  $G_0$  im Falle Fig. 42 und ebenso alle folgenden Beziehungen gelten übrigens auch für einfache Bogenfachwerke mit gleichen Stützhöhen, da für solche der Horizontalschub  $H$  ohne Einfluss auf  $V$  ist. Für Bogenfachwerke nach Anordnung von Fig. 42 wäre  $G_0 = Hv:s$  ( $s$  Stablänge). Im Folgenden haben wir es nur noch mit  $V_0$  zu thun.

Werden die Beiträge der festen Last zu den mit lateinischen Buchstaben bezeichneten Grössen durch entsprechende deutsche Buchstaben bezeichnet, so sind die Beanspruchungen durch die feste Last allein

$$(3) \quad \text{für Fig. 42} \quad \mathfrak{B}_0 = \mathfrak{R}_u - \mathfrak{B},$$

$$(4) \quad \text{für Fig. 43} \quad \mathfrak{B}_0 = -\mathfrak{R}_o.$$

Wenn die feste Last beispielsweise mit  $g$  per Längeneinheit gleichmässig vertheilt auf die ganze Trägerlänge ist und von  $g$  auf die Knotenpunkte des Obergurts und Untergurts bezw.  $g_o$  und  $g_u$  zu rechnen sind, dann liefern 3) 4)

$$(5) \quad \text{für Fig. 42} \quad \mathfrak{B}_0 = \frac{g_u v}{2} = \frac{g l}{2},$$

$$(6) \quad \text{für Fig. 43} \quad \mathfrak{B}_0 = -\frac{g_o v}{2}.$$

Die von beliebigen Verkehrslasten  $P_1, P_2, \dots$  bei  $a_1, a_2, \dots$  her-rührende Verticalreaction der Stütze 0 ist

$$V = \frac{1}{l} \sum_0^l P(l - a)$$

und die von denselben erzeugte Knotenpunktslast bei 0, wenn die Verkehrslast in den Knotenpunkten der Gurtung von  $v$  auf den Träger kommt,

$$K = \frac{1}{v} \sum_0^v P(v - a).$$

Im Weiteren ist die Lagerung der Fahrbahn zu berücksichtigen.

a) Die Fahrbahnlast greift in den Knotenpunkten des Obergurts an. Dann liefert die Verkehrslast kein  $K_u$ , aber für Fig. 43  $K_o = K$ , wir erhalten bei beliebiger Belastung

$$(7) \quad \text{für Fig. 42} \quad V_o = \mathfrak{B}_0 - \frac{1}{l} \sum_0^l P(l - a),$$

$$(8) \quad \text{für Fig. 43} \quad V_o = \mathfrak{B}_0 - \frac{1}{v} \sum_0^v P(v - a).$$

Hiernach tragen alle Lasten auf dem Träger in gleichem Sinne oder gar nicht zu  $V_o$  bei. Der Beitrag einer bestimmten Last  $P$  ist um so grösser, je mehr sich  $P$  der Stütze 0 nähert. Für bewegte Radlastzüge ergeben sich die oberen Grenzwerte von  $V_o$  aus 7) 8), wenn ein Zug II in der Richtung von  $l$  nach 0 mit dem Vorderrade 0 bei 0 steht. Die unteren Grenzwerte treten für die feste Last allein ein. Bei gleichmässig vertheilter bewegter Last von  $p$  per Längeneinheit der ergriffenen Strecke sind die unteren Grenzwerte ebenfalls  $V_o = \mathfrak{B}_0$ , die oberen ergeben sich aus 7) 8) mit  $P = pda$  oder direct aus 1) 2)

$$(9) \quad \text{für Fig. 42} \quad V_0 = \mathfrak{B}_0 - \frac{pl}{2},$$

$$(10) \quad \text{für Fig. 43} \quad V_0 = \mathfrak{B}_0 - \frac{pv}{2}.$$

Wenn  $\mathfrak{R}_0 = 0$  gesetzt wird, also die feste Last wie die Verkehrslast nur in den Knotenpunkten des Obergurts angreifend gilt, dann hat man im Falle der Fig. 42 bei jeder Belastung  $V_0 = -V$ .

b) Die Fahrbahnlast greift in den Knotenpunkten des Untergurts an. In diesem Falle liefert die Verkehrslast kein  $K_0$ , aber für Fig. 42  $K_u = K$ , womit bei jeder Belastung

$$(11) \quad \text{für Fig. 42} \quad V_0 = \mathfrak{B}_0 - \frac{l-v}{lv} \sum_0^v Pa - \frac{1}{l} \sum_v^l P(l-a),$$

$$(12) \quad \text{für Fig. 43} \quad V_0 = \mathfrak{B}_0.$$

Die Beanspruchung der Verticale Fig. 43 rührt nur von der durch Eigengewicht erzeugten Knotenpunktslast  $\mathfrak{R}_0$  her, und deshalb kann diese Verticale nebst dem anstossenden Stabe des Obergurts bei unten liegender Fahrbahn ganz wegbleiben. Zur Beanspruchung der Verticale Fig. 42 tragen alle Lasten auf dem Träger in gleichem Sinne bei und zwar umsomehr, jemehr sie sich dem Punkte  $v$  nähern. Für bewegte Radlastzüge ergibt sich der obere Grenzwert von  $V_0$  aus 11), wenn ein Zug I mit Rad  $O$  über  $v$  steht, oder, wegen

$$(13) \quad dV_0 = \left( \frac{1}{l} \sum_0^l P - \frac{1}{v} \sum_0^v P \right) da,$$

genau genommen, wenn die Maximalbedingung

$$(14) \quad \sum_0^v P = \frac{v}{l} \sum_0^l P$$

erfüllt ist. Der untere Grenzwert tritt für Eigengewicht allein ein. Bei gleichmässig vertheilter bewegter Last ist ebenfalls der untere Grenzwert  $V_0 = \mathfrak{B}_0$ , der obere folgt aus 11) mit  $P = pda$  oder direct aus 1)

$$(15) \quad \text{für Fig. 42} \quad V_0 = \mathfrak{B}_0 - p \frac{l-v}{2}.$$

Auf die Beanspruchungen für Fig. 42 hätten wir auch aus Aufgabe 15 schliessen können, da mit dem dort eingeführten  $A$  einfach  $V_0 = -A$  ist. Im Falle bewegter Radlastzüge kann der obere Grenzwert dieses  $V_0$  unter Umständen noch grösser als mit Zug I

möglich ausfallen, wenn ein Zug II von  $l$  nach 0 fahrend mit dem Vorderrade  $O$  bei  $v$  anlangt, womit nach 11)

$$(16) \quad \text{für Fig. 42} \quad V_0 = \mathfrak{B}_0 - \frac{1}{l} \sum_i P(l - a).$$

Jedenfalls genügt es vielfach, die Berechnung demgemäss vorzunehmen.

c) Die Fahrbahn greift zwischen beiden Gurten in der Endvertical an. Es gelten für das Verticalenstück von Fahrbahn bis Untergurt die Beziehungen a) unter Berücksichtigung des Eigengewichts der Fahrbahn in  $\mathfrak{R}_o, g_o$ , für das Verticalenstück von Fahrbahn bis Obergurt die Beziehungen b) mit Berücksichtigung des Eigengewichts der Fahrbahn in  $\mathfrak{R}_u, g_u$ . Dies ergibt sich ohne Weiteres, wenn man wie oben die Bedingung „Summe aller Verticalkräfte gleich Null“ bei Fig. 42 für die unteren, bei Fig. 43 für die oberen Endpunkte der betreffenden Verticalenstücke ansetzt.

**Beispiel 17. Dachbinder. Berechnung von Stabkräften aus Schnittgleichungen.**

Für den in Fig. 44 angedeuteten Dachbinder beträgt die Belastung per Knotenpunkt der oberen Gurtung mit Ausnahme der beiden äussersten (welche halb so stark belastet sind) 5 tn. Die unteren Knotenpunkte gelten für unbelastet. Es sind sämtliche Stabkräfte mittelst der Schnittgleichungen § 15, 1)–3) abzuleiten.

Da die beiden äussersten Knotenpunktlasten direct auf die Stützen übertragen werden, so kommen sie für die Berechnung der Stabkräfte nicht in Betracht. Die übrigen Knotenpunktlasten erzeugen bei 0 die Reaction

$$A = \frac{7 \cdot 5}{2} = 17,5 \text{ tn.}$$

Im Folgenden sind die Gleichungen § 15, 1)–3) auf die in Fig. 44 ersichtlichen Schnitte I–IV angewandt und dabei die Drehpunkte der Momente in die den Schnitten vorhergehenden Knotenpunkte der oberen Gurtung gelegt.

$$\text{I} \quad \begin{cases} Z_1 + X_1 \frac{4}{4,47} = 0 \\ 17,5 + X_1 \frac{2}{4,47} = 0 \end{cases} \quad \begin{aligned} X_1 &= -39,11 \text{ tn,} \\ Z_1 &= 35 \end{aligned}$$



$$\begin{array}{ll}
 \text{II} \left\{ \begin{array}{l} Z_2 + X_2 \frac{4}{4,47} + D_2 \frac{4}{4,47} = 0 \\ 12,5 + X_2 \frac{2}{4,47} - D_2 \frac{2}{4,47} = 0 \\ 17,5 \cdot 4 - Z_2 \cdot 2 = 0 \end{array} \right. & \begin{array}{l} Z_2 = 35 \\ X_2 = -33,52 \\ D_2 = -5,59 \end{array} \\
 \\
 \text{III} \left\{ \begin{array}{l} Z_3 + X_3 \frac{4}{4,47} + D_3 \frac{4}{5,66} = 0 \\ 7,5 + X_3 \frac{2}{4,47} - D_3 \frac{2}{5,66} = 0 \\ 17,5 \cdot 8 - 5 \cdot 4 - Z_3 \cdot 4 = 0 \end{array} \right. & \begin{array}{l} Z_3 = 30 \\ X_3 = -27,94 \\ D_3 = -7,07 \end{array} \\
 \\
 \text{IV} \left\{ \begin{array}{l} Z_4 + X_4 \frac{4}{4,47} + D_4 \frac{4}{7,21} = 0 \\ 2,5 + X_4 \frac{2}{4,47} - D_4 \frac{6}{7,21} = 0 \\ 17,5 \cdot 12 - 5 \cdot 8 - 5 \cdot 4 - Z_4 \cdot 6 = 0 \end{array} \right. & \begin{array}{l} Z_4 = 25 \\ X_4 = -22,35 \\ D_4 = -9,01. \end{array}
 \end{array}$$

Um die Beanspruchungen der Verticalen zu bestimmen, wenden wir die Gleichung § 15, 2) auf die Schnitte V—VIII an, wobei  $V_1 = 0$  ist.

$$\text{V} \quad V_1 = 0 \quad V_1 = 0 \text{ tn}$$

$$\text{VI} \quad V_2 + D_2 \frac{2}{4,47} = 0 \quad V_2 = 2,5$$

$$\text{VII} \quad V_3 + D_3 \frac{4}{5,66} = 0 \quad V_3 = 5$$

$$\text{VIII} \quad V_4 + 2D_4 \frac{6}{7,21} = 0 \quad V_4 = 15.$$

Damit sind mit Rücksicht auf die symmetrische Anordnung der Stäbe und Belastung sämtliche Stabkräfte bestimmt. Dieselben hätten sich zum Theil auch mit Hülfe anderer Schnitte und Drehpunkte als oben berechnen lassen. Da die beiden äussersten Verticalen abgesehen vom daran hängenden Eigengewicht keine Beanspruchung erleiden, so werden sie gewöhnlich weggelassen. Eine andre Berechnung dieses Trägers bringt Beispiel 18, direct verwendbare Formeln für die Stabkräfte enthalten §§ 38—40 (vgl. Beispiele 49 und 50), über den Einfluss schiefen Winddrucks siehe Beispiel 22.

#### Aufgabe 20. Freitragender Perrondachbinder. Berechnung von Grenzbeanspruchungen aus Schnittgleichungen.

Die Grenzwerte der Stabkräfte und Stützenreactionen des Fachwerks Fig. 45 mittelst der Schnittgleichungen § 15, 1)—3) festzustellen.

Der Träger habe  $n$  Felder von gleichen Längen  $\lambda$ , die Längen der durch  $X_m, V_m, D_m$  beanspruchten Stäbe seien  $x, h_m, d_m$  und also

$$(1) \quad x = \frac{1}{n} \sqrt{l^2 + h^2}, \quad h_m = \frac{m}{n} h, \quad d_m = \sqrt{\lambda^2 + h_{m-1}^2}.$$

Wir legen einen Schnitt  $s$  durch das  $m$ -te Feld und erhalten aus § 15, 1)–3)

$$\begin{aligned} Z_m + D_m \frac{\lambda}{d_m} + X_m \frac{\lambda}{x} &= 0, \\ - \sum_0^{m-1} K - D_m \frac{h_{m-1}}{d_m} + X_m \frac{h}{nx} &= 0, \\ - K_0 m \lambda - K_1 (m-1) \lambda - \dots - K_{m-1} \lambda + X_m \frac{\lambda h_m}{x} &= 0. \end{aligned}$$

Wie aus dem Ansätze der letzten Gleichung hervorgeht, wurde der Drehpunkt für die Momente im untern Knotenpunkte der Verticale  $h_m$  angenommen. Die Bedingung „Summe aller Verticalkräfte gleich Null“ für diesen Knotenpunkt lautet

$$V_m + D_m \frac{h_{m-1}}{d_m} = 0.$$

Aus vorstehenden vier Gleichungen und mit Rücksicht auf den Ausdruck für  $h_m$  ergeben sich die Stabkräfte bei beliebigen Knotenpunktlasten

$$(2) \quad \begin{cases} X_m = [mK_0 + (m-1)K_1 + \dots + K_{m-1}] \frac{x}{h_m}, \\ Z_m = -[(m-1)K_0 + (m-2)K_1 + \dots + K_{m-2}] \frac{\lambda}{h_{m-1}}, \\ D_m = -[K_1 + 2K_2 + \dots + (m-1)K_{m-1}] \frac{d_m}{mh_{m-1}}, \\ V_m = [K_1 + 2K_2 + \dots + (m-1)K_{m-1}] \frac{1}{m}. \end{cases}$$

Der obere Stützpunkt hat, abgesehen von der direct auf ihn übertragenen Last  $K_n$ , einfach die Zugkraft  $X_n$  aufzunehmen. Die Reactionscomponenten des untern Stützpunktes folgen aus

$$A + D_n \frac{h_{n-1}}{d_n} = 0, \quad B + Z_n + D_n \frac{\lambda}{d_n} = 0$$

mit Rücksicht auf 2)

$$(3) \quad \begin{cases} A = [K_1 + 2K_2 + \dots + (n-1)K_{n-1}] \frac{1}{n}, \\ B = [nK_0 + (n-1)K_1 + \dots + K_{n-1}] \frac{\lambda}{h}. \end{cases}$$

Etwas bequemer als aus den angeschriebenen Gleichgewichtsbedingungen für den unteren Stützpunkt, hätte sich  $B$  ergeben aus der Bedingung für die äusseren Horizontalkräfte am Träger

$$B - X_n \frac{l}{x} = 0.$$

Die Gleichungen 2) 3) zeigen, dass die Grenzwerte sämtlicher Stabkräfte und Stützenreactionen bei Totalbelastung des ganzen Trägers und Eigengewicht allein eintreten, dass indessen für  $X_m$ ,  $D_m$ ,  $V_m$  die Lasten von  $K_m$  bis  $K_n$ , für  $Z_m$  diejenigen von  $K_{m-1}$  bis  $K_n$  überhaupt ohne Einfluss sind.

Gewöhnlich wird die Belastung als gleichmässig vertheilt auf den Träger angenommen. Bezeichnet dann  $q$  die Belastung per Längeneinheit, so gehen mit

$$K_1 = K_2 = \dots = K_{m-1} = q\lambda, \quad K_0 = \frac{q^2}{2}$$

die Gleichungen 2) 3) in die folgenden über

$$(4) \quad \begin{cases} X_m = m \frac{q l x}{2h}, & Z_m = -(m-1) \frac{q l \lambda}{2h}, \\ D_m = -\frac{q l}{2h} d_m, & V_m = (m-1) \frac{q \lambda}{2}, \end{cases}$$

$$(5) \quad A = \frac{n-1}{2} q \lambda, \quad B = \frac{q l^2}{2h}.$$

Ist  $g$  das Eigengewicht und  $p$  die Verkehrslast (Schnee- und Winddruck) per Längeneinheit, dann ergeben 4) 5) die Grenzwerte der Stabkräfte und Stützenreactionen mit  $q = g + p$  und  $q = g$ , sie stehen im Verhältniss  $g + p : g$ .

Man könnte annehmen, dass die Beanspruchung des unteren Gurtungsstabes im Felde  $m = 1$  nach 2) 3) allgemein  $Z_1 = 0$  sei. Es ist jedoch zu beachten, dass in jenem Felde die Diagonale mit dem unteren Gurtungsstabe zusammenfällt, sodass die Beanspruchung des Letzteren  $Z_1 + D_1 = D_1$  ist, oder, wie die Bedingung „Summe aller Horizontalkräfte gleich Null“ in Anwendung auf den unteren Knotenpunkt der Verticale  $h_1$  ergibt,  $Z_1 = Z_2$ . Da die Verticale  $h_1$  keine rechnungsmässige Beanspruchung erleidet, so wird sie gewöhnlich weggelassen (siehe auch Aufgabe 26).

#### Aufgabe 21. Füllungsglieder von Parallelträgern beliebigen einfachen Systems.

Für Balkenfachwerke einfachen Systems mit zwei Gelenkaufslagern und horizontalen Gurtungen sind die Beanspruchungen der Füllungs-

glieder bei beliebiger Belastung und deren Grenzwerte bei bewegter Verkehrslast auszudrücken.

Wir legen einen Schnitt  $s$  so durch den Träger, dass ausser dem fraglichen Füllungsgliede nur beide Gurtungen getroffen werden. Es sind dann zwei Fälle möglich: entweder das Füllungsglied steigt von  $s$  aus nach dem Trägertheil vor diesem Schnitte hin an (Fig. 46), oder es fällt nach ihm ab (Fig. 47). In den folgenden Gleichungen gelten im ersten Falle die oberen, im zweiten die unteren Vorzeichen. Dabei sind jedoch solche Glieder ausgeschlossen, welche nicht in beiden begrenzenden Knotenpunkten mit andern gleichzeitig wirkenden zusammenhängen. Die Beanspruchung dieser ergibt sich immer aus der Bedingung „Summe aller Verticalkräfte gleich Null“ für den freien Knotenpunkt.

Nach § 15, 2) hat man bei Parallelträgern einfachen Systems allgemein

$$(1) \quad V_s \mp Y \frac{h}{y} = 0, \quad Y = \mp V_s \frac{y}{h}$$

und speziell für beliebig belastete Balkenträger mit zwei Gelenkauflagern wegen § 8, 7)

$$(2) \quad Y = \pm (S' - S) \frac{y}{lh},$$

worin

$$(3) \quad S = \sum_0^i K e, \quad S' = \sum_i^l K (l - e)$$

die Momente der Knotenpunktslasten zwischen den Schnitten 0 und  $s$  hinsichtlich des Punktes 0, und zwischen den Schnitten  $s$  und  $l$  hinsichtlich des Punktes  $l$  bedeuten. Es bezeichne  $\mathfrak{Y}$  den Beitrag des Eigengewichts allein zu  $Y$ , während ausserdem beliebige Verkehrslasten  $P_1, P_2, \dots$  bei  $a_1, a_2, \dots$  auf die Fahrbahn wirken und der von Schnitt  $s$  getroffene Fahrbahnträger bei den Punkten  $c, v$  aufliegt. Dann liefert 2) mit § 10, 2) für beliebige Belastung

$$(4) \quad \left\{ \begin{aligned} Y &= \mathfrak{Y} \mp \left[ \sum_0^c P a + \frac{l-v+c}{v-c} \sum_c^v P (s-a) - \sum_v^l P (l-a) \right] \frac{y}{lh} \\ &\text{mit } z = \frac{lc}{l-v+c}. \end{aligned} \right.$$

Für den häufig vorkommenden Fall, dass das Eigengewicht mit  $g$  per Längeneinheit als gleichmässig vertheilt auf die Fahrbahn ge-

rechnet wird (auf die Knotenpunkte, in welchen die Fahrbahnlast angreift) folgt aus 2) mit § 10, 5)

$$(5) \quad \mathfrak{Y} = \pm (l - c - v) \frac{py}{2h},$$

für alle andern Fälle kann  $\mathfrak{Y}$  aus 2) erhalten werden.

Die erste Formel 4) zeigt, dass die Lasten zwischen 0 und  $z$  in einem Sinne, diejenigen zwischen  $z$  und  $l$  im andern Sinne zu  $Y$  beitragen. Für verticale Füllungsglieder vereinfachen sich wegen  $y = h$  die vorstehenden wie die folgenden Ausdrücke von  $Y$ .

**Gleichmässig vertheilte bewegte Last.** Es sei  $p$  die Verkehrslast per Längeneinheit der ergriffenen Strecke. Da nach 4) die Influenzlinie von  $Y$  zwischen 0 und  $c$ ,  $c$  und  $v$ ,  $v$  und  $l$  geradlinig verläuft und ihre Ordinaten (oder Beiträge einer Last  $P = 1$  zu  $Y$ )

$$\text{bei } a = v \quad b = \pm (l - v) \frac{y}{lh},$$

$$\text{bei } a = c \quad b = \mp c \frac{y}{lh}$$

sind, so liefert das Verfahren § 12,  $c$  als Grenzwerte von  $Y$

$$(6) \quad \begin{cases} Y = \mathfrak{Y} \pm p \frac{(l-v)y}{lh} \frac{l-z}{2}, \\ Y = \mathfrak{Y} \mp p \frac{cy}{lh} \frac{z}{2}, \end{cases}$$

oder nach Einsetzen des Ausdrucks 4) von  $z$

$$(7) \quad \begin{cases} Y = \mathfrak{Y} \pm \frac{(l-v)^2}{l-v+c} \frac{py}{2h}, \\ Y = \mathfrak{Y} \mp \frac{c^2}{l-v+c} \frac{py}{2h}. \end{cases}$$

Die gleichen Werthe ergeben sich selbstverständlich, wenn in 4) einmal  $P = 0$  von 0 bis  $z$  und  $P = pda$  von  $z$  bis  $l$ , das andre Mal  $P = Pda$  von 0 bis  $z$  und  $P = 0$  von  $z$  bis  $l$  gesetzt wird.

Nach § 12,  $c$  erhält man etwas zu ungünstige Näherungsausdrücke für die Grenzwerte, wenn in 6)  $v$  und  $c$  an Stelle von  $z$  gesetzt werden, womit wir erhalten

$$(8) \quad \begin{cases} Y = \mathfrak{Y} \pm (l - c)(l - v) \frac{py}{2lh}, \\ Y = \mathfrak{Y} \mp cv \frac{py}{2lh}. \end{cases}$$

**Bewegte Radlastzüge.** Mit Rücksicht auf Formel 4) oder den Verlauf der Influenzlinie, welche bei  $z$  zwischen  $c$  und  $v$  die Abscissenaxe schneidet und bei  $c, v$  selbst ihre Grenzordinaten hat, er-

geben sich nach § 12, b die Grenzwerte von  $Y$  bei Belastung durch Zug II von  $v$  bis  $l$  mit Vorderrad  $O$  bei  $v$

$$(9) \quad Y = \mathfrak{Y} \pm \frac{y}{lh} \sum_v^l P(l-a),$$

und bei Belastung durch Zug II von  $0$  bis  $c$  mit Vorderrad  $O$  bei  $c$

$$(10) \quad Y = \mathfrak{Y} \mp \frac{y}{lh} \sum_0^c Pa.$$

Nach 4) hat man für jede unendlich kleine Verrückung  $da$  eines Systems gleichzeitig auf dem Träger Platz findender Lasten in festen Entfernungen die Aenderung von  $Y$

$$(11) \quad dY = \pm \left[ \sum_0^l P - \frac{l}{v-c} \sum_c^v P \right] \frac{y}{lh} da.$$

Hieraus folgt als Bedingung für diejenigen Stellungen des Systems, bei welchen mathematische Maxima oder Minima von  $\mathfrak{Y}$  eintreten

$$(12) \quad \sum_c^v P = \frac{v-c}{l} \sum_0^l P.$$

Diese Bedingung kann wie in den Beispielen 25 und 28 zur Correctur von Zugstellungen verwendet werden, was aber für praktische Zwecke selten nöthig sein wird.

**Beispiel 18. Dachbinder. Berechnung von Stabkräften aus Momentengleichungen.**

Die in Beispiel 17 verlangten Stabkräfte mittelst der Ritterschen Momentenmethode zu berechnen.

Die Knotenpunktlasten, abgesehen von den ohne Vermittelung des Trägers auf die Stützen übertragenen bei  $0$  und  $l$ , erzeugen Stützenreactionen

$$A = \frac{7 \cdot 5}{2} = 17,5 \text{ tn.}$$

Im Folgenden sind die Stabkräfte nach Anweisung von § 15 aus Momentengleichungen für die in Fig. 44 angedeuteten Schnitte I—IV bestimmt. Der Drehpunkt für die Momente liegt also bei drei getroffenen Stäben mit unbekannten Beanspruchungen im Durchschnitte derjenigen beiden, deren Beanspruchung augenblicklich nicht bestimmt wird, bei nur zwei getroffenen in einem beliebigen Punkte der Richtungslinie des nicht zu berechnenden Stabes.

$$\begin{array}{ll}
 \text{I} \begin{cases} 17,5 \cdot 4 + X_1 \cdot 1,79 = 0 \\ 17,5 \cdot 4 - Z_1 \cdot 2 = 0 \end{cases} & \begin{array}{l} X_1 = -39,12 \text{ tn} \\ Z_1 = 35 \end{array} \\
 \text{II} \begin{cases} 17,5 \cdot 8 - 5 \cdot 4 + X_2 \cdot 3,58 = 0 \\ 17,5 \cdot 4 - Z_2 \cdot 2 = 0 \\ 5 \cdot 4 + D_2 \cdot 3,58 = 0 \end{cases} & \begin{array}{l} X_2 = -33,52 \\ Z_2 = 35 \\ D_2 = -5,59 \end{array} \\
 \text{III} \begin{cases} 17,5 \cdot 12 - 5(4 + 8) + X_3 \cdot 5,37 = 0 \\ 17,5 \cdot 8 - 5 \cdot 4 - Z_3 \cdot 4 = 0 \\ 5(4 + 8) + D_3 \cdot 8,48 = 0 \end{cases} & \begin{array}{l} X_3 = -27,93 \\ Z_3 = 30 \\ D_3 = -7,08 \end{array} \\
 \text{IV} \begin{cases} 17,5 \cdot 16 - 5(4 + 8 + 12) + X_4 \cdot 7,16 = 0 \\ 17,5 \cdot 12 - 5(4 + 8) - Z_4 \cdot 6 = 0 \\ 5(4 + 8 + 12) + D_4 \cdot 13,31 = 0 \end{cases} & \begin{array}{l} X_4 = -22,34 \\ Z_4 = 25 \\ D_4 = -9,02. \end{array}
 \end{array}$$

Es fehlen nun noch die Beanspruchungen der Verticalen. Da alle Stabkräfte aus Momentengleichungen bestimmt werden sollen, so können wir zur Berechnung wählen: für  $V_1$  einen Schnitt, welcher  $X_1$ ,  $V_1$ ,  $Z_1$  trifft,

$$-V_1 \cdot 4 = 0, \quad V_1 = 0 \text{ tn},$$

für  $V_2$  einen Schnitt, welcher  $X_2$ ,  $V_2$ ,  $Z_2$  trifft,

$$5 \cdot 4 - V_2 \cdot 8 = 0, \quad V_2 = 2,5 \text{ tn},$$

für  $V_3$  einen Schnitt, welcher  $X_3$ ,  $V_3$ ,  $Z_3$  trifft,

$$5(4 + 8) - V_3 \cdot 12 = 0, \quad V_3 = 5 \text{ tn},$$

für  $V_4$  einen Schnitt, welcher  $X_4$ ,  $V_4$ ,  $Z_4$  und  $D_4$  trifft,

$$5(4 + 8 + 12) - V_4 \cdot 16 - D_4 \cdot 13,31 = 0, \quad V_4 = 15 \text{ tn}.$$

In der letzten Gleichung war zu beachten, dass  $D_5 = D_4$  ist.

**Bemerkungen.** Wir hätten die Schnitte auch anders als oben wählen und beispielsweise die Beanspruchungen der Gurtungsstäbe aus Momentengleichungen für die zuletzt verwendeten vier Schnitte berechnen können. Wenn nicht wie im vorliegenden Falle eine bestimmte Methode der Berechnung vorgeschrieben ist, wird man natürlich auf möglichst einfache und elegante Weise zum Ziele zu kommen suchen.

Um die Grenzwerte der Stabkräfte festzustellen, könnte man ganz wie in Beispiel 19 oder Aufgabe 20, 23 vorgehen. Doch wird die allgemeine Behandlung der Dreiecksträger des betrachteten Systems zeigen (§§ 38–40), und schon die obigen Gleichungen lassen es erkennen, dass unter Voraussetzung nur verticaler Belastung die Grenzbeanspruchungen aller Stäbe bei Totalbelastung des ganzen Trägers

und Eigengewicht allein eintreten und die Grenzwerte einer bestimmten Stabkraft im Verhältniss der Knotenpunktslasten für diese Belastungsfälle stehen. Entsprechen also Totalbelastung und Eigengewicht die Knotenpunktslasten 5 tn und 2 tn, so bilden die bereits berechneten Beanspruchungen die oberen Grenzwerte der Stabkräfte, die unteren sind  $\frac{2}{5}$  so gross.

**Beispiel 19. Berechnung von Grenzbeanspruchungen aus Momentengleichungen.**

Für den in Fig. 48 angedeuteten Fachwerkträger betrage per laufenden Meter das Eigengewicht  $g = 0,6$  tn, die Verkehrslast  $p = 3$  tn. Eigengewicht und Verkehrslast sollen in den Knotenpunkten des Obergurts allein angreifend gelten. Die Grenzwerte der Stabkräfte und Stützenreactionen nach der Ritterschen Methode abzuleiten.

Wir gehen nach der Anweisung in § 15 und § 12, d) vor. Für die drei mittleren Knotenpunkte hat man die Belastung durch Eigengewicht  $0,6 \cdot 4 = 2,4$  tn, durch Verkehrslast  $3 \cdot 4 = 12$  tn, durch beide zusammen 14,4 tn; die Belastung der beiden äussersten Knotenpunkte ist halb so gross.

Die Stützenreaction bei 0 drückt sich für Totalbelastung aus

$$V = (G_0 + K_0) + \frac{3}{4} (G_1 + K_1) + \frac{1}{2} (G_2 + K_2) + \frac{1}{4} (G_3 + K_3).$$

Da hiernach alle Lasten auf dem Träger in gleichem Sinne zu  $V$  beitragen, so sind Grenzwerte der Stützenreactionen

$$V = 14,4 \left( \frac{1}{2} + \frac{3}{4} + \frac{1}{2} + \frac{1}{4} \right) = 28,8 \text{ tn},$$

$$V = 28,8 \frac{2,4}{14,4} = 4,8 \text{ tn}.$$

Die äussersten Knotenpunktslasten werden ohne Vermittelung des Trägers auf die Stützen übertragen, die von den übrigen herrührende Stützenreaction bei 0 sei durch  $A$  bezeichnet.

Zur Berechnung der Stabkräfte verwenden wir folgende Momentengleichungen für die Trägertheile links der angedeuteten Schnitte

Stabkraft	Schnitt	Gleichung
$X_1$	I	$A \cdot 2 + X_2 \cdot 2 = 0$
$X_2$	III	$A \cdot 6 - (G_1 + K_1) 2 + X_2 \cdot 2 = 0$
$Z_1$	I	$A \cdot 2 - Z_1 \cdot 1,41 = 0$



Stabkraft	Schnitt	Gleichung
$Z_2$	II	$A \cdot 4 - Z_2 \cdot 2,68 = 0$
$Z_3$	IV	$A \cdot 8 - (G_1 + K_1) 4 - Z_3 \cdot 4 = 0$
$Y_1$	II	$-A \cdot 2 - Y_1 \cdot 4,24 = 0$
$Y_2$	III	$-A \cdot 2 + (G_1 + K_1) 6 + Y_2 \cdot 5,04 = 0$
$Y_3$	IV	$-A \cdot \infty + (G_1 + K_1) \infty - Y_3 \frac{4 \cdot \infty}{4,47} = 0$

Nach Einsetzen von

$$A = \frac{3}{4} (G_1 + K_1) + \frac{1}{2} (G_2 + K_2) + \frac{1}{4} (G_3 + K_3)$$

nehmen diese Gleichungen folgende Formen an.

$$X_1 = -\frac{1}{4} [3(G_1 + K_1) + 2(G_2 + K_2) + G_3 + K_3],$$

$$X_2 = -\frac{1}{8} [5(G_1 + K_1) + 6(G_2 + K_2) + 3(G_3 + K_3)],$$

$$Z_1 = \frac{1}{2,83} [3(G_1 + K_1) + 2(G_2 + K_2) + G_3 + K_3],$$

$$Z_2 = \frac{1}{2,68} [3(G_1 + K_1) + 2(G_2 + K_2) + G_3 + K_3],$$

$$Z_3 = -\frac{1}{2} [G_1 + K_1 + 2(G_2 + K_2) + G_3 + K_3],$$

$$Y_1 = -\frac{1}{8,48} [3(G_1 + K_1) + 2(G_2 + K_2) + G_3 + K_3],$$

$$Y_2 = \frac{1}{10,08} [-9(G_1 + K_1) + 2(G_2 + K_2) + G_3 + K_3],$$

$$Y_3 = \frac{1}{3,57} [G_1 + K_1 - 2(G_2 + K_2) - G_3 - K_3].$$

Hiernach treten die Grenzwerte der Stabkräfte, mit Ausnahme der beiden letzten, bei Totalbelastung und Eigengewicht allein ein. Wir erhalten, wenn die Eigengewichtsbeanspruchungen mit deutschen Buchstaben bezeichnet werden, in Tonnen:

$$X_1 = -\frac{14,4 \cdot 6}{4} = -21,60 = 6 \mathfrak{X}_1,$$

$$X_2 = -\frac{14,4 \cdot 14}{8} = -25,20 = 6 \mathfrak{X}_2,$$

$$Z_1 = \frac{14,4 \cdot 6}{2,83} = 30,53 = 6 \mathfrak{Z}_1,$$

$$Z_2 = \frac{14,4 \cdot 6}{2,68} = 32,24 = 6 \mathfrak{Z}_2,$$

$$Z_3 = \frac{14,4 \cdot 4}{2} = 28,80 = 6 \text{ } \mathfrak{Z}_3,$$

$$Y_1 = -\frac{14,4 \cdot 6}{8,48} = -10,19 = 6 \text{ } \mathfrak{Y}_1.$$

Für die beiden letzten Stäbe ergeben sich die Eigengewichtsbeanspruchungen und beide Grenzbeanspruchungen wie folgt.

$$\mathfrak{Y}_2 = \frac{2,4}{10,08} (-9 + 2 + 1) = -1,43 \text{ tn},$$

$$Y_2 = -1,43 + \frac{12 \cdot 3}{10,08} = 2,14,$$

$$Y_2 = -1,43 - \frac{12 \cdot 9}{10,08} = -12,14;$$

$$\mathfrak{Y}_3 = \frac{2,4}{3,57} (1 - 2 - 1) = -1,34,$$

$$Y_3 = -1,34 + \frac{12 \cdot 1}{3,57} = 2,04,$$

$$Y_3 = -1,34 - \frac{12 \cdot 3}{3,57} = -11,42.$$

Damit sind alle verlangten Grenzwerte bestimmt. (Andere Berechnung siehe Beispiel 23).

**Beispiel 20. Polonceau-Dachbinder. Berechnung von Stabkräften aus Momentengleichungen.**

Für den in Fig. 50 angedeuteten Dachbinder beträgt die Belastung durch Eigengewicht, Schnee und Winddruck per Knotenpunkt der oberen Gurtung, mit Ausnahme der beiden äussersten, 5 tn. Die übrigen Knotenpunkte gelten für unbelastet. Es sind sämtliche Stabkräfte mittelst der Ritterschen Methode zu berechnen.

Die beiden äussersten Knotenpunktlasten, welche direct auf die Stützen übertragen werden, kommen für die Berechnung der Stabkräfte nicht in Betracht. Die übrigen erzeugen Stützenreactionen von  $A = 17,5$  tn. Zur Berechnung der Stäbe führen wir zunächst die Schnitte I bis IV. Die Drehpunkte der Momente sind aus den angesetzten Gleichungen ersichtlich.

$$\begin{array}{ll} \text{I} \begin{cases} 17,5 \cdot 5 + O_1 \cdot 2,24 = 0 \\ 17,5 \cdot 4 - U_1 \cdot 2 = 0 \end{cases} & \begin{array}{l} O_1 = -39,12 \text{ tn} \\ U_1 = 35 \end{array} \\ \text{II} \begin{cases} 17,5 \cdot 5 - 5 \cdot 1 + O_2 \cdot 2,24 = 0 \\ 17,8 \cdot 8 - 5 \cdot 4 - U_2 \cdot 4 = 0 \\ 5 \cdot 4 - X \cdot 4 = 0 \end{cases} & \begin{array}{l} O_2 = -36,39 \\ U_2 = 30 \\ X = 5 \end{array} \end{array}$$

$$\begin{aligned}
 \text{III} \quad & \begin{cases} 17,5 \cdot 10 - 5(2 + 6 - 2) + O_4 \cdot 4,47 = 0 & O_4 = -32,42 \\ 5(4 + 8 + 12) - U_4 \cdot 8 = 0 & U_4 = 15 \\ 17,5 \cdot 16 - 5(4 + 8 + 12) - Z \cdot 8 = 0 & Z = 20 \end{cases} \\
 \text{IV} \quad & \begin{cases} 17,5 \cdot 13 - 5(5 + 9) - Z \cdot 4 + O_3 \cdot 2,24 = 0 & O_3 = -34,66 \\ 17,5 \cdot 8 - 5 \cdot 4 - Z \cdot 4 - U_3 \cdot 4 = 0 & U_3 = 10 \\ 17,5 \cdot 16 - 5(8 + 12) - Z \cdot 8 - Y \cdot 4 = 0 & Y = 5. \end{cases}
 \end{aligned}$$

Da alle Stabkräfte nach Ritters Methode berechnet werden sollen, so wählen wir für  $N_1$  einen Schnitt durch  $O_3$ ,  $N_1$ ,  $U_1$

$$5 \cdot 4 + N_1 \cdot 4,47 = 0, \quad N_1 = -4,47,$$

für  $N_2$  einen Schnitt durch  $O_3$ ,  $Y$ ,  $N_2$ ,  $U_2$

$$5(4 + 8) + Y \cdot 4 + N_2 \cdot 8,94 = 0, \quad N_2 = -8,94,$$

für  $N_3$  einen Schnitt durch  $O_3$ ,  $N_3$ ,  $U_4$  und die symmetrisch zu  $O_3$ ,  $U_4$  liegenden Stäbe

$$-5 \cdot 4 - N_3 \cdot 4,47 = 0, \quad N_3 = -4,47.$$

Damit sind alle Stabkräfte bestimmt. Ueber allgemeine Formeln zur Berechnung der Stabkräfte siehe Aufgabe 22 und 23, über die Berücksichtigung schiefen Winddrucks Beispiel 21.

#### Aufgabe 22. Polonceau-Dachbinder. Formeln für die Stabkräfte.

Es sind Ausdrücke für sämtliche Stabkräfte der in Fig. 51 und 52 skizzirten Dachbinder abzuleiten.

Im Folgenden möge  $A$  die von den  $K$  erzeugte Stützenreaction bei 0 bedeuten. Lateinische Zahlen beziehen sich auf die zur Berechnung der Stabkräfte geführten Schnitte.

Erstes System. Fig. 51. Für die Stabkräfte ergeben sich mit  $A = \frac{3}{2} K$  folgende Gleichungen.

$$\begin{aligned}
 \text{I} \quad & \begin{cases} Aa + O_1 \cdot c = 0 & O_1 = -\frac{3a}{2c} K \\ A \frac{l}{4} - U_1 \frac{cb}{c} = 0 & U_1 = \frac{3el}{8cb} K \end{cases} \\
 \text{II} \quad & \begin{cases} Aa - K(a - \frac{l}{4}) + O_2 c = 0 & O_2 = -\frac{l+2a}{4c} K \\ A \frac{l}{2} - K \frac{l}{4} - Zh = 0 & Z = \frac{l}{2h} K \\ K \frac{l}{4} + Zd - U_2 \frac{2cb}{c} = 0 & U_2 = \left(1 + \frac{2d}{h}\right) \frac{el}{8cb} K \end{cases}
 \end{aligned}$$

$$N + K \frac{l}{4b} = 0 \quad N = -\frac{l}{4b} K.$$

Speziell für den Fall  $d = 0$  hat man wegen  $\frac{cb}{e} = \frac{h}{2}$

$$U_1 = \frac{3}{2} Z, \quad U_2 = \frac{1}{2} Z.$$

**Zweites System.** Fig. 52. Wir erhalten mit  $A = \frac{7}{2} K$  folgende Gleichungen für die Stabkräfte

$$\begin{aligned} \text{I} \quad & \begin{cases} A \frac{a}{2} + O_1 \frac{c}{2} = 0 \\ A \frac{l}{8} - U_1 \frac{cb}{2e} = 0 \end{cases} & \begin{aligned} O_1 &= -\frac{7a}{2c} K \\ U_1 &= \frac{7el}{8cb} K \end{aligned} \\ \text{II} \quad & \begin{cases} A \frac{a}{2} - K \left( \frac{a}{2} - \frac{l}{8} \right) + O_2 \frac{c}{2} = 0 \\ A \frac{l}{4} - K \frac{l}{8} - U_2 \frac{cb}{e} = 0 \\ K \frac{l}{8} - X \frac{cb}{e} = 0 \end{cases} & \begin{aligned} O_2 &= -\frac{l+10a}{4c} K \\ U_2 &= -\frac{3el}{4cb} K \\ X &= \frac{el}{8cb} K \end{aligned} \\ \text{III} \quad & \begin{cases} Aa - K \left[ \left( a - \frac{l}{8} \right) + \left( a - \frac{l}{4} \right) - \left( \frac{3l}{8} - a \right) \right] + O_4 c = 0 \\ A \frac{l}{2} - K \frac{l}{8} (1+2+3) - Zh = 0 \\ K \frac{l}{8} (1+2+3) + Zd - U_4 \frac{2cb}{e} = 0 \end{cases} & \begin{aligned} O_4 &= -\frac{3l+2a}{4c} K \\ Z &= \frac{l}{h} K \\ U_4 &= \left( 3 + \frac{4d}{h} \right) \frac{el}{8cb} K \end{aligned} \\ \text{IV} \quad & \begin{cases} A \left( \frac{l}{4} + \frac{a}{2} \right) - K \left( \frac{a}{2} + \frac{a}{2} + \frac{l}{8} \right) - Z \frac{h}{2} + O_3 \frac{c}{2} = 0 \\ A \frac{l}{4} - K \frac{l}{8} - Z \left( h - \frac{h+d}{2} \right) - U_3 \frac{cb}{e} = 0 \\ A \frac{l}{2} - K \frac{l}{8} (2+3) - Zh - Y \frac{cb}{e} = 0 \end{cases} & \begin{aligned} O_3 &= -\frac{l+3a}{2c} K \\ U_3 &= \left( 1 + \frac{2d}{h} \right) \frac{el}{4cb} K \\ Y &= \frac{el}{8cb} K \end{aligned} \\ & \begin{aligned} N_1 + K \frac{l}{4b} &= 0 & N_1 &= -\frac{l}{4b} K \\ N_2 + K \frac{l}{4b} + (X+Y) \frac{c}{e} &= 0 & N_2 &= -\frac{l}{2b} K \\ N_3 + K \frac{l}{4b} &= 0 & N_3 &= -\frac{l}{4b} K. \end{aligned} \end{aligned}$$

Zur Vereinfachung der Berechnung können dienen

$$U_1 = 7X, \quad U_2 = 6X, \quad U_3 = \left(1 + \frac{2d}{h}\right) 2X, \quad U_4 = \left(3 + \frac{4d}{h}\right) X,$$

$$Y = X, \quad N_2 = 2N_1, \quad N_3 = N_1.$$

Speziell für den Fall  $d = 0$  (Fig. 54) hat man mit  $\frac{cb}{e} = \frac{h}{2}$

$$X = \frac{l}{8h} K, \quad U_3 = 2X, \quad U_4 = 3X.$$

Ueber die Grenzbeanspruchungen der Stäbe beider betrachteten Fachwerke siehe den Schlussabsatz der folgenden Aufgabe. Ist  $g$  die feste Last und  $q = g + p$  die Totalbelastung per Längeneinheit Träger, so ergeben sich die Grenzbeanspruchungen für das System Fig. 51 mit

$$K = \frac{ql}{4} \quad \text{und} \quad K = \frac{gl}{4}$$

für das System Fig. 52 mit

$$K = \frac{ql}{8} \quad \text{und} \quad K = \frac{gl}{8}.$$

Die oberen und unteren Grenzbeanspruchungen stehen also für alle Stäbe im Verhältniss  $q : g$

### Aufgabe 23. Polonceau-Dachbinder. Allgemeine Formeln.

Für die in voriger Aufgabe behandelten Dachbinder sind die Ausdrücke der Stabkräfte bei beliebigen Knotenpunktslasten sowie die Grenzbeanspruchungen der Stäbe festzustellen.

Wir gehen zunächst ganz wie in Aufgabe 22 vor. Die vom Träger übertragenen Knotenpunktslasten erhalten von 0 nach  $l$  hin die Indices 1, 2, 3, ...

**Erstes System.** Fig. 51. Die Bedingungsgleichungen lauten wie in Aufgabe 22, nur ist  $K_1$  für  $K$  zu setzen und

$$A = \frac{1}{4} (3K_1 + 2K_2 + K_3).$$

Damit entstehen folgende Ausdrücke der Stabkräfte für beliebige  $K$ .

$$O_1 = -\frac{a}{4c} (3K_1 + 2K_2 + K_3),$$

$$O_2 = -\frac{a}{4c} \left[ \left( \frac{l}{a} - 1 \right) K_1 + 2K_2 + K_3 \right],$$

$$U_1 = \frac{el}{16cb} (3K_1 + 2K_2 + K_3),$$

$$U_2 = \frac{el d}{16 c b h} \left[ \left( 1 + \frac{2h}{d} \right) K_1 + 2 K_2 + K_3 \right],$$

$$Z = \frac{l}{8h} (K_1 + 2 K_2 + K_3), \quad N = -\frac{l}{4b} K_1.$$

Für  $K_1 = K_2 = K_3 = K$  gehen diese Gleichungen in die in der vorigen Aufgabe erhaltenen über.

**Zweites System.** Fig. 52. Wir verwenden die gleichen Schnitte und analogen Bedingungsgleichungen wie in Aufgabe 22. Man hat

$$A = \frac{1}{8} (7 K_1 + 6 K_2 + 5 K_3 + 4 K_4 + 3 K_5 + 2 K_6 + K_7)$$

und erhält folgende Stabkräfte für beliebige  $K$

$$O_1 = -\frac{a}{8c} [7 K_1 + 6 K_2 + 5 K_3 + 4 K_4 + 3 K_5 + 2 K_6 + K_7],$$

$$O_2 = -\frac{a}{8c} \left[ \left( \frac{2l}{a} - 1 \right) K_1 + 6 K_2 + 5 K_3 + 4 K_4 + 3 K_5 + 2 K_6 + K_7 \right],$$

$$O_3 = -\frac{a}{8c} \left[ \left( \frac{l}{a} - 1 \right) (K_1 + 2 K_2) \right. \\ \left. + \left( \frac{l}{a} + 5 \right) K_3 + 4 K_4 + 3 K_5 + 2 K_6 + K_7 \right],$$

$$O_4 = -\frac{a}{8c} \left[ \left( \frac{l}{a} - 1 \right) (K_1 + 2 K_2 + 3 K_3) + 4 K_4 + 3 K_5 + 2 K_6 + K_7 \right];$$

$$U_1 = \frac{el}{32 c b} [7 K_1 + 6 K_2 + 5 K_3 + 4 K_4 + 3 K_5 + 2 K_6 + K_7],$$

$$U_2 = \frac{el}{32 c b} [3 K_1 + 6 K_2 + 5 K_3 + 4 K_4 + 3 K_5 + 2 K_6 + K_7],$$

$$U_3 = \frac{el}{16 c b} [K_1 + 2 K_2 + K_3 \\ + \frac{d}{2h} (K_1 + 2 K_2 + 3 K_3 + 4 K_4 + 3 K_5 + 2 K_6 + K_7)],$$

$$U_4 = \frac{el}{16 c b} [K_1 + 2 K_2 + 3 K_3 \\ + \frac{d}{2h} (K_2 + 2 K_2 + 3 K_3 + 4 K_4 + 3 K_5 + 2 K_6 + K_7)];$$

$$N_1 = -\frac{l}{4b} K_1, \quad N_2 = -\frac{l}{8b} (K_1 + 2 K_2 + K_3), \quad N_3 = -\frac{l}{4b} K_3,$$

$$X = \frac{el}{8 c b} K_1, \quad Y = \frac{el}{8 c b} K_3.$$

Für  $K_1 = K_2 = \dots = K_7 = K$  gehen alle diese Gleichungen in die entsprechenden der vorigen Aufgabe über.

Die Gleichungen für beide Systeme zeigen, dass die Grenzbeanspruchungen sämtlicher Stäbe bei möglichst grossen Werthen aller  $K$  (Totalbelastung des ganzen Trägers) und möglichst kleinen Werthen

derselben (Eigengewicht allein) eintreten. Da für diese Fälle die  $K$  gleich gross zu sein pflegen, so genügen zur Bestimmung der Grenzbeanspruchungen, abgesehen vom Einflusse nicht verticalen Winddrucks (Beispiel 21), die Gleichungen der vorigen Aufgabe. Sie liefern die Grenzbeanspruchungen, wenn die Grenzwerte der  $K$  eingesetzt werden, und für jeden bestimmten Stab stehen die beiden Ersteren im Verhältniss der beiden Letzteren.

**Beispiel 21. Polonceau-Dachbinder. Berücksichtigung schiefen Winddrucks.**

Den Einfluss des Winddrucks auf die Beanspruchungen des in Fig. 54 angedeuteten Dachbinders unter folgenden Voraussetzungen zu berechnen. Binderweite 4 m. Winddruck bei normal getroffener Fläche 150 kg per qm. Windrichtung um  $10^\circ$  gegen den Horizont fallend parallel der Trägerebene. Es ist einmal die dem verschiebbaren Auflager anliegende, einmal die abstehende Dachfläche vom Winde getroffen anzunehmen.

Es sei  $w$  der Winddruck per qm Fläche für den Fall, dass Letztere vom Winde normal getroffen wird. Da die auf eine Dachfläche  $AB$  (Fig. 53) kommende Windmasse zu derjenigen auf eine gleich grosse normal getroffene Fläche im Verhältniss  $\sin(\alpha + \beta):1$  steht, so ist der nicht normale Winddruck per qm von  $AB$

$$w \sin(\alpha + \beta).$$

Wenn ferner die Reibung der Luft am Dache vernachlässigt wird, so kommt für den Träger nur die Normalcomponente

$$(1) \quad n = w \sin^2(\alpha + \beta)$$

zur Wirkung. Für den vorliegenden Fall haben wir

$$w = 150, \quad \operatorname{tg} \alpha = \frac{1}{2}, \quad \alpha = 26^\circ 34', \quad \beta = 10^\circ,$$

$$n = 150 \sin^2 36^\circ 34' = 53,24 \text{ kg},$$

und demgemäss den der Dachfläche normalen Winddruck für jeden der drei innern Knotenpunkte einer vom Winde getroffenen Binderhälfte

$$N = 4,47 \cdot 4 \cdot 53,24 = 952 \text{ kg},$$

wofür wir abgerundet  $N = 1 \text{ tn}$  setzen wollen, sodass die beiden äussersten Knotenpunkte der Binderhälfte je  $\frac{1}{2} \text{ tn}$  Winddruck erhalten.

Bei beliebigen Werthen der  $N$  beider Binderhälften bestehen für die vom Winddruck herrührenden Stabkräfte der Trägerhälfte am unverschiebbaren Auflager folgende Gleichungen.

$$\begin{aligned}
 \text{I} \quad & \begin{cases} V \cdot 5 - \frac{N}{2} 4,47 + O_1 \cdot 2,24 = 0 \\ V \cdot 4 - H \cdot 2 - \frac{N}{2} 4,47 - U_1 \cdot 2 = 0 \end{cases} \\
 \text{II} \quad & \begin{cases} V \cdot 5 - \frac{N}{2} 4,47 + O_2 \cdot 2,24 = 0 \\ V \cdot 8 - H \cdot 4 - N \cdot 4,47 (1 + 1) - U_2 \cdot 4 = 0 \\ N \cdot 4,47 - X \cdot 4 = 0 \end{cases} \\
 \text{III} \quad & \begin{cases} V \cdot 10 - N \cdot 4,47 (1 + 1 - 1) + O_4 \cdot 4,47 = 0 \\ N \cdot 4,47 (1 + 2 + 3) - U_4 \cdot 8 = 0 \\ V \cdot 16 - H \cdot 8 - N \cdot 4,47 (2 + 3 + 2 + 1) - Z \cdot 8 = 0 \end{cases} \\
 \text{IV} \quad & \begin{cases} V \cdot 13 - H \cdot 4 - N \cdot 4,47 \left( \frac{3}{2} + 2 + 1 \right) - Z \cdot 4 + O_3 \cdot 2,24 = 0 \\ V \cdot 8 - H \cdot 4 - N \cdot 4,47 (1 + 1) - Z \cdot 4 - U_3 \cdot 4 = 0 \\ V \cdot 16 - H \cdot 8 - N \cdot 4,47 (2 + 3 + 2) - Z \cdot 4 - Y \cdot 4 = 0 \end{cases} \\
 & N + N_1 = 0 \qquad \qquad \qquad O_2 = O_1 \\
 & N + N_2 + (X + Y) \frac{2,24}{5} = 0 \\
 & N + N_3 = 0 \qquad \qquad \qquad O_3 = O_4.
 \end{aligned}$$

Dieselben Gleichungen gelten für die Stabkräfte der zweiten Trägerhälfte, wenn wir uns  $O$  und  $V'$  für  $H$  und  $V$  gesetzt denken.

Dachfläche beim verschiebbaren Auflager getroffen. Fig. 54. Für die Stützenreactionen hat man

$$V \cdot 32 - 1 \cdot 4,47 \left( 1 + 2 + 3 + \frac{4}{2} \right) = 0, \quad V = 1,12 \text{ tn},$$

$$V' = 4 \frac{4}{4,47} - 1,12 = 2,46 \text{ tn}, \quad H = 4 \frac{2}{4,47} = 1,79 \text{ tn}.$$

Obige Gleichungen liefern für die erste Binderhälfte (beim unverschiebbaren Auflager) mit  $V = 1,12$ ,  $H = 1,79$ ,  $N = 0$ ,

$$O_1 = O_2 = O_3 = O_4 = -2,5 \text{ tn},$$

$$U_1 = U_2 = Z = 0,45 \text{ tn},$$

$$U_3 = U_4 = N_1 = N_2 = N_3 = X = Y = 0,$$

und für die zweite Binderhälfte (beim verschiebbaren Auflager) mit  $V = 2,46$ ,  $H = 0$ ,  $N = 1$ ,



$$\begin{aligned}
 O_1 = O_2 = O_3 = O_4 &= -4,5 \text{ tn}, \\
 U_1 &= 3,80, \quad U_2 = 2,68, \quad U_3 = 2,23, \quad U_4 = 3,35, \\
 N_1 = N_3 &= -1, \quad N_2 = -2, \quad X = Y = 1,12.
 \end{aligned}$$

Die Stabkraft  $Z$  kann natürlich ebensowohl zur ersten wie zur zweiten Binderhälfte gerechnet werden.

Dachfläche beim unverschiebbaren Auflager getroffen. Fig. 55. Für die Stützenreactionen hat man

$$\begin{aligned}
 1 \cdot 4,47 \left(1 + 2 + 3 + \frac{4}{2}\right) - V' \cdot 32 &= 0, \quad V' = 1,12 \text{ tn}, \\
 V &= 4 \frac{4}{4,47} - 1,12 = 2,46 \text{ tn}, \quad H = -4 \frac{2}{4,47} = -1,79 \text{ tn}.
 \end{aligned}$$

Die obigen Bedingungsgleichungen der Stabkräfte ergeben für die erste Binderhälfte mit  $V = 2,46$ ,  $H = -1,79$ ,  $N = 1$ ,

$$\begin{aligned}
 O_1 = O_2 = O_3 = O_4 &= -4,5, \\
 U_1 &= 5,59, \quad U_2 = 4,47, \quad U_3 = 2,23, \quad U_4 = 3,35, \\
 N_1 = N_3 &= -1, \quad N_2 = -2, \quad X = Y = 1,12,
 \end{aligned}$$

und für die zweite Binderhälfte mit  $V = 1,12$ ,  $H = 0$ ,  $N = 0$ ,

$$\begin{aligned}
 O_1 = O_2 = O_3 = O_4 &= -2,5, \\
 U_1 = U_2 &= Z = 2,24, \\
 U_3 = U_4 = N_1 = N_2 = N_3 &= X = Y = 0.
 \end{aligned}$$

Auf mancherlei Vereinfachungen, welche die Berechnung der Stabkräfte zulässt, braucht nicht erst hingewiesen zu werden, da sie sich beim Rechnen von selbst ergeben und zuviel Erklären die Uebersicht stört. Erwähnt sei nur, dass die erste Trägerhälfte im zweiten Belastungsfall genau so belastet ist wie die zweite im ersten, dass also, abgesehen vom Einflusse des Horizontalschubs auch entsprechende Stabkräfte entstehen müssen. Ebenso müssen die nicht vom Horizontalschub beeinflussten Stabkräfte der zweiten Trägerhälfte im zweiten Belastungsfall und der ersten im ersten Fall einander gleich sein. Der Horizontalschub übt aber bei horizontalem Untergurt, wie sofort klar und auch aus obigen Gleichungen ersichtlich, nur auf die Stabkräfte  $U_1$ ,  $U_2$  und  $Z$  einen Einfluss.

Grenzwerte der Stabkräfte. Um diese zu erhalten, hat man die Grenzwerte der Stabkräfte für feste Last und Schneedruck mit den Beanspruchungen durch Winddruck so zu combiniren, dass möglichst ungünstige Grenzwerte im Ganzen entstehen. Die Ersteren ergeben sich wie in Beispiel 20 oder bequemer nach den Formeln in Auf-

gabe 22. Angenommen, es seien  $K=2$  und  $K=4$  die Knotenpunktslasten für feste Last allein und feste Last mit Schneedruck, dann sind die entsprechenden Stabkräfte gleich  $\frac{2}{5}$  und  $\frac{4}{5}$  der in Beispiel 20 berechneten (Aufgabe 22). Weiteres ist aus der folgenden Tabelle zu ersehen, in welcher wir, um das Verfahren allgemein zu zeigen, von möglichen Vereinfachungen abgesehen haben.

Stab- kräfte	Grenzwerte ohne Winddruck		Stabkräfte durch Winddruck				Grenzwerte im Ganzen				Beispiel 20
			I. Binder- hälfte		II. Binder- hälfte		I. Binder- hälfte		II. Binder- hälfte		
— $O_1$	31,30	15,65	2,5	4,5	4,5	2,5	35,80	15,65	35,80	15,65	39,12
— $O_2$	29,51	14,76	2,5	4,5	4,5	2,5	34,01	14,76	34,01	14,76	36,8
— $O_3$	27,73	13,86	2,5	4,5	4,5	2,5	32,23	13,86	32,23	13,86	34,66
— $O_4$	25,94	12,97	2,5	4,5	4,5	2,5	30,44	12,97	30,44	12,97	32,42
$U_1$	28	14	0,45	5,59	3,80	2,24	33,59	14	31,80	14	35
$U_2$	24	12	0,45	4,47	2,68	2,24	28,47	12	26,68	12	30
$U_3$	8	4	0	2,23	2,23	0	10,23	4	10,23	4	10
$U_4$	12	6	0	3,35	3,35	0	15,35	6	15,35	6	15
— $N_1$	3,58	1,79	0	1	1	0	4,58	1,79	4,58	1,79	4,47
— $N_2$	7,15	3,58	0	2	2	0	9,15	3,58	9,15	3,58	8,94
— $N_3$	3,58	1,79	0	1	1	0	4,58	1,79	4,58	1,79	4,47
$X$	4	2	0	1,12	1,12	0	5,12	2	5,12	2	5
$Y$	4	2	0	1,12	1,12	0	5,12	2	5,12	2	5
$Z$	16	8	0,45	2,24	0,45	2,24	18,24	8	18,24	8	20

Hiernach weichen die Grenzwerte entsprechender Stabkräfte auf der ersten und zweiten Trägerhälfte nur für  $U_1$  und  $U_2$  von einander ab, wie dies nach einer oben gemachten Bemerkung selbstverständlich ist.

**Bemerkungen.** Bei Dachbindern wird der einseitige Winddruck vielfach nicht berücksichtigt, sondern die Berechnung mit einem auf das ganze Dach gleichmässig vertheilten Verticaldruck des Windes von

$$(2) \quad v = \frac{n}{\cos \alpha} = \frac{w \sin^2 (\alpha + \beta)}{\cos \alpha}$$

per qm Dachfläche durchgeführt, wobei sich im vorliegenden Falle per Knotenpunkt ein Winddruck von  $4 \cdot 4,47 \cdot v = \text{ca. } 1 \text{ tn}$  ergeben hätte. Berechnet man demgemäss die Grenzwerte der Stabkräfte

mit  $K = 5$  tn und  $K = 2$  tn nach den Formeln der Aufgabe 22, so folgen die in der letzten Columne obiger Tabelle angeführten oberen Grenzwerte (Beispiel 20), welche entweder zu ungünstig oder nur um wenig zu günstig sind (grösste Abweichung im letzteren Sinne 15 gegen 15,35 tn). Als untere Grenzwerte hat man nach beiden Berechnungsarten die Beanspruchungen durch die feste Last allein. Das einfachere gewöhnliche Verfahren würde also im jetzigen Falle genügt haben und Gleiches lässt sich bei nicht zu steilen Dächern auch für andere Binder nachweisen. Steht dies einmal fest, so kann man für die betreffenden Fälle von jenem Verfahren Gebrauch machen. Die übliche Begründung desselben, nach welcher die oben erhaltene Windkomponente  $n$  nochmals in eine Verticalkomponente  $v$  (Fig. 56) und eine *wirkungslose* Komponente längs der Dachfläche zerfallen soll, ist dagegen unrichtig, wie man schon daraus schliessen kann, dass sich die Komponente  $v$  mit wachsendem  $\alpha$  der Grenze  $\infty$  nähert. Die Normalkomponente  $n$  kommt *vollständig* zur Wirkung und zerlegt man sie in Komponenten, so ergeben die Letzteren *zusammen* den Einfluss von  $N$ .

**Beispiel 22. Dachbinder. Berücksichtigung schiefen Winddrucks.**

Den Einfluss des Winddrucks auf die Stabkräfte des in Fig. 57 angedeuteten Dachbinders unter gleichen Voraussetzungen wie im vorigen Beispiel zu berechnen.

Bei beliebigen Werten der  $N$  bestehen für die vom Winddrucke herrührenden Stabkräfte der ersten (dem unverschiebbaren Auflager anliegenden) Binderhälfte folgende Gleichungen:

$$\begin{aligned}
 \text{I} \quad & \begin{cases} V \cdot 4 - \frac{N}{2} \frac{4}{4,47} 4 + X_1 \cdot 1,79 = 0 \\ V \cdot 4 - H \cdot 2 - \frac{N}{2} 4,47 - Z_1 \cdot 2 = 0 \end{cases} \\
 \text{II} \quad & \begin{cases} V \cdot 8 - N \frac{4}{4,47} (4 + 4) + N \frac{2}{4,47} 2 + X_2 \cdot 3,58 = 0 \\ V \cdot 4 - H \cdot 2 - \frac{N}{2} 4,47 - Z_2 \cdot 2 = 0 \\ N \cdot 4,47 + D_2 \cdot 3,58 = 0 \end{cases} \\
 \text{III} \quad & \begin{cases} V \cdot 12 - N \frac{4}{4,47} (4 + 8 + 6) + N \frac{2}{4,47} (2 + 4) + X_3 \cdot 5,37 = 0 \\ V \cdot 8 - H \cdot 4 - N \cdot 4,47 (1 + 1) - Z_3 \cdot 4 = 0 \\ N \cdot 4,47 (1 + 2) + D_3 \cdot 8,48 = 0 \end{cases}
 \end{aligned}$$

$$\text{IV} \begin{cases} V \cdot 16 - N \frac{4}{4,47} (4 + 8 + 12 + 8) + N \frac{2}{4,47} (2 + 4 + 6) + X_4 \cdot 7,15 = 0 \\ V \cdot 12 - H \cdot 6 - N \cdot 4,47 \left(1 + 2 + \frac{3}{2}\right) - Z_4 \cdot 6 = 0 \\ N \cdot 4,47 (1 + 2 + 3) + D_4 \cdot 13,31 = 0 \\ V_1 + 0 = 0 & V_1 = 0 \\ V_2 + D_2 \frac{2}{4,47} = 0 & V_2 = \frac{N}{1,79} \\ V_3 + D_3 \frac{4}{5,56} = 0 & V_3 = \frac{12}{5,56} \frac{4,47}{8,48} N \\ V_4 + (D_4 + D_4') \frac{6}{7,21} = 0 & V_4 = \frac{36}{7,27} \frac{4,47}{13,31} (N + N'). \end{cases}$$

Dabei wurde vorübergehend die zu  $D_4$  symmetrisch liegende Diagonalenbeanspruchung durch  $D_4'$  bezeichnet. Vorstehende Gleichungen gelten auch für die Stabkräfte der zweiten Binderhälfte, wenn  $N'$ ,  $N$ ,  $V'$ , 0 für  $N$ ,  $N'$ ,  $V$ ,  $H$  gesetzt werden. Doch berechnen wir zunächst die erste Binderhälfte.

**Dachfläche beim verschiebbaren Auflager getroffen.** Wie im vorigen Beispiel sind  $V = 1,12$ ,  $H = 1,79$ . Mit diesen Werthen und  $N = 0$ ,  $N' = 1$  liefern obige Gleichungen in Tonnen

$$\begin{aligned} X_1 &= X_2 = X_3 = X_4 = -2,5, \\ Z_1 &= Z_2 = Z_3 = Z_4 = 0,45, \\ D_2 &= D_3 = D_4 = 0, \\ V_1 &= V_2 = V_3 = 0, \quad V_4 = 1,68. \end{aligned}$$

**Dachfläche beim unverschiebbaren Auflager getroffen.** Wie im vorigen Beispiel ergeben sich  $V = 2,46$ ,  $H = -1,79$ . Mit diesen Werthen und  $N = 1$ ,  $N' = 0$  liefern obige Gleichungen in Tonnen

$$\begin{aligned} X_1 &= -4,5 & X_2 &= -3,75 & X_3 &= -3 & X_4 &= -2,25 \\ Z_1 &= 5,59 & Z_2 &= 5,59 & Z_3 &= 4,47 & Z_4 &= 3,36 \\ D_2 &= -1,25 & D_3 &= -1,58 & D_4 &= -2,02 \\ V_1 &= 0 & V_2 &= 0,56 & V_3 &= 1,14 & V_4 &= 1,68. \end{aligned}$$

Da die zweite Binderhälfte im zweiten und ersten Belastungsfalle genau so belastet ist wie die erste Binderhälfte im ersten und zweiten Falle, so gelten die berechneten Beanspruchungen auch für die zweite Binderhälfte, abgesehen vom Einflusse des Horizontalschubs  $H$ . Obige Gleichungen zeigen, dass ein solcher Einfluss nur für die Stäbe des Untergurts besteht und dass die  $Z$  der zweiten Binderhälfte aus den bereits berechneten hervorgehen, wenn wir den

im ersten und zweiten Belastungsfalle gefundenen Werthen  $Z$  bzw.  $H = 1,79$  und  $H = -1,79$  zufügen, womit für die zweite Binderhälfte gelten im zweiten Belastungsfalle

$$Z_1 = Z_2 = Z_3 = Z_4 = 2,24$$

und im ersten Belastungsfalle

$$Z_1 = Z_2 = 3,80, \quad Z_3 = 2,68, \quad Z_4 = 1,57 \text{ tn.}$$

Dieselben Werthe hätten sich natürlich auch aus obigen Gleichungen wie im vorigen Beispiele berechnen lassen.

**Grenzwerte der Stabkräfte.** Dieselben ergeben sich wie im vorigen Beispiel durch Combination der Grenzwerte für feste Last und Schneedruck mit den Stabkräften für Winddruck. Angenommen, es seien die Knotenpunktslasten für feste Last  $K = 2$ , für feste Last und Schneedruck  $K = 4$  tn, dann sind die entsprechenden Stabkräfte gleich  $\frac{2}{6}$  und  $\frac{4}{6}$  der in Beispiel 17 oder 18 berechneten. Das Weitere ist aus nachstehender Tabelle zu ersehen, in welcher sich die ersten und zweiten drei  $Z$  auf die erste und zweite Trägerhälfte beziehen, alle übrigen Stabkräfte aber für beide Trägerhälften gelten. Für jede Belastung sind  $V_1 = 0$ ,  $Z_1 = Z_2$ .

Stabkräfte	Grenzwerte ohne Winddruck		Stabkräfte durch Winddruck		Grenzwerte im Ganzen		Beispiel 18
— $X_1$	31,30	15,65	2,5	4,5	35,80	15,65	39,12
— $X_2$	26,82	13,41	2,5	3,75	30,57	13,41	33,52
— $X_3$	22,34	11,17	2,5	3	25,34	11,17	27,93
— $X_4$	17,87	8,94	2,5	2,75	20,62	8,94	22,34
$Z_2$	28	14	0,45	5,59	33,59	14	35
$Z_3$	24	12	0,45	4,47	28,47	12	30
$Z_4$	20	10	0,45	3,36	23,36	10	25
$Z_5$	28	14	3,8	2,24	31,8	14	35
$Z_6$	24	12	2,68	2,24	26,78	12	30
$Z_7$	20	10	1,57	2,24	22,24	10	25
— $D_2$	4,47	2,24	0	1,25	5,72	2,24	5,59
— $D_3$	5,66	2,83	0	1,58	7,24	2,83	7,08
— $D_4$	7,22	3,61	0	2,02	9,24	3,61	9,02
$V_2$	2	1	0	0,56	2,56	1	2,5
$V_3$	4	2	0	1,14	5,14	2	5
$V_4$	12	6	1,68	1,68	13,68	6	15

Die oberen Grenzwerte der Stabkräfte, welche sich mit einem gleichmässig auf das ganze Dach verbreiteten Verticaldruck des Windes von 1 tn per Knotenpunkt in Beispiel 18 ergaben, sind in der letzten Columnne beigefügt. Wie im vorigen Falle lieferte also die einfachere gewöhnliche Berechnung im Allgemeinen etwas zu ungünstige Werthe, die unteren Grenzwerte stimmen bei beiden Berechnungen überein.

**Aufgabe 24. Abänderung der Trägerenden beim Parallelträger einfachen Systems des rechtwinkligen Dreiecks.**

Zu entscheiden, welche Aenderung der Stabkräfte gegenüber dem Fachwerke Fig. 58 mit horizontalen Gurtungen und gleich oder verschieden langen Feldern durch Abänderung der Trägerenden nach Fig. 59 entstehen, wenn von äussern Activkräften nur Lasten wirken.

Für die Anordnung Fig. 59 verlangt das Gleichgewicht gegen horizontale Verschiebung des Knotenpunkts 0 und gegen horizontale und verticale Verschiebung des Knotenpunkts 1 im Untergurte

$$H + Z + \frac{\lambda_1}{d_1} X = 0, \quad Z - Z_2 = 0, \quad V_1 - K_u = 0.$$

Im Falle von Fig. 58 gelten fürs Gleichgewicht gegen horizontale Verschiebung der Knotenpunkte 0 und 1 im Untergurt

$$H + Z_1 = 0, \quad Z_1 - Z_2 + \frac{\lambda_1}{d_1} D_1 = 0.$$

Da  $Z_2$  in beiden Fällen denselben Werth hat, so folgt aus der letzten Gleichung mit der zweiten und vierten

$$H + Z = \frac{\lambda_1}{d_1} D_1$$

und damit aus der ersten

$$X = -D_1.$$

Wir können aussprechen: Werden bei dem (einfachen oder continuirlichen) Fachwerk Fig. 58 die Trägerenden nach Fig. 59 abgeändert, so hat man für jede Belastung und also bei bewegter Belastung auch für die Grenzbeanspruchungen

$$X = -D_1, \quad Z = Z_2, \quad V_1 = K_u,$$

worin sich  $D_1$ ,  $Z_2$  auf Fig. 58 beziehen und  $K_u$  die Belastung des Knotenpunkts 1 im Untergurt bedeutet. Alle übrigen Stabkräfte bleiben ungeändert.

**Aufgabe 25. Eine Eigenschaft der Parabelträger.**

Es soll bewiesen werden, dass für Parabelträger einfachen Systems mit Verticalen der Horizontalschub  $H$  ohne Einfluss auf die Beanspruchungen der Diagonalen ist.

Für die Beanspruchung der Diagonale im  $m$ ten Felde eines Fachwerks einfachen Systems und beliebiger Gurtungsformen hat man nach § 16, 5) bei beliebig gerichteten Knotenpunktskräften

$$(1) \quad D_m = \mp M_s \frac{d_m}{\varepsilon l h_{m-1}} \quad \text{mit} \quad w = \xi_m - \varepsilon (\xi_m - \xi_{m-1}),$$

worin nach A. 5, 1)

$$(2) \quad M_s = Vu - Hw - \sum_0^i K(u - e) + \sum_0^i L(w - c).$$

Die letzte Summe fällt weg, wenn wie gewöhnlich sämtliche Knotenpunktskräfte vertical sind. Für Parabelträger ergaben sich in § 17

$$\xi_m = m(n-m) \frac{4f_x}{n^2}, \quad \varepsilon = \frac{m(n-m)}{n-2m+1}.$$

Wir erhalten damit aus 1) in 2)

$$(3) \quad w = 0.$$

Bei beliebigen Parabelträgern einfachen System mit Verticalen (Sichelträger, Linsenträger, Segmentträger) ist der Horizontalschub  $H$  ohne Einfluss auf die Beanspruchungen der Diagonalen, diese können für Bogenträger nach denselben Formeln wie für Balkenträger berechnet werden.

**Bemerkungen.** Selbstverständlich ist der Einfluss des Horizontalschubs auch auf jede andre Stabkraft gleich Null, welche proportional einem Momente  $M_s$  mit  $w = 0$  ist. Es trifft dies u. A. bei Trägern beliebigen einfachen Systems mit einer die Auflager enthaltenden horizontalen Gurtung für alle diejenigen Stäbe zu, welche nicht in jener Gurtung liegen. Der Fall des Parabelträgers ist jedoch deshalb von Interesse, weil bei ihm keine weitere Voraussetzung bezüglich der Gurtungen besteht und weil parabolische Sichelträger auch als Bogenträger Verwendung finden.

Für Träger einfachen Systems mit Verticalen hat  $H$  auch dann keinen Einfluss auf die Diagonalenbeanspruchungen, wenn die Gurtungen bei sonst beliebigen Formen symmetrisch zu einer Horizontalen durch die Auflager liegen, womit eben wieder das entsprechende  $w$  gleich Null wird. Bei Dreiecksträgern des fraglichen Systems hat  $H$  weder

auf die Diagonalenbeanspruchungen noch auf die Verticalenbeanspruchungen einen Einfluss, da wir wegen  $\xi_m = mc$ ,  $\varepsilon = \nu = m$  in 1) und in

$$V_m = \pm M_s \frac{1}{\nu \lambda} \quad \text{mit} \quad w = \xi_m - \nu(\xi_m - \xi_{m-1})$$

$w = 0$  haben.

**Aufgabe 26. Freitragender Perrondachbinder. Ableitung der Formeln durch Spezialisierung.**

Die Stabkräfte des in Aufgabe 20 behandelten Perrondachbinders Fig. 45 durch Spezialisierung der Formeln des § 18 abzuleiten.

Wird Punkt 0 wie in Aufgabe 20 ans freie Ende gelegt, so hat man

$$(1) \quad H = 0, \quad M = 0, \quad \varepsilon = \nu = m.$$

Die letzten Werthe nach § 17, 4) 5). Mit 1) liefern die Gleichungen § 18, 2) für beliebige Belastung

$$(2) \quad \begin{cases} X_m = -[(n-m)S + m(M' + S')] \frac{x}{l h_m}, \\ Z_m = [(n-m+1)S + (m-1)(M' + S')] \frac{1}{n h_{m-1}}, \\ D_m = -\frac{S}{m \lambda} \frac{d_m}{h_{m-1}}, \\ V_m = \frac{S}{m \lambda}. \end{cases}$$

Bei der in Fig. 45 angedeuteten Belastung der oberen Knotenpunkte allein hat man das Moment der äussern Kräfte links von Schnitt  $l$  in Hinsicht des Punktes  $l$

$$M' = -[nK_0 + (n-1)K_1 + \dots + K_{n-1}] \lambda,$$

das Moment der Knotenpunktslasten vor Schnitt  $s$  durch Feld  $m$  in Hinsicht des Punktes 0

$$S = [K_1 + 2K_2 + \dots + (m-1)K_{m-1}] \lambda,$$

das Moment der Knotenpunktslasten nach Schnitt  $s$  durch Feld  $m$  in Hinsicht des Punktes  $l$

$$S' = [K_{n-1} + 2K_{n-2} + \dots + (n-m)K_m] \lambda.$$

Die beiden letzten Momente gelten auch für einen Schnitt  $s$  durch die Stäbe  $x_m$ ,  $h_m$ ,  $z_m$  und also für sämtliche Gleichungen 2). Dieselben lassen sich damit in unserm Falle auch wie folgt ausdrücken



$$(3) \quad \begin{cases} X_m = [mK_0 + (m-1)K_1 + \dots + K_{m-1}] \frac{x}{h_m}, \\ Z_m = -[(m-1)K_0 + (m-2)K_1 + \dots + K_{m-2}] \frac{\lambda}{h_{m-1}}, \\ D_m = -[K_1 + 2K_2 + \dots + (m-1)K_{m-1}] \frac{d_m}{mh_{m-1}}, \\ V_m = [K_1 + 2K_2 + \dots + (m-1)K_{m-1}] \frac{1}{m}, \end{cases}$$

welche Formeln mit A. 20, 2) übereinstimmen und zu den dort angeschlossenen Bemerkungen und Vereinfachungen Anlass geben. Auch die Stützenreactionen wurden in A. 20 bereits bestimmt.

#### Aufgabe 27. Fachwerke mit statischen Bedingungen.

Die Veränderlichkeit der Verticalenlängen einfacher Balkenfachwerke des in §§ 16—18 behandelten Systems für folgende Fälle festzustellen: a) die Knotenpunktslasten rechts oder links einer Diagonale sollen keinen Einfluss auf die Beanspruchung dieser Diagonale haben; b) bei gleichmässig über den ganzen Träger vertheilter Last sollen überhaupt keine Beanspruchungen der Diagonalen entstehen; c) die Beanspruchungen aller Verticalen sollen bei bestimmter Belastung den gleichen Werth  $C$  haben.

a) Die dritte Gleichung § 18, 2) ergibt die Beanspruchung der Diagonale  $m$  bei beliebiger Belastung wegen  $M = M' = H = 0$

$$D_m = \mp [(n - m + \varepsilon)S + (m - \varepsilon)S'] \frac{d_m}{\varepsilon l h_{m-1}}.$$

Hiernach ist die rechtsseitige Belastung ohne Einfluss auf  $D_m$  für

$$\varepsilon = m = \frac{h_m}{h_m - h_{m-1}}, \quad \frac{h_{m-1}}{h_m} = \frac{m-1}{m},$$

d. h. wenn bei beliebiger Form der einen Gurtung die Verticalenlängen wie die Ordinaten einer durch den Coordinatenursprung gehenden Geraden variiren, wie beispielsweise für Dreiecksträger mit Gurtungsschnitten der Abscisse 0 (§ 17). Die linksseitige Belastung ist ohne Einfluss für

$$\varepsilon = m - n = \frac{h_m}{h_m - h_{m-1}}, \quad \frac{h_{m-1}}{h_m} = \frac{n - m + 1}{n - m},$$

d. h. wenn bei beliebiger Form einer Gurtung die Verticalenlängen wie die Ordinaten einer bei  $l$  die Abscissenaxe schneidenden Geraden

variieren, wie beispielsweise für Dreiecksträger mit Gurtungsschnitten der Abscisse  $l$  (§ 17).

b) Nach § 18, 10) hat man, wenn die Belastung mit  $q$  per Längeneinheit auf die ganze Länge gleichmässig vertheilt ist

$$D_m = \mp [m(n-m) - \varepsilon(n-2m+1)] \frac{d_m}{\varepsilon h_{m-1}} \frac{ql}{2}.$$

Soll dabei keine Diagonalbeanspruchung entstehen, so muss sein

$$\varepsilon = \frac{m(n-m)}{n-2m+1} = \frac{h_m}{h_m - h_{m-1}}, \quad \frac{h_{m-1}}{h_m} = \frac{(m-1)(n-m+1)}{m(n-m)},$$

d. h. bei beliebiger Form einer Gurtung müssen die Verticalenlängen wie die Ordinaten eines Parabelbogens mit verticaler Axe in Hinsicht einer durch die Bogenenden gehenden Abscissenaxe variieren, wie dies beispielsweise beim Parabelträger der Fall ist (§ 17). Da nach § 18, 4) 5) im angenommenen Belastungsfall beim nun bestimmten Träger

$$Z_{m+1} \frac{l}{z_{m+1}} = Z_m \frac{l}{z_m} = - X_m \frac{l}{x_m},$$

so sind die Beanspruchungen aller Gurtungsstäbe proportional deren Längen und ihre Horizontalcomponenten numerisch gleich.

c) Nach § 18, 2) hat man die Beanspruchung der Verticale  $m$  bei beliebiger Belastung

$$V_m = \mp [(n-m+\nu)S + (m-\nu)S'] \frac{1}{\nu l}.$$

Wird dieser Ausdruck gleich  $C$  gesetzt, so folgt durch Auflösung nach  $\nu$

$$\nu = \frac{(n-m)S + mS'}{S' - S \pm Cl}$$

und speziell, wenn die Verticalen keine Beanspruchungen erleiden sollen,

$$\nu = \frac{(n-m)S + mS'}{S' - S}.$$

Für Träger mit horizontaler X-Gurtung, horizontaler Z-Gurtung und zu einer beliebigen horizontalen symmetrischen Gurtung ist mit  $\nu$  nach § 16, 12) 15) 18) ohne Weiteres auch die Veränderlichkeit der Verticalenlängen bestimmt (sie hängt von der Belastung ab), in den übrigen Fällen folgt dieselbe aus § 16, 2) nachdem die Form einer Gurtung gewählt ist.

Vorstehende Beispiele lassen erkennen, wie leicht mit Hilfe der  $\varepsilon$ ,  $\nu$  statischen Bedingungen genügt werden kann.

**Aufgabe 28. Mittelverticale von Balkenfachwerken.**

Die Beanspruchungen  $V_\sigma$  der mittleren Verticale Fig. 60 und Fig. 61 bei  $n = 2\sigma$  Feldern der Länge  $\lambda$  und beliebiger Belastung des Trägers auszudrücken, wenn im Falle von Fig. 60 die oberen, im Falle von Fig. 61 die unteren Gurtungsstäbe der zwei Mittelfelder symmetrisch zur mittleren Verticale liegen, die Stäbe der übrigen Felder aber beliebig angeordnet sind.

Wir führen die in Fig. 60 und 61 ersichtlichen Bezeichnungen ein.  $h, x_\sigma$  seien die Längen der durch  $V_\sigma, X_\sigma$  beanspruchten Stäbe,  $r_0, r_1, \dots, r_n$  die Resultanten der in den Verticalen 0, 1,  $\dots, n$  angreifenden Lasten. Die Ordinatendifferenz

$$(1) \quad \Delta = \xi_\sigma - \xi_{\sigma-1}$$

der Knotenpunkte, welche den Stab  $x_\sigma$  begrenzen, kann positiv oder negativ sein. Dann gelten in den abzuleitenden Gleichungen die oberen Vorzeichen für Fig. 60 (X-Gurtung im Felde  $\sigma$  oben), die unteren für Fig. 61 (X-Gurtung im Felde  $\sigma$  unten).

Da  $x_\sigma$  und der angrenzende Gurtungsstab der zweiten Trägerhälfte symmetrisch zur Verticale  $\sigma$  liegen, so ergibt die Bedingung „Summe aller Horizontalkräfte gleich Null“ in Anwendung auf den zwischenliegenden Knotenpunkt, dass diese Gurtungsstäbe gleich stark beansprucht sind und die Bedingung „Summe aller Vertikalkräfte gleich Null“ in Anwendung auf denselben Knotenpunkt

$$(2) \quad V_\sigma \pm X_\sigma \frac{2\Delta}{x_\sigma} \pm K_\sigma = 0.$$

Greift die Fahrbahnlast zwischen beiden Gurten in Verticale  $\sigma$  an, so ist dieselbe bei Berechnung des Verticalenstücks von Fahrbahn bis X-Gurtung nicht in  $K_\sigma$  zu berücksichtigen, wohl aber bei Berechnung des Verticalenstücks von Fahrbahn bis Z-Gurtung, wie sich ergibt, wenn man für den Grenzpunkt beider Verticalenstücke die Bedingung „Summe aller Vertikalkräfte gleich Null“ anschreibt. Zur Bestimmung von  $X_\sigma$  verwenden wir die Momentengleichung für den Trägertheil links eines Schnittes durch Feld  $\sigma$ :

$$(V - r_0)\sigma\lambda - r_1(\sigma-1)\lambda - r_2(\sigma-2)\lambda - \dots - r_{\sigma-1}\lambda \pm X_\sigma \frac{\lambda h}{x_\sigma} = 0$$

und erhalten wegen

$$V = r_0 + \frac{2\sigma-1}{2\sigma} r_1 + \frac{2\sigma-2}{2\sigma} r_2 + \dots + \frac{1}{2\sigma} r_{2\sigma-1} :$$

$$X_{\sigma} = \mp [r_1 + 2r_2 + \dots + (\sigma - 1)r_{\sigma-1} + \sigma r_{\sigma} + (\sigma - 1)r_{\sigma+1} \\ + \dots + 2r_{2\sigma-2} + r_{2\sigma-1}] \frac{x_{\sigma}}{2h}.$$

Durch Substitution dieses Ausdrucks in 2) folgt

$$(3) \quad V_{\sigma} = [r_1 + 2r_2 + \dots + (\sigma - 1)r_{\sigma-1} + \sigma r_{\sigma} + (\sigma - 1)r_{\sigma+1} \\ + \dots + 2r_{2\sigma-2} + r_{2\sigma-1}] \frac{\Delta}{h} \mp K_{\sigma}.$$

Die Gleichungen 2) 3) gelten bei beliebiger Belastung. Angenommen beispielsweise wir haben eine auf die ganze Trägerlänge gleichmässig vertheilte Last von  $q$  per Längeneinheit, dann liefert 2) mit  $r_1 = r_2 = \dots = r_{2\sigma-1} = q\lambda$

$$(4) \quad V_{\sigma} = \frac{ql}{4h} n\Delta \mp K_{\sigma}.$$

Wenn also das Eigengewicht mit  $g$  per Längeneinheit gleichmässig vertheilt ist und  $K_{\sigma} = \lambda g_x$  vom Eigengewichte herrührt, dann ist die Beanspruchung durch das Eigengewicht allein

$$(5) \quad \mathfrak{B}_{\sigma} = \frac{gl}{4h} n\Delta \mp \lambda g_x.$$

Greift die Fahrbahnlast zwischen beiden Gurten in Verticale  $\sigma$  an, so ist das Eigengewicht der Fahrbahn nur bei Berechnung des Verticalenstücks von Fahrbahn bis Z-Gurtung in  $g_x$  zu berücksichtigen.

Da  $K_{\sigma}$  einen Theil von  $r_{\sigma}$  bildet, so ersieht man, dass in folgenden Fällen alle Verkehrslasten auf dem Träger in gleichem Sinne zu  $V_{\sigma}$  beitragen:

- 1) wenn die Fahrbahnlast auf Knotenpunkt  $\sigma$  der Z-Gurtung wirkt, also nicht zu  $K_{\sigma}$  beiträgt;
- 2) wenn  $\Delta$  gleich Null oder für Fig. 60 negativ, für Fig. 61 positiv ist;
- 3) wenn  $\sigma\Delta > h$  für Fig. 60 oder  $\sigma\Delta < h$  für Fig. 61 ist.

Für alle diese Fälle, welche in der Folge besonders interessiren, lassen sich die Grenzwerte von  $V_{\sigma}$  nach Kenntniss derjenigen von  $X_{\sigma}$  aus 2) berechnen. Wir wollen deshalb spezielle Ausdrücke der Grenzwerte nur unter der Voraussetzung ableiten, dass die Verkehrslast mit  $p$  per Längeneinheit gleichmässig vertheilt auf die ergriffene Strecke ist. Man erhält dann für die vorerwähnten Fälle mit Rücksicht auf 4):

a) wenn die Fahrbahnlast im Knotenpunkte  $\sigma$  der X-Gurtung angreift,

$$(6) \quad V_{\sigma} = \mathfrak{B}_{\sigma} + \frac{pl}{4h} n\Delta \mp p\lambda, \quad V_{\sigma} = \mathfrak{B}_{\sigma}.$$

b) wenn die Fahrbahnlast im Knotenpunkte  $\sigma$  der Z-Gurtung angreift,

$$(7) \quad V_{\sigma} = \mathfrak{B}_{\sigma} + \frac{p l}{4 h} n \Delta, \quad V_{\sigma} = \mathfrak{B}_{\sigma}.$$

Greift im Falle Fig. 60 für  $\sigma \Delta < h$  oder im Falle Fig. 61 für  $\sigma \Delta > h$  die Fahrbahnlast im Knotenpunkte  $\sigma$  der X-Gurtung an, dann ergeben sich aus 3) nach der Methode vorausbestimmter Knotenpunktlasten (§ 12), wenn einmal alle Knotenpunkte der Fahrbahngurtung mit Ausnahme des mittleren, und einmal nur dieser belastet werden, die Grenzwerte

$$(8) \quad V_{\sigma} = \mathfrak{B}_{\sigma} + \frac{n-2}{4 h} p \lambda \Delta, \quad V_{\sigma} = \mathfrak{B}_{\sigma} + \frac{p l}{2 h} \Delta \mp p \lambda.$$

Greift schliesslich die Fahrbahnlast zwischen beiden Gurten in Verticale  $\sigma$  an, dann gelten für das Verticalenstück von Fahrbahn bis X-Gurtung die Grenzwerte 7), für das Verticalenstück von Fahrbahn bis Z-Gurtung, wenn für Fig. 60  $\Delta$  negativ oder  $\sigma \Delta > h$  und für Fig. 61  $\Delta$  positiv oder  $\sigma \Delta < h$  ist, die Grenzwerte 6), wenn dies nicht zutrifft die Grenzwerte 8).

Wir haben bei obiger Ableitung Balkenträger mit zwei Gelenkauflagern vorausgesetzt. Die Ableitung gilt jedoch auch bei Trägern mit Horizontalschub  $H$ , wenn dieser keinen Einfluss auf  $V$ ,  $X_{\sigma}$  ausübt.

### III. Abschnitt.

#### Balkenträger mit zwei Gelenkauflagern.

**Beispiel 23.** Beliebige einfache Systeme mit gleichmässig vertheilter bewegter Last.

Für das in Fig. 62 angedeutete Balkenfachwerk beträgt per laufenden Meter das Eigengewicht  $g = 0,6$  tn, die Verkehrslast  $p = 3$  tn, also die Totallast  $q = g + p = 3,6$  tn. Das Eigengewicht soll auf die Knotenpunkte des Obergurts allein vertheilt gelten, in welchen auch die Fahrbahnträger aufliegen. Die Grenzwerte der Stabkräfte und Stützenreactionen zu bestimmen.

Bezeichnet  $M_s$  das Moment der äussern Kräfte links eines beliebigen Schnittes  $s$  durch den Träger, dann gelten zur Bestimmung der Stabkräfte bei jeder Belastung folgende Momentengleichungen für den Trägertheil links von  $s$ :

Stabkraft	Schnitt $s$	Gleichung
$X_1$	I	$M_s + 2X_1 = 0$
$X_2$	III	$M_s + 4X_1 = 0$
$Z_1$	I	$M_s - 1,41 Z_1 = 0$
$Z_2$	II	$M_s - 2,68 Z_2 = 0$
$Z_3$	IV	$M_s - 4 Z_3 = 0$
$Y_1$	II	$M_s - 4,24 Y_1 = 0$
$Y_2$	III	$M_s + 5,04 Y_2 = 0$
$Y_3$	IV	$M_s - \frac{4\infty}{4,47} Y_3 = 0.$

Sind ferner  $c, v$  die Abscissen derjenigen Punkte, bei welchen der von Schnitt  $s$  getroffene Fahrbahnträger aufliegt,  $u$  die Abscisse des Drehpunkts für  $M_s$  und

$$(1) \quad s = \frac{v - u}{cl - u(l - v + c)} cl,$$

so haben wir

für $X_1 = -\frac{M_s}{2}$	$c = 0$	$v = 4$	$u = 2$	$z = 0$
$X_2 = -\frac{M_s}{4}$	4	8	6	-16
$Z_1 = \frac{M_s}{1,41}$	0	4	2	0
$Z_2 = \frac{M_s}{2,68}$	0	4	4	0
$Z_3 = -\frac{M_s}{4}$	4	8	8	0
$Y_1 = \frac{M_s}{4,24}$	0	4	-2	0
$Y_2 = -\frac{M_s}{5,04}$	4	8	-2	7,27
$Y_3 = \frac{1,12 M_s}{\infty}$	4	8	$-\infty$	5,33.

Da die Stäbe und feste Last zur Verticallinie durch die Trägermitte symmetrisch liegen, so ist nur eine Trägershälfte zu berechnen.

Eigengewicht allein. Nach § 24, 7) ist der Beitrag des Eigengewichts zu  $M_s$

$$(2) \quad \mathfrak{M}_s = [u(l - c - v) + cv] \frac{g}{2},$$

woraus sich folgende vom Eigengewichte allein herrührende Momente und Stabkräfte ergeben.

$\mathfrak{M}_1 = (2 \cdot 12 + 0) 0,3 = 7,2 \text{ mtn},$	$\mathfrak{X}_1 = -3,60 \text{ tn}.$
$\mathfrak{M}_2 = (4 \cdot 6 + 4 \cdot 8) 0,3 = 16,8$	$\mathfrak{X}_2 = -4,20$
$\mathfrak{M}_3 = (2 \cdot 12 + 0) 0,3 = 7,2$	$\mathfrak{Z}_1 = 5,10$
$\mathfrak{M}_4 = (4 \cdot 12 + 0) 0,3 = 14,4$	$\mathfrak{Z}_2 = 5,37$
$\mathfrak{M}_5 = (8 \cdot 4 + 4 \cdot 8) 0,3 = 19,2$	$\mathfrak{Z}_3 = 4,80$
$\mathfrak{M}_6 = (-2 \cdot 12 + 0) 0,3 = -7,2$	$\mathfrak{Y}_1 = -1,70$
$\mathfrak{M}_7 = (-2 \cdot 4 + 4 \cdot 8) 0,3 = 7,2$	$\mathfrak{Y}_2 = -1,43$
$\mathfrak{M}_8 = (-\infty \cdot 4 + 4 \cdot 8) 0,3 = -1,12 \infty$	$\mathfrak{Y}_3 = -1,34.$

Für die Stützenreactionen liefert § 24, 6)

$$\mathfrak{B} = \frac{gl}{2} = 0,6 \cdot 8 = 4,8 \text{ tn}.$$

Grenzwerte. Für die Gurtungsstäbe zeigt obige Zusammen-

stellung den Drehpunkt  $u$  innerhalb  $l$ , sodass nach § 24, 2) die entsprechenden Grenzwerte von  $M_1$

$$(3) \quad M_1 = \frac{q}{g} \mathfrak{M}_1, \quad M_2 = \mathfrak{M}_2.$$

Für die Füllungsglieder liegt der Drehpunkt  $u$  ausserhalb  $l$ , nach § 24, 3) sind die zugehörigen Grenzwerte von  $M_1$

$$(4) \quad M_1 = \mathfrak{M}_1 + \frac{u}{2l} (l - s) (l - v) p, \quad M_2 = \mathfrak{M}_2 + \frac{l - u}{2l} c v p.$$

Nach 3) hat man als untere Grenzwerte der Gurtungskräfte und nach 4) wegen  $s = 0$  auch als unteren Grenzwert von  $Y_1$  die schon berechneten Werte für Eigengewicht allein, die entsprechenden oberen Grenzwerte sind  $q : g = 6$ mal so gross, d. h.

$$X_1 = -21,60, \quad X_2 = -25,20, \quad Z_1 = 30,60, \quad Z_2 = 32,22, \\ Z_3 = 28,80, \quad Y_1 = -10,90 \text{ tn.}$$

Nach 4) ergeben sich die von der Verkehrslast allein erzeugten Grenzmomente und die ganzen Grenzwerte von  $Y_2, Y_3$  wie folgt.

$$M_1 = -\frac{2.8.73.8.3}{2.16} = -13,09, \quad M_2 = \frac{18.4.7.27.3}{2.16} = 49,07, \\ Y_2 = -1,43 + \frac{18,09}{5,04} = 1,17, \quad Y_3 = -1,43 - \frac{49,07}{5,04} = -11,17 \text{ tn;} \\ M_1 = -\frac{\infty.10.67.8.3}{2.16} = -8\infty, \quad M_2 = \frac{\infty.4.5.33.3}{2.16} = 2\infty, \\ Y_3 = -1,34 - \frac{1,12.8.\infty}{\infty} = -10,30, \quad Y_3 = -1,34 + \frac{1,12.2.\infty}{\infty} = 0,90 \text{ tn.}$$

Die Grenzwerte der Stützenreactionen sind nach § 24, 5)

$$V = \mathfrak{B} = 4,8, \quad V = \frac{q}{g} \mathfrak{B} = 28,8 \text{ tn.}$$

**Bemerkungen.** Verwendet man anstatt 4) die Näherungsformeln § 24, 8)

$$(5) \quad M_1 = \mathfrak{M}_1 + \frac{u}{2l} (l - c) (l - v) p, \quad M_2 = \mathfrak{M}_2 + \frac{l - u}{2l} c v p,$$

so kann die Berechnung der Grenzpunkte  $s$  der Beitragsstrecken vermieden werden, welche übrigens oben nur für  $Y_2, Y_3$  nöthig gewesen wäre. Wir erhalten

$$\text{für } Y_2: M_1 = -\frac{2.12.8.3}{2.16} = -18, \quad M_2 = \frac{18.4.8.3}{2.16} = 54, \\ Y_2 = -1,43 + \frac{18}{5,04} = 2,14, \quad Y_3 = -1,43 - \frac{54}{5,04} = -12,14 \text{ tn;}$$



für  $Y_3$ :

$$M_s = -\frac{\infty \cdot 12 \cdot 8 \cdot 8}{2 \cdot 16} = -9\infty,$$

$$M_s = \frac{\infty \cdot 4 \cdot 8 \cdot 3}{2 \cdot 16} = 3\infty,$$

$$Y_3 = -1,34 - \frac{1,12 \cdot 9 \cdot \infty}{\infty} = -11,42, \quad Y_3 = -1,34 + \frac{1,12 \cdot 3 \cdot \infty}{\infty} = 2,02 \text{ tn.}$$

Diese Werthe entsprechen der Berechnung auf Grund vorausbestimmter Knotenpunktslasten (§ 12, d) und stimmen demgemäss mit den in Beispiel 19 erhaltenen überein. Die Differenzen gegen die genaueren Werthe sind hier verhältnissmässig gross, wie dies bei den im Vergleiche zu den  $c$ ,  $v$ ,  $l - c$ ,  $l - v$  grossen  $v - c$  zu erwarten war (§ 24).

**Beispiel 24. Beliebige einfache Systeme mit bewegten Radlaststügen.**

Der Träger des vorigen Beispiels möge nun einer eingeleisigen Eisenbahnbrücke angehören, welche von Locomotiven der Radanordnung Fig. 18 befahren wird. Die Grenzwerte der Stabkräfte und Stützenreactionen festzustellen.

Bis zur Berechnung der Grenzwerte bleibt alles im vorigen Beispiel Gesagte gültig. Weiter haben wir nun nach § 25 für sämtliche Stäbe bei beliebigen Laststellungen

$$(1) \quad M_s = \mathfrak{M}_s + \frac{l-u}{l} \sum_0^c Pa + \left( \frac{u}{l} - \frac{u-c}{v} \right) \sum_c^v P(z-a) \\ + \frac{u}{l} \sum_v^l P(l-a)$$

und folgende Grenzwerte von  $M_s$ : Für die Gurtungsstäbe, weil  $u$  innerhalb  $l$  liegt und  $u < c$  ist,

Belastung durch Zug I (Fig. 63, 64) von 0 bis  $l$ , Rad  $O$  bei  $v$ ,  $M_s$  nach 1),

Belastung durch Eigengewicht allein,  $M_s = \mathfrak{M}_s$ ;

für die Füllungsglieder, weil  $u$  ausserhalb  $l$  liegt,

Belastung durch Zug II (Fig. 65) von  $v$  bis  $l$ , Vorderrad  $O$  bei  $v$ ,

$$(2) \quad M_s = \mathfrak{M}_s + \frac{u}{l} \sum_v^l P(l-a),$$

Belastung durch Zug II von 0 bis  $c$ , Vorderrad  $O$  bei  $c$ ,

$$(3) \quad M_s = \mathfrak{M}_s + \frac{l-u}{l} \sum_0^c Pa.$$

Wie im vorigen Beispiele genügt es, eine Trägerhälfte zu berechnen.

Nach vorstehenden Angaben sind die unteren Grenzwerte der Gurtungskräfte die schon berechneten Beanspruchungen durch Eigengewicht allein, die von der Verkehrslast allein herrührenden  $M$ , der oberen Grenzwerte und letztere im Ganzen ergeben sich wie folgt. Für  $X_1$ : Zug I mit Rad  $O$  bei  $v = 4$ , erste Zugrichtung (Fig. 63),

$$M_s = \left(\frac{2}{4} - \frac{2}{16}\right) (6 \cdot 4 + 6 \cdot 2,7 + 4 \cdot 1,5) \\ + \frac{2}{16} (6 \cdot 10,7 + 6 \cdot 6,7 + 6 \cdot 5,4 + 6 \cdot 4,1 + 4 \cdot 2,9) = 38,95 \text{ mtn},$$

zweite Zugrichtung (Fig. 64),

$$M_s = \left(\frac{2}{4} - \frac{2}{16}\right) (6 \cdot 4 + 6 \cdot 2,7) \\ + \frac{2}{16} (6 \cdot 10,7 + 4 \cdot 9,5 + 5 \cdot 6,5 + 6 \cdot 2,3 + 6 \cdot 1) = 34,39 \text{ mtn},$$

daher der Grenzwert

$$X_1 = -3,60 - \frac{38,95}{2} = -23,08 \text{ tn}.$$

Für  $X_2$ : Zug I mit Rad  $O$  bei  $v = 8$ ,

$$M_s = \frac{10}{16} 5 \cdot 2,5 + \left(\frac{2}{4} - \frac{6}{16}\right) (4 \cdot 21,5 + 6 \cdot 22,7 + 6 \cdot 24) \\ + \frac{6}{16} (6 \cdot 6,7 + 6 \cdot 2,7 + 6 \cdot 1,4 + 6 \cdot 0,1) = 78,11 \text{ mtn},$$

$$M_s = \frac{10}{16} (6 \cdot 0,1 + 6 \cdot 1,4 + 6 \cdot 2,7) + \left(\frac{2}{4} - \frac{6}{16}\right) (6 \cdot 22,7 + 6 \cdot 24) \\ + \frac{6}{16} (6 \cdot 6,7 + 4 \cdot 5,5 + 5 \cdot 2,5) = 78,78 \text{ mtn},$$

$$X_2 = -4,20 - \frac{78,78}{4} = -23,90 \text{ tn}.$$

Für  $Z_1$ : Zug I mit Rad  $O$  bei  $v = 4$ ,  $M$ , wie für  $X_1$  und

$$Z_1 = 5,09 + \frac{38,95}{1,41} = 32,71 \text{ tn}.$$

Für  $Z_2$ : Zug I mit Rad  $O$  bei  $v = 8$ ,

$$M_s = \left(\frac{4}{4} - \frac{4}{16}\right) (6 \cdot 4 + 6 \cdot 2,7 + 4 \cdot 1,5) \\ + \frac{4}{16} (6 \cdot 10,7 + 6 \cdot 6,7 + 6 \cdot 5,4 + 6 \cdot 4,1 + 4 \cdot 2,9) = 77,90 \text{ mtn},$$

$$M_s = \left(\frac{4}{4} - \frac{4}{16}\right) (6 \cdot 4 + 6 \cdot 2,7) \\ + \frac{4}{16} (6 \cdot 10,7 + 4 \cdot 9,5 + 5 \cdot 6,5 + 6 \cdot 2,3 + 6 \cdot 1) = 68,77 \text{ mtn},$$

$$Z_2 = 5,37 + \frac{77,90}{2,68} = 34,44 \text{ tn}.$$

Für  $Z_3$ : Zug I mit Rad O bei  $v = 8$ ,

$$M_s = \frac{8}{16} 5 \cdot 2,5 + \left(\frac{4}{4} - \frac{8}{16}\right) (4 \cdot 5,5 + 6 \cdot 6,7 + 6 \cdot 8) \\ + \frac{8}{16} (6 \cdot 6,7 + 6 \cdot 2,7 + 6 \cdot 1,4 + 6 \cdot 0,1) = 94,05 \text{ mtn},$$

$$M_s = \frac{8}{16} (6 \cdot 0,1 + 6 \cdot 1,4 + 6 \cdot 2,7) + \left(\frac{4}{4} - \frac{8}{16}\right) (6 \cdot 6,7 + 6 \cdot 8) \\ + \frac{8}{16} (6 \cdot 6,7 + 4 \cdot 5,5 + 5 \cdot 2,5) = 94,05 \text{ mtn},$$

$$Z_3 = 4,80 + \frac{94,05}{4} = 28,31 \text{ tn}.$$

Die Grenzbeanspruchungen der Füllungsglieder sind im Folgenden ebenfalls nach obiger Anleitung bestimmt, wobei die  $M_s$  der Verkehrslast allein entsprechen. Wir erhalten für  $Y_1$  mit  $c = 0$ ,  $v = 4$  die beiden Grenzwerte des Moments

$$M_s = -\frac{2}{16} (6 \cdot 12 + 6 \cdot 10,7 + 6 \cdot 9,4 + 4 \cdot 8,2 + 5 \cdot 5,2 + 6 \cdot 1) = -32,17 \text{ mtn}, \\ M_s = M_s,$$

und damit die Grenzwerte von  $Y_1$

$$Y_1 = -1,70 - \frac{32,17}{4,24} = -9,28 \text{ tn}, \quad Y_1 = Y_1 = -1,70;$$

für  $Y_2$  mit  $c = 4$ ,  $v = 8$ ,

$$M_s = -\frac{2}{16} (6 \cdot 3 + 6 \cdot 6,7 + 6 \cdot 5,4 + 4 \cdot 4,2 + 5 \cdot 1,2) = -17,92 \text{ mtn},$$

$$M_s = \frac{18}{16} (6 \cdot 4 + 6 \cdot 2,7 + 6 \cdot 1,4 + 4 \cdot 0,2) = 55,57 \text{ mtn},$$

$$Y_2 = -1,43 + \frac{17,92}{5,04} = 2,13 \text{ tn}, \quad Y_2 = -1,43 - \frac{55,57}{5,04} = -12,46 \text{ tn};$$

für  $Y_3$  mit  $c = 4$ ,  $v = 8$ ,

$$M_s = -\frac{\infty}{16} (6 \cdot 8 + 6 \cdot 6,7 + 6 \cdot 5,4 + 4 \cdot 4,2 + 5 \cdot 1,2) = -8,96 \infty,$$

$$M_s = \frac{\infty}{16} (6 \cdot 4 + 6 \cdot 2,7 + 6 \cdot 1,4 + 4 \cdot 0,2) = 4,09 \infty,$$

$$Y_3 = -1,34 - 1,12 \frac{8,96 \cdot \infty}{\infty} = -11,36 \text{ tn},$$

$$Y_3 = -1,34 + 1,12 \frac{4,09 \cdot \infty}{\infty} = 4,57 \text{ tn}.$$

Die Grenzwerte der Stützenreactionen ergeben sich nach § 25 bei Belastung durch Zug II von 0 bis  $l$ , Vorderrad O bei 0,

$$\begin{aligned}
 V &= \mathfrak{B} + \frac{1}{l} \sum_0^l P(l-a) \\
 &= 4,8 + \frac{1}{16} [6(16 + 14,7 + 13,4 + 5 + 3,7 + 2,4) \\
 &\quad + 4(12,2 + 1,2) + 5 \cdot 9,2] = 31,72 \text{ tn}
 \end{aligned}$$

und für Eigengewicht allein

$$V = \mathfrak{B} = 4,8 \text{ tn.}$$

Wir haben oben  $Y_1$  nach den für  $u$  ausserhalb  $l$  gültigen Regeln berechnet. Da jedoch für  $Y_1$  die Abscisse des Grenzpunkts der Beitragsstrecken  $x=0$  ist, so wird nach § 25 wahrscheinlich Zug I mit Rad  $O$  über  $v$  einen ungünstigeren oberen Grenzwert als Zug II erzeugen. In der That erhalten wir für die erste und zweite Zugrichtung nach 1)

$$\begin{aligned}
 M_1 &= -\left(\frac{2}{4} - \frac{2}{16}\right)(6 \cdot 4 + 6 \cdot 2,7 + 4 \cdot 1,5) \\
 &\quad - \frac{2}{16}(6 \cdot 10,7 + 6 \cdot 6,7 + 6 \cdot 5,4 + 6 \cdot 4,1 + 4 \cdot 2,9) = -38,95 \text{ mtn}, \\
 M_2 &= -\left(\frac{2}{4} - \frac{2}{16}\right)(6 \cdot 4 + 6 \cdot 2,7) \\
 &\quad - \frac{2}{16}(6 \cdot 10,7 + 4 \cdot 9,5 + 5 \cdot 6,5 + 6 \cdot 2,3 + 6 \cdot 1) = -34,39 \text{ mtn},
 \end{aligned}$$

und damit

$$Y_1 = -1,70 - \frac{38,95}{4,24} = -10,89 \text{ tn}$$

gegen oben erhaltene 9,28 tn.

**Bemerkungen.** Da im vorliegenden Falle  $v - c$  verhältnissmässig gross gegen die  $c$ ,  $v$ ,  $l - c$ ,  $l - v$  und die Radstände bei  $O$  ist, so werden die berechneten Grenzwerte möglicherweise nicht sehr genau sein. Im folgenden Beispiele ist eine genauere Berechnung gegeben, deren Resultate wir mit den oben und im vorigen Beispiele erhaltenen hier zusammenstellen. Die bei Belastung durch Eigengewicht allein entstehenden unteren Grenzwerte der Gurtungskräfte und von  $Y_1$ , welche in allen drei Fällen dieselben bleiben, sind weggelassen.

Stabkräfte    nach Beispiel 23    oben gefunden    genaue Grenzwerte

$X_1$	— 21,60	— 23,08	— 23,08
$X_2$	— 25,20	— 23,90	— 25,61
$Z_1$	30,60	32,71	32,71
$Z_2$	32,22	34,44	34,44
$Z_3$	28,80	28,31	28,90

Stabkräfte	nach Beispiel 23	oben gefunden	genaue Grenzwerte
$Y_1$	— 10,90	— 10,89	— 10,89
$Y_2$	1,17	2,13	2,13
„	— 11,17	— 12,46	— 14,96
$Y_3$	— 10,30	— 11,36	— 11,65
„	0,90	4,57	4,57.

Die genauen Grenzwerte sind in Fig. 66 bei ihren Stäben eingeschrieben.

Die obige Berechnung lässt bereits erkennen, dass es für die erste Trägerhälfte symmetrischer Träger in vielen Fällen genügen wird, nur die erste Richtung des Zugs I in Betracht zu ziehen. Fast alle oben verwendeten Werte  $\sum$  hätten wir bequemer aus der Tabelle in Beispiel 6 entnehmen können.

**Beispiel 25. Genaueste Berechnung beliebiger einfacher Systeme für bewegte Radlastzüge.**

Die ungünstigsten Belastungen und Grenzwerte der Stabkräfte im Falle des vorigen Beispiels mit möglichster Genauigkeit festzustellen.

Für ein beliebiges System gleichzeitig auf dem Träger Platz findender Lasten lautet nach § 25 die Bedingung für mathematische Maxima und Minima von  $M$ ,

$$(1) \quad \sum_0^c P + \frac{u-c}{v-c} \sum_c^v P = \frac{u}{l} \sum_0^l P,$$

während jede Verschiebung des Lastsystems um  $da$  eine Änderung des Moments um

$$(2) \quad dM_s = \left( \sum_0^c P + \frac{u-c}{v-c} \sum_c^v P - \frac{u}{l} \sum_0^l P \right) da,$$

bewirkt. Mit Rücksicht auf die in Beispiel 23 zusammengestellten Werte der Abscissen  $c, v, u$  nimmt die Bedingung 1) folgende Formen an:

$$(a) \quad \text{Für } X_1, Z_1, Z_2, Y_1, \quad \sum_0^4 P = \frac{1}{4} \sum_0^l P,$$

$$(b) \quad \text{für } X_2, \quad \sum_0^4 P + \frac{1}{2} \sum_4^8 P = \frac{3}{8} \sum_0^l P,$$

$$\begin{aligned}
 \text{(c)} \quad & \text{für } Z_3, \quad \sum_0^8 P = \frac{1}{2} \sum_0^l P, \\
 \text{(d)} \quad & \text{für } Y_2, \quad - \sum_0^4 P + \frac{3}{2} \sum_4^8 P = \frac{1}{8} \sum_0^l P, \\
 \text{(e)} \quad & \text{für } Y_3, \quad \sum_4^8 P = \frac{1}{4} \sum_0^l P.
 \end{aligned}$$

Im letzten Falle ergab sich zunächst

$$\sum_0^4 P = \frac{\infty}{4} + \frac{4}{2} \sum_4^8 P = - \frac{\infty}{16} \sum_0^l P$$

und hieraus durch Division mit  $\infty$  die Gleichung e). Die unteren Grenzwerte der Gurtungskräfte und von  $Y_1$  (wegen  $z=0$ ) bleiben die berechneten Beanspruchungen durch das Eigengewicht allein. Im Uebrigen nehmen wir nun die einzelnen Stabkräfte der Reihe nach vor.

Für  $X_1, Z_1, Z_2, Y_1$  ist bei der in Beispiel 24 angenommenen Belastung durch Zug I mit Rad 0 über Punkt 4, erste Zugrichtung, wegen

$$\frac{1}{4} \sum_0^l P = 11, \quad \sum_0^4 P = 16 \text{ bis } 10$$

die Maximalbedingung a) erfüllt, die berechneten Grenzwerte sind richtig.

Für  $X_2$  hat man bei der in Beispiel 24 gewählten Belastung durch Zug I mit Rad 0 bei 8, zweite Zugrichtung,

$$\frac{3}{8} \sum_0^l P = 16,9, \quad \sum_0^4 P + \frac{1}{2} \sum_4^8 P = 24 \text{ bis } 21,$$

die Maximalbedingung b) ist nicht erfüllt. Führt der Zug in der Richtung von 0 nach  $l$  hin weiter, so bewirkt anfangs jede Verschiebung um  $da$  eine Änderung von  $M_2$  um

$$dM_2 = (21 - 16,9) da,$$

welche wegen positivem  $da$  (für die Fahrrihtung von 0 nach  $l$ ) positiv ist. Mit dem Ueberschreiten des Punktes 8 durch das auf 0 folgende Rad bleibt immer noch positiv

$$dM_2 = (19 - 18,4) da,$$

wogegen nach dem Passiren eines weiteren Rades

$$dM_2 = (16 - 18,4) da$$

schon negativ ist. Das Maximum von  $M_z$  tritt zwischen den beiden letzten Ueberschreitungen in dem Augenblicke ein, wo Rad  $Q$  (Fig. 64) den Punkt 4 passiert. Es ist dann mit

$$\frac{3}{8} \sum_0^l P = 16,5, \quad \sum_0^4 + \frac{1}{2} \sum_4^8 P = 19 \text{ bis } 13$$

Bedingung b) erfüllt und wir erhalten

$$\begin{aligned} M_z &= \frac{10}{16} (6 \cdot 4 + 6 \cdot 2,7 + 4 \cdot 1,5) \\ &+ \left( \frac{2}{4} - \frac{6}{16} \right) 6 \cdot 21,3 + \frac{6}{16} (6 \cdot 6,7 + 6 \cdot 5,4 + 6 \cdot 4,1 + 4 \cdot 2,9) = 85,64 \text{ mtn}, \\ X_2 &= -4,20 - \frac{85,64}{4} = -25,61 \text{ tn}. \end{aligned}$$

Für  $Z_3$  hat man bei der in Beispiel 24 verwendeten Belastung durch Zug I mit Rad  $O$  über 8, erste Zugrichtung,

$$\frac{1}{2} \sum_0^l P = 22,5, \quad \sum_0^8 P = 15 \text{ bis } 21,$$

Bedingung c) ist nicht erfüllt. Nachdem  $O$  in der Fahrriichtung nach  $O$  hin über Punkt 8 hinaus ist, ändert sich  $M_z$  zunächst mit weiterer Verrückung  $da$  um

$$dM_z = (21 - 22,5) da,$$

also wegen negativem  $da$  in positivem Sinne, das positive  $M_z$  nimmt zu; dagegen ist beim Ueberschreiten des Punktes 8 durch das nächste Rad

$$\frac{1}{2} \sum_0^l P = 24,5, \quad \sum_0^8 P = 21 \text{ bis } 27$$

die Bedingung c) erfüllt und wir erhalten

$$\begin{aligned} M_z &= \frac{8}{16} (6 \cdot 8 + 6 \cdot 6,7 + 6 \cdot 5,4 + 4 \cdot 4,2 + 5 \cdot 1,2) \\ &+ \frac{8}{16} (6 \cdot 4 + 6 \cdot 2,7 + 6 \cdot 1,4 + 4 \cdot 0,2) = 96,40 \text{ mtn}, \\ Z_3 &= 4,80 + \frac{96,40}{4} = 28,90 \text{ tn}. \end{aligned}$$

Für  $Y_2$  ist bei der in Beispiel 24 zur Ermittlung des ersten Grenzwertes gewählten Belastung durch Zug II von  $v$  bis  $l$  mit Vorderrad  $O$  bei  $v = 8$

$$\frac{1}{8} \sum_0^l P = 3,37, \quad - \sum_0^4 P + \frac{3}{2} \sum_4^8 P = 0 \text{ bis } 9,$$

also Bedingung d) erfüllt und der erste berechnete Grenzwert richtig. Dagegen ist bei der für den zweiten angenommenen Belastung durch Zug II von 0 bis  $c$  mit Vorderrad 0 bei  $c = 4$

$$\frac{1}{8} \sum_0^4 P = 2,75, \quad - \sum_0^4 P + \frac{3}{2} \sum_4^8 P = -22 \text{ bis } -7,$$

und d) nicht erfüllt. Dass hier ein weiteres Verschieben des Zuges gegen 8 hin das Moment erhöhen würde, war zu erwarten, da der Grenzpunkt  $z = 7,27$  der negativen und positiven Beitragsstrecke nahe bei 8 liegt. Mit dem Passiren des Punktes 4 durch das zweite Rad werden

$$\frac{1}{8} \sum_0^4 P = 2,75, \quad - \sum_0^4 P + \frac{3}{2} \sum_4^8 P = -7 \text{ bis } 8,$$

- Bedingung d) ist erfüllt, wir erhalten nach B. 24, 1)

$$M_s = \frac{18}{16} (6 \cdot 4 + 6 \cdot 2,7 + 4 \cdot 1,5) + \left( \frac{6}{4} - \frac{2}{16} \right) 6 \cdot 1,97 = 68,22,$$

$$Y_s = -1,43 - \frac{68,22}{5,04} = -14,96 \text{ tn.}$$

Für  $Y_s$  schliesslich haben wir bei der in Beispiel 24 für den ersten Grenzwert angenommenen Belastung durch Zug II von  $v$  bis  $l$  mit Vorderrad 0 bei  $v = 8$

$$\frac{1}{8} \sum_0^4 P = 6,75, \quad \sum_4^8 P = 0 \text{ bis } 6,$$

die Bedingung e) ist nicht erfüllt und wegen  $z = 5,33$  eine ungünstigere Belastung mit weiterem Vorrücken des Zugs nach 4 hin zu erwarten. Bei der Ankunft des zweiten Rades über 8 hat man

$$\frac{1}{8} \sum_0^4 P = 6,75, \quad \sum_4^8 P = 6 \text{ bis } 12,$$

Bedingung e) ist erfüllt,

$$M_s = - \left( \frac{\infty + 4}{4} - \frac{\infty}{16} \right) 6 \cdot 1,37 - \frac{\infty}{16} (6 \cdot 8 + 6 \cdot 6,7 + 4 \cdot 5,5 + 5 \cdot 2,5) = -9,21 \infty,$$

$$Y_s = -1,34 - 1,12 \frac{9,21 \infty}{\infty} = -11,65 \text{ tn.}$$

Bei der für den zweiten Grenzwert angenommenen Belastung durch Zug II von 0 bis  $c$  mit Vorderrad 0 bei  $c = 4$  ist wegen



$$\frac{1}{4} \sum_0^l P = 5,5, \quad \sum_4^8 P = 4 \text{ bis } 8$$

die Bedingung e) erfüllt und der entsprechende Grenzwert richtig.

Am Schlusse des Beispiels 24 sind die jetzt abgeleiteten genaueren Grenzwerte mit den dort erhaltenen zusammengestellt.

**Beispiel 26. Beliebige einfache Systeme mit gleichmässig verteilter bewegter Last.**

Für eine Brücke von  $l = 45$  m Spannweite sollen Halbparabelträger einfachen Systems des gleichschenkligen Dreiecks (Fig. 67) zur Verwendung kommen. Die grösste Höhe soll  $h = 6$  m, die Höhe bei den Auflagern  $h_0 = 4$  m betragen. Vorläufig ermittelt per laufenden Meter jedes der beiden Träger: Eigengewicht  $g = 0,9$  tn, Verkehrslast  $p = 2,7$  tn. Vom Eigengewichte kommen  $g_u = 0,6$  tn auf die Knotenpunkte des Untergurts, in welchen die Fahrbahnbelastung angreift und  $g_o = 0,3$  tn auf die Knotenpunkte des Obergurts. Die Grenzwerte der Stabkräfte und Stützenreactionen zu berechnen.

**Formberechnung.** Die Gleichung eines Parabelbogens von verticaler Axe, der Spannweite  $l$  und dem Pfeile  $f$  lautet nach § 17, 18) bei verticaler Abscissenaxe durch die Bogenenden

$$(1) \quad y = \frac{4f}{l^2} x(l-x).$$

Im vorliegenden Falle tritt die grösste Trägerhöhe bei  $x = 20$  ein, sodass

$$2 = \frac{4f}{45^2} 20 \cdot 25, \quad f = \frac{81}{40}$$

und für die Knotenpunkte des Obergurts allgemein

$$y = \frac{x(l-x)}{250}.$$

Wir erhalten hiernach

für $x = 0$	5	10	15	20 m:
$y = 0$	0,8	1,4	1,8	2 m,
Trägerhöhe $h_0 + y = 4$	4,8	5,4	5,8	6 m,

womit die Dimensionen des Trägers vollständig bestimmt sind. Die Stablängen des Obergurts und der Füllung ergeben sich

$$o_1 = \sqrt{5^2 + 0,8^2} = 5,06 \text{ m} \quad s_1 = \sqrt{4^2 + 2,5^2} = 4,72 \text{ m}$$

$$o_2 = \sqrt{5^2 + 0,6^2} = 5,04 \quad t_1 = s_2 = \sqrt{4,8^2 + 2,5^2} = 5,41$$

$$\begin{aligned}
 o_3 &= \sqrt{5^2 + 0,4^2} = 5,02 \text{ m} & t_2 &= s_3 = \sqrt{5,4^2 + 2,5^2} = 5,95 \text{ m} \\
 o_4 &= \sqrt{5^2 + 0,2^2} = 5,00 & t_3 &= s_4 = \sqrt{5,8^2 + 2,5^2} = 6,32 \\
 o_5 &= 5 & t_4 &= s_5 = \sqrt{6^2 + 2,5^2} = 6,5.
 \end{aligned}$$

**Statische Berechnung. Vorbereitung.** Zur Berechnung einer Stabkraft haben wir einen Schnitt  $s$  so durch den Träger zu legen, dass ausser dem fraglichen Stabe nur solche Stäbe mit unbekannten Beanspruchungen getroffen werden, welche sich in einem Punkte schneiden (§ 15). Hinsichtlich dieses Punktes der Abscisse  $u$  ist die Bedingung „Summe aller Momente gleich Null“ für die am Trägertheile links von  $s$  wirkenden äussern Kräfte und durch  $s$  getroffenen Stabkräfte auszudrücken. Bezeichnet  $M$ , das Moment jener äussern Kräfte allein,  $R$  die gesuchte Stabkraft und  $r$  deren Hebelarm in Bezug auf den Drehpunkt  $u$ , so hat man

$$(2) \quad M + Rr = 0.$$

Hierin ist das obere oder untere Vorzeichen massgebend, jenachdem die zunächst als Zug (also positiv, vom Trägertheil links von  $s$  weggerichtet) gedachte Kraft  $R$  wie der Zeiger der Uhr rechts um  $u$  dreht oder nicht. Es sind nun zunächst die  $r$  zu berechnen.

Bezeichnet  $d_m$  die Entfernung von Stützpunkt 0 bis Schnittpunkt der Richtungslinien von Stab  $o_m$  und Untergurt, so haben wir

$$\begin{aligned}
 d_1 : 4 &= d_1 + 5 : 4,8 & d_1 &= 25 \text{ m} \\
 d_2 + 5 : 4,8 &= d_2 + 10 : 5,4 & d_2 &= 35 \\
 d_3 + 10 : 5,4 &= d_3 + 15 : 5,8 & d_3 &= 57,5 \\
 d_4 + 15 : 5,8 &= d_4 + 20 : 6 & d_4 &= 130.
 \end{aligned}$$

Bezeichnen ferner  $o_m$ ,  $s_m$ ,  $t_m$  die Längen der Perpendikel (Fig. 68) vom Knotenpunkte  $m$  des Untergurts auf  $o_m$  und vom Schnittpunkte der Stabrichtungslinien  $o_m$ ,  $u_m$  auf  $s_m$  und  $t_m$ , dann erhält man folgende Beziehungen und Werthe:

$$\begin{aligned}
 o_1 : d_1 + 2,5 &= 4 : \sqrt{4^2 + d_1^2} & o_1 &= 4,34 \text{ m} \\
 o_2 : d_2 + 7,5 &= 4,8 : \sqrt{4,8^2 + (d_2 + 5)^2} & o_2 &= 5,06 \\
 o_3 : d_3 + 12,5 &= 5,4 : \sqrt{5,4^2 + (d_3 + 10)^2} & o_3 &= 5,58 \\
 o_4 : d_4 + 17,5 &= 5,8 : \sqrt{5,8^2 + (d_4 + 15)^2} & o_4 &= 5,89 \\
 & & o_5 &= 6;
 \end{aligned}$$

$$\begin{aligned}
 s_1 : d_1 + 2,5 &= 4 : s_1 & s_1 &= 23,31 \text{ m} \\
 s_2 : d_2 + 7,5 &= 4,8 : s_2 & s_2 &= 37,71
 \end{aligned}$$

$$s_3 : d_3 + 12,5 = 5,4 : s_3 \quad s_3 = 63,53$$

$$s_4 : d_4 + 17,5 = 5,8 : s_4 \quad s_4 = 135,36$$

$$s_5 : d_5 + 22,5 = 6 : s_5 \quad s_5 = \frac{6}{6,5} \infty$$

$$t_1 : d_1 + 2,5 = 4,8 : t_1 \quad t_1 = 22,44 \text{ m}$$

$$t_2 : d_2 + 7,5 = 5,4 : t_2 \quad t_2 = 38,57$$

$$t_3 : d_3 + 12,5 = 5,8 : t_3 \quad t_3 = 64,24$$

$$t_4 : d_4 + 17,5 = 6 : t_4 \quad t_4 = 136,15.$$

Sind schliesslich  $c$ ,  $v$  die Abscissen derjenigen Knotenpunkte, bei welchen der von Schnitt  $s$  getroffene Fahrbahnträger aufliegt, und

$$(3) \quad z = \frac{v - u}{cl - u(l - v + c)} cl,$$

so haben wir folgende Unterlagen für die Berechnung der Stabkräfte bei beliebiger Belastung.

Stab	Schnitt	Stabkraft	$u$	$c$	$v$	$z$
$o_1$	I	$O_1 = -M_1 : 4,34$	2,5	0	2,5	0
$o_2$	II	$O_2 = -M_1 : 5,06$	7,5	2,5	7,5	0
$o_3$	III	$O_3 = -M_1 : 5,58$	12,5	7,5	12,5	0
$o_4$	IV	$O_4 = -M_1 : 5,89$	17,5	12,5	17,5	0
$o_5$	V	$O_5 = -M_1 : 6$	22,5	17,5	22,5	0
$u_1$	1	$U_1 = M_1 : 4,8$	5	2,5	7,5	— 3,21
$u_2$	2	$U_2 = M_1 : 5,4$	10	7,5	12,5	— 13,5
$u_3$	3	$U_3 = M_1 : 5,8$	15	12,5	17,5	— 37,5
$u_4$	4	$U_4 = M_1 : 6$	20	17,5	22,5	— 157,5
$s_1$	I	$S_1 = -M_1 : 23,3$	— 25	0	2,5	0
$s_2$	II	$S_2 = -M_1 : 37,7$	— 35	2,5	7,5	3,16
$s_3$	III	$S_3 = -M_1 : 63,5$	— 57,5	7,5	12,5	8,72
$s_4$	IV	$S_4 = -M_1 : 135$	— 130	12,5	17,5	14,39
$s_5$	V	$S_5 = -M_1 : 0,92 \infty$	— $\infty$	17,5	22,5	19,69
$t_0$	0	$T_0 = M_1 : 10$	— 10	0	2,5	0
$t_1$	1	$T_1 = M_1 : 24,4$	— 25	2,5	7,5	3,24
$t_2$	2	$T_2 = M_1 : 38,6$	— 35	7,5	12,5	9,17
$t_3$	3	$T_3 = M_1 : 64,2$	— 57,5	12,5	17,5	14,38
$t_4$	4	$T_4 = M_1 : 136$	— 130	17,5	22,5	20,06

Bezüglich  $t_0$  war zu beachten, dass der Schnitt 0 nur zwei Stäbe trifft und also der Drehpunkt zur Berechnung von  $T_0$  in jeden beliebigen Punkt der Richtungslinie von  $u_0$  gelegt werden darf (§ 15). Wir haben  $u = -10$  gewählt. Die Bedingung „Summe aller Horizontalkräfte gleich Null“ in Anwendung auf den Knotenpunkt 0 des Untergurts ergibt für jede Belastung  $U_0 = 0$ .

Eigengewicht allein. Wollte man das Eigengewicht, wie die Fahrbahnlast, nur auf die Knotenpunkte des Untergurts vertheilt annehmen, so würde nach § 24, 7) sein

$$(4) \quad \mathfrak{M}_s = [u(l - c - v) + cv] \frac{g}{2}.$$

Die Stabkräfte, welche sich auf Grund dieser Formel ergeben, sind den unten berechneten in Klammer beigelegt. Da im vorliegenden Falle ein Theil  $g_0$  von  $g$  auf die Knotenpunkte des Obergurts gerechnet werden soll, so könnten wir nach § 23, 2) mit  $G = 5g_0$  setzen

$$(5) \quad \mathfrak{M}_s = [u(l - c - v) + cv] \frac{g_u}{2} + \frac{l-u}{l} \sum_0^i G e + \frac{u}{l} \sum_i^l G(l-e).$$

Bequemer ist es, die mit Rücksicht auf § 10 zulässige Formel

$$(6) \quad \mathfrak{M}_s = [u(l - c - v) + cv] \frac{g_u}{2} + [u(l - c_0 - v_0) + c_0 v_0] \frac{g_0}{2}$$

zu verwenden, worin  $c_0, v_0$  die Abscissen derjenigen Knotenpunkte bedeuten, bei welchen der von Schnitt  $s$  getroffene Stab des Obergurts endigt. Wir erhalten damit bei Beachtung obiger Tabelle folgende Momente und Stabkräfte für Eigengewicht allein.

Obere Gurtung.

$$\mathfrak{M}_s = (2,5 \cdot 42,5 + 0 \cdot 2,5) 0,3$$

$$+ (2,5 \cdot 40 + 0 \cdot 5) 0,15 = 31,9 + 15 = 46,9,$$

$$\mathfrak{D}_1 = -\frac{46,9}{4,34} = -10,81 \text{ tn } (-10,99);$$

$$\mathfrak{M}_s = (7,5 \cdot 35 + 2,5 \cdot 7,5) 0,3$$

$$+ (7,5 \cdot 30 + 5 \cdot 10) 0,15 = 84,4 + 41,2 = 126,$$

$$\mathfrak{D}_2 = -\frac{126}{5,06} = -24,89 \text{ tn } (-25,01);$$

$$\mathfrak{M}_s = (12,5 \cdot 25 + 7,5 \cdot 12,5) 0,3$$

$$+ (12,5 \cdot 20 + 10 \cdot 15) 0,15 = 121,9 + 60 = 182,$$

$$\mathfrak{D}_3 = -\frac{182}{5,58} = -32,61 \text{ tn } (-32,76);$$

$$\mathfrak{M}_1 = (17,5 \cdot 15 + 12,5 \cdot 17,5) 0,3 \\ + (17,5 \cdot 10 + 15 \cdot 20) 0,15 = 144,4 + 71,2 = 216,$$

$$\mathfrak{D}_4 = -\frac{216}{5,89} = -36,67 \text{ tn } (-36,77);$$

$$\mathfrak{M}_2 = (22,5 \cdot 5 + 17,5 \cdot 22,5) 0,3 \\ + (22,5 \cdot 0 + 20 \cdot 25) 0,15 = 151,9 + 75 = 227,$$

$$\mathfrak{D}_5 = -\frac{227}{6} = -37,83 \text{ tn } (-37,97).$$

Untere Gurtung.

$$\mathfrak{M}_1 = (5 \cdot 35 + 2,5 \cdot 7,5) 0,3 \\ + (5 \cdot 40 + 0 \cdot 5) 0,15 = 58,1 + 30 = 88,$$

$$\mathfrak{U}_1 = \frac{88}{4,8} = 18,35 \text{ tn } (18,16);$$

$$\mathfrak{M}_2 = (10 \cdot 25 + 7,5 \cdot 12,5) 0,3 \\ + (10 \cdot 30 + 5 \cdot 10) 0,15 = 103,1 + 52,5 = 156,$$

$$\mathfrak{U}_2 = \frac{156}{5,4} = 28,89 \text{ tn } (28,65);$$

$$\mathfrak{M}_3 = (15 \cdot 15 + 12,5 \cdot 17,5) 0,3 \\ + (15 \cdot 20 + 10 \cdot 15) = 133,1 + 67,5 = 201,$$

$$\mathfrak{U}_3 = \frac{201}{5,8} = 34,65 \text{ tn } (34,43);$$

$$\mathfrak{M}_4 = (20 \cdot 5 + 17,5 \cdot 22,5) 0,3 \\ + (20 \cdot 10 + 15 \cdot 20) 0,15 = 148,1 + 75 = 223,$$

$$\mathfrak{U}_4 = \frac{223}{6} = 38,83 \text{ tn } (37,03).$$

Füllungsglieder s.

$$\mathfrak{M}_1 = (-25 \cdot 42,5 + 0 \cdot 2,5) 0,3 \\ + (-25 \cdot 40 + 0 \cdot 5) 0,15 = -318,6 - 150 = -469,$$

$$\mathfrak{S}_1 = \frac{469}{23,3} = 20,14 \text{ tn } (20,51);$$

$$\mathfrak{M}_2 = (-35 \cdot 35 + 2,5 \cdot 7,5) 0,3 \\ + (-35 \cdot 30 + 5 \cdot 10) 0,15 = -361,9 - 150 = -512,$$

$$\mathfrak{S}_2 = \frac{512}{37,7} = 13,58 \text{ tn } (14,39);$$

$$\mathfrak{M}_3 = (-57,5 \cdot 25 + 7,5 \cdot 12,5) 0,3 \\ + (-57,5 \cdot 20 + 10 \cdot 15) 0,15 = -400,1 - 150 = -450,$$

$$\mathfrak{S}_3 = \frac{450}{63,5} = 7,09 \text{ tn } (9,52);$$

$$\begin{aligned} \mathfrak{M}_1 &= (-130 \cdot 15 + 12,5 \cdot 17,5) 0,3 \\ &+ (-130 \cdot 10 + 15 \cdot 20) 0,15 = -519,4 - 150 = -669, \\ \mathfrak{S}_4 &= \frac{669}{135} = 4,96 \text{ tn } (5,75); \end{aligned}$$

$$\begin{aligned} \mathfrak{M}_2 &= (-\infty \cdot 5 + 17,5 \cdot 22,5) 0,3 \\ &+ (-\infty \cdot 0 + 20 \cdot 25) 0,15 = -1,5 \infty - 0 \infty = -1,5 \infty, \\ \mathfrak{S}_5 &= \frac{1,5 \infty}{0,92 \infty} = 1,62 \text{ tn } (2,46). \end{aligned}$$

Füllungsglieder  $t$ .

$$\begin{aligned} \mathfrak{M}_3 &= (-10 \cdot 42,5 + 0 \cdot 2,5) 0,3 \\ &+ (-10 \cdot 45 + 0 \cdot 0) 0,15 = -127,5 - 67,5 = -195, \\ \mathfrak{X}_0 &= -\frac{195}{10} = -19,5 \text{ tn } (-19,12); \end{aligned}$$

$$\begin{aligned} \mathfrak{M}_4 &= (-25 \cdot 35 + 2,5 \cdot 7,5) 0,3 \\ &+ (-25 \cdot 40 + 0 \cdot 5) 0,15 = -256,9 - 150 = -407, \\ \mathfrak{X}_1 &= -\frac{407}{24,4} = -16,68 \text{ tn } (-15,79); \end{aligned}$$

$$\begin{aligned} \mathfrak{M}_5 &= (-35 \cdot 25 + 7,5 \cdot 12,5) 0,3 \\ &+ (-35 \cdot 30 + 5 \cdot 10) 0,15 = -234,4 - 150 = -384, \\ \mathfrak{X}_2 &= -\frac{384}{38,6} = -9,95 \text{ tn } (-9,11); \end{aligned}$$

$$\begin{aligned} \mathfrak{M}_6 &= (-57,5 \cdot 15 + 12,5 \cdot 17,5) 0,3 \\ &+ (-57,5 \cdot 20 + 10 \cdot 15) 0,15 = -193,1 - 150 = -343, \\ \mathfrak{X}_3 &= -\frac{343}{64,2} = -5,34 \text{ tn } (=4,51); \end{aligned}$$

$$\begin{aligned} \mathfrak{M}_7 &= (-130 \cdot 5 + 17,5 \cdot 22,5) 0,3 \\ &+ (-130 \cdot 10 + 15 \cdot 20) 0,15 = -76,9 - 150 = -227, \\ \mathfrak{X}_4 &= -\frac{227}{136} = -1,67 \text{ tn } (-0,85). \end{aligned}$$

Schliesslich liefert § 24, 6) die vom Eigengewicht allein herrührende Stützenreaction

$$\mathfrak{B} = \frac{gl}{2} = 0,45 \cdot 45 = 20,25 \text{ tn}.$$

**Grenzwerte.** Da für die Gurtungsstäbe nach obiger Zusammenstellung der Drehpunkt  $u$  innerhalb der Spannweite  $l$  liegt, so sind nach § 24, 2) die zugehörigen Grenzwerte der Momente

$$(7) \quad M_s = \mathfrak{M}_s + [u(l - c - v) + cv] \frac{p}{2}, \quad M_e = \mathfrak{M}_s.$$

Hätten wir die Beanspruchungen für Eigengewicht allein auf Grund von 4) berechnet, so würden

$$(8) \quad M_i = \frac{q}{g} \mathfrak{M}_i, \quad M_i = \mathfrak{M}_i,$$

und damit die unteren Grenzwerte der Gurtungskräfte gleich den Beanspruchungen für Eigengewicht allein, die oberen  $q: g = 4$  mal so gross. Die ersterwähnten Grenzwerte bleiben auch jetzt gültig, dagegen erhalten wir mit Rücksicht auf die nach 6) für das Eigengewicht in den unteren Knotenpunkten berechneten Momente und  $p: g_u = 4,5$  die oberen Grenzmomente durch die Verkehrslast allein und die oberen Grenzwerte der ganzen Gurtungskräfte wie folgt:

$$M_i = 31,9 \cdot 4,5 = 143 \quad O_1 = -10,81 - \frac{143}{4,34} = -43,76 \text{ tn}$$

$$84,4 \cdot 4,5 = 380 \quad O_2 = -24,89 - \frac{380}{5,06} = -99,99$$

$$121,9 \cdot 4,5 = 549 \quad O_3 = -32,61 - \frac{549}{5,68} = -131,00$$

$$144,4 \cdot 4,5 = 650 \quad O_4 = -36,67 - \frac{650}{5,89} = -147,03$$

$$151,9 \cdot 4,5 = 684 \quad O_5 = -37,83 - \frac{684}{6} = -151,83;$$

$$M_i = 58,1 \cdot 4,5 = 262 \quad U_1 = 18,35 + \frac{262}{4,8} = 72,93 \text{ tn}$$

$$103,1 \cdot 4,5 = 464 \quad U_2 = 28,69 + \frac{464}{5,4} = 114,62$$

$$131,1 \cdot 4,5 = 599 \quad U_3 = 34,65 + \frac{599}{5,8} = 137,93$$

$$148,1 \cdot 4,5 = 666 \quad U_4 = 38,83 + \frac{666}{6} = 149,83.$$

Für die Füllungsglieder liegt nach obiger Zusammenstellung der Drehpunkt  $u$  ausserhalb der Spannweite  $l$ ; daher ergibt § 24, 3) die entsprechenden Grenzmomente

$$(9) \quad \begin{cases} M_i = \mathfrak{M}_i + \frac{u}{2l} (l - v) (l - s) p, \\ M_i = \mathfrak{M}_i + \frac{l - u}{2l} c s p. \end{cases}$$

Mit Rücksicht hierauf erhalten wir folgende Grenzbeanspruchungen der Füllungsglieder.

$$S_1 = 20,14 + \frac{25 \cdot 42,5 \cdot 45}{90 \cdot 23,3} 2,7 = 81,70 \text{ tn}$$

$$S_2 = 13,58 + \frac{35 \cdot 37,5 \cdot 41,84}{90 \cdot 37,7} 2,7 = 57,27$$

$$S_3 = 7,09 + \frac{57,5 \cdot 32,5 \cdot 36,28}{90 \cdot 63,5} 2,7 = 38,91$$

$$S_4 = 4,96 + \frac{130 \cdot 27,5 \cdot 30,61}{90 \cdot 135} 2,7 = 29,29$$

$$S_5 = 1,62 + \frac{\infty \cdot 22,5 \cdot 25,31}{90 \cdot 0,92 \infty} 2,7 = 18,59,$$

$$S_1 = 20,14 - \frac{70 \cdot 0 \cdot 0}{90 \cdot 23,3} 2,7 = 20,14 \text{ tn}$$

$$S_2 = 13,58 - \frac{80 \cdot 2,5 \cdot 3,16}{90 \cdot 37,7} 2,7 = 13,07$$

$$S_3 = 7,09 - \frac{102,5 \cdot 7,5 \cdot 8,72}{90 \cdot 63,5} 2,7 = 3,93$$

$$S_4 = 4,96 - \frac{175 \cdot 12,5 \cdot 14,89}{90 \cdot 135} 2,7 = - 2,03$$

$$S_5 = 1,62 - \frac{\infty \cdot 17,5 \cdot 19,69}{90 \cdot 0,92 \infty} 2,7 = - 9,58.$$

$$T_0 = - 19,50 - \frac{10 \cdot 42,5 \cdot 45}{90 \cdot 10} 2,7 = - 76,87 \text{ tn}$$

$$T_1 = - 16,68 - \frac{25 \cdot 37,5 \cdot 41,76}{90 \cdot 24,4} 2,7 = - 58,60$$

$$T_2 = - 9,95 - \frac{35 \cdot 32,5 \cdot 35,83}{90 \cdot 38,6} 2,7 = - 41,63$$

$$T_3 = - 5,34 - \frac{57,5 \cdot 27,5 \cdot 30,62}{90 \cdot 64,2} 2,7 = - 27,97$$

$$T_4 = - 1,67 - \frac{130 \cdot 22,5 \cdot 24,94}{90 \cdot 136} 2,7 = - 17,76,$$

$$T_0 = - 19,50 + \frac{55 \cdot 0 \cdot 0}{90 \cdot 10} 2,7 = - 19,50 \text{ tn}$$

$$T_1 = - 16,68 + \frac{70 \cdot 2,5 \cdot 3,24}{90 \cdot 24,4} 2,7 = - 15,98$$

$$T_2 = - 9,95 + \frac{80 \cdot 7,5 \cdot 9,17}{90 \cdot 38,6} 2,7 = - 5,68$$

$$T_3 = - 5,34 + \frac{102,5 \cdot 12,5 \cdot 14,38}{90 \cdot 64,2} 2,7 = 3,27$$

$$T_4 = - 1,67 + \frac{175 \cdot 17,5 \cdot 20,06}{90 \cdot 136} 2,7 = 11,88.$$



Als Grenzwerte der Stützenreactionen hat man nach § 24, 5) 6)

$$V = \frac{q}{g} \mathfrak{B} = \frac{3,6}{0,9} 20,25 = 81 \text{ tn}, \quad V = \mathfrak{B} = 20,25 \text{ tn}.$$

Damit sind sämmtliche Grenzwerte bestimmt.

**Bemerkungen.** Ein Vergleich der oben berechneten Beanspruchungen durch Eigengewicht allein mit den in Klammer für den Fall beigesetzten, dass das Eigengewicht nur in den durch die Verkehrslast ergriffenen Knotenpunkten angreifend gedacht wird, lässt erkennen, dass diese schon in Beispiel 23 gemachte vereinfachende Annahme auch hier zulässig gewesen wäre.

Da für die Endverticalen der Drehpunkt  $u$  auch innerhalb  $l$  angenommen werden darf, so würden zur Berechnung ihrer Grenzbeanspruchungen auch dieselben Formeln wie für die Gurtungen verwendbar gewesen sein. Ebenso hätten wir hierbei nach Formeln der Aufgabe 19 rechnen können.

Wären für die Füllungsglieder anstatt der Formeln 9) die Näherungsformeln

$$(10) \quad \begin{cases} M_s = \mathfrak{M}_s + \frac{u}{2l} (l - c) (l - v) p, \\ M_s = \mathfrak{M}_s + \frac{l - u}{2l} c v p \end{cases}$$

zur Verwendung gekommen, so würden wir, ohne die  $z$  berechnen zu müssen, gefunden haben

für	anstatt wie oben	die Werthe
$S_1$	81,70 und 20,14	81,70 und 20,14
$S_2$	57,27      13,07	57,97      12,39
$S_3$	38,91      3,93	40,20      2,55
$S_4$	29,29    — 2,03	30,78    — 3,55
$S_5$	18,59    — 9,58	21,80    — 11,22
$T_0$	— 76,87    — 19,50	— 76,87    — 19,50
$T_1$	— 58,60    — 15,98	— 65,67    — 15,05
$T_2$	— 41,63    — 5,68	— 43,10    — 4,12
$T_3$	— 27,87      3,27	— 29,35      5,14
$T_4$	— 17,76      11,88	— 19,41      13,53.

**Beispiel 27.** Beliebige einfache Systeme mit bewegten Radlastzügen.

Die Träger des vorigen Beispiels sollen nun einer eingeleisigen

Eisenbahnbrücke angehören und für bewegte Radlastzüge, zusammengesetzt aus Locomotiven der Radanordnung Fig. 18, berechnet werden.

Bis zur Berechnung der Grenzwerte bleibt alles im vorigen Beispiele Gegebene gültig. Die Berechnung der Trägerform und der Beanspruchungen durch Eigengewicht allein sind also erledigt. Die Formeln für die Grenzmomente  $M$ , sind verschieden, je nachdem der Momentendrehpunkt innerhalb oder ausserhalb der Spannweite liegt, je nachdem die Abscisse  $u$  dieses Drehpunkts zwischen 0 und  $l$  liegt oder nicht. Nach der in Beispiel 26 gegebenen Tabelle tritt der erste Fall für die Gurtungsstäbe, der zweite für die Füllungsglieder ein. Da überdies für alle zu berechnenden Gurtungsstäbe  $z \leq c$  und für diejenigen des Obergurts  $u = v$ ,  $z = 0$  ist, so liefert § 25 als unteren Grenzwert des Moments  $M$ , für sämtliche Gurtungsstäbe  $M_s = \mathfrak{M}_s$  und als oberen Grenzwert bei Belastung durch Zug I (Fig. 23 u. 24) von 0 bis  $l$ , Rad  $O$  bei  $v$ ,

$$(1) \quad M_s = \mathfrak{M}_s + \frac{l-u}{l} \sum_0^c Pa + \frac{v-u}{v-c} \frac{c}{z} \sum_c^v P(z-a) \\ + \frac{u}{l} \sum_v^l P(l-a),$$

und speziell für den Obergurt einfacher

$$(2) \quad M_s = \mathfrak{M}_s + \frac{l-u}{l} \sum_0^v Pa + \sum_v^l P(l-a).$$

Statt 1) kann man auch die Formel B. 24, 1) verwenden. Die Grenzmomente der Füllungsglieder ergeben sich nach § 22 bei Belastung durch Zug II (Fig. 22) von  $v$  bis  $l$ , Vorderrad  $O$  bei  $v$ ,

$$(3) \quad M_s = \mathfrak{M}_s + \frac{u}{l} \sum_v^l P(l-a)$$

und bei Belastung durch Zug II von 0 bis  $c$ , Vorderrad  $O$  bei  $c$ ,

$$(4) \quad M_s = \mathfrak{M}_s + \frac{l-u}{l} \sum_0^c Pa.$$

Wenn man will, kann man berücksichtigen, dass für  $S_1$  und  $T_0$  wegen  $z = 0$  die unteren Grenzwerte  $\mathfrak{S}_1$ ,  $\mathfrak{T}_0$  sind und die oberen mit Zug I von 0 bis  $l$ , Rad  $O$  bei  $v$ , voraussichtlich noch etwas un-

günstiger als mit Zug II werden, wozu die  $M$ , nach 1) oder B. 24, 1) zu berechnen wären.

**Gurtungen.** Nach Vorstehendem sind die unteren Grenzbeanspruchungen der Gurtungen die schon berechneten Beanspruchungen durch Eigengewicht allein, für die oberen Grenzbeanspruchungen kommen mit Rücksicht auf die in der Tabelle des Beispiels 26 zusammengestellten Werthe der  $v$  bei jeder Zugrichtung (Fahrrichtung beliebig) fünf Belastungsfälle in Betracht, welche in Fig. 69 für die erste Zugrichtung, in Fig. 70 für die zweite Zugrichtung angedeutet sind. Diesen Belastungen entsprechen folgende Werthe der in 1) 2) auftretenden Summenausdrücke in Metertonnen.

Belastung für  $O_1$  ( $c = 0$ ,  $v = 2,5$ ), erste Zugrichtung,

$$\begin{aligned} \sum_0^l P(l-a) &= 6(41,2 + 37,2 + 35,9 + 34,6 + 26,2 + 24,9 + 23,6 \\ &\quad + 15,2 + 13,9 + 12,6 + 4,2 + 2,9 + 1,6) \\ &\quad + 4(33,4 + 22,4 + 11,4 + 0,4) + 5(30,4 + 19,4 + 8,4) = 2205, \\ \sum_0^v Pa &= 6(2,5 + 1,2) = 22,2; \end{aligned}$$

zweite Zugrichtung,

$$\begin{aligned} \sum_0^l P(l-a) &= 6(42,5 + 41,2 + 32,8 + 31,5 + 30,2 + 21,8 + 20,5 \\ &\quad + 19,2 + 10,8 + 9,5 + 8,2) \\ &\quad + 4(40 + 29 + 18 + 7) + 5(37 + 26 + 15 + 4) = 2395, \\ \sum_0^v Pa &= 6 \cdot 1,2 = 7,2. \end{aligned}$$

Belastung für  $O_2$ ,  $U_1$  ( $c = 2,5$ ,  $v = 7,5$ ), erste Zugrichtung,

$$\begin{aligned} \sum_0^l P(l-a) &= 6(36,2 + 32,2 + 30,9 + 29,6 + 21,2 + 19,9 + 18,6 \\ &\quad + 10,2 + 8,9 + 7,6) \\ &\quad + 4(28,4 + 17,4 + 6,4) + 5(25,4 + 14,4 + 3,4) = 1716, \\ \sum_0^v Pa &= 6(7,5 + 6,2) + 4 \cdot 5 + 5 \cdot 2 = 112, \\ \sum_0^c Pa &= 5 \cdot 2 = 10, \end{aligned}$$

$$\sum_c^v P(a-s) = 6(10,71 + 9,41) + 4 \cdot 8,21 = 154;$$

zweite Zugrichtung,

$$\sum_i P(l-a) = 6(37,5 + 36,2 + 27,8 + 26,5 + 25,2 + 16,8 + 15,5 \\ + 14,2 + 5,8 + 4,5 + 3,2) \\ + 4(35 + 24 + 13 + 2) + 5(32 + 21 + 10) = 1890,$$

$$\sum_0^v Pa = 6(6,2 + 2,2 + 0,9) = 55,8,$$

$$\sum_0^c Pa = 55,8 - 6 \cdot 6,2 = 18,6,$$

$$\sum_c P(a-z) = 6 \cdot 9,41 = 56,5.$$

Belastung für  $O_3$ ,  $U_2$  ( $c = 7,5$ ,  $v = 12,5$ ), erste Zugrichtung,

$$\sum_i P(l-a) = 6(31,2 + 27,2 + 25,9 + 24,6 + 16,2 + 14,9 + 13,6 \\ + 5,2 + 3,9 + 2,6) \\ + 4(23,4 + 12,4 + 1,4) + 5(20,4 + 9,4) = 1290,$$

$$\sum_0^v Pa = 6(12,5 + 11,2 + 2,8 + 1,5 + 0,2) + 4 \cdot 10 + 5 \cdot 7 = 244,$$

$$\sum_0^c Pa = 244 - 6(15 + 11,2) - 4 \cdot 10 = 62,$$

$$\sum_c P(a-z) = 6(26 + 24,7) + 4 \cdot 23,5 = 398;$$

zweite Zugrichtung

$$\sum_i P(l-a) = 6(32,5 + 31,2 + 22,8 + 21,5 + 20,2 + 11,8 + 10,5 \\ + 9,2 + 0,8) \\ + 4(30 + 19 + 8) + 5(27 + 16 + 5) = 1431,$$

$$\sum_0^v Pa = 6(11,2 + 7,2 + 5,9 + 4,6) + 5 \cdot 0,4 + 4 \cdot 3,4 = 189,$$

$$\sum_0^c Pa = 189 - 6 \cdot 11,2 = 18,6,$$

$$\sum_c P(a-z) = 6 \cdot 24,7 = 148.$$

Belastung für  $O_4$ ,  $U_3$  ( $c = 12,5$ ,  $v = 17,5$ ), erste Zugrichtung,

$$\sum_v^l P(l-a) = 6(26,2 + 22,2 + 20,9 + 19,6 + 11,2 + 9,9 + 8,6 + 0,2) \\ + 4(18,4 + 7,4) + 5(15,4 + 4,4) = 915,$$

$$\sum_0^v Pa = 6(17,5 + 16,2 + 7,8 + 6,5 + 5,2) + 4(15 + 4) \\ + 5(12 + 1) = 460,$$

$$\sum_0^c Pa = 460 - 6(17,5 + 16,2) - 4 \cdot 15 = 198,$$

$$\sum_c^v P(a-z) = 6(55 + 53,7) + 4 \cdot 52,5 = 862;$$

zweite Zugrichtung,

$$\sum_v^l P(l-a) = 6(27,5 + 26,2 + 17,8 + 16,5 + 15,2 + 6,8 + 5,5 + 4,2) \\ + 4(25 + 14 + 3) + 5(22 + 11) = 1051,$$

$$\sum_0^v Pa = 6(16,2 + 12,2 + 10,9 + 9,6 + 1,2) \\ + 5 \cdot 5,4 + 4 \cdot 8,4 = 361,$$

$$\sum_0^c Pa = 361 - 6 \cdot 16,2 = 264, \quad \sum_c^v P(a-z) = 6 \cdot 53,7 = 322.$$

Belastung für  $O_5$ ,  $U_4$  ( $c = 17,5$ ,  $v = 22,5$ ), erste Zugrichtung,

$$\sum_v^l P(l-a) = 6(21,2 + 17,2 + 15,9 + 14,6 + 6,2 + 4,9 + 3,6) \\ + 4(13,4 + 2,4) + 5 \cdot 10,4 = 617,$$

$$\sum_0^v Pa = 6(22,5 + 21,2 + 12,8 + 11,5 + 10,2 + 1,8 + 0,5) \\ + 4(20 + 9) + 5(17 + 6) = 714,$$

$$\sum_0^c Pa = 714 - 6(22,5 + 21,2) - 4 \cdot 20 = 372,$$

$$\sum_c^v P(a-z) = 6(180 + 178,7) + 4 \cdot 177,5 = 2862;$$

zweite Zugrichtung,

$$\sum_v^l P(l-a) = 6(22,5 + 21,2 + 12,8 + 11,5 + 10,2 + 1,8 + 0,5) \\ + 4(20 + 9) + 5(17 + 6) = 714,$$

$$\sum_0^v Pa = 6(21,2 + 17,2 + 15,9 + 14,6 + 6,2 + 4,9 + 3,6) \\ + 5 \cdot 10,4 + 4(13,4 + 2,4) = 617,$$

$$\sum_0^a Pa = 617 - 6 \cdot 21,2 = 490, \quad \sum_c^v P(a - s) = 6 \cdot 178,7 = 1072.$$

Wir drücken nun die von der Verkehrslast herrührenden Grenz-momente nach 1) 2) für die erste Zugrichtung aus, setzen die analog für die zweite Zugrichtung erhaltenen in Klammer und erhalten dem-gemäss die Grenzbeanspruchungen. Für den Obergurt:

$$M_1 = \frac{1}{45} (42,5 \cdot 22,2 + 2,5 \cdot 2205) = 143 \text{ mtn} \quad (140)$$

$$M_2 = \frac{1}{45} (37,5 \cdot 112 + 7,5 \cdot 1716) = 379 \quad (362)$$

$$M_3 = \frac{1}{45} (32,5 \cdot 244 + 12,5 \cdot 1290) = 535 \quad (532)$$

$$M_4 = \frac{1}{45} (27,5 \cdot 460 + 17,5 \cdot 915) = 637 \quad (629)$$

$$M_5 = \frac{1}{45} (22,5 \cdot 714 + 22,5 \cdot 617) = 666 \quad (666),$$

$$O_1 = -10,81 - \frac{143}{4,34} = -43,76 \text{ tn}$$

$$O_2 = -24,89 - \frac{379}{5,06} = -99,79$$

$$O_3 = -32,61 - \frac{535}{5,58} = -128,49$$

$$O_4 = -36,67 - \frac{637}{5,89} = -144,82$$

$$O_5 = -37,83 - \frac{666}{6} = -148,83,$$

und für den Untergurt:

$$M_1 = \frac{40}{45} 10 + \frac{2,5 \cdot 2,5}{5 \cdot 3,21} 154 + \frac{5}{45} 1716 = 260 \text{ mtn} \quad (244)$$

$$M_2 = \frac{35}{45} 62 + \frac{2,5 \cdot 7,5}{5 \cdot 13,5} 398 + \frac{10}{45} 1290 = 445 \quad (454)$$

$$M_3 = \frac{30}{45} 198 + \frac{2,5 \cdot 12,5}{5 \cdot 37,5} 862 + \frac{15}{45} 915 = 581 \quad (582)$$

$$M_4 = \frac{25}{45} 372 + \frac{2,5 \cdot 17,5}{5 \cdot 157,5} 2862 + \frac{20}{45} 617 = 640 \quad (649),$$

$$U_1 = 18,35 + \frac{260}{4,8} = 72,40 \text{ tn}$$

$$U_2 = 28,69 + \frac{454}{5,4} = 112,76$$

$$U_3 = 34,65 + \frac{582}{5,8} = 134,99$$

$$U_4 = 38,83 + \frac{649}{6} = 147,00.$$

Der Vergleich der  $M_i$  zeigt, dass wir die Berücksichtigung der zweiten Zugrichtung ganz gut unterlassen hätten können, worauf schon in Beispiel 24 hingewiesen wurde.

**Füllungsglieder.** Zur Berechnung der Füllungsglieder nach 3) 4) ergeben sich bei Belastung durch Zug II von  $v$  bis  $l$ , Vorderrad 0 bei  $v$ , und bei Belastung durch Zug II von 0 bis  $c$ , Vorderrad 0 bei  $c$ , folgende Summenwerthe in Metertonnen.

Belastungen für  $S_1$  ( $c = 0$ ,  $v = 2,5$ ):

$$\begin{aligned} \sum_v^l P(l-a) &= 6(42,5 + 41,2 + 39,9 + 31,5 + 30,2 + 28,9 + 20,5 \\ &\quad + 19,2 + 17,9 + 9,5 + 8,2 + 6,9) \\ &\quad + 4(38,7 + 27,7 + 16,7 + 5,7) \\ &\quad + 5(35,7 + 24,7 + 13,7 + 2,7) = 2518, \\ \sum_0^c Pa &= 0. \end{aligned}$$

Belastungen für  $S_2$ ,  $T_1$  ( $c = 2,5$ ,  $v = 7,5$ ):

$$\begin{aligned} \sum_v^l P(l-a) &= 6(37,5 + 36,2 + 34,9 + 26,5 + 25,2 + 23,9 + 15,5 \\ &\quad + 14,2 + 12,9 + 4,5 + 3,2 + 1,9) \\ &\quad + 4(33,7 + 22,7 + 11,7 + 0,7) \\ &\quad + 5(30,7 + 19,7 + 8,7) = 1989, \\ \sum_0^c Pa &= 6(2,5 + 1,2) = 22,2. \end{aligned}$$

Belastungen für  $S_3$ ,  $T_2$  ( $c = 7,5$ ,  $v = 12,5$ ):

$$\begin{aligned} \sum_v^l P(l-a) &= 6(32,5 + 31,2 + 29,9 + 21,5 + 20,2 + 18,9 \\ &\quad + 10,5 + 9,2 + 7,9) \\ &\quad + 4(28,7 + 17,7 + 6,7) + 5(25,7 + 14,7 + 3,7) = 1524, \\ \sum_0^c Pa &= 6(7,5 + 6,2 + 4,9) + 4 \cdot 3,7 + 5 \cdot 0,7 = 130. \end{aligned}$$

Belastungsfälle für  $S_4$ ,  $T_3$  ( $c = 12,5$ ,  $v = 17,5$ ):

$$\sum_i P(l-a) = 6(27,5 + 26,2 + 24,9 + 16,5 + 15,2 + 13,9 \\ + 5,5 + 4,2 + 2,9) \\ + 4(23,7 + 12,7 + 1,7) + 5(20,7 + 9,7) = 1125,$$

$$\sum_0^c Pa = 6(12,5 + 11,2 + 9,9 + 1,5 + 0,2) \\ + 4 \cdot 8,7 + 5 \cdot 5,7 = 275.$$

Belastungen für  $S_5$ ,  $T_4$  ( $c = 17,5$ ,  $v = 22,5$ ):

$$\sum_i P(l-a) = 6(22,5 + 21,2 + 19,9 + 11,5 + 10,2 + 8,9 + 0,5) \\ + 4(18,7 + 7,7) + 5(15,7 + 4,7) = 776,$$

$$\sum_0^c Pa = 6(17,5 + 16,2 + 14,9 + 6,5 + 5,2 + 3,9) \\ + 4(13,7 + 2,7) + 5 \cdot 10,7 = 504.$$

Damit erhalten wir die Grenzwerte der Stabkräfte  $S$ :

$$S_1 = 20,14 + \frac{25 \cdot 2518}{45 \cdot 23,3} = 80,17 \text{ tn}$$

$$S_2 = 13,58 + \frac{35 \cdot 1989}{45 \cdot 37,7} = 54,61$$

$$S_3 = 7,09 + \frac{57,5 \cdot 1524}{45 \cdot 63,5} = 37,76$$

$$S_4 = 4,96 + \frac{130 \cdot 1125}{45 \cdot 135} = 29,03$$

$$S_5 = 1,62 + \frac{\infty \cdot 776}{45 \cdot 0,92 \cdot \infty} = 20,36,$$

$$S_1 = 20,14 - \frac{70 \cdot 0}{45 \cdot 23,3} = 20,14 \text{ tn}$$

$$S_2 = 13,58 - \frac{80 \cdot 22,2}{45 \cdot 37,7} = 12,53$$

$$S_3 = 7,09 - \frac{102,5 \cdot 130}{45 \cdot 63,5} = 2,43$$

$$S_4 = 4,96 - \frac{175 \cdot 275}{45 \cdot 135} = - 2,96$$

$$S_5 = 1,62 - \frac{\infty \cdot 504}{45 \cdot 0,92 \cdot \infty} = - 10,55,$$



und die Grenzwerte der Stabkräfte  $T$ :

$$T_0 = -19,50 - \frac{10 \cdot 2518}{45 \cdot 10} = -75,46 \text{ tn}$$

$$T_1 = -16,68 - \frac{25 \cdot 1989}{45 \cdot 24,4} = -62,13$$

$$T_2 = -9,95 - \frac{35 \cdot 1524}{45 \cdot 38,6} = -40,66$$

$$T_3 = -5,34 - \frac{57,5 \cdot 1125}{45 \cdot 64,2} = -27,72$$

$$T_4 = -1,67 - \frac{130 \cdot 776}{45 \cdot 136} = -18,15,$$

$$T_0 = -19,50 + \frac{55 \cdot 0}{45 \cdot 10} = -19,50 \text{ tn}$$

$$T_1 = -16,68 + \frac{70 \cdot 22,2}{45 \cdot 24,4} = -15,26$$

$$T_2 = -9,95 + \frac{80 \cdot 130}{45 \cdot 38,6} = -3,96$$

$$T_3 = -5,34 + \frac{102,5 \cdot 275}{45 \cdot 64,2} = 4,42$$

$$T_4 = -1,67 + \frac{175 \cdot 504}{45 \cdot 136} = 12,74.$$

Die Grenzwerte der Stützenreactionen erhält man nach § 25 bei Belastung durch Zug II von 0 bis  $l$ , Vorderrad  $O$  bei 0,

$$\begin{aligned} V &= \mathfrak{B} + \frac{1}{l} \sum_0^l P(l-a) = 20,25 \\ &+ \frac{1}{45} [6(45 + 43,7 + 42,4 + 34 + 32,7 + 31,4 + 23 + 21,7 \\ &\quad + 20,4 + 12 + 10,7 + 9,4 + 1) \\ &\quad + 4(41,2 + 30,2 + 19,2 + 8,2) \\ &\quad + 5(38,2 + 27,2 + 16,2 + 5,2)] = 20,25 + \frac{2794}{45} = 82,34 \text{ tn} \end{aligned}$$

und für Eigengewicht allein

$$V = \mathfrak{B} = 20,25 \text{ tn}.$$

Wie oben erwähnt ist für  $S_1$  und  $T_0$  bei Belastung durch Zug I, Rad  $O$  bei  $v = 2,5$  ein noch etwas ungünstigerer Grenzwert als mit Zug II zu erwarten. In der That erhält man für  $S_1$  mit den bereits zu  $O_1$  berechneten Werthen der Summenausdrücke für die erste Zugrichtung

$$M_1 = -\left(\frac{25}{2,5} - \frac{25}{45}\right) 22,2 - \frac{25}{45} 2205 = -1435 \text{ mtn},$$

für die zweite Zugrichtung

$$M_s = - \left( \frac{25}{2,5} - \frac{25}{45} \right) 7,2 - \frac{25}{45} 2395 = - 1399 \text{ mtn},$$

und demnach den oberen Grenzwert von  $S_1$

$$S_1 = 20,14 + \frac{1435}{23,3} = 81,73 \text{ tn}$$

gegen oben berechnete 80,17 tn. Ebenso ergibt sich für den oberen Grenzwert von  $T_0$

$$M_s = - \left( \frac{10}{2,5} - \frac{10}{45} \right) 22,2 - \frac{10}{45} 2205 = - 573,8 \text{ mtn},$$

$$T_0 = - 19,5 - \frac{573,8}{10} = - 76,88 \text{ tn}$$

gegen oben berechnete 75,46 tn.

**Bemerkungen.** Die oben verwendeten Summen  $\sum$  mit Ausnahme der  $\sum_0^c Pa$  und  $\sum_c^0 P(a-z)$  hätten wir aus der Tabelle in Beispiel 6 entnehmen können. Beispielsweise würden sich ergeben haben für  $V$  direct

$$\sum_0^l P(l-a) = 2794,$$

für  $O_4$ ,  $U_3$  durch Interpolation

$$\sum_l^i P(l-a) = \frac{1016 + 1089}{2} = 1052 \text{ (oben 1051),}$$

für  $S_4$ ,  $T_3$  durch Interpolation

$$\sum_l^i P(l-a) = \frac{1087 + 1163}{2} = 1125 \text{ (oben 1125),}$$

$$\sum_0^c Pa' = \frac{257 + 295}{2} = 276 \text{ ( „ 275).}$$

Wie aus § 25 bekannt, brauchen die oben berechneten Grenzwerte nicht in allen Fällen vollständig genau zu sein, es können unter Umständen noch etwas ungünstigere Laststellungen als die angenommenen entstehen. Im folgenden Beispiele ist die Berechnung genauer durchgeführt. Wir stellen deren Resultate mit den oben erhaltenen zusammen.

Stabkräfte	oben gefunden		genaue Grenzwerte	
$O_1$	— 43,76	und — 10,81	— <b>44,91</b>	und — 10,81
$O_2$	— 99,79	— 24,89	— 99,79	— <b>24,89</b>
$O_3$	— 128,49	— 32,61	— 128,49	— 32,61
$O_4$	— 144,82	— 36,67	— 144,82	— 36,67
$O_5$	— 148,83	— 37,83	— 148,83	— 37,83
$U_0$	0	0	0	0
$U_1$	72,40	18,35	72,40	18,35
$U_2$	<b>112,76</b>	28,89	<b>113,50</b>	28,89
$U_3$	134,99	34,65	134,99	34,65
$U_4$	147,00	38,83	147,00	38,83
$S_1$	<b>81,73</b>	20,14	<b>83,48</b>	20,14
$S_2$	<b>54,61</b>	12,53	<b>55,83</b>	12,53
$S_3$	<b>37,76</b>	2,43	<b>38,71</b>	2,43
$S_4$	<b>29,03</b>	— 2,96	<b>29,53</b>	— 2,96
$S_5$	<b>20,36</b>	— 10,55	<b>20,62</b>	— 10,55
$T_0$	— 76,89	— 19,50	— <b>78,55</b>	— 19,50
$T_1$	— 62,13	— 15,26	— <b>63,36</b>	— 15,26
$T_2$	— 40,66	— 3,96	— <b>41,25</b>	— 3,96
$T_3$	— 27,72	4,42	— <b>28,47</b>	4,42
$T_4$	— 18,15	12,74	— <b>18,40</b>	12,96.

Die abweichenden Resultate sind durch fetten Druck hervorgehoben. Man sieht, dass die obige Berechnung genügend genaue Werthe lieferte, wie dies in praktischen Fällen fast immer zutreffen wird. Auch die oben vorgenommene Berechnung der Füllungsglieder  $s_1, t_0$  für Zug I konnte unterbleiben, da die Abweichungen gegen die mit Zug II erhaltenen Grenzwerte immer noch unter zwei Procent der Letzteren bleiben und die gewählten Lastzüge aus lauter Locomotiven ohnehin sehr ungünstig sind.

**Beispiel 28. Genaueste Berechnung beliebiger einfacher Systeme für bewegte Radlastzüge.**

Die ungünstigsten Belastungen und Grenzwerte der Stabkräfte im Falle des vorigen Beispiels mit möglichster Genauigkeit festzustellen.

Für ein beliebiges System gleichzeitig auf dem Träger Platz

findender Lasten in festen Entfernungen hat man nach § 25 bei jeder Stellung

$$(1) \quad M_s = \mathfrak{M}_s + \frac{l-u}{l} \sum_0^c P a + \frac{v-u}{v-c} \frac{c}{z} \sum_c^v P (z-a) + \frac{u}{l} \sum_v^l P (l-a),$$

welche Gleichung auch in der Form B. 24, 1) geschrieben werden kann. Die Bedingung für mathematische Maxima und Minima von  $M_s$  lautet

$$(2) \quad \sum_0^c P + \frac{u-c}{v-c} \sum_c^v P = \frac{u}{l} \sum_0^l P$$

und die Aenderung von  $M_s$  durch jede Verschiebung des Lastsystems um  $da$  drückt sich aus

$$(3) \quad dM_s = \left( \sum_0^c P + \frac{u-c}{v-c} \sum_c^v P - \frac{u}{l} \sum_0^l P \right) da,$$

wobei  $da$  für die Fahrrihtung von 0 nach  $l$  positiv, für die Fahrrihtung von  $l$  nach 0 negativ ist. Wir untersuchen nun, ob für die in Beispiel 27 angenommenen Belastungen die Maximalbedingung 2) erfüllt ist und berechnen andernfalls genauere Grenzwerte. Die in Beispiel 26 gegebene Tabelle bleibt gültig.

Obere Gurtung. Wegen  $u = v$ ,  $z = 0$  nehmen 1) 2) folgende Formen an

$$(4) \quad M_s = \mathfrak{M}_s + \frac{l-u}{l} \sum_0^v P a + \frac{u}{l} \sum_v^l P (l-a),$$

$$(5) \quad \sum_0^v P = \frac{u}{l} \sum_0^l P.$$

Wenn Zug I in erster Zugrichtung von 0 nach  $l$  fahrend mit Rad  $O$  den Punkt  $v$  passiert, wie in Beispiel 27 zur Berechnung der oberen Grenzbeanspruchungen angenommen wurde, dann haben wir

für $O_1$	$\frac{u}{l} \sum_0^l P = \frac{2,5}{45} 125 = 6,9$	$\sum_0^v P = 16$ bis 10
„ $O_2$	$\frac{7,5}{45} 108 = 18$	21 „ 15
„ $O_3$	$\frac{12,5}{45} 121 = 33,6$	39 „ 33
„ $O_4$	$\frac{17,5}{45} 114 = 44,3$	48 „ 42
„ $O_5$	$\frac{22,5}{45} 115 = 55,7$	60 „ 55.

Hiernach sind bis auf  $O_1$  alle berechneten Grenzwerte genau.

Da  $O_1$  nach dem Passiren von  $v = 2,5$  durch Rad  $O$  wegen

$$dM_s = (10 - 6,9) da$$

mit dem Weiterrücken des Lastsystems noch wächst, so lassen wir das nächste Rad über  $v$  gelangen, womit

$$\frac{u}{l} \sum_0^l P = \frac{2,5}{45} 121 = 6,7, \quad \sum_0^v P = 10 \text{ bis } 4$$

werden und also die Maximalbedingung erfüllt ist. Für die gefundene Laststellung haben wir

$$\begin{aligned} \sum_v^l P(l-a) &= 6(41,2 + 39,9 + 35,9 + 34,6 + 33,3 + 24,9 + 23,6 \\ &\quad + 22,3 + 13,9 + 12,6 + 11,3 + 2,9 + 1,6 + 0,3) \\ &\quad + 4(32,1 + 21,1 + 10,1) + 5(29,1 + 18,1 + 7,1) = 2314 \text{ mtn}, \\ \sum_0^v Pa &= 6 \cdot 2,5 + 4 \cdot 1,3 = 20,2, \end{aligned}$$

das von der Verkehrslast herrührende Moment wird

$$M_s = \frac{1}{45} (42,5 \cdot 20,2 + 2,5 \cdot 2314) = 148 \text{ mtn}$$

und der genaue Grenzwert von  $O_1$

$$O_1 = -10,81 - \frac{148}{4,34} = -44,91 \text{ tn}.$$

Untere Gurtung. Wegen  $v-c=2(u-c)$  nimmt 2) die Form an

$$(6) \quad \sum_0^c P + \frac{1}{2} \sum_c^v P = \frac{u}{l} \sum_0^l P.$$

Wenn Zug I entsprechend den Annahmen in Beispiel 27 (erste Zugrichtung für  $U_1$ , zweite für  $U_2, U_3, U_4$ ) von 0 nach  $l$  fahrend mit Rad  $O$  den Punkt  $v$  überschreitet, so hat man

$$\begin{array}{lll} \text{für } U_1 & \frac{u}{l} \sum_0^l P = \frac{5}{45} 108 = 12 & \sum_0^c P + \frac{1}{2} \sum_c^v P = 13 \text{ bis } 10 \\ \text{„ } U_2 & \frac{10}{45} 114 = 25,3 & 30 \text{ „ } 30 \\ \text{„ } U_3 & \frac{15}{45} 109 = 36,3 & 42 \text{ „ } 36 \\ \text{„ } U_4 & \frac{20}{45} 115 = 51,1 & 54 \text{ „ } 48. \end{array}$$

Es ist also nur für  $U_2$  die Maximalbedingung nicht erfüllt.

Für  $U_2$  hat man, nachdem Rad  $O$  über  $v = 12,5$  hinaus ist,

$$dM_s = (30 - 25,3) da,$$

sodass  $M_s$  mit dem Verschieben noch wächst. Beim Ueberschreiten des Punkts  $v$  durch das nächste Rad dagegen ist wegen

$$\frac{u}{l} \sum_0^l P = \frac{10}{45} 108 = 24, \quad \sum_0^c P + \frac{1}{2} \sum_c^v P = 27 \text{ bis } 24$$

die Maximalbedingung erfüllt. Wir erhalten bei der gefundenen Stellung wie im Belastungsfall für  $S_3$ ,  $T_2$  des Beispiels 27

$$\sum_v^l P(l-a) = 1524$$

und weiter

$$\sum_0^c Pa = 6(7,2 + 5,9) + 4 \cdot 4,7 + 5 \cdot 1,7 = 106,$$

$$\sum_c^v P(a-s) = 6(8,5 + 13,5) = 132,$$

$$M_s = \frac{35}{45} 106 + \frac{2,5 \cdot 7,5}{5 \cdot 13,5} 132 + \frac{10}{45} 1524 = 458,$$

$$U_2 = 28,69 + \frac{458}{5,4} = 113,50 \text{ tn.}$$

**Füllungsglieder. Erster Grenzwert.** Bei den in Beispiel 27 zur Berechnung der ersten Grenzbeanspruchungen der Füllungsglieder gewählten Belastungen durch Zug II von  $v$  bis  $l$  mit Vorderrad  $O$  bei  $v$  ergeben sich

$$\text{für } S_1 \frac{u}{l} \sum_0^l P = -\frac{25}{45} 108 = -60, \quad \sum_0^c P + \frac{u-c}{v-c} \sum_c^v P = 0 \text{ bis } -60,$$

$$,, S_2 \quad -\frac{35}{45} 103 = -80,1 \quad 0 \text{ „ } -45$$

$$,, S_3 \quad -\frac{57,5}{45} 81 = -104 \quad 0 \text{ „ } -78$$

$$,, S_4 \quad -\frac{130}{45} 76 = -220 \quad 0 \text{ „ } -171$$

$$,, S_5 \quad -\frac{\infty}{45} 60 = -1,3\infty \quad 0 \text{ „ } -1,2\infty$$

$$,, T_0 \quad -\frac{10}{45} 108 = -24 \quad 0 \text{ „ } -24$$

$$,, T_1 \quad -\frac{25}{45} 103 = -57,2 \quad 0 \text{ „ } -33$$

$$\begin{aligned}
 \text{für } T_2 \quad \frac{u}{l} \sum_0^l P &= -\frac{35}{45} 81 = -63,0, \quad \sum_0^c P + \frac{u-c}{v-c} \sum_c^v P = 0 \quad „ -51 \\
 „ \quad T_3 \quad &-\frac{57,5}{45} 76 = -97,1 \quad \quad \quad 0 \quad „ -84 \\
 „ \quad T_4 \quad &-\frac{130}{45} 60 = -173 \quad \quad \quad 0 \quad „ -177.
 \end{aligned}$$

Die Maximalbedingung ist nur für  $S_1, T_0$  erfüllt. Da nun das Aggregat rechts mit dem Ueberschreiten (in der Richtung auf 0) des Punktes  $v$  durch das zweite Rad auf das doppelte wächst, ohne dass sich der Werth des ersten Ausdrucks bedeutend ändert, so lässt sich annehmen, dass die genauen Grenzwerte der  $S, T$  in jenem Falle eintreten. Thatsächlich erhalten wir dann auch bei fraglichen Laststellungen

	$\frac{u}{l} \sum_0^l P$	$\sum_0^c P + \frac{u-c}{v-c} \sum_c^v P$
für $S_1$	$-\frac{25}{45} 108 = -60,$	$-60 \quad \text{bis} \quad -120$
„ $S_2$	$-\frac{35}{45} 103 = -80,1$	$-45 \quad „ \quad -90$
„ $S_3$	$-\frac{57,5}{45} 87 = -111$	$-78 \quad „ \quad -156$
„ $S_4$	$-\frac{130}{45} 77 = -220$	$-171 \quad „ \quad -342$
„ $S_5$	$-\frac{\infty}{45} 66 = -1,5\infty$	$-1,2\infty \quad „ \quad -2,4\infty$
„ $T_0$	$-\frac{10}{45} 108 = -24$	$-24 \quad „ \quad -48$
„ $T_1$	$-\frac{25}{45} 103 = -57,2$	$-33 \quad „ \quad -66$
„ $T_2$	$-\frac{35}{45} 87 = -67,7$	$-51 \quad „ \quad -102$
„ $T_3$	$-\frac{57,5}{45} 76 = -97,1$	$-84 \quad „ \quad -168$
„ $T_4$	$-\frac{130}{45} 66 = -191$	$-177 \quad „ \quad -354,$

sodass Bedingung 2) immer erfüllt ist. Da weiter, wie schon in Beispiel 27 berechnet wurde, für Zug II, zweites Rad bei  $v$ , das heisst auch für Zug I, zweite Zugrichtung, Rad  $O$  bei  $v$ ,

$$\begin{array}{rcccc}
 \text{im Falle } v = & 7,5 & 12,5 & 17,5 & 22,5 \\
 \sum_v^l P(l-a) = & 1890 & 1431 & 1051 & 714,
 \end{array}$$

so finden sich nach 1) und den in der Tabelle des Beispiels 26 zusammengestellten Formeln die Grenzmomente und Grenzbeanspruchungen der Füllungsglieder s:

$$M_s = - \frac{42,5 \cdot 2,5}{5 \cdot 3,16} 6 \cdot 3,04 - \frac{35}{45} 1890 = - 1593 \text{ mtn}$$

$$M_s = - \frac{70 \cdot 7,5}{5 \cdot 8,72} 6 \cdot 2,48 - \frac{57,5}{45} 1431 = - 2008$$

$$M_s = - \frac{147,5 \cdot 12,5}{5 \cdot 14,39} 6 \cdot 1,81 - \frac{130}{45} 1051 = - 3317$$

$$M_s = - \frac{\infty \cdot 17,5}{5 \cdot 19,69} 6 \cdot 1,51 - \frac{\infty}{45} 714 = - 17,48 \infty,$$

$$S_2 = 13,58 + \frac{1593}{37,7} = 55,83 \text{ tn}$$

$$S_3 = 7,09 + \frac{2008}{63,5} = 38,71$$

$$S_4 = 4,96 + \frac{3317}{135} = 29,53$$

$$S_5 = 1,62 + \frac{17,48 \cdot \infty}{0,92 \cdot \infty} = 20,62,$$

und diejenigen der Füllungsglieder t:

$$M_t = - \frac{32,5 \cdot 2,5}{5 \cdot 3,24} 6 \cdot 2,96 - \frac{25}{45} 1890 = - 1139 \text{ mtn}$$

$$M_t = - \frac{47,5 \cdot 7,5}{5 \cdot 9,17} 6 \cdot 2,03 - \frac{35}{45} 1431 = - 1208$$

$$M_t = - \frac{75 \cdot 12,5}{5 \cdot 14,38} 6 \cdot 1,82 - \frac{57,5}{45} 1051 = - 1485$$

$$M_t = - \frac{152,5 \cdot 17,5}{5 \cdot 20,06} 6 \cdot 1,14 - \frac{130}{45} 714 = - 2275,$$

$$T_1 = - 16,68 - \frac{1139}{24,4} = - 63,36 \text{ tn}$$

$$T_2 = - 9,95 - \frac{1208}{38,6} = - 41,25$$

$$T_3 = - 5,34 - \frac{1485}{64,2} = - 28,47$$

$$T_4 = - 1,67 - \frac{2275}{136} = - 18,40.$$

Da für  $S_1$ ,  $T_0$  bei der jetzt angenommenen Laststellung die Maximalbedingung erfüllt bleibt, ohne dass gegenüber der in Beispiel 27 gewählten eine Aenderung des Lastsystems auf dem Träger eintritt, so müssen sich in beiden Fällen genau dieselben Werthe von  $S_1$ ,  $T_0$  ergeben, was die Berechnung bestätigt.



Für  $S_1$  haben wir in Beispiel 27 bei Belastung durch Zug I mit Rad  $O$  bei  $v = 2,5$ , erste Zugrichtung, einen ungünstigeren Grenzwert als mit Zug II erhalten. Der fraglichen Belastung entsprechen

$$\frac{u}{l} \sum_0^i P = - \frac{25}{45} 125 = - 69,$$

$$\sum_0^c P + \frac{u-c}{v-c} \sum_c^v P = - 160 \text{ bis } - 100,$$

sodass die Maximalbedingung nicht erfüllt ist. Da nach dem Ueberschreiten von Punkt  $v$  durch Rad  $O$  in der Fahrrichtung von 0 nach  $l$

$$dM_s = - (100 - 69) da$$

einen negativen Werth hat, so nimmt das negative  $M_s$  weiter zu. Beim Ueberschreiten des Punktes  $v$  durch das nächste Rad dagegen ist mit

$$\frac{u}{l} \sum_0^i P = - \frac{25}{45} 121 = - 67,$$

$$\sum_0^c P + \frac{u-c}{v-c} \sum_c^v P = - 100 \text{ bis } - 40$$

die Maximalbedingung erfüllt, wir erhalten, wie schon für  $O_1$  berechnet,

$$\sum_0^i P(l-a) = 2314, \quad \sum_0^i Pa = 20,2$$

und also das Grenzmoment und den wirklichen oberen Grenzwert von  $S_1$

$$M_s = - \left( \frac{25}{2,5} - \frac{25}{45} \right) 20,2 - \frac{25}{45} 2314 = 1476 \text{ mtn},$$

$$S_1 = 20,14 + \frac{1476}{23,8} = 83,48 \text{ tn}.$$

Auch für  $T_0$  konnten wir in Beispiel 27 mit Zug I einen grösseren oberen Grenzwert erreichen als mit Zug II. Bei der betreffenden Laststellung, welche mit der soeben für  $S_1$  verwendeten übereinstimmt, ist die durch A. 19, 14) gegebene Maximalbedingung

$$\sum_0^v P = \frac{v}{l} \sum_0^i P$$

wegen

$$\frac{v}{l} \sum_0^i P = \frac{2,5}{45} 125 = 6,9, \quad \sum_0^v P = 16 \text{ bis } 10$$

nicht erfüllt. Die Erfüllung tritt jedoch ein, wenn der Zug in der Fahrrihtung von 0 nach  $l$  mit dem nächsten Rade bei  $v = 2,5$  anlangt. Wir erhalten dann

$$\frac{v}{l} \sum_0^l P = \frac{2,5}{45} 121 = 6,7, \quad \sum_0^v P = 10 \text{ bis } 4$$

und mit den oben für  $S_1$  benutzten Summenwerthen nach A. 19, 11)

$$\begin{aligned} T_0 &= T_0 - \frac{l-v}{lv} \sum_0^v Pa - \frac{v}{l} \sum_0^l P(l-a) \\ &= -19,5 - \frac{42,5 \cdot 20,2}{45 \cdot 2,5} - \frac{2314}{45} = -78,55 \text{ tn.} \end{aligned}$$

**Füllungsglieder. Zweiter Grenzwert.** Bei der in Beispiel 27 zur Berechnung der zweiten Grenzbeanspruchung der Füllungsglieder gewählten Belastung durch Zug II von 0 bis  $c$ , Vorderrad  $O$  bei  $c$ , finden sich ( $S_1$  und  $T_0$  könnten unberücksichtigt bleiben, da ihre zweiten Grenzwerte für Eigengewicht allein eintreten)

$$\begin{aligned} \text{für } S_1 \quad \frac{u}{l} \sum_0^l P &= -\frac{25}{45} 0 = 0, \quad \sum_0^c P + \frac{u-c}{v-c} \sum_c^v P = 0 \text{ bis } 0 \\ \text{„ } S_2 \quad &-\frac{35}{45} 12 = -9,3 \quad 12 \text{ „ } -39 \\ \text{„ } S_3 \quad &-\frac{57,5}{45} 27 = -34,5 \quad 27 \text{ „ } -57 \\ \text{„ } S_4 \quad &-\frac{130}{45} 39 = -113 \quad 39 \text{ „ } -138 \\ \text{„ } S_5 \quad &-\frac{\infty}{45} 49 = -1,1\infty \quad 49 \text{ „ } -1,2\infty \\ \text{„ } T_0 \quad &-\frac{10}{45} 0 = 0 \quad 0 \text{ „ } 0 \\ \text{„ } T_1 \quad &-\frac{25}{45} 12 = -6,6 \quad 12 \text{ „ } -27 \\ \text{„ } T_2 \quad &-\frac{35}{45} 27 = -21,0 \quad 27 \text{ „ } -30 \\ \text{„ } T_3 \quad &-\frac{57,5}{45} 39 = -49,8 \quad 39 \text{ „ } -51 \\ \text{„ } T_4 \quad &-\frac{130}{45} 49 = -142 \quad 49 \text{ „ } -134. \end{aligned}$$

Es trifft also nur für  $T_4$  die Maximalbedingung nicht zu.

Bringen wir zur Berechnung des genauen Grenzwerts von  $T_4$  das zweite Rad über  $c = 17,5$ , so wird mit

$$\frac{u}{l} \sum_0^l P = -\frac{130}{45} 54 = -156,$$

$$\sum_0^c P + \frac{u-c}{v-c} \sum_c^v P = -129 \text{ bis } -312$$

die Bedingung 2) erfüllt und es ergeben sich zur Berechnung nach 1) und der Tabelle in Beispiel 26

$$\sum_0^c Pa = 6(17,5+16,2+7,8+6,5+5,2)+4(15+4)+5(12+1)=460,$$

$$M_s = \frac{175}{45} 460 + \frac{152,5 \cdot 17,5}{5 \cdot 20,06} 6 \cdot 1,26 = 1990 \text{ mtn},$$

sodass der gesuchte Grenzwert

$$T_4 = -1,67 - \frac{1990}{136} = 12,96 \text{ tn}.$$

Damit sind sämtliche Grenzbeanspruchungen bestimmt. Dieselben wurden am Schlusse des vorigen Beispiels mit den dort erhaltenen zusammengestellt.

#### Beispiel 29. Lastäquivalente bei beliebigen Systemen.

Für das in Beispiel 26 behandelte Balkenfachwerk sind diejenigen gleichmässig vertheilten Lasten  $p$  zu ermitteln, welche gleiche Grenzwerte der Stabkräfte und Stützenreactionen wie die Radlastzüge in Beispiel 27 ergeben.

**Gurtungsglieder.** Der Drehpunkt  $u$  liegt innerhalb  $l$ . Nach § 26, 1) hat man, wenn  $m_s$  den von den Radlastzügen allein herführenden Theil des oberen Grenzmoments  $M_s$  bezeichnet,

$$(1) \quad p = \frac{2m_s}{u(l-c-v) + cv}.$$

Es folgen daraus mit den in Beispiel 27 berechneten  $m_s$  nachstehende Lastäquivalente in Tonnen:

für $O_1$	$p = \frac{2 \cdot 143}{2,5 \cdot 42,5 + 0 \cdot 2,5} = 2,69$
„ $O_2$	$\frac{2 \cdot 379}{7,5 \cdot 35 + 2,5 \cdot 7,5} = 2,69$
„ $O_3$	$\frac{2 \cdot 535}{12,5 \cdot 25 + 7,5 \cdot 12,5} = 2,63$
„ $O_4$	$\frac{2 \cdot 637}{17,5 \cdot 15 + 12,5 \cdot 17,5} = 2,65$
„ $O_5$	$\frac{2 \cdot 666}{22,5 \cdot 5 + 17,5 \cdot 22,5} = 2,63$

$$\begin{aligned}
 \text{für } U_1 \quad p &= \frac{2 \cdot 260}{5 \cdot 35 + 2,5 \cdot 7,5} = 2,68 \\
 \text{„ } U_2 \quad &\frac{2 \cdot 454}{10 \cdot 25 + 7,5 \cdot 12,5} = 2,64 \\
 \text{„ } U_3 \quad &\frac{2 \cdot 582}{15 \cdot 15 + 12,5 \cdot 17,5} = 2,62 \\
 \text{„ } U_4 \quad &\frac{2 \cdot 649}{20 \cdot 5 + 17,5 \cdot 22,5} = 2,63.
 \end{aligned}$$

Hiernach ist die übliche Wahl eines constanten  $p$  vom selben Werthe wie für die Momente  $M_x$  eines vollwandigen Trägers gleicher Spannweite (2,63 tn nach der Tabelle in Beispiel 8) gerechtfertigt. Man kann etwas nach oben abrunden.

**Füllungsglieder.** Der Drehpunkt  $u$  liegt ausserhalb  $l$ . Nach § 26, 3) 5) hat man für die beiden Grenzbeanspruchungen

$$(2) \quad p = \frac{2s_v}{(l-v)(l-z)}, \quad p = \frac{2r_c}{cz},$$

worin mit Zug II von  $v$  bis  $l$ , Vorderrad  $O$  bei  $v$ ,

$$(3) \quad s_v = \sum_v^l P(l-a)$$

und mit Zug II von  $0$  bis  $c$ , Vorderrad  $O$  bei  $c$ ,

$$(4) \quad r_c = \sum_0^c Pa.$$

Die  $s_v$ ,  $r_c$  wurden in Beispiel 27 berechnet. Wir erhalten damit in Tonnen:

$$\begin{array}{ll}
 \text{für } S_1 \quad p = \frac{2 \cdot 2518}{42,5 \cdot 45} = 2,63, & p = \frac{2 \cdot 0}{0 \cdot 0} = \infty \\
 \text{„ } S_2 \quad & \frac{2 \cdot 1989}{37,5 \cdot 41,84} = 2,53 \quad \frac{2 \cdot 22,2}{2,5 \cdot 3,16} = 5,61 \\
 \text{„ } S_3 \quad & \frac{2 \cdot 1524}{32,5 \cdot 36,24} = 2,59 \quad \frac{2 \cdot 130}{7,5 \cdot 8,72} = 3,96 \\
 \text{„ } S_4 \quad & \frac{2 \cdot 1125}{27,5 \cdot 30,61} = 2,67 \quad \frac{2 \cdot 275}{12,5 \cdot 14,39} = 3,06 \\
 \text{„ } S_5 \quad & \frac{2 \cdot 776}{22,5 \cdot 25,31} = 2,63 \quad \frac{2 \cdot 504}{17,5 \cdot 19,69} = 2,93 \\
 \text{„ } T_0 \quad & \frac{2 \cdot 2518}{42,5 \cdot 45} = 2,63 \quad \frac{2 \cdot 0}{0 \cdot 0} = \infty \\
 \text{„ } T_1 \quad & \frac{2 \cdot 1989}{37,5 \cdot 41,76} = 2,54 \quad \frac{2 \cdot 22,2}{2,5 \cdot 3,24} = 5,48 \\
 \text{„ } T_2 \quad & \frac{2 \cdot 1524}{32,5 \cdot 35,83} = 2,61 \quad \frac{2 \cdot 130}{7,5 \cdot 9,17} = 3,78
 \end{array}$$

$$\begin{aligned} \text{für } T_3 \quad p &= \frac{2 \cdot 1125}{27,5 \cdot 30,62} = 2,67, & p &= \frac{2 \cdot 275}{12,5 \cdot 14,38} = 3,06 \\ \text{„ } T_4 \quad & \frac{2 \cdot 776}{22,5 \cdot 24,94} = 2,77 & & \frac{2 \cdot 504}{17,5 \cdot 20,06} = 2,87. \end{aligned}$$

Für die in Beispiel 27 mit Zug I berechneten oberen Grenzwerte von  $S_1$  und  $T_0$  würden § 26 zufolge die Lastäquivalente nach 1) sein:

$$p = \frac{2 \cdot 1435}{25 \cdot 42,5 + 0 \cdot 2,5} = 2,70 \text{ tn},$$

$$p = \frac{2 \cdot 574}{10 \cdot 42,5 + 0 \cdot 2,5} = 2,70 \text{ tn}.$$

Das Lastäquivalent für den oberen Grenzwert der Stützenreaction ist bestimmt durch den ersten Ausdruck 2) mit  $v = z = 0$

$$p = \frac{2s_0}{l^2} = \frac{2 \cdot 2794}{45^2} = 2,76 \text{ tn}.$$

#### Aufgabe 29. Lastäquivalente bei beliebigen Systemen.

Die in § 26 gegebenen Beziehungen so umzuformen, dass die Berechnung der Grenzwerte von  $M$ ,  $V$  mit Rücksicht auf die Lastäquivalente direct befahrener vollwandiger Träger erfolgen kann.

a) Drehpunkt  $u$  ausserhalb  $l$  (Gewöhnlicher Fall bei Berechnung von Füllungsgliedern). Liegt der Drehpunkt für  $M$ , ausserhalb der Spannweite, so haben wir den ersten Grenzwert dieses Moments

$$M = M_1 + \frac{u}{2l} (l - z) (l - v) p$$

und das Lastäquivalent

$$p = \frac{2s_0}{(l - z) (l - v)},$$

worin mit Zug II von  $v$  bis  $l$ , Vorderrad  $O$  bei  $v$ ,

$$s_0 = \sum_v^l P(l - a).$$

Nach A. 11, 9) 11) hat man, wenn  $p_0$  das Lastäquivalent zur Berechnung des pos max  $V_x$  im Querschnitte  $x = v$  eines durch den angenommenen Lastzug II direct befahrenen vollwandigen Trägers der Spannweite  $l$  bedeutet,

$$p_0 = \frac{2s_0}{(l - v)^2}.$$

Damit folgt im vorliegenden Falle zur Berechnung des ersten Grenzwerts

$$(1) \quad p = \frac{l-v}{l-z} p_0$$

und als Ausdruck dieses Grenzwerts selbst

$$(2) \quad M_s = \mathfrak{M}_s + \frac{u}{2l} (l-v)^2 p_0.$$

Für den zweiten Grenzwert von  $M_s$  fanden wir

$$M_s = \mathfrak{M}_s + \frac{l-u}{2l} czp$$

und das Lastäquivalent

$$p = \frac{2r_c}{cz},$$

worin mit Zug II von 0 bis  $c$ , Vorderrad 0 bei  $c$ ,

$$r_c = \sum_0^c Pa.$$

Nach A. 11, 10) 12) hat man, wenn  $p_c$  das Lastäquivalent zur Berechnung des neg  $\max V_x$  im Querschnitte  $x = c$  eines durch den angenommenen Lastzug II direct befahrenen vollwandigen Trägers der Spannweite  $l$  bezeichnet,

$$p_c = \frac{2r_c}{c^2}.$$

Damit folgt im vorliegenden Falle zur Berechnung des zweiten Grenzwerts

$$(3) \quad p = \frac{c}{z} p_c$$

und als Ausdruck dieses Grenzwerts selbst

$$(4) \quad M_s = \mathfrak{M}_s + \frac{l-u}{2l} c^2 p_c.$$

Nach § 26 haben wir zur Berechnung des oberen Grenzwerts der Stützenreaction  $V$

$$(5) \quad p = p_0 \quad \text{mit} \quad v = 0,$$

sodass dieser Grenzwert selbst wird

$$(6) \quad V = \mathfrak{B} + \frac{p_0 l}{2}.$$

Der untere Grenzwert  $\mathfrak{B}$  tritt für die feste Last allein ein.

Wollte man für  $u$  ausserhalb  $l$  aber  $z$  gleich 0 oder  $l$  (das heisst auch  $c = 0$  oder  $v = l$ ) im Falle bewegter Radlastzüge den oberen Grenzwert von  $M_s$  (der untere tritt für Eigengewicht allein ein) entsprechend der Bemerkung am Schlusse des § 25 mit Zug I an-

statt mit Zug II berechnen, so würde bei Berechnung mit Lastäquivalenten die Formel § 24, 3) für gleichmässig vertheilte bewegte Last mit dem unter b) angeführten Lastäquivalente zu verwenden sein. Wie bei Berechnung mit Radlastzügen, so kann man natürlich auch bei Berechnung mit Lastäquivalenten beide Grenzwerte probe-weise ermitteln und hat dann den numerisch grössten zu wählen.

b) Drehpunkt  $u$  innerhalb  $l$  (Gewöhnlicher Fall bei Berechnung von Gurtungsstäben). Liegt der Drehpunkt für  $M$ , innerhalb der Spannweite, so tritt der untere Grenzwert des Moments für die feste Last allein ein. Bezüglich des oberen Grenzwerts fassen wir zunächst den allein wichtigen Fall ins Auge, dass  $u$  zwischen  $c$  und  $v$  liegt. Nach § 26, 1) 2) hat man für  $u = c$  wegen  $z = 0$

$$(7) \quad p = \frac{2m_s}{v(l-v)} \quad \text{mit} \quad m_s = \frac{l-v}{l} \sum_0^v Pa + \frac{v}{l} \sum_v^l P(l-a)$$

und für  $u = v$  wegen  $z = l$

$$(8) \quad p = \frac{2m_s}{c(l-c)} \quad \text{mit} \quad m_s = \frac{l-c}{l} \sum_0^c Pa + \frac{c}{l} \sum_c^l P(l-a).$$

Da nun nach A. 11, 7) 8) für die  $\max M_x$  eines durch den Lastzug I direct befahrenen vollwandigen Trägers der Spannweite  $l$

$$(9) \quad p = \frac{2m_x}{x(l-x)} \quad \text{mit} \quad m_x = \frac{l-x}{l} \sum_0^x Pa + \frac{x}{l} \sum_x^l P(l-a),$$

so gilt im Falle 7) dasselbe  $p$  wie nach 9) bei  $x = v$  und im Falle 8) dasselbe  $p$  wie nach 9) bei  $x = c$ , das heisst wir können den oberen Grenzwert von  $M$ , mit demjenigen  $p$  berechnen, welches für einen durch den angenommenen Zug I direct befahrenen vollwandigen Träger der Spannweite  $l$  dem  $\max M_x$  bei der Trägermitte entspricht. Wenn dies zunächst nur für  $u = c$  und  $u = v$  festgestellt wurde, so gilt es doch auch mit genügender Genauigkeit, wenn  $u$  zwischen  $c$  und  $v$  oder sonst nahe diesen Punkten liegt (Beispiele 29, 30, 32). Man kann etwas nach oben abrunden. Einen weiter vorkommenden Fall wollen wir im Folgenden betrachten.

c) Drehpunkt  $u$  an der Grenze von  $l$  (Füllungsglieder von Dreiecks-trägern, gewissen Trapezträgern u. s. w.). Liegt der Drehpunkt von  $M$ , gerade an der Grenze der Spannweite, so tritt der untere Grenzwert des Moments wie im Falle b) für die feste Last allein ein. Der obere Grenzwert könnte je nach den anzunehmenden Last-

systemen und den Werthen von  $c$ ,  $v$ ,  $l$  mit Zug I oder Zug II entstehen. Der Berechnung mit Zug II entsprechen die Lastäquivalente und Grenzwerte unter a). Gewöhnlich liefert jedoch Zug I ungünstigere  $M$ , und es haben dann diesem auch die Lastäquivalente zu entsprechen. Wir erhalten nun nach § 26, 1) 2) für  $u = 0$  wegen  $s = v$

$$(10) \quad p = \frac{2}{v} \left[ \frac{1}{c} \sum_0^c Pa + \frac{1}{v-c} \sum_c^v P(v-a) \right].$$

Da nach 9) für einen durch den angenommenen Lastzug I direct befahrenen vollwandigen Träger der Spannweite  $l$

$$(11) \quad p = \frac{2}{l} \left[ \frac{1}{x} \sum_0^x Pa + \frac{1}{l-x} \sum_x^l P(l-a) \right],$$

so gilt im Falle 10) dasselbe  $p$  wie nach 11) für  $l = v$ ,  $x = c$ , das heisst wir können im Falle  $u = 0$  den oberen Grenzwert von  $M$ , mit demjenigen  $p$  berechnen, welches für einen durch den angenommenen Lastzug I direct befahrenen vollwandigen Träger der Spannweite  $v$  dem  $\max M_x$  bei der Trägermitte entspricht.

Für  $u = l$  ergibt sich in ganz analoger Weise wie vorstehend, dass der obere Grenzwert von  $M$ , mit demjenigen  $p$  zu berechnen ist, welches bei einem durch den angenommenen Lastzug I direct befahrenen vollwandigen Träger der Spannweite  $l - c$  dem  $\max M_x$  bei der Trägermitte entspricht. Doch ist hiervon der symmetrischen Anordnung fast aller Träger wegen kaum jemals Gebrauch zu machen.

**Bemerkungen.** Wir hätten die Grenzwerte 2) 4) noch schneller ohne Rücksicht auf die Beziehungen des § 26 ableiten können. Liegt der Drehpunkt  $u$  ausserhalb der Spannweite  $l$ , so hat man nach § 25 bei Belastung durch Zug II von  $v$  bis  $l$ , Vorderrad  $O$  bei  $v$ ,

$$M_s = \mathfrak{M}_s + \frac{u}{l} \sum_v^l P(l-a) = \mathfrak{M}_s + \frac{u}{l} s_v$$

und bei Belastung durch Zug II von  $0$  bis  $c$ , Vorderrad  $O$  bei  $c$ ,

$$M_s = \mathfrak{M}_s + \frac{l-u}{l} \sum_0^c Pa = \mathfrak{M}_s + \frac{l-u}{l} r_c.$$

Da nun nach A. 11, 9)–12)

$$2s_v = p_v(l-v)^2, \quad 2r_c = p_c c^2,$$

so gehen vorstehende Ausdrücke für  $M$ , sofort in 2) 4) über. Die zuerst gegebene Ableitung lässt den Zusammenhang mit den Gleichungen des § 24 besser erkennen. Zu beachten ist, dass die Formeln



unter a) ihrer Entstehung gemäss nicht nur näherungsweise sondern genau zu denselben Werthen führen müssen wie die directe Berechnung mit Lastzug II.

Die Zahlenwerthe von  $p$ , welche den obigen Resultaten zufolge dann anzuwenden sind, wenn die Züge I und II nach den Andeutungen Fig. 23 und 22 zusammengestellt werden, lassen sich aus den Tabellen des Beispiels 8 entnehmen. Wir empfehlen übrigens wiederholt und trotz vorstehender Ermittlungen, mit den wirklichen Lasten zu rechnen, was besonders in allen denjenigen Fällen geschehen sollte, für welche zuverlässige Lastäquivalente nicht bekannt sind.

Weitere Formeln und Regeln zur Berechnung mit Lastäquivalenten enthalten die Aufgaben 11, 29, 32, 34, 35, 36, 37, 48, über Anwendungen siehe die Beispiele 9, 11, 30, 32, 37, 43, 48, 53, 56, 61, 64, 67, 70, 71, 72, 73, 74, 111, 114, 117, 121, 124, 127, 130.

**Beispiel 30. Berechnung beliebiger Systeme mit Lastäquivalenten.**

Die Brückenträger des Beispiels 26 auf Grund gleichmässig vertheilter Lasten so zu berechnen, dass dieselben Grenzbeanspruchungen der Füllungsglieder und annähernd dieselben Grenzbeanspruchungen der Gurtungen wie für die bewegten Radlastzüge des Beispiels 27 entstehen.

Abgesehen von der Berechnung der Grenzwerte bleibt alles in Beispiel 26 Gegebene gültig. Da für die Gurtungsglieder der Drehpunkt  $u$  innerhalb  $l$  liegt, so kann die Berechnung ihrer oberen Grenzbeanspruchungen ganz wie in Beispiel 26 mit constantem  $p$  erfolgen und zwar wäre wie für die  $\max M_x$  eines durch den angenommenen Zug I direct befahrenen vollwandigen Trägers der Spannweite 45 m zu setzen  $p = 2,63 \text{ tn}$  (Beispiel 8). Wird nach oben abgerundet 2,7 gewählt, so bleiben sämmtliche in Beispiel 26 berechnete Gurtungskräfte ungeändert.

Für die Füllungsglieder liegt der Drehpunkt  $u$  ausserhalb  $l$ , sodass sich nach A. 25, 2) 4) die Grenzmomente ausdrücken

$$(1) \quad M_v = M_l + \frac{u}{2l} (p - v)^2 p_v, \quad M_c = M_l + \frac{l-u}{2l} c^2 p_c,$$

unter  $p_v, p_c$  diejenigen Lastäquivalente verstanden, welche für einen durch den angenommenen Zug II direct befahrenen vollwandigen Träger der Spannweite 45 m dem  $\max V_x$  bei  $x = v$ , bzw. dem  $\max V_x$  bei  $x = c$  entsprechen. Dieselben sind der Tabelle des

Beispiels 8 zu entnehmen. Wir erhalten, im Uebrigen ganz wie in Beispiel 26 vorgehend, folgende Grenzbeanspruchungen der Füllungs-  
glieder in Tonnen:

$$S_1 = 20,14 + \frac{25 \cdot 42,5^2}{90 \cdot 23,3} 2,79 = 80,22$$

$$S_2 = 13,58 + \frac{35 \cdot 37,5^2}{90 \cdot 37,7} 2,83 = 54,63$$

$$S_3 = 7,09 + \frac{57,5 \cdot 32,5^2}{90 \cdot 63,5} 2,88 = 37,70$$

$$S_4 = 4,96 + \frac{130 \cdot 27,5^2}{90 \cdot 135} 2,98 = 29,07$$

$$S_5 = 1,62 + \frac{\infty \cdot 22,5^2}{90 \cdot 0,92 \infty} 3,07 = 20,39,$$

$$S_1 = 20,14 - \frac{70 \cdot 0^2}{90 \cdot 23,3} \infty = 20,14$$

$$S_2 = 13,58 - \frac{80 \cdot 2,5^2}{90 \cdot 37,7} 7,45 = 12,48$$

$$S_3 = 7,09 - \frac{102,5 \cdot 7,5^2}{90 \cdot 63,5} 4,62 = 2,43$$

$$S_4 = 4,96 - \frac{175 \cdot 12,5^2}{90 \cdot 135} 3,52 = - 2,96$$

$$S_5 = 1,62 - \frac{\infty \cdot 17,5^2}{90 \cdot 0,92 \infty} 3,29 = - 10,55;$$

$$T_0 = - 19,50 - \frac{10 \cdot 42,5^2}{90 \cdot 10} 2,79 = - 75,49$$

$$T_1 = - 16,68 - \frac{25 \cdot 37,5^2}{90 \cdot 24,4} 2,83 = - 61,99$$

$$T_2 = - 9,95 - \frac{35 \cdot 32,5^2}{90 \cdot 38,6} 2,88 = - 40,60$$

$$T_3 = - 5,34 - \frac{57,5 \cdot 27,5^2}{90 \cdot 64,2} 2,98 = - 27,77$$

$$T_4 = - 1,67 - \frac{130 \cdot 22,5^2}{90 \cdot 136} 3,07 = - 18,18,$$

$$T_0 = - 19,50 + \frac{55 \cdot 0^2}{90 \cdot 10} \infty = - 19,50$$

$$T_1 = - 16,68 + \frac{70 \cdot 2,5^2}{90 \cdot 24,4} 7,45 = - 15,20$$

$$T_2 = - 9,95 + \frac{80 \cdot 7,5^2}{90 \cdot 38,6} 4,62 = - 3,97$$

$$T_3 = - 5,34 + \frac{102,5 \cdot 12,5^2}{90 \cdot 64,2} 3,52 = 4,42$$

$$T_4 = - 1,67 + \frac{175 \cdot 17,5^2}{90 \cdot 136} 3,29 = 12,74.$$

Der obere Grenzwert der Stützenreactionen ergibt sich nach A. 29, 6) mit  $p_s = 2,76$

$$V = \mathfrak{B} + \frac{p_s l}{2} = 20,25 + \frac{2,76 \cdot 45}{2} = 82,35 \text{ tn.}$$

Die gefundenen Werthe stimmen, soweit nicht kleine Differenzen durch vernachlässigte Decimalstellen und die Interpolation der  $p$  bedingt sind, vollständig mit den in Beispiel 27 mit Zug II erhaltenen überein. Da für  $S_1, T_0$  wegen  $c = 0$  auch  $z = 0$  ist, so sind jedoch dem am Schlusse von A. 29, a) Gesagten zufolge mit

$$(2) \quad M_s = (l - v) \frac{u p}{2}$$

und dem für die Gurtungskräfte verwendeten  $p = 2,7 \text{ tn}$  noch etwas ungünstigere obere Grenzwerte als oben berechnet zu erwarten, und in der That erhält man

$$S_1 = 20,14 + \frac{42,5 \cdot 25}{23,3 \cdot 2} 2,7 = 81,70 \text{ tn,}$$

$$T_0 = -19,5 - \frac{42,5 \cdot 10}{10 \cdot 2} 2,7 = -76,88 \text{ tn,}$$

entsprechend den in Beispiel 27 mit Zug I berechneten Werthen 81,73 und  $-76,88 \text{ tn}$ .

**Bemerkungen.** Vergleicht man die hier gegebene Berechnung der Grenzwerte mit der in Beispiel 26 durchgeführten, so zeigt sich, dass durch Einführung unserer genauen Lastäquivalente die Rechnung gegenüber der gewöhnlichen für gleichmässig vertheilte bewegte Last nicht erschwert sondern erleichtert wird, indem die Bestimmung der  $z$  unterbleiben kann.

Angenommen wir sollten die Gurtungskräfte nachträglich für  $p = 2,63$  berechnen, so kann dies mit Rücksicht auf die vorausgegangene Berechnung mit  $p = 2,7$  in abgekürzter Weise geschehen. Hätten wir das Eigengewicht wie die Verkehrslast nur in den Knotenpunkten des Untergurts angreifend gedacht, so würden sich nach B. 26, 9) die neuen Grenzwerte einfach durch Multiplication der erstberechneten mit

$$\frac{0,9 + 2,63}{0,9 + 2,7} = 0,98$$

ergeben. Im vorliegenden Falle lässt sich mit Rücksicht auf

$$2,63 : 2,7 = 0,97$$

und die Berechnung in Beispiel 26 wie folgt verfahren.

$$O_1 = -10,81 - \frac{0,97 \cdot 143}{4,34} = -42,77$$

$$O_2 = -24,89 - \frac{0,97 \cdot 380}{5,06} = -97,74$$

$$O_3 = -32,61 - \frac{0,97 \cdot 549}{5,58} = -128,05$$

$$O_4 = -36,67 - \frac{0,97 \cdot 650}{5,89} = -143,72$$

$$O_5 = -37,83 - \frac{0,97 \cdot 684}{6} = -148,41,$$

$$U_1 = 18,35 + \frac{0,97 \cdot 262}{4,8} = 71,30$$

$$U_2 = 28,69 + \frac{0,97 \cdot 464}{5,4} = 112,04$$

$$U_3 = 34,65 + \frac{0,97 \cdot 599}{5,8} = 134,83$$

$$U_4 = 38,83 + \frac{0,97 \cdot 666}{6} = 146,50.$$

### Aufgabe 30. Parallelträger beliebigen einfachen Systems.

Die Grenzwerte der Stabkräfte von Parallelträgern beliebigen einfachen Systems mit horizontalen Gurtungen bei bewegter Verkehrslast anzugeben.

Es seien  $O$ ,  $U$ ,  $Y$  die Beanspruchungen der durch einen Schnitt  $s$  getroffenen Stäbe des Obergurts, Untergurts und der Füllung,  $M_s$  das Moment der äusseren Kräfte links von  $s$ . Dann haben wir zur Berechnung der Gurtungen (Fig. 46, 47)

$$(1) \quad M_s + Oh = 0, \quad O = -\frac{M_s}{h},$$

$$(2) \quad M_s - Uh = 0, \quad U = \frac{M_s}{h}$$

und zur Berechnung des Füllungsglieds, wenn das obere oder untere Vorzeichen gilt, jenachdem das Glied von  $s$  aus nach dem Trägereitheil vor  $s$  ansteigt oder abfällt,

$$(3) \quad M_s \mp Y \infty \frac{h}{d} = 0, \quad Y = \pm \frac{M_s}{\infty} \frac{d}{h}.$$

Diese Gleichungen gestatten mit Rücksicht auf die Ausdrücke für  $M_s$  in §§ 23–25 alle Stabkräfte bei beliebiger Belastung und die Grenzwerte der Stabkräfte für gleichmässig vertheilte bewegte Last und bewegte Radlastzüge zu berechnen. Dabei ist zu beachten, dass der

Momentendrehpunkt  $u$  für die Gurtungsstäbe innerhalb, für die Füllungsstäbe ausserhalb der Spannweite  $l$  liegt.

Bei gleichmässig vertheilter bewegter Last von constantem Werthe  $p$  per Längeneinheit beispielsweise haben wir mit § 24, 2) die Grenzwerte der Gurtungskräfte

$$(4) \quad O = \mathfrak{D} - [u(l - c - v) + cv] \frac{p}{2}, \quad O = \mathfrak{D},$$

$$(5) \quad U = \mathfrak{U} + [u(l - c - v) + cv] \frac{p}{2}, \quad U = \mathfrak{U},$$

und mit § 24, 3) die Grenzbeanspruchungen der Füllungsglieder

$$(6) \quad \begin{cases} Y = \mathfrak{Y} \pm (l - z)(l - v) \frac{py}{2lh} = \mathfrak{Y} \pm \frac{(l - v)^2}{l - v + c} \frac{py}{2h}, \\ Y = \mathfrak{Y} \mp cz \frac{py}{2lh} = \mathfrak{Y} \mp \frac{c^2}{l - v + c} \frac{py}{2h}. \end{cases}$$

Diese letzten Gleichungen wurden auf anderem Wege schon in Aufgabe 21 gefunden. Die  $u$  in 4) und 5) sind verschieden.

Ist der Träger durch Radlastzüge befahren und es sollen die Grenzwerte der Stabkräfte doch auf Grund gleichmässig vertheilter bewegter Lasten berechnet werden, so bleiben nach Aufgabe 29 die Formeln 4) 5) ungeändert, während mit A. 29, 1) 3) aus 6) entstehen

$$(7) \quad \begin{cases} Y = \mathfrak{Y} \pm (l - v)^2 \frac{yp_c}{2lh}, \\ Y = \mathfrak{Y} \mp c^2 \frac{yp_c}{2lh}. \end{cases}$$

Diese Ausdrücke hätten wir auch durch Einsetzen von A. 29, 2) 4) in obige Gleichung 3) erhalten können, sie müssen genau dieselben Grenzwerte wie die Berechnung mit Zug II selbst ergeben.

Wenn für  $c = 0$  oder  $v = l$  (das heisst auch  $z = 0$  oder  $l$ ) nach 6) mit dem für die Gurtungskräfte verwendeten  $p$  ein ungünstigerer oberer Grenzwert als nach 7) entsteht (der untere tritt für Eigengewicht allein ein), so kann man A. 29 zufolge diesen als massgebend ansehen. Der Vergleich von 6) mit 7) zeigt wieder, dass durch Einführung richtiger Lastäquivalente die Berechnung nicht erschwert sondern erleichtert wird.

**Beispiel 31. Parallelträger. Einfaches System des gleichschenkligen Dreiecks. Berechnung für gleichmässig vertheilte bewegte Last.**

Für eine Brücke von  $l = 45$  m Spannweite sollen Parallelträger einfachen Systems des gleichschenkligen Dreiecks zur Verwendung

kommen. Gewünschte Trägerhöhe und Felderzahl  $h = 6$  m,  $n = 9$ . Verkehrslast per Längeneinheit Träger  $p = 2,1$  tn, Eigengewicht  $g = 0,9$  tn. Von Letzterem kommen 0,6 tn auf die Knotenpunkte des Obergurts, in welchen die Fahrbahnlast angreift und 0,3 tn auf diejenigen des Untergurts. Die Berechnung nach den Formeln für vorausbestimmte Knotenpunktslasten durchzuführen.

Der Träger kann unter obigen Bedingungen noch mit oben liegender oder unten liegender X-Gurtung hergestellt werden (Fig. 71 und 73). In beiden Fällen hat man nach § 24, 4) 5) mit  $q = g + p$  die Grenzwerte der Stützenreactionen

$$V = \frac{q l}{2} = \frac{3 \cdot 45}{2} = 67,5 \text{ tn}, \quad \mathfrak{B} = \frac{g l}{2} = \frac{0,9 \cdot 45}{2} = 20,25 \text{ tn}.$$

Für die Gurtungskräfte wollen wir die oberen Grenzwerte allein berechnen, neben welchen bei der Dimensionirung nur das Verhältniss der unteren Grenzwerte zu den oberen interessirt. Dasselbe ist im vorliegenden Falle genau oder genügend genau

$$\frac{g}{q} = \frac{0,9}{3} = \frac{3}{10}.$$

Fall I. X-Gurtung oben. Fig. 71. Wenn die X-Gurtung oben liegt und die Fahrbahnlast in den Knotenpunkten derselben angreift, so hat man nach § 29 die oberen Grenzwerte der Gurtungskräfte

$$(1) \quad X_m = -m(n-m) \frac{q \lambda^2}{2h},$$

$$(2) \quad Z_m = \left[ (2m-1)(2n-2m+1) - \frac{q-2g_s}{q} \right] \frac{q \lambda^2}{8h}$$

und die Eigengewichtsbeanspruchung und Grenzbeanspruchungen der Füllungsglieder

$$(3) \quad \begin{cases} \mathfrak{Y}_m = \left( n - 2m + \frac{g_s}{g} \right) \frac{g \lambda d}{2h}, \\ Y_m = \mathfrak{Y}_m + (n-m)^2 \frac{p \lambda d}{2nh}, \\ Y_m = \mathfrak{Y}_m - m^2 \frac{p \lambda d}{2nh}. \end{cases}$$

Diese Gleichungen nehmen für den vorliegenden Fall mit  $n = 9$ ,  $\lambda = 5$ ,  $h = 6$ ,  $d = 6,5$ ,  $g = 0,9$ ,  $g_s = 0,3$ ,  $p = 2,1$ ,  $q = 3$  folgende Formen an

$$X_m = -m(9-m) \frac{25}{4},$$

$$Z_m = (2m-1)(19-2m) \frac{25}{16} + \frac{5}{4},$$

$$\mathfrak{Y}_m = 22,75 - 4,875 m,$$

$$Y_m = \mathfrak{Y}_m + 0,632 (9 - m)^2,$$

$$Y_m = \mathfrak{Y}_m - 0,632 m^2.$$

Wir erhalten damit nachstehende Werthe der Stabkräfte in Tonnen.

$X_1 = - 50,00$	$Z_1 = 27,81$
$X_2 = - 87,50$	$Z_2 = 71,56$
$X_3 = - 112,50$	$Z_3 = 102,81$
$X_4 = - 125,50$	$Z_4 = 121,56$
	$Z_5 = 127,81$

$\mathfrak{Y}_1 = 17,88$	$Y_1 = 58,32$	$Y_1 = 17,24$
$\mathfrak{Y}_2 = 13,00$	$Y_2 = 43,97$	$Y_2 = 10,47$
$\mathfrak{Y}_3 = 8,13$	$Y_3 = 30,88$	$Y_3 = 2,44$
$\mathfrak{Y}_4 = 3,25$	$Y_4 = 19,05$	$Y_4 = - 6,86$
$\mathfrak{Y}_5 = - 1,63$	$Y_5 = 8,49$	$Y_5 = - 17,43$
$\mathfrak{Y}_6 = - 6,50$	$Y_6 = - 0,81$	$Y_6 = - 29,25$
$\mathfrak{Y}_7 = - 11,38$	$Y_7 = - 8,85$	$Y_7 = - 42,34$
$\mathfrak{Y}_8 = - 16,25$	$Y_8 = - 15,62$	$Y_8 = - 56,70$
$\mathfrak{Y}_9 = - 21,13$	$Y_9 = - 21,13$	$Y_9 = - 72,32$

Werden die punktirten Stäbe angebracht (und damit die Fahr-  
bahnlast auch durch die Endverticalen übertragen), so hat man nach  
Aufgabe 19 für jede Belastung  $X_0 = 0$  und die Grenzwerte von  $V_0$   
zufolge A. 19, 6) 10)

$$\mathfrak{B}_0 = - \frac{g_0 v}{2} = - \frac{0,6 \cdot 2,5}{2} = - 1,5 \text{ tn},$$

$$V_0 = \mathfrak{B}_0 - \frac{p v}{2} = - 1,5 - \frac{2,1 \cdot 2,5}{2} = - 4,13 \text{ tn}.$$

Damit ist der Symmetrie des Trägers wegen die Berechnung beendigt.  
Die gefundenen Grenzwerte sind in Fig. 72 eingetragen.

Fall II. X-Gurtung unten. Fig. 73. Wenn die X-Gurtung unten  
liegt und die Fahrbahnlast in den Knotenpunkten der Z-Gurtung wirkt,  
dann sind nach § 29 die oberen Grenzwerte der Gurtungskräfte

$$(4) \quad X_m = m(n - m) \frac{q \lambda^2}{2h},$$

$$(5) \quad Z_m = - \left[ (2m - 1)(2n - 2m + 1) - \frac{q - 2g_x}{q} \right] \frac{q \lambda^2}{8h}$$

und die Eigengewichtsbeanspruchung und Grenzbeanspruchungen der Füllungsglieder

$$(6) \quad \begin{cases} \mathfrak{Y}_m = - \left( n - 2m + \frac{g_z}{g} \right) \frac{g \lambda d}{2h}, \\ Y_m = \mathfrak{Y}_m - (n - m)(n - m + 1) \frac{p \lambda d}{2nh}, \\ Y_m = \mathfrak{Y}_m + m(m - 1) \frac{p \lambda d}{2nh}. \end{cases}$$

Für den jetzigen Fall entstehen daraus mit  $n = 9$ ,  $\lambda = 5$ ,  $h = 6$ ,  $d = 6,5$ ,  $g = 0,9$ ,  $g_x = 0,3$ ,  $g_z = 0,6$ ,  $p = 2,1$ ,  $q = 3$  die folgenden Formen:

$$\begin{aligned} \mathfrak{X}_m &= m(9 - m) \frac{25}{4}, \\ \mathfrak{Z}_m &= - (2m - 1)(19 - 2m) \frac{25}{16} + \frac{5}{4}, \\ \mathfrak{Y}_m &= 4,875 m - 23,562, \\ Y_m &= \mathfrak{Y}_m - 0,632 (9 - m)(10 - m), \\ Y_m &= \mathfrak{Y}_m + 0,632 m(m - 1), \end{aligned}$$

und hieraus ergeben sich die nachstehenden Werthe der Stabkräfte in Tonnen:

$$\begin{array}{ll} X_1 = 50,00 & Z_1 = - 25,31 \\ X_2 = 87,50 & Z_2 = - 69,06 \\ X_3 = 112,50 & Z_3 = - 100,31 \\ X_4 = 125,00 & Z_4 = - 119,06 \\ & Z_5 = - 125,31 \end{array}$$

$$\begin{array}{lll} \mathfrak{Y}_1 = - 18,69 & Y_1 = - 64,19 & Y_1 = - 18,69 \\ \mathfrak{Y}_2 = - 13,81 & Y_2 = - 49,20 & Y_2 = - 12,55 \\ \mathfrak{Y}_3 = - 8,94 & Y_3 = - 35,48 & Y_3 = - 5,15 \\ \mathfrak{Y}_4 = - 4,06 & Y_4 = - 23,02 & Y_4 = 3,52 \\ \mathfrak{Y}_5 = 0,81 & Y_5 = - 11,83 & Y_5 = 13,45 \\ \mathfrak{Y}_6 = 5,69 & Y_6 = - 1,90 & Y_6 = 24,68 \\ \mathfrak{Y}_7 = 10,56 & Y_7 = 6,77 & Y_7 = 37,11 \\ \mathfrak{Y}_8 = 15,44 & Y_8 = 14,17 & Y_8 = 50,83 \\ \mathfrak{Y}_9 = 20,31 & Y_9 = 20,31 & Y_9 = 65,82. \end{array}$$

Werden die punktierten Stäbe angebracht, also die Auflager im Untergurt angeordnet, so hat man nach Aufgabe 19 für jede Belastung  $X_0 = 0$  und zufolge A. 19, 5) 9) als Grenzwerte von  $V_0$



$$\mathfrak{B}_0 = \frac{g_u v}{2} - \frac{g l}{2} = \frac{0,3 \cdot 2,5 - 0,9 \cdot 45}{2} = -19,88 \text{ tn},$$

$$V_0 = \mathfrak{B}_0 - \frac{p l}{2} = -19,88 - \frac{1,05 \cdot 45}{2} = -67,13 \text{ tn}.$$

Damit ist wieder mit Rücksicht auf die Symmetrie des Trägers die Berechnung erledigt. Die Grenzwerte wurden in Fig. 74 eingetragen.

Anstatt wie oben sämtliche  $Y_m$  zu berechnen und auf die  $Y'_m$  aus der Symmetrie zu schliessen, hätte man auch, wie in den zwei nächsten Beispielen, nur die  $Y_m$  der ersten Trägerhälfte direct berechnen und die  $Y'_m$  aus § 27, 5) erhalten können.

**Beispiel 32. Parallelträger. Einfaches System des gleichschenkligen Dreiecks. Berechnung mit Lastäquivalenten.**

Für eine Brücke von  $l = 45$  m Spannweite sollen Parallelträger einfachen Systems des gleichschenkligen Dreiecks nach Anordnung von Fig. 71 zur Verwendung kommen. Trägerhöhe  $h = 6$  m, Felderzahl  $n = 9$ . Das Eigengewicht von  $g = 0,9$  tn soll auf die Knotenpunkte des Untergurts allein vertheilt gelten, in welchen die Fahrbahnlast angreift. Die Berechnung auf Grund gleichmässig vertheilter Lasten so durchzuführen, dass dieselben Grenzbeanspruchungen der Füllungsglieder und annähernd dieselben Grenzbeanspruchungen der Gurtungen wie für bewegte Radlastzüge, zusammengesetzt aus Locomotiven der Radanordnung Fig. 18, entstehen.

Da die X-Gurtung oben liegt, so gelten in allen anzuwendenden Formeln die oberen Vorzeichen. Nach § 27, 5) haben wir wegen  $K_x = 0$  allgemein

$$(1) \quad Y'_m = -Y_m,$$

und weil überdies die Stäbe und feste Last zur Verticalen durch die Trägermitte symmetrisch angeordnet sind, so genügt es, eine Trägerhälfte zu berechnen.

**Eigengewicht allein.** Für die vom Eigengewicht allein herührenden Stabkräfte hat man nach § 27, 12)

$$(2) \quad \begin{cases} \mathfrak{X}_m = -m(n-m) \frac{g \lambda^2}{2h}, \\ \mathfrak{B}_m = [(2m-1)(2n-2m+1) - 1] \frac{g \lambda^2}{8h}, \\ \mathfrak{Y}_m = (n-2m+1) \frac{g \lambda d}{2h}. \end{cases}$$

Diese Gleichungen nehmen mit den gegebenen Werthen und  $d = 6,5$  folgende Formen an:

$$X_m = -m(9 - m) \frac{75}{40},$$

$$B_m = (2m - 1)(19 - 2m) \frac{75}{160} - 0,42,$$

$$Y_m = (5 - m) \frac{39}{8}.$$

Wir erhalten danach folgende Stabkräfte in Tonnen:

$$X_1 = -15,00 \quad B_1 = 7,55 \quad Y_1 = 19,50$$

$$X_2 = -26,25 \quad B_2 = 20,65 \quad Y_2 = 14,63$$

$$X_3 = -33,75 \quad B_3 = 30,05 \quad Y_3 = 9,75$$

$$X_4 = -37,50 \quad B_4 = 35,65 \quad Y_4 = 4,88$$

$$B_5 = 37,55 \quad Y_5 = 0.$$

Die vom Eigengewicht allein herrührenden Stützenreactionen sind

$$B = \frac{gl}{2} = 0,45 \cdot 45 = 20,25 \text{ tn.}$$

**Grenzwerte.** Die unteren Grenzwerte der Gurtungskräfte sind die soeben berechneten Eigengewichtsbeanspruchungen, für die oberen hat man nach § 28, 6) 7)

$$(3) \quad \begin{cases} X_m = X_m - m(n - m) \frac{p l^3}{2h}, \\ Z_m = B_m + [(2m - 1)(2n - 2m + 1) - 1] \frac{p l^3}{8h}, \end{cases}$$

also mit Rücksicht auf 2) mit  $q = g + p$

$$(4) \quad X_m = \frac{q}{g} X_m, \quad Z_m = \frac{q}{g} B_m.$$

Hierin ist  $p$  zufolge Aufgabe 29 dasjenige constante Lastäquivalent, welches für die  $\max M_x$  eines durch die angenommenen Locomotiven direct befahrenen vollwandigen Trägers von 45 m Spannweite massgebend wäre. Beispiel 8 liefert nach oben abgerundet  $p = 2,7$ , womit  $q : g = 4$  und in Tonnen:

$$X_1 = -60 \quad Z_1 = 30,2$$

$$X_2 = -105 \quad Z_2 = 82,6$$

$$X_3 = -135 \quad Z_3 = 120,2$$

$$X_4 = -150 \quad Z_4 = 142,6$$

$$Z_5 = 150,2.$$

Als Grenzbeanspruchungen der Füllungsglieder hat man nach A. 30, 7)

$$(5) \quad \begin{cases} Y_m = \mathfrak{Y}_m + \frac{d}{2lh} (l - v)^2 p_r, \\ Y_m = \mathfrak{Y}_m - \frac{d}{2lh} c^2 p_c, \end{cases}$$

unter  $p_r$ ,  $p_c$  diejenigen Lastäquivalente verstanden, welche für einen durch die angenommenen Locomotiven direct befahrenen vollwandigen Träger der Spannweite 45 m dem pos max  $V_x$  bei  $x = v = m\lambda$ , bzw. dem neg max  $V_x$  bei  $x = c = (m - 1)\lambda$  entsprechen. Dieselben sind der Tabelle des Beispiels 8 zu entnehmen. Wir erhalten damit und wegen  $d : 2lh = 13 : 1080$  die nachstehenden Grenzwerte in Tonnen:

$$Y_1 = 19,50 + \frac{13 \cdot 40^2}{1080} 2,81 = 73,62$$

$$Y_2 = 14,63 + \frac{13 \cdot 35^2}{1080} 2,84 = 56,50$$

$$Y_3 = 9,75 + \frac{13 \cdot 30^2}{1080} 2,93 = 41,49$$

$$Y_4 = 4,88 + \frac{13 \cdot 25^2}{1080} 3,00 = 27,45$$

$$Y_5 = 0 + \frac{13 \cdot 20^2}{1080} 3,19 = 15,36,$$

$$Y_1 = 19,50 - \frac{13 \cdot 0^2}{1080} \infty = 19,50$$

$$Y_2 = 14,63 - \frac{13 \cdot 5^2}{1080} 5,71 = 12,91$$

$$Y_3 = 9,75 - \frac{13 \cdot 10^2}{1080} 3,95 = 5,00$$

$$Y_4 = 4,88 - \frac{13 \cdot 15^2}{1080} 3,39 = -4,30$$

$$Y_5 = 0 - \frac{13 \cdot 20^2}{1080} 3,19 = -15,36.$$

Die Grenzwerte der Stützenreaction ergeben sich nach Aufgabe 29 mit  $p_r = p_0 = 2,76$

$$V = \mathfrak{B} + \frac{p_r l}{2} = 20,25 + 1,38 \cdot 45 = 82,35 \text{ tn}$$

und (für Eigengewicht allein)

$$V = \mathfrak{B} = 20,25 \text{ tn}.$$

Für  $Y_1$  ist  $c = 0$  und findet sich aus

$$(6) \quad Y_1 = \mathfrak{Y}_1 + (l - v) \frac{p d}{2h}$$

mit dem für die Gurtungskräfte verwendeten  $p = 2,7$  noch etwas un-

günstiger  $Y_1 = 78 \text{ tn}$ , sodass man diesen oberen Grenzwert als massgebend ansehen kann (A. 30).

**Bemerkung.** Hätten wir das Eigengewicht nicht in den Knotenpunkten der Z-Gurtung allein wirkend angenommen, so würden nur an Stelle von 1) 2) 4) die Formeln § 27, 5) 10) und obige Formeln 3) zu verwenden gewesen sein. Indessen wird die gemachte Annahme gewöhnlich als genügend angesehen (vgl. die Bemerkungen zu Beispiel 26).

**Beispiel 33. Parallelträger. System des gleichschenkligen Dreiecks. Berechnung für bewegte Radlastzüge.**

Die Brückenträger des vorigen Beispiels für bewegte Radlastzüge, zusammengesetzt aus Locomotiven der Radanordnung Fig. 18, zu berechnen.

Bis zur Ableitung der Grenzwerte ist wie im vorigen Beispiel zu verfahren. Auch behalten wir als untere Grenzwerte der Gurtungskräfte die Beanspruchungen durch Eigengewicht allein. Die oberen Grenzwerte der Gurtungskräfte und beide Grenzbeanspruchungen der Füllungsglieder ergeben sich nach § 30, b) wie folgt.

Belastung durch Zug I (Fig. 23 und 24) von 0 bis  $l$ , Rad 0 bei  $v = m\lambda$ ,

$$(1) \quad X_m = \mathfrak{X}_m - \left[ (n-m) \sum_0^v Pa + m \sum_v^l P(l-a) \right] \frac{1}{nh},$$

$$(2) \quad Z_m = \mathfrak{Z}_m + \left[ (2n-2m+1) \sum_0^c Pa + (n-2m+1) \sum_c^v P(a-z) \right. \\ \left. + (2m-1) \sum_v^l P(l-a) \right] \frac{1}{2nh}$$

$$\text{mit} \quad z = -\frac{m-1}{n-2m+1} l.$$

Belastung durch Zug II (Fig. 22) von  $v$  bis  $l$ , Vorderrad 0 bei  $v = m\lambda$ ,

$$(3) \quad Y_m = \mathfrak{Y}_m + \frac{d}{lh} \sum_v^l P(l-a),$$

und Belastung durch Zug II von 0 bis  $c$ , Vorderrad 0 bei  $c = (m-1)\lambda$ ,

$$(4) \quad Y_m = \mathfrak{Y}_m - \frac{d}{lh} \sum_0^c Pa.$$

Auf der zweiten Trägerhälfte würde bei Berechnung von  $Z_m$  wegen  $\varepsilon > \nu$  Rad  $O$  bei  $c$  stehen müssen, doch haben wir ja nur die erste Hälfte zu berechnen.

Mit Rücksicht auf die in Beispiel 6 gegebenen Tabellen der  $\Sigma$  liefert 1) für den Obergurt bei Annahme der ersten Richtung des Zuges I (die Resultate für die zweite sind in Klammer beigesetzt):

$$X_1 = -15,00 - \frac{1}{54}(8 \cdot 62,2 + 1 \cdot 1947) = -60,27 \text{ tn } (-57,92)$$

$$X_2 = -26,25 - \frac{1}{54}(7 \cdot 167 + 2 \cdot 1499) = -103,42 \text{ „ } (-102,54)$$

$$X_3 = -33,75 - \frac{1}{54}(6 \cdot 348 + 3 \cdot 1089) = -132,92 \text{ „ } (-132,69)$$

$$X_4 = -37,50 - \frac{1}{54}(5 \cdot 580 + 4 \cdot 764) = -147,80 \text{ „ } (-146,83),$$

ferner 2) für den Untergurt bei der zweiten Richtung des Zuges I (Resultate für die erste in Klammer beigesetzt):

$$Z_1 = 7,55 + [17 \cdot 0$$

$$+ 8 \cdot 6 \cdot 3,7 + 1 \cdot 2140] \frac{1}{108} = 29,01 \text{ tn } (30,18)$$

$$Z_2 = 20,65 + [15(117 - 6 \cdot 8,7)$$

$$+ 6 \cdot 6(8,7 + 7,5) + 3 \cdot 1650] \frac{1}{108} = 80,88 \text{ „ } (80,40)$$

$$Z_3 = 30,05 + [13(271 - 6 \cdot 13,7)$$

$$+ 4 \cdot 6(13,7 + 22,5) + 5 \cdot 1239] \frac{1}{108} = 118,18 \text{ „ } (117,17)$$

$$Z_4 = 35,65 + [11(480 - 6 \cdot 18,7)$$

$$+ 2 \cdot 6(18,7 + 67,5) + 7 \cdot 876] \frac{1}{108} = 139,47 \text{ „ } (138,76)$$

$$Z_5 = 37,55 + [9(764 - 6 \cdot 23,7)$$

$$+ 0 \cdot 6(23,7 + \frac{180}{0}) + 9 \cdot 580] \frac{1}{108} = 147,70 \text{ „ } (145,37)$$

und schliesslich 3) 4) für die Füllung:

$$Y_1 = 19,50 + \frac{13 \cdot 2248}{540} = 73,62 \text{ tn}$$

$$Y_2 = 14,63 + \frac{13 \cdot 1741}{540} = 56,53 \text{ „}$$

$$Y_3 = 9,75 + \frac{13 \cdot 1321}{540} = 41,55 \text{ „}$$

$$Y_4 = 4,88 + \frac{13 \cdot 938}{540} = 27,46 \text{ tn}$$

$$Y_5 = 0 + \frac{13 \cdot 638}{540} = 15,36 \text{ „}$$

$$Y_1 = 19,50 - \frac{13 \cdot 0}{540} = 19,50 \text{ tn}$$

$$Y_2 = 14,63 - \frac{13 \cdot 71,4}{540} = 12,91 \text{ „}$$

$$Y_3 = 9,75 - \frac{13 \cdot 197}{540} = 5,01 \text{ „}$$

$$Y_4 = 4,88 - \frac{13 \cdot 382}{540} = -4,32 \text{ „}$$

$$Y_5 = 0 - \frac{13 \cdot 638}{540} = -15,36 \text{ „}$$

Die Grenzwerte der Stützenreactionen ergeben sich bei Belastung durch Zug II von 0 bis  $l$ , Vorderrad  $O$  bei 0, ebenfalls mit Rücksicht auf Beispiel 6,

$$V = \mathfrak{B} + \frac{1}{l} \sum_0^l P(l-a) = 20,25 + \frac{2794}{45} = 82,34 \text{ tn},$$

und (für Eigengewicht allein)

$$V = \mathfrak{B} = 20,25 \text{ tn}.$$

Nach § 30 wäre ein noch grösserer oberer Grenzwert von  $Y_1$  als oben mit Zug II berechnet zu erwarten bei Belastung durch Zug I von 0 bis  $l$ , Rad  $O$  bei  $v = l$ . In der That erhalten wir aus der für beliebige Belastung gültigen Gleichung

$$(5) \quad Y_1 = \mathfrak{Y}_1 + \left[ (n-1) \sum_0^v Pa + \sum_v^l P(l-a) \right] \frac{d}{lh}$$

mit den schon für  $X_1$  verwendeten  $\sum$

$$Y_1 = 19,5 + \frac{8 \cdot 62,2 + 1947}{540} 13 = 78,35 \text{ tn},$$

gegen oben erhaltene 73,62 tn. Die verhältnissmässig grosse Differenz erklärt sich durch die den Radentfernungen gegenüber grosse Feldlänge.

**Bemerkungen.** Hätten wir das Eigengewicht nicht in den Knotenpunkten des Untergurts allein wirkend angenommen, so würde zwar die Berechnung der  $\mathfrak{X}_m$ ,  $\mathfrak{Y}_m$ ,  $\mathfrak{Z}_m$  nach andern Formeln als in Beispiel 32 (siehe die Bemerkung zu demselben) zu erfolgen haben, das obige Vorgehen aber ungeändert bleiben.

Wären Tabellen der  $\sum$  nicht vorhanden, so würden die Summen in 1)–4) wie in Beispiel 27 oder 6 zu berechnen sein. Indessen wurde bereits an letzterer Stelle darauf hingewiesen, dass im Interesse der Zeitersparnis und Einfachheit vor Inangriffnahme der Brückenberechnungen grösserer Bahnen Tabellen der in Beispiel 6 gegebenen Art stets angelegt werden sollten.

Auch im vorliegenden Beispiel hätte es vollständig genügt, nur eine Richtung des Zuges I in Betracht zu ziehen. Bei unsern Lastannahmen wirkt auf der ersten Trägerhälfte von Balkenträgern gewöhnlich die erste Zugrichtung am ungünstigsten.

**Aufgabe 31. Parallelträger. Einfaches System des gleichschenkligen Dreiecks. Maximalbedingungen für die Stabkräfte.**

Die Bedingung für Maxima und Minima des Moments  $M$ , bei bestimmtem Radlastsystem für die Stabkräfte des Parallelträgers einfachen Systems des gleichschenkligen Dreiecks zu spezialisieren.

Die fragliche Bedingung lautet nach § 25, 9)

$$(1) \quad \sum_0^c P + \frac{u-c}{v-c} \sum_c^v P = \frac{u}{l} \sum_0^l P,$$

und da in unserm Falle nach § 27, 1)–3) jede Stabkraft dem zugehörigen Momente  $M$ , proportional ist, so gilt Bedingung 1) auch für die Maxima und Minima der Stabkräfte. Nun ergaben sich in § 27

$$\begin{aligned} \text{für } X_m, \quad Z_m, \quad Y_m, \\ u = m\lambda, \quad \frac{2m-1}{2}\lambda, \quad \infty\lambda. \end{aligned}$$

Daher erhalten wir:

a) wenn die Fahrbahulast auf die Knotenpunkte der X-Gurtung wirkt, mit

$$(2) \quad \left\{ \begin{aligned} \text{für } X_m \quad & \sum_0^c P + \frac{1}{2} \sum_c^v P = \frac{m}{n} \sum_0^l P, \\ \text{„ } Z_m \quad & \sum_0^c P = \frac{2m-1}{2n} \sum_0^l P, \\ \text{„ } Y_m \quad & \sum_c^v P = \frac{1}{n} \sum_0^l P; \end{aligned} \right.$$

b) wenn die Fahrbahnlast auf die Knotenpunkte der Z-Gurtung wirkt, mit

$$(3) \quad \begin{cases} c = (m-1)\lambda, & v = m\lambda \\ \text{für } X_m & \sum_0^v P = \frac{m}{n} \sum_0^l P, \\ \text{„ } Z_m & \sum_0^c P + \frac{1}{2} \sum_c^v P = \frac{2m-1}{2n} \sum_0^l P, \\ \text{„ } Y_m & \sum_c^v P = \frac{1}{n} \sum_0^l P; \end{cases}$$

c) wenn die Fahrbahnbelastung auf die Knotenpunkte beider Gurtungen wirkt, mit

$$(4) \quad \begin{cases} c = \frac{2m-1}{2} \lambda, & v = m\lambda \\ \text{für } X_m & \sum_0^v P = \frac{m}{n} \sum_0^l P, \\ \text{„ } Z_m & \sum_c^c P = \frac{2m-1}{2n} \sum_0^l P, \\ \text{„ } Y_m & \sum_c^v P = \frac{1}{2n} \sum_0^l P. \end{cases}$$

Die Gleichungen 2)–4) könnten nun in gleicher Weise zur Correctur von Laststellungen verwendet werden, wie dies in Beispiel 25 und 28) mit 1) geschehen ist.

**Beispiel 34. Dachbinder einfachen Systems mit Verticalen und beliebigen Gurtungsformen. Gleichmässig vertheilte Last.**

Für den in Fig. 75 angedeuteten Dachbinder seien gegeben: Spannweite  $l = 8\lambda = 32$  m, Pfeil des kreisförmigen (einem Kreisbogen eingeschriebenen) Untergurts  $f = 8$  m, Längen der mittleren und beiden äussersten Verticalen  $h_4 = h_0 = 5$  m. Die Stabkräfte und Stützenreactionen für eine auf die Spannweite gleichmässig vertheilte Last von  $q = 1,2$  tn zu berechnen, von welcher (etwa mit Rücksicht auf eine als Decke dienende Verschalung) 0,25 tn auf die Knotenpunkte des Untergurts zu rechnen sind.

**Formberechnung.** Der Ursprung der Coordinaten werde in das Auflagergelenke links und die Abscissenaxe wie immer horizontal



gelegt. Die Gleichung des Kreisbogens, welcher die Form des Untergurts bestimmt, ist dann nach § 17, 37)

$$(1) \quad y = -\left(\frac{l^2}{8f} - \frac{f}{2}\right) + \sqrt{\left(\frac{l^2}{8f} - \frac{f}{2}\right)^2 + x(l-x)},$$

oder mit  $l = 32$ ,  $f = 8$ ,

$$y = -12 + \sqrt{144 + x(32-x)},$$

wonach für	$x = 0$	4	8	12	16 m,
	$y = 0$	4	6,33	7,6	8 m.

Bezeichnen nun  $\xi_m$ ,  $\delta_m$  die Ordinaten der Knotenpunkte  $m$  in X-Gurtung und Z-Gurtung, so hat man

für	$m = 0$	1	2	3	4:
	$\xi_m = 5$	7	9	11	13 m
	$\delta_m = y = 0$	4	6,33	7,6	8 m
	$h_m = \xi_m - \delta_m = 5$	3	2,67	3,4	5 m
	$z_m = \sqrt{\lambda^2 + (\delta_m - \delta_{m-1})^2} =$	5,66	4,63	4,20	4,02 m
	$d_m = \sqrt{\lambda^2 + (\xi_{m-1} - \delta_m)^2} =$	4,12	4,06	4,24	5 m
	$\varepsilon = \frac{h_m}{h_m - h_{m-1}} =$	- 1,5	- 8,09	4,66	3,12
	$\nu = \frac{h_m}{\xi_m + \delta_m - \xi_{m-1} - \delta_{m+1}} =$	- 9,09	3,66	2,12,	

während für alle Stäbe des Obergurts die Länge  $\sqrt{4^2 + 2^2} = 4,47$  m ist.

**Beanspruchungen.** Bezeichnen  $q_x$ ,  $q_z$  diejenigen Theile von  $q$ , welche auf die Knotenpunkte der X-Gurtung und Z-Gurtung zu rechnen sind, so hat man nach § 31, 16) für die erste Trägerhälfte bei oben liegender X-Gurtung

$$(2) \quad \left\{ \begin{array}{l} X_m = -m(n-m) \frac{x_m}{h_m} \frac{q\lambda}{2}, \\ Z_m = (m-1)(n-m+1) \frac{z_m}{h_{m-1}} \frac{q\lambda}{2}, \\ D_m = \left(n - 2m + 1 - m \frac{n-m}{\varepsilon}\right) \frac{d_m}{h_{m-1}} \frac{q\lambda}{2}, \\ V_m = -\left(n - 2m + \frac{q_x - q_z}{q} - m \frac{n-m}{\nu}\right) \frac{q\lambda}{2}. \end{array} \right.$$

Die letzte Gleichung setzt voraus, dass der Verticale  $m$  beiderseits Felder mit Diagonalen gleicher Stellung anliegen, sie gilt also nicht

für  $h_0$  und  $h_4$ . Mit  $n = 8$ ,  $\lambda = 4$ ,  $x_m = 4,47$ ,  $q = 1,2$ ,  $q_x = 0,95$ ,  $q_z = 0,25$  nehmen vorstehende Gleichungen folgende Formen an:

$$X_m = -10,728 m (8 - m) \frac{1}{h_m},$$

$$Z_m = 2,4 (m - 1) (9 - m) \frac{s_m}{h_{m-1}},$$

$$D_m = 2,4 \left( 9 - 2m - m \frac{n-m}{\varepsilon} \right) \frac{d_m}{h_{m-1}},$$

$$V_m = -20,6 + 2,4 m \left( 2 + \frac{8-m}{v} \right).$$

Hieraus ergeben sich die nachstehenden Stabkräfte in Tonnen:

$X_1 = -25,03$	$Z_1 = 0$	$D_1 = 23,07$	$V_1 = -17,65$
$X_2 = -48,22$	$Z_2 = 29,63$	$D_2 = 21,06$	$V_2 = -3,13$
$X_3 = -47,33$	$Z_3 = 52,85$	$D_3 = -0,83$	$V_3 = 10,78$
$X_4 = -34,33$	$Z_4 = 51,08$	$D_4 = -14,57$	

Für die Stützenreactionen hat man nach § 23, 7)

$$V = \frac{ql}{2} = 19,2 \text{ tn},$$

während die Bedingung „Summe aller Vertikalkräfte gleich Null“ in Anwendung auf die Knotenpunkte 0 des Untergurts und 4 des Obergurts liefert

$$V + V_0 + Z_1 \frac{4}{5,66} - 0,25 \cdot 2 = 0,$$

$$2 X_4 \frac{2}{4,47} + V_4 + 0,95 \cdot 4 = 0,$$

woraus die noch fehlenden Stabkräfte folgen

$$V_0 = -18,7 \text{ tn}, \quad V_4 = 26,92 \text{ tn}.$$

Die vollständige Berechnung des hier behandelten Dachbinders ist in Beispiel 39 gezeigt.

**Beispiel 35. Einfaches System mit Verticalen und beliebigen Gurtungsformen (Ellipsenträger). Berechnung für gleichmässig vertheilte bewegte Last.**

Für eine Brücke von  $l = 45 \text{ m}$  Spannweite sollen Fachwerkträger einfachen Systems des rechtwinkligen Dreiecks mit horizontalem Untergurte und elliptischem Obergurte zur Verwendung kommen. Gewünschte Trägerhöhe in der Mitte  $h = 6 \text{ m}$ , Felderzahl  $n = 10$ . Eigengewicht per Längeneinheit Träger  $g = 0,9 \text{ tn}$ , Verkehrslast

$p = 2,7$  tn. Vom Eigengewichte kommen 0,6 tn auf die Knotenpunkte des Untergurts, in welchen die Fahrbahnlast angreift und 0,3 tn auf die Knotenpunkte des Obergurts. Die Grenzwerte der Stabkräfte und Stützenreactionen zu berechnen.

**Formberechnung.** Da der Ellipsenträger gegenüber dem Parabelträger besonders dann in Betracht kommen könnte, wenn die Trägerhöhe nach den Enden zu grösser als bei letzterem werden soll, so denken wir uns den Obergurt einer Halbellipse eingeschrieben. Die Gleichung derselben lautet nach § 17, 41), wenn der Ursprung der Coordinaten in einem Auflagerpunkt liegt und  $l, f$  die beiden Halbachsen bedeuten,

$$(1) \quad y = \frac{2f}{l} \sqrt{x(l-x)}.$$

Mit  $x = m\lambda$ ,  $l = n\lambda$  folgt hieraus die Länge der Verticale  $m$

$$(2) \quad h_m = \frac{2f}{n} \sqrt{m(n-m)}.$$

Da im vorliegenden Falle  $f = h = 6$ ,  $n = 10$ ,  $2f:n = 1,2$ ,  $h_0 = 0$  sind, so ergeben sich (Fig. 76)

für	$m = 1$	2	3	4	5:
	$h_m = 3,6$	4,8	5,5	5,88	6
	$v = \varepsilon = \frac{h_m}{h_m - h_{m-1}} = 1$	4	7,86	15,47	50
	$d_m = \sqrt{\lambda^2 + h_{m-1}^2} = 4,5$	5,76	6,58	7,12	7,4 m
	$x_m = \sqrt{\lambda^2 + (h_m - h_{m-1})^2} = 5,76$	4,66	4,55	4,52	4,50 m.

**Eigengewicht allein.** Für die vom Eigengewichte allein herführenden Stabkräfte hat man nach § 31, 16) bei oben liegender X-Gurtung

$$(3) \quad \begin{cases} \mathfrak{X}_m = -m(n-m) \frac{x_m}{h_m} \frac{g\lambda}{2}, \\ \mathfrak{Z}_m = (m-1)(n-m+1) \frac{z_m}{h_{m-1}} \frac{g\lambda}{2}, \\ \mathfrak{D}_m = \left(n - 2m + 1 - m \frac{n-m}{\varepsilon}\right) \frac{d_m}{h_{m-1}} \frac{g\lambda}{2}, \\ \mathfrak{B}_m = -\left(n - 2m + \frac{g_x - g_z}{g} - m \frac{n-m}{v}\right) \frac{g\lambda}{2}. \end{cases}$$

Die letzte Gleichung setzt voraus (wie alle übrigen Formeln für  $V_m$ ), dass zu beiden Seiten der Verticale  $m$  Felder mit Diagonalen gleicher

Stellung liegen, sie gilt nicht für  $V_6$ , wohl aber für  $V_1$ , da man sich im ersten Felde die Diagonale mit dem Untergurte zusammenfallend denken kann. Nach Einsetzen von  $n = 10$ ,  $\lambda = 4,5 = z_m$ ,  $g = 0,9$ ,  $g_x = 0,3$ ,  $g_z = 0,6$  ergeben sich aus 3) die Formeln

$$\mathfrak{X}_m = -2,025 m (10 - m) \frac{x_m}{h_m},$$

$$\mathfrak{B}_m = 9,112 (m - 1) (11 - m) \frac{1}{h_{m-1}},$$

$$\mathfrak{D}_m = 2,025 \left( 11 - 2m - m \frac{10 - m}{\varepsilon} \right) \frac{d_m}{h_{m-1}},$$

$$\mathfrak{B}_m = 2,025 m \left( 2 + \frac{10 - m}{v} \right) - 19,575,$$

woraus nachstehende Stabkräfte in Tonnen folgen.

$\mathfrak{X}_1 = -29,16$			$\mathfrak{B}_1 = 2,70$
$\mathfrak{X}_2 = -31,46$	$\mathfrak{B}_2 = 22,78$	$\mathfrak{D}_2 = 9,72$	$\mathfrak{B}_2 = -3,37$
$\mathfrak{X}_3 = -35,18$	$\mathfrak{B}_3 = 30,37$	$\mathfrak{D}_3 = 6,46$	$\mathfrak{B}_3 = -2,01$
$\mathfrak{X}_4 = -37,36$	$\mathfrak{B}_4 = 34,79$	$\mathfrak{D}_4 = 3,80$	$\mathfrak{B}_4 = -0,23$
$\mathfrak{X}_5 = -37,97$	$\mathfrak{B}_5 = 37,19$	$\mathfrak{D}_5 = 1,27$	

Für  $\mathfrak{B}_1$ ,  $\mathfrak{D}_1$  entsteht der unbestimmte Ausdruck  $0 : 0$ . Indessen liefert die Bedingung „Summe aller Horizontalkräfte gleich Null“ in Anwendung auf den Knotenpunkt 1 des Untergurtes die ganze Beanspruchung des anliegenden Gurtungsstabes 1

$$(4) \quad Z_1 = Z_2.$$

Die Anwendung derselben Bedingung auf den Knotenpunkt 5 des Obergurtes ergibt, dass die beiden mittleren Stäbe des Letzteren gleich stark beansprucht sind, wonach die Bedingung „Summe aller Vertikalkräfte gleich Null“ liefert

$$(5) \quad V_5 + 0,3 \cdot 4,5 + \frac{0,12}{4,60} 2 X_5 = 0, \quad V_5 = -\frac{4}{75} X_5 - 1,35.$$

Die Gleichungen 4) 5) gelten für beliebige Belastung, speziell für Eigengewicht allein folgen

$$\mathfrak{B}_1 = \mathfrak{B}_2 = 22,78 \text{ tn},$$

$$\mathfrak{B}_5 = \frac{4}{75} 37,97 - 1,35 = 0,67 \text{ tn}.$$

**Grenzbeanspruchungen.** Die unteren Grenzwerte der Gurtungskräfte sind die soeben gefundenen Eigengewichtsbeanspruchungen, für die oberen hat man nach § 32, 6)

$$X_m = \frac{q}{g} \mathfrak{X}_m, \quad Z_m = \frac{q}{g} \mathfrak{B}_m,$$

also wegen  $q : g = 4$  in Tonnen

$$\begin{array}{ll} X_1 = -116,64 & Z_1 = Z_3 \\ X_2 = -125,84 & Z_2 = 91,12 \\ X_3 = -140,72 & Z_3 = 121,58 \\ X_4 = -149,44 & Z_4 = 139,16 \\ X_5 = -151,88 & Z_5 = 148,76. \end{array}$$

Da die Schnittpunkte der Richtungslinien aller Stäbe des Obergurts mit denjenigen des Untergurts ausserhalb der Spannweite liegen (gewöhnliche Gurtungsformen), so sind nach § 32, 7) die Grenzbeanspruchungen der Diagonalen

$$(6) \quad \begin{cases} D_m = \mathfrak{D}_m + \frac{(\varepsilon - m)(n - m)^2}{(n - 1)\varepsilon - n + m} \frac{\varepsilon - 1}{\varepsilon} \frac{d_m}{h_{m-1}} \frac{p\lambda}{2}, \\ D_m = \mathfrak{D}_m - \frac{(\varepsilon - m + n)(m - 1)^2}{(n - 1)\varepsilon - n + m} \frac{d_m}{h_{m-1}} \frac{p\lambda}{2}, \end{cases}$$

und nach § 32, 9) die Grenzbeanspruchungen der Verticalen

$$(7) \quad \begin{cases} V_m = \mathfrak{B}_m - \frac{(\nu - m)(n - m - 1)^2}{(n - 1)\nu + m} \frac{p\lambda}{2}, \\ V_m = \mathfrak{B}_m + \frac{(\nu - m + n)m^2}{(n - 1)\nu + m} \frac{\nu + 1}{\nu} \frac{p\lambda}{2}. \end{cases}$$

In diesen Gleichungen ist

$$\frac{p\lambda}{2} = 1,35 \cdot 4,5 = 6,075$$

und es ergeben sich demnach die Grenzwerte in Tonnen für die Diagonalen:

$$D_2 = 9,72 + 6,075 \frac{2 \cdot 64 \cdot 3 \cdot 5,76}{28 \cdot 4 \cdot 3,6} = 43,05$$

$$D_3 = 6,46 + 6,075 \frac{4,86 \cdot 49 \cdot 6,86 \cdot 6,58}{63,74 \cdot 7,86 \cdot 4,8} = 33,62$$

$$D_4 = 3,80 + 6,075 \frac{11,47 \cdot 36 \cdot 14,47 \cdot 7,12}{133,23 \cdot 15,47 \cdot 5,5} = 26,60$$

$$D_5 = 1,27 + 6,075 \frac{45 \cdot 25 \cdot 49 \cdot 7,4}{445 \cdot 50 \cdot 5,88} = 20,21,$$

$$D_2 = 9,72 - 6,075 \frac{12 \cdot 1 \cdot 5,76}{28 \cdot 3,6} = 4,55$$

$$D_3 = 6,46 - 6,075 \frac{14,86 \cdot 4 \cdot 6,58}{63,74 \cdot 4,8} = -1,31$$

$$D_4 = 3,80 - 6,075 \frac{21,47 \cdot 9 \cdot 7,12}{133,23 \cdot 5,5} = -7,61$$

$$D_5 = 1,27 - 6,075 \frac{55 \cdot 16 \cdot 7,4}{445 \cdot 5,88} = -13,85;$$

und für die Verticalen:

$$V_1 = 2,70 - 6,075 \frac{0 \cdot 64}{10} = 2,70$$

$$V_2 = -3,37 - 6,075 \frac{2 \cdot 49}{38} = -19,04$$

$$V_3 = -2,01 - 6,075 \frac{4,86 \cdot 36}{73,74} = -16,42$$

$$V_4 = -0,23 - 6,075 \frac{11,47 \cdot 25}{143,23} = -12,39,$$

$$V_1 = 2,70 + 6,075 \frac{10 \cdot 1 \cdot 2}{10 \cdot 1} = 14,85$$

$$V_2 = -3,37 + 6,075 \frac{12 \cdot 4 \cdot 5}{38 \cdot 4} = 6,17$$

$$V_3 = -2,01 + 6,075 \frac{14,86 \cdot 9 \cdot 8,86}{73,74 \cdot 7,86} = 10,41$$

$$V_4 = -0,23 + 6,075 \frac{21,47 \cdot 16 \cdot 16,47}{143,23 \cdot 15,47} = 15,28.$$

Schliesslich liefert 5) die Grenzwerthe von  $V_5$

$$V_5 = \mathfrak{B}_5 = 0,67 \text{ tn}, \quad V_5 = \frac{4}{76} 151,88 - 1,35 = 6,75 \text{ tn}.$$

Die Grenzwerthe der Stützenreactionen ergeben sich wie in Beispiel 26 und 31

$$V = 79,42, \quad \mathfrak{B} = 20,25 \text{ tn}.$$

**Bemerkungen.** Anstatt beide Grenzwerthe von  $D_m$  und  $V_m$  aus 6) 7) zu berechnen, ist es bequemer, die eine derselben nach Kenntniss der andern entsprechend § 19, 4) 9) aus

$$(8) \quad D_m = \frac{g+q}{g} \mathfrak{D}_m - (D_m),$$

$$(9) \quad V_m = \frac{g+q}{g} \mathfrak{B}_m + \frac{p\lambda}{g} g_x - (V_m)$$

zu entnehmen. Man wird dann natürlich denjenigen Grenzwert zu erst berechnen, für welchen der einfachste Ausdruck besteht. Indessen kann man vorziehen, die Gleichungen 8) 9) (in welchen der eine Grenzwert zur Unterscheidung vom andern durch eine Klammer ausgezeichnet ist) zu Proberechnungen zu verwenden. Ueber Anwendung von Gegendagonalen im vorliegenden Falle siehe Beispiel 71.

Nach den am Schlusse des § 32 gegebenen Näherungsformeln (der Berechnung mittelst vorausbestimmter Knotenpunktslasten entsprechend) hätten wir die Grenzbeanspruchungen der Diagonalen

$$(10) \quad \begin{cases} D_m = \mathfrak{D}_m + (n-m)(n-m+1) \frac{\varepsilon-m}{\varepsilon} \frac{d_m}{h_{m-1}} \frac{p^1}{2}, \\ D_m = \mathfrak{D}_m - m(m-1) \frac{\varepsilon-m+n}{\varepsilon} \frac{d_m}{h_{m-1}} \frac{p^1}{2}, \end{cases}$$

und diejenigen der Verticalen

$$(11) \quad \begin{cases} V_m = \mathfrak{B}_m - (n-m)(n-m-1) \frac{\nu-m}{\nu} \frac{p^1}{2n}, \\ V_m = \mathfrak{B}_m + m(m+1) \frac{\nu-m+n}{\nu} \frac{p^1}{2n}. \end{cases}$$

Diese Gleichungen ergeben folgende Grenzwerte:

$$D_2 = 9,72 + 0,607 \frac{72 \cdot 2 \cdot 5,76}{4 \cdot 3,6} = 44,68$$

$$D_3 = 6,46 + 0,607 \frac{56 \cdot 4,86 \cdot 6,58}{7,86 \cdot 4,8} = 35,27$$

$$D_4 = 3,80 + 0,607 \frac{42 \cdot 11,47 \cdot 7,12}{15,47 \cdot 5,5} = 28,27$$

$$D_5 = 1,27 + 0,607 \frac{30 \cdot 45 \cdot 7,4}{50 \cdot 5,88} = 21,89,$$

$$D_2 = 9,72 - 0,607 \frac{2 \cdot 18 \cdot 5,76}{4 \cdot 3,6} = 3,89$$

$$D_3 = 6,46 - 0,607 \frac{6 \cdot 14,86 \cdot 6,58}{7,86 \cdot 4,8} = - 2,98$$

$$D_4 = 3,80 - 0,607 \frac{12 \cdot 21,47 \cdot 7,12}{15,47 \cdot 5,5} = - 9,29$$

$$D_5 = 1,27 - 0,607 \frac{20 \cdot 55 \cdot 7,4}{50 \cdot 5,88} = - 15,53;$$

$$V_1 = 2,70 - 0,607 \frac{72 \cdot 0}{1} = 2,70$$

$$V_2 = - 3,37 - 0,607 \frac{56 \cdot 2}{4} = - 20,37$$

$$V_3 = - 2,01 - 0,607 \frac{42 \cdot 4,86}{7,86} = - 17,77$$

$$V_4 = - 0,23 - 0,607 \frac{6 \cdot 5 \cdot 11,47}{15,47} = - 13,73,$$

$$V_1 = 2,70 + 0,607 \frac{2 \cdot 10}{1} = 14,84$$

$$V_2 = - 3,37 + 0,607 \frac{6 \cdot 12}{4} = 7,56$$

$$V_3 = - 2,01 + 0,607 \frac{12 \cdot 14,86}{7,86} = 11,76$$

$$V_4 = - 0,23 + 0,607 \frac{20 \cdot 21,47}{15,47} = 16,62.$$

Die Grenzwerte von  $V_5$  bleiben wie oben bestimmt.

Wäre bei gegebener Trägerhöhe  $h$  eine ungerade Felderzahl  $n$  verlangt gewesen, so würde zunächst der Bogenpfeil (die Ellipsenhöhe)  $f$  festzustellen gewesen sein. Nach 2) hat man

$$h_{\frac{n-1}{2}} = h = \frac{2f}{n} \sqrt{\frac{n-1}{2} \left( n - \frac{n-1}{2} \right)},$$

woraus der in 2) zu verwendende Pfeil

$$(12) \quad f = \frac{nh}{\sqrt{n^2 - 1}}.$$

Beispielsweise erhält man für  $h = 6$ ,  $n = 9$  den Pfeil  $f = 6,037$  und aus 2)

für $m =$	1	2	3	4,
$h_m =$	3,793	5,018	5,689	6 m.

Soll die Trägerhöhe auch nach den Enden hin grösser als oben gefunden bleiben (etwa damit die Diagonalen daselbst wie beim Schwedlerträger nur Zug erhalten), so kann dies durch Einschalten eines Stückes Parallelträger erreicht werden. Erhalten beispielsweise die zwei mittleren Felder horizontale Gurtungen, so liefert 2) für den übrigen Theil des Trägers mit  $f = h = 6$ ,  $n = 8$

$$h_m = \frac{3}{2} \sqrt{m(8 - m)},$$

woraus

für $m =$	1	2	3	4,
$h_m =$	3,969	5,196	5,809	6 m.

Werden vier Felder Parallelträger eingeschaltet, so entsteht die in Fig. 77 angedeutete Trägerform.

Schliesslich bemerken wir, dass wenn oben und anderwärts die Stablängen nur bis auf zwei Decimalen genau angegeben wurden, dies als genügend für die Berechnung der Beanspruchungen und im Interesse der Vereinfachung des Drucks geschah, während die Stablängen für die Ausführung zweckmässig bis auf Millimeter genau gerechnet werden, wie es auch in den Constructionswerkstätten üblich ist.

**Beispiel 36. Einfaches System mit Verticalen und beliebigen Gurtungsformen (Ellipsenträger). Berechnung für bewegte Radlastzüge.**

Die Träger des vorigen Beispiels sollen einer eingleisigen Eisenbahnbrücke angehören und für bewegte Radlastzüge, zusammengesetzt aus Locomotiven der Radanordnung Fig. 18, berechnet werden.



Bis zur Ableitung der Grenzbeanspruchungen ist wie im vorigen Beispiele zu verfahren. Als untere Grenzwerte der Gurtungskräfte hat man die dort berechneten Beanspruchungen durch Eigengewicht allein. Setzen wir für Belastung durch Zug I (Fig. 23 u. 24) von 0 bis  $l$ , Rad  $O$  bei Verticale  $m$ ,

$$(1) \quad C_m = (n - m) \sum_0^m Pa + m \sum_m^n P(l - a),$$

so sind nach § 33, 1) 2) die oberen Grenzwerte der Gurtungskräfte

$$(2) \quad X_m = \mathfrak{X}_m - C_m \frac{x_m}{lh_m},$$

$$(3) \quad Z_m = \mathfrak{Z}_m + C_{m-1} \frac{x_m}{lh_{m-1}} = - \frac{x_m}{x_{m-1}} X_{m-1}.$$

Da die Schnittpunkte der Richtungslinien aller Stäbe des Obergurts mit denjenigen des Untergurts ausserhalb der Spannweite liegen (gewöhnliche Gurtungsformen), so ergeben sich nach § 33, 7) 8) 11) 12) die Grenzbeanspruchungen der Diagonalen und Verticalen wie folgt. Belastung durch Zug II (Fig. 22) von  $m$  bis  $n$ , Vorderrad  $O$  bei Verticale  $m$ ,

$$(4) \quad D_m = \mathfrak{D}_m + \frac{d_m}{h_{m-1}} \frac{\varepsilon - m}{\varepsilon l} \sum_m^n P(l - a),$$

Belastung durch Zug II von 0 bis  $m - 1$ , Vorderrad  $O$  bei Verticale  $m - 1$ ,

$$(5) \quad D_m = \mathfrak{D}_m - \frac{d_m}{h_{m-1}} \frac{\varepsilon - m + n}{\varepsilon l} \sum_0^{m-1} Pa;$$

Belastung durch Zug II von  $m + 1$  bis  $n$ , Vorderrad  $O$  bei Verticale  $m + 1$ ,

$$(6) \quad V_m = \mathfrak{V}_m - \frac{v - m}{vl} \sum_{m+1}^n P(l - a),$$

Belastung durch Zug II von 0 bis  $m$ , Vorderrad  $O$  bei Verticale  $m$ ,

$$(7) \quad V_m = \mathfrak{V}_m + \frac{v - m + n}{vl} \sum_0^m Pa.$$

Mit Rücksicht auf die in Beispiel 6 berechneten Werthe der  $\sum$  liefern vorstehende Gleichungen bei der ersten Richtung des Zuges I (die der zweiten entsprechenden Resultate sind in Klammern beigesetzt) für den Obergurt:

$$\begin{aligned}
 X_1 &= -29,16 - (9 \cdot 54,2 + 1 \cdot 1996) \frac{5,76}{45 \cdot 3,6} = -117,47 \text{ tn } (-113,19) \\
 X_2 &= -31,46 - (8 \cdot 144 + 2 \cdot 1586) \frac{4,66}{45 \cdot 4,8} = -124,74 \text{ „ } (-122,19) \\
 X_3 &= -35,18 - (7 \cdot 285 + 3 \cdot 1208) \frac{4,55}{45 \cdot 5,5} = -138,48 \text{ „ } (-138,31) \\
 X_4 &= -37,36 - (6 \cdot 490 + 4 \cdot 884) \frac{4,52}{45 \cdot 5,88} = -147,98 \text{ „ } (-146,04) \\
 X_5 &= -37,97 - (5 \cdot 714 + 5 \cdot 617) \frac{4,50}{45 \cdot 6} = -148,89 \text{ „ } (-148,89),
 \end{aligned}$$

und für den Untergurt:

$$\begin{aligned}
 Z_1 = Z_2 &= 22,78 + (9 \cdot 54,2 + 1 \cdot 1996) \frac{1}{36} = 91,77 \text{ tn } (88,43) \\
 Z_3 &= 30,37 + (8 \cdot 144 + 2 \cdot 1586) \frac{1}{48} = 120,45 \text{ „ } (117,98) \\
 Z_4 &= 34,79 + (7 \cdot 285 + 3 \cdot 1208) \frac{1}{55} = 136,95 \text{ „ } (136,79) \\
 Z_5 &= 37,19 + (6 \cdot 490 + 4 \cdot 884) \frac{1}{58,8} = 147,32 \text{ „ } (145,39).
 \end{aligned}$$

Wie man sieht hätte es genügt, die erste Zugrichtung allein zu berücksichtigen, was bei einfachen Balkenfachwerken gewöhnlich zutrifft. Natürlich hat man eventuell nur die  $C_m$  für beide Zugrichtungen zu berechnen. Weiter folgen in Tonnen die Grenzbeanspruchungen der Diagonalen:

$$\begin{aligned}
 D_2 &= 9,72 + \frac{5,76 \cdot 2 \cdot 1836}{3,6 \cdot 4 \cdot 45} = 42,36 \\
 D_3 &= 6,46 + \frac{6,58 \cdot 4,86 \cdot 1442}{4,8 \cdot 7,86 \cdot 45} = 33,62 \\
 D_4 &= 3,80 + \frac{7,12 \cdot 11,47 \cdot 1087}{5,5 \cdot 15,47 \cdot 45} = 26,98 \\
 D_5 &= 1,27 + \frac{7,4 \cdot 45 \cdot 776}{5,88 \cdot 50 \cdot 45} = 20,80, \\
 D_2 &= 9,72 - \frac{5,76 \cdot 12 \cdot 60,4}{3,6 \cdot 4 \cdot 45} = 3,28 \\
 D_3 &= 6,46 - \frac{6,58 \cdot 14,86 \cdot 170}{4,8 \cdot 7,86 \cdot 45} = -3,35 \\
 D_4 &= 3,80 - \frac{7,12 \cdot 21,47 \cdot 316}{3,5 \cdot 15,47 \cdot 45} = -8,82 \\
 D_5 &= 1,27 - \frac{7,4 \cdot 55 \cdot 530}{5,88 \cdot 50 \cdot 45} = -15,03;
 \end{aligned}$$

und die Grenzbeanspruchungen der Verticalen:

$$V_1 = 2,70 - \frac{0 \cdot 1836}{1 \cdot 45} = 2,70$$

$$V_2 = -3,37 - \frac{2 \cdot 1442}{4 \cdot 45} = -19,39$$

$$V_3 = -2,01 - \frac{4,86 \cdot 1087}{7,86 \cdot 45} = -16,95$$

$$V_4 = -0,23 - \frac{11,47 \cdot 776}{15,47 \cdot 45} = -13,02,$$

$$V_1 = 2,70 + \frac{10 \cdot 60,4}{1 \cdot 45} = 16,12$$

$$V_2 = -3,37 + \frac{12 \cdot 170}{4 \cdot 45} = 7,99$$

$$V_3 = -2,01 + \frac{14,86 \cdot 316}{7,86 \cdot 45} = 11,27$$

$$V_4 = -0,23 + \frac{21,47 \cdot 530}{15,47 \cdot 45} = 16,11.$$

Der obere Grenzwert von  $V_1$  wird mit Zug I noch grösser als mit Zug II. Die Bedingung „Summe aller Verticalkräfte gleich Null“ in Anwendung auf Knotenpunkt 1 des Untergurts ergibt für beliebige Belastung

$$(8) \quad V_1 = K_u,$$

unter  $K_u$  die Belastung jenes Knotenpunkts verstanden. Das grösste  $K_u$  und damit auch die grösste Beanspruchung der Verticale 1 folgt danach für die in Fig. 78 angedeutete Stellung von Zug I mit Rad O bei Verticale 1

$$V_1 = 2,70 + 6 + 2 \cdot 6 \frac{3,2}{4,5} + 4 \frac{2}{4,5} = 19,01 \text{ tn.}$$

Die Grenzwerte von  $V_5$  folgen aus B. 35, 5)

$$V_5 = \mathfrak{B}_5 = 0,67 \text{ tn,}$$

$$V_5 = \frac{4}{75} 148,89 - 1,35 = 6,59 \text{ tn.}$$

Als Grenzwerte der Stützenreactionen schliesslich erhält man wie in Beispiel 27 und 33

$$V = 82,34 \text{ tn,}$$

$$\mathfrak{B} = 20,25 \text{ tn.}$$

Ueber Anwendung von Gegendiagonalen im vorliegenden Falle siehe Beispiel 71.

**Aufgabe 32. Einfaches System mit Verticalen und beliebigen Gurtungsformen. Anwendung von Lastäquivalenten.**

Die Grenzwerte der Stabkräfte von Fachwerken einfachen Systems mit Verticalen und beliebigen Gurtungsformen mit Rücksicht auf die Lastäquivalente direct befahrener vollwandiger Träger anzugeben.

**Gurtungsstäbe.** Wir machen von den Resultaten der Aufgabe 29 Gebrauch. Da die Drehpunkte  $u$  für die Berechnung der Gurtungskräfte stets bei  $c$  oder  $v$  liegen, so ergeben sich die Grenzbeanspruchungen der Gurtungen nach den Gleichungen des § 32 mit demjenigen constanten  $p$ , welches für einen durch den angenommenen Lastzug I direct befahrenen vollwandigen Träger der Spannweite  $l$  dem  $\max M_x$  bei der Trägermitte entspricht. Man kann dies  $p$  etwas nach oben abrunden.

**Füllungsglieder.** Gewöhnliche Gurtungsformen. Für die Beanspruchungen der Diagonalen und Verticalen hat man nach § 31, 3) 4) in allen Fällen

$$D_m = \mp M_s \frac{d_m}{\varepsilon \lambda h_{m-1}} \quad \text{mit} \quad u = (m - \varepsilon) \lambda,$$

$$V_m = \pm M_s \frac{1}{v \lambda} \quad \text{mit} \quad u = (m - v) \lambda.$$

Liegt nun  $m - \varepsilon$  nicht zwischen 0 und  $n$ , d. h. schneiden sich die Richtungslinien der Gurtungsstäbe  $x_m, z_m$  ausserhalb der Spannweite  $l$ , dann ergeben sich mit A. 29, 2) 4) die Grenzwerte von  $D_m$

$$(1) \quad \begin{cases} D_m = \mathfrak{D}_m \pm \frac{d_m}{h_{m-1}} \frac{\varepsilon - m}{2 \varepsilon l} (l - v)^2 p_v, \\ D_m = \mathfrak{D}_m \mp \frac{d_m}{h_{m-1}} \frac{\varepsilon - m + n}{2 \varepsilon l} c^2 p_c, \end{cases}$$

worin nach § 31, 13)

$$(2) \quad c = (m - 1) \lambda, \quad v = m \lambda.$$

Liegt  $m - v$  nicht zwischen 0 und  $n$ , d. h. schneiden sich die Richtungslinien der Gurtungsstäbe  $x_m, z_{m+1}$  ausserhalb der Spannweite  $l$ , so folgen mit A. 29, 2) 4) die Grenzwerte von  $V_m$

$$(3) \quad \begin{cases} V_m = \mathfrak{V}_m \mp \frac{v - m}{2 v l} (l - v)^2 p_v, \\ V_m = \mathfrak{V}_m \pm \frac{v - m + n}{2 v l} c^2 p_c, \end{cases}$$

worin, wenn die Fahrbahnlast angreift

$$(4) \text{ a) im Knotenpunkte } m \text{ der X-Gurtung, } c = (m-1)\lambda, v = m\lambda,$$

$$(5) \text{ b) „ „ „ } m \text{ „ Z-Gurtung, } c = m\lambda, v = (m+1)\lambda.$$

Greift die Fahrbahnlast zwischen beiden Gurten in Verticale  $m$  an, so sind bei Berechnung des Verticalenstücks von Fahrbahn bis Z-Gurtung die Werthe 4), bei Berechnung des Verticalenstücks von Fahrbahn bis X-Gurtung die Werthe 5) massgebend. In 1) 3) bezeichnen  $p_s, p_c$  diejenigen Lastäquivalente, welche für einen durch den angenommenen Lastzug II direct befahrenen vollwandigen Träger der Spannweite  $l$  dem pos  $\max V_x$  bei  $x = v$  bzw. dem neg  $\max V_x$  bei  $x = c$  entsprechen.

Wir wollen noch einige Ausnahmen erwähnen, welche jedoch bis zu ihrem Auftreten in Beispielen übergangen werden können.

Für  $c = 0$  oder  $v = l$  tritt die untere Grenzbeanspruchung für Eigengewicht allein ein. Die obere findet sich zufolge A. 29 meist noch etwas ungünstiger als aus vorstehenden Gleichungen, wenn (der Berechnung mit Zug I bei bewegten Radlastzügen entsprechend) nach den für gleichmässig vertheilte bewegte Last bestehenden Formeln des § 32 mit dem für die Gurtungsstäbe gültigen  $p$  gerechnet wird, also beispielsweise für  $D_1$  nach

$$(6) \quad D_1 = \mathfrak{D}_1 \pm (n-1) \frac{d_1}{h_1} \frac{p\lambda}{2}$$

und für  $V_1$  im Falle a) nach

$$(7) \quad V_1 = \mathfrak{B}_1 \mp (n-1) \frac{v-1}{v} \frac{p\lambda}{2}.$$

Für  $D_n$  und für  $V_{n-1}$  im Falle b) tritt  $v = l$  ein, doch hat man diese Stabkräfte der Symmetrie zur Trägermitte wegen gewöhnlich nicht zu berechnen. Auch abgesehen von den Fällen  $c = 0$  und  $v = l$  kann Zug I und damit das entsprechende Lastäquivalent ungünstiger als Zug II wirken, was man, wenn man will, wie in Beispiel 67 berücksichtigen kann.

Für den häufig vorkommenden Grenzfall (Dreiecksträger, Trägerenden etc.), dass  $m - \varepsilon$  oder  $m - v$  gerade gleich Null oder  $n$  ist, tritt der untere Grenzwert von  $D_m$  oder  $V_m$  für Eigengewicht allein ein, den oberen wird man zufolge A. 29, c) gewöhnlich aus den für gleichmässig vertheilte bewegte Last gültigen Gleichungen mit dem durch A. 29, c) bestimmten  $p$  erhalten, wozu die  $c, v$  wie oben bestimmt sind. Analoges gilt für  $V_1$  im Falle b) und  $V_{n-1}$  im Falle a)

bei Linsenträgern, für welche  $m - v$  nur wenig von 0 oder  $n$  verschieden ist (Beispiel 67). Mittelst der Formeln 1) 4) würde man die oberen Grenzwerte fast immer weniger ungünstig erhalten.

**Füllungsglieder. Ungewöhnliche Gurtungsformen.** Liegt  $m - \varepsilon$  zwischen 0 und  $n$ , so tritt der untere Grenzwert von  $D_m$  für Eigengewicht allein ein, und liegt  $m - v$  zwischen 0 und  $n$ , so gilt das Gleiche für  $V_m$ . Abgesehen von dem bereits erwähnten Grenzfalle kommen jedoch solche Fälle bei Balkenbrücken (für Dachbinder brauchen wir keine Lastäquivalente) kaum vor. Es würde also selbst dann keinen Zweck haben, genaue Lastäquivalente festzustellen, wenn die Berechnung mit Radlastzügen nach den von uns gegebenen Methoden und Formeln nicht ebenso einfach oder noch einfacher wie die Berechnung mit Lastäquivalenten wäre, obschon auch die Letztere durch die oben und in Aufgabe 29 entwickelten Regeln wesentlich einfacher und genauer wie bisher wird. Bei ungewöhnlichen Gurtungsformeln wird man also stets mit den wirklichen Lasten rechnen, wenn grössere Genauigkeit als mit constantem (den Gurtungskräften entsprechendem)  $p$  erreicht werden soll.

**Bemerkungen.** Wir hätten die Gleichungen 1) 3) auch aus § 33, 7)–12) in analoger Weise wie am Schlusse von Aufgabe 29 angegeben erhalten können und ebenso aus § 32, 7)–9) mit den durch A. 29, 1) 3) bestimmten Werthen von  $p$ .

Die Gleichungen 1) 3) nehmen speziell für den Parallelträger mit horizontalen Gurtungen wegen  $h_m = h$ ,  $d_m = d$ ,  $\varepsilon = v = \infty$  folgende Formen an:

$$(8) \quad D_m = \mathfrak{D}_m \pm (l - v)^2 \frac{p_v d}{2lh}, \quad D_m = \mathfrak{D}_m \mp c^2 \frac{p_c d}{2lh},$$

$$(9) \quad V_m = \mathfrak{V}_m \mp (l - v)^2 \frac{p_v}{2l}, \quad V_m = \mathfrak{V}_m \pm c^2 \frac{p_c}{2l},$$

übereinstimmend mit A. 30, 7).

Nach 1) 3) und den daraus entstehenden Spezialformeln müssen sich ihrer Herleitung gemäss genau dieselben Grenzwerte ergeben wie bei directer Berechnung mit Lastzug II. Bezüglich der Gültigkeit der Formeln bei wechselnder Stellung der Diagonalen bleibt es bei dem in § 31 Gesagten.

**Beispiel 37. Einfaches System mit Verticalen bei beliebigen Gurtungsformen (Ellipsenträger). Berechnung mit Lastäquivalenten.**

Die Brückenträger des Beispiels 35 auf Grund gleichmässig vertheilter Lasten so zu berechnen, dass dieselben Grenzbeanspruchungen

der Füllungsglieder und annähernd dieselben Grenzbeanspruchungen der Gurtungen wie mit den Radlastzügen des Beispiels 36 entstehen.

Bis zur Berechnung der Grenzbeanspruchungen bleibt alles in Beispiel 35 Gesagte gültig. Als untere Grenzwerte der Gurtungskräfte hat man deren dort berechnete Werthe für Eigengewicht allein, die oberen Grenzwerte sind mit constantem  $p$  zu berechnen und zwar wäre wie für die  $\max M_x$  eines durch den gewählten Lastzug I direct befahrenen vollwandigen Trägers der Spannweite 45 m zu setzen  $p = 2,63$  tn (Beispiel 8) und eventuell nach oben abzurunden (Beispiel 29). Wählt man  $p = 2,7$ , so ergeben sich die in Beispiel 35 gefundenen Werthe.

Nach Aufgabe 32 hat man als Grenzbeanspruchungen der Diagonalen mit  $c = (m-1)\lambda$ ,  $v = m\lambda$ ,

$$(1) \quad \begin{cases} D_m = \mathfrak{D}_m + \frac{d_m}{h_{m-1}} \frac{\varepsilon - m}{2n\varepsilon} \lambda (n-m)^2 p_v, \\ D_m = \mathfrak{D}_m - \frac{d_m}{h_{m-1}} \frac{\varepsilon - m + n}{2n\varepsilon} \lambda (m-1)^2 p_c, \end{cases}$$

und als Grenzbeanspruchungen der Verticalen mit  $c = m\lambda$ ,  $v = (m+1)\lambda$ ,

$$(2) \quad \begin{cases} V_m = \mathfrak{V}_m - \frac{v - m}{2nv} \lambda (n-m-1)^2 p_v, \\ V_m = \mathfrak{V}_m + \frac{v - m + n}{2nv} \lambda m^2 p_c, \end{cases}$$

unter  $p_v$ ,  $p_c$  diejenigen Lastäquivalente verstanden, welche für einen durch den angenommenen Lastzug II direct befahrenen vollwandigen Träger der Spannweite 45 m dem  $\max V_x$  bei  $x = v$  bzw. dem  $\max V_x$  bei  $x = c$  entsprechen. Dieselben lassen sich der Tabelle des Beispiels 8 entnehmen und wir erhalten damit in Tonnen für die Diagonalen:

$$\begin{aligned} D_2 &= 9,72 + \frac{5,76 \cdot 2 \cdot 4,5 \cdot 64}{3,6 \cdot 20 \cdot 4} 2,83 = 42,32 \\ D_3 &= 6,46 + \frac{6,58 \cdot 4,86 \cdot 4,5 \cdot 49}{4,8 \cdot 20 \cdot 7,86} 2,90 = 33,56 \\ D_4 &= 3,80 + \frac{7,12 \cdot 11,47 \cdot 4,5 \cdot 36}{5,5 \cdot 20 \cdot 15,47} 2,98 = 26,97 \\ D_5 &= 1,27 + \frac{7,4 \cdot 4,5 \cdot 4,5 \cdot 25}{5,88 \cdot 20 \cdot 50} 3,06 = 20,76, \\ D_2 &= 9,72 - \frac{5,76 \cdot 12 \cdot 4,5 \cdot 1}{3,6 \cdot 20 \cdot 4} 5,94 = 3,31 \\ D_3 &= 6,46 - \frac{6,58 \cdot 14,86 \cdot 4,5 \cdot 4}{4,8 \cdot 20 \cdot 7,86} 4,21 = - 3,38 \end{aligned}$$

$$D_4 = 3,80 - \frac{7,12 \cdot 21,47}{5,5 \cdot 20} \cdot \frac{4,5 \cdot 9}{15,47} \cdot 3,46 = - 8,79$$

$$D_5 = 1,27 - \frac{7,4 \cdot 55}{5,88 \cdot 20} \cdot \frac{4,5 \cdot 16}{50} \cdot 3,27 = - 15,01,$$

und für die Verticalen:

$$V_1 = 2,70 - \frac{0 \cdot 4,5 \cdot 64}{20 \cdot 1} \cdot 2,83 = 2,70$$

$$V_2 = - 3,37 - \frac{2 \cdot 4,5 \cdot 49}{20 \cdot 4} \cdot 2,90 = - 19,36$$

$$V_3 = - 2,01 - \frac{4,86 \cdot 4,5 \cdot 36}{20 \cdot 7,86} \cdot 2,98 = - 16,94$$

$$V_4 = - 0,23 - \frac{11,47 \cdot 4,5 \cdot 25}{20 \cdot 15,47} \cdot 3,06 = - 12,99,$$

$$V_1 = 2,70 + \frac{10 \cdot 4,5 \cdot 1}{20 \cdot 1} \cdot 5,94 = 16,07$$

$$V_2 = - 3,37 + \frac{12 \cdot 4,5 \cdot 4}{20 \cdot 4} \cdot 4,21 = 8,00$$

$$V_3 = - 2,01 + \frac{14,86 \cdot 4,5 \cdot 9}{20 \cdot 7,86} \cdot 3,46 = 11,26$$

$$V_4 = - 0,23 + \frac{21,47 \cdot 4,5 \cdot 16}{20 \cdot 15,47} \cdot 3,27 = 16,11.$$

Die Grenzwerte von  $V_5$  bleiben wie in Beispiel 35 bestimmt und als Grenzwerte der Stützenreactionen hat man wie in Beispiel 30 und 32

$$V = 82,35 \text{ tn}, \quad \mathfrak{B} = 20,25 \text{ tn}.$$

Wie im vorigen Beispiele mit Zug I ein grösseres  $V_1$  als mit Zug II zu erreichen war, so gilt das Gleiche für die entsprechenden Lastäquivalente. Wir erhalten aus

$$(3) \quad V_1 = K_u$$

zufolge A. 29, c) den oberen Grenzwert von  $V_1$  mit demjenigen  $p$ , welches für einen durch Zug I direct befahrenen vollwandigen Träger der Spannweite  $v = 9m$  dem  $\max M_x$  bei der Trägermitte entspricht

$$V_1 = \mathfrak{B}_1 + p\lambda = 2,70 + 3,62 \cdot 4,5 = 18,99 \text{ tn}.$$

Die hier berechneten Grenzbeanspruchungen der Füllungsglieder müssen, soweit nicht kleine Differenzen durch Vernachlässigung von Decimalstellen und Interpolationen entstehen, genau mit den im vorigen Beispiele erhaltenen übereinstimmen. Ueber Anwendung von Gegendiagonalen im vorliegenden Falle siehe Beispiel 71.



**Beispiel 38. Dachbinder einfachen Systems mit Verticalen und beliebigen Gurtungsformen (Kreissichelträger). Grenzwerte der Stabkräfte.**

Für den in Fig. 79 angedeuteten Dachbinder, dessen Gurtungen Kreisbogen eingeschrieben sind, seien gegeben: Spannweite  $l = 32$  m, grösste Trägerhöhe  $h = 4$  m, Pfeil des Obergurts 5,1174 m, Pfeil des Untergurts 1,1174 m, sowie per laufenden Meter Träger feste Last  $g = 0,5$  tn, Belastung durch Schnee und Winddruck  $p = 0,55$  tn. Von der festen Last sind 0,4 tn auf die Knotenpunkte des Obergurts und 0,1 tn auf diejenigen des Untergurts zu rechnen. Die bewegte Last soll beliebige Theile der Dachfläche treffen können. Es sind die Grenzwerte der Stabkräfte und Stützenreactionen festzustellen (vergl. Beispiel 75).

**Formberechnung.** Wird der Ursprung der Coordinaten in das Auflager links gelegt, so hat man als Gleichung der Kreisbogen, welche die Gurtungen bestimmen, nach § 17, 37)

$$(1) \quad y = -\left(\frac{l^2}{8f} - \frac{f}{2}\right) + \sqrt{\left(\frac{l^2}{8f} - \frac{f}{2}\right)^2 + x(l-x)},$$

also für den Obergurt mit  $l = 32$ ,  $f = 5,1174$ ,

$$y = -22,454 + \sqrt{504,182 + x(32-x)},$$

und für den Untergurt mit  $l = 32$ ,  $f = 1,1174$ ,

$$y = -113,993 + \sqrt{12994,4 + x(32-x)}.$$

Wir erhalten danach, wenn  $\xi_m$ ,  $\delta_m$  die Ordinaten des Knotenpunkts  $m$  im Obergurte und Untergurte bezeichnen,

für	$m =$	1	2	3	4:
	$\xi_m =$	2,369	3,931	4,825	5,117
	$\delta_m =$	0,490	0,839	1,048	1,117
	$h_m = \xi_m - \delta_m =$	1,879	3,092	3,777	4
	$x_m = \sqrt{\lambda^2 + (\xi_m - \xi_{m-1})^2} =$	4,649	4,294	4,099	4,011
	$z_m = \sqrt{\lambda^2 + (\delta_m - \delta_{m-1})^2} =$	4,030	4,015	4,006	4,001
	$d_m = \sqrt{\lambda^2 + (\xi_{m-1} - \delta_m)^2} =$	4,030	4,283	4,931	5,454
	$\varepsilon = \frac{h_m}{h_m - h_{m-1}} =$	1	2,55	5,51	17,94
	$\nu = \frac{h_m}{\xi_m + \delta_m - \xi_{m-1} - \delta_{m+1}} =$	0,93	2,29	4,58.	

**Eigengewicht allein.** Für die vom Eigengewichte allein her-  
rührenden Stabkräfte hat man nach § 31, 16) auf der ersten Träger-  
hälfte

$$(2) \quad \begin{cases} \mathfrak{X}_m = -m(n-m) \frac{x_m}{h_m} \frac{g\lambda}{2}, \\ \mathfrak{Z}_m = (m-1)(n-m+1) \frac{z_m}{h_{m-1}} \frac{g\lambda}{2}, \\ \mathfrak{D}_m = \left(n-2m+1 - m \frac{n-m}{\varepsilon}\right) \frac{d_m}{h_{m-1}} \frac{g\lambda}{2}, \\ \mathfrak{B}_m = -\left(n-2m + \frac{g_x - g_z}{g} - m \frac{n-m}{\nu}\right) \frac{g\lambda}{2}. \end{cases}$$

Diese Gleichungen nehmen mit  $n=8$ ,  $\lambda=4$ ,  $g=0,5$ ,  $g_x=0,4$ ,  
 $g_z=0,1$  folgende Formen an:

$$\begin{aligned} \mathfrak{X}_m &= -m(8-m) \frac{x_m}{h_m}, \\ \mathfrak{Z}_m &= (m-1)(9-m) \frac{z_m}{h_{m-1}}, \\ \mathfrak{D}_m &= \left(9-2m - m \frac{8-m}{\varepsilon}\right) \frac{d_m}{h_{m-1}}, \\ \mathfrak{B}_m &= m\left(2 + \frac{8-m}{\nu}\right) - 8,6, \end{aligned}$$

und wir erhalten danach mit den oben zusammengestellten Werthen  
die Eigengewichtsbeanspruchungen in Tonnen:

$$\begin{array}{llll} \mathfrak{X}_1 = -17,32 & & & \mathfrak{B}_1 = 0,93 \\ \mathfrak{X}_2 = -16,66 & \mathfrak{Z}_2 = 14,96 & \mathfrak{D}_2 = 0,67 & \mathfrak{B}_2 = 0,64 \\ \mathfrak{X}_3 = -16,28 & \mathfrak{Z}_3 = 15,55 & \mathfrak{D}_3 = 0,44 & \mathfrak{B}_3 = 0,68. \\ \mathfrak{X}_4 = -16,04 & \mathfrak{Z}_4 = 15,89 & \mathfrak{D}_4 = 0,16 & \end{array}$$

Für  $\mathfrak{Z}_1$ ,  $\mathfrak{D}_1$  liefern die Gleichungen den unbestimmten Ausdruck  $0:0$ .  
Indessen ergibt die Bedingung „Summe aller Horizontalkräfte gleich  
Null“ in Anwendung auf Knotenpunkt 1 des Untergurts für jede  
Belastung

$$(3) \quad Z_1 = \frac{z_1}{z_2} Z_2,$$

also für Eigengewicht allein  $\mathfrak{Z}_1 = 15,01$  tn. Für die mittlere Ver-  
ticale hat man nach A. 28, 5)

$$(4) \quad \mathfrak{B}_0 = \left(\frac{g n^2}{4h} \Delta - g_x\right) \lambda,$$

woraus mit  $\Delta = \varepsilon_0 - \varepsilon_{0-1} = 0,292$  folgt  $\mathfrak{B}_4 = 0,74$  tn. Die vom Eigengewichte allein herrührenden Stützenreactionen schliesslich sind

$$\mathfrak{B} = \frac{gl}{2} = 8 \text{ tn.}$$

**Grenzwerte.** Die unteren Grenzwerte der Gurtungskräfte sind die soeben berechneten Beanspruchungen durch Eigengewicht allein. Für die oberen hat man nach § 32, 6)

$$(5) \quad X_m = \frac{q}{g} \mathfrak{X}_m, \quad Z_m = \frac{q}{g} \mathfrak{Z}_m,$$

also wegen  $q : g = 1,05 : 0,5 = 2,1$  in Tonnen

$$\begin{array}{ll} X_1 = -36,37 & Z_1 = 31,52 \\ X_2 = -34,99 & Z_2 = 31,42 \\ X_3 = -34,19 & Z_3 = 32,66 \\ X_4 = -33,68 & Z_4 = 33,57. \end{array}$$

Da für sämtliche Diagonalen  $m - \varepsilon$  nicht zwischen 0 und  $n$  liegt, so sind deren Grenzbeanspruchungen nach § 32, 7) und § 19, 4)

$$(6) \quad \begin{cases} D_m = \mathfrak{D}_m - \frac{(m-1)^2 (\varepsilon - m + n)}{(n-1) \varepsilon - n + m} \frac{d_m}{h_{m-1}} \frac{p\lambda}{2}, \\ D_m = \frac{q+g}{g} \mathfrak{D}_m - (D_m), \end{cases}$$

worin wie in 8) der erste Grenzwert im Ausdrucke für den zweiten durch eine Klammer ausgezeichnet ist. Für die Verticale 1 ist  $0 < m - \nu < n$  und damit nach § 32, 11) und § 19, 10)

$$(7) \quad V_1 = \frac{q}{g} \mathfrak{B}_1 - \frac{p\lambda}{g} g_1, \quad V_1 = \mathfrak{B}_1.$$

Für die Verticalen 2 und 3 liegt  $m - \nu$  nicht zwischen 0 und  $n$  und sind nach § 32, 8) und § 19, 8) die Grenzbeanspruchungen

$$(8) \quad \begin{cases} V_m = \mathfrak{B}_m + \frac{(m-1)^2 (\nu - m + n)}{(n-1) \nu - n + m} \frac{p\lambda}{2}, \\ V_m = \frac{q+g}{g} \mathfrak{B}_m - \frac{p\lambda}{g} g_2 - (V_m). \end{cases}$$

Die Grenzbeanspruchungen der mittleren Verticale liefert A. 28, 8)

$$(9) \quad V_0 = \mathfrak{B}_0 + \frac{n-2}{4h} p\lambda\Delta, \quad V_0 = \mathfrak{B}_0 - \left(1 - \frac{n\Delta}{2h}\right) p\lambda.$$

Nach vorstehenden Gleichungen erhalten wir für die Diagonalen:

$$D_2 = 0,67 - \frac{1 \cdot 8,55 \cdot 4,28}{11,85 \cdot 1,88} 1,1 = -1,14, \quad D_2 = 3,1 \cdot 0,67 + 1,14 = 3,22$$

$$D_3 = 0,44 - \frac{4 \cdot 10,51 \cdot 4,93}{83,57 \cdot 3,09} 1,1 = -1,76, \quad D_3 = 3,1 \cdot 0,44 + 1,76 = 3,12$$

$$D_4 = 0,16 - \frac{9 \cdot 21,94 \cdot 5,45}{121,58 \cdot 3,78} 1,1 = -2,42 \quad D_4 = 3,1 \cdot 0,16 + 2,42 = 2,92,$$

und für die Verticalen:

$$V_1 = 0,93 \cdot 2,1 - 0,44 = 1,51, \quad V_1 = 0,93$$

$$V_2 = 0,64 + \frac{1 \cdot 8,29}{10,03} 1,1 = 1,55 \quad V_2 = 3,1 \cdot 0,64 - 1,55 = 0,43$$

$$V_3 = 0,68 + \frac{4 \cdot 9,58}{27,06} 1,1 = 2,24 \quad V_3 = 3,1 \cdot 0,68 - 2,24 = -0,13$$

$$V_4 = 0,74 + \frac{6 \cdot 0,292}{2 \cdot 4} 1,1 = 0,98 \quad V_4 = 0,74 - 0,708 \cdot 2,2 = -0,82.$$

Als Grenzwerte der Stützenreactionen hat man nach § 24 den Werth für Eigengewicht allein  $\mathfrak{B} = 8$  tn und

$$V = \frac{q}{g} \mathfrak{B} = 16,8 \text{ tn.}$$

Damit sind sämtliche verlangte Grenzwerte bestimmt. Dieselben findet man in Fig. 134 für eine Trägerhälfte eingetragen.

Es braucht kaum erwähnt zu werden, dass wir oben nur der Allgemeinheit wegen  $g$  von Null verschieden angenommen haben. Gewöhnlich denkt man sich bei Dachbindern die Belastung nur in den Knotenpunkten des Obergurts angreifend. — Eine genauere Berücksichtigung des einseitigen Winddrucks würde wie in Beispiel 57 und 58 vorzunehmen sein.

**Beispiel 39. Dachbinder einfachen Systems mit Verticalen und beliebigen Gurtungsformen. Grenzwerte der Stabkräfte mit Rücksicht auf schiefen Winddruck.**

Für den in Fig. 75 angedeuteten Dachbinder betrage die feste Last per Längeneinheit  $g = 0,6$  tn, wovon 0,35 auf die Knotenpunkte des Obergurts und 0,25 tn auf diejenigen des Untergurts kommen. Der Schneedruck, welcher auf beliebige Theile der Dachfläche wirksam angenommen werden soll, ist mit  $p = 0,35$  tn per Längeneinheit Träger in Rechnung zu ziehen. Winddruck per qm normal getroffener Fläche 150 kg, Windrichtung um  $10^\circ$  gegen den Horizont fallend parallel der Trägerebene. Die Grenzwerte der Stabkräfte zu berechnen, wenn einmal die erste, einmal die zweite Dachhälfte vom Winde getroffen wird.

**Eigengewicht allein.** Für die von der festen Last allein her-

rührenden Stabkräfte hat man nach § 31, 16) bei oben liegender X-Gurtung

$$(1) \quad \begin{cases} \mathfrak{X}_m = -m(n-m) \frac{x_m}{h_m} \frac{g\lambda}{2}, \\ \mathfrak{B}_m = (m-1)(n-m+1) \frac{z_m}{h_{m-1}} \frac{g\lambda}{2}, \\ \mathfrak{D}_m = \left(n-2m+1-m \frac{n-m}{\varepsilon}\right) \frac{d_m}{h_{m-1}} \frac{g\lambda}{2}, \\ \mathfrak{S}_m = -\left(n-2m+\frac{g_x-g_z}{g}-m \frac{n-m}{\nu}\right) \frac{g\lambda}{2}, \end{cases}$$

und im vorliegenden Falle mit  $n=8$ ,  $\lambda=4$ ,  $g=0,6$ ,  $g_x=0,35$ ,  $g_z=0,25$ ,  $x_m=4,47$ ,

$$\mathfrak{X}_m = -5,364 m (8-m) \frac{1}{h_m},$$

$$\mathfrak{B}_m = 1,2 (m-1) (9-m) \frac{z_m}{h_{m-1}},$$

$$\mathfrak{D}_m = 1,2 \left(9-2m-m \frac{8-m}{\varepsilon}\right) \frac{d_m}{h_{m-1}},$$

$$\mathfrak{S}_m = -9,8 + 1,2 m \left(2 + \frac{8-m}{\nu}\right).$$

Diese Gleichungen liefern mit Rücksicht auf die in Beispiel 34 zusammengestellten Werthe von  $z_m$ ,  $h_m$ ,  $d_m$ ,  $\varepsilon$ ,  $\nu$  folgende Stabkräfte in Tonnen:

$$\begin{array}{llll} \mathfrak{X}_1 = -12,51 & \mathfrak{B}_1 = 0 & \mathfrak{D}_1 = 11,53 & \mathfrak{S}_1 = -8,32 \\ \mathfrak{X}_2 = -24,11 & \mathfrak{B}_2 = 14,81 & \mathfrak{D}_2 = 10,53 & \mathfrak{S}_2 = -1,06 \\ \mathfrak{X}_3 = -23,66 & \mathfrak{B}_3 = 26,42 & \mathfrak{D}_3 = -0,41 & \mathfrak{S}_3 = 5,89 \\ \mathfrak{X}_4 = -17,16 & \mathfrak{B}_4 = 25,54 & \mathfrak{D}_4 = -7,28 & \end{array}$$

Die für einfaches System mit Verticalen abgeleiteten Formeln für  $V_m$  haben für  $V_0$  und  $V_4$  keine Gültigkeit; dagegen ergibt die Bedingung „Summe aller Horizontalkräfte gleich Null“ in Anwendung auf Knotenpunkt 0 des Untergurts und 4 des Obergurts, dass  $Z_1=0$  ist und die beiden mittleren Stäbe des Obergurts gleich stark beansprucht sind, wonach die Bedingung „Summe aller Verticalkräfte gleich Null“ in Anwendung auf dieselben Knotenpunkte für jede Belastung liefert

$$(2) \quad V + V_0 - 0,25 \cdot 2 = 0, \quad V_4 + K_4 + 2X_4 \frac{2}{4,47} = 0,$$

unter  $K_4$  die Belastung des Knotenpunkts 4 im Obergurt verstanden. Für Eigengewicht allein erhält man mit  $V = \mathfrak{B} = 0,6 \cdot 16 = 9,6$

$$\mathfrak{B}_0 = 0,5 - 9,6 = -9,1 \text{ tn},$$

$$\mathfrak{B}_4 = -0,35 \cdot 4 + 17,16 \frac{4}{4,47} = 13,95 \text{ tn}.$$

**Grenzwerte ohne Winddruck.** Die unteren Grenzwerte der Gurtungskräfte sind die oben berechneten Eigengewichtsbeanspruchungen, für die oberen hat man nach § 32, 6)

$$(3) \quad X_m = \frac{q}{g} x_m, \quad Z_m = \frac{q}{g} z_m,$$

worin nun

$$\frac{q}{g} = \frac{0,95}{0,6} = 1,583.$$

Die so entstehenden Grenzwerte wie alle weiter folgenden sind unten in einer Tabelle zusammengestellt. Da für

$m =$	1	2	3	4:
$m - \varepsilon =$	2,5	10,09	-1,66	0,88
$m - \nu =$	10,09	-1,66	0,88,	

also die fett gedruckten Werthe zwischen 0 und  $n$  liegen, so treten auch die Grenzwerte von  $D_1, D_4, V_3$  für Totalbelastung des ganzen Trägers und Eigengewicht allein ein (ungewöhnliche Gurtungsformen, § 32), die oberen Grenzwerte von  $D_1, D_4$  sind nach § 32, 13)

$$(4) \quad D_m = \frac{q}{g} \mathfrak{D}_m,$$

das heisst 1,583 mal so gross als die unteren, für den oberen Grenzwert von  $V_3$  hat man nach § 32, 11)

$$(5) \quad V_m = \mathfrak{B}_m - \left( n - 2m + 1 - m \frac{n-m}{\nu} \right) \frac{g\lambda}{2},$$

$$V_3 = 5,89 - \left( 3 - \frac{15}{2,12} \right) 0,7 = 8,74 \text{ tn}.$$

Die Grenzwerte von  $D_2, D_3, V_1, V_2$  sind nach § 32, 7) 8) bestimmt durch die Gleichungen

$$(6) \quad \begin{cases} D_m = \mathfrak{D}_m + \frac{(\varepsilon - m)(n - m)^2}{(n - 1)\varepsilon - n + m} \frac{\varepsilon - 1}{\varepsilon} \frac{d_m}{h_{m-1}} \frac{p\lambda}{2}, \\ D_m = \mathfrak{D}_m - \frac{(\varepsilon - m + n)(m - 1)^2}{(n - 1)\varepsilon - n + m} \frac{d_m}{h_{m-1}} \frac{p\lambda}{2}; \end{cases}$$

$$(7) \quad \begin{cases} V_m = \mathfrak{B}_m - \frac{(\nu - m)(n - m)^2}{(n - 1)\nu - n + m} \frac{\nu - 1}{\nu} \frac{p\lambda}{2}, \\ V_m = \mathfrak{B}_m + \frac{(\nu - m + n)(m - 1)^2}{(n - 1)\nu - n + m} \frac{p\lambda}{2}. \end{cases}$$

Wir erhalten in Tonnen:

$$D_2 = 10,53 + \frac{10,09 \cdot 36 \cdot 9,09 \cdot 4,06}{62,63 \cdot 8,09 \cdot 3} 0,7 = 16,66$$

$$D_3 = - 0,41 + \frac{1,66 \cdot 25 \cdot 3,66 \cdot 4,24}{27,62 \cdot 4,66 \cdot 2,67} 0,7 = 0,90,$$

$$D_2 = 10,53 - \frac{2,09 \cdot 1 \cdot 4,06}{62,63 \cdot 3} 0,7 = 10,21$$

$$D_3 = - 0,41 - \frac{9,66 \cdot 4 \cdot 4,24}{27,62 \cdot 2,67} 0,7 = - 1,97;$$

$$V_1 = - 8,32 - \frac{10,09 \cdot 49 \cdot 10,09}{70,63 \cdot 9,09} 0,7 = - 13,76$$

$$V_2 = - 1,06 - \frac{1,66 \cdot 36 \cdot 2,66}{19,62 \cdot 3,66} 0,7 = - 2,61,$$

$$V_1 = - 8,32 + \frac{2,09 \cdot 0}{70,63} 0,7 = - 8,32$$

$$V_2 = - 1,06 + \frac{9,66 \cdot 1}{19,62} 0,7 = - 0,72.$$

Nach 2) entstehen die Grenzwerte von  $V_0$  zugleich mit denjenigen von  $V$ , das heisst für Totalbelastung des ganzen Trägers und Eigengewicht allein. Der obere Grenzwert folgt mit  $V = 0,95 \cdot 16 = 15,2$

$$V_0 = 0,5 - 15,2 = - 14,70 \text{ tn.}$$

Um schliesslich zu entscheiden, für welche Belastung die Grenzwerte von  $V_4$  eintreten, bilden wir für den Trägertheil links eines Schnittes  $s$  durch Feld 4 die der „Verkehrslast“ allein entsprechende Momentengleichung für  $X_4$ , ausgedrückt durch die Knotenpunktlasten,

$$(V - K_0) 16 - K_1 \cdot 12 - K_2 \cdot 8 - K_3 \cdot 4 + X_4 \frac{5 \cdot 4}{4,47} = 0.$$

Nach Einsetzen von

$$V = K_0 + \frac{7}{8} K_1 + \frac{6}{8} K_2 + \frac{5}{8} K_3 + \frac{4}{8} K_4 + \frac{3}{8} K_5 + \frac{2}{8} K_6 + \frac{1}{8} K_7$$

wird daraus

$$\frac{10}{4,47} X_4 = - K_1 - 2 K_2 - 3 K_3 - 4 K_4 - 3 K_5 - 2 K_6 - K_7,$$

sodass der Beitrag der Verkehrslast zu  $V_4$  aus 2) folgt

$$V_4 = \frac{2}{5} (K_1 + 2 K_2 + 3 K_3 + 1,5 K_4 + 3 K_5 + 2 K_6 + K_7).$$

Hiernach tragen alle  $K$  in gleichem Sinne zu  $V_4$  bei, die Grenzwerte von  $V_4$  treten für Totalbelastung des ganzen Trägers und Eigengewicht allein ein und 2) liefert als oberen Grenzwert

$$V_4 = - 0,7 \cdot 4 + 27,16 \frac{4}{4,47} = 21,50 \text{ tn.}$$

	Grenzwerte ohne Winddruck	Einfluss des Winddrucks		Grenzwerte im Ganzen		Beispiel 34					
		I. Binderhälfte	II. Binderhälfte	I. Binderhälfte	II. Binderhälfte						
$X_1$	-12,51	-19,80	4,71	-7,78	-0,63	-2,44	-7,80	-27,58	-12,51	-22,24	-25,03
$X_2$	-24,11	-38,17	7,23	-11,46	1,26	-5,49	-16,88	-49,63	-22,85	-43,66	-48,22
$X_3$	-23,66	-37,45	5,52	-9,28	2,70	-6,47	-18,14	-46,73	-20,96	-43,92	-47,33
$X_4$	-17,16	-27,16	2,72	-5,53	3,05	-4,40	-14,44	-32,69	-14,11	-31,56	-34,33
$Z_1$	0	0	4,67	-6,79	0	-2,12	4,67	-6,79	0	-2,12	0
$Z_2$	23,44	14,81	9,91	-10,43	2,53	-3,05	33,35	4,38	25,97	11,76	29,63
$Z_3$	41,82	26,42	11,95	-11,83	5,16	-5,04	53,77	14,59	46,98	21,38	52,85
$Z_4$	40,43	25,54	9,04	-9,79	5,82	-6,57	49,47	15,75	46,25	18,97	51,08
$D_1$	18,25	11,53	5,42	-4,34	2,25	-1,17	23,67	7,19	20,25	10,36	23,07
$D_2$	16,66	10,21	2,58	-2,28	2,77	-2,47	19,24	7,93	19,43	7,74	21,06
$D_3$	0,90	-1,97	1,61	-2,53	0,93	-1,84	2,51	-4,50	1,83	-3,81	-0,83
$D_4$	-7,28	-11,52	3,15	-4,67	-0,68	-0,85	-4,13	-16,19	-7,28	-12,37	-14,57
$V_0$	-9,10	-14,70	3,16	-5,26	-0,46	-1,64	-5,94	-19,96	-9,10	-16,34	-18,70
$V_1$	-8,32	-13,76	1,50	-3,00	0,32	-1,82	-6,82	-16,76	-8,00	-11,94	-17,65
$V_2$	-0,72	-2,61	0,90	-1,30	0,35	-0,74	-0,18	-3,91	-0,37	-3,35	-3,13
$V_3$	8,74	5,89	3,55	-3,14	0,68	-0,27	14,63	2,75	9,42	5,62	10,78
$V_4$	21,50	13,95	3,99	-3,03	3,99	-3,03	25,49	10,92	25,49	10,92	26,92
$V, V'$	15,20	9,60	1,96	-1,64	1,96	-1,64	17,16	9,60	17,16	9,60	19,20
$H$	0	0	4,80	-4,80	0	0	4,80	-4,80	0	0	0



Uebrigens hätten wir die Beanspruchungen  $V_0$ ,  $V_4$  auch nach den allgemeinen Formeln A. 19, 5) 9) und A. 28, 5) 6) berechnen können.

**Grenzwerte mit Winddruck.** Die vom Winddrucke allein herührenden Stabkräfte und Stützenreactionen sind im nächsten Beispiel berechnet. Die Grenzwerte der Stabkräfte und Stützenreactionen mit Rücksicht auf Winddruck ergeben sich wie in Beispiel 21 und 22 durch Combination jener Beanspruchungen mit den oben erhaltenen Grenzwerten für Eigengewicht und Schneedruck. Alles Weitere ist aus der Tabelle S. 193 zu ersehen.

Die Tabellenwerthe zeigen, dass symmetrisch zur Verticalen durch die Trägermitte liegende Stäbe beider Trägerhälften wesentlich verschieden beansprucht werden können. Will man den Binder symmetrisch dimensioniren, so sind natürlich die ungünstigsten Beanspruchungen zu Grunde zu legen. In der letzten Columne der Tabelle sind diejenigen Beanspruchungen aufgeführt, welche sich in Beispiel 34 für Totalbelastung des ganzen Trägers mit Berücksichtigung des Winddrucks durch einen gleichmässig über die schiefe Dachfläche vertheilten Verticaldruck von 1 tn per Knotenpunkt ergeben haben (Vergl. am Schlusse des Beispiels 21).

**Beispiel 40. Dachbinder einfachen Systems mit Verticalen und beliebigen Gurtungsformen. Einfluss schiefen Winddrucks.**

Den Einfluss des Winddrucks auf die Beanspruchungen des in Fig. 75 angedeuteten Dachbinders unter folgenden Voraussetzungen zu berechnen. Binderweite 4 m, Winddruck bei normal getroffener Fläche  $w = 150$  kg per qm, Windrichtung um  $\beta = 10^\circ$  gegen die Horizontale fallend parallel der Trägerebene. Es ist einmal die dem festen Auflager anliegende, einmal die abstehende Dachhälfte vom Winde getroffen anzunehmen.

Für eine Ebene, welche den Winkel  $\alpha$  mit der Horizontalen bildet (Fig. 53), hat man nach Beispiel 21 den für die Berechnung allein in Betracht kommenden Normaldruck des Windes per qm

$$(1) \quad n = w \sin^2 (\alpha + \beta),$$

woraus sich wie dort für die drei innern Knotenpunkte der getroffenen schiefen Dachfläche abgerundet je  $N = 1$  tn oder

$$N \frac{4}{4,47} = 0,90 \text{ tn Verticaldruck,}$$

$$N \frac{2}{4,47} = 0,45 \text{ tn Horizontaldruck}$$

ergeben, für die beiden äussersten Knotenpunkte halb soviel. Auf die Verticallfläche durch die Endverticale der getroffenen Dachhälfte kommt ein Normaldruck von

$$n = 150 \sin^2 (90 + 10) = 145,48 \text{ kg}$$

per qm, was für die beiden Knotenpunkte jener Verticalen

$$145,48 \cdot 4 \cdot 2,5 = 1455 \text{ kg}$$

ausmacht, wofür wir rund

$$L = 1,5 \text{ tn}$$

setzen wollen.

Greifen am Träger zwischen den Schnitten 0 und  $s$  beliebige Verticalkräfte  $K$  bei Abscissen  $e$  und beliebige Horizontalkräfte  $L$  bei Ordinaten  $c$  an, so hat man nach A. 5, 1) das Moment der äussern Kräfte links von  $s$  hinsichtlich irgend eines Drehpunkts der Coordinaten  $u, w$

$$(2) \quad M_s = Vu - Hw - \sum_0^s K(u - e) - \sum_0^s L(w - c),$$

worin die letzte Summe das negative Vorzeichen erhielt, weil wir jetzt von links nach rechts wirkende  $L$  als positiv ansehen wollen. Wird der Schnitt  $s$  für  $X_m, D_m, Z_m$  durch  $x_m, d_m, z_m$  und für  $V_m$  durch  $x_m, h_m, z_{m+1}$  gelegt, so hat man nach § 16, 3)–6) bei oben liegender X-Gurtung:

$$(3) \quad \begin{cases} X_m = -M_s \frac{x_m}{\lambda h_m} & \text{mit } u = m\lambda, \quad w = z_m, \\ Z_m = M_s \frac{z_m}{\lambda h_{m-1}} & \text{,, } u = (m-1)\lambda, \quad w = z_{m-1}, \\ D_m = -M_s \frac{d_m}{\lambda \varepsilon h_{m-1}} & \text{,, } u = (m-\varepsilon)\lambda, \quad w = z_m - \varepsilon(z_m - z_{m-1}), \\ V_m = M_s \frac{1}{\lambda \nu} & \text{,, } u = (m-\nu)\lambda, \quad w = z_m - \nu(z_m - z_{m-1}). \end{cases}$$

Die Gleichung für  $V_m$  setzt voraus, dass der Verticale  $m$  zu beiden Seiten Felder mit Diagonalen gleicher Stellung anliegen, sie gilt also nicht für  $V_0$  und  $V_4$ .

Nach 3) erhält man mit Rücksicht auf die Formberechnung in Beispiel 34

im Falle	$m =$	1	2	3	4:
für $X_m$	$u =$	4	8	12	16 m
	$w =$	4	6,33	7,6	8 m
„ $Z_m$	$u =$	0	4	8	12 m
	$w =$	5	7	9	11 m
„ $D_m$	$u =$	10	40,36	— 6,64	3,52 m
	$w =$	10	25,18	1,68	6,76 m
„ $V_m$	$u =$	40,36	— 6,64	3,52 m	
	$w =$	25,18	1,68	6,76 m,	

und zufolge 2) 3) ergeben sich (Fig. 80) bei beliebigen Werthen der  $K, L$  für die erste Trägershälfte die Beanspruchungen des Obergurts:

$$X_1 = - (4V - 4H - 4K_0 - 4L + 1L_0) \frac{4,47}{4,3},$$

$$X_2 = - (8V - 6,33H - 8K_0 - 4K_1 - 6,33L - 1,33L_0 + 0,67L_1) \frac{4,47}{4,2,67},$$

$$X_3 = - (12V - 7,6H - 12K_0 - 8K_1 - 4K_2 - 7,6L - 2,6L_0 - 0,6L_1 + 1,4L_2) \frac{4,47}{4,3,4},$$

$$X_4 = - (16V - 8H - 16K_0 - 12K_1 - 8K_2 - 4K_3 - 8L - 3L_0 - 1L_1 + 1L_2 + 3L_3) \frac{4,47}{4,5},$$

die Beanspruchungen des Untergurts:

$$Z_1 = (0V - 5H - 5L) \frac{5,66}{4,5},$$

$$Z_2 = (4V - 7H - 4K_0 - 7L - 2L_0) \frac{4,63}{4,3},$$

$$Z_3 = (8V - 9H - 8K_0 - 4K_1 - 9L - 4L_0 - 2L_1) \frac{4,2}{4,2,67},$$

$$Z_4 = (12V - 11H - 12K_0 - 8K_1 - 4K_2 - 11L - 6L_0 - 4L_1 - 2L_2) \frac{4,02}{4,3,4},$$

die Beanspruchungen der Diagonalen:

$$D_1 = (10V - 10H - 10K_0 - 10L - 5L_0) \frac{4,12}{4,1,5,5},$$

$$D_2 = (40,36V - 25,18H - 40,36K_0 - 36,36K_1 - 25,18L - 20,18L_0 - 18,18L_1) \frac{4,06}{4,8,09,8},$$

$$D_3 = -(-6,64 V - 1,68 H + 6,64 K_0 + 10,64 K_1 + 14,64 K_2 - 1,68 L + 3,32 L_0 + 5,32 L_1 + 7,32 L_2) \frac{4,24}{4 \cdot 4,66 \cdot 2,67},$$

$$D_4 = -(3,52 V - 6,76 H - 3,52 K_0 + 0,48 K_1 + 4,48 K_2 + 8,48 K_3 - 6,76 L - 1,76 L_0 + 0,24 L_1 + 2,24 L_2 + 4,24 L_3) \frac{5}{4 \cdot 3,12 \cdot 3,4},$$

und die Beanspruchungen der Verticalen:

$$V_1 = -(40,36 V - 25,18 H - 40,36 K_0 - 25,18 L - 20,18 L_0) \frac{1}{4 \cdot 9,09},$$

$$V_2 = (-6,64 V - 1,68 H + 6,64 K_0 + 10,64 K_1 - 1,68 L + 3,32 L_0 + 5,32 L_1) \frac{1}{4 \cdot 3,66},$$

$$V_3 = (3,52 V - 6,76 H - 3,52 K_0 + 0,48 K_1 + 4,48 K_2 - 6,76 L - 1,76 L_0 + 0,24 L_1 + 2,24 L_2) \frac{1}{4 \cdot 2,12}.$$

Die Bedingung „Summe aller Verticalkräfte gleich Null“ in Anwendung auf den Knotenpunkt 0 des Untergurts liefert zur Bestimmung von  $V_0$

$$V + V_0 + Z_1 \frac{4}{5,66} = 0.$$

Denkt man sich den ganzen Träger um die mittlere Verticale gedreht bis die Auflager vertauscht sind, so erkennt man, dass vorstehende Gleichungen auch für die zweite Trägerhälfte gelten, wenn  $V'$  und 0 an Stelle von  $V$  und  $H$  gesetzt werden. Schliesslich folgt aus der auf Knotenpunkt 4 des Obergurts angewandten Bedingung „Summe aller Verticalkräfte gleich Null“ zur Bestimmung von  $V_4$

$$V_4 + K_4 + (X_4 + X_4') \frac{2}{4,47} = 0,$$

unter  $X_4, X_4'$  die beiden mittleren Stabkräfte des Obergurts verstanden.

Dachfläche beim verschiebbaren Auflager getroffen. Für die Stützenreactionen hat man

$$V \cdot 32 - 0,9 \left( \frac{16}{2} + 12 + 8 + 4 \right) - 0,45 \left( \frac{13}{2} + 11 + 9 + 7 + \frac{5}{2} \right) - 1,5 \cdot 5 = 0,$$

$$- V' \cdot 32 + 0,9 \left( \frac{32}{2} + 28 + 24 + 20 + \frac{16}{2} \right) - 0,45 \left( \frac{5}{2} + 7 + 9 + 11 + \frac{13}{2} \right) + 1,5 \cdot 5 = 0,$$

$$H - 4 \cdot 0,45 - 2 \cdot 1,5 = 0,$$

woraus

$$V = 1,64, \quad V' = 1,96, \quad H = 4,7 \text{ tn.}$$

Obige Gleichungen für die Stabkräfte liefern in Tonnen für die erste Trägerhälfte (beim festen Auflager) mit  $V = 1,64$ ,  $H = 4,8$  und verschwindenden  $K$ ,  $L$ ,

$$\begin{array}{llll} X_1 = 4,71 & Z_1 = -6,79 & D_1 = -4,34 & V_0 = 3,16 \\ X_2 = 7,23 & Z_2 = -10,43 & D_2 = -2,28 & V_1 = 1,50 \\ X_3 = 5,52 & Z_3 = -11,83 & D_3 = 1,61 & V_2 = -1,30 \\ X_4 = 2,72 & Z_4 = -9,79 & D_4 = 3,15 & V_3 = -3,14, \end{array}$$

sowie für die zweite Trägerhälfte (beim beweglichen Auflager), mit  $V = 1,96$ ,  $H = 0$ ,  $2K_0 = K_1 = K_2 = K_3 = 2K_4 = 0,9$ ,  $L = 1,5$ ,  $L_0 = 1,5 + 0,225$ ,  $L_1 = L_2 = L_3 = 2L_4 = 0,45$ ,

$$\begin{array}{llll} X_1 = -0,63 & Z_1 = -2,12 & D_1 = -1,17 & V_0 = -0,46 \\ X_2 = 1,26 & Z_2 = -3,05 & D_2 = -2,47 & V_1 = 0,32 \\ X_3 = 2,70 & Z_3 = -5,04 & D_3 = -1,84 & V_2 = 0,35 \\ X_4 = 3,05 & Z_4 = -6,57 & D_4 = -0,85 & V_3 = -0,27, \end{array}$$

wonach für die mittlere Verticale

$$V_4 = -0,45 - (2,72 + 3,05) \frac{2}{4,47} = -3,03 \text{ tn.}$$

Dachfläche beim unverschiebbaren Auflager getroffen. Für die Stützenreactionen hat man

$$\begin{aligned} & V \cdot 32 - 0,9 \left( \frac{32}{2} + 28 + 24 + 20 + \frac{16}{2} \right) \\ & + 0,45 \left( \frac{5}{2} + 7 + 9 + 11 + \frac{13}{2} \right) + 1,5 \cdot 5 = 0, \\ & - V' \cdot 32 + 0,9 \left( \frac{16}{2} + 12 + 8 + 4 \right) \\ & + 0,45 \left( \frac{13}{2} + 11 + 9 + 7 + \frac{5}{2} \right) + 1,5 \cdot 5 = 0, \\ & H + 4 \cdot 0,45 + 2 \cdot 1,5 = 0, \end{aligned}$$

woraus

$$V = 1,96, \quad V' = 1,64, \quad H = -4,8 \text{ tn.}$$

Obige Gleichungen für die Stabkräfte liefern in Tonnen für die erste Binderhälfte, mit  $V = 1,96$ ,  $H = -4,8$ ,  $2K_0 = K_1 = K_2 = K_3 = 2K_4 = 0,9$ ,  $L = 1,5$ ,  $L_0 = 1,5 + 0,225$ ,  $L_1 = L_2 = L_3 = 2L_4 = 0,45$ ,

$$\begin{array}{llll}
X_1 = -7,78 & Z_1 = 4,67 & D_1 = 5,42 & V_0 = -5,26 \\
X_2 = -11,46 & Z_2 = 9,91 & D_2 = 2,58 & V_1 = -3,00 \\
X_3 = -9,28 & Z_3 = 11,95 & D_3 = -2,53 & V_2 = 0,90 \\
X_4 = -5,53 & Z_4 = 9,04 & D_4 = -4,67 & V_3 = 3,55,
\end{array}$$

sowie für die zweite Binderhälfte, mit  $V = 1,64$ ,  $H = 0$  und verschwindenden  $K$ ,  $L$ ,

$$\begin{array}{llll}
X_1 = -2,44 & Z_1 = 0 & D_1 = 2,25 & V_0 = -1,64 \\
X_2 = -5,49 & Z_2 = 2,53 & D_2 = 2,77 & V_1 = -1,82 \\
X_3 = -6,47 & Z_3 = 5,16 & D_3 = 0,93 & V_2 = -0,74 \\
X_4 = -4,40 & Z_4 = 5,82 & D_4 = -0,68 & V_3 = 0,68,
\end{array}$$

wonach für die mittlere Verticale

$$V_4 = -0,45 + (5,53 + 4,4) \frac{2}{4,47} = 3,99 \text{ tn.}$$

**Bemerkungen.** Anstatt die Reactionen  $V$ ,  $V'$ ,  $H$  wie oben direct zu berechnen, hätten wir sie natürlich auch aus den Formeln A. 5, 4)–6) erhalten können. Die Berechnung der Beanspruchungen für die erste Trägerhälfte im zweiten Belastungsfalle vereinfacht sich, wenn man beachtet, dass für ihn die erste Trägerhälfte gerade so belastet ist wie die zweite Trägerhälfte im ersten Falle, dass also gegenüber den hierfür gültigen Beanspruchungen nur der Beitrag von  $H$  hinzukommt. Proben der Richtigkeit obiger Stabkräfte können die Bedingungen „Summe aller Verticalkräfte gleich Null“ und „Summe aller Horizontalkräfte gleich Null“ in Anwendung auf die einzelnen Knotenpunkte liefern. Wäre die vom Winde getroffene Dachfläche mehr als einfach gebrochen gewesen, so würde nur die Berechnung der Knotenpunktskräfte  $K$ ,  $L$  etwas umständlicher geworden, die Berechnung der Stabkräfte aber ganz wie oben geblieben sein (Beispiel 58).

**Aufgabe 33. Einfaches System mit Verticalen bei beliebigen Gurtungsformen. Maximalbedingungen für die Stabkräfte.**

Die Bedingungen für Maxima und Minima der Stabkräfte beim Befahren eines Balkenfachwerks einfachen Systems mit Verticalen und beliebigen Gurtungsformen anzugeben.

Da nach § 31, 1)–4) die Maxima und Minima der Stabkräfte zugleich mit den Maximis und Minimis der entsprechenden Momente  $M$ , eintreten, so lautet die fragliche Bedingung nach § 25, 9) für jedes System gleichzeitig auf dem Träger Platz findender Radlasten

$$(1) \quad \sum_0^c P + \frac{u-c}{v-c} \sum_0^v P = \frac{u}{l} \sum_0^l P.$$

Diese Gleichung nimmt mit den in § 31 gegebenen Werthen von  $u$ ,  $c$ ,  $v$  folgende spezielle Formen an:

$$(2) \quad \text{für } X_m \quad \sum_0^m P = \frac{m}{n} \sum_0^l P,$$

$$(3) \quad \text{„ } Z_m \quad \sum_0^{m-1} P = \frac{m-1}{n} \sum_0^l P,$$

$$(4) \quad \text{„ } D_m \quad - \sum_0^{m-1} P + (\varepsilon - 1) \sum_{m-1}^m P = \frac{\varepsilon - m}{n} \sum_0^l P,$$

„  $V_m$  a) wenn die Fahrbahnlast im Knotenpunkte  $m$  der X-Gurtung angreift,

$$(5) \quad - \sum_0^{m-1} P + (\nu - 1) \sum_{m-1}^m P = \frac{\nu - m}{n} \sum_0^l P,$$

b) wenn die Fahrbahnlast im Knotenpunkte  $m$  der Z-Gurtung angreift,

$$(6) \quad - \sum_0^m P + \nu \sum_m^{m+1} P = \frac{\nu - m}{n} \sum_0^l P.$$

Greift die Fahrbahnlast zwischen beiden Gurtungen in Verticale  $m$  an, so gilt für das Verticalenstück von Fahrbahn bis Z-Gurtung die Bedingung 5), für das Verticalenstück von Fahrbahn bis X-Gurtung die Bedingung 6).

Die Gleichungen 4)–6) lassen sich für besondere Trägerformen noch spezialisiren. So erhält man beim Parallelträger für  $D_m$  wegen  $\varepsilon = \infty$

$$\sum_{m-1}^m P = \frac{1}{n} \sum_0^l P,$$

und für  $V_m$  wegen  $\nu = \infty$

$$\text{im Falle a)} \quad \sum_{m-1}^m P = \frac{1}{n} \sum_0^l P,$$

$$\text{„ „ b)} \quad \sum_m^{m+1} P = \frac{1}{n} \sum_0^l P.$$

Die abgeleiteten Bedingungen können wie in Beispiel 25 und 28

zur Correctur von Laststellungen verwendet werden. Selbstverständlich hätten wir die Bedingungen 2)–6) auch durch Differentiation von § 33, 1)–5) erhalten können.

**Beispiel 41. Parallelträger einfachen Systems des rechtwinkligen Dreiecks. Berechnung für gleichmässig vertheilte bewegte Last.**

Für eine Brücke von  $l = 45$  m Spannweite sollen Parallelträger einfachen Systems des rechtwinkligen Dreiecks mit nur gegen Zug widerstandsfähigen Diagonalen zur Verwendung kommen. Gewünschte Trägerhöhe und Felderzahl  $h = 6$  m,  $n = 9$ . Eigengewicht per laufenden Meter Träger  $g = 0,9$  tn, Verkehrslast  $p = 2,63$  tn. Vom Eigengewichte kommen 0,6 tn auf die Knotenpunkte des Untergurts, in welchen die Fahrbahnlast angreift, und 0,3 tn auf diejenigen des Obergurts. Die Grenzwerte der Stabkräfte und Stützenreactionen zu berechnen.

Wir berechnen zunächst das System Fig. 81 und tragen dem Einflusse der Gegendiagonalen und etwaiger Abänderung der Trägerenden nach Fig. 59 nachträglich Rechnung (ist letztere Abänderung von vornherein beabsichtigt, so braucht  $V_0$  nicht ermittelt zu werden). Anstatt die Beanspruchungen der Verticalen wie unten direct zu berechnen, kann man auch berücksichtigen, dass nach § 34, 5) allgemein

$$(1) \quad V_m = -K_x - \frac{h}{d} D_{m+1}$$

und hierin die Knotenpunktslast  $K_x$  des Obergurts von  $V_1$  an gleich  $g_x \lambda$ , für  $V_0$  halb so gross ist. Es sind so auch die Grenzbeanspruchungen der Verticalen durch diejenigen der Diagonalen bestimmt. Bei directer Berechnung der  $V_m$  kann 1) zu Proben dienen.

**Eigengewicht allein.** Für das System Fig. 81 hat man nach § 34, 6) die vom Eigengewicht allein herrührenden Stabkräfte

$$(2) \quad \begin{cases} X_m = -m(n-m) \frac{g\lambda^2}{2h} = -\mathfrak{B}_{m+1}, \\ D_m = (n-2m+1) \frac{g\lambda d}{2h}, \\ \mathfrak{B}_m = -\left(n-2m + \frac{g_x - g_s}{g}\right) \frac{g\lambda}{2}, \end{cases}$$

oder, mit  $n = 9$ ,  $\lambda = 5$ ,  $h = 6$ ,  $d = 7,810$ ,  $g = 0,9$ ,  $g_x = 0,3$ ,  $g_s = 0,6$ ,



$$X_m = -\frac{15}{8} m (9 - m) = -B_{m+1},$$

$$D_m = 5,857 (5 - m),$$

$$B_m = -19,5 + 4,5 m,$$

während nach 1) oder A. 19, 5) als Ausnahme gilt

$$(3) \quad B_0 = \frac{g_2 l}{2} - \frac{g l}{2}.$$

Vorstehende Gleichungen liefern die folgenden Stabkräfte in Tonnen:

$X_1 = -15,00$	$B_1 = 0$	$D_1 = 23,43$	$B_0 = -18,75$
$X_2 = -26,25$	$B_2 = 15,00$	$D_2 = 17,57$	$B_1 = -15,00$
$X_3 = -33,75$	$B_3 = 26,25$	$D_3 = 11,71$	$B_2 = -10,50$
$X_4 = -37,50$	$B_4 = 33,75$	$D_4 = 5,86$	$B_3 = -6,00$
$X_5 = -37,50$	$B_5 = 37,50$	$D_5 = 0$	$B_4 = -1,50$

Die vom Eigengewichte allein herrührenden Stützenreactionen sind

$$B = \frac{g l}{2} = 20,25 \text{ tn.}$$

**Grenzwerte.** Die unteren Grenzwerte der Gurtungskräfte sind die soeben berechneten Eigengewichtsbeanspruchungen; für die oberen Grenzwerte hat man nach § 35, 6)

$$(4) \quad X_m = \frac{q}{g} X_n, \quad Z_m = \frac{q}{g} B_m,$$

also wegen

$$\frac{q}{g} = \frac{0,9 + 2,63}{0,9} = 3,922$$

in Tonnen:

$X_1 = -58,83$	$Z_1 = 0$
$X_2 = -102,95$	$Z_2 = 58,83$
$X_3 = -132,37$	$Z_3 = 102,95$
$X_4 = -147,08$	$Z_4 = 132,37$
$X_5 = -147,08$	$Z_5 = 147,08$

Nach § 35, 3) sind die Grenzbeanspruchungen der Diagonalen

$$(5) \quad \begin{cases} D_m = D_m + (n - m)^2 \frac{p \lambda d}{(n - 1) 2h}, \\ D_m = D_m - (m - 1)^2 \frac{p \lambda d}{(n - 1) 2h}, \end{cases}$$

und nach § 35, 5) diejenigen der Verticalen

$$(6) \quad \begin{cases} V_m = \mathfrak{B}_m - (n - m - 1)^2 \frac{p \lambda}{2(n-1)}, \\ V_m = \mathfrak{B}_m + m^2 \frac{p \lambda}{2(n-1)}, \end{cases}$$

welch' letztere Gleichungen zufolge 1) oder A. 19, 15) auch für  $V_0$  gelten. Nach Einsetzen der gegebenen Zahlenwerthe lauten die Gleichungen 5) 6)

$$\begin{aligned} D_m &= \mathfrak{D}_m + 1,070 (9 - m)^2, & D_m &= \mathfrak{D}_m - 1,070 (m - 1)^2, \\ V_m &= \mathfrak{B}_m - 0,822 (8 - m)^2, & V_m &= \mathfrak{B}_m + 0,822 m^2, \end{aligned}$$

und wir erhalten danach folgende Grenzwerte in Tonnen:

$$\begin{array}{llll} D_1 = 91,91 & D_1 = 23,43 & V_0 = -71,36 & V_0 = -18,75 \\ D_2 = 70,00 & D_2 = 16,50 & V_1 = -55,28 & V_1 = -14,18 \\ D_3 = 50,23 & D_3 = 7,43 & V_2 = -40,09 & V_2 = -7,21 \\ D_4 = 32,61 & D_4 = -3,77 & V_3 = -26,55 & V_3 = 1,40 \\ D_5 = 17,12 & D_5 = -17,12 & V_4 = -14,65 & V_4 = 11,65. \end{array}$$

Als Grenzwerte der Stützenreactionen hat man

$$V = \frac{q l}{2} = 79,42 \text{ tn}, \quad V = \mathfrak{B} = 20,25 \text{ tn}.$$

Die gefundenen Grenzwerte sind in Fig. 82 eingetragen.

**Gegendiagonalen.** Abänderung der Trägerenden. Da die Diagonalen in den drei mittleren Feldern sowohl Zug als Druck erhalten können, sämtliche Diagonalen aber nur auf Zug widerstandsfähig vorausgesetzt wurden, so sind dort Gegendiagonalen anzuordnen. Der Einfluss derselben ist durch den am Schlusse des § 50 hervorgehobenen Satz bestimmt, wobei zu beachten, dass constant

$$K_0 = 5 \cdot 0,3 = 1,5 \text{ tn}.$$

Werden die Trägerenden nach Fig. 86 abgeändert, so treten die in Aufgabe 24 festgestellten Aenderungen der Stabkräfte ein, wonach insbesondere die Grenzwerte von  $V_1$

$$V_1 = (g + p) \lambda = 16,15, \quad V_1 = \mathfrak{B}_1 = g \lambda = 3 \text{ tn}.$$

Demnach sind nun sämtliche Grenzwerte wie in Fig. 83 eingetragen bestimmt.

**Bemerkungen.** Angenommen die Fahrbahnlast griffe in den Knotenpunkten des Obergurts an, dann würde an Stelle von 1) eventuell nach § 34, 5) zweckmässiger

$$(7) \quad V_m = K_0 - \frac{h}{d} D_m$$

zu verwenden sein, worin die Knotenpunktslast  $K$ , des Untergurts von  $V_1$  an gleich  $g_1 l$ , für  $V_0$  halb so gross ist. Die vom Eigengewicht allein herrührenden Beanspruchungen der Verticalen ergeben sich aus 1) 2) mit  $g_2 = 0,6$ ,  $g_3 = 0,3$  und die Grenzwerte, wenn kein Gebrauch von 7) gemacht wird, nach § 35, 4),

$$(8) \quad \begin{cases} V_m = \mathfrak{B}_m - (n - m)^2 \frac{p l}{2(n - 1)}, \\ V_m = \mathfrak{B}_m + (m - 1)^2 \frac{p l}{2(n - 1)}, \end{cases}$$

abgesehen von  $V_0$ , dessen Grenzwerte zufolge A. 19, 9) oder A. 30, 6) sind

$$(9) \quad V_0 = \mathfrak{B}_0 - \frac{p l}{2}, \quad V_0 = \mathfrak{B}_0.$$

Die Beanspruchungen der Gurtungen und Diagonalen bleiben un geändert. Vorstehende Gleichungen liefern folgende Werte in Tonnen:

$\mathfrak{B}_0 = -19,5$	$V_0 = -78,67$	$V_0 = -19,50$
$\mathfrak{B}_1 = -16,5$	$V_1 = -69,11$	$V_1 = -16,50$
$\mathfrak{B}_2 = -12$	$V_2 = -52,28$	$V_2 = -11,18$
$\mathfrak{B}_3 = -7,5$	$V_3 = -37,09$	$V_3 = -4,21$
$\mathfrak{B}_4 = -3$	$V_4 = -23,55$	$V_4 = 4,40$

Der Einfluss der Gegendiagonalen und etwaiger Abänderung der Trägerenden ist wieder durch die am Schlusse von § 50 und A. 24 hervorgehobenen Sätze bestimmt. Ohne diese Abänderung, welche bei oben liegender Fahrbahn seltener vorkommt, haben wir die in Fig. 84 eingetragenen Grenzbeanspruchungen der Verticalen.

Griffe die Fahrbahnlast zwischen beiden Gurten in den Verticalen an, so würden nach §§ 34, 35 für die Verticalenstücke von Fahrbahn bis X-Gurtung die zuerst berechneten, für die Verticalenstücke von Fahrbahn bis Z-Gurtung die zuletzt berechneten Beanspruchungen gelten, und damit sämtliche Grenzbeanspruchungen der Verticalen wie in Fig. 85 bestimmt sein.

**Beispiel 42. Parallelträger einfachen Systems des rechtwinkligen Dreiecks. Berechnung für bewegte Rastlastzüge.**

Die Träger des vorigen Beispiels sollen einer eingleisigen Eisenbahnbrücke angehören und für bewegte Radlastzüge, zusammengesetzt aus Locomotiven der Radanwendung Fig. 18, berechnet werden.

Bis zur Feststellung der Grenzwerte gilt alles im vorigen Bei-

siehe Gesagte. Die unteren Grenzwerte der Gurtungskräfte sind die dort berechneten Eigengewichtsbeanspruchungen, für die oberen Grenzwerte hat man bei Belastung durch Zug I (Fig. 23 und 24) von 0 bis  $n$ , Rad 0 bei Verticale  $m$ ,

$$(1) \quad X_m = \mathfrak{X}_m - \left[ (n-m) \sum_0^m Pa + m \sum_m^n P(l-a) \right] \frac{1}{nh} = -Z_{m+1}.$$

Die Grenzbeanspruchungen der Diagonalen und Verticalen ergeben sich nach § 36, 7) 8) 11) 12) wie folgt:

Zug II (Fig. 22) von  $m$  bis  $n$ , Vorderrad 0 bei Verticale  $m$ ,

$$(2) \quad D_m = \mathfrak{D}_m + \frac{d}{lh} \sum_m^n P(l-a),$$

Zug II von 0 bis  $m-1$ , Vorderrad 0 bei Verticale  $m-1$ ,

$$(3) \quad D_m = \mathfrak{D}_m - \frac{d}{lh} \sum_0^{m-1} Pa;$$

Zug II von  $m+1$  bis  $n$ , Vorderrad 0 bei Verticale  $m+1$ ,

$$(4) \quad V_m = \mathfrak{B}_m - \frac{1}{l} \sum_{m+1}^n P(l-a),$$

Zug II von 0 bis  $m$ , Vorderrad 0 bei Verticale  $m$ ,

$$(5) \quad V_m = \mathfrak{B}_m + \frac{1}{l} \sum_0^m Pa.$$

Als Grenzwerte der Stützenreactionen hat man bei Belastung durch Zug II von 0 bis  $n$ , Vorderrad 0 bei 0,

$$(6) \quad V = \mathfrak{B} + \frac{1}{l} \sum_0^n P(l-a),$$

und bei Eigengewicht allein  $V = \mathfrak{B}$ . Nach B. 41, 1) oder A. 19, 16) gelten die Grenzwerte 4) 5) auch für  $V_0$ .

Die Werte der Summenausdrücke in 1) sind aus der Tabelle in Beispiel 6 zu entnehmen oder zu berechnen. Wir wollen den ersten Weg für die erste, den zweiten für die zweite Richtung des Zuges I einschlagen. Mit der ersten Zugrichtung (Fig. 23) ergeben sich in Tonnen:

$$X_1 = -15,00 - \frac{8 \cdot 62,2 + 1 \cdot 1947}{54} = -60,27 \quad Z_1 = 0$$

$$X_2 = -26,25 - \frac{7 \cdot 167 + 2 \cdot 1499}{54} = -103,42 \quad Z_2 = 60,27$$

$$X_3 = -33,75 - \frac{6 \cdot 348 + 3 \cdot 1089}{54} = -132,92 \quad Z_3 = 103,42$$

$$X_4 = -37,50 - \frac{5 \cdot 580 + 4 \cdot 764}{54} = -147,79 \quad Z_4 = 132,92$$

$$X_5 = -37,50 - \frac{4 \cdot 876 + 5 \cdot 480}{54} = -147,57 \quad Z_5 = 147,79.$$

Für die zweite Zugrichtung (Fig. 24) erhält man zunächst:

$$\begin{aligned} \sum_1^n P(l-a) &= 6(40 + 38,7 + 30,3 + 29 + 27,7 + 19,3 + 18 + 16,7 \\ &\quad + 8,3 + 7 + 5,7) + 4(37,5 + 26,5 + 15,5 + 4,5) \\ &\quad + 5(34,5 + 23,5 + 12,5 + 1,5) = 2140, \end{aligned}$$

$$\begin{aligned} \sum_2^n P(l-a) &= 6(35 + 33,7 + 25,3 + 24 + 22,7 + 14,3 + 13 + 11,7 \\ &\quad + 3,3 + 2 + 0,7) + 4(32,5 + 21,5 + 10,5) \\ &\quad + 5(29,5 + 18,5 + 7,5) = 1650, \end{aligned}$$

$$\begin{aligned} \sum_3^n P(l-a) &= 6(30 + 28,7 + 20,3 + 19 + 17,7 + 9,3 + 8 + 6,7) \\ &\quad + 4(27,5 + 16,5 + 5,5) \\ &\quad + 5(24,5 + 13,5 + 2,5) = 1239, \end{aligned}$$

$$\begin{aligned} \sum_4^n P(l-a) &= 6(25 + 23,7 + 15,3 + 14 + 12,7 + 4,3 + 3 + 1,7) \\ &\quad + 4(22,5 + 11,5 + 0,5) + 5(19,5 + 8,5) = 876, \end{aligned}$$

$$\begin{aligned} \sum_5^n P(l-a) &= 6(20 + 18,7 + 10,3 + 9 + 7,7) + 4(17,5 + 6,5) \\ &\quad + 5(14,5 + 3,5) = 580; \end{aligned}$$

$$\begin{aligned} \sum_0^5 Pa &= 6(23,7 + 19,7 + 18,4 + 17,1 + 8,7 + 7,4 + 6,1) \\ &\quad + 4(15,9 + 4,9) + 5(12,9 + 1,9) = 764, \end{aligned}$$

$$\begin{aligned} \sum_0^4 Pa &= 6(18,7 + 14,7 + 13,4 + 12,1 + 3,7 + 2,4 + 1,1) \\ &\quad + 4 \cdot 10,9 + 5 \cdot 7,9 = 480, \end{aligned}$$

$$\sum_0^3 Pa = 6(13,7 + 9,7 + 8,4 + 7,1) + 4 \cdot 5,9 + 5 \cdot 2,9 = 271,$$

$$\sum_0^2 Pa = 6(8,7 + 4,7 + 3,4 + 2,1) + 4 \cdot 0,9 = 117,$$

$$\sum_0^1 Pa = 6 \cdot 3,7 = 22,2,$$

und mit diesen Werthen nach 1) in Tonnen:

$$X_1 = -15,00 - \frac{8 \cdot 22,2 + 1 \cdot 2140}{54} = -57,92 \quad Z_1 = 0$$

$$X_2 = -26,25 - \frac{7 \cdot 117 + 2 \cdot 1650}{54} = -102,53 \quad Z_2 = 57,92$$

$$X_3 = -23,75 - \frac{6 \cdot 271 + 3 \cdot 1239}{54} = -132,69 \quad Z_3 = 102,53$$

$$X_4 = -37,50 - \frac{5 \cdot 480 + 4 \cdot 876}{54} = -147,57 \quad Z_4 = 132,69$$

$$X_5 = -37,50 - \frac{4 \cdot 764 + 5 \cdot 580}{54} = -147,79 \quad Z_5 = 147,57.$$

Wie man sieht hätte es auch hier genügt, nur die erste Zugrichtung zu berücksichtigen.

Die Werthe der  $\sum$  in 2)–7) lassen sich ebenfalls aus der Tabelle in Beispiel 6 entnehmen. Wäre eine solche Tabelle nicht vorhanden (siehe jedoch Schlussbemerkung zu Beispiel 6), so würden wegen

$$(7) \quad \sum_0^{n-m} Pa = \sum_m^n P(l-a)$$

nur die letzteren Summen wie folgt zu berechnen sein:

$$\begin{aligned} \sum_0^n P(l-a) &= 6(45 + 43,7 + 42,4 + 34 + 32,7 + 31,4 + 23 \\ &\quad + 21,7 + 20,4 + 12 + 10,7 + 9,4 + 1) \\ &\quad + 4(41,2 + 30,2 + 19,2 + 8,2) \\ &\quad + 5(38,2 + 27,2 + 16,2 + 5,2) = 2794, \end{aligned}$$

$$\begin{aligned} \sum_1^n P(l-a) &= 6(40 + 38,7 + 37,4 + 29 + 27,7 + 26,4 + 18 \\ &\quad + 16,7 + 15,4 + 7 + 5,7 + 4,4) \\ &\quad + 4(36,2 + 25,2 + 14,2 + 3,2) \\ &\quad + 5(33,2 + 22,2 + 11,2 + 0,2) = 2248, \end{aligned}$$

$$\sum_2^n P(l-a) = 6(35 + 33,7 + 32,4 + 24 + 22,7 + 21,4 + 13 \\ + 11,7 + 10,4 + 2 + 0,7) + 4(31,2 + 20,2 + 9,2 \\ + 5(28,2 + 17,2 + 6,2) = 1741,$$

$$\sum_3^n P(l-a) = 6(30 + 28,7 + 27,4 + 19 + 17,7 + 16,4 + 8 + 6,7 + 5,4) \\ + 4(26,2 + 15,2 + 4,2) \\ + 5(23,2 + 12,2 + 1,2) = 1321,$$

$$\sum_4^n P(l-a) = 6(25 + 23,7 + 22,4 + 14 + 12,7 + 11,4 + 3 + 1,7 + 0,4) \\ + 4(21,2 + 10,2) + 5(18,2 + 7,2) = 938,$$

$$\sum_5^n P(l-a) = 6(20 + 18,7 + 17,4 + 9 + 7,7 + 6,4) \\ + 4(16,2 + 5,2) + 5(13,2 + 2,2) = 638,$$

$$\sum_6^n P(l-a) = 6(15 + 13,7 + 12,4 + 5 + 2,7 + 1,4) \\ + 4(11,2 + 0,2) + 5 \cdot 8,2 = 382,$$

$$\sum_7^n P(l-a) = 6(10 + 8,7 + 7,4) + 4 \cdot 6,2 + 5 \cdot 3,2 = 197,$$

$$\sum_8^n P(l-a) = 6(5 + 3,7 + 2,4) + 4 \cdot 1,2 = 71,4.$$

Es ergeben sich mit diesen Werthen die Grenzbeanspruchungen der Diagonalen nach 2) 3):

$$D_1 = 23,43 + \frac{2248}{34,6} = 88,40 \quad D_1 = 23,43 - \frac{0}{34,6} = 23,43$$

$$D_2 = 17,57 + \frac{1741}{34,6} = 67,89 \quad D_2 = 17,57 - \frac{71,4}{34,6} = 15,51$$

$$D_3 = 11,71 + \frac{1321}{34,6} = 49,89 \quad D_3 = 11,71 - \frac{197}{34,6} = 6,02$$

$$D_4 = 5,86 + \frac{938}{34,6} = 32,98 \quad D_4 = 5,86 - \frac{382}{34,6} = -5,18$$

$$D_5 = 0 + \frac{638}{34,6} = 18,44 \quad D_5 = 0 - \frac{638}{34,6} = -18,44,$$

und die Grenzbeanspruchungen der Verticalen nach 4) 5):

$$V_0 = -18,75 - \frac{2248}{45} = -68,71$$

$$V_1 = -15,00 - \frac{1741}{45} = -53,78$$

$$V_2 = -10,50 - \frac{1321}{45} = -39,86$$

$$V_3 = -6,00 - \frac{938}{45} = -26,84$$

$$V_4 = -1,50 - \frac{638}{45} = -15,68,$$

$$V_0 = -18,75 + \frac{0}{45} = -18,75$$

$$V_1 = -15,00 + \frac{71,4}{45} = -13,41$$

$$V_2 = -10,50 + \frac{197}{45} = -6,12$$

$$V_3 = -6,00 + \frac{382}{45} = 2,49$$

$$V_4 = -1,50 + \frac{638}{45} = 12,68,$$

während der obere Grenzwert der Stützenreactionen nach 6) ist

$$V = 20,25 + \frac{2794}{45} = 82,34 \text{ tn.}$$

Bei der im Vergleiche zum Radstande um  $O$  verhältnissmässig bedeutenden Feldlänge  $\lambda$  könnten die Diagonale 1 und Verticale 0 bei Belastung durch Zug I von 0 bis  $l$ , Rad  $O$  bei Verticale 1, noch ungünstiger als oben bei Belastung durch Zug II beansprucht sein (§ 33). In der That erhalten wir aus den nach § 36, 3) und A. 19, 11) für beliebige Belastung gültigen Gleichungen

$$(8) \quad D_1 = \mathfrak{D}_1 + \left[ (n-1) \sum_0^1 Pa + \sum_1^n P(l-a) \right] \frac{d}{lh},$$

$$(9) \quad V_0 = \mathfrak{B}_0 - \left[ (n-1) \sum_0^1 Pa + \sum_1^n P(l-a) \right] \frac{1}{l}$$

mit den schon für  $X_1$  verwendeten Summenwerthen

$$D_1 = 23,43 + \frac{8 \cdot 62,2 + 1947}{34,6} = 94,08 \text{ tn,}$$

$$V_0 = -18,75 - \frac{8 \cdot 62,2 + 1947}{45} = -73,07 \text{ tn,}$$

gegen oben gefundene 88,40 und  $-68,71$  tn. Die verhältnissmässig grosse Differenz erklärt sich, wie erwähnt, durch die dem Radstande gegenüber grosse Feldlänge.

Da die Diagonalen in den drei mittleren Feldern sowohl Zug als Druck erleiden können, so sind daselbst Gegendiagonalen an-



zuordnen. Der Einfluss derselben ist, wie auch im vorigen Beispiele, durch den am Schlusse des § 50 hervorgehobenen Satz bestimmt. Ebenso ergibt sich wieder der Einfluss einer Abänderung der Trägerenden nach Fig. 86 aus dem in Aufgabe 24 abgeleiteten Satze und sind danach insbesondere die Grenzwerte von  $V_1$

$$V_1 = \mathfrak{B}_1 = 0,6 \cdot 5 = 3 \text{ tn},$$

$$V_1 = 3 + 6 + 6 \frac{3,7 + 2,4}{5} + 4 \frac{2,5}{5} + 5 \frac{0,8}{5} = 20,16 \text{ tn}.$$

Die für den Träger mit Enden nach Fig. 86 gültigen Grenzbeanspruchungen wurden in Fig. 87 eingetragen.

**Beispiel 43. Parallelträger einfachen Systems des rechtwinkligen Dreiecks. Berechnung mit Lastäquivalenten.**

Die Brückenträger des Beispiels 41 auf Grund gleichmässig verteilter Lasten so zu berechnen, dass dieselben Grenzbeanspruchungen der Füllungsglieder und annähernd dieselben Grenzbeanspruchungen der Gurtungen wie mit den bewegten Radlastzügen des vorigen Beispiels entstehen.

Bis zur Berechnung der Grenzwerte bleibt alles in Beispiel 41 Gesagte gültig. Die oberen Grenzbeanspruchungen der Gurtungen sind nach Aufgabe 32 mit demjenigen constanten  $p$  zu berechnen, welches für die max  $M_x$  eines durch den angenommenen Lastzug I direct befahrenen vollwandigen Trägers der Spannweite 45 m anzuwenden wäre. Nach Beispiel 8 ist dies  $p = 2,63 \text{ tn}$ , und da eine solche bewegte Last auch in Beispiel 41 angenommen wurde, so könnten die dort berechneten Grenzbeanspruchungen der Gurtungen ungeändert bleiben. Wir haben in Fig. 88 die einem nach oben abgerundeten  $p = 2,7$  entsprechenden Werte eingetragen, welche  $q : g = 4$  mal so gross als die in Beispiel 41 berechneten Eigengewichtsbeanspruchungen sind.

Für die Grenzbeanspruchungen der Diagonalen hat man nach A. 32, 8) mit  $c = (m - 1)\lambda$ ,  $v = m\lambda$ ,

$$(1) \quad \begin{cases} D_m = \mathfrak{D}_m + (n - m)^2 p_c \frac{\lambda d}{2nh}, \\ D_m = \mathfrak{D}_m - (m - 1)^2 p_c \frac{\lambda d}{2nh}, \end{cases}$$

und für die Grenzbeanspruchungen der Verticalen nach A. 32, 9) mit  $c = m\lambda$ ,  $v = (m + 1)\lambda$ ,

$$(2) \quad \begin{cases} V_m = \mathfrak{B}_m - (n - m - 1)^2 p_v \frac{l}{2n}, \\ V_m = \mathfrak{B}_m + m^2 p_c \frac{l}{2n}, \end{cases}$$

welche Gleichungen nach A. 30, 7) oder B. 41, 1) auch für  $V_0$  gelten. Der obere Grenzwert der Stützenreactionen folgt nach A. 29, 6) mit  $v = 0$

$$(3) \quad V = \mathfrak{B} + p_v \frac{l}{2},$$

während der untere für Eigengewicht allein eintritt. In 1)–3) bezeichnen  $p_v, p_c$  diejenigen Lastäquivalente, welche für einen durch den angenommenen Lastzug II direct befahrenen vollwandigen Träger der Spannweite  $l$  dem pos max  $V_x$  bei  $x = v$ , bzw. dem neg max  $V_x$  bei  $x = c$  entsprechen. Dieselben lassen sich aus Beispiel 8 entnehmen. Wir erhalten damit folgende Grenzwerte in Tonnen:

$$D_1 = 23,43 + 0,362 \cdot 64 \cdot 2,81 = 88,53$$

$$D_2 = 17,57 + 0,362 \cdot 49 \cdot 2,84 = 67,95$$

$$D_3 = 11,71 + 0,362 \cdot 36 \cdot 2,93 = 49,89$$

$$D_4 = 5,86 + 0,362 \cdot 25 \cdot 3,00 = 33,01$$

$$D_5 = 0 + 0,362 \cdot 16 \cdot 3,19 = 18,48,$$

$$D_1 = 23,43 - 0,362 \cdot 0^2 \cdot \infty = 23,43$$

$$D_2 = 17,57 - 0,362 \cdot 1 \cdot 5,71 = 15,50$$

$$D_3 = 11,71 - 0,362 \cdot 4 \cdot 3,95 = 5,99$$

$$D_4 = 5,86 - 0,362 \cdot 9 \cdot 3,39 = -5,18$$

$$D_5 = 0 - 0,362 \cdot 16 \cdot 3,19 = -18,48;$$

$$V_0 = -18,75 - \frac{64}{3,6} \cdot 2,82 = -68,88$$

$$V_1 = -15,00 - \frac{49}{3,6} \cdot 2,84 = -53,66$$

$$V_2 = -10,50 - \frac{36}{3,6} \cdot 2,93 = -39,80$$

$$V_3 = -6,00 - \frac{25}{3,6} \cdot 3,00 = -26,83$$

$$V_4 = -1,50 - \frac{16}{3,6} \cdot 3,19 = -15,68,$$

$$V_0 = -18,75 + \frac{0^2}{3,6} \cdot \infty = -18,75$$

$$V_1 = -15,00 + \frac{1}{3,6} \cdot 5,71 = -13,41$$

$$V_2 = -10,50 + \frac{4}{3,6} 3,95 = -6,11$$

$$V_3 = -6,00 + \frac{9}{3,6} 3,39 = 2,48$$

$$V_4 = -1,50 + \frac{16}{3,6} 3,19 = 12,68$$

$$V = 20,25 + 2,76 \cdot 22,5 = 82,35.$$

Nach Aufgabe 32 müssen vorstehende Werthe (soweit nicht kleine Differenzen durch Vernachlässigung von Decimalen bedingt sind) vollständig mit den im vorigen Beispiele erhaltenen übereinstimmen.

Wie sich im vorigen Beispiele für die Diagonale 1 und Verticale 0 mit Zug I noch ungünstigere obere Grenzwerte als mit Zug II ergeben haben, so gilt Analoges bei Berechnung mit den entsprechenden Lastäquivalenten. Wir erhalten nach A. 30, 6) mit  $c = 0$

$$(4) \quad D_1 = \mathfrak{D}_1 + (n-1) \frac{p \lambda d}{2h},$$

$$(5) \quad V_0 = \mathfrak{B}_0 - (n-1) \frac{p \lambda}{2},$$

und mit dem schon für die Gurtungskräfte verwendeten  $p = 2,7$

$$D_1 = 93,72 \text{ tn}, \quad V_0 = -72,75 \text{ tn}.$$

Gleichung 4) hätten wir natürlich auch aus A. 32, 6) entnehmen können.

Da die Diagonalen in den drei mittleren Feldern Zug und Druck erleiden können, so sind daselbst Gegendiagonalen anzuordnen, deren Einfluss wie in den zwei letzten Beispielen durch den am Schlusse des § 50 hervorgehobenen Satz bestimmt ist. Ebenso ist wieder der Einfluss einer Abänderung der Trägerenden nach Fig. 86 aus dem in Aufgabe 24 abgeleiteten Satz zu entnehmen. Der untere Grenzwert von  $V_1$  ist demnach  $V_1 = 0,6 \cdot 5 = 3 \text{ tn}$ , den oberen kann man entweder wie im vorigen Beispiele berechnen oder man entnimmt zufolge A. 29, c) aus Beispiel 8 der Spannweite  $v = 10 \text{ m}$  entsprechend  $p = 3,38$ , womit sich

$$V_1 = 5 \cdot 3,98 = 19,90 \text{ tn}$$

ergibt. Sämmtliche bei abgeänderten Trägerenden gültigen Grenzwerte sind in Fig. 88 eingetragen.

**Beispiel 44. Parallelträger einfachen Systems des rechtwinkligen Dreiecks. Berechnung für gleichmässig vertheilte bewegte Last.**

Die Grenzwerte der Stabkräfte und Stützenreactionen eines

Parallelträgers einfachen Systems des rechtwinkligen Dreiecks unter folgenden Voraussetzungen zu berechnen. Spannweite  $l = 24$  m, Trägerhöhe  $h = 4$  m, Feldlänge  $\lambda = 3$  m; Eigengewicht per laufenden Meter Träger  $g = 0,73$  tn, Verkehrslast  $p = 2,77$  tn. Vom Eigengewichte kommen 0,53 tn auf die Knotenpunkte des Obergurts, in welchen die Fahrbahnlast angreift, und 0,2 tn auf diejenigen des Untergurts (vergl. Beispiel 76).

Wir gehen ganz wie in Beispiel 41 vor und berechnen zunächst das System Fig. 89. Sollen die Diagonalen nur für Zug widerstandsfähig sein, so kann dem Einflusse der Gegendiagonalen nachträglich Rechnung getragen werden.

Eigengewicht allein. Für die vom Eigengewichte allein herrührenden Stabkräfte gelten die Gleichungen B. 41, 2), welche mit  $n = 8$ ,  $\lambda = 3$ ,  $h = 4$ ,  $d = 5$ ,  $g = 0,73$ ,  $g_x = 0,53$ ,  $g_z = 0,2$  folgende Formen annehmen:

$$X_m = -0,827 m (8 - m) = -3_{m+1},$$

$$D_m = 1,369 (9 - 2 m),$$

$$B_m = 2,19 m - 9,25.$$

Wir erhalten hieraus in Tonnen:

$X_1 = -5,75$	$B_1 = 0$	$D_1 = 9,58$	$B_1 = -7,06$
$X_2 = -9,85$	$B_2 = 5,75$	$D_2 = 6,85$	$B_2 = -4,87$
$X_3 = -12,32$	$B_3 = 9,85$	$D_3 = 4,11$	$B_3 = -2,68$
$X_4 = -13,14$	$B_4 = 12,32$	$D_4 = 1,37$	

Für die Verticale 0 hat man

$$B_0 = \frac{g_x \lambda}{2} - \frac{g l}{2} = -8,46 \text{ tn},$$

während die Bedingung „Summe aller Verticalkräfte gleich Null“ in Anwendung auf den mittleren Knotenpunkt des Obergurts liefert,

$$V_0 = -K_0,$$

unter  $K_0$  die Belastung dieses Knotenpunktes verstanden, wonach für Eigengewicht allein  $B_4 = -0,53 \cdot 3 = -1,59$  tn. Die vom Eigengewichte allein herrührenden Stützenreactionen schliesslich sind

$$B = \frac{g l}{2} = 8,76 \text{ tn}.$$

Grenzwerte. Die unteren Grenzwerte der Gurtungskräfte sind

die soeben berechneten Beanspruchungen für Eigengewicht allein, die oberen ergeben sich nach B. 41, 4) mit  $q : g = 3,5 : 0,73 = 4,794$  aus

$$X_m = 4,794 X_4 = -Z_{m+1}$$

in Tonnen:

$$\begin{array}{ll} X_1 = -27,57 & Z_1 = 0 \\ X_2 = -47,22 & Z_2 = 27,52 \\ X_3 = -59,06 & Z_3 = 47,22 \\ X_4 = -62,99 & Z_4 = 59,06. \end{array}$$

Für die Grenzbeanspruchungen der Diagonalen liefern die Gleichungen B. 41, 5)

$$D_m = \mathfrak{D}_m + 0,742 (8 - m)^2, \quad D_m = \mathfrak{D}_m - 0,742 (m - 1)^2,$$

und für die Grenzbeanspruchungen der Verticalen die Gleichungen B. 41, 8)

$$V_m = \mathfrak{V}_m - 0,594 (8 - m)^2, \quad V_m = \mathfrak{V}_m + 0,594 (m - 1)^2.$$

Jedoch sind die Grenzwerte von  $V_0$  durch B. 41, 9) bestimmt und treten diejenigen von  $V_4$  nach der obigen Gleichung für  $V_0$  zugleich mit den Grenzwerten von  $K_0$  ein. Wir erhalten so folgende Grenzbeanspruchungen in Tonnen:

$$\begin{array}{llll} D_1 = 45,94 & D_1 = 9,58 & V_1 = -36,17 & V_1 = -7,06 \\ D_2 = 33,56 & D_2 = 6,11 & V_2 = -26,25 & V_2 = -4,28 \\ D_3 = 22,66 & D_3 = 1,14 & V_3 = -17,53 & V_3 = -0,30 \\ D_4 = 13,24 & D_4 = -5,31 & V_4 = -9,90 & V_4 = -1,59 \end{array}$$

und  $V_0 = -41,70$  tn,  $V_0 = -8,46$  tn. Die Grenzwerte der Stützenreactionen schliesslich sind

$$V = \frac{ql}{2} = 42 \text{ tn}, \quad \mathfrak{V} = 8,76 \text{ tn}.$$

**Gegendiagonalen.** Sollen die Diagonalen nur auf Zug widerstehen, so sind in den zwei mittleren Feldern Gegendiagonalen anzuordnen, deren Einfluss durch den am Schlusse des § 50 hervorgehobenen Satz bestimmt ist. Da bei obenliegender X-Gurtung in den beiden mittleren Feldern die grösste Druckbeanspruchung der mittleren Verticalen nach der obigen Formel für  $V_m$

$$V_4 = 2,19 \cdot 4 - 9,25 - 0,594 \cdot 16 = -9,99 \text{ tn}$$

wäre, indessen

$$\max K_0 = 3,3 \cdot 3 = 9,9 \text{ tn}$$

ist, so sind bei Anwendung von Gegendiagonalen sämtliche Grenz-

beanspruchungen einer Trägerhälfte wie in Fig. 140 bei den Stäben der vier äussersten Felder rechts eingetragen bestimmt.

**Beispiel 45. Parallelträger einfachen Systems des rechtwinkligen Dreiecks. Berechnung für bewegte Radlastzüge.**

Die Träger des vorigen Beispiels sollen nun einer eingelegigen Eisenbahnbrücke angehören und für bewegte Radlastzüge, zusammengesetzt aus Locomotiven der Radanordnung Fig. 18, berechnet werden.

Die Berechnung der Stabkräfte und Stützenreactionen für Eigengewicht allein ist im vorigen Beispiele durchgeführt. Damit sind auch die unteren Grenzwerte der Gurtungskräfte und Stützenreactionen bekannt. Für die oberen Grenzwerte der Gurtungskräfte liefert B. 42, 1) direct oder mit Rücksicht auf die Tabelle in Beispiel 6 bei der ersten Richtung des Zuges I (Fig. 23)

$$X_1 = - 5,75 - \frac{7 \cdot 30,2 + 1 \cdot 535}{32} = - 29,07 \text{ tn } (- 27,67)$$

$$X_2 = - 9,85 - \frac{6 \cdot 80,7 + 2 \cdot 383}{32} = - 48,92 \text{ „ } (- 46,55)$$

$$X_3 = - 12,32 - \frac{5 \cdot 144 + 3 \cdot 271}{32} = - 60,23 \text{ „ } (- 58,91)$$

$$X_4 = - 13,14 - \frac{4 \cdot 226 + 4 \cdot 173}{32} = - 61,01 \text{ „ } (- 63,01),$$

$$Z_1 = 0 \qquad Z_3 = 48,92 \text{ tn } (46,55)$$

$$Z_2 = 29,07 \text{ tn } (27,67) \qquad Z_4 = 60,23 \text{ tn } (58,91).$$

Die Resultate für die zweite Zugrichtung sind in Klammer beige setzt. Man sieht, dass auch hier die Berücksichtigung der ersten Zugrichtung allein genügt hätte.

Die Grenzbeanspruchungen der Diagonalen ergeben sich nach B. 42, 2) 3) in Tonnen:

$$D_1 = 9,58 + \frac{692}{19,2} = 45,62 \qquad D_1 = 9,58 - \frac{0}{19,2} = 9,58$$

$$D_2 = 6,85 + \frac{530}{19,2} = 34,45 \qquad D_2 = 6,85 - \frac{30,6}{19,2} = 5,26$$

$$D_3 = 4,11 + \frac{382}{19,2} = 24,01 \qquad D_3 = 4,11 - \frac{93,4}{19,2} = - 0,75$$

$$D_4 = 1,37 + \frac{257}{19,2} = 14,76 \qquad D_4 = 1,37 - \frac{170}{19,2} = - 7,48,$$

während die Grenzbeanspruchungen der Verticalen nach § 36, 9) 10)

und A. 19, 7) wie folgt eintreten. Belastung durch Zug II von  $m$  bis  $n$ , Vorderrad  $O$  bei Verticale  $m$ ,

$$(1) \quad V_m = \mathfrak{B}_m - \frac{1}{l} \sum_m^n P(l - a),$$

Belastung durch Zug II von 0 bis  $m - 1$ , Vorderrad  $O$  bei Verticale  $m - 1$ ,

$$(2) \quad V_m = \mathfrak{B}_m + \frac{1}{l} \sum_0^{m-1} Pa.$$

Nur die Grenzwerte der mittleren Verticale entstehen wegen  $V_o = -K_o$  gleichzeitig mit den Grenzwerten der darüber liegenden Knotenpunktlast  $K_o$ . Wir erhalten hiernach in Tonnen:

$$\begin{aligned} V_0 &= -8,46 - \frac{870}{24} = -42,71 & V_0 &= -8,46 + \frac{0}{24} = -8,46 \\ V_1 &= -7,06 - \frac{692}{24} = -35,89 & V_1 &= -7,06 + \frac{0}{24} = -7,06 \\ V_2 &= -4,87 - \frac{530}{24} = -26,95 & V_2 &= -4,87 + \frac{30,6}{24} = -3,60 \\ V_3 &= -2,68 - \frac{282}{24} = -18,60 & V_3 &= -2,68 + \frac{93,4}{24} = 1,21 \\ V_4 &= -1,59 - 13,47 = -15,06 & V_4 &= -1,59. \end{aligned}$$

Für  $V_4$  war zu beachten, dass das grösste von der Verkehrslast herführende  $K_o$  ist

$$6 + 2 \cdot 6 \frac{1,7}{3} + 4 \frac{0,4}{3} = 13,47 \text{ tn.}$$

Die Grenzwerte der Stützenreactionen ergeben sich wie in Beispiel 42

$$V = 8,76 + \frac{870}{24} = 45,01 \text{ tn,} \quad \mathfrak{B} = 8,76 \text{ tn.}$$

Für die Diagonale 1 und Verticale 1 werden sich voraussichtlich bei Belastung durch Zug I von 0 bis  $n$ , Rad  $O$  bei Verticale 1, noch etwas grössere obere Grenzbeanspruchungen als mit Zug II berechnet ergeben. Wir erhalten denn auch aus den für beliebige Belastung gültigen Gleichungen B. 42, 8) und

$$(3) \quad V_1 = \mathfrak{B}_1 - \left[ (n - 1) \sum_0^1 Pa + \sum_1^n P(l - a) \right] \frac{1}{l},$$

welche aus § 36, 4) folgt, mit den schon für  $X_1$  verwendeten  $\sum$

$$D_1 = 9,58 - \frac{7 \cdot 30,2 + 535}{19,2} = 48,45 \text{ tn},$$

$$V_1 = -7,06 - \frac{7 \cdot 30,2 + 535}{24} = -38,16 \text{ tn},$$

gegen oben gefundene 45,62 und  $-35,89$  tn.

Sollen die Diagonalen nur Zug aufnehmen, so sind in den vier mittleren Feldern Gegendiagonalen nöthig, deren Einfluss wieder durch den am Schlusse des § 50 hervorgehobenen Satz bestimmt ist. Da die grösste Druckbeanspruchung der mittleren Verticale bei oben liegender X-Gurtung in beiden anliegenden Feldern nach obiger Gleichung für  $V_m$

$$V_4 = 2,19 \cdot 4 - 9,25 - \frac{257}{24} = -11,20$$

wäre, indessen  $\max K_o = 15,06$  ist, so sind sämtliche bei Anwendung von Gegendiagonalen entstehenden Grenzbeanspruchungen wie in Fig. 90 für eine Trägerhälfte eingetragen bestimmt.

**Beispiel 46. Parallelträger einfachen Systems mit ungleichlangen Feldern. Berechnung für gleichmässig vertheilte bewegte Last.**

Für Parallelträger einfachen Systems des rechtwinkligen Dreiecks seien gegeben: Spannweite  $l = 45$  m, Trägerhöhe  $h = 6$  m, Felderzahl  $n = 10$ , Länge der zwei äussersten Felder  $\lambda_1 = \lambda_n = 2,5$  m, Länge der übrigen Felder 5 m; ferner per laufenden Meter Träger Eigengewicht  $g = 0,9$  tn, Verkehrslast  $p = 2,63$  tn. Vom Eigengewicht kommen 0,6 tn auf die Knotenpunkte des Untergurts, in welchen die Fahrbahnlast angreift und 0,3 tn auf die Knotenpunkte des Obergurts. Die Grenzwerte der Stabkräfte zu berechnen, wenn die Diagonalen nur auf Zug widerstandsfähig vorausgesetzt werden.

Wir berechnen zunächst das System Fig. 91 und tragen dem Einflusse der Gegendiagonalen und etwaiger Abänderung der Trägerenden nachträglich Rechnung. Ist eine solche Abänderung nach Fig. 93 beabsichtigt, so braucht  $V_0$  nicht berechnet zu werden. Anstatt wie unten lassen sich die Beanspruchungen der Verticalen auch aus

$$(1) \quad V_m = -K_o - \frac{h}{d_m} D_{m+1}$$

berechnen, worin  $K_o$  die Belastung des Knotenpunkts  $m$  im Obergurt bedeutet, also  $0,3 \cdot 1,25$  tn für die beiden äussersten,  $0,3 \cdot 3,75$  für die beiden folgenden und  $0,3 \cdot 5$  für die übrigen Knotenpunkte. Der



symmetrischen Anordnung des Trägers wegen haben wir nur die erste Trägerhälfte zu berechnen, für welche die X-Gurtung oben liegt, sodass in den entsprechenden Formeln des § 37 die oberen Vorzeichen gelten.

**Eigengewicht allein.** Nach § 37, 3) sind die vom Eigengewicht allein herrührenden Stabkräfte

$$(2) \quad \begin{cases} \mathfrak{X}_m = -e_m (l - e_m) \frac{g}{2h} = -\mathfrak{Z}_{m+1}, \\ \mathfrak{D}_m = (l - e_m - e_{m-1}) \frac{g}{2h} d_m, \\ \mathfrak{B}_m = (\lambda_m + \lambda_{m+1}) \frac{g_z}{2} - (l - e_m - e_{m-1}) \frac{g}{2}, \end{cases}$$

unter  $e_m$  die Abscisse der Verticale  $m$ , unter  $\lambda_m$  die Länge des  $m$ ten Feldes verstanden. Für  $m = 0$  hat man  $\lambda_m = 0$ ,  $e_m = 0$ ,  $e_{m-1} = 0$ . Mit Rücksicht hierauf gilt die letzte Gleichung 2) nach 1) auch für  $V_0$ . Aus 2) ergeben sich in Tonnen für die Gurtungen:

$$\begin{array}{ll} \mathfrak{X}_1 = -2,5 \cdot 42,5 \cdot 0,075 = -7,97 & \mathfrak{Z}_1 = 0 \\ \mathfrak{X}_2 = -7,5 \cdot 37,5 \cdot 0,075 = -21,09 & \mathfrak{Z}_2 = 7,97 \\ \mathfrak{X}_3 = -12,5 \cdot 32,5 \cdot 0,075 = -30,47 & \mathfrak{Z}_3 = 21,09 \\ \mathfrak{X}_4 = -17,5 \cdot 27,5 \cdot 0,075 = -36,09 & \mathfrak{Z}_4 = 30,47 \\ \mathfrak{X}_5 = -22,5 \cdot 22,5 \cdot 0,075 = -37,97 & \mathfrak{Z}_5 = 36,09 \end{array}$$

und für die Füllungsglieder:

$$\begin{array}{ll} \mathfrak{B}_0 = 2,5 \cdot 0,3 - 45 \cdot 0,45 = -19,50 & \\ \mathfrak{D}_1 = 42,5 \cdot 0,075 \cdot 6,54 = 20,85 & \mathfrak{B}_1 = 7,5 \cdot 0,3 - 42,5 \cdot 0,45 = -16,87 \\ \mathfrak{D}_2 = 35 \cdot 0,075 \cdot 7,81 = 20,50 & \mathfrak{B}_2 = 10 \cdot 0,3 - 35 \cdot 0,45 = -12,75 \\ \mathfrak{D}_3 = 25 \cdot 0,075 \cdot 7,81 = 14,64 & \mathfrak{B}_3 = 10 \cdot 0,3 - 25 \cdot 0,45 = -8,25 \\ \mathfrak{D}_4 = 15 \cdot 0,075 \cdot 7,81 = 8,79 & \mathfrak{B}_4 = 10 \cdot 0,3 - 15 \cdot 0,45 = -3,75 \\ \mathfrak{D}_5 = 5 \cdot 0,075 \cdot 7,81 = 2,93 & \mathfrak{B}_5 = 10 \cdot 0,3 - 5 \cdot 0,45 = -0,75. \end{array}$$

**Grenzwerte.** Die unteren Grenzwerte der Gurtungskräfte sind die eben berechneten Eigengewichtsbeanspruchungen, für die oberen Grenzwerte hat man nach § 37, 3) 4)

$$(3) \quad X_m = \frac{q}{g} \mathfrak{X}_m = -Z_{m+1},$$

also wegen  $q : g = 3,922$  in Tonnen:

$$\begin{array}{ll} X_1 = -31,26 & Z_1 = 0 \\ X_2 = -82,71 & Z_2 = 31,26 \end{array}$$

$$\begin{array}{ll}
 X_3 = -119,50 & Z_3 = 82,71 \\
 X_4 = -141,54 & Z_4 = 119,50 \\
 X_5 = -148,92 & Z_5 = 141,54.
 \end{array}$$

Nach § 37, 5) sind die Grenzbeanspruchungen der Diagonalen

$$(4) \quad \begin{cases} D_m = \mathfrak{D}_m + \frac{(l - e_m)^2}{l - \lambda_m} \frac{p d_m}{2h}, \\ D_m = \mathfrak{D}_m - \frac{e_{m-1}^2}{l - \lambda_m} \frac{p d_m}{2h}, \end{cases}$$

und nach § 37, 7) diejenigen der Verticalen

$$(5) \quad \begin{cases} V_m = \mathfrak{B}_m - \frac{(l - e_{m+1})^2}{l - \lambda_{m+1}} \frac{p}{2}, \\ V_m = \mathfrak{B}_m + \frac{e_m^2}{l - \lambda_{m+1}} \frac{p}{2}. \end{cases}$$

Diese Gleichungen drücken nach 1) auch die Grenzwerte von  $V_0$  aus.  
Wir erhalten nun in Tonnen für die Diagonalen:

$$D_1 = 20,85 + \frac{2,63 \cdot 6,54}{510} 41,5^2 = 81,72$$

$$D_2 = 20,50 + \frac{2,63 \cdot 7,81}{480} 37,5^2 = 80,69$$

$$D_3 = 14,64 + \frac{2,63 \cdot 7,81}{480} 32,5^2 = 59,85$$

$$D_4 = 8,79 + \frac{2,63 \cdot 7,81}{480} 27,5^2 = 41,16$$

$$D_5 = 2,93 + \frac{2,63 \cdot 7,81}{480} 22,5^2 = 24,60,$$

$$D_1 = 20,85 - \frac{2,63 \cdot 6,54}{510} 0^2 = 20,85$$

$$D_2 = 20,50 - \frac{2,63 \cdot 7,81}{480} 2,5^2 = 20,23$$

$$D_3 = 14,64 - \frac{2,63 \cdot 7,81}{480} 7,5^2 = 12,23$$

$$D_4 = 8,79 - \frac{2,63 \cdot 7,81}{480} 12,5^2 = 2,10$$

$$D_5 = 2,93 - \frac{2,63 \cdot 7,81}{480} 17,5^2 = -10,18,$$

und für die Verticalen:

$$V_0 = -19,50 - \frac{2,63}{85} 42,5^2 = -75,31$$

$$V_1 = -16,87 - \frac{2,63}{80} 37,5^2 = -63,09$$

$$V_2 = -12,75 - \frac{2,63}{80} 32,5^2 = -47,47$$

$$V_3 = -8,25 - \frac{2,63}{80} 27,5^2 = -33,11$$

$$V_4 = -3,75 - \frac{2,63}{80} 22,5^2 = -20,39$$

$$V_5 = 0,75 - \frac{2,63}{80} 17,5^2 = -9,32,$$

$$V_0 = -19,50 + \frac{2,63}{85} 0^2 = -19,50$$

$$V_1 = -16,87 + \frac{2,63}{80} 2,5^2 = -16,66$$

$$V_2 = -12,75 + \frac{2,63}{80} 7,5^2 = -10,90$$

$$V_3 = -8,25 + \frac{2,63}{80} 12,5^2 = -3,11$$

$$V_4 = -3,75 + \frac{2,63}{80} 17,5^2 = -7,32$$

$$V_5 = 0,75 + \frac{2,63}{80} 22,5^2 = 17,39.$$

**Gegendiagonalen. Abänderung der Trägerenden.** Da die Diagonalen in den zwei mittleren Feldern sowohl Zug als Druck erleiden können, so sind daselbst Gegendiagonalen anzuordnen. Der Einfluss derselben ist durch den am Schlusse des § 50 hervorgehobenen Satz bestimmt, wobei zu beachten, dass constant

$$K_0 = 5 \cdot 0,3 = 1,5 \text{ tn.}$$

Werden die Trägerenden nach Fig. 93 abgeändert, so treten die in Aufgabe 24 erwähnten Aenderungen der Stabkräfte ein, wonach insbesondere die Grenzwerte von  $V_1$

$$V_1 = 3,23 \cdot 3,75 = 12,11, \quad V_1 = 3,1 \cdot 3,75 = 2,25 \text{ tn.}$$

Die Stützenreactionen erhalten wie in Beispiel 41 die dort berechneten Werthe. Die für den Träger mit Gegendiagonalen und Enden nach Fig. 93 gültigen Grenzwerte sind in Fig. 92 eingetragen. Erwähnt sei noch, dass die Beanspruchung der mittleren Verticalen für Eigengewicht allein nicht wie oben für Fig. 91 berechnet 0,75 tn,

sondern nach § 50, 4) gleich der unteren Grenzbeanspruchung — 1,5 tn derselben ist.

**Beispiel 47. Parallelträger einfachen Systems mit ungleichen Feldern. Berechnung für bewegte Radlastzüge.**

Die Träger des vorigen Beispiels sollen einer eingeleisigen Eisenbahnbrücke angehören und für bewegte Radlastzüge, zusammengesetzt aus Locomotiven der Radanordnung Fig. 18, berechnet werden.

Bis zur Berechnung der Grenzwerte bleibt alles im vorigen Beispiele Gesagte gültig. Die unteren Grenzwerte der Gurtungskräfte sind die dort berechneten Eigengewichtsbeanspruchungen, für die oberen Grenzwerte hat man nach § 37, 9) 2) bei Belastung durch Zug I (Fig. 23 u. 24) von 0 bis  $n$ , Rad  $O$  bei Verticale  $m$ ,

$$(1) \quad X_m = \mathfrak{X}_m - \left[ (l - e_m) \sum_0^m Pa + e_m \sum_m^n P(l - a) \right] \frac{1}{lh} = -Z_{m+1}.$$

Die Grenzbeanspruchungen der Diagonalen und Verticalen ergeben sich nach § 37, 13) 14) 17) 18) wie folgt:

Zug II (Fig. 22) von Verticale  $m$  bis  $n$ , Vorderrad  $O$  bei  $m$ ,

$$(2) \quad D_m = \mathfrak{D}_m + \frac{d_m}{lh} \sum_m^n P(l - a),$$

Zug II von 0 bis Verticale  $m - 1$ , Vorderrad  $O$  bei  $m - 1$ ,

$$(3) \quad D_m = \mathfrak{D}_m - \frac{d_m}{lh} \sum_0^{m-1} Pa;$$

Zug II von Verticale  $m + 1$  bis  $n$ , Vorderrad  $O$  bei  $m + 1$ ,

$$(4) \quad V_m = \mathfrak{V}_m - \frac{1}{l} \sum_{m+1}^n P(l - a),$$

Zug II von 0 bis Verticale  $m$ , Vorderrad  $O$  bei  $m$ ,

$$(5) \quad V_m = \mathfrak{V}_m + \frac{1}{l} \sum_0^m Pa.$$

Nach B. 46, 1) sind durch 4) 5) auch die Grenzwerte von  $V_0$  ausgedrückt.

Die Werthe der Summenausdrücke  $\sum$  lassen sich aus der Tabelle in Beispiel 6 entnehmen und würden beim Fehlen einer solchen Tabelle wie in Beispiel 42 zu berechnen sein (sie haben sich übrigens

auch schon in Beispiel 27 ergeben). Wir drücken die oberen Grenzbeanspruchungen der Gurtungen für die erste Richtung des Zugs I aus und setzen die der zweiten Richtung entsprechenden Resultate in Klammer bei.

$$X_1 = -7,97 - \frac{1}{270}(42,5 \cdot 22,2 + 2,5 \cdot 2205) = -31,88 \text{ tn} (-31,29)$$

$$X_2 = -21,09 - \frac{1}{270}(37,5 \cdot 112 + 7,5 \cdot 1716) = -84,31 \text{ tn} (-81,38)$$

$$X_3 = -30,47 - \frac{1}{270}(32,5 \cdot 244 + 12,5 \cdot 1230) = -119,56 \text{ tn} (-119,42)$$

$$X_4 = -36,09 - \frac{1}{270}(27,5 \cdot 460 + 17,5 \cdot 915) = -142,25 \text{ tn} (-141,15)$$

$$X_5 = -37,97 - \frac{1}{270}(22,5 \cdot 714 + 22,5 \cdot 617) = -148,48 \text{ tn} (-148,48),$$

$$Z_1 = 0 \quad \text{tn} (0) \quad Z_3 = 84,31 \text{ tn} (81,38)$$

$$Z_2 = 31,88 \text{ tn} (31,29) \quad Z_4 = 119,56 \text{ tn} (119,42)$$

$$Z_5 = 142,25 \text{ tn} (141,15).$$

Auch hier hätte wie in allen bisherigen Fällen die Berücksichtigung der ersten Zugrichtung allein genügt. Weiter folgen in Tonnen die beiden Grenzbeanspruchungen der Diagonalen:

$$D_1 = 20,85 + \frac{6,54}{270} 2518 = 81,84 \quad D_1 = 20,85 - \frac{6,54}{270} 0 = 20,85$$

$$D_2 = 20,50 + \frac{7,81}{270} 1989 = 77,98 \quad D_2 = 20,50 - \frac{7,81}{270} 23,4 = 19,82$$

$$D_3 = 14,64 + \frac{7,81}{270} 1522 = 58,63 \quad D_3 = 14,64 - \frac{7,81}{270} 130 = 10,88$$

$$D_4 = 8,79 + \frac{7,81}{270} 1125 = 41,30 \quad D_4 = 8,79 - \frac{7,81}{270} 276 = 0,81$$

$$D_5 = 2,93 + \frac{7,81}{270} 776 = 25,36 \quad D_5 = 2,93 - \frac{7,81}{270} 505 = -11,66,$$

und beide Grenzbeanspruchungen der Verticalen:

$$V_0 = -19,50 - \frac{2518}{45} = -75,46 \quad V_0 = -19,50 + \frac{0}{45} = -19,50$$

$$V_1 = -16,87 - \frac{1989}{45} = -61,07 \quad V_1 = -16,87 + \frac{23,4}{45} = -16,37$$

$$V_2 = -12,75 - \frac{1522}{45} = -46,57 \quad V_2 = -12,75 + \frac{130}{45} = -9,86$$

$$V_3 = -8,25 - \frac{1125}{45} = -33,25 \quad V_3 = -8,25 + \frac{276}{45} = -2,12$$

$$V_4 = -3,75 - \frac{776}{45} = -20,99 \quad V_4 = -3,75 + \frac{505}{45} = 7,47$$

$$V_5 = 0,75 - \frac{505}{45} = -10,47 \quad V_5 = 0,75 + \frac{776}{45} = 17,99.$$

Für  $D_1$  und  $V_0$  werden voraussichtlich bei Belastung durch Zug I von 0 bis  $n$ , Rad  $O$  bei Verticale 1, noch etwas ungünstigere obere Grenzwerte als mit Zug II entstehen. Wir erhalten mit den nach § 37, 10) und A. 19, 11) bei beliebiger Belastung gültigen Gleichungen

$$(6) \quad D_1 = \mathfrak{D}_1 + \left[ \left( \frac{l}{l_1} - 1 \right) \sum_0^1 Pa + \sum_1^n P(l-a) \right] \frac{d_1}{lh},$$

$$(7) \quad V_0 = \mathfrak{V}_0 - \left[ \left( \frac{l}{l_1} - 1 \right) \sum_0^1 Pa + \sum_1^n P(l-a) \right] \frac{1}{l},$$

mit den schon für  $X_1$  verwendeten  $\sum$

$$D_1 = 20,85 + \frac{17 \cdot 22,2 + 2205}{270} 6,54 = 83,40 \text{ tn},$$

$$V_0 = -19,5 - \frac{17 \cdot 22,2 + 2205}{45} = -76,89 \text{ tn},$$

gegen oben erhaltene 81,84 und  $-75,46$  tn.

Da die Diagonalen in den zwei mittleren Feldern sowohl Zug als Druck erleiden können, so sind daselbst Gegendiagonalen anzuordnen. Der Einfluss derselben ist wie im vorigen Beispiele durch den am Schlusse des § 50 hervorgehobenen Satz bestimmt. Ebenso ergibt sich wieder der Einfluss einer Abänderung der Trägerenden nach Fig. 93 aus dem in Aufgabe 24 abgeleiteten Satze und sind danach insbesondere die Grenzwerte von  $V_1$

$$V_1 = \mathfrak{V}_1 = 0,6 \cdot 3,75 = 2,25 \text{ tn},$$

$$V_1 = 2,25 + 6 + 6 \frac{3,7 + 2,4}{5} + 4 \frac{1,3}{2,5} = 17,65 \text{ tn}.$$

Für die Stützenreactionen gelten die in Beispiel 42 berechneten Werte. Sämtliche dem Träger mit Gegendiagonalen und Enden nach Fig. 93 entsprechenden Grenzwerte sind in Fig. 94 eingetragen.

#### Aufgabe 34. Lastäquivalente beim Parallelträger einfachen Systems mit ungleichlangen Feldern.

Die Grenzwerte der Stabkräfte des Parallelträgers einfachen Systems mit Verticalen und ungleichlangen Feldern bei Anwendung der Lastäquivalente direct befahrener vollwandiger Träger anzugeben.

Nach Aufgabe 29 sind die Grenzbeanspruchungen der Gurtungen aus § 37, 4) mit demjenigen constanten  $p$  zu berechnen, welches für einen durch Zug I direct befahrenen vollwandigen Träger dem  $\max M_x$  bei der Trägermitte entspricht. Bezeichnen ferner  $p_v$ ,  $p_c$  diejenigen Lastäquivalente, welche für einen durch Zug II direct befahrenen vollwandigen Träger der Spannweite  $l$  dem  $\text{pos } \max V_x$  bei  $x = v$  bzw. dem  $\text{neg } \max V_x$  bei  $x = c$  entsprechen, so hat man nach § 37, 1) mit A. 29, 2) 4) die Grenzbeanspruchungen der Diagonale  $m$ :

$$(1) \quad D_m = \mathfrak{D}_m \pm \frac{d_m}{2lh} (l - v)^2 p_v, \quad D_m = \mathfrak{D}_m \mp \frac{d_m}{2lh} c^2 p_c,$$

worin

$$(2) \quad v = e_m, \quad c = e_{m-1},$$

und die Grenzbeanspruchungen der Verticale  $m$ :

$$(3) \quad V_m = \mathfrak{B}_m \mp (l - v)^2 \frac{p_v}{2l}, \quad V_m = \mathfrak{B}_m \pm c^2 \frac{p_c}{2l},$$

worin, wenn die Fahrbahnlast angreift

a) in den Knotenpunkten der X-Gurtung,

$$(4) \quad v = e_m, \quad c = e_{m-1},$$

b) in den Knotenpunkten der Z-Gurtung,

$$(5) \quad v = e_{m+1}, \quad c = e_m.$$

Greift die Fahrbahnlast zwischen beiden Gurtungen in Verticale  $m$  an, so sind bei Berechnung des Verticalenstücks von Fahrbahn bis Z-Gurtung die Werthe 4) und bei Berechnung des Verticalenstücks von Fahrbahn bis X-Gurtung die Werthe 5) massgebend. — Mittelst der Gleichungen 1) 3) müssen sich genau dieselben Grenzbeanspruchungen der Füllungsglieder ergeben wie bei directer Berechnung mit Lastzug II.

Für einzelne Füllungsglieder an den Trägerenden kann  $c = 0$  oder  $v = l$  sein, in welchem Falle eine Grenzbeanspruchung für Eigengewicht allein eintritt. Findet sich dann die obere Grenzbeanspruchung nach den für gleichmässig vertheilte bewegte Last abgeleiteten Formeln, also beispielsweise für  $D_1$  nach

$$(6) \quad D_1 = \mathfrak{D}_1 \pm (l - \lambda_1) \frac{p d_1}{2h},$$

oder für  $V_1$  im Falle a) nach

$$(7) \quad V_1 = \mathfrak{B}_1 \mp (l - \lambda_1) \frac{p}{2},$$

mit dem für die Gurtungskräfte verwendeten  $p$  ungünstiger als nach

1) 3), so kann man jene (der Berechnung mit Zug I entsprechende, A. 29 und 30) als massgebend ansehen.

**Beispiel 48. Parallelträger einfachen Systems mit ungleichen Feldern. Berechnung mit Lastäquivalenten.**

Die Brückenträger des Beispiels 46 auf Grund gleichmässig vertheilter Lasten so zu berechnen, dass dieselben Grenzbeanspruchungen der Füllungsglieder und annähernd dieselben Grenzbeanspruchungen der Gurtungen wie mit den bewegten Radlastzügen des vorigen Beispiels entstehen.

Bis zur Berechnung der Grenzwerte bleibt es bei dem in Beispiel 46 Gesagten. Die oberen Grenzbeanspruchungen der Gurtungen sind wie dort mit constantem  $p$  zu berechnen und zwar hat man wie für die  $\max M_x$  eines durch den angenommenen Lastzug I direct befahrenen vollwandigen Trägers der Spannweite 45 m zu setzen  $p = 2,63$  tn (Beispiel 8). Da diese Annahme auch in Beispiel 46 gemacht wurde, so könnten sämtliche dort erhaltene Grenzbeanspruchungen der Gurtungen beibehalten werden. Wir haben in Fig. 95 die dem nach oben abgerundeten  $p = 2,7$  entsprechenden oberen Grenzwerte eingetragen, welche  $q : g = 4$  mal so gross als die in Beispiel 46 berechneten Eigengewichtsbeanspruchungen sind.

Für die Grenzbeanspruchungen der Diagonalen hat man nach A. 34, 1) mit  $v = e_m$ ,  $c = e_{m-1}$ ,

$$(1) \quad \begin{cases} D_m = \mathfrak{D}_m + \frac{d_m}{2lh} (l - e_m)^2 p_v, \\ D_m = \mathfrak{D}_m - \frac{d_m}{2lh} e_{m-1}^2 p_c, \end{cases}$$

und für die Grenzbeanspruchungen der Verticalen nach A. 34, 3) mit  $v = e_{m+1}$ ,  $c = e_m$ ,

$$(2) \quad \begin{cases} V_m = \mathfrak{B}_m - \frac{p_v}{2l} (l - e_{m+1})^2, \\ V_m = \mathfrak{B}_m + \frac{p_c}{2l} e_m^2. \end{cases}$$

Diese Gleichungen drücken nach A. 30, 7) oder B. 46, 1) auch die Grenzwerte von  $V_0$  aus. In 1) 2) bedeuten  $p_v$ ,  $p_c$  diejenigen Lastäquivalente, welche für einen durch den angenommenen Lastzug II direct befahrenen vollwandigen Träger der Spannweite  $l$  dem  $\max V_x$  bei  $x = v$  bezw. dem  $\max V_x$  bei  $x = c$  entsprechen.



Dieselben lassen sich aus der Tabelle in Beispiel 8 entnehmen. Wir erhalten damit in Tonnen die Grenzbeanspruchungen der Diagonalen:

$$D_1 = 20,85 + \frac{6,54}{540} 42,5^2 \cdot 2,78 = 81,67$$

$$D_2 = 20,50 + \frac{7,81}{540} 37,5^2 \cdot 2,83 = 78,05$$

$$D_3 = 14,64 + \frac{7,81}{540} 32,5^2 \cdot 2,88 = 58,63$$

$$D_4 = 8,79 + \frac{7,81}{540} 27,5^2 \cdot 2,97 = 41,27$$

$$D_5 = 2,93 + \frac{7,81}{540} 22,5^2 \cdot 3,06 = 25,33,$$

$$D_1 = 20,85 - \frac{6,54}{540} 0^2 \cdot \infty = 20,85$$

$$D_2 = 20,50 - \frac{7,81}{540} 2,5^2 \cdot 7,45 = 19,83$$

$$D_3 = 14,64 - \frac{7,81}{540} 7,5^2 \cdot 4,61 = 10,89$$

$$D_4 = 8,79 - \frac{7,81}{540} 12,5^2 \cdot 3,53 = 0,81$$

$$D_5 = 2,93 - \frac{7,81}{540} 17,5^2 \cdot 3,29 = -11,63,$$

und die Grenzbeanspruchungen der Verticalen:

$$V_0 = -19,50 - \frac{2,78}{90} 42,5^2 = -75,38$$

$$V_1 = -16,87 - \frac{2,83}{90} 37,5^2 = -61,09$$

$$V_2 = -12,75 - \frac{2,88}{90} 32,5^2 = -46,55$$

$$V_3 = -8,25 - \frac{2,97}{90} 27,5^2 = -33,21$$

$$V_4 = -3,75 - \frac{3,06}{90} 22,5^2 = -20,96$$

$$V_5 = 0,75 - \frac{3,29}{90} 17,5^2 = -10,45,$$

$$V_0 = -19,50 + \frac{\infty}{90} 0^2 = -19,50$$

$$V_1 = -16,87 + \frac{7,45}{90} 2,5^2 = -16,35$$

$$V_2 = -12,75 + \frac{4,61}{90} 7,5^2 = -9,87$$

$$V_3 = - 8,25 + \frac{3,53}{90} 12,5^2 = - 2,12$$

$$V_4 = - 3,75 + \frac{3,29}{90} 17,5^2 = 7,45$$

$$V_5 = 0,75 + \frac{3,06}{90} 22,5^2 = 17,96$$

Nach Aufgabe 29 müssen vorstehende Grenzwerte vollständig mit den im letzten Beispiele berechneten übereinstimmen.

Wie sich im vorigen Beispiele für die Diagonale 1 und Verticale 0 mit Zug I noch ungünstigere obere Grenzwerte als mit Zug II ergeben haben, so gilt Analoges bei Berechnung mit den entsprechenden Lastäquivalenten. Wir erhalten nach A. 30, 6) mit  $c = 0$

$$(3) \quad D_1 = \mathfrak{D}_1 + (l - \lambda_1) \frac{p d_1}{2h},$$

$$(4) \quad V_0 = \mathfrak{V}_0 - (l - \lambda_1) \frac{p}{2},$$

und hieraus mit dem für die Gurtungskräfte verwendeten  $p = 2,7$

$$D_1 = 83,40 \text{ tn}, \quad V_0 = - 76,88 \text{ tn}.$$

Gleichung 3) hätten wir natürlich auch aus A. 34 direct entnehmen können.

Da die Diagonalen in den zwei mittleren Feldern Zug und Druck erleiden können, so sind daselbst Gegendiagonalen anzuordnen, deren Einfluss wie in den zwei letzten Beispielen durch den am Schlusse des § 50 hervorgehobenen Satz bestimmt ist. Der Einfluss einer Abänderung der Trägerenden nach Fig. 93 ist wieder aus dem in Aufgabe 24 abgeleiteten Satze zu entnehmen. Der untere Grenzwert von  $V_1$  ist demnach  $V_1 = 0,6 \cdot 3,75 = 2,25 \text{ tn}$ , den obern kann man entweder wie im vorigen Beispiele berechnen oder man entnimmt zufolge A. 29, c) aus Beispiel 8 der Spannweite  $v = 7,5 \text{ m}$  entsprechend  $p = 4,05$  und erhält

$$V_1 = 3,75 \cdot 4,65 = 17,44 \text{ tn}.$$

Für die Stützenreactionen gelten die in Beispiel 43 berechneten Werte. Alle dem Träger mit Gegendiagonalen und Enden nach Fig. 93 entsprechenden Grenzwerte sind in Fig. 95 eingetragen.

**Beispiel 49.** Dreiecksdachbinder einfachen Systems mit Verticalen. X-Gurtung oben.

Für den in Fig. 96 angedeuteten Dachbinder betrage per laufenden Meter die feste Last  $g = 0,5 \text{ tn}$ , die Belastung durch Schnee

und Winddruck  $p = 0,75$  tn. Die ganze Last soll auf die Knotenpunkte des Obergurts allein vertheilt gelten. Es sind die Grenzbeanspruchungen der Stäbe festzustellen.

Nach § 32, 6) mit § 31, 16) sind die oberen Grenzbeanspruchungen der Gurtungsstäbe:

$$(1) \quad \begin{cases} X_m = \frac{q}{g} \mathfrak{X}_m = -m(n-m) \frac{q\lambda x}{2h_m}, \\ Z_m = \frac{q}{g} \mathfrak{Z}_m = (m-1)(n-m+1) \frac{q\lambda z}{2h_{m-1}}, \end{cases}$$

und nach § 39, 8) 9) mit § 38, 5) 6) die oberen Grenzbeanspruchungen der Diagonalen und Verticalen:

$$(2) \quad \begin{cases} D_m = \frac{q}{g} \mathfrak{D}_m = -(m-1) \frac{q\lambda d_m}{2h_{m-1}}, \\ V_m = \frac{q}{g} \mathfrak{V}_m = (m-1) \frac{q\lambda}{2}. \end{cases}$$

Die letzte Gleichung setzt voraus, dass zu beiden Seiten der Vertical  $m$  Felder mit Diagonalen gleicher Stellung liegen, sie gilt zwar für  $V_1$ , da wir uns im ersten Felde die Diagonale mit dem unteren Gurtungsstabe zusammenfallend denken können, nicht aber für die mittlere Vertical. Für diese haben wir nach A. 28, 5) 6) die obere Grenzbeanspruchung, wenn  $k$  die Höhe des mittleren Knotenpunkts im Untergurt über den Auflagern bedeutet,

$$(3) \quad V_o = \frac{q}{g} \mathfrak{V}_o = \left( \frac{h+k}{2h} n - 1 \right) q\lambda.$$

Während die Gleichungen 1) 2) wegen  $h_0 = 0$  für  $Z_1, D_1$  unbestimmte Ausdrücke ergeben, liefert die Bedingung „Summe aller Horizontalkräfte gleich Null“ in Anwendung auf Knotenpunkt 1 des Untergurts die ganze Beanspruchung des Untergurtstabes 1 bei jeder Belastung

$$(4) \quad Z_1 = Z_2.$$

Die unteren Grenzbeanspruchungen sämtlicher Stäbe sind die Beanspruchungen  $\mathfrak{X}_m, \mathfrak{Z}_m, \mathfrak{D}_m, \mathfrak{V}_m$  durch die feste Last allein, sie stehen zu den oberen im Verhältniss

$$g : q = 0,5 : 1,25 = 2 : 5,$$

sodass wir uns auf die Angabe der oberen Grenzbeanspruchungen beschränken können. Dieselben ergeben sich aus vorstehenden Gleichungen für die Gurtungsstäbe:

$$\begin{aligned}
X_1 &= -\frac{1 \cdot 7}{1,5} 2,5 \cdot 4,47 = -52,15 & Z_1 &= Z_2 \\
X_2 &= -\frac{2 \cdot 6}{3} 2,5 \cdot 4,47 = -44,70 & Z_2 &= \frac{1 \cdot 7}{1,5} 2,5 \cdot 4,03 = 47,02 \\
X_3 &= -\frac{3 \cdot 5}{4,5} 2,5 \cdot 4,47 = -37,25 & Z_3 &= \frac{2 \cdot 6}{3} 2,5 \cdot 4,03 = 40,30 \\
X_4 &= -\frac{4 \cdot 4}{6} 2,5 \cdot 4,47 = -29,80 & Z_4 &= \frac{3 \cdot 5}{4,5} 2,5 \cdot 4,03 = 33,58,
\end{aligned}$$

und für die Füllungsglieder:

$$\begin{aligned}
D_2 &= -\frac{1 \cdot 4,12}{1,5} 2,5 = -6,87 & V_1 &= 0 \cdot 2,5 = 0 \\
D_3 &= -\frac{2 \cdot 4,72}{3} 2,5 = -7,87 & V_2 &= 1 \cdot 2,5 = 2,5 \\
D_4 &= -\frac{3 \cdot 5,66}{4,5} 2,5 = -9,43 & V_3 &= 2 \cdot 2,5 = 5 \\
V_4 &= \left(\frac{8 \cdot 4}{6} - 1\right) 5 = 21,67 \text{ tn.}
\end{aligned}$$

**Bemerkungen.** Da die Verticale 1 keine rechnungsmässige Beanspruchung erleidet, so wird sie vielfach weggelassen, eventuell liesse sich ihr Verbleiben mit der Verhinderung einer grösseren Einbiegung der anstossenden Stäbe des Untergurts motiviren.

Wäre ein Theil der festen Last auf die Knotenpunkte des Untergurts zu rechnen, so würde sich nur die Berechnung der Verticalen etwas ändern. Als Grenzbeanspruchungen hätte man nach § 39, 1) 3) und § 38, 5)

$$(5) \quad \mathfrak{B}_m = \left(m - \frac{g_x - g_z}{g}\right) \frac{g\lambda}{2}, \quad V_m = \mathfrak{B}_m + (m - 1) \frac{p\lambda}{2},$$

für die mittlere Verticale jedoch ausnahmsweise nach A. 28, 5) 6)

$$(6) \quad \mathfrak{B}_o = \left(\frac{h+k}{2h} n - \frac{g_z}{g}\right) g\lambda, \quad V_o = \mathfrak{B}_o + \left(\frac{h+k}{2h} n - 1\right) p\lambda,$$

unter  $g_x, g_z$  diejenigen Theile von  $g$  verstanden, welche auf die Knotenpunkte der X-Gurtung und Z-Gurtung zu rechnen sind. Setzen wir im obigen Falle  $g_x = 0,4, g_z = 0,1$ , so ergeben sich

$$\begin{aligned}
\mathfrak{B}_1 &= 0,4 & \mathfrak{B}_2 &= 1,4 & \mathfrak{B}_3 &= 2,4 & \mathfrak{B}_4 &= 9,07 \\
V_1 &= 0,4 & V_2 &= 2,9 & V_3 &= 5,4 & V_4 &= 22,07 \text{ tn.}
\end{aligned}$$

Die Formeln 5) 6) könnten besonders dann zur Verwendung kommen, wenn die Dachbinder gleichzeitig eine Decke zu tragen hätten. Ueber Berücksichtigung schiefen Winddrucks siehe die Beispiele 21, 22, 39, 40, 57, 58, 85, 86.

**Beispiel 50. Dreiecksdachbinder einfachen Systems mit Verticalen. X-Gurtung unten.**

Für den in Fig. 97 angedeuteten Dachbinder beträgt per laufenden Meter die feste Last  $g = 0,5$  tn, die Belastung durch Schnee und Winddruck  $p = 0,75$  tn. Die ganze Last soll auf die Knotenpunkte des Obergurts allein vertheilt gelten. Es sind die Grenzbeanspruchungen der Stäbe festzustellen.

Nach § 32, 6) mit § 31, 16) sind die oberen Grenzbeanspruchungen der Gurtungen:

$$(1) \quad \begin{cases} X_m = \frac{q}{g} \mathfrak{X}_m = m(n-m) \frac{q\lambda x}{2h_m}, \\ Z_m = \frac{q}{g} \mathfrak{Z}_m = -(m-1)(n-m+1) \frac{q\lambda z}{2h_{m-1}}, \end{cases}$$

und nach § 39, 8) 9) mit § 38, 5) 7) diejenigen der Füllungsglieder:

$$(2) \quad \begin{cases} D_m = \frac{q}{g} \mathfrak{D}_m = (m-1) \frac{q\lambda d_m}{2h_{m-1}}, \\ V_m = \frac{q}{g} \mathfrak{V}_m = -(m+1) \frac{q\lambda}{2}. \end{cases}$$

Die letzte Gleichung setzt voraus, dass zu beiden Seiten der Verticale  $m$  Felder mit Diagonalen gleicher Stellung liegen, sie gilt zwar für  $V_1$ , da wir uns im ersten Felde die Diagonale mit dem oberen Gurtungsstabe zusammenfallend denken können, nicht aber für die mittlere Verticale. Für diese haben wir nach A. 28, 5) 7) die obere Grenzbeanspruchung, wenn  $k$  die Höhe des mittleren Knotenpunkts im Untergurt über den Auflagern bedeutet,

$$(3) \quad V_\sigma = \frac{q}{g} \mathfrak{V}_\sigma = \frac{q\lambda k}{2h}.$$

Während die Gleichungen 1) 2) wegen  $h_0 = 0$  für  $Z_1, D_1$  unbestimmte Ausdrücke ergeben, liefert die Bedingung „Summe aller Horizontalkräfte gleich Null“ in Anwendung auf Knotenpunkt 1 des Obergurts die ganze Beanspruchung des Obergurtstabes 1 bei jeder Belastung

$$(4) \quad Z_1 = Z_2.$$

Die unteren Grenzbeanspruchungen sämtlicher Stäbe sind die Beanspruchungen  $\mathfrak{X}_m, \mathfrak{Z}_m, \mathfrak{D}_m, \mathfrak{V}_m$  für die feste Last allein, sie stehen zu den oberen im Verhältniss

$$\frac{q}{g} = \frac{0,5}{1,25} = \frac{2}{5},$$

sodass wir uns auf die Angabe der oberen Grenzbeanspruchungen beschränken können. Dieselben ergeben sich aus vorstehenden Gleichungen für die Gurtungsstäbe:

$$X_1 = \frac{1 \cdot 7}{1,5} 2,5 \cdot 4,03 = 47,02 \quad Z_1 = Z_2$$

$$X_2 = \frac{2 \cdot 6}{3} 2,5 \cdot 4,03 = 40,30 \quad Z_2 = -\frac{1 \cdot 7}{1,5} 2,5 \cdot 4,47 = -52,15$$

$$X_3 = \frac{3 \cdot 5}{4,5} 2,5 \cdot 4,03 = 33,58 \quad Z_3 = -\frac{2 \cdot 6}{3} 2,5 \cdot 4,47 = -44,70$$

$$X_4 = \frac{4 \cdot 4}{6} 2,5 \cdot 4,03 = 26,87 \quad Z_4 = -\frac{3 \cdot 5}{4,5} 2,5 \cdot 4,47 = -37,25,$$

und für die Füllungsglieder:

$$D_2 = \frac{1 \cdot 5,32}{1,5} 2,5 = 8,87 \quad V_1 = -2 \cdot 2,5 = -5$$

$$D_3 = \frac{2 \cdot 6,4}{3} 2,5 = 10,67 \quad V_2 = -3 \cdot 2,5 = -7,5$$

$$D_4 = \frac{3 \cdot 6,8}{4,5} 2,5 = 11,33 \quad V_3 = -4 \cdot 2,5 = -10$$

$$V_4 = 1,25 \frac{64}{12} = 6,67 \text{ tn.}$$

**Bemerkungen.** Bei horizontalem Untergurt erhält die mittlere Verticale nach 3) keine Beanspruchung, sie kann dann wegb bleiben, wenn sie nicht zur Verhinderung einer grösseren Einbiegung des Untergurts dienen soll. Will man die mittlere Verticale bei nicht horizontalem Untergurt weglassen (Fig. 98), so folgen aus § 32, 4)

6) 10) 13) mit  $m = \sigma = \frac{n}{2}$ ,  $x_m = \lambda$  die oberen Grenzbeanspruchungen

$$(5) \quad X_\sigma = \frac{q}{g} \mathfrak{X}_\sigma = \frac{q l^2}{8h}, \quad D_\sigma = \frac{q}{g} \mathfrak{D}_\sigma = \left( \frac{h+k}{2h} n - 1 \right) \frac{q \lambda d_\sigma}{2h_{\sigma-1}},$$

während die unteren,  $\mathfrak{X}_\sigma$ ,  $\mathfrak{D}_\sigma$ , wieder im Verhältnisse  $g : q$  zu den oberen stehen und alle übrigen Beanspruchungen wie oben bleiben. Für den jetzt berechneten Träger würden im Falle der Abänderung nach Fig. 98 zufolge 5)

$$X_4 = \frac{1,25}{8 \cdot 6,5} 32^2 = 24,62, \quad D_4 = \left( \frac{8 \cdot 4}{6,5} - 1 \right) \frac{2,5 \cdot 6,8}{4,5} = 14,82 \text{ tn.}$$

Wäre ein Theil der festen Last auf die Knotenpunkte des Untergurts zu rechnen, so würde sich nur die Berechnung der  $V_m$  etwas ändern. Als Grenzbeanspruchungen hätte man nach § 39, 1) 4) und § 38, 5)

$$(6) \quad \mathfrak{X}_m = - \left( m + \frac{g_z - g_x}{g} \right) \frac{g \lambda}{2}, \quad V_m = \mathfrak{D}_m - (m + 1) \frac{p \lambda}{2},$$

für die mittlere Verticale jedoch ausnahmsweise nach A. 28, 5) 7)

$$(7) \quad \mathfrak{B}_o = \frac{gld}{2h} + g_x \lambda, \quad V_o = \mathfrak{B}_o + \frac{pld}{2h},$$

unter  $g_x, g_s$  diejenigen Theile von  $g$  verstanden, welche auf die Knotenpunkte der X-Gurtung und Z-Gurtung zu rechnen sind. Setzen wir im obigen Falle  $g_x = 0,1$ ,  $g_s = 0,4$ , so folgen:

$$\begin{array}{llll} \mathfrak{B}_1 = -1,6 & \mathfrak{B}_2 = -2,6 & \mathfrak{B}_3 = -3,6 & \mathfrak{B}_4 = 3,07 \\ V_1 = -4,6 & V_2 = -7,1 & V_3 = -9,6 & V_4 = 22,07. \end{array}$$

Ueber Berücksichtigung schiefen Winddrucks siehe die Citate am Schlusse des vorigen Beispiels.

**Beispiel 51. Dreiecksträger einfachen Systems mit Verticalen. Berechnung für gleichmässig vertheilte bewegte Last.**

Für eine Brücke von  $l = 24$  m Spannweite sollen Dreiecksträger einfachen Systems des rechtwinkligen Dreiecks mit horizontalem Obergurt und nur gegen Zug widerstandsfähigen Diagonalen zur Verwendung kommen. Gewünschte Trägerhöhe in der Mitte  $h = 4$  m, Felderzahl  $n = 8$ . Eigengewicht per laufenden Meter Träger  $g = 0,73$  tn, Verkehrslast  $p = 2,77$  tn. Vom Eigengewicht kommen 0,53 tn auf die Knotenpunkte des Obergurts, in welchen die Fahrbahnlast angreift und 0,2 tn auf diejenigen des Untergurts. Die Grenzwerte der Stabkräfte festzustellen.

Nach § 38, 4) erleiden die Diagonalen nur Zugbeanspruchungen, wenn bei symmetrischer Anordnung des Trägers die X-Gurtung auf der ersten Trägerhälfte unten liegt. Unser Träger ist demnach in Fig. 99 angedeutet. Die eingeschriebenen Zahlen bedeuten Stablängen in Metern. Selbstverständlich haben wir nur die erste Trägerhälfte zu berechnen.

**Untere Grenzwerte.** Die unteren Grenzwerte aller Stabkräfte treten für Eigengewicht allein ein. Wir haben nach § 31, 16) und § 38, 5)

$$(1) \quad \left\{ \begin{array}{l} \mathfrak{X}_m = m(n-m) \frac{g\lambda x}{2h_m}, \\ \mathfrak{B}_m = -(m-1)(n-m+1) \frac{g\lambda^2}{2h_{m-1}}, \\ \mathfrak{D}_m = (m-1) \frac{g\lambda d_m}{2h_{m-1}}, \\ \mathfrak{B}_m = -m \frac{g\lambda}{2} - \frac{g_s - g_x}{g} \lambda. \end{array} \right.$$

Eine Ausnahme macht die Beanspruchung der mittleren Verticalen, für welche bei jeder Belastung gilt (vergl. Aufgabe 28),

$$(2) \quad V_4 + 2X_4 \frac{1}{4,12} - g_x \lambda = 0.$$

Während die Gleichungen 1) wegen  $h_0 = 0$  für  $Z_1, D_1$  auf den unbestimmten Ausdruck  $0:0$  führen, ergibt die Bedingung „Summe aller Horizontalkräfte gleich Null“ in Anwendung auf Knotenpunkt 1 des Obergurts bei jeder Belastung

$$(3) \quad Z_1 = Z_2.$$

Vorstehende Gleichungen liefern nun mit den gegebenen Zahlenwerthen und  $g_x = 0,2$ ,  $g_s = 0,53$  folgende Beanspruchungen für Eigengewicht allein in Tonnen:

$$\begin{array}{llll} x_1 = 24,22 & \mathfrak{B}_1 = & \mathfrak{B}_2 & \mathfrak{B}_1 = -1,59 \\ x_2 = 20,76 & \mathfrak{B}_2 = -22,99 & \mathfrak{D}_2 = 3,46 & \mathfrak{B}_2 = -2,68 \\ x_3 = 17,30 & \mathfrak{B}_3 = -19,71 & \mathfrak{D}_3 = 3,95 & \mathfrak{B}_3 = -3,78 \\ x_4 = 13,84 & \mathfrak{B}_4 = -16,42 & \mathfrak{D}_4 = 4,64 & \mathfrak{B}_4 = -5,78. \end{array}$$

Obere Grenzwerte. Nach § 32, 6) sind die oberen Grenzbeanspruchungen der Gurtungen

$$(4) \quad X_m = \frac{q}{g} x_m, \quad Z_m = \frac{q}{g} \mathfrak{B}_m,$$

und nach § 39, 8) 4) die oberen Grenzbeanspruchungen der Diagonalen und Verticalen

$$(5) \quad D_m = \frac{q}{g} \mathfrak{D}_m, \quad V_m = \mathfrak{B}_m - (m+1) \frac{p\lambda}{2}.$$

Wir erhalten mit  $q:g = 3,5:0,73 = 4,794$  folgende Werthe in Tonnen:

$$\begin{array}{llll} X_1 = 116,11 & Z_1 = & Z_2 & V_1 = -9,90 \\ X_2 = 99,52 & Z_2 = -110,21 & D_2 = 16,59 & V_2 = -15,15 \\ X_3 = 82,94 & Z_3 = -94,49 & D_3 = 18,94 & V_3 = -20,40 \\ X_4 = 66,35 & Z_4 = -78,72 & D_4 = 22,24 & V_4 = -29,98. \end{array}$$

Bemerkungen. Hätten wir das ganze Eigengewicht  $g$  nur auf diejenigen Knotenpunkte vertheilt angenommen, in welchen die Fahrbahnlast angreift, so würde nach § 39, 9) gewesen sein

$$(6) \quad V_m = \frac{q}{g} \mathfrak{B}_m.$$

Wie in beiden letzten Beispielen hätte man natürlich auch die oberen Grenzwerte ohne Rücksicht auf die unteren und  $V_4$  nach den



allgemeinen Formeln der Aufgabe 28 berechnen können. Doch beabsichtigen wir, von den berechneten unteren Grenzwerten in den zwei folgenden Beispielen Gebrauch zu machen. Die Stützenreactionen sind wie in Beispiel 54 bestimmt.

**Beispiel 52. Dreiecksträger einfachen Systems mit Verticalen. Berechnung für bewegte Radlastzüge.**

Die Brückenträger des vorigen Beispiels sollen einer eingleisigen Eisenbahnbrücke angehören und für bewegte Radlastzüge, zusammengesetzt aus Locomotiven der Radanordnung Fig. 18, berechnet werden.

Bis zur Berechnung der oberen Grenzwerte bleibt das im vorigen Beispiele Gegebene gültig. Die oberen Grenzbeanspruchungen der Gurtungsstäbe und Füllungsglieder erhält man nach § 33, 1) 2) und § 40, 2) 4) wie folgt:

Belastung durch Zug I (Fig. 23 und 24) von 0 bis  $n$ , Rad 0 bei Verticale  $m$ ,

$$(1) \quad X_m = \mathfrak{X}_m - \left[ (n - m) \sum_0^m Pa + m \sum_m^n P(l - a) \right] \frac{x}{lh_m} = -\frac{x}{z} Z_{m+1},$$

Belastung durch Zug I von 0 bis  $m$ , Rad 0 bei Verticale  $m - 1$ ,

$$(2) \quad D_m = \mathfrak{D}_m + \left[ \sum_0^{m-1} Pa + (m - 1) \sum_{m-1}^m P(m\lambda - a) \right] \frac{d_m}{m\lambda h_{m-1}},$$

Belastung durch Zug I von 0 bis  $m + 1$ , Rad 0 bei Verticale  $m$ ,

$$(3) \quad V_m = \mathfrak{V}_m - \left[ \sum_0^m Pa + m \sum_m^{m+1} P(m\lambda + \lambda - a) \right] \frac{1}{m\lambda}.$$

Die Werthe der Summenausdrücke  $\sum$  lassen sich aus der Tabelle in Beispiel 6 entnehmen oder ergeben sich wie in Beispiel 42. Bei Benutzung der Tabelle ist zu beachten, dass allgemein

$$\sum_c^v P(v - a) = \sum_c^l P(l - a) \text{ mit } l = v$$

ist. Wir erhalten unter Berücksichtigung von B. 51, 3) in Tonnen die oberen Grenzbeanspruchungen der Gurtungsstäbe für die erste Richtung des Zuges I:

$$X_1 = 24,22 + (7 \cdot 30,2 + 1 \cdot 535) \frac{3,16}{24} = 122,50$$

$$X_2 = 20,76 + (6 \cdot 80,7 + 2 \cdot 383) \frac{3,16}{48} = 103,06$$

$$X_3 = 17,30 + (5 \cdot 144 + 3 \cdot 271) \frac{3,16}{72} = 84,52$$

$$X_4 = 13,84 + (4 \cdot 226 + 4 \cdot 173) \frac{3,16}{96} = 65,73,$$

$$Z_1 = Z_2$$

$$Z_2 = - \frac{3}{3,16} 122,50 = - 116,30$$

$$Z_3 = - \frac{3}{3,16} 103,06 = - 97,85$$

$$Z_4 = - \frac{3}{3,16} 84,52 = - 80,24,$$

und für die zweite Richtung des Zuges I:

$$X_1 = 24,22 + (7 \cdot 10,2 + 1 \cdot 630) \frac{3,16}{24} = 115,43$$

$$X_2 = 20,76 + (6 \cdot 32,4 + 2 \cdot 490) \frac{3,16}{48} = 98,15$$

$$X_3 = 17,30 + (5 \cdot 89,4 + 3 \cdot 348) \frac{3,16}{72} = 81,92$$

$$X_4 = 13,84 + (4 \cdot 173 + 4 \cdot 226) \frac{3,16}{96} = 65,73,$$

$$Z_1 = Z_2$$

$$Z_2 = - \frac{3}{3,16} 115,43 = - 109,54$$

$$Z_3 = - \frac{3}{3,16} 98,15 = - 93,14$$

$$Z_4 = - \frac{3}{3,16} 81,92 = - 77,74.$$

Die oberen Grenzbeanspruchungen der Füllungsglieder ergeben sich für die erste Richtung des Zuges I:

$$D_2 = 3,46 + \frac{80,2 + 1 \cdot 10,2}{6 \cdot 1} 3,16 = 24,74$$

$$D_3 = 3,95 + \frac{80,7 + 2 \cdot 10,2}{9 \cdot 2} 3,61 = 24,23$$

$$D_4 = 4,64 + \frac{144 + 3 \cdot 10,2}{12 \cdot 3} 4,24 = 25,34,$$

$$V_1 = -1,59 - \frac{30,2 + 1 \cdot 10,2}{3} = -15,06$$

$$V_2 = -2,68 - \frac{80,7 + 2 \cdot 10,2}{6} = -19,53$$

$$V_3 = -3,78 - \frac{144 + 3 \cdot 10,2}{9} = -23,18,$$

und für die zweite Richtung des Zuges I:

$$D_2 = 3,46 + \frac{10,2 + 1 \cdot 30,2}{6 \cdot 1} 3,16 = 24,74$$

$$D_3 = 3,95 + \frac{32,4 + 2 \cdot 30,2}{9 \cdot 2} 3,61 = 22,56$$

$$D_4 = 4,64 + \frac{89,4 + 3 \cdot 30,2}{12 \cdot 3} 4,24 = 25,84,$$

$$V_1 = -1,59 - \frac{10,2 + 1 \cdot 30,2}{3} = -15,06$$

$$V_2 = -2,68 - \frac{32,4 + 2 \cdot 30,2}{6} = -18,15$$

$$V_3 = -3,78 - \frac{89,4 + 3 \cdot 30,2}{9} = -23,78.$$

Es gelten überall die grössten der berechneten Werthe, und hätte auch hier die Berücksichtigung der ersten Zugrichtung allein genügt. Schliesslich liefert B. 51, 2)

$$V_4 = 0,6 - \frac{65,73}{2,06} = -31,32 \text{ tn.}$$

Die Stützenreactionen sind wie in Beispiel 55 bestimmt.

**Bemerkungen.** Dass die Berechnung der Füllungsglieder auf Grund der Belastung durch Zug II im vorliegenden Falle weniger ungünstige Grenzwerte als diejenige mit Zug I erwarten lasse, wurde schon in § 40 erwähnt. Nach § 33, 8) 12) mit  $\varepsilon = \nu = m$  liefert jenes Vorgehen die oberen Grenzwerte mit Zug II von 0 bis  $m-1$ , Vorderrad  $O$  bei Verticale  $m-1$ ,

$$(4) \quad D_m = \mathfrak{D}_m + \frac{d_m}{m\lambda h_{m-1}} \sum_0^{m-1} Pa,$$

und mit Zug II von 0 bis  $m$ , Vorderrad  $O$  bei Verticale  $m$ ,

$$(5) \quad V_m = \mathfrak{V}_m - \frac{1}{m\lambda} \sum_0^m Pa.$$

Die Summenwerthe sind aus der Tabelle in Beispiel 6 zu entnehmen oder wie in Beispiel 42 zu berechnen. Man erhält damit in Tonnen:

$$D_2 = 3,46 + \frac{3,16 \cdot 30,6}{6 \cdot 1} = 19,58$$

$$D_3 = 3,95 + \frac{3,61 \cdot 93,4}{9 \cdot 2} = 22,68$$

$$D_4 = 4,64 + \frac{4,24 \cdot 170,4}{12 \cdot 3} = 24,71,$$

$$V_1 = -1,59 - \frac{30,6}{3} = -11,79$$

$$V_2 = -2,68 - \frac{93,4}{6} = -18,25$$

$$V_3 = -3,78 - \frac{170,4}{9} = -22,71,$$

während  $V_4$  wie oben bestimmt bleibt.

**Beispiel 53. Dreiecksträger einfachen Systems mit Verticalen. Berechnung mit Lastäquivalenten.**

Die Brückenträger des Beispiels 51 auf Grund gleichmässig vertheilter Lasten so zu berechnen, dass annähernd dieselben Grenzwerte wie mit den Radlastzügen des Beispiels 52 entstehen.

Bis zur Feststellung der oberen Grenzwerte bleibt alles in Beispiel 51 Gegebene gültig. Im Weiteren ist nach Anleitung von Aufgabe 32 zu erfahren. Die oberen Grenzbeanspruchungen der Gurtungen sind mit demjenigen constanten  $p$  zu berechnen, welches für einen durch den angenommenen Lastzug I direct befahrenen vollwandigen Träger der Spannweite  $l$  dem max  $M_x$  bei der Trägermitte entspricht, das heisst nach Beispiel 8 mit  $p = 2,77$  tn. Da dieser Werth bereits in Beispiel 51 verwendet wurde, so könnten die dort berechneten Grenzbeanspruchungen der Gurtungen beibehalten werden. Mit dem etwas nach oben abgerundeten  $p = 2,8$  tn ergeben sich in Tonnen:

$$\begin{array}{llll} X_1 = 117,13 & X_2 = 100,40 & X_3 = 83,66 & X_4 = 66,93 \\ Z_1 = Z_2 & Z_3 = -111,18 & Z_3 = -95,32 & Z_4 = -79,41. \end{array}$$

Die oberen Grenzbeanspruchungen der Füllungsglieder sind ebenfalls nach den Formeln für gleichmässig vertheilte bewegte Last, jedoch mit demjenigen  $p$  zu berechnen, welches für einen durch den angenommenen Lastzug I direct befahrenen vollwandigen Träger der Spannweite  $v$  dem max  $M_x$  bei der Trägermitte entspricht. Da nun nach § 39, 2) 4)

$$(1) \quad D_m = \mathfrak{D}_m + \frac{m-1}{2} \frac{d_m}{h_{m-1}} p \lambda, \quad V_m = \mathfrak{V}_m - \frac{m+1}{2} p \lambda,$$

und nach Aufgabe 32 oder § 31 für die Diagonalen  $v = m\lambda$ , für die Verticalen  $v = (m + 1)\lambda$  sind, so erhalten wir mit Rücksicht auf die zweite Tabelle die oberen Grenzwerte:

$$D_2 = 3,46 + \frac{1 \cdot 3,16}{2} 3 \cdot 4,49 = 24,74$$

$$D_3 = 3,95 + \frac{2 \cdot 3,61}{4} 3 \cdot 3,62 = 23,55$$

$$D_4 = 4,64 + \frac{3 \cdot 4,24}{6} 3 \cdot 3,14 = 24,61,$$

$$V_1 = -1,59 - 2 \cdot 1,5 \cdot 4,49 = -15,06$$

$$V_2 = -2,68 - 3 \cdot 1,5 \cdot 3,62 = -18,97$$

$$V_3 = -3,78 - 4 \cdot 1,5 \cdot 3,14 = -22,62 \text{ tn},$$

während  $V_4$  wie in Beispiel 51 bleibt. Die Stützenreactionen sind wie in Beispiel 56 bestimmt.

**Bemerkungen.** Zur Berechnung mit den Lastäquivalenten für Zug II hätten wir nach A. 32, 1) 2) 3) 5) wegen  $\varepsilon = v = m$  die oberen Grenzwerte

$$(2) \quad \begin{cases} D_m = \mathfrak{D}_m + \frac{\lambda d_m}{2 h_{m-1}} \frac{(m-1)^2}{m} p_c & \text{mit } c = (m-1)\lambda, \\ V_m = \mathfrak{B}_m - \frac{m\lambda}{2} p_c & \text{mit } c = m\lambda, \end{cases}$$

worin  $p_c$  das Lastäquivalent zur Berechnung des neg max  $V_x$  im Querschnitte  $x = c$  eines durch den angenommenen Lastzug II direct befahrenen vollwandigen Trägers bedeutet. Wir erhalten aus 2) mit Rücksicht auf die erste Tabelle in Beispiel 8:

$$D_2 = 3,46 + \frac{3 \cdot 3,16 \cdot 1}{2 \cdot 2} 6,80 = 19,58$$

$$D_3 = 3,95 + \frac{3 \cdot 3,61 \cdot 4}{4 \cdot 3} 5,19 = 22,68$$

$$D_4 = 4,64 + \frac{3 \cdot 4,24 \cdot 9}{6 \cdot 4} 4,21 = 24,72,$$

$$V_1 = -1,59 - 1,5 \cdot 6,80 = -11,79$$

$$V_2 = -2,68 - 3 \cdot 5,19 = -18,25$$

$$V_3 = -3,78 - 4,5 \cdot 4,21 = -22,72 \text{ tn}.$$

$V_4$  bleibt wie in Beispiel 51 bestimmt. Während vorstehende Grenzwerte vollständig mit den im vorigen Beispiel für Zug II berechneten übereinstimmen müssen, brauchen die oben ermittelten den mit Zug I erhaltenen nur angenähert zu entsprechen.

**Beispiel 54. Parabelträger einfachen Systems mit Verticalen.****Berechnung für gleichmässig vertheilte bewegte Last.**

Ein Balkenfachwerk einfachen Systems mit Verticalen von  $l = 24$  m Spannweite soll mit parabolischem Obergurt und horizontalem Untergurt hergestellt werden. Gewünschte Trägerhöhe in der Mitte  $h = 3,2$  m, Felderzahl  $n = 8$ . Eigengewicht per laufenden Meter Träger  $g = 0,73$  tn, Verkehrslast  $p = 2,77$  tn. Vom Eigengewichte kommen 0,53 tn auf die Knotenpunkte des Untergurts, in welchen die Fahrbahnlast angreift und 0,2 tn auf die Knotenpunkte des Obergurts. Die Grenzwerte der Stabkräfte und Stützenreactionen festzustellen.

**Formberechnung.** Wir wählen die in Fig. 100 ersichtlichen Stellungen der Diagonalen, womit Letztere kürzer als bei den sonst möglichen Stellungen werden und demgemäss auch die Beanspruchungen geringer ausfallen (§§ 41, 42). Nach § 17, 20) und § 16, 1) 15) 14) erhält man mit  $f = h = 3,2$  m,  $\lambda = 3$  m

für	$m =$	1	2	3	4:
	$h_m = m(n - m) \frac{4f}{n^2} =$	1,4	2,4	3	3,2 m
	$\nu = \varepsilon = \frac{h_m}{h_m - h_{m-1}} =$	1	2,4	5	16
	$x_m = \sqrt{\lambda^2 + (h_m - h_{m-1})^2} =$	3,31	3,16	3,06	3,01 m
	$d_m = \sqrt{\lambda^2 + h_{m-1}^2} =$	3	3,31	3,84	4,24 m,

während  $z_m = \lambda = 3$  m ist.

**Eigengewicht allein.** Für die vom Eigengewichte allein herührenden Stabkräfte liefert § 41 bei oben liegender X-Gurtung

$$(1) \quad \begin{cases} X_m = -\frac{ngl}{8f} x_m, & Z_m = \frac{gl^2}{8f}, \\ D_m = 0, & B_m = g_z \lambda. \end{cases}$$

Der Ausdruck von  $B_m$  gilt auch für die mittlere Verticale, wie aus der Bedingung „Summe aller Verticalkräfte gleich Null“ in Anwendung auf den mittleren Knotenpunkt des Untergurts mit Rücksicht auf  $D_m = 0$  oder aus A. 28, 5) mit  $\lambda = h_m - h_{m-1} = \frac{4h}{n^2}$  folgt. Uebrigens lässt sich  $B_4$  auch aus der für beliebige Belastung gültigen Gleichung (vgl. A. 28, 1))

$$(2) \quad V_4 + g_z \lambda + 2X_4 \frac{0,2}{3,01} = 0$$

berechnen. Wir erhalten nun mit den gegebenen Zahlenwerthen und  $g_x = 0,2$ ,  $g_s = 0,53$  in Tonnen:

$$\begin{aligned}x_1 &= -18,12 & x_2 &= -17,30 \\x_3 &= -16,75 & x_4 &= -16,48, \\ \mathfrak{B}_1 &= \mathfrak{B}_2 = \mathfrak{B}_3 = \mathfrak{B}_4 = 16,43, \\ \mathfrak{B}_1 &= \mathfrak{B}_2 = \mathfrak{B}_3 = \mathfrak{B}_4 = 1,59.\end{aligned}$$

Die vom Eigengewichte allein herrührenden Stützenreactionen sind bei beliebiger Form und beliebigem System

$$\mathfrak{B} = \frac{g^l}{2} = 8,76 \text{ tn.}$$

**Grenzwerte.** Die unteren Grenzwerte der Gurtungskräfte sind die soeben berechneten Eigengewichtsbeanspruchungen, für die oberen hat man nach § 42, 8)

$$(3) \quad X_m = \frac{q}{g} x_m, \quad Z_m = \frac{q}{g} \mathfrak{B}_m,$$

also wegen  $q : g = 3,5 : 0,73 = 4,794$  in Tonnen:

$$\begin{aligned}X_1 &= -86,87 & X_2 &= -82,94 \\X_3 &= -80,30 & X_4 &= -79,01, \\Z_1 &= Z_2 = Z_3 = Z_4 = 78,76.\end{aligned}$$

Für die beiden Grenzbeanspruchungen der Diagonalen ergeben § 42, 3)

$$(4) \quad D_m = \frac{n}{n+1} \frac{p^l}{8f} d_m, \quad D_m = -\frac{n}{n+1} \frac{p^l}{8f} d_m,$$

und nach Einsetzen der Zahlenwerthe, in Tonnen:

$$D_2 = \pm 7,64 \quad D_3 = \pm 8,86 \quad D_4 = \pm 9,79.$$

Die beiden Grenzbeanspruchungen der Verticalen sind nach § 42, 5)

$$(5) \quad \begin{cases} V_m = \mathfrak{B}_m - \frac{(m-1)(n-m-1)^2 p^l}{(n-m)n-m+1} \frac{1}{2}, \\ V_m = \mathfrak{B}_m + (n-m+1) \frac{(n-m)(m+1)-m+1}{(n-m)n-m+1} \frac{p^l}{2}. \end{cases}$$

Eine Ausnahme macht die mittlere Verticale, welche nach 2) berechnet werden kann, für die aber auch aus A. 28, 7) mit dem oben angeführten  $\Delta$  als Grenzwerte folgen

$$(6) \quad V_\sigma = \mathfrak{B}_\sigma, \quad V_\sigma = \mathfrak{B}_\sigma + p\lambda.$$

Wir erhalten nach 5) 6) in Tonnen:

$$\begin{aligned}V_1 &= 1,59 - \frac{0 \cdot 36}{56} 4,155 = 1,59 & V_1 &= 1,59 + \frac{8 \cdot 14}{56} 4,155 = 9,00 \\V_2 &= 1,59 - \frac{1 \cdot 25}{47} 4,155 = -0,62 & V_2 &= 1,59 + \frac{7 \cdot 17}{47} 4,155 = 12,11\end{aligned}$$

$$V_3 = 1,59 - \frac{2 \cdot 16}{38} 4,155 = -1,91 \quad V_3 = 1,59 + \frac{6 \cdot 18}{38} 4,155 = 13,40$$

$$V_4 = 1,59 \quad V_4 = 1,59 + 2,77 \cdot 3 = 9,90.$$

Die Grenzwerte der Stützenreactionen sind bei beliebigem System

$$V = \mathfrak{B} = 8,76 \text{ tn}, \quad V = \frac{q l}{2} = 42 \text{ tn}.$$

Ueber Anwendung von Gegendiagonalen im vorliegenden Falle siehe Beispiel 72.

**Beispiel 55. Parabelträger einfachen Systems mit Verticalen. Berechnung für bewegte Radlastzüge.**

Die Träger des vorigen Beispiels sollen einer eingeleisigen Eisenbahnbrücke angehören und für bewegte Radlastzüge, zusammengesetzt aus Locomotiven der Radanordnung Fig. 18, berechnet werden.

Bis zur Berechnung der Grenzwerte bleibt alles im vorigen Beispiele Gesagte gültig. Die unteren Grenzbeanspruchungen der Gurtungen sind die dort berechneten Beanspruchungen durch das Eigengewicht allein. Die weitere Berechnung erfolgt nach den für beliebige Gurtungsformen gültigen Gleichungen des § 33 ganz wie in Beispiel 36. Wir erhalten also mit Rücksicht auf die Tabelle in Beispiel 6 (oder bei Berechnung der  $\sum$  wie in Beispiel 42) die oberen Grenzbeanspruchungen des Obergurts nach B. 36, 1) 2)

$$X_1 = -18,12 - (7 \cdot 30,2 + 1 \cdot 535) \frac{3,31}{24 \cdot 1,4} = -91,65 \text{ tn } (-87,22)$$

$$X_2 = -17,30 - (6 \cdot 80,7 + 2 \cdot 383) \frac{3,16}{24 \cdot 2,4} = -86,25 \text{ „ } (-81,73)$$

$$X_3 = -16,75 - (5 \cdot 144 + 3 \cdot 271) \frac{3,06}{24 \cdot 3} = -80,57 \text{ „ } (-80,12)$$

$$X_4 = -16,48 - (4 \cdot 226 + 4 \cdot 173) \frac{3,01}{24 \cdot 3,2} = -79,03 \text{ „ } (-79,03),$$

die oberen Grenzbeanspruchungen des Untergurts nach B. 36, 1) 3) und B. 35, 4)

$$Z_1 = Z_2 = 16,43 + (7 \cdot 30,2 + 1 \cdot 533) \frac{1}{8 \cdot 1,4} = 83,07 \text{ tn } (79,05)$$

$$Z_3 = 16,43 + (6 \cdot 80,7 + 2 \cdot 383) \frac{1}{8 \cdot 2,4} = 81,89 \text{ „ } (77,60)$$

$$Z_4 = 16,43 + (5 \cdot 144 + 3 \cdot 271) \frac{1}{8 \cdot 3} = 80,30 \text{ „ } (78,56).$$

Vorstehende Ansätze beziehen sich auf die erste Richtung des Zuges I,



während die Resultate für die zweite Richtung in Klammern beige-fügt sind. Wie man sieht hätte auch hier die Berücksichtigung der ersten Zugrichtung allein genügt. Weiter ergeben sich in Tonnen die beiden Grenzbeanspruchungen der Diagonalen nach B. 36, 4) 5):

$$\begin{aligned} D_2 &= \frac{3,31 \cdot 0,4 \cdot 529}{1,4 \cdot 2,4 \cdot 24} = 8,67 & D_2 &= - \frac{3,31 \cdot 8,4 \cdot 30,6}{1,4 \cdot 2,4 \cdot 24} = - 10,55 \\ D_3 &= \frac{3,84 \cdot 2 \cdot 382}{2,4 \cdot 5 \cdot 24} = 10,19 & D_3 &= - \frac{3,84 \cdot 10 \cdot 93,4}{2,4 \cdot 5 \cdot 24} = - 12,45 \\ D_4 &= \frac{4,24 \cdot 12 \cdot 257}{3 \cdot 16 \cdot 24} = 11,35 & D_4 &= - \frac{4,24 \cdot 20 \cdot 170}{3 \cdot 16 \cdot 24} = - 12,54, \end{aligned}$$

und beide Grenzbeanspruchungen der Verticalen B. 36, 6) 7):

$$\begin{aligned} V_1 &= 1,59 - \frac{0 \cdot 529}{1 \cdot 24} = 1,59 & V_1 &= 1,59 + \frac{8 \cdot 30,6}{1 \cdot 24} = 11,79 \\ V_2 &= 1,59 - \frac{0,4 \cdot 382}{2,4 \cdot 24} = - 1,06 & V_2 &= 1,59 + \frac{8,4 \cdot 93,4}{2,4 \cdot 24} = 15,21 \\ V_3 &= 1,59 - \frac{2 \cdot 257}{5 \cdot 24} = - 2,69 & V_3 &= 1,59 + \frac{10 \cdot 170}{5 \cdot 24} = 15,79. \end{aligned}$$

Eine Ausnahme macht die mittlere Verticale, deren Grenzbeanspruchungen nach B. 54, 2):

$$V_4 = \mathfrak{B}_4 = 1,59 \quad V_4 = \frac{0,4}{3,01} 91,65 - 0,6 = 11,58 \text{ tn.}$$

Wie in Beispiel 36 so kann auch hier mit Zug I ein grösseres  $V_1$  als vorstehend mit Zug II erreicht werden. Wir erhalten, wenn Zug I mit Rad  $O$  bei Verticale 1 steht (Fig. 101),

$$V_1 = K_u = 1,59 + 6 + 2 \cdot 6 \frac{1,7}{3} + 4 \frac{0,5}{3} = 15,06 \text{ tn.}$$

Die Grenzwerte der Stützenreaction ergeben sich wie bei beliebiger Form und beliebigem System (Beispiele 27, 42)

$$V = \mathfrak{B} = 8,76 \text{ tn.},$$

$$V = \mathfrak{B} + \frac{1}{l} \sum_0^l P(l-a) = 8,76 + \frac{870}{24} = 45,01 \text{ tn.}$$

Ueber Anwendung von Gegendiagonalen im vorliegenden Falle siehe Beispiel 72.

#### **Aufgabe 35. Parabelträger einfachen Systems mit Verticalen. Anwendung von Lastäquivalenten.**

Die in Aufgabe 32 gegebenen Formeln für Parabelträger einfachen Systems mit Verticalen zu spezialisiren.

Da nach § 17, 20)–22) für Parabelträger

$$h_m = m(n - m) \frac{4f}{n^2},$$

$$\varepsilon = \frac{m(n - m)}{n - 2m + 1}, \quad v = \frac{m(n - m)}{n - 2m + \omega},$$

so folgen aus A. 32, 1) die Grenzbeanspruchungen der Diagonalen, mit  $c = (m - 1)\lambda$ ,  $v = m\lambda$ ,

$$(1) \quad \begin{cases} D_m = \mathfrak{D}_m \pm \frac{l d_m}{8f} \frac{n - m}{n - m + 1} p_v, \\ D_m = \mathfrak{D}_m \mp \frac{l d_m}{8f} \frac{m - 1}{m} p_c, \end{cases}$$

und nach A. 32, 3) die Grenzbeanspruchungen der Verticalen:

a) wenn die Fahrbahnlast im Knotenpunkte  $m$  der X-Gurtung angreift, mit  $c = (m - 1)\lambda$ ,  $v = m\lambda$ ,

$$(2) \quad \begin{cases} V_m = \mathfrak{B}_m \mp \frac{\lambda}{2n} (m - \omega) (n - m) p_v, \\ V_m = \mathfrak{B}_m \pm \frac{\lambda}{2n} \frac{n - m + \omega}{m} (m - 1)^2 p_c, \end{cases}$$

b) wenn die Fahrbahnlast im Knotenpunkte  $m$  der Z-Gurtung angreift, mit  $c = m\lambda$ ,  $v = (m + 1)\lambda$ ,

$$(3) \quad \begin{cases} V_m = \mathfrak{B}_m \mp \frac{\lambda}{2n} \frac{m - \omega}{n - m} (n - m - 1)^2 p_v, \\ V_m = \mathfrak{B}_m \pm \frac{\lambda}{2n} m (n - m + \omega) p_c. \end{cases}$$

Greift die Fahrbahnlast zwischen beiden Gurten in Verticale  $m$  an, so gelten für das Verticalenstück von Fahrbahn bis Z-Gurtung die Werthe a), für das Verticalenstück von Fahrbahn bis X-Gurtung die Werthe b).

In vorstehenden Gleichungen bezeichnen  $p_v$ ,  $p_c$  diejenigen Lastäquivalente, welche für einen durch den angenommenen Lastzug II direct befahrenen vollwandigen Träger der Spannweite  $l$  dem pos  $\max V_x$  bei  $x = v$  bzw. dem neg  $\max V_x$  bei  $x = c$  entsprechen. Die Gleichungen müssen genau dieselben Grenzwerte wie die Berechnung mit Zug II selbst ergeben. Speziell für horizontale X-Gurtung, horizontale Z-Gurtung und zu einer Horizontale symmetrische Gurtungen hat man nach § 17 bzw.  $\omega = -1$ ,  $\omega = 1$  und  $\omega = 0$ . Bezüglich der Gurtungskräfte bleibt es bei dem in Aufgabe 32 Gesagten und auch bezüglich abweichender Berechnung von  $V_1$  ist dort das Nöthige gegeben.

**Beispiel 56. Parabelträger einfachen Systems mit Verticalen. Berechnung mit Lastäquivalenten.**

Die Träger des Beispiels 54 auf Grund gleichmässig vertheilter Lasten so zu berechnen, dass dieselben Grenzbeanspruchungen der Füllungsglieder und annähernd dieselben Grenzbeanspruchungen der Gurtungen wie mit den bewegten Radlastzügen des vorigen Beispiels entstehen.

Bis zur Berechnung der Grenzwerte bleibt alles in Beispiel 54 Gegebene gültig. Die oberen Grenzbeanspruchungen der Gurtungen sind wie dort mit constantem  $p$  zu berechnen, und zwar hat man wie für die  $\max M_x$  eines durch den angenommenen Lastzug I direct befahrenen vollwandigen Trägers der Spannweite 24 m zu setzen  $p = 2,77$  tn (Beispiel 8). Da diese Annahme bereits in Beispiel 54 gemacht wurde, so könnten die dort erhaltenen Grenzbeanspruchungen der Gurtungen beibehalten werden. Mit dem etwas nach oben abgerundeten  $p = 2,8$  ergeben sich in Tonnen:

$$X_1 = -87,63 \quad X_2 = -83,66$$

$$X_3 = -81,00 \quad X_4 = -79,70$$

$$Z_1 = Z_2 = Z_3 = Z_4 = 79,46.$$

Die Grenzbeanspruchungen der Füllungsglieder könnten nach den in Aufgabe 32 für beliebige Gurtungsformen gegebenen Gleichungen berechnet werden. Da dieselben jedoch schon in Beispiel 37 verwendet wurden, so wollen wir hier von den speziell für Parabelträger gültigen Formeln der letzten Aufgabe ausgehen. Es sind danach die Grenzbeanspruchungen der Diagonalen, mit  $c = (m - 1)\lambda$ ,  $v = m\lambda$ ,

$$(1) \quad \begin{cases} D_m = \frac{ld_m}{8f} \frac{n-m}{n-m+1} p_v, \\ D_m = -\frac{ld_m}{8f} \frac{m-1}{m} p_c, \end{cases}$$

die Grenzbeanspruchungen der Verticalen, mit  $c = m\lambda$ ,  $v = (m+1)\lambda$ ,

$$(2) \quad \begin{cases} V_m = \mathfrak{B}_m - \frac{\lambda}{2n} \frac{m-1}{n-m} (n-m-1)^2 p_c, \\ V_m = \mathfrak{B}_m + \frac{\lambda}{2n} m (n-m+1) p_c. \end{cases}$$

Die Lastäquivalente  $p_c$ ,  $p_v$  lassen sich aus der ersten Tabelle des Beispiels 8 entnehmen und wir erhalten damit folgende Grenzwerte in Tonnen:

$$\begin{aligned}
 D_2 &= \frac{3 \cdot 3,31 \cdot 6}{3,2 \cdot 7} 3,25 = 8,65 & D_2 &= - \frac{3 \cdot 3,31 \cdot 1}{3,2 \cdot 2} 6,80 = - 10,55 \\
 D_3 &= \frac{3 \cdot 3,84 \cdot 5}{3,2 \cdot 6} 3,39 = 10,17 & D_3 &= - \frac{3 \cdot 3,84 \cdot 2}{3,2 \cdot 3} 5,19 = - 12,46 \\
 D_4 &= \frac{3 \cdot 4,24 \cdot 4}{3,2 \cdot 5} 3,57 = 11,35 & D_4 &= - \frac{3 \cdot 4,24 \cdot 3}{3,2 \cdot 4} 4,21 = - 12,55,
 \end{aligned}$$

$$V_1 = 1,59 - \frac{3 \cdot 0 \cdot 36}{16 \cdot 7} 3,25 = 1,59$$

$$V_2 = 1,59 - \frac{3 \cdot 1 \cdot 25}{16 \cdot 6} 3,39 = - 1,06$$

$$V_3 = 1,59 - \frac{3 \cdot 2 \cdot 16}{16 \cdot 5} 3,57 = - 2,69,$$

$$V_1 = 1,59 + \frac{3 \cdot 1 \cdot 8}{16} 6,80 = 11,79$$

$$V_2 = 1,59 + \frac{3 \cdot 2 \cdot 7}{16} 5,19 = 15,21$$

$$V_3 = 1,59 + \frac{3 \cdot 3 \cdot 6}{16} 4,21 = 15,80.$$

Wie im vorigen Beispiele mit Zug I ein grösseres  $V_1$  als mit Zug II erreichbar war, so gilt Analoges für die entsprechenden Lastäquivalente. Man erhält ganz wie in Beispiel 37 vorgehend mit demjenigen  $p$ , welches dem  $\max M_x$  eines vollwandigen Trägers der Spannweite  $v = 6$  bei der Trägermitte entspricht,

$$V_1 = \mathfrak{B}_1 + p\lambda = 1,59 + 4,49 \cdot 3 = 15,06 \text{ tn.}$$

Die Grenzwerte von  $V_4$  bleiben wie in Beispiel 54 bestimmt, und für die Grenzwerte der Stützenreactionen hat man wie bei beliebiger Form und beliebigem System (Beispiele 29, 43)

$$V = \mathfrak{B} = 8,76 \text{ tn,}$$

$$V = \mathfrak{B} + \frac{p_v l}{2} = 8,76 + 3,02 \cdot 12 = 45 \text{ tn.}$$

Vorstehende Grenzbeanspruchungen der Füllungsglieder stimmen genau mit den in Beispiel 55 für bewegte Radlastzüge berechneten überein. Ueber Anwendung von Gegendiagonalen im vorliegenden Falle siehe Beispiel 72.

**Beispiel 57. Parabelsichelträger (Dachbinder) einfachen Systems mit Verticalen.** Grenzwerte der Stabkräfte mit Rücksicht auf schiefen Winddruck.

Für einen sichelförmigen Dachbinder mit parabolischen Gurtungen seien gegeben: Spannweite  $l = 32 \text{ m}$ , Felderzahl  $n = 8$ , Höhe

der mittleren Knotenpunkte des Obergurts und Untergurts über den Auflagern 8 m und 4 m, also Trägerhöhe in der Mitte  $h = f = 4$  m; feste Last per laufenden Meter Träger  $g = 0,5$  tn, wovon 0,4 tn auf die Knotenpunkte des Obergurts und 0,1 tn auf diejenigen des Untergurts kommen. Der Schneedruck, welcher auf beliebige Theile der Dachfläche wirkend gelten soll, ist mit  $p = 0,35$  tn per laufenden Meter Träger in Rechnung zu ziehen. Winddruck per qm normal getroffener Fläche 150 kg, Windrichtung um  $10^\circ$  gegen die Horizontale fallend, parallel der Trägerebene. Die Grenzwerte der Stabkräfte und Stützenreactionen zu berechnen, wenn einmal die dem festen Auflager anliegende, einmal die davon abstehende Dachfläche vom Winde getroffen angenommen wird.

**Formberechnung.** Der Ursprung der Coordinaten werde in das feste Auflagergelenke und die Abscissenaxe wie immer horizontal gelegt. Nach §§ 16, 17 hat man mit  $n = 8$ ,  $\lambda = 4$ ,  $f_x = 8$ ,  $f_z = 4$  und

$$\omega = \frac{f_x + f_z}{f_x - f_z} = 3$$

die Ordinaten der Knotenpunkte  $m$  in X-Gurtung und Z-Gurtung, die Länge der  $m$ ten Verticale, die Werthe  $\varepsilon$ ,  $\nu$  und die Stablängen im  $m$ ten Felde (Fig. 102)

für	$m =$	1	2	3	4:
	$\xi_m = m(n - m) \frac{4f_x}{n^3} =$	3,5	6	7,5	8 m
	$\zeta_m = m(n - m) \frac{4f_z}{n^3} =$	1,75	3	3,75	4 m
	$h_m = \xi_m - \zeta_m =$	1,75	3	3,75	4 m
	$\varepsilon = \frac{m(n - m)}{n - 2m + 1} =$	1	2,4	5	16
	$\nu = \frac{m(n - m)}{n - 2m + \omega} =$	0,78	1,71	3	5,33
	$x_m = \sqrt{\lambda^2 + (\xi_m - \xi_{m-1})^2} =$	5,32	4,72	4,27	4,03 m
	$z_m = \sqrt{\lambda^2 + (\zeta_m - \zeta_{m-1})^2} =$	4,37	4,19	4,07	4,01 m
	$d_m = \sqrt{\lambda^2 + (\xi_{m-1} - \zeta_m)^2} =$	4,37	4,07	4,59	5,32 m.

**Eigengewicht allein.** Die von der festen Last allein herrührenden Stabkräfte sind nach § 41, 5)

$$(1) \quad \begin{cases} \mathfrak{X}_m = -\frac{n g l}{8 f} x_m, & \mathfrak{B}_m = \frac{n g l}{8 f} x_m, \\ \mathfrak{D}_m = 0, & \mathfrak{B}_m = (\omega g - g_x + g_z) \frac{\lambda}{2}. \end{cases}$$

Eine Ausnahme macht die mittlere Verticale, für welche nach A. 28, 5) mit  $\mathcal{A} = \mathfrak{x}_\sigma - \mathfrak{x}_{\sigma-1} = 0,5$

$$(2) \quad \mathfrak{B}_\sigma = \left( \frac{g n^2}{4 h} \mathcal{A} - g_x \right) \lambda.$$

Diese Gleichungen liefern mit Rücksicht auf  $g_x = 0,4$ ,  $g_z = 0,1$  und die sonst gegebenen und oben berechneten Zahlenwerthe in Tonnen:

$$\begin{array}{lll} \mathfrak{X}_1 = -21,28 & \mathfrak{B}_1 = 17,48 & \mathfrak{B}_1 = 2,4 \\ \mathfrak{X}_2 = -18,88 & \mathfrak{B}_2 = 16,76 & \mathfrak{B}_2 = 2,4 \\ \mathfrak{X}_3 = -17,08 & \mathfrak{B}_3 = 16,28 & \mathfrak{B}_3 = 2,4 \\ \mathfrak{X}_4 = -16,12 & \mathfrak{B}_4 = 16,04 & \mathfrak{B}_4 = 2,4. \end{array}$$

Die vom Eigengewichte allein herrührenden Stützenreactionen sind

$$\mathfrak{B} = \frac{g l}{2} = 6 \text{ tn.}$$

**Grenzwerte ohne Winddruck.** Die unteren Grenzwerte der Gurtungskräfte sind die soeben berechneten Eigengewichtsbeanspruchungen, für die oberen Grenzwerte hat man nach § 42, 8)

$$(3) \quad X_m = \frac{q}{g} \mathfrak{X}_m, \quad Z_m = \frac{q}{g} \mathfrak{B}_m,$$

also wegen  $q : g = 0,85 : 0,5 = 1,7$  in Tonnen:

$$\begin{array}{ll} X_1 = -36,18 & Z_1 = 29,72 \\ X_2 = -32,10 & Z_2 = 28,49 \\ X_3 = -29,04 & Z_3 = 27,68 \\ X_4 = -27,40 & Z_4 = 27,27. \end{array}$$

Die beiden Grenzbeanspruchungen der Diagonalen sind nach § 42, 9)

$$(4) \quad D_m = \frac{n}{n+1} \frac{p l}{8 f} d_m, \quad D_m = -\frac{n}{n+1} \frac{p l}{8 f} d_m,$$

und mit den bekannten Zahlenwerthen

$$D_2 = \pm 0,63 \quad D_3 = \pm 0,71 \quad D_4 = \pm 0,83.$$

Da für die drei ersten Verticalen  $m - \nu$  zwischen 0 und  $n$  liegt, so liefert § 42, 7) als Grenzbeanspruchungen derselben

$$(5) \quad V_m = \mathfrak{B}_m + (\omega - 1 + m) \frac{p \lambda}{2}, \quad V_m = \mathfrak{B}_m.$$

Für die mittlere Verticale hat man wegen  $\sigma \mathcal{A} < h$  nach A. 28, 8)

$$(6) \quad V_{\sigma} = \mathfrak{B}_{\sigma} + (\sigma - 1) \frac{\Delta}{h} \frac{p l}{2}, \quad V_{\sigma} = \mathfrak{B}_{\sigma} - \left(1 - \frac{\sigma \Delta}{h}\right) p \lambda.$$

Nach diesen Gleichungen erhalten wir folgende Grenzwerte in Tonnen:

$$\begin{array}{cccc} V_1 = 4,5 & V_2 = 5,2 & V_3 = 5,9 & V_4 = 2,66 \\ \mathfrak{B}_1 = 2,4 & \mathfrak{B}_2 = 2,4 & \mathfrak{B}_3 = 2,4 & \mathfrak{B}_4 = 1,7. \end{array}$$

Die Grenzwerte der Stützenreactionen sind

$$V = \frac{q l}{2} = 10,2 \text{ tn}, \quad V = \mathfrak{B} = 6 \text{ tn}.$$

**Grenzwerte mit Winddruck.** Die vom Winddrucke allein herührenden Stabkräfte sind im nächsten Beispiele berechnet. Die Grenzwerte der Stabkräfte im Ganzen ergeben sich in gleicher Weise wie in den Beispielen 21, 22, 39 durch Combination der Grenzwerte ohne Winddruck mit den Beanspruchungen durch Winddruck zu den äusserst möglichen Werthen, wie aus der nebenstehenden Tabelle zu ersehen ist.

In den beiden letzten Columnen der Tabelle sind diejenigen Grenzwerte angeführt, welche sich, ganz wie oben ohne Rücksicht auf Winddruck, ergeben hätten, wenn vom Winddrucke nur die Verticalcomponente

$$v = \frac{n}{\cos \alpha} = \frac{w \sin^2 (\alpha + \beta)}{\cos \alpha} \quad \text{mit} \quad \operatorname{tg} \alpha = \frac{2 \xi_{\sigma}}{l}$$

per qm. Dachfläche berücksichtigt worden wäre (vgl. am Schlusse von Beispiel 21). Wegen  $\xi_{\sigma} = 8 \text{ m}$ ,  $\beta = 10^{\circ}$ ,  $w = 150 \text{ kg}$  hätten wir gehabt  $v = 59,5 \text{ tn}$  und zur Berechnung der Grenzwerte statt der obigen  $p = 0,35$  bei 4 m Binderweite

$$p = 0,35 + 4 \frac{v \cdot 4,47}{l} = 0,35 + 0,27 = 0,6 \text{ tn},$$

also  $q : g = 1,1 : 0,5 = 2,2$ . Der Winddruck wird dabei wie der Schneedruck auf beliebige Theile der Dachfläche wirksam angenommen.

**Beispiel 58. Dachbinder einfachen Systems mit Verticalen und beliebigen Gurtungsformen. Einfluss schiefen Winddrucks.**

Den Einfluss des Winddrucks auf die Stabkräfte des im vorigen Beispiele behandelten Dachbinders unter folgenden Voraussetzungen zu berechnen. Binderweite  $b = 4 \text{ m}$ , Winddruck bei normal getroffener Fläche  $w = 150 \text{ kg}$  per qm, Windrichtung um  $\beta = 10^{\circ}$  gegen die Horizontale fallend, parallel der Trägerebene. Es ist einmal die

	Grenzwerthe ohne Winddruck	Einfluss des Winddrucks				Grenzwerthe im Ganzen				Siehe Bem. im Text.			
		I. Binderhälfte		II. Binderhälfte		I. Binderhälfte		II. Binderhälfte					
$X_1$	-21,28	-36,18	2,32	-	6,11	-1,64	-2,16	-18,96	-42,29	-21,28	-38,34	-21,28	-46,82
$X_2$	-18,88	-32,10	2,13	-	4,53	-0,56	-2,23	-16,75	-36,63	-18,88	-34,33	-18,88	-41,54
$X_3$	-17,08	-29,04	1,17	-	3,46	0,13	-2,42	-15,91	-32,50	-16,95	-31,46	-17,08	-37,58
$X_4$	-16,12	-27,40	0,53	-	2,76	0,63	-2,86	-15,59	-30,16	-15,49	-30,26	-16,12	-35,46
$Z_1$	29,72	17,48	7,89	-	5,57	1,17	0,55	37,61	11,91	31,49	17,48	38,46	17,48
$Z_2$	28,49	16,76	7,57	-	5,34	1,70	0,53	36,06	11,42	30,19	16,76	36,87	16,76
$Z_3$	27,68	16,28	5,28	-	4,91	1,92	-1,55	32,96	11,37	29,60	14,73	35,82	16,28
$Z_4$	27,27	16,04	3,76	-	4,64	2,27	-2,97	31,03	11,40	29,54	13,07	35,29	16,04
$D_2$	0,63	-	0,63	0,28	-	0,21	-0,21	0,91	-	0,84	0,91	-	1,09
$D_3$	0,71	-	0,71	0,43	-	1,65	-1,65	1,14	-	2,36	1,14	-	1,22
$D_4$	0,83	-	0,83	0,75	-	1,22	-1,22	1,58	-	2,05	1,58	-	1,42
$V_1$	4,50	2,40	0,89	-	0,63	0,20	0,06	5,39	1,77	4,70	2,40	6,00	2,40
$V_2$	5,20	2,40	2,80	-	1,98	0,70	0,12	8,00	0,42	5,90	2,40	7,20	2,40
$V_3$	5,90	2,40	1,55	-	0,84	0,71	0	7,45	1,56	6,61	2,40	8,40	2,40
$V_4$	2,66	1,70	0,68	-	0,16	0,68	-0,16	3,34	1,54	3,34	1,54	2,85	2,40
$V, V'$	10,20	6,00	1,50	-	0,71	1,50	0,71	11,70	6,00	11,70	6,00	13,20	6,00
$H$	0	0	3,36	-	3,36	0	0	3,36	-	3,36	0	0	0



dem festen Auflager anliegende, einmal die davon abliegende Dachhälfte vom Winde getroffen anzunehmen.

**Knotenpunktskräfte.** Für eine Ebene, welche den Winkel  $\alpha$  mit der Horizontalen bildet (Fig. 53), hat man nach Beispiel 21 den für die Berechnung allein in Betracht kommenden Normaldruck des Windes per qm

$$(1) \quad n = w \sin^2 (\alpha + \beta).$$

Der Normaldruck auf den dem  $m$ ten Binderfeld entsprechenden Theil der getroffenen Dachfläche ist bei einer Binderweite  $b$

$$nbx_m,$$

dessen Horizontalcomponente

$$nbx_m \frac{\lambda}{x_m} = nb\lambda,$$

und seine Verticalcomponente

$$nbx_m \frac{x_m - x_{m-1}}{x_m} = nb(x_m - x_{m-1}).$$

Wir erhalten nun mit  $w = 150$ ,  $\beta = 10$ ,  $b = 4$ ,  $\lambda = 4$  und den im vorigen Beispiele gegebenen  $x$  (Fig. 103)

für	$m =$	1	2	3	4:
$\lambda \operatorname{tg} \alpha = x_m - x_{m-1} =$		3,5	2,5	1,5	0,5 m
$\alpha =$		41° 11'	32° 0'	20° 33'	7° 8'
$n =$		91,06	67,16	38,75	12,49 kg
$nb\lambda =$		1457	1075	620	200 kg
$nb(x_m - x_{m-1}) =$		1275	672	232	25 kg,

und hiernach die horizontalen und verticalen Knotenpunktskräfte der vom Winde getroffenen Binderhälfte in Kilogrammen:

$$\begin{aligned}
 L_0 &= \frac{1}{2} 1457 &= 728 & K_0 &= \frac{1}{2} 1275 &= 637 \\
 L_1 &= \frac{1}{2} (1457 + 1075) &= 1275 & K_1 &= \frac{1}{2} (1275 + 672) &= 973 \\
 L_2 &= \frac{1}{2} (1075 + 620) &= 847 & K_2 &= \frac{1}{2} (672 + 232) &= 452 \\
 L_3 &= \frac{1}{2} (620 + 200) &= 410 & K_3 &= \frac{1}{2} (232 + 25) &= 129 \\
 L_4 &= \frac{1}{2} 200 &= 100 & K_4 &= \frac{1}{2} 25 &= 13.
 \end{aligned}$$

Die weitere Berechnung erfolgt ganz wie in Beispiel 40.

**Beanspruchungen.** Greifen am Träger zwischen den Schnitten 0 und  $s$  beliebige Verticalkräfte  $K$  bei Abscissen  $e$  und beliebige Horizontalkräfte  $L$  bei Ordinaten  $c$  an, so hat man nach A. 5, 1) das Moment der äussern Kräfte links von  $s$  hinsichtlich irgend eines Drehpunkts der Coordinaten  $u, w$

$$(2) \quad M_s = Vu - Hw - \sum_0^s K(u - e) - \sum_0^s L(w - c),$$

worin die letzte Summe das negative Vorzeichen erhielt, weil wir hier von links nach rechts wirkende  $L$  als positiv ansehen wollen. Wird der Schnitt  $s$  für  $X_m, D_m, Z_m$  durch  $x_m, d_m, z_m$ , und für  $V_m$  durch  $x_m, h_m, z_{m+1}$  gelegt, so hat man nach § 16, 3)–6) bei oben liegender  $X$ -Gurtung:

$$(3) \quad \begin{cases} X_m = -M_s \frac{x_m}{\lambda h_m} & \text{mit } u = m\lambda, & w = z_m, \\ Z_m = M_s \frac{z_m}{\lambda h_{m-1}} & \text{,, } u = (m-1)\lambda, & w = z_{m-1}, \\ D_m = -M_s \frac{d_m}{\lambda \varepsilon h_{m-1}} & \text{,, } u = (m-\varepsilon)\lambda, & w = z_m - \varepsilon(z_m - z_{m-1}), \\ V_m = M_s \frac{1}{\lambda v} & \text{,, } u = (m-v)\lambda, & w = z_m - v(z_m - z_{m-1}). \end{cases}$$

Diese Gleichungen liefern für  $Z_1, D_1$  wegen  $h_0 = 0$  und mit Rücksicht auf die Werthe von  $u, v$  den unbestimmten Ausdruck  $0:0$ , doch ergibt die Bedingung „Summe aller Horizontalkräfte gleich Null“ in Anwendung auf Knotenpunkt 1 des Untergurts für die ganze Beanspruchung des unteren Gurtungsstabes 1 allgemein

$$(4) \quad \frac{Z_1}{z_1} = \frac{Z_2}{z_2}.$$

Für die mittlere Verticale hat der vorstehende Ausdruck von  $V_m$  keine Gültigkeit.

Nach 3) ergeben sich mit Rücksicht auf die Formberechnung in Beispiel 57 folgende Coordinaten des Momentendrehpunkts.

Im Falle	$m =$	1	2	3	4:
für $X_m$	$u =$	4	8	12	16
	$w =$	1,75	3	3,75	4
„ $Z_m$	$u =$	0	4	8	12
	$w =$	0	3,5	6	7,5.

Im Falle	$m =$	1	2	3	4:
für $D_m$	$u =$	0	— 1,6	— 8	— 48
	$w =$	0	0	0	0
„ $V_m$	$u =$	0,88	1,16	0	
	$w =$	0,77	1,72	3.	

Mit diesen Werthen liefern die Gleichungen 2)–4) bei beliebigen Knotenpunktskräften  $K, L$  für die erste Trägerhälfte die Beanspruchungen des Obergurts:

$$X_1 = - (4V - 1,75H - 4K_0 - 1,75L_0) \frac{5,32}{4 \cdot 1,75},$$

$$X_2 = - (8V - 3H - 8K_0 - 4K_1 - 3L_0 + 0,5L_1) \frac{4,72}{4 \cdot 3},$$

$$X_3 = - (12V - 3,75H - 12K_0 - 8K_1 - 4K_2 - 3,75L_0 - 0,25L_1 + 2,25L_2) \frac{4,27}{4 \cdot 3,75},$$

$$X_4 = - (16V - 4H - 16K_0 - 12K_1 - 8K_2 - 4K_3 - 4L_0 - 0,5L_1 + 2L_2 + 3,5L_3) \frac{4,03}{4 \cdot 4},$$

die Beanspruchungen des Untergurts:

$$Z_2 = (4V - 3,5H - 4K_0 - 3,5L_0) \frac{4,19}{4 \cdot 1,75} = \frac{4,19}{4,37} Z_1,$$

$$Z_3 = (8V - 6H - 8K_0 - 4K_1 - 6L_0 - 2,5L_1) \frac{4,07}{4 \cdot 3},$$

$$Z_4 = (12V - 7,5H - 12K_0 - 8K_1 - 4K_2 - 7,5L_0 - 4L_1 - 1,5L_2) \frac{4,01}{4 \cdot 3,75},$$

die Beanspruchungen der Diagonalen:

$$D_2 = - (-1,6V - 0H + 1,6K_0 + 5,6K_1 - 0L_0 + 3,5L_1) \frac{4,07}{4 \cdot 2,4 \cdot 1,75},$$

$$D_3 = - (-8V - 0H + 8K_0 + 12K_1 + 16K_2 - 0L_0 + 3,5L_1 + 6L_2) \frac{4,59}{4 \cdot 5 \cdot 3},$$

$$D_4 = - (-48V - 0H + 48K_0 + 52K_1 + 56K_2 + 60K_3 - 0L_0 + 3,5L_1 + 6L_2 + 7,5L_3) \frac{5,32}{4 \cdot 16 \cdot 3,75},$$

und die Beanspruchungen der Verticalen:

$$V_1 = (0,88V - 0,77H - 0,88K_0 - 0,77L_0) \frac{1}{4 \cdot 0,78},$$

$$V_2 = (1,16V - 4,27H - 1,16K_0 + 2,84K_1 - 1,72L_0 + 1,78L_1) \cdot \frac{1}{4 \cdot 1,71},$$

$$V_3 = (0V - 3H - 0K_0 + 4K_1 + 8K_2 - 3L_0 + 0,5L_1 + 3L_2) \cdot \frac{1}{4 \cdot 3}.$$

Denkt man sich den Träger um die mittlere Verticale gedreht bis die Auflager vertauscht sind, so erkennt man, dass vorstehende Gleichungen auch für die zweite Trägerhälfte gelten, wenn  $V'$  und  $0$  für  $V$  und  $H$  gesetzt werden. Schliesslich folgt aus der auf den mittleren Knotenpunkt des Obergurts angewandten Bedingung „Summe aller Verticalkräfte gleich Null“ zur Bestimmung von  $V_4$

$$V_4 + K_4 + (X_4 + X_4') \frac{0,5}{4,08} = 0,$$

unter  $X_4, X_4'$  die beiden mittleren Stabkräfte des Obergurts verstanden.

Dachfläche beim verschiebbaren Auflager getroffen. Für die Stützenreactionen hat man

$$\begin{aligned} V \cdot 32 - (973 \cdot 4 + 452 \cdot 8 + 129 \cdot 12 + 13 \cdot 16) \\ - (1275 \cdot 3,5 + 847 \cdot 6 + 410 \cdot 7,5 + 100 \cdot 8) &= 0, \\ V + V' &= 637 + 973 + 452 + 129 + 13, \\ H - 100 - 410 - 847 - 1275 - 728 &= 0, \end{aligned}$$

woraus in Kilogrammen:

$$V = 709, \quad V' = 1495, \quad H = 3360.$$

Obige Gleichungen für die Stabkräfte liefern für die erste Binderhälfte (beim unverschiebbaren Auflager) mit  $V = 709$ ,  $H = 3360$  und verschwindenden  $K, L$ ,

$$\begin{array}{llll} X_1 = 2319 & Z_1 = -5571 & & V_1 = -629 \\ X_2 = 2127 & Z_2 = -5342 & D_2 = 275 & V_2 = -1977 \\ X_3 = 1165 & Z_3 = -4914 & D_3 = 434 & V_3 = -840, \\ X_4 = 528 & Z_4 = -4642 & D_4 = 754 & \end{array}$$

sowie für die zweite Binderhälfte (beim verschiebbaren Auflager) mit  $V = 1495$ ,  $H = 0$  und den oben berechneten  $K, L$ ,

$$\begin{array}{llll} X_1 = -1640 & Z_1 = 552 & & V_1 = 62 \\ X_2 = -560 & Z_2 = 529 & D_2 = -207 & V_2 = 698 \\ X_3 = 125 & Z_3 = -1554 & D_3 = -1651 & V_3 = 706 \\ X_4 = 630 & Z_4 = -2974 & D_4 = -1221 & V_4 = -157. \end{array}$$

Dachfläche beim unverschiebbaren Auflager getroffen. Für die Stützenreactionen hat man

$$\begin{aligned} & - V' \cdot 32 + (973 \cdot 4 + 452 \cdot 8 + 129 \cdot 12 + 13 \cdot 16) \\ & \quad + (1275 \cdot 3,5 + 847 \cdot 6 + 410 \cdot 7,5 + 100 \cdot 8) = 0, \\ & V + V' = 637 + 973 + 452 + 129 + 13, \\ & H + 100 + 410 + 847 + 1275 + 728 = 0, \end{aligned}$$

woraus in Kilogrammen:

$$V = 1495 \qquad V' = 709 \qquad H = - 3360.$$

Obige Gleichungen für die Stabkräfte liefern für die erste Binderhälfte mit  $V = 1495$ ,  $H = - 3360$  und den oben berechneten  $K, L$ ,

$$\begin{array}{llll} X_1 = - 6109 & Z_1 = 7894 & & V_1 = 891 \\ X_2 = - 4525 & Z_2 = 7568 & D_2 = - 207 & V_2 = 2796 \\ X_3 = - 3462 & Z_3 = 5284 & D_3 = - 1651 & V_3 = 1546, \\ X_4 = - 2775 & Z_4 = 3763 & D_4 = - 1221 & \end{array}$$

und für die zweite Binderhälfte mit  $V = 709$ ,  $H = 0$  und verschwindenden  $K, L$ ,

$$\begin{array}{llll} X_1 = - 2155 & Z_1 = 1768 & & V_1 = 200 \\ X_2 = - 2231 & Z_2 = 1698 & D_2 = 275 & V_2 = 120 \\ X_3 = - 2422 & Z_3 = 1924 & D_3 = 434 & V_3 = 0 \\ X_4 = - 2857 & Z_4 = 2274 & D_4 = 754 & V_4 = 683. \end{array}$$

**Bemerkung.** Die Berechnung der Beanspruchungen für die erste Trägerhälfte im zweiten Belastungsfalle vereinfacht sich, wenn beachtet wird, dass für letzteren die erste Trägerhälfte gerade so belastet ist wie die zweite Trägerhälfte im ersten Belastungsfalle, dass also gegenüber den hierfür berechneten Beanspruchungen nur der Einfluss des Horizontalschubs hinzukommt, welcher überdies für die Diagonalen gleich Null ist. Letzteres folgt aus obigen Gleichungen für die Stabkräfte, ist aber in Aufgabe 25 auch allgemein festgestellt.

**Beispiel 59. Schwedlerträger einfachen Systems. Berechnung für gleichmässig vertheilte bewegte Last.**

Ein Schwedlerträger einfachen Systems mit horizontalem Untergurt soll unter folgenden Voraussetzungen berechnet werden. Spannweite  $l = 45$  m, grösste Trägerhöhe  $h = 6$  m, Felderzahl  $n = 9$ , Eigengewicht per laufenden Meter  $g = 0,9$  tn, Verkehrslast  $p = 2,1$  tn. Vom Eigengewichte kommen 0,6 tn auf die Knotenpunkte des Unter-

gurts, in welchen die Fahrbahnlast angreift und 0,3 tn auf diejenigen des Obergurts.

**Formberechnung.** Für diese sei das Eigengewicht per laufenden Meter  $g_1 = 0,7$  gewählt, womit nach

$$(1) \quad \alpha = \frac{ng_1}{p}$$

$\alpha = 3$  wird. Für die Grenzform einfacher Zugdiagonalen wäre nach § 43, 8)

$$(2) \quad \frac{h_{m-1}}{h_m} < 1 \text{ solange } \frac{(m-1)(n-m+1)(m+\alpha)}{m(n-m)(m-1+\alpha)} < 1.$$

Da nun für  $m = 3$

$$\frac{2 \cdot 7 \cdot 6}{3 \cdot 6 \cdot 5} = \frac{14}{15}$$

und für  $m = 4$

$$\frac{3 \cdot 6 \cdot 7}{4 \cdot 5 \cdot 6} = \frac{21}{20},$$

so hat man  $h_3 = 6$  m zu setzen und die drei mittleren Felder mit parallelen Gurtungen zu versehen, sodass daselbst voraussichtlich Gegendiagonalen nöthig werden (für  $g_1 = g$  würde es sicher der Fall sein). Nach § 43, 7) ist nun für  $m \leq 3$

$$(3) \quad h_m = \frac{n-m}{m+\alpha} mc.$$

Mit  $m = 3$  folgt hieraus die Constante  $c$

$$c = \frac{6 \cdot 6}{6 \cdot 3} = 2 \text{ m}$$

und wir erhalten weiter

$$h_1 = \frac{8}{4} 1 \cdot 2 = 4 \text{ m}, \quad h_2 = \frac{7}{5} 2 \cdot 2 = 5,6 \text{ m}.$$

Die Trägerform ist damit festgestellt (Fig. 104). Es entsprechen Fig. 105

für	$m = 1$	2	3	4	5:
	$h_m = 4$	5,6	6	6	6 m
$x_m = \sqrt{\lambda^2 + (h_m - h_{m-1})^2}$	= 6,403	5,250	5,016	5	5 m
$d_m = \sqrt{\lambda^2 + h_{m-1}^2}$	= 5	6,403	7,507	7,810	7,810 m
$\varepsilon = \nu = \frac{h_m}{h_m - h_{m-1}}$	= 1	3,5	15	$\infty$	$\infty$ .

Wir berechnen zunächst das System Fig. 105 und tragen dem Einflusse der Gegendiagonalen nachträglich Rechnung.

**Eigengewicht allein.** Für die vom Eigengewichte allein herührenden Stabkräfte hat man nach § 31, 16) bei oben liegender X-Gurtung

$$(4) \quad \begin{cases} \mathfrak{X}_m = -m(n-m) \frac{x_m g \lambda}{h_m^2}, \\ \mathfrak{Z}_m = (m-1)(n-m+1) \frac{z_m g \lambda}{h_{m-1}^2}, \\ \mathfrak{D}_m = \left(n-2m+1-m \frac{n-m}{\varepsilon}\right) \frac{d_m g \lambda}{h_{m-1}^2}, \\ \mathfrak{B}_m = -\left(n-2m+\frac{g_x-g_z}{g}-m \frac{n-m}{\nu}\right) \frac{g \lambda}{2}, \end{cases}$$

und speziell für unsern Fall, mit  $n=g$ ,  $\lambda=5=z_m$ ,  $g=0,9$ ,  $g_x=0,3$ ,  $g_z=0,6$ ,

$$\mathfrak{X}_m = -m(9-m) \frac{x_m}{h_m^2} 2,25,$$

$$\mathfrak{Z}_m = (m-1)(10-m) \frac{11,25}{h_{m-1}^2},$$

$$\mathfrak{D}_m = \left(10-2m-m \frac{9-m}{\varepsilon}\right) \frac{d_m}{h_{m-1}^2} 2,25,$$

$$\mathfrak{B}_m = m \left(2 + \frac{9-m}{\nu}\right) 2,25 - 19,5.$$

Wir erhalten danach folgende Werthe in Tonnen:

$$\begin{array}{llll} \mathfrak{X}_1 = -28,81 & \mathfrak{Z}_1 = \mathfrak{Z}_2 & \mathfrak{D}_1 = 3 & \mathfrak{B}_1 = 3 \\ \mathfrak{X}_2 = -29,53 & \mathfrak{Z}_2 = 22,50 & \mathfrak{D}_2 = 7,20 & \mathfrak{B}_2 = -1,5 \\ \mathfrak{X}_3 = -33,86 & \mathfrak{Z}_3 = 28,12 & \mathfrak{D}_3 = 8,45 & \mathfrak{B}_3 = -3,3 \\ \mathfrak{X}_4 = -37,50 & \mathfrak{Z}_4 = 33,75 & \mathfrak{D}_4 = 5,86 & \mathfrak{B}_4 = -1,5. \\ \mathfrak{X}_5 = -37,50 & \mathfrak{Z}_5 = 37,50 & \mathfrak{D}_5 = 0 & \end{array}$$

Für  $\mathfrak{Z}_1$ ,  $\mathfrak{D}_1$  folgt zwar aus obigen Gleichungen der unbestimmte Ausdruck  $0:0$ . Indessen wissen wir bereits aus mehreren ähnlichen Fällen, dass die Bedingung „Summe aller Horizontalkräfte gleich Null“ in Anwendung auf Knotenpunkt 1 des Untergurts die ganze Beanspruchung des anliegenden Gurtungsstabs bei jeder Belastung liefert

$$(5) \quad Z_1 = Z_2.$$

**Grenzbeanspruchungen.** Die unteren Grenzwerte der Gurtungskräfte sind die soeben erhaltenen Eigengewichtsbeanspruchungen, die oberen hat man nach § 32, 6)

$$(6) \quad X_m = \frac{q}{g} \mathfrak{X}_m, \quad Z_m = \frac{q}{g} \mathfrak{Z}_m,$$

also wegen  $q : g = 10.3$  in Tonnen:

$$\begin{array}{ll} X_1 = -96,03 & Z_1 = Z_2 \\ X_2 = -98,43 & Z_2 = 75,00 \\ X_3 = -112,87 & Z_3 = 93,75 \\ X_4 = -125,00 & Z_4 = 112,50 \\ X_5 = -125,00 & Z_5 = 125,00. \end{array}$$

Für die Grenzbeanspruchungen der Füllungsglieder verwenden wir die Formeln für vorausbestimmte Knotenpunktslasten, auf welchen die Formberechnung beruht. Sie liefern nach § 32, 15) die Grenzbeanspruchungen der Diagonalen

$$(7) \quad \begin{cases} D_m = \mathfrak{D}_m + (n - m)(n - m + 1) \left(1 - \frac{m}{\varepsilon}\right) \frac{d_m}{h_{m-1}} \frac{p \lambda}{2n}, \\ D_m = \mathfrak{D}_m - m(m - 1) \left(1 + \frac{n - m}{\varepsilon}\right) \frac{d_m}{h_{m-1}} \frac{p \lambda}{2n}, \end{cases}$$

und nach § 32, 17) die Grenzbeanspruchungen der Verticalen

$$(8) \quad \begin{cases} V_m = \mathfrak{V}_m - (n - m)(n - m - 1) \left(1 - \frac{m}{\nu}\right) \frac{p \lambda}{2n}, \\ V_m = \mathfrak{V}_m + m(m + 1) \left(1 + \frac{n - m}{\nu}\right) \frac{p \lambda}{2n}. \end{cases}$$

Diese Gleichungen nehmen mit  $n = 9$ ,  $\lambda = 5$ ,  $p = 2,1$  folgende Formen an

$$\begin{aligned} D_m &= \mathfrak{D}_m + (9 - m)(10 - m) \left(1 - \frac{m}{\varepsilon}\right) \frac{d_m}{h_{m-1}} 0,583, \\ D_m &= \mathfrak{D}_m - m(m - 1) \left(1 + \frac{9 - m}{\varepsilon}\right) \frac{d_m}{h_{m-1}} 0,583, \\ V_m &= \mathfrak{V}_m - (9 - m)(8 - m) \left(1 - \frac{m}{\nu}\right) 0,583, \\ V_m &= \mathfrak{V}_m + m(m + 1) \left(1 + \frac{9 - m}{\nu}\right) 0,583, \end{aligned}$$

und wir erhalten danach mit den oben zusammengestellten  $\varepsilon$ ,  $\nu$ ,  $h_m$ ,  $d_m$  die nachverzeichneten Grenzwerte in Tonnen:

$$\begin{array}{llll} D_2 = 29,60 & D_2 = 1,60 & V_1 = 3,00 & V_1 = 13,50 \\ D_3 = 34,72 & D_3 = 1,88 & V_2 = -12,03 & V_2 = 9,00 \\ D_4 = 28,63 & D_4 = -3,25 & V_3 = -17,30 & V_3 = 6,50 \\ D_5 = 15,18 & D_5 = -15,18 & V_4 = -13,17 & V_4 = 10,17. \end{array}$$

Die Stützenreactionen sind wie in Beispiel 41 bestimmt.



**Gegendiagonalen.** Da die Diagonalen in den drei mittleren Feldern sowohl Zug als Druck empfangen können, so sind daselbst Gegendiagonalen anzuordnen. Der Einfluss derselben ist durch den am Schlusse des § 51 hervorgehobenen Satz bestimmt, wobei zu beachten, dass bei jeder Belastung

$$K_0 = 0,3 \cdot 5 = 1,5 \text{ tn.}$$

Für die positive Maximalbeanspruchung der Grenzverticale des Parallelträgerstücks hat man nach § 51, 8)

$$(9) \quad V_m = \mathfrak{B}_m + \left[ m(m+1) + (v-m)(n-2m-1) \right] \frac{g}{p} \frac{p^2}{2n},$$

also in unserm Falle mit  $m = 3$

$$V_3 = -3,3 + \left( 3 \cdot 4 + 12 \cdot 2 \frac{0,9}{2,1} \right) \frac{2,1 \cdot 5}{2 \cdot 15} = 4,5 \text{ tn},$$

doch hätte auch der oben gefundene Werth 6,5 als zu ungünstig (§ 51) beibehalten werden können. Alle gültigen Grenzbeanspruchungen sind in Fig. 106 bei ihren Stäben eingetragen.

**Bemerkungen.** Wir haben oben die Stabkräfte nach den bei beliebigen Gurtungsformen gültigen Gleichungen bestimmt. Nach § 45, 1) 2) oder § 43 hätten wir jedoch die Eigengewichtsbeanspruchungen und Grenzbeanspruchungen der Diagonalen ausserhalb des Parallelträgerstücks auch aus

$$(10) \quad \mathfrak{D}_m = \frac{g^2}{2c} d_m,$$

$$(11) \quad D_m = \frac{g+g_1}{g} \mathfrak{D}_m, \quad D_m = \frac{g-g_1}{g} \mathfrak{D}_m$$

erhalten können, worin wie oben berechnet  $c = 2$  ist. Ebenso hätten wir die Stäbe des Parallelträgerstücks (abgesehen von den Grenzverticalen) auch aus den speziell für Parallelträger gültigen Formeln berechnen können, in welche übrigens die oben verwendeten mit  $s = v = \infty$  übergehen.

Angenommen wir hätten die fünf mittleren Felder mit parallelen Gurtungen versehen wollen, dann würde sich nach Berechnung von  $a$  mit  $h_2 = 6$  aus 3) sofort ergeben haben

$$c = \frac{5 \cdot 6}{7 \cdot 2} = \frac{15}{7}, \quad h_1 = \frac{8 \cdot 1 \cdot 15}{4 \cdot 7} = 4,276 \text{ m},$$

womit die Trägerform bestimmt ist und wie oben nur in den drei Mittelfeldern Gegendiagonalen nöthig sind (Beispiel 41).

**Beispiel 60. Schwedlerträger einfachen Systems. Berechnung für bewegte Radlastzüge.**

Für eine eingleisige Eisenbahnbrücke sollen Schwedlerträger einfachen Systems mit horizontalem Untergurt verwendet werden. Spannweite  $l = 45$  m, Trägerhöhe  $h = 6$  m, Felderzahl  $n = 10$ , Eigengewicht per laufenden Meter Träger  $g = 0,9$  tn, wovon 0,3 tn auf die Knotenpunkte des Obergurts und 0,6 tn auf diejenigen des Untergurts kommen. In Letzteren greift die Fahrbahnlast an. Die Grenzwerte der Stabkräfte zu berechnen, welche beim Befahren durch Züge von Locomotiven der Radanordnung Fig. 18 entstehen.

**Formberechnung.** Wird für diese das Eigengewicht per Längeneinheit der Sicherheit halber nur  $g_1 = 0,7$  tn gewählt und für Belastung durch Zug II (Fig. 22) von 0 bis  $m - 1$ , Vorderrad 0 bei Verticale  $m - 1$ ,

$$(1) \quad \alpha = \frac{2}{l g_1} \sum_0^{m-1} P a$$

gesetzt, so hat man nach § 44, 8) für die Form einfacher Zugdiagonalen

$$(2) \quad \frac{h_{m-1}}{h_m} \leq 1 \quad \text{solange} \quad \frac{n-m+1}{n-m} \frac{m-1+\alpha}{m+\alpha} < 1.$$

Wir entnehmen aus der Tabelle in Beispiel 6 oder berechnen ganz wie in Beispiel 42

für	$m =$	1	2	3	4	5:
	$\sum_0^{m-1} Pa =$	0	60,4	170	316	529
womit	$\alpha =$	0	0,852	2,404	4,458	7,463.
Da nun für	$m =$	3	$\frac{8 \cdot 4,404}{7 \cdot 5,404} < 1$			
und für	$m =$	4	$\frac{7 \cdot 7,458}{6 \cdot 8,458} > 1,$			

so folgt  $h_3 = h = 6$  m und sind in den vier mittleren Feldern parallele Gurtungen anzuordnen. Für  $m \leq 3$  hat man nach § 44, 7)

$$(3) \quad h_{m-1} = \frac{n-m+1}{n-m} \frac{m-1+\alpha}{m+\alpha} h_m,$$

sodass wir erhalten:

$$h_2 = \frac{8 \cdot 4,404}{7 \cdot 5,404} 6 = 5,588 \text{ m,}$$

$$h_1 = \frac{9 \cdot 1,852}{8 \cdot 2,852} 5,588 = 4,082 \text{ m.}$$

Die Trägerform ist damit festgestellt (Fig. 107), es entsprechen Fig. 108

für	$m =$	1	2	3	4	5:
	$h_m =$	4,082	5,588	6	6	6 m
	$x_m = \sqrt{\lambda^2 + (h_m - h_{m-1})^2} =$	6,076	4,745	5,519	4,5	4,5 m
	$d_m = \sqrt{\lambda^2 + h_{m-1}^2} =$	4,5	6,076	7,145	7,5	7,5 m
	$\varepsilon = \nu = \frac{h_m}{h_m - h_{m-1}} =$	1	3,71	14,56	$\infty$	$\infty$ .

Wir berechnen zunächst das System Fig. 108 und tragen dem Einflusse der Gegendiagonalen nachträglich Rechnung.

**Eigengewicht allein.** Für die vom Eigengewichte allein herührenden Stabkräfte gelten die im vorigen Beispiele verwendeten Gleichungen 4), welche mit  $n = 10$ ,  $\lambda = 4,5$ ,  $g = 0,9$ ,  $g_x = 0,3$ ,  $g_z = 0,6$  ergeben

$$\mathfrak{X}_m = -m(10 - m) \frac{x_m}{h_m} 2,025,$$

$$\mathfrak{Z}_m = (m - 1)(11 - m) \frac{9,112}{h_{m-1}},$$

$$\mathfrak{D}_m = \left(11 - 2m - m \frac{10 - m}{\varepsilon}\right) \frac{d_m}{h_{m-1}} 2,025,$$

$$\mathfrak{B}_m = m \left(2 + \frac{10 - m}{\nu}\right) 2,025 - 19,575.$$

Wir erhalten danach folgende Beanspruchungen in Tonnen:

$\mathfrak{X}_1 = -27,16$	$\mathfrak{Z}_1 = \mathfrak{Z}_2$		$\mathfrak{B}_1 = 2,70$
$\mathfrak{X}_2 = -27,47$	$\mathfrak{Z}_2 = 20,10'$	$\mathfrak{D}_2 = 8,11$	$\mathfrak{B}_2 = -2,74$
$\mathfrak{X}_3 = -32,03$	$\mathfrak{Z}_3 = 26,08$	$\mathfrak{D}_3 = 9,18$	$\mathfrak{B}_3 = -4,50$
$\mathfrak{X}_4 = -36,45$	$\mathfrak{Z}_4 = 31,89$	$\mathfrak{D}_4 = 7,53$	$\mathfrak{B}_4 = -3,37$
$\mathfrak{X}_5 = -37,97$	$\mathfrak{Z}_5 = 36,45$	$\mathfrak{D}_5 = 2,53$	$\mathfrak{B}_5 = 0,67.$

Wie im vorigen Beispiele hat man die Beanspruchung des Untergurtstabs 1 bei jeder Belastung  $Z_1 = Z_2$ .

**Grenzbeanspruchungen.** Die unteren Grenzbeanspruchungen der Gurtungen sind die soeben angeführten Eigengewichtsbeanspruchungen,

für die oberen hat man nach § 33, 1) 2), wenn bei Belastung durch Zug I (Fig. 23 u. 24) von 0 bis  $n$ , Rad  $O$  bei Verticale  $m$ ,

$$(4) \quad C_m = (n - m) \sum_0^m Pa + m \sum_m^n P(l - a)$$

gesetzt wird,

$$(5) \quad X_m = \mathfrak{X}_m - C_m \frac{x_m}{lh_m}, \quad Z_m = \mathfrak{Z}_m + C_{m-1} \frac{1}{nh_{m-1}}.$$

Die Summenausdrücke in 4) lassen sich aus der Tabelle des Beispiels 6 entnehmen oder wie in Beispiel 42 berechnen. Wir erhalten dann die oberen Grenzbeanspruchungen des Obergurts:

$$X_1 = -27,16 - (9.54,2 + 1.1996) \frac{6,08}{45 \cdot 4,08} = -109,72 \text{ tn } (-105,44)$$

$$X_2 = -27,47 - (8.144 + 2.1586) \frac{4,74}{45 \cdot 5,59} = -108,95 \text{ „ } (-106,71)$$

$$X_3 = -32,03 - (7.285 + 3.1208) \frac{4,52}{45 \cdot 6} = -126,10 \text{ „ } (-125,95)$$

$$X_4 = -36,45 - (6.490 + 4.884) \frac{4,5}{45 \cdot 6} = -143,38 \text{ „ } (-142,48)$$

$$X_5 = -37,97 - (5.714 + 5.617) \frac{4,5}{45 \cdot 6} = -148,89 \text{ „ } (-148,89),$$

und diejenigen des Untergurts:

$$Z_1 = Z_2 = 20,10 + (9.54,2 + 1.1996) \frac{1}{40,8} = 80,98 \text{ tn } (78,04)$$

$$Z_3 = 26,08 + (8.144 + 2.1586) \frac{1}{55,9} = 103,43 \text{ „ } (101,30)$$

$$Z_4 = 31,89 + (7.285 + 3.1208) \frac{1}{60} = 125,54 \text{ „ } (125,39)$$

$$Z_5 = 36,45 + (6.490 + 4.884) \frac{1}{60} = 143,38 \text{ „ } (142,48).$$

Die Ansätze beziehen sich auf die erste Richtung des Zuges I, während die Resultate für die zweite Richtung in Klammern beigefügt sind. Wie bisher immer hätte die Berücksichtigung der ersten Zugrichtung genügt, was man nach vorausgegangener Berechnung eines andern Beispiels mit  $l = 45$ ,  $n = 10$  (Beispiel 36) im Voraus wissen konnte.

Die Grenzbeanspruchungen der Füllungsglieder ergeben sich nach § 33, 7) 8) 11) 12) wie folgt:

Zug II von  $m$  bis  $n$ , Vorderrad  $O$  bei Verticale  $m$ ,

$$(6) \quad D_m = \mathfrak{D}_m + \frac{d_m}{lh_{m-1}} \left(1 - \frac{m}{\varepsilon}\right) \sum_m^n P(l - a),$$

Zug II von 0 bis  $m - 1$ , Vorderrad  $O$  bei Verticale  $m - 1$ ,

$$(7) \quad D_m = \mathfrak{D}_m - \frac{d_m}{lh_{m-1}} \left(1 + \frac{n-m}{\varepsilon}\right) \sum_0^{m-1} Pa;$$

Zug II von  $m + 1$  bis  $n$ , Vorderrad  $O$  bei Verticale  $m + 1$ ,

$$(8) \quad V_m = \mathfrak{B}_m - \frac{1}{l} \left(1 - \frac{m}{v}\right) \sum_{m+1}^n P(l - a),$$

Zug II von 0 bis  $m$ , Vorderrad  $O$  bei Verticale  $m$ ,

$$(9) \quad V_m = \mathfrak{B}_m + \frac{1}{l} \left(1 + \frac{n-m}{v}\right) \sum_0^m Pa.$$

Diese Gleichungen liefern mit den aus der Tabelle des Beispiels 6 entnommenen oder wie in Beispiel 42 zu berechnenden Werthen der Summenausdrücke (welche theilweise schon bei Berechnung der  $\alpha$  verwendet wurden) in Tonnen die Grenzbeanspruchungen der Diagonalen:

$$D_2 = 8,11 + \frac{6,08 \cdot 1,71 \cdot 1836}{45 \cdot 4,08 \cdot 3,71} = 36,13$$

$$D_3 = 9,18 + \frac{7,17 \cdot 11,56 \cdot 1442}{45 \cdot 5,59 \cdot 14,56} = 41,81$$

$$D_4 = 7,59 + \frac{7,5 \cdot 1087}{45 \cdot 6} = 37,78$$

$$D_5 = 2,53 + \frac{7,5 \cdot 776}{45 \cdot 6} = 24,09,$$

$$D_2 = 8,11 - \frac{6,08 \cdot 11,71 \cdot 60,4}{45 \cdot 4,08 \cdot 3,71} = 1,80$$

$$D_3 = 9,18 - \frac{7,17 \cdot 21,56 \cdot 170}{45 \cdot 5,59 \cdot 14,56} = 2,04$$

$$D_4 = 7,59 - \frac{7,5 \cdot 316}{45 \cdot 6} = 1,19$$

$$D_5 = 2,53 - \frac{7,5 \cdot 529}{45 \cdot 6} = -12,16,$$

und die Grenzbeanspruchungen der Verticalen:

$$V_1 = 2,70 - \frac{0 \cdot 1836}{45 \cdot 1} = 2,70$$

$$V_2 = -2,74 - \frac{1,71 \cdot 1442}{45 \cdot 3,71} = -17,51$$

$$V_3 = -4,50 - \frac{11,56 \cdot 1087}{45 \cdot 14,56} = -23,68$$

$$V_4 = -3,37 - \frac{776}{45} = -20,61$$

$$V_5 = 0,67 - \frac{530}{45} = -11,11,$$

$$V_1 = 2,70 + \frac{10 \cdot 60,4}{45 \cdot 1} = 16,12$$

$$V_2 = -2,74 + \frac{11,71 \cdot 170}{45 \cdot 3,71} = 9,18$$

$$V_3 = -4,50 + \frac{21,56 \cdot 316}{45 \cdot 14,56} = 5,90$$

$$V_4 = -3,37 + \frac{580}{45} = 8,41$$

$$V_5 = 0,67 + \frac{776}{45} = 17,91.$$

Ganz wie in Beispiel 36 erhält man mit Zug I, Rad O bei Verticale 1, ein grösseres  $V_1$  wie vorstehend mit Zug II, nämlich

$$V_1 = K_u = 2,70 + 6 + 2 \cdot 6 \frac{3,2}{4,5} + 4 \frac{2}{4,5} = 19,01 \text{ tn.}$$

Die Stützenreactionen sind wie in Beispiel 42 bestimmt.

**Gegendiagonalen.** Da die Diagonalen in den vier mittleren Feldern sowohl Zug als Druck empfangen können, so sind daselbst Gegendiagonalen anzuordnen. Der Einfluss derselben ist durch den am Schlusse des § 51 hervorgehobenen Satz bestimmt und dabei constant  $K_0 = 0,3 \cdot 4,5 = 1,35 \text{ tn}$ . Die positive Maximalbeanspruchung der Grenzverticale des Parallelträgerstücks ist nach § 51, 9) mit der für 9) gültigen Belastung

$$(10) \quad V_m = \mathfrak{B}_m + \left[ \sum_0^m Pa + (\nu - m)(n - 2m - 1) \frac{g l^2}{2} \right] \frac{1}{\nu l},$$

also in unserm Falle

$$V_3 = -4,50 + (316 + 11,56 \cdot 3 \cdot 0,45 \cdot 4,5^2) \frac{1}{14,56 \cdot 4,5} = 5,15 \text{ tn,}$$

doch hätte auch der oben gefundene Werth 5,9 als zu ungünstig beibehalten werden können (§ 51). Die Beanspruchung der mittleren Verticale für Eigengewicht allein ist deren untere Grenzbeanspruchung. Sämmtliche Grenzbeanspruchungen sind in Fig. 109 eingetragen.

**Bemerkungen.** Anstatt wie oben nach den Gleichungen für beliebige Gurtungsformen hätten wir die Beanspruchungen der Diagonalen ausserhalb des Parallelträgerstücks auch nach § 45, 3) 4)

berechnen können, wonach insbesondere die unteren Grenzbeanspruchungen der Diagonalen wie im vorigen Beispiele

$$D_m = \frac{g - g_1}{g} D_m = \frac{2}{9} D_m$$

sind und für  $g_1 = g$  verschwinden würden. Die Stäbe des Parallelträgerstücks, abgesehen von dessen Grenzverticale, hätten sich auch direct nach den Spezialformeln für Parallelträger berechnen lassen.

Wollte man den betrachteten Träger in vielfach vorkommender Weise für diejenige gleichmässig vertheilte bewegte Last berechnen, welche den grössten Momenten entspricht, so würde nach Beispiel 8 die Verkehrslast  $p = 2,63$  tn zu setzen sein. Damit erhielte man ganz wie im vorigen Beispiel der Reihe nach  $\alpha = 2,660$ ,  $h_3 = h = 6$  m,  $c = 1,617$ ,

$$h_1 = 3,976, \quad h_2 = 5,552 \text{ m},$$

während sich oben fanden

$$h_1 = 4,082, \quad h_2 = 5,588 \text{ m}.$$

Diese Verringerung der Verticalenlängen hat mindestens in dem Falle rechnungsmässigen Druck in den Zugdiagonalen  $d_2, d_3$  zur Folge, dass nicht wie hier mit  $g_1 < g$  gerechnet wird. Wird nun noch, wie häufig genug,  $p$  zu klein angenommen, so sind beim Ueberfahren ungünstiger Lastzüge Einknickungen der Diagonalen zu erwarten, welche nur durch ganz uncontrolirbare Secundärspannungen verhindert werden könnten (Vernietungen). Wenn man also mit Lastäquivalenten rechnen will, so sollte wenigstens die richtige Wahl getroffen werden (Beispiel 61).

**Aufgabe 36.** Träger einfachen Systems nach der Grenzform gleichartiger Diagonalenbeanspruchungen. Anwendung von Lastäquivalenten.

Die Gleichungen zur Formbestimmung von Trägern nach der Grenzform gleichartiger Diagonalenbeanspruchungen so zu gestalten, dass die Berechnung mit Rücksicht auf die Lastäquivalente direct befahrener vollwandiger Träger erfolgen kann.

In § 44 sind Gleichungen für die verlangte Formbestimmung gegeben, in welchen nur  $\alpha, \beta$  von der Verkehrslast abhängen. Man hat für Belastung durch Zug II von 0 bis  $m - 1$ , Vorderrad 0 bei Verticale  $m - 1$ ,

$$(1) \quad \alpha = \frac{2}{l \lambda g_1} \sum_0^{m-1} P a,$$

und für Belastung durch Zug II von  $m$  bis  $n$ , Vorderrad  $O$  bei Verticale  $m$ ,

$$(2) \quad \beta = \frac{2}{l \lambda g_1} \sum_m^n P(l - a).$$

Bezeichnen nun  $p_c$ ,  $p_v$  diejenigen Lastäquivalente, welche für einen durch den angenommenen Lastzug II direct befahrenen vollwandigen Träger der Spannweite  $l$  dem  $\text{neg max } V_x$  bei  $x = c = (m - 1)\lambda$  bzw. dem  $\text{pos max } V_x$  bei  $x = v = m\lambda$  entsprechen, so hat man nach A. 11, 9)–12) für die eben erwähnten Belastungen:

$$(3) \quad 2 \sum_0^{m-1} P a = c^2 p_c = (m - 1)^2 \lambda^2 p_c,$$

$$(4) \quad 2 \sum_m^n P(l - a) = (l - v)^2 p_v = (n - m)^2 \lambda^2 p_v$$

und also aus 1) 2) wegen  $l = n\lambda$

$$(5) \quad \alpha = (m - 1)^2 \frac{p_c}{n g_1},$$

$$(6) \quad \beta = (n - m)^2 \frac{p_v}{n g_1}.$$

Mit diesen Ausdrücken an Stelle von § 44, 4) 5) gelten nun sämtliche in §§ 44, 45 gegebenen Gleichungen. Die dort nicht ausgedrückten Beanspruchungen sind nach den für beliebige Gurtungsformen gültigen Festsetzungen der Aufgabe 32 zu berechnen.

Anstatt wie hier vorzugehen, hätten wir die Beziehungen zur Formberechnung auch ganz wie in den §§ 43, 44 auf Grund der Gleichungen A. 32, 1) oder mit  $p$  nach A. 29, 1) 3) auf Grund der in § 43 verwendeten Gleichungen § 32, 15) ableiten können.

#### **Beispiel 61. Schwedlerträger einfachen Systems. Berechnung mit Lastäquivalenten.**

Die Träger des vorigen Beispiels auf Grund gleichmässig vertheilter Lasten so zu berechnen, dass dieselbe Form und dieselben Grenzbeanspruchungen der Füllungsglieder sowie annähernd dieselben Grenzbeanspruchungen der Gurtungen wie mit den dort angenommenen Radlastzügen entstehen.



**Formberechnung.** Bezeichnet  $p_c$  dasjenige Lastäquivalent, welches für einen durch den angenommenen Lastzug II direct befahrenen vollwandigen Träger dem  $\max V_x$  bei  $x = c$  entspricht, so gelten nach Aufgabe 36 mit  $c = (m - 1)\lambda$  und

$$(1) \quad \alpha = (m - 1)^2 \frac{p_c}{n g_1}$$

die Gleichungen 2) 3) des vorigen Beispiels. Setzen wir wieder das Eigengewicht per laufenden Meter für die Formberechnung  $g_1 = 0,7$  und entnehmen aus der Tabelle in Beispiel 8

für	$m =$	1	2	3	4:
	$p_c =$	$\infty$	5,94	4,21	3,46
so folgen	$\alpha =$	0	0,849	2,406	4,449.

Da für  $m = 3$   $\frac{8 \cdot 4,406}{7 \cdot 5,406} < 1$

und „  $m = 4$   $\frac{7 \cdot 7,449}{6 \cdot 8,449} > 1$ ,

so wird  $h_3 = h = 6$  m und sind die vier mittleren Felder mit parallelen Gurtungen anzuordnen. Aus B. 60, 3) erhält man

$$h_2 = \frac{8 \cdot 4,406}{7 \cdot 5,406} 6 = 3,589 \text{ m,}$$

$$h_1 = \frac{9 \cdot 1,849}{8 \cdot 2,849} 5,589 = 4,081 \text{ m,}$$

womit die Trägerform festgestellt ist. Da dieselbe mit der im vorigen Beispiele erhaltenen übereinstimmt, so bleiben auch die dort zusammengestellten  $h, x, d, \varepsilon, \nu$  gültig. Wir berechnen wieder zunächst das System Fig. 108 und tragen dem Einflusse der Gegendiagonalen nachträglich Rechnung.

**Beanspruchungen.** Für die vom Eigengewichte allein herrührenden Stabkräfte ergeben sich ganz wie im vorigen Beispiele die dort berechneten Werthe, womit auch die unteren Grenzbeanspruchungen der Gurtungen bestimmt sind. Die oberen Grenzbeanspruchungen der Letzteren hat man nach Aufgabe 32 mit demjenigen constanten  $p$  zu berechnen, welches für einen durch den angenommenen Lastzug I direct befahrenen vollwandigen Träger der Spannweite 45 m dem  $\max M_x$  bei der Trägermitte entspricht. Aus Beispiel 8 entnehmen wir  $p = 2,63$  oder nach oben abgerundet  $p = 2,7$  tn, und erhalten nach

$$(2) \quad X_m = \frac{q}{g} X_m, \quad Z_m = \frac{q}{g} Z_m,$$

mit  $q : g = 3,6 : 0,9 = 4$  die folgenden Grenzwerte in Tonnen:

$$\begin{array}{ll} X_1 = -108,64 & Z_1 = Z_2 \\ X_2 = -109,88 & Z_2 = 80,40 \\ X_3 = -128,12 & Z_3 = 104,32 \\ X_4 = -148,80 & Z_4 = 127,56 \\ X_5 = -151,88 & Z_5 = 144,80. \end{array}$$

Nach Aufgabe 32 hat man wie in Beispiel 37 die Grenzbeanspruchungen der Diagonalen, mit  $c = (m - 1)\lambda$ ,  $v = m\lambda$ ,

$$(3) \quad \begin{cases} D_m = \mathfrak{D}_m + \frac{\lambda d_m}{2n h_{m-1}} \left(1 - \frac{m}{\varepsilon}\right) (n - m)^2 p_v, \\ D_m = \mathfrak{D}_m - \frac{\lambda d_m}{2n h_{m-1}} \left(1 + \frac{n - m}{\varepsilon}\right) m^2 p_c, \end{cases}$$

und die Grenzbeanspruchungen der Verticalen, mit  $c = m\lambda$ ,  $v = (m + 1)\lambda$ ,

$$(4) \quad \begin{cases} V_m = \mathfrak{B}_m - \frac{\lambda}{2n} \left(1 - \frac{m}{v}\right) (n - m - 1)^2 p_v, \\ V_m = \mathfrak{B}_m + \frac{\lambda}{2n} \left(1 + \frac{n - m}{v}\right) m^2 p_c, \end{cases}$$

worin  $p_v$  das Lastäquivalent, welches für einen durch Lastzug II direct befahrenen vollwandigen Träger der Spannweite  $l$  dem pos. max  $V_x$  bei  $x = v$  entspricht. Wir entnehmen die  $p_c$ ,  $p_v$  aus der Tabelle des Beispiels 8 und erhalten in Tonnen für die Diagonalen:

$$\begin{aligned} D_2 &= 8,11 + \frac{0,225 \cdot 6,08 \cdot 1,71}{4,08 \cdot 3,71} 64 \cdot 2,83 = 36,10 \\ D_3 &= 9,18 + \frac{0,225 \cdot 7,17 \cdot 11,56}{5,59 \cdot 14,56} 49 \cdot 2,90 = 41,74 \\ D_4 &= 7,59 + \frac{0,225 \cdot 7,5}{6} 36 \cdot 2,98 = 37,78 \\ D_5 &= 2,53 + \frac{0,225 \cdot 7,5}{6} 25 \cdot 3,06 = 24,05, \\ D_2 &= 8,11 - \frac{0,225 \cdot 6,08 \cdot 11,71}{4,08 \cdot 3,71} 1 \cdot 5,94 = 1,81 \\ D_3 &= 9,18 - \frac{0,225 \cdot 7,17 \cdot 21,56}{5,59 \cdot 14,56} 4 \cdot 4,21 = 1,98 \\ D_4 &= 7,59 - \frac{0,225 \cdot 7,5}{6} 9 \cdot 3,46 = -1,17 \\ D_5 &= 2,53 - \frac{0,225 \cdot 7,5}{6} 16 \cdot 3,27 = -12,18, \end{aligned}$$

und für die Verticalen:

$$V_1 = 2,70 - \frac{0,225 \cdot 0}{1} - 64 \cdot 2,83 = 2,70$$

$$V_2 = -2,74 - \frac{2,225 \cdot 1,71}{3,71} - 49 \cdot 2,90 = -17,48$$

$$V_3 = -4,50 - \frac{0,225 \cdot 11,56}{14,56} - 36 \cdot 2,98 = -23,67$$

$$V_4 = -3,37 - 0,225 \cdot 25 \cdot 3,06 = -20,58$$

$$V_5 = 0,67 - 0,225 \cdot 16 \cdot 3,27 = -10,10,$$

$$V_1 = 2,70 + \frac{0,225 \cdot 10}{1} - 1 \cdot 5,94 = 16,07$$

$$V_2 = -2,74 + \frac{0,225 \cdot 11,71}{3,71} - 4 \cdot 4,21 = 9,22$$

$$V_3 = -4,50 + \frac{0,225 \cdot 21,56}{14,56} - 9 \cdot 3,46 = 5,88$$

$$V_4 = -3,37 + 0,225 \cdot 16 \cdot 3,27 = 8,40$$

$$V_5 = 0,67 + 0,225 \cdot 25 \cdot 3,06 = 17,88.$$

Ganz wie in Beispiel 37 erhält man ein noch grösseres  $V_1$  als 16,07 mit demjenigen  $p$ , welches für einen durch Zug I direct befahrenen vollwandigen Träger der Spannweite  $v = 9$  m dem  $\max M_x$  bei der Trägermitte entspricht, nämlich

$$V_1 = \mathfrak{B}_1 + p\lambda = 2,70 + 3,62 \cdot 4,5 = 18,99 \text{ tn.}$$

Die Stützenreactionen sind wie in Beispiel 43 bestimmt.

**Gegendiagonalen.** In den vier mittleren Feldern sind Gegendiagonalen nöthig, deren Einfluss durch den am Schlusse des § 51 hervorgehobenen Satz bestimmt ist. Es bleiben danach die negativen Maximalbeanspruchungen der Verticalen des Parallelträgerstücks wie oben berechnet, während die positive Maximalbeanspruchung der Grenzverticale desselben nach § 51, 9) mit A. 36, 3) und  $c = m\lambda$

$$V_m = \mathfrak{B}_m + [m^2 p_c + (v - m)(n - 2m - 1)g] \frac{\lambda}{2v},$$

also speziell in unserem Falle

$$V_5 = -4,50 + [9 \cdot 3,46 + 11,56 \cdot 3 \cdot 0,9] \frac{4,5}{2 \cdot 14,56} = 5,15 \text{ tn.}$$

Doch hätte auch der oben erhaltene Werth 5,88 als zu ungünstig beibehalten werden können (§ 51).

Die positiven Maximalbeanspruchungen der übrigen Verticalen des Parallelträgerstücks sind  $-0,3 \cdot 4,5 = -1,35$  tn und den gleichen Werth hat die Beanspruchung der mittleren Verticale für Eigengewicht allein. Alle übrigen Stabkräfte bleiben wie oben bestimmt.

Sämmtliche hier berechnete Grenzbeanspruchungen der Füllungs-

glieder sowie die Form des Trägers müssen, soweit nicht kleine Differenzen durch vernachlässigte Decimalen und Interpolationen bedingt sind, genau mit den im vorigen Beispiele erhaltenen Resultaten für bewegte Radlastzüge übereinstimmen. Bezüglich der Verwendbarkeit von Spezialformeln anstatt der obigen Gleichungen für beliebige Gurtungsformen gilt das in den Bemerkungen zum letzten Beispiele Gesagte.

**Beispiel 62. Paulischer Segmentträger einfachen Systems. Berechnung für gleichmässig vertheilte bewegte Last.**

Es sollen Träger einfachen Systems mit Verticalen, horizontalem Untergurt und constanter Maximalbeanspruchung des Obergurts unter folgenden Voraussetzungen berechnet werden: Spannweite  $l = 45$  m, grösste Trägerhöhe  $h = 6$  m, Felderzahl  $n = 10$ , Eigengewicht per laufenden Meter Träger  $g = 0,9$  tn, wovon 0,6 tn auf die Knotenpunkte des Untergurts kommen, in welchen die Fahrbahnlast angreift, und 0,3 tn auf diejenigen des Obergurts. Die bewegte Last ist zu  $p = 2,63$  tn per laufenden Meter der ergriffenen Strecke anzunehmen.

**Formberechnung.** Denkt man sich zunächst alle Diagonalen von der in Fig. 110 angedeuteten Stellung (X-Gurtung oben), so besteht nach § 46, 6) 8) 10) mit

$$(1) \quad c = \frac{n l}{4 f}, \quad \alpha = \frac{c}{m(n-m)}$$

zur Berechnung der Verticalenlängen die Gleichung

$$(2) \quad h_m = \frac{-h_{m-1} + \sqrt{\alpha^2(\lambda^2 + h_{m-1}^2) - \lambda^2}}{\alpha^2 - 1},$$

woraus in unserm Falle mit  $f = h$ ,  $h_0 = h_{10} = 0$ ,

$$c = \frac{10 \cdot 45}{4 \cdot 6} = 18,75,$$

$$\alpha_1 = \frac{18,75}{1 \cdot 9} = 2,083$$

$$\alpha_2 = \frac{18,75}{2 \cdot 8} = 1,172$$

$$\alpha_3 = \frac{18,75}{3 \cdot 7} = 0,893$$

$$\alpha_4 = \frac{18,75}{4 \cdot 6} = 0,781$$

$$\alpha_5 = \frac{18,75}{5 \cdot 5} = 0,750$$

$$\alpha_6 = \frac{18,75}{6 \cdot 4} = 0,781$$

$$\alpha_7 = \frac{18,75}{7 \cdot 3} = 0,893$$

$$\alpha_8 = \frac{18,75}{8 \cdot 2} = 1,172$$

$$\alpha_9 = \frac{18,75}{9 \cdot 1} = 2,083,$$

$$h_1 = \frac{-0 + \sqrt{2,083^2 (4,5^2 + 0^2) - 4,5^2}}{2,083^2 - 1} = 2,463 \text{ m } (2,162)$$

$$h_2 = \frac{-2,463 + \sqrt{1,172^2 (4,5^2 + 2,463^2) - 4,5^2}}{1,172^2 - 1} = 4,080 \text{ „ } (3,843)$$

$$h_3 = \frac{-4,080 + \sqrt{0,893^2 (4,5^2 + 4,080^2) - 4,5^2}}{0,893^2 - 1} = 5,192 \text{ „ } (5,044)$$

$$h_4 = \frac{-5,192 + \sqrt{0,781^2 (4,5^2 + 5,192^2) - 4,5^2}}{0,781^2 - 1} = 5,818 \text{ „ } (5,765)$$

$$h_5 = \frac{-5,818 + \sqrt{0,750^2 (4,5^2 + 5,818^2) - 4,5^2}}{0,750^2 - 1} = 6,005 \text{ „ } (6,005)$$

$$h_6 = \frac{-6,005 + \sqrt{0,781^2 (4,5^2 + 6,005^2) - 4,5^2}}{0,781^2 - 1} = 5,770 \text{ „ } (5,765)$$

$$h_7 = \frac{-5,770 + \sqrt{0,893^2 (4,5^2 + 5,770^2) - 4,5^2}}{0,893^2 - 1} = 5,097 \text{ „ } (5,044)$$

$$h_8 = \frac{-5,097 + \sqrt{1,172^2 (4,5^2 + 5,097^2) - 4,5^2}}{1,172^2 - 1} = 3,960 \text{ „ } (3,843)$$

$$h_9 = \frac{-3,960 + \sqrt{2,083^2 (4,5^2 + 3,960^2) - 4,5^2}}{2,083^2 - 1} = 2,302 \text{ „ } (2,162).$$

Des Vergleichs halber sind in Klammer diejenigen Verticalenlängen beigesetzt, welche einem Parabelträger der Höhe 6,005 m entsprechen würden.

Die erhaltene Trägerform Fig. 110 ist zur Mitte nicht symmetrisch, es kann jedoch, wie in Fig. 111 und 112 angedeutet, sowohl die erste als die zweite Hälfte zur Bildung eines symmetrischen Trägers verwendet werden. Beide so entstehenden Träger erhalten dieselben Grenzbeanspruchungen des Obergurts, während die Eigengewichtsbeanspruchungen und grössten Grenzbeanspruchungen der Diagonalen für Fig. 111 Zug, für Fig. 112 Druck bedeuten. Wir wählen das System Fig. 111 und erhalten mit den oben berechneten  $\alpha$ ,  $h$  unter Berücksichtigung von § 46, 8)

für	$m = 1$	2	3	4	5:
	$x_m = \alpha h_m = 5,130$	4,782	4,636	4,544	4,504 m
	$d_m = \sqrt{\lambda^2 + h_{m-1}^2} = 4,5$	5,130	6,074	6,871	7,355 m
	$\nu = \varepsilon = \frac{h_m}{h_m - h_{m-1}} = 1$	2,52	4,67	9,29	32,11.

Wäre von vorn herein beabsichtigt gewesen, das jetzt angenommene symmetrische System zu verwenden, so hätte natürlich die obige Berechnung der  $h$  auf der zweiten Trägerhälfte unterbleiben können.

Wir haben hier angenommen, dass die ermittelte Trägerhöhe von 6,005 m genügend genau mit der gewünschten von 6 m übereinstimmt, um den Träger damit ausführen zu lassen oder 6 m ohne Aenderung der Rechnung zu wählen. Hätte man jedoch noch genauer vorgehen wollen, so würde nach Ermittlung der  $h_m$  und von  $x_\sigma = x_6$  die Berechnung zufolge § 46, 13) mit

$$c = \frac{n^2}{4h} x_\sigma = \frac{100}{4 \cdot 6} 4,504 = 18,767$$

von Neuem zu beginnen und in gleicher Weise wie oben durchzuführen gewesen sein.

**Beanspruchungen.** Für die Grenzbeanspruchungen der Gurtungen hat man nach § 46, 1) 2) 7)

$$(3) \quad X = -c \frac{q\lambda}{2}, \quad \mathfrak{X}_m = \frac{g}{q} X,$$

$$(4) \quad Z_m = c \frac{q\lambda}{2} \frac{z_m}{x_{m-1}}, \quad \mathfrak{Z}_m = \frac{g}{q} Z_m,$$

worin im vorliegenden Falle  $q = 0,9 + 2,63 = 3,53$ . Eine Ausnahme macht Stab 1 des Untergurts, für welchen das Gleichgewicht des anliegenden Knotenpunkts 1 bei jeder Belastung verlangt

$$(5) \quad Z_1 = Z_2.$$

Wir erhalten für den Obergurt constant

$$X = -18,75 \cdot 3,53 \cdot 2,25 = -148,92 \text{ tn},$$

$$\mathfrak{X} = -18,75 \cdot 0,9 \cdot 2,25 = -37,97 \text{ „},$$

und für den Untergurt mit  $z_m = \lambda$

$$Z_1 = Z_2 = 130,63 \quad Z_3 = 140,14 \quad Z_4 = 144,55 \quad Z_5 = 147,48 \text{ tn},$$

$$\mathfrak{Z}_1 = \mathfrak{Z}_2 = 33,31 \quad \mathfrak{Z}_3 = 35,73 \quad \mathfrak{Z}_4 = 36,85 \quad \mathfrak{Z}_5 = 37,60 \text{ „}.$$

Die Beanspruchungen der Füllungsglieder durch das Eigengewicht allein sind nach § 31, 16)

$$(6) \quad \mathfrak{D}_m = \left( n + 1 - 2m - m \frac{n-m}{\varepsilon} \right) \frac{d_m}{h_{m-1}} \frac{g\lambda}{2},$$

$$(7) \quad \mathfrak{B}_m = m \left( 2 + \frac{n-m}{\nu} \right) \frac{g^1}{2} - \left( n - \frac{g_z - g_x}{g} \right) \frac{g^1}{2},$$

während nach § 32, 7) die Grenzbeanspruchungen der Diagonalen

$$(8) \quad \begin{cases} D_m = \mathfrak{D}_m + \frac{(\varepsilon - m)(n - m)^2}{(n - 1)\varepsilon - n + m} \frac{\varepsilon - 1}{\varepsilon} \frac{d_m}{h_{m-1}} \frac{p^1}{2}, \\ D_m = \mathfrak{D}_m - \frac{(\varepsilon - m + n)(m - 1)^2}{(n - 1)\varepsilon - n + m} \frac{d_m}{h_{m-1}} \frac{p^1}{2}, \end{cases}$$

und nach § 32, 9) die Grenzbeanspruchungen der Verticalen

$$(9) \quad \begin{cases} V_m = \mathfrak{B}_m - \frac{(\nu - m)(n - m - 1)^2}{(n - 1)\nu + m} \frac{p^1}{2}, \\ V_m = \mathfrak{B}_m + \frac{(\nu - m + n)m^2}{(n - 1)\nu + m} \frac{\nu + 1}{\nu} \frac{p^1}{2} \end{cases}$$

Eine Ausnahme bildet die mittlere Verticale, für welche das Gleichgewicht des Knotenpunkts 5 im Obergurt bei jeder Belastung verlangt

$$(10) \quad V_5 + 0,3 \cdot 4,5 + \frac{0,19}{4,50} 2 X_5 = 0.$$

Nach vorstehenden Gleichungen erhalten wir in Tonnen die Eigengewichtsbeanspruchungen der Diagonalen und Verticalen:

$$\mathfrak{D}_2 = 2,025 \left( 7 - \frac{2 \cdot 8}{2,52} \right) \frac{5,13}{2,46} = 2,75$$

$$\mathfrak{D}_3 = 2,025 \left( 5 - \frac{3 \cdot 7}{4,67} \right) \frac{6,07}{4,08} = 1,52$$

$$\mathfrak{D}_4 = 2,025 \left( 3 - \frac{4 \cdot 6}{9,29} \right) \frac{6,87}{5,19} = 1,12$$

$$\mathfrak{D}_5 = 2,025 \left( 1 - \frac{5 \cdot 5}{32,11} \right) \frac{7,85}{5,82} = 0,57,$$

$$\mathfrak{B}_1 = 2,025 \cdot 1 \left( 2 + \frac{9}{1} \right) - 19,575 = 2,70$$

$$\mathfrak{B}_2 = 2,025 \cdot 2 \left( 2 + \frac{8}{2,52} \right) - 19,575 = 1,38$$

$$\mathfrak{B}_3 = 2,025 \cdot 3 \left( 2 + \frac{7}{4,67} \right) - 19,575 = 1,68$$

$$\mathfrak{B}_4 = 2,025 \cdot 4 \left( 2 + \frac{6}{9,29} \right) - 19,575 = 1,86$$

$$\mathfrak{B}_5 = 37,97 \frac{19}{225} - 1,35 = 1,86;$$

die Grenzbeanspruchungen der Diagonalen:

$$D_2 = 2,75 + 5,917 \frac{0,52 \cdot 64 \cdot 1,52 \cdot 5,13}{14,68 \cdot 2,52 \cdot 2,46} = 19,62$$

$$D_3 = 1,52 + 5,917 \frac{1,67 \cdot 4,9 \cdot 3,67 \cdot 6,07}{35,03 \cdot 4,67 \cdot 4,08} = 17,68$$

$$D_4 = 1,12 + 5,917 \frac{5,29 \cdot 3,6 \cdot 8,29 \cdot 6,87}{77,61 \cdot 9,29 \cdot 5,19} = 18,12$$

$$D_5 = 0,57 + 5,917 \frac{27,11 \cdot 2,5 \cdot 31,11 \cdot 7,35}{284,0 \cdot 32,11 \cdot 5,82} = 17,85,$$

$$D_2 = 2,75 - 5,917 \frac{10,52 \cdot 1 \cdot 5,18}{14,68 \cdot 2,46} = - 6,09$$

$$D_3 = 1,52 - 5,917 \frac{11,67 \cdot 4 \cdot 6,07}{35,03 \cdot 4,08} = - 10,21$$

$$D_4 = 1,12 - 5,917 \frac{15,29 \cdot 9 \cdot 6,87}{77,61 \cdot 5,19} = - 12,77$$

$$D_5 = 0,57 - 5,917 \frac{37,11 \cdot 16 \cdot 7,35}{284,0 \cdot 5,82} = - 15,05,$$

und die Grenzbeanspruchungen der Verticalen:

$$V_1 = 2,70 - 5,917 \frac{0 \cdot 64}{10} = 2,70$$

$$V_2 = 1,38 - 5,917 \frac{0,52 \cdot 4,9}{24,68} = - 4,73$$

$$V_3 = 1,68 - 5,917 \frac{1,67 \cdot 3,6}{45,03} = - 6,22$$

$$V_4 = 1,86 - 5,917 \frac{5,29 \cdot 2,5}{87,61} = - 7,07$$

$$V_5 = 3,86 = 1,86,$$

$$V_1 = 2,70 - 5,917 \frac{10 \cdot 1 \cdot 2}{10 \cdot 1} = 14,53$$

$$V_2 = 1,38 - 5,917 \frac{10,52 \cdot 4 \cdot 3,52}{24,68 \cdot 2,52} = 15,47$$

$$V_3 = 1,68 - 5,917 \frac{11,67 \cdot 9 \cdot 5,67}{45,03 \cdot 4,67} = 18,44$$

$$V_4 = 1,86 - 5,917 \frac{15,29 \cdot 16 \cdot 10,29}{87,61 \cdot 9,29} = 20,16$$

$$V_5 = 148,92 \frac{19}{225} - 1,35 = 10,78.$$

Die Stützenreactionen sind wie in Beispiel 41 bestimmt.

Für einen parabolischen Segmentträger wären nach §§ 41, 42 die Eigengewichtsbeanspruchungen der Diagonalen gleich Null, diejenigen der Verticalen  $1g_s = 2,7$  tn, beide Grenzbeanspruchungen einer bestimmten Diagonale numerisch gleich und die Grenzbeanspruchungen des Untergurts für alle Stäbe gleich gross gewesen. — Wie in Beispiel 35 hätten wir auch hier je eine der beiden Grenzbean-



spruchungen der Füllungsglieder aus den dortigen Gleichungen 8) 9) berechnen können. Ueber Anwendung von Gegendiagonalen im vorliegenden Falle siehe Beispiel 73.

**Beispiel 63. Paulischer Segmentträger einfachen Systems. Berechnung für bewegte Radlastzüge.**

Die Träger des vorigen Beispiels sollen nun einer eingleisigen Eisenbahnbrücke angehören und für Züge von Locomotiven der Radanordnung Fig. 18 berechnet werden. Die Stäbe sind symmetrisch zur Trägermitte und die X-Gurtung auf der ersten Trägerhälfte oben anzunehmen (Fig. 213).

**Formberechnung.** Wird für die ungünstigste Belastung durch Zug I (Fig. 23 u. 24) von 0 bis  $n$ , Rad  $O$  bei Verticale  $m$ ,

$$(1) \quad R_m = m(n-m) \frac{gl^2}{2n} + (n-m) \sum_0^m Pa + m \sum_m^n P(l-a)$$

gesetzt, so hat man nach § 47a mit  $n = 2\sigma$  und

$$(2) \quad c = \frac{\lambda}{h} R_\sigma, \quad \alpha = \frac{c}{R_m}$$

zur Berechnung der Verticalenlängen wie im vorigen Beispiele

$$(3) \quad h_m = \frac{-h_{m-1} + \sqrt{\alpha^2 (\lambda^2 + h_{m-1}^2) - \lambda^2}}{\alpha^2 - 1}.$$

Die Summenwerthe in 1) können aus der Tabelle in Beispiel 6 entnommen oder wie in Beispiel 42 berechnet werden. Man erhält dann für die erste Richtung des Zuges I

$$\begin{aligned} R_1 &= 1 \cdot 9 \cdot 91,125 + 9 \cdot 54,2 + 1 \cdot 1961 = 3304 \\ R_2 &= 2 \cdot 8 \cdot 91,125 + 8 \cdot 144 + 2 \cdot 1586 = 5782 \\ R_3 &= 3 \cdot 7 \cdot 91,125 + 7 \cdot 285 + 3 \cdot 1208 = 7533 \\ R_4 &= 4 \cdot 6 \cdot 91,125 + 6 \cdot 490 + 4 \cdot 884 = 8663 \\ R_5 &= 5 \cdot 5 \cdot 91,125 + 5 \cdot 714 + 5 \cdot 617 = 8933, \end{aligned}$$

und für die zweite Richtung des Zuges I

$$\begin{aligned} R_1 &= 1 \cdot 9 \cdot 91,125 + 9 \cdot 19,2 + 1 \cdot 2191 = 3184 \\ R_2 &= 2 \cdot 8 \cdot 91,125 + 8 \cdot 89,4 + 2 \cdot 1745 = 5663 \\ R_3 &= 3 \cdot 7 \cdot 91,125 + 7 \cdot 222 + 3 \cdot 1352 = 7524 \\ R_4 &= 4 \cdot 6 \cdot 91,125 + 6 \cdot 383 + 4 \cdot 1016 = 8549 \\ R_5 &= 5 \cdot 5 \cdot 91,125 + 5 \cdot 617 + 5 \cdot 714 = 8933, \end{aligned}$$

sodass wieder die Berücksichtigung der ersten Zugrichtung allein genügt hätte. Die Gleichungen 2) 3) ergeben nun

$$c = \frac{4,5}{6} 8933 = 6700,$$

$$\alpha_1 = \frac{6700}{3304} = 2,028$$

$$\alpha_2 = \frac{6700}{5782} = 1,159$$

$$\alpha_3 = \frac{6700}{7533} = 0,889$$

$$\alpha_4 = \frac{6700}{8663} = 0,773$$

$$\alpha_5 = \frac{6700}{8933} = 0,750,$$

$$h_1 = \frac{-0 + \sqrt{2,028^2 (4,5^2 + 0) - 4,5^2}}{2,028^2 - 1} = 2,551 \text{ m}$$

$$h_2 = \frac{-2,551 + \sqrt{1,159^2 (4,5^2 + 2,551^2) - 4,5^2}}{1,159^2 - 1} = 4,109 \text{ „}$$

$$h_3 = \frac{-4,109 + \sqrt{0,889^2 (4,5^2 + 4,109^2) - 4,5^2}}{0,889^2 - 1} = 5,211 \text{ „}$$

$$h_4 = \frac{-5,211 + \sqrt{0,773^2 (4,5^2 + 5,211^2) - 4,5^2}}{0,773^2 - 1} = 5,887 \text{ „}$$

$$h_5 = \frac{-5,887 + \sqrt{0,750^2 (4,5^2 + 5,887^2) - 4,5^2}}{0,750^2 - 1} = 6,002 \text{ „.}$$

Mit diesen  $\alpha$ ,  $h$  unter Berücksichtigung von § 47, 7) folgen weiter

für	$m = 1$	2	3	4	5:
$x_m = \alpha h_m$	5,173	4,762	4,633	4,551	4,501 m
$d_m = \sqrt{\lambda^2 + h_{m-1}^2}$	4,5	5,173	6,094	6,885	7,410 m
$\varepsilon = \nu = \frac{h_m}{h_m - h_{m-1}}$	1	2,64	4,73	8,71	52,19.

Die ermittelte Trägerhöhe von 6,002 m kommt der gewünschten von 6 m so nahe, dass man den Träger damit ausführen oder 6 m ohne Aenderung der Rechnung annehmen kann. Andernfalls würde nach Ermittlung der  $h_m$  und von  $x_\sigma = x_5$  die Berechnung der  $\alpha$ ,  $h_m$  zufolge § 47, 8) mit

$$c = \frac{x_\sigma}{h} R_\sigma = \frac{4,501}{6} 8933 = 6701$$

nochmals zu beginnen und alles Weitere ganz wie vorstehend durchzuführen sein.

**Beanspruchungen.** Für die Grenzbeanspruchungen der Gurtungsstäbe hat man nach § 47, 5) 7) und § 31, 16)

$$(4) \quad X = -\frac{c}{l}, \quad \mathfrak{X}_m = -m(n-m)\alpha \frac{g^1}{2},$$

$$(5) \quad Z_m = \frac{c}{l} \frac{z_m}{x_{m-1}}, \quad \mathfrak{Z}_m = -\frac{z_m}{x_{m-1}} \mathfrak{X}_{m-1}.$$

Die constante obere Grenzbeanspruchung des Obergurts ist also

$$X = -\frac{6700}{45} = -148,89 \text{ tn},$$

während die Eigengewichtsbeanspruchungen oder unteren Grenzbeanspruchungen desselben in Tonnen:

$$\mathfrak{X}_1 = -1 \cdot 9 \cdot 2,028 \cdot 2,025 = -36,96$$

$$\mathfrak{X}_2 = -2 \cdot 8 \cdot 1,159 \cdot 2,025 = -37,55$$

$$\mathfrak{X}_3 = -3 \cdot 7 \cdot 0,889 \cdot 2,025 = -37,80$$

$$\mathfrak{X}_4 = -4 \cdot 6 \cdot 0,773 \cdot 2,025 = -37,57$$

$$\mathfrak{X}_5 = -5 \cdot 5 \cdot 0,750 \cdot 2,025 = -37,97,$$

und beide Grenzbeanspruchungen des Untergurts mit  $z_m = l$

$$Z_1 = Z_2 = \frac{670}{5,173} = 129,52 \quad \mathfrak{Z}_1 = \mathfrak{Z}_2 = \frac{4,5}{5,173} 36,96 = 32,15$$

$$Z_3 = \frac{670}{4,762} = 140,70 \quad \mathfrak{Z}_3 = \frac{4,5}{4,762} 37,55 = 35,44$$

$$Z_4 = \frac{670}{4,633} = 144,61 \quad \mathfrak{Z}_4 = \frac{4,5}{4,633} 37,80 = 36,71$$

$$Z_5 = \frac{670}{4,551} = 147,22 \quad \mathfrak{Z}_5 = \frac{4,5}{4,551} 37,57 = 37,15.$$

Für die Beanspruchungen der Füllungsglieder durch Eigengewicht allein bleiben die Gleichungen 6) 7) des vorigen Beispiels gültig, welche bei gleichem Vorgehen wie dort die folgenden Werthe in Tonnen liefern:

$$\mathfrak{D}_2 = 3,86 \quad \mathfrak{D}_3 = 1,68 \quad \mathfrak{D}_4 = 0,65 \quad \mathfrak{D}_5 = 1,33$$

$$\mathfrak{B}_1 = 2,70 \quad \mathfrak{B}_2 = 0,80 \quad \mathfrak{B}_3 = 1,57 \quad \mathfrak{B}_4 = 2,21.$$

Zur Berechnung der mittleren Verticale ergibt die Bedingung „Summe aller Verticalkräfte gleich Null“ in Anwendung auf Knotenpunkt 5 des Obergurts für beliebige Belastung

$$(6) \quad V_5 + 0,3 \cdot 4,5 + \frac{0,115}{4,501} 2 X_5 = 0,$$

wonach die Eigengewichtsbeanspruchung  $\mathfrak{B}_5 = 0,59 \text{ tn}$ . Die Grenzbeanspruchungen der Füllungsglieder berechnet man nach § 33, 7) 8) 11) 12) wie folgt:

Zug II (Fig. 22) von Verticale  $m$  bis  $n$ , Vorderrad  $O$  bei  $m$ ,

$$(7) \quad D_m = \mathfrak{D}_m + \frac{d_m}{h_{m-1}} \frac{\varepsilon - m}{\varepsilon l} \sum_m^n P(l - a),$$

Zug II von  $O$  bis Verticale  $m - 1$ , Vorderrad  $O$  bei  $m - 1$ ,

$$(8) \quad D_m = \mathfrak{D}_m - \frac{d_m}{h_{m-1}} \frac{\varepsilon - m + n}{\varepsilon l} \sum_0^{m-1} Pa;$$

Zug II von Verticale  $m + 1$  bis  $n$ , Vorderrad  $O$  bei  $m + 1$ ,

$$(9) \quad V_m = \mathfrak{V}_m - \frac{v - m}{v l} \sum_{m+1}^n P(l - a),$$

Zug II von  $O$  bis Verticale  $m$ , Vorderrad  $O$  bei  $m$ ,

$$(10) \quad V_m = \mathfrak{V}_m + \frac{v - m + n}{v l} \sum_0^m Pa.$$

Diese Gleichungen liefern mit den aus der Tabelle des Beispiels 6 entnommenen, oder wie in Beispiel 42 berechneten Werthen der Summenausdrücke in Tonnen für die Diagonalen:

$$D_2 = 3,86 + \frac{5,17 \cdot 0,64 \cdot 1836}{2,55 \cdot 2,64 \cdot 45} = 23,91$$

$$D_3 = 1,68 + \frac{6,09 \cdot 1,73 \cdot 1442}{4,11 \cdot 4,73 \cdot 45} = 19,05$$

$$D_4 = 0,65 + \frac{6,88 \cdot 4,71 \cdot 1087}{5,21 \cdot 8,71 \cdot 45} = 17,90$$

$$D_5 = 1,33 + \frac{7,41 \cdot 47,19 \cdot 776}{5,89 \cdot 52,19 \cdot 45} = 20,95,$$

$$D_2 = 3,86 - \frac{5,17 \cdot 10,64 \cdot 60,4}{2,55 \cdot 2,64 \cdot 45} = - 7,11$$

$$D_3 = 1,68 - \frac{6,09 \cdot 11,73 \cdot 170}{4,11 \cdot 4,73 \cdot 45} = - 12,20$$

$$D_3 = 0,65 - \frac{6,88 \cdot 14,71 \cdot 316}{5,21 \cdot 8,71 \cdot 45} = - 15,01$$

$$D_5 = 1,33 - \frac{7,41 \cdot 57,19 \cdot 530}{5,89 \cdot 52,19 \cdot 45} = - 14,91,$$

und für die Verticalen:

$$V_1 = 2,70 - \frac{0 \cdot 1836}{1 \cdot 45} = 2,70$$

$$V_2 = 0,80 - \frac{0,64 \cdot 1442}{2,64 \cdot 45} = - 6,97$$

$$V_3 = 1,57 - \frac{1,73 \cdot 1087}{4,73 \cdot 45} = - 7,26$$

$$V_4 = 2,21 - \frac{4,71 \cdot 776}{8,71 \cdot 45} = -7,12$$

$$V_5 = \mathfrak{B}_5 = 2,36,$$

$$V_1 = 2,70 + \frac{10 \cdot 60,4}{1 \cdot 45} = 16,12$$

$$V_2 = 0,80 + \frac{10,64 \cdot 170}{2,64 \cdot 45} = 15,56$$

$$V_3 = 1,57 + \frac{11,73 \cdot 316}{4,73 \cdot 45} = 18,98$$

$$V_4 = 2,21 + \frac{14,71 \cdot 530}{8,71 \cdot 45} = 22,10$$

$$V_5 = 148,89 \frac{0,23}{4,5} - 1,35 = 6,26.$$

Ganz wie in Beispiel 36 wird der obere Grenzwert von  $V_1$  noch grösser als mit Zug II, wenn Zug I mit Rad O bei Verticale I steht, nämlich

$$V_1 = K_u = 2,70 + 6 + 2 \cdot 6 \frac{3,2}{4,5} + 4 \frac{2}{4,5} = 19,01 \text{ tn.}$$

Die Stützenreactionen sind wie in Beispiel 42 bestimmt. Ueber Anwendung von Gegendiagonalen im vorliegenden Falle siehe Beispiel 73.

**Beispiel 64. Paulischer Segmentträger einfachen Systems. Berechnung mit Lastäquivalenten.**

Die Träger des vorletzten Beispiels auf Grund gleichmässig vertheilter Lasten so zu berechnen, dass dieselben Grenzbeanspruchungen der Füllungsglieder und annähernd dieselben Grenzbeanspruchungen der Gurtungen wie mit den Radlastzügen des letzten Beispiels entstehen.

Nach A. 32 sind die oberen Grenzbeanspruchungen der Gurtungen mit demjenigen constanten  $p$  zu berechnen, welches für einen durch den angenommenen Zug I direct befahrenen vollwandigen Träger der Spannweite 45 m dem max  $M_x$  bei der Trägermitte entspricht. Die Tabelle in Beispiel 8 gibt hierfür  $p = 2,63 \text{ tn}$ , und da dieser Werth bereits im vorletzten Beispiele verwendet wurde (wobei sich die obere Gurtungsbeanspruchung des Polygonalgurts — 148,92 gegen — 148,89 im vorigen Beispiele ergab), so bleiben Form, Beanspruchungen durch Eigengewicht allein und Grenzwerte der Gurtungskräfte genau wie dort bestimmt. Nur die Grenzbeanspruchungen der Füllungsglieder sind abweichend zu berechnen.

Aufgabe 32 liefert die Grenzbeanspruchungen der Diagonalen, mit  $c = (m - 1)\lambda$ ,  $v = m\lambda$ ,

$$(1) \quad \begin{cases} D_m = \mathfrak{D}_m + \frac{\lambda}{2n} \frac{d_m}{h_{m-1}} \frac{\varepsilon - m}{\varepsilon} (n - m)^2 p_v, \\ D_m = \mathfrak{D}_m - \frac{\lambda}{2n} \frac{d_m}{h_{m-1}} \frac{\varepsilon - m + n}{\varepsilon} (m - 1)^2 p_c, \end{cases}$$

und diejenigen der Verticalen, mit  $c = m\lambda$ ,  $v = (m + 1)\lambda$ ,

$$(2) \quad \begin{cases} V_m = \mathfrak{B}_m - \frac{\lambda}{2n} \frac{v - m}{v} (n - m - 1)^2 p_v, \\ V_m = \mathfrak{B}_m + \frac{\lambda}{2n} \frac{v - m + n}{v} m^2 p_c, \end{cases}$$

unter  $p_v$ ,  $p_c$  diejenigen Lastäquivalente verstanden, welche bei einem durch den angenommenen Zug II direct befahrenen vollwandigen Träger der Spannweite 45 m dem pos max  $V_x$  bei  $x = v$  bzw. dem neg max  $V_x$  bei  $x = c$  entsprechen. Wir entnehmen dieselben aus der Tabelle des Beispiels 8 und erhalten damit in Tonnen für die Diagonalen:

$$D_2 = 2,75 + 0,225 \frac{5,13 \cdot 0,52}{2,46 \cdot 2,52} 64 \cdot 2,83 = 20,29$$

$$D_3 = 1,52 + 0,225 \frac{6,07 \cdot 1,67}{4,08 \cdot 4,67} 49 \cdot 2,90 = 18,53$$

$$D_4 = 1,12 + 0,225 \frac{6,87 \cdot 5,29}{5,19 \cdot 9,29} 36 \cdot 2,98 = 19,32$$

$$D_5 = 0,57 + 0,225 \frac{7,35 \cdot 27,11}{5,82 \cdot 32,11} 25 \cdot 3,06 = 18,92,$$

$$D_2 = 2,75 - 0,225 \frac{5,13 \cdot 10,52}{2,46 \cdot 2,52} 1 \cdot 5,94 = - 8,88$$

$$D_3 = 1,52 - 0,225 \frac{6,07 \cdot 11,67}{4,08 \cdot 4,67} 4 \cdot 4,21 = - 12,57$$

$$D_4 = 1,12 - 0,225 \frac{6,87 \cdot 15,29}{5,19 \cdot 9,29} 9 \cdot 3,46 = - 14,14$$

$$D_5 = 0,57 - 0,225 \frac{7,35 \cdot 37,11}{5,82 \cdot 32,11} 16 \cdot 3,27 = - 16,61,$$

und für die Verticalen:

$$V_1 = 2,70 - 0,225 \frac{0}{1} 64 \cdot 2,83 = 2,70$$

$$V_2 = 1,38 - 0,225 \frac{0,52}{2,52} 49 \cdot 2,90 = - 4,42$$

$$V_3 = 1,68 - 0,225 \frac{1,67}{4,67} 36 \cdot 2,98 = -6,95$$

$$V_4 = 1,86 - 0,225 \frac{5,29}{9,29} 25 \cdot 3,06 = -7,94,$$

$$V_1 = 2,70 + 0,225 \frac{10}{1} 1 \cdot 5,94 = 16,07$$

$$V_2 = 1,38 + 0,225 \frac{10,52}{2,52} 4 \cdot 4,21 = 17,20$$

$$V_3 = 1,68 + 0,225 \frac{11,67}{4,67} 9 \cdot 3,46 = 19,19$$

$$V_4 = 1,86 + 0,225 \frac{15,29}{9,29} 16 \cdot 3,27 = 21,23.$$

Die Grenzwerte von  $V_5$  bleiben wie in Beispiel 62 bestimmt.

Wie im vorigen Beispiele mit Zug I ein grösseres  $V_1$  als mit Zug II entstehen konnte, so gilt Analoges für die entsprechenden Lastäquivalente. Wir erhalten wie am Schlusse des Beispiels 61 den oberen Grenzwert von  $V_1$

$$V_1 = \mathfrak{B}_1 + p\lambda = 2,70 + 3,62 \cdot 4,5 = 18,99 \text{ tn.}$$

Die Stützenreactionen sind wie in Beispiel 43 bestimmt.

**Bemerkungen.** Vorstehende Zahlenwerthe müssen nach Aufgabe 32 (abgesehen von den durch Interpolationen der  $p$  und Vernachlässigung von Decimalen entstehenden kleinen Differenzen) genau mit denjenigen Werthen übereinstimmen, welche sich für die betrachtete Trägerform mit den Radlastzügen selbst ergeben. Von den Resultaten des vorigen Beispiels weichen sie deshalb ab, weil infolge der dem Zuge I nur näherungsweise entsprechenden Annahme eines constanten  $p$  für die Gurtungskräfte hier eine etwas andere Form wie dort erhalten wurde. Berechnet man für die eine oder andere dieser beiden Formen die Grenzbeanspruchungen der Füllungslieder mit Radlastzügen und mit Lastäquivalenten, so ergeben sich genau dieselben Grenzbeanspruchungen. Wenn irgendwo, so ist beim Paulischen Träger die Berechnung mit Lastäquivalenten berechtigt (wenigstens für die Formberechnung), weil man damit eine regelmässige Form als mit Radlastzügen erhält.

Ueber Anwendung von Gegendiagonalen im vorliegenden Falle siehe Beispiel 73.

**Beispiel 65. Paulischer Linsenträger einfachen Systems. Berechnung für gleichmässig vertheilte bewegte Last.**

Es sollen Träger einfachen Systems mit Verticalen, zu einer Horizontalen symmetrischen Gurtungen und constanter Maximalbean-

spruchung des Obergurts unter folgenden Voraussetzungen berechnet werden: Spannweite  $l = 45$  m, grösste Trägerhöhe  $h = 6$  m, Felderzahl  $n = 10$ , Eigengewicht per laufenden Meter Träger  $g = 0,9$  tn, wovon  $0,6$  tn auf die Knotenpunkte des Untergurts, in welchen die Fahrbahnlast angreift, und  $0,3$  tn auf diejenigen des Obergurts kommen. Die bewegte Last ist zu  $p = 2,63$  tn per laufenden Meter der ergriffenen Strecke anzurechnen.

**Formberechnung.** Denkt man sich zunächst alle Diagonalen von der in Fig. 114 angedeuteten Stellung, so hat man mit den in Beispiel 62 ausgedrückten und berechneten  $c$ ,  $\alpha$  zur Ermittlung der Verticalenlängen nach § 46, 12) die Gleichung

$$(1) \quad h_m = \frac{-h_{m-1} + 2\sqrt{\alpha^2(4\lambda^2 + h_{m-1}^2)} - \lambda^2}{4\alpha^2 - 1}.$$

Wir erhalten daraus

$$h_1 = \frac{-0 + 2\sqrt{2,083^2(81 + 0)} - 20,25}{4 \cdot 2,083^2 - 1} = 2,225 \text{ m (2,161)}$$

$$h_2 = \frac{-2,225 + 2\sqrt{1,172^2(81 + 2,225^2)} - 20,25}{4 \cdot 1,172^2 - 1} = 3,907 \text{ „ (3,841)}$$

$$h_3 = \frac{-3,907 + 2\sqrt{0,893^2(81 + 3,907^2)} - 20,25}{4 \cdot 0,893^2 - 1} = 5,082 \text{ „ (5,041)}$$

$$h_4 = \frac{-5,082 + 2\sqrt{0,781^2(81 + 5,082^2)} - 20,25}{4 \cdot 0,781^2 - 1} = 5,779 \text{ „ (5,762)}$$

$$h_5 = \frac{-5,779 + 2\sqrt{0,750^2(81 + 5,779^2)} - 20,25}{4 \cdot 0,750^2 - 1} = 6,002 \text{ „ (6,002)}$$

$$h_6 = \frac{-6,002 + 2\sqrt{0,781^2(81 + 6,002^2)} - 20,25}{4 \cdot 0,781^2 - 1} = 5,764 \text{ „ (5,762)}$$

$$h_7 = \frac{-5,764 + 2\sqrt{0,893^2(81 + 5,764^2)} - 20,25}{4 \cdot 0,893^2 - 1} = 5,072 \text{ „ (5,041)}$$

$$h_8 = \frac{-5,072 + 2\sqrt{1,172^2(81 + 5,072^2)} - 20,25}{4 \cdot 1,172^2 - 1} = 3,874 \text{ „ (3,841)}$$

$$h_9 = \frac{-3,874 + 2\sqrt{2,083^2(81 + 3,874^2)} - 20,25}{4 \cdot 2,083^2 - 1} = 2,137 \text{ „ (2,161)}.$$

In Klammern haben wir diejenigen Verticalenlängen beigesetzt, welche einem Parabelträger der Höhe  $6,002$  m entsprechen würden. Die Annäherung der beiden Linsenträger ist grösser als die der entsprechenden Segmentträger (Beispiel 62).

Sowohl die erste als die zweite Hälfte des erhaltenen, zur Trägermitte unsymmetrischen Trägers können zur Herstellung eines sym-



metrischen Trägers verwendet werden. Beide so entstehenden Träger erhalten dieselben Grenzbeanspruchungen des Obergurts, während die Eigengewichtsbeanspruchungen und grössten Grenzbeanspruchungen der Diagonalen für Fig. 115 Zug, für Fig. 116 Druck bedeuten. Wir wählen das System Fig. 115 und erhalten mit den berechneten  $\alpha$ ,  $h$  unter Berücksichtigung von 46, 11) und § 16, 1) 17) 18)

für	$m =$	1	2	3	4	5:
	$x_m = z_m = \alpha h_m =$	4,634	4,579	4,538	4,513	4,501 m
	$d_m = \sqrt{\lambda^2 + \left(\frac{h_m + h_{m-1}}{2}\right)^2} =$	4,634	5,445	6,360	7,054	7,413 m
	$\varepsilon = \frac{h_m}{h_m - h_{m-1}} =$	1	2,32	4,33	8,29	26,91
	$\nu = \frac{2h_m}{h_{m+1} - h_{m-1}} =$	1,14	2,74	5,43	12,56	$\infty$ .

Wäre von vorn herein beabsichtigt gewesen, einen symmetrischen Träger des Systems Fig. 115 anzuwenden, so hätte natürlich die obige Berechnung der  $h$  auf der zweiten Trägerhälfte unterbleiben können.

Die ermittelte Trägerhöhe von 6,002 m stimmt genügend mit der gewünschten von 6 m überein, um den Träger danach ausführen oder 6 m ohne Aenderung der Rechnung wählen zu können. Andernfalls wäre nach Ermittlung der  $h$  und von  $x_\sigma = x_5$  die Berechnung zufolge § 46) 13) mit

$$c = \frac{n^2}{4h} x_\sigma = \frac{100}{4 \cdot 6} 4,501 = 18,754$$

anstatt 18,75 nochmals zu beginnen und ganz wie oben durchzuführen gewesen.

**Beanspruchungen.** Für die Grenzwerte der Gurtungskräfte gelten die Gleichungen B. 62, 3) 4). Eine Ausnahme macht die Beanspruchung des Stabes 1 im Untergurt, für welche die Bedingung „Summe aller Horizontalkräfte gleich Null“ in Anwendung auf Knotenpunkt 0 für beliebige Belastung liefert

$$(2) \quad Z_1 = -X_1.$$

Wir erhalten aus diesen Gleichungen die Grenzbeanspruchungen des Obergurts wie beim Segmentträger des Beispiels 62

$$X = -148,92, \quad \mathfrak{X} = -37,97 \text{ tn},$$

und diejenigen des Untergurts:

$$\begin{array}{ll}
 Z_1 = 148,92 \text{ tn} & \mathfrak{Z}_1 = 37,97 \text{ tn} \\
 Z_2 = 147,15 \text{ „} & \mathfrak{Z}_2 = 37,52 \text{ „} \\
 Z_3 = 147,60 \text{ „} & \mathfrak{Z}_3 = 37,64 \text{ „} \\
 Z_4 = 148,03 \text{ „} & \mathfrak{Z}_4 = 37,75 \text{ „} \\
 Z_5 = 148,47 \text{ „} & \mathfrak{Z}_5 = 37,86 \text{ „}
 \end{array}$$

Wenn also auch theoretisch die Grenzbeanspruchungen des Untergurts nicht constant sind, so kommen sie doch den constanten Grenzbeanspruchungen des Obergurts so nahe, dass man auch dem Untergurte constanten Querschnitt geben kann.

Die Eigengewichtsbeanspruchungen und Grenzbeanspruchungen der Füllungsglieder sind durch die Gleichungen B. 62, 6)–9) bestimmt. Nur für die mittlere Verticale ergibt abweichend davon die Bedingung „Summe aller Verticalkräfte gleich Null“ in Anwendung auf Knotenpunkt 5 des Obergurts bei jeder Belastung

$$(3) \quad V_5 + 0,3 \cdot 4,5 + \frac{0,22}{4,50} X_5 = 0.$$

Wir erhalten danach bei gleichem Vorgehen wie in Beispiel 62 in Tonnen die Beanspruchungen durch Eigengewicht allein:

$$\begin{array}{lllll}
 \mathfrak{D}_2 = 0,51 & \mathfrak{D}_3 = 0,49 & \mathfrak{D}_4 = 0,30 & \mathfrak{D}_5 = 0,09 \\
 \mathfrak{B}_1 = 0,46 & \mathfrak{B}_2 = 0,35 & \mathfrak{B}_3 = 0,41 & \mathfrak{B}_4 = 0,48 & \mathfrak{B}_5 = 0,51,
 \end{array}$$

die Grenzbeanspruchungen der Diagonalen:

$$\begin{aligned}
 D_2 &= 0,51 + 5,917 \frac{0,32 \cdot 64 \cdot 1,32 \cdot 5,44}{12,38 \cdot 2,32 \cdot 2,22} = 13,63 \\
 D_3 &= 0,49 + 5,917 \frac{1,33 \cdot 49 \cdot 3,33 \cdot 6,36}{31,97 \cdot 4,33 \cdot 3,91} = 15,58 \\
 D_4 &= 0,30 + 5,917 \frac{4,29 \cdot 36 \cdot 7,29 \cdot 7,05}{68,61 \cdot 8,29 \cdot 5,08} = 16,55 \\
 D_5 &= 0,09 + 5,917 \frac{21,91 \cdot 25 \cdot 25,97 \cdot 7,41}{237,2 \cdot 26,91 \cdot 5,78} = 16,97, \\
 D_2 &= 0,51 - 5,917 \frac{10,32 \cdot 1 \cdot 5,44}{12,88 \cdot 2,22} = - 11,11 \\
 D_3 &= 0,49 - 5,917 \frac{11,33 \cdot 4 \cdot 6,36}{31,97 \cdot 3,91} = - 13,15 \\
 D_4 &= 0,30 - 5,917 \frac{14,29 \cdot 9 \cdot 7,05}{68,61 \cdot 5,08} = - 15,09 \\
 D_5 &= 0,09 - 5,917 \frac{31,91 \cdot 16 \cdot 7,41}{237,2 \cdot 5,78} = - 16,25,
 \end{aligned}$$

und die Grenzbeanspruchungen der Verticalen:

$$\begin{aligned}
 V_1 &= 0,46 - 5,917 \frac{0,14 \cdot 64}{11,26} = - 4,25 \\
 V_2 &= 0,35 - 5,917 \frac{0,74 \cdot 49}{26,66} = - 7,70 \\
 V_3 &= 0,41 - 5,917 \frac{2,43 \cdot 36}{51,87} = - 9,48 \\
 V_4 &= 0,48 - 5,917 \frac{8,56 \cdot 25}{117,0} = - 10,34 \\
 V_5 &= \mathfrak{B}_5 = 0,51, \\
 V_1 &= 0,46 + 5,917 \frac{10,14 \cdot 1 \cdot 2,14}{11,26 \cdot 1,14} = 10,46 \\
 V_2 &= 0,35 + 5,917 \frac{10,74 \cdot 4 \cdot 3,74}{26,66 \cdot 2,74} = 13,27 \\
 V_3 &= 0,41 + 5,917 \frac{12,43 \cdot 9 \cdot 6,43}{51,87 \cdot 5,43} = 15,52 \\
 V_4 &= 9,48 + 5,917 \frac{18,56 \cdot 16 \cdot 13,56}{117,0 \cdot 12,56} = 16,69 \\
 V_5 &= 148,92 \frac{11}{225} - 1,35 = 5,93.
 \end{aligned}$$

Die Stützenreactionen sind wie in Beispiel 41 bestimmt.

Für einen parabolischen Linsenträger wären nach §§ 41, 42 die Eigengewichtsbeanspruchungen der Diagonalen gleich Null, diejenigen der Verticalen  $\frac{g_z - g_x}{2} \lambda = 0,675$  und beide Grenzbeanspruchungen einer bestimmten Diagonale sowie entsprechende Grenzbeanspruchungen der zwei Gurtungsstäbe eines Feldes numerisch gleich gewesen. — Wie in Beispiel 35 hätten wir auch hier je eine der beiden Grenzbeanspruchungen der Füllungsglieder aus den dortigen Gleichungen 8) 9) berechnen können.

Ueber Anwendung von Gegendiagonalen im vorliegenden Falle siehe Beispiel 74.

**Beispiel 66. Paulischer Linsenträger einfachen Systems. Berechnung für bewegte Radlastzüge.**

Die Träger des vorigen Beispiels sollen einer eingeleisigen Eisenbahnbrücke angehören und für Züge von Locomotiven der Radanordnung Fig. 18 berechnet werden. Die Stäbe sind symmetrisch zur Trägermitte und die X-Gurtung auf der ersten Trägerhälfte oben anzunehmen (Fig. 117).

**Formberechnung.** Mit den wie in Beispiel 63 ausgedrückten und

berechneten  $R$ ,  $c$ ,  $\alpha$  hat man zur Berechnung der Verticalenlängen wie im vorigen Beispiele

$$(1) \quad h_m = \frac{-h_{m-1} + 2\sqrt{\alpha^2(4\lambda^2 + h_{m-1}^2) - \lambda^2}}{4\alpha^2 - 1},$$

woraus in Metern folgen:

$$h_1 = \frac{-0 + 2\sqrt{2,028^2(81 + 0) - 20,25}}{4 \cdot 2,028^2 - 1} = 2,290$$

$$h_2 = \frac{-2,290 + 2\sqrt{1,159^2(81 + 2,290^2) - 20,25}}{4 \cdot 1,159^2 - 1} = 3,948$$

$$h_3 = \frac{-3,948 + 2\sqrt{0,889^2(81 + 3,948^2) - 20,25}}{4 \cdot 0,889^2 - 1} = 5,103$$

$$h_4 = \frac{-5,103 + 2\sqrt{0,773^2(81 + 5,103^2) - 20,25}}{4 \cdot 0,773^2 - 1} = 5,841$$

$$h_5 = \frac{-5,841 + 2\sqrt{0,750^2(81 + 5,841^2) - 20,25}}{4 \cdot 0,750^2 - 1} = 6,001.$$

Weiter erhalten wir unter Berücksichtigung von § 47, 7) und § 16, 1) 17) 18)

für	$m =$	1	2	3	4	5:
	$x_m = z_m = \alpha h_m$	4,644	4,576	4,537	4,515	4,501 m
	$d_m = \sqrt{\lambda^2 + \left(\frac{h_m + h_{m-1}}{2}\right)^2}$	4,644	5,475	6,382	7,085	7,437 m
	$\varepsilon = \frac{h_m}{h_m - h_{m-1}}$	1	2,38	4,42	7,92	37,51
	$\nu = \frac{2h_m}{h_{m+1} - h_{m-1}}$	1,16	2,81	5,39	13,01	$\infty$ .

Die ermittelte Trägerhöhe von 6,001 m kommt der gewünschten von 6 m so nahe, dass man den Träger damit ausführen oder 6 m ohne Aenderung der Rechnung annehmen kann. Andernfalls wäre nach Ermittlung der  $h_m$  und von  $x_\sigma = x_5$  die Berechnung der  $\alpha$ ,  $h_m$  zufolge § 47, 8) mit

$$c = \frac{x_\sigma}{h} R_\sigma = \frac{4,501}{6} 8933 = 6701$$

nochmals zu beginnen und alles Weitere wie vorstehend durchzuführen gewesen.

**Beanspruchungen.** Die Grenzwerthe der Gurtungskräfte sind durch die Gleichungen B. 63, 4) 5) bestimmt. Eine Ausnahme macht die Beanspruchung des Stabes 1 im Untergürt, für welchen wie im

vorigen Beispiele bei jeder Belastung  $Z_1 = -X_1$  ist. Wir erhalten danach die constante obere Grenzbeanspruchung und die Eigengewichtsbeanspruchungen oder unteren Grenzbeanspruchungen des Obergurts wie beim Segmentträger des Beispiels 63 in Tonnen:

$$\begin{aligned} X &= -148,89 \\ \mathfrak{X}_1 &= -36,96 & \mathfrak{X}_2 &= -37,55 & \mathfrak{X}_3 &= -37,80 \\ \mathfrak{X}_4 &= -37,57 & \mathfrak{X}_5 &= -37,97, \end{aligned}$$

während die Grenzbeanspruchungen des Untergurts folgen:

$$\begin{aligned} Z_1 &= 148,89 & \mathfrak{Z}_1 &= 36,96 \\ Z_2 &= 146,66 & \mathfrak{Z}_2 &= 36,41 \\ Z_3 &= 147,55 & \mathfrak{Z}_3 &= 37,21 \\ Z_4 &= 148,14 & \mathfrak{Z}_4 &= 37,61 \\ Z_5 &= 148,44 & \mathfrak{Z}_5 &= 37,46. \end{aligned}$$

Wie in Beispiel 65 können auch hier beide Gurtungen constante Querschnitte erhalten.

Für die Beanspruchungen der Füllungsglieder durch Eigengewicht allein bleiben die Gleichungen B. 62, 6) 7) gültig, welche bei gleichem Vorgehen wie dort nachstehende Werthe in Tonnen liefern:

$$\begin{aligned} \mathfrak{D}_2 &= 1,43 & \mathfrak{D}_3 &= 0,81 & \mathfrak{D}_4 &= -0,09 & \mathfrak{D}_5 &= 0,86 \\ \mathfrak{B}_1 &= 0,19 & \mathfrak{B}_2 &= 0,06 & \mathfrak{B}_3 &= 0,47 & \mathfrak{B}_4 &= 0,36 & \mathfrak{B}_5 &= 1,35. \end{aligned}$$

Nur die Beanspruchung der mittleren Verticalen ergibt sich aus der bei beliebiger Belastung gültigen Gleichung

$$(2) \quad V_5 + 0,3 \cdot 4,5 + \frac{0,160}{4,501} 2 X_5 = 0,$$

welche die Bedingung „Summe aller Verticalkräfte gleich Null“ für den mittleren Knotenpunkt des Obergurts ausdrückt. Die Grenzbeanspruchungen der Diagonalen ergeben sich aus B. 63, 7) 8) in Tonnen:

$$\begin{aligned} D_2 &= 1,43 + \frac{5,47 \cdot 0,38 \cdot 1836}{2,29 \cdot 2,38 \cdot 45} = 16,99 \\ D_3 &= 0,81 + \frac{6,38 \cdot 1,42 \cdot 1442}{3,95 \cdot 4,42 \cdot 45} = 17,44 \\ D_4 &= -0,09 + \frac{7,08 \cdot 3,92 \cdot 1087}{5,10 \cdot 7,92 \cdot 45} = 16,46 \\ D_5 &= 0,86 + \frac{7,44 \cdot 32,51 \cdot 776}{5,84 \cdot 37,51 \cdot 45} = 19,91, \end{aligned}$$

$$D_2 = 1,43 - \frac{5,47 \cdot 10,38 \cdot 60,4}{2,29 \cdot 2,38 \cdot 45} = -12,55$$

$$D_3 = 0,81 - \frac{6,38 \cdot 11,42 \cdot 170}{3,95 \cdot 4,42 \cdot 45} = -14,96$$

$$D_4 = -0,09 - \frac{7,08 \cdot 13,92 \cdot 316}{5,10 \cdot 7,92 \cdot 45} = -17,22$$

$$D_5 = 0,86 - \frac{7,44 \cdot 42,51 \cdot 530}{5,84 \cdot 37,51 \cdot 45} = -16,12,$$

und diejenigen der Verticalen nach B. 63, 9) 10):

$$V_1 = 0,19 - \frac{0,16 \cdot 1836}{1,16 \cdot 45} = -5,44$$

$$V_2 = 0,06 - \frac{0,81 \cdot 1442}{2,81 \cdot 45} = -9,18$$

$$V_3 = 0,47 - \frac{2,39 \cdot 1087}{5,39 \cdot 45} = -10,24$$

$$V_4 = 0,36 - \frac{9,01 \cdot 776}{13,01 \cdot 45} = -11,55$$

$$V_5 = \mathfrak{B}_5 = 1,35,$$

$$V_1 = 0,19 + \frac{10,16 \cdot 60,4}{1,16 \cdot 45} = 11,95$$

$$V_2 = 0,06 + \frac{10,81 \cdot 170}{2,81 \cdot 45} = 14,59$$

$$V_3 = 0,47 + \frac{12,39 \cdot 316}{5,39 \cdot 45} = 16,61$$

$$V_4 = 0,36 + \frac{19,01 \cdot 530}{13,01 \cdot 45} = 17,52$$

$$V_5 = \frac{0,32}{4,50} 148,89 - 1,35 = 9,24.$$

Die Stützenreactionen sind wie in Beispiel 42 bestimmt.

Für  $V_1$  ergibt Zug I bei der in Fig. 118 angedeuteten Stellung einen grössern positiven Maximalwerth als vorstehend mit Zug II erhalten wurde. Als Ausdruck desselben hat man nach § 33, 5) bei beliebigen (gewöhnlichen) Gurtungsformen und auf die Knotenpunkte der unten liegenden Z-Gurtung wirkender Fahrbahnlast

$$(3) \quad V_1 = \mathfrak{B}_1 + \left[ (n-1+\nu) \sum_0^1 Pa + (n\nu - \nu + 1) \sum_1^2 P(z-a) \right] \frac{1}{\nu l}$$

$$\text{mit } z = \frac{\nu + 1}{n\nu - \nu + 1} l,$$

wonach in unserm Falle mit  $z = 8,50$

$$V_1 = 0,46 + [10,16 (6 \cdot 4,5 + 6 \cdot 3,2 + 4 \cdot 2) + 11,44 \cdot 6 \cdot 2,70] \frac{1}{1,16 \cdot 46} = 14,56 \text{ tn.}$$

Ueber Anwendung von Gegendiagonalen im vorliegenden Falle siehe Beispiel 74.

**Beispiel 67. Paulischer Linsenträger einfachen Systems. Berechnung mit Lastäquivalenten.**

Die Träger des vorletzten Beispiels auf Grund gleichmässig vertheilter Lasten so zu berechnen, dass dieselben Grenzbeanspruchungen der Füllungsglieder und annähernd dieselben Grenzbeanspruchungen der Gurtungen wie mit den Radlastzügen des letzten Beispiels entstehen.

Das im ersten Absatze des Beispiels 64 Gesagte ist hier zu wiederholen. Demgemäss bleiben die Form, Grenzbeanspruchungen der Gurtungen und sämtliche Stabkräfte für Eigengewicht allein ganz wie in Beispiel 65 bestimmt. Für die Füllungsglieder hat man weiter die Gleichungen B. 64, 1) 2); sie liefern in Tonnen die Grenzbeanspruchungen der Diagonalen:

$$D_2 = 0,51 + 0,225 \frac{5,44 \cdot 0,32}{2,22 \cdot 2,32} 64 \cdot 2,83 = 14,28$$

$$D_3 = 0,49 + 0,225 \frac{6,36 \cdot 1,33}{3,91 \cdot 4,33} 49 \cdot 2,90 = 16,47$$

$$D_4 = 0,30 + 0,225 \frac{7,05 \cdot 4,29}{5,08 \cdot 8,29} 36 \cdot 2,98 = 17,64$$

$$D_5 = 0,48 + 0,225 \frac{7,41 \cdot 21,91}{5,78 \cdot 26,91} 25 \cdot 3,06 = 18,06,$$

$$D_2 = 0,51 - 0,225 \frac{5,44 \cdot 10,32}{2,22 \cdot 2,32} 1 \cdot 5,94 = - 14,06$$

$$D_3 = 0,49 - 0,225 \frac{6,36 \cdot 11,33}{3,91 \cdot 4,33} 4 \cdot 4,21 = - 12,32$$

$$D_4 = 0,30 - 0,225 \frac{7,05 \cdot 14,29}{5,08 \cdot 8,29} 9 \cdot 3,46 = - 16,46$$

$$D_5 = 0,48 - 0,225 \frac{7,41 \cdot 31,91}{5,78 \cdot 26,91} 16 \cdot 3,27 = - 17,81,$$

und diejenigen der Verticalen:

$$V_1 = 0,46 - 0,225 \frac{0,14}{1,14} 64 \cdot 2,83 = - 4,54$$

$$V_2 = 0,35 - 0,225 \frac{0,74}{2,74} 49 \cdot 2,90 = - 8,29$$

$$V_3 = 0,41 - 0,225 \frac{2,43}{5,43} 36 \cdot 2,98 = -10,39$$

$$V_4 = 0,48 - 0,225 \frac{8,56}{12,56} 25 \cdot 3,06 = -11,25,$$

$$V_1 = 0,46 + 0,225 \frac{10,14}{1,14} 1 \cdot 5,94 = 12,35$$

$$V_2 = 0,35 + 0,225 \frac{10,74}{2,74} 4 \cdot 4,21 = 15,20$$

$$V_3 = 0,41 + 0,225 \frac{12,43}{5,43} 9 \cdot 3,46 = 16,45$$

$$V_4 = 0,48 + 0,225 \frac{18,56}{12,56} 16 \cdot 3,27 = 17,87.$$

Für die Grenzbeanspruchungen von  $V_6$  gelten die in Beispiel 65 berechneten Werthe. Die Stützenreactionen sind wie in Beispiel 43 bestimmt.

Wie im vorigen Beispiele mit Zug I ein grösseres positives  $V_1$  als mit Zug II entstehen konnte, so gilt Analoges für die entsprechenden Lastäquivalente. Nach B. 66, 3) mit  $P = pda$  von  $a = 0$  bis  $a = s$  drückt sich der positive Maximalwerth von  $V_1$  bei beliebigen (gewöhnlichen) Gurtungsformen und auf die Knotenpunkte der untenliegenden Z-Gurtung wirkender Fahrbahnlast aus

$$V_1 = \mathfrak{B}_1 + \left[ n - 1 + \nu + (n\nu - \nu + 1) \left( \frac{s-l}{l} \right)^2 \right] \frac{p l}{2 n \nu} \text{ mit } s = \frac{\nu + 1}{n\nu - \nu + 1} l,$$

worin  $p$  den max  $M_x$  eines durch Zug I direct befahrenen vollwandigen Trägers der Spannweite  $s$  entspricht. Wir entnehmen aus der Tabelle in Beispiel 8 für  $l = s = 8,5$  m  $p = 3,76$  und erhalten damit

$$V_1 = 0,46 + \left( 10,14 + 11,26 \frac{4,05^2}{4,5^2} \right) \frac{3,76}{1,14} 0,225 = 14,76 \text{ tn.}$$

Abgesehen von diesem nur angenähert gültigen Werthe kann der vorletzte Absatz des Beispiels 64 hier Wort für Wort wiederholt werden. Ueber Anwendung von Gegendiagonalen im vorliegenden Falle siehe Beispiel 74.



#### IV. Abschnitt.

##### Einfluss der Gegendiagonalen.\*

**Beispiel 68. Einfaches System mit Gegendiagonalen bei beliebigen Gurtungsformen (Halbparabelträger). Berechnung für gleichmässig vertheilte bewegte Last.**

Für eine Brücke von  $l = 45$  m Spannweite sollen Halbparabelträger einfachen Systems des rechtwinkligen Dreiecks mit horizontalem Untergurte zur Verwendung kommen. Gewünschte Trägerhöhe in der Mitte  $h = 6$  m, an den Enden  $h_0 = 4$  m, Felderzahl  $n = 9$ . Eigengewicht per laufenden Meter Träger  $g = 0,9$  tn, Verkehrslast  $p = 2,63$  tn. Vom Eigengewichte kommen 0,6 tn auf die Knotenpunkte des Untergurts, in welchen die Fahrbahnlast angreift, und 0,3 tn auf diejenigen des Obergurts. Die Grenzwerte der Stabkräfte festzustellen, wenn sämtliche Diagonalen nur auf Zug widerstandsfähig sein sollen (Fig. 119).

Wir gehen nach der Anleitung am Schlusse des § 52 vor.

**Formberechnung.** Nach § 17, 31) hat man für den Pfeil des Parabelbogens, welchem der Obergurt einzuschreiben ist, bei ungeradem  $n$

$$(1) \quad f = \frac{n^2}{n^2 - 1} (h - h_0),$$

also in unserm Falle

$$f = \frac{81}{80} 2 = \frac{81}{40}.$$

Die Länge der Verticale  $m$  ist nach § 17, 28)

$$(2) \quad h_m = h_0 + m(n - m) \frac{4f}{n^2}.$$

Wir erhalten nun bei horizontaler Z-Gurtung mit Rücksicht auf § 16, 1) 14) 15)

---

\* Träger mit Gegendiagonalen sind ausserhalb dieses Abschnitts behandelt in den Beispielen 41—48 (einfache Parallelträger), 59—61 (Schwedlerträger), 80—83 (continuirliche Gelenkträger), 101—102 (continuirliche Bogenträger).

für	$m =$	0	1	2	3	4	5:
	$h_m =$	4	4,8	5,4	5,8	6	6 m
	$v = \varepsilon = \frac{h_m}{h_m - h_{m-1}} =$		6	9	14,5	30	$\infty$
	$d_m = \sqrt{\lambda^2 + h_{m-1}^2} =$		6,40	6,93	7,36	7,66	7,81 m
	$x_m = \sqrt{\lambda^2 + (h_m - h_{m-1})^2} =$		5,06	5,04	5,02	5,00	5 m.

Eigengewicht allein. Für die vom Eigengewichte allein herführenden Stabkräfte hat man nach § 31, 16) bei oben liegender X-Gurtung

$$(3) \quad \begin{cases} \mathfrak{X}_m = -m(n-m) \frac{x_m}{h_m} \frac{g\lambda}{2}, \\ \mathfrak{Z}_m = (m-1)(n-m+1) \frac{z_m}{h_{m-1}} \frac{g\lambda}{2}, \\ \mathfrak{D}_m = \left(n - 2m + 1 - m \frac{n-m}{\varepsilon}\right) \frac{d_m}{h_{m-1}} \frac{g\lambda}{2}, \\ \mathfrak{B}_m = -\left(n - 2m + \frac{g_x - g_s}{g} - m \frac{n-m}{v}\right) \frac{g\lambda}{2}, \end{cases}$$

also im vorliegenden Falle, mit  $n = 9$ ,  $\lambda = 5$ ,  $g = 0,9$ ,  $g_x = 0,3$ ,  $g_s = 0,6$ ,

$$\begin{aligned} \mathfrak{X}_m &= -2,25 m (9 - m) \frac{x_m}{h_m}, \\ \mathfrak{Z}_m &= 11,25 (m - 1) (10 - m) \frac{1}{h_{m-1}}, \\ \mathfrak{D}_m &= 2,25 \left(10 - 2m - m \frac{n-m}{\varepsilon}\right) \frac{d_m}{h_{m-1}}, \\ \mathfrak{B}_m &= 2,25 m \left(2 + \frac{g - m}{v}\right) - 19,5. \end{aligned}$$

Diese Gleichungen liefern nachstehende Werthe in Tonnen:

$\mathfrak{X}_1 = -18,98$	$\mathfrak{Z}_1 = 0$	$\mathfrak{D}_1 = 24,00$	$\mathfrak{B}_1 = -12,00$
$\mathfrak{X}_2 = -29,40$	$\mathfrak{Z}_2 = 18,75$	$\mathfrak{D}_2 = 14,44$	$\mathfrak{B}_2 = -7,00$
$\mathfrak{X}_3 = -35,05$	$\mathfrak{Z}_3 = 29,17$	$\mathfrak{D}_3 = 8,46$	$\mathfrak{B}_3 = -3,21$
$\mathfrak{X}_4 = -37,50$	$\mathfrak{Z}_4 = 34,91$	$\mathfrak{D}_4 = 3,96$	$\mathfrak{B}_4 = 0$
$\mathfrak{X}_5 = -37,50$	$\mathfrak{Z}_5 = 37,50$	$\mathfrak{D}_5 = 0$	$\mathfrak{B}_5 = 3,00.$

Die wirkliche Eigengewichtsbeanspruchung der Verticale 5 ist jedoch 0 wie für Verticale 4, während der berechnete Werth  $\mathfrak{B}_5 = 3$  tn gelten würde, wenn in den Feldern 5 und 6 die nach 0 hin ansteigenden

Diagonalen (X-Gurtung oben) wirksam wären. Für die Verticale 0 hat man nach A. 19, 5)

$$(4) \quad \mathfrak{B}_0 = \frac{g_s \lambda}{2} - \frac{g l}{2},$$

woraus  $\mathfrak{B}_0 = -18,75$  tn.

**Grenzwerte.** Die unteren Grenzwerte der Gurtungskräfte sind die soeben berechneten Beanspruchungen durch Eigengewicht allein. Für die oberen Grenzwerte gibt § 32, 6)

$$(5) \quad X_m = \frac{q}{g} \mathfrak{X}_m, \quad Z_m = \frac{q}{g} \mathfrak{Z}_m,$$

wonach wegen  $q : g = 3,53 : 0,9 = 3,922$  in Tonnen:

$$\begin{array}{ll} X_1 = -74,44 & Z_1 = 0 \\ X_2 = -115,31 & Z_2 = 73,54 \\ X_3 = -137,47 & Z_3 = 114,40 \\ X_4 = -147,08 & Z_4 = 136,92 \\ X_5 = -147,08 & Z_5 = 147,08. \end{array}$$

Wenn die Hauptdiagonalen allein vorhanden und widerstandsfähig wären, hätte man nach § 32, 7) deren Grenzbeanspruchungen

$$(6) \quad \begin{cases} D_m = \mathfrak{D}_m + \frac{(\varepsilon - m)(n - m)^2}{(n - 1)\varepsilon - n + m} \frac{\varepsilon - 1}{\varepsilon} \frac{d_m}{h_{m-1}} \frac{p \lambda}{2}, \\ D_m = \mathfrak{D}_m - \frac{(\varepsilon - m + n)(m - 1)^2}{(n - 1)\varepsilon - n + m} \frac{d_m}{h_{m-1}} \frac{p \lambda}{2}, \end{cases}$$

also nach Einsetzen der Zahlenwerthe in Tonnen:

$$\begin{aligned} D_1 &= 24,00 + \frac{5 \cdot 64 \cdot 5 \cdot 6,4}{40 \cdot 6 \cdot 4} \cdot 6,575 = 94,13 \\ D_2 &= 14,44 + \frac{7 \cdot 49 \cdot 8 \cdot 6,93}{65 \cdot 9 \cdot 4,8} \cdot 6,575 = 58,97 \\ D_3 &= 8,46 + \frac{11,5 \cdot 36 \cdot 13,5 \cdot 7,36}{110 \cdot 14,5 \cdot 5,4} \cdot 6,575 = 39,86 \\ D_4 &= 3,96 + \frac{26 \cdot 25 \cdot 29 \cdot 7,66}{235 \cdot 30 \cdot 5,8} \cdot 6,575 = 27,18 \\ D_5 &= 0 + \frac{\infty \cdot 16 \cdot \infty \cdot 7,81}{8 \cdot \infty \cdot \infty \cdot 6} \cdot 6,575 = 17,12, \end{aligned}$$

$$\begin{aligned} D_1 &= 24,00 - \frac{14 \cdot 0^2 \cdot 6,4}{40 \cdot 4} \cdot 6,575 = 24,00 \\ D_2 &= 14,44 - \frac{16 \cdot 1 \cdot 6,93}{65 \cdot 4,8} \cdot 6,575 = 12,41 \end{aligned}$$

$$D_3 = 8,46 - \frac{20,5 \cdot 4 \cdot 7,86}{110 \cdot 5,4} 6,575 = 1,58$$

$$D_4 = 3,96 - \frac{35 \cdot 9 \cdot 7,66}{235 \cdot 5,8} 6,575 = - 7,68$$

$$D_5 = 0 - \frac{\infty \cdot 16 \cdot 7,81}{8 \cdot \infty \cdot 6} 6,575 = - 17,12.$$

Hiernach sind in den drei mittleren Feldern Gegendiagonalen nöthig, die vorstehenden Grenzwerte  $D_1$  bis  $D_3$  bleiben gültig, für die oberen Grenzbeanspruchungen der Hauptdiagonalen und Gegendiagonalen in den Feldern 4 und 5 hat man

$$D_4 = 17,18, \quad D_4' = 7,68 \frac{7,81}{7,66} = 7,83,$$

$$D_5 = D_5' = 17,12 \text{ tn},$$

während die unteren Grenzbeanspruchungen beider Diagonalen daselbst Null sind.

Die negativen Grenzbeanspruchungen der Verticalen bei oben liegender X-Gurtung sind nach § 32, 9)

$$(7) \quad V_m = \mathfrak{B}_m - \frac{(v-m)(n-m-1)^2}{(n-1)v+m} \frac{p\lambda}{2},$$

welcher Ausdruck nach A. 19, 15) auch für  $V_0$  gilt. Wir erhalten in Tonnen:

$$V_0 = - 18,75 - 8 \cdot 6,575 = - 71,35$$

$$V_1 = - 12,00 - \frac{5 \cdot 49}{49} 6,575 = - 44,88$$

$$V_2 = - 7,00 - \frac{7 \cdot 36}{74} 6,575 = - 29,39$$

$$V_3 = - 3,21 - \frac{11,5 \cdot 25}{119} 6,575 = - 19,10$$

$$V_4 = 0 - \frac{26 \cdot 16}{244} 6,575 = - 11,21$$

$$V_5 = 3,00 - \frac{\infty \cdot 9}{8 \cdot \infty} 6,575 = - 4,40,$$

wonach vorstehende Werthe  $V_0$  bis  $V_4$  die wirklichen negativen Grenzbeanspruchungen der Verticalen sind. Für die positiven Grenzbeanspruchungen der Verticalen 0 bis 2 (ohne anschliessende Gegendiagonalen) hat man nach § 32, 9) und Aufgabe 19

$$(8) \quad V_m = \mathfrak{B}_m + \frac{(v-m+n)m^2}{(n-1)v+m} \frac{v+1}{v} \frac{p\lambda}{2},$$

und für die Verticalen 3 und 4 (mit anschliessenden Gegendiagonalen) nach § 53, 18) 4)

$$(9) \quad V_m = \mathfrak{B}_m + \left[ m(m+1)(\delta - \nu - 1)p + \frac{\nu - m}{4f} g n^2 h_0 \right] \frac{1}{2\nu(\delta - m - 1)},$$

worin  $\delta$  den Werth von  $\varepsilon$  für das Feld  $m + 1$  bedeutet. Diese Gleichungen liefern in Tonnen:

$$V_0 = \mathfrak{B}_0 = -18,75$$

$$V_1 = -12,00 + \frac{14 \cdot 1 \cdot 7}{49 \cdot 6} 6,575 = -9,81$$

$$V_2 = -7,00 + \frac{16 \cdot 4 \cdot 10}{74 \cdot 9} 6,575 = -0,68$$

$$V_3 = -3,21 + \left( 3 \cdot 4 \cdot 14,5 \cdot 2,63 + \frac{11,5 \cdot 40}{4 \cdot 81} 0,9 \cdot 81 \cdot 4 \right) \frac{5}{29 \cdot 26} = 2,57$$

$$V_4 = 0 + \left( 4 \cdot 5 \cdot \infty \cdot 2,63 + \frac{26 \cdot 40}{4 \cdot 81} 0,9 \cdot 81 \cdot 4 \right) \frac{5}{60 \cdot \infty} = 4,38.$$

Damit sind sämmtliche Grenzwerte der Stabkräfte bekannt. Dieselben wurden in Fig. 120 für eine Trägerhälfte bei ihren Stäben eingetragen. Die Grenzwerte der Stützenreactionen sind wie in Beispiel 41 bestimmt.

**Beispiel 69. Einfaches System mit Gegendiagonalen bei beliebigen Gurtungsformen (Halbparabelträger). Berechnung für bewegte Radlastzüge.**

Die Träger des vorigen Beispiels sollen einer eingelegigen Eisenbahnbrücke angehören und für bewegte Radlastzüge, zusammengesetzt aus Locomotiven der Radanordnung Fig. 18, berechnet werden.

Wir verfahren wieder nach der Anleitung am Schlusse des § 52. Die Berechnung der Trägerform und der Beanspruchungen durch Eigengewicht allein bleibt wie im vorigen Beispiel. Als untere Grenzwerte der Gurtungskräfte hat man die dort berechneten Beanspruchungen durch Eigengewicht allein. Setzen wir für Belastung durch Zug I (Fig. 23 u. 24) von 0 bis  $l$ , Rad  $O$  bei Verticale  $m$ ,

$$(1) \quad C_m = (n - m) \sum_0^m Pa + m \sum_m^n P(l - a),$$

so sind nach § 33 die oberen Grenzwerte der Gurtungskräfte:

$$(2) \quad \begin{cases} X_m = \mathfrak{X}_m - C_m \frac{x_m}{lh_m}, \\ Z_m = \mathfrak{Z}_m + C_{m-1} \frac{z_m}{lh_{m-1}} = -X_{m-1} \frac{z_m}{x_{m-1}}. \end{cases}$$

Die Werthe der  $\sum$  sind aus der Tabelle des Beispiels 6 zu entnehmen oder wie in Beispiel 42 zu berechnen. Wir erhalten dann für die erste und zweite Richtung des Zuges I

$$\begin{aligned} C_1 &= 8 \cdot 62,2 + 1 \cdot 1947 = 2445 & C_1 &= 8 \cdot 22,2 + 1 \cdot 2140 = 2318 \\ C_2 &= 7 \cdot 167 + 2 \cdot 1499 = 4167 & C_2 &= 7 \cdot 117 + 2 \cdot 1650 = 4119 \\ C_3 &= 6 \cdot 348 + 3 \cdot 1089 = 5555 & C_3 &= 6 \cdot 271 + 3 \cdot 1239 = 5343 \\ C_4 &= 5 \cdot 580 + 4 \cdot 764 = 5956 & C_4 &= 5 \cdot 480 + 4 \cdot 876 = 5904 \\ C_5 &= 4 \cdot 876 + 5 \cdot 480 = 5904 & C_5 &= 4 \cdot 764 + 5 \cdot 580 = 5956, \end{aligned}$$

sodass wie bei allen betrachteten Balkenträgern mit zwei Gelenkauflagern die Berücksichtigung der ersten Zugrichtung genügt hätte und die oberen Grenzbeanspruchungen der Gurtungen in Tonnen folgen:

$$\begin{aligned} X_1 &= -18,98 - \frac{2445 \cdot 5,06}{45 \cdot 4,8} = -76,25 \\ X_2 &= -29,40 - \frac{4167 \cdot 5,04}{45 \cdot 5,4} = -115,83 \\ X_3 &= -35,05 - \frac{5555 \cdot 5,02}{45 \cdot 5,8} = -141,89 \\ X_4 &= -37,50 - \frac{5956 \cdot 5}{45 \cdot 6} = -147,80 \\ X_5 &= -37,50 - \frac{5956 \cdot 5}{45 \cdot 6} = -147,80, \end{aligned}$$

$$Z_1 = 0$$

$$Z_2 = 18,75 + \frac{2445}{9 \cdot 4,8} = 75,35$$

$$Z_3 = 29,17 + \frac{4167}{9 \cdot 5,4} = 114,91$$

$$Z_4 = 34,91 + \frac{5555}{9 \cdot 5,8} = 141,33$$

$$Z_5 = 37,50 + \frac{5956}{9 \cdot 6} = 147,80.$$

Wenn die Hauptdiagonalen allein vorhanden und widerstandsfähig wären, hätte man nach § 33, 7) 8) deren Grenzbeanspruchungen bei Belastung durch Zug II (Fig. 22) von Verticale  $m$  bis  $n$ , Vorder-rad  $O$  bei  $m$ ,

$$(3) \quad D_m = \mathfrak{D}_m + \frac{d_m}{h_{m-1}} \frac{s-m}{\varepsilon l} \sum_m^n P(l-a),$$

und bei Belastung durch Zug II von  $O$  bis Verticale  $m-1$ , Vorder-rad  $O$  bei  $m-1$ ,

$$(4) \quad D_m = \mathfrak{D}_m - \frac{d_m}{h_{m-1}} \frac{\varepsilon - m + n}{\varepsilon l} \sum_0^{m-1} Pa,$$

also mit den aus Beispiel 6 entnommenen oder wie in Beispiel 42 berechneten Werthen der  $\sum$  in Tonnen:

$$D_1 = 24,00 + \frac{6,4 \cdot 5 \cdot 2248}{4 \cdot 6 \cdot 45} = 90,61$$

$$D_2 = 14,44 + \frac{6,93 \cdot 7 \cdot 1741}{4,8 \cdot 9 \cdot 45} = 57,88$$

$$D_3 = 8,46 + \frac{7,36 \cdot 11,5 \cdot 1321}{5,4 \cdot 14,5 \cdot 45} = 40,19$$

$$D_4 = 3,96 + \frac{7,66 \cdot 26 \cdot 938}{5,8 \cdot 30 \cdot 45} = 27,82$$

$$D_5 = 0 + \frac{7,81 \cdot \infty \cdot 638}{6 \cdot \infty \cdot 45} = 18,45,$$

$$D_1 = 24,00 - \frac{6,4 \cdot 14 \cdot 0}{4 \cdot 6 \cdot 45} = 24,00$$

$$D_2 = 14,44 - \frac{6,93 \cdot 16 \cdot 71,4}{4,8 \cdot 9 \cdot 45} = 10,37$$

$$D_3 = 8,46 - \frac{7,36 \cdot 20,5 \cdot 197}{5,4 \cdot 14,5 \cdot 45} = 0,02$$

$$D_4 = 3,96 - \frac{7,66 \cdot 35 \cdot 382}{5,8 \cdot 30 \cdot 45} = -9,12$$

$$D_5 = 0 - \frac{7,81 \cdot \infty \cdot 638}{6 \cdot \infty \cdot 45} = -18,45.$$

Hiernach sind in den drei mittleren Feldern Gegendiagonalen nöthig, die vorstehenden Grenzwerthe  $D_1$  bis  $D_3$  bleiben gültig, als obere Grenzbeanspruchungen der Hauptdiagonalen und Gegendiagonalen in den Feldern 4 und 5 hat man

$$D_4 = 27,82, \quad D_4' = 9,12 \frac{7,81}{7,66} = 9,30,$$

$$D_5 = D_5' = 18,45 \text{ tn},$$

während die unteren Grenzbeanspruchungen beider Diagonalen in diesen Feldern Null sind.

Die negativen Grenzbeanspruchungen der Verticalen im Falle oben liegender X-Gurtung ergeben sich nach § 33, 11) und A. 19, 16) bei Belastung durch Zug II von Verticale  $m + 1$  bis  $n$ , Vorderrad 0 bei  $m + 1$ ,

$$(5) \quad V_m = \mathfrak{B}_m - \frac{\nu - m}{\nu l} \sum_{m+1}^n P(l - a),$$

und mit den wie oben erhaltenen  $\sum$  in Tonnen:

$$V_0 = -18,75 - \frac{2248}{45} = -68,71$$

$$V_1 = -12,00 - \frac{5 \cdot 1741}{6 \cdot 45} = -44,24$$

$$V_2 = -7,00 - \frac{7 \cdot 1321}{9 \cdot 45} = -29,83$$

$$V_3 = -3,21 - \frac{11,5 \cdot 938}{14,5 \cdot 45} = -19,74$$

$$V_4 = 0 - \frac{26 \cdot 638}{30 \cdot 45} = -12,29$$

$$V_5 = 3,00 - \frac{\infty \cdot 382}{\infty \cdot 45} = -5,49.$$

Vorstehende Werthe  $V_0$  bis  $V_4$  sind demnach als die wirklichen negativen Grenzbeanspruchungen der Verticalen anzusehen. Die positiven Grenzbeanspruchungen der Verticalen 0 bis 2 (ohne anschliessende Gegendiagonalen) ergeben sich nach § 33, 12) und Aufgabe 19 mit Zug II von 0 bis Verticale  $m$ , Vorderrad  $O$  bei  $m$ ,

$$(6) \quad V_m = \mathfrak{B}_m + \frac{\nu - m + n}{\nu l} \sum_0^m Pa,$$

und diejenigen der Verticalen 3 und 4 (mit anschliessenden Gegendiagonalen) nach § 53, 18) 5) im gleichen Belastungsfalle

$$(7) \quad V_m = \mathfrak{B}_m + \left[ (\delta - \nu - 1) \sum_0^m Pa + \frac{\nu - m}{8f} gl^2 h_0 \right] \frac{1}{\nu l (\delta - m - 1)}.$$

Diese Gleichungen liefern mit den aus Beispiel 6 entnommenen oder wie in Beispiel 42 berechneten Werthen der  $\sum$  in Tonnen:

$$V_0 = \mathfrak{B}_0 = -18,75$$

$$V_1 = -12,00 + \frac{14 \cdot 71,4}{6 \cdot 45} = -8,30$$

$$V_2 = -7,00 + \frac{16 \cdot 197}{9 \cdot 45} = 0,78$$

$$V_3 = -3,21 + \left( 14,5 \cdot 382 + \frac{11,5 \cdot 40}{8 \cdot 81} 0,9 \cdot 45^2 \cdot 4 \right) \frac{1}{14,5 \cdot 5 \cdot 26} = 2,47$$

$$V_4 = 0 + \left( \infty \cdot 638 + \frac{26 \cdot 40}{8 \cdot 81} 0,9 \cdot 45^2 \cdot 4 \right) \frac{1}{30 \cdot 5 \cdot \infty} = 4,25.$$

Wir haben hier die positiven Grenzbeanspruchungen der Verticalen mit anschliessenden Gegendiagonalen für Belastung durch Zug II berechnet. Es kann jedoch nach § 52 vielfach Zug I noch



etwas ungünstiger wirken, insbesondere dann, wenn wie im vorliegenden Falle die Feldlänge gross gegenüber dem Radstande ist. Setzt man entsprechend § 52, 6) für Zug I von 0 bis Verticale  $m+1$ , Rad 0 bei  $m$ ,

$$(8) \quad S = \sum_0^m Pa + m \sum_m^{m+1} P(m\lambda + \lambda - a),$$

so erhält man mit Rücksicht auf die Tabelle in Beispiel 6 für  $m=3$  und  $m=4$

$$S = 271 + 3 \cdot 62,2 = 458, \quad S = 480 + 4 \cdot 62,2 = 729,$$

und mit diesen Werthen an Stelle von  $S = \sum_0^m Pa$  in 7) die positiven Grenzbeanspruchungen

$$V_3 = 3,05, \quad V_4 = 4,86 \text{ tn.}$$

Zu beachten ist jedoch, dass die bei Ableitung von 7) angenommene Belastung (Verkehrslast von beiden Enden des Trägers kommend, rechts von Verticale  $m$  lastfrei) aussergewöhnlich ungünstig ist, so dass man sich bei dem obigen Vorgehen im Allgemeinen beruhigen kann. — Für die negative Grenzbeanspruchung der Verticale 0 hat man nach A. 19, 11) mit Zug I von 0 bis  $l$ , Rad 0 bei Verticale 1,

$$(9) \quad V_0 = \mathfrak{B}_0 - \frac{n-1}{l} \sum_0^1 Pa - \frac{1}{l} \sum_1^n P(l-a),$$

also mit den schon für  $X_1$  verwendeten  $\sum$ , ebenfalls ungünstiger wie oben mit Zug II,

$$V_0 = -18,75 - \frac{8 \cdot 62,2 + 1947}{45} = -73,08 \text{ tn.}$$

Sämmtliche Grenzwerte der Stabkräfte einer Trägerhälfte sind in Fig. 121 bei ihren Stäben eingeschrieben. Die Grenzwerte der Stützenreactionen sind wie in Beispiel 42 bestimmt.

**Aufgabe 37. Positive Grenzbeanspruchungen der Verticalen mit anschliessenden Gegendiagonalen bei Berechnung mit Lastäquivalenten.**

Die in der Ueberschrift genannten Grenzbeanspruchungen mit Rücksicht auf die Lastäquivalente direct befahrener vollwandiger Träger auszudrücken.

In §§ 50–54 sind die positiven Grenzbeanspruchungen der Ver-

ticalen mit anschliessenden Gegendiagonalen für beliebige bewegte Last abgeleitet. Die betreffenden Formeln, in welchen  $S$  möglichst gross anzunehmen ist, gelten natürlich auch für die Lastäquivalente bewegter Radlastzüge. Wir können uns darauf beschränken,  $S$  auszudrücken.

**Fahrbahn unten.** Bei Berechnung mit bewegten Radlastzügen war für Belastung durch Zug II von 0 bis Verticale  $m$ , Vorderrad  $O$  bei  $m$ ,

$$S = \sum_0^m Pa.$$

Hieraus folgt mit A. 11, 10) 12) für genaue Lastäquivalente

$$(1) \quad S = m^2 \lambda^2 \frac{p_c}{2},$$

unter  $p_c$  das Lastäquivalent zur Berechnung des neg max  $V_x$  eines durch Zug II direct befahrenen vollwandigen Trägers bei  $x = c = m\lambda$  verstanden.

Ergeben die für gleichmässig vertheilte bewegte Last in § 53 abgeleiteten Ausdrücke von  $S$  oder  $V_m$  mit demjenigen  $p$ , welches für einen durch Zug I direct befahrenen vollwandigen Träger der Spannweite  $(m+1)\lambda$  dem Momente max  $M_x$  bei der Trägermitte entspricht, ungünstigere Werthe, so kann man auch diese verwenden.

**Fahrbahn oben.** Für bewegte Radlastzüge war bei Belastung durch Zug II von 0 bis Verticale  $m-1$ , Vorderrad  $O$  bei  $m-1$ ,

$$S = \sum_0^{m-1} Pa.$$

Hieraus folgt wie oben für genaue Lastäquivalente

$$(2) \quad S = (m-1)^2 \lambda^2 \frac{p_c}{2},$$

worin  $p_c$  das Lastäquivalent zur Berechnung des neg max  $V_x$  eines durch Zug II direct befahrenen vollwandigen Trägers bei  $x = c = (m-1)\lambda$  bedeutet.

Ergeben die für gleichmässig vertheilte bewegte Last in § 54 gegebenen Ausdrücke von  $S$  oder  $V_m$  mit demjenigen  $p$ , welches für einen durch Zug I direct befahrenen vollwandigen Träger der Spannweite  $m\lambda$  dem max  $M_x$  bei der Trägermitte entspricht, ungünstigere Werthe, so kann man auch diese verwenden.

Greift die Fahrbahnlast zwischen beiden Gurten in Verticale  $m$  an, so gelten für das Verticalenstück von Fahrbahn bis Obergurt die

Formeln für unten liegende Fahrbahn, für das Verticalenstück von Fahrbahn bis Untergurt die Formeln für oben liegende Fahrbahn.

**Beispiel 70. Einfaches System mit Gegendiagonalen bei beliebigen Gurtungsformen (Halbparabelträger). Berechnung mit Lastäquivalenten.**

Die Brückenträger des Beispiels 68 auf Grund gleichmässig vertheilter Lasten so zu berechnen, dass dieselben Grenzwerte der Füllungsglieder und annähernd dieselben Grenzbeanspruchungen der Gurtungen wie mit den bewegten Radlastzügen des letzten Beispiels entstehen.

Bis zur Berechnung der Grenzwerte bleibt alles in Beispiel 68 Gesagte gültig. Die oberen Grenzbeanspruchungen der Gurtungen sind wie dort mit constantem  $p$  zu berechnen, und zwar wäre wie für die  $\max M_x$  eines durch Zug I direct befahrenen vollwandigen Trägers der Spannweite 45 m zu setzen  $p = 2,63$  tn (Beispiel 8). Da diese Annahme bereits in Beispiel 68 gemacht wurde und die unteren Grenzbeanspruchungen für Eigengewicht allein eintreten, so könnten sämtliche dort berechnete Grenzwerte der Gurtungskräfte beibehalten werden. Wir haben in Fig. 122 die dem nach oben abgerundeten  $p = 2,7$  entsprechenden oberen Grenzwerte eingetragen, welche  $q : g = 4$  mal so gross wie die Eigengewichtsbeanspruchungen sind.

Wenn die Hauptdiagonalen allein vorhanden und widerstandsfähig wären, so hätte man nach A. 32, 1) 2) deren Grenzbeanspruchungen, mit  $c = (m - 1)\lambda$ ,  $v = m\lambda$ ,

$$(1) \quad \begin{cases} D_m = \mathfrak{D}_m + \frac{d_m}{h_{m-1}} \frac{\varepsilon - m}{2n\varepsilon} \lambda (n - m)^2 p_o, \\ D_m = \mathfrak{D}_m - \frac{d_m}{h_{m-1}} \frac{\varepsilon - m + n}{2n\varepsilon} \lambda (m - 1)^2 p_c, \end{cases}$$

unter  $p_o$ ,  $p_c$  diejenigen Lastäquivalente verstanden, welche für einen durch Zug II direct befahrenen vollwandigen Träger der Spannweite 45 m dem  $\max V_x$  bei  $x = v$  bzw. dem  $\max V_x$  bei  $x = c$  entsprechen. Dieselben lassen sich aus der Tabelle des Beispiels 8 entnehmen. Wir erhalten damit in Tonnen:

$$D_1 = 24,00 + \frac{6,4 \cdot 5 \cdot 5}{4 \cdot 18 \cdot 6} 64 \cdot 2,81 = 90,61$$

$$D_2 = 14,44 + \frac{6,93 \cdot 7 \cdot 5}{4,8 \cdot 18 \cdot 9} 49 \cdot 2,84 = 57,85$$

$$\begin{aligned}
D_3 &= 8,46 + \frac{7,86 \cdot 11,5 \cdot 5}{5,4 \cdot 18 \cdot 14,5} 36 \cdot 2,93 = 40,21 \\
D_4 &= 3,96 + \frac{7,66 \cdot 26 \cdot 5}{5,8 \cdot 18 \cdot 30} 25 \cdot 3,00 = 27,81 \\
D_5 &= 0 + \frac{7,81 \cdot \infty \cdot 5}{6 \cdot 18 \cdot \infty} 16 \cdot 3,19 = 18,45, \\
D_1 &= 24,00 - \frac{6,4 \cdot 14 \cdot 5}{4 \cdot 18 \cdot 6} 0^2 \cdot \infty = 24,00 \\
D_2 &= 14,44 - \frac{6,98 \cdot 16 \cdot 5}{4,8 \cdot 18 \cdot 9} 1 \cdot 5,71 = 10,37 \\
D_3 &= 8,46 - \frac{7,86 \cdot 20,5 \cdot 5}{5,4 \cdot 18 \cdot 14,5} 4 \cdot 3,95 = 0,01 \\
D_4 &= 3,96 - \frac{7,66 \cdot 35 \cdot 5}{5,8 \cdot 18 \cdot 30} 9 \cdot 3,39 = - 9,10 \\
D_5 &= 0 - \frac{7,81 \cdot \infty \cdot 5}{6 \cdot 18 \cdot \infty} 16 \cdot 3,19 = - 18,45.
\end{aligned}$$

Demnach sind in den drei mittleren Feldern Gegendiagonalen nöthig, die vorstehenden Grenzwerte  $D_1$  bis  $D_3$  bleiben gültig, als obere Grenzbeanspruchungen der Hauptdiagonalen und Gegendiagonalen in den Feldern 4 und 5 hat man

$$\begin{aligned}
D_4 &= 27,81, & D_4' &= 9,10 \frac{7,81}{7,66} = 9,28, \\
D_5 &= D_5' = 18,45 \text{ tn,}
\end{aligned}$$

während die unteren Grenzbeanspruchungen dieser Diagonalen Null sind.

Die negativen Grenzbeanspruchungen der Verticalen bei oben liegender X-Gurtung ergeben sich nach A. 32, 3) 5) aus

$$(2) \quad V_m = \mathfrak{B}_m - \frac{v - m}{2nv} \lambda (n - m - 1)^2 p_v,$$

mit  $v = (m + 1) \lambda$ , welche Formel wie die entsprechende für bewegte Radlastzüge auch für  $V_0$  gilt. Wir erhalten in Tonnen:

$$\begin{aligned}
V_0 &= - 18,75 - \frac{5}{18} 64 \cdot 2,81 = - 68,71 \\
V_1 &= - 12,00 - \frac{5 \cdot 5}{18 \cdot 6} 49 \cdot 2,84 = - 44,21 \\
V_2 &= - 7,00 - \frac{7 \cdot 5}{18 \cdot 9} 36 \cdot 2,93 = - 29,79 \\
V_3 &= - 3,21 - \frac{11,5 \cdot 5}{18 \cdot 14,5} 25 \cdot 3,00 = - 19,73 \\
V_4 &= 0 - \frac{26 \cdot 5}{18 \cdot 30} 16 \cdot 3,19 = - 12,29 \\
V_5 &= 3,00 - \frac{\infty \cdot 5}{18 \cdot \infty} 9 \cdot 3,39 = - 5,47,
\end{aligned}$$

sodass vorstehende  $V_0$  bis  $V_4$  als die wirklichen negativen Grenzbeanspruchungen der Verticalen anzusehen sind. Die positiven Grenzbeanspruchungen der Verticalen 0 bis 2. (ohne anschliessende Gegendagonalen) hat man nach A. 32, 3) 5)

$$(3) \quad V_m = \mathfrak{B}_m + \frac{\nu - m + n}{2n\nu} \lambda m^2 p_c,$$

und diejenigen der Verticalen 3 und 4 (mit anschliessenden Gegendagonalen) nach § 53, 18) mit A. 37, 1)

$$(4) \quad V_m = \mathfrak{B}_m + \left[ m^2 (\delta - \nu - 1) p_c + \frac{\nu - m}{8f} g n^2 h_0 \right] \frac{\lambda}{2\nu (\delta - m - 1)}.$$

In beiden Formeln ist  $c = m\lambda$ . Dieselben liefern in Tonnen:

$$V_0 = \mathfrak{B}_0 = -18,75$$

$$V_1 = -12,00 + \frac{14 \cdot 5}{18 \cdot 6} 1 \cdot 5,71 = -8,30$$

$$V_2 = -7,00 + \frac{16 \cdot 5}{18 \cdot 9} 4 \cdot 3,95 = 0,80$$

$$V_3 = -3,21 + \left( 9 \cdot 14,5 \cdot 3,39 + \frac{11,5 \cdot 40}{4 \cdot 81} 0,9 \cdot 81 \cdot 4 \right) \frac{5}{29 \cdot 26} = 2,47$$

$$V_4 = 0 + \left( 16 \cdot \infty \cdot 3,19 + \frac{26 \cdot 40}{4 \cdot 81} 0,9 \cdot 81 \cdot 4 \right) \frac{5}{60 \cdot \infty} = 4,25.$$

Sämmtliche bis jetzt berechnete Grenzbeanspruchungen der Füllungslieder müssen, abgesehen von kleinen Differenzen infolge Vernachlässigung von Decimalstellen, genau mit den im vorigen Beispiele für bewegte Radlastzüge berechneten übereinstimmen.

Wir haben hier die positiven Grenzbeanspruchungen der Verticalen mit anschliessenden Gegendagonalen für die Zug II entsprechenden Lastäquivalente berechnet. Nach Aufgabe 37 erhält man unter Umständen noch ungünstigere Werthe, wenn in 4) an Stelle von  $\frac{2S}{\lambda^2} = m^2 p_c$  gesetzt wird

$$(5) \quad \frac{2S}{\lambda^2} = m(m+1)p,$$

worin  $p$  den max  $M_x$  eines durch Zug I direct befahrenen vollwandigen Trägers der Spannweite  $(m+1)\lambda$  entspricht. Für unsern Träger folgen damit

$$V_3 = -3,21 + \left( 3 \cdot 4 \cdot 14,5 \cdot 2,84 + \frac{11,5 \cdot 40}{4 \cdot 81} 0,9 \cdot 81 \cdot 4 \right) \frac{5}{29 \cdot 26} = 2,81 \text{ tn},$$

$$V_4 = -0 + \left( 4 \cdot 5 \cdot \infty \cdot 2,77 + \frac{26 \cdot 40}{4 \cdot 81} 0,9 \cdot 81 \cdot 4 \right) \frac{5}{60 \cdot \infty} = 4,62 \text{ tn},$$

doch kann man sich im Allgemeinen mit dem obigen Vorgehen begnügen. Auch für den negativen Grenzwert von  $V_0$  wirkt im vorliegenden Falle Zug I etwas ungünstiger als Zug II. Nach A. 19, 15) hat man bei Totalbelastung des ganzen Trägers

$$(7) \quad V_0 = \mathfrak{B}_0 - \frac{n-1}{2} p l,$$

woraus mit dem oben für die Gurtungen verwendeten Werthe  $p$  folgt

$$V_0 = -18,75 - 4 \cdot 2,7 \cdot 5 = -72,75 \text{ tn.}$$

Die Grenzwerte der Stützenreactionen sind wie in Beispiel 43 bestimmt. Sämmtliche erhaltene Grenzbeanspruchungen der Stäbe sind in Fig. 122 für eine Trägerhälfte eingetragen.

**Beispiel 71. Einfaches System mit Gegendiagonalen bei beliebigen Gurtungsformen (Ellipsenträger).**

Den in Beispiel 35—37 behandelten Ellipsenträger für den Fall zu berechnen, dass die Diagonalen nur auf Zug widerstandsfähig sein sollen (Fig. 76).

Wir verfahren nach der Anleitung am Schlusse des § 52. Die Formberechnung und Beanspruchungen für Eigengewicht allein bleiben wie in Beispiel 35. Mit Rücksicht auf die berechneten Grenzbeanspruchungen der Diagonalen sind in den 6 mittleren Feldern Gegendiagonalen nöthig, deren Längen:

$$d'_3 = d_4 = 7,12, \quad d'_4 = d_5 = 7,40, \quad d'_5 = \sqrt{4,5^2 + 6^2} = 7,50 \text{ m.}$$

Unter Voraussetzung oben liegender X-Gurtung in beiden der Verticale  $m$  anliegenden Feldern wäre

$$\text{für} \quad m = \quad 5 \quad \quad 6 \quad \quad 7:$$

$$\nu = \varepsilon = \frac{h_m}{h_m - h_{m-1}} = \quad 50 \quad \quad -49 \quad \quad -14,47$$

und nach der schon in Beispiel 35 verwendeten Gleichung

$$\mathfrak{B}_m = 2,025 m \left( 2 + \frac{10 - m}{\nu} \right) - 19,575$$

die Eigengewichtsbeanspruchungen:

$$\mathfrak{B}_5 = 1,69 \quad , \quad \mathfrak{B}_6 = 3,73 \quad \mathfrak{B}_7 = 5,84 \text{ tn.}$$

Die unteren Grenzbeanspruchungen beider Diagonalen in den Feldern mit Gegendiagonalen sind gleich Null. Wir drücken im Folgenden alle Beanspruchungen in Tonnen aus.

Gleichmässig vertheilte bewegte Last. Die Grenzwerte der Gurtungskräfte und von  $V_1$ ,  $D_2$  bleiben wie in Beispiel 35 bestimmt. Auf Grund der dort berechneten Diagonalenbeanspruchungen hat man die oberen Grenzbeanspruchungen der Hauptdiagonalen und Gegen-diagonalen:

$$D_3 = 33,62 \quad D_3' = 1,31 \frac{7,12}{6,58} = 1,42$$

$$D_4 = 26,60 \quad D_4' = 7,61 \frac{7,40}{7,12} = 7,91$$

$$D_5 = 20,21 \quad D_5' = 13,85 \frac{7,5}{7,4} = 14,04.$$

Die negativen Grenzbeanspruchungen der Verticalen wären bei obenliegender X-Gurtung in den anliegenden Feldern

$$(9) \quad V_m = \mathfrak{B}_m - \frac{(\nu - m)(n - m - 1)^2}{(n - 1)\nu + m} \frac{p\lambda}{2},$$

woraus in Beispiel 35 gefunden wurden:

$$V_2 = -19,04 \quad V_3 = -16,42 \quad V_4 = -12,39,$$

und weiter folgen:

$$V_5 = 1,69 - \frac{45 \cdot 16}{455} 6,075 = -7,92$$

$$V_6 = 3,73 - \frac{55 \cdot 9}{485} 6,075 = -3,18$$

$$V_7 = 5,84 - \frac{21,47 \cdot 4}{123,23} 6,075 = 1,61.$$

Demnach sind vorstehende Werthe  $V_2$  bis  $V_5$  die wirklichen negativen Grenzbeanspruchungen der Verticalen 2 bis 5. Als positive Grenzbeanspruchungen derselben hat man nach § 53, 2) 4)

$$(2) \quad V_m = \mathfrak{B}_m + [m(m+1)(\delta - \nu - 1)p + ((n-2m-1)\delta - (m+1)(n-m-1))(\nu - m)g] \frac{\lambda}{2\nu(\delta - m - 1)},$$

worin  $\delta$  den Werth von  $\varepsilon$  für das Feld  $m+1$  bezeichnet. Wir erhalten:

$$V_2 = -3,37 + [2 \cdot 3 \cdot 2,86 \cdot 2,7 + (5 \cdot 7,86 - 3 \cdot 7) 2 \cdot 0,9] \frac{2,25}{4 \cdot 4,86} = 5,80$$

$$V_3 = -2,01 + [3 \cdot 4 \cdot 6,61 \cdot 2,7 + (3 \cdot 15,47 - 4 \cdot 6) 4,86 \cdot 0,9] \frac{2,25}{7,86 \cdot 11,47} = 5,78$$

$$V_4 = -0,23 + [4 \cdot 5 \cdot 33,53 \cdot 2,7 \\ + (1 \cdot 50 - 5 \cdot 5) 11,47 \cdot 0,9] \frac{2,25}{15,47 \cdot 45} = 6,46$$

$$V_5 = 1,69 + [5 \cdot 6 \cdot 100 \cdot 2,7 \\ - (1 \cdot 49 - 6 \cdot 4) 45 \cdot 0,9] \frac{2,25}{50 \cdot 55} = 7,49.$$

Sämmtliche berechnete Grenzwerte der Stabkräfte für eine Trägerhälfte sind in Fig. 123 bei ihren Stäben eingeschrieben.

**Bewegte Radlastzüge.** Die Grenzwerte der Gurtungskräfte und von  $V_1, D_2$  bleiben wie in Beispiel 36 berechnet. Mit Rücksicht auf die dort erhaltenen  $D$  sind die oberen Grenzbeanspruchungen der Hauptdiagonalen und Gegendiagonalen:

$$D_3 = 33,62 \quad D_3' = 3,35 \frac{7,12}{6,58} = 3,63$$

$$D_4 = 26,98 \quad D_4' = 8,82 \frac{7,40}{7,12} = 9,17$$

$$D_5 = 20,80 \quad D_5' = 15,03 \frac{7,5}{7,4} = 15,23.$$

Die negativen Grenzbeanspruchungen der Verticalen unter Voraussetzung oben liegender X-Gurtung in beiden anliegenden Feldern sind wie in Beispiel 36

$$(3) \quad V_m = \mathfrak{B}_m - \sum_{l=1}^m P(l-a),$$

wonach wie dort:

$$V_2 = -19,39 \quad V_3 = -16,95 \quad V_4 = -13,02,$$

und weiter folgen:

$$V_5 = 1,69 - \frac{45 \cdot 530}{50 \cdot 45} = -8,91$$

$$V_6 = 3,73 - \frac{55 \cdot 816}{49 \cdot 45} = -4,15$$

$$V_7 = 5,84 - \frac{21,47 \cdot 170}{14,47 \cdot 45} = 0,23.$$

Es sind also vorstehende Werthe  $V_2$  bis  $V_6$  die wirklichen negativen Grenzbeanspruchungen der Verticalen 2 bis 5. Als positive Grenzbeanspruchungen derselben hat man nach § 53, 2) 5) mit Zug II von 0 bis Verticale  $m$ , Vorderrad  $O$  bei  $m$ ,

$$(4) \quad V_m = \mathfrak{B}_m + \left[ \frac{\delta - \nu - 1}{1} \sum_0^m Pa + ((n - 2m - 1) \delta \right. \\ \left. - (m + 1)(n - m - 1)(\nu - m) \frac{g^1}{2} \right] \cdot \frac{1}{\nu(\delta - m - 1)}.$$



Wir entnehmen die  $\sum$  aus der Tabelle des Beispiels 6 oder berechnen sie wie in Beispiel 42 und erhalten damit:

$$\begin{aligned} V_2 &= -3,37 + \left[ \frac{2,86}{4,5} 170 + (5 \cdot 7,86 - 3,7) 2 \cdot 2,025 \right] \frac{1}{4 \cdot 4,86} = 6,00 \\ V_3 &= -2,01 + \left[ \frac{6,61}{4,5} 316 + (3 \cdot 15,47 - 4,6) 4,86 \cdot 2,025 \right] \frac{1}{7,86 \cdot 11,47} = 5,59 \\ V_4 &= -0,23 + \left[ \frac{33,53}{4,5} 530 + (1 \cdot 50 - 5,5) 11,47 \cdot 2,025 \right] \frac{1}{15,47 \cdot 4,5} = 6,28 \\ V_5 &= 1,69 + \left[ \frac{100}{4,5} 776 - (1 \cdot 49 - 6,4) 4,5 \cdot 2,025 \right] \frac{1}{50 \cdot 5,5} = 7,13. \end{aligned}$$

Sämmtliche berechnete Grenzbeanspruchungen einer Trägerhälfte sind in Fig. 124 bei ihren Stäben eingeschrieben.

**Lastäquivalente.** Die Grenzwerte der Gurtungskräfte und von  $V_1$ ,  $D_2$  bleiben wie in Beispiel 37 bestimmt. Mit Rücksicht auf die dort berechneten  $D$  hat man die oberen Grenzbeanspruchungen der Hauptdiagonalen und Gegendiagonalen:

$$\begin{aligned} D_3 &= 33,56 & D_3' &= 3,38 \frac{7,12}{6,58} = 3,66 \\ D_4 &= 26,98 & D_4' &= 8,79 \frac{7,40}{7,12} = 9,14 \\ D_5 &= 20,76 & D_5' &= 15,01 \frac{7,5}{7,4} = 15,21. \end{aligned}$$

Die negativen Grenzbeanspruchungen der Verticalen unter Voraussetzung oben liegender X-Gurtung in beiden anliegenden Feldern sind wie in Beispiel 37

$$(5) \quad V_m = \mathfrak{B}_m - \frac{\nu - m}{2n\nu} \lambda (n - m - 1)^2 p_o,$$

wonach wie dort:

$$V_2 = -19,36 \quad V_3 = -16,94 \quad V_4 = -12,99,$$

und weiter folgen:

$$V_5 = 1,69 - \frac{45 \cdot 4,5 \cdot 16}{20 \cdot 50} 3,27 = -8,90$$

$$V_6 = 3,73 - \frac{55 \cdot 4,5 \cdot 9}{20 \cdot 49} 3,46 = -4,13$$

$$V_7 = 5,84 - \frac{21,47 \cdot 4,5 \cdot 4}{20 \cdot 14,47} 4,21 = 0,22.$$

Die vorstehenden Werthe  $V_2$  bis  $V_5$  bilden also die wirklichen negativen Grenzbeanspruchungen der Verticalen 2 bis 5. Für die positiven Grenzbeanspruchungen derselben hat man nach § 53, 2) mit A. 37, 1)

$$(6) \quad V_m = \mathfrak{B}_m + [m^2 (\delta - \nu - 1) p_c + ((n - 2m - 1) \delta - (m + 1)(n - m - 1)) (\nu - m) g] \frac{\lambda}{2\nu(\delta - m - 1)},$$

unter  $p_c$  das Lastäquivalent zur Berechnung des neg  $\max V_x$  eines durch Zug II direct befahrenen vollwandigen Trägers bei  $x = c = m\lambda$  verstanden. Wir erhalten mit Rücksicht auf die Tabelle in Beispiel 8

$$V_2 = -3,37 + [4 \cdot 2,86 \cdot 4,21 + (5 \cdot 7,86 - 3 \cdot 7) 2 \cdot 0,9] \frac{2,25}{4 \cdot 4,86} = 6,02$$

$$V_3 = -2,01 + [9 \cdot 6,61 \cdot 3,46 + (3 \cdot 15,47 - 4 \cdot 6) 4,86 \cdot 0,9] \frac{2,25}{7,86 \cdot 11,47} = 5,57$$

$$V_4 = -0,23 + [16 \cdot 33,53 \cdot 3,27 + (1 \cdot 50 - 5 \cdot 5) 11,47 \cdot 0,9] \frac{2,25}{15,47 \cdot 45} = 6,27$$

$$V_5 = 1,69 + [25 \cdot 100 \cdot 3,06 - (1 \cdot 49 - 6 \cdot 4) 45 \cdot 0,9] \frac{2,25}{50 \cdot 55} = 7,12.$$

Sämmtliche hier erhaltenen Grenzbeanspruchungen der Füllungsglieder müssen, soweit nicht kleine Abweichungen durch Interpolationen der  $p$  und Vernachlässigung von Decimalen bedingt sind, genau mit den für bewegte Radlastzüge berechneten übereinstimmen.

**Beispiel 72. Parabelträger einfachen Systems mit Gegendiagonalen.**

Den in Beispiel 54—56 behandelten Parabelträger für den Fall zu berechnen, dass die Diagonalen nur auf Zug widerstandsfähig sind.

Wir verfahren nach der Anleitung am Schlusse des § 52. Die Formberechnung und die Beanspruchungen durch Eigengewicht allein bleiben wie in Beispiel 54. Es sind in sämmtlichen Feldern Gegendiagonalen nöthig. Längen derselben:

$$d'_2 = d_3 = 3,84 \quad d'_3 = d_4 = 4,24 \quad d'_4 = \sqrt{3^2 + 3,2^2} = 4,39 \text{ m.}$$

Die unteren Grenzbeanspruchungen sämmtlicher Diagonalen sind gleich Null. Im Folgenden drücken wir alle Beanspruchungen in Tonnen aus.

**Gleichmässig vertheilte bewegte Last.** Die Grenzwerte der Gurtungskräfte und Stützenreactionen sind in Beispiel 54 gegeben. Für die oberen Grenzbeanspruchungen der Hauptdiagonalen und Gegendiagonalen hat man

$$(1) \quad D_m = \frac{n}{n+1} \frac{p^l}{8f} d_m, \quad D'_m = \frac{n}{n+1} \frac{p^l}{8f} d'_m,$$

woraus:

$$D_2 = 7,64$$

$$D_3 = 8,86$$

$$D_4 = 9,79$$

$$D'_2 = 8,86$$

$$D'_3 = 9,79$$

$$D'_4 = 10,13.$$

Die negativen Grenzbeanspruchungen der Verticalen unter Voraussetzung oben liegender X-Gurtung sind

$$(2) \quad V_m = g_s \lambda - \frac{(m-1)(n-m-1)^2}{(n-m)n-m+1} \frac{p\lambda}{2},$$

wonach sich in Beispiel 54 ergaben:

$$V_1 = 1,59 \quad V_2 = -0,62 \quad V_3 = -1,91,$$

und weiter folgen:

$$V_4 = -2,28 \quad V_5 = -1,73 \quad V_6 = -0,30 \quad V_7 = 1,59.$$

Die vier ersten dieser  $V$  bilden also die wirklichen negativen Grenzbeanspruchungen der Verticalen, wie wir nach Aufgabe 38 von vornherein wissen könnten. Positive Grenzbeanspruchungen der Verticalen nach § 53, 13)

$$V_m = g_s \lambda + p\lambda = 1,59 + 2,77 \cdot 3 = 9,90.$$

Sämmtliche berechnete Grenzwerte der Stabkräfte sind in Fig. 125 bei ihren Stäben eingeschrieben.

**Bewegte Radlastzüge.** Die Grenzwerte der Gurtungskräfte und Stützenreactionen sind in Beispiel 55 bestimmt. Mit Rücksicht auf die dort berechneten Diagonalenbeanspruchungen hat man die oberen Grenzbeanspruchungen der Hauptdiagonalen und Gegendiagonalen:

$$D_2 = 8,67 \quad D_2' = 10,55 \frac{3,84}{3,31} = 12,24$$

$$D_3 = 10,19 \quad D_3' = 12,45 \frac{4,24}{3,84} = 13,75$$

$$D_4 = 11,35 \quad D_4' = 12,54 \frac{4,39}{4,24} = 11,80.$$

Für die negativen Grenzbeanspruchungen der Verticalen unter Voraussetzung oben liegender X-Gurtung in beiden anliegenden Feldern hat man wie in Beispiel 55

$$(3) \quad V_m = g_s \lambda - \frac{v-m}{v\lambda} \sum_{m+1}^n P(l-a),$$

woraus sich dort fanden:

$$V_1 = 1,59 \quad V_2 = -1,06 \quad V_3 = -2,69.$$

$$\text{Da für} \quad m = \quad 4 \quad \quad 5 \quad \quad 6 \quad \quad 7:$$

$$v = \varepsilon = \frac{h_m}{h_m - h_{m-1}} = \quad 16 \quad \quad -15 \quad \quad -4 \quad \quad -1,4,$$

so folgen weiter:

$$V_4 = 1,59 - \frac{12 \cdot 170}{16 \cdot 24} = - 3,72$$

$$V_5 = 1,59 - \frac{20 \cdot 93,4}{16 \cdot 24} = - 3,60$$

$$V_6 = 1,59 - \frac{10 \cdot 80,6}{4 \cdot 24} = - 1,60$$

$$V_7 = 1,59 - \frac{8,4 \cdot 0}{1,4 \cdot 24} = 1,59,$$

und die wirklichen negativen Grenzbeanspruchungen der Verticalen sind:

$$V_1 = 1,59 \quad V_2 = - 1,60 \quad V_3 = - 3,60 \quad V_4 = - 3,72,$$

während die positiven Grenzbeanspruchungen nach § 53, 16) mit möglichst grossem  $K_u$  (wie für  $V_1$  in Beispiel 55)

$$V_m = g_s \lambda + K_u = 1,59 + 6 + 2 \cdot 6 \frac{1,7}{3} + 4 \frac{0,5}{3} = 15,06.$$

Die berechneten Grenzwerte der Stabkräfte sind in Fig. 126 bei ihren Stäben eingeschrieben.

**Lastäquivalente.** Die Grenzwerte der Gurtungskräfte und Stützenreactionen sind in Beispiel 56 gegeben. Auf Grund der dort berechneten  $D$  hat man die Grenzbeanspruchungen der Hauptdiagonalen und Gegendiagonalen:

$$D_2 = 8,65 \quad D_2' = 10,55 \frac{3,84}{3,31} = 12,24$$

$$D_3 = 10,17 \quad D_3' = 12,46 \frac{4,24}{3,84} = 13,76$$

$$D_4 = 11,35 \quad D_4' = 12,54 \frac{4,39}{4,24} = 11,81.$$

Für die negativen Grenzbeanspruchungen der Verticalen unter Voraussetzung oben liegender X-Gurtung hat man wie in Beispiel 56

$$(4) \quad V_m = g_s \lambda - \frac{\lambda}{2n} \frac{m-1}{n-m} (n-m-1)^2 p_s,$$

woraus dort bestimmt wurden:

$$V_1 = 1,59 \quad V_2 = - 1,06 \quad V_3 = - 2,69,$$

und weiter folgen:

$$V_4 = 1,59 - \frac{3 \cdot 3 \cdot 9}{16 \cdot 4} 4,21 = - 3,73$$

$$V_5 = 1,59 - \frac{3 \cdot 4 \cdot 4}{16 \cdot 3} 5,19 = - 3,60$$

$$V_6 = 1,59 - \frac{3 \cdot 5 \cdot 1}{16 \cdot 2} 6,80 = - 1,60$$

$$V_7 = 1,59 - \frac{3 \cdot 6 \cdot 0^2}{16 \cdot 1} \infty = 1,59.$$

Die wirklichen negativen Grenzbeanspruchungen der Verticalen sind also:

$V_1 = 1,59 \quad V_2 = -1,60 \quad V_3 = -3,60 \quad V_4 = -3,73$ ,  
während die positiven Grenzbeanspruchungen nach § 53, 13) mit demjenigen  $p$ , welches dem  $\max M_x$  eines Trägers der Spannweite 21 bei der Trägermitte entspricht (Beispiel 8),

$$V_m = g \cdot \lambda + p \lambda = 1,59 + 4,49 \cdot 3 = 15,06.$$

Sämmtliche hier berechnete Grenzbeanspruchungen müssen genau mit den oben für bewegte Radlastzüge erhaltenen übereinstimmen.

**Beispiel 73. Paulischer Segmentträger einfachen Systems mit Gegendiagonalen.**

Den in Beispiel 62—64 behandelten Paulischen Segmentträger für den Fall zu berechnen, dass die Diagonalen nur auf Zug widerstandsfähig sind.

Wir verfahren nach der Anleitung am Schlusse des § 52. Mit Rücksicht auf die in den Beispielen 62—64 berechneten Diagonalenbeanspruchungen sind in sämmtlichen Feldern Gegendiagonalen nöthig. Die unteren Grenzbeanspruchungen aller Diagonalen sind gleich Null. Für die Beanspruchungen der Verticalen durch Eigengewicht allein unter Voraussetzung oben liegender X-Gurtung bleibt die in Beispiel 62 verwendete Formel

$$(1) \quad \mathfrak{B}_m = 2,025 m \left( 2 + \frac{n-m}{v} \right) - 19,575$$

gültig. Im Folgenden sind die Beanspruchungen in Tonnen ausgedrückt.

Gleichmässig vertheilte bewegte Last. Die Trägerform, Beanspruchungen durch Eigengewicht allein und Grenzbeanspruchungen der Gurtungen sind in Beispiel 62 bestimmt. Längen der Gegendiagonalen:

$$\begin{aligned} d_2' &= d_3 = 6,07 & d_3' &= d_4 = 6,87 \\ d_4' &= d_5 = 7,35 & d_5' &= \sqrt{4,5^2 + 6,005^2} = 7,50 \text{ m.} \end{aligned}$$

Auf Grund der in Beispiel 62 berechneten  $D$  folgen die oberen Grenzbeanspruchungen der Hauptdiagonalen und Gegendiagonalen:

$$\begin{aligned} D_2 &= 19,62 & D_2' &= 6,09 \frac{6,07}{5,13} = 7,21 \\ D_3 &= 17,68 & D_3' &= 10,21 \frac{6,87}{6,07} = 11,56 \end{aligned}$$

$$D_4 = 18,12 \quad D_4' = 12,77 \frac{7,85}{6,87} = 13,66$$

$$D_5 = 17,85 \quad D_5' = 15,05 \frac{7,50}{7,85} = 15,36.$$

Bei oben liegender X-Gurtung hätte man

$$\text{für} \quad m = 5 \quad 6 \quad 7 \quad 8 \quad 9:$$

$$\nu = \varepsilon = \frac{h_m}{h_m - h_{m-1}} = 32,11 \quad - 31,11 \quad - 8,29 \quad - 3,67 \quad - 1,52,$$

und damit nach 1):

$$\mathfrak{B}_5 = 2,24 \quad \mathfrak{B}_6 = 3,17 \quad \mathfrak{B}_7 = 3,64 \quad \mathfrak{B}_8 = 4,00 \quad \mathfrak{B}_9 = 4,88.$$

Die negativen Grenzbeanspruchungen der Verticalen unter Voraussetzung oben liegender X-Gurtung in beiden anliegenden Feldern sind wie in Beispiel 62

$$(2) \quad V_m = \mathfrak{B}_m - \frac{(\nu - m)(n - m - 1)^2}{(n - 1)\nu + m} \frac{p\lambda}{2},$$

wonach sich dort fanden:

$$V_1 = 2,70 \quad V_2 = - 4,73 \quad V_3 = - 6,22 \quad V_4 = - 7,07,$$

und weiter folgen:

$$V_5 = 2,24 - \frac{27,11 \cdot 16}{294,0} 5,917 = - 6,49$$

$$V_6 = 3,17 - \frac{37,11 \cdot 9}{274,0} 5,917 = - 4,04$$

$$V_7 = 3,64 - \frac{15,29 \cdot 4}{67,61} 5,917 = - 1,71$$

$$V_8 = 4,00 - \frac{11,67 \cdot 1}{25,03} 5,917 = 1,24$$

$$V_9 = 4,88 - \frac{10,52 \cdot 0^2}{4,68} 5,917 = 4,88,$$

sodass vorstehende  $V_1$  bis  $V_5$  die wirklichen negativen Grenzbeanspruchungen der Verticalen sind. Positive Grenzbeanspruchungen nach § 53, 2) 4)

$$(3) \quad V_m = \mathfrak{B}_m + [m(m+1)(\delta - \nu - 1)p + ((n-2m-1)\delta - (m+1)(n-m-1))(\nu - m)g] \frac{\lambda}{2\nu(\delta - m - 1)},$$

unter  $\delta$  den Werth von  $\varepsilon$  für das Feld  $m+1$  verstanden. Wir erhalten:

$$V_2 = 1,38 + [2 \cdot 3 \cdot 1,15 \cdot 2,63 + (5 \cdot 4,67 - 3 \cdot 7) 0,52 \cdot 0,9] \frac{2,25}{2,52 \cdot 1,67} = 11,68$$

$$V_3 = 1,68 + [3 \cdot 4 \cdot 3,62 \cdot 2,63 + (3 \cdot 9,29 - 4 \cdot 6) 1,67 \cdot 0,9] \frac{2,25}{4,67 \cdot 5,29} = 12,62$$

$$\begin{aligned}
 V_4 &= 1,86 + [4 \cdot 5 \cdot 21,82 \cdot 2,63 \\
 &\quad + (1 \cdot 32,11 - 5 \cdot 5) 5,29 \cdot 0,9] \frac{2,25}{9,29 \cdot 27,11} = 12,38 \\
 V_5 &= 2,24 + [5 \cdot 6 \cdot 64,22 \cdot 2,63 \\
 &\quad - (1 \cdot 31,11 - 6 \cdot 4) 27,11 \cdot 0,9] \frac{2,25}{32,11 \cdot 37,11} = 11,44.
 \end{aligned}$$

$V_1$  kann zwar ebenfalls nach 3) bestimmt werden, muss sich aber wie in Beispiel 62 ergeben (§ 53). Die berechneten Grenzbeanspruchungen sind in Fig. 127 bei ihren Stäben eingeschrieben.

**Bewegte Radlastzüge.** Die Trägerform, Beanspruchungen durch Eigengewicht allein und Grenzbeanspruchungen der Gurtungen bleiben wie in Beispiel 63 bestimmt. Längen der Gegendiagonalen:

$$\begin{aligned}
 d_2' &= d_3 = 6,09 & d_3' &= d_4 = 6,88 \\
 d_4' &= d_5 = 7,41 & d_5' &= \sqrt{4,5^2 + 6,002^2} = 7,50 \text{ m.}
 \end{aligned}$$

Mit Rücksicht auf die in Beispiel 63 berechneten  $D$  sind die oberen Grenzbeanspruchungen der Hauptdiagonalen und Gegendiagonalen:

$$\begin{aligned}
 D_2 &= 23,91 & D_2' &= 7,11 \frac{6,09}{5,17} = 8,38 \\
 D_3 &= 19,05 & D_3' &= 12,20 \frac{6,88}{6,09} = 13,78 \\
 D_4 &= 17,90 & D_4' &= 15,01 \frac{7,41}{6,88} = 16,17 \\
 D_5 &= 20,95 & D_5' &= 14,91 \frac{7,50}{7,41} = 15,09.
 \end{aligned}$$

Unter Voraussetzung oben liegender  $X$ -Gurtung in den Feldern  $m$  und  $m + 1$  ist

$$\begin{array}{ccccccccc}
 \text{für} & m = & 5 & & 6 & & 7 & & 8 & & 9: \\
 v = \varepsilon = \frac{h_m}{h_m - h_{m-1}} & = & 52,19 & - & 51,19 & - & 7,71 & - & 3,73 & - & 1,64,
 \end{array}$$

womit aus 1):

$$\mathfrak{B}_5 = 1,64 \quad \mathfrak{B}_6 = 3,78 \quad \mathfrak{B}_7 = 3,26 \quad \mathfrak{B}_8 = 4,14 \quad \mathfrak{B}_9 = 5,76.$$

Die negativen Grenzbeanspruchungen der Verticalen im gleichen Falle sind wie in Beispiel 63

$$(4) \quad V_m = \mathfrak{B}_m - \frac{v - m}{v l} \sum_{m+1}^n P(l - a),$$

wonach sich dort ergaben:

$$V_1 = 2,70 \quad V_2 = - 6,97 \quad V_3 = - 7,26 \quad V_4 = - 7,12,$$

und weiter folgen:

$$V_5 = 1,64 - \frac{47,19 \cdot 530}{52,19 \cdot 45} = -9,01$$

$$V_6 = 3,78 - \frac{57,19 \cdot 816}{51,19 \cdot 45} = -4,06$$

$$V_7 = 3,26 - \frac{14,71 \cdot 170}{7,71 \cdot 45} = -3,95$$

$$V_8 = 4,14 - \frac{11,71 \cdot 60,4}{3,73 \cdot 45} = -0,07$$

$$V_9 = 5,76 - \frac{10,64 \cdot 0}{1,64 \cdot 45} = 5,76.$$

Es sind also vorstehende  $V_1$  bis  $V_9$  die wirklichen negativen Grenzbeanspruchungen der Verticalen. Die positiven Grenzbeanspruchungen ergeben sich nach § 53, 2) 5) mit Zug II von 0 bis Verticale  $m$ , Vorderrad  $O$  bei  $m$ ,

$$(5) \quad V_m = \mathfrak{B}_m + \left[ \frac{\delta - m - 1}{\lambda} \sum_0^m Pa + ((n - 2m - 1)\delta - (m + 1)(n - m - 1)(\nu - m) \frac{g\lambda}{2}] \frac{1}{\nu(\delta - m - 1)};$$

nur  $V_1$  bleibt wie in Beispiel 63 bestimmt. Wir erhalten mit den aus Beispiel 6 entnommenen oder wie in Beispiel 42 berechneten Werthen der  $\sum$ :

$$V_2 = 0,80 + \left[ \frac{1,09}{4,5} 170 + (5 \cdot 4,73 - 3,7) 0,64 \cdot 2,025 \right] \frac{1}{2,64 \cdot 1,73} = 9,06$$

$$V_3 = 1,57 + \left[ \frac{2,98}{4,5} 316 + (3 \cdot 8,71 - 4,6) 1,73 \cdot 2,025 \right] \frac{1}{4,73 \cdot 4,71} = 10,63$$

$$V_4 = 2,21 + \left[ \frac{42,48}{4,5} 530 + (1,52,19 - 5,5) 4,71 \cdot 2,025 \right] \frac{1}{8,71 \cdot 47,19} = 13,75$$

$$V_5 = 1,64 + \left[ \frac{104,38}{4,5} 776 - (1,51,19 - 6,4) 47,19 \cdot 2,025 \right] \frac{1}{52,19 \cdot 57,19} = 6,80.$$

Die berechneten Grenzbeanspruchungen sind in Fig. 128 bei ihren Stäben eingetragen.

**Lastäquivalente.** Bezüglich der Trägerform, Beanspruchungen durch Eigengewicht allein und Grenzbeanspruchungen der Gurtungen gilt das in Beispiel 64 Gesagte. Demnach sind die Längen der Gegendiagonalen wie oben für gleichmässig vertheilte bewegte Last angegeben. Die oberen Grenzbeanspruchungen der Hauptdiagonalen und Gegendiagonalen folgen mit Rücksicht auf die in Beispiel 64 berechneten  $D$ :



$$\begin{aligned}
 D_2 &= 20,29 & D_2' &= 8,88 \frac{6,07}{5,13} = 10,51 \\
 D_3 &= 18,53 & D_3' &= 12,57 \frac{6,87}{6,07} = 14,23 \\
 D_4 &= 19,32 & D_4' &= 14,14 \frac{7,35}{6,87} = 15,13 \\
 D_5 &= 18,92 & D_5' &= 16,61 \frac{7,50}{7,35} = 16,95.
 \end{aligned}$$

Für die negativen Grenzbeanspruchungen der Verticalen unter Voraussetzung oben liegender X-Gurtung hat man wie in Beispiel 64

$$(6) \quad V_m = \mathfrak{B}_m - \frac{\lambda}{2n} \frac{\nu - m}{\nu} (n - m - 1)^2 p_c,$$

wonach sich dort ergaben:

$$V_1 = 2,70 \quad V_2 = -4,42 \quad V_3 = -6,95 \quad V_4 = -7,94,$$

und mit den oben für gleichmässig vertheilte bewegte Last berechneten  $\nu$ ,  $\mathfrak{B}$  weiter folgen:

$$V_5 = 2,24 - 0,225 \frac{27,11}{32,11} 16 \cdot 3,27 = -7,69$$

$$V_6 = 3,17 - 0,225 \frac{37,11}{31,11} 9 \cdot 3,46 = -5,19$$

$$V_7 = 3,64 - 0,225 \frac{15,29}{8,29} 4 \cdot 4,21 = -3,35$$

$$V_8 = 4,00 - 0,225 \frac{11,67}{3,67} 1 \cdot 5,94 = -0,25$$

$$V_9 = 4,88 - 0,225 \frac{10,52}{1,52} 0^2 \cdot \infty = 4,88.$$

Vorstehende  $V_1$  bis  $V_5$  sind also die wirklichen negativen Grenzbeanspruchungen der Verticalen. Für die positiven Grenzbeanspruchungen hat man nach § 53, 2) mit A. 37, 1)

$$(7) \quad V_m = \mathfrak{B}_m + [m^2 (\delta - \nu - 1) p_c + ((n - 2m - 1) \delta - (m + 1)(n - m - 1)(\nu - m)g) \frac{1}{2\nu(\delta - m - 1)}],$$

worin  $p_c$  das Lastäquivalent zur Berechnung des neg max  $V_x$  eines durch Zug II direct befahrenen vollwandigen Trägers bei  $x = c = m\lambda$ . Wir erhalten mit den aus der Tabelle des Beispiels 9 entnommenen Werthen von  $p_c$ :

$$V_2 = 1,38 + [4 \cdot 0,86 \cdot 4,21 + (5 \cdot 4,67 - 3 \cdot 7) 0,52 \cdot 0,9] \frac{2,25}{2,52 \cdot 1,67} = 9,72$$

$$V_3 = 1,68 + [9 \cdot 5,13 \cdot 3,46 + (3 \cdot 9,29 - 4 \cdot 6) 1,67 \cdot 0,9] \frac{2,25}{4,67 \cdot 5,29} = 15,08$$

$$V_4 = 1,86 + [16 \cdot 15,32 \cdot 3,27 + (1 \cdot 32,11 - 5 \cdot 5) \cdot 5,29 \cdot 0,9] \frac{2,25}{9,29 \cdot 27,11} = 9,32$$

$$V_5 = 2,24 + [25 \cdot 53,64 \cdot 3,06 - (1 \cdot 31,11 - 6 \cdot 4) \cdot 27,11 \cdot 0,9] \frac{2,25}{32,11 \cdot 37,11} = 9,63.$$

$V_1$  bleibt wie in Beispiel 64 bestimmt. Hinsichtlich der Abweichung der hier erhaltenen Resultate von den für bewegte Radlastzüge gefundenen gilt das am Schlusse des Beispiels 64 Gesagte. Bei gleicher Trägerform würden die Resultate genau überstimmen.

**Beispiel 74. Paulischer Linsenträger einfachen Systems mit Gegendiagonalen.**

Den in Beispiel 65—67 behandelten Paulischen Linsenträger für den Fall zu berechnen, dass die Diagonalen nur auf Zug widerstandsfähig sind.

Wir verfahren wieder nach der Anleitung am Schlusse des § 52. Mit Rücksicht auf die in den Beispielen 65—67 berechneten Diagonalenbeanspruchungen sind in sämtlichen Feldern Gegendiagonalen nötig, welche gleiche Längen wie die entsprechenden Hauptdiagonalen haben. Die unteren Grenzbeanspruchungen aller Diagonalen sind gleich Null. Für die Beanspruchungen der Verticalen durch Eigengewicht allein unter Voraussetzung oben liegender X-Gurtung bleibt die in Beispiel 65 verwendete Formel

$$(1) \quad \mathfrak{B}_m = 2,025 \, m \left( 2 + \frac{n-m}{v} \right) - 19,575$$

gültig. Alle Beanspruchungen im Folgenden sind in Tonnen ausgedrückt.

Gleichmässig vertheilte bewegte Last. Die Trägerform, Beanspruchungen durch Eigengewicht allein und Grenzbeanspruchungen der Gurtungskräfte sind in Beispiel 65 bestimmt. Auf Grund der dort berechneten  $D$  hat man die oberen Grenzbeanspruchungen der Hauptdiagonalen und Gegendiagonalen:

$$\begin{array}{llll} D_2 = 13,63 & D_3 = 15,58 & D_4 = 16,55 & D_5 = 16,97 \\ D_2' = 11,11 & D_3' = 13,15 & D_4' = 15,09 & D_5' = 16,25. \end{array}$$

Unter Voraussetzung oben liegender X-Gurtung in den Feldern  $m$  und  $m+1$  ist

$$\begin{array}{cccccc} \text{für} & m = 5 & 6 & 7 & 8 & 9: \\ v = \frac{2 h_m}{h_{m+1} - h_{m-1}} = \infty & - 12,56 & - 5,43 & - 2,74 & - 1,14, \end{array}$$

und damit nach 1)

$$\mathfrak{B}_5 = 0,68 \quad \mathfrak{B}_6 = 0,86 \quad \mathfrak{B}_7 = 0,95 \quad \mathfrak{B}_8 = 1,00 \quad \mathfrak{B}_9 = 0,89.$$

Die negativen Grenzbeanspruchungen der Verticalen im gleichen Falle sind wie in Beispiel 65

$$(2) \quad V_m = \mathfrak{B}_m - \frac{(\nu - m)(n - m - 1)^2 p \lambda}{(n - 1) \nu + m} \frac{1}{2},$$

wonach sich dort fanden:

$$V_1 = -4,25 \quad V_2 = -7,70 \quad V_3 = -9,48 \quad V_4 = -10,34,$$

und weiter folgen:

$$V_5 = 0,68 - \frac{\infty \cdot 16}{9 \cdot \infty} 5,917 = -9,84$$

$$V_6 = 0,86 - \frac{18,56 \cdot 9}{107,0} 5,917 = -8,38$$

$$V_7 = 0,95 - \frac{12,43 \cdot 4}{41,87} 5,917 = -6,08$$

$$V_8 = 1,00 - \frac{10,74 \cdot 1}{13,92} 5,917 = -3,57$$

$$V_9 = 0,89 - \frac{10,14 \cdot 0^2}{1,26} 5,917 = 0,89,$$

sodass vorstehende  $V_1$  bis  $V_5$  die wirklichen negativen Grenzbeanspruchungen der Verticalen sind. Die positiven Grenzbeanspruchungen gibt § 53, 2) 4)

$$(3) \quad V_m = \mathfrak{B}_m + [m(m+1)(\delta - \nu - 1)p + ((n-2m-1)\delta - (m+1)(n-m-1)(\nu-m)g)] \frac{1}{2\nu(\delta-m-1)},$$

worin  $\delta$  den Werth von  $\varepsilon$  für das Feld  $m+1$  bezeichnet. Wir erhalten:

$$V_1 = 0,46 + [1 \cdot 2 \cdot 0,18 \cdot 2,63 + (7 \cdot 2,32 - 2 \cdot 8) 0,14 \cdot 0,9] \frac{2,25}{1,14 \cdot 0,32} = 6,50$$

$$V_2 = 0,35 + [2 \cdot 3 \cdot 0,59 \cdot 2,63 + (5 \cdot 4,33 - 3 \cdot 7) 0,74 \cdot 0,9] \frac{2,25}{2,74 \cdot 1,33} = 6,36$$

$$V_3 = 0,41 + [3 \cdot 4 \cdot 1,86 \cdot 2,63 + (3 \cdot 8,29 - 4 \cdot 6) 2,43 \cdot 0,9] \frac{2,25}{5,43 \cdot 4,29} = 6,26$$

$$V_4 = 0,48 + [4 \cdot 5 \cdot 13,35 \cdot 2,63 + (1 \cdot 26,91 - 5 \cdot 5) 8,56 \cdot 0,9] \frac{2,25}{12,56 \cdot 21,91} = 6,34$$

$$V_5 = 0,68 + [5 \cdot 6 \cdot \infty \cdot 2,63 - (1 \cdot 25,91 - 6 \cdot 4) \infty \cdot 0,9] \frac{2,25}{\infty \cdot 31,91} = 6,83.$$

Die berechneten Grenzbeanspruchungen sind in Fig. 129 bei ihren Stäben eingeschrieben.

**Bewegte Radlastzüge.** Die Trägerform, Beanspruchungen durch Eigengewicht allein und Grenzbeanspruchungen der Gurtungen bleiben wie in Beispiel 66 bestimmt. Auf Grund der dort berechneten  $D$  sind die oberen Grenzbeanspruchungen der Hauptdiagonalen und Gegendiagonalen:

$$\begin{array}{llll} D_2 = 16,99 & D_3 = 17,44 & D_4 = 16,46 & D_5 = 19,91 \\ D_2' = 12,55 & D_3' = 14,96 & D_4' = 17,22 & D_5' = 16,12. \end{array}$$

Unter Voraussetzung oben liegender X-Gurtung in den Feldern  $m$  und  $m + 1$  hat man

für  $m = 5 \quad 6 \quad 7 \quad 8 \quad 9$ :

$$\nu = \frac{2h_m}{h_{m+1} - h_{m-1}} = \infty \quad -13,01 \quad -5,39 \quad -2,81 \quad -1,16,$$

und damit nach 1):

$$\mathfrak{B}_5 = 0,68 \quad \mathfrak{B}_6 = 0,99 \quad \mathfrak{B}_7 = 0,89 \quad \mathfrak{B}_8 = 1,30 \quad \mathfrak{B}_9 = 1,16.$$

Für die negativen Grenzbeanspruchungen der Verticalen im gleichen Falle gilt wie in Beispiel 66

$$(4) \quad V_m = \mathfrak{B}_m - \nu \frac{m}{m+1} \sum_{l=1}^m P(l-a),$$

wonach sich dort ergaben:

$$V_1 = -5,44 \quad V_2 = -9,18 \quad V_3 = -10,24 \quad V_4 = -11,55,$$

und weiter folgen:

$$V_5 = 0,68 - \frac{\infty \cdot 530}{\infty \cdot 45} = -11,10$$

$$V_6 = 0,99 - \frac{19,01 \cdot 316}{13,01 \cdot 45} = -9,27$$

$$V_7 = 0,89 - \frac{12,39 \cdot 170}{5,39 \cdot 45} = -7,79$$

$$V_8 = 1,30 - \frac{10,81 \cdot 60,4}{2,81 \cdot 45} = -4,86$$

$$V_9 = 1,16 - \frac{10,16 \cdot 0}{1,16 \cdot 45} = 1,16.$$

Vorstehende Werthe  $V_1$  bis  $V_6$  bilden also die wirklichen negativen Grenzbeanspruchungen der Verticalen. Für die positiven Grenzbeanspruchungen hat man nach § 53, 2) 5) mit Zug II von 0 bis Verticale  $m$ , Vorderrad  $O$  bei  $m$ ,

$$(5) \quad V_m = \mathfrak{B}_m + \left[ \frac{\delta - \nu - 1}{\lambda} \sum_0^m Pa + (n - 2m - 1)\delta - (m + 1)(n - m - 1)(\nu - m) \frac{g\lambda}{2} \right] \frac{1}{\nu(\delta - m - 1)}.$$

Wir erhalten mit den aus Beispiel 6 entnommenen oder wie in Beispiel 42 berechneten  $\sum$ :

$$V_1 = 0,68 + \left[ \frac{0,22}{4,5} 60,4 + (7 \cdot 2,38 - 2,8) 0,16 \cdot 2,025 \right] \frac{1}{1,16 \cdot 0,38} = 7,86$$

$$V_2 = 0,99 + \left[ \frac{0,61}{4,5} 170 + (5 \cdot 4,42 - 3,7) 0,81 \cdot 2,025 \right] \frac{1}{2,81 \cdot 1,42} = 7,22$$

$$V_3 = 0,89 + \left[ \frac{1,53}{4,5} 316 + (3 \cdot 7,92 - 4,6) 2,39 \cdot 2,025 \right] \frac{1}{5,39 \cdot 3,92} = 5,92$$

$$V_4 = 1,30 + \left[ \frac{23,50}{4,5} 530 + (1,37,51 - 5,5) 9,01 \cdot 2,025 \right] \frac{1}{13,01 \cdot 32,51} = 8,36$$

$$V_5 = 1,16 + \left[ \frac{\infty}{4,5} 776 - (1,36,51 - 6,4) \infty \cdot 2,025 \right] \frac{1}{\infty \cdot 42,51} = 5,81.$$

$V_1$  ergibt sich noch ungünstiger, wenn in 5) an Stelle von  $\sum_0^m Pa$  entsprechend § 53, 6) mit Zug I von 0 bis Verticale  $m + 1$ , Rad 0 bei  $m$ , gesetzt wird

$$\sum_0^1 Pa + \sum_1^2 P(2\lambda - a) = 6(4,5 + 3,2) + 6 \cdot 3,2 + 4 \cdot 2 = 73,4,$$

nämlich  $V_1 = 9,35$ . Die berechneten Grenzbeanspruchungen sind in Fig. 130 bei ihren Stäben eingeschrieben.

**Lastäquivalente.** Bezüglich der Trägerform, Beanspruchungen durch Eigengewicht allein und Grenzbeanspruchungen der Gurtungen gilt das in Beispiel 67 Gesagte. Mit Rücksicht auf die dort berechneten  $D$  sind die oberen Grenzbeanspruchungen der Hauptdiagonalen und Gegendiagonalen:

$$D_2 = 14,28 \quad D_3 = 16,47 \quad D_4 = 17,64 \quad D_5 = 18,06.$$

$$D'_2 = 14,06 \quad D'_3 = 12,32 \quad D'_4 = 16,46 \quad D'_5 = 17,81.$$

Für die negativen Grenzbeanspruchungen der Verticalen unter Voraussetzung oben liegender X-Gurtung in beiden anliegenden Feldern hat man wie in Beispiel 67

$$(6) \quad V_m = \mathfrak{B}_m - \frac{\lambda}{2n} \frac{\nu - m}{\nu} (n - m - 1)^2 p_v,$$

wonach sich dort fanden:

$$V_1 = -4,54 \quad V_2 = -8,29 \quad V_3 = -10,39 \quad V_4 = -11,25,$$

und mit den oben für gleichmässig vertheilte bewegte Last berechneten  $\nu$ ,  $\mathfrak{B}$  weiter ergeben:

$$V_5 = 0,68 - 0,225 \frac{\infty}{\infty} 16 \cdot 3,27 = - 11,09$$

$$V_6 = 0,86 - 0,225 \frac{18,56}{12,56} 9 \cdot 3,46 = - 9,49$$

$$V_7 = 0,95 - 0,225 \frac{12,48}{5,48} 4 \cdot 4,21 = - 7,72$$

$$V_8 = 1,00 - 0,225 \frac{10,74}{2,74} 1 \cdot 5,94 = - 4,24$$

$$V_9 = 0,89 - 0,225 \frac{10,14}{1,14} 0^2 \cdot \infty = 0,89.$$

Vorstehende  $V_1$  bis  $V_9$  sind also die wirklichen negativen Grenzbeanspruchungen der Verticalen. Für die positiven Grenzbeanspruchungen hat man nach § 53, 2) mit A. 37, 1)

$$(7) \quad V_m = \mathfrak{B}_m + [m^2(\delta - \nu - 1)p_c + (n - 2m - 1)\delta - (m + 1)(n - m - 1)(\nu - m)g] \frac{1}{2\nu(\delta - m - 1)},$$

worin  $p_c$  das Lastäquivalent zur Berechnung des neg max  $V_x$  eines durch Zug II direct befahrenen vollwandigen Trägers bei  $x=c=m\lambda$  bedeutet. Wir erhalten mit Rücksicht auf die in Beispiel 8 gegebene Tabelle der  $p_c$ :

$$V_1 = 0,46 + [1 \cdot 0,18 \cdot 5,94 + (7 \cdot 2,32 - 2 \cdot 8) 0,14 \cdot 0,9] \frac{2,25}{1,14 \cdot 0,32} = 7,24$$

$$V_2 = 0,35 + [2 \cdot 0,59 \cdot 4,21 + (5 \cdot 4,33 - 3 \cdot 7) 0,74 \cdot 0,9] \frac{2,25}{2,74 \cdot 1,33} = 6,75$$

$$V_3 = 0,41 + [9 \cdot 1,86 \cdot 3,46 + (3 \cdot 8,29 - 4 \cdot 6) 2,43 \cdot 0,9] \frac{2,25}{5,43 \cdot 4,29} = 6,19$$

$$V_4 = 0,48 + [16 \cdot 13,35 \cdot 3,27 + (1 \cdot 26,91 - 5 \cdot 5) 8,56 \cdot 0,9] \frac{2,25}{12,56 \cdot 21,91} = 6,31$$

$$V_5 = 0,68 + [25 \cdot \infty \cdot 3,06 - (1 \cdot 25,91 - 6 \cdot 4) \infty \cdot 0,9] \frac{2,25}{\infty \cdot 31,91} = 6,19.$$

Wie bei Berechnung mit bewegten Radlastzügen durch Zug I ein grösserer positiver Grenzwert von  $V_1$  als durch Zug II erreicht werden konnte, so gilt das Gleiche für die betreffenden Lastäquivalente. Wir erhalten zufolge Aufgabe 37 nach 3) mit demjenigen

$p$ , welches dem  $\max M_x$  in der Mitte eines durch Zug I direct befahrenen Trägers der Spannweite  $2\lambda$  entspricht (Beispiel 8),

$$V_1 = 0,46 + [1 \cdot 2 \cdot 0,18 \cdot 3,62 + (7 \cdot 2,32 - 2 \cdot 8) 0,14 \cdot 0,9] \frac{2,25}{1,14 \cdot 0,32} = 8,68.$$

Bezüglich der Abweichung der hier berechneten Grenzbeanspruchungen der Füllungsglieder von den für bewegte Radlastzüge erhaltenen ist auf das am Schlusse des Beispiels 64 Gesagte zu verweisen.

**Aufgabe 38. Verticalen mit anschliessenden Gegendiagonalen beim Parabelträger.**

Es soll festgestellt werden, ob beim parabolischen Segmentträger und parabolischen Linsenträger mit oben liegender X-Gurtung und unten liegender Fahrbahn für gleichmässig vertheilte bewegte Last die negative Grenzbeanspruchung einer Verticale  $m$  der ersten Trägerhälfte numerisch grösser ist als diejenige der Verticale  $n - m$  der zweiten Trägerhälfte.

**Segmentträger.** Bei horizontaler Z-Gurtung und auf die Knotenpunkte derselben wirkender Fahrbahnlast ist nach § 42, 5) mit  $\omega = 1$  und § 41, 7) die negative Grenzbeanspruchung der Verticale  $m$

$$V_m = g_s \lambda - \frac{(m-1)(n-m-1)^2 p \lambda}{(n-m)n-m+1 \cdot 2},$$

und diejenige der Verticale  $n - m$

$$V_{n-m} = g_s \lambda - \frac{(n-m-1)(m-1)^2 p \lambda}{mn-n+m+1 \cdot 2}.$$

Da hiernach

$$V_{n-m} - V_m = \frac{2(m-1)(n-m-1)(n-2m)}{(mn-n+m+1)(n^2-nm-m+1)} \frac{p \lambda}{2},$$

und dieser Werth für  $2m \leq n$  positiv ist, so sind die negativen Grenzbeanspruchungen der ersten Trägerhälfte grösser wie die der zweiten.

**Linsenträger.** Bei oben liegender X-Gurtung und auf die Knotenpunkte des Untergurts wirkender Fahrbahnlast ist nach § 42, 5) mit  $\omega = 0$  und § 41, 8) die negative Grenzbeanspruchung der Verticale  $m$

$$V_m = \frac{g_s - g_x}{2} \lambda - \frac{m(n-m-1)^2 p \lambda}{(n-m)n-m \cdot 2},$$

und diejenige der Verticale  $n - m$

$$V_{n-m} = \frac{g_s - g_x}{2} \lambda - \frac{(n-m)(m-1)^2 p \lambda}{mn - n + m}.$$

Es folgt daraus

$$V_{n-m} - V_m = \frac{[n(m-1)(n-2m) + (n-2)m^2](n-2m)p\lambda}{(mn - n + m)(n^2 - nm - m)} \cdot \frac{1}{2},$$

welchen Werth man wieder für  $2m \leq n$  als positiv erkennt, sodass der oben gezogene Schluss auch hier gilt.

In beiden betrachteten Fällen genügt es also bei Berechnung für gleichmässig vertheilte bewegte Last die negativen Grenzbeanspruchungen der ersten Trägerhälfte einschliesslich eventuell der mittleren Verticale (bei gerader Felderzahl) nach den Formeln für oben liegende X-Gurtung zu berechnen (§ 52). Dasselbe hat sich in § 50 für den Parallelträger ergeben und gleiche Feststellungen lassen sich für andre Fälle vornehmen.



## V. Abschnitt.

### Continuirliche Gelenkträger.

**Beispiel 75. Continuirlicher Gelenkträger (Dachbinder) einfachen Systems mit Verticalen und beliebigen Gurtungsformen.**

Die Dachbinder einer Halle sollen als continuirliche Gelenkträger nach der Andeutung in Fig. 131 construirt werden (von den 4 Gelenken in der Mittelöffnung und über den Endstützen ist ein beliebiges horizontal verschiebbar anzuordnen). Spannweite der Mittelöffnung  $12 \cdot 4 = 48$  m, der beiden äussern Oeffnungen  $5 \cdot 4 = 20$  m. Die gekrümmten Gurtungen sind Kreisbogen eingeschrieben, deren Scheitel 10 und 14 m über dem Untergurt der äussern Oeffnungen liegen. Feste Last per laufenden Meter Träger  $g = 0,5$  tn, Belastung durch Wind- und Schneedruck  $p = 0,55$  tn. Von der festen Last sind 0,4 tn auf die Knotenpunkte des Obergurts und 0,1 tn auf diejenigen des Untergurts zu rechnen. Die bewegte Last soll beliebige Theile der Dachfläche treffen können. Es sind die Grenzwerte der Stabkräfte und Stützenreactionen zu berechnen.

Das Trägerstück zwischen den beiden mittleren Gelenken ist ein einfacher Balkenträger, dessen vollständige Berechnung Beispiel 38 enthält. Da der ganze Träger zur Mitte symmetrisch ist, so haben wir hier nur die Berechnung des ersten Trägerstücks vom linken Endauflager bis zum ersten Zwischengelenke durchzuführen (Fig. 132). Beim Ansatz der Formeln für die Beanspruchungen beachten wir, dass  $g$ ,  $p$ ,  $\lambda$  für alle Oeffnungen gleich gross vorausgesetzt sind. Im Folgenden bedeuten  $r = \rho\lambda$ ,  $t = \tau\lambda$  die Abstände der Zwischengelenke von der Verticalen durch die erste Zwischenstütze. Alle Beanspruchungen sind in Tonnen, alle Längen in Metern ausgedrückt.

**Formberechnung.** Nach § 17, 37) hat man die Gleichung eines Kreisbogens der horizontalen Sehnenlänge  $l$  und des Pfeiles  $f$ , wenn der Ursprung der Coordinaten an einem Sehnenende liegt,

$$(1) \quad y = -\left(\frac{l^2}{8f} - \frac{f}{2}\right) + \sqrt{\left(\frac{l^2}{8f} - \frac{f}{2}\right)^2 + x(l-x)}.$$

Mit  $l = 48$ ,  $f = 14$  folgt daraus die Gleichung des steileren Gurtungsbogens hinsichtlich eines Koordinatensystems, dessen Ursprung im zweiten Auflager liegt,

$$y = -13,5714 + \sqrt{184,1829 + x(48-x)}.$$

Für  $x = 8$  wird  $y = 8,8826$ , sodass die Scheitel der beiden Kreisbogen um  $14 - 8,8826 = 5,1174$  und  $1,1174$  über den Zwischen Gelenken liegen, wie dies in Beispiel 38 der dortigen Formberechnung zu Grunde gelegt wurde. Weiter erhält man für  $x = 4$  die Ordinate  $y = 5,407$ .

Da nach § 17, 36) der Durchmesser eines Kreisbogens von beliebigen  $l, f$ ,

$$(2) \quad d = f + \frac{l^2}{4f},$$

so hat man für den Pfeil  $f$  des flacheren Gurtungsbogens

$$d = 1,1174 + \frac{32^2}{4 \cdot 1,1174} = f + \frac{88^2}{4f}, \quad f = 8,742,$$

wonach  $10 - 8,742 = 1,258$  die Länge der Verticalen über den Endauflagern ist. Die Gleichung des flacheren Gurtungsbogens hinsichtlich eines Koordinatensystems mit dem Ursprunge an seinem Ende links folgt aus 1) mit  $l = 88$ ,  $f = 8,742$ ,

$$y = -106,359 + \sqrt{11312 + x(88-x)},$$

und in Hinsicht eines Koordinatensystems mit dem Ursprunge im Endauflager links

$$\xi = y + 1,258 = -105,101 + \sqrt{11312 + x(88-x)}.$$

Wir erhalten nun in der ersten Oeffnung

für	$m = 0$	1	2	3	4	5:
	$h_m = \xi_m = 1,258$	2,826	4,225	5,462	6,542	7,470
	$x_m = \sqrt{\lambda^2 + (h_m - h_{m-1})^2} =$	4,296	4,238	4,187	4,143	4,106
	$d_m = \sqrt{\lambda^2 + h_{m-1}^2} =$	4,193	4,898	5,818	6,770	7,668
	$\varepsilon = \nu = \frac{h_m}{h_m - h_{m-1}} =$	1,80	3,02	4,42	6,06	8,05,

und in der zweiten Oeffnung

für	$m = 0$	1	2:
	$\xi_m = 7,470$	8,258	8,883
	$\eta_m = 0$	5,407	8,883
			21*

für	$m =$	0	1	2:
	$h_m = \xi_m - \beta_m =$	7,470	2,851	0
	$x_m = \sqrt{\lambda^2 + (\xi_m - \xi_{m-1})^2} =$		4,077	4,049
	$z_m = \sqrt{\lambda^2 + (\beta_m - \beta_{m-1})^2} =$		6,726	5,299
	$d_m = \sqrt{\lambda^2 + (\xi_{m-1} - \beta_m)^2} =$		4,501	4,049
	$\varepsilon = \frac{h_m}{h_m - h_{m-1}} =$		- 0,62	0
	$\nu = \frac{h_m}{\xi_m + \beta_m - \xi_{m-1} - \beta_{m-1}} =$	- 1,67	- 1,06	0.

Eigengewicht allein. Nach § 60, 16) 21) gelten für die Beanspruchungen durch Eigengewicht allein in der ersten Oeffnung folgende Gleichungen:

$$(3) \quad \begin{cases} \mathfrak{X}_m = -m \left( n - m - \frac{\varrho \tau}{n} \right) \frac{x_m g \lambda}{h_m^2}, \\ \mathfrak{B}_m = (m-1) \left( n + 1 - m - \frac{\varrho \tau}{n} \right) \frac{z_m g \lambda}{h_{m-1}^2}, \\ \mathfrak{D}_m = - \left( 2m - n - 1 + m \frac{n-m}{\varepsilon} + \frac{\varepsilon - m}{\varepsilon} \frac{\varrho \tau}{n} \right) \frac{d_m g \lambda}{h_{m-1}^2}, \\ \mathfrak{B}_m = \left( 2m - n - \frac{g_x - g_s}{g} + m \frac{n-m}{\nu} + \frac{\nu - m}{\nu} \frac{\varrho \tau}{n} \right) \frac{g \lambda}{2}. \end{cases}$$

Wir erhalten daraus mit  $n = 5$ ,  $\lambda = 4$ ,  $z_m = 4$ ,  $\varrho = 2$ ,  $\tau = 10$ ,  $g = 0,5$ ,  $g_x = 0,4$ ,  $g_s = 0,1$  und

$$\frac{\varrho \tau}{n} = 4, \quad \frac{g \lambda}{2} = 1, \quad \frac{g_x - g_s}{g} = 0,6$$

die Beanspruchungen der Gurtungsstäbe:

$$\begin{aligned} \mathfrak{X}_1 &= -1 \cdot 0 \frac{4,30}{2,83} = 0 & \mathfrak{B}_1 &= 0 \cdot 1 \frac{4}{1,26} = 0 \\ \mathfrak{X}_2 &= 2 \cdot 1 \frac{4,24}{4,22} = 2,01 & \mathfrak{B}_2 &= 1 \cdot 0 \frac{4}{2,83} = 0 \\ \mathfrak{X}_3 &= 3 \cdot 2 \frac{4,19}{5,46} = 4,60 & \mathfrak{B}_3 &= -2 \cdot 1 \frac{4}{4,22} = -1,90 \\ \mathfrak{X}_4 &= 4 \cdot 3 \frac{4,14}{6,54} = 7,60 & \mathfrak{B}_4 &= -3 \cdot 2 \frac{4}{5,46} = -4,40 \\ \mathfrak{X}_5 &= 5 \cdot 4 \frac{4,11}{7,47} = 11,00 & \mathfrak{B}_5 &= -4 \cdot 3 \frac{4}{6,54} = -7,34, \end{aligned}$$

und die Beanspruchungen der Füllungsglieder:

$$\begin{aligned}
 \mathfrak{D}_1 &= - \left( -4 + \frac{7,20}{1,80} \right) \frac{4,19}{1,26} = 0 & \mathfrak{B}_1 &= -3,6 + \frac{7,20}{1,80} = 0,40 \\
 \mathfrak{D}_2 &= - \left( -2 + \frac{10,08}{3,02} \right) \frac{4,90}{2,83} = -2,32 & \mathfrak{B}_2 &= -1,6 + \frac{10,08}{3,02} = 1,74 \\
 \mathfrak{D}_3 &= - \left( 0 + \frac{11,68}{4,42} \right) \frac{5,82}{4,22} = -3,64 & \mathfrak{B}_3 &= 0,4 + \frac{11,68}{4,42} = 3,04 \\
 \mathfrak{D}_4 &= - \left( 2 + \frac{12,24}{6,06} \right) \frac{6,77}{5,46} = -4,97 & \mathfrak{B}_4 &= 2,4 + \frac{12,24}{6,06} = 4,42 \\
 \mathfrak{D}_5 &= - \left( 4 + \frac{12,20}{8,05} \right) \frac{7,67}{6,54} = -6,47
 \end{aligned}$$

Für die zweite Oeffnung sind nach § 60, 19) die Beanspruchungen durch Eigengewicht allein wie folgt ausgedrückt:

$$(4) \quad \begin{cases} \mathfrak{X}_m = (\varrho - m) (\tau - m) \frac{x_m g \lambda}{h_m^2}, \\ \mathfrak{B}_m = -(\varrho + 1 - m) (\tau + 1 - m) \frac{x_m g \lambda}{h_{m-1}^2}, \\ \mathfrak{D}_m = \left( \varrho + \tau + 1 - 2m + \frac{(\varrho - m)(\tau - m)}{\varepsilon} \right) \frac{d_m g \lambda}{h_{m-1}^2}, \\ \mathfrak{B}_m = - \left( \varrho + \tau - 2m + \frac{g_x - g_s}{g} + \frac{(\varrho - m)(\tau - m)}{\nu} \right) \frac{g \lambda}{2} \end{cases}$$

Diese Gleichungen liefern:

$$\begin{aligned}
 \mathfrak{X}_1 &= 1 \cdot 9 \frac{4,08}{2,85} = 12,88 & \mathfrak{B}_1 &= -2 \cdot 10 \frac{6,78}{7,47} = -18,02 \\
 \mathfrak{X}_2 &= 0 \cdot 8 \frac{4,05}{0} & \mathfrak{B}_2 &= -1 \cdot 9 \frac{5,30}{2,85} = -16,74 \\
 \mathfrak{D}_1 &= \left( 11 - \frac{1 \cdot 9}{0,62} \right) \frac{4,50}{7,47} = -2,13 & \mathfrak{B}_0 &= -12,6 + \frac{2 \cdot 10}{1,67} = -0,62 \\
 \mathfrak{D}_2 &= \left( 9 + \frac{0 \cdot 8}{0} \right) \frac{4,05}{2,85} & \mathfrak{B}_1 &= -10,6 + \frac{1 \cdot 9}{1,06} = -2,11.
 \end{aligned}$$

Für  $\mathfrak{X}_2$ ,  $\mathfrak{D}_2$  erhält man wie ersichtlich unbestimmte Ausdrücke, doch ergibt die Bedingung „Summe aller Horizontalkräfte gleich Null“ in Anwendung auf Knotenpunkt 1 des Obergurts die ganze Beanspruchung des Obergurtstabs 2 bei jeder Belastung

$$(5) \quad X_2 = X_1 \frac{x_2}{x_1},$$

sodass die Beanspruchung für Eigengewicht allein

$$\mathfrak{X}_2 = 12,88 \frac{4,05}{4,08} = 12,79.$$

Bezeichnet  $l$  die Spannweite der äusseren Oeffnungen, so hat man für die vom Eigengewicht allein erzeugte Reaction der Anfangsstütze nach § 58, 21), mit  $l_a = r_a = t_a = 0$ ,  $l_1 = l$ ,

$$(6) \quad \mathfrak{R} = (l^2 - rt) \frac{g}{2l},$$

und diejenige der ersten Zwischenstütze nach § 58, 20), mit  $l_a = l$ ,  $l_b = r_b = t_b = 0$ ,

$$(7) \quad \mathfrak{R}' = (l + r)(l + t) \frac{g}{2l},$$

wonach im vorliegenden Falle

$$\mathfrak{R} = (400 - 8 \cdot 40) \frac{0,5}{40} = 1, \quad \mathfrak{R}' = 28 \cdot 60 \frac{0,5}{40} = 21.$$

Nach § 16 setzen die Gleichungen für  $V_m$ ,  $\mathfrak{B}_m$  voraus, dass sich zu beiden Seiten der Verticale  $m$  Felder gleicher Länge  $\lambda$  mit Diagonalen gleicher Stellung befinden (in beiden Feldern die X-Gurtung oben oder in beiden die Z-Gurtung oben), sie gelten also zwar für  $V_1$  der Mittelöffnung, da man sich die Diagonale im zweiten Felde derselben mit dem Obergurtstab zusammenfallend denken kann, nicht aber für  $V_0$  der ersten Oeffnung. Für diese Beanspruchung hat man bei jeder Belastung, wenn  $R$  die Reaction der Anfangsstütze bedeutet,

$$(8) \quad R + V_0 - \frac{\lambda}{2} g_z = 0,$$

also wenn nur das Eigengewicht wirkt,

$$\mathfrak{B}_0 = -1 + 2 \cdot 0,1 = -0,8.$$

Die Verticale über der ersten Zwischenstütze ist deshalb aus den Verhältnissen der zweiten Oeffnung (und nicht der ersten) zu berechnen, weil ein dieselbe treffender Verticalschnitt durch die X-Gurtung des vorhergehenden und die Z-Gurtung des nachfolgenden Feldes rechts der Stütze vorbeigeht (Fig. 133). Bei untenliegender X-Gurtung wäre das Gegentheil der Fall gewesen.

**Grenzwerthe.** Für die erste Oeffnung sind nach § 61, 12)—14) die Grenzbeanspruchungen der Gurtungen:

$$(9) \quad \begin{cases} X_m = \mathfrak{X}_m - m(n - m) \frac{x_m p \lambda}{h_m \frac{n}{2}}, \\ X_m = \mathfrak{X}_m + m \frac{x_m q \tau p \lambda}{h_m \frac{n}{2}}, \end{cases}$$

$$(10) \quad \begin{cases} Z_m = \mathfrak{Z}_m + (m - 1)(n - m + 1) \frac{x_m p \lambda}{h_{m-1} \frac{n}{2}}, \\ Z_m = \mathfrak{Z}_m - (m - 1) \frac{x_m q \tau p \lambda}{h_{m-1} \frac{n}{2}}, \end{cases}$$

und nach § 61, 12) 16) 19) die Grenzbeanspruchungen der Füllungs-  
glieder:

$$(11) \quad \begin{cases} D_m = \mathfrak{D}_m + \frac{(\varepsilon - m)(\varepsilon - 1)(n - m)^2}{(n - 1) \varepsilon - n + m} \frac{d_m}{\varepsilon h_{m-1}} \frac{p \lambda}{2}, \\ D_m = \mathfrak{D}_m - \left[ \frac{(\varepsilon - m + n)(m - 1)^2}{(n - 1) \varepsilon - n + m} + \frac{\varepsilon - m}{\varepsilon} \frac{q \tau}{n} \right] \frac{d_m}{h_{m-1}} \frac{p \lambda}{2}, \end{cases}$$

$$(12) \quad \begin{cases} V_m = \mathfrak{B}_m - \frac{(\nu - m)(\nu - 1)(n - m)^2}{(n - 1) \nu - n + m} \frac{p \lambda}{2 \nu}, \\ V_m = \mathfrak{B}_m + \left[ \frac{(\nu - m + n)(m - 1)^2}{(n - 1) \nu - n + m} + \frac{\nu - m}{\nu} \frac{q \tau}{n} \right] \frac{p \lambda}{2}. \end{cases}$$

Diese Gleichungen liefern die Grenzbeanspruchungen des Obergurts:

$$\begin{aligned} X_1 &= 0 - 1 \cdot 4 \frac{4,30}{2,83} 1,1 = - 6,68 \\ X_2 &= 2,01 - 2 \cdot 3 \frac{4,24}{4,22} 1,1 = - 4,62 \\ X_3 &= 4,60 - 3 \cdot 2 \frac{4,19}{5,46} 1,1 = - 0,46 \\ X_4 &= 7,60 - 4 \cdot 1 \frac{4,14}{6,54} 1,1 = 4,81 \\ X_5 &= 11,00 - 5 \cdot 0 \frac{4,11}{7,47} 1,1 = 11,00, \end{aligned}$$

$$\begin{aligned} X_1 &= 0 + 1 \frac{4,30}{2,83} 4,4 = 6,68 \\ X_2 &= 2,01 + 2 \frac{4,24}{4,22} 4,4 = 10,85 \\ X_3 &= 4,60 + 3 \frac{4,19}{5,46} 4,4 = 14,72 \\ X_4 &= 7,60 + 4 \frac{4,14}{6,54} 4,4 = 18,74 \\ X_5 &= 11,00 + 5 \frac{4,11}{7,47} 4,4 = 23,10; \end{aligned}$$

die Grenzbeanspruchungen des Untergurts:

$$\begin{aligned} Z_1 &= 0 + 0 \cdot 5 \frac{4}{1,26} 1,1 = 0 \\ Z_2 &= 0 + 1 \cdot 4 \frac{4}{2,83} 1,1 = 6,22 \\ Z_3 &= - 1,90 + 2 \cdot 3 \frac{4}{4,22} 1,1 = 4,36 \\ Z_4 &= - 4,40 + 3 \cdot 2 \frac{4}{5,46} 1,1 = 0,44 \\ Z_5 &= - 7,34 + 4 \cdot 1 \frac{4}{6,54} 1,1 = - 4,65, \end{aligned}$$

$$Z_1 = 0 - 0 \frac{4}{1,26} 4,4 = 0$$

$$Z_2 = 0 - 1 \frac{4}{2,83} 4,4 = - 6,22$$

$$Z_3 = - 1,90 - 2 \frac{4}{4,22} 4,4 = - 10,48$$

$$Z_4 = - 4,40 - 3 \frac{4}{5,46} 4,4 = - 14,07$$

$$Z_5 = - 7,34 - 4 \frac{4}{6,54} 4,4 = - 18,10;$$

die Grenzbeanspruchungen der Diagonalen:

$$D_1 = 0 + \frac{0,8 \cdot 0,8 \cdot 16 \cdot 4,19}{3,20 \cdot 1,80 \cdot 1,26} 1,1 = 5,19$$

$$D_2 = - 2,32 + \frac{1,02 \cdot 2,02 \cdot 9 \cdot 4,90}{9,08 \cdot 3,02 \cdot 2,83} 1,1 = - 0,59$$

$$D_3 = - 3,64 + \frac{1,42 \cdot 3,42 \cdot 5,82}{15,68 \cdot 4,42 \cdot 4,22} 1,1 = - 3,21$$

$$D_4 = - 4,97 + \frac{2,06 \cdot 5,06 \cdot 6,77}{23,24 \cdot 6,06 \cdot 5,46} 1,1 = - 4,87$$

$$D_5 = - 6,47 + \frac{3,05 \cdot 7,05 \cdot 0 \cdot 7,67}{32,20 \cdot 8,05 \cdot 6,54} 1,1 = - 6,47,$$

$$D_1 = 0 - \left( \frac{5,80}{3,20} 0 + \frac{0,80}{1,80} 4 \right) \frac{4,19}{1,26} 1,1 = - 6,50$$

$$D_2 = - 2,32 - \left( \frac{6,02}{9,08} 1 + \frac{1,02}{3,02} 4 \right) \frac{4,90}{2,83} 1,1 = - 6,16$$

$$D_3 = - 3,64 - \left( \frac{6,42}{15,68} 4 + \frac{1,42}{4,42} 4 \right) \frac{5,82}{4,22} 1,1 = - 8,07$$

$$D_4 = - 4,97 - \left( \frac{7,06}{23,24} 9 + \frac{2,06}{6,06} 4 \right) \frac{6,77}{5,46} 1,1 = - 10,55$$

$$D_5 = - 6,47 - \left( \frac{8,05}{32,20} 16 + \frac{3,05}{8,05} 4 \right) \frac{7,67}{6,54} 1,1 = - 13,55,$$

und die Grenzbeanspruchungen der Verticalen:

$$V_1 = 0,40 - \frac{0,80 \cdot 0,80}{3,20 \cdot 1,80} 16 \cdot 1,1 = - 1,56$$

$$V_2 = 1,74 - \frac{1,02 \cdot 2,02}{9,08 \cdot 3,02} 9 \cdot 1,1 = 1,00$$

$$V_3 = 3,04 - \frac{1,42 \cdot 3,42}{15,68 \cdot 4,42} 4 \cdot 1,1 = 3,73$$

$$V_4 = 4,42 - \frac{2,06 \cdot 5,06}{23,24 \cdot 6,06} 1 \cdot 1,1 = 4,34,$$

$$V_1 = 0,40 + \left( \frac{5,80}{3,20} 0 + \frac{0,80}{1,80} 4 \right) 1,1 = 2,36$$

$$V_2 = 1,74 + \left( \frac{6,02}{9,08} 1 + \frac{1,02}{3,02} 4 \right) 1,1 = 3,96$$

$$V_3 = 3,04 + \left( \frac{6,42}{15,68} 4 + \frac{1,42}{4,42} 4 \right) 1,1 = 6,26$$

$$V_4 = 4,42 + \left( \frac{7,06}{23,24} 9 + \frac{2,06}{6,06} 4 \right) 1,1 = 8,92.$$

In der zweiten Oeffnung hat man nach § 61, 9) die oberen Grenzbeanspruchungen der Gurtungen

$$(13) \quad X_m = \frac{q}{g} \mathfrak{X}_m, \quad Z_m = \frac{q}{g} \mathfrak{X}_m,$$

während die unteren Grenzbeanspruchungen für Eigengewicht allein eintreten. Wir erhalten mit  $q : g = 1,05 : 0,5 = 2,1$  die oberen Grenzwerte:

$$\begin{aligned} X_1 &= 27,05 & Z_1 &= -37,84 \\ X_2 &= 26,86 & Z_2 &= -35,15. \end{aligned}$$

Für die Diagonale 1 liegt  $m - \varepsilon$  zwischen  $m$  und  $\varrho$ , sodass nach § 61, 3) die Grenzbeanspruchungen

$$(14) \quad \begin{cases} D_m = \mathfrak{D}_m + (1 - \varepsilon) \frac{d_m}{h_{m-1}} \frac{p\lambda}{2}, \\ D_m = \mathfrak{D}_m - (m - \varepsilon - \varrho) (\tau + \varepsilon - m) \frac{d_m}{\varepsilon h_{m-1}} \frac{p\lambda}{2}, \end{cases}$$

das heisst

$$D_1 = -2,13 + 1,62 \frac{4,50}{7,47} 1,1 = -1,06$$

$$D_1 = -2,13 - 0,38 \cdot 8,38 \frac{4,50 \cdot 1,1}{0,62 \cdot 7,47} = -5,53.$$

Da für die Verticale 0 der Werth  $m - \nu$  zwischen  $m$  und  $\varrho$  liegt, so sind deren Grenzbeanspruchungen nach § 61, 5)

$$(15) \quad \begin{cases} V_m = \mathfrak{V}_m - (1 - \nu) \frac{p\lambda}{2}, \\ V_m = \mathfrak{V}_m + (m - \nu - \varrho) (\tau + \nu - m) \frac{p\lambda}{2\nu}, \end{cases}$$

und da für die Verticale 1 jene Bedingung nicht erfüllt ist, so hat man für sie nach § 61, 7)

$$(16) \quad V_m = \mathfrak{V}_m - \left( \varrho + \tau + 1 - 2m + \frac{(\varrho - m)(\tau - m)}{\nu} \right) \frac{p\lambda}{2}, \quad V_m = \mathfrak{V}_m.$$



Diese Gleichungen liefern:

$$V_0 = -0,62 - 2,67 \cdot 1,1 = -3,56$$

$$V_1 = 0,40 - \left(11 - \frac{1 \cdot 9}{1,06}\right) 1,1 = -2,36,$$

$$V_0 = -0,62 + 0,33 \cdot 8,33 \frac{1,1}{1,67} = 1,19$$

$$V_1 = \mathfrak{B}_1 = 0,40.$$

Wenn  $l$  die Spannweite der äussern Oeffnungen bezeichnet, dann folgen aus § 58, 17) mit  $l_a = r_a = t_a = 0$ ,  $l_1 = l$  die Grenzreactionen der Anfangsstütze

$$(17) \quad R = \mathfrak{R} + \frac{l}{2} p, \quad R = \mathfrak{R} - \frac{r t}{2 l} p,$$

und nach § 58, 16) mit  $l_b = r_b = t_b = 0$ ,  $l_a = l$  die Grenzreactionen der ersten Zwischenstütze

$$(18) \quad R = \mathfrak{R}' + (l + r)(l + t) \frac{p}{2 l} = \frac{g}{g} \mathfrak{R}', \quad R' = \mathfrak{R}'.$$

Wir erhalten danach

$$R = 1 + 10 \cdot 0,55 = 6,5 \quad R = 1 - \frac{8 \cdot 40}{2 \cdot 48} 0,55 = -0,83$$

$$R' = 2,1 \cdot 21 = 44,1 \quad R' = 21.$$

Schliesslich ergibt 8) die Grenzbeanspruchungen der Verticale 0 in der ersten Oeffnung

$$V_0 = -6,5 + 2 \cdot 0,1 = -6,3 \quad V_0 = \mathfrak{B}_0 = -0,8.$$

Damit sind alle verlangten Grenzwerte bestimmt. Dieselben wurden in Fig. 134 für eine Trägerhälfte eingetragen.

**Bemerkungen.** Da die Verticalreactionen über den Endstützen negativ werden können, so sind die Trägerenden daselbst zu verankern. Die Verankerungen müssen dem Zuge von 0,82 widerstehen. Eine Verankerung würde vermieden für

$$R = (l^2 - r t) \frac{g}{2 l} - \frac{r t}{2 l} p \geq 0,$$

das heisst auch für

$$\left(\frac{l^2}{r t} - 1\right) g \geq p.$$

Den schiefen Winddruck hätten wir für das Trägerstück zwischen den beiden mittleren Gelenken ganz wie in den Beispielen 58, 57 und für die übrigen Theile des Trägers in analoger Weise mittelst der Formeln § 60, 1)—4) und A. 4, 1)—3) berechnen können.

Angenommen es habe sich um einen Träger mit zwei Oeffnungen gehandelt, der im Uebrigen ganz dem oben behandelten Träger (von

der Anfangsstütze bis zum zweiten Zwischengelenke) entsprochen hätte, dann würde an der obigen Berechnung absolut Nichts zu ändern gewesen sein. Die Reaction  $V'$  der Endstütze wäre wie in Beispiel 38 bestimmt.

**Beispiel 76. Continuirliche Gelenkträger einfachen Systems mit Verticalen und parallelen Gurtungen. Berechnung für gleichmässig vertheilte bewegte Last.**

Für eine Brücke mit drei Oeffnungen sollen continuirliche Gelenkträger der Spannweiten 24 m, 36 m, 24 m mit Verticalen und parallelen Gurtungen zur Verwendung kommen. Gewünschte Trägerhöhe  $h = 4$  m, Feldlänge durchgehends  $\lambda = 3$  m. Die Zwischengelenke liegen in der mittleren Oeffnung am Untergurte, um 6 m von den nächsten Auflagern entfernt. Eigengewicht per laufenden Meter Träger  $g = 0,73$  tn, Verkehrslast  $p = 2,77$  tn. Vom Eigengewichte kommen 0,53 tn auf die Knotenpunkte des Obergurts, in welchen die Fahrbahnlast angreift, und 0,2 tn auf die Knotenpunkte des Untergurts. Die Grenzwerte der Stabkräfte und Stützenreactionen festzustellen (Fig. 135).

Wir wollen die Stellungen der Diagonalen so wählen, dass dieselben bei Belastung durch Eigengewicht allein gezogen werden. Das Trägerstück zwischen den beiden mittleren Gelenken wirkt als einfacher Balkenträger, seine Berechnung ist in Beispiel 44 durchgeführt. Da der ganze Träger zur Mitte symmetrisch ist, so bleibt hier nur das erste Trägerstück von der Anfangsstütze bis zum ersten Zwischengelenke zu berechnen (Fig. 136). Im Folgenden bezeichnen  $r = \rho\lambda$ ,  $t = \tau\lambda$  die Abstände der Zwischengelenke vom zweiten Auflager und  $l$  die Spannweite der äussern Oeffnungen. Alle Beanspruchungen sind in Tonnen, alle Längen in Metern ausgedrückt.

**Eigengewicht allein.** Die vom Eigengewichte allein erzeugten Stützenreactionen sind für die Anfangsstütze nach § 58, 21), mit  $l_a = r_a = t_a = 0$ ,  $l_1 = l$ ,

$$(1) \quad \Re = (l^2 - rt) \frac{g}{2l},$$

und für die erste Zwischenstütze nach § 58, 20), mit  $l_b = r_b = t_b = 0$ ,  $l_a = l$ ,

$$(2) \quad \Re' = (l + r)(l + t) \frac{g}{2l}.$$

Wir erhalten aus diesen Gleichungen

$$\Re = (24^2 - 6 \cdot 30) \frac{0,73}{48} = 6,02 \quad \Re' = 30 \cdot 54 \frac{0,73}{48} = 24,64.$$

Für die Stäbe der ersten Oeffnung hat man nach § 63, 6) mit § 60, 21) die Beanspruchungen durch Eigengewicht allein

$$(3) \quad \begin{cases} \mathfrak{X}_m = \mp m \left( n - m - \frac{e\tau}{n} \right) \frac{g\lambda^3}{2h} = - \mathfrak{B}_{m+1}, \\ \mathfrak{D}_m = \pm \left( n + 1 - 2m - \frac{e\tau}{n} \right) \frac{g\lambda d}{2h}, \\ \mathfrak{B}_m = \mp \left( n + \frac{g_x - g_s}{g} - 2m - \frac{e\tau}{n} \right) \frac{g\lambda}{2}, \end{cases}$$

worin die oberen Vorzeichen oben liegender X-Gurtung, die unteren unten liegender X-Gurtung entsprechen. Im vorliegenden Falle sind  $n = 8$ ,  $e = 2$ ,  $\tau = 10$ ,  $\lambda = 3$ ,  $h = 4$ ,  $d = 5$ ,  $g = 0,73$ , und da hier-nach  $\mathfrak{D}_m$  bei oben liegender X-Gurtung vom vierten Felde an negativ würde, so sind die drei ersten Felder mit oben liegender, die fünf letzten mit unten liegender X-Gurtung anzuordnen. Es folgen dann aus 3) für  $m = 1$  bis  $m = 3$ , mit  $g_x = 0,53$ ,  $g_s = 0,2$ ,

$$\begin{aligned} \mathfrak{X}_m &= -0,821 m (5,5 - m) = - \mathfrak{B}_{m+1}, \\ \mathfrak{D}_m &= 1,369 (6,5 - 2m), \\ \mathfrak{B}_m &= -1,095 (5,95 - 2m), \end{aligned}$$

und von  $m = 4$  bis  $m = 8$ , mit  $g_x = 0,2$ ,  $g_s = 0,53$ ,

$$\begin{aligned} \mathfrak{X}_m &= 0,821 m (5,5 - m), \\ \mathfrak{D}_m &= -1,369 (6,5 - 2m), \\ \mathfrak{B}_m &= 1,095 (5,05 - 2m). \end{aligned}$$

Die Gleichungen für  $V_m$ ,  $\mathfrak{B}_m$  setzen voraus, dass sich zu beiden Seiten der Verticale  $m$  Felder gleicher Länge  $\lambda$  mit Diagonalen gleicher Stellung befinden, sie gelten also nicht für  $V_0$ ,  $V_s$ . Indessen liefern die Gleichgewichtsbedingungen für die Knotenpunkte 0 des Untergurts und 3 des Obergurts bei jeder Belastung

$$(4) \quad V_0 + R - 0,2 \cdot 1,5 = 0, \quad Z_0 = 0,$$

$$(5) \quad V_s + K_s = 0, \quad Z_4 - X_s = 0,$$

unter  $K_s$  die Belastung des letzterwähnten Knotenpunkts verstanden. Vorstehende Gleichungen ergeben nun folgende Eigengewichtsbeanspruchungen der ersten Oeffnung:

$\mathfrak{X}_1 = -$	3,69	$\mathfrak{B}_1 =$	0	$\mathfrak{D}_1 =$	6,16	$\mathfrak{B}_1 = -$	4,33
$\mathfrak{X}_2 = -$	5,75	$\mathfrak{B}_2 =$	3,69	$\mathfrak{D}_2 =$	3,42	$\mathfrak{B}_2 = -$	2,14
$\mathfrak{X}_3 = -$	6,16	$\mathfrak{B}_3 =$	5,75	$\mathfrak{D}_3 =$	0,68	$\mathfrak{B}_3 = -$	1,59
$\mathfrak{X}_4 =$	4,93	$\mathfrak{B}_4 = -$	6,16	$\mathfrak{D}_4 =$	2,05	$\mathfrak{B}_4 = -$	3,23
$\mathfrak{X}_5 =$	2,05	$\mathfrak{B}_5 = -$	4,93	$\mathfrak{D}_5 =$	4,79	$\mathfrak{B}_5 = -$	5,42
$\mathfrak{X}_6 = -$	2,46	$\mathfrak{B}_6 = -$	2,05	$\mathfrak{D}_6 =$	7,53	$\mathfrak{B}_6 = -$	7,61
$\mathfrak{X}_7 = -$	8,62	$\mathfrak{B}_7 =$	2,46	$\mathfrak{D}_7 =$	10,27	$\mathfrak{B}_7 = -$	9,80.
$\mathfrak{X}_8 = -$	16,42	$\mathfrak{B}_8 =$	8,62	$\mathfrak{D}_8 =$	13,01		

Für die Stäbe der zweiten Oeffnung zwischen 0 und  $r$  gelten nach § 63, 8) bei Belastung durch Eigengewicht allein die Gleichungen:

$$(6) \quad \begin{cases} \mathfrak{X}_m = (\varrho - m) (\tau - m) \frac{g \lambda^2}{2h}, \\ \mathfrak{Z}_m = - (\varrho + 1 - m) (\tau + 1 - m) \frac{g \lambda^2}{2h}, \\ \mathfrak{D}_m = (\varrho + \tau + 1 - 2m) \frac{g \lambda d}{2h}, \\ \mathfrak{B}_m = - \left( \varrho + \tau + \frac{g_x - g_s}{g} - 2m \right) \frac{g \lambda}{2}. \end{cases}$$

Ausnahmen bilden die Verticalen 0 und 2, für welche man bei jeder Belastung hat

$$(7) \quad V_0 + R' - 0,2 \cdot 3 = 0, \quad V_2 + K_2 = 0,$$

unter  $K_2$  die Belastung des Knotenpunkts 2 im Obergurt verstanden. Wir erhalten aus 6) 7):

$$\begin{aligned} \mathfrak{X}_1 &= 1 \cdot 9 \cdot 0,821 = 7,39 & \mathfrak{Z}_1 &= - 2 \cdot 10 \cdot 0,821 = - 16,42 \\ \mathfrak{X}_2 &= 0 \cdot 8 \cdot 0,821 = 0 & \mathfrak{Z}_2 &= - 1 \cdot 9 \cdot 0,821 = - 7,39 \\ \mathfrak{D}_1 &= 11 \cdot 1,369 = 15,06 & \mathfrak{B}_0 &= - 24,64 + 0,6 = - 24,04 \\ \mathfrak{D}_2 &= 9 \cdot 1,369 = 12,32 & \mathfrak{B}_1 &= - 10,45 \cdot 1,095 = - 11,44 \\ & & \mathfrak{B}_2 &= - 0,53 \cdot 1,5 = - 0,80. \end{aligned}$$

Grenzwerte. Die Grenzwerte der Stützenreactionen sind nach § 58, 17) für die Anfangsstütze, mit  $l_a = r_a = t_a = 0$ ,  $l_1 = l$ ,

$$(8) \quad R = \mathfrak{R} + \frac{l}{2} p, \quad R = \mathfrak{R} - \frac{r}{2} p,$$

und nach § 58, 16) für die erste Zwischenstütze, mit  $l_b = r_b = t_b = 0$ ,  $l_a = l$ ,

$$(9) \quad R' = \mathfrak{R}' + (l + r) (l + t) \frac{p}{2l} = \frac{q}{g} \mathfrak{R}', \quad R' = \mathfrak{R}'.$$

Es folgen hieraus, mit  $q : g = 3,5 : 0,73 = 4,794$ ,

$$R = 6,02 + 12 \cdot 2,77 = 39,26,$$

$$R = 6,02 - \frac{3 \cdot 80}{24} 2,77 = - 4,37,$$

$$R' = 4,794 \cdot 24,64 = 118,12, \quad R' = 24,64.$$

Da die Reaction  $R$  negativ werden kann, so sind die Trägereenden mit den Endstützen zu verankern. Die Verankerungen müssen dem Zuge von 4,37 tn widerstehen können.

Für die erste Oeffnung hat man nach § 64, 8) 9) 10) die Grenzbeanspruchungen der Gurtungen und Diagonalen:

$$(10) \quad \begin{cases} X_m = \mathfrak{X}_m \mp m(n-m) \frac{p\lambda^2}{2h} = -Z_{m+1}, \\ X_m = \mathfrak{X}_m \pm m \frac{e\tau}{n} \frac{p\lambda^2}{2h} = -Z_{m+1}, \end{cases}$$

$$(11) \quad \begin{cases} D_m = \mathfrak{D}_m \pm \frac{(n-m)^2}{n-1} \frac{p\lambda d}{2h}, \\ D_m = \mathfrak{D}_m \mp \left[ \frac{(m-1)^2}{n-1} + \frac{e\tau}{n} \right] \frac{p\lambda d}{2h}. \end{cases}$$

In diesen Gleichungen gelten von  $m = 1$  bis  $m = 3$  die oberen Vorzeichen und von  $m = 4$  bis  $m = 8$  die unteren Vorzeichen. Die Grenzbeanspruchungen der Verticalen 1 und 2 sind nach § 64, 11):

$$(12) \quad \begin{cases} V_m = \mathfrak{B}_m - \frac{(n-m)^2}{n-1} \frac{p\lambda}{2}, \\ V_m = \mathfrak{B}_m + \left[ \frac{(m-1)^2}{n-1} + \frac{e\tau}{n} \right] \frac{p\lambda}{2}, \end{cases}$$

und diejenigen der Verticalen 4 bis 7 nach § 64, 12):

$$(13) \quad \begin{cases} V_m = \mathfrak{B}_m + \frac{(n-m-1)^2}{n-1} \frac{p\lambda}{2}, \\ V_m = \mathfrak{B}_m - \left[ \frac{m^2}{n-1} + \frac{e\tau}{n} \right] \frac{p\lambda}{2}. \end{cases}$$

Wir erhalten aus vorstehenden Gleichungen und 4) 5) die Grenzbeanspruchungen der Gurtungen:

$$\begin{aligned} X_1 &= - 3,69 - 1 \cdot 7 \cdot 3,116 = - 25,50 = - Z_2 \\ X_2 &= - 5,75 - 2 \cdot 6 \cdot 3,116 = - 43,14 = - Z_3 \\ X_3 &= - 6,16 - 3 \cdot 5 \cdot 3,116 = - 52,90 = - Z_4 \\ X_4 &= 4,93 + 4 \cdot 4 \cdot 3,116 = 54,79 = - Z_5 \\ X_5 &= 2,05 + 5 \cdot 3 \cdot 3,116 = 48,79 = - Z_6 \\ X_6 &= - 2,46 + 6 \cdot 2 \cdot 3,116 = 34,93 = - Z_7 \\ X_7 &= - 8,62 + 7 \cdot 1 \cdot 3,116 = 13,19 = - Z_8 \\ X_8 &= - 16,42 + 8 \cdot 0 \cdot 3,116 = - 16,42, \end{aligned}$$

$$\begin{aligned} X_1 &= - 3,69 + 1 \cdot 7,791 = 4,10 = - Z_2 \\ X_2 &= - 5,75 + 2 \cdot 7,791 = 9,83 = - Z_3 \\ X_3 &= - 6,16 + 3 \cdot 7,791 = 17,21 = - Z_4 \\ X_4 &= 4,93 - 4 \cdot 7,791 = - 26,23 = - Z_5 \\ X_5 &= 2,05 - 5 \cdot 7,791 = - 36,90 = - Z_6 \\ X_6 &= - 2,46 - 6 \cdot 7,791 = - 49,21 = - Z_7 \\ X_7 &= - 8,62 - 7 \cdot 7,791 = - 63,16 = - Z_8 \\ X_8 &= - 16,42 - 8 \cdot 7,791 = - 78,74; \end{aligned}$$

die Grenzbeanspruchungen der Diagonalen:

$$\begin{aligned}
 D_1 &= 6,16 + 49 \cdot 0,742 = 42,52 \\
 D_2 &= 3,42 + 36 \cdot 0,742 = 30,13 \\
 D_3 &= 0,68 + 25 \cdot 0,742 = 19,23 \\
 D_4 &= 2,05 - 16 \cdot 0,742 = - 9,82 \\
 D_5 &= 4,79 - 9 \cdot 0,742 = - 1,89 \\
 D_6 &= 7,53 - 4 \cdot 0,742 = 4,56 \\
 D_7 &= 10,27 - 1 \cdot 0,742 = 9,53 \\
 D_8 &= 13,01 - 0 \cdot 0,742 = 13,01, \\
 D_1 &= 6,16 - 17,5 \cdot 0,742 = - 6,82 \\
 D_2 &= 3,42 - 18,5 \cdot 0,742 = - 10,31 \\
 D_3 &= 0,68 - 21,5 \cdot 0,742 = - 15,27 \\
 D_4 &= 2,05 + 26,5 \cdot 0,742 = 21,71 \\
 D_5 &= 4,79 + 33,5 \cdot 0,742 = 29,65 \\
 D_6 &= 7,53 + 42,5 \cdot 0,742 = 39,07 \\
 D_7 &= 10,27 + 53,5 \cdot 0,742 = 49,97 \\
 D_8 &= 13,01 + 66,5 \cdot 0,742 = 62,35,
 \end{aligned}$$

und die Grenzbeanspruchungen der Verticalen:

$$\begin{aligned}
 V_0 &= - 39,26 + 0,30 = - 38,96 \\
 V_1 &= - 4,33 - 49 \cdot 0,594 = - 33,44 \\
 V_2 &= - 2,14 - 36 \cdot 0,594 = - 23,52 \\
 V_3 &= - 0,53 \cdot 3 - 2,77 \cdot 3 = - 9,90 \\
 V_4 &= - 3,23 + 9 \cdot 0,594 = 2,12 \\
 V_5 &= - 5,42 + 4 \cdot 0,594 = - 3,04 \\
 V_6 &= - 7,61 + 1 \cdot 0,594 = - 7,02 \\
 V_7 &= - 9,80 + 0 \cdot 0,594 = - 9,80, \\
 V_0 &= 4,37 + 0,30 = 4,67 \\
 V_1 &= - 4,33 + 17,5 \cdot 0,594 = 6,07 \\
 V_2 &= - 2,14 + 18,5 \cdot 0,594 = 8,85 \\
 V_3 &= 3,23 = - 1,59 \\
 V_4 &= - 3,23 - 33,5 \cdot 0,594 = - 23,13 \\
 V_5 &= - 5,42 - 42,5 \cdot 0,594 = - 30,67 \\
 V_6 &= - 7,61 - 53,5 \cdot 0,594 = - 39,39 \\
 V_7 &= - 9,80 - 66,5 \cdot 0,594 = - 49,30.
 \end{aligned}$$

Für die oberen Grenzbeanspruchungen der Gurtungen und Diagonalen in der zweiten Oeffnung von 0 bis  $r$  hat man nach § 64, 6)

$$(14) \quad X_m = \frac{q}{g} \mathfrak{X}_m, \quad Z_m = \frac{q}{g} \mathfrak{Z}_m, \quad D_m = \frac{q}{g} \mathfrak{D}_m;$$

wir erhalten, mit  $q : g = 4,794$

$$\begin{array}{lll} X_1 = 35,43 & Z_1 = -78,74 & D_1 = 72,20 \\ X_2 = 0 & Z_2 = -35,43 & D_2 = 59,06. \end{array}$$

Die obere Grenzbeanspruchung der Verticale 1 ist nach § 60, 4) durch

$$(15) \quad V_m = \mathfrak{V}_m - (\varrho + \tau + 1 - 2m) \frac{p^1}{2}$$

bestimmt, sodass

$$V_1 = -11,44 - 11 \cdot 4,155 = -57,15,$$

während aus 7) die oberen Grenzbeanspruchungen der Verticalen 0 und 2

$$V_0 = -118,12 + 0,6 = -117,52 \quad V_2 = -3,5 \cdot 1,5 = -4,45.$$

Die unteren Grenzbeanspruchungen aller Stäbe der zweiten Oeffnung zwischen 0 und  $r$  treten für Eigengewicht allein ein. Es sind also nun sämtliche verlangte Grenzwerte bestimmt. Ueber Anwendung von Gegendiagonalen im vorliegenden Falle siehe Beispiel 80.

**Beispiel 77. Continuirlicher Gelenkträger einfachen Systems mit Verticalen und parallelen Gurtungen. Berechnung für bewegte Radlastzüge.**

Die Träger des vorigen Beispiels sollen nun einer eingeleisigen Eisenbahnbrücke angehören und für bewegte Radlastzüge, zusammengesetzt aus Locomotiven der Radanordnung Fig. 18, berechnet werden.

Die vom Eigengewichte allein herrührenden Stabkräfte und Stützenreactionen bleiben wie im vorigen Beispiele bestimmt. Wie dort mögen  $l$  die Spannweite der äusseren Oeffnungen und  $r$ ,  $t$  die Abstände der Zwischengelenke vom zweiten Auflager bezeichnen.

Die Grenzreactionen der Anfangsstütze ergeben sich nach § 59, 26) 27) mit  $l_a = 0$ ,  $l_1 = l$  bei Belastung der ersten Oeffnung durch Zug II (Fig. 22), Vorderrad 0 bei 0,

$$(1) \quad R = \mathfrak{R} + \frac{1}{l} \sum_0^l P(l - a),$$

und bei Belastung der zweiten Oeffnung durch Zug I (Fig. 23 u. 24), Rad 0 bei  $r$ ,

$$(2) \quad R = \Re - \frac{1}{l} \left[ \sum_0^r Pa + \frac{r}{t-r} \sum_r^t P(t-a) \right].$$

Für die obere Grenzreaction der ersten Zwischenstütze hat man nach § 59, 23) mit  $l_a = l$ ,  $l_b = 0$  bei Belastung der zwei ersten Oeffnungen durch Zug I, Rad O bei  $r$ ,

$$(3) \quad R = \Re + \frac{1}{l} \sum_0^l Pa + \frac{1}{l} \left[ \sum_0^r P(l+a) + \frac{l+r}{t-r} \sum_r^t P(t-a) \right],$$

während die untere Grenzreaction dieser Stütze für Eigengewicht allein eintritt. Die Summenausdrücke in vorstehenden wie in den folgenden Gleichungen lassen sich aus der Tabelle in Beispiel 6 entnehmen oder wie in den Beispielen 27, 42 berechnen. Im letzteren Falle drücken sich aus:

$$R = 6,02 + \frac{1}{24} [6(24 + 22,7 + 21,4 + 13 + 11,7 + 10,4 + 2 + 0,7) + 4(20,2 + 9,2) + 5(17,2 + 6,2)] = 42,27 \text{ tn},$$

$$R = 6,02 - \frac{1}{24} [6(6 + 4,7) + 4 \cdot 3,5 + 5 \cdot 0,5] - \frac{6}{24 \cdot 24} [6(22,7 + 18,7 + 17,4 + 16,1 + 7,7 + 6,4 + 5,1) + 4(14,9 + 3,9) + 5(11,9 + 0,9)] = -4,67 \text{ tn} (-3,69),$$

$$R' = 24,64 + \frac{1}{24} [6(30 + 28,7 + 20,3 + 19 + 17,7 + 9,3 + 8 + 6,7) + 4(27,5 + 16,5 + 5,5) + 5(24,5 + 13,5 + 2,5)] + \frac{30}{24 \cdot 24} [6(22,7 + 18,7 + 17,4 + 16,1 + 7,7 + 6,4 + 5,1) + 4(14,9 + 3,9) + 5(11,9 + 0,9)] = -112,91 \text{ tn} (-112,10),$$

$$R' = \Re = 24,64 \text{ tn}.$$

Die Ansätze entsprechen der ersten Richtung des Zuges I, die der zweiten Richtung entsprechenden Werthe sind in Klammern beigelegt. Da die Reactionen der Endstützen negativ werden können, so sind die Trägerenden mit Letzteren zu verankern. Die Verankerungen haben einen Maximalzug von 4,67 tn auszuhalten.

Wird für Belastung der Mittelöffnung durch Zug I, Rad O bei  $r$ , gesetzt

$$(4) \quad N' = \sum_0^r Pa + \frac{r}{t-r} \sum_0^t P(t-a)$$



so erhält man die Grenzbeanspruchungen der ersten Oeffnung nach § 65, 14) — 21) wie folgt.

Belastung der ersten Oeffnung durch Zug I, Rad 0 bei  $v = m\lambda$ ,

$$(5) \quad X_m = \mathfrak{X}_m \mp \left[ (n - m) \sum_0^v Pa + m \sum_v^l P(l - a) \right] \frac{1}{nh} = -Z_{m+1},$$

zweiter Grenzwert

$$(6) \quad X_m = \mathfrak{X}_m \pm \frac{m}{nh} N' = -Z_{m+1};$$

Belastung der ersten Oeffnung von  $v$  bis  $l$  durch Zug II, Vorderrad 0 bei  $v = m\lambda$ ,

$$(7) \quad D_m = \mathfrak{D}_m \pm \frac{d}{lh} \sum_v^l P(l - a);$$

Belastung der ersten Oeffnung von 0 bis  $c$  durch Zug II, Vorderrad 0 bei  $c = (m - 1)\lambda$ ,

$$(8) \quad D_m = \mathfrak{D}_m \mp \frac{d}{lh} \left( N' + \sum_0^c Pa \right);$$

Belastung der ersten Oeffnung von  $v$  bis  $l$  durch Zug II, Vorderrad 0 für die Verticalen 1 und 2 bei  $v = m\lambda$ , für die Verticalen 4 bis 7 bei  $v = (m + 1)\lambda$ ,

$$(9) \quad V_m = \mathfrak{V}_m \mp \frac{1}{l} \sum_v^l P(l - a);$$

Belastung der ersten Oeffnung von 0 bis  $c$  durch Zug II, Vorderrad 0 für die Verticalen 1 und 2 bei  $c = (m - 1)\lambda$ , für die Verticalen 4 bis 7 bei  $c = m\lambda$ ,

$$(10) \quad V_m = \mathfrak{V}_m \pm \frac{1}{l} \left( N' + \sum_0^c Pa \right).$$

Für die Gurtungen und Diagonalen gelten die oberen Vorzeichen von  $m = 1$  bis 3, die unteren von  $m = 4$  bis 8, für die Verticalen die oberen von  $m = 1$  bis 2, die unteren von  $m = 4$  bis 7. Die Stabkräfte  $V_0, V_3, Z_0, Z_4$  sind durch B. 76, 4) 5) bestimmt. Die Summenausdrücke in vorstehenden Gleichungen können wieder berechnet oder aus der Tabelle in Beispiel 6 entnommen werden. Auf beide Arten erhält man mit der ersten und zweiten Richtung des Zuges I bezw.

$$N' = 80,7 + \frac{6}{24} 704 = 257,$$

$$N' = 32,4 + \frac{6}{24} 808 = 234,$$

und folgende Grenzbeanspruchungen der Gurtungen in Tonnen:

$$\begin{aligned} X_1 &= - 3,69 - \frac{1}{32} (7.30,2 + 1.535) = - 27,02 = - Z_2 (- 25,61) \\ X_2 &= - 5,75 - \frac{1}{32} (6.80,7 + 2.383) = - 44,82 = - Z_3 (- 42,45) \\ X_3 &= - 6,16 - \frac{1}{32} (5.145 + 3.271) = - 54,22 = Z_4 (- 52,75) \\ X_4 &= 4,93 + \frac{1}{32} (4.226 + 4.173) = 54,81 = - Z_5 ( 54,81) \\ X_5 &= 2,05 + \frac{1}{32} (3.271 + 5.145) = 50,11 = - Z_6 ( 48,67) \\ X_6 &= - 2,46 + \frac{1}{32} (2.383 + 6.80,7) = 36,61 = - Z_7 ( 34,24) \\ X_7 &= - 8,62 + \frac{1}{32} (1.535 + 7.30,2) = 14,71 = - Z_8 ( 13,50) \\ X_8 &= - 16,42 + \frac{1}{32} (0.704 + 8.0) = - 16,42 \quad (- 16,42), \end{aligned}$$

$$\begin{aligned} X_1 &= - 3,69 + \frac{1 \cdot 257}{32} = 4,34 = - Z_2 \\ X_2 &= - 5,75 + \frac{2 \cdot 257}{32} = 10,31 = - Z_3 \\ X_3 &= - 6,16 + \frac{3 \cdot 257}{32} = 17,93 = Z_4 \\ X_4 &= 4,93 - \frac{4 \cdot 257}{32} = - 27,19 = - Z_5 \\ X_5 &= 2,05 - \frac{5 \cdot 257}{32} = - 38,10 = - Z_6 \\ X_6 &= - 2,46 - \frac{6 \cdot 257}{32} = - 50,65 = - Z_7 \\ X_7 &= - 8,62 - \frac{7 \cdot 257}{32} = - 64,84 = - Z_8 \\ X_8 &= - 16,42 - \frac{8 \cdot 257}{32} = - 80,67. \end{aligned}$$

Die in Klammer beigesetzten Werthe hätten sich mit der nicht verwendeten Zugrichtung ergeben, für  $m = 1$  bis 4 mit der zweiten, für  $m = 5$  bis 8 mit der ersten. Weiter erhalten wir in Tonnen die Grenzbeanspruchungen der Diagonalen:

$$\begin{aligned} D_1 &= 6,16 + \frac{692}{19,2} = 42,20 & D_1 &= 6,16 - \frac{257+0}{19,2} = - 7,23 \\ D_2 &= 3,42 + \frac{530}{19,2} = 31,02 & D_2 &= 3,42 - \frac{257+30,6}{19,2} = - 11,56 \\ D_3 &= 0,68 + \frac{382}{19,2} = 20,58 & D_3 &= 0,68 - \frac{257+93,4}{19,2} = - 17,57 \end{aligned}$$

$$\begin{aligned}
D_4 &= 2,05 - \frac{257}{19,2} = -11,34 & D_4 &= 2,05 + \frac{257+170}{19,2} = 24,29 \\
D_5 &= 4,79 - \frac{170}{19,2} = -4,66 & D_5 &= 4,79 + \frac{257+257}{19,2} = 31,56 \\
D_6 &= 7,53 - \frac{93,4}{19,2} = 2,67 & D_6 &= 7,53 + \frac{257+383}{19,2} = 40,81 \\
D_7 &= 10,27 - \frac{30,6}{19,2} = 8,68 & D_7 &= 10,27 + \frac{257+530}{19,2} = 51,26 \\
D_8 &= 13,01 - \frac{0}{19,2} = 13,01 & D_8 &= 13,01 + \frac{257+692}{19,2} = 62,44,
\end{aligned}$$

und die Grenzbeanspruchungen der Verticalen:

$$\begin{aligned}
V_0 &= -42,27 + 0,3 = -41,97 \\
V_1 &= -4,33 - \frac{692}{24} = -33,16 \\
V_2 &= -2,14 - \frac{530}{24} = -24,22 \\
V_3 &= -1,59 - 13,47 = -15,06 \\
V_4 &= -3,23 - \frac{170}{24} = 3,85 \\
V_5 &= -5,42 - \frac{93,4}{24} = -1,53 \\
V_6 &= -7,61 - \frac{30,6}{24} = -6,33 \\
V_7 &= -9,80 - \frac{0}{24} = -9,80, \\
\\ 
V_0 &= 4,67 + 0,3 = 4,97 \\
V_1 &= -4,33 + \frac{257+0}{24} = 6,38 \\
V_2 &= -2,14 + \frac{257+30,6}{24} = 9,84 \\
V_3 &= \mathfrak{B}_3 = -1,59 \\
V_4 &= -3,23 - \frac{257+257}{24} = -24,65 \\
V_5 &= -5,42 - \frac{257+382}{24} = -32,04 \\
V_6 &= -7,61 - \frac{257+530}{24} = -40,40 \\
V_7 &= -9,80 - \frac{257+692}{24} = -49,34.
\end{aligned}$$

Bei Berechnung des negativen Grenzwerths von  $V_3$  nach B. 76, 5)

war zu beachten, dass die grösste von der Verkehrslast herrührende Knotenpunktslast ist

$$K = 6 + 2 \cdot 6 \frac{1,7}{3} + 4 \frac{0,5}{3} = 13,47.$$

Für die Stäbe der zweiten Oeffnung, soweit sie hier noch zu berechnen sind, treten die unteren Grenzbeanspruchungen für Eigengewicht allein ein, die oberen ergeben sich nach § 65, 1)—4) wie folgt:

Belastung der zweiten Oeffnung durch Zug I, Rad O bei  $r$ ,  $c = (m - 1)\lambda$ ,

$$(11) \quad Z_m = \mathfrak{Z}_m - \left[ \sum_c^r P(a-c) + \frac{q+1-m}{\tau-q} \sum_r^t P(t-a) \right] \frac{1}{h} = -X_{m-1},$$

Belastung der zweiten Oeffnung durch Zug I, Rad O bei  $v = m\lambda$ ,  $c = (m - 1)\lambda$ ,

$$(12) \quad D_m = \mathfrak{D}_m + \left[ \sum_c^v P(a-c) + \lambda \sum_v^r P + \frac{1}{\tau-q} \sum_r^t P(t-a) \right] \frac{d}{\lambda h},$$

$$(13) \quad V_m = \mathfrak{V}_m - \left[ \sum_c^v P(a-c) + \lambda \sum_v^r P + \frac{1}{\tau-q} \sum_r^t P(t-a) \right] \frac{1}{\lambda}.$$

Diese Gleichungen liefern folgende Grenzbeanspruchungen in Tonnen (die in Klammern beige-setzten Werthe entsprechen der nicht verwendeten Zugrichtung):

$$Z_1 = -16,42 - \left( 80,7 + \frac{2}{8} 704 \right) \frac{1}{4} = -80,60 \quad (-75,02),$$

$$Z_2 = 7,39 - \left( 30,2 + \frac{1}{8} 704 \right) \frac{1}{4} = -36,94 = -X_1 \quad (-35,19),$$

$$\begin{aligned} V_1 = & -11,44 - \frac{1}{3} (6 \cdot 1,7 + 4 \cdot 0,5) - 6 - 6 - \frac{1}{24} [6 (21,7 \\ & + 20,4 + 19,1 + 10,7 + 9,4 + 8,1) + 4 (17,9 + 6,9) \\ & + 5 (14,9 + 3,9)] = -11,44 - 46,48 = -57,92 \quad (-51,44), \end{aligned}$$

$$D_1 = 15,06 + 46,48 \frac{5}{4} = 73,16,$$

$$D_2 = 12,32 + \frac{5}{12} \left( 30,2 + \frac{1}{8} 704 \right) = 61,57,$$

während sich nach B. 76, 7) die oberen Grenzwerte von  $V_0$ ,  $V_2$  ergeben

$$V_0 = -112,91 + 0,6 = -112,31,$$

$$V_2 = -0,80 - \frac{6}{3} (3 + 1,7 + 0,4) = -10,82.$$

Damit sind sämmtliche verlangte Grenzwerthe bestimmt, doch kann man, wenn man will, noch Folgendes berücksichtigen.

Für die Diagonale 1 und Verticale 1 der ersten Oeffnung tritt die erste Grenzbeanspruchung, wie oben ersichtlich, ohne Verkehrslast in dieser Oeffnung  $l$  ein (wegen  $z = c = 0$ ). Nach § 59 wird dann voraussichtlich die zweite Grenzbeanspruchung etwas ungünstiger als oben mit Zug II, wenn Zug I von 0 bis  $l$  mit Rad  $O$  bei  $v = \lambda$  die Oeffnung belastet. In der That erhalten wir aus den nach § 65, 12) 13) für beliebige Belastung gültigen Gleichungen

$$(14) \quad \begin{cases} D_1 = \mathfrak{D}_1 + \left[ (n-1) \sum_0^v Pa + \sum_0^l P(l-a) - N' \right] \frac{d}{ih}, \\ V_1 = \mathfrak{B}_1 - \left[ (n-1) \sum_0^v Pa + \sum_0^l P(l-a) - N' \right] \frac{1}{l} \end{cases}$$

mit den schon für  $X_1$  verwendeten  $\sum$  und  $N' = 0$

$$D_1 = 6,16 + \frac{7 \cdot 30,2 + 535}{19,2} = 45,05,$$

$$V_1 = -4,33 - \frac{7 \cdot 30,2 + 535}{19,2} = -35,43 \text{ tn},$$

gegen oben berechnete 42,20 und  $-33,16$  tn. — Ebenso tritt für die Diagonale 8 und Verticale 7 der ersten Oeffnung die erste Grenzbeanspruchung ohne Verkehrslast in dieser Oeffnung ein (wegen  $z = v = l$ ). Nach § 59 wird voraussichtlich die zweite Grenzbeanspruchung etwas ungünstiger als oben mit Zug II, wenn Zug I von 0 bis  $l$  mit Rad  $O$  bei  $c = (m-1)\lambda$  die Oeffnung belastet. Wir erhalten aus den nach § 65, 12) 13) für beliebige Belastung gültigen Gleichungen

$$(15) \quad \begin{cases} D_n = \mathfrak{D}_n + \left[ N' + \sum_0^c Pa + (n-1) \sum_c^l P(l-a) \right] \frac{d}{ih}, \\ V_{n-1} = \mathfrak{B}_{n-1} - \left[ N + \sum_0^c Pa + (n-1) \sum_c^l P(l-a) \right] \frac{1}{l} \end{cases}$$

mit den schon für  $X_7$  verwendeten  $\sum$ ,  $N'$ ,

$$D_1 = 13,01 + \frac{257 + 535 + 7 \cdot 30,2}{19,2} = 65,27,$$

$$V_1 = -9,80 - \frac{257 + 535 + 7 \cdot 30,2}{24} = -51,61 \text{ tn},$$

gegen oben berechnete 62,44 und  $-49,34$  tn. Ueber Anwendung von Gegendiagonalen im vorliegenden Falle siehe Beispiel 81.

**Beispiel 78. Continuirlicher Gelenkträger einfachen Systems mit Verticalen. Berechnung für gleichmässig vertheilte bewegte Last.**

Für eine Brücke mit drei Oeffnungen sollen continuirliche Gelenkträger der Spannweiten 24 m, 36 m, 24 m nach der Anordnung Fig. 137 zur Verwendung kommen. Die gekrümmte Gurtung des Mittelfeldes ist parabolisch, in Figur eingeschriebene Zahlen bedeuten Dimensionen in Metern. Eigengewicht per laufenden Meter Träger  $g = 0,73$  tn, Verkehrslast  $p = 2,77$  tn. Vom Eigengewichte kommen 0,53 tn auf die Knotenpunkte des durchgehenden Horizontalgurts, in welchen die Fahrbahnlast angreift, und 0,2 tn auf diejenigen des andern Gurts. Die Grenzwerte der Stabkräfte und Stützenreactionen anzugeben.

Die Berechnung des einfachen Balkenfachwerks zwischen den beiden mittleren Gelenken ist in Beispiel 54 durchgeführt. Die Stabkräfte der äussern Oeffnungen sind genau wie im vorletzten Beispiele bestimmt und Gleiches gilt von den Stützenreactionen, welche überhaupt nicht von der Trägerform abhängen. Mit Rücksicht auf die symmetrische Anordnung des Trägers haben wir also nur noch die Grenzwerte der Stabkräfte zwischen 0 und dem ersten Zwischen-gelenke der zweiten Oeffnung zu bestimmen (Fig. 138).

**Eigengewicht allein.** Für die vom Eigengewichte allein her-rührenden Stabkräfte hat man nach § 60, 19), abgesehen von  $V_0, V_2$ ,

$$(1) \quad \begin{cases} X_m = (\varrho - m)(\tau - m) \frac{x_m}{h_m} \frac{g\lambda}{2}, \\ Z_m = -(\varrho + 1 - m)(\tau + 1 - m) \frac{z_m}{h_{m-1}} \frac{g\lambda}{2}, \\ D_m = \left[ \varrho + \tau + 1 - 2m - \frac{(\varrho - m)(\tau - m)}{\varepsilon} \right] \frac{d_m}{h_{m-1}} \frac{g\lambda}{2}, \\ B_m = - \left[ \varrho + \tau + 1 + \frac{g_x - g_s}{g} - 2m + \frac{(\varrho - m)(\tau - m)}{\nu} \right] \frac{g\lambda}{2}, \end{cases}$$

worin im vorliegenden Falle  $\varrho = 2, \tau = 10, \lambda = 3 = x_m, g = 0,73, g_x = 0,53, g_s = 0,2$  und

für	$m =$	1	2:
	$\varepsilon = \frac{h_m}{h_m - h_{m-1}} =$	- 0,818	0
	$\nu = \frac{h_m}{h_{m+1} - h_m} =$	- 1	0.

Wir erhalten damit in Tonnen:

$$\begin{aligned} \mathfrak{X}_1 &= 1 \cdot 9 \frac{3}{1,8} 1,095 = 16,43 & \mathfrak{X}_2 &= 0 \cdot 8 \frac{3}{0} 1,095, \\ \mathfrak{B}_1 &= -2 \cdot 10 \frac{3,72}{4} 1,095 = -20,37 \\ \mathfrak{B}_2 &= -1 \cdot 9 \frac{3,5}{1,8} 1,095 = -19,16, \\ \mathfrak{D}_1 &= \left(11 - \frac{1 \cdot 9}{0,82}\right) \frac{3,5}{4} 1,095 = 0 & \mathfrak{D}_2 &= \left(9 - \frac{0 \cdot 8}{0}\right) \frac{3}{1,8} 1,095, \\ \mathfrak{B}_1 &= -\left(10,45 - \frac{1 \cdot 9}{1}\right) 1,095 = -1,59. \end{aligned}$$

Für  $\mathfrak{X}_2$ ,  $\mathfrak{D}_2$  entstehen also unbestimmte Ausdrücke, doch liefern die Gleichgewichtsbedingungen für den Knotenpunkt 1 des Obergurts die Beanspruchungen der Verticale 1 und des Obergurststabes 2 bei jeder Belastung

$$(2) \quad V_1 = -K_1, \quad X_2 = X_1,$$

unter  $K_1$  die Belastung jenes Knotenpunkts verstanden. Die Eigengewichtsbeanspruchung der Verticale 0 aber ist nach B. 79, 6) 4)

$$(3) \quad \mathfrak{B}_0 = -\left(n + \varrho + \tau - \frac{n\mathfrak{B}_1 - h}{nh} \varrho \tau\right) \frac{g\lambda}{2} + \lambda g.$$

Aus 2) 3) folgen:

$$\begin{aligned} \mathfrak{X}_2 &= \mathfrak{X}_1 = 16,43 \text{ tn}, \\ \mathfrak{B}_0 &= -\left(20 - \frac{18,6}{8 \cdot 4} 2 \cdot 10\right) 1,095 + 3 \cdot 0,2 = -11,99 \text{ tn}. \end{aligned}$$

Grenzwerte. Die unteren Grenzwerte der Gurtungskräfte sind die soeben berechneten Beanspruchungen für Eigengewicht allein, die oberen Grenzwerte hat man nach § 61, 9)

$$(4) \quad X_m = \frac{q}{g} \mathfrak{X}_m, \quad Z_m = \frac{q}{g} \mathfrak{B}_m,$$

also wegen  $q : g = 3,5 : 0,73 = 4,794$  in Tonnen:

$$\begin{aligned} X_1 &= 78,77 = X_2, \\ Z_1 &= -97,65, \\ Z_2 &= -91,85. \end{aligned}$$

Grenzbeanspruchungen der Diagonale 1, da  $m - \varepsilon$  für dieselbe zwischen 0 und  $\varrho$  liegt, nach § 61, 3),

$$(5) \quad \begin{cases} D_m = \mathfrak{D}_m + (1 - \varepsilon) \frac{d_m}{h_{m-1}} \frac{p\lambda}{2}, \\ D_m = \mathfrak{D}_m - (m - \varepsilon - \varrho) (\tau + \varepsilon - m) \frac{d_m}{\varepsilon h_{m-1}} \frac{p\lambda}{2}, \end{cases}$$

das heisst:

$$D_1 = 0 + 1,818 \frac{3,5}{4} 4,155 = 6,61 \text{ tn},$$

$$D_1 = 0 - 0,182 \cdot 8,182 \frac{3,5}{0,818 \cdot 4} 4,155 = -6,61 \text{ tn}.$$

Für die obere Grenzbeanspruchung der Verticale 0 hat man wegen

$$\alpha = \frac{lh}{n_{31} - h} = \frac{24 \cdot 4}{8 \cdot 2,2 - 4} = 7,06 > r \text{ nach B. 79, 7):}$$

$$(6) \quad V_0 = \mathfrak{B}_0 - \left( l + r + t - \frac{r^2}{\alpha} \right) \frac{p}{2},$$

$$V_0 = -11,99 - \left( 60 - \frac{13,6}{96} 6 \cdot 30 \right) 0,385 = -59,77 \text{ tn},$$

während die obere Grenzbeanspruchung der Verticale 1 nach 2) ist

$$V_1 = -(0,53 + 2,77) 3 = -9,90 \text{ tn}$$

und die unteren Grenzbeanspruchungen der beiden Verticalen für Eigengewicht allein eintreten.

Ueber Anwendung von Gegendiagonalen im vorliegenden Falle siehe Beispiel 82.

**Beispiel 79. Continuirlicher Gelenkträger einfachen Systems mit Verticalen. Berechnung für bewegte Radlastzüge.**

Die Träger des vorigen Beispiels sollen einer eingleisigen Eisenbahnbrücke angehören und für bewegte Radlastzüge, zusammengesetzt aus Locomotiven der Radanordnung Fig. 18, berechnet werden.

Das Trägerstück zwischen den beiden mittleren Gelenken ist in Beispiel 55 berechnet. Die Stabkräfte der äusseren Oeffnungen bleiben genau wie in Beispiel 77 bestimmt. Dasselbe gilt von den Stützenreactionen, für welche die Trägerform nicht in Betracht kommt. Die Eigengewichtsbeanspruchungen der Stäbe zwischen 0 und dem ersten Gelenke der Mittelöffnung wurden im vorigen Beispiele ermittelt. Wir haben also nur noch die Grenzbeanspruchungen dieser Stäbe abzuleiten.

Nach § 62 hat man für die oberen Grenzbeanspruchungen der Gurtungsstäbe bei Belastung der Mittelöffnung durch Zug I (Fig. 23 und 24), Rad 0 bei  $r$ ,

$$(1) \quad Z_m = \mathfrak{B}_m - \left[ \sum_c^r P(a - c) + \frac{q + 1 - m}{\tau - q} \sum_r^t P(t - a) \right] \frac{z_m}{1 h_{m-1}} = - \frac{z_m}{x_{m-1}} X_{m-1},$$



worin  $c = (m - 1)\lambda$ ,  $v = m\lambda$ , sodass mit Rücksicht auf die Tabelle des Beispiels 6 und B. 78, 2)

$$Z_1 = -20,37 - \left(80,7 + \frac{2}{8} 704\right) \frac{3,72}{3 \cdot 4} = -99,95 \text{ tn}$$

$$Z_2 = -19,16 - \left(30,2 + \frac{1}{8} 704\right) \frac{3,5}{3 \cdot 1,8} = -95,77 \text{ „}$$

$$X_1 = \frac{3}{3,5} 95,77 = 82,09 \text{ tn}$$

$$X_2 = X_1 = 82,09 \text{ „}$$

Die unteren Grenzbeanspruchungen der Gurtungen treten für Eigengewicht allein ein. Da für die Diagonale 1 der Werth  $m - \varepsilon = 1,82$  zwischen 0 und  $\varrho = 2$  liegt, so erhält man nach § 62 deren Grenzbeanspruchungen für Belastung der Mittelöffnung durch Zug I, Rad O bei  $v$ ,

$$(2) \quad D_m = \mathfrak{D}_m - \left[ -\varepsilon \sum_c^v P(a - c) + \sum_\varrho^u P(u - a) \right] \frac{d_m}{\varepsilon \lambda h_{m-1}},$$

und für Belastung von  $r$  bis  $t$  durch Zug II (Fig. 22), Vorder-rad O bei  $r$ ,

$$(3) \quad D_m = \mathfrak{D}_m + \frac{d_m}{\varepsilon h_{m-1}} \frac{\varrho - m + \varepsilon}{t - r} \sum_r^t P(t - a),$$

worin  $c = (m - 1)\lambda = 0$ ,  $v = m\lambda = 3$ ,  $u = (m - \varepsilon)\lambda = 5,45$ . Wir erhalten, wie oben mit der ersten Richtung des Zugs I,

$$D_1 = 0 + [0,82 \cdot 30,2 + 6(5,45 - 4,3)] \frac{3,5}{0,82 \cdot 12} = 11,26 \text{ tn}$$

$$D_1 = 0 - \frac{3,5 \cdot 0,18}{0,82 \cdot 4 \cdot 24} 870 = -6,96 \text{ tn}.$$

Die obere Grenzbeanspruchung der Verticale 0 ergibt sich nach der unten folgenden Ableitung wegen  $\alpha = 7,06 > r$  aus 5) bei Belastung der beiden ersten Oeffnungen durch Zug I, Rad O über  $r$ , zweite Zugrichtung,

$$\begin{aligned} V_0 = & -11,99 - \frac{704}{24} - \frac{1}{7,06} [6 \cdot 7,06 + 6(7,06 - 1,3) + 4(7,06 - 2,5) \\ & + 5(7,06 - 5,5)] - \frac{1,06}{24 \cdot 7,06} [6(20,3 + 19 + 17,7 \\ & + 9,3 + 8 + 6,7) + 4(16,5 + 5,5) + 5(13,5 + 2,5)] \\ & = -59,80 \text{ tn}. \end{aligned}$$

Mit der ersten Zugrichtung hätten wir erhalten

$$\begin{aligned} V_0 = & -11,99 - \frac{808}{24} - \frac{1}{7,06} [6(7,06 - 1,3) + 6(7,06 - 5,3)] \\ & - \frac{1,06}{24 \cdot 7,06} [6(23,4 + 22,1 + 13,7 + 12,4 + 11,1 + 2,7 + 1,4 \\ & + 0,1) + 4(20,9 + 9,9) + 5(17,9 + 6,9)] = -56,86 \text{ tn}. \end{aligned}$$

Der obere Grenzwert von  $V_1$  entsteht nach B. 78, 2) bei grösstem  $K_1$

$$V_1 = -0,53 \cdot 3 - 6 - 2 \cdot 6 \frac{1,7}{3} - 4 \frac{0,5}{3} = -15,06 \text{ tn.}$$

Die unteren Grenzbeanspruchungen beider Verticalen treten für Eigengewicht allein ein. Damit sind sämtliche verlangte Grenzwerte bestimmt. Ueber Anwendung von Gegendiagonalen im vorliegenden Falle siehe Beispiel 83.

Ableitung der Formeln für  $V_0$ . Die Bedingung „Summe aller Vertikalkräfte gleich Null“ in Anwendung auf das zweite Auflager liefert für beliebige Belastung der Fahrbahn (Fig. 139)

$$V_0 + R' - g \cdot \lambda + Z_1 \frac{h_1}{z_1} = 0.$$

Da nun nach § 59, 22) mit § 58, 18) und  $l_a = l$ ,  $l_b = 0$  ( $l$  Spannweite der äusseren Oeffnungen)

$$R' = (l + r)(l + t) \frac{g}{2l} + \frac{1}{l} \sum_0^l Pa + \frac{1}{l} \left[ \sum_0^r P(l + a) + \frac{l + r}{t - r} \sum_r^l P(t - a) \right],$$

sowie nach § 62, 2) mit § 60, 19) und  $m = 1$ ,  $c = 0$ ,

$$Z_1 = -\varphi \tau \frac{z_1}{h} \frac{g \lambda}{2} - \left[ \sum_0^r Pa + \frac{\varphi}{\tau - \varphi} \sum_r^l P(t - a) \right] \frac{z_1}{\lambda h},$$

so folgt durch Substitution mit der abkürzenden Bezeichnung

$$(4) \quad \alpha = \frac{lh}{n_{h_1} - h}$$

für jede Belastung

$$(5) \quad V_0 = \mathfrak{B}_0 - \frac{1}{l} \sum_0^l Pa - \frac{1}{\alpha} \sum_0^r P(\alpha - a) - \frac{1}{t - r} \left( 1 - \frac{r}{\alpha} \right) \sum_r^l P(t - a),$$

worin der Belastung durch Eigengewicht allein entspricht

$$(6) \quad \mathfrak{B}_0 = - \left( l + r + t - \frac{rt}{\alpha} \right) \frac{g}{2} + \lambda g_s.$$

Beispielsweise erhält man für eine über die ganze Trägerlänge oder auch nur von der Anfangsstütze bis  $t$  gleichmässig vertheilte Last

von  $p$  per Längeneinheit aus 5) mit  $P = pda$  (wie übrigens schon aus 6) zu entnehmen ist)

$$(7) \quad V_0 = \mathfrak{B}_0 - \left( l + r + t - \frac{rt}{\alpha} \right) \frac{p}{2}.$$

Bezüglich der Grenzwerte von  $V_0$  sind zwei Fälle zu unterscheiden. Für  $\alpha \geq r$  und  $\alpha \leq 0$  tragen nach 5) alle Lasten auf dem Träger in gleichem Sinne oder gar nicht zu  $V_0$  bei, wir erhalten den unteren Grenzwert für Eigengewicht allein, den oberen für gleichmässig vertheilte bewegte Last nach 7) und für bewegte Radlastzüge bei Belastung der zwei ersten Oeffnungen durch Zug I, Rad  $O$  über der ersten Zwischenstütze, nach 5). Für  $0 < \alpha < r$  dagegen würde zwischen 0 und  $r$  bei  $\alpha = \alpha$  ein Zeichenwechsel der Beiträge eintreten, doch kommt dieser Fall hier nicht in Betracht.

**Beispiel 80. Continuirlicher Gelenkträger einfachen Systems mit Gegendiagonalen und parallelen Gurtungen. Berechnung für gleichmässig vertheilte bewegte Last.**

Den in Beispiel 76 behandelten Parallelträger für den Fall zu berechnen, dass die Diagonalen nur auf Zug widerstehen.

Der einfache Träger zwischen den beiden mittleren Gelenken ist in Beispiel 44 berechnet. Für die übrigen Felder der Mittelöffnung sind die Diagonalen nach Beispiel 76 immer auf Zug beansprucht, sodass die dortige Berechnung ungeändert bleibt. Letzteres gilt auch für die Stützenreactionen und die vom Eigengewicht allein herrührenden Stabkräfte der äussern Oeffnungen. Wir haben also nur noch die in Beispiel 76 erhaltenen Grenzbeanspruchungen der Stäbe in der ersten Oeffnung mit Rücksicht auf hinzukommende Gegendiagonalen zu modificiren, wobei nach der Anleitung in § 56 verfahren werden soll. Alle Stabkräfte sind in Tonnen angegeben.

Da die Beanspruchungen der Diagonalen in den fünf ersten Feldern negativ werden konnten, so sind daselbst Gegendiagonalen anzuordnen. Die unteren Grenzbeanspruchungen beider Diagonalen in den Feldern mit Gegendiagonalen sind Null und die oberen

im Felde	$m = 1$	2	3	4	5:
für die Hauptdiagonale	42,52	30,13	19,23	21,71	29,65
„ „ Gegendiagonale	6,82	10,31	15,27	9,82	1,89.

In den Feldern 6 bis 8 bleiben die in Beispiel 76 berechneten Stabkräfte ungeändert.

Die ersten Grenzbeanspruchungen aller Gurtungsstäbe entstehen, wenn die erste Oeffnung allein total belastet ist. In diesem Falle haben wir nach § 65, 12) mit  $N = N' = 0$  und  $P = pda$ , wie übrigens schon aus der Formel § 63, 6) für  $\mathfrak{D}_m$  ersichtlich ist,

$$(1) \quad D_m = \mathfrak{D}_m \pm (n - 2m + 1) \frac{p\lambda d}{2h},$$

worin bei oben liegender X-Gurtung das obere, bei unten liegender das untere Vorzeichen gilt. Gleichung 1) liefert für die Hauptdiagonalen in den drei ersten Feldern (X-Gurtung oben) positive Werthe, sodass dort die berechneten ersten Grenzbeanspruchungen der Gurtungsstäbe gültig bleiben. Im Falle 4 dagegen erhält man für die Hauptdiagonale (X-Gurtung unten)

$$D_4 = 2,05 - (9 - 2 \cdot 4) 5,194 = -3,14,$$

während im Felde 5 für die Hauptdiagonale wieder positiv wird

$$D_5 = 4,79 - (9 - 2 \cdot 5) 5,194 = 7,24.$$

Die ersten Grenzbeanspruchungen der Gurtungsstäbe ändern sich also nur im Felde 4 und zwar erhalten wir nach § 56, 6) für den Obergurtstab und Untergurtstab

$$O_4 = -X_4 = -54,79, \quad U_4 = -Z_4 = 52,90.$$

Die zweiten Grenzbeanspruchungen der Gurtungsstäbe in der ersten Oeffnung entstehen, wenn die Mittelöffnung allein total belastet ist. Wir haben dann nach § 65, 12) mit  $N = 0$ , verschwindenden  $P$  und  $N'$  nach § 61, 12), wie ebenfalls schon aus § 63, 6) zu entnehmen wäre,

$$(2) \quad D_m = \mathfrak{D}_m \mp \frac{q\tau}{n} \frac{p\lambda d}{2h}.$$

Nach Einsetzen der Zahlenwerthe wird

$$D_m = \mathfrak{D}_m \mp 12,985,$$

und da dieser Ausdruck in allen Feldern mit Gegendiagonalen bei unten liegender X-Gurtung positiv ist, so bleiben die für die Felder 4 und 5 berechneten zweiten Grenzwerte der Gurtungskräfte gültig, während für die drei ersten Felder folgen:

$$\begin{aligned} O_1 &= -Z_1 = 0 & U_1 &= -X_1 = -4,10 \\ O_2 &= -Z_2 = 4,10 & U_2 &= -X_2 = -9,83 \\ O_3 &= -Z_3 = 9,83 & U_3 &= -X_3 = -17,21. \end{aligned}$$

Für die unteren Grenzbeanspruchungen der Verticalen 0 bis 5 hat man nach § 56

$$(3) \quad V_m = -\mathfrak{R}_0,$$

und für die oberen den aus einer der Formeln

$$(4) \quad V_m = -K_o - \frac{h}{d} D_{m+1} = K_u - \frac{h}{d} D_m,$$

$$(5) \quad V_m = K_u - \frac{h}{d} D_{m+1},$$

$$(6) \quad V_m = -K_o,$$

folgenden grössten negativen Werth. Wir erhalten die unteren Grenzbeanspruchungen

$$V_0 = -0,53 \cdot 1,5 = -0,80,$$

$$V_1 \text{ bis } V_5 = -0,53 \cdot 3 = -1,59,$$

sowie die oberen mit Rücksicht auf die oberen Grenzbeanspruchungen der Diagonalen nach 4):

$$V_0 = -3,3 \cdot 1,5 + \frac{4}{5} 42,52 = -38,97$$

$$V_1 = 0,6 - \frac{4}{5} 42,52 = -33,42$$

$$V_2 = 0,6 - \frac{4}{5} 30,13 = -23,50,$$

und nach 5):

$$V_3 = 0,6 - \frac{4}{5} 21,71 = -16,17$$

$$V_4 = 0,6 - \frac{4}{5} 29,65 = -23,12$$

$$V_5 = 0,6 - \frac{4}{5} 39,07 = -30,66.$$

Die Formel 6) hätte nur  $V_m = -3,3 \cdot 3 = -9,9$  und die Formel 4) für  $V_3$  nur  $0,6 - 0,8 \cdot 19,23 = -14,78$  ergeben.

Es sind nun sämtliche Grenzbeanspruchungen bestimmt. Dieselben wurden in Fig. 140 für eine Trägerhälfte bei ihren Stäben eingeschrieben.

**Bemerkungen.** Nach § 56 hätten wir bei Bestimmung der Grenzbeanspruchungen der Gurtungen unter Vermeidung der Untersuchung bezüglich der wirksamen Diagonalen und im Allgemeinen zu ungünstig rechnend auch wie folgt vorgehen können. Nach § 56, 1) 2):

$O_1 = X_1 = -25,50$	und 4,10	$U_1 = Z_1 = 0$	und 0
$O_2 = X_2 = -43,14$	„ 9,83	$U_2 = Z_2 = 25,50$	„ — 4,10
$O_3 = X_3 = -52,90$	„ 17,21	$U_3 = Z_3 = 43,14$	„ — 9,83
$O_4 = X_4 = -52,90$	„ 17,21	$U_4 = X_4 = 54,79$	„ — 26,23
$O_5 = Z_5 = -54,79$	„ 26,23	$U_5 = X_5 = 48,79$	„ — 36,90,

und nach § 56, 5) 6):

$$\begin{aligned}
 O_1 &= -Z_1 = 0 \quad \text{und} \quad 0 \\
 O_2 &= -Z_2 = -25,50 \quad \text{„} \quad 4,10 \\
 O_3 &= -Z_3 = -43,14 \quad \text{„} \quad 9,83 \\
 O_4 &= -X_4 = -54,79 \quad \text{„} \quad 26,23 \\
 O_5 &= -X_5 = -48,79 \quad \text{„} \quad 36,90, \\
 U_1 &= -X_1 = 25,50 \quad \text{und} \quad -4,10 \\
 U_2 &= -X_2 = 43,14 \quad \text{„} \quad -9,83 \\
 U_3 &= -X_3 = 52,90 \quad \text{„} \quad -17,21 \\
 U_4 &= -Z_4 = 52,90 \quad \text{„} \quad -17,21 \\
 U_5 &= -Z_5 = 54,79 \quad \text{„} \quad -26,23,
 \end{aligned}$$

sodass als Grenzwerte anzunehmen:

$$\begin{aligned}
 O_1 &= -25,50 \quad \text{und} \quad 4,10 \quad (-25,50 \quad \text{und} \quad 0) \\
 O_2 &= -43,14 \quad \text{„} \quad 9,83 \quad (-43,14 \quad \text{„} \quad 4,10) \\
 O_3 &= -52,90 \quad \text{„} \quad 17,21 \quad (-52,90 \quad \text{„} \quad 9,83) \\
 O_4 &= -54,79 \quad \text{„} \quad 26,23 \quad (-54,79 \quad \text{„} \quad 17,21) \\
 O_5 &= -54,79 \quad \text{„} \quad 26,23 \quad (-54,79 \quad \text{„} \quad 26,23), \\
 U_1 &= 25,50 \quad \text{und} \quad -4,10 \quad (0 \quad \text{und} \quad -4,10) \\
 U_2 &= 43,14 \quad \text{„} \quad -9,83 \quad (25,50 \quad \text{„} \quad -9,83) \\
 U_3 &= 52,90 \quad \text{„} \quad -17,21 \quad (43,14 \quad \text{„} \quad -17,21) \\
 U_4 &= 54,79 \quad \text{„} \quad -26,23 \quad (52,90 \quad \text{„} \quad -26,23) \\
 U_5 &= 54,79 \quad \text{„} \quad -26,33 \quad (48,79 \quad \text{„} \quad -36,90).
 \end{aligned}$$

Die in Klammer beigesetzten Werthe haben wir oben erhalten. Man sieht, dass die Grenzbeanspruchungen, welche sich beim jetzt angewendeten Verfahren ergeben, besonders nach den Trägerenden hin wesentlich zu ungünstig ausfallen können. Indessen ist zu beachten, dass man in den letzten Feldern ohnehin vielfach grössere Gurtungsquerschnitte wählt als die Rechnung bedingen würde.

**Beispiel 81. Continuirlicher Gelenkträger einfachen Systems mit Gegendagonalen und parallelen Gurtungen. Berechnung für bewegte Radlastzüge.**

Den in Beispiel 77 behandelten Parallelträger für den Fall zu berechnen, dass die Diagonalen nur auf Zug widerstehen.

Der einfache Träger zwischen den mittleren Gelenken ist in Beispiel 45 berechnet. Die Stabkräfte für die übrigen Felder der Mittel-

öffnung sowie die Stützenreactionen bleiben wie in Beispiel 77 bestimmt, während sich alle Beanspruchungen durch Eigengewicht allein schon in Beispiel 76 ergaben. Wir haben also nur noch die in Beispiel 77 gefundenen Grenzbeanspruchungen der Stäbe in der ersten Oeffnung mit Rücksicht auf den Zutritt der Gegendiagonalen zu modificiren, wobei nach der Anleitung in § 56 vorgegangen werden soll.

Da in Beispiel 77 die Diagonalenbeanspruchungen der fünf ersten Felder negativ werden konnten, so sind daselbst Gegendiagonalen nöthig. Die unteren Grenzbeanspruchungen beider Diagonalen in den Feldern mit Gegendiagonalen sind Null und die oberen

im Felde	$m = 1$	2	3	4	5:
für die Hauptdiagonale	42,20	31,02	20,58	24,29	31,56
„ „ Gegendiagonale	7,23	11,56	17,57	11,34	4,66.

In den Feldern 6 bis 8 treten keine Aenderungen der Beanspruchungen ein.

Die ersten Grenzbeanspruchungen der Gurtungsstäbe entstehen, wenn Zug I die erste Oeffnung belastet, während die Mittelöffnung von 0 bis  $t$  ohne Verkehrslast bleibt und die Belastung von  $t$  bis zum Trägerende gleichgültig ist. Wir haben dann nach § 62, 12) mit  $N = N' = 0$

$$(1) \quad D_m = \mathfrak{D}_m \mp \left[ \sum_0^{m-1} P a - (n-1) \sum_{m-1}^m P \left( a - \frac{m-1}{n-1} l \right) - \sum_m^n P (l - a) \right] \frac{d}{l h}.$$

Die Gleichung liefert für die Belastungen, bei welchen in Beispiel 77 die ersten Grenzbeanspruchungen  $X_m$  eintraten (Rad 0 bei  $m$ , für  $m = 1$  bis 4 erste Zugrichtung, für  $m = 5$  zweite Zugrichtung) mit Rücksicht auf die Tabelle in Beispiel 6:

$$\begin{aligned} D_1 &= 6,16 - [0 - 7(6 \cdot 3 + 6 \cdot 1,7 \\ &\quad + 4 \cdot 0,5) - 535] \frac{5}{96} = 45,05 \\ D_2 &= 3,42 - [5 \cdot 0,5 - 7(6 \cdot 2,57 \\ &\quad + 6 \cdot 1,27 + 4 \cdot 0,07) - 383] \frac{5}{96} = 24,91 \\ D_3 &= 0,68 - [5 \cdot 3,5 - 7(6 \cdot 2,14 \\ &\quad + 6 \cdot 0,84 - 4 \cdot 0,36) - 271] \frac{5}{96} = 19,88 \end{aligned}$$

$$\begin{aligned}
 D_4 &= 2,05 + [5 \cdot 6,5 + 6 \cdot 2,3 + 6 \cdot 1 \\
 &\quad - 7(6 \cdot 1,71 + 6 \cdot 0,41 - 4 \cdot 0,79) - 173] \frac{5}{96} = -7,72 \\
 D_5 &= 4,79 + [6 \cdot 9,7 + 6 \cdot 8,4 + 6 \cdot 7,1 \\
 &\quad + 4 \cdot 5,9 + 5 \cdot 2,9 + 7 \cdot 6 \cdot 0,1 - 145] \frac{5}{96} = 7,12.
 \end{aligned}$$

Gleichung 1) mit Rücksicht auf die Tabelle des Beispiels 6 ergibt ferner für die Belastungen, welchen in Beispiel 77 die Grenzbeanspruchungen  $Z_m$  entsprachen (Rad  $O$  bei Verticale  $m - 1$ , erste Zugrichtung):

$$\begin{aligned}
 D_2 &= 3,42 - [30,2 - 7 \cdot 6 \cdot 0,87 - (535 - 6 \cdot 19,7)] \frac{5}{96} = 25,47 \\
 D_3 &= 0,68 - [80,7 - 7 \cdot 6 \cdot 0,44 - (383 - 6 \cdot 16,7)] \frac{5}{96} = 12,17 \\
 D_4 &= 2,05 + [145 - 7 \cdot 6 \cdot 0,01 - (271 - 6 \cdot 13,7)] \frac{5}{96} = -0,25 \\
 D_5 &= 4,79 + [226 + 7 \cdot 6 \cdot 0,41 - (173 - 6 \cdot 10,7)] \frac{5}{96} = 11,79.
 \end{aligned}$$

Während also in den Feldern 1 bis 3 die ersten Grenzbeanspruchungen der Gurtungen ungeändert bleiben, tritt im Felde 4 sowohl für den Obergurt als für den Untergurt eine Aenderung derselben ein, wir erhalten nach § 56, 6)

$$O_4 = -X_4 = -54,81, \quad U_4 = -Z_4 = 54,22.$$

Die zweiten Grenzbeanspruchungen der Gurtungsstäbe entstehen, wenn Zug I mit Rad  $O$  bei  $r$  die Mittelloffnung von  $0$  bis  $t$  belastet, während die erste Oeffnung keine Verkehrslast erhält und die Belastung von  $t$  bis zum Trägerende gleichgültig ist. Man hat dann nach § 65, 12) mit  $N = 0$ ,  $N'$  aus § 62, 19) und verschwindenden  $P$

$$(2) \quad D_m = \mathfrak{D}_m \mp \frac{d}{ih} N', \quad N' = \sum_0^r Pa + \frac{r}{t-r} \sum_r^t P(t-a).$$

Bereits in Beispiel 77 ergab sich  $N' = 257$ , sodass nach Einsetzen der Zahlenwerthe

$$D_m = \mathfrak{D}_m \mp 13,385.$$

Da dieser Ausdruck in allen Feldern der ersten Oeffnung bei unten liegender  $X$ -Gurtung positiv ist, so sind die für die Felder 4 und 5 berechneten zweiten Grenzbeanspruchungen der Gurtungen richtig, während nach § 56, 5) die drei ersten Felder erhalten:

$$\begin{array}{ll}
 O_1 = -Z_1 = 0 & U_1 = -X_1 = -4,34 \\
 O_2 = -Z_2 = 4,34 & U_2 = -X_2 = -10,31 \\
 O_3 = -Z_3 = 10,31 & U_3 = -X_3 = -17,93.
 \end{array}$$



Für die Grenzbeanspruchungen der Verticalen gelten die im vorigen Beispiele angeführten Formeln, es folgen die unteren Grenzbeanspruchungen wie dort

$$V_0 = -0,80, \quad V_1 \text{ bis } V_5 = -1,59,$$

dagegen die oberen mit Rücksicht auf die oberen Grenzbeanspruchungen der Diagonalen nach B. 80, 4):

$$V_0 = -3,3 \cdot 1,5 - \frac{4}{5} 42,20 = -38,71$$

$$V_1 = 0,6 - \frac{4}{5} 42,20 = -33,16$$

$$V_2 = 0,6 - \frac{4}{5} 31,02 = -24,22,$$

und nach B. 80, 5):

$$V_3 = 0,6 - \frac{4}{5} 24,29 = -18,83$$

$$V_4 = 0,6 - \frac{4}{5} 31,56 = -24,65 \cdot$$

$$V_5 = 0,6 - \frac{4}{5} 40,81 = -32,05.$$

Die Formel B. 80, 6) hätte nur

$$V_m = -0,53 \cdot 3 - 6 - 2 \cdot 6 \frac{1,7}{3} - 4 \frac{0,5}{3} = -15,06$$

und die Formel B. 80, 4) für  $V_3$  nur  $0,6 - 0,8 \cdot 20,58 = 15,86$  geliefert. Damit sind nun wieder sämtliche Grenzbeanspruchungen bestimmt.

Die etwas umständliche Untersuchung bezüglich der wirksamen Diagonalen bei Bestimmung der Grenzwerthe der Gurtungskräfte wäre vermieden worden, wenn wir das in den Bemerkungen zum vorigen Beispiele angewandte Verfahren befolgt hätten. Bei gleichmässig vertheilter bewegter Last ist die durch Letzteres erzielte Vereinfachung weniger gross.

**Beispiel 82. Continuirlicher Gelenkträger einfachen Systems mit Gegendiagonalen. Berechnung für gleichmässig vertheilte bewegte Last.**

Den in Beispiel 78 behandelten Gelenkträger für den Fall zu berechnen, dass sämtliche Diagonalen nur auf Zug widerstehen.

Das Trägerstück zwischen den beiden mittleren Gelenken ist in Beispiel 72 berechnet. Die Stützenreactionen wurden in Beispiel 78

festgestellt. Die Stabkräfte der ersten Oeffnung mit Rücksicht auf Gegendiagonalen sind aus Beispiel 80 zu entnehmen. Es bleiben noch die Stäbe zwischen dem zweiten Auflager und ersten Zwischen-gelenke, für welche die Eigengewichtsbeanspruchungen und die Grenzbeanspruchungen ohne Gegendiagonalen in Beispiel 78 berechnet wurden. Auf Grund dieser Resultate gehen wir nun nach der Anleitung in § 56 vor.

Da die Beanspruchung  $D_1$  negativ werden kann, so ist im Felde 1 eine zweite Diagonale nöthig. Die unteren Grenzbeanspruchungen beider Diagonalen 1 sind gleich Null, die oberen für die erste Diagonale 6,61 tn und für die zweite

$$D_1' = 6,61 \frac{5}{3,5} = 9,44 \text{ tn.}$$

Die Grenzbeanspruchungen der Gurtungen entstehen für Eigengewicht allein und für Totalbelastung des Trägers, wobei für  $X_1$  die Lasten ausserhalb der Strecke  $vt$ , für  $Z_1$  die Lasten ausserhalb  $ct$  (mit  $v = \lambda$ ,  $c = 0$ ) ohne Einfluss sind. Bei Belastung durch Eigengewicht allein fand sich die Diagonalenbeanspruchung  $\mathfrak{D}_1 = 0$ , daher ist auch bei Totalbelastung  $D_1 = \frac{q}{g} \mathfrak{D}_1 = 0$ , die Grenzbeanspruchungen der Gurtungen bleiben wie in Beispiel 78 bestimmt.

Beim Wirken der ersten bzw. zweiten Diagonale hat man die Beanspruchung der Verticale 0 (Fig. 141)

$$(1) \quad V_0 + K_0 + \frac{h}{d} D_8 + \frac{h_1}{d_1} D_1 = 0,$$

$$(2) \quad V_0 + K_0 + \frac{h}{d} D_8 = 0,$$

und die Beanspruchung der Verticale 1

$$(3) \quad V_1 + K_1 = 0,$$

$$(4) \quad V_1 + K_1 + \frac{h}{d} D_1' = 0.$$

Hieraus könnte man mit möglichst grossen bzw. möglichst kleinen  $K_0$ ,  $D_8$ ,  $D_1$  als im Allgemeinen zu ungünstige Grenzwerte entnehmen

$$V_0 = -3,3 \cdot 3 - \frac{4}{5} 62,35 - \frac{1,8}{3,5} 6,61 = -63,18 \text{ tn,}$$

$$V_0 = -0,53 \cdot 3 - \frac{4}{5} 13,01 = -12,00 \text{ tn,}$$

und ganz analog

$$V_1 = -3,3 \cdot 3 - \frac{4}{5} 9,44 = -17,45 \text{ tn},$$

$$V_1 = -0,53 \cdot 3 = -1,59 \text{ tn}.$$

Da sich jedoch  $V_0 = -63,18$  beim Wirken der ersten Diagonale ergab und für diesen Fall selbst ohne Rücksicht auf die Beanspruchungsart der Letzteren in Beispiel 78 nur die Grenzbeanspruchung  $-59,77$  ermittelt wurde, so können wir diese annehmen. Sie ist im vorliegenden Falle genau, weil bei ihrem Eintritt mit  $D_m = 0$  die erste Diagonale als wirksam gelten kann. Gleiches gilt für die berechneten unteren Grenzwerte von  $V_0$  und  $V_1$ . Bei unbeschränkter Wirksamkeit der zweiten Diagonale 1 (Z-Gurtung oben) erhielte man mit  $v = \varepsilon = -0,818$  nach § 60, 19) die Beanspruchung durch Eigengewicht allein:

$$\begin{aligned} \mathfrak{B}_1 &= \left[ \varrho + \tau - 2 + \frac{g_x - g_s}{g} + \frac{(\varrho - 1)(\tau - 1)}{v} \right] \frac{g \lambda}{2} \\ &= \left( 10 + \frac{0,2 - 0,53}{0,73} - \frac{1 \cdot 9}{0,82} \right) 1,095 = -1,59 \text{ tn}, \end{aligned}$$

und weil  $u = (m - v)\lambda = 5,46$  nicht zwischen  $v = 6$  und  $r = 6$  liegt nach § 60, 8) die Grenzbeanspruchungen:

$$\begin{aligned} V_1 &= \mathfrak{B}_1 + \left[ \varrho + \tau - 3 + \frac{(\varrho - 1)(\tau - 1)}{v} \right] \frac{p \lambda}{2} \\ &= -1,59 + \left( 9 - \frac{1 \cdot 9}{0,82} \right) 4,155 = -9,80 \text{ tn}, \end{aligned}$$

$$V_1 = \mathfrak{B}_1 = -1,59 \text{ tn}.$$

Da bei unbeschränkter Wirksamkeit der ersten bzw. zweiten Diagonale 1 die Werte von  $V_0$  nur bis  $-9,90$  und  $-9,80$  anwachsen können, so brauchen wir anstatt des oben gefundenen Grenzwerts von  $-17,45$  tn nur  $-9,90$  anzunehmen.

Sämtliche nun gültigen Grenzwerte sind in Fig. 142 für eine Oeffnungshälfte eingeschrieben, während die Grenzwerte der ersten Oeffnung in Fig. 140 ersichtlich sind.

**Beispiel 83. Continuirlicher Gelenkträger einfachen Systems mit Gegendiagonalen. Berechnung für bewegte Radlastzüge.**

Den in Beispiel 79 behandelten Gelenkträger für den Fall zu berechnen, dass sämtliche Diagonalen nur auf Zug widerstehen.

Der einfache Träger zwischen den beiden mittleren Gelenken ist in Beispiel 72 berechnet. Die Stützenreactionen wurden in Bei-

spiel 79 festgestellt. Die Stabkräfte der ersten Oeffnung mit Rücksicht auf Gegendiagonalen sind aus Beispiel 81 zu entnehmen. Es bleiben wieder die Stäbe zwischen dem zweiten Auflager und ersten Zwischengelenke, für welche die Eigengewichtsbeanspruchungen in Beispiel 78 und die Grenzbeanspruchungen ohne Gegendiagonalen in Beispiel 79 berechnet wurden. Auf Grund dieser Resultate verfahren wir nun nach der Anleitung in § 56.

Da die Beanspruchung  $D_1$  negativ werden kann, so ist im Felde 1 eine zweite Diagonale anzuordnen. Die unteren Grenzbeanspruchungen beider Diagonalen 1 sind gleich Null, die oberen für die erste Diagonale 11,26 tn und für die zweite

$$D_1' = 6,96 \frac{5}{3,5} = 9,94 \text{ tn.}$$

Das Hinzutreten der zweiten Diagonale kann nur einen Einfluss auf die Stabkräfte des ersten Feldes haben. Die Grenzbeanspruchungen der Gurtungsstäbe 1 entstehen für Eigengewicht allein und bei Belastung der Mittelöffnung durch Zug I, Rad O über  $r$ . Im ersten Falle ist die Diagonalbeanspruchung  $\mathfrak{D}_1 = 0$ , die unteren Grenzwerte der Gurtungskräfte bleiben also wie in Beispiel 79 bestimmt. Im zweiten Falle haben wir nach § 62, 3) für die erste Diagonale

$$D_1 = \mathfrak{D}_1 - \left[ -\varepsilon \sum_0^{\lambda} Pa + \sum_{\lambda}^r P(\lambda - \varepsilon \lambda - a) + \frac{1 - \varepsilon - \varrho}{\tau - \varrho} \sum_r^t P(t - a) \right] \frac{d_1}{2\lambda h},$$

und bei der in Beispiel 79 angewandten ersten Richtung des Zuges 1 mit Rücksicht auf die in Beispiele 6 gegebene Tabelle

$$D_1 = 0 + \left[ 0,82 \cdot 6 \cdot 0,5 + (4 \cdot 1,96 + 6 \cdot 0,76 - 6 \cdot 0,54) - \frac{0,18}{8} 704 \right] \frac{3,5}{0,82 \cdot 12} = -1,50 \text{ tn.}$$

Beim Eintritt der oberen Grenzbeanspruchungen der Gurtungskräfte des Feldes 1 wirkt also die zweite Diagonale, die fraglichen Grenzwerte sind nach § 56, 3)

$$O_1 = -\frac{1}{u_1} Z_1 = \frac{3}{3,72} 99,95 = 80,60 \text{ tn,}$$

$$U_1 = -\frac{u_1}{\lambda} X_1 = -\frac{3,72}{8} 82,09 = -101,79 \text{ tn.}$$

Jenachdem die erste oder zweite Diagonale wirkt, gelten für die Verticale 0 die Gleichungen B. 82, 1) oder 2), für die Verticale 1

die Gleichungen B. 82, 3) oder 4). Dieselben liefern bei möglichst grossen bezw. möglichst kleinen  $K$ ,  $D$  für die Verticale 0:

$$V_0 = -15,06 - \frac{4}{5} 62,44 - \frac{1,8}{3,5} 11,26 = -70,80 \text{ tn},$$

$$V_0 = -1,59 - \frac{4}{5} 13,01 = -12,00 \text{ tn},$$

und für die Verticale 1:

$$V_1 = -15,06 - \frac{4}{5} 9,94 = -23,01 \text{ tn},$$

$$V_1 = -1,59 \text{ tn}.$$

Zu beachten war, dass der grösste Werth der Knotenpunktslasten  $K$  ist

$$K = 0,53 \cdot 3 + 6 + 2 \cdot 6 \frac{1,7}{3} + 4 \frac{0,5}{3} = 15,06 \text{ tn}.$$

Die so berechneten Grenzwerte könnten als im Allgemeinen zu ungünstig beibehalten werden. Da sich jedoch  $V_0 = -70,80 \text{ tn}$  beim Wirken der Hauptdiagonale ergab und für diesen Fall selbst ohne Rücksicht auf die Beanspruchungsart der Letzteren in Beispiel 79 nur die Grenzbeanspruchung  $-59,80$  erhalten wurde, so können wir diese annehmen. Da ferner bei unbeschränkter Wirksamkeit der zweiten Diagonale (Z-Gurtung oben,

$$v = \varepsilon = -0,818, \quad u = (m - v) \lambda = 5,46$$

nicht zwischen  $v = 6$  und  $r = 6$ ) die Grenzwerte von  $V_1$  für Eigengewicht allein wie im vorigen Beispiele  $\mathfrak{B}_1 = -1,59$  und bei Belastung durch Zug I, Rad O bei  $r$ ,

$$\begin{aligned} V_1 &= \mathfrak{B}_1 + \left[ (1 + v) \sum_c^v P(a - c) + \frac{e - 1 + v}{e - e} \sum_r^t P(t - a) \right] \frac{1}{r\lambda} \\ &= -1,59 - \left( 0,18 \cdot 30,2 + \frac{0,18}{8} 704 \right) \frac{1}{0,82 \cdot 8} = -10,28 \text{ tn} \end{aligned}$$

werden, während bei unbeschränkter Wirksamkeit der ersten Diagonale die Grenzwerte  $-1,59$  und  $-15,06 \text{ tn}$  entstehen, so genügt es, die Letzteren anzunehmen.

**Bemerkungen.** Nach § 56 hätten wir bei Bestimmung der oberen Grenzbeanspruchungen der Gurtungen unter Vermeidung der Untersuchung bezüglich der wirksamen Diagonale auch wie folgt vorgehen können. Mit Rücksicht auf Beispiel 79 wären nach 56, 1) 2)

$$O_1 = X_1 = 82,09 \text{ tn},$$

$$U_1 = Z_1 = -99,95 \text{ tn},$$

und nach § 56, 3) 4)

$$O_1 = - \frac{\lambda}{u_1} Z_1 = \frac{3}{3,72} 99,95 = 80,60 \text{ tn},$$

$$U_1 = - \frac{u_1}{\lambda} X_1 = - \frac{3,72}{3} 82,09 = - 101,79 \text{ tn}.$$

Daher sind als obere Grenzwerte anzunehmen

$$O_1 = 82,09 \text{ tn},$$

$$U_1 = - 101,79 \text{ tn},$$

gegen oben berechnete

$$O_1 = 80,60 \text{ tn},$$

$$U_1 = - 101,79 \text{ tn}.$$

## VI. Abschnitt.

### Bogenträger mit drei Gelenken.

**Beispiel 84. Bogendachbinder einfachen Systems mit Verticalen und beliebigen Gurtungsformen. Gleichmässig vertheilte Last.**

Für den in Fig. 143 angedeuteten Bogendachbinder mit drei Gelenken seien gegeben: Spannweite  $l = 8\lambda = 32$  m, Pfeil des kreisförmigen (einem Kreisbogen eingeschriebenen) Untergurts  $f = 8$  m, Länge der Kämpferverticalen  $h_0 = 6$  m, Länge der Scheitelverticalen  $h_4 = 2$  m. Es sind die Stabkräfte und Stützenreactionen für eine auf den Träger gleichmässig vertheilte Last von  $q = 1,06$  tn zu berechnen, von welcher (etwa mit Rücksicht auf eine als Decke dienende Verschaalung) 0,25 tn auf die Knotenpunkte des Untergurts kommen.

**Formberechnung.** Dieselbe ist vollständig entsprechend der Formberechnung in Beispiel 34. Doch fügen wir bei die Werthe

$$(1) \quad w_d = \xi_m - \varepsilon (\xi_m - \xi_{m-1}), \quad w_v = \xi_m - \nu (\xi_m - \xi_{m-1})$$

und erhalten

für	$m =$	0	1	2	3	4:
	$\xi_m =$	6	7	8	9	10
	$\eta_m =$	0	4	6,33	7,6	8
	$h_m =$	6	3	1,67	1,4	2
	$z_m =$		5,66	4,63	4,20	4,02
	$d_m =$		4,47	4,06	4,02	4,12
	$\varepsilon =$		-1	-1,25	-5,18	3,33
	$\nu =$		-2,25	-6,18	2,33	
	$w_d =$		8	9,25	14,18	6,67
	$w_v =$		9,25	14,18	6,67.	

Für alle Stäbe des Obergurts ist die Länge 4,12 m.

**Beanspruchungen.** Bezeichnen  $q_x$ ,  $q_z$  diejenigen Theile von  $q$ , welche auf die Knotenpunkte der X-Gurtung und Z-Gurtung zu rech-

nen sind, so hat man nach § 69, 6) 7) für die erste Trägerhälfte folgende Ausdrücke der Stabkräfte:

$$(2) \quad \begin{cases} X_m = - \left[ m(n-m) - \frac{n^2}{4f} \delta_m \right] \frac{x_m}{h_m} \frac{q\lambda}{2}, \\ Z_m = \left[ (m-1)(n-m+1) - \frac{n^2}{4f} \xi_{m-1} \right] \frac{z_m}{h_{m-1}} \frac{q\lambda}{2}, \\ D_m = - \left[ m(n-m) - \varepsilon(n-2m+1) - \frac{n^2}{4f} w_d \right] \frac{d_m}{\varepsilon h_{m-1}} \frac{q\lambda}{2}, \\ V_m = \left[ m(n-m) - \nu(n-2m + \frac{g_x - g_s}{g}) - \frac{n^2}{4f} w_v \right] \frac{q\lambda}{2}. \end{cases}$$

Die letzte Gleichung setzt voraus, dass der Verticale  $m$  beiderseits Felder mit Diagonalen gleicher Stellung anliegen, sie gilt also nicht für die Kämpferverticale und Scheitelveerticale. Mit  $n = 8$ ,  $\lambda = 4$ ,  $f = 8$ ,  $x_m = 4,12$ ,  $q = 1,06$ ,  $q_x = 0,81$ ,  $q_s = 0,25$  nehmen die Gleichungen 2) folgende Formen an:

$$\begin{aligned} X_m &= - [m(8-m) - 2\delta_m] \frac{8,734}{h_m}, \\ Z_m &= [(m-1)(9-m) - 2\xi_{m-1}] \frac{2x_m}{h_{m-1}}, \\ D_m &= - [m(8-m) - \varepsilon(9-2m) - 2w_d] \frac{2,12 d_m}{\varepsilon h_{m-1}}, \\ V_m &= [m(8-m+2\nu) - 2w_v] \frac{2,12}{\nu} - 18,08, \end{aligned}$$

und es ergeben sich hieraus die nachstehenden Stabkräfte in Tonnen:

$$\begin{array}{llll} X_1 = 2,91 & Z_1 = -23,99 & D_1 = -3,16 & V_1 = -3,00 \\ X_2 = 3,49 & Z_2 = -22,90 & D_2 = -0,57 & V_2 = -3,99 \\ X_3 = 1,25 & Z_3 = -21,33 & D_3 = 2,11 & V_3 = -3,85. \\ X_4 = 0 & Z_4 = -18,26 & D_4 = 1,25 & \end{array}$$

Für den Horizontalschub und die Verticalreaction der Stützen hat man nach § 66, 12)

$$(3) \quad H = \frac{q\lambda^2}{8f}, \quad V = \frac{q\lambda}{2}.$$

Diese Gleichungen liefern

$$H = 16,96 \text{ tn}, \quad V = 16,96 \text{ tn}.$$

Die Bedingung „Summe aller Verticalkräfte gleich Null“ in Anwendung auf Knotenpunkt 0 des Untergurts und 4 des Obergurts ergibt



$$V_0 + V + Z_1 \frac{4}{5,66} - 0,25 \cdot 2 = 0,$$

$$V_4 + X_4 \frac{1}{4,12} + 0,81 \cdot 2 = 0,$$

woraus die noch fehlenden Stabkräfte:

$$V_0 = 0,50 \text{ tn}, \quad V_4 = -1,62 \text{ tn}.$$

Die vollständige Berechnung des hier behandelten Dachbinders ist im nächsten Beispiele gezeigt.

**Beispiel 85. Bogendachbinder einfachen Systems mit Verticalen und beliebigen Gurtungsformen. Grenzbeanspruchungen mit Rücksicht auf schiefen Winddruck.**

Für den in Fig. 143 angedeuteten Dachbinder betrage die feste Last per Längeneinheit  $g = 0,6 \text{ tn}$ , wovon  $0,35 \text{ tn}$  auf die Knotenpunkte des Obergurts und  $0,25 \text{ tn}$  auf diejenigen des Untergurts kommen. Der Schneedruck, welcher auf beliebige Theile der Dachfläche wirksam angenommen werden soll, ist mit  $p = 0,35 \text{ tn}$  per laufenden Meter in Rechnung zu ziehen. Winddruck per qm normal getroffener Fläche  $150 \text{ kg}$ , Windrichtung um  $10^\circ$  gegen die Horizontale fallend, parallel der Trägerebene. Die Grenzwerte der Stabkräfte zu berechnen, wenn einmal die erste, einmal die zweite Dachhälfte vom Winde getroffen wird.

**Eigengewicht allein.** Für die vom Eigengewichte allein herührenden Stabkräfte hat man nach § 69, 6) 7):

$$(1) \quad \begin{cases} X_m = - \left[ m(n-m) - \frac{n^2}{4f} \delta_m \right] \frac{x_m}{h_m} \frac{g\lambda}{2}, \\ Z_m = \left[ (m-1)(n-m+1) - \frac{n^2}{4f} \xi_{m-1} \right] \frac{z_m}{h_{m-1}} \frac{g\lambda}{2}, \\ D_m = - \left[ m(n-m) - \varepsilon(n-2m+1) - \frac{n^2}{4f} w_d \right] \frac{d_m}{\varepsilon h_{m-1}} \frac{g\lambda}{2}, \\ S_m = \left[ m(n-m) - \nu \left( n-2m + \frac{g_x - g_s}{g} \right) - \frac{n^2}{4f} w_s \right] \frac{g\lambda}{2\nu}, \end{cases}$$

also im vorliegenden Falle mit  $n = 8$ ,  $\lambda = 4$ ,  $f = 8$ ,  $x_m = 4,12$ ,  $g = 0,6$ ,  $g_x = 0,35$ ,  $g_s = 0,25$ :

$$X_m = - \left[ m(8-m) - 2\delta_m \right] \frac{4,944}{h_m},$$

$$Z_m = \left[ (m-1)(9-m) - 2\xi_{m-1} \right] \frac{1,2 z_m}{h_{m-1}},$$

$$\mathfrak{D}_m = -[m(8-m) - \varepsilon(9-2m) - 2w_d] \frac{1,2 d_m}{\varepsilon h_{m-1}},$$

$$\mathfrak{B}_m = [m(8-m+2\nu) - 2w_v] \frac{1,2}{\nu} - 9,8.$$

Diese Gleichungen liefern mit Rücksicht auf die in Beispiel 84 zusammengestellten, von der Trägerform abhängigen Grössen folgende Stabkräfte in Tonnen:

$$\begin{array}{llll} \mathfrak{X}_1 = 1,65 & \mathfrak{B}_1 = -13,58 & \mathfrak{D}_1 = -1,79 & \mathfrak{B}_1 = -1,27 \\ \mathfrak{X}_2 = 1,97 & \mathfrak{B}_2 = -12,96 & \mathfrak{D}_2 = -0,32 & \mathfrak{B}_2 = -1,82 \\ \mathfrak{X}_3 = 0,71 & \mathfrak{B}_3 = -12,07 & \mathfrak{D}_3 = 1,19 & \mathfrak{B}_3 = -1,75. \\ \mathfrak{X}_4 = 0 & \mathfrak{B}_4 = -10,33 & \mathfrak{D}_4 = 0,71 & \end{array}$$

Für die Kämpferverticale und Scheitelverticale gelten die allgemeinen Ausdrücke von  $V_m$  nicht, dagegen hat man nach A. 39, 7) 17) deren Beanspruchungen durch Eigengewicht allein

$$(2) \quad \mathfrak{B}_0 = \frac{1,2 g_z}{2} - \left(1 - \frac{n}{4f} \delta_1\right) \frac{p l}{2}, \quad \mathfrak{B}_4 = -\frac{1,2 g_x}{2},$$

woraus nach Einsetzen der Zahlenwerthe:

$$\mathfrak{B}_0 = 0,5 \text{ tn}, \quad \mathfrak{B}_4 = -0,7 \text{ tn}.$$

Dieselben Werthe hätten wir natürlich auch wie in Beispiel 84 erhalten können. Schliesslich gelten für die Verticalreaction der Kämpfer und den Horizontalschub die Gleichungen § 66, 12)

$$(3) \quad \mathfrak{B} = \frac{g l}{2}, \quad \mathfrak{H} = \frac{g l^2}{8 f},$$

welche ergeben

$$\mathfrak{B} = 9,6 \text{ tn}, \quad \mathfrak{H} = 9,6 \text{ tn}.$$

Grenzwerte ohne Winddruck. In § 69 wurden folgende Bezeichnungen eingeführt

$$(4) \quad \xi = \frac{n}{2f} \delta_m, \quad \zeta = \frac{n}{2f} \delta_{m-1}, \quad \delta = \frac{n}{2f} w_d, \quad \omega = \frac{n}{2f} w_v,$$

worin im vorliegenden Falle  $n:2f = 0,5$  ist. Da sämtliche Knotenpunkte des Untergurts in dem durch die punktierten Linien in Fig. 143 eingeschlossenen Raum  $I$  liegen, so sind nach § 70, 1) und § 19, 2) die Grenzbeanspruchungen des Obergurts

$$(5) \quad \begin{cases} X_m = \mathfrak{X}_m + \xi \frac{\xi - m}{\xi + m} \frac{x_m}{h_m} \frac{p l}{4}, \\ X_m = \frac{q + g}{g} \mathfrak{X}_m - (X_m), \end{cases}$$

und da mit Ausnahme des Knotenpunkts 4 sämtliche Knotenpunkte des Obergurts im Raume  $I$  liegen, so hat man nach § 70, 3) und § 19, 3) als Grenzbeanspruchungen des Untergurts

$$(6) \quad \begin{cases} Z_m = \beta_m - \xi \frac{\xi - m + 1}{\xi + m - 1} \frac{z_m}{h_{m-1}} \frac{p^l}{4}, \\ Z_m = \frac{q+g}{g} \beta_m - (Z_m). \end{cases}$$

Dabei ist die eine Grenzbeanspruchung zur Unterscheidung von der andern mit einer Klammer versehen. Die Gleichungen 5) 6) liefern für die X-Gurtung:

$$X_1 = 1,65 + 2 \quad - \frac{1 \cdot 4,12}{3 \cdot 3} 2,8 = 4,21$$

$$X_2 = 1,97 + 3,17 \quad \frac{1,17 \cdot 4,12}{5,17 \cdot 1,67} 2,8 = 6,92$$

$$X_3 = 0,71 + 3,8 \quad \frac{0,8 \cdot 4,12}{6,8 \cdot 1,4} 2,8 = 4,39$$

$$X_4 = 0 \quad + 4 \quad - \frac{0 \cdot 4,12}{8 \cdot 8} 2,8 = 0,$$

$$X_1 = 2,583 \cdot 1,65 - 4,21 = 0,05$$

$$X_2 = 2,583 \cdot 1,97 - 6,92 = -1,83$$

$$X_3 = 2,583 \cdot 0,71 - 4,39 = -2,56$$

$$X_4 = 2,583 \cdot 0 - 0 = 0,$$

und für die Z-Gurtung:

$$Z_1 = -13,58 - 3 \quad \frac{3 \cdot 5,66}{3 \cdot 6} 2,8 = -21,50$$

$$Z_2 = -12,96 - 3,5 \quad \frac{2,5 \cdot 4,63}{4,5 \cdot 3} 2,8 = -21,36$$

$$Z_3 = -12,07 - 4 \quad \frac{2 \cdot 4,2}{6 \cdot 1,67} 2,8 = -21,46$$

$$Z_4 = -10,34 - 4,5 \quad \frac{1,5 \cdot 4,02}{7,5 \cdot 1,4} 2,8 = -17,58,$$

$$Z_1 = -2,583 \cdot 13,58 + 21,50 = -13,58$$

$$Z_2 = -2,583 \cdot 12,96 + 21,36 = -12,12$$

$$Z_3 = -2,583 \cdot 12,07 + 21,46 = -9,72$$

$$Z_4 = -2,583 \cdot 10,34 + 17,58 = -9,13.$$

Nach der Zusammenstellung in Beispiel 84 entsprechen den Diagonalen

für	$m =$	1	2	3	4:
	$\varepsilon =$	- 1	- 1,25	- 5,18	3,33
	$w_d =$	8	9,25	14,18	6,67
	$\varphi = \frac{m - \varepsilon}{n} 2f =$	4	6,5	16,36	1,34
	$\chi = \frac{n - m + \varepsilon}{n} 2f =$	12	9,5	- 0,36	14,66
	$\psi = \frac{n - m}{m} \frac{m - \varepsilon}{n} 2f =$	28	19,5	27,27	1,34.

Da hiernach für die beiden ersten Diagonalen  $w_d$  nicht zwischen  $\chi$  und  $\psi$ , wohl aber zwischen  $\psi$  und  $\varphi$  liegt, so hat man nach § 70, 7) eine Grenzbeanspruchung derselben

$$(7) \quad D_m = \mathfrak{D}_m + \frac{\delta - m + \varepsilon}{\delta + m - \varepsilon} \frac{\delta d_m}{\varepsilon h_{m-1}} \frac{pl}{4},$$

und da für die beiden letzten Diagonalen  $w_d$  zwischen  $\chi$  und  $\psi$ , aber nicht zwischen  $\psi$  und  $\varphi$  liegt, so ist nach § 70, 6) eine Grenzbeanspruchung dieser Diagonalen

$$(8) \quad D_m = \mathfrak{D}_m + \frac{(m-1)^2 (n-m-\delta+\varepsilon)}{n-m-\delta-\varepsilon (n-1)} \frac{d_m}{h_{m-1}} \frac{pl}{2}.$$

Die zweite Grenzbeanspruchung ist nach § 19, 4) für alle Diagonalen

$$(9) \quad D_m = \frac{q+g}{g} \mathfrak{D}_m - (D_m).$$

Wir erhalten aus vorstehenden Gleichungen folgende Grenzwerte in Tonnen:

$$D_1 = -1,79 - \frac{2 \cdot 4 \cdot 4,47}{6 \cdot 1 \cdot 6} 2,8 = -4,57$$

$$D_2 = -0,32 - \frac{1,38 \cdot 4,63 \cdot 4,06}{7,88 \cdot 1,25 \cdot 3} 2,8 = -2,78$$

$$D_3 = 1,19 - \frac{4 \cdot 7,27 \cdot 4,02}{34,17 \cdot 1,67} 0,7 = -0,24$$

$$D_4 = 0,71 - \frac{9 \cdot 4 \cdot 4,12}{22,64 \cdot 1,4} 0,7 = -8,56,$$

$$D_1 = -2,583 \cdot 1,79 + 4,57 = -0,05$$

$$D_2 = -2,583 \cdot 0,32 + 2,78 = 1,95$$

$$D_3 = 2,583 \cdot 1,19 + 0,24 = 3,31$$

$$D_4 = 2,583 \cdot 0,71 + 8,56 = 10,39.$$

Nach der Zusammenstellung in Beispiel 84 entsprechen den Verticalen

für	$m =$	1	2	3:
	$\nu =$	— 2,25	— 6,18	2,33
	$w_o =$	9,25	14,18	6,67
	$\varphi = \frac{m - \nu}{n} 2f =$	6,5	16,36	1,34
	$\chi = \frac{n - m + \nu}{n} 2f =$	9,5	— 0,36	14,66
	$\psi = \frac{n - m}{m} \frac{m - \nu}{n} 2f =$	45,5	49,08	2,33.

Da für die erste Verticale  $w_o$  nicht zwischen  $\chi$  und  $\psi$ , wohl aber zwischen  $\psi$  und  $\varphi$  liegt, so ist nach § 70, 11) eine Grenzbeanspruchung derselben

$$(10) \quad V_m = \mathfrak{B}_m - \frac{\omega - m + \nu}{\omega + m - \nu} \frac{\omega}{\nu} \frac{p^l}{4},$$

und da für die beiden folgenden Verticalen  $w_o$  zwischen  $\chi$  und  $\psi$ , aber nicht zwischen  $\psi$  und  $\varphi$  liegt, so ist nach § 70, 10) eine Grenzbeanspruchung dieser Verticalen

$$(11) \quad V_m = \mathfrak{B}_m - \frac{(m-1)^2 (n-m-\omega+\nu)}{n-m-\omega-\nu (n-1)} \frac{p^l}{2}.$$

Als zweite Grenzbeanspruchung hat man nach § 19, 8) für die drei Verticalen

$$(12) \quad V_m = \frac{q+g}{g} \mathfrak{B}_m - (V_m) - \frac{p^l}{g} g_z.$$

Vorstehende Gleichungen ergeben folgende Grenzwerte in Tonnen:

$$V_1 = -1,27 + \frac{1,38 \cdot 4,63}{7,88 \cdot 2,25} 2,8 = -0,26$$

$$V_2 = -1,82 + \frac{1 \cdot 7,27}{42,17} 0,7 = -1,70$$

$$V_3 = -1,75 + \frac{4 \cdot 4}{14,64} 0,7 = -0,98,$$

$$V_1 = -2,583 \cdot 1,27 + 0,26 - 0,583 = -3,60$$

$$V_2 = -2,583 \cdot 1,82 + 1,70 - 0,583 = -3,58$$

$$V_3 = -2,583 \cdot 1,75 + 0,98 - 0,583 = -4,12.$$

Für die Grenzbeanspruchungen der Kämpferverticalen hat man nach A. 39, 6)

$$(13) \quad V_o = \mathfrak{B}_o + \xi_1 \frac{\xi_1 - 1}{\xi_1 + 1} \frac{p^l}{4}, \quad V_o = \mathfrak{B}_o - \frac{1}{\xi_1 + 1} \frac{p^l}{2},$$

und für diejenigen der Scheitelverticalen nach A. 39, 16)

$$(14) \quad V_o = \mathfrak{B}_o - \frac{p^l}{2}, \quad V_o = \mathfrak{B}_o.$$

Diese Gleichungen liefern

$$V_0 = 0,5 + 2 \frac{1}{8} 2,8 = 2,37, \quad V_0 = 0,5 - \frac{5,6}{2} = -1,37,$$

$$V_4 = -0,7 - 0,7 = -1,4, \quad V_4 = -0,7 \text{ tn.}$$

Schliesslich sind nach § 67, 14) 12) die Grenzwerte des Horizontalschubs und der Verticalreactionen der Kämpfer

$$(15) \quad H = \frac{ql^2}{8f}, \quad H = \mathfrak{H},$$

$$(16) \quad V = \frac{ql}{2}, \quad V = \mathfrak{B},$$

das heisst in unserm Falle

$$H = V = 15,6 \text{ tn}, \quad H = V = 9,6 \text{ tn.}$$

**Grenzwerte mit Winddruck.** Die vom Winddrucke allein herührenden Stabkräfte und Stützenreactionen sind im nächsten Beispiele bestimmt. Die Grenzwerte der Stabkräfte und Stützenreactionen mit Rücksicht auf Winddruck ergeben sich, wie schon in den Beispielen 21, 22, 40, 57 durch Combination jener Beanspruchungen mit den oben erhaltenen Grenzwerten zu den äusserst möglichen Grenzbeanspruchungen. Alles Weitere ist aus der folgenden Tabelle zu ersehen:

	Grenzwerte ohne Winddruck		Einfluss des Winddrucks		Grenzwerte mit Winddruck		Siehe S. 368 oben			
$X_1$	4,21	0,05	1,14	— 2,71	5,35	— 2,71	5,02	— 0,76	2,91	
$X_2$	6,92	— 1,83	2,39	— 3,45	9,31	— 5,28	8,48	— 3,39	3,49	
$X_3$	4,39	— 2,56	1,95	— 2,16	6,34	— 4,72	5,55	— 3,72	1,25	
$X_4$	0	0	0,04	0	0,04	0	0	0	0	
$Z_1$	— 13,58	— 21,50	0,71	— 2,35	— 12,87	— 23,85	— 11,09	— 23,99	— 23,99	
$Z_2$	— 12,14	— 21,36	1,54	— 3,20	— 10,58	— 24,56	— 9,48	— 24,00	— 22,90	
$Z_3$	— 9,72	— 21,46	2,05	— 4,17	— 7,67	— 25,63	— 6,77	— 24,41	— 21,33	
$Z_4$	— 9,14	— 17,58	0,75	— 3,58	— 8,38	— 21,16	— 9,14	— 19,85	— 18,26	
$D_1$	— 0,05	— 4,57	1,14	— 0,93	1,09	— 5,50	0,77	— 5,44	— 3,16	
$D_2$	1,95	— 2,78	0,64	— 1,24	2,59	— 4,02	2,72	— 3,55	— 0,57	
$D_3$	3,31	— 0,24	0,42	— 1,35	3,73	— 1,59	3,76	— 0,69	2,11	
$D_4$	10,39	— 8,56	1,95	— 2,19	12,34	— 10,75	18,30	— 11,47	1,25	
$V_0$	2,37	— 1,37	1,70	— 1,27	4,07	— 2,64	2,95	— 1,95	0,50	
$V_1$	— 0,26	— 3,60	1,71	— 0,69	1,45	— 4,29	0,06	— 3,80	— 3,00	
$V_2$	— 1,70	— 3,58	0,05	— 0,15	— 1,65	— 3,73	— 1,66	— 3,62	— 3,99	
$V_3$	— 0,98	— 4,12	0,70	— 0,57	— 0,28	— 4,69	— 0,74	— 4,36	— 3,85	
$V_4$	— 0,70	— 1,40	0	— 0,21	— 0,70	— 1,61	— 0,70	— 1,62	— 1,62	
$V$	15,60	9,60	0,83	0,77	16,43	9,60	16,96	9,60	16,96	
$H$	15,60	9,60	1,66	— 2,25	17,26	7,35	16,96	9,60	16,96	

In der letzten Columne sind diejenigen Beanspruchungen eingestellt, welche sich bei Totalbelastung des ganzen Daches unter Berücksichtigung des Winddrucks durch einen gleichmässig über beide Dachflächen vertheilten Verticaldruck von

$$v = \frac{n}{\cos \alpha} = \frac{25,14}{\cos 14^\circ 10'} = 25,93 \text{ kg}$$

per qm Dachfläche (vergl. am Schlusse des Beispiels 21) oder

$$bv \frac{x_m}{\lambda} = 4 \cdot 0,0259 \frac{4,12}{4} = 0,11 \text{ tn}$$

per laufenden Meter Träger ergeben (Beispiel 84), wobei also  $p = 0,35 + 0,11 = 0,46$ ,  $q = 0,6 + 0,46 = 1,06 \text{ tn}$  sind. Die beiden Columnen vorher enthalten diejenigen Grenzwerte, welche ganz wie oben für eine gleichmässig vertheilte bewegte Last von  $p = 0,46 \text{ tn}$  bei  $g = 0,6 \text{ tn}$  Eigengewicht per laufenden Meter resultiren, wenn also vom Winddrucke nur die soeben erwähnte Verticalcomponente berücksichtigt und angenommen wird, dass der Wind beliebige Theile der Dachfläche treffen kann.

**Beispiel 86. Bogendachbinder einfachen Systems mit Verticalen und beliebigen Gurtungsformen. Einfluss schiefen Winddrucks.**

Den Einfluss des Winddrucks auf die Beanspruchungen des in Fig. 143 angedeuteten Dachbinders unter folgenden Voraussetzungen zu berechnen. Binderweite  $b = 4 \text{ m}$ , Winddruck bei normal getroffener Fläche  $w = 150 \text{ kg per qm}$ , Windrichtung um  $\beta = 10^\circ$  gegen die Horizontale fallend, parallel der Trägerebene.

Für eine Ebene, welche den Winkel  $\alpha$  mit der Horizontalen bildet (Fig. 53) hat man nach Beispiel 21 den für die Berechnung allein in Betracht kommenden Normaldruck des Windes per qm

$$(1) \quad n = w \sin^2 (\alpha + \beta).$$

Dies gibt für alle Knotenpunkte einer getroffenen ebenen Dachfläche, abgesehen von den beiden äussern,

$$N = nbx_m \quad \text{Normaldruck,}$$

$$\frac{\lambda}{x_m} N = nb\lambda \quad \text{Verticaldruck,}$$

$$\frac{\delta}{x_m} N = nb\delta \quad \text{Horizontaldruck,}$$

wobei  $\delta$  die Höhendifferenz zweier Knotenpunkte im Obergurte bedeutet. Im vorliegenden Falle haben wir

$$\operatorname{tg} \alpha = \frac{1}{4}, \quad \alpha = 14^\circ 10', \quad n = 150 \sin^2 24^\circ 10' = 25,14 \text{ kg},$$

und damit für jeden der drei innern Knotenpunkte

$$0,02514 \cdot 4 \cdot 4 = 0,40 \text{ tn} \quad \text{Verticaldruck,}$$

$$0,02514 \cdot 4 \cdot 1 = 0,10 \text{ tn} \quad \text{Horizontaldruck.}$$

Die beiden äussern Knotenpunkte erhalten durch den Wind auf die obere Dachfläche halb so grosse Drücke. Auf die Verticalfläche durch die Endverticale der getroffenen Dachhälfte kommt ein Normaldruck von

$$n = 150 \sin^2 (90 + 10) = 145,48 \text{ kg}$$

per qm, was für jeden der beiden Knotenpunkte jener Verticalen ergibt:

$$L = 0,1455 \cdot 4 \cdot 3 = 1,75 \text{ tn.}$$

Greifen am Träger zwischen den Schnitten 0 und  $s$  beliebige Verticalkräfte  $K$  bei Abscissen  $e$  und beliebige Horizontalkräfte  $L$  bei Ordinaten  $c$  an, so hat man nach A. 5, 1) das Moment der äussern Kräfte links von  $s$  hinsichtlich irgend eines Drehpunkts der Coordinaten  $u, w$

$$(2) \quad M_s = Vu - Hw - \sum_0^s K(u - e) - \sum_0^s L(w - c),$$

worin die letzte Summe das negative Vorzeichen erhielt, weil wir jetzt von links nach rechts wirkende  $L$  als positiv ansehen wollen. Wird der Schnitt  $s$  für  $X_m, Z_m, D_m$  durch Feld  $m$  und für  $V_m$  durch die Stäbe  $x_m, h_m, z_{m+1}$  gelegt, so hat man nach § 86, 1)–4) bei oben liegender X-Gurtung:

$$(3) \quad \begin{cases} X_m = -M_s \frac{x_m}{\lambda h_m} & \text{mit } u = m\lambda, & w = z_m, \\ Z_m = M_s \frac{z_m}{\lambda h_{m-1}} & \text{,, } u = (m-1)\lambda, & w = z_{m-1}, \\ D_m = -M_s \frac{d_m}{\varepsilon \lambda h_{m-1}} & \text{,, } u = (m-\varepsilon)\lambda, & w = w_d, \\ V_m = M_s \frac{1}{v\lambda} & \text{,, } u = (m-v)\lambda, & w = w_v. \end{cases}$$

Die Gleichung für  $V_m$  gilt jedoch nicht für die Kämpferverticalen und Scheitelverticalen. Nach 2) 3) erhält man mit Rücksicht auf die Formberechnung im vorletzten Beispiele bei beliebigen  $K, L$  die Beanspruchungen des Obergurts (Fig. 144):



$$X_1 = - (4V - 4H - 4K_0 - 4L + 2L_0) \frac{4,12}{4 \cdot 8},$$

$$X_2 = - (8V - 6,33H - 8K_0 - 4K_1 - 6,33L - 0,33L_0 + 0,67L_1) \frac{4,12}{4 \cdot 1,67},$$

$$X_3 = - (12V - 7,6H - 12K_0 - 8K_1 - 4K_2 - 7,6L - 1,6L_0 - 0,6L_1 + 0,4L_2) \frac{4,12}{4 \cdot 1,4},$$

$$X_4 = - (16V - 8H - 16K_0 - 12K_1 - 8K_2 - 4K_3 - 8L - 2L_0 - 1L_1 - 0L_2 + 1L_3) \frac{4,12}{4 \cdot 2},$$

die Beanspruchungen des Untergurts:

$$Z_1 = (0V - 6H - 6L) \frac{5,66}{4 \cdot 6},$$

$$Z_2 = (4V - 7H - 4K_0 - 7L - 1L_0) \frac{4,63}{4 \cdot 8},$$

$$Z_3 = (8V - 8H - 8K_0 - 4K_1 - 8L - 2L_0 - 1L_1) \frac{4,2}{4 \cdot 1,67},$$

$$Z_4 = (12V - 9H - 12K_0 - 8K_1 - 4K_2 - 9L - 3L_0 - 2L_1 - 1L_2) \frac{4,02}{4 \cdot 1,4},$$

die Beanspruchungen der Diagonalen:

$$D_1 = (10V - 8H - 10K_0 - 8L - 2L_0) \frac{4,47}{1 \cdot 24},$$

$$D_2 = (13V - 9,25H - 13K_0 - 9K_1 - 9,25L - 3,25L_0 - 2,25L_1) \frac{4,06}{1,25 \cdot 12},$$

$$D_3 = (32,72V - 14,18H - 32,72K_0 - 28,72K_1 - 24,72K_2 - 14,18L - 8,18L_0 - 1,18L_1 - 6,18L_2) \frac{4,02}{5,18 \cdot 6,68},$$

$$D_4 = - (2,68V - 6,67H - 2,68K_0 + 1,32K_1 + 5,32K_2 + 9,32K_3 - 6,67L - 0,67L_0 + 0,33L_1 + 1,33L_2 + 2,33L_3) \frac{4,12}{3,33 \cdot 5,6},$$

und die Beanspruchungen der Verticalen:

$$V_1 = - (13V - 9,25H - 13K_0 - 9,25L - 3,25L_0) \frac{1}{2,25 \cdot 4},$$

$$V_2 = - (32,72V - 14,18H - 32,72K_0 - 28,72K_1 - 14,18L - 8,18L_0 - 7,18L_1) \frac{1}{6,18 \cdot 4},$$

$$V_3 = (2,68V - 6,67H - 2,68K_0 + 1,32K_1 + 5,32K_2 - 6,67L - 0,67L_0 + 0,33L_1 + 1,33L_2) \frac{1}{2,33 \cdot 4}.$$

Die Bedingung „Summe aller Verticalkräfte gleich Null“ in Anwendung auf Knotenpunkt 0 des Untergurts und 4 des Obergurts liefert zur Bestimmung von  $V_0$  und  $V_4$  die Gleichungen

$$V_0 + V + Z_1 \frac{4}{5,66} = 0, \quad V_4 + K_4 + X_4 \frac{1}{4,12} = 0.$$

Wegen vollständiger Symmetrie des Trägers genügt es, eine Trägerhälfte zu berechnen, was beim Balkendachbinder, der verschiedenen Auflager wegen, nicht der Fall war.

Dachfläche beim Auflager  $l$  getroffen. Für die äussern Kräfte vor den Gelenken  $l$  und  $d$  bestehen hinsichtlich dieser Gelenke folgende Momentengleichungen:

$$\begin{aligned} V \cdot 32 - 0,4 \left( \frac{16}{2} + 12 + 8 + 4 \right) \\ - 0,1 \left( \frac{10}{2} + 9 + 8 + 7 + \frac{6}{2} \right) - 1,75 \cdot 6 = 0, \\ V \cdot 16 - H \cdot 8 = 0, \end{aligned}$$

woraus die Stützenreactionen bei 0

$$V = 0,83 \text{ tn}, \quad H = 1,66 \text{ tn}.$$

Mit diesen Werthen und verschwindenden  $K, L$  liefern obige Gleichungen folgende Stabkräfte in Tonnen:

				$V_0 = 1,70$
$X_1 = 1,14$	$Z_1 = -2,35$	$D_1 = -0,93$	$V_1 = 1,71$	
$X_2 = 2,39$	$Z_2 = -3,20$	$D_2 = -1,24$	$V_2 = -0,15$	
$X_3 = 1,95$	$Z_3 = -4,17$	$D_3 = 0,42$	$V_3 = -0,57$	
$X_4 = 0$	$Z_4 = -3,58$	$D_4 = 1,95$	$V_4 = 0.$	

Dachfläche beim Auflager 0 getroffen. Für die äussern Kräfte vor den Gelenken  $l$  und  $d$  bestehen hinsichtlich dieser Gelenke folgende Momentengleichungen:

$$\begin{aligned} V \cdot 32 - 0,4 \left( \frac{32}{2} + 28 + 24 + 20 + \frac{16}{2} \right) \\ + 0,1 \left( \frac{6}{2} + 7 + 8 + 9 + \frac{10}{2} \right) + 1,75 \cdot 6 = 0, \\ V \cdot 16 - H \cdot 8 - 0,4 \left( \frac{16}{2} + 12 + 8 + 4 \right) \\ - 0,1 \left( \frac{2}{2} + 1 + 0 - 1 - \frac{1}{2} \right) - 1,75 (8 + 2) = 0, \end{aligned}$$

woraus die Stützenreactionen bei 0

$$V = 0,77 \text{ tn}, \quad H = -2,25 \text{ tn}.$$

Mit diesen Werthen und  $2K_0 = K_1 = K_2 = K_3 = 2K_4 = 0,4$ ,  
 $L = 1,75$ ,  $L_0 = 1,75 + 0,05 = 1,8$ ,  $L_1 = L_2 = L_3 = 2L_4 = 0,1$   
 liefern obige Gleichungen folgende Stabkräfte in Tonnen:

$$\begin{array}{llll}
 & & & V_0 = -1,27 \\
 X_1 = -2,71 & Z_1 = 0,71 & D_1 = 1,14 & V_1 = -0,69 \\
 X_2 = -3,45 & Z_2 = 1,54 & D_2 = 0,64 & V_2 = 0,05 \\
 X_3 = -2,16 & Z_3 = 2,05 & D_3 = -1,35 & V_3 = 0,70 \\
 X_4 = 0,04 & Z_4 = 0,75 & D_4 = -2,19 & V_4 = -0,21.
 \end{array}$$

Beim jetzt betrachteten Dache war die vom Winde getroffene Fläche nur einfach gebrochen. Wäre sie mehrfach gebrochen gewesen, so würde zwar die Berechnung der  $K, L$  etwas umständlicher geworden (wie in Beispiel 58), die übrige Berechnung aber ganz wie oben und im vorigen Beispiele geblieben sein.

**Beispiel 87.** Bogenfachwerk einfachen Systems mit Verticalen und beliebigen Gurtungsformen. Berechnung für gleichmässig vertheilte bewegte Last.

Für eine Brücke von  $l = 24$  m Spannweite sollen Bogenträger mit drei Gelenken nach der Anordnung Fig. 145 mit kreisförmigem (einem Kreisbogen eingeschriebenem) Untergurte zur Verwendung kommen. Gewünschte Trägerhöhe bei den Kämpfern  $h_0 = 4,5$  m, im Scheitel  $h = 0,5$  m, Felderzahl  $n = 8$ . Eigengewicht per laufenden Meter Träger  $g = 0,7$  tn, Verkehrslast  $p = 2,8$  tn. Vom Eigengewichte kommen  $g_x = 0,4$  tn auf die Knotenpunkte des Obergurts, in welchen die Fahrbahnlast angreift, und  $g_s = 0,3$  tn auf diejenigen des Untergurts. Die Grenzwerte der Stabkräfte und Stützenreactionen zu berechnen.

**Formberechnung.** Wird der Ursprung der Coordinaten in das Kämpfergelenke links gelegt, so hat man nach § 17, 37) die Gleichung des Kreisbogens, welcher die Form des Untergurts bestimmt,

$$(1) \quad y = -\left(\frac{l^2}{8f} - \frac{f}{2}\right) + \sqrt{\left(\frac{l^2}{8f} - \frac{f}{2}\right)^2 + x(l-x)},$$

oder wegen  $l = 24$ ,  $f = 4$ ,

$$y = -16 + \sqrt{256 + x(24-x)}.$$

Diese Gleichung liefert

$$\begin{array}{llll}
 \text{für } x = & 3 & 6 & 9: \\
 y = & 1,86 & 3,08 & 3,77,
 \end{array}$$

und mit Rücksicht hierauf folgen

für	$m = 0$	1	2	3	4:
	$z_m = 0$	1,86	3,08	3,77	4
	$h_m = h_0 - z_m = 4,5$	2,64	1,42	0,73	0,5
$s_m = \sqrt{\lambda^2 + (z_m - z_{m-1})^2} =$		3,53	3,24	3,08	3,01
$d_m = \sqrt{\lambda^2 + h_m^2} =$		4,00	3,32	3,09	3,04
$\varepsilon = \frac{h_m}{h_m - h_{m-1}} =$		-1,42	-1,16	-1,06	-2,17
$\nu = \frac{h_m}{h_{m+1} - h_m} =$		-2,16	-2,06	-3,17,	

während man nach § 69, 6) 8) 9) weiter hat:

$$x_m = \lambda = 3, \quad \xi_m = w_d = w_v = h_0 = 4,5$$

$$\xi = \frac{n}{2f} z_m = z_m, \quad \xi = \delta = \omega = \frac{n}{2f} h_0 = h_0 = 4,5.$$

Alle Längen sind in Metern gegeben.

**Eigengewicht allein.** Für die vom Eigengewichte allein her-  
rührenden Stabkräfte bestehen nach § 69, 6) 7) folgende Gleichungen:

$$(2) \quad \begin{cases} \mathfrak{X}_m = - \left[ m(n-m) - \frac{n\xi}{2} \right] \frac{x_m}{h_m} \frac{g\lambda}{2}, \\ \mathfrak{Z}_m = \left[ (m-1)(n-m+1) - \frac{n\xi}{2} \right] \frac{z_m}{h_{m-1}} \frac{g\lambda}{2}, \\ \mathfrak{D}_m = - \left[ m(n-m) - \varepsilon(n-2m+1) - \frac{n\delta}{2} \right] \frac{d_m}{\varepsilon h_{m-1}} \frac{g\lambda}{2}, \\ \mathfrak{B}_m = \left[ m(n-m) - \nu \left( n-2m + \frac{g_x - g_v}{g} \right) - \frac{n\omega}{2} \right] \frac{g\lambda}{2\nu}, \end{cases}$$

oder nach Einsetzen der gegebenen Zahlenwerthe:

$$\mathfrak{X}_m = - [m(8-m) - 4z_m] \frac{3,15}{h_m},$$

$$\mathfrak{Z}_m = [(m-1)(9-m) - 18] \frac{1,05 z_m}{h_{m-1}},$$

$$\mathfrak{D}_m = - [m(8-m) - \varepsilon(9-2m) - 18] \frac{1,05 d_m}{\varepsilon h_{m-1}},$$

$$\mathfrak{B}_m = [m(8-m+2\nu) - 18] \frac{1,05}{\nu} - 8,55.$$

Hieraus folgen nachstehende Stabkräfte in Tonnen:

$$\begin{array}{llll} X_1 = 0,52 & B_1 = -14,82 & D_1 = -0,70 & B_1 = -1,10 \\ X_2 = 0,71 & B_2 = -14,17 & D_2 = -0,23 & B_2 = -1,29 \\ X_3 = 0,35 & B_3 = -13,66 & D_3 = 0,39 & B_3 = -1,26 \\ X_4 = 0 & B_4 = -12,99 & D_4 = 0,34. \end{array}$$

Die allgemeinen Gleichungen für  $V_m$ ,  $B_m$  gelten nicht für die Kämpferverticale und Scheitelverticale; indessen hat man nach A. 39, 7) 17) deren Beanspruchungen durch Eigengewicht allein, wenn  $\xi_1$  den Werth von  $\xi$  für  $m = 1$  bedeutet,

$$(3) \quad B_0 = \frac{\lambda g_s}{2} - \left(1 - \frac{\xi_1}{2}\right) \frac{g l}{2}, \quad B_s = -\frac{\lambda g_s}{2},$$

welche Gleichungen ergeben

$$B_0 = -0,14 \text{ tn}, \quad B_1 = -0,6 \text{ tn}.$$

Die vom Eigengewicht allein herrührenden Vertical- und Horizontalreactionen der Kämpfer schliesslich sind nach § 67, 17)

$$(4) \quad B = \frac{g l}{2}, \quad H = \frac{g l^2}{8 f},$$

woraus

$$B = 8,4 \text{ tn}, \quad H = 12,6 \text{ tn}.$$

**Grenzwerte.** Da sämtliche Knotenpunkte der Z-Gurtung in dem durch die punktirten Linien in Fig. 145 eingeschlossenen Raume I liegen, so hat man nach § 70, 1) und § 19, 2) die Grenzbeanspruchungen der X-Gurtung:

$$(5) \quad \begin{cases} X_m = X_m + \xi \frac{\xi - m}{\xi + m} \frac{x_m p l}{h_m^4}, \\ X_m = \frac{q + g}{g} B_m - (Z_m), \end{cases}$$

und da mit Ausnahme des Knotenpunkts überm Scheitel sämtliche Knotenpunkte der X-Gurtung im Raume I liegen, so sind nach § 70, 3) und § 19, 3) die Grenzbeanspruchungen der Z-Gurtung:

$$(6) \quad \begin{cases} Z_m = B_m - \xi \frac{\xi - m + 1}{\xi + m - 1} \frac{x_m p l}{h_{m-1}^4}, \\ Z_m = \frac{q + g}{g} B_m - (Z_m). \end{cases}$$

Diese Gleichungen liefern in Tonnen für den Obergurt:

$$X_1 = 0,52 + \frac{1,86 \cdot 0,86}{2,86 \cdot 2,64} 50,4 = 11,20$$

$$X_2 = 0,71 + \frac{3,08 \cdot 1,08}{5,08 \cdot 1,42} 50,4 = 25,66$$

$$X_3 = 0,35 + \frac{3,77 \cdot 0,77}{6,77 \cdot 0,73} 50,4 = 29,93$$

$$X_4 = 0 + \frac{4 \cdot 0}{8 \cdot 0,5} 50,4 = 0,$$

$$X_1 = 6 \cdot 0,52 - 11,20 = - 8,08$$

$$X_2 = 6 \cdot 0,71 - 25,66 = - 21,40$$

$$X_3 = 6 \cdot 0,35 - 29,93 = - 27,80$$

$$X_4 = 6 \cdot 0 - 0 = 0,$$

und für den Untergurt:

$$Z_1 = - 14,82 - \frac{4,5 \cdot 3,53}{4,5 \cdot 4,5} 75,6 = - 74,10$$

$$Z_2 = - 14,17 - \frac{3,5 \cdot 3,24}{5,5 \cdot 2,64} 75,6 = - 73,21$$

$$Z_3 = - 13,66 - \frac{2,5 \cdot 3,08}{6,5 \cdot 1,42} 75,6 = - 76,71$$

$$Z_4 = - 12,99 - \frac{1,5 \cdot 3,01}{7,5 \cdot 0,73} 75,6 = - 75,36,$$

$$Z_1 = - 6 \cdot 14,82 + 74,10 = - 14,82$$

$$Z_2 = - 6 \cdot 14,17 + 73,21 = - 11,81$$

$$Z_3 = - 6 \cdot 13,66 + 76,71 = - 5,25$$

$$Z_4 = - 6 \cdot 12,99 + 75,36 = - 2,58.$$

Mit Rücksicht auf die oben zusammengestellten Werthe der  $\varepsilon$  entsprechen den Diagonalen

für	$m = 1$	2	3	4:
$\varphi = \frac{m - \varepsilon}{n} 2f =$	2,42	3,16	4,06	6,17
$\chi = \frac{n - m + \varepsilon}{n} 2f =$	5,58	4,84	3,94	1,83
$\psi = \frac{n - m}{m} \frac{m - \varepsilon}{n} 2f =$	16,94	9,48	6,77	6,17.

Für die Diagonalen 1 und 2 liegt  $w_d = 4,5$  nicht zwischen  $\chi$  und  $\psi$ , wohl aber zwischen  $\psi$  und  $\varphi$ , sodass nach § 70, 7) eine Grenzbeanspruchung derselben

$$(7) \quad D_m = \mathfrak{D}_m + \frac{\delta - m + \varepsilon}{\delta + m - \varepsilon} \frac{\delta d_m}{\varepsilon h_{m-1}} \frac{p l}{4}.$$

Für die Diagonale 3 liegt  $w_d$  sowohl zwischen  $\chi$  und  $\psi$  als auch zwischen  $\psi$  und  $\varphi$  und ist nach § 70, 5) eine Grenzbeanspruchung

$$(8) \quad D_m = \mathfrak{D}_m + \left[ \frac{(m-1)^2 (n-m-\delta+\varepsilon)}{n-m-\delta-\varepsilon (n-1)} + \frac{\delta - m + \varepsilon n \delta}{\delta + m - \varepsilon 2 \varepsilon} \right] \frac{d_m}{h_{m-1}} \frac{p l}{2}.$$

Für die Diagonale 4 liegt  $w_d$  zwischen  $\chi$  und  $\psi$ , aber nicht zwischen  $\psi$  und  $\varphi$ , nach § 70, 6) ist eine Grenzbeanspruchung

$$(9) \quad D_m = \mathfrak{D}_m + \frac{(m-1)^2 (n-m-\delta+\varepsilon)}{n-m-\delta-\varepsilon (n-1)} \frac{d_m}{h_{m-1}} \frac{p\lambda}{2}.$$

Die zweite Grenzbeanspruchung liefert § 19, 4) für alle Diagonalen, wenn  $(D_m)$  die erste Grenzbeanspruchungen bedeutet,

$$(10) \quad D_m = \frac{q+g}{g} \mathfrak{D}_m - (D_m).$$

Aus vorstehenden Gleichungen ergeben sich folgende Grenzwerte in Tonnen:

$$D_1 = -0,70 - \frac{2,08 \cdot 4,5 \cdot 4}{6,92 \cdot 1,42 \cdot 4,5} 16,8 = -14,92$$

$$D_2 = -0,23 - \frac{1,34 \cdot 4,5 \cdot 3,32}{7,66 \cdot 1,16 \cdot 2,64} 16,8 = -14,57$$

$$D_3 = 0,39 - \left( \frac{4 \cdot 0,56}{7,92} + \frac{0,44 \cdot 18}{8,56 \cdot 1,06} \right) \frac{3,09}{1,42} 4,2 = -10,17$$

$$D_4 = 0,34 - \frac{9 \cdot 2,67 \cdot 3,04}{14,69 \cdot 0,73} 4,2 = -28,27,$$

$$D_1 = -6 \cdot 0,70 + 14,92 = 10,72$$

$$D_2 = -6 \cdot 0,23 + 14,57 = 13,19$$

$$D_3 = 6 \cdot 0,39 + 10,17 = 12,51$$

$$D_4 = 6 \cdot 0,34 + 28,27 = 30,31.$$

Mit Rücksicht auf die oben gegebenen Werthe der  $\nu$  entsprechen den Verticalen

für	$m =$	1	2	3:
	$\varphi = \frac{m-\nu}{n} 2f =$	3,16	4,06	6,17
	$\chi = \frac{n-m+\nu}{n} 2f =$	4,84	3,94	1,83
	$\psi = \frac{n-m}{m} \frac{m-\nu}{n} 2f =$	22,12	12,18	10,28.

Für die Verticale 1 liegt  $w_v = 4,5$  nicht zwischen  $\chi$  und  $\psi$ , wohl aber zwischen  $\psi$  und  $\varphi$ , sodass nach § 70, 11) eine Grenzbeanspruchung derselben

$$(11) \quad V_m = \mathfrak{V}_m - \frac{\omega - m + \nu}{\omega + m - \nu} \frac{\omega}{\nu} \frac{p\lambda}{4}.$$

Für die Verticale 2 liegt  $w_v$  sowohl zwischen  $\chi$  und  $\psi$  als auch zwischen  $\psi$  und  $\varphi$  und ist nach § 70, 9) eine Grenzbeanspruchung

$$(12) \quad V_m = \mathfrak{V}_m - \left[ \frac{(m-1)^2 (n-m-\omega+\nu)}{n-m-\omega-\nu (n-1)} + \frac{\omega - m + \nu}{\omega + m - \nu} \frac{n\omega}{2\nu} \right] \frac{p\lambda}{2}.$$

Für die Verticale 3 schliesslich liegt  $w_v$  zwischen  $\chi$  und  $\psi$ , aber nicht zwischen  $\psi$  und  $\varphi$ , nach § 70, 10) ist eine Grenzbeanspruchung

$$(13) \quad V_m = \mathfrak{B}_m - \frac{(m-1)^2 (n-m-\omega+p)}{n-m-\omega-p(n-1)} \frac{p^1}{2}.$$

Die zweite Grenzbeanspruchung ist nach § 19, 8) in allen drei Fällen, wenn ( $V_m$ ) die erste bezeichnet,

$$(14) \quad V_m = \frac{q+g}{g} \mathfrak{B}_m - (V_m) - \frac{p^1}{g} g_s.$$

Vorstehende Gleichungen liefern folgende Grenzwerte in Tonnen:

$$V_1 = -1,10 + \frac{1,34 \cdot 4,5}{7,66 \cdot 2,16} 16,8 = 5,02$$

$$V_2 = -1,29 + \left( \frac{1 \cdot 0,56}{15,92} + \frac{0,44 \cdot 18}{8,56 \cdot 2,06} \right) 4,2 = 0,74$$

$$V_3 = -1,26 + \frac{4 \cdot 2,67}{22,69} 4,2 = 0,72,$$

$$V_1 = -6 \cdot 1,10 - 5,02 - 3,6 = -15,22$$

$$V_2 = -6 \cdot 1,29 - 0,74 - 3,6 = -12,08$$

$$V_3 = -6 \cdot 1,26 - 0,72 - 3,6 = -11,88.$$

Für die Grenzbeanspruchung der Kämpferverticale hat man nach A. 39

$$(15) \quad V_o = \mathfrak{B}_o + \xi_1 \frac{\xi_1 - 1}{\xi_1 + 1} \frac{p^1}{4}, \quad V_o = \mathfrak{B}_o - \frac{1}{\xi_1 + 1} \frac{p^1}{2},$$

und für diejenigen der Scheitelverticale

$$(16) \quad V_\sigma = \mathfrak{B}_\sigma - \frac{p^1}{2}, \quad V_\sigma = \mathfrak{B}_\sigma.$$

Diese Gleichungen ergeben

$$V_o = -0,14 + 1,86 \frac{0,86}{2,86} 16,8 = 9,26,$$

$$V_o = -0,14 - \frac{33,6}{2,86} = -11,89,$$

$$V_4 = -0,6 - 4,2 = -4,8, \quad V_4 = -0,6 \text{ tn.}$$

Die oberen Grenzwerte der verticalen Stützenreaction und des Horizontalschubs sind nach § 67, 14)

$$(17) \quad V = \frac{q}{g} \mathfrak{B}, \quad H = \frac{q}{g} \mathfrak{H},$$

also

$$V = 5\mathfrak{B} = 42,$$

$$H = 5\mathfrak{H} = 63 \text{ tn},$$

während die unteren Grenzwerte für Eigengewicht allein eintreten.



**Beispiel 88. Bogenfachwerk einfachen Systems mit Verticalen und beliebigen Gurtungsformen. Berechnung für bewegte Radlastzüge.**

Die Träger des vorigen Beispiels sollen nun einer eingleisigen Eisenbahnbrücke angehören und für bewegte Radlastzüge, zusammengesetzt aus Locomotiven der Radanordnung Fig. 18, berechnet werden.

Bis zur Berechnung der Grenzwerte ist ganz wie im vorigen Beispiele zu verfahren. Nach § 69 haben wir weiter die den Gurtungen, Diagonalen und Verticalen entsprechenden  $z, z'$ , welche vorübergehend mit unterscheidenden Indices versehen werden, in Metern

für	$m = 1$	2	3	4:
$c = (m - 1)\lambda = 0$		3	6	9
$v = m\lambda = 3$		6	9	12
$z_x = 0, z'_x = \frac{m}{m + \xi} l = 8,39$		9,45	10,64	12
$z_s = z'_s = \frac{m - 1}{m - 1 + \xi} l = 0$		4,36	7,38	9,6
$z_d = \frac{(m - 1)\varepsilon}{(n - 1)\varepsilon + m - n + \delta} l = 0$		2,89	6,42	10,64
$z'_d = \frac{m - \varepsilon}{m - \varepsilon + \delta} l = 8,39$		9,90	11,38	13,88
$z_v = \frac{(m - 1)\nu}{(n - 1)\nu + m - n + \omega} l = 0$		3,11	6,71	
$z'_v = \frac{m - \nu}{m - \nu + \omega} l = 9,90$		11,38	13,88.	

Nach § 68 treten die unteren Grenzwerte der Stützenreactionen  $V, H$  für Eigengewicht allein ein, die oberen ergeben sich wie folgt: Belastung durch Zug II (Fig. 22) von 0 bis  $l$ , Vorderrad  $O$  bei 0,

$$(1) \quad V = \mathfrak{B} + \frac{1}{l} \sum_0^l P(l - a),$$

Belastung durch Zug I (Fig. 23 u. 24) von 0 bis  $l$ , Rad  $O$  bei  $d$  (Richtung gleichgültig),

$$(2) \quad H = \mathfrak{H} + \frac{1}{2f} \left[ \sum_0^d Pa + \sum_d^l P(l - a) \right].$$

Die Werthe der  $\sum$  in diesen wie in den folgenden Gleichungen können aus der Tabelle in Beispiel 6 entnommen oder berechnet werden. Wir wollen den letzteren Weg einschlagen und erhalten

$$V = 8,4 + \frac{1}{24} [6(24 + 22,7 + 21,4 + 13 + 11,7 + 10,4 + 2 + 0,7) + 4(20,2 + 9,2) + 5(17,2 + 6,2)] = 44,65 \text{ tn},$$

$$H = 12,6 + \frac{1}{8} [6(12 + 10,7 + 2,3 + 1) + 4 \cdot 9,5 + 5 \cdot 6,5 + 6(10,7 + 6,7 + 5,4 + 4,1) + 4 \cdot 2,9] = 62,54 \text{ tn}.$$

Die Bedingung „Summe aller Verticalkräfte gleich Null“ in Anwendung auf Knotenpunkt 0 des Untergurts und 4 des Obergurts gibt für jede Belastung

$$(3) \quad H + Z_1 \frac{l}{z_1} = 0, \quad X_4 = 0,$$

wonach die Grenzwerte von  $Z_1$ , welche gleichzeitig mit denjenigen von  $H$  eintreten,

$$Z_1 = -62,54 \frac{3,53}{8} = -73,57 \text{ tn},$$

$$Z_1 = 8_1 = -14,82 \text{ tn}.$$

Da für sämtliche Stäbe der X-Gurtung  $z'$  zwischen  $v$  und  $d$  liegt, so ergeben sich nach § 71, 5) 6) deren Grenzbeanspruchungen wie folgt:

Belastung durch Zug I von 0 bis  $z'$ , Rad 0 bei  $v$  (mitunter Zug II von 0 bis  $v$ , Vorderrad 0 bei  $v$ ),

$$(4) \quad X_m = \bar{x}_m - \left[ (n - \xi - m) \sum_0^{z'} Pa + (\xi + m) \sum_v^{z'} P(z' - a) \right] \frac{x_m}{lh_m},$$

Belastung durch Zug I von  $z'$  bis  $l$ , Rad 0 bei  $d$  (mitunter Zug II von  $d$  bis  $l$ , Vorderrad 0 bei  $d$ ),

$$(5) \quad X_m = \bar{x}_m + \left[ (\xi + m) \sum_{z'}^d P(a - z') + (\xi - m) \sum_d^l P(l - a) \right] \frac{x_m}{lh_m}.$$

Wir setzen die Zug I entsprechenden Grenzwerte für die erste Zugrichtung an und fügen die für die zweite Zugrichtung resultirenden Werte in Klammern bei. Man wird dann sehen, dass die Berücksichtigung der ersten Zugrichtung genügt hätte (vgl. die Bemerkungen am Schlusse des § 68). Erste Grenzwerte:

$$\begin{aligned} X_1 &= 0,52 - [5,14(6 \cdot 3 + 6 \cdot 1,7 + 4 \cdot 0,5) \\ &\quad + 2,86(6 \cdot 4,09 + 6 \cdot 0,09)] \frac{1}{8 \cdot 2,64} \\ &= -10,23 \text{ tn} (-11,18), \end{aligned}$$

$$X_2 = 0,71 - [2,92 (6 \cdot 6 + 6 \cdot 4,7 + 4 \cdot 3,5 + 5 \cdot 0,5) + 5,08 \cdot 6 \cdot 2,15] \frac{1}{8 \cdot 1,42} = -25,80 \operatorname{tn}(-24,34),$$

$$X_3 = 0,35 - [1,23 (6 \cdot 9 + 6 \cdot 7,7 + 4 \cdot 6,5 + 5 \cdot 3,5) + 6,77 \cdot 6 \cdot 0,34] \frac{1}{8 \cdot 0,73} = -32,28 \operatorname{tn}(-32,22).$$

Zweite Grenzwerte:

$$X_1 = 0,52 + [2,86 (6 \cdot 3,61 + 6 \cdot 2,31 + 4 \cdot 1,11) + 0,86 (6 \cdot 10,7 + 6 \cdot 6,7 + 6 \cdot 5,4 + 6 \cdot 4,1 + 4 \cdot 2,9)] \frac{1}{8 \cdot 2,64} = 12,97 \operatorname{tn}(11,62),$$

$$X_2 = 0,71 + [5,08 (6 \cdot 2,55 + 6 \cdot 1,25 + 4 \cdot 0,05) + 1,08 (6 \cdot 10,7 + 6 \cdot 6,7 + 6 \cdot 5,4 + 6 \cdot 4,1 + 4 \cdot 2,9)] \frac{1}{8 \cdot 1,42} = 27,44 \operatorname{tn}(25,59),$$

$$X_3 = 0,35 + [6,77 (6 \cdot 1,36 + 6 \cdot 0,06) + 0,77 (6 \cdot 10,7 + 6 \cdot 6,7 + 6 \cdot 5,4 + 6 \cdot 4,1 + 4 \cdot 2,9)] \frac{1}{8 \cdot 0,73} = 33,04 \operatorname{tn}(30,60).$$

Die oben in Klammer erwähnte Belastung durch Zug II wird voraussichtlich für  $X_3$  ungünstiger als die Belastung durch Zug I wirken, da der  $X_3$  entsprechende Grenzpunkt der Beitragsstrecken  $z' = 10,64$  nahe an den Influenzpunkten  $v = 9$  und  $d = 12$  der Letzteren liegt. In der That ergeben sich mit Zug II die Grenzwerte

$$X_3 = 0,35 - \frac{1,23}{8 \cdot 0,73} [6(9 + 7,7 + 6,4) + 4 \cdot 5,2 + 5 \cdot 2,2] = -35,54 \operatorname{tn},$$

$$X_3 = 0,35 + \frac{1,23}{8 \cdot 0,73} [6(12 + 10,7 + 9,4 + 1) + 4 \cdot 8,2 + 5 \cdot 5,2] = 34,29 \operatorname{tn},$$

gegen oben erhaltene  $-32,28$  und  $33,34 \operatorname{tn}$ .

Da für sämtliche Stäbe der Z-Gurtung  $z$  zwischen  $c$  und  $d$  liegt, so hat man nach § 71, 7) 8) folgende Grenzbeanspruchungen derselben:

Belastung durch Zug I von 0 bis  $z$ , Rad  $O$  bei  $c$  (mitunter Zug II von 0 bis  $c$ , Vorderrad  $O$  bei  $c$ ),

$$(6) \quad Z_m = \mathfrak{Z}_m + \left[ (n - 1 + \xi - m) \sum_0^c Pa + (\xi - 1 + m) \sum_c^z P(z - a) \right] \frac{z_m}{l h_{m-1}},$$

Belastung durch Zug I von  $z$  bis  $l$ , Rad  $O$  bei  $d$  (mitunter Zug II von  $d$  bis  $l$ , Vorderrad  $O$  bei  $d$ ),

$$(7) \quad Z_m = \mathfrak{Z}_m - \left[ (\xi - 1 + m) \sum_a^d P(a - \varepsilon) + (\xi + 1 - m) \sum_a^l P(l - a) \right] \frac{z_m}{l h_{m-1}}.$$

Wir verfahren nun ganz wie bei der X-Gurtung und erhalten mit Zug I die ersten Grenzwerte ( $Z_1$  ist schon berechnet):

$$\begin{aligned} Z_2 &= -14,17 + [2,5(6 \cdot 3 + 6 \cdot 1,7 + 4 \cdot 0,5) \\ &\quad + 5,5 \cdot 6 \cdot 0,06] \frac{3,24}{24 \cdot 2,64} = -11,11 \text{ tn } (-10,46), \\ Z_3 &= -13,66 + [1,5(6 \cdot 6 + 6 \cdot 4,7 + 4 \cdot 3,5 + 5 \cdot 0,5) \\ &\quad + 6,5 \cdot 6 \cdot 0,08] \frac{3,08}{24 \cdot 1,42} = -2,24 \text{ tn } (-4,11), \\ Z_4 &= -12,99 + [6 \cdot 9 + 6 \cdot 7,7 + 4 \cdot 6,5 \\ &\quad + 5 \cdot 3,5] \frac{3,01}{24 \cdot 0,73} = -0,65 \text{ tn } (-0,67), \end{aligned}$$

und die zweiten Grenzwerte:

$$\begin{aligned} Z_2 &= -14,17 - [5,5(6 \cdot 7,64 + 6 \cdot 6,34 + 4 \cdot 5,14 + 5 \cdot 2,14) \\ &\quad + 3,5(6 \cdot 10,7 + 6 \cdot 6,7 + 6 \cdot 5,4 + 6 \cdot 4,1 + 4 \cdot 2,9)] \frac{3,24}{24 \cdot 2,64} \\ &= -77,52 \text{ tn } (-71,13), \\ Z_3 &= -13,66 - [6,5(6 \cdot 4,62 + 6 \cdot 3,32 + 4 \cdot 2,12) \\ &\quad + 2,5(6 \cdot 10,7 + 4 \cdot 9,5 + 5 \cdot 6,5 + 6 \cdot 2,3 + 6 \cdot 1)] \frac{3,08}{24 \cdot 1,42} \\ &= -85,71 \text{ tn } (-76,55), \\ Z_4 &= -12,99 - [7,5(6 \cdot 2,4 + 6 \cdot 1,1) \\ &\quad + 1,5(6 \cdot 10,7 + 6 \cdot 6,7 + 6 \cdot 5,4 + 6 \cdot 4,1 + 4 \cdot 2,9)] \frac{3,01}{24 \cdot 0,73} \\ &= -84,63 \text{ tn } (-79,00). \end{aligned}$$

Die zu 6) 7) in Klammer erwähnten Belastungen durch Zug II würden am ehesten für  $Z_4$  ungünstigere Grenzwerte als Zug I ergeben. Wir erhalten damit

$$\begin{aligned} Z_4 &= -12,99 + \frac{0,5 \cdot 3,01}{24 \cdot 0,73} [6(9 + 7,7 + 6,4) + 4 \cdot 5,2 + 5 \cdot 2,2] = 1,65 \text{ tn}, \\ Z_4 &= -12,99 - \frac{0,5 \cdot 3,01}{24 \cdot 0,73} [6(12 + 10,7 + 9,4 + 1) + 4 \cdot 8,2 + 5 \cdot 5,2] \\ &= -79,32 \text{ tn}, \end{aligned}$$

gegen oben erhaltene  $-0,65$  und  $-84,63$  tn, sodass nur der erste, weniger wichtige Grenzwert ungünstiger als mit Zug I geworden ist. Dass der erste Grenzwert ungünstiger würde, war übrigens

von vornherein klar, da auch mit Zug I kein Rad auf die Strecke von  $c$  bis  $z$  kommt.

Für die Diagonalen 1 und 2 liegt  $z$  nicht zwischen  $c$  und  $v$ , wohl aber  $z'$  zwischen  $v$  und  $d$  und da  $z < c$ , so ergeben sich nach § 71, 13) 14) die Grenzbeanspruchungen wie folgt:

Belastung durch Zug I von 0 bis  $z'$ , Rad  $O$  bei  $v$ ,

$$(8) \quad D_m = \mathfrak{D}_m - \left[ (n - m + \varepsilon - \delta) \sum_0^c Pa + (m - \varepsilon + \delta + \varepsilon n - n) \sum_c^v P(z - a) + (m - \varepsilon - \delta) \sum_v^{z'} P(z' - a) \right] \frac{d_m}{\varepsilon l h_{m-1}},$$

Belastung durch Zug I von  $z'$  bis  $l$ , Rad  $O$  bei  $d$ ,

$$(9) \quad D_m = \mathfrak{D}_m - \left[ (m - \varepsilon + \delta) \sum_{z'}^d P(z' - a) + (m - \varepsilon - \delta) \sum_d^l P(l - a) \right] \frac{d_m}{\varepsilon l h_{m-1}}.$$

Für die Diagonale 3 liegt sowohl  $z$  zwischen  $c$  und  $v$  als auch  $z'$  zwischen  $v$  und  $d$ , sodass sich die Grenzbeanspruchungen nach § 71, 9) 10) wie folgt ergeben:

Belastung durch einen Zug II von 0 bis  $c$ , Vorderrad  $O$  bei  $c$ , und einen Zug I von  $z'$  bis  $l$ , Rad  $O$  bei  $d$  (mitunter statt des Letzteren einen Zug II von  $d$  bis  $l$ , Vorderrad  $O$  bei  $d$ ),

$$(10) \quad D_m = \mathfrak{D}_m - \left[ (n - m + \varepsilon - \delta) \sum_0^c Pa + (m - \varepsilon + \delta) \sum_{z'}^d P(z' - a) + (m - \varepsilon - \delta) \sum_d^l P(l - a) \right] \frac{d_m}{\varepsilon l h_{m-1}},$$

Belastung durch Zug II von  $v$  bis  $z'$ , Vorderrad  $O$  bei  $v$  (mitunter Zug I von  $z$  bis  $z'$ , Rad  $O$  bei  $v$ ),

$$(11) \quad D_m = \mathfrak{D}_m - \left[ (m - \varepsilon + \delta + \varepsilon n - n) \sum_v^v P(z - a) + (m - \varepsilon + \delta) \sum_v^{z'} P(z' - a) \right] \frac{d_m}{\varepsilon l h_{m-1}}.$$

Für die Diagonale 4 liegt  $z$  zwischen  $c$  und  $v$ , aber  $z'$  nicht zwischen

$v$  und  $d$ , die Grenzbeanspruchungen entstehen nach § 71, 11) 12) wie folgt:

Belastung durch Zug II von 0 bis  $c$ , Vorderrad 0 bei  $c$ ,

$$(12) \quad D_m = \mathfrak{D}_m - \frac{n - m + \varepsilon - \delta}{\varepsilon l} \sum_0^c Pa,$$

Belastung durch Zug II von  $v$  bis  $l$ , Vorderrad 0 bei  $v$ ,

$$(13) \quad D_m = \mathfrak{D}_m - \left[ (m - \varepsilon + \delta) \sum_v^d P(z' - a) + (m - \varepsilon - \delta) \sum_d^l P(l - a) \right] \frac{d_m}{\varepsilon l h_{m-1}}.$$

Vorstehende Gleichungen liefern für die Diagonale 1:

$$D_1 = -0,70 + [12,44 (6 \cdot 3 + 6 \cdot 1,7 + 4 \cdot 0,5) + 6,92 (6 \cdot 4,09 + 6 \cdot 0,09)] \frac{4}{1,42 \cdot 24 \cdot 4,5} \\ = 13,63 \text{ tn } (14,97),$$

$$D_1 = -0,70 - [6,92 (6 \cdot 3,61 + 6 \cdot 2,31 + 4 \cdot 1,11) + 2,08 (6 \cdot 10,7 + 6 \cdot 6,7 + 6 \cdot 5,4 + 6 \cdot 4,1 + 4 \cdot 2,9)] \frac{4}{1,42 \cdot 24 \cdot 4,5} \\ = -17,30 \text{ tn } (-15,49),$$

für die Diagonale 2:

$$D_2 = -0,23 + [0,34 \cdot 5 \cdot 0,5 + 9,62 (6 \cdot 3,11 + 6 \cdot 1,81 + 4 \cdot 0,61) + 7,66 \cdot 6 \cdot 2,6] \frac{3,32}{1,16 \cdot 24 \cdot 2,64} = 19,20 \text{ tn } (20,11),$$

$$D_2 = -0,23 - [7,66 (6 \cdot 2,1 + 6 \cdot 0,8) + 1,34 (6 \cdot 10,7 + 6 \cdot 6,7 + 6 \cdot 5,4 + 6 \cdot 4,1 + 4 \cdot 2,9)] \frac{3,32}{1,16 \cdot 24 \cdot 2,64} \\ = -16,89 \text{ tn } (-15,69),$$

für die Diagonale 3 mit den in Klammer erwähnten Belastungen (da wegen  $z' = 11,38$  auch mit der andern kein Rad auf die Strecke von  $z'$  bis  $d$  gelangt und  $z$  nahe bei  $c$  liegt):

$$D_3 = 0,39 - [0,56 (6 \cdot 6 + 6 \cdot 4,7 + 6 \cdot 3,4 + 4 \cdot 2,2) + 0,44 (6 \cdot 12 + 6 \cdot 10,7 + 6 \cdot 9,4 + 4 \cdot 8,2 + 5 \cdot 5,2 + 6 \cdot 1)] \frac{3,09}{1,06 \cdot 24 \cdot 1,42} = -13,65 \text{ tn},$$

$$D_3 = 0,39 + [7,92 (6 \cdot 2,58 + 6 \cdot 1,28 + 4 \cdot 0,08) + 8,56 \cdot 6 \cdot 1,08] \frac{3,09}{1,06 \cdot 24 \cdot 1,42} = 21,04 \text{ tn } (20,82),$$

und für die Diagonale 4:

$$D_4 = 0,34 - [6 \cdot 9 + 6 \cdot 7,7 + 6 \cdot 6,4 + 4 \cdot 5,2 + 5 \cdot 2,2] \frac{2,67 \cdot 3,04}{2,17 \cdot 24 \cdot 0,73} = -36,04 \text{ tn},$$

$$D_4 = 0,34 + [6 \cdot 12 + 6 \cdot 10,7 + 6 \cdot 9,4 + 4 \cdot 8,2 + 5 \cdot 5,2 + 6 \cdot 1] \frac{1,67 \cdot 3,04}{2,17 \cdot 24 \cdot 0,73} = 34,66 \text{ tn}.$$

Für die Verticale 1 liegt  $z$  nicht zwischen  $c$  und  $v$ , wohl aber  $z'$  zwischen  $v$  und  $d$  und da  $z < c$ , so ergeben sich nach § 71, 19) 20) die Grenzbeanspruchungen wie folgt:

Belastung durch Zug I von 0 bis  $z'$ , Rad  $O$  bei  $v$ ,

$$(14) \quad V_m = \mathfrak{B}_m + \left[ (n - m + v - \omega) \sum_0^c Pa + (m - v + \omega - vn - n) \sum_c^v P(z - a) + (m - v + \omega) \sum_v^{z'} P(z' - a) \right] \frac{1}{vl},$$

Belastung durch Zug I von  $z'$  bis  $l$ , Rad  $O$  bei  $d$ ,

$$(15) \quad V_m = \mathfrak{B}_m + \left[ (m - v + \omega) \sum_{z'}^d P(z' - a) + (m - v - \omega) \sum_d^l P(l - a) \right] \frac{1}{vl}.$$

Für die Verticale 2 liegt sowohl  $z$  zwischen  $c$  und  $v$  als auch  $z'$  zwischen  $v$  und  $d$ , die Grenzbeanspruchungen sind nach § 71, 15) 16) wie folgt bestimmt:

Belastung durch einen Zug II von 0 bis  $c$ , Vorderrad  $O$  bei  $c$ , und einen Zug I von  $z'$  bis  $l$ , Rad  $O$  bei  $d$  (mitunter statt des letzteren einen Zug II von  $d$  bis  $l$ , Vorderrad  $O$  bei  $d$ ),

$$(16) \quad V_m = \mathfrak{B}_m + \left[ (n - m + v - \omega) \sum_0^c Pa + (m - v + \omega) \sum_{z'}^d P(z' - a) + (m - v - \omega) \sum_d^l P(l - a) \right] \frac{1}{vl},$$

Belastung durch Zug II von  $v$  bis  $z'$ , Vorderrad  $O$  bei  $v$  (mitunter Zug I von  $z$  bis  $z'$ , Rad  $O$  bei  $v$ ),

$$(17) \quad V_m = \mathfrak{B}_m + \left[ (m - v + \omega + vn - n) \sum_i P(z - a) + (m - v + \omega) \sum_i' P(z' - a) \right] \frac{1}{vl}.$$

Für die Verticale 3 liegt  $z$  zwischen  $c$  und  $v$ , aber  $z'$  nicht zwischen  $v$  und  $d$ , die Grenzbeanspruchungen entstehen nach § 71, 17) 18) wie folgt:

Belastung durch Zug II von 0 bis  $c$ , Vorderrad  $O$  bei  $c$ ,

$$(18) \quad V_m = \mathfrak{B}_m + \frac{n - m + v - \omega}{vl} \sum_0^c Pa,$$

Belastung durch Zug II von  $v$  bis  $l$ , Vorderrad  $O$  bei  $v$ ,

$$(19) \quad V_m = \mathfrak{B}_m + \left[ (m - v + \omega) \sum_v^d P(z' - a) + (m - v - \omega) \sum_d^l P(l - a) \right] \frac{1}{vl}.$$

Vorstehende Gleichungen liefern für die Verticale 1:

$$V_1 = -1,10 - [17,62 (6 \cdot 3 + 6 \cdot 1,7 + 4 \cdot 0,5) + 7,66 (6 \cdot 5,6 + 6 \cdot 1,6 + 6 \cdot 0,3)] \frac{1}{2,16 \cdot 24} \\ = -18,01 \text{ tn } (-19,34),$$

$$V_1 = -1,10 + [7,66 (6 \cdot 2,1 + 6 \cdot 0,8) + 1,34 (6 \cdot 10,7 + 6 \cdot 6,7 + 6 \cdot 5,4 + 6 \cdot 4,1 + 4 \cdot 2,9)] \frac{1}{2,16 \cdot 24} = 6,14 \text{ tn } (5,66),$$

für die Verticale 2 mit den in Klammer erwähnten Belastungen (aus gleichen Gründen wie für  $D_3$ ):

$$V_2 = -1,29 + [0,56 (6 \cdot 3 + 6 \cdot 1,7 + 4 \cdot 0,5) + 0,44 (6 \cdot 12 + 6 \cdot 10,7 + 6 \cdot 9,4 + 4 \cdot 8,2 + 5 \cdot 5,2 + 6 \cdot 1)] \frac{1}{2,06 \cdot 24} = 1,34 \text{ tn},$$

$$V_2 = -1,29 - [15,92 (6 \cdot 2,89 + 6 \cdot 1,59 + 4 \cdot 0,39) + 8,56 (6 \cdot 4,08 + 6 \cdot 0,08)] \frac{1}{2,06 \cdot 24} = -14,77 \text{ tn } (-16,18),$$

und für die Verticale 3:

$$V_3 = -1,26 + [6 \cdot 6 + 6 \cdot 4,7 + 6 \cdot 3,4 + 4 \cdot 2,2] \frac{2,67}{3,17 \cdot 24} = 2,02 \text{ tn},$$

$$V_3 = -1,26 - [10,67 (6 \cdot 4,88 + 6 \cdot 3,58 + 6 \cdot 2,28) + 1,67 (4 \cdot 11,2 + 5 \cdot 8,2 + 6 \cdot 4 + 6 \cdot 2,7 + 6 \cdot 1,4 + 4 \cdot 0,2)] \frac{1}{3,17 \cdot 24} = -13,27 \text{ tn}.$$



Da  $s$  für  $V_3$  nahe an  $c$  liegt und  $s' > d$  ist, so wird voraussichtlich mit Zug I von  $s$  bis  $l$ , Rad  $O$  bei  $v$ , ein noch etwas ungünstigerer Grenzwert als der letzte mit Zug II berechnete entstehen. Nach § 71, 4) hat man für diese Belastung

$$(20) \quad V_m = \mathfrak{B}_m + \left[ (m - v + \omega + vn - n) \sum_s^c P(s - a) \right. \\ \left. + (m - v + \omega) \sum_v^d P(s' - a) \right. \\ \left. + (m - v - \omega) \sum_d^l P(l - a) \right] \frac{1}{sl},$$

und hieraus

$$V_3 = -1,26 - [22,69 (6 \cdot 2,29 + 6 \cdot 0,99) + 10,67 \cdot 6 \cdot 3,58 \\ + 1,67 (6 \cdot 10,7 + 6 \cdot 9,4 + 6 \cdot 7,1 + 4 \cdot 5,9 + 5 \cdot 2,9)] \frac{1}{3,17 \cdot 24} \\ = -14,56 \text{ tn } (-14,23).$$

Nach A. 39, 4) 5) ergeben sich die Grenzbeanspruchungen der Kämpferverticale wie folgt:

Belastung durch Zug II von 0 bis  $s$ , Vorderrad  $O$  bei 0,

$$(21) \quad V_0 = \mathfrak{B}_0 - \frac{\xi_1 - 1}{l} \sum_0^s P(s - a) \quad \text{mit } s = \frac{l}{\xi_1 + 1},$$

Belastung durch Zug I von  $s$  bis  $l$ , Rad  $O$  bei  $d$ ,

$$(22) \quad V_0 = \mathfrak{B}_0 + \frac{\xi_1 + 1}{l} \sum_s^d P(a - s) + \frac{\xi_1 - 1}{l} \sum_d^l P(l - a).$$

Diese Gleichungen liefern mit  $s = 24 : 2,86 = 8,39$ :

$$V_0 = -0,14 + [6 (8,39 + 7,09 + 5,79) \\ + 4 \cdot 4,59 + 5 \cdot 1,59] \frac{2,86}{24} = -8,48 \text{ tn},$$

$$V_0 = -0,14 + [6 \cdot 3,61 + 6 \cdot 2,31 + 4 \cdot 1,11] \frac{2,86}{24} \\ + [6 \cdot 10,7 + 6 \cdot 6,7 + 6 \cdot 5,4 + 6 \cdot 4,1 + 4 \cdot 2,9] \frac{0,86}{24} \\ = 10,82 \text{ tn } (9,63).$$

Für die Scheitelverticale hat man allgemein

$$(23) \quad V_\sigma = -K_\sigma,$$

unter  $K_\sigma$  die Belastung ihres oberen Knotenpunktes verstanden. Wir erhalten danach die Grenzbeanspruchungen:

$$V_4 = \mathfrak{B}_4 = -0,6 \text{ tn},$$

$$V_4 = -0,6 - 6 \frac{3 + 1,7 + 0,4}{8} = -10,8 \text{ tn}.$$

Damit sind sämtliche verlangte Grenzwerte bestimmt.

**Bemerkungen.** Die Berechnung im vorigen Beispiele wurde mit derjenigen gleichmässig vertheilten bewegten Last durchgeführt, welche nach der Tabelle in Beispiel 8 dem Maximalmomente in der Mitte eines durch Zug I direct befahrenen vollwandigen einfachen Balkenträgers der Spannweite 24 m entsprechen würde ( $p = 2,77$ , nach oben abgerundet 2,8 tn). Wir stellen die dort erhaltenen Grenzwerte mit den jetzt berechneten zusammen.

Grenzwerte von:	nach Beispiel 87:		oben gefunden:	
$X_1$	11,20	— 8,08	11,18	— 12,97
$X_2$	25,66	— 21,40	25,80	— 27,44
$X_3$	29,93	— 27,80	35,54	— 34,29
$X_4$	0	0	0	0
$Z_1$	— 14,82	— 74,10	— 14,82	— 73,57
$Z_2$	— 11,81	— 73,21	— 10,46	— 77,52
$Z_3$	— 5,25	— 76,71	— 2,24	— 85,71
$Z_4$	— 2,58	— 75,36	— 1,65	— 84,63
$D_1$	10,72	— 14,92	14,97	— 17,30
$D_2$	13,14	— 14,57	20,11	— 16,89
$D_3$	12,51	— 10,17	21,04	— 13,65
$D_4$	30,31	— 28,27	34,66	— 36,04
$V_0$	9,26	— 11,89	10,82	— 8,48
$V_1$	5,02	— 15,22	6,14	— 19,34
$V_2$	0,74	— 12,08	1,34	— 16,18
$V_3$	0,72	— 11,88	2,02	— 14,56
$V_4$	— 0,60	— 4,80	— 0,60	— 10,80
$V$	42,00	8,40	44,65	8,40
$H$	63,00	12,60	62,54	12,60.

Man sieht, dass bedeutende Differenzen entstehen können. Will man also bei Belastung durch bewegte Radlastzüge mit einer gleichmässig vertheilten bewegten Last rechnen, so ist dieselbe grösser zu wählen, als für die Gurtungen einfacher Balkenfachwerke genügend wäre. Im vorliegenden Falle würde das 1,5-fache nicht zu hoch gewesen sein, womit sich  $D_3$  immer erst 18,57 gegen obige 21,04 ergeben

hätte, allerdings aber andre Beanspruchungen wieder viel zu gross geworden wären. Man thut also gerade bei Bogenfachwerken gut, im Falle von Eisenbahnbrücken mit den Radlastzügen selbst zu rechnen, womit selbst ohne Berücksichtigung der zweiten Richtung des Zuges I und etwaiger Alternativbelastungen wesentlich genauere Werthe als mit gleichmässig vertheilter bewegter Last entstehen. Auch die Ableitung von Formeln für Berechnung mit genauen Last-äquivalenten, wie wir sie für Balkenfachwerke gegeben haben, würde für Bogenfachwerke zwecklos sein, da ihre Verwendung der verschiedenen zu berücksichtigenden Fälle wegen hier wesentlich umständlicher als für Balkenfachwerke wäre.

**Beispiel 89. Trapezbogenfachwerk einfachen Systems mit Verticalen. Berechnung für gleichmässig vertheilte bewegte Last.**

Für eine Brücke von  $l = 24$  m Spannweite sollen Bogenträger mit drei Gelenken nach der Anordnung Fig. 146 zur Verwendung kommen. Eigengewicht per laufenden Meter Träger  $g = 0,7$  tn, Verkehrslast  $p = 2,8$  tn. Vom Eigengewicht kommen  $g_x = 0,4$  tn auf die Knotenpunkte des Obergurts, in welchen die Fahrbahnlast angreift und  $g_s = 0,3$  tn auf diejenigen des Untergurts. Die Grenzwerte der Stabkräfte zu berechnen.

**Eigengewicht allein.** Für die vom Eigengewichte allein herührenden Stabkräfte gelten nach § 72, 4) die Gleichungen:

$$(1) \quad \begin{cases} X_m = -m \frac{\sigma - m}{h_m} \frac{g \lambda^2}{2}, \\ B_m = [(m-1)(n-m+1) - \alpha \sigma] \frac{z_m}{h_{m-1}} \frac{g \lambda}{2}, \\ D_m = \left[ \alpha \frac{\sigma - m}{\alpha - m} - m + 1 \right] \frac{d_m}{h_{m-1}} \frac{g \lambda}{2}, \\ S_m = - \left[ \alpha \frac{\sigma - m}{\alpha - m} - m + \frac{g_x - g_s}{g} \right] \frac{g \lambda}{2}. \end{cases}$$

Dieselben nehmen mit  $n = 2\sigma = 8$ ,  $\lambda = 3$ ,  $z_m = 3,16$ ,  $\alpha = nh_0$ :  $2f = 4,5$ ,  $g = 0,7$ ,  $g_x = 0,4$ ,  $g_s = 0,3$  folgende Formen an:

$$\begin{aligned} X_m &= -3,15 m \frac{4-m}{h_m}, \\ B_m &= [(m-1)(9-m) - 18] \frac{3,32}{h_{m-1}}, \\ D_m &= \left[ 9 \frac{4-m}{9-2m} - m + 1 \right] \frac{1,05 d_m}{h_{m-1}}, \\ S_m &= -1,05 \left[ 9 \frac{4-m}{9-2m} - m \right] - 0,15. \end{aligned}$$

Ausnahmen bilden die Beanspruchungen der Kämpferverticale und Scheitelverticale, für welche man nach A. 39, 10) 17) hat

$$(2) \quad \mathfrak{B}_0 = \frac{\lambda g_s}{2} - \frac{g l}{4}, \quad \mathfrak{B}_\sigma = -\frac{\lambda g_x}{2}.$$

Wir erhalten folgende Stabkräfte in Tonnen:

$$\begin{array}{llll} \mathfrak{B}_0 = -3,75 & & & \\ \mathfrak{X}_1 = -2,70 & \mathfrak{B}_1 = -13,28 & \mathfrak{D}_1 = 4,15 & \mathfrak{B}_1 = -3,15 \\ \mathfrak{X}_2 = -5,04 & \mathfrak{B}_2 = -10,43 & \mathfrak{D}_2 = 3,05 & \mathfrak{B}_2 = -1,83 \\ \mathfrak{X}_3 = -6,30 & \mathfrak{B}_3 = -7,97 & \mathfrak{D}_3 = 1,41 & \mathfrak{B}_3 = -0,15 \\ \mathfrak{X}_4 = 0 & \mathfrak{B}_4 = -6,64 & \mathfrak{D}_4 = -6,39 & \mathfrak{B}_4 = -0,60. \end{array}$$

**Grenzbeanspruchungen.** Nach § 73 sind die unteren Grenzbeanspruchungen der X-Gurtung deren soeben berechnete Eigengewichtsbeanspruchungen, die oberen

$$(3) \quad X_m = \frac{q}{g} \mathfrak{X}_m.$$

Weiter hat man die Grenzbeanspruchungen der Z-Gurtung, da  $h_0 < \frac{n+2}{n} f$  ist, nach § 73, 2) und § 19, 3)

$$(4) \quad \begin{cases} Z_m = \mathfrak{B}_m - \alpha \frac{\alpha - m + 1}{\alpha + m - 1} \frac{z_m}{h_{m-1}} \frac{p l}{4}, \\ Z_m = \frac{q+g}{g} \mathfrak{B}_m - (Z_m), \end{cases}$$

die Grenzbeanspruchungen der Diagonalen nach § 73, 4) und 19, 4)

$$(5) \quad \begin{cases} D_m = \mathfrak{D}_m - \frac{(\gamma - 1)(m - 1)^2}{\alpha - \gamma - m + 1} \frac{d_m}{h_{m-1}} \frac{p l}{2}, \\ D_m = \frac{q+g}{g} \mathfrak{D}_m - (D_m), \end{cases}$$

und die Grenzbeanspruchungen der Verticalen, mit Ausnahme der Kämpferverticale und Scheitelverticale, nach § 73, 5) und § 19, 8)

$$(6) \quad \begin{cases} V_m = \mathfrak{B}_m + \frac{(\gamma - 1)(m - 1)^2}{\alpha - \gamma - m + 1} \frac{p l}{2}, \\ V_m = \frac{q+g}{g} \mathfrak{B}_m - (V_m) - \frac{p l}{g} g_s, \end{cases}$$

wobei die eine Grenzbeanspruchung zur Unterscheidung von der andern mit einer Klammer versehen ist. Die Gleichungen 4) 5) 6) nehmen mit den gegebenen Zahlenwerthen und

$$q = g + p = 3,5, \quad \gamma = h_0 : f = 1,125$$

folgende Formen an:

$$\begin{aligned}
 Z_m &= \mathfrak{Z}_m - \frac{11-2m}{7-2m} \frac{229}{h_{m-1}}, & Z_m &= 6\mathfrak{Z}_m - (Z_m), \\
 D_m &= \mathfrak{D}_m - \frac{(m-1)^2}{85-8m} \frac{d_m}{h_{m-1}} 4,2, & D_m &= 6\mathfrak{D}_m - (D_m), \\
 V_m &= \mathfrak{V}_m + \frac{(m-1)^2}{85-8m} 4,2, & V_m &= 6\mathfrak{V}_m - (V_m) - 3,6.
 \end{aligned}$$

Wir erhalten nun nachstehende Grenzwerthe in Tonnen.

Für	$m =$	1	2	3	4:
	$X_m =$	- 13,50	- 25,20	- 31,50	0
	$Z_m =$	- 66,40	- 53,90	- 44,75	- 38,52
	$Z_m =$	- 13,28	- 8,68	- 3,07	- 1,32
	$D_m =$	4,15	2,80	- 0,64	- 31,95
	$D_m =$	20,75	15,50	9,10	- 6,39
	$V_m =$	- 3,15	- 1,61	1,38	
	$V_m =$	- 19,35	- 12,97	- 5,88.	

Für die Grenzbeanspruchungen der Kämpferverticale hat man nach A. 39, 9)

$$(7) \quad V_0 = \mathfrak{V}_0 - \frac{p^l}{4}, \quad V_0 = \mathfrak{V}_0,$$

und für diejenigen der Scheitelverticale nach A. 39, 16)

$$(8) \quad V_\sigma = \mathfrak{V}_\sigma - \frac{p^\lambda}{2}, \quad V_\sigma = \mathfrak{V}_\sigma.$$

Diese Gleichungen liefern:

$$\begin{aligned}
 V_0 &= - 20,55 & V_0 &= - 3,75 \\
 V_4 &= - 4,8 & V_4 &= - 0,6 \text{ tn.}
 \end{aligned}$$

Die Stützenreactionen sind ganz wie in Beispiel 87 bestimmt.

**Beispiel 90. Trapezbogenfachwerk einfachen Systems mit Verticalen. Berechnung für bewegte Radlastzüge.**

Die Träger des vorigen Beispiels sollen nun einer eingelegigen Eisenbahnbrücke angehören und für bewegte Radlastzüge, zusammengesetzt aus Locomotiven der Radanordnung Fig. 18, berechnet werden.

Die vom Eigengewichte allein herrührenden Stabkräfte bleiben wie im vorigen Beispiele bestimmt. Für die weitere Berechnung stellen wir einige Zahlenwerthe zusammen. Man hat

für	$m =$	1	2	3	4:
	$h_m =$	3,5	2,5	1,5	0,5
	$d_m =$	4,61	3,90	3,35	3,04
	$c = (m - 1) \lambda =$	0	3	6	9
	$v = m \lambda =$	3	6	9	12
	$s = \frac{m-1}{m-1+\alpha} l =$	0	4,36	7,38	9,6

Diese Werthe  $s$  entsprechen den  $Z_m$ .

Nach § 74 sind die unteren Grenzbeanspruchungen der X-Gurtung deren Beanspruchungen durch Eigengewicht allein, für die oberen hat man bei Belastung durch Zug I (Fig. 23 u. 24) von 0 bis  $d$ , Rad 0 bei  $v$ ,

$$(1) \quad X_m = \bar{x}_m - \left[ (\sigma - m) \sum_0^v Pa + m \sum_v^d P(d-a) \right] \frac{2}{nh_m}.$$

Die Werthe der  $\sum$  hierin wie in anderen Ausdrücken der Stabkräfte können berechnet oder aus der Tabelle in Beispiel 6 entnommen werden. Da wir im vorletzten Beispiele den ersteren Weg eingeschlagen haben, wollen wir hier den letzteren wählen. Die Zug I entsprechenden Grenzwerte setzen wir für die erste Zugrichtung an und fügen die für die zweite Zugrichtung entstehenden in Klammer bei. Man wird dann, wie schon bei den berechneten Balkenfachwerken, sehen, dass die Berücksichtigung der zweiten Zugrichtung entbehrt werden konnte.

$$X_1 = -2,70 - (3 \cdot 30,2 + 1 \cdot 89,4) \frac{1}{14} = -15,56 \text{ tn } (-15,15),$$

$$X_2 = -5,04 - (2 \cdot 80,7 + 2 \cdot 32,4) \frac{1}{10} = -27,66 \text{ tn } (-27,66),$$

$$X_3 = -6,30 - (1 \cdot 143,7 + 3 \cdot 10,2) \frac{1}{6} = -35,35 \text{ tn } (-36,30),$$

$$X_4 = 0 - (0 \cdot 226 + 4 \cdot 0) \frac{1}{2} = 0 \text{ tn } (0).$$

Die Grenzbeanspruchungen der Z-Gurtung ergeben sich nach § 74, 5), 6) wie folgt:

Belastung durch Zug I von 0 bis  $s$ , Rad 0 bei  $c$  (mitunter Zug II von 0 bis  $c$ , Vorderrad 0 bei  $c$ ),

$$(2) \quad Z_m = \beta_m + \left[ (n - \alpha + 1 - m) \sum_0^s Pa + (\alpha - 1 + m) \sum_c^s P(s-a) \right] \frac{z_m}{lh_{m-1}},$$

Belastung durch Zug I von  $z$  bis  $l$ , Rad  $O$  bei  $d$ ,

$$(3) \quad Z_m = \mathfrak{Z}_m - \left[ (\alpha - 1 + m) \sum_i^d P(a - z) + (\alpha + 1 - m) \sum_d^l P(l - a) \right] \frac{z_m}{l h_{m-1}}.$$

Man erkennt sofort, dass im vorliegenden Falle für die ersten Grenzwerte die in Klammer erwähnte Belastung massgebend ist, da mit Rücksicht auf die oben gegebenen  $c$ ,  $z$  und die Entfernung 1,3 der nächsten Räder von Rad  $O$  auch bei Belastung durch Zug I nur ganz geringfügige Beiträge durch die Lasten von  $c$  bis  $z$  geliefert werden. Wir erhalten die ersten Grenzwerte:

$$\begin{aligned} Z_1 &= -13,28 + \frac{3,5 \cdot 3,16}{24 \cdot 4,5} \quad 0 = -13,18 \text{ tn}, \\ Z_2 &= -10,43 + \frac{2,5 \cdot 3,16}{24 \cdot 3,5} \quad 30,6 = -7,55 \text{ „}, \\ Z_3 &= -7,97 + \frac{1,5 \cdot 3,16}{24 \cdot 2,5} \quad 93,4 = -0,59 \text{ „}, \\ Z_4 &= -6,64 + \frac{0,5 \cdot 3,16}{24 \cdot 1,5} \quad 170,4 = 0,84 \text{ „}, \end{aligned}$$

und die zweiten Grenzwerte:

$$\begin{aligned} Z_1 &= -13,28 - [4,5 \cdot 226 + 4,5 \cdot 173] \frac{3,16}{24 \cdot 4,5} \\ &= -65,82 \text{ tn } (-65,82), \\ Z_2 &= -10,43 - [5,5(6 \cdot 7,64 + 6 \cdot 6,34 + 4 \cdot 5,14 + 5 \cdot 2,14) \\ &\quad + 3,5 \cdot 173] \frac{3,16}{24 \cdot 3,5} = -57,03 \text{ tn } (-52,25), \\ Z_3 &= -7,97 - [6,5(6 \cdot 4,62 + 6 \cdot 3,32 + 4 \cdot 2,12) \\ &\quad + 2,5 \cdot 173] \frac{3,16}{24 \cdot 2,5} = -49,96 \text{ tn } (-45,96), \\ Z_4 &= -6,64 - [7,5(6 \cdot 2,4 + 6 \cdot 1,1) + 1,5 \cdot 173] \frac{3,16}{24 \cdot 1,5} \\ &= -43,02 \text{ tn } (40,74). \end{aligned}$$

Für die Diagonalen und Verticalen, abgesehen von der Kämpferverticale und Scheitelverticale, hat man nach § 74, 7)–10) folgende Grenzbeanspruchungen:

Belastung durch Zug II von 0 bis  $c$ , Vorderrad  $O$  bei  $c$ ,

$$(4) \quad D_m = \mathfrak{D}_m - \frac{\alpha - \sigma}{\alpha - m} \frac{2d_m}{l h_{m-1}} \sum_0^c P a,$$

$$(5) \quad V_m = \mathfrak{V}_m + \frac{\alpha - \sigma}{\alpha - m} \frac{2}{l} \sum_0^c P a,$$

Belastung durch Zug II von  $v$  bis  $d$ , Vorderrad  $O$  bei  $v$ ,

$$(6) \quad D_m = \mathfrak{D}_m + \frac{\alpha}{\alpha - m} \frac{2d_m}{l h_{m-1}} \sum_0^d P(d - a),$$

$$(7) \quad V_m = \mathfrak{B}_m - \frac{\alpha}{\alpha - m} \frac{2}{l} \sum_0^d P(d - a).$$

Diese Gleichungen liefern in Tonnen für die Diagonalen:

$$D_1 = 4,15 - \frac{4,61 \cdot 0}{24 \cdot 3,5 \cdot 4,5} = 4,15$$

$$D_2 = 3,05 - \frac{3,90 \cdot 30,6}{24 \cdot 2,5 \cdot 3,5} = 2,48$$

$$D_3 = 1,41 - \frac{3,35 \cdot 93,4}{24 \cdot 1,5 \cdot 2,5} = -2,09$$

$$D_4 = -6,39 - \frac{3,04 \cdot 170,4}{24 \cdot 0,5 \cdot 1,5} = -35,17,$$

$$D_1 = 4,15 + \frac{9 \cdot 4,61 \cdot 170,4}{24 \cdot 3,5 \cdot 4,5} = 22,85$$

$$D_2 = 3,05 + \frac{9 \cdot 3,90 \cdot 93,4}{24 \cdot 2,5 \cdot 3,5} = 18,66$$

$$D_3 = 1,41 + \frac{9 \cdot 3,35 \cdot 30,6}{24 \cdot 1,5 \cdot 2,5} = 11,66$$

$$D_4 = -6,39 + \frac{9 \cdot 3,04 \cdot 0}{24 \cdot 0,5 \cdot 1,5} = -6,39,$$

und für die Verticalen:

$$V_1 = -3,15 + \frac{0}{24 \cdot 3,5} = -3,15$$

$$V_2 = -1,83 + \frac{30,6}{24 \cdot 2,5} = -1,32$$

$$V_3 = -0,15 + \frac{93,4}{24 \cdot 1,5} = 2,44,$$

$$V_1 = -3,15 - \frac{9 \cdot 170,4}{24 \cdot 3,5} = -21,41$$

$$V_2 = -1,83 - \frac{9 \cdot 93,4}{24 \cdot 2,5} = -15,84$$

$$V_3 = -0,15 - \frac{9 \cdot 30,6}{24 \cdot 1,5} = -7,80.$$

Für die Kämpferverticale und Scheitelverticale treten die unteren Grenzbeanspruchungen für Eigengewicht allein ein, die oberen ergeben sich nach A. 39, 8) 15) wie folgt:



Belastung durch Zug II von 0 bis  $d$ , Vorderrad  $O$  bei 0,

$$(8) \quad V_0 = \mathfrak{B}_0 - \frac{2}{l} \sum_0^d P(d-a),$$

Belastung durch Zug II von  $c$  bis  $d$ , Vorderrad  $O$  bei  $d$ ,

$$(9) \quad V_d = \mathfrak{B}_d - \frac{1}{l} \sum_c^d P(a-c).$$

Wir erhalten hieraus

$$V_0 = -3,75 - \frac{257}{12} = -25,17 \text{ tn},$$

$$V_d = -0,6 - \frac{6}{3} (3 + 1,7 + 0,4) = -10,8 \text{ tn}.$$

Die Stützenreactionen sind ganz wie im vorletzten Beispiele bestimmt.

Damit könnte die Berechnung als abgeschlossen gelten. Wir wollen jedoch, wie in anderen Fällen, um Vergleiche zu ermöglichen, noch etwas weiter gehen. Da für die Diagonalen und Verticalen nach § 72

$$z = \frac{(m-1)(\alpha-m)}{n\alpha-2\alpha+n-m},$$

so hat man für  $m=1$ ,  $z=0$  und es ist wahrscheinlich, dass bei Belastung durch Zug I von 0 bis  $d$ , Rad  $O$  bei  $v$ , noch etwas ungünstigere zweite Grenzwerte von  $D_1$ ,  $V_1$  als mit Zug II entstehen. Allgemein sind nach § 74, 3) 4)

$$(10) \quad D_1 = \mathfrak{D}_1 + [(\sigma-1) \sum_0^v Pa + \sum_v^d P(d-a)] \frac{\alpha}{\alpha-1} \frac{2d_1}{lh_0},$$

$$(11) \quad V_1 = \mathfrak{B}_1 - [(\sigma-1) \sum_0^v Pa + \sum_v^d P(d-a)] \frac{\alpha}{\alpha-1} \frac{2}{l},$$

woraus für die erwähnte Belastung:

$$D_1 = 4,15 + (3 \cdot 30,2 + 89,4) \frac{4,5 \cdot 4,61}{42 \cdot 4,6} = 23,91 \text{ tn (23,28)},$$

$$V_1 = -3,15 - (3 \cdot 30,2 + 89,4) \frac{4,5}{42} = -22,44 \text{ tn (-21,82)},$$

gegen oben erhaltene 22,85 und -21,41 tn. Da ferner

$$\text{für } m = \frac{n}{2} = \sigma \quad z = \frac{l}{2} = d,$$

so ist wahrscheinlich, dass der erste Grenzwert von  $D_\sigma$  bei Belastung durch Zug I von 0 bis  $d$ , Rad  $O$  bei  $c$ , noch etwas ungünstiger als mit Zug II wird. Nach § 74, 3) ist allgemein

$$(12) \quad D_\sigma = \mathfrak{D}_\sigma - \left[ \sum_0^c Pa + (\sigma - 1) \sum_c^d P(d - a) \right] \frac{2d_\sigma}{l h_{\sigma-1}},$$

und hieraus für die angeführte Belastung

$$D_4 = -6,39 - (143,7 + 3 \cdot 10,2) \frac{8,04}{12 \cdot 1,5} = -35,83 \text{ tn } (-36,79),$$

gegen oben erhaltene  $-35,17$  tn.

**Bemerkungen.** Wir stellen die hier erhaltenen Grenzwerte mit denjenigen zusammen, welche sich im vorigen Beispiele ergeben haben. Das dort gewählte  $p$  würde bei Berechnung der Gurtungen einfacher Balkenfachwerke an Stelle der oben verwendeten Radlastzüge gesetzt werden können. Der Vergleich bestätigt das am Schlusse des vorletzten Beispiels Gesagte, wenn auch die Differenzen nicht ganz so gross wie dort sind.

Grenzwerte von:	nach Beispiel 89:		oben gefunden:	
$X_1$	— 13,50	und — 2,70	— 15,56	und — 2,70
$X_2$	— 25,20	— 5,04	— 27,66	— 5,04
$X_3$	— 31,50	— 6,30	— 35,35	— 6,30
$X_4$	0	0	0	0
$Z_1$	— 66,40	— 13,28	— 65,81	— 13,28
$Z_2$	— 53,90	— 8,68	— 57,03	— 7,55
$Z_3$	— 44,75	— 3,07	— 49,96	— 0,59
$Z_4$	— 38,52	— 1,32	— 43,02	0,84
$D_1$	20,75	4,15	23,91	4,15
$D_2$	15,50	2,80	18,66	2,48
$D_3$	9,10	— 0,64	11,66	— 2,09
$D_4$	— 31,93	— 6,39	— 36,79	— 6,39
$V_0$	— 20,55	— 3,75	— 25,17	— 3,75
$V_1$	— 19,35	— 3,15	— 22,44	— 3,15
$V_2$	— 12,97	— 1,61	— 15,84	— 1,32
$V_3$	— 4,73	1,39	— 7,80	2,44
$V_4$	— 4,89	— 0,60	— 10,80	— 0,60.

**Beispiel 91. Halbparabelbogenfachwerk einfachen Systems mit Verticalen. Berechnung für gleichmässig vertheilte bewegte Last.**

Für die Bogenträger mit drei Gelenken einer Brücke wurden bei allgemeiner Anordnung nach Fig. 147 folgende Voraussetzungen

gemacht\*. Spannweite  $l = 40$  m, Felderzahl  $n = 2\sigma = 20$ , Höhe des Obergurts über den Kämpfergelenken  $h_0 = 5,5$  m, Pfeil des parabolischen Untergurts  $f = 5$  m, ferner per laufenden Meter Träger Eigengewicht  $g = 1,2$  tn, Verkehrslast  $p = 2$  tn. Vom Eigengewichte kommen  $g_x = 0,6$  tn auf die Knotenpunkte des Obergurts, in welchen die Fahrbahnlast angreift, und  $g_x = 0,6$  tn auf diejenigen des Untergurts. Die Grenzwerte der Stabkräfte und Stützenreactionen zu berechnen.

**Formberechnung.** Ordinate des Knotenpunkts  $m$  im Untergurte und Länge der anstossenden Verticale nach § 75, 2):

$$z_m = m(n - m) \frac{4f}{n^3} = 0,05 m(20 - m),$$

$$h_m = h_0 - z_m = 5,5 - z_m,$$

Länge des Untergurtstabes und der Diagonale im Felde  $m$ :

$$s_m = \sqrt{\lambda^2 + (h_{m-1} - h_m)^2}, \quad d_m = \sqrt{\lambda^2 + h_m^2}.$$

Diese Gleichungen liefern mit  $m = 1$  bis  $m = 10$  folgende Werthe in Metern:

$z_1 = 0,95$	$h_1 = 4,55$	$z_1 = 2,214$	$d_1 = 4,970$
$z_2 = 1,80$	$h_2 = 3,70$	$z_2 = 2,173$	$d_2 = 4,206$
$z_3 = 2,55$	$h_3 = 2,95$	$z_3 = 2,136$	$d_3 = 3,564$
$z_4 = 3,20$	$h_4 = 2,30$	$z_4 = 2,103$	$d_4 = 3,048$
$z_5 = 3,75$	$h_5 = 1,75$	$z_5 = 2,074$	$d_5 = 2,658$
$z_6 = 4,20$	$h_6 = 1,30$	$z_6 = 2,050$	$d_6 = 2,385$
$z_7 = 4,55$	$h_7 = 0,95$	$z_7 = 2,030$	$d_7 = 2,214$
$z_8 = 4,80$	$h_8 = 0,70$	$z_8 = 2,016$	$d_8 = 2,119$
$z_9 = 4,95$	$h_9 = 0,55$	$z_9 = 2,006$	$d_9 = 2,074$
$z_{10} = 5,00$	$h_{10} = 0,50$	$z_{10} = 2,001$	$d_{10} = 2,062.$

\* Eine andere Berechnung dieser Träger, ohne Formeln, unter gleichen Voraussetzungen (welche abgesehen von der Annahme eines Mittelgelenks der Theissbrücke bei Szegedin entsprechen) findet sich in *Ritters* „Elementare Theorie und Berechnung eiserner Dach- und Brückenconstructions“, Hannover 1873 S. 126–152. *Ritter* rechnet mit vorausbestimmten Knotenpunktlasten, wodurch sich einige Abweichungen unsrer Resultate von den seinigen erklären. (Vergl. § 12 d).

In den Gleichungen für Träger beliebiger Gurtungsformen hat man nach § 66, 9) bei horizontaler X-Gurtung in unserm Falle

$$w_d = w_e = h_0 = 5,5, \quad \xi = \delta = \omega = \frac{n h_0}{2f} = 11.$$

Eigengewicht allein. Nach § 75, 6) gelten für die X-Gurtung und Diagonalen in allen Feldern:

$$X_m = 0, \quad D_m = 0.$$

Die Eigengewichtsbeanspruchung der Verticalen ist

$$B_m = -\lambda g_z = -1,2 \text{ tn},$$

jedoch bilden Ausnahmen und folgen aus A. 39, 13) 17):

$$B_0 = B_{10} = -\frac{\lambda g_z}{2} = -0,6 \text{ tn}.$$

Für die Z-Gurtung hat man

$$B_m = -\frac{g l}{8f} n z_m = -24 z_m,$$

woraus mit den oben gegebenen  $z_m$  in Tonnen:

$$\begin{array}{ll} B_1 = -53,14 & B_6 = -49,20 \\ B_2 = -52,15 & B_7 = -48,72 \\ B_3 = -51,26 & B_8 = -48,38 \\ B_4 = -50,47 & B_9 = -48,14 \\ B_5 = -49,78 & B_{10} = -48,02. \end{array}$$

Die Verticalreaction und Horizontalreaction der Kämpfer sind nach § 67, 17)

$$B = \frac{g l}{2} = 24 \text{ tn}, \quad H = \frac{g l^2}{8f} = 48 \text{ tn}.$$

Grenzwerte. Nach § 75, 7) sind die beiden Grenzbeanspruchungen der Obergurtstäbe gleich gross und von verschiedenen Vorzeichen. Für den Absolutwerth hat man

$$X_m = \frac{m(\sigma - m)(n - m)}{(3\sigma - m)h_m} \frac{p l^2}{2} = \frac{4m(10 - m)(20 - m)}{(30 - m)h_m},$$

also mit  $m = 1$  bis  $m = 10$  in Tonnen:

$$\begin{array}{ll} X_1 = 5,19 & X_6 = 43,08 \\ X_2 = 11,12 & X_7 = 49,98 \\ X_3 = 17,93 & X_8 = 49,87 \\ X_4 = 25,69 & X_9 = 34,20 \\ X_5 = 34,29 & X_{10} = 0. \end{array}$$

Die Grenzbeanspruchungen des Untergurts sind nach § 70, 3) und § 19, 3), wenn im Ausdrucke der zweiten Grenzbeanspruchung ( $Z_m$ ) den Werth der ersten bedeutet:

$$Z_m = \beta_m - \frac{\xi - m + 1}{\xi + m - 1} \frac{\xi^2 z_m}{h_{m-1}} \frac{p l}{4} = \beta_m - \frac{12 - m}{10 + m} \frac{z_m}{h_{m-1}} 220,$$

$$Z_m = \frac{q+g}{g} \beta_m - (Z_m) = \frac{11}{8} \beta_m - (Z_m).$$

Diese Gleichungen liefern in Tonnen:

$Z_1 = -141,70$	$Z_1 = -53,14$
$Z_2 = -139,71$	$Z_2 = -51,51$
$Z_3 = -139,19$	$Z_3 = -48,77$
$Z_4 = -140,09$	$Z_4 = -44,97$
$Z_5 = -142,36$	$Z_5 = -40,16$
$Z_6 = -145,84$	$Z_6 = -34,56$
$Z_7 = -149,76$	$Z_7 = -28,88$
$Z_8 = -152,13$	$Z_8 = -25,27$
$Z_9 = -147,69$	$Z_9 = -28,83$
$Z_{10} = -128,06$	$Z_{10} = -48,02.$

Werden für die Diagonalen gesetzt

$$\varepsilon = \frac{h_m}{h_m - h_{m-1}},$$

$$\varphi = \frac{m - \varepsilon}{n} 2f = \frac{m - \varepsilon}{2},$$

$$\chi = \frac{n - m + \varepsilon}{n} 2f = 10 - \frac{m - \varepsilon}{2}, \quad \psi = \frac{n - m}{m} \frac{m - \varepsilon}{n} 2f = \frac{20 - m}{m} \frac{m - \varepsilon}{2},$$

so ergeben sich

	$\varepsilon$	$\varphi$	$\chi$	$\psi$
für $m = 1$	— 4,789	2,89	7,11	54,99
2	— 4,354	3,18	6,82	28,59
3	— 3,933	3,47	6,53	19,64
4	— 3,538	3,77	6,23	15,08
5	— 3,182	4,09	5,91	12,27
6	— 2,889	4,44	5,56	10,37
7	— 2,712	4,85	5,14	9,02
8	— 2,800	5,40	4,60	8,10
9	— 3,667	6,33	3,67	7,74
10	— 10,000	10,00	0	10,00.

Nach § 75, 8) sind die zwei Grenzbeanspruchungen jeder Diagonale

gleich gross und von verschiedenen Vorzeichen. Eine Grenzbeanspruchung ist ausgedrückt: für die Diagonalen 1 bis 6, weil  $w_d = 5,5$  nicht zwischen  $\chi$  und  $\psi$ , aber zwischen  $\psi$  und  $\varphi$  liegt, nach § 70, 7)

$$D_m = \frac{\delta - m + \varepsilon}{\delta + m - \varepsilon} \frac{\delta d_m}{\varepsilon h_{m-1}} \frac{p l}{4} = \frac{11 - m + \varepsilon}{11 + m - \varepsilon} \frac{d_m}{\varepsilon h_{m-1}} 220,$$

für die Diagonalen 7 und 8, weil  $w_d$  sowohl zwischen  $\chi$  und  $\psi$  als zwischen  $\psi$  und  $\varphi$  liegt, nach § 70, 5) 17)

$$D_m = \frac{[(n-m)(m-\varepsilon)-m\delta]^2}{n-m-\delta-\varepsilon(n-1)} \frac{d_m}{m-\varepsilon+\delta} \frac{p l}{2 h_m} = \frac{[(10-m)(m-\varepsilon)-11m]^2}{(9-m-19\varepsilon)(11+m-\varepsilon)} \frac{d_m}{h_m} 2,$$

für die Diagonalen 9 und 10, weil  $w_d$  zwischen  $\chi$  und  $\psi$ , aber nicht zwischen  $\psi$  und  $\varphi$  liegt, nach § 70, 6)

$$D_m = \frac{(n-m-\delta+\varepsilon)(m-1)^2}{n-m-\delta-\varepsilon(n-1)} \frac{d_m}{h_{m-1}} \frac{p l}{2} = \frac{(9-m+\varepsilon)(m-1)^2}{9-m-19\varepsilon} \frac{d_m}{h_{m-1}} 2.$$

Demgemäss erhalten wir die Absolutwerthe beider Grenzbeanspruchungen der Diagonalen in Tonnen:

$$D_1 = \frac{5,211 \cdot 4,970 \cdot 220}{16,789 \cdot 4,789 \cdot 5,5} = 12,88$$

$$D_2 = \frac{4,646 \cdot 4,202 \cdot 220}{17,354 \cdot 4,355 \cdot 4,55} = 12,50$$

$$D_3 = \frac{4,067 \cdot 3,564 \cdot 220}{17,933 \cdot 3,933 \cdot 3,7} = 12,22$$

$$D_4 = \frac{3,462 \cdot 3,048 \cdot 220}{18,538 \cdot 3,538 \cdot 2,95} = 12,00$$

$$D_5 = \frac{2,818 \cdot 2,658 \cdot 220}{19,182 \cdot 3,182 \cdot 2,3} = 11,74$$

$$D_6 = \frac{2,111 \cdot 2,885 \cdot 220}{19,889 \cdot 2,889 \cdot 1,75} = 11,01$$

$$D_7 = \frac{(13 \cdot 9,714 - 11 \cdot 7)^2 \cdot 2,124 \cdot 2}{(2 + 19 \cdot 2,714) 20,714 \cdot 0,95} = 10,59$$

$$D_8 = \frac{(12 \cdot 10,8 - 11 \cdot 8)^2 \cdot 2,119 \cdot 2}{(1 + 19 \cdot 2,8) 21,8 \cdot 0,70} = 9,29$$

$$D_9 = \frac{3,667 \cdot 64 \cdot 2,074 \cdot 2}{19 \cdot 3,667 \cdot 0,70} = 19,96$$

$$D_{10} = \frac{11 \cdot 81 \cdot 2,062 \cdot 2}{189 \cdot 0,55} = 35,35.$$

Werden für die Verticalen gesetzt

$$\nu = \frac{h_m}{h_{m+1} - h_m},$$

$$\varphi = \frac{m-\nu}{n} 2f = \frac{m-\nu}{2},$$

$$\chi = \frac{n-m+\nu}{n} 2f = 10 - \frac{m-\nu}{2}, \quad \psi = \frac{n-m}{m} \frac{m-\nu}{n} 2f = \frac{20-m}{m} \frac{m-\nu}{2},$$

so ergeben sich	$\nu$	$\varphi$	$\chi$	$\psi$
für $m = 1$	— 5,354	3,18	6,82	60,34
2	— 4,933	3,47	6,53	31,19
3	— 4,538	3,77	6,23	21,36
4	— 4,182	4,09	5,91	16,36
5	— 3,889	4,44	5,56	13,33
6	— 3,714	4,86	5,14	11,33
7	— 3,800	5,40	4,60	10,03
8	— 4,667	6,33	3,67	9,50
9	— 11,000	10,00	0	12,22.

Als Ausdruck einer Grenzbeanspruchung haben wir: für die Verticalen 1 bis 5, weil  $w_v = 5,5$  nicht zwischen  $\chi$  und  $\psi$ , aber zwischen  $\psi$  und  $\varphi$  liegt, nach § 70, 9)

$$V_m = \mathfrak{B}_m - \frac{\omega - m + \nu}{\omega + m - \nu} \frac{\omega}{\nu} \frac{p l}{4} = -1,2 - \frac{11 - m + \nu}{11 + m - \nu} \frac{220}{\nu},$$

für die Verticalen 6 und 7, weil  $w_v$  sowohl zwischen  $\chi$  und  $\psi$  als zwischen  $\psi$  und  $\varphi$  liegt, nach § 70, 9)

$$\begin{aligned} V_m &= \mathfrak{B}_m + \frac{[(n-m)(m-\nu) - m\omega]^2}{n-m-\omega-\nu(n-1)} \frac{1-\nu}{m-\nu+\omega} \frac{p l}{2\nu} \\ &= -1,2 - \frac{[(20-m)(m-\nu) - 11m]^2(1-\nu)}{(9-m-19\nu)(11+m-\nu)\nu} 2, \end{aligned}$$

für die Verticalen 8 und 9, weil  $w_v$  zwischen  $\chi$  und  $\psi$ , aber nicht zwischen  $\psi$  und  $\varphi$  liegt, nach § 70, 10)

$$V_m = \mathfrak{B}_m - \frac{(n-m-\omega+\nu)(m-1)^2}{n-m-\omega-\nu(n-1)} \frac{p l}{2} = -1,2 - \frac{(9-m+\nu)(m-1)^2}{9-m-19\nu} 2.$$

Die zweite Grenzbeanspruchung ist nach § 75, 8) in allen drei Fällen, wenn  $(V_m)$  die erste bezeichnet,

$$V_m = -(V_m) - (p + 2g_x)\lambda = -(V_m) - 6,4.$$

Diese Gleichungen liefern folgende Grenzwerte in Tonnen:

$$\begin{aligned} V_1 &= -1,2 - \frac{4,646 \cdot 220}{17,354 \cdot 5,354} = 9,81 & V_1 &= -16,21 \\ V_2 &= -1,2 - \frac{4,067 \cdot 220}{17,933 \cdot 4,933} = 8,94 & V_2 &= -15,34 \\ V_3 &= -1,2 - \frac{3,462 \cdot 220}{18,538 \cdot 4,538} = 7,85 & V_3 &= -14,25 \\ V_4 &= -1,2 - \frac{2,818 \cdot 220}{19,182 \cdot 4,182} = 6,53 & V_4 &= -12,93 \end{aligned}$$

$$\begin{aligned}
 V_5 &= -1,2 - \frac{2,111 \cdot 220}{19,889 \cdot 3,889} = 4,80 & V_5 &= -11,20 \\
 V_6 &= -1,2 - \frac{69,996^2 \cdot 4,714 \cdot 2}{73,566 \cdot 20,714 \cdot 3,714} = -9,35 & V_6 &= 2,95 \\
 V_7 &= -1,2 - \frac{63,4^2 \cdot 4,8 \cdot 2}{74,2 \cdot 21,8 \cdot 3,8} = -7,48 & V_7 &= 1,08 \\
 V_8 &= -1,2 + \frac{3,667 \cdot 49 \cdot 2}{89,673} = 2,80 & V_8 &= -9,20 \\
 V_9 &= -1,2 + \frac{11 \cdot 64}{209} = 5,54 & V_9 &= -11,94.
 \end{aligned}$$

Die Grenzbeanspruchungen der Kämpferverticalen sind nach A. 39, 12)

$$\begin{aligned}
 V_0 &= \mathfrak{B}_0 - \frac{n}{3n-2} \frac{pl}{2} = -14,39 \text{ tn}, \\
 V_0 &= \mathfrak{B}_0 + \frac{n-1}{n} \frac{n-2}{3n-2} \frac{pl}{2} = 11,19 \text{ tn},
 \end{aligned}$$

und diejenigen der Scheitelverticale nach A. 39, 16)

$$V_{10} = \mathfrak{B}_{10} - \frac{pl}{2} = -2,6 \text{ tn}, \quad V_{10} = \mathfrak{B}_{10} = -0,6 \text{ tn}.$$

Für die oberen Grenzwerte der Verticalreaction und Horizontalreaction der Stützen schliesslich hat man nach § 67, 14) 17) mit  $q = g + p = 3,2 \text{ tn}$

$$V = \frac{ql}{2} = 64 \text{ tn}, \quad H = \frac{ql^2}{8f} = 128 \text{ tn},$$

während die unteren Grenzwerte für Eigengewicht allein eintreten. Damit sind sämtliche verlangte Grenzwerte bestimmt. Dieselben wurden in Fig. 148 für eine Trägerhälfte bei ihren Stäben eingeschrieben.

#### Aufgabe 39. Kämpferverticalen und Scheitelverticalen von Bogenfachwerken.

Für die in Fig. 149—152 angedeuteten Kämpferverticalen und Scheitelverticalen des symmetrischen Bogenfachwerks mit drei Gelenken die Beanspruchungen bei beliebiger Belastung und die Grenzbeanspruchungen für gleichmässig vertheilte bewegte Last und bewegte Radlastzüge festzustellen, wenn die Fahrbahnlast für Fig. 149 und 151 auf die Knotenpunkte des Obergurts, für Fig. 150 und 152 auf diejenigen des Untergurts wirkt.

**Kämpferverticale Fig. 149, 150.** Fürs Gleichgewicht am Kämpfergelenke 0 bestehen die Bedingungsgleichungen



$$H \pm Z_1 \frac{\lambda}{z_1} = 0, \quad V \pm V_0 - K_s + Z_1 \frac{h_1}{z_1} = 0,$$

sodass allgemein

$$(1) \quad \pm V_0 = K_s + H \frac{h_1}{\lambda} - V.$$

Für beliebige Belastung hat man nach § 66, 5) 8) als Einfluss der Verkehrslast

$$V = \frac{1}{l} \sum_0^l P(l-a), \quad K_s = 0,$$

$$H = \frac{1}{2f} \left[ \sum_0^d Pa + \sum_a^l P(l-a) \right],$$

und durch Substitution in 1) mit den Bezeichnungen

$$(2) \quad \xi_1 = \frac{n}{2f} h_1, \quad z = \frac{l}{\xi_1 + 1}, \quad l = n\lambda$$

die Beanspruchung unsrer Kämpferverticale

$$(3) \quad V_0 = \mathfrak{B}_0 \mp \frac{\xi_1 + 1}{l} \sum_0^d P(z-a) \pm \frac{\xi_1 - 1}{l} \sum_a^l P(l-a),$$

worin  $\mathfrak{B}_0$  die Beanspruchung durch das Eigengewicht allein bedeutet.

Der Knotenpunkt  $v$  liegt in allen praktischen Fällen (sofern überhaupt Kämpferverticalen vorhanden sind) für Fig. 149 oberhalb, für Fig. 150 unterhalb der Verbindungsgeraden der beiden ersten Gelenke oder doch auf derselben; alsdann sind  $\xi_1 \geq 1$ ,  $z \leq d$ , die Influenzlinie für  $V_0$  verläuft nach 3) wie in Fig. 153 und es treten folgende Grenzbeanspruchungen für bewegte Radlastzüge ein:

Belastung durch Zug II von 0 bis  $z$ , Vorderrad  $O$  bei 0,

$$(4) \quad V_0 = \mathfrak{B}_0 \mp \frac{\xi_1 + 1}{l} \sum_0^z P(z-a),$$

Belastung durch Zug I von  $z$  bis  $l$ , Rad  $O$  bei  $d$ ,

$$(5) \quad V_0 = \mathfrak{B}_0 \pm \frac{\xi_1 + 1}{l} \sum_z^d P(a-z) \pm \frac{\xi_1 - 1}{l} \sum_0^l P(l-a).$$

Die Grenzbeanspruchungen für gleichmässig vertheilte bewegte Last ergeben sich aus Fig. 153 nach § 12, c) oder aus 4) 5) mit  $P = zda$

$$(6) \quad V_0 = \mathfrak{B}_0 \mp \frac{1}{\xi_1 + 1} \frac{pl}{2}, \quad V_0 = \mathfrak{B}_0 \pm \xi_1 \frac{\xi_1 - 1}{\xi_1 + 1} \frac{pl}{4}.$$

Soll das Eigengewicht mit  $g$  per Längeneinheit als gleichmässig vertheilt auf die Trägerlänge gelten, so erhält man aus 1) mit

$$V = \frac{gl}{2}, \quad H = \frac{gl^2}{8f}, \quad K_s = \frac{\lambda g_s}{2}$$

für die Beanspruchung durch Eigengewicht allein

$$(7) \quad \pm \mathfrak{B}_0 = \frac{\lambda g_s}{2} - \left(1 - \frac{\xi_1}{2}\right) \frac{gl}{2}.$$

Betrachten wir noch zwei spezielle Fälle.

Sind die beiden ersten Gelenke und Knotenpunkt  $v$  wie beim *Trapesträger* durch eine gerade Gurtung verbunden, dann hat man

$$\xi_1 = \frac{2f}{n}, \quad \xi_1 = 1, \quad z = \frac{l}{2} = d,$$

womit nach 3) bei beliebiger Belastung

$$(8) \quad V_0 = \mathfrak{B}_0 \mp \frac{2}{l} \sum_0^d P(d-a).$$

Die obere Grenzbeanspruchung folgt für bewegte Radlastzüge bei Belastung durch Zug II von 0 bis  $d$ , Vorderrad 0 bei 0, aus 8), für gleichmässig vertheilte bewegte Last aus

$$(9) \quad V_0 = \mathfrak{B}_0 \mp \frac{pl}{4},$$

während die untere Grenzbeanspruchung in beiden Fällen für Eigengewicht allein eintritt. Bei gleichmässig vertheiltem Eigengewicht wird

$$(10) \quad \pm \mathfrak{B}_0 = \frac{\lambda g_s}{2} - \frac{gl}{4}.$$

Sind die beiden ersten Gelenke und Knotenpunkt  $v$  wie beim *Halbparabelträger* durch eine parabolische Gurtung verbunden, so hat man

$$(11) \quad \xi_1 = \frac{n-1}{n^2} 4f, \quad \xi_1 = 2 \frac{n-1}{n}, \quad z = \frac{n}{3n-2} l,$$

womit z. B. die Grenzbeanspruchungen für gleichmässig vertheilte bewegte Last

$$(12) \quad V_0 = \mathfrak{B}_0 \mp \frac{n}{3n-2} \frac{pl}{2}, \quad V_0 = \mathfrak{B}_0 \pm \frac{n-1}{n} \frac{n-2}{3n-2} \frac{pl}{2},$$

und die Beanspruchung für ein gleichmässig vertheiltes Eigengewicht allein

$$(13) \quad \mathfrak{B}_0 = \mp \frac{\lambda g_s}{2}.$$

**Scheitelverticale Fig. 149, 150.** Das Gleichgewicht am Scheitelknotenpunkte der X-Gurtung verlangt

$$(14) \quad X_\sigma = 0, \quad V_\sigma \pm K_x = 0,$$

sodass bei beliebiger Belastung

$$(15) \quad V_\sigma = \mathfrak{B}_\sigma \mp \frac{1}{\lambda} \sum_c^d P(a - c).$$

Die obere Grenzbeanspruchung ergibt sich für bewegte Radlastzüge bei Belastung durch Zug II von  $c$  bis  $d$ , Vorderrad  $O$  bei  $d$ , aus 15), für gleichmässig vertheilte bewegte Last aus

$$(16) \quad V_\sigma = \mathfrak{B}_\sigma \mp \frac{p\lambda}{2},$$

während die untere Grenzbeanspruchung in beiden Fällen für Eigengewicht allein eintritt. Bei gleichmässig vertheiltem Eigengewicht ist

$$(17) \quad \mathfrak{B}_\sigma = \mp \frac{\lambda g_x}{2}.$$

**Kämpferverticale Fig. 151, 152.** Fürs Gleichgewicht am Kämpferknotenpunkte der Z-Gurtung hat man

$$(18) \quad Z_1 = 0, \quad V_0 \mp K_z = 0,$$

wonach für beliebige Belastung

$$(19) \quad V_0 = \mathfrak{B}_0 \pm \frac{1}{\lambda} \sum_0^v P(v - a).$$

Die obere Grenzbeanspruchung folgt für bewegte Radlastzüge bei Belastung durch Zug II von  $0$  bis  $v$ , Vorderrad  $O$  bei  $0$ , aus 19), für gleichmässig vertheilte bewegte Last aus

$$(20) \quad V_0 = \mathfrak{B}_0 \pm \frac{p\lambda}{2},$$

während die untere Grenzbeanspruchung in beiden Fällen für Eigengewicht allein eintritt. Bei gleichmässig vertheiltem Eigengewichte ist

$$(21) \quad \mathfrak{B}_\sigma = \pm \frac{\lambda g_z}{2}.$$

**Scheitelverticale Fig. 151, 152.** Die Gleichgewichtsbedingungen für das Scheitelgelenke lauten, wenn  $V_s$  die Verticalcomponente des Gelenkdrucks bedeutet,

$$H \mp X_\sigma \frac{1}{x_\sigma} = 0, \quad V_s \pm V_\sigma + K_x \mp \frac{f - x_{\sigma-1}}{x_\sigma} X_\sigma = 0,$$

sodass allgemein

$$(22) \quad \mp V_\sigma = K_x - \frac{f - \xi_{\sigma-1}}{l} H + V_s.$$

Für beliebige Belastung hat man von der Verkehrslast herrührend

$$V_s = V - \sum_0^d P = \frac{1}{l} \sum_0^l P(l-a) - \sum_0^d P, \quad K_x = 0,$$

$H$  wie im ersten Falle. Wir erhalten damit aus 22) bei den Bezeichnungen

$$(23) \quad l = 2\sigma\lambda, \quad \beta = \sigma - \frac{\sigma}{f} \xi_{\sigma-1}$$

für unsre Scheitelverticale

$$(24) \quad V_\sigma = \mathfrak{B}_\sigma \pm \frac{1+\beta}{l} \sum_0^d Pa \pm \frac{1-\beta}{l} \sum_d^l P(l-a).$$

Der Knotenpunkt  $c$  liegt in allen praktischen Fällen (sofern überhaupt Scheitelverticalen vorhanden sind) für Fig. 151 unter dem Scheiteltgelenke und über der Verbindungsgeraden der beiden ersten Gelenke oder doch auf derselben, für Fig. 152 über dem Scheiteltgelenke und unter der Verbindungsgeraden der beiden ersten Gelenke oder auf derselben; alsdann ist  $0 \leq \beta \leq 1$ , die Influenzlinie verläuft nach 24) wie in Fig. 154 und wir erhalten folgende Grenzbeanspruchungen für bewegte Radlastzüge:

Belastung durch Zug II von 0 bis  $d$ , Vorderrad  $O$  bei  $d$ ,

$$(25) \quad V_\sigma = \mathfrak{B}_\sigma \pm \frac{1+\beta}{l} \sum_0^d Pa,$$

Belastung durch Zug II von  $d$  bis  $l$ , Vorderrad  $O$  bei  $v$ ,

$$(26) \quad V_\sigma = \mathfrak{B}_\sigma \mp \frac{1-\beta}{l} \sum_d^l P(l-a).$$

Die Grenzbeanspruchungen für gleichmässig vertheilte bewegte Last ergeben sich aus Fig. 154 oder aus 25) 26)

$$(27) \quad V_\sigma = \mathfrak{B}_\sigma \pm \frac{1+\beta}{8} pl, \quad V_\sigma = \mathfrak{B}_\sigma \mp \frac{1-\beta}{8} pl.$$

Soll das Eigengewicht als gleichmässig vertheilt auf die Trägerlänge gelten, so erhält man aus 22) mit

$$V_s = 0, \quad H = \frac{gl^2}{8f}, \quad K_x = \frac{\lambda g_x}{2}$$

für die Beanspruchung durch Eigengewicht allein

$$(28) \quad \mp \mathfrak{B}_\sigma = \frac{\lambda g_x}{2} - \beta \frac{gl}{4}.$$

Fassen wir wieder die schon oben betrachteten zwei Spezialfälle ins Auge.

Sind die beiden ersten Gelenke und Knotenpunkt  $c$  wie beim Trapezträger durch eine gerade Gurtung verbunden, dann hat man mit

$$\varepsilon_{\sigma-1} = \frac{\sigma-1}{\sigma} f, \quad \beta = 1$$

für beliebige Belastung

$$(29) \quad V_{\sigma} = \mathfrak{B}_{\sigma} \pm \frac{2}{l} \sum_0^d Pa.$$

Die obere Grenzbeanspruchung ergibt sich für bewegte Radlastzüge bei Belastung durch Zug II von 0 bis  $d$ , Vorderrad  $O$  bei  $d$ , aus (29), für gleichmässig vertheilte bewegte Last aus

$$(30) \quad V_{\sigma} = \mathfrak{B}_{\sigma} \pm \frac{pl}{4},$$

während die untere Grenzbeanspruchung in beiden Fällen für Eigengewicht allein eintritt. Bei gleichmässig vertheiltem Eigengewichte wird

$$(31) \quad \mp \mathfrak{B}_{\sigma} = \frac{\lambda g_x}{2} - \frac{gl}{4}.$$

Sind die beiden ersten Gelenke und Knotenpunkt  $c$  wie beim Halbparabelträger durch eine parabolische Gurtung verbunden, so hat man

$$(32) \quad \varepsilon_{\sigma-1} = \frac{\sigma^2-1}{\sigma^2} f, \quad \beta = \frac{\sigma^2-1}{\sigma},$$

womit z. B. die Grenzbeanspruchungen für gleichmässig vertheilte bewegte Last werden

$$(33) \quad V_{\sigma} = \mathfrak{B}_{\sigma} \pm \frac{\sigma+1}{\sigma} \frac{pl}{8}, \quad V_{\sigma} = \mathfrak{B}_{\sigma} \pm \frac{\sigma-1}{\sigma} \frac{pl}{8},$$

und die Beanspruchung für ein gleichmässig vertheiltes Eigengewicht allein

$$(34) \quad \mathfrak{B}_{\sigma} = \pm \frac{\lambda g_x}{2}.$$

Wenn wir auch bei den Ableitungen dieser Aufgabe die Bezeichnungen mit besonderer Rücksicht auf Fachwerke einfachen Systems mit Verticalen wählten, so gelten dieselben doch für die Verticalen Fig. 149–152 bei sonst ganz beliebigem System.

**Aufgabe 40. Symmetrisches Bogenfachwerk einfachen Systems mit Verticalen und beliebigen Gurtungsformen. Maximalbedingungen für die Stabkräfte.**

Die Bedingungen für Maxima und Minima der Stabkräfte beim Befahren eines symmetrischen Bogenfachwerks einfachen Systems mit drei Gelenken und Verticalen anzugeben.

Nach § 69, 1)–4) treten die Maxima und Minima der Stabkräfte zugleich mit den Maximis und Minimis der entsprechenden Momente  $M$ , ein, sodass nach § 68, 17) für Erstere wie für Letztere die Bedingung besteht

$$(1) \quad \sum_0^c P + \frac{u-c}{v-c} \sum_c^v P = \frac{r}{l} \sum_0^d P + \frac{t}{l} \sum_d^i P.$$

Diese Gleichung nimmt mit den in § 69 gegebenen Werthen der  $c, v, u, r, t$  folgende Formen an:

$$(2) \quad \text{Für } X_m \quad \sum_0^m P = \frac{m}{n} \sum_0^i P + \frac{\xi}{n} \left( \sum_0^d P - \sum_d^i P \right),$$

$$(3) \quad \text{„ } Z_m \quad \sum_0^{m-1} P = \frac{m-1}{n} \sum_0^i P + \frac{\xi}{n} \left( \sum_0^d P - \sum_d^i P \right),$$

$$(4) \quad \text{„ } D_m \quad \sum_0^{m-1} P + (1-\varepsilon) \sum_{m-1}^m P = \frac{m-\varepsilon}{n} \sum_0^i P + \frac{\delta}{n} \left( \sum_0^d P - \sum_d^i P \right),$$

„  $V_m$  a) wenn die Fahrbahnlast im Knotenpunkte  $m$  der  $X$ -Gurtung angreift,

$$(5) \quad \sum_0^{m-1} P + (1-\nu) \sum_{m-1}^m P = \frac{m-\nu}{n} \sum_0^i P + \frac{\omega}{n} \left( \sum_0^d P - \sum_d^i P \right),$$

b) wenn die Fahrbahnlast im Knotenpunkte  $m$  der  $Z$ -Gurtung angreift,

$$(6) \quad \sum_0^m P - \nu \sum_m^{m+1} P = \frac{m-\nu}{n} \sum_0^i P + \frac{\omega}{n} \left( \sum_0^d P - \sum_d^i P \right).$$

Die Grenzen der Summen  $\sum$  links bedeuten Verticalennummern.

Die Gleichungen 4)–6) lassen sich für besondere Trägerformen noch etwas vereinfachen. So erhält man beim symmetrischen Trapezträger mit einer horizontalen Gurtung und nach den Enden hin zunehmenden Verticalenlängen wegen  $\varepsilon = \nu = m - \alpha$ ,  $\delta = \omega = \alpha$ ,  $2\alpha f = nh_0$ ,

$$\begin{aligned} \text{für } D_m \quad & \sum_0^{m-1} P + (\alpha - m + 1) \sum_{m-1}^m P = \frac{h_0}{f} \sum_0^d P, \\ \text{„ } V_m \text{ im Falle a) } & \sum_0^{m-1} P + (\alpha - m + 1) \sum_{m-1}^m P = \frac{h_0}{f} \sum_0^d P, \\ \text{„ „ b) } & \sum_0^m P + (\alpha - m) \sum_m^{m+1} P = \frac{h_0}{f} \sum_0^d P. \end{aligned}$$

Selbstverständlich hätten wir die erhaltenen Bedingungen auch durch Differentiation von § 71, 1)—4) finden können. Dieselben lassen sich nun wie in den Beispielen 25 und 28 zur Correctur von Laststellungen verwenden.

**Aufgabe 41. Gelenkdrücke bei symmetrischen Bogenträgern mit drei Gelenken von beliebigem Systeme.**

Für Bogenträger mit gleich hohen Kämpfergelenken und in der Oeffnungsmitte liegendem Zwischengelenke die resultirenden Gelenkdrücke bei beliebiger Belastung und ihre Grenzwerte für gleichmässig vertheilte bewegte Last und bewegte Radlastzüge anzugeben.

Die Berechnung der resultirenden Gelenkdrücke ist nöthig für die Dimensionirung der Gelenke, wobei es jedoch auf grosse Genauigkeit der Druckwerthe nicht ankommt.

**Scheiteldruck.** Bezeichnen  $R_s$ ,  $V_s$  den ganzen Scheiteldruck und seine Verticalcomponente, so hat man bei beliebiger Belastung

$$(1) \quad R_s = \sqrt{H^2 + V_s^2},$$

worin nach § 66, wenn  $\mathfrak{H}$ ,  $\mathfrak{B}$ , dem Eigengewichte und die  $\sum$  den Verkehrslasten allein entsprechen,

$$(2) \quad H = \mathfrak{H} + \frac{1}{2f} \left[ \sum_0^d Pa + \sum_d^l P(l-a) \right],$$

$$(3) \quad V_s = V - \sum_0^d K = \mathfrak{B}_s - \frac{1}{l} \left[ \sum_0^d Pa - \sum_d^l P(l-a) \right].$$

Hiernach kann  $R_s$  für jede bestimmte Belastung berechnet werden. Soll das Eigengewicht mit  $g$  per Längeneinheit als gleichmässig vertheilt auf die Trägerlänge gelten, dann sind

$$(4) \quad \mathfrak{H} = \frac{gl^2}{8f}, \quad \mathfrak{B} = \frac{gl}{2}, \quad \mathfrak{B}_s = 0.$$

Um den Einfluss der Lasten an verschiedenen Stellen bequem zu übersehen, denken wir uns vorübergehend auch das Eigengewicht in den Summen  $\sum$  berücksichtigt und erhalten mit den Bezeichnungen

$$x = \sum_a^l P(l - a), \quad y = \sum_0^d Pa$$

für beliebige Belastung

$$R_s = \sqrt{\left(\frac{x+y}{2f}\right)^2 + \left(\frac{x-y}{l}\right)^2} = \frac{1}{l} \sqrt{\left(\frac{l^2}{4f} + 1\right)(x^2 + y^2) + \left(\frac{l^2}{4f} - 1\right)2xy}.$$

Diese Gleichung zeigt schon, dass für  $l > 2f$ , das heisst in allen praktischen Fällen, sämtliche Lasten auf dem Träger in gleichem Sinne zu  $R_s$  beitragen und zwar jede bestimmte Last  $P$  umsomehr, je grösser ihr Beitrag zu  $x$  oder  $y$ , je mehr sie sich dem Scheitel nähert, ganz wie dies auch für den Horizontalschub gilt. Der untere Grenzwert von  $R_s$  ergibt sich für Eigengewicht allein und ist beispielsweise bei gleichmässig vertheiltem Eigengewichte nach 1) 4)

$$(5) \quad R_s = \frac{gl^2}{8f} = \mathfrak{S}.$$

Der obere Grenzwert folgt aus 1), für gleichmässig vertheilte bewegte Last mit

$$(6) \quad H = \mathfrak{S} + \frac{pl^2}{8f}, \quad V_s = \mathfrak{B},$$

also wenn auch das Eigengewicht gleichmässig vertheilt ist, wegen 4)

$$(7) \quad R_s = \frac{ql^2}{8f} = H,$$

und für bewegte Radlastzüge mit 2) 3), wobei Zug I mit Rad  $O$  über der Trägermitte steht. Da jedoch diese Belastung einer gleichmässig vertheilten Last annähernd äquivalent zu sein pflegt, so kann man für praktische Zwecke fast immer die Grenzwerte des Horizontalschubs  $H$  auch als Grenzwerte des Scheiteldrucks ansehen.

**Kämpferdrücke.** Für dieselben hat man bei beliebiger Belastung

$$(8) \quad R = \sqrt{H^2 + V^2}, \quad R' = \sqrt{H^2 + V'^2},$$

worin

$$(9) \quad V = \mathfrak{B} + \frac{1}{l} \sum_0^l P(l - a), \quad V' = \mathfrak{B}' + \frac{1}{l} \sum_0^l Pa.$$

$H$  ist durch 2) bestimmt, während bei gleichmässig vertheiltem Eigengewicht  $\mathfrak{S}$  und  $\mathfrak{B} = \mathfrak{B}'$  aus 4) folgen. Der Symmetrie halber genügt es, die Grenzwerte von  $R$  anzugeben.



Nach 8) tragen alle Lasten auf dem Träger in gleichem Sinne zu  $R$  bei. Der untere Grenzwert von  $R$  entsteht also für Eigengewicht allein und ist beispielsweise bei gleichmässig vertheiltem Eigengewichte nach 8) 4)

$$(10) \quad \Re = \frac{gl}{2} \sqrt{1 + \left(\frac{l}{4f}\right)^2}.$$

Der obere Grenzwert ergibt sich für gleichmässig vertheilte bewegte Last aus 8) mit

$$(11) \quad H = \mathfrak{H} + \frac{pl^2}{8f}, \quad V = \mathfrak{B} + \frac{pl}{2},$$

also wenn auch das Eigengewicht gleichmässig vertheilt ist, wegen 4),

$$(12) \quad R = \frac{gl}{2} \sqrt{1 + \left(\frac{l}{4f}\right)^2}.$$

Bei Belastung durch bewegte Radlastzüge genügt es zur Berechnung des oberen Grenzwertes von  $R$  die oberen Grenzwerte von  $H, V$  in 1) einzusetzen, womit man den ersten Grenzwert um etwas zu ungünstig erhält.

## VII. Abschnitt.

**Träger mit constantem Horizontalschube. Continuirliche Bogen-träger. Träger mit schief verschiebbarem Auflager. Träger mit imaginären Gelenken.**

### **Beispiel 92. Träger mit constantem Horizontalschube.**

Der in Beispiel 54 betrachtete parabolische Segmentträger soll als Träger mit constantem Horizontalschube hergestellt und  $H$  so gewählt werden, dass bei Belastung durch das Eigengewicht allein keine Beanspruchung des horizontalen Untergurts eintritt. Die Grenzwerte der Stabkräfte und Stützenreactionen festzustellen (Fig. 155).

Wir verfahren nach dem gegen Schluss des § 76 hervorgehobenen Satze. Da der Horizontalgurt unten liegt, so muss  $H$  auf Annäherung der Trägerenden hinwirken und da der Untergurt für Eigengewicht allein unbeanspruchte sein soll, so ist zu wählen

$$H = \frac{g l^2}{8f} = \frac{0,78 \cdot 24^2}{8 \cdot 3,2} = 16,43 \text{ tn.}$$

Die Grenzbeanspruchungen des Untergurts, welche sich ohne Horizontalschub gleich 78,76 und 16,43 tn ergaben, werden nun

$$Z = 78,76 - 16,43 = 62,33 \text{ tn,} \quad Z = 3 = 0.$$

Alle übrigen Stabkräfte und die Stützenreactionen bleiben wie in Beispiel 54 bestimmt. Für Eigengewicht allein sind also nur die Obergurtstäbe und Verticalen, für Totalbelastung des ganzen Trägers neben jenen noch die Untergurtstäbe beansprucht.

**Bemerkungen.** Sollte die Berechnung für bewegte Radlastzüge erfolgen, so würden  $H$  und die unteren Grenzbeanspruchungen  $Z$  wie oben, die oberen mit Rücksicht auf die in Beispiel 55 berechneten Werthe in Tonnen:

$$\begin{aligned} Z_1 &= Z_2 & Z_3 &= 81,89 - 16,43 = 65,46 \\ Z_2 &= 83,07 - 16,43 = 66,64 & Z_4 &= 80,30 - 16,43 = 63,87. \end{aligned}$$

Uebrige Stabkräfte und Stützenreactionen wie in Beispiel 55.

Wenn, wie bei der Riesaer Elbbrücke, in der Längsrichtung mehrere Träger aufeinander folgen und der Horizontalschub von einem auf den andern übertragen wird, so ändert sich an der hier angedeuteten Berechnung absolut nichts.

Wäre nicht die Bedingung gestellt gewesen, dass für Eigengewicht allein die Beanspruchung des Untergurts Null sei, so hätten wir eine andere Wahl von  $H$  treffen können. Am meisten wird die Maximal-Beanspruchung des Untergurts herabgesetzt, wenn

$$H = \frac{1}{2} [(Z_m) + (\beta_m)]$$

gemacht wird, unter  $(Z_m)$ ,  $(\beta_m)$  die Grenzbeanspruchungen für  $H = 0$  verstanden. Die wirklichen Grenzbeanspruchungen werden dann gleich gross und von verschiedenen Vorzeichen, nämlich in unserem Falle mit  $H = \frac{1}{2} (78,76 + 16,43) = 47,59$  tn

$$Z = 78,76 - 47,59 = 31,17 \text{ tn,}$$

$$Z = 16,42 - 47,59 = - 31,17 \text{ tn.}$$

Allerdings pflegt Wechsel von Zug und Druck nicht erwünscht zu sein.

**Beispiel 93. Continuirliches Trapezbogenfachwerk einfachen Systems mit Verticalen. (Feste Hängebrücke). Berechnung für gleichmässig vertheilte bewegte Last.**

Für eine Brücke von  $l = 24$  m Spannweite sollen continuirliche Bogenträger nach der Anordnung Fig. 156 zur Verwendung kommen. Eigengewicht per laufenden Meter Träger  $g = 0,7$  tn, Verkehrslast  $p = 2,8$  tn. Vom Eigengewichte kommen  $g_z = 0,4$  tn auf die Knotenpunkte des Untergurts, in welchen die Fahrbahnlast angreift, und  $g_z = 0,3$  tn auf diejenigen des Obergurts. Die Grenzwerte der Stabkräfte und Stützenreactionen festzustellen.

Sämmtliche im sechsten und siebenten Abschnitte für Bogenfachwerke erhaltenen Gleichungen gelten sowohl, wenn man den Horizontalschub nach innen und die Ordinaten nach oben positiv rechnet, als auch wenn der Horizontalschub nach aussen und die Ordinaten nach unten positiv angenommen werden (§§ 66, 78). Wir werden bei Sprengbogen die erstere, bei Hängebogen die letztere Wahl treffen.

**Eigengewicht allein.** Für die vom Eigengewichte allein her-

rührenden Stabkräfte bestehen nach § 72, 4) bei unten liegender X-Gurtung folgende Gleichungen:

$$(1) \quad \begin{cases} \mathfrak{X}_m = m \frac{\sigma - m}{h_m} \frac{g\lambda}{2}, \\ \mathfrak{B}_m = - [(m-1)(n-m+1) - \alpha\sigma] \frac{z_m}{h_{m-1}} \frac{g\lambda}{2}, \\ \mathfrak{D}_m = - \left[ \alpha \frac{\sigma - m}{\alpha - m} - m + 1 \right] \frac{d_m}{h_{m-1}} \frac{g\lambda}{2}, \\ \mathfrak{B}_m = \left[ \alpha \frac{\sigma - m}{\alpha - m} - m + \frac{g_x - z_s}{g} \right] \frac{g\lambda}{2}. \end{cases}$$

Ausnahmen bilden die Beanspruchungen der Kämpferverticale und Scheitelverticale, für welche man nach A. 39, 10) 17) hat

$$(2) \quad \mathfrak{B}_0 = \frac{g\lambda}{4} - \frac{\lambda g_s}{2}, \quad \mathfrak{B}_\sigma = \frac{\lambda g_x}{2}.$$

Alle diese Gleichungen stimmen genau mit den in Beispiel 89 verwendeten überein, nur dass die Ausdrücke rechts entsprechend der nun unten liegenden X-Gurtung mit entgegengesetzten Vorzeichen wie dort auftreten. Da aber auch die in den Formeln vorkommenden Grössen wie dort gewählt sind, so erhalten wir die gleichen Zahlenwerthe mit entgegengesetzten Vorzeichen, nämlich in Tonnen:

$$\begin{array}{llll} \mathfrak{X}_1 = 2,70 & \mathfrak{B}_1 = 13,28 & \mathfrak{D}_1 = -4,15 & \mathfrak{B}_1 = 3,15 \\ \mathfrak{X}_2 = 5,04 & \mathfrak{B}_2 = 10,43 & \mathfrak{D}_2 = -3,05 & \mathfrak{B}_2 = 1,83 \\ \mathfrak{X}_3 = 6,30 & \mathfrak{B}_3 = 7,97 & \mathfrak{D}_3 = -1,41 & \mathfrak{B}_3 = 0,15 \\ \mathfrak{X}_4 = 0 & \mathfrak{B}_4 = 6,64 & \mathfrak{D}_4 = 6,39 & \mathfrak{B}_4 = 0,60 \end{array}$$

und  $\mathfrak{B}_0 = 3,75$  tn.

Beziehen sich bei Berechnung der Stützenreactionen Grössen mit dem Index 0 auf die der Stütze anliegende Oeffnung ohne Zwischengelenk, so hat man für Eigengewicht allein die Reaction einer Zwischenstütze nach § 78, 8)

$$(3) \quad \mathfrak{R} = \frac{g\lambda}{2} + \frac{k}{l_0} \frac{g\lambda^2}{8f} + \frac{g_0 l_0}{2},$$

sowie die Horizontalreaction und Verticalreaction einer Endstütze nach § 67, 17) und § 78, 15)

$$(4) \quad \mathfrak{H} = \frac{g\lambda^2}{8f}, \quad \mathfrak{B} = \frac{g_0 l_0}{2} - \frac{k}{l_0} \frac{g\lambda^2}{8f},$$

woraus im vorliegenden Falle unter Vernachlässigung des Eigengewichts der Spannglieder mit  $g_0 = 0$

$$\mathfrak{H} = \frac{0,7 \cdot 24^2}{8 \cdot 4} = 12,6 \text{ tn}, \quad \mathfrak{B} = -\frac{4,5}{9} 12,6 = -6,3 \text{ tn},$$

$$\mathfrak{R} = 0,7 \cdot 12 + \frac{4,5}{9} 12,6 = 14,7 \text{ tn}.$$

Die Bedingung „Summe aller Horizontalkräfte gleich Null“ in Anwendung auf die Endstütze ergibt die Beanspruchung des angrenzenden Spanngliedes der Länge  $s$  bei beliebiger Belastung

$$(5) \quad S = H \frac{s}{l_0},$$

also im vorliegenden Falle für Eigengewicht allein

$$\mathfrak{S} = 12,6 \frac{10,06}{9} = 14,08 \text{ tn}.$$

**Grenzwerte.** Nach § 73, 1)–5) und § 19, 2)–4), 8) haben wir bei unten liegender X-Gurtung die Grenzbeanspruchungen der Letzteren

$$(6) \quad X_m = \frac{q}{g} \mathfrak{X}_m, \quad X_m = \mathfrak{X}_m,$$

die Grenzbeanspruchungen der Z-Gurtung wegen  $h_0 < \frac{n+2}{n} f$

$$(7) \quad \begin{cases} Z_m = \mathfrak{Z}_m + \alpha \frac{\alpha - m + 1}{\alpha + m - 1} \frac{z_m}{h_{m-1}} \frac{p l}{4}, \\ Z_m = \frac{q+g}{g} \mathfrak{Z}_m - (Z_m), \end{cases}$$

die Grenzbeanspruchungen der Diagonalen

$$(8) \quad \begin{cases} D_m = \mathfrak{D}_m + \frac{(\gamma - 1)(m - 1)^2}{\alpha - \gamma - m + 1} \frac{d_m}{h_{m-1}} \frac{p l}{2}, \\ D_m = \frac{q+g}{g} \mathfrak{D}_m - (D_m), \end{cases}$$

und die Grenzbeanspruchungen der Verticalen

$$(9) \quad \begin{cases} V_m = \mathfrak{V}_m - \frac{(\gamma - 1)(m - 1)^2}{\alpha - \gamma - m + 1} \frac{p l}{2}, \\ V_m = \frac{q+g}{g} \mathfrak{V}_m - (V_m) + \frac{p l}{g} g_s, \end{cases}$$

wobei die eine Grenzbeanspruchung zur Unterscheidung von der andern mit einer Klammer versehen ist. Abweichend von 9) hat man nach A. 39, 9) für die Kämpferverticale

$$(10) \quad V_0 = \mathfrak{V}_0, \quad V_0 = \mathfrak{V}_0 + \frac{p l}{4},$$

und nach A. 39, 16) für die Scheitelverticale

$$(11) \quad V_\sigma = \mathfrak{V}_\sigma, \quad V_\sigma = \mathfrak{V}_\sigma + \frac{p l}{2}.$$

Diese Gleichungen ergeben mit Rücksicht auf die obigen Formeln für die Eigengewichtsbeanspruchungen sämtliche Ausdrücke der Stabkräfte ganz wie in Beispiel 89, nur der jetzt unten liegenden X-Gurtung entsprechend mit entgegengesetzten Vorzeichen. Da nun auch die in den Gleichungen auftretenden Grössen mit den in Beispiel 89 verwendeten übereinstimmen, so müssen wir die gleichen Zahlenwerthe wie dort mit entgegengesetzten Vorzeichen erhalten, nämlich in Tonnen

für	$m =$	1	2	3	4:
$X_m =$		13,50	25,20	31,50	0
$Z_m =$		66,40	53,90	44,75	38,52
$Z_m =$		13,28	8,68	3,07	1,32
$D_m = -$		4,15	2,80	0,64	31,95
$D_m = -$		20,75	15,50	9,10	6,39
$V_m =$		3,15	1,61	1,38	0,60
$V_m =$		19,35	12,97	5,88	4,80,

sowie  $V_0 = 3,75$  und 20,55 tn.

Für die Grenzwerte der Reaction einer Zwischenstütze hat man nach § 78, 6) 7)

$$(12) \quad R = \Re + \frac{p l}{2} + \frac{k}{l_0} \frac{p l^2}{8 f} + \frac{p_0 l_0}{2}, \quad R = \Re,$$

und für die Grenzwerte der Horizontalreaction und Verticalreaction einer Endstütze nach § 67, 14) 12) und § 78, 12)

$$(13) \quad H = \mathfrak{H} + \frac{p l^2}{8 f}, \quad H = \mathfrak{H},$$

$$(14) \quad B = \mathfrak{B} + \frac{p_0 l_0}{2}, \quad B = \mathfrak{B} - \frac{k}{l_0} \frac{p l^2}{8 f}.$$

Da nun  $p_0 = 0$ , so sind die unteren Grenzwerte aller drei Reactionen deren bereits berechnete Werthe für Eigengewicht allein, die obern erhält man mit Rücksicht auf 3) 4) und  $q : g = 5$

$$R = 5\Re = 73,5, \quad H = 5\mathfrak{H} = 63, \quad B = 5\mathfrak{B} = -31,5 \text{ tn.}$$

Die Grenzbeanspruchungen der Spannglieder treten nach 5) gleichzeitig mit den Grenzwerten von  $H$  ein und sind demnach

$$S = 5\mathfrak{S} = 70,4, \quad S = \mathfrak{S} = 14,08 \text{ tn.}$$

**Bemerkung.** Hätten wir angenommen, dass die betrachteten Träger einer eingleisigen Eisenbahnbrücke angehören, welche durch Locomotiven der Radanordnung Fig. 18 befahren wird, so würden

sich alle Stabkräfte den Zahlenwerthen nach wie in Beispiel 90 mit entgegengesetzten Vorzeichen ergeben haben. Nur eine Stabkraft  $S$  kommt dort nicht vor, ihre Grenzwerte sind durch 5) mit Rücksicht auf die Grenzwerte von  $H$  bestimmt. Indessen wird man Hängebogen ohne genügende Gründe nicht bei Eisenbahnbrücken anwenden.

**Beispiel 94. Continuirliches Trapezbogenfachwerk einfachen Systems mit Verticalen. (Feste Hängebrücke oder Sprengbrücke). Berechnung für gleichmässig vertheilte bewegte Last.**

Für eine Brücke mit drei Oeffnungen von 12, 24, 12 m sollen continuirliche Bogenträger nach der Anordnung Fig. 157 zur Verwendung kommen. Eigengewicht per laufenden Meter Träger in allen drei Oeffnungen  $g = 0,7$  tn, Verkehrslast  $p = 2,8$  tn. Vom Eigengewichte kommen 0,4 tn auf die Knotenpunkte des Untergurts, in welchen die Fahrbahnlast angreift, und 0,3 tn auf diejenigen des Obergurts. Die Grenzwerte der Stabkräfte und Stützenreactionen zu berechnen.

Für die mittlere Oeffnung gelten die im vorigen Beispiele erhaltenen Stabkräfte. Wir haben uns also nur noch mit den Stabkräften der äussern Oeffnungen und Stützenreactionen zu beschäftigen. Nach § 17, 14) 15) 17) hat man

$$(1) \quad \varepsilon = \nu = m - \mu \quad \text{mit} \quad \mu = \frac{n h_0}{h_0 - h_n}.$$

Wie immer bei Hängebogen werden wir den Horizontalschub nach aussen und die Ordinaten nach unten als positiv ansehen.

**Eigengewicht allein.** Für die vom Eigengewicht allein herrührenden Stabkräfte hat man nach § 79, 17) 19) mit § 31, 16) und 1)

$$(2) \quad \begin{cases} X_m = m(n - m) \frac{g \lambda^2}{2 h_m}, \\ Y_m = -(m - 1)(n - m + 1) \frac{g \lambda^2}{2 h_{m-1}} + \mathfrak{H} \frac{z}{\lambda}, \\ D_m = -(n - 2m + 1 + m \frac{n - m}{\mu - m}) \frac{d_m}{h_{m-1}} \frac{g \lambda}{2}, \\ B_m = (n - 2m + \frac{g_x - g_s}{g} + m \frac{n - m}{\mu - m}) \frac{g \lambda}{2}, \end{cases}$$

worin  $\mathfrak{H}$  den schon im vorigen Beispiele berechneten Werth hat. Nach Einsetzen von  $l = 12$ ,  $k = 4$ ,  $n = 4$ ,  $\lambda = 3$ ,  $\mu = 4,5$ ,  $g = 0,7$ ,

$g_x = 0,4$ ,  $g_z = 0,3$ ,  $\mathfrak{H} = 12,6$  nehmen diese Gleichungen folgende Formen an:

$$\begin{aligned} \mathfrak{X}_m &= 3,15 m \frac{4-m}{2h_m}, \\ \mathfrak{Z}_m &= 13,27 - 3,32 (m-1) \frac{5-m}{h_{m-1}}, \\ \mathfrak{D}_m &= -1,05 \left( 5 - 2m + m \frac{4-m}{4,5-m} \right) \frac{d_m}{h_{m-1}}, \\ \mathfrak{B}_m &= 4,35 - 1,05 m \left( 2 - \frac{4-m}{4,5-m} \right). \end{aligned}$$

Wir erhalten danach in Tonnen:

$$\begin{array}{cccc} \mathfrak{X}_1 = 2,70 & \mathfrak{Z}_1 = 13,28 & \mathfrak{D}_1 = -4,15 & \mathfrak{B}_1 = 3,15 \\ \mathfrak{X}_2 = 5,04 & \mathfrak{Z}_2 = 10,42 & \mathfrak{D}_2 = -3,05 & \mathfrak{B}_2 = 1,83 \\ \mathfrak{X}_3 = 6,30 & \mathfrak{Z}_3 = 7,96 & \mathfrak{D}_3 = -1,41 & \mathfrak{B}_3 = 0,15. \\ \mathfrak{X}_4 = 0 & \mathfrak{Z}_4 = 6,63 & \mathfrak{D}_4 = 6,39 \end{array}$$

Die Beanspruchungen der Pfeilerverticale und Widerlagerverticale für Eigengewicht allein sind nach A. 42, 7, 10)

$$(3) \quad \mathfrak{B}_0 = \frac{g l}{2} - \frac{\lambda g_z}{2}, \quad \mathfrak{B}_n = \frac{\lambda g_x}{2},$$

woraus  $\mathfrak{B}_0 = 3,75$  tn,  $\mathfrak{B}_n = 0,6$  tn.

Für die dem Eigengewichte allein entsprechende Reaction  $\mathfrak{R}$  einer Zwischenstütze und die Horizontalreaction  $\mathfrak{H}$  wie Verticalreaction  $\mathfrak{B}$  einer Endstütze gelten die Gleichungen 3) 4) des vorigen Beispiels, welche liefern

$$\begin{aligned} \mathfrak{H} &= 12,6, & \mathfrak{B} &= 0,7 \cdot 6 - \frac{4}{12} 12,6 = 0, \\ \mathfrak{R} &= 0,7 (12 + 6) + \frac{4}{12} 12,6 = 16,8 \text{ tn.} \end{aligned}$$

**Grenzwerte.** Nach § 79 sind die Grenzbeanspruchungen aller Stäbe, mit Ausnahme derjenigen der Z-Gurtung, genau so gross wie für Balkenträger mit zwei Gelenkauflagern. Wir erhalten aus § 32, 6) 7) 8) und § 19, 4) 8) die Grenzbeanspruchungen der X-Gurtung

$$(4) \quad X_m = \frac{q}{g} \mathfrak{X}_m, \quad X_m = \mathfrak{X}_m,$$

die Grenzbeanspruchungen der Diagonalen mit 1)

$$(5) \quad \begin{cases} D_m = \mathfrak{D}_m + \frac{(\mu - n)(m-1)^2}{n\mu + n - \mu - nm} \frac{d_m}{h_{m-1}} \frac{p\lambda}{2}, \\ D_m = \frac{q+g}{g} \mathfrak{D}_m - (D_m), \end{cases}$$



oder nach Einsetzen der Zahlenwerthe

$$D_m = \mathfrak{D}_m + 4,2 \frac{(m-1)^2}{35-8m} \frac{d_m}{h_{m-1}}, \quad D_m = 6\mathfrak{D}_m - (D_m),$$

und die Grenzbeanspruchungen der Verticalen mit 1)

$$(6) \quad \begin{cases} V_m = \mathfrak{B}_m - \frac{(\mu-n)(m-1)^2}{n\mu+n-\mu-nm} \frac{p\lambda}{2}, \\ V_m = \frac{q+g}{g} \mathfrak{B}_m - (V_m) + \frac{p\lambda}{g} g_s, \end{cases}$$

oder nach Einsetzen der Zahlenwerthe

$$V_m = \mathfrak{B}_m - 4,2 \frac{(m-1)^2}{35-8m}, \quad V_m = 6\mathfrak{B}_m - (V_m) + 3,6.$$

Ausnahmsweise hat man die Grenzbeanspruchungen der Pfeilerverticale nach A. 42, 6)

$$(7) \quad V_0 = \mathfrak{B}_0, \quad V_0 = \mathfrak{B}_0 + \frac{p\lambda}{2},$$

und diejenigen der Widerlagerverticale nach A. 42, 18)

$$(8) \quad V_n = \mathfrak{B}_n, \quad V_n = \mathfrak{B}_n + \frac{p\lambda}{2}.$$

Die Grenzwerte von  $Z_m$  ergeben sich nach § 79, wenn der Beitrag des grössten von der Verkehrslast herrührenden Horizontalschubs  $H_p$  zu dem für  $H_p = 0$  entstehenden grössten Grenzwert gleiches Sinnes (oder kleinsten entgegengesetzten Sinnes) addirt, der andere Grenzwert aber wie für  $H_p = 0$  angenommen wird. Wir erhalten so nach § 32, 5) mit § 79, 19)

$$(9) \quad \begin{cases} Z_m = \mathfrak{B}_m + \frac{s}{\lambda} H_p, \\ Z_m = \mathfrak{B}_m - (m-1)(n-m+1) \frac{p\lambda s}{2h_{m-1}}, \end{cases}$$

oder im vorliegenden Falle, weil  $p, g$  in allen Oeffnungen gleich gross angenommen wurden, mit § 19, 3) einfacher

$$(10) \quad Z_m = \mathfrak{B}_m + \frac{s}{\lambda} H_p, \quad Z_m = \frac{q+g}{g} \mathfrak{B}_m - (Z_m),$$

und nach Einsetzen der Zahlenwerthe, wegen  $H_p = \frac{p}{g} \mathfrak{H} = 50,4$ ,

$$Z_m = \mathfrak{B}_m + 53,09, \quad Z_m = 6\mathfrak{B}_m - (Z_m).$$

In den Ausdrücken für die zweiten Grenzwerte sind die ersten, soweit zur Unterscheidung nöthig, mit Klammern versehen. Die angesetzten Gleichungen liefern nun folgende Zahlenwerthe in Tonnen.

Für	$m =$	1	2	3	4:
$X_m =$		13,50	25,20	31,50	0
$Z_m =$		66,40	63,51	61,05	59,72
$Z_m =$		13,28	0,99	13,29	19,94
$D_m =$	—	4,15	— 2,80	0,64	31,95
$D_m =$	—	20,75	— 15,50	— 9,10	6,39
$V_m =$		3,15	1,61	— 1,38	0,60
$V_m =$		19,35	12,97	5,88	4,80,

sowie  $V_0 = 3,75$  und  $20,55$  tn.

Für die Grenzwerte der Reaction  $R$  einer Zwischenstütze, sowie der Horizontalreaction  $H$  und Verticalreaction  $B$  einer Endstütze gelten die Gleichungen 12)—14) des vorigen Beispiels, welche wegen  $p = p_0$ ,  $g = g_0$  und  $q : g = 5$  liefern:

$$\begin{aligned}
 R &= 5 \mathfrak{R} = 84 & R &= \mathfrak{R} = 16,8 \\
 H &= 5 \mathfrak{H} = 63 & H &= \mathfrak{H} = 12,6 \\
 B &= 2,8 \cdot 6 = 16,8 & B &= -\frac{4}{12} 50,4 = -16,8 \text{ tn.}
 \end{aligned}$$

Damit sind sämtliche Grenzwerte bestimmt. Dieselben wurden in Fig. 158 für eine Trägerhälfte eingetragen.

**Bemerkungen.** Wie obige Zusammenstellung zeigt, sind sämtliche Eigengewichtsbeanspruchungen und mit Ausnahme der  $Z_m$  auch sämtliche Grenzbeanspruchungen genau gleich den gleich bezeichneten der Mittelöffnung. Dies konnten wir nach dem am Schlusse des § 20 Gesagten von vornherein wissen (auch aus einem Vergleiche der verwendeten Formeln entnehmen), da das Gebilde der Stabaxen einer äussern Oeffnung demjenigen eines Trägerstücks der Mittelöffnung congruent ist und  $p, g$  in beiden Oeffnungen gleich gewählt wurden. Man kann also in solchen Fällen die Rechnung bedeutend abkürzen, was wir hier unterlassen haben, um die Uebereinstimmung unmittelbar hervortreten zu lassen, und weil nicht immer  $k = f$ ,  $l = 2l_0$ ,  $p = p_0$ ,  $g = g_0$  zu sein brauchen. Dass nicht auch die Grenzbeanspruchungen  $Z_m$  übereinstimmen, trotzdem ein bestimmter Horizontalschub  $H$  zu allen  $Z_m$  gleiche Beiträge  $H \frac{z}{l}$  liefert, liegt daran, dass für die Oeffnung ohne Zwischengelenk der Horizontalschub unabhängig von ihrer Belastung entsteht, während für die Oeffnung mit Zwischengelenk durch jeden von der Verkehrslast herrührenden Horizontalschub eine Verkehrsbelastung bedingt ist, deren Wirkung sich mit derjenigen des Horizontalschubs combinirt.

Hätte der Träger nur eine Oeffnung ohne Zwischengelenk und eine mit Zwischengelenk gehabt, so würde die Berechnung ganz wie oben durchzuführen gewesen und die Reaction  $V$ ,  $H$  der Endstütze, welcher die Oeffnung mit Zwischengelenk anliegt, wie in Beispiel 89 bestimmt geblieben sein. Bezüglich dieser Reaction bei Anschluss eines Spanngliedes (Fig. 156) siehe Beispiel 93.

Wäre der Träger, umgekehrt wie hier, nach Art der Fig. 159 angeordnet worden (in welchem Falle wir wie immer bei Sprengbogen den Horizontalschub nach innen und die Ordinaten nach oben positiv annehmen), so würde für die Stabkräfte der Oeffnung mit Zwischengelenk die Berechnung des Beispiels 89 ohne jede Aenderung gelten, für die Stabkräfte der Oeffnungen ohne Zwischengelenk aber die obige Berechnung mit dem einzigen Unterschiede, dass in den verwendeten Gleichungen der §§ 31, 32, 79 und Aufgabe 42 wegen nun oben liegender  $X$ -Gurtung die oberen statt der unteren Vorzeichen Verwendung zu finden hätten, womit alle Stabkräfte die oben gefundenen Zahlenwerthe mit entgegengesetzten Vorzeichen erhielten. Die Stützenreactionen würden wie oben bestimmt bleiben. Im nächsten Beispiele ist die Berechnung für bewegte Radlastzüge gegeben.

**Beispiel 95. Continuirliches Trapezbogenfachwerk einfachen Systems mit Verticalen. Berechnung für bewegte Radlastzüge.**

Für eine eingleisige Eisenbahnbrücke sollen continuirliche Bogenträger nach der Anordnung Fig. 159 mit Oeffnungen von 12, 24, 12 m zur Verwendung kommen. Eigengewicht per laufenden Meter Träger  $g = 0,7$  tn, wovon 0,4 tn auf die Knotenpunkte des Obergurts, in welchen die Fahrbahnlast angreift, und 0,3 tn auf diejenigen des Untergurts kommen. Die Grenzwerte der Stabkräfte und Stützenreactionen festzustellen, wenn die Brücke durch Radlastzüge, zusammengesetzt aus Locomotiven der Radanordnung Fig. 18, befahren wird.

Die mittlere Oeffnung stellt ein Bogenfachwerk mit drei Gelenken dar, dessen vollständige Berechnung unter obigen Voraussetzungen in B. 90 gezeigt wurde. Auch die Grenzwerte des Horizontalschubs bleiben wie dort

$$\S = 12,6, \quad H = 12,6 + 49,94 = 62,54 \text{ tn.}$$

Die in B. 90 festgestellten Eigengewichtsbeanspruchungen und Grenzbeanspruchungen der Stäbe gelten nach § 20 auch für die gleich-

bezeichneten Beanspruchungen der Endöffnungen (Fig. 159, vgl. auch die Bemerkungen zum vorigen Beispiele), da das Gebilde der Stab-  
 axen einer äusseren Oeffnung demjenigen einer Trägerhälfte der  
 Mittelöffnung congruent ist. Eine Ausnahme machen nur die Grenz-  
 beanspruchungen  $Z_m$  des geraden Verbindungsgurts der Auflager.  
 Diese ergeben sich nach § 79, wenn der Beitrag des grössten von  
 der Verkehrslast herrührenden Horizontalschubs  $H_p$  zu dem für  $H_p = 0$   
 entstehenden grössten Grenzwerte gleichen Sinnes (oder kleinsten  
 entgegengesetzten Sinnes) addirt, der andre aber wie für  $H_p = 0$  an-  
 genommen wird. Wir erhalten so nach § 33, 2) und § 79, 19) fol-  
 gende Grenzwerte. Mit dem grössten  $H_p$  (Belastung der Mittel-  
 öffnung durch Zug I, Rad O bei  $d$ )

$$(1) \quad Z_m = \beta_m - \frac{z}{\lambda} H_p,$$

Belastung der betrachteten Seitenöffnung allein durch Zug I, Rad O  
 bei Verticale  $m - 1$ ,

$$(2) \quad Z_m = \beta_m + \left[ (n - m + 1) \sum_0^{m-1} Pa \right. \\ \left. + (m - 1) \sum_{m-1}^n P(l - a) \right] \frac{z}{l h_{m-1}}.$$

Diese Gleichungen liefern mit  $l = 12$ ,  $n = 4$ ,  $\lambda = 3$ ,  $z = 3,16$ ,  
 $H_p = 49,94$  und den aus der Tabelle in Beispiel 6 entnommenen  
 oder wie in Beispiel 42 berechneten Summen  $\sum$  folgende Grenz-  
 beanspruchungen:

$$Z_1 = -13,28 - 52,60 = -65,88 \text{ tn}$$

$$Z_2 = -10,43 - 52,60 = -63,02 \text{ „}$$

$$Z_3 = -7,97 - 52,60 = -60,57 \text{ „}$$

$$Z_4 = -6,64 - 52,60 = -59,24 \text{ „}$$

$$Z_1 = -13,28 + (4 \cdot 0 + 0 \cdot 173) \frac{3,16}{54} = -13,28 \text{ tn } (-13,28)$$

$$Z_2 = -10,43 + (3 \cdot 30,2 + 1 \cdot 89,4) \frac{3,16}{42} = 3,11 \text{ „ } (2,71)$$

$$Z_3 = -7,97 + (2 \cdot 80,7 + 2 \cdot 32,4) \frac{3,16}{30} = 13,40 \text{ „ } (13,40)$$

$$Z_4 = -6,64 + (1 \cdot 144 + 3 \cdot 10,2) \frac{3,16}{18} = 24,01 \text{ „ } (24,96).$$

Die Ansätze der zweiten Grenzwerte entsprechen der ersten Rich-

tung des Zuges I, während die Resultate für die zweite Zugrichtung in Klammern beigelegt sind.

Die vom Eigengewichte allein herrührenden Verticalreactionen der Stützen hat man nach § 78, 16) 8) für eine Endstütze

$$(3) \quad \mathfrak{B} = 0,$$

und für eine Zwischenstütze, wenn  $l_0, g_0$  der anliegenden Endöffnung entsprechen,

$$(4) \quad \mathfrak{R} = \frac{g l}{2} + \frac{g_0 l_0}{2} + \frac{k}{l_0} \mathfrak{G},$$

das heisst also

$$\mathfrak{R} = 0,7 (12 + 6) + \frac{4}{12} 12,6 = 16,8 \text{ tn.}$$

Die Grenzwerte der Verticalreaction  $B$  einer Endstütze ergeben sich nach § 78, 13) 14) wie folgt. Mit dem grössten  $H_p$ ,

$$(5) \quad B = -\frac{k}{l_0} H_p,$$

bei Belastung der anliegenden Oeffnung durch Zug II, Vorderrad  $O$  bei  $l$ ,

$$(6) \quad B = \frac{1}{l_0} \sum_0^l P a.$$

Wir erhalten so

$$B = -\frac{4}{12} 49,94 = -16,65, \quad B = \frac{257}{12} = 21,42 \text{ tn.}$$

Der untere Grenzwert der Reaction einer Zwischenstütze ist  $R = \mathfrak{R}$ , der obere ergibt sich wegen  $l = 2l_0, k = f$  bei Belastung der beiden anliegenden Oeffnungen durch Zug I, Rad  $O$  bei  $d$  oder der Stütze selbst (oder an beliebiger Stelle zwischen diesen Punkten) nach § 78, 5)

$$(7) \quad R = \mathfrak{R} + \frac{1}{l_0} \sum_0^d P a + \sum_d^l P + \frac{1}{l_0} \sum_0^{l_0} P (l_0 - a).$$

Diese Gleichung liefert mit Rad  $O$  bei  $d$  für die erste Zugrichtung

$$R = 16,8 + \frac{226}{12} + 4 \cdot 6 + 4 + \frac{1}{12} (5 \cdot 11,9 + 6 \cdot 7,7 + 6 \cdot 6,4 + 6 \cdot 5,1 + 4 \cdot 3,9 + 5 \cdot 0,9) = 79,87 \text{ tn,}$$

und für die zweite Zugrichtung

$$R = 16,8 + \frac{178}{12} + 4 \cdot 6 + 4 + 5 + \frac{1}{12} (6 \cdot 11,7 + 4 \cdot 10,5 + 5 \cdot 7,5 + 6 \cdot 3,3 + 6 \cdot 2 + 6 \cdot 0,7) = 79,69 \text{ tn.}$$

Mit Rad  $O$  bei der Stütze hätten wir für die erste und zweite Zugrichtung dieselben Werthe erhalten wie für die zweite und erste.

Die horizontalen Grenzreactionen der Endstützen sind die Grenzwerte von  $H$ . Sämmtliche Grenzwerte einer Trägerhälfte sind in Fig. 160 eingetragen.

Hätte der Träger neben der Oeffnung mit Zwischengelenk nur *eine* Oeffnung ohne Zwischengelenk gehabt, so würde die Berechnung ganz wie oben durchzuführen gewesen und die Reaction  $V, H$  der einen Endstütze wie in Beispiel 90 bestimmt geblieben sein. Wäre der Träger als Hängebogen nach Art von Fig. 157 angeordnet gewesen, so würden sich bei gleichem Vorgehen wie oben, wegen geänderter Lage der  $X$ -Gurtung, für gleiche  $g_x, g_s$  alle Stabkräfte mit entgegengesetzten Vorzeichen den Zahlenwerthen nach wie oben ergeben haben. Die Stützenreactionen würden wie oben geblieben sein, dabei jedoch der Horizontalschub nach Aussen als positiv gelten.

**Beispiel 96. Continuirliches Halbparabelbogenfachwerk einfachen Systems mit Verticalen. (Feste Hängebrücke). Berechnung für gleichmässig vertheilte bewegte Last.**

Für eine Brücke von  $l = 40$  m Spannweite sollen continuirliche Bogenträger nach der Anordnung Fig. 161 mit parabolischem Obergurte zur Verwendung kommen. Eigengewicht per laufenden Meter Träger  $g = 1,2$  tn, Verkehrslast  $p = 2$  tn. Vom Eigengewichte kommen  $g_x = 0,6$  tn auf die Knotenpunkte des Untergurts, in welchen die Fahrbahnlast angreift, und  $g_s = 0,6$  tn auf diejenigen des Obergurts. Das Eigengewicht der Spannglieder beträgt  $g_0 = 0,15$  tn per laufenden Meter Horizontalprojection. Es sind die Grenzwerte der Stabkräfte und Stützenreactionen zu berechnen.

Wie bei Hängebogen üblich und nach §§ 66, 78 bei Anwendung unsrer Formeln freigestellt, nehmen wir die Ordinaten nach unten und den Horizontalschub nach aussen als positiv an. Die Formberechnung bleibt genau wie in Beispiel 91 und ergiebt die dortigen Zahlenwerthe.

**Eigengewicht allein.** Für Belastung durch das Eigengewicht allein hat man nach § 75, 6) die Beanspruchungen der  $X$ -Gurtung und Diagonalen

$$\mathfrak{X}_m = 0, \quad \mathfrak{D}_m = 0,$$

die Beanspruchungen der Verticalen

$$\mathfrak{B}_m = \lambda g_x = 1,2 \text{ tn},$$

jedoch ausnahmsweise nach A. 39, 13) 17)

$$\mathfrak{B}_0 = \mathfrak{B}_{10} = \frac{\lambda g_x}{2} = 0,6 \text{ tn.}$$

Für die Z-Gurtung liefert § 75, 6)

$$\mathfrak{B}_m = \frac{g^l}{8f} n s_m,$$

wonach mit den aus der Formberechnung zu entnehmenden  $s_m$  in Tonnen:

$\mathfrak{B}_1 = 53,14$	$\mathfrak{B}_6 = 49,20$
$\mathfrak{B}_2 = 52,15$	$\mathfrak{B}_7 = 48,72$
$\mathfrak{B}_3 = 51,26$	$\mathfrak{B}_8 = 48,38$
$\mathfrak{B}_4 = 50,47$	$\mathfrak{B}_9 = 48,14$
$\mathfrak{B}_5 = 49,78$	$\mathfrak{B}_{10} = 48,02.$

Alle diese Beanspruchungen sind genau so gross wie die gleich bezeichneten des Beispiels 91, nur von entgegengesetzten Vorzeichen.

Für die vom Eigengewichte allein herrührenden Stützenreactionen gelten die Gleichungen B. 93, 3) 4), wonach die Horizontalreaction und Verticalreaction einer Endstütze

$$\mathfrak{H} = \frac{1,2 \cdot 40^2}{8 \cdot 5} = 48, \quad \mathfrak{B} = 0,15 \frac{11}{2} - \frac{5,5}{11} 48 = -23,18,$$

und die Reaction einer Zwischenstütze

$$\mathfrak{R} = 1,2 \cdot 20 + \frac{5,5}{11} 48 + 0,15 \cdot 5,5 = 48,82 \text{ tn.}$$

Die Beanspruchung der Spannglieder ist durch Gleichung B. 93, 5) bestimmt, welche für Eigengewicht allein liefert

$$\mathfrak{S} = 48 \frac{12,8}{11} = 53,67 \text{ tn.}$$

**Grenzwerte.** Da die Formberechnung genau dieselben  $h_m$ ,  $w$ ,  $w$ , wie in Beispiel 91 ergab und damit bei gleichen  $n$ ,  $f$  auch die  $\varepsilon$ ,  $\nu$ ,  $\varphi$ ,  $\chi$ ,  $\psi$  gleiche Werthe erlangen, so gelten für die Grenzwerte der Stabkräfte die in Beispiel 91 verwendeten Gleichungen der §§ 70, 75, 19 und Aufgabe 39, jedoch, weil die X-Gurtung jetzt unten liegt, mit den unteren statt oberen Vorzeichen. Da ferner die in den Gleichungen auftretenden Grössen von gleichen Werthen wie in Beispiel 91 sind, so erhalten wir bei gleichem Vorgehen wie in Beispiel 91 sämtliche Grenzwerte der Stabkräfte von gleichen Zahlenwerthen wie dort und mit entgegengesetzten Vorzeichen. Es sind also die Grenzbeanspruchungen der Gurtungen in Tonnen:

$X_1 = \pm 5,19$	$Z_1 = 141,70$	$Z_1 = 53,14$
$X_2 = \pm 11,12$	$Z_2 = 139,71$	$Z_2 = 51,51$
$X_3 = \pm 17,93$	$Z_3 = 139,19$	$Z_3 = 48,77$
$X_4 = \pm 25,69$	$Z_4 = 140,09$	$Z_4 = 44,97$
$X_5 = \pm 34,29$	$Z_5 = 142,36$	$Z_5 = 40,16$
$X_6 = \pm 43,08$	$Z_6 = 145,84$	$Z_6 = 34,56$
$X_7 = \pm 49,98$	$Z_7 = 149,76$	$Z_7 = 28,88$
$X_8 = \pm 49,87$	$Z_8 = 152,13$	$Z_8 = 25,27$
$X_9 = \pm 34,20$	$Z_9 = 147,69$	$Z_9 = 28,83$
$X_{10} = \pm 0$	$Z_{10} = 128,06$	$Z_{10} = 48,02,$

und die Grenzbeanspruchungen der Füllungsglieder:

	$V_0 = - 11,19$	$V_0 = 14,39$
$D_1 = \pm 12,88$	$V_1 = - 9,81$	$V_1 = 16,21$
$D_2 = \pm 12,50$	$V_2 = - 8,94$	$V_2 = 15,34$
$D_3 = \pm 12,22$	$V_3 = - 7,85$	$V_3 = 14,25$
$D_4 = \pm 12,00$	$V_4 = - 6,53$	$V_4 = 12,93$
$D_5 = \pm 11,74$	$V_5 = - 4,80$	$V_5 = 11,20$
$D_6 = \pm 11,01$	$V_6 = 9,35$	$V_6 = - 2,95$
$D_7 = \pm 10,59$	$V_7 = 7,48$	$V_7 = - 1,08$
$D_8 = \pm 9,29$	$V_8 = - 2,80$	$V_8 = 9,20$
$D_9 = \pm 19,96$	$V_9 = - 5,54$	$V_9 = 11,94$
$D_{10} = \pm 35,35$	$V_{10} = 0,60$	$V_{10} = 2,60.$

Für die Grenzwerte der Stützenreactionen gelten die Gleichungen B. 93, 12)–14). Hiernach treten die unteren Grenzwerte für Eigengewicht allein ein, während mit  $p_0 = 0$ ,  $p:g = 2:1,2$  die obere Grenzreaction einer Zwischenstütze

$$R = 48,82 + 40 + \frac{5,5}{11} \cdot \frac{2}{1,2} \cdot 48 = 128,82 \text{ tn},$$

sowie die oberen Grenzwerte der Horizontalreaction und Verticalreaction einer Endstütze

$$H = \frac{8,2}{1,2} \cdot \frac{2}{1,2} \cdot 48 = 128 \text{ tn},$$

$$B = - 23,18 - \frac{5,5}{11} \cdot \frac{2}{1,2} \cdot 48 = - 63,18 \text{ tn}.$$

Die Grenzbeanspruchungen der Spannungsglieder treten nach B. 93, 5)



zugleich mit den Grenzwerten von  $H$  ein, sie sind also  $\mathfrak{S} = 53,67$  und

$$S = 53,67 \frac{3,2}{1,2} = 143,12 \text{ tn.}$$

Hätten wir das Eigengewicht der Spannglieder vernachlässigt, so würden sich nur

$$\mathfrak{B} = -24 \quad \mathfrak{R} = 48 \quad B = -64 \quad R = 128$$

anstatt der oben berechneten Werthe

$$-23,18 \quad 48,82 \quad -63,18 \quad 128,82$$

ergeben haben, alle übrigen Werthe aber ungeändert geblieben sein.

**Beispiel 97. Continuirliches Halbparabelbogenfachwerk einfachen Systems mit Verticalen. (Feste Hängebrücke oder Sprengbrücke). Berechnung für gleichmässig vertheilte bewegte Last.**

Für eine Brücke mit drei Oeffnungen von 20, 40, 20 m Spannweite sollen continuirliche Bogenträger nach der Anordnung Fig. 162 mit parabolischem Obergurte zur Verwendung kommen. Eigengewicht per laufenden Meter in allen drei Oeffnungen  $g = 1,2$  tn, Verkehrslast  $p = 2$  tn. Vom Eigengewichte kommen 0,6 tn auf die Knotenpunkte des Untergurts, in welchen die Fahrbahnlast angreift, und 0,6 tn auf diejenigen des Obergurts. Die Grenzwerte der Stabkräfte und Stützenreactionen festzustellen.

Für die mittlere Oeffnung gelten dieselben Stabkräfte wie im vorigen Beispiele. Wir haben uns also nur noch mit den Stabkräften der äusseren Oeffnungen und Stützenreactionen zu beschäftigen, wobei der Horizontalschub nach aussen und die Ordinaten nach unten positiv angenommen werden. Da das Gebilde der Stabaxen der Endöffnung demjenigen des ersten Trägerstücks der Mittelöffnung congruent ist, so hat man wie in den Beispielen 91 und 96:

		$z_m$	$h_m$	$s_m$	$d_m$	$\varepsilon$	$\nu$
für	$m = 1$	0,95	4,55	2,21	4,97	— 4,79	— 5,35
	2	1,80	3,70	2,17	4,21	— 4,35	— 4,93
	3	2,55	2,95	2,14	3,56	— 3,93	— 4,54
	4	3,20	2,30	2,10	3,05	— 3,54	— 4,18
	5	3,75	1,75	2,07	2,66	— 3,18	— 3,89
	6	4,20	1,30	2,05	2,38	— 2,89	— 3,71

		$z_m$	$h_m$	$x_m$	$d_m$	$\varepsilon$	$\nu$
für	$m = 7$	4,55	0,95	2,03	2,21	— 2,71	— 3,80
	8	4,80	0,70	2,02	2,12	— 2,80	— 4,67
	9	4,95	0,55	2,01	2,07	— 3,67	— 11,00
	10	5,00	0,55	2,00	2,06	— 10,00,	

und nach § 16, 11) 13) weiter

$$x_m = \lambda = 2, \quad \varepsilon_m = w_d = w_s = h_0 = 5,5.$$

Alle Längen sind in Metern gegeben.

**Eigengewicht allein.** Nach § 79, 28) hat man für die X-Gurtung und Diagonalen in allen Feldern

$$X_m = 0, \quad D_m = 0$$

und für die Verticalen mit  $g_x = 0,6$

$$B_m = \lambda g_x = 1,2 \text{ tn.}$$

Jedoch bilden Ausnahmen und folgen aus A. 42, 7) 10)

$$B_0 = B_{10} = \frac{\lambda g_x}{2} = 0,6 \text{ tn.}$$

Für die Z-Gurtung liefert § 79, 28) mit dem schon im vorigen Beispiele berechneten Werthe  $\S = 48$

$$B_m = \S \frac{x_m}{\lambda} = 24 x_m,$$

woraus in Tonnen:

$$\begin{array}{ll} B_1 = 53,14 & B_6 = 49,20 \\ B_2 = 52,15 & B_7 = 48,72 \\ B_3 = 51,26 & B_8 = 48,38 \\ B_4 = 50,47 & B_9 = 48,18 \\ B_5 = 49,78 & B_{10} = 48,02. \end{array}$$

Alle diese Beanspruchungen sind genau den gleich bezeichneten der mittleren Oeffnung entsprechend. Da dies nach Ausweis der angewandten Formeln so sein muss, so wäre eine besondere Berechnung der Eigengewichtsbeanspruchungen für die äusseren Oeffnungen überflüssig gewesen. (Vgl. die Bemerkungen zu Beispiel 99).

Für die vom Eigengewichte allein herrührende Reaction  $R$  einer Zwischenstütze, sowie die Horizontalreaction  $\S$  und Verticalreaction  $B$  einer Endstütze gelten die Gleichungen B. 93, 3) 4), welche liefern

$$\begin{aligned} \S &= \frac{1,2 \cdot 40^2}{8 \cdot 5} = 48 \text{ tn}, & B &= 1,2 \cdot 10 - \frac{5}{20} 48 = 0, \\ R &= 1,2 (20 + 10) + \frac{5}{20} 48 = 48 \text{ tn}. \end{aligned}$$

**Grenzwerte.** Da  $g, p$  in allen Oeffnungen gleich gross angenommen wurden, so haben wir nach § 19, 2)—4) 8) zur Berechnung einer Grenzbeanspruchung aus der andern

$$(1) \quad \begin{cases} X_m + (X_m) = 0, & Z_m + (Z_m) = \frac{q+g}{g} \mathfrak{Z}_m, \\ D_m + (D_m) = 0, & V_m + (V_m) = \frac{q+g}{g} \mathfrak{Z}_m + \frac{p\lambda}{g} g_z, \end{cases}$$

worin der eine Grenzwert zur Unterscheidung vom andern mit einer Klammer versehen ist. Hiernach sind die beiden Grenzbeanspruchungen jedes Stabes der  $X$ -Gurtung und jeder Diagonale numerisch gleich und von verschiedenen Vorzeichen, während für die  $Z$ -Gurtung und Verticalen

$$Z_m = 3,667 \mathfrak{Z}_m - (Z_m), \quad V_m = 6,4 - (V_m).$$

Es bleibt nun noch für jeden Stab eine Grenzbeanspruchung auszudrücken.

Die Grenzwerte einer Stabkraft ergeben sich nach § 79, wenn man den Beitrag des grössten von der Verkehrslast herrührenden Horizontalschubs  $H_p$  zu dem für  $H_p = 0$  entstehenden grössten Grenzwert gleichen Sinnes (oder kleinsten entgegengesetzten Sinnes) addirt, den andern Grenzwert aber wie für  $H_p$  annimmt. Der grösste von der Verkehrslast herrührende Horizontalschub ist nach § 79 und wegen  $f = k, l_z = 2l, p_z = p$ ,

$$(2) \quad H_p = \left( \frac{p l^3}{8f} \right)_z = \frac{p l^3}{2k},$$

wenn sich der Ausdruck mit dem Index  $z$  auf die Oeffnung mit Zwischengelenk, der zweite Ausdruck auf die betrachtete Oeffnung bezieht. Die Beiträge dieses Horizontalschubs zu den Stabkräften sind nach § 79, 26)

$$(3) \quad \begin{cases} X'_m = -m(n-m) \frac{p \lambda^2}{2 h_m}, \\ Z'_m = (m-1)(n-m+1) \frac{z_m}{h_{m-1}} \frac{p \lambda}{2} + \frac{p l}{2k} n z_m, \\ D'_m = \left( n - 2m + 1 - m \frac{n-m}{\varepsilon} \right) \frac{d_m}{h_{m-1}} \frac{p \lambda}{2}, \\ V'_m = - \left( n - 2m - 1 - m \frac{n-m}{\nu} \right) \frac{p \lambda}{2}. \end{cases}$$

Für die dem Falle  $H_p = 0$  entsprechenden Grenzwerte der Gurtungskräfte hat man nach § 32, 4) 5)

$$X_m = m(n-m) \frac{p \lambda^2}{2 h_m}, \quad X_m = 0,$$

$$Z_m = \beta_m - (m-1)(n-m+1) \frac{s_m}{h_{m-1}} \frac{p \lambda}{2}, \quad Z_m = \beta_m.$$

Daher ist je eine Grenzbeanspruchung im Ganzen

$$(4) \quad X_m = m(n-m) \frac{p \lambda^2}{2 h_m},$$

$$(5) \quad Z_m = \beta_m - (m-1)(n-m+1) \frac{s_m}{h_{m-1}} \frac{p \lambda}{2},$$

woraus mit den oben berechneten  $\beta_m$  unter Beachtung des über die zweiten Grenzwerte Gesagten folgende Grenzbeanspruchungen in Tonnen hervorgehen:

$X_1 = \pm 7,91$	$Z_1 = 53,14$	$Z_1 = 141,72$
$X_2 = \pm 17,30$	$Z_2 = 34,98$	$Z_2 = 156,25$
$X_3 = \pm 28,47$	$Z_3 = 14,24$	$Z_3 = 173,73$
$X_4 = \pm 41,74$	$Z_4 = -9,33$	$Z_4 = 194,40$
$X_5 = \pm 57,14$	$Z_5 = -36,62$	$Z_5 = 219,16$
$X_6 = \pm 73,85$	$Z_6 = -67,94$	$Z_6 = 248,36$
$X_7 = \pm 88,42$	$Z_7 = -101,26$	$Z_7 = 279,92$
$X_8 = \pm 91,43$	$Z_8 = -130,23$	$Z_8 = 307,64$
$X_9 = \pm 65,45$	$Z_9 = -135,63$	$Z_9 = 312,16$
$X_{10} = \pm 0$	$Z_{10} = -82,89$	$Z_{10} = 248,98.$

Für die Diagonalen ergeben sich aus 3) die Beiträge des grössten von der Verkehrslast herrührenden Horizontalschubs in Tonnen:

$$D_1' = 2 \left( \frac{9}{4,79} + 9 \right) \frac{5,97}{5,5} = 19,66$$

$$D_2' = 2 \left( \frac{16}{4,35} + 7 \right) \frac{4,21}{4,55} = 19,76$$

$$D_3' = 2 \left( \frac{21}{3,93} + 5 \right) \frac{3,56}{3,70} = 19,91$$

$$D_4' = 2 \left( \frac{24}{3,54} + 3 \right) \frac{3,05}{2,95} = 20,22$$

$$D_5' = 2 \left( \frac{25}{3,18} + 1 \right) \frac{2,66}{2,30} = 18,50$$

$$D_6' = 2 \left( \frac{24}{2,89} - 1 \right) \frac{2,38}{1,75} = 17,99$$

$$D_7' = 2 \left( \frac{21}{2,71} - 3 \right) \frac{2,21}{1,30} = 16,15$$

$$D_8' = 2 \left( \frac{16}{2,80} - 5 \right) \frac{2,12}{0,95} = 3,19$$

$$D_9' = 2 \left( \frac{9}{3,67} - 7 \right) \frac{2,07}{0,70} = -26,90$$

$$D_{10}' = 2 \left( \frac{0}{10} - 9 \right) \frac{2,06}{0,55} = -67,42.$$

Die Grenzbeanspruchungen ohne Rücksicht auf  $H_p$  sind für die Diagonalen 1 bis 7 wegen  $0 < m - \varepsilon < n$  nach § 32, 10)

$$D_m = - \left( n - 2m + 1 - m \frac{n-m}{\varepsilon} \right) \frac{d_m}{h_{m-1}} \frac{p\lambda}{2}, \quad D_m = 0$$

und für die Diagonalen 8 bis 10 wegen  $m - \varepsilon > n$  nach § 32, 7)

$$D_m = - \frac{(m-\varepsilon)(n-m)^2}{n-m-\varepsilon(n-1)} \frac{\varepsilon-1}{\varepsilon} \frac{d_m}{h_{m-1}} \frac{p\lambda}{2},$$

$$D_m = \frac{(m-\varepsilon-n)(m-1)^2}{n-m-\varepsilon(n-1)} \frac{d_m}{h_{m-1}} \frac{p\lambda}{2},$$

sodass also der erste Werth negativ, der zweite positiv ist. Daher folgt mit Rücksicht auf 3) oder die Vorzeichen der berechneten  $D_m'$  eine Grenzbeanspruchung im Ganzen für die Diagonalen 1 bis 7

$$D_m = D_m',$$

für die Diagonale 8

$$(7) \quad D_m = \frac{(m-\varepsilon-n)(m-1)^2}{n-m-\varepsilon(n-1)} \frac{d_m}{h_{m-1}} \frac{p\lambda}{2} + D_m',$$

und für die Diagonalen 9 bis 10

$$(8) \quad D_m = \frac{(m-\varepsilon-n)(m-1)^2}{n-m-\varepsilon(n-1)} \frac{d_m}{h_{m-1}} \frac{p\lambda}{2}.$$

Da aus 7) 8)

$$D_8 = \frac{0,8 \cdot 49 \cdot 2,12 \cdot 2}{27,2 \cdot 0,95} + 3,19 = 9,62$$

$$D_9 = \frac{2,67 \cdot 64 \cdot 2,07 \cdot 2}{84,03 \cdot 0,70} = 29,70$$

$$D_{10} = \frac{10 \cdot 81 \cdot 2,06 \cdot 2}{90 \cdot 0,55} = 67,42,$$

so erhalten wir bei Beachtung von 1) folgende Grenzbeanspruchungen in Tonnen:

$D_1 = \pm 19,66$	$D_6 = \pm 17,99$
$D_2 = \pm 19,76$	$D_7 = \pm 16,15$
$D_3 = \pm 19,91$	$D_8 = \pm 9,62$
$D_4 = \pm 20,22$	$D_9 = \pm 29,70$
$D_5 = \pm 18,50$	$D_{10} = \pm 67,40.$

Für die Verticalen liefert 3) die Beiträge des grössten von der Verkehrslast herrührenden Horizontalschubs in Tonnen:

$$V'_1 = -2 \left( \frac{9}{5,85} + 7 \right) = -17,36$$

$$V'_2 = -2 \left( \frac{16}{4,93} + 5 \right) = -16,49$$

$$V'_3 = -2 \left( \frac{21}{4,54} + 3 \right) = -15,25$$

$$V'_4 = -2 \left( \frac{24}{4,18} + 1 \right) = -13,48$$

$$V'_5 = -2 \left( \frac{25}{3,89} - 1 \right) = -10,85$$

$$V'_6 = -2 \left( \frac{24}{3,71} - 3 \right) = -6,94$$

$$V'_7 = -2 \left( \frac{21}{3,80} - 5 \right) = -1,05$$

$$V'_8 = -2 \left( \frac{16}{4,67} - 7 \right) = 7,15$$

$$V'_9 = -2 \left( \frac{9}{11} - 9 \right) = 16,36.$$

Die Grenzbeanspruchungen ohne Rücksicht auf  $H_p$  sind für die Verticalen 1 bis 6 wegen  $0 < m - \nu < n$  nach § 32, 11)

$$V_m = \mathfrak{B}_m + \left( n - 2m + 1 - m \frac{n-m}{\nu} \right) \frac{p l}{2}, \quad V_m = \mathfrak{B}_m,$$

und für die Verticalen 7 bis 9 wegen  $m - \nu > n$  nach § 32, 8)

$$V_m = \mathfrak{B}_m + \frac{(m-\nu)(n-m)^2}{n-m-\nu(n-1)} \frac{\nu-1}{\nu} \frac{p l}{2},$$

$$V_m = \mathfrak{B}_m - \frac{(m-\nu-n)(m-1)^2}{n-m-\nu(n-1)} \frac{p l}{2},$$

wobei also der erste von der Verkehrslast herrührende Ausdruck positiv, der zweite negativ ist. Daher erhält man mit Rücksicht auf 3) oder die Vorzeichen der berechneten  $V'_m$  eine Grenzbeanspruchung im Ganzen für die Verticalen 1 bis 6

$$(9) \quad V_m = \mathfrak{B}_m + V'_m,$$

für die Verticale 7

$$(10) \quad V_m = \mathfrak{B}_m - \frac{(m-\nu-n)(m-1)^2}{n-m-\nu(n-1)} \frac{p l}{2} + V'_m,$$

und für die Verticalen 8 bis 9

$$(11) \quad V_m = \mathfrak{B}_m - \frac{(m-\nu-n)(m-1)^2}{n-m-\nu(n-1)} \frac{p l}{2}.$$

Unter Beachtung des über den zweiten Grenzwert Gesagten erhalten wir hiernach folgende Grenzbeanspruchungen in Tonnen:

$$V_1 = 1,2 - 17,36 = - 16,16$$

$$V_2 = 1,2 - 16,49 = - 15,29$$

$$V_3 = 1,2 - 15,25 = - 14,05$$

$$V_4 = 1,2 - 13,48 = - 12,28$$

$$V_5 = 1,2 - 10,85 = - 9,65$$

$$V_6 = 1,2 - 6,94 = - 5,74$$

$$V_7 = 1,2 - \frac{0,8 \cdot 36 \cdot 2}{37,2} - 1,05 = - 1,40$$

$$V_8 = 1,2 - \frac{2,67 \cdot 49 \cdot 2}{44,03} = - 4,74$$

$$V_9 = 1,2 - \frac{10 \cdot 64 \cdot 2}{100} = - 11,60,$$

$$V_1 = 6,4 + 16,16 = 22,56$$

$$V_6 = 6,4 + 5,74 = 12,14$$

$$V_2 = 6,4 + 15,29 = 21,69$$

$$V_7 = 6,4 + 1,40 = 7,80$$

$$V_3 = 6,4 + 14,05 = 20,45$$

$$V_8 = 6,4 + 4,74 = 11,14$$

$$V_4 = 6,4 + 12,28 = 18,68$$

$$V_9 = 6,4 + 11,60 = 18,00.$$

$$V_5 = 6,4 + 9,65 = 16,05$$

Ausnahmsweise sind die Grenzbeanspruchungen der Pfeilerverticale nach A. 42, 6) mit obigem Ausdrucke 2)

$$(12) \quad V_0 = \mathfrak{B}_0 - \frac{n-1}{n} \frac{p l}{2}, \quad V_0 = \mathfrak{B}_0 + \frac{p l}{2},$$

und diejenigen der Widerlagerverticalen nach A. 42, 9)

$$(13) \quad V_n = \mathfrak{B}_n, \quad V_n = \mathfrak{B}_n + \frac{p l}{2}.$$

Diese Gleichungen liefern

$$V_0 = - 17,4 \quad V_0 = 20,6 \quad V_{10} = 0,6 \quad V_{10} = 2,6 \text{ tn.}$$

Für die Grenzwerte der Reaction  $R$  einer Zwischenstütze, sowie der Horizontalreaction  $H$  und Verticalreaction  $B$  einer Endstütze gelten die Gleichungen B. 93, 12)—14), wonach wegen  $g = g_0 = 1,2$ ,  $p = p_0 = 2$  die oberen Grenzwerte von  $R$ ,  $H$ ,

$$R = \frac{3,2}{1,2} \mathfrak{R} = 128, \quad H = \frac{3,2}{1,2} \mathfrak{H} = 128,$$

und beide Grenzwerte von  $B$

$$B = 2 \cdot 10 = 20,$$

$$B = - \frac{5}{20} \frac{2}{1,2} \mathfrak{B} = - 20 \text{ tn.}$$

Die unteren Grenzwerte von  $R$ ,  $H$  treten für Eigengewicht allein ein. Damit sind sämtliche Grenzwerte bestimmt.

**Bemerkungen.** Anstatt die Berechnung wie hier durchzuführen, kann man auch wie in Beispiel 99 für beliebige Gurtungsformen vorgehen, besonders dann, wenn nicht  $k = f$ , die Parabelaxe durchs Auflager, die Oeffnung mit Zwischengelenk doppelt so gross als diejenigen ohne Zwischengelenk, die Auflager der Ersteren in gleicher Höhe und  $g$ ,  $p$  in allen Oeffnungen gleich gross angenommen werden. Allerdings ist diese Anordnung am zweckmässigsten und man wird sie gewöhnlich treffen.

Hätte der Träger neben der Oeffnung mit Zwischengelenk nur eine Oeffnung ohne Zwischengelenk gehabt, so würde die Berechnung ganz wie oben durchzuführen gewesen und die Reaction  $V$ ,  $H$  der einen Endstütze wie in Beispiel 91 bestimmt geblieben sein. Bezüglich dieser Reaction bei Anschluss eines Spanngliedes (Fig. 161) siehe Beispiel 96.

Wäre der Träger als Sprengbogen nach Art von Fig. 166 angeordnet worden (in welchem Falle wir den Horizontalschub nach innen und die Ordinaten nach oben positiv rechnen), so würde für die Stabkräfte der Oeffnung mit Zwischengelenk die Berechnung in Beispiel 91 ohne jede Aenderung gelten, für die Stabkräfte der Oeffnungen ohne Zwischengelenk aber die obige Berechnung mit dem alleinigen Unterschiede, dass in den verwendeten Gleichungen der §§ 19, 32, 79 und Aufgabe 42 der nun oben liegenden X-Gurtung wegen die oberen statt unteren Vorzeichen zu verwenden wären, womit alle Stabkräfte die oben gefundenen Zahlenwerte mit entgegengesetzten Vorzeichen erhielten. Die Stützenreactionen würden wie oben bestimmt bleiben.

**Beispiel 98. Continuirliches Bogenfachwerk einfachen Systems mit Verticalen und beliebigen Gurtungsformen (Feste Hängebrücke). Berechnung für gleichmässig vertheilte bewegte Last.**

Für eine Brücke von  $l = 24$  m Spannweite sollen continuirliche Bogenträger nach der Anordnung Fig. 163 mit kreisförmigem (einem Kreisbogen eingeschriebenem) Obergurte zur Verwendung kommen. Eigengewicht per laufenden Meter Träger  $g = 0,7$  tn, Verkehrslast  $p = 2,8$  tn. Vom Eigengewichte kommen  $g_x = 0,4$  tn auf die Knotenpunkte des Untergurts, in welchen die Fahrbahnlast angreift, und  $g_s = 0,3$  tn auf diejenigen des Obergurts. Die Grenzwerte der Stabkräfte und Stützenreactionen anzugeben.



Wir nehmen die Ordinaten nach unten und den Horizontalschub nach aussen als positiv an. Die Formberechnung ergibt bei gleichem Vorgehen wie in Beispiel 87 die dort berechneten Werthe, womit bei gleichen  $n, f$  auch die  $\varphi, \chi, \psi$  übereinstimmen. Verfahren wir nun weiter ganz wie in Beispiel 87, so erhalten wir zur Berechnung sämtlicher Eigengewichtsbeanspruchungen und Grenzbeanspruchungen der Stäbe die dort verwendeten Gleichungen der §§ 19, 69, 70 und Aufgabe 39, nur, weil die X-Gurtung jetzt unten liegt, mit den unteren statt oberen Vorzeichen. Weil aber auch die in den Formeln auftretenden Grössen wie in Beispiel 87 gewählt wurden, so ergeben sich sämtliche Stabkräfte den Zahlenwerthen nach genau wie dort und mit entgegengesetzten Vorzeichen, das heisst in Tonnen

für	$m =$	1	2	3	4:
	$x_m =$	— 0,52	— 0,71	— 0,35	0
	$X_m =$	— 11,20	— 25,66	— 29,93	0
	$X_m =$	8,08	21,40	27,80	0
	$\beta_m =$	14,82	14,17	13,66	12,99
	$Z_m =$	74,10	73,21	76,71	75,36
	$Z_m =$	14,82	11,81	5,25	2,58
	$\mathfrak{D}_m =$	0,70	0,23	— 0,39	— 0,34
	$D_m =$	14,92	14,57	10,17	28,27
	$D_m =$	— 10,72	— 13,14	— 12,51	— 30,31
	$\mathfrak{B}_m =$	1,10	1,29	1,26	0,60
	$V_m =$	— 5,02	— 0,74	— 0,72	0,60
	$V_m =$	15,22	12,08	11,88	4,80,

sowie  $\mathfrak{B}_0 = 0,14$ ,  $V_0 = - 9,26$  und  $11,89$  tn. Für die Beanspruchungen  $S$  der Spannglieder und die Stützenreactionen erhält man wie in Beispiel 93 die dort berechneten Werthe. — Sollte bei Berechnung der Stützenreactionen das Eigengewicht der Spannglieder berücksichtigt werden, so wäre wie in Beispiel 97 zu verfahren.

**Beispiel 99. Continuirliches Bogenfachwerk einfachen Systems mit Verticalen und beliebigen Gurtungsformen (Feste Hängebrücke oder Sprengbrücke). Berechnung für gleichmässig vertheilte bewegte Last.**

Für eine Brücke mit drei Oeffnungen von 12, 24, 12 m Spannweite sollen continuirliche Bogenträger nach der Anordnung Fig. 164

mit kreisförmigen Obergurten zur Verwendung kommen. Eigengewicht per laufenden Meter Träger in allen drei Oeffnungen  $g = 0,7$  tn, Verkehrslast  $p = 2,8$  tn. Vom Eigengewichte kommen 0,4 tn auf die Knotenpunkte des Untergurts, in welchen die Fahrbahnlast angreift, und 0,3 tn auf diejenigen des Obergurts. Die Grenzbeanspruchungen der Stabkräfte und Stützenreactionen zu berechnen.

Für die mittlere Oeffnung ergeben sich sämmtliche Stabkräfte wie im vorigen Beispiele. Die Stützenreactionen erhalten bei gleichem Vorgehen wie in Beispiel 94 die dort berechneten Werthe. Wir haben uns also nur noch mit den Stabkräften der äussern Oeffnungen zu beschäftigen, wobei wieder die Ordinaten nach unten und der Horizontalschub nach aussen positiv angenommen werden. Da das Gebilde der Stabaxen der Endöffnung demjenigen des ersten Trägerstücks der Mittelöffnung congruent ist, so hat man wie in Beispiel 87 und 98

für	$m =$	1	2	3	4:
	$\beta_m =$	1,86	3,08	3,77	4,00
	$h_m =$	2,64	1,42	0,73	0,50
	$s_m =$	3,53	3,24	3,08	3,01
	$d_m =$	4,00	3,32	3,09	3,04
	$\varepsilon =$	-1,42	-1,16	-1,06	-2,17,
	$\nu =$	-2,16	-2,06	-3,17	

und nach § 16, 11) 13) weiter

$$x_m = \lambda = 3, \quad \xi_m = w_d = w_e = h_0 = 4,5.$$

Alle Längen sind in Metern gegeben.

Eigengewicht allein. Für die vom Eigengewichte allein herführenden Stabkräfte hat man nach § 79, 7)

$$(1) \begin{cases} x_m = m(n-m) \frac{x_m}{h_m} \frac{g\lambda}{2} - \mathfrak{F} \left( \beta_m - \frac{m}{n} k \right) \frac{x_m}{\lambda h_m}, \\ \beta_m = -(m-1)(n-m+1) \frac{s_m}{h_{m-1}} \frac{g\lambda}{2} + \mathfrak{F} \left( \xi_{m-1} - \frac{m-1}{n} k \right) \frac{s_m}{\lambda h_{m-1}}, \\ d_m = - \left( n-2m+1 - m \frac{n-m}{\varepsilon} \right) \frac{d_m}{h_{m-1}} \frac{g\lambda}{2} - \mathfrak{F} \left( w_d - \frac{m-\varepsilon}{n} k \right) \frac{d_m}{\varepsilon \lambda h_{m-1}}, \\ \mathfrak{B}_m = \left( n-2m + \frac{g_x - g_z}{g} - m \frac{n-m}{\nu} \right) \frac{g\lambda}{2} + \mathfrak{F} \left( w_e - \frac{m-\nu}{n} k \right) \frac{1}{\nu \lambda}. \end{cases}$$

Diese Gleichungen nehmen mit  $l = 12$ ,  $k = 4$ ,  $n = 4$ ,  $g = 0,7$ ,

$g_x = 0,4$ ,  $g_z = 0,3$  und dem aus B. 93, 4) folgenden Horizontal-  
schube  $\mathfrak{S} = 12,6$  nachstehende Formen an:

$$\mathfrak{X}_m = 3,15 m \frac{4-m}{h_m} - 12,6 \frac{3m-m}{h_m},$$

$$\mathfrak{B}_m = -1,05(m-1)(5-m) \frac{z_m}{h_{m-1}} + 4,2(5,5-m) \frac{z_m}{h_{m-1}},$$

$$\mathfrak{D}_m = -1,05\left(5-2m-m \frac{4-m}{\varepsilon}\right) \frac{d_m}{h_{m-1}} - 4,2 \frac{4,5-m+\varepsilon}{\varepsilon} \frac{d_m}{h_{m-1}},$$

$$\mathfrak{B}_m = 4,35 - 1,05 m \left(2 + \frac{4-m}{v}\right) + 4,2 \frac{4,5-m+v}{v}.$$

Wir erhalten danach mit Rücksicht auf die oben zusammengestellten  
Zahlenwerthe die Eigengewichtsbeanspruchungen in Tonnen für die  
X-Gurtung:

$$\mathfrak{X}_1 = \frac{3,15 \cdot 3}{2,64} - \frac{12,6 \cdot 0,86}{2,64} = 3,58 - 4,10 = -0,52$$

$$\mathfrak{X}_2 = \frac{3,15 \cdot 4}{1,42} - \frac{12,6 \cdot 1,08}{1,42} = 8,87 - 9,58 = -0,71$$

$$\mathfrak{X}_3 = \frac{3,15 \cdot 3}{0,73} - \frac{12,6 \cdot 0,77}{0,73} = 12,95 - 13,29 = -0,34$$

$$\mathfrak{X}_4 = \frac{3,15 \cdot 0}{0,5} - \frac{12,6 \cdot 0}{0,5} = 0 - 0 = 0,$$

dieselben für die Z-Gurtung:

$$\mathfrak{B}_1 = -1,05 \cdot 0 \frac{3,53}{4,5} + 4,2 \cdot 4,5 \frac{3,53}{4,5} = 0 + 14,83 = 14,83$$

$$\mathfrak{B}_2 = -1,05 \cdot 3 \frac{3,24}{2,64} + 4,2 \cdot 3,5 \frac{3,24}{2,64} = -3,87 + 18,04 = 14,17$$

$$\mathfrak{B}_3 = -1,05 \cdot 4 \frac{3,08}{1,42} + 4,2 \cdot 2,5 \frac{3,08}{1,42} = -9,11 + 22,77 = 13,66$$

$$\mathfrak{B}_4 = -1,05 \cdot 3 \frac{3,01}{0,73} + 4,2 \cdot 1,5 \frac{3,01}{0,73} = -12,99 + 25,98 = 12,99,$$

für die Diagonalen:

$$\mathfrak{D}_1 = -1,05\left(3 + \frac{3}{1,42}\right) \frac{4}{4,5} + 4,2 \frac{2,08 \cdot 4}{1,42 \cdot 4,5} = -4,77 + 5,47 = 0,70$$

$$\mathfrak{D}_2 = -1,05\left(1 + \frac{4}{1,16}\right) \frac{3,32}{2,64} + 4,2 \frac{1,34 \cdot 3,32}{1,16 \cdot 2,64} = -5,87 + 6,10 = 0,23$$

$$\mathfrak{D}_3 = 1,05\left(1 - \frac{3}{1,06}\right) \frac{3,09}{1,42} + 4,2 \frac{0,44 \cdot 3,09}{1,06 \cdot 1,42} = -4,18 + 3,79 = -0,39$$

$$\mathfrak{D}_4 = 1,05\left(3 - \frac{0}{2,17}\right) \frac{3,04}{0,73} - 4,2 \frac{1,67 \cdot 3,04}{2,17 \cdot 0,73} = 13,12 - 13,46 = -0,34,$$

und für die Verticalen:

$$\mathfrak{B}_1 = 4,35 - 1,05 \cdot 1 \left(2 - \frac{3}{2,16}\right) - 4,2 \frac{1,34}{2,16} = 3,71 - 2,61 = 1,10$$

$$\mathfrak{B}_2 = 4,35 - 1,05 \cdot 2 \left(2 - \frac{2}{2,06}\right) - 4,2 \frac{0,44}{2,06} = 2,19 - 0,90 = 1,29$$

$$\mathfrak{B}_3 = 4,35 - 1,05 \cdot 3 \left(2 - \frac{1}{3,17}\right) - 4,2 \frac{1,67}{3,17} = -0,96 + 2,21 = 1,25.$$

Für die Pfeilerverticale und Widerlagerverticale gelten nach A. 42, 7) 10) die Gleichungen

$$(2) \quad \mathfrak{B}_0 = \frac{gl}{2} - \frac{\lambda g_s}{2} - \mathfrak{P} \left( \frac{h_1}{l} + \frac{k}{l} \right), \quad \mathfrak{B}_n = \frac{\lambda g_x}{2},$$

woraus

$$\mathfrak{B}_0 = 0,14 \text{ tn}, \quad \mathfrak{B}_n = 0,6 \text{ tn}.$$

**Grenzwerthe.** Nach § 79 ergeben sich die Grenzwerthe einer Stabkraft, wenn wir dieselben zunächst ohne Rücksicht auf den Horizontalschub  $H$  (nach den Formeln des III. Abschnitts) berechnen, sodann den Beitrag des grösstmöglichen Horizontalschubs  $H$  der grössten gefundenen Grenzbeanspruchung gleichen Sinnes (oder kleinsten entgegengesetzten Sinns) addiren, den Beitrag des Horizontalschubs für Eigengewicht allein aber der andern Grenzbeanspruchung zufügen. Ohne Rücksicht auf den Horizontalschub sind nach § 32 die Grenzbeanspruchungen der X-Gurtung

$$(3) \quad X_m = \frac{q}{g} x_m, \quad X_m = x_m,$$

die Grenzbeanspruchungen der Z-Gurtung

$$(4) \quad Z_m = \frac{q}{g} z_m, \quad Z_m = z_m,$$

die Grenzbeanspruchungen der Diagonale 2, wegen  $0 < m - \varepsilon < n$ , mit § 19, 4),

$$(5) \quad \begin{cases} D_m = \mathfrak{D}_m + \frac{(\varepsilon - m + n)(m - 1)^2}{(n - 1)\varepsilon - n + m} \frac{d_m}{h_{m-1}} \frac{p\lambda}{2}, \\ D_m = \frac{q + g}{g} \mathfrak{D}_m - (D_m), \end{cases}$$

die Grenzbeanspruchungen der Diagonale 1 wegen  $m = 1$  und diejenigen der Diagonalen 3, 4 wegen  $m - \varepsilon > n$

$$(6) \quad D_m = \frac{q}{g} \mathfrak{D}_m, \quad D_m = \mathfrak{D}_m,$$

die Grenzbeanspruchungen der Verticale 1 wegen  $m = 1$  und diejenigen der Verticalen 2, 3 wegen  $m - \nu > n$ , mit § 19, 10),

$$(7) \quad V_m = \frac{q}{g} \mathfrak{B}_m + \frac{p\lambda}{g} g_s, \quad V_m = \mathfrak{B}_m.$$

In diesen Gleichungen bedeuten  $\mathfrak{X}_m, \mathfrak{B}_m, \mathfrak{D}_m, \mathfrak{B}_m$  die für  $\mathfrak{S} = 0$  eintretenden Eigengewichtsbeanspruchungen, welche wir deshalb oben neben den von  $\mathfrak{S}$  allein herrührenden gesondert angeführt haben. In der zweiten Gleichung 5) bezeichnet  $(D_m)$  den ersten Grenzwert, sodass die beiden Grenzbeanspruchungen der Diagonale 2

$$D_2 = -5,87 - \frac{0,84 \cdot 3,32}{5,48 \cdot 2,64} 4,2 = -6,68 \text{ tn},$$

$$D_2 = -6 \cdot 5,87 + 6,68 = -28,54 \text{ tn}.$$

Da nun nach § 79, 2) 3) die Beiträge des grössten Horizontalschubs  $H$  zu den Stabkräften

$$(8) \quad \begin{cases} X'_m = -H \left( \mathfrak{z}_m - \frac{m}{n} k \right) \frac{x_m}{\lambda h_m} = \frac{q}{g} \mathfrak{X}'_m, \\ Z'_m = H \left( \mathfrak{x}_{m-1} - \frac{m-1}{n} k \right) \frac{z_m}{\lambda h_{m-1}} = \frac{q}{g} \mathfrak{Z}'_m, \\ D'_m = -H \left( w_d - \frac{m-\varepsilon}{n} k \right) \frac{d_m}{\varepsilon \lambda h_{m-1}} = \frac{q}{g} \mathfrak{D}'_m, \\ V'_m = H \left( w_s - \frac{m-\nu}{n} k \right) \frac{1}{\nu \lambda} = \frac{q}{g} \mathfrak{B}'_m, \end{cases}$$

und die Beiträge  $\mathfrak{X}'_m, \mathfrak{Z}'_m, \mathfrak{D}'_m, \mathfrak{B}'_m$  für Eigengewicht allein bereits berechnet wurden, so erhalten wir in oben erwähneter Weise mit  $q : g = 5$  in Tonnen die Grenzbeanspruchungen der X-Gurtung:

$$X_1 = 5 \cdot 3,58 - 4,10 = 13,80 \quad X_1 = 3,58 - 5 \cdot 4,10 = -16,92$$

$$X_2 = 5 \cdot 8,87 - 9,58 = 34,77 \quad X_2 = 8,87 - 5 \cdot 9,58 = -39,03$$

$$X_3 = 5 \cdot 12,95 - 13,29 = 51,46 \quad X_3 = 12,95 - 5 \cdot 13,29 = -54,50$$

$$X_4 = 5 \cdot 0 - 0 = 0 \quad X_4 = 0 - 5 \cdot 0 = 0,$$

die Grenzbeanspruchungen der Z-Gurtung:

$$Z_1 = 5 \cdot 0 + 14,82 = 14,82$$

$$Z_2 = -5 \cdot 3,87 + 18,04 = -1,31$$

$$Z_3 = -5 \cdot 9,11 + 22,77 = -22,78$$

$$Z_4 = -5 \cdot 12,99 + 25,98 = -38,97,$$

$$Z_1 = 0 + 5 \cdot 14,82 = 74,10$$

$$Z_2 = -3,87 + 5 \cdot 18,04 = 86,33$$

$$Z_3 = -9,11 + 5 \cdot 22,77 = 104,74$$

$$Z_4 = -12,99 + 5 \cdot 25,98 = 116,91,$$

die Grenzbeanspruchungen der Diagonalen:

$$D_1 = -5 \cdot 4,77 + 5,47 = -18,38$$

$$D_2 = -28,54 + 6,10 = -22,44$$

$$D_3 = -5 \cdot 4,18 + 3,79 = -17,11$$

$$D_4 = 5 \cdot 13,12 - 13,42 = 52,14,$$

$$D_1 = -4,77 + 5 \cdot 5,47 = 22,58$$

$$D_2 = -6,68 + 5 \cdot 6,10 = 23,82$$

$$D_3 = -4,18 + 5 \cdot 3,79 = 14,77$$

$$D_4 = 13,12 - 5 \cdot 13,46 = -54,18,$$

und diejenigen der Verticalen:

$$V_1 = 5 \cdot 3,71 - 2,61 = 15,94$$

$$V_2 = 5 \cdot 2,19 - 0,90 = 10,05$$

$$V_3 = -5 \cdot 0,96 + 2,21 = -2,59,$$

$$V_1 = 3,71 - 5 \cdot 2,61 = -9,34$$

$$V_2 = 2,19 - 5 \cdot 0,90 = -2,31$$

$$V_3 = -0,96 + 5 \cdot 2,21 = 10,09.$$

Ausnahmsweise hat man nach A. 42, 6) die Grenzbeanspruchungen der Pfeilerverticale

$$(9) \quad V_0 = \mathfrak{B}_0 + \frac{p l}{2}, \quad V_0 = \mathfrak{B}_0 - \left( \frac{h_1}{l} - \frac{k}{l} \right) \left( \frac{p l^2}{8 f} \right),$$

wobei der Index  $s$  andeutet, dass sich der betreffende Ausdruck auf die Oeffnung mit Zwischengelenk bezieht, — und diejenigen der Widerlegerverticale nach A. 42, 9)

$$(10) \quad V_n = \mathfrak{B}_n + \frac{p l}{2}, \quad V_n = \mathfrak{B}_n.$$

Diese Gleichungen liefern:

$$V_0 = 16,94, \quad V_0 = -14,34, \quad V_4 = 4,8, \quad V_4 = 0,6 \text{ tn.}$$

Damit sind sämmtliche verlangte Grenzwerte bestimmt. Dieselben wurden in Fig. 165 für eine Trägerhälfte eingetragen.

**Bemerkungen.** Die oben berechneten Stabkräfte für Eigengewicht allein stimmen genau mit den gleichbezeichneten der Mittelloffnung überein. Dies konnten wir von vornherein wissen, da das Gebilde der Stabaxen der Endöffnung demjenigen eines Trägerstücks der Mittelloffnung congruent ist und wegen  $g = g_0$  für Eigengewicht allein auch die äussern Kräfte dieselben sind. Man kann also in solchen Fällen die Rechnung abkürzen, was wir hier unterlassen haben,

um auch das allgemeinere Verfahren zu zeigen und weil Probe-rechnungen immer nützlich sind.

Da  $p, g$  in allen Oeffnungen gleich gross angenommen wurden, so bestehen für die Grenzbeanspruchungen der Stäbe im Ganzen nach § 19, 2) 3) 4) 8) die Gleichungen

$$(11) \begin{cases} X_m = \frac{q+g}{g} x_m - (X_m), & Z_m = \frac{q+g}{g} z_m - (Z_m), \\ D_m = \frac{q+g}{g} d_m - (D_m), & V_m = \frac{q+g}{g} v_m - (V_m) + \frac{p\lambda}{g} g_s, \end{cases}$$

von welchen wir keinen Gebrauch machten und mittelst deren also Proben vorgenommen werden können. — In den Gleichungen 8) beziehen sich  $q, g$  auf die Oeffnung mit Zwischengelenk, worauf zu achten, wenn diese Grössen nicht in allen Oeffnungen gleichwerthig angenommen werden.

Hätte der Träger neben der Oeffnung mit Zwischengelenk nur eine Oeffnung ohne Zwischengelenk gehabt, so würde die Berechnung ganz wie oben durchzuführen gewesen und die Reaction  $V, H$  der einen Endstütze wie in Beispiel 87 bestimmt geblieben sein. Bezüglich dieser Reaction bei Anschluss eines Spanngliedes (Fig. 163) siehe Beispiel 98.

Wäre der Träger als Sprengbogen nach Art von Fig. 166 angeordnet worden (in welchem Falle wir den Horizontalschub nach innen und die Ordinaten nach unten positiv annehmen), so würde für die Stabkräfte der Oeffnung mit Zwischengelenk die Berechnung in Beispiel 87 ohne jede Aenderung gelten, für die Stabkräfte der Oeffnung ohne Zwischengelenk aber die obige Berechnung mit dem einzigen Unterschiede, dass in den verwendeten Gleichungen der §§ 19, 32, 79 und Aufgabe 42 der dann oben liegenden  $X$ -Gurtung entsprechend die oberen statt der unteren Vorzeichen zu verwenden wären, womit alle Stabkräfte die oben gefundenen Zahlenwerthe mit entgegengesetzten Vorzeichen erhielten. Die Stützenreactionen würden wie oben bestimmt bleiben. Im nächsten Beispiele ist die Berechnung für bewegte Radlastzüge gegeben.

**Beispiel 100. Continuirliches Bogenfachwerk einfachen Systems mit Verticalen und beliebigen Gurtungsformen. Berechnung für bewegte Radlastzüge.**

Für eine eingleisige Eisenbahnbrücke sollen continuirliche Bogen-träger nach der Anordnung Fig. 166 mit kreisförmigen Untergurten

zur Verwendung kommen. Eigengewicht per laufenden Meter Träger  $g = 0,7$  tn, wovon 0,4 tn auf die Knotenpunkte des Obergurts, in welchen die Fahrbahnlast angreift, und 0,3 tn auf diejenigen des Untergurts kommen. Die Grenzwerte der Stabkräfte und Stützenreactionen festzustellen, wenn die Brücke durch Radlastzüge, zusammengesetzt aus Locomotiven der Radanordnung Fig. 18, befahren wird.

Die mittlere Öffnung stellt ein Bogenfachwerk mit drei Gelenken dar, dessen vollständige Berechnung in Beispiel 88 gezeigt wurde. Auch die Grenzwerte des Horizontalschubs bleiben wie dort

$$\S = 12,6 \text{ tn}, \quad H = 12,6 + 49,94 = 62,54 \text{ tn}.$$

Die in Beispiel 87 durchgeführte Berechnung der Form und der Eigengewichtsbeanspruchungen für die Mittelöffnung gilt auch für die Endöffnung, da das Gebilde der Stabaxen in letzterer demjenigen eines Trägerstücks der ersteren congruent ist und bei Eigengewicht allein mit gleichem  $g$  auch die äussern Kräfte übereinstimmen (vergl. auch die Bemerkungen zum vorigen Beispiele).

Nach § 79 ergeben sich die Grenzwerte der Stabkräfte in den äussern Öffnungen, wenn man den Beitrag des grössten von der Verkehrslast herrührenden Horizontalschubs  $H_p$  zu dem für  $H_p = 0$  entstehenden grössten Grenzwerte gleichen Sinnes (oder kleinsten entgegengesetzten Sinnes) addirt, den andern aber wie für  $H_p = 0$  annimmt. Die Grenzwerte für  $H_p = 0$  sind nach § 33 für die X-Gurtung  $X_m = \mathfrak{X}_m$  und mit Zug I von 0 bis  $l$ , Rad  $O$  bei Verticale  $m$ ,

$$(1) \quad X_m = \mathfrak{X}_m - \left[ (n - m) \sum_0^m Pa + m \sum_m^n P(l - a) \right] \frac{x_m}{lh_m},$$

für die Z-Gurtung  $Z_m = \mathfrak{Z}_m$  und mit Zug I von 0 bis  $l$ , Rad  $O$  bei Verticale  $m - 1$ ,

$$(2) \quad Z_m = \mathfrak{Z}_m + \left[ (n - m + 1) \sum_0^{m-1} Pa + (m - 1) \sum_{m-1}^n P(l - a) \right] \frac{z_m}{lh_{m-1}}.$$

Wir setzen die Gleichungen für die erste Richtung des Zuges I an und fügen die der zweiten Richtung entsprechenden Resultate in Klammern bei. Es zeigt sich dann, wie in fast allen andern Fällen, dass die Berücksichtigung der ersten Zugrichtung allein genügt hätte. Aus 1) folgt für die X-Gurtung:



$$X_1 = 0,52 - (3 \cdot 30,2 + 1 \cdot 89,4) \frac{1}{4 \cdot 2,64} = -16,53 \text{ tn } (-16,01)$$

$$X_2 = 0,71 - (2 \cdot 80,7 + 2 \cdot 32,4) \frac{1}{4 \cdot 1,42} = -39,08 \text{ „ } (-39,08)$$

$$X_3 = 0,35 - (1 \cdot 144 + 3 \cdot 10,2) \frac{1}{4 \cdot 0,73} = -59,44 \text{ „ } (-61,29)$$

$$X_4 = 0 - (0 \cdot 226 + 4 \cdot 0) \frac{1}{4 \cdot 0,5} = 0 \text{ „ } (0)$$

und aus 2) für die Z-Gurtung:

$$Z_1 = -14,82 + (4 \cdot 0 + 0 \cdot 173) \frac{8,53}{12 \cdot 4,5} = -14,82 \text{ tn } (-14,82)$$

$$Z_2 = -14,17 + (3 \cdot 30,2 + 1 \cdot 89,4) \frac{3,24}{12 \cdot 2,64} = 4,34 \text{ „ } (3,69)$$

$$Z_3 = -13,66 + (2 \cdot 80,7 + 2 \cdot 32,4) \frac{3,08}{12 \cdot 1,42} = 27,19 \text{ „ } (27,19)$$

$$Z_4 = -12,99 + (1 \cdot 144 + 3 \cdot 10,2) \frac{8,01}{12 \cdot 0,73} = 47,00 \text{ „ } (48,86).$$

Nach § 33 hat man für  $H_p = 0$  die Beanspruchungen der Diagonalen und Verticalen bei beliebiger Belastung

$$(3) \left\{ \begin{aligned} D_m &= \mathfrak{D}_m - \left[ (n-m+\varepsilon) \sum_0^{m-1} Pa + (n\varepsilon - \varepsilon - n + m) \sum_{m-1}^m P(z-a) \right. \\ &\quad \left. + (m-\varepsilon) \sum_m^n P(l-a) \right] \frac{d_m}{\varepsilon l h_{m-1}} \\ \text{mit } z &= \frac{m-1}{(n-1)\varepsilon - n + m} \varepsilon l, \end{aligned} \right.$$

$$(4) \left\{ \begin{aligned} V_m &= \mathfrak{B}_m + \left[ (n-m+\nu) \sum_0^{m-1} Pa + (n\nu - \nu - n + m) \sum_{m-1}^m P(z-a) \right. \\ &\quad \left. + (m-\nu) \sum_m^n P(l-a) \right] \frac{1}{\nu l} \\ \text{mit } z &= \frac{m-1}{(n-1)\nu - n + m} \nu l. \end{aligned} \right.$$

Da hiernach im Falle  $m = 1 \quad 2 \quad 3 \quad 4$ :  
für die Diagonalen  $z = 0 \quad 2,54 \quad 6,09 \quad 12 \text{ m,}$   
für die Verticalen  $z = 0 \quad 3,02 \quad 7,23 \text{ m,}$

so ergeben sich nach §§ 33, 25 die Grenzbeanspruchungen der Diagonalen 1, 2, 4 für Eigengewicht allein und mit Zug I von 0 bis  $l$ , Rad O bei Vertical 1 bzw. 2 und 3, die Grenzwerte von  $D_3$  mit Zug I von  $z$  bis  $l$ , Rad O bei Vertical 3 und mit Zug II von 0 bis Vertical 2, Vorderrad O bei der letzteren, die Grenzwerte von  $V_1$

für Eigengewicht allein und mit Zug I von 0 bis  $l$ , Rad  $O$  bei Verticale 1, die Grenzwerte von  $V_2$  mit Zug I von  $z$  bis  $l$ , Rad  $O$  bei Verticale 2 und mit Zug II von 0 bis Verticale 1, Vorderrad  $O$  bei der letzteren, die Grenzwerte von  $V_3$  mit Zug II von Verticale 3 bis  $l$ , Vorderrad  $O$  bei jener Verticale und mit Zug II von 0 bis Verticale 2, Vorderrad  $O$  bei der letzteren. Wir erhalten so aus 3) 4) die noch fehlenden Grenzwerte für die Diagonalen:

$$D_1 = -0,70 + [7,26.30,2 + 2,42.89,4] \frac{4}{1,42 \cdot 12 \cdot 4,5} = 22,72 \text{ tn } (22,04)$$

$$D_2 = -0,23 + [0,84.5.0,5 + 5,48(4.0,96 + 6.2,16 + 6.3,46) + 3,16.32,4] \frac{3,32}{1,16 \cdot 12 \cdot 2,64} = 26,20 \text{ tn } (27,83)$$

$$D_3 = 0,39 + [4,18(6.2,91 + 6.1,61 + 4.0,41) + 4,06.10,2] \frac{3,09}{1,06 \cdot 12 \cdot 1,42} = 28,04 \text{ tn } (28,18)$$

$$D_3 = 0,39 - 0,06.93,4 \frac{3,09}{1,06 \cdot 12 \cdot 1,42} = -0,57 \text{ tn}$$

$$D_4 = 0,34 - [144 + 3.10,2] \frac{3,04}{12 \cdot 0,73} = -61,25 \text{ tn } (-63,12),$$

und für die Verticalen:

$$V_1 = -1,10 - [9,48.30,2 + 3,16.89,4] \frac{1}{2,16 \cdot 12} = -23,04 \text{ tn } (-22,39)$$

$$V_2 = -1,29 - [8,18(6.2,98 + 6.1,68 + 4.0,48) + 4,06.32,4] \frac{1}{2,06 \cdot 12} = -16,50 \text{ tn } (-17,88)$$

$$V_2 = -1,29 + 0,06.30,6 \frac{1}{2,06 \cdot 12} = -1,22 \text{ tn}$$

$$V_3 = -1,26 - 6,17.30,6 \frac{1}{3,17 \cdot 12} = -6,22 \text{ tn}$$

$$V_3 = -1,26 + 2,17.93,4 \frac{1}{3,17 \cdot 12} = 4,07 \text{ tn}.$$

Die Beiträge des grössten von der Verkehrslast herrührenden Horizontalschubs zu den Stabkräften sind nach § 79, 2) 3)

$$(5) \quad \begin{cases} X'_m = H_p \left( \delta_m - \frac{m}{n} k \right) \frac{x_m}{\lambda h_m} = \alpha X'_m, \\ Z'_m = -H_p \left( \xi_{m-1} - \frac{m-1}{n} k \right) \frac{z_m}{\lambda h_{m-1}} = \alpha Z'_m, \\ D'_m = H_p \left( w_d - \frac{m-\varepsilon}{n} k \right) \frac{d_m}{\varepsilon \lambda h_{m-1}} = \alpha D'_m, \\ V'_m = -H_p \left( w_v - \frac{m-\nu}{n} k \right) \frac{1}{\nu \lambda} = \alpha V'_m, \end{cases}$$

worin  $\alpha = H_p : \xi$  und  $X'_m, \beta'_m, D'_m, V'_m$  die Beiträge des vom Eigengewichte herrührenden Horizontalschubs bedeuten. Sind diese wie in Beispiel 99 für sich berechnet, so wird man natürlich die zweiten Ausdrücke 5) verwenden. Im vorliegenden Falle ist  $\alpha = 49,94 : 12,6 = 3,963$ . Nach den ersten oder zweiten Ausdrücken 5) erhält man

für	$m =$	1	2	3	4:
	$X'_m =$	16,25	37,97	52,67	0
	$Z'_m =$	- 58,75	- 71,49	- 90,24	- 102,96
	$D'_m =$	- 21,68	- 24,17	- 15,02	53,34
	$V'_m =$	10,34	3,57	- 8,76.	

Werden diese Beiträge zu den grössten oben erhaltenen Grenzwerten gleichen Sinnes (oder kleinsten entgegengesetzten Sinnes) addirt, die andern aber ungeändert gelassen, so ergeben sich die resultirenden Grenzbeanspruchungen in Tonnen für die X-Gurtung:

$$\begin{aligned} X_1 &= 0,52 + 16,25 = 16,77 & X_1 &= - 16,53 \\ X_2 &= 0,71 + 37,97 = 38,68 & X_2 &= - 39,08 \\ X_3 &= 0,35 + 52,67 = 53,02 & X_3 &= - 61,29 \\ X_4 &= 0 - 0 = 0 & X_4 &= 0, \end{aligned}$$

für die Z-Gurtung:

$$\begin{aligned} Z_1 &= - 14,82 - 58,75 = - 73,57 & Z_1 &= - 14,82 \\ Z_2 &= - 14,17 - 71,49 = - 85,66 & Z_2 &= 4,34 \\ Z_3 &= - 13,66 - 90,24 = - 103,90 & Z_3 &= 27,19 \\ Z_4 &= - 12,99 - 102,96 = - 115,95 & Z_4 &= 48,86, \end{aligned}$$

für die Diagonalen:

$$\begin{aligned} D_1 &= - 0,70 - 21,68 = - 22,38 & D_1 &= 22,72 \\ D_2 &= - 0,23 - 24,17 = - 24,40 & D_2 &= 27,83 \\ D_3 &= - 0,57 - 15,02 = - 15,59 & D_3 &= 28,18 \\ D_4 &= 0,34 + 53,34 = 53,68 & D_4 &= - 63,12, \end{aligned}$$

und für die Verticalen:

$$\begin{aligned} V_1 &= - 1,10 + 10,34 = 9,24 & V_1 &= - 23,04 \\ V_2 &= - 1,22 + 3,57 = 2,35 & V_2 &= - 17,88 \\ V_3 &= - 6,22 - 8,76 = - 14,98 & V_3 &= 4,07. \end{aligned}$$

Die Grenzwerte von  $V_0$  sind nach A. 42, 4) 5) bei Belastung durch Zug II von 0 bis  $l$ , Vorderrad  $O$  bei 0,

$$(6) \quad V_0 = \mathfrak{B}_0 - \frac{1}{l} \sum_0^l P(l-a)$$

und mit dem grössten  $H_p$

$$(7) \quad V_0 = \mathfrak{B}_0 + \left( \frac{h_1}{l} - \frac{k}{l} \right) H_p.$$

Für die Grenzwerte von  $V_n$  hat man nach A. 42

$$(8) \quad V_n = -K_x, \quad V_n = \mathfrak{B}_n,$$

unter  $K_x$  die grösste darüber liegende Knotenpunktlast verstanden. Wir erhalten

$$V_0 = -0,14 - \frac{257}{12} = -21,56$$

$$V_0 = -0,14 + \left( \frac{1,86}{3} - \frac{4}{12} \right) 49,94 = 14,19$$

$$V_4 = -0,6 - 6 - 6 \frac{1,7}{3} - 6 \frac{0,5}{3} = -10,8$$

$$V_4 = -0,6 \text{ tn.}$$

Die Stützenreactionen erhalten bei gleichem Vorgehen wie in Beispiel 95 die dort berechneten Werthe. Sämmtliche Grenzwerte einer Trägerhälfte sind in Fig. 167 eingetragen.

**Bemerkungen.** Wir haben oben die Belastungen der Bemerkung am Schlusse des § 25 entsprechend mit Rücksicht auf die Lagen der Grenzpunkte  $z$  der Beitragsstrecken gewählt. Doch würde es auch genügt haben, sich einfach an die Vorschriften des § 33 zu halten.

Hätte der Träger neben der Oeffnung mit Zwischengelenk nur eine Oeffnung ohne Zwischengelenk gehabt, so würde die Berechnung ganz wie hier durchzuführen gewesen und die Reaction  $V, H$  der einen Endstütze wie in Beispiel 88 geblieben sein. Wäre der Träger als Hängebogen nach Art von Fig. 164 angeordnet gewesen, so würden sich bei gleichem Vorgehen wie oben wegen geänderter Lage der X-Gurtung für gleiche  $g_x, g$ , alle Stabkräfte den Zahlenwerthen nach wie oben mit entgegengesetzten Vorzeichen ergeben haben. Die Stützenreactionen würden wie oben geblieben sein, dabei jedoch der Horizontalschub nach Aussen als positiv gelten.

Hätten wir den betrachteten Träger mit demjenigen constanten  $p$  berechnet, welches für einen direct befahrenen vollwandigen Träger der Spannweite 24 m auf zwei Stützen dem max  $M_x$  bei der Trägermitte entspricht ( $p = 2,77$  oder abgerundet 2,8 nach Beispiel 8), so würden sich die Stützenreactionen wie im vorigen Beispiele und sämmtliche Stabkräfte mit entgegengesetzten Vorzeichen den Zahlen-

werthen nach wie dort ergeben haben. Diese Werthe zeigen den obigen gegenüber bedeutende Abweichungen.

**Beispiel 101. Continuirliches Bogenfachwerk einfachen Systems mit Verticalen (und Gegendiagonalen). Berechnung für gleichmässig vertheilte bewegte Last.**

Für eine Brücke sollen continuirliche Bogenträger nach der Anordnung Fig. 168 mit Oeffnungen von 21, 24, 21 m zur Verwendung kommen. Trägerhöhe der Mittelöffnung bei den Stützen 4,5 m, in der Mitte 0,5 m, die Untergurtaxe dieser Oeffnung ist einem Kreisbogen eingeschrieben. Eigengewicht per laufenden Meter Träger für die Mittelöffnung 0,7 tn, für die äussern Oeffnungen 0,6 tn, Verkehrslast per laufenden Meter der ergriffenen Strecke 2,8 tn. Vom Eigengewichte kommen 0,4 tn per laufenden Meter auf die Knotenpunkte des Obergurts, in welchen die Fahrbahnlast angreift, der Rest auf diejenigen des Untergurts. Die Grenzwerte der Stabkräfte und Stützenreactionen zu berechnen.

Die vollständige Berechnung für die Mittelöffnung ist in Beispiel 87 gezeigt, woselbst sich auch die Grenzwerte des Horizontalpushs ergaben

$$\mathfrak{H} = 12,6 \text{ tn}, \quad H = 12,6 + 50,4 = 63 \text{ tn}.$$

Wir haben uns also nur noch mit den Stabkräften der äussern Oeffnungen und den Verticalreactionen der Stützen zu beschäftigen.

**Eigengewicht allein.** Die vom Eigengewichte allein herrührenden Beanspruchungen sind nach § 79, 17) 19) und § 34, 6)

$$(1) \quad \begin{cases} \mathfrak{X}_m = -m(n-m) \frac{g\lambda^2}{2h}, \\ \mathfrak{Z}_m = (m-1)(n-m+1) \frac{g\lambda^2}{2h} - \mathfrak{H}, \\ \mathfrak{D}_m = (n-2m+1) \frac{g\lambda d}{2h}, \\ \mathfrak{B}_m = -\left(n-2m + \frac{g_x - g_z}{g}\right) \frac{g\lambda}{2}. \end{cases}$$

Diese Gleichungen nehmen mit  $n = 7$ ,  $\lambda = 3$ ,  $h = 4,5$ ,  $d = 5,41$ ,  $g = 0,6$ ,  $g_x = 0,4$ ,  $g_z = 0,2$ ,  $\mathfrak{H} = 12,6$  folgende Formen an:

$$\begin{aligned} \mathfrak{X}_m &= -0,6 m (7 - m), \\ \mathfrak{Z}_m &= (m - 1) (8 - m) - 12,6, \\ \mathfrak{D}_m &= 2,164 (4 - m), \\ \mathfrak{B}_m &= 1,8 m - 6,6, \end{aligned}$$

woraus in Tonnen folgen:

$$\begin{array}{llll} \bar{x}_1 = -3,6 & \beta_1 = -12,6 & \mathfrak{D}_1 = 6,49 & \mathfrak{B}_1 = -4,8 \\ \bar{x}_2 = -6,0 & \beta_2 = -9,0 & \mathfrak{D}_2 = 4,33 & \mathfrak{B}_2 = -3,0 \\ \bar{x}_3 = -7,2 & \beta_3 = -6,6 & \mathfrak{D}_3 = 2,16 & \mathfrak{B}_3 = -1,2 \\ \bar{x}_4 = -7,2 & \beta_4 = -5,4 & \mathfrak{D}_4 = 0 & \end{array}$$

Für die Pfeilerverticale hat man nach A. 42, 7)

$$(2) \quad \mathfrak{B}_0 = \frac{\lambda g_s}{2} - \frac{g l}{2},$$

und hiernach  $\mathfrak{B}_0 = -6,0$  tn. Die vom Eigengewichte allein herührenden Verticalreactionen einer Zwischenstütze und einer Endstütze sind nach § 78, 8) 15) mit  $k = 0$

$$(3) \quad \mathfrak{R} = \frac{g l}{2} + \frac{g_0 l_0}{2}, \quad \mathfrak{B} = \frac{g_0 l_0}{2},$$

wobei Grössen mit dem Index 0 der anliegenden äussern Oeffnung entsprechen. Wir erhalten so

$$\mathfrak{R} = 0,7 \cdot 12 + 0,6 \cdot 10,5 = 14,7 \text{ tn},$$

$$\mathfrak{B} = 0,6 \cdot 10,5 = 6,3 \text{ tn}.$$

**Grenzwerte.** Nach § 79 sind die Grenzbeanspruchungen aller Stäbe mit Ausnahme derjenigen des geraden Verbindungsgurts der Auflager genau wie für Balkenträger mit zwei Gelenkaulagern bestimmt. Wir haben also nach § 35 für die X-Gurtung

$$(4) \quad X_m = \frac{q}{g} \bar{x}_m, \quad X_m = \bar{x}_m,$$

für die Diagonalen

$$(5) \quad \begin{cases} D_m = \mathfrak{D}_m + (n - m)^2 \frac{p \lambda d}{(n - 1) 2 h}, \\ D_m = \mathfrak{D}_m - (m - 1)^2 \frac{p \lambda d}{(n - 1) 2 h}, \end{cases}$$

und für die Verticalen

$$(6) \quad \begin{cases} V_m = \mathfrak{B}_m - (n - m)^2 \frac{p \lambda}{(n - 1) 2}, \\ V_m = \mathfrak{B}_m + (m - 1)^2 \frac{p \lambda}{(n - 1) 2}. \end{cases}$$

Aus diesen Gleichungen folgen mit

$$\frac{q}{g} = 5,667, \quad \frac{p \lambda}{2(n - 1)} = 0,7, \quad \frac{p \lambda}{2h(n - 1)} = 0,842$$

die oberen Grenzbeanspruchungen der X-Gurtung

$$\begin{array}{ll} X_1 = -20,40 & X_3 = -40,80 \\ X_2 = -34,00 & X_4 = -40,80, \end{array}$$

und beide Grenzbeanspruchungen der Füllungsglieder:

$$\begin{array}{llll} D_1 = 36,80 & \text{und } 6,49 & V_1 = -30,0 & \text{und } -4,8 \\ D_2 = 25,38 & & 3,49 & V_2 = -20,5 \quad -2,1 \\ D_3 = 15,58 & -1,21 & V_3 = -12,4 & 1,6. \\ D_4 = 7,58 & -7,58 & & \end{array}$$

Für die Pfeilerverticale hat man nach A. 42, 6)

$$(7) \quad V_0 = \mathfrak{B}_0 - \frac{p^l}{2}, \quad V_0 = \mathfrak{B},$$

also  $V_0 = -35,4$  und  $-6,0$  tn.

Die Grenzbeanspruchungen der Z-Gurtung ergeben sich nach § 79, wenn man den Beitrag des grössten von der Verkehrslast herrührenden Horizontalschubs  $H_p$  zu dem für  $H_p = 0$  eintretenden grössten Grenzwert gleichem Sinnes (oder kleinsten entgegengesetzten Sinnes) addirt, den andern aber wie für  $H_p = 0$  annimmt. Wir erhalten so nach § 35, 2) mit § 79, 19)

$$(8) \quad Z_m = \mathfrak{Z}_m + (m-1)(n-m+1)\frac{p^l}{2h}, \quad Z_m = \mathfrak{Z}_m - H_p,$$

und hiernach in Tonnen:

$$\begin{array}{ll} Z_1 = -12,6 + 0,7 \cdot 2,8 = -12,6 \\ Z_2 = -9,0 + 1,6 \cdot 2,8 = 7,8 \\ Z_3 = -6,6 + 2,5 \cdot 2,8 = 21,4 \\ Z_4 = -5,4 + 3,4 \cdot 2,8 = 28,2, \\ \\ Z_1 = -12,6 - 50,4 = -63,0 \\ Z_2 = -9,0 - 50,4 = -59,4 \\ Z_3 = -6,6 - 50,4 = -57,0 \\ Z_4 = -5,4 - 50,4 = -55,8. \end{array}$$

Die unteren Grenzwerte der Verticalreactionen sind die für Eigengewicht allein berechneten, die oberen hat man nach § 78, 7) 12)

$$(9) \quad R = \mathfrak{R} + \frac{p^l}{2} + \frac{p_0 l_0}{2}, \quad B = \mathfrak{B} + \frac{p_0 l_0}{2},$$

woraus

$$\begin{array}{l} R = 14,7 + 1,4(24 + 21) = 77,7 \text{ tn}, \\ B = 6,3 + 1,4 \cdot 21 = 35,7 \text{ tn}. \end{array}$$

Die Grenzwerte der Horizontalreactionen der Endstützen sind die Grenzwerte von  $H$ .

Sollen die Diagonalen der äusseren Oeffnungen nur auf Zug widerstehen, so sind in den drei mittleren Feldern Gegendiagonalen anzuordnen. Eer Einfluss derselben ist durch den am Schlusse des § 50

hervorgehobenen Satz bestimmt, da  $H$  die Beanspruchungen der Diagonalen ungeändert lässt. Dabei ist zu beachten, dass die Maximalbelastung eines oberen Knotenpunktes

$$K_0 = 0,4 \cdot 3 + 2,8 \cdot 3 = 9,6 \text{ tn.}$$

In der Mittelöffnung können der geringeren Diagonalenlängen wegen Gegendiagonalen eher entbehrt werden. Sämmtliche bei Anordnung von Gegendiagonalen in den äusseren Oeffnungen entstehenden Grenzwerte sind in Fig. 169 für eine Trägerhälfte eingetragen.

**Bemerkungen.** Hätte der Träger neben der Oeffnung mit Zwischengelenk nur eine Oeffnung ohne Zwischengelenk gehabt, so würde die Berechnung ganz wie oben durchzuführen gewesen und die Reaction  $V$ ,  $H$  der einen Endstütze wie in Beispiel 87 geblieben sein.

Wäre die untere Gurtung der äusseren Oeffnungen nicht horizontal angeordnet, so würden auch die Stäbe der oberen Gurtung und Füllungsglieder durch  $H$  beansprucht sein. Für Eigengewicht allein hätte man nach § 79, 7) mit  $k = 0$ ,  $x_m = \lambda$ ,  $x_m = w_a = w_v = h_0$ :

$$(10) \quad \begin{cases} \bar{x}_m = - \left[ m(n-m) - \frac{2\delta_m}{g\lambda^2} \oint \right] \frac{g\lambda^2}{2h_m}, \\ \bar{y}_m = \left[ (m-1)(n-m+1) - \frac{2h_0}{g\lambda^2} \oint \right] \frac{x_m}{h_{m-1}} \frac{g\lambda}{2}, \\ \bar{D}_m = \left[ n-2m+1 - m \frac{n-m}{\varepsilon} + \frac{2h_0}{\varepsilon g\lambda^2} \oint \right] \frac{d_m}{h_{m-1}} \frac{g\lambda}{2}, \\ \bar{B}_m = - \left[ n-2m + \frac{g_x - g_z}{g} - m \frac{n-m}{\nu} + \frac{2h_0}{\nu g\lambda^2} \oint \right] \frac{g\lambda}{2}, \end{cases}$$

während die Beiträge des grössten von der Verkehrslast herrührenden Horizontalschubs  $H_p$  zu den Stabkräften nach § 79, 2) wären

$$(11) \quad \begin{cases} X'_m = H_p \frac{\delta_m}{h_m}, & Z'_m = - H_p \frac{h_0 x_m}{\lambda h_{m-1}}, \\ D'_m = H_p \frac{h_0 d_m}{\varepsilon \lambda h_{m-1}}, & V'_m = - H_p \frac{h_0}{\nu \lambda}. \end{cases}$$

Mit diesen und den aus § 32 für  $H_p = 0$  entnommenen Formeln hätte man sämmtliche Stabkräfte analog wie oben  $Z_m$  zu berechnen, wenn man nicht etwa vorzöge, die Grenzwerte der Stabkräfte für  $H_p = 0$  wie in Beispiel 100 zunächst numerisch zu ermitteln und dann die Beiträge von  $H$  zuzufügen. Die Stützenreactionen bleiben wie oben bestimmt.

Wären auch die äusseren Oeffnungen von 24 m Spannweite gewesen, so hätte man auf den Gedanken kommen können, sie geometrisch gleich der Mittelöffnung anzuordnen, abgesehen natürlich



vom Scheitelgelenke. Dies würde aber nicht zweckmässig sein, weil damit bei geringem Horizontalschube (wenn in der Mittelöffnung nur Eigengewicht wirkt) um die Mitten der äussern Oeffnungen der geringen Trägerhöhe wegen unverhältnissmässig starke Beanspruchungen entstehen könnten. Beispielsweise hätten wir mit  $g = g_0 = 0,7$  bei gleichen Eigengewichtsbeanspruchungen wie in der Mittelöffnung (wegen gleicher äusserer Kräfte bei gleicher geometrischer Anordnung) die negativen Grenzbeanspruchungen der X-Gurtung und die positiven der Z-Gurtung in Tonnen:

$$\begin{array}{ll} X_1 = - 32,89 & Z_1 = - 12,82 \\ X_2 = - 105,77 & Z_2 = 23,26 \\ X_3 = - 258,90 & Z_3 = 95,14 \\ X_4 = - 403,20 & Z_4 = 246,77. \end{array}$$

Anstatt, wie bei den bis jetzt betrachteten continuirlichen Bogenträgern, die Grenzen der Trägerstücke über die Pfeiler zu legen, was sich im Allgemeinen empfehlen wird, könnte man sie unter besonderen Verhältnissen unbeschadet der statisch bestimmten Stabilität auch wie in Fig. 170 in der Mittelöffnung oder in beiden äussern Oeffnungen anordnen. Die Mittelöffnung der Fig. 170 unterscheidet sich von dem in Fig. 171 angedeuteten Bogen mit 5 Gelenken der Brücke über den Magdalenenstrom bei Honda in Columbien nur dadurch, dass die in Fig. 171 mit 1 und 4 bezeichneten Horizontalreactionen vom Träger selbst geliefert werden. Von dem continuirlichen Gelenkträger Fig. 131, 137 weicht die Trägerart Fig. 170 insofern ab, als an Stelle der Gleitung bei einem Auflager, durch welche eine statische Bedingungsgleichung geliefert wird (Reactionscomponente längs der Bahn gleich Null), ein weiteres Gelenke in der Trägermitte tritt (Moment in Hinsicht des Gelenks gleich Null). Bei der Brücke über den Magdalenenstrom (Spannweite 109,728 m, Bogenpfeil 15,85 m, Entfernung der „Hüftgelenke“ von den Kämpfergelenken 3 Feldlängen bei 16 gleichen Feldern im Ganzen, vergl. die Aufsätze von *Bosse* und *Backhaus*, Zeitschrift d. Ver. deutscher Ingenieure 1886) war es die Nothwendigkeit der Vermeidung von Strompfeilern und der Aufstellung ohne Gerüste, welche zu der gewählten Anordnung führte. Selbstverständlich lassen sich die Träger Fig. 170, 171 bei einfachem Systeme mit Verticalen für beliebige Belastung nach den Gleichungen der §§ 16—20 berechnen, welche mit Hülfe der Verfahren § 12, d, e, f auch die Grenzwerthe liefern

können. Für den mittleren Theil kommen bequemer die Formeln für Träger mit drei Gelenken zur Verwendung.

**Beispiel 102. Continuirliches Bogenfachwerk einfachen Systems mit Verticalen (und Gegendiagonalen). Berechnung für bewegte Radlastzüge.**

Die Träger des vorigen Beispiels sollen nun einer eingeleisigen Eisenbahnbrücke angehören und für bewegte Radlastzüge, zusammengesetzt aus Locomotiven der Radanordnung Fig. 18, berechnet werden.

Die Verhältnisse der Mittelöffnung sind in Beispiel 88 vollständig festgestellt, woselbst sich auch als Grenzwerte des Horizontalschubs ergaben

$$\mathfrak{H} = 12,6 \quad H = 12,6 + 49,94 = 62,54 \text{ tn.}$$

Die Stabkräfte der äussern Oeffnungen und die Verticalreactionen der Stützen für Eigengewicht allein wurden im vorigen Beispiele berechnet, sodass nur noch die entsprechenden Grenzwerte zu ermitteln übrig bleiben.

Nach § 79 sind die Grenzbeanspruchungen aller Stäbe der äussern Oeffnungen mit Ausnahme derjenigen des geraden Verbindungsgurts der Auflager wie für Balkenträger mit zwei Gelenkauflägern bestimmt. Für jenen Verbindungsgurt ergeben sich die Grenzbeanspruchungen, wenn man den Beitrag des grössten von der Verkehrslast herrührenden Horizontalschubs  $H_p$  dem für  $H_p = 0$  entstehenden grössten Grenzwerte gleichen Sinnes (oder kleinsten entgegengesetzten Sinnes) addirt, den andern aber wie für  $H_p = 0$  annimmt. Man erhält so nach § 36 mit § 79, 19) die Grenzbeanspruchungen der X-Gurtung  $X_m = \mathfrak{X}_m$  und mit Zug I (Fig. 23, 24) von 0 bis  $n$ , Rad 0 bei Verticale  $m$ ,

$$(1) \quad X_m = \mathfrak{X}_m - \left[ (n - m) \sum_0^m Pa + m \sum_m^n P(l - a) \right] \frac{1}{nh},$$

die Grenzbeanspruchungen der Z-Gurtung mit dem grössten  $H_p$

$$(2) \quad Z_m = \mathfrak{Z}_m - H_p,$$

und mit Zug I von 0 bis  $n$ , Rad 0 bei Verticale  $m - 1$ ,

$$(3) \quad Z_m = \mathfrak{Z}_m + \left[ (n - m + 1) \sum_0^{m-1} Pa + (m - 1) \sum_{m-1}^n P(l - a) \right] \frac{1}{nh},$$

die Grenzbeanspruchungen der Diagonalen mit Zug II (Fig. 22) von  $m$  bis  $n$ , Vorderrad 0 bei Verticale  $m$ ,

$$(4) \quad D_m = \mathfrak{D}_m + \frac{d}{lh} \sum_m^n P(l - a),$$

und mit Zug II von 0 bis  $m - 1$ , Vorderrad  $O$  bei Verticale  $m - 1$ ,

$$(5) \quad D_m = \mathfrak{D}_m - \frac{d}{lh} \sum_0^{m-1} Pa,$$

die Grenzbeanspruchungen der Verticalen mit Zug II von  $m$  bis  $n$ , Vorderrad  $O$  bei Verticale  $m$ ,

$$(6) \quad V_m = \mathfrak{V}_m - \frac{1}{l} \sum_m^n P(l - a),$$

und mit Zug II von 0 bis  $m - 1$ , Vorderrad  $O$  bei Verticale  $m - 1$ ,

$$(7) \quad V_m = \mathfrak{V}_m + \frac{1}{l} \sum_0^{m-1} Pa.$$

Vorstehende Gleichungen liefern mit den aus der Tabelle in Beispiel 6 entnommenen oder wie in Beispiel 42 berechneten  $\Sigma$  in Tonnen für die X-Gurtung (die Ansätze entsprechen der ersten Richtung des Zuges I, die Resultate für die zweite Richtung sind in Klammern beigelegt):

$$X_1 = -3,6 - \frac{6 \cdot 30,2 + 1 \cdot 383}{31,5} = -21,51 \text{ (} -21,10 \text{)}$$

$$X_2 = -6,0 - \frac{5 \cdot 80,7 + 2 \cdot 271}{31,5} = -36,02 \text{ (} -33,23 \text{)}$$

$$X_3 = -7,2 - \frac{4 \cdot 144 + 3 \cdot 173}{31,5} = -41,96 \text{ (} -40,08 \text{)}$$

$$X_4 = -7,2 - \frac{3 \cdot 226 + 4 \cdot 89,4}{31,5} = -40,08 \text{ (} -41,96 \text{)},$$

für die Z-Gurtung:

$$Z_1 = \mathfrak{Z}_1 = -12,60$$

$$Z_2 = -9,0 + \frac{6 \cdot 30,2 + 1 \cdot 383}{31,5} = 8,91$$

$$Z_3 = -6,6 + \frac{5 \cdot 80,7 + 2 \cdot 271}{31,5} = 23,42$$

$$Z_4 = -5,4 + \frac{4 \cdot 144 + 3 \cdot 173}{31,5} = 29,36,$$

$$Z_1 = -12,6 - 49,94 = -62,54$$

$$Z_2 = -9,0 - 49,94 = -58,94$$

$$Z_3 = -6,6 - 49,94 = -56,54$$

$$Z_4 = -5,4 - 49,94 = -55,34,$$

für die Diagonalen:

$$\begin{aligned} D_1 &= 6,49 + \frac{530}{17,47} = 36,83 & D_1 &= \mathfrak{D}_1 & &= 6,49 \\ D_2 &= 4,33 + \frac{382}{17,47} = 26,20 & D_2 &= 4,33 - \frac{30,6}{17,47} & &= 2,58 \\ D_3 &= 2,16 + \frac{257}{17,47} = 16,87 & D_3 &= 2,16 - \frac{93,4}{17,47} & &= -3,19 \\ D_4 &= 0 + \frac{170,7}{17,47} = 9,75 & D_4 &= 0 - \frac{170,7}{17,47} & &= -9,75, \end{aligned}$$

und für die Verticalen:

$$\begin{aligned} V_1 &= -4,8 - \frac{530}{21} = -30,04 & V_1 &= \mathfrak{V}_1 & &= -4,80 \\ V_2 &= -3,0 - \frac{382}{21} = -21,19 & V_2 &= -3,0 + \frac{30,6}{21} & &= -1,54 \\ V_3 &= -1,2 - \frac{257}{21} = -13,44 & V_3 &= -1,2 + \frac{93,4}{21} & &= 3,25. \end{aligned}$$

Die Grenzbeanspruchungen der Pfeilerverticale sind  $V_0 = \mathfrak{V}_0$  und nach A. 42, 4) mit Zug II von 0 bis  $n$ , Vorderrad  $O$  bei 0,

$$(8) \quad V_0 = \mathfrak{V}_0 - \frac{1}{l} \sum_0^n P(l-a),$$

also in unserm Falle

$$V_0 = -6,0 - \frac{692}{21} = -38,95, \quad V_0 = -6,0 \text{ tn.}$$

Für die Diagonale 1 und Verticale 1, deren untere Grenzbeanspruchungen für Eigengewicht allein eintreten, sind ganz wie in Beispiel 45 mit Zug I von 0 bis  $n$ , Rad  $O$  bei Verticale 1, noch etwas ungünstigere obere Grenzbeanspruchungen als für Zug II berechnet zu erwarten. In der That liefern die für beliebige Belastung gültigen Gleichungen

$$(9) \quad \begin{cases} D_1 = \mathfrak{D}_1 + \left[ (n-1) \sum_0^1 Pa + \sum_1^n P(l-a) \right] \frac{d}{lh}, \\ V_1 = \mathfrak{V}_1 - \left[ (n-1) \sum_0^1 Pa + \sum_1^n P(l-a) \right] \frac{1}{l}, \end{cases}$$

mit den schon für  $X_1$  verwendeten  $\sum$

$$D_1 = 6,49 + \frac{6 \cdot 30,2 + 382}{17,47} = 38,79 \text{ tn,}$$

$$V_1 = -4,8 - \frac{6 \cdot 30,2 + 382}{21} = -31,67 \text{ tn,}$$

gegen oben erhaltene 36,83 und  $-30,04$  tn.

Die unteren Grenzwerte der Verticalreactionen der Stützen treten für Eigengewicht allein ein, die oberen ergeben sich wegen  $k = 0$  für eine Zwischenstütze nach § 78, 5) bei Belastung der beiden anliegenden Oeffnungen durch Zug I, Rad  $O$  bei der Stütze,

$$(10) \quad R = \Re + \frac{1}{l} \sum_0^l Pa + \frac{1}{l_0} \sum_0^{l_0} P(l_0 - a),$$

für die Endstütze nach § 78, 13) bei Belastung der anliegenden Oeffnung  $l_0$  durch Zug II, Vorderrad  $O$  bei  $l$ ,

$$(11) \quad B = \mathfrak{B} + \frac{1}{l_0} \sum_0^{l_0} Pa.$$

Diese Gleichungen ergeben

$$R = 14,7 + \frac{808}{24} + \frac{535}{21} = 73,85 \text{ tn (74,03),}$$

$$B = 6,3 + \frac{692}{21} = 39,25 \text{ tn.}$$

Sollen die Diagonalen der äussern Oeffnungen nur auf Zug widerstehen, so sind in den drei mittleren Feldern Gegendiagonalen anzuordnen. Der Einfluss derselben ist wie für  $H = 0$  durch den am Schlusse des § 50 hervorgehobenen Satz bestimmt, wobei zu beachten, dass die stärkste Knotenpunktslast im Obergurte beträgt

$$K = 0,4 \cdot 3 + 6 + 2 \cdot 6 \frac{1,7}{3} + 4 \frac{0,5}{3} = 14,67 \text{ tn.}$$

Sämmtliche bei Anwendung von Gegendiagonalen gültigen Grenzwerte einer Trägerhälfte sind in Fig. 172 eingetragen. Das am Schlusse des vorigen Beispiels bezüglich des Trägers mit zwei Oeffnungen und mit nicht horizontalem Untergurte Gesagte lässt sich hier wiederholen, wobei nur B. 88 und § 33 anstatt B. 87 und § 32 zu citiren sind.

**Beispiel 108. Continuirliches Bogenfachwerk einfachen Systems mit Verticalen und beliebigen Gurtungsformen (Dachbinder).**

Die Grenzwerte der Stabkräfte und Stützenreactionen des in Fig. 173 angedeuteten Dachbinders unter folgenden Voraussetzungen zu berechnen. Feste Last per laufenden Meter der Mittelöffnung 0,6 tn, der äussern Oeffnungen 0,5 tn, wovon 0,35 bzw. 0,3 tn auf die Knotenpunkte des Obergurts und 0,25 bzw. 0,2 tn auf diejenigen des Untergurts kommen. Belastung durch Schnee und Winddruck per laufenden Meter der Mittelöffnung 0,46 tn, der äussern Oeffnungen 0,5 tn. Diese bewegte Last soll beliebige Theile der Dachfläche

treffen können. Alle gekrümmten Gurtungen sind Kreisbogen eingeschrieben.

Die vollständige Berechnung der Mittelöffnung ist in Beispiel 85 gezeigt (siehe auch die Bemerkung zur dort gegebenen Tabelle), wir haben uns also nur noch mit den Stabkräften der äusseren Oeffnungen und Stützenreactionen zu beschäftigen, wobei wie für die Mittelöffnung der Horizontalschub nach innen und die Ordinaten nach oben positiv gerechnet werden.

**Formberechnung.** Die Gleichung des Kreisbogens der Spannweite  $l$  und des Pfeiles  $f$ , welcher die Form des Obergurts der äusseren Oeffnungen bestimmt, ist nach § 17, 37)

$$(1) \quad y = -\left(\frac{l^2}{8f} - \frac{f}{2}\right) + \sqrt{\left(\frac{l^2}{8f} - \frac{f}{2}\right)^2 + x(l-x)},$$

oder mit  $l = 24$ ,  $f = 4$ ,

$$y = -16 + \sqrt{256 + x(24-x)},$$

woraus für  $x = 4$  und  $8$  die Ordinaten  $y = 2,33$  und  $3,60$  folgen. Hiernach hat man

für	$m = 1$	2	3:
	$h_m = y = 2,33$	3,60	4
	$d_m = \sqrt{\lambda^2 + h_{m-1}^2} = 4$	4,63	5,38
	$x_m = \sqrt{\lambda^2 + (h_m - h_{m-1})^2} = 4,63$	4,20	4,02
	$\varepsilon = \nu = \frac{h_m}{h_m - h_{m-1}} = 1$	2,83	10,

während die Länge der Untergurtstäbe  $x_m = \lambda = 4$  Meter ist.

**Eigengewicht allein.** Nach § 79, 17) 19) mit § 31, 16) hat man für die vom Eigengewicht allein herrührenden Stabkräfte:

$$(2) \quad \begin{cases} X_m = -m(n-m) \frac{x_m g \lambda}{h_m^2}, \\ Y_m = (m-1)(n-m+1) \frac{g \lambda^2}{2 h_{m-1}} - \mathfrak{F}, \\ D_m = \left(n - 2m + 1 - m \frac{n-m}{\varepsilon}\right) \frac{d_m g \lambda}{h_{m-1}}, \\ B_m = -\left(n - 2m + \frac{g_x - g_z}{g} - m \frac{n-m}{\nu}\right) \frac{g \lambda}{2}. \end{cases}$$

Mit  $n = 6$ ,  $\lambda = 4$ ,  $g = 0,5$ ,  $g_x = 0,3$ ,  $g_z = 0,2$  und dem schon für die Mittelöffnung berechneten Horizontalschube  $\mathfrak{F} = 9,6$  tn nehmen diese Gleichungen folgende Formen an:

$$\mathfrak{X}_m = -m(6-m) \frac{x_m}{h_m},$$

$$\mathfrak{B}_m = (m-1)(7-m) \frac{4}{h_{m-1}} - 9,6,$$

$$\mathfrak{D}_m = \left(7 - 2m - m \frac{6-m}{\varepsilon}\right) \frac{d_m}{h_{m-1}},$$

$$\mathfrak{B}_m = m \left(2 + \frac{6-m}{\nu}\right) - 6,2.$$

Wir erhalten daraus in Tonnen:

$$\begin{array}{llll} \mathfrak{X}_1 = -9,94 & & & \mathfrak{B}_1 = 0,80 \\ \mathfrak{X}_2 = -9,93 & \mathfrak{B}_2 = -1,02 & \mathfrak{D}_2 = 0,34 & \mathfrak{B}_2 = 0,64 \\ \mathfrak{X}_3 = -9,04 & \mathfrak{B}_3 = -0,71 & \mathfrak{D}_3 = 0,15. & \end{array}$$

Für  $\mathfrak{B}_1$ ,  $\mathfrak{D}_1$  entsteht der unbestimmte Ausdruck  $0:0$ . Indessen liefert die Bedingung „Summe aller Horizontalkräfte gleich Null“ in Anwendung auf Knotenpunkt 1 des Untergurts die ganze Beanspruchung des Untergurtstabes 1 für jede Belastung

$$(3) \quad Z_1 = Z_2,$$

während nach A. 28, 5) die Eigengewichtsbeanspruchung der mittleren Verticale ist

$$(4) \quad \mathfrak{B}_\sigma = \left(\frac{g n^2}{4 h_\sigma} \Delta - g_x\right) \lambda,$$

unter  $\Delta$  die Ordinatendifferenz des mittleren und vorhergehenden oberen Knotenpunkts verstanden. Diese Gleichungen ergeben

$$\mathfrak{B}_1 = \mathfrak{B}_2 = -1,02 \text{ tn},$$

$$\mathfrak{B}_3 = \left(\frac{0,5 \cdot 36}{4 \cdot 4} 0,4 - 0,3\right) 4 = 0,6 \text{ tn}.$$

Beziehen sich bei Berechnung der Stützenreactionen Grössen mit dem Index 0 auf die der Stütze anliegende Oeffnung ohne Zwischen-gelenk, so hat man für Eigengewicht allein mit  $k=0$  die Reaction einer Zwischenstütze nach § 78, 7)

$$(5) \quad \mathfrak{H} = \frac{g l}{2} + \frac{g_0 l_0}{2},$$

sowie die Horizontalreaction und Verticalreaction einer Endstütze nach § 67, 17) und § 78, 15)

$$(6) \quad \mathfrak{H} = \frac{g l^2}{8 f}, \quad \mathfrak{B} = \frac{g_0 l_0}{2}.$$

Hieraus folgen mit  $l = 32$ ,  $l_0 = 24$ ,  $g = 0,6$ ,  $g_0 = 0,5$ ,

$$\mathfrak{H} = 15,6, \quad \mathfrak{H} = 9,6, \quad \mathfrak{B} = 6 \text{ tn}.$$

**Grenzwerte.** Nach § 79 sind die Grenzbeanspruchungen aller Stäbe mit Ausnahme derjenigen der Z-Gurtung genau wie für Balkenträger mit zwei Gelenkaufslagern bestimmt. Wir haben also nach §§ 32, 19 die Grenzbeanspruchungen der X-Gurtung

$$(7) \quad X_m = \frac{q}{g} \mathfrak{X}_m, \quad X_m = \mathfrak{X}_m,$$

die Grenzbeanspruchungen der Diagonalen

$$(8) \quad \begin{cases} D_m = \mathfrak{D}_m - \frac{(s-m+n)(m-1)^2}{(n-1)s-n+m} \frac{d_m}{h_{m-1}} \frac{p\lambda}{2}, \\ D_m = \frac{q+g}{g} \mathfrak{D}_m - (D_m), \end{cases}$$

und die Grenzbeanspruchungen der Verticalen

$$(9) \quad \begin{cases} V_m = \mathfrak{B}_m + \frac{(v-m+n)(m-1)^2}{(n-1)v-n+m} \frac{p\lambda}{2}, \\ V_m = \frac{q+g}{g} \mathfrak{B}_m - (V_m) - \frac{p\lambda}{g} g_s. \end{cases}$$

Für die Grenzbeanspruchungen der mittleren Vertical hat man wegen  $\sigma \Delta < h$  nach A. 28, 8) ausnahmsweise

$$(10) \quad V_\sigma = \mathfrak{B}_\sigma + \frac{\sigma-1}{2} \frac{\Delta}{h_\sigma} p\lambda, \quad V_\sigma = \mathfrak{B}_\sigma - \left(1 - \frac{\sigma \Delta}{h_\sigma}\right) p\lambda.$$

Die Grenzwerte von  $Z_m$  ergeben sich nach § 79, wenn man den Beitrag des grössten von der Verkehrslast herrührenden Horizontal-schubs  $H_p$  zu dem für  $H_p = 0$  entstehenden grössten Grenzwerte gleichen Sinnes (oder kleinsten entgegengesetzten Sinnes) addirt, den anderen Grenzwert aber wie für  $H_p = 0$  annimmt. Wir erhalten so nach § 32, 5) mit § 79, 19)

$$(11) \quad Z_m = \mathfrak{Z}_m - H_p, \quad Z_m = \mathfrak{Z}_m + (m-1)(n-m+1) \frac{p\lambda^2}{2h_{m-1}}.$$

In vorstehenden Gleichungen sind  $g = 0,5$ ,  $p = 0,5$ ,  $q = 1$ , während das grösste  $H_p$  aus den Verhältnissen der Mittelöffnung folgt

$$H_p = \frac{p}{g} \mathfrak{H} = \frac{0,46}{0,6} 9,6 = 7,36 \text{ tn.}$$

Wir erhalten damit in Tonnen die oberen Grenzbeanspruchungen der X-Gurtung:

$$X_1 = -19,88 \quad X_2 = -19,86 \quad X_3 = -18,08,$$

die Grenzbeanspruchungen der Z-Gurtung:

$$\begin{aligned} Z_1 = Z_2 &= -1,02 - 7,36 = -8,38 \\ Z_3 &= -0,71 - 7,36 = -8,07, \end{aligned}$$



$$Z_1 = Z_2 = -1,02 + \frac{5 \cdot 4}{2,33} = 7,56$$

$$Z_3 = -0,71 + \frac{8 \cdot 4}{9,6} = 19,29,$$

die Grenzbeanspruchungen der Diagonalen:

$$D_2 = 0,34 - \frac{6,83 \cdot 1 \cdot 4,63}{10,15 \cdot 2,33} = -1,00 \quad D_2 = 3 \cdot 0,34 + 1,0 = 2,02$$

$$D_3 = 0,15 - \frac{13 \cdot 4 \cdot 5,38}{47 \cdot 3,6} = -1,50 \quad D_3 = 3 \cdot 0,15 + 1,5 = 1,95,$$

und diejenigen der Verticalen:

$$V_1 = 0,80 + \frac{6 \cdot 0 \cdot 0}{0} = 0,80$$

$$V_2 = 0,64 + \frac{6,83 \cdot 1}{10,15} = 1,31$$

$$V_3 = 0,60 + \frac{0,4 \cdot 12}{4} = 1,80,$$

$$V_1 = 3 \cdot 0,8 - 0,8 - 0,8 = 0,80$$

$$V_2 = 3 \cdot 0,64 - 1,31 - 0,8 = 0,19$$

$$V_3 = 0,6 - \left(1 - \frac{3 \cdot 0,4}{4}\right) 2 = -0,80.$$

Die oberen Grenzwerte der Reaction  $R$  einer Zwischenstütze und der Horizontalreaction  $H$  und Verticalreaction  $B$  einer Endstütze sind nach § 78, 7) 12) und § 67, 14) mit  $k=0$

$$(12) \quad R = \Re + \frac{p l}{2} + \frac{p_0 l_0}{2},$$

$$(13) \quad H = \mathfrak{H} + \frac{p l^2}{8 f}, \quad B = \mathfrak{B} + \frac{p_0 l_0}{2},$$

woraus mit  $p = 0,46$ ,  $p_0 = 0,5$ ,  $f = 8$ ,

$$R = 28,96 \quad H = 16,96 \quad B = 12 \text{ tn.}$$

Die unteren Grenzwerte dieser Reactionen treten für Eigengewicht allein ein. Damit sind sämtliche verlangte Grenzwerte bestimmt. Dieselben wurden in Fig. 174 für eine Trägerhälfte eingetragen.

**Bemerkungen.** Hätte der Träger neben der Oeffnung mit Zwischengelenk nur eine Oeffnung ohne Zwischengelenk gehabt, so würde die Berechnung genau wie oben vorzunehmen gewesen, die Reaction  $V$ ,  $H$  der einen Endstütze aber wie in Beispiel 85 geblieben sein.

Wie bei parabolischen Segmentträgern mit constantem Horizontalschube oder mit schief verschiebbarem Auflager, so lässt sich auch bei parabolischen Segmentträgern über die Oeffnungen ohne Zwischen-

gelenk continuirlicher Bogen erreichen, dass bei Belastung durch ein gleichmässig vertheiltes Eigengewicht allein (oder eine sonstige gleichmässig vertheilte Last) die eine Gurtung unbeanspruch bleibt und somit die bei jenen Trägern gesuchte Materialersparniss eintritt. Man erhält nämlich nach § 79, 13) 19) mit § 41, 5) die Beanspruchung des geraden Gurts als X-Gurtung

$$X = \mp \frac{gl^2}{8f} \pm \S,$$

die Beanspruchung des geraden Gurts als Z-Gurtung

$$Z = \pm \frac{gl^2}{8f} \mp \S,$$

unter  $f$  den Pfeil des die Gurtungsform bestimmenden Parabelbogens verstanden. Hieraus folgt als Bedingung für die Beanspruchung Null

$$(14) \quad \frac{gl^2}{8f} = \S.$$

Zu beachten ist, dass sich der Ausdruck links auf die betrachtete Oeffnung ohne Zwischengelenk bezieht, während  $\S$  aus den Verhältnissen der Oeffnung mit Zwischengelenk zu berechnen ist.

Angenommen beispielsweise, wir hätten im obigen Falle bei gegebenen Verhältnissen der Mittelöffnung und von  $g, l$  der äussern Oeffnungen in diesen für Eigengewicht allein keine Beanspruchung des Untergurts haben wollen. Dann würde nach 14) der Obergurt einem Parabelbogen vom Pfeile

$$f = \frac{gl^2}{8\S} = \frac{0,5 \cdot 24^2}{8 \cdot 9,6} = 3,75 \text{ m}$$

einzuschreiben gewesen sein. Nach der Formel

$$h_m = m(n - m) \frac{4f}{n^2}$$

wären die Verticalenlängen geworden

$$h_1 = 2,08 \quad h_2 = 3,33 \quad h_3 = 3,75$$

anstatt wie oben 2,33 3,6 4.

Für sämtliche Stabkräfte der äussern Oeffnungen aber hätten nun die einfacheren Formeln der §§ 41, 42 anstatt der obigen Verwendung finden können.

**Aufgabe 42. Pfeilervverticalen und Widerlagervverticalen bei continuirlichen Bogenträgern.**

Für die in Fig. 175—178 angedeuteten Endverticalen der Oeffnungen ohne Zwischengelenk des continuirlichen Bogenfachwerks (bezüglich der Oeffnungen mit Zwischengelenk siehe Aufgabe 39) die

Beanspruchungen bei beliebiger Belastung und die Grenzbeanspruchungen für gleichmässig vertheilte bewegte Last und bewegte Radlastzüge festzustellen, wenn die Stützpunkte der Oeffnung mit Zwischengelenk in gleicher Höhe liegen und die Fahrbahnlast im Falle von Fig. 175, 177 auf die Knotenpunkte des Obergurts, im Falle von Fig. 176, 178 auf diejenigen des Untergurts wirkt.

Pfeilerverticale Fig. 175, 176. Die Bedingungen fürs Gleichgewicht am Auflager 0 lauten

$$H \pm Z_1 \frac{1}{z_1} = 0, \quad V \pm V_0 - K_s \pm Z_1 \frac{b_1}{z_1} = 0,$$

sodass allgemein

$$(1) \quad \pm V_0 = K_s + H \frac{b_1}{z_1} - V.$$

Für beliebige Belastung hat man von der Verkehrslast herrührend

$$V = \frac{1}{l} \sum_0^l P(l-a) + \frac{k}{l} H, \quad K_s = 0,$$

$$(2) \quad H = \frac{1}{2f} \left[ \sum_0^d Pa + \sum_d^l P(l-a) \right],$$

worin wie im Weiteren der Index  $s$  andeutet, dass sich der Klammerausdruck auf die Oeffnung mit Zwischengelenk bezieht. Mit vorstehenden Ausdrücken liefert 1) die ganze Beanspruchung der Pfeilerverticale bei jeder Belastung

$$(3) \quad V_0 = \mathfrak{B}_0 \mp \frac{1}{l} \sum_0^l P(l-a) \pm \left( \frac{b_1}{z_1} - \frac{k}{l} \right) H,$$

unter  $\mathfrak{B}_0$  die Beanspruchung durch Eigengewicht allein verstanden.

Der Knotenpunkt  $v$  liegt in allen praktischen Fällen (sofern überhaupt Endverticalen vorhanden sind) für Fig. 175 oberhalb, für Fig. 176 unterhalb der Verbindungsgeraden der Endgelenke oder doch auf derselben. Alsdann ist in 3) der  $H$  enthaltende letzte Summand positiv und wir erhalten die Grenzwerte für bewegte Radlastzüge wie folgt:

Belastung durch Zug II von 0 bis  $l$ , Vorderrad 0 bei 0,

$$(4) \quad V_0 = \mathfrak{B}_0 \mp \frac{1}{l} \sum_0^l P(l-a),$$

Belastung der Oeffnung mit Zwischengelenken durch Zug I, Rad O bei  $d$ ,

$$(5) \quad V_0 = \mathfrak{B}_0 \pm \left( \frac{b_1}{\lambda} - \frac{k}{l} \right) H.$$

Die Grenzbeanspruchungen für gleichmässig vertheilte bewegte Last werden hiernach

$$(6) \quad V_0 = \mathfrak{B}_0 \mp \frac{pl}{2}, \quad V_0 = \mathfrak{B}_0 \pm \left( \frac{b_1}{\lambda} - \frac{k}{l} \right) \left( \frac{pl^2}{8f} \right).$$

Soll das Eigengewicht als gleichmässig vertheilt auf je eine Oeffnung gelten, so liefert 1) für die Beanspruchung durch dasselbe

$$(7) \quad \pm \mathfrak{B}_0 = \frac{\lambda g_s}{2} - \frac{gl}{2} + \left( \frac{b_1}{\lambda} - \frac{k}{l} \right) \left( \frac{gl^2}{8f} \right).$$

Ist die Z-Gurtung gerade, dann hat man

$$b_1 = \frac{k}{n}, \quad \frac{b_1}{\lambda} - \frac{k}{l} = 0,$$

der Horizontalschub ist ohne Einfluss auf  $V_0$ , obige Gleichungen gehen in die für Balkenfachwerke mit zwei Gelenkaufslagern gültigen über (Aufgabe 19).

Widerlagerverticale Fig. 175, 176. Ganz wie in Aufgabe 39 für die erste Scheitelverticale erhalten wir bei beliebiger Belastung

$$(8) \quad X_n = 0, \quad V_n = \mp K_x = \mathfrak{B}_n \mp \frac{1}{\lambda} \sum_c^l P(a - c).$$

Bei bewegter Belastung ist die untere Grenzbeanspruchung  $V_n = \mathfrak{B}_n$ , die obere ergibt sich für bewegte Radlastzüge aus 8) mit Zug II von  $c$  bis  $l$ , Vorderrad O bei  $l$ , und für gleichmässig vertheilte bewegte Last aus

$$(9) \quad V_n = \mathfrak{B}_n \mp \frac{pl}{2}.$$

Bei gleichmässig vertheiltem Eigengewichte ist

$$(10) \quad \mathfrak{B}_n = \mp \frac{\lambda g_x}{2}.$$

Pfellerverticale Fig. 177, 178. Ganz wie in Aufgabe 39 für die zweite Kämpferverticale haben wir bei beliebiger Belastung

$$(11) \quad Z_1 = 0, \quad V_0 = \pm K_z = \mathfrak{B}_0 \pm \frac{1}{\lambda} \sum_0^v P(v - a).$$

Bei bewegter Belastung ist die untere Grenzbeanspruchung  $V_0 = \mathfrak{B}_0$ , die obere ergibt sich für bewegte Radlastzüge aus 11) mit Zug II

von 0 bis  $v$ , Vorderrad  $O$  bei 0, und für gleichmässig vertheilte bewegte Last aus

$$(12) \quad V_0 = \mathfrak{B}_0 \pm \frac{pl}{2}.$$

Bei gleichmässig vertheiltem Eigengewicht ist

$$(13) \quad \mathfrak{B}_0 = \pm \frac{\lambda g_s}{2}.$$

Widerlagerverticale Fig. 177, 178. Fürs Gleichgewicht am Auflager  $l$  muss sein

$$H \mp X_n \frac{\lambda}{x_n} = 0, \quad V' \mp V_n - K_x \pm \frac{k - \varepsilon_{n-1}}{x_n} X_n = 0,$$

wonach allgemein

$$(14) \quad \mp V_n = K_x - \frac{k - \varepsilon_{n-1}}{\lambda} H - V'.$$

Für beliebige Belastung hat man von der Verkehrslast herrührend

$$V' = \frac{1}{l} \sum_0^l Pa - \frac{k}{l} H, \quad K_x = 0,$$

während  $H$  durch 2) ausgedrückt ist. Mit diesen Werthen folgt aus 14)

$$(15) \quad V_n = \mathfrak{B}_n \pm \frac{1}{l} \sum_0^l Pa \mp \left( \frac{k}{l} - \frac{k - \varepsilon_{n-1}}{\lambda} \right) H.$$

Der Knotenpunkt  $c$  liegt in allen praktischen Fällen (sofern überhaupt Endverticalen vorhanden sind) für Fig. 177 oberhalb, für Fig. 178 unterhalb der Verbindungsgeraden der Endgelenke oder doch auf derselben. Alsdann ist in 15) der mit  $H$  behaftete Summand positiv und es ergeben sich die Grenzwerthe für bewegte Radlastzüge wie folgt:

Belastung durch Zug II von 0 bis  $l$ , Vorderrad  $O$  bei  $l$ ,

$$(16) \quad V_n = \mathfrak{B}_n \pm \frac{1}{l} \sum_0^l Pa,$$

Belastung der Oeffnung mit Zwischengelenken durch Zug I, Rad  $O$  bei  $d$ ,

$$(17) \quad V_n = \mathfrak{B}_n \mp \left( \frac{k}{l} - \frac{k - \varepsilon_{n-1}}{\lambda} \right) H.$$

Die Grenzbeanspruchungen für gleichmässig vertheilte bewegte Last werden hiernach

$$(18) \quad V_n = \mathfrak{B}_n \pm \frac{pl}{2}, \quad V_n = \mathfrak{B}_n \mp \left( \frac{k}{l} - \frac{k - \varepsilon_{n-1}}{\lambda} \right) \left( \frac{pl^2}{8f} \right).$$

Soll das Eigengewicht innerhalb je einer Oeffnung als gleichmässig vertheilt gelten, so ergibt 14) für die Beanspruchung durch dasselbe

$$(19) \quad \mp \mathfrak{B}_0 = \frac{\lambda g_x}{2} - \frac{gl}{2} + \left( \frac{k}{l} - \frac{k - \mathfrak{x}_{n-1}}{\lambda} \right) \left( \frac{gl^2}{8f} \right)_s.$$

Ist die X-Gurtung gerade, dann hat man

$$\mathfrak{x}_{n-1} = k - \frac{k}{n}, \quad \frac{k}{l} - \frac{k - \mathfrak{x}_{n-1}}{\lambda} = 0,$$

der Horizontalschub hat keinen Einfluss auf  $V_n$ , die Formeln 14)–19) gehen in die entsprechenden für Balkenfachwerke mit zwei Gelenkauflagern über (Aufgabe 19).

**Bemerkungen.** Wenn wir auch bei den Ableitungen dieser Aufgabe die Bezeichnungen mit besonderer Rücksicht auf Fachwerke einfachen Systems mit Verticalen wählten, so gelten dieselben doch für die Endverticalen Fig. 175–178 bei sonst ganz beliebigem Systeme. Hätten wir die Auflager der Oeffnung mit Zwischengelenk nicht gleich hoch liegend vorausgesetzt, so würden nur andere Ausdrücke für  $H$  als oben zu verwenden gewesen sein.

#### Aufgabe 48. Gelenkdrücke bei continuirlichen Bogenträgern.

Für continuirliche Bogenträger der in § 78 betrachteten Art und gleich hohen Stützpunkten der Oeffnung mit Zwischengelenk die resultirenden Gelenkdrücke anzugeben.

Für das Zwischengelenk und etwaige Endgelenke, welchen Oeffnungen mit Zwischengelenken anliegen, ist die Berechnung bereits in Aufgabe 41 erledigt. Die resultirenden Gelenkdrücke über den Zwischenstützen sind die Reactionen der Letzteren, welche in § 78 festgestellt wurden. Es bleiben also nur noch die resultirenden Drücke der Endgelenke mit anliegenden Oeffnungen ohne Zwischengelenk anzugeben. Die Kenntniss der resultirenden Endgelenkdrücke oder Widerlagerreactionen ist bei Hängebogen auch für die Berechnung der Verankerung nöthig. Mit den in § 78 für die Stützenreactionen gewählten Bezeichnungen haben wir bei beliebiger Belastung

$$(1) \quad R = \sqrt{B^2 + H^2},$$

worin, wenn  $\mathfrak{B}$ ,  $\mathfrak{H}$  dem Eigengewichte allein entsprechen,

$$(2) \quad \begin{cases} B = \mathfrak{B} + \frac{1}{l_0} \sum_0^{l_0} Pa - \frac{k}{2fl_0} \left[ \sum_0^d Pa + \sum_d^l P(l-a) \right], \\ H = \mathfrak{H} + \frac{1}{2f} \left[ \sum_0^d Pa + \sum_d^l P(l-a) \right]. \end{cases}$$

Hiernach kann  $R'$  für jede bestimmte Belastung berechnet werden. Soll das Eigengewicht für je eine Oeffnung als gleichmässig vertheilt gelten, dann sind

$$(3) \quad \mathfrak{B} = \frac{g_0 l_0}{2} - \frac{k}{l_0} \frac{g l^2}{8f}, \quad \mathfrak{H} = \frac{g l^2}{8f}.$$

Nach 1) wird  $R'$  umso grösser, je grösser die Zahlenwerthe von  $B$  und  $H$  sind, wobei es gleichgültig ist, ob  $B$  einen positiven oder negativen Werth hat. Man erhält nun die Grenzwerte von  $R'$  bei bewegter Belastung im Allgemeinen etwas zu ungünstig, wenn man nach Berechnung der Grenzwerte und Werthe für Eigengewicht allein von  $B, H$  (§ 78) das eine Mal die beiden numerisch grössten, das andere Mal die beiden numerisch kleinsten gefundenen Werthe in 1) einsetzt.

**Beispiel 104. Träger mit schief verschiebbarem Auflager. Berechnung für gleichmässig vertheilte bewegte Last.**

Der in Beispiel 54 behandelte parabolische Segmentträger soll als Träger mit schief verschiebbarem Auflager hergestellt und der Winkel  $\alpha$  der Auflagerbahn gegen die Horizontale so gewählt werden, dass für Eigengewicht allein keine Beanspruchung des Untergurts eintritt. Die Grenzbeanspruchungen der Stabkräfte und Stützenreactionen festzustellen (Fig. 179).

Die Berechnung der Form, der Beanspruchungen aller nicht zum Untergurte gehörigen Stäbe und Verticalreactionen der Stützen bleibt ganz wie in Beispiel 54. Damit der Untergurt bei Belastung durch das Eigengewicht allein keine Beanspruchung erleide, muss nach § 83, 17) sein

$$(1) \quad \operatorname{tg} \alpha = \frac{l}{4f}, \quad \gamma = \frac{n}{4f},$$

d. h. im vorliegenden Falle mit  $l = 32, f = 3,2,$

$$\operatorname{tg} \alpha = \frac{16}{8}, \quad \gamma = \frac{5}{8}, \quad \alpha = 53^\circ 51' 34''.$$

Alsdann sind für Eigengewicht allein nur die Obergurtstäbe und Verticalen beansprucht. Der untere Grenzwert des Horizontalschubs, welcher für Eigengewicht allein eintritt, sowie der obere Grenzwert desselben sind nach § 84, 6)

$$(2) \quad \mathfrak{H} = \frac{g l}{2} \operatorname{tg} \alpha, \quad H = \frac{q}{g} \mathfrak{H},$$

woraus mit  $g = 0,73, q = 3,5$

$$\mathfrak{H} = 0,73 \cdot 12 \frac{16}{8} = 16,42, \quad H = 3,5 \cdot 12 \frac{16}{8} = 78,75 \text{ tn.}$$

Die Grenzbeanspruchungen jedes Untergurtstabes sind gleich gross und von verschiedenen Vorzeichen, und zwar hat man auf der ersten Trägerhälfte, wo der Untergurt die Z-Gurtung bildet, nach § 84, 9)

$$(3) \quad Z_m = \pm \frac{h_{m-1}}{m-1 + \gamma h_{m-1}} \frac{p \lambda^2}{2} n \gamma^2,$$

und auf der zweiten Trägerhälfte, wo der Untergurt die X-Gurtung bildet, nach § 84, 8)

$$(4) \quad X_m = \pm \frac{h_m}{m + \gamma h_m} \frac{p \lambda^2}{2} n \gamma^2.$$

Für die beiden äussersten Felder, in welchen die Diagonalen mit den Untergurtstäben zusammenfallen, liefert die Bedingung „Summe aller Horizontalkräfte gleich Null“ in Anwendung auf die unteren Knotenpunkte 1 und  $n-1$  die ganzen Beanspruchungen der Untergurtstäbe bei jeder Belastung

$$(5) \quad Z_1 = Z_2, \quad X_n = X_{n-1}.$$

Wir erhalten demnach folgende Grenzbeanspruchungen des Untergurts in Tonnen:

$$Z_1 = Z_2 = \pm \frac{1,4 \cdot 8}{15} 38,95 = \pm 29,10$$

$$Z_3 = \pm \frac{2,4 \cdot 2}{7} 38,95 = \pm 26,72$$

$$Z_4 = \pm \frac{3 \cdot 8}{39} 38,95 = \pm 23,95,$$

$$X_5 = \pm \frac{3 \cdot 8}{55} 38,95 = \pm 16,98$$

$$X_6 = \pm \frac{2,4 \cdot 2}{15} 38,95 = \pm 12,46$$

$$X_8 = X_7 = \pm \frac{1,4 \cdot 8}{63} 38,95 = \pm 6,93,$$

während nach Beispiel 54 bei horizontaler Auflagerbahn die Grenzbeanspruchungen aller Untergurtstäbe 78,76 und 16,43 tn wären. Man sieht, dass eine sehr bedeutende Herabsetzung der Beanspruchungen stattfindet, wogegen allerdings jetzt Wechsel von Zug und Druck eintritt. Wollte man Letzteres vermeiden oder den Druck vermindern, so würde  $\alpha$  kleiner als oben zu wählen sein, womit die Eigengewichtsbeanspruchung des Untergurts nicht gleich Null, sondern durch § 83, 16) bestimmt wird. Nebenbei sei bemerkt, dass je zwei symmetrisch zur Trägermitte gelegene Untergurtstäbe nicht



gleiche Beanspruchungen erleiden und also bei Dimensionirung nach Letzteren auch nicht gleiche Querschnitte erlangen.

**Beispiel 105. Träger mit schief verschiebbarem Auflager. Berechnung für bewegte Radlastzüge.**

Der Träger des vorigen Beispiels soll nun einer eingeleisigen Eisenbahnbrücke angehören und für bewegte Radlastzüge, zusammengesetzt aus Locomotiven der Radanordnung Fig. 18, berechnet werden.

Die Formberechnung bleibt wie in Beispiel 54, die Berechnung der nicht zum Untergurte gehörigen Stäbe und der Verticalreactionen der Stützen wie in Beispiel 55. Die Werthe  $\alpha$ ,  $\gamma$  erhält man wie im vorigen Beispiele, womit dann für Eigengewicht allein nur die Obergurtstäbe und Verticalen beansprucht sind. Die Grenzwerte des Horizontalschubs ergeben sich nach § 83 gleichzeitig mit den Grenzwerten der Verticalreaction bei  $l$

$$(1) \quad \mathfrak{H} = \mathfrak{B}' \operatorname{tg} \alpha, \quad H = V' \operatorname{tg} \alpha,$$

das heisst im vorliegenden Falle

$$\mathfrak{H} = 8,76 \frac{15}{8} = 16,42, \quad H = 45,01 \frac{15}{8} = 84,79 \text{ tn.}$$

Die Grenzbeanspruchungen der Untergurtstäbe sind nach § 83 wie folgt bestimmt. Auf der ersten Trägerhälfte, wo der Untergurt die Z-Gurtung bildet: Belastung durch Zug I von 0 bis  $s$ , Rad O bei  $c$  (mitunter Zug II von 0 bis  $c$ , Vorderrad O bei  $c$ ),

$$(2) \quad Z_m = \left[ (n - m + 1 - \gamma h_{m-1}) \sum_0^c Pa + (m - 1 + \gamma h_{m-1}) \sum_c^s P(s - a) \right] \frac{1}{n h_{m-1}},$$

Belastung durch Zug II von  $s$  bis  $l$ , Vorderrad O bei  $l$ ,

$$(3) \quad Z_m = - \frac{m - 1 + \gamma h_{m-1}}{n h_{m-1}} \sum_s^l P(a - s),$$

mit den Werthen

$$(4) \quad s = \frac{m - 1}{m - 1 + \gamma h_{m-1}} l, \quad c = (m - 1) \lambda.$$

Auf der zweiten Trägerhälfte, wo der Untergurt die X-Gurtung bildet: Belastung durch Zug I von 0 bis  $s$ , Rad O bei  $v$  (mitunter Zug II von 0 bis  $v$ , Vorderrad O bei  $v$ ),

$$(5) \quad X_m = \left[ (n - m + \gamma h_m) \sum_0^v Pa + (m + \gamma h_m) \sum_v^i P(z - a) \right] \frac{1}{n h_m},$$

Belastung durch Zug II von  $z$  bis  $l$ , Vorderrad  $O$  bei  $l$ ,

$$(6) \quad X_m = - \frac{m + \gamma h_m}{n h_m} \sum_s^i P(a - z),$$

mit den Werthen

$$(7) \quad z = \frac{m}{m + \gamma h_m}, \quad v = m \lambda.$$

Für die Untergurtstäbe in den beiden äussersten Feldern bleiben die Gleichungen 5) des vorigen Beispiels gültig.

Nach 4) 5) und wegen  $h_1 = 1,4$  erhält man in Metern

für	$m = 2$	3	4	5	6	7:
mit	$h_m = 2,4$	3	3,2	3	2,4	1,4
	$z = 12,80$	13,71	14,77	17,45	19,20	21,33
	$c = 3$	6	9	12	15	18
	$v = 6$	9	12	15	18	21.

Weiter folgen als erste Grenzwerte in Tonnen mit Zug I, erste Zugrichtung (Fig. 23),

$$\begin{aligned} Z_1 = Z_2 &= \left[ \frac{49}{8} (6 \cdot 3 + 6 \cdot 1,7 + 4 \cdot 0,5) + \frac{15}{8} (6 \cdot 8,5 + 6 \cdot 4,5 \right. \\ &\quad \left. + 6 \cdot 3,2 + 6 \cdot 1,9 + 4 \cdot 0,7) \right] \frac{1}{8 \cdot 1,4} = 35,17, \\ Z_3 &= \left[ \frac{9}{2} (6 \cdot 6 + 6 \cdot 4,7 + 4 \cdot 3,5 + 5 \cdot 0,5) \right. \\ &\quad \left. + \frac{7}{2} (6 \cdot 6,41 + 6 \cdot 2,41 + 6 \cdot 1,11) \right] \frac{1}{8 \cdot 2,4} = 28,78; \end{aligned}$$

mit Zug I, zweite Zugrichtung (Fig. 24),

$$\begin{aligned} Z_4 &= \left[ \frac{25}{8} (6 \cdot 7,7 + 6 \cdot 3,7 + 6 \cdot 2,4 + 6 \cdot 1,1) \right. \\ &\quad \left. + \frac{39}{8} (6 \cdot 5,77 + 6 \cdot 4,47 + 4 \cdot 3,27 + 5 \cdot 0,27) \right] \frac{1}{8 \cdot 3} = 27,05, \\ X_5 &= \left[ \frac{9}{8} (6 \cdot 13,7 + 6 \cdot 9,7 + 6 \cdot 8,4 + 6 \cdot 7,1 + 4 \cdot 5,9 + 5 \cdot 2,9) \right. \\ &\quad \left. + \frac{55}{8} (6 \cdot 2,45 + 6 \cdot 1,15) \right] \frac{1}{8 \cdot 3} = 18,91. \end{aligned}$$

Für die beiden ersten Fälle hätten sich mit der zweiten und für die beiden letzten Fälle mit der ersten Zugrichtung ergeben:

$$Z_2 = \left[ \frac{49}{8} 6 \cdot 1,7 + \frac{15}{8} (6 \cdot 9,8 + 6 \cdot 8,5 + 4 \cdot 7,3 + 5 \cdot 4,3 + 6 \cdot 0,1) \right] \frac{1}{8 \cdot 1,4} = 32,55,$$

$$Z_3 = \left[ \frac{9}{2} (6 \cdot 4,7 + 6 \cdot 0,7) + \frac{7}{2} (6 \cdot 7,71 + 6 \cdot 6,41 + 4 \cdot 5,21 + 5 \cdot 2,21) \right] \frac{1}{8 \cdot 2,4} = 28,85,$$

$$Z_4 = \left[ \frac{25}{8} (6 \cdot 9 + 6 \cdot 7,7 + 4 \cdot 6,5 + 5 \cdot 3,5) + \frac{39}{8} (6 \cdot 4,47 + 6 \cdot 0,47) \right] \frac{1}{8 \cdot 3} = 24,73,$$

$$X_5 = \left[ \frac{9}{8} (6 \cdot 15 + 6 \cdot 13,7 + 4 \cdot 12,5 + 5 \cdot 9,5 + 6 \cdot 5,3 + 6 \cdot 4 + 6 \cdot 2,7 + 4 \cdot 1,5) + \frac{55}{8} 6 \cdot 1,15 \right] \frac{1}{8 \cdot 3} = 18,27.$$

Da für  $X_6, X_7$  die Strecke von  $v$  bis  $z$  kleiner als der Abstand 1,3 m der nächsten Räder von Rad  $O$  ist, so tritt zweifellos der zu 5) in Klammern erwähnte Fall ein, dass die erste Grenzbeanspruchung mit Zug II (Fig. 22) ungünstiger als mit Zug I wird. Wir erhalten

$$X_6 = [6(18 + 16,7 + 15,4 + 7 + 5,7 + 4,4) + 4(14,2 + 3,2) + 5(11,2 + 0,2)] \frac{1}{2 \cdot 8 \cdot 2,4} = 13,80,$$

$$X_8 = X_7 = [6(21 + 19,7 + 18,4 + 10 + 8,7 + 7,4) + 4(17,2 + 6,2) + 5(14,2 + 3,2)] \frac{1}{8 \cdot 8 \cdot 1,4} = 7,72.$$

Die zweiten Grenzbeanspruchungen ergeben sich in oben angeführter Weise in Tonnen:

$$Z_1 = Z_2 = - [6(11,2 + 9,9 + 8,6 + 0,2) + 4 \cdot 7,4 + 5 \cdot 4,4] \frac{15}{8 \cdot 8 \cdot 1,4} = -38,67,$$

$$Z_3 = - [6(10,29 + 8,99 + 7,69) + 4 \cdot 6,49 + 5 \cdot 3,49] \frac{7}{2 \cdot 8 \cdot 2,4} = -37,41,$$

$$Z_4 = - [6(9,23 + 7,93 + 6,63) + 4 \cdot 5,43 + 5 \cdot 2,43] \frac{39}{8 \cdot 8 \cdot 3} = -35,87,$$

$$X_5 = - [6(6,55 + 5,25 + 3,95) + 4 \cdot 2,75] \frac{55}{8 \cdot 8 \cdot 3} = -30,22,$$

$$X_6 = - [6(4,8 + 3,5 + 2,2) + 4 \cdot 1] \frac{15}{2 \cdot 8 \cdot 2,4} = -26,17,$$

$$X_8 = X_7 = - 6(2,67 + 1,37 + 0,07) \frac{63}{8 \cdot 8 \cdot 1,4} = -17,34.$$

Damit sind sämtliche verlangte Grenzwerte bestimmt.

**Bemerkungen.** Anstatt die  $\sum$  wie oben zu berechnen, hätten wir dieselben natürlich auch aus der Tabelle des Beispiels 6 entnehmen können. Wir fügen nun noch folgende Zusammenstellung bei.

Oben berechnete Grenzwerte:		Nach Beispiel 104.	Nach Beispiel 55 für $\alpha = 0$ :	
$Z_2 = 35,17$ und $-38,67$		$\pm 29,10$	83,07 und 16,43	
$Z_3 = 29,78$	$-37,41$	$\pm 26,72$	81,89	16,43
$Z_4 = 27,05$	$-35,87$	$\pm 23,95$	80,30	16,43
$X_5 = 18,91$	$-30,22$	$\pm 16,98$	80,30	16,43
$X_6 = 13,80$	$-26,17$	$\pm 12,46$	81,89	16,43
$X_7 = 7,72$	$-17,34$	$\pm 6,93$	83,07	16,43.

Die in Beispiel 104 erhaltenen Werthe wurden mit derjenigen gleichmässig vertheilten Last von  $p$  per laufenden Meter berechnet, welche für  $\alpha = 0$  (gewöhnliche Balkenträger) annähernd dieselben Gurtungsbeanspruchungen wie die verwendeten Locomotiven ergeben. Man sieht, dass dies jetzt keineswegs der Fall ist und es bestätigt sich wiederholt, dass die Lastäquivalente  $p$  bestimmter Fahrzeuge je nach Umständen sehr verschieden ausfallen können (Beispiele 7, 8, 16, 29, 88, 90, 100 u. s. w.). Ein Vergleich der nach Beispiel 55 zugesetzten Werthe mit den jetzt erhaltenen gibt zu der schon am Schlusse des vorigen Beispiels gemachten Bemerkung Veranlassung.

#### Aufgabe 44. Gelenkdrücke bei Trägern mit schief verschiebbarem Auflager.

Für den Träger mit einem festen und einem schief verschiebbaren Gelenkaufleger in gleicher Höhe sollen die resultirenden Gelenkdrücke (Widerlagerreactionen) für gleichmässig vertheilte bewegte Last und bewegte Radlastzüge angegeben werden (Fig. 180).

**Verschiebbares Auflager.** Da der Ursprung der Coordinaten ins feste Gelenkaufleger gelegt wurde, so haben wir die Reaction des verschiebbaren Auflagers mit  $H = V' \operatorname{tg} \alpha$  allgemein

$$(1) \quad R' = V' \sqrt{1 + \operatorname{tg}^2 \alpha} = \frac{V'}{\cos \alpha},$$

worin für beliebige Belastung

$$(2) \quad V' = \mathfrak{B} + \frac{1}{l} \sum_0^l P a,$$

und von einem gleichmässig vertheilten Eigengewichte allein herrührend

$$(3) \quad \mathfrak{B}' = \frac{gl}{2}.$$

Bei bewegter Belastung erhalten wir die Grenzwerte von  $R'$  nach 1) zugleich mit den Grenzwerten von  $V'$ , also den unteren für Eigengewicht allein

$$(4) \quad R' = \mathfrak{R}' = \frac{\mathfrak{B}'}{\cos \alpha},$$

den oberen für bewegte Radlastzüge bei Belastung durch Zug II von 0 bis  $l$ , Vorderrad  $O$  bei  $l$ , aus 1) 2), für gleichmässig vertheilte bewegte Last aus 1) mit

$$(5) \quad V' = \mathfrak{B}' + \frac{pl}{2},$$

und wenn auch das Eigengewicht gleichmässig vertheilt ist,

$$(6) \quad R' = \frac{\frac{gl}{2}}{\cos \alpha} = \frac{g}{g} \mathfrak{R}'.$$

**Festes Auflager.** Für dieses ist die Reaction bei beliebiger Belastung

$$(7) \quad R = \sqrt{V^2 + H^2},$$

worin für beliebige Belastung

$$(8) \quad V = \mathfrak{B} + \frac{1}{l} \sum_0^l P(l-a), \quad H = V' \operatorname{tg} \alpha,$$

und beispielsweise von einem gleichmässig vertheilten Eigengewicht herrührend

$$(9) \quad \mathfrak{B} = \frac{gl}{2}, \quad \mathfrak{H} = \frac{gl}{2} \operatorname{tg} \alpha.$$

Hiernach kann  $R$  für jede bestimmte Belastung berechnet werden. Da alle Lasten auf dem Träger in gleichem Sinne zu  $R$  beitragen, so ist der untere Grenzwert bei bewegter Belastung

$$(10) \quad R = \mathfrak{R} = \sqrt{\mathfrak{B}^2 + \mathfrak{H}^2},$$

der obere folgt für gleichmässig vertheilte bewegte Last aus 7) 8) mit 5) und

$$(11) \quad V = \mathfrak{B} + \frac{pl}{2},$$

also wenn auch das Eigengewicht gleichmässig vertheilt ist,

$$(12) \quad R = \frac{\frac{gl}{2}}{\cos \alpha} = \frac{g}{g} \mathfrak{R}.$$

Für bewegte Radlastzüge ergibt sich der obere Grenzwert von  $R$

um etwas zu ungünstig, wenn man in 7) einfach die oberen Grenzwerte von  $V$ ,  $H$  einsetzt.

**Beispiel 106. Bogenträger mit reellen Kämpfergelenken und einem imaginären Zwischengelenke.**

Auf den in Fig. 181 angedeuteten Träger mit kreisförmigem Untergurte wirke eine gleichmäßig vertheilte Eigenlast (oder sonstige Last) von  $g = 0,7$  tn per laufenden Meter, wovon 0,4 tn auf die Knotenpunkte des Obergurts und 0,3 tn auf diejenigen des Untergurts kommen. Die entsprechenden Stabkräfte und Stützenreactionen zu berechnen.

Nach § 85, 9) 8) hat man die Verticalreactionen und Horizontalreaction der Stützen mit  $k = 0$

$$(1) \quad \mathfrak{B} = \mathfrak{B}' = \frac{gl}{2}, \quad \mathfrak{H} = [xy + (l - x - y)d] \frac{g}{2f},$$

woraus mit  $l = 24$ ,  $d = 11,83$ ,  $f = 4,5$ ,  $x = 15$ ,  $y = 18$  folgen

$$\mathfrak{B} = \mathfrak{B}' = 8,4 \text{ tn}, \quad \mathfrak{H} = 12,72 \text{ tn}.$$

Für die Stabkräfte der ersten Trägerhälfte liefert § 18, 10) wegen  $\mathfrak{M} = \mathfrak{M}' = 0$  bei oben liegender X-Gurtung:

$$(2) \quad \begin{cases} \mathfrak{X}_m = - \left[ m(n-m) - \frac{2}{g\lambda^2} \mathfrak{H} \mathfrak{z}_m \right] \frac{x_m}{h_m} \frac{g\lambda}{2}, \\ \mathfrak{Z}_m = \left[ (m-1)(n-m+1) - \frac{2}{g\lambda^2} \mathfrak{H} \mathfrak{x}_{m-1} \right] \frac{z_m}{h_{m-1}} \frac{g\lambda}{2}, \\ \mathfrak{D}_m = - \left[ m(n-m) - \varepsilon(n-2m+1) - \frac{2}{g\lambda^2} \mathfrak{H} w_d \right] \frac{d_m}{\varepsilon h_{m-1}} \frac{g\lambda}{2}, \\ \mathfrak{W}_m = \left[ m(n-m) - \nu \left( n-2m + \frac{g_x - g_z}{g} \right) - \frac{2}{g\lambda^2} \mathfrak{H} w_v \right] \frac{g\lambda}{2}. \end{cases}$$

Diese Gleichungen nehmen mit  $n = 8$ ,  $\lambda = 3$ ,  $g = 0,7$ ,  $g_x = 0,4$ ,  $g_z = 0,3$ ,  $\mathfrak{x}_{m-1} = w_d = w_v = h_0 = 4,5$  folgende Formen an:

$$\mathfrak{X}_m = - \left[ m(8-m) - 4,04 \mathfrak{z}_m \right] \frac{8,15}{h_m},$$

$$\mathfrak{Z}_m = \left[ (m-1)(8-m+1) - 18,17 \right] \frac{1,05 z_m}{h_{m-1}},$$

$$\mathfrak{D}_m = - \left[ m(8-m) - \varepsilon(9-2m) - 18,17 \right] \frac{1,05 d_m}{\varepsilon h_{m-1}},$$

$$\mathfrak{W}_m = \left[ m(8-m+2\nu) - 18,17 \right] \frac{1,05}{\nu} - 8,55,$$

und es ergeben sich hieraus mit den schon in Beispiel 87 berechneten  $\xi, h, z, d, \varepsilon, v$  nachstehende Stabkräfte in Tonnen:

$$\begin{array}{llll} \mathfrak{X}_1 = 0,61 & \mathfrak{B}_1 = -14,97 & \mathfrak{D}_1 = -0,81 & \mathfrak{B}_1 = -1,02 \\ \mathfrak{X}_2 = 1,00 & \mathfrak{B}_2 = -14,39 & \mathfrak{D}_2 = -0,42 & \mathfrak{B}_2 = -1,20 \\ \mathfrak{X}_3 = 1,00 & \mathfrak{B}_3 = -14,05 & \mathfrak{D}_3 = 0,00 & \mathfrak{B}_3 = -1,20. \\ \mathfrak{X}_4 = 1,00 & \mathfrak{B}_4 = -13,72 & \mathfrak{D}_4 = 0,00 & \end{array}$$

Für die Kämpferverticale und Scheitelverticale liefert die Bedingung „Summe aller Verticalkräfte gleich Null“ in Anwendung auf die anliegenden Knotenpunkte 0 und  $\sigma$  des Obergurts für jede Belastung

$$(3) \quad V_0 + \frac{h_1}{d_1} D_1 + K_0 = 0, \quad V_\sigma + K_\sigma = 0,$$

unter  $K_0, K_\sigma$  die entsprechenden Knotenpunktslasten verstanden. Für unsern Fall erhalten wir daraus

$$V_0 = \frac{4}{4,6} 2,05 - 0,4 \cdot 1,5 = 1,22, \quad V_4 = -0,4 \cdot 3 = -1,2 \text{ tn.}$$

Nach dem am Schlusse des § 85 Gesagten erleiden die Stäbe der zweiten Trägerhälfte dieselben Beanspruchungen wie die symmetrisch dazu liegenden Stäbe der ersten Trägerhälfte, wie sich denn auch in Bestätigung jener Schlüsse  $\mathfrak{D}_3 = 0, \mathfrak{B}_2 = -g_x \lambda = -1,2$  ergaben.

**Bemerkungen.** Anstatt auf die Stabkräfte der zweiten Trägerhälfte aus der Symmetrie zu schliessen, hätten wir sie natürlich aus den Formeln 2), welche dann nur der unten liegenden X-Gurtung wegen mit entgegengesetzten Vorzeichen zu versehen wären, berechnen können. Da mit den in § 85 gegebenen Formeln 2) 6) für  $H$  die Stabkräfte nach § 18, 15)–19) mit  $M = M' = 0, k = 0$  leicht für beliebige Verkehrslast berechnet werden können, so lassen sich nach der Methode § 12 f oder § 12 e auch die Grenzwerte ableiten, ohne dass die Theorie weiter ausgeführt zu werden braucht.

#### Aufgabe 45. Bogenträger mit reellen Kämpfergelenken und einem imaginären Zwischengelenke.

Bei einem Träger der oben erwähnten Art, Hängebogen oder Sprengbogen, sei der Verbindungsgurt der gleich hohen Auflager einer symmetrisch zur Mitte liegenden Parabel eingeschrieben, während die andre Gurtung horizontal ist. Das Gelenkviereck liegt zwischen Verticalen in Entfernungen  $x$  und  $y$  von einem Auflager, im Uebrigen kann das Trägersystem beliebig sein. Zu beweisen, dass bei gleichmässig über die Trägerlänge vertheilter Belastung der

Horizontalschub genau so gross ist, als wenn das Zwischengelenk reell und inmitten des Verbindungsgurts der Auflager angebracht wäre.

Nach § 85, 8) ist der Horizontalschub für eine über den Träger gleichmässig vertheilte Last von  $p$  per Längeneinheit, bei beliebigen Gurtungsformen mit den in Fig. 182 angedeuteten Bezeichnungen und  $k = 0$ ,

$$(1) \quad H = [xy + (l - x - y)d] \frac{p}{2f}.$$

Im vorliegenden Falle hat man mit Rücksicht auf § 17, 18)

$$x - d : y - d = f - \frac{4h}{l^2} x(l - x) : f - \frac{4h}{l^2} y(l - y),$$

woraus die Abscisse des imaginären Gelenks

$$(2) \quad d = \frac{xy + \frac{fl^2}{4h}}{l - x - y}.$$

Die Substitution dieses Werthes in 1) ergibt

$$(3) \quad H = \frac{pl^2}{8f},$$

womit zufolge § 66, 12) der verlangte Beweis erbracht ist.

Da mit dem Horizontalschube bei bestimmtem Trägersystem alle äussern Kräfte dieselben wie beim Bogen mit drei Gelenken bleiben, so gilt das Gleiche für sämtliche Stabkräfte, was speziell für einfaches System mit Verticalen auch die Gleichungen § 18, 10) mit  $M = M' = 0$ ,  $k = 0$  zeigen. Nach § 75 sind also für letzteres System die Diagonalen und Stäbe des Horizontalgurts unbeanspruchte, die Verticalen erhalten nur die darauf liegende Knotenpunktslast als Druck bzw. die daran hängende als Zug und die Horizontalcomponenten aller Stabkräfte des Parabelgurts sind gleich gross. Aus diesen für den Bogen mit drei reellen Gelenken erhaltenen Regeln hätten wir auch umgekehrt auf 3) schliessen können, wenigstens für einfaches System mit Verticalen. Denn wenn die Diagonalen unbeanspruchte sind, so können wir beliebige derselben wegnehmen oder zufügen, ohne irgendwelche Kräfte zu ändern.



## VIII. Abschnitt.

### Berechnung statisch unbestimmter Fachwerke mehrfachen Systems auf Grund der Zerlegung in einfache Systeme.

**Beispiel 107. Parallelträger doppelten Systems mit gleichgestellten Diagonalen.**

Für eine Brücke von  $l = 45$  m Spannweite sollen Parallelträger doppelten Systems mit gleichgestellten, nur auf Zug widerstandsfähigen Diagonalen zur Verwendung kommen. Gewünschte Trägerhöhe  $h = 6$  m, Entfernung der Verticalen von einander  $\lambda = 2,5$  m, Eigengewicht per laufenden Meter Träger  $g = 0,9$  tn, Verkehrslast  $p = 2,63$  tn. Vom Eigengewichte kommen 0,6 tn auf die Knotenpunkte des Untergurts, in welchen die Fahrbahnlast angreift, und 0,3 tn auf diejenigen des Obergurts. Die Grenzwerte der Stabkräfte und Stützenreactionen zu berechnen.

Das doppelte System Fig. 183 (in welchem man sich die punktierten Gegendiagonalen zunächst wegdenken kann, da erst durch die Berechnung der einfachen Systeme bekannt wird, wieweit Gegendiagonalen nöthig sind) zerfällt in die einfachen Systeme Fig. 184 und 185, deren jedes die Hälfte der Belastungen aufzunehmen hat. Die Berechnung dieser einfachen Systeme wurde in Beispiel 41 und 46 vollständig durchgeführt, jedoch für die ganze oben angenommene Belastung. Wir haben also die dort gefundenen Beanspruchungen zu halbiren, womit die oberen Grenzbeanspruchungen der Gurtungen und beide Grenzbeanspruchungen der Füllungsglieder die in Fig. 184 und 185 eingeschriebenen Werthe erlangen. Vereinigen wir nun die Systeme Fig. 184 und 185 zum Systeme Fig. 183 und addiren, wie angedeutet, die Grenzbeanspruchungen zusammenfallender Stäbe, so entstehen die in Fig. 183 eingeschriebenen Grenzbeanspruchungen der Füllungsglieder und oberen Grenzbeanspruchungen der Gurtungen. Die unteren Grenzbeanspruchungen der Gurtungen sind sämmtlich  $g:q = 0,3$  mal so gross wie die oberen und deshalb nicht eingetragen.

Die Grenzwerte der Stützenreactionen sind wie in Beispiel 41 bestimmt 79,42 und 20,25 tn.

Wünscht man die Trägerenden nach Fig. 186 abzuändern, so ergeben sich mit Rücksicht auf die in Beispiel 41 und 46 berechneten Beanspruchungen der entsprechenden einfachen Systeme die in Fig. 186 eingeschriebenen Aenderungen der Grenzbeanspruchungen gegenüber Fig. 183.

Sollte der Träger für bewegte Radlastzüge, zusammengesetzt aus Locomotiven der Radanordnung Fig. 18, berechnet werden, so würden die Beanspruchungen der einfachen Systeme halb so gross wie in Beispiel 42 und 47 berechnet sein und zur Berechnung mit genauen Lastäquivalenten solcher Züge halb so gross wie in Beispiel 43 und 48. Das Verfahren im Uebrigen würde ganz wie oben (Uebung desselben mit den Zahlen jener Beispiele zu empfehlen) und die Stützenreactionen wie in jenen Beispielen bestimmt bleiben.

**Beispiel 108. Parallelträger vierfachen Systems des gleichschenkligen Dreiecks.**

Für eine Brücke von  $l = 45$  m Spannweite sollen Parallelträger nach der Anordnung Fig. 187 zur Verwendung kommen. Gewünschte Trägerhöhe  $h = 6$  m, normale Feldlänge der einfachen Systeme  $\lambda = 5$ . Eigengewicht per laufenden Meter Träger  $g = 0,9$  tn, Verkehrslast  $p = 2,1$  tn. Vom Eigengewichte kommen 0,6 tn auf die Knotenpunkte des Obergurts, in welchen die Fahrbahnlast angreift, und 0,3 tn auf diejenigen des Untergurts. Die Grenzwerte der Stabkräfte und Stützenreactionen für vorausbestimmte Knotenpunktslasten zu berechnen.

Das vierfache System Fig. 187 zerfällt in vier einfache Systeme, welche in Fig. 189, 190, 191, 192 in den Farben schwarz, grün, roth und blau gezeichnet sind. Die Belastung der Knotenpunkte dieser Systeme beträgt (Fig. 188)

für die obere Gurtung bei Eigengewicht allein	$\frac{0,6 \cdot 5}{4} = 0,75$ tn,
„ „ „ „ „ Totalbelastung	$\frac{2,7 \cdot 5}{4} = 3,375$ „,
„ „ „ „ „ untere Gurtung immer	$\frac{0,3 \cdot 5}{4} = 0,375$ „.

Auf die Knotenpunkte der Endverticalen, sofern sie nach der Fig. 188 belastet anzunehmen sind, kommt nur die Hälfte dieser Lasten.

Die Berechnung der Systeme Schwarz und Roth für den Fall, dass alle Knotenpunkte viermal so stark wie hier belastet sind, wurde in Beispiel 31 gezeigt. Wir erhalten also die jetzigen Beanspruchungen dieser Systeme, wenn wir die dort ermittelten einfach durch 4 dividiren. Die betreffenden Zahlen sind in Fig. 188, 189, 191 bei ihren Stäben in den Farben der Systeme eingeschrieben. Die Beanspruchungen der Systeme Grün und Blau kann man entweder direct berechnen oder wie in Fig. 193—197 angedeutet durch Interpolation finden. Das letztere Verfahren ist umsomehr genügend als bei Berechnung statisch unbestimmter Fachwerke auf grosse Genauigkeit überhaupt nicht zu rechnen ist.

Nur die in Fig. 194, 196 mit  $O$ ,  $U$ ,  $V_0$ ,  $D$  bezeichneten Stabkräfte der Systeme Grün und Blau lassen sich nicht durch Interpolation erlangen. Für diese führt die Momentenmethode (Schnitt  $s$  durch  $O$ ,  $D$ ,  $U$ , Drehpunkte im Durchschnitte von  $\bar{U}$  und  $O$  mit  $D$ ) oder die Bedingung „Summe aller Verticalkräfte gleich Null“ in Anwendung auf die Schnittpunkte der Stabaxen zum Ziele. Wir erhalten für das System Grün:

$$\begin{aligned} -V \cdot 1,25 + O \cdot 6 &= 0 & O &= \frac{5}{24} V \\ V \cdot 1,25 - U \cdot 6 &= 0 & U &= \frac{5}{24} V \\ V + V_0 &= 0 & V_0 &= -V \\ V_0 - D \frac{6}{6,5} &= 0 & D &= -\frac{13}{12} V, \end{aligned}$$

und für das System Blau:

$$\begin{aligned} V \cdot 1,25 + O \cdot 6 &= 0 & O &= -\frac{5}{24} V \\ -V \cdot 1,25 - U \cdot 6 &= 0 & U &= -\frac{5}{24} V \\ V + V_0 &= 0 & V_0 &= -V \\ V_0 + D \frac{6}{6,5} &= 0 & D &= \frac{13}{12} V. \end{aligned}$$

Hiernach treten die Grenzwerte von  $O$ ,  $U$ ,  $V_0$ ,  $D$  zugleich mit den Grenzwerten von  $V$  ein. Diese sind im Systeme Grün:

$$\begin{aligned} V &= \frac{3,375}{45} (3,75 + 8,75 + 13,75 + 18,75 + 23,75 + 28,75 + 33,75 \\ &\quad + 38,75 + 43,75) \\ &\quad + \frac{0,375}{45} (1,25 + 6,25 + 11,25 + 16,25 + 21,25 + 26,25 + 31,25 \\ &\quad + 36,25 + 41,25) = 16,031 + 1,594 = 17,625 \text{ tn,} \\ V &= \frac{0,6}{2,7} 16,031 + 1,594 = 5,186 \text{ tn,} \end{aligned}$$

und im Systeme Blau:

$$V = \frac{8 \cdot 45}{4} - 17,625 = 16,125 \text{ tn},$$

$$V = \frac{0,9 \cdot 45}{4} - 5,186 = 4,939 \text{ „}.$$

Damit folgen die gesuchten Grenzbeanspruchungen im Systeme Grün:

$$O = U = 3,670 \quad V_0 = - 17,625 \quad D = - 19,094 \text{ tn},$$

$$O = U = 1,080 \quad V_0 = - 5,186 \quad D = - 5,616 \text{ „},$$

und im Systeme Blau:

$$O = U = - 3,359 \quad V_0 = - 16,125 \quad D = 17,468 \text{ tn},$$

$$O = U = - 1,029 \quad V_0 = - 4,939 \quad D = 5,351 \text{ „}.$$

Auch die Grenzbeanspruchungen der Systeme Grün und Blau sind in Fig. 190 und 192 in jenen Farben bei ihren Stäben eingeschrieben.

Werden nun die vier einfachen Systeme zu dem Systeme Fig. 187 vereinigt und dabei die Beanspruchungen zusammenfallender Stäbe addirt, so entstehen die in Tafel XVIII Fig. 188 eingetragenen Grenzbeanspruchungen der Füllungsglieder und oberen Grenzbeanspruchungen der Gurtungen. Die unteren Grenzbeanspruchungen der Gurtungen und Endverticalen sind genügend genau  $g : q = 0,3$  mal so gross wie die oberen und wurden deshalb nicht eingeschrieben. Als Grenzwerte der Stützenreactionen hat man 67,5 und 20,25 tn wie in Beispiel 31. Inmitten der Endverticale bei 0 wirkt nach  $l$  hin eine Horizontalkraft, im Systeme Grün vom Werthe

$$D \frac{2,5}{6,5} = - \frac{5}{12} V$$

und im Systeme Blau vom Werthe

$$D \frac{2,5}{6,5} = \frac{5}{12} V.$$

Die Endverticale des vierfachen Systems wird also durch eine in ihrer Mitte wirkende Horizontalkraft vom Maximalwerthe

$$\frac{5}{12} (17,625 - 16,125) = 0,625 \text{ tn}$$

und vom Minimalwerthe

$$\frac{5}{12} (5,186 - 4,939) = 0,103 \text{ tn}$$

nach Aussen gedrückt, worauf bei der Dimensionirung Rücksicht zu nehmen ist.

Sollen die Trägerenden nach Fig. 198 abgeändert werden, so hat man, da nach Fig. 188 die Systeme Grün und Blau keine Belastungen der Endverticalen erhalten, für das System Grün (Fig. 199)

$$O = 0, \quad V \cdot 1,25 - U \cdot 6 = 0, \quad V_0 = 0, \quad V + D \frac{6}{6,5} = 0$$

und für das System Blau (Fig. 200)

$$V \cdot 1,25 + O \cdot 6 = 0, \quad U = 0, \quad V_0 + V = 0, \quad V - D \frac{6}{6,5} = 0.$$

Nach vorstehenden Gleichungen bleiben  $U, D$  für Grün und  $O, D$  für Blau wie oben und es treten gegenüber Fig. 188 nur die in Fig. 198 angedeuteten Aenderungen der Beanspruchungen ein.

Hätte man den angenommenen Träger für bewegte Radlastzüge oder genaue Lastäquivalente solcher zu berechnen, so würden die Systeme Schwarz und Roth nach den Formeln des § 30 wie in Beispiel 33 bzw. nach den Formeln der Aufgabe 30 wie in Beispiel 32 zu berechnen und im Uebrigen ganz wie oben vorzugehen sein. Die Stützenreactionen würden wie in jenen Beispielen bestimmt bleiben.

#### Aufgabe 46. Formeln für Endverticalen von einfachen Fachwerkträgern.

Für einfache Balkenfachwerke mit Auflagern am Untergurte die Grenzbeanspruchungen der Endverticale Fig. 201 bei Belastung durch beliebige feste Last und gleichmässig vertheilte bewegte Last oder bewegte Radlastzüge auszudrücken auf Grund der Zerlegung in einfache Systeme.

Das System Fig. 201 zerfällt in die einfachen Systeme Fig. 202 und 203, sodass mit den angedeuteten Bezeichnungen für jede Belastung

$$(1) \quad H_0 = V_0 + V'_0.$$

Die Beanspruchungen  $V_0, V'_0$  sind wegen Vertheilung der Belastung auf zwei Systeme halb so gross als in Aufgabe 19 bestimmt. Für ein gleichmässig vertheiltes Eigengewicht von  $g$  per Längeneinheit Träger beispielsweise, wovon  $g_u$  auf die Knotenpunkte des Obergurts und  $g_u$  auf diejenigen des Untergurts kommen, hat man nach 1) mit A. 19, 5) 6)

$$(2) \quad \mathfrak{H}_0 = \frac{g_u}{4} v - \frac{g_l}{4}.$$

a) Die Fahrbahnlast greift in den Knotenpunkten des Obergurts an. In diesem Falle erhält man aus 1) mit A. 19, 7) 8) für jede Belastung

$$(3) \quad H_0 = \mathfrak{H}_0 - \frac{1}{2l} \sum_0^l P(l-a) - \frac{1}{2v} \sum_0^v P(v-a).$$

Hiernach tragen alle Lasten auf dem Träger in gleichem Sinne zu  $H_0$  bei und zwar umsomehr je näher sie nach 0 kommen. Der untere Grenzwert tritt für Eigengewicht allein ein, der obere ergibt sich aus 3) für bewegte Radlastzüge bei Belastung durch Zug II von 0 bis  $l$ , Vorderrad 0 bei 0, für gleichmässig vertheilte bewegte Last mit  $P = pda$

$$(4) \quad H_0 = \mathfrak{H}_0 - \frac{l+v}{4} p,$$

welche Gleichung noch schneller aus 1) mit A. 19, 9) 10) folgt.

b) Die Fahrbahnlast greift in den Knotenpunkten des Untergurts an. Alsdann erhält man aus 1) mit A. 19, 11) 12) für jede Belastung

$$(5) \quad H_0 = \mathfrak{H}_0 - \frac{l-v}{2lv} \sum_0^v Pa - \frac{1}{2l} \sum_v^l P(l-a).$$

Hiernach tragen wieder alle Lasten auf dem Träger in gleichem Sinne zu  $H_0$  bei und zwar diesmal umsomehr je näher sie nach  $v$  kommen. Der untere Grenzwert entsteht für Eigengewicht allein, der obere ergibt sich aus 5) für bewegte Radlastzüge bei Belastung durch Zug I von 0 bis  $l$ , Rad 0 bei  $v$  (bei kleinem  $v$  mitunter bei Belastung durch Zug II von  $v$  bis  $l$ , Vorderrad 0 bei  $v$ ), für gleichmässig vertheilte bewegte Last mit  $P = pda$

$$(6) \quad H_0 = \mathfrak{H}_0 - \frac{l-v}{4} p,$$

welcher Ausdruck noch bequemer aus 1) mit A. 19, 12) 15) folgt.

c) Die Fahrbahnlast greift zwischen beiden Gurten in der Endverticale an. Es gelten für das Verticalenstück von Fahrbahn bis Untergurt die Beziehungen a) unter Berücksichtigung des Eigengewichts der Fahrbahn in  $g_o$  bzw.  $\mathfrak{R}_o$ , für das Verticalenstück von Fahrbahn bis Obergurt die Beziehungen b) unter Berücksichtigung des Eigengewichts der Fahrbahn in  $g_u$  bzw.  $\mathfrak{R}_u$ . Dies ergibt sich aus dem in Aufgabe 19 unter c) Gesagten.

Wie die Beziehungen der Aufgabe 19 gelten auch die hier gegebenen nicht nur für einfache Balkenfachwerke, sondern auch für einfache Bogenfachwerke, falls nur die Auflager in gleicher Höhe liegen.

**Aufgabe 47. Abänderung der Trägerenden beim Parallelträger doppelten Systems mit gekreuzten Diagonalen.**

Zu entscheiden, welche Aenderung der Stabkräfte beim einfachen oder continuirlichen Träger gegenüber der Anordnung Fig. 204 mit horizontalen Gurtungen und gleich oder verschieden langen Feldern durch Abänderung der Trägerenden nach Fig. 205 für beliebige Belastung entstehen.

Wir haben in Fig. 204 für jede Belastung

$$\begin{aligned} D_1' &= -D_1 & D_2' &= -D_2 \\ O_1 + \frac{\lambda_1}{d_1} D_1 &= 0 & U_1 - \frac{\lambda_1}{d_1} D_1 &= 0. \end{aligned}$$

Durch die Abänderung der Trägerenden erleiden nur die Beanspruchungen der Stäbe des ersten Feldes mit Einschluss der begrenzenden Verticale Aenderungen. Es verlangt nun das Gleichgewicht gegen horizontale Verschiebung des Knotenpunkts 1 im Obergurte

$$\text{für Fig. 204} \quad -O_1 + \frac{\lambda_1}{d_1} D_1 + O_2 + \frac{\lambda_2}{d_2} D_2 = 0,$$

$$\text{„ „ 205} \quad -\frac{\lambda_1}{d_1} O \quad + O_2 + \frac{\lambda_2}{d_2} D_2 = 0,$$

das Gleichgewicht gegen horizontale Verschiebung des Knotenpunkts 1 im Untergurte

$$\text{für Fig. 204} \quad -U_1 - \frac{\lambda_1}{d_1} D_1 + U_2 + \frac{\lambda_2}{d_2} D_2' = 0,$$

$$\text{„ „ 205} \quad -U \quad + U_2 + \frac{\lambda_2}{d_2} D_2' = 0,$$

das Gleichgewicht gegen verticale Verschiebung des Knotenpunkts 1 im Obergurte der Fig. 205

$$H + K_o + \frac{h}{d_1} O + \frac{h}{d_2} D_2 = 0,$$

des Knotenpunkts 1 im Untergurte der Fig. 205

$$-H + K_u + \frac{h}{d_2} D_2 = 0.$$

Durch Subtraction erhält man aus den beiden ersten Gleichungen

$$(1) \quad O = \frac{d_1}{\lambda_1} O_1 - D_1 = -\frac{d_1}{\lambda_1} 2U_1,$$

aus den beiden folgenden Gleichungen

$$(2) \quad U = U_1 + \frac{\lambda_1}{d_1} D_1 = 2U_1,$$

und aus den zwei letzten Gleichungen

$$(3) \quad H = \frac{K_u - K_o}{2} - \frac{h}{2d_1} O = \frac{h}{\lambda_1} U_1 + \frac{K_u - K_o}{2}.$$

In diesen Gleichungen beziehen sich Grössen mit dem Index 1 auf das System Fig. 204.

**Beispiel 109. Doppeltes System mit gekreuzten Diagonalen bei beliebigen Gurtungsformen (Ellipsenträger). Berechnung für gleichmässig vertheilte bewegte Last.**

Für eine Brücke von  $l = 45$  m Spannweite sollen Fachwerkträger doppelten Systems mit gekreuzten Diagonalen zur Verwendung kommen. Gewünschte Trägerhöhe in der Mitte  $h = 6$  m, Felderzahl  $n = 10$ , Untergurt horizontal, Obergurt einem Ellipsenbogen eingeschrieben. Eigengewicht per laufenden Meter Träger  $g = 0,9$  tn, Verkehrslast  $p = 2,7$  tn. Vom Eigengewichte kommen  $g_u = 0,6$  tn auf die Knotenpunkte des Untergurts, in welchen die Fahrbahnlast angreift, und  $g_o = 0,3$  tn auf diejenigen des Obergurts. Die Grenzwerte der Stabkräfte und Stützenreactionen anzugeben (Fig. 206).

Die Formberechnung wurde bereits in Beispiel 35 gezeigt. Wir haben danach

für	$m =$	1	2	3	4	5:
	$h_m =$	3,6	4,8	5,5	5,88	6
	$d_m =$	4,5	5,76	6,58	7,12	7,4
	$d'_m =$	5,76	6,58	7,12	7,4	7,5
	$o_m =$	5,76	4,66	4,55	4,52	4,50
	$\varepsilon =$	1	4	7,86	15,47	50

und fügen dem nach § 87, 19) bei

$$q = 2 - \frac{h_{m-1} + h_{m+1}}{h_m} = 0,667 \quad 0,104 \quad 0,058 \quad 0,044 \quad 0,040,$$

während  $u_m = \lambda = 4,5$  ist. Alle Längen sind in Metern gegeben.

**Eigengewicht allein.** Für die vom Eigengewichte allein herrührenden Stabkräfte hat man nach § 90, 7):

$$(1) \quad \begin{cases} u_m = \left[ \frac{m(n-m)}{h_m} + \frac{(m-1)(n-m+1)}{h_{m-1}} \right] \frac{g\lambda u_m}{4} = -\frac{u_m}{o_m} \mathfrak{D}_m, \\ \mathfrak{D}_m = \left( n - 2m + 1 - m \frac{n-m}{\varepsilon} \right) \frac{g\lambda}{4} \frac{d_m}{h_{m-1}} = -\frac{d_m}{d'_m} \mathfrak{D}'_m, \\ \mathfrak{D}_m = m(n-m) \frac{g\lambda q}{4} + \frac{g_u - g_o}{2} \lambda. \end{cases}$$



Diese Gleichungen nehmen mit den in der Aufgabe vorgeschriebenen Werthen folgende Formen an:

$$u_m = 4,556 \left[ \frac{m(10-m)}{h_m} + \frac{(m-1)(11-m)}{h_{m-1}} \right] = -\frac{4,5}{o_m} \mathfrak{D}_m,$$

$$\mathfrak{D}_m = 1,013 \left( 11 - 2m - m \frac{10-m}{\varepsilon} \right) \frac{d_m}{h_{m-1}},$$

$$\mathfrak{S}_m = 1,013 m (10 - m) \varrho + 0,675,$$

und wir erhalten daraus in Tonnen:

$u_2 = 26,58$	$\mathfrak{D}_2 = -27,52$	$\mathfrak{D}_2 = 4,86$	$\mathfrak{S}_2 = 2,36$
$u_3 = 32,58$	$\mathfrak{D}_3 = -32,94$	$\mathfrak{D}_3 = 3,23$	$\mathfrak{S}_3 = 1,91$
$u_4 = 35,99$	$\mathfrak{D}_4 = -36,15$	$\mathfrak{D}_4 = 1,90$	$\mathfrak{S}_4 = 1,74$
$u_5 = 37,58$	$\mathfrak{D}_5 = -37,88$	$\mathfrak{D}_5 = 0,64$	$\mathfrak{S}_5 = 1,69$

und  $\mathfrak{S}_1 = 6,76$ . Für  $u_1, \mathfrak{D}_1$  entsteht der unbestimmte Ausdruck  $0:0$ , indessen liefert A. 49, 3) für die ganzen Eigengewichtsbeanspruchungen der Gurtungsstäbe 1

$$(2) \quad u_1 = (n-1) \frac{g^2}{2} \frac{u_1}{h_1} = -\frac{u_1}{o_1} \mathfrak{D}_1,$$

woraus  $u_1 = 22,78, \mathfrak{D}_1 = -29,16$  tn.

**Grenzwerte.** Die unteren Grenzbeanspruchungen der Gurtungen sind die soeben berechneten Beanspruchungen für Eigengewicht allein, die oberen hat man nach § 91, 1) 3)

$$(3) \quad U_m = \frac{q}{g} u_m, \quad O_m = \frac{q}{g} \mathfrak{D}_m,$$

also wegen  $q:g = 4$  in Tonnen:

$U_1 = 91,12$	$O_1 = -116,64$
$U_2 = 106,32$	$O_2 = -110,08$
$U_3 = 130,32$	$O_3 = -131,76$
$U_4 = 143,96$	$O_4 = -144,60$
$U_5 = 150,32$	$O_5 = -150,32$

Die Grenzbeanspruchungen der nach Auflager 0 hin ansteigenden Diagonalen ergeben sich wie in Beispiel 35, jedoch wegen halb so grosser  $g, p$  der einfachen Systeme nur halb so gross wie dort. Die Grenzbeanspruchungen der nach 0 hin abfallenden Diagonalen sind dann durch

$$(4) \quad D'_m = -\frac{d'_m}{d_m} D_m$$

ebenfalls bestimmt. Wir erhalten in Tonnen:

$$\begin{array}{llll} D_2 = 21,53 & D_2 = 2,27 & D_2' = -24,58 & D_2' = -2,59 \\ D_3 = 16,81 & D_3 = -0,66 & D_3' = -18,18 & D_3' = 0,71 \\ D_4 = 13,30 & D_4 = -3,81 & D_4' = -13,81 & D_4' = 3,95 \\ D_5 = 10,11 & D_5 = -6,93 & D_5' = -10,24 & D_5' = 7,12. \end{array}$$

Die unteren Grenzbeanspruchungen der Verticalen sind deren schon berechnete Eigengewichtsbeanspruchungen, die oberen hat man nach § 91, 8)

$$(5) \quad H_m = \S_m + m(n-m) \frac{p_1 q}{4} + \frac{p_1 \lambda}{2},$$

woraus in Tonnen:

$$\begin{array}{l} H_1 = 6,76 + 9 \cdot 0,667 \cdot 3,037 + 6,075 = 31,07 \\ H_2 = 2,36 + 16 \cdot 0,104 \cdot 3,037 + 6,075 = 13,49 \\ H_3 = 1,91 + 21 \cdot 0,058 \cdot 3,037 + 6,075 = 11,68 \\ H_4 = 1,74 + 24 \cdot 0,044 \cdot 3,037 + 6,075 = 11,02 \\ H_5 = 1,69 + 25 \cdot 0,040 \cdot 3,037 + 6,075 = 10,80. \end{array}$$

Die Grenzwerte der Stützenreactionen sind wie in Beispiel 35 bestimmt.

**Beispiel 110.** Doppeltes System mit gekreuzten Diagonalen bei beliebigen Gurtungsformen (Ellipsenträger). Berechnung für bewegte Radlastzüge.

Die Träger des vorigen Beispiels sollen nun einer eingelegigen Eisenbahnbrücke angehören und für bewegte Radlastzüge, zusammengesetzt aus Locomotiven der Radanordnung Fig. 18, berechnet werden.

Bis zur Berechnung der Grenzwerte bleibt alles im vorigen Beispiele Gesagte gültig. Die unteren Grenzbeanspruchungen der Gurtungen und Verticalen sind deren dort berechnete Beanspruchungen durch Eigengewicht allein. Da ferner nach § 92, 2) für

$$z = \frac{l}{1 - \frac{n-m}{m-1} \frac{h_{m-1}}{h_m}} = \begin{array}{cccc} U_2 & U_3 & U_4 & U_5: \\ -9 & -21,90 & -51,66 & -200, \end{array}$$

so hat man die oberen Grenzbeanspruchungen der Gurtungen mit Zug I von 0 bis  $n$ , Rad 0 bei Verticale  $m$ , nach § 92, 1) 2)

$$(1) \left\{ \begin{aligned} U_m &= u_m + \left[ \left( \frac{n-m}{h_m} + \frac{n-m+1}{h_{m-1}} \right) \sum_0^{m-1} Pa \right. \\ &\quad + \left( \frac{n-m}{h_m} - \frac{m-1}{h_{m-1}} \right) \sum_{m-1}^m P(a-z) \\ &\quad \left. + \left( \frac{m}{h_m} + \frac{m-1}{h_{m-1}} \right) \sum_m^n P(l-a) \right] \frac{u_m}{2l} = - \frac{u_m}{o_m} O_m, \end{aligned} \right.$$

jedoch nach A. 49, 4) ausnahmsweise

$$(2) \quad U_1 = u_1 + \left[ (n-1) \sum_0^1 Pa + \sum_1^n P(l-a) \right] \frac{u_1}{lh_1} = - \frac{u_1}{o_1} O_1,$$

und bei derselben Belastung nach § 92, 6) die oberen Grenzbeanspruchungen der Verticalen, wenn  $K$  die Verkehrsbelastung des unteren Knotenpunktes  $m$  bedeutet,

$$(3) \quad H_m = \mathfrak{H}_m + \left[ (n-m) \sum_0^m Pa + m \sum_m^n P(l-a) \right] \frac{e}{2l} + \frac{K}{2}.$$

Setzen wir die Gleichungen für die erste Richtung des Zuges I (Fig. 23, 24) an und fügen die der zweiten Richtung entsprechenden Resultate in Klammern bei, so folgen mit oder ohne Rücksicht auf die Tabelle in Beispiel 6 für den Untergurt:

$$U_1 = 22,78 + [9 \cdot 54,2 + 1996] \frac{1}{36} = 91,77 \text{ tn } (88,43),$$

$$U_2 = 26,58 + \left[ \left( \frac{8}{4,8} + \frac{9}{3,6} \right) 5 \cdot 3,5 + \left( \frac{8}{4,8} - \frac{1}{3,6} \right) (6 \cdot 1,8 + 6 \cdot 1,6,7 + 4 \cdot 1,5,5) \right. \\ \left. + \left( \frac{2}{4,8} + \frac{1}{3,6} \right) 1586 \right] \frac{1}{20} = 105,18 \text{ tn } (103,18),$$

$$U_3 = 32,58 + \left[ \left( \frac{7}{5,5} + \frac{8}{4,8} \right) (5 \cdot 8 + 6 \cdot 3,8 + 6 \cdot 2,5 + 6 \cdot 1,2) \right. \\ \left. + \left( \frac{7}{5,5} - \frac{2}{4,8} \right) (6 \cdot 35,4 + 6 \cdot 34,1 + 4 \cdot 32,9) \right. \\ \left. + \left( \frac{3}{5,5} + \frac{2}{4,8} \right) 1208 \right] \frac{1}{20} = 126,66 \text{ tn } (128,24),$$

$$U_4 = 35,99 + \left[ \left( \frac{6}{5,88} + \frac{7}{5,5} \right) (5 \cdot 12,5 + 6 \cdot 8,3 + 6 \cdot 7 + 6 \cdot 5,7 + 4 \cdot 4,5 + 5 \cdot 1,5) \right. \\ \left. + \left( \frac{6}{5,88} - \frac{3}{5,5} \right) (6 \cdot 69,66 + 6 \cdot 68,36 + 4 \cdot 67,16) \right. \\ \left. + \left( \frac{4}{5,88} + \frac{3}{5,5} \right) 884 \right] \frac{1}{20} = 135,72 \text{ tn } (140,40),$$

$$U_5 = 37,58 + \left[ \left( \frac{5}{6} + \frac{6}{5,88} \right) (5 \cdot 17 + 6 \cdot 12,8 + 6 \cdot 11,5 + 6 \cdot 10,2 + 4 \cdot 9 + 5 \cdot 6 + 6 \cdot 1,8 + 6 \cdot 0,5) + \left( \frac{5}{6} - \frac{4}{5,88} \right) (6 \cdot 222,5 + 6 \cdot 221,2 + 4 \cdot 220) + \left( \frac{5}{6} + \frac{4}{5,88} \right) 617 \right] \frac{1}{20} = 145,80 \text{ tn } (147,13),$$

und mit den ungünstigsten dieser Werthe nach dem letzten Ausdruck 1) für den Obergurt:

$$O_1 = -117,46 \quad O_2 = -108,92 \quad O_3 = -129,67 \\ O_4 = -141,02 \quad O_5 = -147,13.$$

Ferner ergeben sich mit

$$K = 6 + 2 \cdot 6 \frac{3,2}{4,5} + 4 \frac{2}{4,5} = 16,311 \text{ tn}$$

(Fig. 207) die oberen Grenzbeanspruchungen der Verticalen:

$$H_1 = 6,76 + (9 \cdot 54,2 + 1 \cdot 1996) \frac{0,667}{90} + 8,155 = 33,32 \text{ tn } (32,43)$$

$$H_2 = 2,36 + (8 \cdot 144 + 2 \cdot 1586) \frac{0,104}{90} + 8,155 = 15,51 \text{ „ } (15,37)$$

$$H_3 = 1,91 + (7 \cdot 285 + 3 \cdot 1208) \frac{0,068}{90} + 8,155 = 13,69 \text{ „ } (13,68)$$

$$H_4 = 1,74 + (6 \cdot 490 + 4 \cdot 884) \frac{0,044}{90} + 8,155 = 13,06 \text{ „ } (13,01)$$

$$H_5 = 1,69 + (5 \cdot 714 + 5 \cdot 617) \frac{0,040}{90} + 8,155 = 12,80 \text{ „ } (12,80).$$

Die Grenzbeanspruchungen der nach Auflager 0 hin ansteigenden Diagonalen ergeben sich wie in Beispiel 36, jedoch wegen halb so grosser  $g$ ,  $P$  der einfachen Systeme nur halb so gross wie dort. Die Grenzbeanspruchungen der nach 0 hin abfallenden Diagonalen sind dann durch

$$(4) \quad D'_m = - \frac{d'_m}{d_m} D_m$$

ebenfalls bestimmt. Wir erhalten in Tonnen:

$$D_2 = 21,18 \quad D_2 = 1,64 \quad D'_2 = -24,19 \quad D'_2 = -1,87$$

$$D_3 = 16,81 \quad D_3 = -1,68 \quad D'_3 = -18,19 \quad D'_3 = 1,81$$

$$D_4 = 13,49 \quad D_4 = -4,41 \quad D'_4 = -14,02 \quad D'_4 = 4,58$$

$$D_5 = 10,40 \quad D_5 = -7,52 \quad D'_5 = -10,53 \quad D'_5 = 7,62.$$

Die Grenzwerte der Stützenreactionen sind wie in Beispiel 36 oder 42 bestimmt.

**Aufgabe 48. Einfache Balkenfachwerke doppelten Systems mit gekreuzten Diagonalen. Anwendung von Lastäquivalenten.**

Die Grenzwerte der Stabkräfte einfacher Balkenfachwerke doppelten Systems mit gekreuzten Diagonalen und beliebigen Gurtungsformen mit Rücksicht auf die Lastäquivalente direct befahrener vollwandiger Träger zu berechnen.

Die Gurtungen können wie bei einfachem Systeme genügend genau mit demjenigen constanten  $p$  berechnet werden, welches für einen durch den angenommenen Lastzug I direct befahrenen vollwandigen Träger der Spannweite  $l$  dem  $\max M_x$  bei der Trägermitte entspricht. Für die Diagonalen gilt das in Aufgabe 32 für einfache Systeme Gesagte, nur dass an Stelle von  $p$ ,  $p$ , die Hälften dieser Werthe zu setzen sind. Die Stützenreactionen bleiben wie in Aufgabe 29 für beliebige Systeme bestimmt.

Für die Grenzbeanspruchungen der Verticalen bei gleichmässig vertheilter bewegter Last kommen nach § 91 neben  $\mathfrak{S}_m$  folgende Ausdrücke vor:

$$H_m = \mathfrak{S}_m + m(n-m) \frac{p\lambda q}{4} \pm \frac{p\lambda}{2},$$

$$H_m = \mathfrak{S}_m + m(n-m) \frac{p\lambda q}{4},$$

$$H_m^{\bullet} = \mathfrak{S}_m \pm \frac{p\lambda}{2}.$$

Bei bewegten Radlastzügen entspricht nach § 92 dem mit  $q$  behafteten Summanden für Belastung durch Zug I von 0 bis  $l$ , Rad  $O$  bei  $m$ ,

$$\left[ (n-m) \sum_0^m Pa + \sum_m^n P(l-a) \right] \frac{q}{2l},$$

und dem von der Verkehrslast herrührenden Summanden ohne  $q$  bei der gleichen Laststellung

$$\frac{K}{2} = \left[ \sum_{m-1}^m P(a - m\lambda + \lambda) + \sum_m^{m+1} P(m\lambda + \lambda - a) \right] \frac{1}{2\lambda},$$

unter  $K$  die in Verticale  $m$  auf den Träger kommende Verkehrslast verstanden. Für den mit  $q$  behafteten Summanden wäre hiernach dasselbe Lastäquivalent massgebend wie für die X-Gurtung eines Trägers einfachen Systems mit Verticalen der Spannweite  $l$  (vergl. die Formeln § 32, 4) und § 33, 1)) und für den Summanden ohne  $q$  dasselbe Lastäquivalent wie für  $\max M_x$  inmitten eines vollwandigen

Trägers der Spannweite  $2\lambda$  (Aufgabe 11). Bei Berechnung der Verticalen mit Lastäquivalenten hat man also in den für gleichmässig vertheilte bewegte Last gültigen Ausdrücken der Grenzbeanspruchungen in den Summanden  $\frac{p\lambda}{2}$  dasjenige  $p$  zu verwenden, welches den  $\max M_x$  eines direct befahrenen vollwandigen Trägers der Spannweite  $2\lambda$  entspricht, in sonstigen mit  $p$  behafteten (von dem Gliede mit  $q$  herführenden) Summanden aber das für die Gurtungen massgebende  $p$ . Dies gilt auch für Verticalen bei den Auflagern (Aufgabe 46), für welche jedoch Summanden  $\frac{p\lambda}{2}$  nicht vorkommen.

**Beispiel 111.** Doppeltes System mit gekreuzten Diagonalen bei beliebigen Gurtungsformen (Ellipsenträger). Berechnung mit Lastäquivalenten.

Die Brückenträger des Beispiels 109 auf Grund gleichmässig vertheilter Lasten so zu berechnen, dass annähernd dieselben Grenzwerte wie mit den Radlastzügen des vorigen Beispiels entstehen.

Bis zur Berechnung der Grenzwerte bleibt alles in Beispiel 109 Gesagte gültig. Die oberen Grenzbeanspruchungen der Gurtungen sind nach Aufgabe 48 mit constantem  $p$  zu berechnen und zwar wäre wie für die  $\max M_x$  eines durch den angenommenen Lastzug I direct befahrenen vollwandigen Trägers der Spannweite 45 m nach der Tabelle in Beispiel 8 zu setzen  $p = 2,63$  tn. Wählt man nach oben abgerundet 2,7, so bleiben die in Beispiel 109 erhaltenen Grenzbeanspruchungen der Gurtungen gültig.

Die Grenzbeanspruchungen der nach Auflager 0 hin ansteigenden Diagonalen erhält man wie in Beispiel 37, jedoch wegen halb so grosser  $g$ ,  $p$ ,  $p_c$  der einfachen Systeme nur halb so gross wie dort. Die Grenzbeanspruchungen der nach 0 hin abfallenden Diagonalen sind dann wegen

$$(1) \quad D'_m = - \frac{d'_m}{d_m} D_m$$

ebenfalls bestimmt. Wir erhalten in Tonnen:

$D_2 = 21,16$	$D_2 = 1,65$	$D'_2 = - 24,16$	$D'_2 = - 1,88$
$D_3 = 16,78$	$D_3 = - 1,69$	$D'_3 = - 18,16$	$D'_3 = 1,82$
$D_4 = 13,49$	$D_4 = - 4,40$	$D'_4 = - 14,02$	$D'_4 = 4,57$
$D_5 = 10,38$	$D_5 = - 7,52$	$D'_5 = - 10,51$	$D'_5 = 7,62$

Die unteren Grenzbeanspruchungen der Verticalen treten nach § 91, 8) für Eigengewicht allein ein, während die oberen bei gleichmässig vertheilter bewegter Last sind

$$(2) \quad H_m = S_m + m(n - m) \frac{p\lambda_0}{4} + \frac{p\lambda}{2}.$$

Da nun nach der Tabelle in Beispiel 8 für die max  $M_x$  eines direct befahrenen vollwandigen Trägers der Spannweite  $2\lambda = 9$  m das Lastäquivalent  $p = 3,62$  wäre, so haben wir entsprechend dem Satze am Schlusse der Aufgabe 48 in 2) zu setzen

$$\frac{p\lambda}{2} = 3,62 \frac{4,5}{2} = 8,145 \quad \frac{p\lambda}{4} = 2,7 \frac{4,5}{2} = 3,037,$$

und erhalten damit in Tonnen:

$$\begin{aligned} H_1 &= 33,14 & H_2 &= 15,56 & H_3 &= 13,75 \\ H_4 &= 13,09 & H_5 &= 12,87. \end{aligned}$$

Diese Werthe sind ihrer Entstehung gemäss sämmtlich um

$$8,145 - 6,075 = 2,07 \text{ tn}$$

grösser als die in Beispiel 109 berechneten.

Die Grenzwerte der Stützenreactionen sind wie in Beispiel 43 bestimmt.

**Bemerkung.** Hätten wir für die Gurtungskräfte ohne Abrundung nach oben  $p = 2,63$  gesetzt, so würden sich deren obere Grenzwerte in Tonnen ergeben haben:

$$\begin{aligned} U_1 &= 89,39 & O_1 &= -114,42 \\ U_2 &= 104,30 & O_2 &= -107,99 \\ U_3 &= 127,85 & O_3 &= -129,26 \\ U_4 &= 141,22 & O_4 &= -141,85 \\ U_5 &= 147,46 & O_5 &= -147,46. \end{aligned}$$

#### Aufgabe 49. Endstäbe von Gurtungen einfacher Balken- fachwerke.

Für die am Auflager 0 zusammentreffenden beliebig geneigten Gurtungsstäbe einfacher Balkenfachwerke die Beanspruchungen für beliebige Belastung sowie die Grenzbeanspruchungen für gleichmässig vertheilte bewegte Last und bewegte Radlastzüge anzugeben.

Wir führen die in Fig. 208 ersichtlichen Bezeichnungen ein. Weiter seien  $v_1, u_1$  die nach oben positiv gerechneten Ordinaten der Knotenpunkte, welche die Stäbe der Beanspruchungen  $O_1, U_1$  nach

rechts begrenzen und  $n = l : \lambda$ . Eine jene Knotenpunkte verbindende Verticale ist gewöhnlich vorhanden, aber für die Gültigkeit der folgenden Formeln nicht nothwendig. Fürs Gleichgewicht am Auflager 0 hat man mit

$$(1) \quad A = V - K_0$$

bei jeder Belastung

$$A + O_1 \frac{o_1}{o_1} + U_1 \frac{u_1}{u_1} = 0,$$

$$O_1 \frac{\lambda}{o_1} + U_1 \frac{\lambda}{u_1} = 0.$$

Die erste dieser Gleichungen liefert mit Rücksicht auf die zweite und  $o_1 - u_1 = h_1$

$$(2) \quad \frac{U_1}{u_1} = \frac{A}{h_1} = - \frac{O_1}{o_1}.$$

Für ein gleichmässig vertheiltes Eigengewicht von  $g$  per Längeneinheit Träger beispielsweise hat man nach 1) den Werth von  $A$

$$A = \frac{g l}{2} - \frac{g \lambda}{2}$$

und damit nach 2) den Werth von  $U_1$

$$(3) \quad u_1 = (n - 1) \frac{g \lambda}{2} \frac{u_1}{h_1} = - \frac{u_1}{o_1} O_1.$$

Bei beliebiger Belastung hat man von der Verkehrslast herrührend

$$A = \frac{1}{l} \sum_0^n P(l - a) - \frac{1}{\lambda} \sum_0^1 P(\lambda - a),$$

und nach 1), wenn  $u_1$  den Beitrag beliebiger fester Last zu  $U_1$  bezeichnet,

$$(4) \quad U_1 = u_1 + \left[ (n - 1) \sum_0^1 P a + \sum_1^n P(l - a) \right] \frac{u_1}{h_1} = - \frac{u_1}{o_1} O_1.$$

Hiernach tragen alle Lasten auf dem Träger in gleichem Sinne zu  $U_1, O_1$  bei, und zwar umsomehr, je näher sie nach 1 kommen. Die unteren Grenzwerte von  $U_1, O_1$  treten für Eigengewicht allein ein, die oberen ergeben sich für bewegte Radlastzüge mit Zug I von 0 bis  $l$ , Rad 0 bei 1, aus 4), für gleichmässig vertheilte bewegte Last

$$(5) \quad U_1 = u_1 + (n - 1) \frac{p \lambda}{2} \frac{u_1}{h_1} = - \frac{u_1}{o_1} O_1,$$

welcher Werth mit  $P = pda$  aus 4) oder einfacher mit dem von der Verkehrslast herrührenden

$$A = \frac{p l}{2} - \frac{p \lambda}{2}$$

aus 2) folgt. Wird das Eigengewicht wie die Verkehrslast gleich-



mässig vertheilt angenommen, so sind mit 3) die oberen Grenzwerte

$$(6) \quad U_1 = \frac{q}{g} u_1, \quad O_1 = \frac{q}{g} \varnothing_1.$$

Weiteres über  $A$  und damit nach 2) über  $U_1, O_1$  ist aus Aufgabe 15 zu entnehmen.

Vorstehende Gleichungen kommen zur Anwendung, wenn  $h_0 = 0$  ist und damit die in §§ 90—92 gegebenen allgemeinen Formeln für  $U_m, O_m$  mit  $m = 1$  auf unbestimmte Ausdrücke führen.

**Aufgabe 50. Einfaches Balkenfachwerk doppelten Systems mit gekreuzten Diagonalen. Maximalbedingungen für die Stabkräfte.**

Die Bedingungen für Maxima der Stabkräfte beim Befahren eines einfachen Balkenfachwerks doppelten Systems mit gekreuzten Diagonalen anzugeben.

Die Stabkräfte für beliebige Stellung eines Lastsystems auf dem Träger sind durch § 92, 1)—6) ausgedrückt. Differentiirt man dieselben nach  $a$  und setzt die Differentialquotienten Null, so folgen die verlangten Maximalbedingungen

$$(1) \quad \text{für } U_m, O_m \quad \sum_0^{m-1} P + \frac{h_{m-1}}{h_m + h_{m-1}} \sum_{m-1}^m P \\ = \frac{m h_m + (m-1) h_{m-1}}{h_m + h_{m-1}} \cdot \frac{1}{n} \sum_0^l P,$$

$$(2) \quad \text{für } D_m, D'_m \quad - \sum_0^{m-1} P + (\varepsilon - 1) \sum_{m-1}^m P = \frac{\varepsilon - m}{n} \sum_0^l P,$$

und für  $H_m$  a) wenn die Fahrbahnlast im Knotenpunkte  $m$  des Obergurts angreift,

$$(3) \quad \sum_0^{m-1} P + \frac{q-1}{q} \sum_{m-1}^m P + \frac{1}{q} \sum_m^{m+1} P = \frac{m}{n} \sum_0^l P,$$

b) wenn die Fahrbahnlast im Knotenpunkte  $m$  des Untergurts angreift,

$$(4) \quad \sum_0^{m-1} P + \frac{q+1}{q} \sum_{m-1}^m P - \frac{1}{q} \sum_m^{m+1} P = \frac{m}{n} \sum_0^l P.$$

Greift die Fahrbahnlast zwischen beiden Gurten in Verticale  $m$  an, so gilt für das Verticalenstück von Fahrbahn bis Untergurt die Be-

dingung 3), für das Verticalenstück von Fahrbahn bis Obergurt die Bedingung 4).

Vorstehende Gleichungen lassen sich für besondere Trägerformen noch spezialisiren. So entsprechen dem Parallelträger, wegen  $h_m = h_{m-1}$ ,  $s = \infty$ ,  $\varphi = 0$ ,

$$(5) \text{ für } U_m, O_m \quad \sum_0^{m-1} P + \frac{1}{2} \sum_{m-1}^m P = \frac{2m-1}{2n} \sum_0^l P,$$

$$(6) \text{ für } D_m, D'_m \quad \sum_{m-1}^m P = \frac{1}{n} \sum_0^l P,$$

$$(7) \text{ für } H_m \quad \sum_{m-1}^m P = \frac{1}{2} \sum_{m-1}^{m+1} P.$$

Die abgeleiteten Gleichungen könnten wie in den Beispielen 25 und 28 zur Correctur von Laststellungen verwendet werden, was jedoch für mehrfache Systeme der ohnehin nicht genauen Berechnungen wegen am wenigsten nöthig sein wird.

**Beispiel 112. Parallelträger doppelten Systems mit gekreuzten Diagonalen. Berechnung für gleichmässig vertheilte bewegte Last.**

Für eine Brücke von  $l = 45$  m Spannweite sollen Parallelträger doppelten Systems mit gekreuzten Diagonalen zur Verwendung kommen. Gewünschte Trägerhöhe  $h = 6$  m, Felderzahl  $n = 9$ . Eigengewicht per laufenden Meter Träger  $g = 0,9$  tn, Verkehrslast 2,63 tn. Vom Eigengewichte kommen  $g_u = 0,6$  tn auf die Knotenpunkte des Untergurts, in welchen die Fahrbahnlast angreift, und  $g_o = 0,3$  tn auf diejenigen des Obergurts. Die Grenzwerte der Stabkräfte und Stützenreactionen zu berechnen (Fig. 209).

Da nach § 93, 4) allgemein

$$(1) \quad O_m = -U_m, \quad D'_m = -D_m,$$

so genügt es, die Grenzwerte und Werthe für Eigengewicht allein von  $U_m, D_m, H_m$  anzugeben.

**Eigengewicht allein.** Für die vom Eigengewichte allein herrührenden Stabkräfte hat man nach § 93, 5)

$$(2) \quad \begin{cases} U_m = [m(n-m) + (m-1)(n-m+1)] \frac{g \lambda^2}{4h}, \\ D_m = (n-2m+1) \frac{g \lambda d}{4h}, \\ \tilde{D}_m = \frac{g_u - g_o}{2} \lambda. \end{cases}$$

Mit den gegebenen Werthen und  $d = 7,810$  folgen hieraus

$$u_m = \frac{15}{16} [m(9 - m) + (m - 1)(10 - m)],$$

$$\mathfrak{D}_m = 2,929(5 - m), \quad \mathfrak{S}_m = 0,75 \text{ tn.}$$

Die zwei ersten Gleichungen liefern in Tonnen:

$$u_1 = 7,50 \quad \mathfrak{D}_1 = 11,72$$

$$u_2 = 20,63 \quad \mathfrak{D}_2 = 8,79$$

$$u_3 = 30,00 \quad \mathfrak{D}_3 = 5,86$$

$$u_4 = 35,63 \quad \mathfrak{D}_4 = 2,93$$

$$u_5 = 37,50 \quad \mathfrak{D}_5 = 0.$$

Für die Verticale 0 ist nach A. 46, 2) ausnahmsweise

$$(3) \quad \mathfrak{S}_0 = \frac{g_u - g_o}{4} \lambda - \frac{gl}{4} = -10,5 \text{ tn.}$$

**Grenzwerte.** Die unteren Grenzwerte der Gurtungskräfte treten für Eigengewicht allein, die oberen sind nach § 93, 11)  $q:g$  mal so gross als die unteren, also wegen  $q:g = 3,53:0,9 = 3,922$

$$U_1 = 29,42 \quad U_2 = 80,91 \quad U_3 = 117,66$$

$$U_4 = 139,74 \quad U_5 = 147,07 \text{ tn.}$$

Die Grenzwerte von  $D_m$  ergeben sich wie in Beispiel 41, jedoch wegen halb so grosser  $g, p$  der einfachen Systeme nur halb so gross wie dort, das heisst in Tonnen:

$$D_1 = 45,96 \quad D_1 = 11,72$$

$$D_2 = 35,00 \quad D_2 = 8,25$$

$$D_3 = 25,12 \quad D_3 = 3,72$$

$$D_4 = 16,30 \quad D_4 = 1,88$$

$$D_5 = 8,56 \quad D_5 = 8,56.$$

Die Grenzbeanspruchungen der Verticalen sind nach § 93, 10)

$$(4) \quad H_m = \mathfrak{S}_m + \frac{p\lambda}{2}, \quad H_m = \mathfrak{S}_m,$$

also die oberen Grenzbeanspruchungen

$$H_m = 0,75 + 2,63 \cdot 2,5 = 7,32 \text{ tn,}$$

jedoch nach A. 46, 6) für Verticale 0 ausnahmsweise

$$(5) \quad H_0 = \mathfrak{S}_0 - \frac{n-1}{4} p\lambda = -10,5 - 2 \cdot 2,63 \cdot 5 = -36,8 \text{ tn.}$$

Die Grenzwerte der Stützenreactionen sind wie in Beispiel 41 bestimmt.

Sollen die Trägerenden nach Fig. 210 abgeändert werden, so

entstehen nach A. 47, 1)—3) folgende Grenzbeanspruchungen der Endstäbe in Tonnen:

$$\begin{aligned} O &= -\frac{7,81}{5} 2 \cdot 29,42 = -91,91 & U &= 2 \cdot 29,42 = 58,84 \\ \textcircled{O} &= -\frac{7,81}{5} 2 \cdot 7,5 = -23,43 & \textcircled{U} &= 2 \cdot 7,5 = 15 \\ H &= \frac{6}{5} 29,42 + \frac{5}{2} (3,23 - 0,3) = 42,63 \\ \textcircled{H} &= \frac{6}{5} 7,5 + \frac{5}{2} (0,6 - 0,3) = 9,75. \end{aligned}$$

**Beispiel 118. Parallelträger doppelten Systems mit gekreuzten Diagonalen. Berechnung für bewegte Radlastzüge.**

Die Träger des vorigen Beispiels sollen nun einer eingelegigen Eisenbahnbrücke angehören und für bewegte Radlastzüge, zusammengesetzt aus Locomotiven der Radanordnung Fig. 18, berechnet werden.

Bis zur Berechnung der Grenzwerte gilt das im vorigen Beispiele Gesagte. Die unteren Grenzbeanspruchungen der Gurtungen und Verticalen sind deren dort berechnete Beanspruchungen durch Eigengewicht allein, für die oberen hat man nach § 93 mit Zug I von 0 bis  $n$ , Rad  $O$  bei Verticale  $m$ ,

$$(1) \quad \left\{ \begin{aligned} U_m &= \textcircled{U}_m + \left[ (2n - 2m + 1) \sum_0^{m-1} Pa \right. \\ &\quad \left. + (n - 2m + 1) \sum_{m-1}^m P(a - z) \right. \\ &\quad \left. + (2m - 1) \sum_m^n P(l - a) \right] \frac{1}{2nh}, \\ &\text{worin } z = -\frac{m-1}{n-2m+1} l, \end{aligned} \right.$$

und mit der grössten Verkehrsbelastung  $K$  des unteren Knotenpunkts  $m$

$$(2) \quad H_m = \textcircled{H}_m + \frac{K}{2},$$

jedoch für die Verticale 0 nach A. 46, 5) ausnahmsweise mit Zug I von 0 bis  $n$ , Rad  $O$  bei Verticale 1,

$$(3) \quad H_0 = \textcircled{H}_0 - \left[ (n-1) \sum_0^1 Pa + \sum_1^n P(l-a) \right] \frac{1}{2l}.$$

Die  $z$  ergeben sich für  $m = 1$  bis  $m = 5$

$$z = 0 \quad - 7,5 \quad - 22,5 \quad - 67,5 \quad - \frac{180}{0},$$

und nun folgen mit oder ohne Rücksicht auf die Tabelle in Beispiel 6 die oberen Grenzbeanspruchungen des Untergurts, wenn die angesetzten Gleichungen der ersten Richtung des Zuges I (Fig. 23, 24), die in Klammern beigefügten Werthe der zweiten Richtung entsprechen:

$$U_1 = 7,5 + [8 \cdot 62,2 + 1 \cdot 19,47] \frac{1}{108} = 30,14 \text{ tn (28,96),}$$

$$U_2 = 20,63 + [15(5 \cdot 4,5 + 6 \cdot 0,3) + 6(6 \cdot 17,5 + 6 \cdot 16,2 + 4 \cdot 15) + 3 \cdot 1499] \frac{1}{108} = 80,21 \text{ tn (80,86),}$$

$$U_3 = 30 + [13(5 \cdot 9,5 + 6 \cdot 5,3 + 6 \cdot 4 + 6 \cdot 2,7 + 4 \cdot 1,5) + 4(6 \cdot 37,5 + 6 \cdot 36,2 + 4 \cdot 35) + 5 \cdot 1089] \frac{1}{108} = 117,09 \text{ tn (118,19),}$$

$$U_4 = 35,63 + [11(5 \cdot 14,5 + 6 \cdot 10,3 + 6 \cdot 9 + 6 \cdot 7,7 + 4 \cdot 6,5 + 5 \cdot 3,5) + 2(6 \cdot 87,5 + 6 \cdot 86,2 + 4 \cdot 85) + 7 \cdot 764] \frac{1}{108} = 139,06 \text{ tn (139,42),}$$

$$U_5 = 37,5 + [9(5 \cdot 19,5 + 6 \cdot 15,3 + 6 \cdot 14 + 6 \cdot 12,7 + 4 \cdot 11,5 + 5 \cdot 8,5 + 6 \cdot 4,3 + 6 \cdot 3 + 6 \cdot 1,7 + 4 \cdot 0,5) + 180(6 + 6 + 4) + 9 \cdot 480] \frac{1}{108} = 145,58 \text{ tn (147,63).}$$

Die oberen Grenzbeanspruchungen der Verticalen 1 bis 5 erhält man (Fig. 211)

$$H_m = 0,75 + \frac{1}{2} \left( 6 + 6 \frac{3,7 + 2,4}{5} + 4 \frac{3,8}{5} + 5 \frac{0,8}{5} \right) = 9,33 \text{ tn,}$$

und diejenige der Verticale 0

$$H_0 = -9,75 - (8 \cdot 62,2 + 1947) \frac{1}{90} = -36,91 \text{ tn (-35,50).}$$

Die Grenzwerte von  $D_m$  ergeben sich wie in Beispiel 42, jedoch wegen halb so grosser  $g, P$  der einfachen Systeme nur halb so gross wie dort, nämlich in Tonnen:

$D_1 = 44,20$	$D_1 = 11,72$
$D_2 = 23,95$	$D_2 = 7,76$
$D_3 = 24,95$	$D_3 = 3,01$
$D_4 = 16,49$	$D_4 = -2,59$
$D_5 = 9,22$	$D_5 = -9,22.$

Die Grenzwerte der Stützenreactionen sind wie in Beispiel 42 bestimmt.

Sollen die Trägerenden nach Fig. 210 abgeändert werden und berücksichtigt man (bei  $H$ ), dass der obere Grenzwert von  $U_1$  mit Zug I von 0 bis  $n$ , Rad  $O$  bei Verticale 1 entsteht, so ergeben sich nach A. 47, 1)–3) die oberen Grenzbeanspruchungen der Endstäbe

$$O = -\frac{7,81}{6} 2 \cdot 30,14 = -94,16 \quad U = 2 \cdot 30,14 = 60,28$$

$$H = \frac{6}{5} 30,14 + \frac{5}{2} (0,6 - 0,3) + \frac{1}{2} \left( 6 + 2 \cdot 6 \frac{3,7}{5} + 4 \frac{2,5}{5} \right) = 45,36 \text{ tn},$$

während die unteren wie am Ende des vorigen Beispiels bestimmt bleiben.

**Beispiel 114. Parallelträger doppelten Systems mit gekreuzten Diagonalen. Berechnung mit Lastäquivalenten.**

Die Brückenträger des vorletzten Beispiels auf Grund gleichmässig vertheilter Lasten so zu berechnen, dass annähernd dieselben Grenzwerte wie mit den Radlastzügen des letzten Beispiels entstehen.

Bis zur Berechnung der Grenzwerte gilt das in Beispiel 112 Gesagte. Die unteren Grenzbeanspruchungen der Gurtungen und Verticalen sind deren dort berechnete Beanspruchungen durch Eigengewicht allein. Die oberen Grenzbeanspruchungen der Gurtungen hat man nach Aufgabe 48 mit demjenigen constanten  $p$  zu berechnen, welches für die  $\max M_x$  eines durch den angenommenen Lastzug I direct befahrenen vollwandigen Trägers der Spannweite 45 m zu verwenden wäre, d. h. nach der Tabelle in Beispiel 8 mit  $p = 2,63 \text{ tn}$ . Da dieser Werth auch in Beispiel 112 gewählt wurde, so bleiben die dort berechneten Grenzbeanspruchungen der Gurtungen gültig.

Die Grenzwerte von  $D_m$  ergeben sich wie in Beispiel 43, jedoch wegen halb so grosser  $g, p_c, p_v$  der einfachen Systeme nur halb so gross als dort, also in Tonnen:

$D_1 = 44,26$	$D_1 = 11,72$
$D_2 = 33,97$	$D_2 = 7,75$
$D_3 = 24,95$	$D_3 = 3,00$
$D_4 = 16,50$	$D_4 = - 2,59$
$D_5 = 9,24$	$D_5 = - 9,24$

Mit Rücksicht auf den Schlusssatz der Aufgabe 48 erhält man die oberen Grenzbeanspruchungen der Verticalen 1 bis 5

$$H_m = \S_m + \frac{p_1}{2} = 0,75 + 3,38 \cdot 2,5 = 9,20 \text{ tn},$$

und für Verticale 0

$$H_0 = \S_0 - \frac{n-1}{4} p \lambda = -9,75 - 2 \cdot 2,63 \cdot 5 = -36,05 \text{ tn.}$$

Die Grenzwerte der Stützenreactionen schliesslich sind wie in Beispiel 43 bestimmt.

Sollen die Trägerenden nach Fig. 210 abgeändert werden, so treten die am Schlusse des vorletzten Beispiels berechneten Grenzbeanspruchungen der Endstäbe ein.

**Beispiel 115. Parallelträger doppelten Systems mit ungleichen Feldern. Berechnung für gleichmässig vertheilte bewegte Last.**

Für Parallelträger doppelten Systems mit gekreuzten Diagonalen seien gegeben: Spannweite  $l = 45 \text{ m}$ , Trägerhöhe  $h = 6 \text{ m}$ , Felderzahl  $n = 10$ , Länge der zwei äussersten Felder  $\lambda_1 = \lambda_n = 2,5 \text{ m}$ , Länge der übrigen Felder  $5 \text{ m}$ ; ferner per laufenden Meter Träger Eigengewicht  $g = 0,9 \text{ tn}$ , Verkehrslast  $p = 2,63 \text{ tn}$ . Vom Eigengewichte kommen  $g_u = 0,6 \text{ tn}$  auf die Knotenpunkte des Untergurts, in welchen die Fahrbahnlast angreift, und  $g_o = 0,3 \text{ tn}$  auf diejenigen des Obergurts. Die Grenzwerte der Stabkräfte und Stützenreactionen zu berechnen (Fig. 212).

Da nach § 94, 1) für jede Belastung

$$(1) \quad O_m = -U_m, \quad D'_m = -D_m,$$

so genügt es, die Grenzwerte und Werthe für Eigengewicht allein von  $U_m$ ,  $D_m$ ,  $H_m$  anzugeben. Im Folgenden bezeichnet  $\lambda_m$  die Länge des  $m$ -ten Feldes und  $e_m$  die Entfernung der Verticale  $m$  vom Auflager 0.

**Eigengewicht allein.** Für Eigengewicht allein hat man nach § 94, 2) die Stabkräfte

$$(2) \quad \begin{cases} U_m = [(l - e_m) e_m + (l - e_{m-1}) e_{m-1}] \frac{g}{4h}, \\ D_m = (l - e_m - e_{m-1}) \frac{g d_m}{4h}, \\ \S_m = (\lambda_m + \lambda_{m+1}) \frac{g_u - g_o}{4}. \end{cases}$$

Wir erhalten hieraus in Tonnen:

$$U_1 = (42,5 \cdot 2,5 + 45 \cdot 0) \frac{3}{80} = 3,99$$

$$U_2 = (37,5 \cdot 7,5 + 42,5 \cdot 2,5) \frac{3}{80} = 14,53$$

$$U_3 = (32,5 \cdot 12,5 + 37,5 \cdot 7,5) \frac{3}{80} = 25,78$$

$$U_4 = (27,5 \cdot 17,5 + 32,5 \cdot 12,5) \frac{3}{80} = 33,28$$

$$U_5 = (22,5 \cdot 22,5 + 27,5 \cdot 17,5) \frac{3}{80} = 37,03,$$

$$D_1 = 42,5 \cdot 6,54 \frac{3}{80} = 10,42$$

$$D_2 = 35 \cdot 7,81 \frac{3}{80} = 10,25$$

$$D_3 = 25 \cdot 7,81 \frac{3}{80} = 7,32$$

$$D_4 = 15 \cdot 7,81 \frac{3}{80} = 4,39$$

$$D_5 = 5 \cdot 7,81 \frac{3}{80} = 1,46,$$

ferner für die Verticalen 2 bis 5

$$\mathfrak{S}_m = 10 \frac{0,6 - 0,3}{4} = 0,75,$$

und für die Verticale 1

$$\mathfrak{S}_1 = 7,5 \frac{0,6 - 0,3}{4} = 0,56.$$

Für die Verticale 0 ist nach A. 46, 2) ausnahmsweise

$$(3) \quad \mathfrak{S}_0 = \frac{g_u - g_o}{4} \lambda_1 - \frac{g l}{4} = -9,94 \text{ tn.}$$

Grenzwerthe. Die unteren Grenzwerthe der Gurtungskräfte treten für Eigengewicht allein ein, die oberen sind nach § 94, 7)  $q : g$  mal so gross, also wegen  $q : g = 3,53 : 0,9 = 3,922$ :

$$U_1 = 15,65 \quad U_2 = 56,59 \quad U_3 = 101,11$$

$$U_4 = 130,52 \quad U_5 = 145,23.$$

Die Grenzwerthe von  $D_m$  ergeben sich wie in Beispiel 46, jedoch wegen halb so grosser  $g, p$  der einfachen Systeme nur halb so gross wie dort, nämlich in Tonnen:

$$D_1 = 40,86 \quad D_1 = 10,42$$

$$D_2 = 40,34 \quad D_2 = 10,12$$

$$D_3 = 29,92 \quad D_3 = 6,12$$

$$D_4 = 20,58 \quad D_4 = 1,05$$

$$D_5 = 12,30 \quad D_5 = -5,09.$$

Die Grenzbeanspruchungen der Verticalen sind nach § 94, 6)

$$(4) \quad H_m = \mathfrak{S}_m + (\lambda_m + \lambda_{m+1}) \frac{p}{4}, \quad H_m = \mathfrak{S}_m,$$



also die oberen Grenzbeanspruchungen der Verticalen 2 bis 5

$$H_m = 0,75 + \frac{10}{4} 2,63 = 7,32 \text{ tn,}$$

und die obere Grenzbeanspruchung der Verticale 1

$$H_1 = 0,56 + \frac{7,5}{4} 2,63 = 5,49 \text{ tn,}$$

während für Verticale 0 nach A. 46, 6) ausnahmsweise

$$H_0 = \mathfrak{H}_0 - \frac{l-l_1}{4} p = -37,88 \text{ tn.}$$

Die Grenzwerte der Stützenreactionen sind wie in Beispiel 41 bestimmt.

Sollen die Trägerenden nach Fig. 213 abgeändert werden, so entstehen nach A. 47, 1)—3) folgende Grenzbeanspruchungen der Endstäbe in Tonnen:

$$O = -\frac{6,54}{2,5} 2 \cdot 15,65 = -81,88 \quad U = 2 \cdot 15,65 = 31,30$$

$$\mathfrak{O} = -\frac{6,54}{2,5} 2 \cdot 3,99 = -20,88 \quad \mathfrak{U} = 2 \cdot 3,99 = 7,98,$$

$$H = \frac{6}{2,5} 15,65 + \frac{3,75}{2} (3,23 - 0,3) = 43,05$$

$$\mathfrak{H} = \frac{6}{2,5} 3,99 + \frac{3,75}{2} (0,6 - 0,3) = 10,14.$$

**Beispiel 116. Parallelträger doppelten Systems mit ungleichen Feldern. Berechnung für bewegte Radlastzüge.**

Die Träger des vorigen Beispiels sollen nun einer eingleisigen Eisenbahnbrücke angehören und für bewegte Radlastzüge, zusammengesetzt aus Locomotiven der Radanordnung Fig. 18, berechnet werden.

Bis zur Berechnung der Grenzwerte gilt das im vorigen Beispiele Gesagte. Die unteren Grenzbeanspruchungen der Gurtungen und Verticalen sind deren dort berechnete Eigengewichtsbeanspruchungen, für die oberen hat man bei Belastung durch Zug I von 0 bis  $n$ , Rad 0 bei Verticale  $m$  (wegen lauter negativer  $z$ ),

$$(1) \quad \left\{ \begin{aligned} U_m &= \mathfrak{U}_m + \left[ (2l - e_m - e_{m-1}) \sum_0^{m-1} Pa \right. \\ &\quad + (l - e_m - e_{m-1}) \sum_{m-1}^n P(a - z) \\ &\quad \left. + (e_m + e_{m-1}) \sum_m^n P(l - a) \right] \frac{1}{2lh}, \\ \text{worin} \quad z &= -\frac{le_{m-1}}{l - e_m - e_{m-1}}, \end{aligned} \right.$$

und mit der grössten Verkehrslast  $K$  des unteren Knotenpunktes  $m$

$$(2) \quad H_m = \mathfrak{H}_m + \frac{K}{2},$$

jedoch nach A. 46, 5) ausnahmsweise für Verticale 0 mit Zug I von 0 bis  $n$ , Rad  $O$  bei Verticale 1,

$$(3) \quad H_0 = \mathfrak{H}_0 - \left[ \frac{l - \lambda_1}{\lambda_1} \sum_0^1 Pa + \sum_1^n P(l - a) \right] \frac{1}{2l}.$$

Die  $s$  ergeben sich für  $m = 1$  bis  $m = 5$

$$s = 0 \quad - 3,21 \quad - 13,5 \quad - 37,5 \quad - 157,5.$$

Setzen wir die Ausdrücke der oberen Grenzbeanspruchungen  $U_m$  für die erste Richtung des Zuges I (Fig. 23, 24) an und fügen die der zweiten Richtung entsprechenden Resultate in Klammern bei, so folgen mit oder ohne Rücksicht auf die Tabelle in Beispiel 6:

$$U_1 = 3,99 + [42,5 (6 \cdot 2,5 + 6 \cdot 1,2) + 2,5 \cdot 2206] \frac{1}{540} = 15,95 \text{ tn } (15,65),$$

$$U_2 = 14,53 + [80 \cdot 5 \cdot 2 + 35 (6 \cdot 10,71 + 6 \cdot 9,41 + 4 \cdot 8,21) + 10 \cdot 1717] \frac{1}{540} = 57,76 \text{ tn } (55,96),$$

$$U_3 = 25,78 + [70 (5 \cdot 7 + 6 \cdot 2,8 + 6 \cdot 1,5 + 6 \cdot 0,2) + 25 (6 \cdot 26 + 6 \cdot 24,7 + 4 \cdot 23,5) + 20 \cdot 1290] \frac{1}{540} = 100,02 \text{ tn } (101,43),$$

$$U_4 = 33,28 + [60 (5 \cdot 12 + 6 \cdot 7,8 + 6 \cdot 6,5 + 6 \cdot 5,2 + 4 \cdot 4 + 5 \cdot 1) + 15 (6 \cdot 55 + 6 \cdot 53,7 + 4 \cdot 52,5) + 30 \cdot 916] \frac{1}{540} = 130,12 \text{ tn } (130,06),$$

$$U_5 = 37,03 + [50 (5 \cdot 17 + 6 \cdot 12,8 + 6 \cdot 11,5 + 6 \cdot 10,2 + 4 \cdot 9 + 5 \cdot 6 + 6 \cdot 1,8 + 6 \cdot 0,5) + 5 (6 \cdot 180 + 6 \cdot 178,7 + 4 \cdot 177,5) + 40 \cdot 617] \frac{1}{540} = 143,66 \text{ tn } (144,29).$$

Weiter erhält man die oberen Grenzbeanspruchungen der Verticalen 2 bis 5 (Fig. 211)

$$H_m = 0,75 + \frac{1}{2} \left( 6 + 6 \frac{3,7 + 2,4}{5} + 4 \frac{3,8}{5} + 5 \frac{0,8}{5} \right) = 9,33 \text{ tn},$$

der Verticale 1 (Fig. 214)

$$H_m = 0,56 + \frac{1}{2} \left( 6 + 6 \frac{3,7 + 2,4}{5} + 4 \frac{1,3}{2,5} \right) = 8,26 \text{ tn},$$

und der Verticale 0

$$\begin{aligned} H_0 &= -9,94 - [17(6 \cdot 2,5 + 6 \cdot 1,2) + 2206] \frac{1}{90} \\ &= -38,64 \text{ tn } (-37,92). \end{aligned}$$

Die Grenzwerte von  $D_m$  ergeben sich wie in Beispiel 47, jedoch wegen halb so grosser  $g$ ,  $P$  der einfachen Systeme nur halb so gross als dort, also in Tonnen:

$$\begin{array}{ll} D_1 = 40,92 & D_1 = 10,42 \\ D_2 = 38,99 & D_2 = 9,91 \\ D_3 = 29,32 & D_3 = 5,44 \\ D_4 = 20,65 & D_4 = 0,40 \\ D_5 = 12,63 & D_5 = -5,83. \end{array}$$

Die Grenzwerte der Stützenreactionen sind wie in Beispiel 42 bestimmt.

Sollen die Trägerenden nach Fig. 213 abgeändert werden und berücksichtigt man (bei  $H$ ), dass der obere Grenzwert von  $U_1$  mit Zug I von 0 bis  $n$ , Rad  $O$  bei Verticale 1 eintritt, so ergeben sich nach A. 47, 1)—3) die oberen Grenzbeanspruchungen der Endstäbe

$$O = -\frac{6,54}{2,5} 2 \cdot 15,95 = -83,45 \quad U = 2 \cdot 15,95 = 31,90$$

$$H = \frac{6}{2,5} 15,95 + \frac{3,75}{2} (0,6 - 0,3) + \frac{1}{2} \left( 6 + 6 \frac{3,7}{5} + 6 \frac{1,2}{2,5} \right) = 45,50 \text{ tn},$$

während die unteren wie am Ende des vorigen Beispiels bestimmt bleiben.

**Beispiel 117. Parallelträger doppelten Systems mit ungleichen Feldern. Berechnung mit Lastäquivalenten.**

Die Brückenträger des vorliegenden Beispiels auf Grund gleichmässig vertheilter Lasten so zu berechnen, dass annähernd dieselben Grenzwerte wie mit den Radlastzügen des letzten Beispiels entstehen.

Bis zur Berechnung der Grenzwerte gilt das in Beispiel 115 Gesagte. Die unteren Grenzbeanspruchungen der Gurtungen und Verticalen sind deren dort berechnete Eigengewichtsbeanspruchungen. Die oberen Grenzbeanspruchungen der Gurtungen sind mit demjenigen constanten  $p$  zu berechnen, welches für die max  $M_x$  eines durch den

angenommenen Zug I direct befahrenen vollwandigen Trägers der Spannweite 45 m zu verwenden wäre, d. i. nach der Tabelle in Beispiel 8 mit  $p = 2,63$  tn. Da dieser Werth schon in Beispiel 115 gewählt wurde, so bleiben die dort berechneten Grenzbeanspruchungen der Gurtungen gültig.

Die Grenzwerte von  $D_m$  ergeben sich wie in Beispiel 48, jedoch wegen halb so grosser  $g$ ,  $p$ ,  $p$ , der einfachen Systeme nur halb so gross als dort, nämlich in Tonnen:

$$\begin{array}{ll} D_1 = 40,84 & D_1 = 10,42 \\ D_2 = 39,02 & D_2 = 9,91 \\ D_3 = 29,32 & D_3 = 5,44 \\ D_4 = 20,64 & D_4 = 0,40 \\ D_5 = 12,66 & D_5 = - 5,82. \end{array}$$

Ganz entsprechend dem Verfahren bei gleichlangen Feldern erhält man die oberen Grenzbeanspruchungen der Verticalen nach der für gleichmässig vertheilte bewegte Last gültigen Formel

$$H_m = \xi_m + (\lambda_m + \lambda_{m+1}) \frac{p}{4}$$

mit demjenigen  $p$ , welches für die max  $M_x$  eines direct befahrenen vollwandigen Trägers der Spannweite  $\lambda_m + \lambda_{m+1}$  gilt, also mit Rücksicht auf die Tabelle in Beispiel 8 für die Verticalen 2 bis 5

$$H_m = 0,75 + \frac{10}{4} 3,38 = 9,20 \text{ tn}$$

und für die Verticale 1

$$H_m = 0,56 + \frac{7,5}{4} 4,05 = 8,15 \text{ tn.}$$

Nur für die Verticale 0 gilt mit dem für die Gurtungen verwendeten  $p$

$$H_0 = \xi_0 - \frac{l - \lambda_1}{4} p = - 37,88 \text{ tn.}$$

Die Grenzwerte der Stützenreactionen sind wie in Beispiel 43 bestimmt.

Sollen die Trägerenden nach Fig. 213 abgeändert werden, so treten die am Schlusse des vorletzten Beispiels berechneten Grenzbeanspruchungen der Endstäbe ein.

**Beispiel 118. Parallelträger vierfachen Systems mit gekreuzten Diagonalen.**

Für eine Brücke von  $l = 45$  m Spannweite sollen Parallelträger

nach der Anordnung Fig. 215 zur Verwendung kommen. Gewünschte Trägerhöhe  $h = 6$  m, Entfernung der Verticalen von einander 2,5 m. Eigengewicht per laufenden Meter Träger  $g = 0,9$  tn, Verkehrslast  $p = 2,63$  tn. Vom Eigengewichte kommen 0,6 tn auf die Knotenpunkte des Untergurts, in welchen die Fahrbahnlast angreift und 0,3 tn auf diejenigen des Obergurts. Die Grenzwerte der Stabkräfte und Stützenreactionen zu berechnen.

Das vierfache System Fig. 215 zerfällt in die zwei doppelten Systeme Fig. 216, 217. Die Stabkräfte der Letzteren ergeben sich wie in Beispiel 112 und 115, jedoch wegen halb so grosser  $g$ ,  $p$  der doppelten Systeme nur halb so gross wie dort. Die betreffenden Grenzbeanspruchungen wurden in Fig. 216, 217 bei ihren Stäben eingeschrieben, abgesehen von den unteren Grenzbeanspruchungen der Gurtungen, welche  $\frac{g}{q} = \frac{0,9}{3,53}$  mal so gross als die oberen sind, und abgesehen von den Grenzbeanspruchungen der nach Auflager 0 hin abfallenden Diagonalen, welche gleiche Zahlenwerthe mit entgegengesetzten Vorzeichen wie die sie durchkreuzenden haben. Vereinigen wir nun die Systeme Fig. 216, 217 zum Systeme Fig. 215 und addiren, wie angedeutet, die oberen Grenzbeanspruchungen zusammenfallender Untergurtstäbe (womit auch die oberen Grenzbeanspruchungen des Obergurts bekannt werden), so entstehen die in Fig. 215 eingeschriebenen Grenzbeanspruchungen der Füllungsglieder und oberen Grenzbeanspruchungen der Gurtungen. Die unteren Grenzbeanspruchungen der Gurtungen, welche für Eigengewicht allein eintreten, sind wieder  $g:q$  mal so gross als die oberen und deshalb nicht eingetragen. Die Grenzwerte der Stützenreactionen sind wie in Beispiel 112 und 115 79,42 und 20,25 tn.

Wünscht man die Trägerenden nach Fig. 218 abzuändern, so ergeben sich mit Rücksicht auf die in Beispiel 112 und 115 berechneten Beanspruchungen der entsprechenden doppelten Systeme die in Fig. 218 eingeschriebenen Aenderungen der Grenzbeanspruchungen gegenüber Fig. 215.

Sollte der Träger für bewegte Radlastzüge, zusammengesetzt aus Locomotiven der Radanordnung Fig. 18, berechnet werden, so würden die Beanspruchungen der doppelten Systeme halb so gross wie in Beispiel 113, 116 berechnet sein und zur Berechnung mit Lastäquivalenten solcher Züge halb so gross wie in Beispiel 114, 117. Das Verfahren im Uebrigen würde ganz wie oben (Uebung desselben mit

den Zahlen jener Beispiele zu empfehlen) und die Stützenreactionen wie in jenen Beispielen bleiben.

**Beispiel 119. Dreiecksträger doppelten Systems mit gekreuzten Diagonalen. Berechnung für gleichmässig vertheilte bewegte Last.**

Für Dreiecksträger doppelten Systems mit gekreuzten Diagonalen nach der Anordnung Fig. 219 (die auf der zweiten Trägerhälfte eingeschriebenen Zahlen bedeuten Stablängen) seien gegeben: Spannweite  $l = 24$  m, Trägerhöhe in der Mitte  $h = 4$  m, Felderzahl  $n = 8$ ; ferner per laufenden Meter Träger Eigengewicht  $g = 0,73$  tn, Verkehrslast  $p = 2,77$  tn. Vom Eigengewichte kommen  $g_o = 0,53$  tn auf die Knotenpunkte des Obergurts, in welchen die Fahrbahnlast angreift, und  $g_u = 0,2$  tn auf diejenigen des Untergurts. Die Grenzwerte der Stabkräfte und Stützenreactionen festzustellen.

Nach § 95 hat man von 0 bis zur mittleren Verticalen

$$(1) \quad \frac{m}{h_m} = \frac{m-1}{h_{m-1}} = \frac{1}{c} \quad \text{mit} \quad c = \frac{2h}{n} = 1.$$

Die mittlere Verticalen ist nach den Formeln für beliebige Gurtungsformen zu berechnen und dabei wegen horizontalen Obergurtes nach § 90, 4)

$$(2) \quad \varrho = \frac{h_{m-1} + h_{m+1}}{h_m} - 2 = -\frac{1}{2}.$$

**Eigengewicht allein.** Für die vom Eigengewichte allein herührenden Stabkräfte hat man nach § 95, 5) und § 38, 5) sowie nach § 90, 7) mit  $\varrho = 0$

$$(3) \quad \begin{cases} u_m = (2n - 2m + 1) \frac{g\lambda u}{4c} = -\frac{u}{\lambda} \mathfrak{D}_m, \\ \mathfrak{D}'_m = \frac{g\lambda}{4c} d'_m, & \mathfrak{D}_m = -\frac{g\lambda}{4c} d_m, \\ \mathfrak{G}_m = \frac{g_u - g_o}{2} \lambda. \end{cases}$$

Die Gleichungen für Gurtungen und Diagonalen nehmen mit den gegebenen Werthen folgende Formen an:

$$\begin{aligned} u_m &= 1,729 (17 - 2m) = -\frac{3,16}{3} \mathfrak{D}_m, \\ \mathfrak{D}'_m &= 0,547 d'_m, & \mathfrak{D}_m &= -0,547 d_m, \end{aligned}$$

woraus in Tonnen:

$$\begin{aligned}
 u_1 &= 25,94 & D_1 &= -24,63 \\
 u_2 &= 22,48 & D_2 &= -21,35 & D_2' &= 1,73 & D_2 &= -1,97 \\
 u_3 &= 19,02 & D_3 &= -18,06 & D_3' &= 1,97 & D_3 &= -2,32 \\
 u_4 &= 15,56 & D_4 &= -14,78 & D_4' &= 2,32 & D_4 &= -2,74.
 \end{aligned}$$

Für die Verticalen 1 bis 3 liefert 3)

$$\mathfrak{H}_m = -0,50 \text{ tn},$$

während für die mittlere Vorticale  $\sigma$  nach § 90, 7)

$$\mathfrak{H}_\sigma = \frac{g^l}{8} \sigma \varrho + \frac{g_u - g_o}{2} \lambda = -4,88 \text{ tn}.$$

**Grenzwerte.** Die unteren Grenzbeanspruchungen sämtlicher Stäbe treten für Eigengewicht allein ein, die oberen Grenzbeanspruchungen der Gurtungen und Diagonalen sind nach § 95, 9) und § 39, 8)  $q:g$  mal so als die unteren, also wegen  $q:g = 3,5:0,73 = 4,794$ :

$$\begin{aligned}
 U_1 &= 124,36 & O_1 &= -118,08 \\
 U_2 &= 107,77 & O_2 &= -102,35 & D_2' &= 8,29 & D_2 &= -9,44 \\
 U_3 &= 91,18 & O_3 &= -86,58 & D_3' &= 9,44 & D_3 &= -11,12 \\
 U_4 &= 74,59 & O_4 &= -70,86 & D_4' &= 11,12 & D_4 &= -13,14.
 \end{aligned}$$

Als obere Grenzbeanspruchungen der Verticalen hat man nach § 91, 12) für die Verticalen 1 bis 3 mit  $\varrho = 0$

$$H_m = \mathfrak{H}_m - \frac{p\lambda}{2} = -4,56 \text{ tn},$$

und für die mittlere Vorticale

$$H_\sigma = \mathfrak{H}_\sigma + \frac{p^l}{8} \sigma \varrho - \frac{p\lambda}{2} = -25,66 \text{ tn}.$$

Die Grenzwerte der Stützenreactionen sind wie in Beispiel 54 bestimmt.

**Beispiel 120. Dreiecksträger doppelten Systems mit gekreuzten Diagonalen. Berechnung für bewegte Radlastzüge.**

Die Träger des vorigen Beispiels sollen nun einer eingleisigen Eisenbahnbrücke angehören und für bewegte Radlastzüge, zusammengesetzt aus Locomotiven der Radanordnung Fig. 18, berechnet werden.

Bis zur Berechnung der Grenzwerte gilt das im vorigen Beispiele Gesagte. Die unteren Grenzwerte sämtlicher Stabkräfte sind die dort berechneten Eigengewichtsbeanspruchungen, für die oberen hat man nach § 93, 1) 2) und B. 119, 1) mit Zug I von 0 bis  $n$ , Rad  $O$  bei Vorticale  $m$  (wegen lauter negativer  $z$ ),

$$(1) \quad \left\{ \begin{aligned} U_m &= u_m + \left[ \left( \frac{n-m}{h_m} + \frac{n-m+1}{h_{m-1}} \right) \sum_0^{m-1} Pa \right. \\ &\quad \left. + \frac{n-2m}{cm} \sum_{m-1}^m P(a-z) \right. \\ &\quad \left. + \frac{2}{c} \sum_m^n P(l-a) \right] \frac{u}{2l} = - \frac{u}{l} O_m \\ \text{mit} \quad z &= - \frac{m}{n-2m} l, \end{aligned} \right.$$

jedoch ausnahmsweise nach A. 49, 4) mit Zug I von 0 bis  $n$ , Rad  $O$  bei Verticale 1,

$$(2) \quad U_1 = u_1 + \left[ (n-1) \sum_0^1 Pa + \sum_1^n P(l-a) \right] \frac{u}{lh_1} = - \frac{u}{l} O_1;$$

ferner nach § 92, 5) für die Verticalen 1 bis 3 wegen  $q = 0$  mit der grössten Verkehrsbelastung  $K$  des Knotenpunktes  $m$

$$(3) \quad H_m = \mathfrak{H}_m - \frac{K}{2},$$

und für die mittlere Verticale  $\sigma$  mit Zug I von 0 bis  $n$ , Rad  $O$  bei der Trägermitte,

$$(4) \quad H_\sigma = \mathfrak{H}_\sigma + \left[ \sum_0^\sigma Pa + \sum_\sigma^n P(l-a) \right] \frac{q}{4l} - \frac{K}{2}.$$

Die  $z$  für  $m = 2$  bis  $m = 4$  ergeben sich

$$z = \quad -12 \quad -36 \quad -\frac{96}{0}.$$

Setzen wir die Gleichungen der  $U$  für die erste Richtung des Zuges I an (Fig. 23, 24) und fügen die der zweiten Richtung entsprechenden Resultate in Klammern bei, so erhalten wir mit oder ohne Rücksicht auf die Tabelle in Beispiel 6 für den Untergurt:

$$U_1 = 25,94 + [7 \cdot 30,2 + 535] \frac{3,16}{24} = 126,61 \text{ tn } (118,31),$$

$$U_2 = 22,48 + \left[ \left( \frac{6}{2} + \frac{7}{1} \right) 5 \cdot 0,5 + 2 (6 \cdot 18 + 6 \cdot 16,7 + 4 \cdot 15,5) \right. \\ \left. + 2 \cdot 383 \right] \frac{3,16}{48} = 110,09 \text{ tn } (102,91),$$

$$U_3 = 19,02 + \left[ \left( \frac{5}{3} + \frac{6}{2} \right) 5 \cdot 3,5 + \frac{2}{3} (6 \cdot 45 + 6 \cdot 43,7 + 4 \cdot 42,5) \right. \\ \left. + 2 \cdot 271 \right] \frac{3,16}{48} = 90,88 \text{ tn } (89,60),$$

$$U_4 = 15,56 + \left[ \left( \frac{4}{4} + \frac{5}{3} \right) (5 \cdot 6,5 + 6 \cdot 2,3 + 6 \cdot 1) + 24 (6 + 6 + 4) \right. \\ \left. + 2 \cdot 173 \right] \frac{3,16}{48} = 72,77 \text{ tn } (73,87),$$



und mit den ungünstigsten dieser Werthe nach dem zweiten Ausdrucke 1) für den Obergurt:

$$\begin{aligned} O_1 &= -120,19 & O_3 &= -86,27 \\ O_2 &= -104,51 & O_4 &= -70,12. \end{aligned}$$

Weiter folgen die oberen Grenzbeanspruchungen der Verticalen 1 bis 3

$$H_m = -0,50 - \frac{1}{2} \left( 6 + 2 \cdot 6 \frac{1,7}{3} + 4 \frac{0,5}{3} \right) = -7,23 \text{ tn},$$

und diejenige der Verticale 4 (Richtung des Zuges I gleichgültig)

$$\begin{aligned} H_4 &= -4,88 - (226 + 173) \frac{1}{24} \\ &\quad - \frac{1}{2} \left( 6 + 2 \cdot 6 \frac{1,7}{3} + 4 \frac{0,5}{3} \right) = -28,23 \text{ tn}. \end{aligned}$$

Die oberen Grenzwerte  $D'_m$  ergeben sich wie die  $D_m$  in Beispiel 52, jedoch wegen halb so grosser  $g$ ,  $P$  der einfachen Systeme nur halb so gross als dort. Die oberen Grenzwerte  $D_m$  sind damit wegen

$$(5) \quad D_m = -\frac{d_m}{d'_m} D'_m$$

ebenfalls bestimmt. Wir erhalten in Tonnen:

$$\begin{aligned} D'_2 &= 12,37 & D'_3 &= 12,12 & D'_4 &= 12,92 \\ D_2 &= -14,13 & D_3 &= -14,24 & D_4 &= -15,23. \end{aligned}$$

Die Grenzwerte der Stützenreactionen sind wie in Beispiel 55 bestimmt.

**Beispiel 121. Dreiecksträger doppelten Systems mit gekreuzten Diagonalen. Berechnung mit Lastäquivalenten.**

Die Dreiecksträger des vorletzten Beispiels auf Grund gleichmässig vertheilter Lasten so zu berechnen, dass annähernd dieselben Grenzwerte wie mit den Radlastzügen des letzten Beispiels entstehen.

Bis zur Berechnung der Grenzwerte gilt das im vorletzten Beispiele Gesagte. Die unteren Grenzbeanspruchungen aller Stäbe sind deren dort berechnete Eigengewichtsbeanspruchungen. Die oberen Grenzbeanspruchungen der Gurtungen hat man nach Aufgabe 48 mit demjenigen constanten  $p$  zu berechnen, welches für die  $\max M_x$  eines direct befahrenen vollwandigen Trägers der Spannweite 24 m zu verwenden wäre. Aus der Tabelle in Beispiel 8 entnimmt man  $p = 2,77 \text{ tn}$ , und da dieser Werth bereits in Beispiel 119 gewählt wurde, so bleiben die dort berechneten Grenzbeanspruchungen der Gurtungen gültig.

Die oberen Grenzwerte von  $D'_m$  ergeben sich wie die der  $D_m$  in Beispiel 53, jedoch wegen halb so grosser  $g$ ,  $p$  der einfachen Systeme nur halb so gross als dort. Die oberen Grenzwerte von  $D_m$  sind damit wegen

$$D_m = - \frac{d_m}{d'_m} D'_m$$

ebenfalls bestimmt. Wir erhalten in Tonnen:

$$\begin{array}{lll} D'_2 = 12,37 & D'_3 = 11,78 & D'_4 = 12,31 \\ D_2 = -14,13 & D_3 = -13,84 & D_4 = -14,50. \end{array}$$

Mit Rücksicht auf den Satzsatz der Aufgabe 48 und die Tabelle in Beispiel 8 folgen die oberen Grenzbeanspruchungen der Verticalen 1 bis 3

$$H_m = \S_m - \frac{p^2}{2} = -0,50 - 4,49 \cdot 1,5 = -7,23 \text{ tn},$$

und diejenige der mittleren Verticale

$$\begin{aligned} H_o = \S_o + \frac{p^2}{8} \sigma \varrho - \frac{p^2}{2} &= -4,88 - 2,77 \frac{24 \cdot 4}{8 \cdot 2} \\ &= -4,49 \cdot 1,5 = -28,23 \text{ tn}. \end{aligned}$$

Die Grenzwerte der Stützenreactionen sind wie in Beispiel 56 bestimmt.

**Beispiel 122. Parabelträger doppelten Systems mit gekreuzten Diagonalen. Berechnung für gleichmässig vertheilte bewegte Last.**

Für einfache Balkenträger doppelten Systems mit gekreuzten Diagonalen, horizontalem Untergurte und parabolischem Obergurte sind gegeben: Spannweite  $l = 24 \text{ m}$ , Trägerhöhe  $h = 3,2 \text{ m}$ , Felderzahl  $n = 8$ ; ferner per laufenden Meter Träger Eigengewicht  $g = 0,73 \text{ tn}$ , Verkehrslast  $p = 2,77 \text{ tn}$ . Vom Eigengewichte kommen  $g_u = 0,53 \text{ tn}$  auf die Knotenpunkte des Untergurts, in welchen die Fahrbahnlast angreift, und  $g_o = 0,2 \text{ tn}$  auf diejenigen des Obergurts. Die Grenzwerte der Stabkräfte und Stützenreactionen zu berechnen. (Fig. 220).

Die Formberechnung wurde schon in Beispiel 54 gezeigt. Wir haben demnach in Metern

für	$m =$	1	2	3	4:
	$h_m =$	1,4	2,4	3	3,2
	$o_m =$	3,31	3,16	3,06	3,01
	$d_m =$	3	3,31	3,84	4,24
	$d'_m =$	3,31	3,84	4,24	4,39,

während  $u_m = \lambda = 3$  und der Pfeil des die Obergurtform bestimmenden Parabelbogens  $f = h = 3,2$  ist.

**Eigengewicht allein.** Für die vom Eigengewichte allein herührenden Stabkräfte hat man nach § 96, 6) 8)

$$(1) \quad \begin{cases} u_m = \frac{gl^2}{8f} = -\frac{\lambda}{\sigma_m} \mathfrak{D}_m, \\ \mathfrak{D}_m = 0 = \mathfrak{D}'_m, \quad \mathfrak{S}_m = \lambda g_u, \end{cases}$$

woraus mit den gegebenen Zahlenwerthen in Tonnen:

$$u_m = 16,42 \quad \mathfrak{S}_m = 1,59 \\ \mathfrak{D}_1 = -18,12 \quad \mathfrak{D}_2 = -17,30 \quad \mathfrak{D}_3 = -16,75 \quad \mathfrak{D}_4 = -16,48.$$

**Grenzwerte.** Die unteren Grenzbeanspruchungen der Gurtungen und Verticalen treten für Eigengewicht allein ein, die oberen Grenzbeanspruchungen sind nach § 97, 12) 10)

$$(2) \quad \begin{cases} U_m = \frac{q}{g} u_m & O_m = \frac{q}{g} \mathfrak{D}_m \\ H_m = \mathfrak{S}_m + p\lambda, \end{cases}$$

also mit  $q : g = 3,5 : 0,73 = 4,794$  in Tonnen:

$$U_m = 78,72 \quad H_m = 9,9 \\ O_1 = -86,87 \quad O_2 = -82,94 \quad O_3 = -80,30 \quad O_4 = -79,01.$$

Als Grenzbeanspruchungen der nach Auflager 0 hin ansteigenden Diagonalen hat man nach § 97, 2)

$$(3) \quad D_m = \frac{n}{n+1} \frac{pl}{16f} d_m, \quad D_m = -\frac{n}{n+1} \frac{pl}{16f} d_m,$$

und als Grenzbeanspruchungen der nach 0 hin abfallenden Diagonalen

$$(4) \quad D'_m = -\frac{n}{n+1} \frac{pl}{16f} d'_m, \quad D'_m = \frac{n}{n+1} \frac{pl}{16f} d'_m.$$

Diese Gleichungen liefern in Tonnen:

$$D_2 = \pm 3,82 \quad D_2 = \mp 4,43 \\ D_3 = \pm 4,43 \quad D_3 = \mp 4,89 \\ D_4 = \pm 4,89 \quad D_4 = \mp 5,07.$$

Die Grenzwerte der Stützenreactionen sind wie in Beispiel 54 bestimmt.

**Beispiel 123.** Parabelträger doppelten Systems mit gekreuzten Diagonalen. Berechnung für bewegte Radlastzüge.

Die Träger des vorigen Beispiels sollen nun einer eingeleisigen

Eisenbahnbrücke angehören und für bewegte Radlastzüge, zusammengesetzt aus Locomotiven der Radanordnung Fig. 18, berechnet werden.

Bis zur Berechnung der Grenzwerte gilt das im vorigen Beispiele Gesagte. Die unteren Grenzbeanspruchungen der Gurtungen und Verticalen sind die dort berechneten Eigengewichtsbeanspruchungen, die oberen ergeben sich nach den schon in Beispiel 110 verwendeten Formeln für beliebige Gurtungsformen. Dabei kommt bezüglich der  $U_m$  in Betracht, dass beim Parabelträger

$$z = - \frac{(m-1) h_m}{(n-m) h_{m-1} - (m-1) h_m} l = - \frac{m}{n-2m+1} l$$

auf der ersten Trägerhälfte stets negativ ist, im vorliegenden Falle für

$$z = \begin{array}{ccc} U_2 & U_3 & U_4: \\ -9,6 & -24 & -96, \end{array}$$

und bezüglich der  $H_m$  ist zu beachten, dass nach § 96, 4)

$$\text{für} \quad \begin{array}{cccc} V_1 & V_2 & V_3 & V_4: \\ \varrho = \frac{1}{m(n-m)} = & 0,286 & 0,167 & 0,133 & 0,125. \end{array}$$

Wir setzen nun die Ausdrücke der oberen Grenzbeanspruchungen für die erste Richtung des Zuges I an (Fig. 23, 24) und fügen die Resultate für die zweite Zugrichtung in Klammern bei. Es folgen mit oder ohne Rücksicht auf die Tabelle in Beispiel 6 für den Untergurt:

$$U_1 = 16,42 + [7 \cdot 30,2 + 535] \frac{1}{8 \cdot 1,4} = 83,06 \text{ tn (79,04),}$$

$$U_2 = 16,42 + \left[ \left( \frac{6}{2,4} + \frac{7}{1,4} \right) 5 \cdot 0,5 + \left( \frac{6}{2,4} - \frac{1}{1,4} \right) (6 \cdot 15,6 + 6 \cdot 14,3 + 4 \cdot 13,1) + \left( \frac{2}{2,4} + \frac{1}{1,4} \right) 383 \right] \frac{1}{16} = 80,52 \text{ tn (75,34),}$$

$$U_3 = 16,42 + \left[ \left( \frac{5}{3} + \frac{6}{2,4} \right) 5 \cdot 3,5 + \left( \frac{5}{3} - \frac{2}{2,4} \right) (6 \cdot 33 + 6 \cdot 31,7 + 4 \cdot 30,5) + \left( \frac{3}{3} + \frac{2}{2,4} \right) 271 \right] \frac{1}{16} = 78,62 \text{ tn (77,46),}$$

$$U_4 = 16,42 + \left[ \left( \frac{4}{3,2} + \frac{5}{3} \right) (5 \cdot 6,5 + 6 \cdot 2,3 + 6 \cdot 1) + \left( \frac{4}{3,2} - \frac{3}{3} \right) (6 \cdot 108 + 6 \cdot 106,7 + 4 \cdot 105,5) + \left( \frac{4}{3,2} + \frac{3}{3} \right) 173 \right] \frac{1}{16} = 77,01 \text{ tn (78,04),}$$

und mit den ungünstigsten dieser Werthe nach dem zweiten Ausdrucke B. 110, 1) für den Obergurt:

$$O_1 = -91,65 \quad O_2 = -84,81 \quad O_3 = -80,20 \quad O_4 = -78,29.$$

Ferner erhalten wir mit

$$K = 6 + 2 \cdot 6 \frac{1,7}{3} + 4 \frac{0,5}{3} = 13,467 \text{ tn}$$

die oberen Grenzbeanspruchungen der Verticalen:

$$H_1 = 1,59 + (7 \cdot 30,2 + 1 \cdot 535) \frac{0,286}{48} + 6,733 = 12,77 \text{ tn (12,50)}$$

$$H_2 = 1,59 + (6 \cdot 80,7 + 2 \cdot 383) \frac{0,167}{48} + 6,733 = 12,67 \text{ „ (12,41)}$$

$$H_3 = 1,59 + (5 \cdot 144 + 3 \cdot 271) \frac{0,133}{48} + 6,733 = 12,57 \text{ „ (12,45)}$$

$$H_4 = 1,59 + (4 \cdot 226 + 4 \cdot 173) \frac{0,125}{48} + 6,733 = 12,48 \text{ „ (12,48)}.$$

Die Grenzwerte von  $D_m$  ergeben sich wie in Beispiel 55, jedoch wegen halb so grosser  $g, P$  der einfachen Systeme nur halb so gross wie dort. Die Grenzwerte von  $D'_m$  sind damit wegen

$$D'_m = - \frac{d'_m}{d_m} D_m$$

ebenfalls bestimmt. Wir erhalten in Tonnen:

$$D_2 = 4,39 \quad D_2 = -5,28 \quad D'_2 = -5,09 \quad D'_2 = 6,12$$

$$D_3 = 5,10 \quad D_3 = -6,23 \quad D'_3 = -5,63 \quad D'_3 = 6,88$$

$$D_4 = 5,68 \quad D_4 = -6,27 \quad D'_4 = -5,88 \quad D'_4 = 6,49.$$

Die Grenzwerte der Stützenreactionen schliesslich sind wie in Beispiel 55 bestimmt.

**Beispiel 124. Parabelträger doppelten Systems mit gekreuzten Diagonalen. Berechnung mit Lastäquivalenten.**

Die Träger des vorletzten Beispiels auf Grund gleichmässig vertheilter Lasten so zu berechnen, dass annähernd dieselben Grenzwerte wie mit den Radlastzügen des letzten Beispiels entstehen.

Bis zur Berechnung der Grenzwerte gilt das in Beispiel 122 Gesagte. Die oberen Grenzbeanspruchungen der Gurtungen sind wie dort mit constantem  $p$  zu berechnen und zwar ist wie für die max  $M_x$  eines durch den angenommenen Zug I direct befahrenen vollwandigen Trägers der Spannweite 24 m nach der Tabelle in Beispiel 8 zu setzen  $p = 2,77 \text{ tn}$ . Da dieser Werth schon in Beispiel 122 gewählt wurde, so könnten die dort berechneten Grenzwerte der Gurtungskräfte

beibehalten werden. Mit dem etwas nach oben abgerundeten  $p = 2,8$  folgen die oberen Grenzwerte in Tonnen:

$$U_m = 79,41$$

$$O_1 = -87,63 \quad O_2 = -83,66 \quad O_3 = -81,00 \quad O_4 = -79,70.$$

Die Grenzbeanspruchungen der nach Auflager 0 hin ansteigenden Diagonalen ergeben sich wie in Beispiel 56, jedoch wegen halb so grosser  $g$ ,  $p_c$ ,  $p_v$  der einfachen Systeme nur halb so gross wie dort. Die Grenzbeanspruchungen der nach 0 hin abfallenden Diagonalen sind damit wegen

$$D'_m = -\frac{d'_m}{d_m} D_m$$

ebenfalls bestimmt. Wir erhalten in Tonnen:

$$\begin{array}{llll} D_2 = 4,33 & D_2 = -5,28 & D'_2 = -5,02 & D'_2 = 6,12 \\ D_3 = 5,09 & D_3 = -6,23 & D'_3 = -6,62 & D'_3 = 6,88 \\ D_4 = 5,68 & D_4 = -6,27 & D'_4 = -5,88 & D'_4 = 6,49. \end{array}$$

Die unteren Grenzbeanspruchungen der Verticalen treten für Eigengewicht allein ein, die oberen sind für gleichmässig vertheilte bewegte Last

$$H_m = \zeta_m + p\lambda.$$

Da hierin jedoch ein Theil  $\frac{p\lambda}{2}$  von dem Gliede mit  $\varrho$  herrührt, so hat man im Sinne der Aufgabe 48 mit Rücksicht auf die Tabelle in Beispiel 8

$$H_m = 1,59 + 2,8 \cdot 1,5 + 4,49 \cdot 1,5 = 12,53 \text{ tn.}$$

Die Grenzwerte der Stützenreactionen sind wie in Beispiel 56 bestimmt.

**Beispiel 125. Paulischer Linsenträger doppelten Systems mit gekreuzten Diagonalen. Berechnung für gleichmässig vertheilte bewegte Last.**

Es sollen einfache Balkenträger doppelten Systems mit gekreuzten Diagonalen, zu einer Horizontale symmetrischen Gurtungen und constanten Maximalbeanspruchungen beider Gurtungen unter folgenden Voraussetzungen berechnet werden: Spannweite  $l = 45$  m, grösste Trägerhöhe  $h = 6$  m, Felderzahl  $n = 10$ , Eigengewicht per laufenden Meter Träger  $g = 0,9$  tn, Verkehrslast  $p = 2,63$  tn. Vom Eigengewichte kommen je 0,3 tn auf die Knotenpunkte des Obergurts und

Untergurts, während die Fahrbahnlast mit ebenfalls 0,3 tn Eigengewicht per laufenden Meter Träger inmitten der Verticalen angreift

**Formberechnung.** Nach § 98 hat man zur Berechnung der Verticalenlängen

$$(1) \quad h_{m-1} = \frac{\frac{(m-1)(n-m+1)}{c}}{\sqrt{1 + \left(\frac{h_m - h_{m-1}}{2}\right)^2}} - \frac{m(n-m)}{h_m}$$

und hierin bei gerader Felderzahl

$$(2) \quad c = \sqrt{1 + \left(\frac{n}{2h}\right)^2}.$$

Gleichung 1) liefert mit  $h_5 = h = 6$  und

$$c = \sqrt{1 + \left(\frac{10 \cdot 45}{2 \cdot 6}\right)^2} = 37,513$$

$$\text{für } m = 5 \quad h_4 = \frac{\frac{24}{c}}{\sqrt{20,25 + \left(\frac{h_5 - h_4}{2}\right)^2}} - \frac{25}{6},$$

$$\text{für } m = 4 \quad h_3 = \frac{\frac{21}{c}}{\sqrt{20,25 + \left(\frac{h_4 - h_3}{2}\right)^2}} - \frac{24}{h_4},$$

$$\text{für } m = 3 \quad h_2 = \frac{\frac{16}{c}}{\sqrt{20,25 + \left(\frac{h_3 - h_2}{2}\right)^2}} - \frac{21}{h_3},$$

$$\text{für } m = 2 \quad h_1 = \frac{\frac{9}{c}}{\sqrt{20,25 + \left(\frac{h_2 - h_1}{2}\right)^2}} - \frac{16}{h_2}.$$

Dem Parabelträger der Höhe  $h$  und gerader Felderzahl  $n$  würde nach § 17, 20) 24) entsprechen

$$h_m = m(n-m) \frac{4h}{n^2},$$

also mit  $h = 6$ ,  $n = 10$ ,

$$\frac{h_5 - h_4}{2} = 0,12, \quad \frac{h_4 - h_3}{2} = 0,36, \quad \frac{h_3 - h_2}{2} = 0,60, \quad \frac{h_2 - h_1}{2} = 0,84.$$

Mit diesen Werthen unter den Wurzelzeichen ergeben obige Gleichungen für den Paulischen Träger angenähert

$$h_4 = 5,760, \quad h_3 = 5,069, \quad h_2 = 3,883, \quad h_1 = 2,209.$$

Demgemäss setzen wir in den Ausdrücken der  $h$  zu genauerer Berechnung

$$\frac{h_5 - h_4}{2} = 0,120, \quad \frac{h_4 - h_3}{2} = 0,343, \quad \frac{h_3 - h_2}{2} = 0,593, \quad \frac{h_2 - h_1}{2} = 0,887$$

und erhalten damit (Fig. 221)

$$\text{für} \quad m = \begin{matrix} 1 & 2 & 3 & 4 & 5: \end{matrix}$$

$$h_m = \begin{matrix} 2,217 & 3,884 & 5,066 & 5,760 & 6 \end{matrix}$$

$$d_m = \sqrt{\lambda^2 + \left(\frac{h_m + h_{m-1}}{2}\right)^2} = \begin{matrix} & & 5,436 & 6,346 & 7,039 & 7,404 \end{matrix}$$

$$\varepsilon = \frac{h_m}{h_m - h_{m-1}} = \begin{matrix} & 2,33 & 4,29 & 8,30 & 25. \end{matrix}$$

Beanspruchungen. Für die Grenzbeanspruchungen der Gurtungen hat man nach § 98, 8)

$$(3) \quad U = c \frac{q\lambda}{4} = -O, \quad u = c \frac{g\lambda}{4} = -D,$$

also mit obigen  $c, q, \lambda$ ,

$$U = 148,96 \text{ tn} = -O, \quad u = 37,98 \text{ tn} = -D.$$

Die Grenzbeanspruchungen der Verticalen sind nach § 98 für die Verticalenstücke von Fahrbahn bis Obergurt (Eigengewicht der Fahrbahn in  $g_u$  einzurechnen, also  $g_u = 0,6, g_o = 0,3 \text{ tn}$ )

$$(4) \quad \begin{aligned} \mathfrak{S}_m &= \frac{g_u - g_o}{2} \lambda, & H_m &= \mathfrak{S}_m + \frac{p\lambda}{2}, \\ \mathfrak{S}_m &= 0,675, & H_m &= 6,59 \text{ tn}, \end{aligned}$$

und für die Verticalenstücke von Fahrbahn bis Untergurt (Eigengewicht der Fahrbahn in  $g_o$  einzurechnen, also  $g_o = 0,6, g_u = 0,3 \text{ tn}$ )

$$(5) \quad \begin{aligned} \mathfrak{S}_m &= \frac{g_u - g_o}{2} \lambda, & H_m &= \mathfrak{S}_m - \frac{p\lambda}{2}, \\ \mathfrak{S}_m &= -0,675, & H_m &= -6,59 \text{ tn}. \end{aligned}$$

Für die nach Auflager 0 hin ansteigenden Diagonalen hat man nach § 90, 7) die Beanspruchungen durch Eigengewicht allein

$$(6) \quad \mathfrak{D}_m = \left(n - 2m + 1 - m \frac{n-m}{\varepsilon}\right) \frac{d_m}{h_{m-1}} \frac{g\lambda}{4} = -\frac{d_m}{d'_m} \mathfrak{D}'_m,$$

sowie nach § 91, 4) und § 88, 4) die Grenzbeanspruchungen



$$(7) \quad \begin{cases} D_m = \mathfrak{D}_m - \frac{(\varepsilon - m + n)(m-1)^2}{(n-1)\varepsilon + m - n} \frac{d_m}{h_{m-1}} \frac{p_1}{4}, \\ D_m = \frac{q+g}{g} \mathfrak{D}_m - (D_m). \end{cases}$$

Im Ausdrucke für die zweite Grenzbeanspruchung ist die erste durch eine Klammer ausgezeichnet. Wir erhalten in Tonnen:

$$\mathfrak{D}_2 = \left(7 - \frac{2 \cdot 8}{2,33}\right) \frac{5,44}{2,22} \frac{4,05}{4} = 0,33$$

$$\mathfrak{D}_3 = \left(5 - \frac{3 \cdot 7}{4,29}\right) \frac{6,35}{3,88} \frac{4,05}{4} = 0,17$$

$$\mathfrak{D}_4 = \left(3 - \frac{4 \cdot 6}{8,30}\right) \frac{7,04}{5,07} \frac{4,05}{4} = 0,15$$

$$\mathfrak{D}_5 = \left(1 - \frac{5 \cdot 5}{25}\right) \frac{7,40}{5,76} \frac{4,05}{4} = 0,$$

$$D_2 = 0,33 - \frac{10,33 \cdot 1 \cdot 5,44}{12,97 \cdot 2,22} 2,959 = -5,45$$

$$D_3 = 0,17 - \frac{11,29 \cdot 4 \cdot 6,35}{31,61 \cdot 3,88} 2,959 = -6,74$$

$$D_4 = 0,15 - \frac{14,30 \cdot 9 \cdot 7,04}{68,70 \cdot 5,07} 2,959 = -7,49$$

$$D_5 = 0 - \frac{30 \cdot 16 \cdot 7,40}{220 \cdot 5,76} 2,959 = -8,29,$$

$$D_2 = 4,922 \cdot 0,33 + 5,45 = 7,08$$

$$D_3 = 4,922 \cdot 0,17 + 6,74 = 7,60$$

$$D_4 = 4,922 \cdot 0,15 + 7,49 = 8,24$$

$$D_5 = 4,922 \cdot 0 + 8,29 = 8,29.$$

Da allgemein  $D'_m = -D_m$ , so sind dies auch die Grenzbeanspruchungen der nach Auflager 0 hin abfallenden Diagonalen. Die Grenzwerte der Stützenreactionen sind wie in Beispiel 41 bestimmt.

**Bemerkungen.** Angenommen es wäre  $n = 9$  verlangt gewesen dann würde nach § 98, 3) sein

$$c = (n^2 - 1) \frac{\lambda}{2h} = \frac{100}{3}$$

und dem Parabelträger nach § 17, 20) 24) entsprechen

$$h_m = m(n-m) \frac{4h}{n^2-1}.$$

Ganz wie oben vorgehend ergeben sich für den Paulischen Träger mit  $h_4 = h = 6$  angenähert  $h_3 = 5,419$ ,  $h_2 = 4,245$ ,  $h_1 = 2,452$  und genauer  $h_3 = 5,418$ ,  $h_2 = 4,244$ ,  $h_1 = 2,452$  m.

Die oben berechneten Grenzbeanspruchungen der Gurtungen gelten genau genommen nicht für die Endfelder. Da die Theorie in jedem Felde zwei sich kreuzende Diagonalen annahm, so hat man sich in den Endfeldern die Diagonalen mit den Gurtungsstäben zusammenfallend zu denken. Die für beliebige Gurtungsformen gültigen Ausdrücke von  $U_m$ ,  $O_m$ ,  $D_m$ ,  $D'_m$  führen mit  $m = 1$  und  $h_0 = 0$  auf unbestimmte Ausdrücke. Es sind dann die Gurtungskräfte  $U_1$ ,  $O_1$  (einschliesslich der Diagonalenbeanspruchungen) aus den Formeln der Aufgabe 49 zu berechnen, während die oben verwendeten Formeln für  $h_m$  auf den allgemeinen Gleichungen beruhen. Da der Paulische Träger dem Parabelträger nahe kommt (besonders der Paulische Linsenträger) und beim Parabelträger für die den Grenzwerten von  $U_1$ ,  $O_1$  entsprechenden Belastungen bei gleichmässig vertheilter bewegter Last keine, bei bewegten Radlastzügen nur kleine Diagonalenbeanspruchungen entstehen, so lässt sich allerdings annehmen, dass die obigen Formeln näherungsweise auch für  $U_1$ ,  $O_1$  gelten. Im vorliegenden Falle liefern die Gleichungen der Aufgabe 49 mit  $u_1 = o_1 = 4,635$

$$(8) \quad U_1 = (n - 1) \frac{u_1}{h_1} \frac{q l}{2} = 149,44 \text{ tn} = - O_1,$$

$$u_1 = \frac{q}{q} U_1 = 38,11 \text{ tn} = - O_1,$$

gegen oben erhaltene 148,96 und 37,98 tn. Bei Berechnung mit Radlastzügen, und für Segmentträger auch bei Berechnung mit gleichmässig vertheilter Verkehrslast entstehen jedoch grössere Abweichungen. Für die früher berechneten Paulischen Träger einfachen Systems treten solche Abweichungen deshalb nicht ein, weil mit der constant beanspruchten Gurtung keine Diagonalen zusammenfielen.

**Beispiel 126. Paulischer Linsenträger doppelten Systems mit gekreuzten Diagonalen. Berechnung für bewegte Radlastzüge.**

Die im vorigen Beispiele verlangten Träger sollen nun einer eingleisigen Eisenbahnbrücke angehören und für bewegte Radlastzüge, zusammengesetzt aus Locomotiven der Radanordnung Fig. 18, berechnet werden (Fig. 221).

**Formberechnung.** Wir setzen für Belastung durch Zug I (Fig. 23, 24) von 0 bis  $n$ , Rad  $O$  bei Verticale  $m$ ,

$$(1) \quad R_m = m(n - m) \frac{g l^2}{2 n} + (n - m) \sum_0^m P a + m \sum_m^n P(l - a),$$

$$(2) \quad \left\{ \begin{aligned} Q_m &= (m-1)(n-m+1) \frac{gl^2}{2n} + (n-m+1) \sum_0^{m-1} Pa \\ &\quad + (m-1) \sum_{m-1}^n P(l-a). \end{aligned} \right.$$

Es würde genügend genau sein, diese Grössen sofort für eine der beiden Richtungen des Zuges I zu berechnen, doch sollen, wie bisher in allen Fällen, beide Richtungen in Betracht gezogen werden. Man erhält mit oder ohne Rücksicht auf die Tabelle in Beispiel 6 für die erste Zugrichtung:

$$R_2 = 16 \cdot 91,125 + 8 \cdot 144 + 2 \cdot 1586 = 5782$$

$$R_3 = 21 \cdot 91,125 + 7 \cdot 285 + 3 \cdot 1208 = 7533$$

$$R_4 = 24 \cdot 91,125 + 6 \cdot 490 + 4 \cdot 884 = 8663$$

$$R_5 = 25 \cdot 91,125 + 5 \cdot 714 + 5 \cdot 617 = 8933,$$

$$\begin{aligned} Q_2 &= 9 \cdot 91,125 + 9 \cdot 5 \cdot 3,5 + 1 [4 (38,5 + 26,9 + 15,9 + 4,9) \\ &\quad + 6 (37,3 + 36 + 34,7 + 30,7 + 29,4 + 28,1 + 19,7 \\ &\quad + 18,4 + 17,1 + 8,7 + 7,4 + 6,1) \\ &\quad + 5 (23,9 + 12,9 + 1,9)] = 3157, \end{aligned}$$

$$\begin{aligned} Q_3 &= 16 \cdot 91,125 + 8 [5 \cdot 8 + 6 (3,8 + 2,5 + 1,2)] + 2 [4 (34 + 22,4 \\ &\quad + 11,4 + 0,4) + 6 (32,8 + 31,5 + 30,2 + 26,2 \\ &\quad + 24,9 + 23,6 + 15,2 + 13,9 + 12,6 + 4,2 + 2,9 + 1,6) \\ &\quad + 5 (19,4 + 8,4)] = 5589, \end{aligned}$$

$$\begin{aligned} Q_4 &= 21 \cdot 91,125 + 7 [5 (12,5 + 1,5) + 6 (8,3 + 7 + 5,7) + 4 \cdot 4,5] \\ &\quad + 3 [4 (29,5 + 17,9 + 6,9) + 6 (28,3 + 27 + 25,7 \\ &\quad + 21,7 + 20,4 + 19,1 + 10,7 + 9,4 + 8,1) \\ &\quad + 5 (14,9 + 3,9)] = 7130, \end{aligned}$$

$$\begin{aligned} Q_5 &= 24 \cdot 91,125 + 6 [5 (17 + 6) + 6 (12,8 + 11,5 + 10,2 + 1,8 + 0,5) \\ &\quad + 4 \cdot 9] + 4 [4 (25 + 13,4 + 2,4) \\ &\quad + 6 (23,8 + 22,5 + 21,2 + 17,2 + 15,9 + 14,6 \\ &\quad + 6,2 + 4,9 + 3,6) + 5 \cdot 10,4] = 8396, \end{aligned}$$

und für die zweite Zugrichtung:

$$R_2 = 16 \cdot 91,125 + 8 \cdot 89,4 + 2 \cdot 1745 = 5663$$

$$R_3 = 21 \cdot 91,125 + 7 \cdot 222 + 3 \cdot 1352 = 7524$$

$$R_4 = 24 \cdot 91,125 + 6 \cdot 383 + 4 \cdot 1016 = 8549$$

$$R_5 = 25 \cdot 91,125 + 5 \cdot 617 + 5 \cdot 714 = 8933,$$

$$Q_2 = 9 \cdot 91,125 + 9 \cdot 6 (3,7 + 2,4 + 1,1) + 1 [6 (37,3 + 36 + 34,7 + 26,3 + 25 + 23,7 + 15,3 + 14 + 12,7 + 4,3 + 3 + 1,7) + 4 (33,5 + 22,5 + 11,5 + 0,5) + 5 (30,5 + 19,5 + 8,5)] = 3177,$$

$$Q_3 = 16 \cdot 91,125 + 8 [6 (8,2 + 6,9 + 5,6) + 4 \cdot 4,4 + 5 \cdot 1,4] + 2 [6 (32,8 + 31,5 + 30,2 + 21,8 + 20,5 + 19,2 + 10,8 + 9,5 + 8,2) + 4 (29 + 18 + 7) + 5 (26 + 15 + 4)] = 5744,$$

$$Q_4 = 21 \cdot 91,125 + 7 [6 (12,7 + 11,4 + 10,1 + 1,7 + 0,4) + 4 \cdot 8,9 + 5 \cdot 5,9] + 3 [6 (28,3 + 27 + 25,7 + 17,3 + 16 + 14,7 + 6,3 + 5 + 3,7) + 4 (24,5 + 13,5 + 2,5) + 5 (21,5 + 10,5)] = 7452,$$

$$Q_5 = 24 \cdot 91,125 + 6 [6 (17,2 + 15,9 + 14,6 + 6,2 + 4,9 + 3,6) + 4 (13,4 + 2,4) + 5 \cdot 10,4] + 4 [6 (23,8 + 22,5 + 21,2 + 12,8 + 11,5 + 10,2 + 1,8 + 0,5) + 4 (20 + 9) + 5 (17 + 6)] = 8549.$$

Für jede bestimmte Trägerform entstehen die grössten Beanspruchungen  $U_m$ ,  $O_m$  bei derjenigen Richtung des Zuges I, für welche

$$\frac{R_m}{h_m} + \frac{Q_m}{h_{m-1}}$$

den grössten Werth hat. Im vorliegenden Falle sind die  $h_m$  nicht genau bekannt, sie kommen jedoch denen des Parabelträgers von  $h = 6$ ,  $n = 10$ , nämlich

$$h_1 = 2,16 \quad h_2 = 3,84 \quad h_3 = 5,04 \quad h_4 = 5,76 \quad h_5 = 6$$

so nahe, dass die für den Parabelträger massgebenden Zugrichtungen auch für den Paulischen Träger gelten können. Beim Parabelträger entsprechen

	der ersten Zugrichtung	der zweiten Zugrichtung
für $m = 1$	$\frac{5782}{3,84} + \frac{3157}{2,16} = 2967$	$\frac{5663}{3,84} + \frac{3177}{2,16} = 2946$
„ $m = 2$	$\frac{7533}{5,04} + \frac{5589}{3,84} = 2950$	$\frac{7524}{5,04} + \frac{5744}{3,84} = 2989$
„ $m = 3$	$\frac{8663}{5,76} + \frac{7130}{5,04} = 2919$	$\frac{8549}{5,76} + \frac{7452}{5,04} = 2963$
„ $m = 4$	$\frac{8933}{6} + \frac{8396}{5,76} = 2946$	$\frac{8933}{6} + \frac{8549}{5,76} = 2973.$

Demnach hat man für die Formberechnung:

$$\begin{array}{llll} R_2 = 5782 & R_3 = 7524 & R_4 = 8549 & R_5 = 8933 \\ Q_2 = 3157 & Q_3 = 5744 & Q_4 = 7452 & Q_5 = 8549. \end{array}$$

Zur Bestimmung der Verticalenlängen gibt § 99

$$(3) \quad h_{m-1} = \frac{\frac{Q_m}{c} - \frac{R_m}{h_m}}{\sqrt{1 + \left(\frac{h_m - h_{m-1}}{2}\right)^2}},$$

worin bei gerader Felderzahl  $n = 2\sigma$ .

$$(4) \quad c = \frac{2}{n^2} \left( R_\sigma + \frac{n^2}{n^2 - 4} Q_\sigma \right) \sqrt{1 + \left( \frac{n}{2h} \right)^2}.$$

In unserm Falle folgen mit  $h_5 = h = 6$  und

$$c = \left( \frac{8933}{60} + \frac{8549}{48} \right) \sqrt{1 + \left( \frac{10 \cdot 45}{2 \cdot 6} \right)^2} = 13383$$

$$\text{für } m = 5 \quad h_4 = \frac{\frac{8549}{c} - \frac{8933}{6}}{\sqrt{20,25 + \left(\frac{h_5 - h_4}{2}\right)^2}},$$

$$\text{für } m = 4 \quad h_3 = \frac{\frac{7452}{c} - \frac{8549}{h_4}}{\sqrt{20,25 + \left(\frac{h_4 - h_3}{2}\right)^2}},$$

$$\text{für } m = 3 \quad h_2 = \frac{\frac{5744}{c} - \frac{7524}{h_3}}{\sqrt{20,25 + \left(\frac{h_3 - h_2}{2}\right)^2}},$$

$$\text{für } m = 2 \quad h_1 = \frac{\frac{3157}{c} - \frac{5782}{h_2}}{\sqrt{20,25 + \left(\frac{h_2 - h_1}{2}\right)^2}}.$$

Dem Parabelträger von  $h = 6$ ,  $n = 10$  würden, wie schon im vorigen Beispiele angeführt, entsprechen

$$\frac{h_5 - h_4}{2} = 0,12, \quad \frac{h_4 - h_3}{2} = 0,36, \quad \frac{h_3 - h_2}{2} = 0,60, \quad \frac{h_2 - h_1}{2} = 0,84.$$

Mit diesen Werthen ergeben obige Gleichungen für den Paulischen Träger angenähert

$$h_4 = 5,761, \quad h_3 = 5,033, \quad h_2 = 3,953, \quad h_1 = 2,161.$$

Demgemäss setzen wir in den Ausdrücken der  $h$  zu genauerer Berechnung

$$\frac{h_5 - h_4}{2} = 0,120, \quad \frac{h_4 - h_3}{2} = 0,364, \quad \frac{h_3 - h_2}{2} = 0,540, \quad \frac{h_2 - h_1}{2} = 0,896$$

und erhalten damit

für	$m =$	1	2	3	4	5:
	$h_m =$	2,179	3,939	5,034	5,761	6
	$d_m = \sqrt{\lambda^2 + \left(\frac{h_m + h_{m-1}}{2}\right)^2} =$		5,441	6,354	7,027	7,405
	$u_m = \sqrt{\lambda^2 + \left(\frac{h_m - h_{m-1}}{2}\right)^2} =$	4,630	4,585	4,533	4,515	4,502
	$\varepsilon = \frac{h_m}{h_m - h_{m-1}} =$		2,24	4,60	7,92	25,10.

Beanspruchungen. Nach § 99, 10) hat man die Grenzbeanspruchungen der Gurtungen

$$(5) \quad \begin{cases} U_m = \frac{c}{2l} = -O_m, \\ u_m = \left[ \frac{m(n-m)}{h_m} + \frac{(m-1)(n-m+1)}{h_{m-1}} \right] \frac{gl}{4} u_m = -D_m. \end{cases}$$

Diese Gleichungen ergeben in Tonnen:

$$U_m = 148,70 = -O_m, \\ u_2 = 37,96, \quad u_3 = 37,76, \quad u_4 = 38,07, \quad u_5 = 37,95,$$

während für  $u_1 = -D_1$  ein unbestimmter Ausdruck entsteht. Indessen liefert A. 49, 5)

$$(6) \quad u_1 = (n-1) \frac{u_2}{h_1} \frac{gl}{2} = 38,71 \text{ tn.}$$

Bezeichnet  $K$  die grösste in Verticale  $m$  angreifende Verkehrsbelastung, so hat man nach § 99 die Grenzbeanspruchungen der Verticalenstücke von Fahrbahn bis Obergurt

$$(7) \quad H_m = \mathfrak{H}_m + \frac{K}{2}, \quad H_m = \mathfrak{H}_m$$

und diejenigen der Verticalenstücke von Fahrbahn bis Untergurt

$$(8) \quad H_m = \mathfrak{H}_m - \frac{K}{2}, \quad H_m = \mathfrak{H}_m.$$

Die  $\mathfrak{H}_m$  sind wie im vorigen Beispiele bestimmt und da (Fig. 207)

$$K = 6 + 2 \cdot 6 \frac{3,2}{4,5} + 4 \frac{2}{4,5} = 16,31 \text{ tn,}$$

so gelten von Fahrbahn bis Obergurt

$$H_m = 8,83 \quad \mathfrak{H}_m = 0,675 \text{ tn}$$

und von Fahrbahn bis Untergurt

$$H_m = -8,83 \quad \mathfrak{H}_m = -0,675 \text{ tn.}$$

Die Grenzbeanspruchungen der nach Auflager 0 hin ansteigenden Diagonalen ergeben sich nach § 92, 7) 8) mit Zug II (Fig. 22) von  $m$  bis  $n$ , Vorderrad 0 bei Verticale  $m$ ,

$$(9) \quad D_m = \mathfrak{D}_m + \frac{d_m}{h_{m-1}} \frac{\varepsilon - m}{2\varepsilon l} \sum_m^n P(l - a),$$

und mit Zug II von 0 bis  $m - 1$ , Vorderrad 0 bei Verticale  $m - 1$ ,

$$(10) \quad D_m = \mathfrak{D}_m - \frac{d_m}{h_{m-1}} \frac{\varepsilon - m + n}{2\varepsilon l} \sum_0^{m-1} Pa.$$

Die Eigengewichtsbeanspruchungen ergeben sich bei gleichem Vorgehen wie im letzten Beispiele:

$$\mathfrak{D}_2 = -0,36, \quad \mathfrak{D}_3 = 0,71, \quad \mathfrak{D}_4 = -0,04, \quad \mathfrak{D}_5 = 0,$$

und wir erhalten damit in Tonnen:

$$D_2 = -0,36 + \frac{5,44 \cdot 0,24 \cdot 1836}{2,18 \cdot 2,24 \cdot 90} = 5,09$$

$$D_3 = 0,71 + \frac{6,35 \cdot 1,60 \cdot 1442}{3,94 \cdot 4,60 \cdot 90} = 9,69$$

$$D_4 = -0,04 + \frac{7,03 \cdot 3,92 \cdot 1087}{5,03 \cdot 7,92 \cdot 90} = 8,53$$

$$D_5 = 0 + \frac{7,41 \cdot 20,1 \cdot 776}{5,76 \cdot 25,1 \cdot 90} = 8,88,$$

$$D_2 = -0,36 - \frac{5,44 \cdot 10,24 \cdot 60,4}{2,18 \cdot 2,24 \cdot 90} = -8,02$$

$$D_3 = 0,71 - \frac{6,35 \cdot 11,60 \cdot 170}{3,94 \cdot 4,60 \cdot 90} = -6,97$$

$$D_4 = -0,04 - \frac{7,03 \cdot 13,92 \cdot 316}{5,03 \cdot 7,92 \cdot 90} = -8,89$$

$$D_5 = 0 - \frac{7,41 \cdot 30,1 \cdot 580}{5,76 \cdot 25,1 \cdot 90} = -9,08.$$

Wegen  $D'_m = -D_m$  sind damit auch die Grenzbeanspruchungen der nach Auflager 0 hin abfallenden Diagonalen bekannt. Die Grenzwerte der Stützenreactionen sind wie in Beispiel 42 bestimmt.

**Bemerkung.** Aus den am Schlusse des vorigen Beispiels erwähnten Gründen ergeben sich die oberen Grenzwerte von  $U_1, 0_1$

genauer als oben bei Belastung durch Zug I von 0 bis  $n$ , Rad  $O$  bei Verticale 1, nach

$$(11) \quad U_1 = u_1 + \left[ (n-1) \sum_0^1 Pa + \sum_1^n P(l-a) \right] \frac{u_1}{lh_1} = -O_1.$$

Wir erhalten für die erste Richtung des Zuges I

$$U_1 = 38,71 + (9 \cdot 54,2 + 1961) \frac{4,63}{45 \cdot 2,18} = 154,28 \text{ tn} = -O_1,$$

während sich für die zweite Zugrichtung 150,35 ergeben hätte.

**Beispiel 127. Paulischer Linsenträger doppelten Systems mit gekreuzten Diagonalen. Berechnung mit Lastäquivalenten.**

Die im vorletzten Beispiele verlangten Träger auf Grund gleichmässig vertheilter Lasten so zu berechnen, dass annähernd dieselben Grenzbeanspruchungen wie mit den Radlastzügen des letzten Beispiels entstehen (Fig. 221).

Nach Aufgabe 48 sind die oberen Grenzbeanspruchungen der Gurtungen mit demjenigen constanten  $p$  zu berechnen, welches für die max  $M_x$  eines durch den angenommenen Zug I direct befahrenen vollwandigen Trägers der Spannweite 45 m gilt. Die Tabelle in Beispiel 8 gibt hierfür  $p = 2,63 \text{ tn}$  und da dieser Werth bereits im vorletzten Beispiele verwendet wurde (wobei sich die oberen Gurtungsbeanspruchungen  $\pm 148,96 \text{ tn}$  gegen  $\pm 148,70$  im letzten Beispiele ergaben), so bleiben die Trägerform, Beanspruchungen durch Eigengewicht allein und Grenzbeanspruchungen der Gurtungen genau wie dort bestimmt. Nur die oberen Grenzbeanspruchungen der Verticalen und beide Grenzbeanspruchungen der Diagonalen sind auf andere Art zu berechnen.

Als obere Grenzbeanspruchungen der Verticalen hat man mit Rücksicht auf den Satzsatz der Aufgabe 48 und die Tabelle in Beispiel 8 von Fahrbahn bis Obergurt

$$(1) \quad H_m = \mathfrak{H}_m + \frac{p\lambda}{2} = 0,675 + 3,62 \cdot 2,25 = 8,82 \text{ tn},$$

und von Fahrbahn bis Untergurt

$$(2) \quad H_m = \mathfrak{H}_m - \frac{p\lambda}{2} = -0,675 - 3,62 \cdot 2,25 = -8,82 \text{ tn}.$$

Die Grenzbeanspruchungen der nach Auflager  $O$  hin ansteigenden Diagonalen sind nach A. 32, 1) 2) mit  $c = (m-1)\lambda$ ,  $v = m\lambda$ ,



$$(3) \quad \begin{cases} D_m = \mathfrak{D}_m + \frac{\lambda}{4n} \frac{d_m}{h_{m-1}} \frac{\varepsilon - m}{\varepsilon} (n - m)^2 p_v, \\ D_m = \mathfrak{D}_m - \frac{\lambda}{4n} \frac{d_m}{h_{m-1}} \frac{\varepsilon - m + n}{\varepsilon} (m - 1)^2 p_c, \end{cases}$$

worin  $p_v$ ,  $p_c$  diejenigen Lastäquivalente bedeuten, welche für einen durch den angenommenen Zug II direct befahrenen vollwandigen Träger der Spannweite 45 m dem pos max  $V_x$  bei  $x = v$  bzw. dem neg max  $V_x$  bei  $x = c$  entsprechen. Wir entnehmen dieselben der Tabelle des Beispiels 8 und erhalten damit in Tonnen:

$$D_2 = 0,33 + \frac{4,5 \cdot 5,44 \cdot 0,33}{40 \cdot 2,22 \cdot 2,33} 64 \cdot 2,83 = 7,40$$

$$D_3 = 0,17 + \frac{4,5 \cdot 6,35 \cdot 1,29}{40 \cdot 3,88 \cdot 4,29} 49 \cdot 2,90 = 7,92$$

$$D_4 = 0,15 + \frac{4,5 \cdot 7,04 \cdot 4,30}{40 \cdot 5,07 \cdot 8,30} 36 \cdot 2,98 = 8,84$$

$$D_5 = 0 + \frac{4,5 \cdot 7,40 \cdot 20}{40 \cdot 5,76 \cdot 25} 25 \cdot 3,06 = 8,85,$$

$$D_2 = 0,33 - \frac{4,5 \cdot 5,44 \cdot 10,33}{40 \cdot 2,22 \cdot 2,33} 1 \cdot 5,94 = -6,93$$

$$D_3 = 0,17 - \frac{4,5 \cdot 6,35 \cdot 11,29}{40 \cdot 3,88 \cdot 4,29} 4 \cdot 4,21 = -7,86$$

$$D_4 = 0,15 - \frac{4,5 \cdot 7,04 \cdot 14,30}{40 \cdot 5,07 \cdot 8,30} 9 \cdot 3,46 = -8,24$$

$$D_5 = 0 - \frac{4,5 \cdot 7,40 \cdot 30}{40 \cdot 5,76 \cdot 25} 16 \cdot 3,27 = -9,08,$$

womit die Grenzbeanspruchungen der nach Auflager 0 hin abfallenden Diagonalen wegen  $D'_m = -D_m$  ebenfalls bekannt sind. Die Grenzwerte der Stützenreactionen sind wie in Beispiel 43 bestimmt.

Die Resultate für die Diagonalen weichen nur deshalb von denjenigen des vorigen Beispiels ab, weil infolge der dem Zuge I nur näherungsweise entsprechenden Annahme eines constanten  $p$  für die Gurtungskräfte hier eine etwas andre Form wie im vorigen Beispiele erhalten wurde (vgl. die Bemerkungen zu Beispiel 64).

**Beispiel 128. Paulischer Segmentträger doppelten Systems mit gekreuzten Diagonalen. Berechnung für gleichmässig vertheilte bewegte Last.**

Es sollen einfache Balkenträger doppelten Systems mit gekreuzten Diagonalen, horizontalem Untergurte und constanter Maximalbeanspruchung des Obergurts unter folgenden Voraussetzungen berechnet

werden: Spannweite  $l = 45$  m, grösste Trägerhöhe  $h = 6$  m, Felderzahl  $n = 10$ , Eigengewicht per laufenden Meter Träger  $g = 0,9$  tn, Verkehrslast  $p = 2,63$  tn. Vom Eigengewichte kommen  $g_u = 0,6$  tn auf die Knotenpunkte des Untergurts, in welchen die Fahrbahnlast angreift, und  $g_o = 0,3$  tn auf diejenigen des Obergurts (Fig. 222).

**Formberechnung.** Nach § 100 hat man zur Berechnung der Verticalenlängen

$$(1) \quad h_{m-1} = \frac{\frac{(m-1)(n-m+1)}{c}}{\sqrt{1^2 + (h_m - h_{m-1})^2}} - \frac{m(n-m)}{h_m}$$

und hierin bei gerader Felderzahl

$$(2) \quad c = 2 \sqrt{1 + \left(\frac{n l}{4 h}\right)^2}.$$

In unserm Falle folgen mit  $h_s = h = 6$  und

$$c = 2 \sqrt{1 + \left(\frac{10 \cdot 45}{4 \cdot 6}\right)^2} = 37,553$$

$$\text{für } m = 5 \quad h_4 = \frac{\frac{24}{c}}{\sqrt{20,25 + (h_5 - h_4)^2}} - \frac{25}{6},$$

$$\text{für } m = 4 \quad h_3 = \frac{\frac{21}{c}}{\sqrt{20,25 + (h_4 - h_3)^2}} - \frac{24}{h_4},$$

$$\text{für } m = 3 \quad h_2 = \frac{\frac{16}{c}}{\sqrt{20,25 + (h_3 - h_2)^2}} - \frac{21}{h_3},$$

$$\text{für } m = 2 \quad h_1 = \frac{\frac{9}{c}}{\sqrt{20,25 + (h_2 - h_1)^2}} - \frac{16}{h_2}.$$

Für den Parabelträger der Trägerhöhe  $h = 6$  und von gerader Felderzahl  $n = 10$  hätte man aus

$$h_m = m(n-m) \frac{4h}{n^2}$$

$$h_5 - h_4 = 0,24 \quad h_4 - h_3 = 0,72$$

$$h_3 - h_2 = 1,20 \quad h_2 - h_1 = 1,68.$$

Damit ergeben obige Gleichungen für den Paulischen Träger angenähert

$$h_4 = 5,760 \quad h_3 = 5,155 \quad h_2 = 4,010 \quad h_1 = 2,351.$$

Setzen wir hiernach in den Ausdrücken der  $h$  zu genauerer Berechnung

$$\begin{aligned} h_5 - h_4 &= 0,240 & h_4 - h_3 &= 0,605 \\ h_3 - h_2 &= 1,145 & h_2 - h_1 &= 1,659, \end{aligned}$$

so folgen

für	$m = 1$	2	3	4	5:	
	$h_m = 2,340$	4,017	5,117	5,760	6	
	$d_m = \sqrt{\lambda^2 + h_{m-1}^2} =$	5,072	6,032	6,814	7,309	
	$d'_m = \sqrt{\lambda^2 + h_m^2} =$	6,032	6,814	7,309	7,5	
	$s_m = \sqrt{\lambda^2 + (h_m - h_{m-1})^2} =$	5,072	4,799	4,632	4,546	4,506
	$\varepsilon = \frac{h_m}{h_m - h_{m-1}} =$	2,40	4,65	8,96	25	
	$\varrho = 2 - \frac{h_{m-1} + h_{m+1}}{h_m} =$	0,283	0,144	0,089	0,070	0,080.

Beanspruchungen. Nach § 100 hat man für die Grenzbeanspruchungen der Polygonalgurtung

$$(3) \quad S = -c \frac{q\lambda}{4}, \quad \mathfrak{S} = \frac{g}{q} S,$$

und für diejenigen der Horizontalgurtung

$$(4) \quad T_m = c \frac{q\lambda^2}{4s_m}, \quad \mathfrak{T}_m = \frac{g}{q} T_m.$$

Diese Gleichungen liefern in Tonnen:

$$\begin{aligned} S &= -149,13 & \mathfrak{S} &= -38,02 \\ T_1 &= 132,31 & T_2 &= 139,84 & T_3 &= 144,88 & T_4 &= 147,62 & T_5 &= 148,93 \\ \mathfrak{T}_1 &= 33,74 & \mathfrak{T}_2 &= 35,66 & \mathfrak{T}_3 &= 36,94 & \mathfrak{T}_4 &= 37,64 & \mathfrak{T}_5 &= 37,98. \end{aligned}$$

Die Beanspruchungen der Diagonalen und Verticalen durch Eigengewicht allein sind durch B. 109, 1) ausgedrückt, wonach mit den gegebenen  $n$ ,  $g$ ,  $g_*$ ,  $g_o$  und  $\lambda = 4,5$

$$\mathfrak{D}_m = \left(11 - 2m - m \frac{10 - m}{\varepsilon}\right) \frac{4,05 d_m}{4 h_{m-1}} = -\frac{d_m}{d'_m} \mathfrak{D}_m.$$

$$\mathfrak{S}_m = m(10 - m) \frac{4,05 \varrho}{4} + 0,675.$$

Wir erhalten in Tonnen:

$$\begin{aligned} \mathfrak{D}_2 &= 0,73 & \mathfrak{D}_3 &= 0,74 & \mathfrak{D}_4 &= 0,43 & \mathfrak{D}_5 &= 0. \\ \mathfrak{S}_1 &= 3,25 & \mathfrak{S}_2 &= 3,01 & \mathfrak{S}_3 &= 2,57 & \mathfrak{S}_4 &= 2,38 & \mathfrak{S}_5 &= 2,70. \end{aligned}$$

Für die Grenzbeanspruchungen der nach Auflager 0 hin ansteigenden

Diagonalen gelten die Gleichungen B. 125, 7), welche in Tonnen ergeben:

$$D_2 = 0,73 - \frac{10,40 \cdot 5,07}{13,6 \cdot 2,84} 1 \cdot 2,959 = -4,18$$

$$D_3 = 0,74 - \frac{11,65 \cdot 6,03}{34,85 \cdot 4,02} 4 \cdot 2,959 = -5,20$$

$$D_4 = 0,43 - \frac{14,96 \cdot 6,81}{74,64 \cdot 5,12} 9 \cdot 2,959 = -6,68$$

$$D_5 = 0 - \frac{30 \cdot 7,31}{220 \cdot 5,76} 16 \cdot 2,959 = -8,19,$$

$$D_2 = 4,922 \cdot 0,73 + 4,18 = 7,82$$

$$D_3 = 4,922 \cdot 0,74 + 5,20 = 8,89$$

$$D_4 = 4,922 \cdot 0,43 + 6,68 = 8,83$$

$$D_5 = 4,922 \cdot 0 + 8,19 = 8,19.$$

Die Grenzbeanspruchungen der nach 0 hin abfallenden Diagonalen sind damit wegen

$$(5) \quad D'_m = -\frac{d'_m}{d_m} D_m$$

ebenfalls bestimmt, nämlich in Tonnen:

$$D'_2 = 4,97 \quad D'_3 = 5,88 \quad D'_4 = 7,17 \quad D'_5 = 8,40$$

$$D'_2 = -9,30 \quad D'_3 = -10,05 \quad D'_4 = -9,47 \quad D'_5 = -8,40.$$

Die unteren Grenzbeanspruchungen der Verticalen sind deren schon berechnete Eigengewichtsbeanspruchungen, für die oberen gilt B. 109, 5) oder nach § 88, 13)

$$(6) \quad H_m = \frac{q}{g} \mathfrak{H}_m + \frac{p \lambda}{g} g_o = 3,922 \mathfrak{H}_m + 3,945,$$

woraus in Tonnen:

$$H_1 = 16,69 \quad H_2 = 15,75 \quad H_3 = 14,02$$

$$H_4 = 13,28 \quad H_5 = 14,53.$$

Die Grenzwerte der Stützenreactionen sind wie in Beispiel 41 bestimmt.

**Bemerkungen.** Aus den am Schlusse des Beispiels 125 erwähnten Gründen ergeben sich die oberen Grenzwerte von  $U_1$ ,  $O_1$  genauer als oben aus

$$(7) \quad T_1 = (n-1) \frac{q \lambda^2}{2 h_1} = -\frac{\lambda}{s_1} S_1,$$

während die unteren durch 3) 4) ausgedrückt bleiben. Wir erhalten in Tonnen:

$$T_1 = 137,47$$

$$S_1 = -154,94$$

$$\mathfrak{T}_1 = 35,05$$

$$\mathfrak{S}_1 = -39,51.$$

Dass der Paulische Segmentträger unter sonst gleichen Verhältnissen mehr vom Parabelträger abweicht wie der Paulische Linsenträger ergibt z. B. folgende Zusammenstellung. Wir fanden bei gleichmässig vertheilter bewegter Last und  $h = 6$ ,  $n = 10$  für den Parabelträger

$$h_m = 2,16 \quad 3,84 \quad 5,04 \quad 5,76 \quad 6$$

für den Paulischen Linsenträger

$$h_m = 2,217 \quad 3,884 \quad 5,066 \quad 5,760 \quad 6$$

für den Paulischen Segmentträger

$$h_m = 2,340 \quad 4,017 \quad 5,117 \quad 5,760 \quad 6.$$

Wie bei Paulischen Trägern einfachen Systems ist die Trägerhöhe gegen die Enden hin grösser als bei Parabelträgern.

**Beispiel 129. Paulischer Segmentträger doppelten Systems mit gekreuzten Diagonalen. Berechnung für bewegte Radlastzüge.**

Die im vorigen Beispiele verlangten Träger sollen nun einer eingleisigen Eisenbahnbrücke angehören und für bewegte Radlastzüge, zusammengesetzt aus Locomotiven der Radanordnung Fig. 18, berechnet werden (Fig. 222).

**Formberechnung.** Nach § 100 hat man zur Berechnung der Verticalenlängen

$$(1) \quad h_{m-1} = \frac{Q_m}{\frac{c}{\sqrt{\lambda^2 + (h_m - h_{m-1})^2}} - \frac{R_m}{h_m}}$$

und hierin bei gerader Felderzahl  $n = 2\sigma$

$$(2) \quad c = \frac{4}{n^2} \left( R_\sigma + \frac{n^2}{n^2 - 4} Q_\sigma \right) \sqrt{1 + \left( \frac{n l}{4 h} \right)^2}.$$

Ganz wie in Beispiel 126 ergeben sich die Werthe

$$\begin{array}{llll} R_2 = 5782 & R_3 = 7524 & R_4 = 8549 & R_5 = 8933 \\ Q_2 = 3157 & Q_3 = 5744 & Q_4 = 7452 & Q_5 = 8549. \end{array}$$

Weiter folgen mit  $h_5 = h = 6$  und

$$c = \left( \frac{8933}{25} + \frac{8549}{24} \right) \sqrt{1 + \left( \frac{10 \cdot 45}{4 \cdot 6} \right)^2} = 13,398$$

für  $m = 5$

$$h_4 = \frac{8549}{\frac{c}{\sqrt{20,25 + (h_5 - h_4)^2}} - \frac{8933}{6}},$$

$$\text{für } m = 4 \quad h_3 = \frac{7452}{\frac{c}{\sqrt{20,25 + (h_4 - h_3)^2}} - \frac{8549}{h_4}},$$

$$\text{für } m = 3 \quad h_2 = \frac{5744}{\frac{c}{\sqrt{20,25 + (h_3 - h_2)^2}} - \frac{7524}{h_3}},$$

$$\text{für } m = 2 \quad h_1 = \frac{3157}{\frac{c}{\sqrt{20,25 + (h_2 - h_1)^2}} - \frac{5782}{h_2}}.$$

Wie schon im vorigen Beispiele angeführt, entsprechen dem Parabelträger von  $h = 6$ ,  $n = 10$ ,

$$\begin{aligned} h_5 - h_4 &= 0,24 & h_4 - h_3 &= 0,72 \\ h_3 - h_2 &= 1,20 & h_2 - h_1 &= 1,68. \end{aligned}$$

Mit diesen Werthen unterm Wurzelzeichen liefern obige Gleichungen für den Paulischen Träger angenähert

$$h_4 = 5,760 \quad h_3 = 5,119 \quad h_2 = 4,083 \quad h_1 = 2,299.$$

Demgemäss setzen wir in den Ausdrücken der  $h$  zu genauerer Berechnung

$$\begin{aligned} h_5 - h_4 &= 0,240 & h_4 - h_3 &= 0,641 \\ h_3 - h_2 &= 1,036 & h_2 - h_1 &= 1,784, \end{aligned}$$

und erhalten damit

für	$m = 1$	2	3	4	5:	
	$h_m = 2,366$	4,034	5,092	5,760	6	
	$d_m = \sqrt{\lambda^2 + h_{m-1}^2} =$	5,084	6,043	6,795	7,309	
	$d'_m = \sqrt{\lambda^2 + h_m^2} =$	6,043	6,795	7,309	7,5	
	$s_m = \sqrt{\lambda^2 + (h_m - h_{m-1})^2} =$	5,084	4,919	4,623	4,549	4,506
	$\varepsilon = \frac{h_m}{h_m - h_{m-1}} =$		2,42	4,81	8,62	25
	$\varrho = 2 - \frac{h_{m-1} + h_{m+1}}{h_m} =$	0,295	0,151	0,077	0,074	0,080.

Beanspruchungen. Nach § 100 hat man die Grenzbeanspruchungen der Polygonalgurtung

$$(3) \quad S_m = -\frac{c}{2l}, \quad \mathfrak{S}_m = -\left[\frac{m(n-n)}{h_m} + \frac{(m-1)(n-m+1)}{h_{m-1}}\right] \frac{gl}{4} s_m,$$

und diejenigen der Horizontalgurtung

$$(4) \quad T_m = \frac{c}{2ns_m}, \quad \mathfrak{T}_m = -\frac{l}{s_m} \mathfrak{S}_m.$$

Diese Gleichungen liefern in Tonnen:

$$\begin{aligned}
 S_m &= -148,87 & T_1 &= 131,77 \\
 \mathfrak{S}_2 &= -38,70 & \mathfrak{X}_2 &= 35,40 & T_2 &= 136,19 \\
 \mathfrak{S}_3 &= -37,87 & \mathfrak{X}_3 &= 36,86 & T_3 &= 144,91 \\
 \mathfrak{S}_4 &= -38,19 & \mathfrak{X}_4 &= 37,78 & T_4 &= 147,26 \\
 \mathfrak{S}_5 &= -38,02 & \mathfrak{X}_5 &= 37,97 & T_5 &= 148,67,
 \end{aligned}$$

während für  $\mathfrak{S}_1$  ein unbestimmter Ausdruck entsteht. Indessen folgen aus A. 49, 5) und 4)

$$(5) \quad \mathfrak{S}_1 = -(n-1) \frac{s_1}{h_1} \frac{g \lambda}{2} = -39,16, \quad \mathfrak{X}_1 = 34,66 \text{ tn.}$$

Die Eigengewichtsbeanspruchungen der Diagonalen und Verticalen ergeben sich aus den im vorigen Beispiele verwendeten Gleichungen mit den oben berechneten  $h$ ,  $d$ ,  $\varepsilon$ ,  $\varrho$ ,

$$\begin{aligned}
 \mathfrak{D}_2 &= 0,85 & \mathfrak{D}_3 &= 0,96 & \mathfrak{D}_4 &= 0,29 & \mathfrak{D}_5 &= 0 \\
 \mathfrak{S}_1 &= 3,37 & \mathfrak{S}_2 &= 3,12 & \mathfrak{S}_3 &= 2,31 & \mathfrak{S}_4 &= 2,47 & \mathfrak{S}_5 &= 2,70.
 \end{aligned}$$

Für die Grenzbeanspruchungen der nach Auflager 0 hin ansteigenden Diagonalen gelten die Gleichungen B. 126, 9) 10), welche mit oder ohne Rücksicht auf die Tabelle des Beispiels 6 in Tonnen liefern:

$$\begin{aligned}
 D_2 &= 0,85 + \frac{5,08 \cdot 0,42 \cdot 1836}{2,36 \cdot 2,42 \cdot 90} = 8,46 \\
 D_3 &= 0,96 + \frac{6,04 \cdot 1,81 \cdot 1442}{4,03 \cdot 4,81 \cdot 90} = 9,99 \\
 D_4 &= 0,29 + \frac{6,79 \cdot 4,62 \cdot 1087}{5,09 \cdot 8,62 \cdot 90} = 8,92 \\
 D_5 &= 0 + \frac{7,31 \cdot 20 \cdot 776}{5,76 \cdot 25 \cdot 90} = 8,75, \\
 D_2 &= 0,35 - \frac{5,08 \cdot 10,42 \cdot 60,4}{2,36 \cdot 2,42 \cdot 90} = -5,36 \\
 D_3 &= 0,96 - \frac{6,04 \cdot 11,81 \cdot 170}{4,03 \cdot 4,81 \cdot 90} = -5,99 \\
 D_4 &= 0,29 - \frac{6,79 \cdot 14,62 \cdot 316}{5,09 \cdot 8,62 \cdot 90} = -7,65 \\
 D_5 &= 0 - \frac{7,31 \cdot 30 \cdot 530}{5,76 \cdot 25 \cdot 90} = -8,97.
 \end{aligned}$$

Die Grenzbeanspruchungen der nach 0 hin abfallenden Diagonalen sind damit wegen

$$(6) \quad D'_m = -\frac{d'_m}{d_m} D_m$$

ebenfalls bestimmt. Wir erhalten in Tonnen:

$$\begin{aligned} D_2' &= -10,06 & D_3' &= -11,23 & D_4' &= -9,57 & D_5' &= -8,98 \\ D_2' &= 6,37 & D_3' &= 6,73 & D_4' &= 8,26 & D_5' &= 9,20. \end{aligned}$$

Die unteren Grenzbeanspruchungen der Verticalen treten für Eigengewicht allein ein, die oberen ergeben sich aus B. 110, 3) mit dem dort berechneten  $K = 16,311$  für die erste Richtung des Zuges I:

$$H_1 = 3,37 + (9 \cdot 54,2 + 1 \cdot 1996) \frac{0,296}{90} + 8,155 = 19,67 \text{ tn (19,27)}$$

$$H_2 = 3,12 + (8 \cdot 144 + 2 \cdot 1586) \frac{0,151}{90} + 8,155 = 18,53 \text{ „ (18,33)}$$

$$H_3 = 2,31 + (7 \cdot 285 + 3 \cdot 1208) \frac{0,077}{90} + 8,155 = 15,27 \text{ „ (15,26)}$$

$$H_4 = 2,47 + (6 \cdot 490 + 4 \cdot 884) \frac{0,074}{90} + 8,155 = 15,95 \text{ „ (15,86)}$$

$$H_5 = 2,70 + (5 \cdot 714 + 5 \cdot 617) \frac{0,080}{90} + 8,155 = 16,77 \text{ „ (16,77).}$$

Die in Klammer beigeetzten Werthe entsprechen der zweiten Zugrichtung. Wie fast immer hätte die Berücksichtigung der ersten Zugrichtung allein genügt. Die Grenzwerte der Stützenreactionen sind wie in Beispiel 42 bestimmt.

**Bemerkung.** Aus den am Schlusse des Beispiels 125 erwähnten Gründen ergeben sich die oberen Grenzwerte von  $U_1$ ,  $O_1$  genauer als oben bei Belastung durch Zug I von 0 bis  $n$ , Rad  $O$  bei Verticale 1, nach

$$(7) \quad T_1 = T_1 + \left[ (n-1) \sum_0^1 Pa + \sum_1^n P(l-a) \right] \frac{1}{n s_1} = -\frac{1}{s_1} S_1.$$

Wir erhalten für die erste Richtung des Zuges I

$$T_1 = 34,66 + (9 \cdot 54,2 + 1961) \frac{1}{23,66} = 138,16, \quad S_1 = -156,09 \text{ tn,}$$

während die zweite Zugrichtung  $T_1 = 134,57$  und  $S_1 = 152,03$  tn ergeben hätte. Es treten also oben Abweichungen von 4,62 Procent gegen die genaueren Werthe ein.

**Beispiel 130.** Paulischer Segmentträger doppelten Systems mit gekreuzten Diagonalen. Berechnung mit Lastäquivalenten.

Die im vorletzten Beispiele verlangten Träger auf Grund gleichmässig vertheilter Lasten so zu berechnen, dass annähernd dieselben Grenzbeanspruchungen wie mit den Radlastzügen des letzten Beispiels entstehen (Fig. 222).



Nach Aufgabe 48 sind die oberen Grenzbeanspruchungen der Gurtungen mit demjenigen constanten  $p$  zu berechnen, welches für die max  $M_x$  eines durch den angenommenen Zug I direct befahrenen vollwandigen Trägers der Spannweite 45 m gilt. Die Tabelle in Beispiel 8 gibt hierfür  $p = 2,63$  tn, und da dieser Werth bereits in Beispiel 128 verwendet wurde (wobei sich die obere Grenzbeanspruchung der Polygonalgurtung — 149,13 gegen — 148,87 im vorigen Beispiele ergab), so bleiben die Trägerform, Beanspruchungen durch Eigengewicht allein und Grenzwerte der Gurtungskräfte genau wie dort bestimmt. Nur die oberen Grenzbeanspruchungen der Verticalen und beide Grenzbeanspruchungen der Diagonalen sind auf andere Art zu berechnen.

Für die oberen Grenzbeanspruchungen der Verticalen bei gleichmässig vertheilter bewegter Last hat man nach § 91, 8)

$$H_m = \mathfrak{H}_m + m(n - m) \frac{p^2 l^2}{4} + \frac{p^2 l^2}{2}.$$

Diese Gleichung liefert bei Berechnung mit Lastäquivalenten mit Rücksicht auf den Schlusssatz der Aufgabe 48 und die Tabelle des Beispiels 8 in Tonnen:

$$H_1 = 3,25 + 9 \cdot 0,283 \cdot 2,63 \cdot 1,125 + 3,62 \cdot 2,25 = 18,93$$

$$H_2 = 3,01 + 16 \cdot 0,144 \cdot 2,63 \cdot 1,125 + 3,62 \cdot 2,25 = 18,56$$

$$H_3 = 2,57 + 21 \cdot 0,089 \cdot 2,63 \cdot 1,125 + 3,62 \cdot 2,25 = 16,24$$

$$H_4 = 2,38 + 24 \cdot 0,070 \cdot 2,63 \cdot 1,125 + 3,62 \cdot 2,25 = 15,50$$

$$H_5 = 2,70 + 25 \cdot 0,080 \cdot 2,63 \cdot 1,125 + 3,62 \cdot 2,25 = 16,76.$$

Die Grenzbeanspruchungen der nach Auflager 0 hin ansteigenden Diagonalen ergeben sich nach den in Beispiel 127 verwendeten Gleichungen wie dort mit Rücksicht auf die Tabelle in Beispiel 8:

$$D_2 = 0,85 + \frac{4,5 \cdot 5,07 \cdot 0,40}{40 \cdot 2,34 \cdot 2,40} 64 \cdot 2,83 = 8,21$$

$$D_3 = 0,96 + \frac{4,5 \cdot 6,03 \cdot 1,65}{40 \cdot 4,02 \cdot 4,65} 49 \cdot 2,90 = 9,48$$

$$D_4 = 0,29 + \frac{4,5 \cdot 6,81 \cdot 4,96}{40 \cdot 5,12 \cdot 8,96} 36 \cdot 2,98 = 9,18$$

$$D_5 = 0 + \frac{4,5 \cdot 7,31 \cdot 20}{40 \cdot 5,76 \cdot 25} 25 \cdot 3,06 = 8,74,$$

$$D_2 = 0,85 - \frac{4,5 \cdot 5,07 \cdot 10,40}{40 \cdot 2,34 \cdot 2,40} 1 \cdot 5,94 = -5,40$$

$$D_3 = 0,96 - \frac{4,5 \cdot 6,03 \cdot 11,65}{40 \cdot 4,02 \cdot 4,65} 4 \cdot 4,21 = -6,17$$

$$D_4 = 0,29 - \frac{4,5 \cdot 6,81 \cdot 14,96}{40 \cdot 5,12 \cdot 8,96} 9 \cdot 3,46 = - 7,50$$

$$D_5 = 0 - \frac{4,5 \cdot 7,31 \cdot 30}{40 \cdot 5,76 \cdot 25} 16 \cdot 3,27 = - 8,96.$$

Die Grenzbeanspruchungen der nach 0 hin abfallenden Diagonalen sind damit wegen

$$D'_m = - \frac{d'_m}{d_m} D_m$$

ebenfalls bestimmt. Wir erhalten in Tonnen:

$$D'_2 = - 9,76 \quad D'_3 = - 10,71 \quad D'_4 = - 9,85 \quad D'_5 = - 8,97$$

$$D'_2 = 6,42 \quad D'_3 = 6,97 \quad D'_4 = 8,05 \quad D'_5 = 9,19.$$

Die Grenzwerte der Stützenreactionen sind wie in Beispiel 43 bestimmt.

Die obigen Resultate weichen für die Diagonalen lediglich und für die Verticalen theilweise deshalb von den im vorigen Beispiele berechneten ab, weil infolge der dem Zuge I nur näherungsweise entsprechenden Annahme eines constanten  $p$  für die Gurtungskräfte hier eine etwas andre Form als im vorigen Beispiele erhalten wurde (vgl. die Bemerkungen zu Beispiel 64).

### Fehlerverzeichnis zur Theorie der statisch bestimmten Träger.

- S. 31 Z. 17 von oben ist Querschnittsermittlung für Querschnittsvermittlung zu setzen.
- „ 41 „ 14 von unten ist allgemeinen durch genauen zu ersetzen.
- „ 66 „ 5 von unten soll abnehmenden Verticalenlängen an Stelle von zunehmenden Verticalen stehen.
- „ 76 „ 12 von oben hat  $\pm$  an Stelle von  $\mp$  zu treten.
- „ 99 In den Formeln 3) ist  $g$  durch  $p$  zu ersetzen.
- „ 103 „ 7 von oben ist  $v$  an Stelle von  $x$  zu setzen.
- „ 119 „ 1 von oben soll Z-Gurtung an Stelle von X-Gurtung stehen.
- „ 126 In Formel 7) hat  $\pm$  an Stelle von  $\mp$  zu treten.
- „ 130 In Formel 5) ist  $D_m$  für  $V_m$  zu setzen.
- „ 134 „ 14 von oben ist hinter  $m$  —  $v$  das Wort nicht einzufügen.
- „ 183 „ 14 von unten ist 1)–3) durch 7)–9) zu ersetzen.
- „ 224 Im Klammerausdruck der Formel 4) soll  $+$  an Stelle von  $=$  stehen.
- „ 240 In der Ueberschrift des § 68 ist mit durch bei zu ersetzen.
- „ 248 In Formel 11) hat  $\xi$  an Stelle von  $\zeta$  zu treten.
- „ 318 Im Bruche von Formel 4) ist  $+$  für  $-$  zu setzen.
- „ 322 Formel 4) soll mit  $\frac{1}{\lambda}$  anstatt mit  $\frac{1}{\lambda}$  abschliessen.
- „ 353 „ 3 von oben soll Nr. 29 für Nr. 28 stehen.

S. 366 Z. 11 von oben sind die Worte und Heft V zu streichen.

Taf. IV. In Fig. 59 hat die unterste Horizontallinie wegzubleiben.

Fünf weitere Fehler sind bereits S. 366 der Theorie angegeben.

### Fehlerverzeichnis zu dieser Aufgabensammlung.

S. 28 Z. 8 von oben ist  $\frac{m^2}{l}$  an Stelle von  $\frac{m^2}{2}$  zu setzen.

„ 77 „ 3 von unten sollen  $K_1, K_3$  wie folgt ausgedrückt sein

$$K_1 = 6 \frac{0,1 + 1,4 + 2,7}{4} + 6 \frac{1,3}{4} = 8,25,$$

$$K_3 = 6 \frac{2,5}{4} + 6 \frac{1,3}{4} + 4 \frac{2,5}{4} = 8,2 \text{ tn},$$

womit die letzte Zeile lautet:

$$X = -6 - (3 \cdot 8,25 + 4 \cdot 15,6 + 3 \cdot 8,2) \frac{1}{4} = -33,94 \text{ tn}.$$

„ 78 Der erste Absatz soll wie folgt schliessen: so würde sich noch etwas grösser  $X = -35,98$  ergeben haben, dagegen bei Verschiebung um ein Rad nach 0 hin nur  $X = -29,61 \text{ tn}$ .

„ 5 von oben ist wesentlich grösser durch etwa eben so gross zu ersetzen, und in

„ 14 von oben 2,61 durch 3,00.

„ 79 Formel 5) soll lauten:  $\mathfrak{B}_0 = \frac{g_u v}{2} - \frac{g l}{2}$ .

„ 91 „ 2 von unten soll 17,5 an Stelle von 17,8 stehen.

„ 110 In der ersten Formel 8) hat  $l$  an Stelle von  $\lambda$  zu treten.

„ 113 „ 12 von oben ist 10,90 durch 10,20 zu ersetzen.

„ 114 „ 8 von unten ist  $z$  für  $u$  zu setzen.

„ 115 „ 6 von unten ist  $v = 8$  durch  $v = 4$  zu ersetzen.

„ 116 „ 10 von unten soll 6 . 8 an Stelle von 6 . 3 treten.

„ 135 „ 2 von unten soll  $M_s =$  an Stelle von  $M_s -$  stehen.

„ 188 In der ersten Formel 9) ist  $l$  für  $\lambda$  zu setzen.

„ 189 Im ersten Ausdrucke für  $V_4$  sind 6 durch 6 . 8 und 0,98 durch 2,67 zu ersetzen.

„ 248 „ 4 von oben soll 4,5 für 2,66 stehen.

„ 249 In der Tabelle sind für  $V_4$  zu setzen 4,50 an Stelle von 2,66 und 5,18 an Stelle von 3,34 sowie 6,00 an Stelle von 2,85.

Taf. X. In Fig. 109 ist bei der ersten Verticale 19,10 durch 19,01 zu ersetzen.

Taf. XI. In Fig. 122 hat bei der ersten Verticale 72,75 an Stelle von 71,35 zu treten.

Taf. XV. In Fig. 165 und 169 ist bei der dritten Diagonale 13,19 für 13,14 zu setzen.



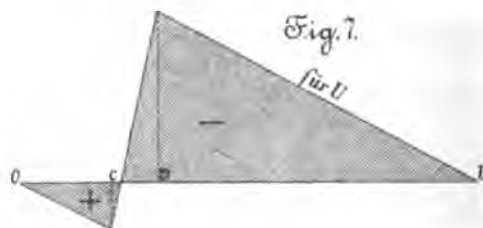
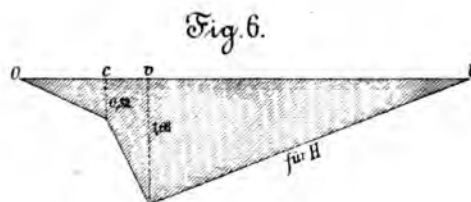
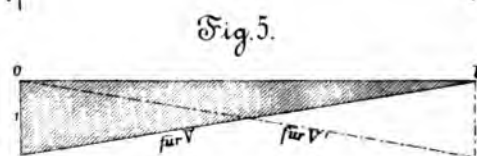
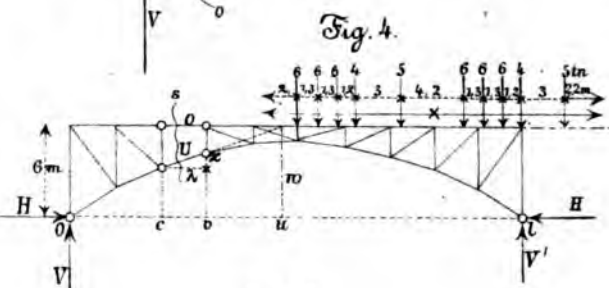
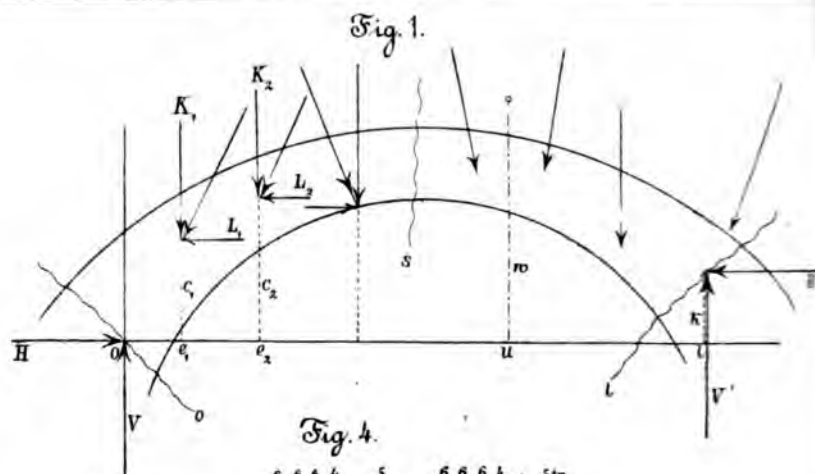


Fig. 3.

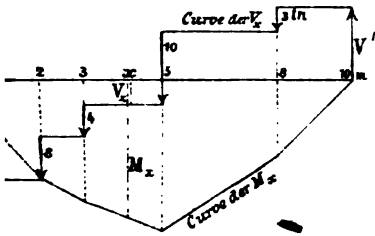


Fig. 2.

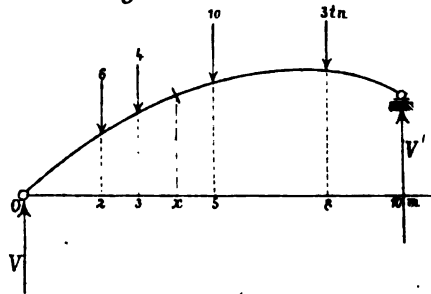


Fig. 11.

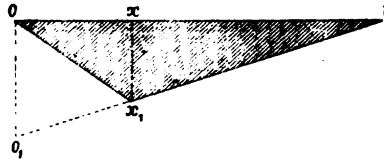


Fig. 12.

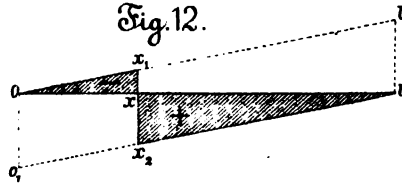


Fig. 13.



Fig. 14.

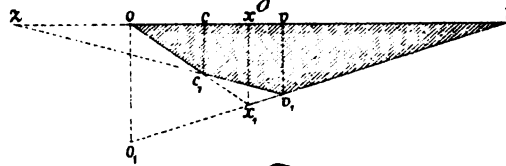


Fig. 15.

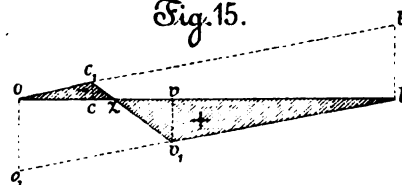


Fig. 9.

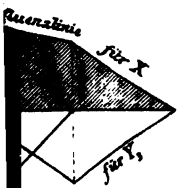
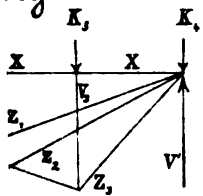










Fig. 19.

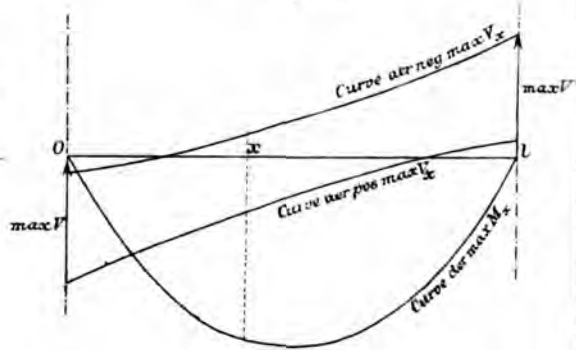


Fig. 21.

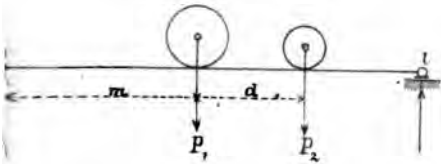


Fig. 25.

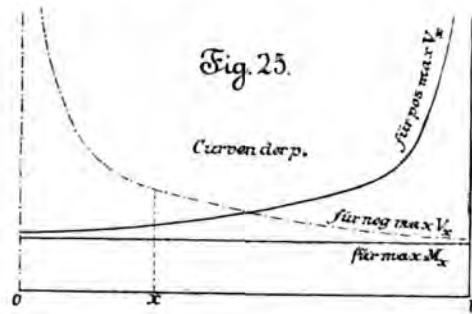


Fig. 26.

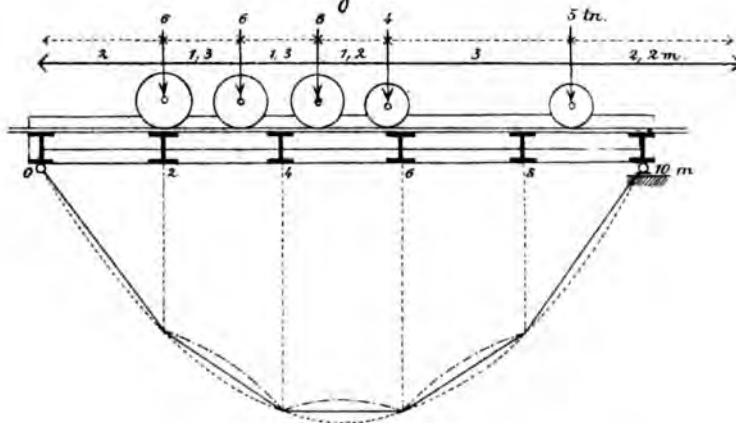






Fig. 27.

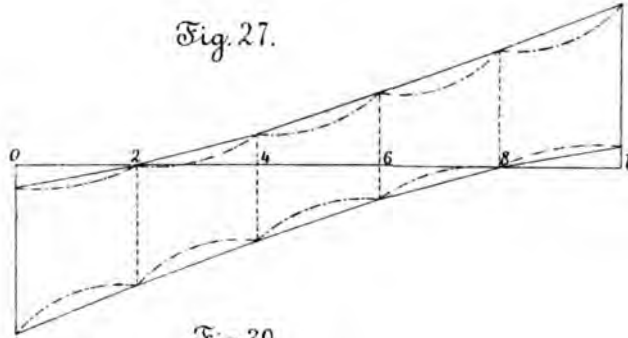


Fig. 30.

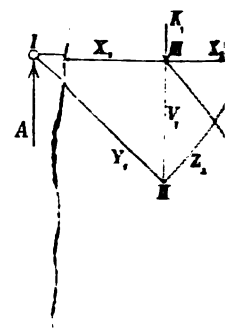
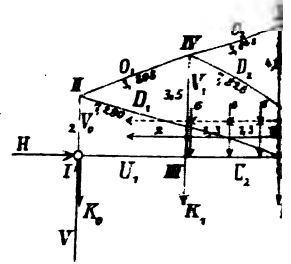
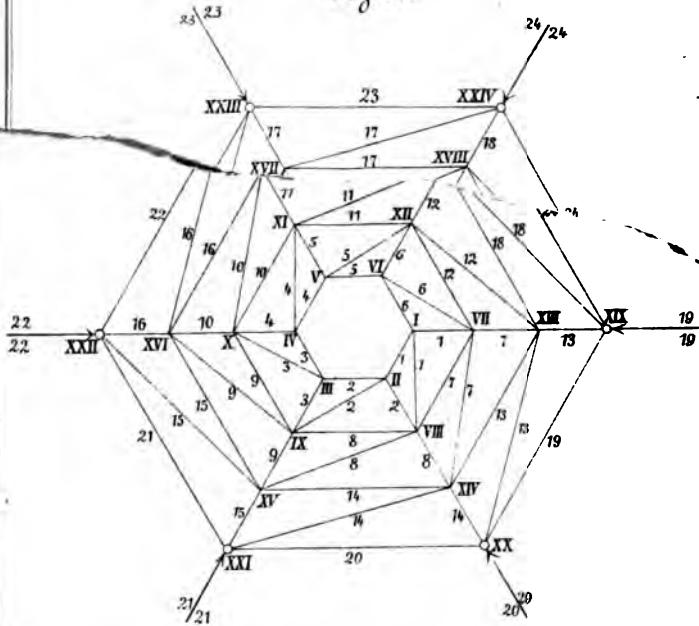


Fig. 35.

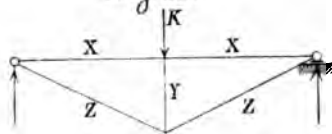


Fig. 36.

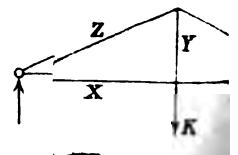


Fig. 28.

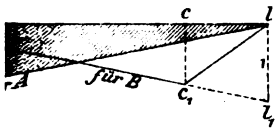


Fig. 29.

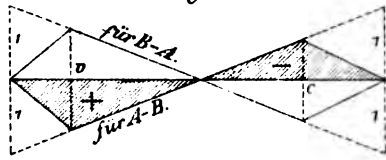


Fig. 33.

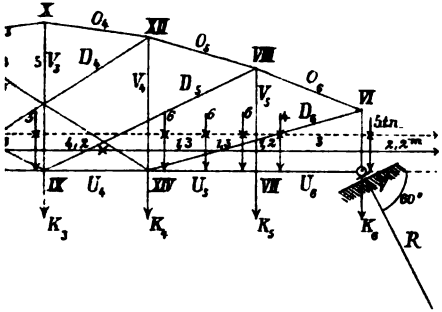


Fig. 31.

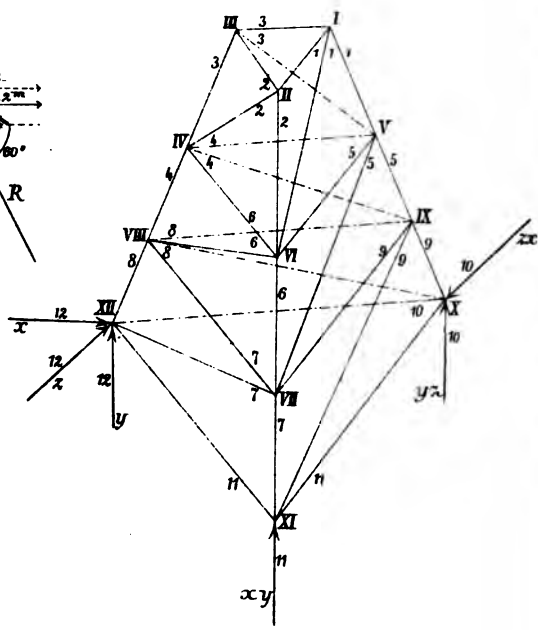


Fig. 34.

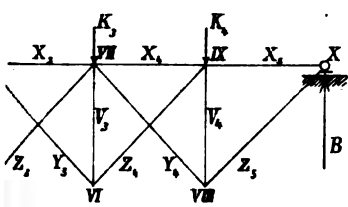
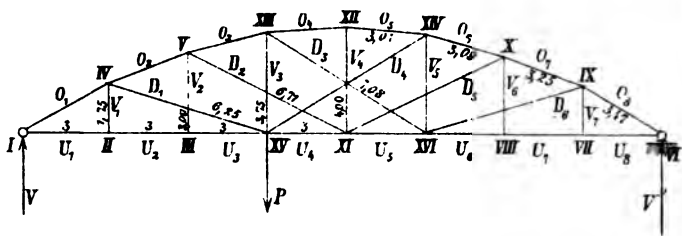


Fig. 32.



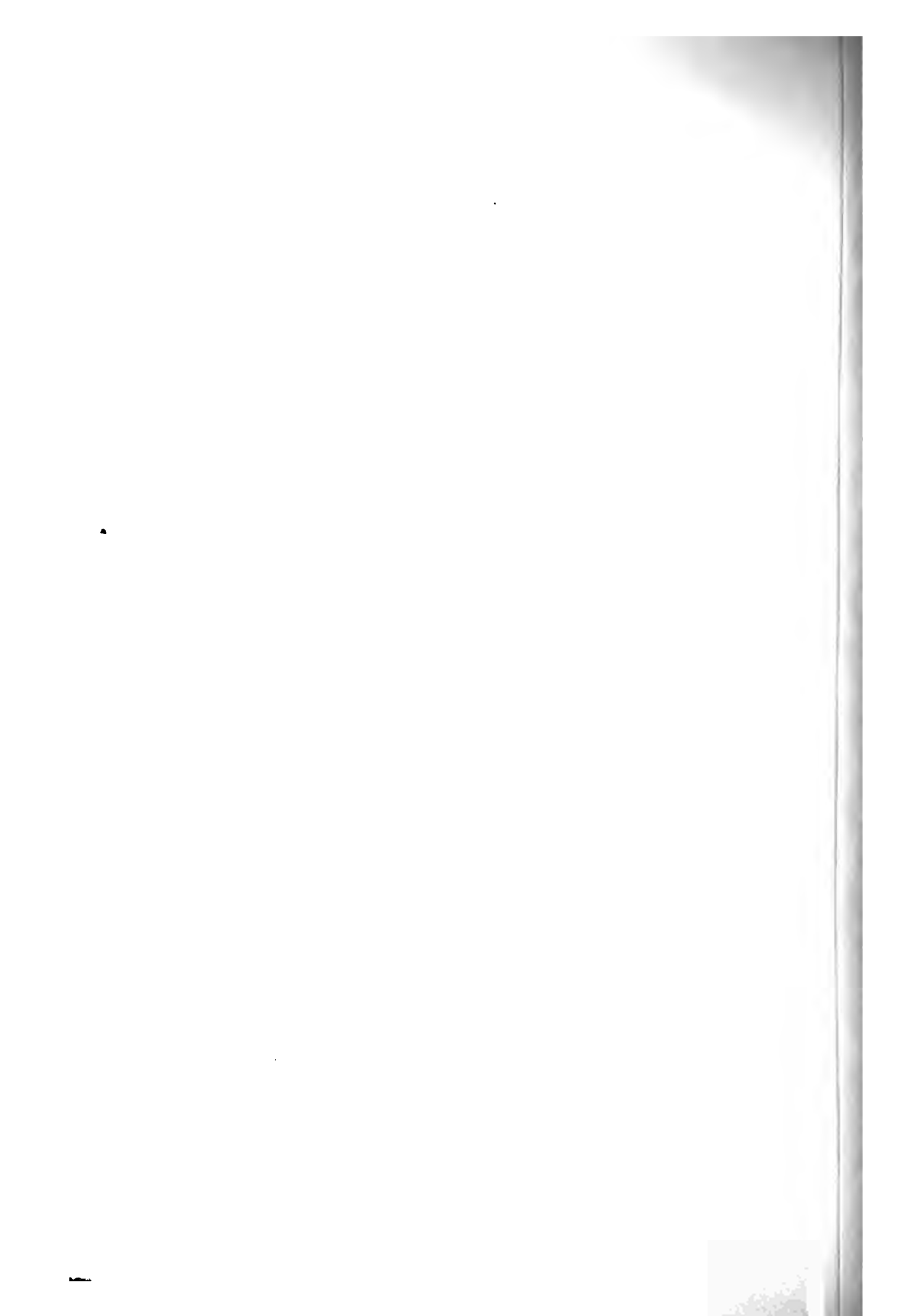






Fig. 37.

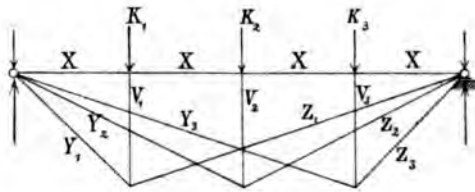


Fig 38.

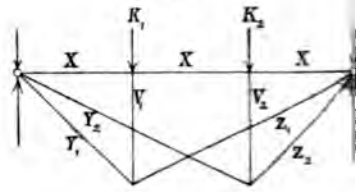


Fig. 41.

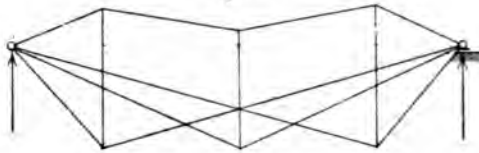


Fig. 44.

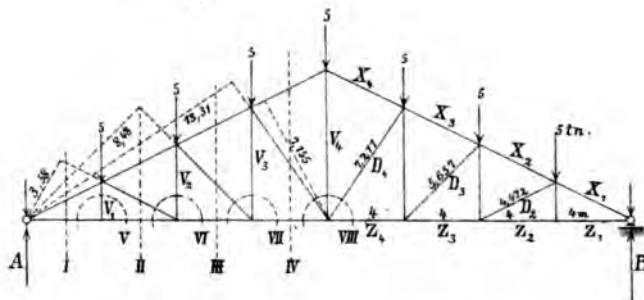


Fig. 48.

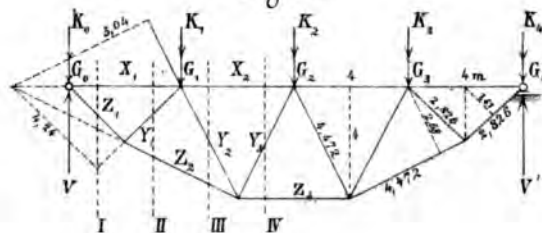


Fig.39.

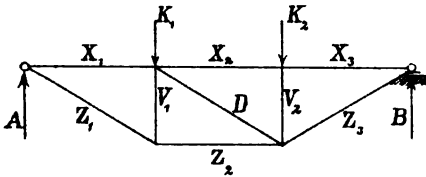


Fig. 40.

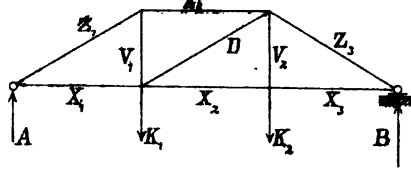


Fig. 46.

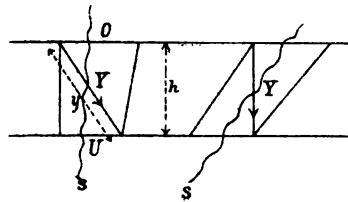


Fig. 43.

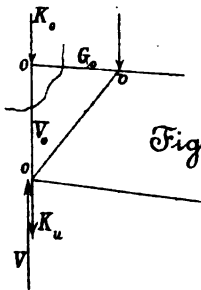


Fig. 47.

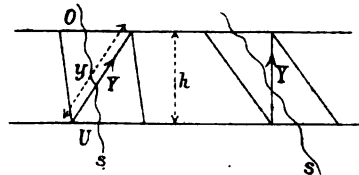
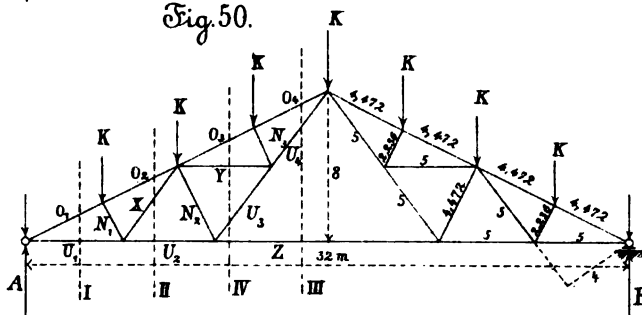


Fig. 50.



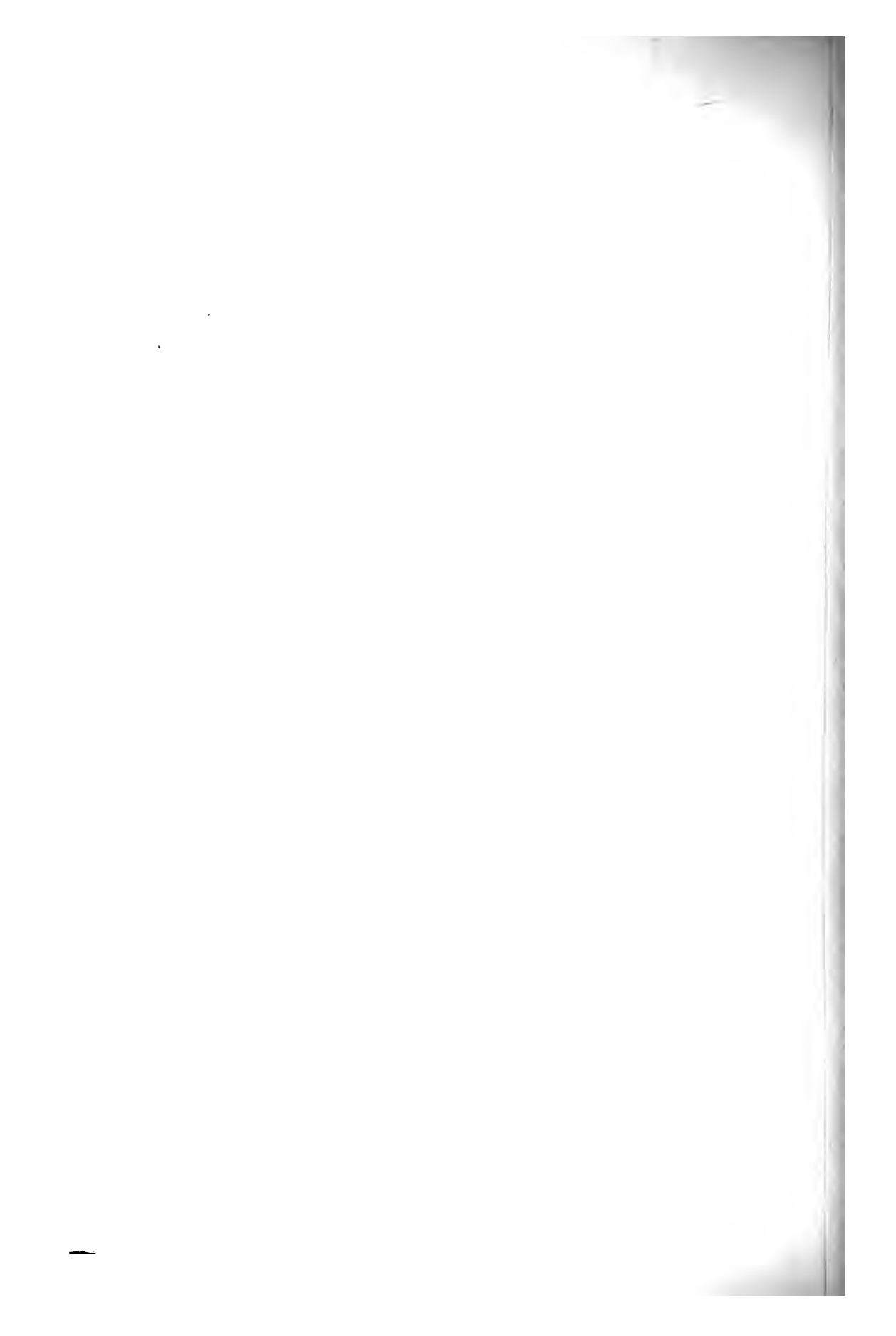




Fig. 51.

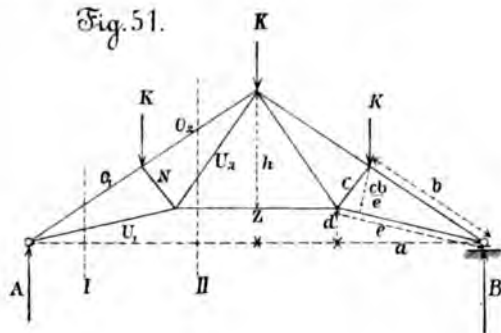


Fig. 52.



Fig. 53.

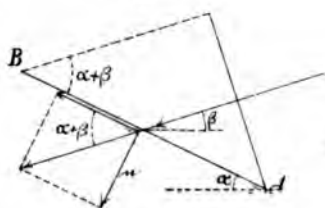


Fig. 55.

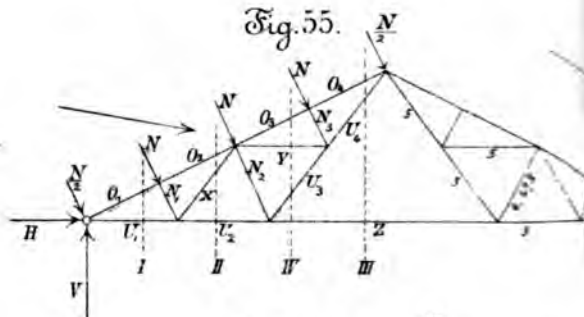


Fig. 58.

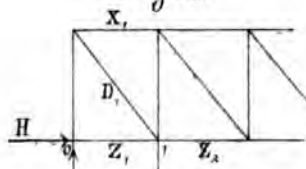


Fig. 59.

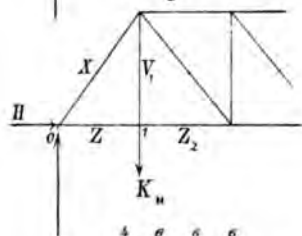


Fig. 60.

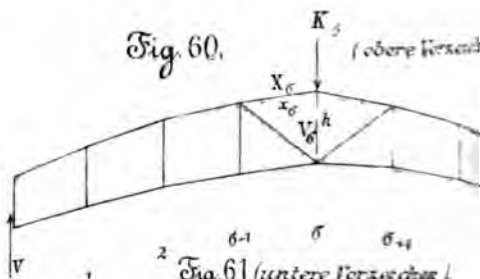


Fig. 61 (untere Vorzeichen)

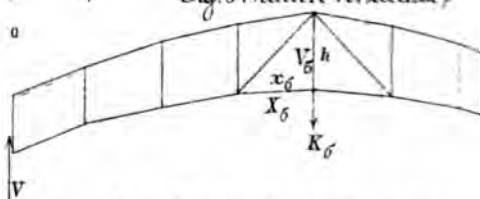


Fig. 63. Zug I, erste Zugrichtung



Fig. 54.

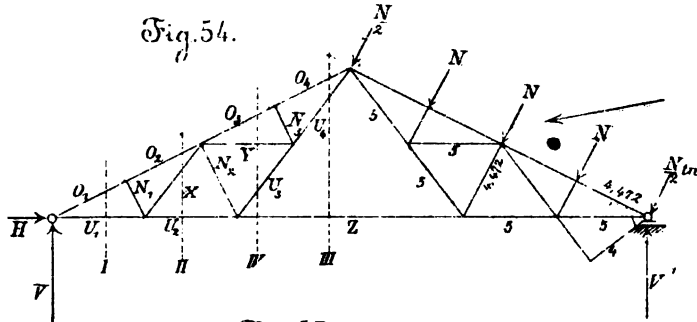


Fig. 56.



Fig. 57.

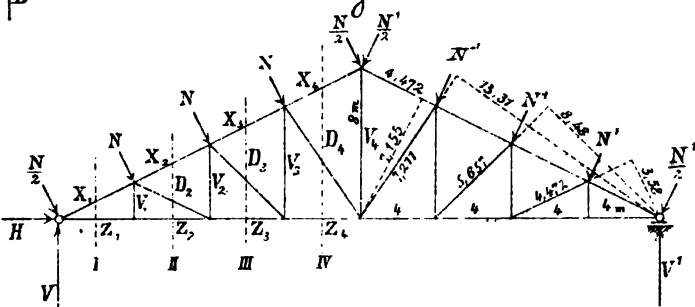


Fig. 62.

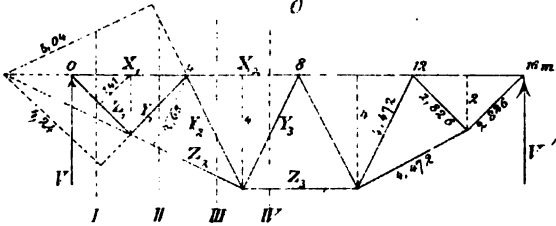


Fig. 64. Zug I, zweite Richtung.

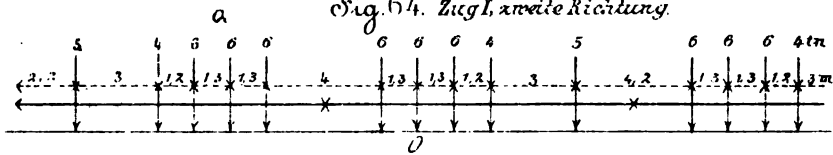
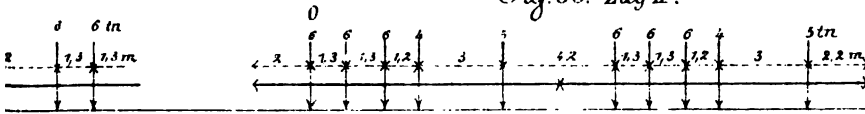


Fig. 65. Zug II.



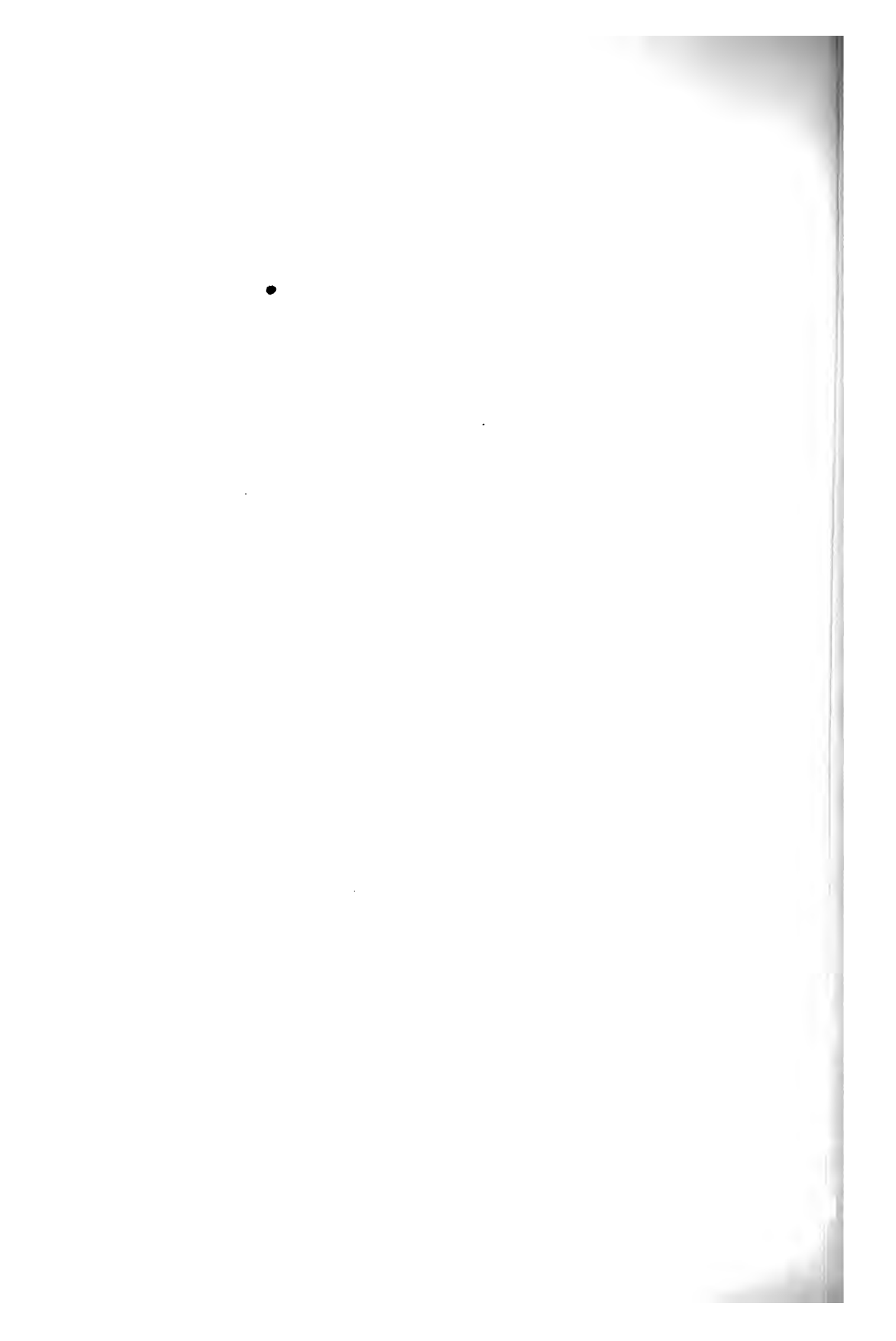






Fig. 67.

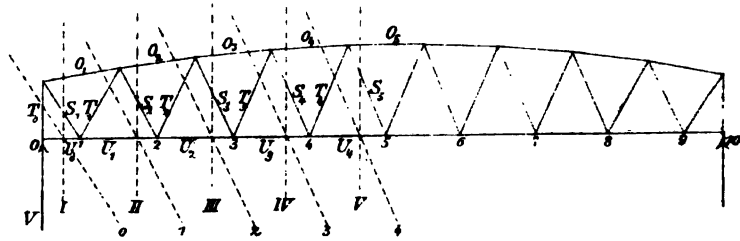


Fig. 69.

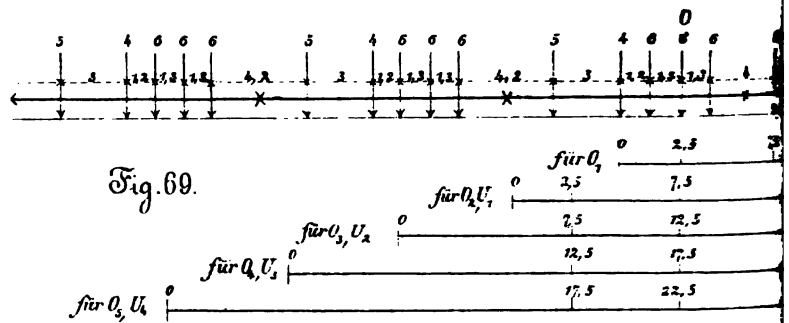


Fig. 70.

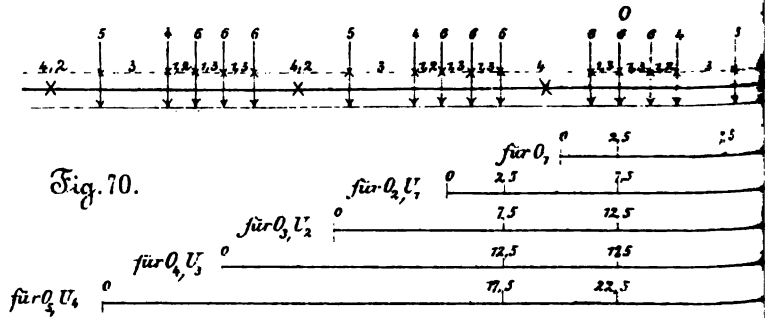


Fig. 71. (obere Vorzeichen.)

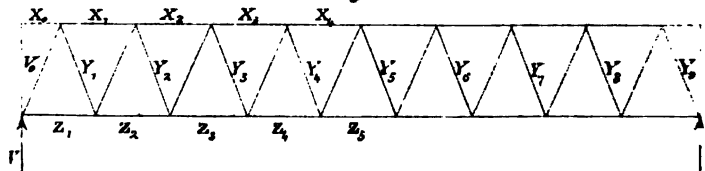


Fig.66.

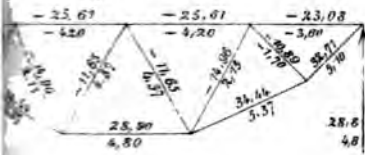


Fig.68.

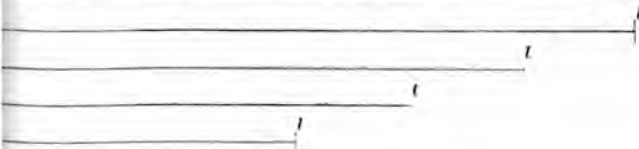
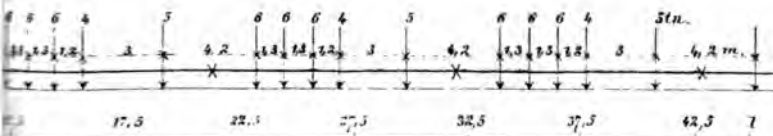
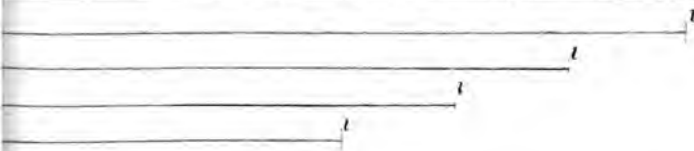
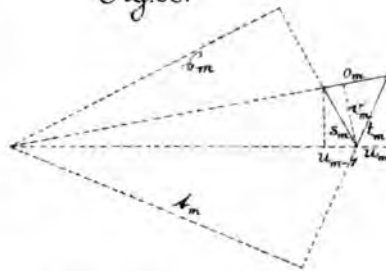
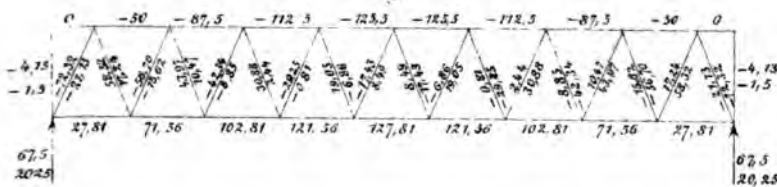


Fig.72.



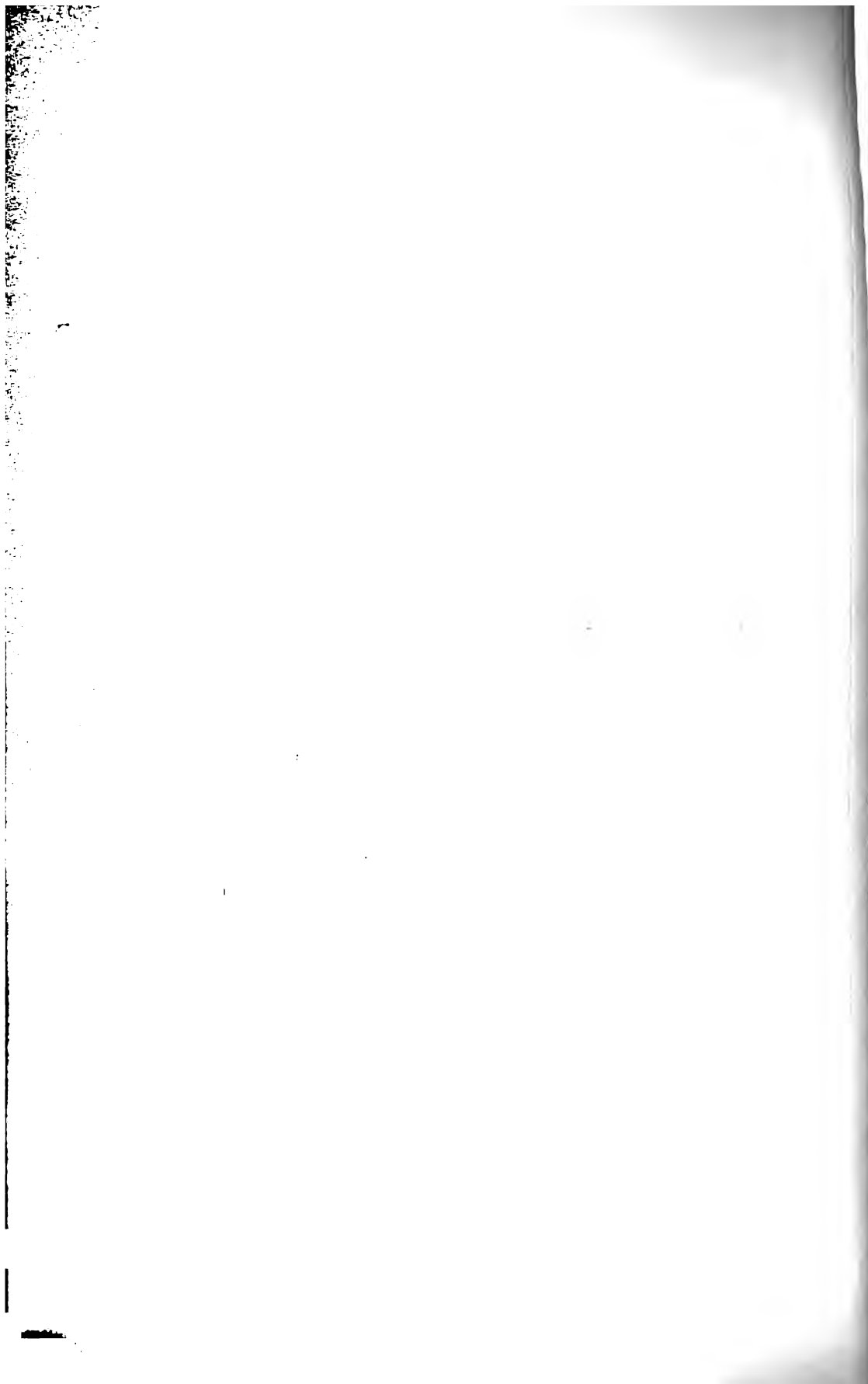




Fig. 73 (untere Vorzeichen).

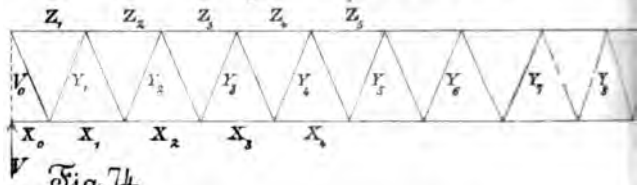


Fig. 74.

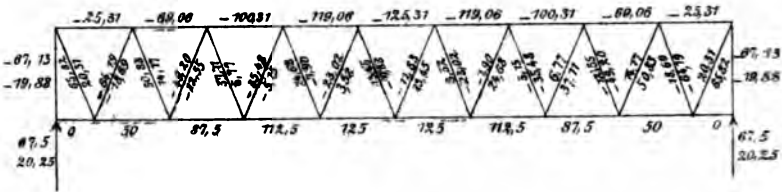


Fig. 75.

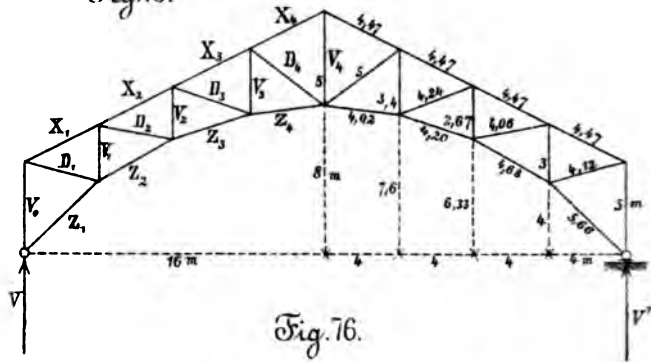


Fig. 76.

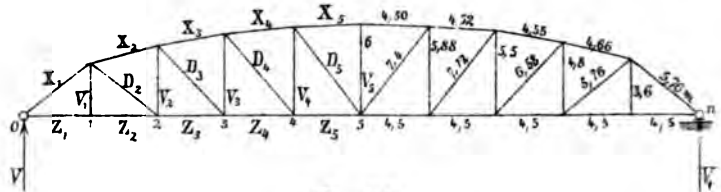
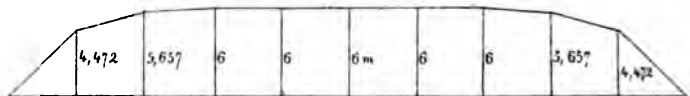


Fig. 77.





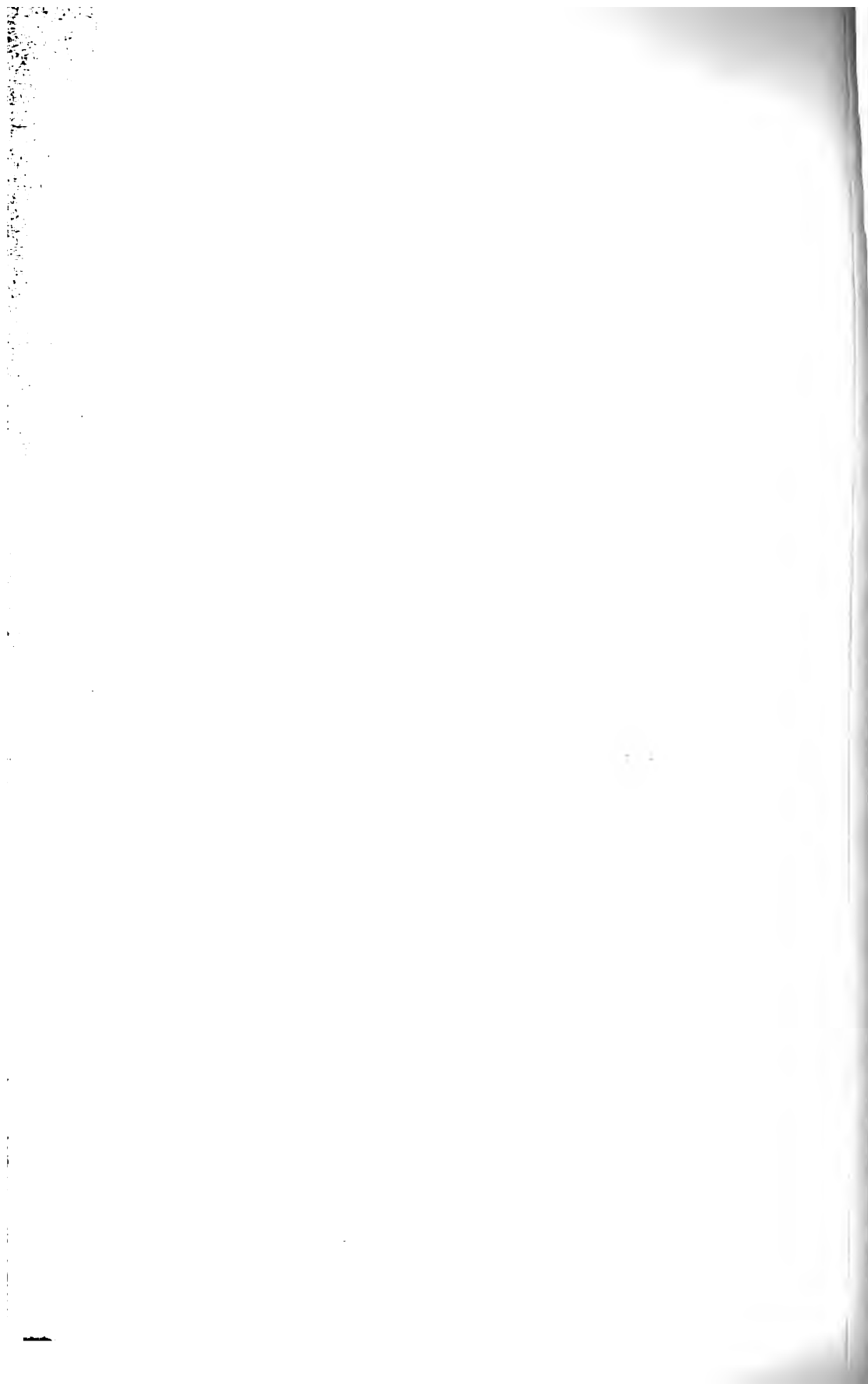






Fig. 82.

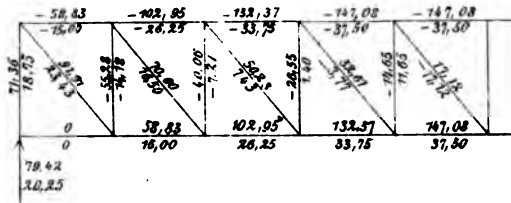


Fig. 85.

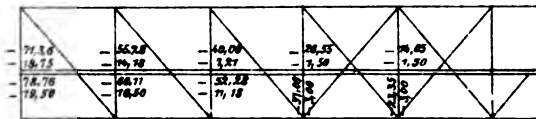


Fig. 88.

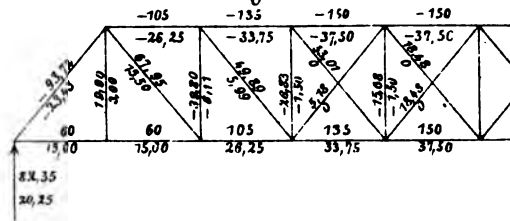
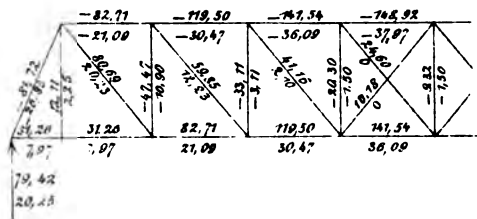


Fig. 92.



8

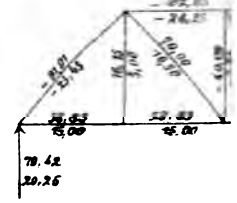


Fig. 8.

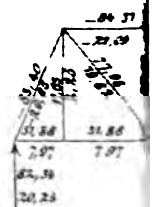
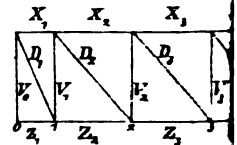
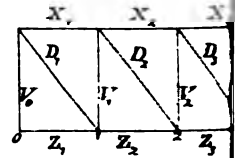
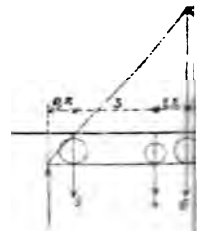


Fig. 84.

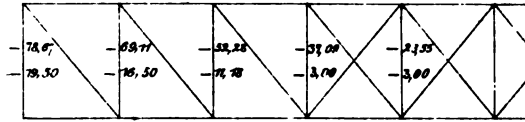
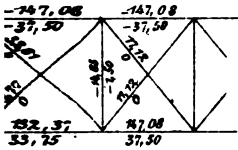


Fig. 87.

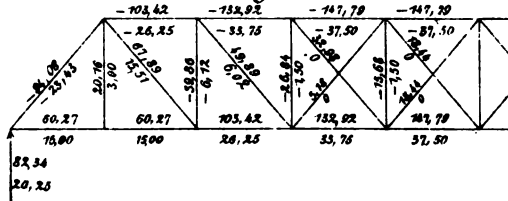


Fig. 90.

89.

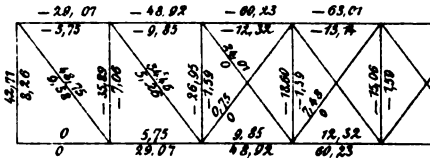
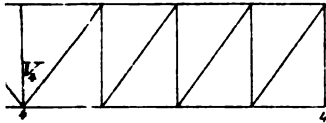


Fig. 91.

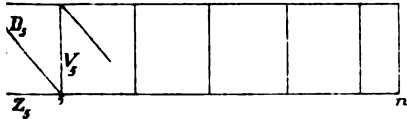


Fig. 93.

94.

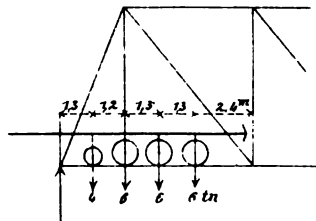
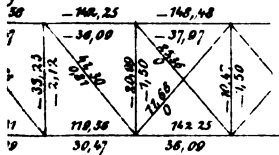






Fig. 95.

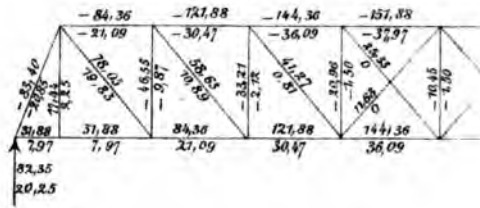


Fig. 97

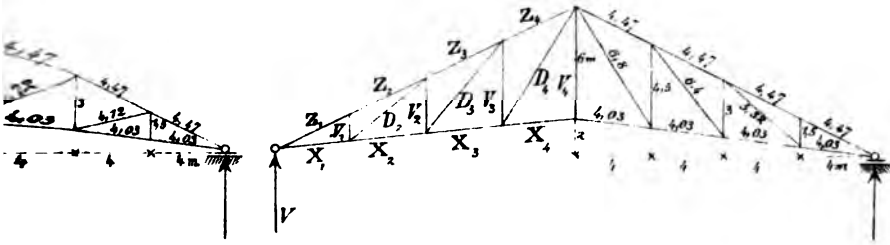


Fig. 102.

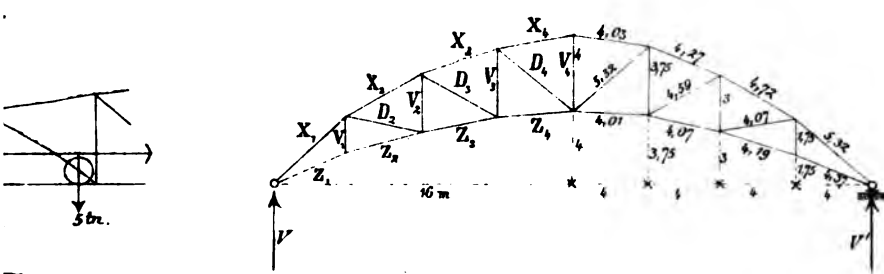


Fig. 103.

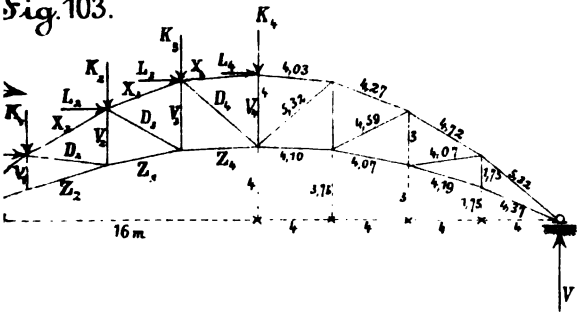


Fig.104.

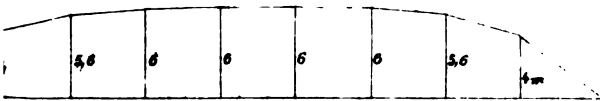


Fig. 105.

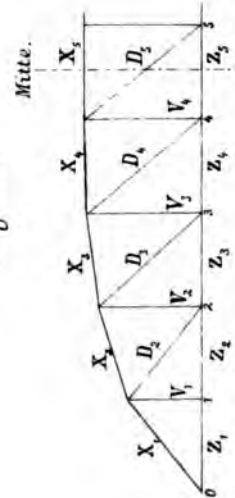








Fig. 106.

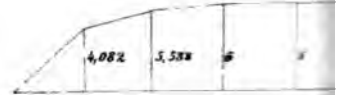
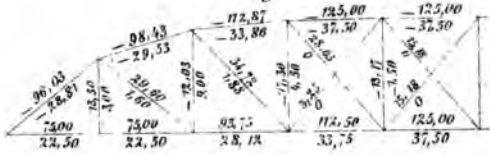


Fig. 109.

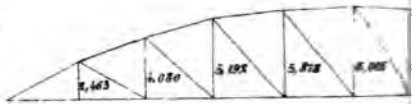
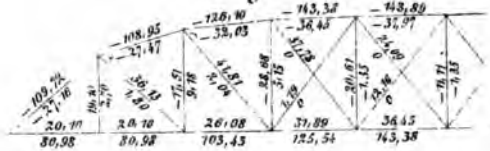


Fig. 110.

Fig. 112.

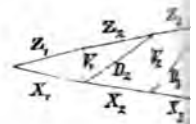
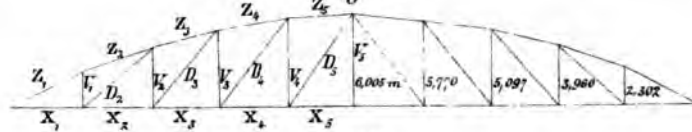


Fig. 113.

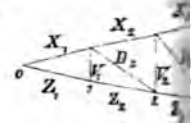
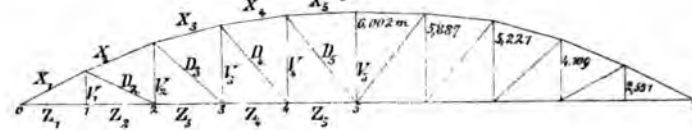


Fig. 114.

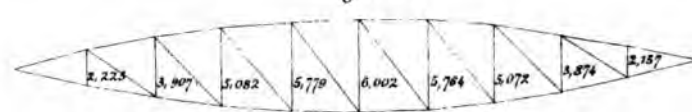
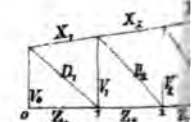
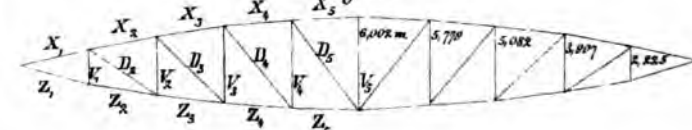


Fig. 115.



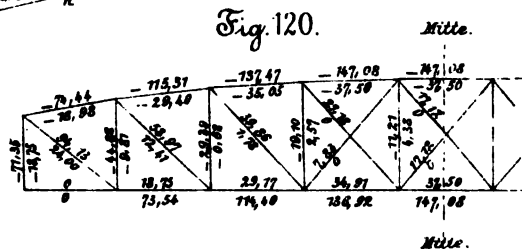
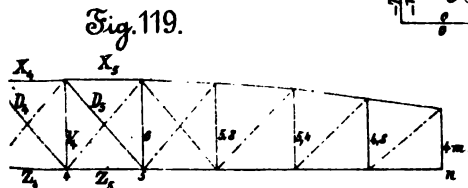
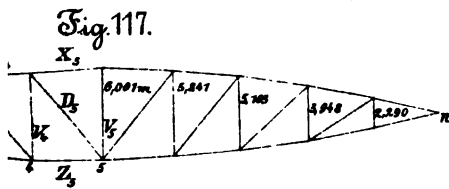
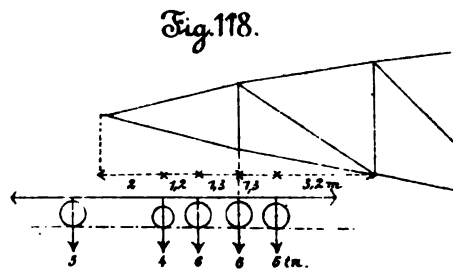
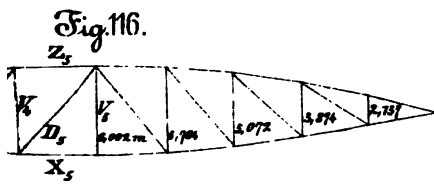
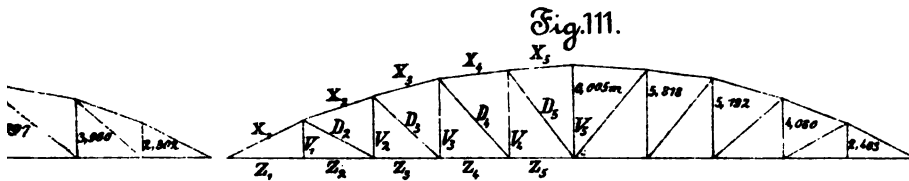
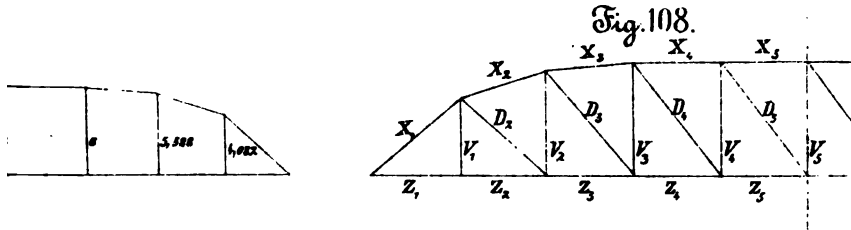






Fig. 121.

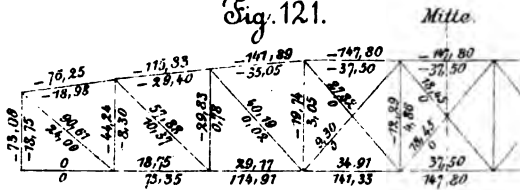


Fig. 122.

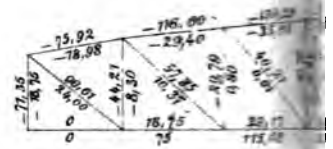


Fig. 124.

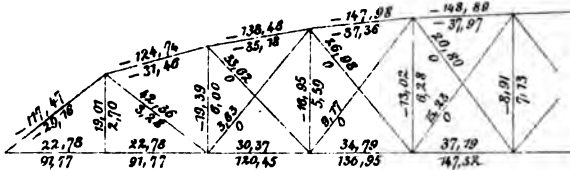


Fig. 125.

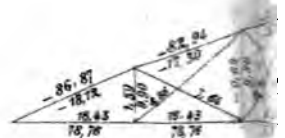


Fig. 127.

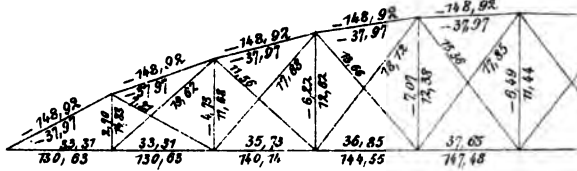


Fig. 128.



Fig. 130.

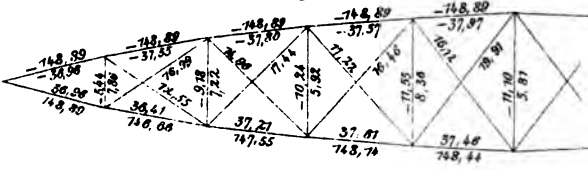


Fig. 132.

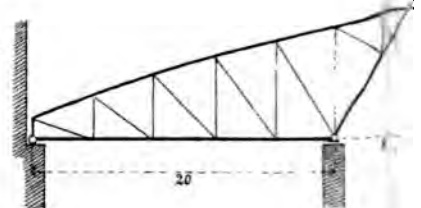
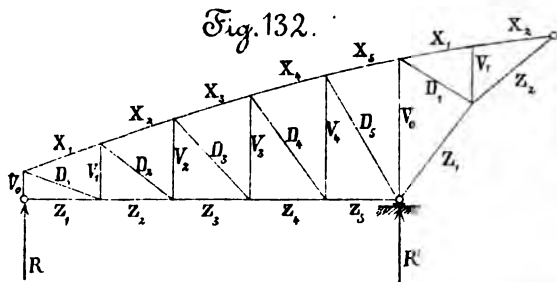


Fig.123.

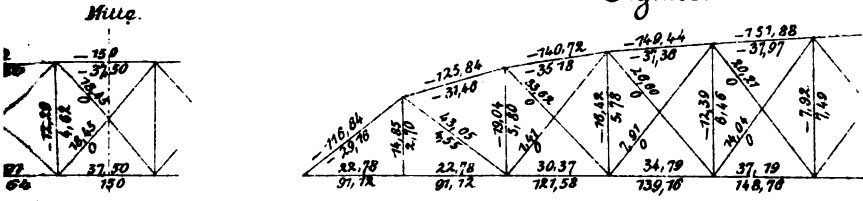


Fig. 126.

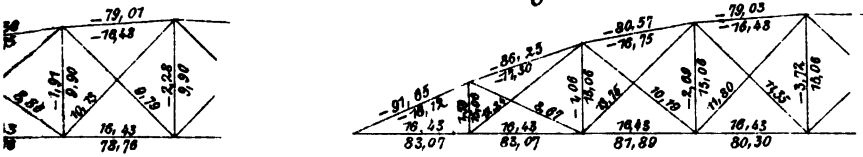


Fig. 129.

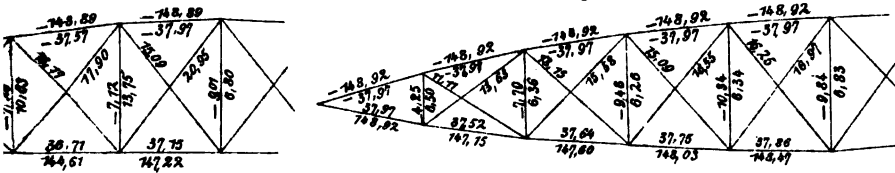


Fig 133.

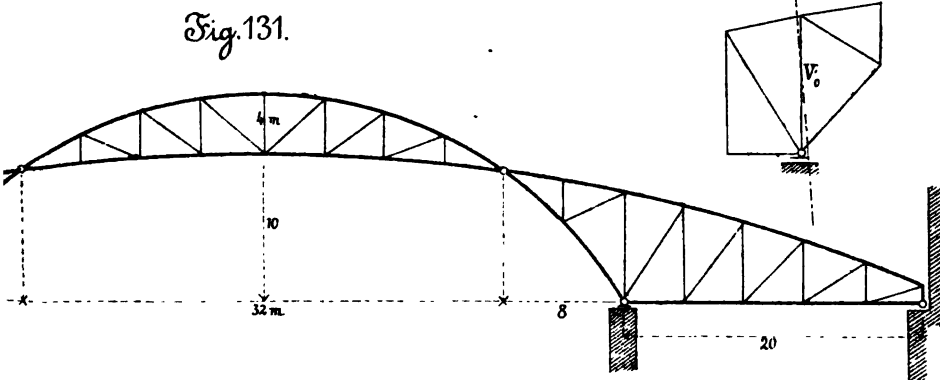
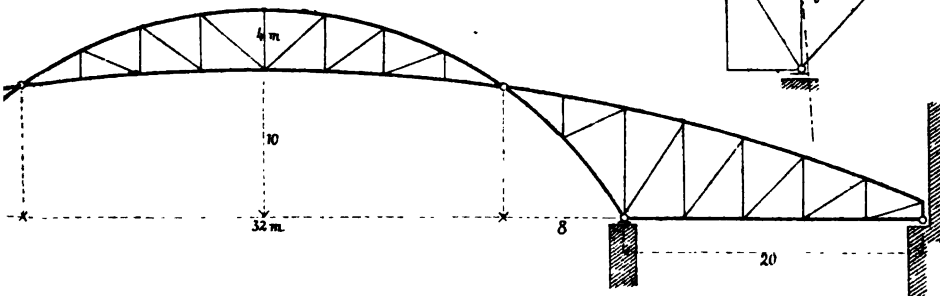


Fig. 131.









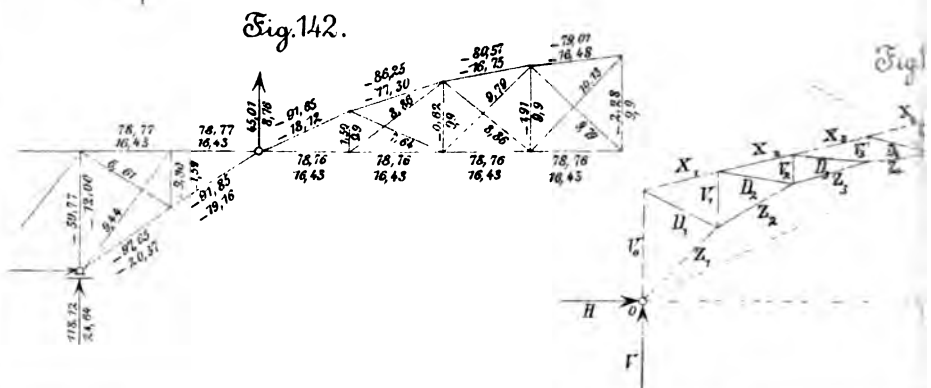
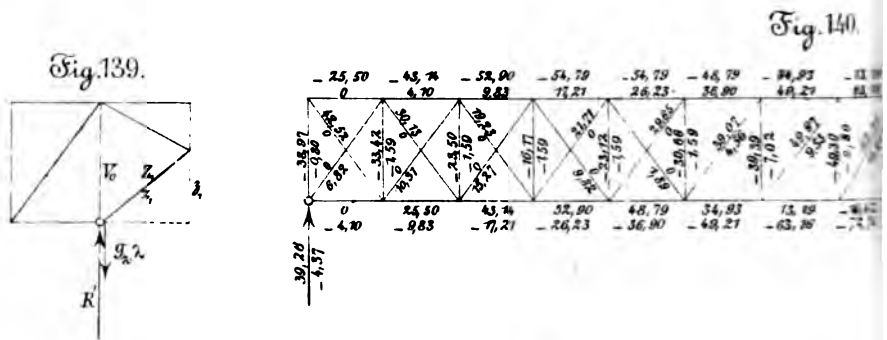
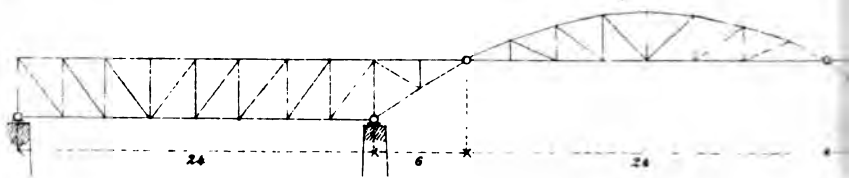
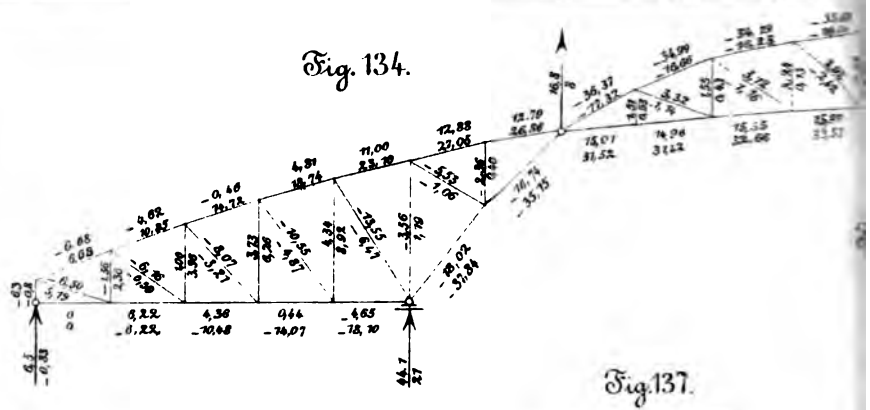


Fig. 135.

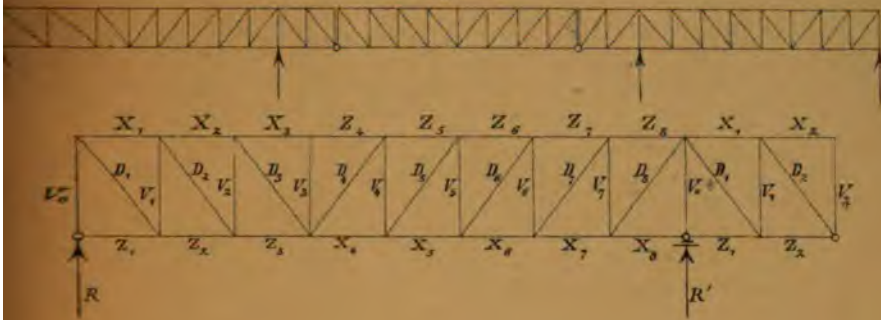


Fig. 138.

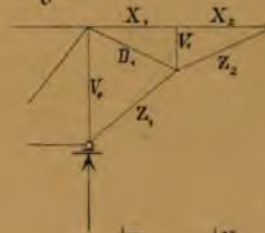


Fig. 141.

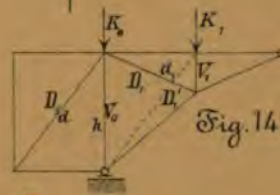


Fig. 144.

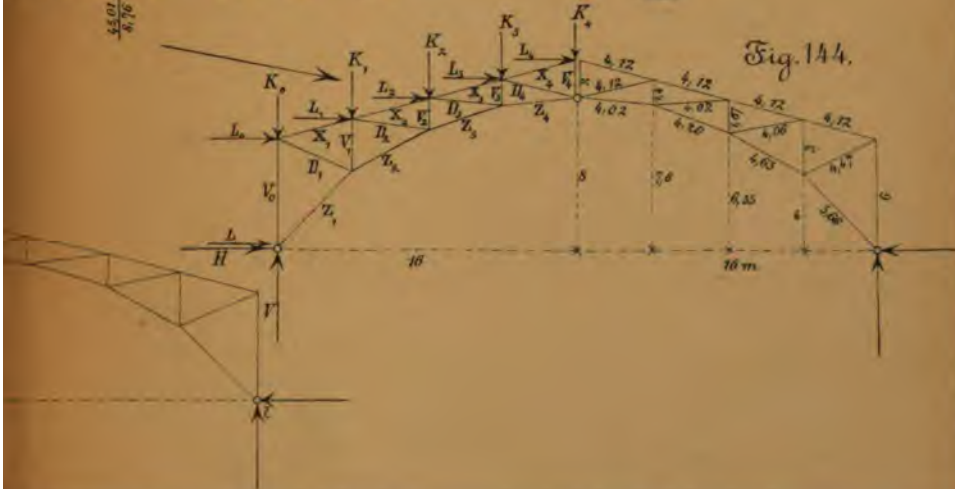






Fig. 145.

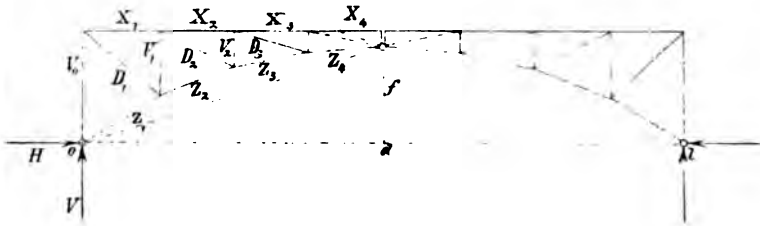


Fig. 146.

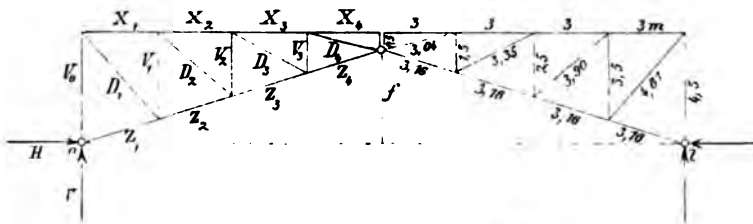


Fig. 147.

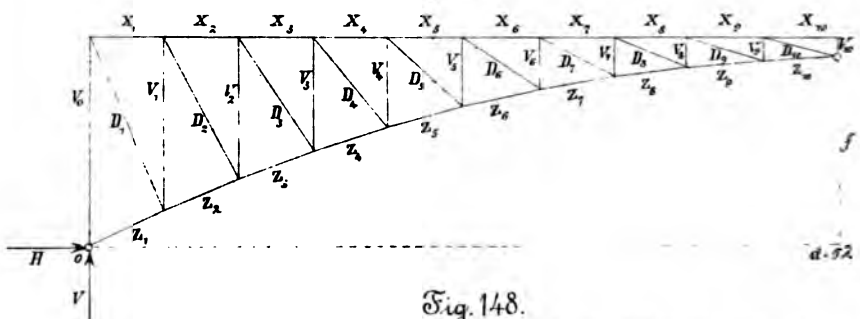


Fig. 148.

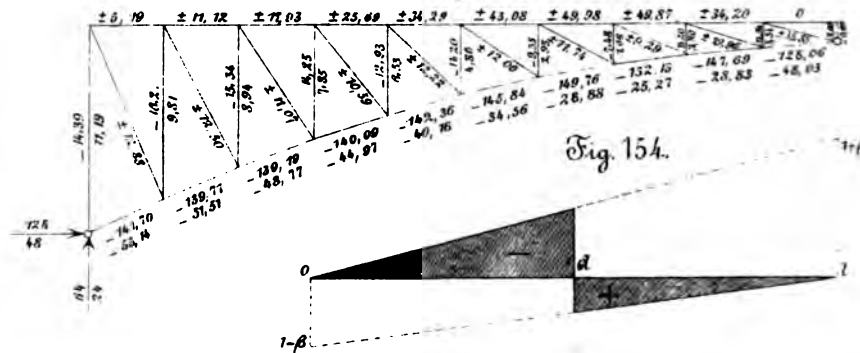


Fig. 154.

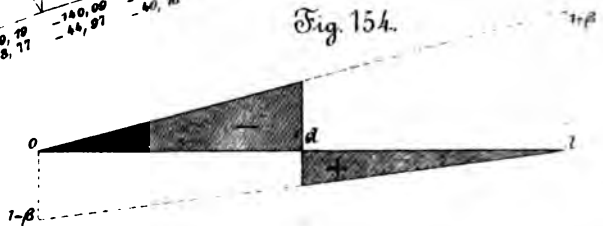


Fig. 149 (obere Vorzeichen).

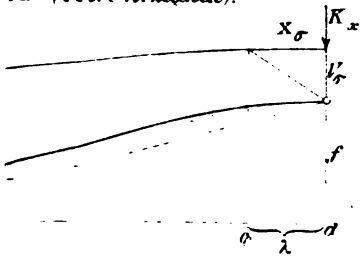


Fig. 150 (untere Vorzeichen).

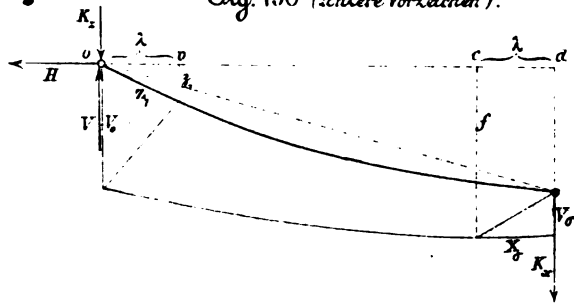


Fig. 151 (untere Vorzeichen).

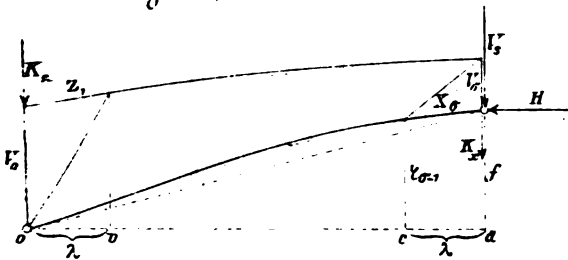


Fig. 152 (obere Vorzeichen).

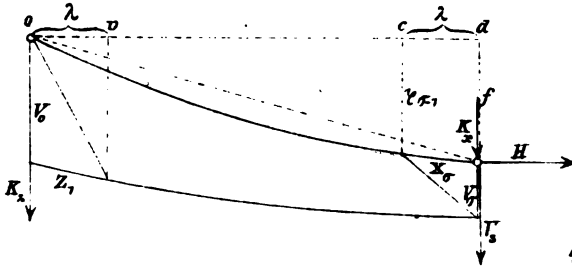


Fig. 153.

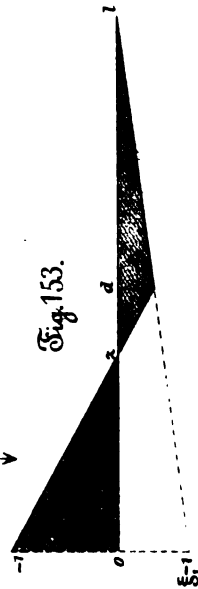
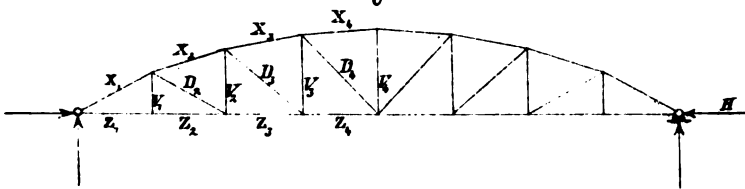


Fig. 155.



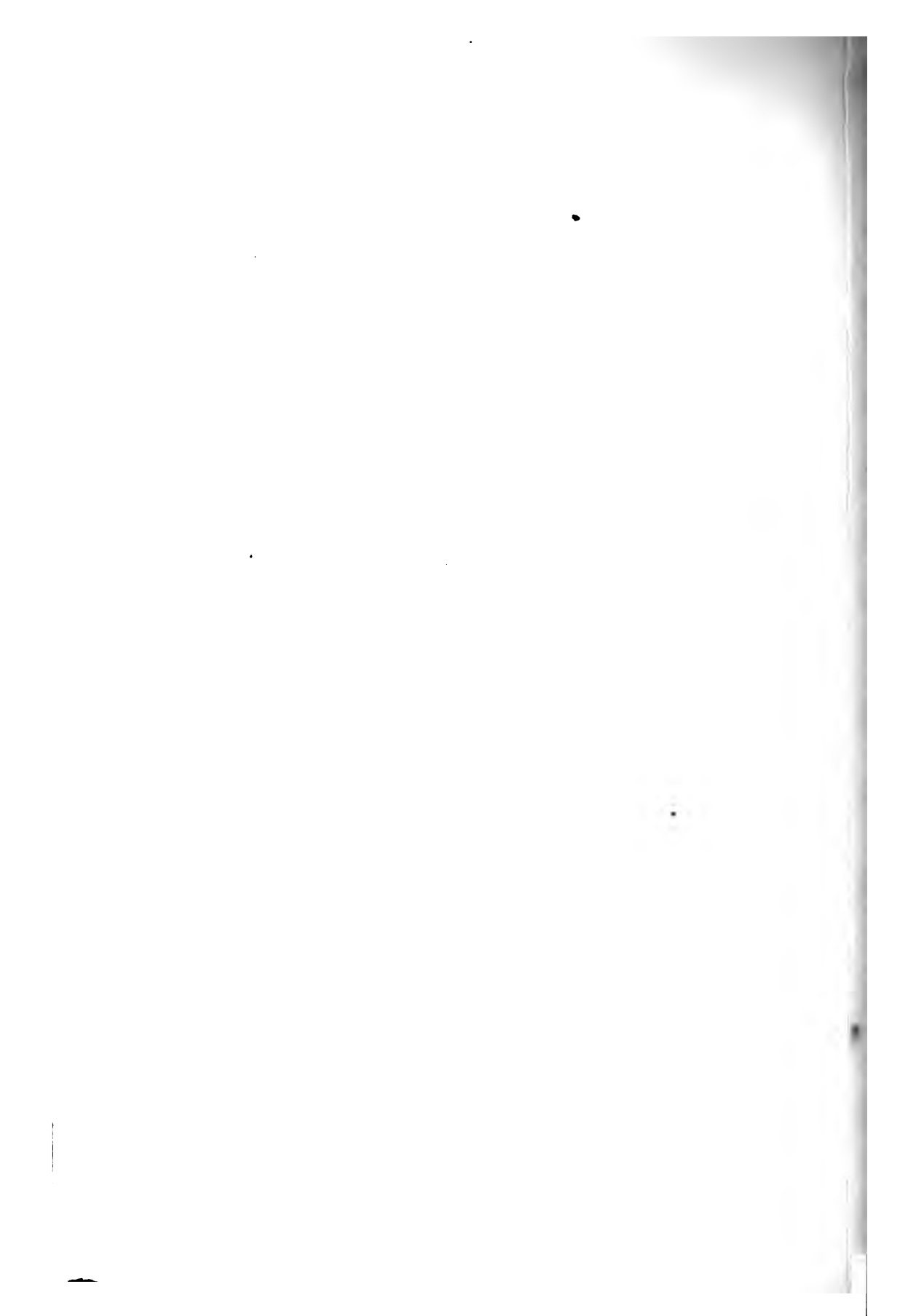






Fig. 156.

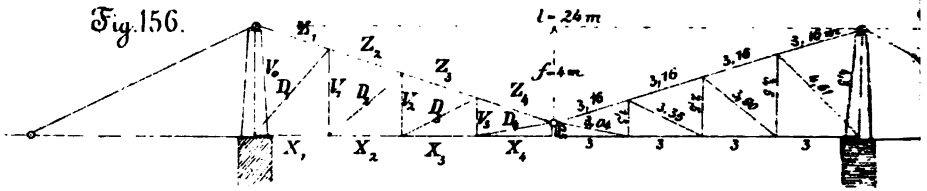


Fig. 157.

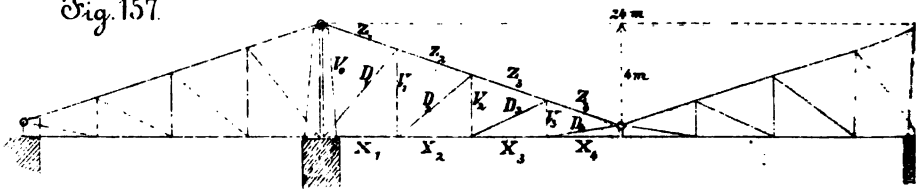


Fig. 158.

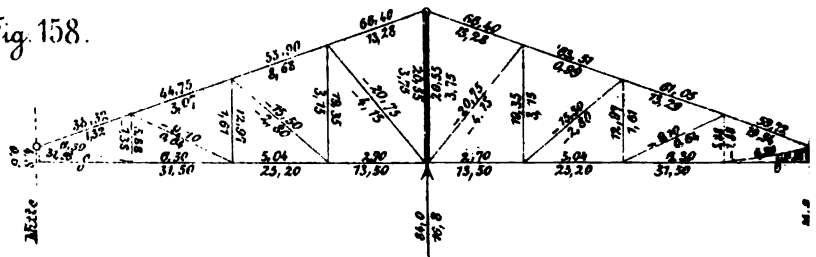


Fig. 159.

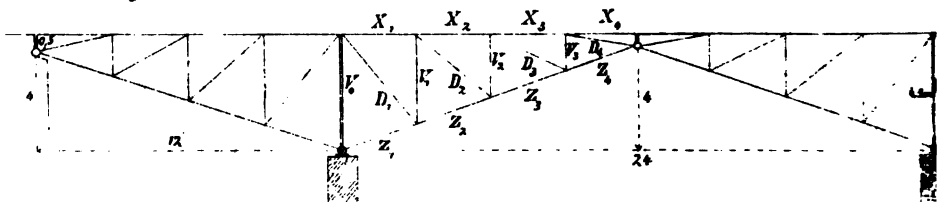
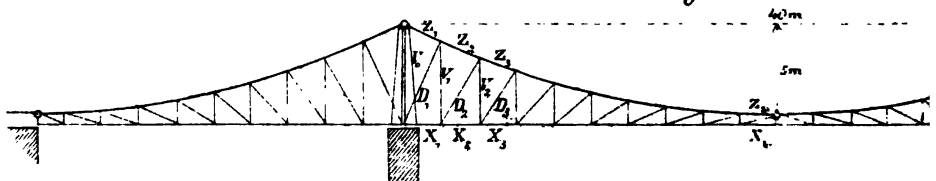
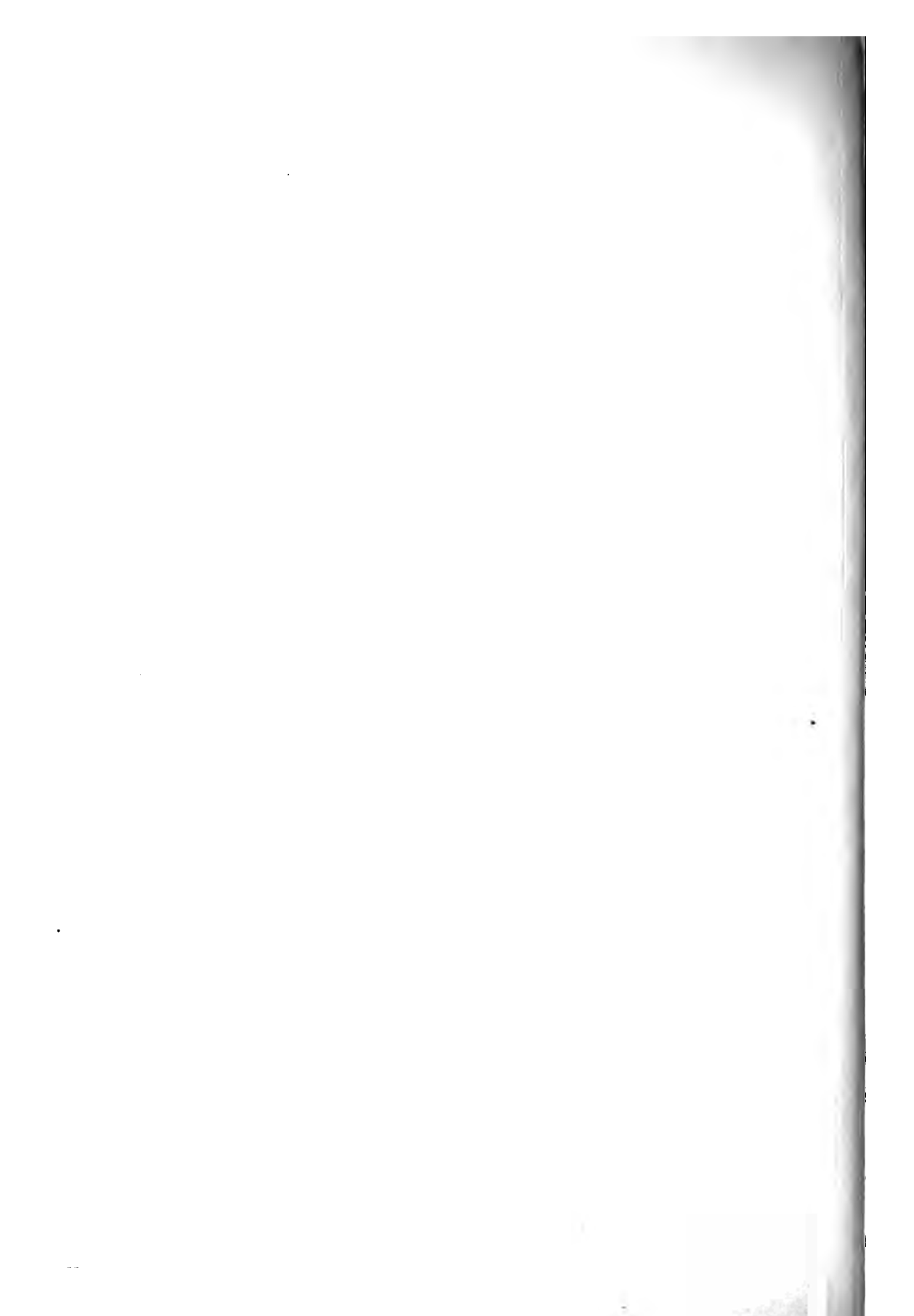


Fig. 162.









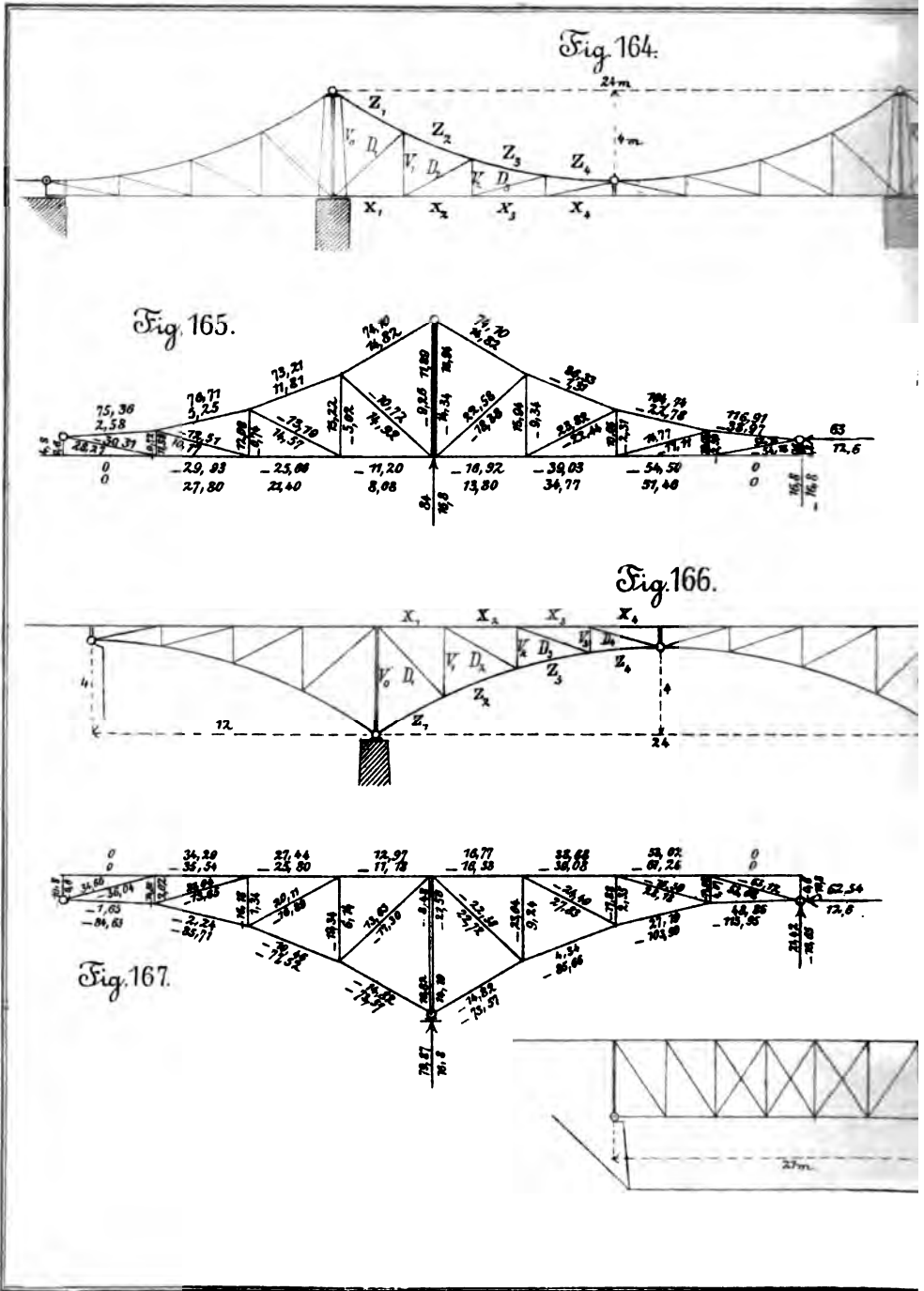


Fig. 171.

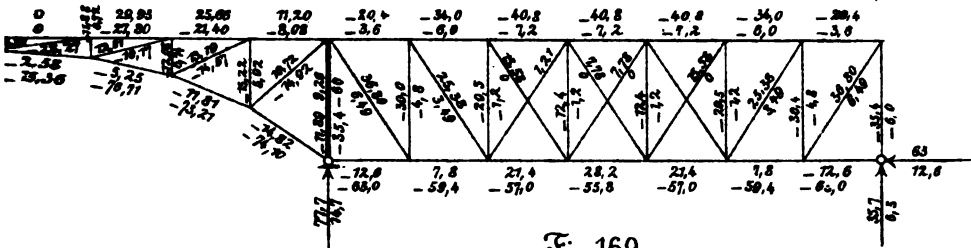
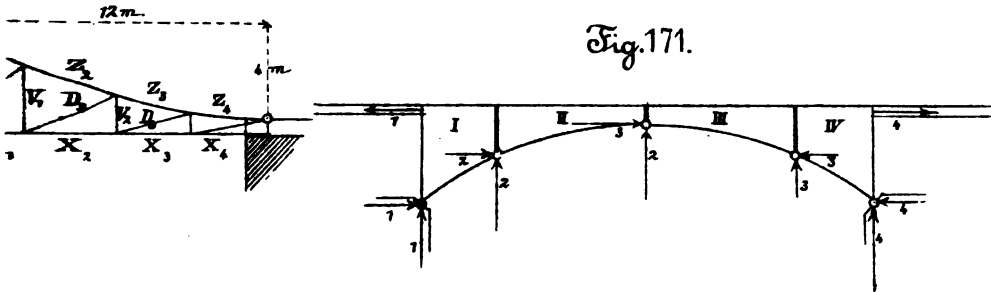


Fig. 169.

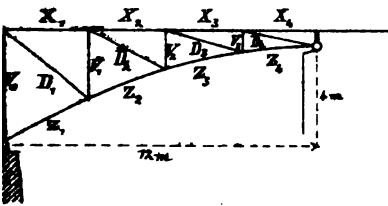


Fig. 170.

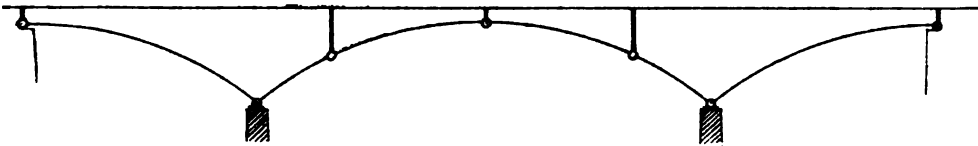


Fig. 168.

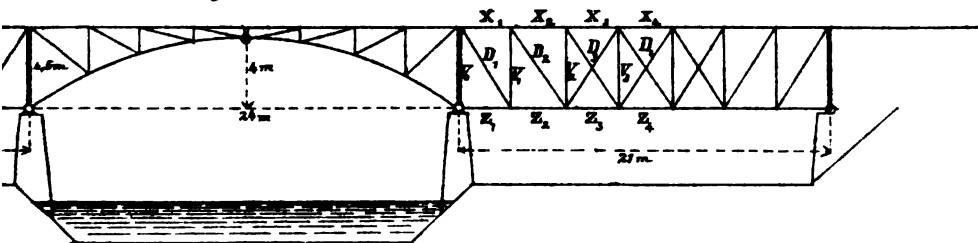










Fig.174.

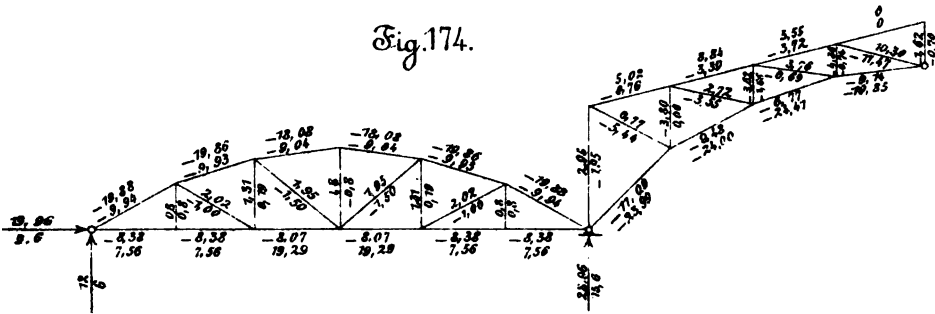
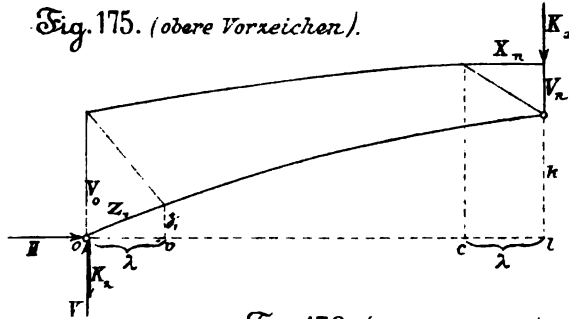
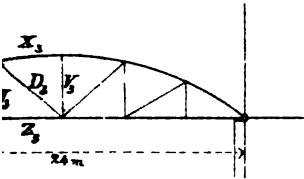


Fig. 175. (obere Vorzeichen).



Vorzeichen).

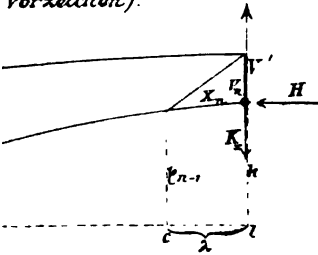


Fig. 178. (obere Vorzeichen).

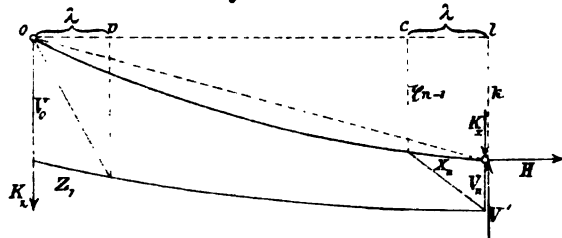


Fig. 181.

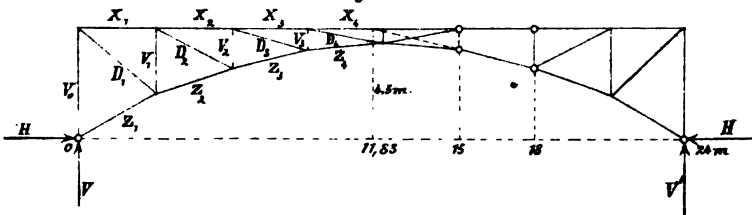
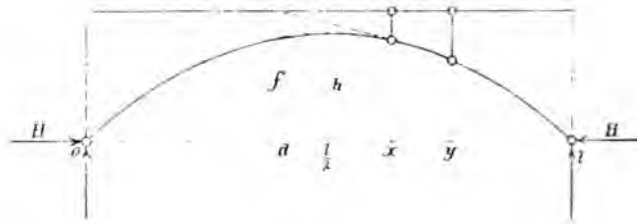






Fig. 182.



-20,62	-29,42	-51,48	-51,48	-60,19	-66,19	-75,24	-75,24	-73,4
-18,08	-7,53	-41,35	-59,75	-39,75	-70,77	-10,77	-74,46	-74,46
-45,05	-70,77	-82,83	-111,23	-125,94	-136,96	-144,31	-143,00	-143,00
-15,08	-37,55	-51,48	-51,48	-60,19	-66,19	-75,24	-75,24	-73,4
-37,55	-51,48	-51,48	-60,19	-66,19	-75,24	-75,24	-73,4	-73,4
-73,4	-51,48	-51,48	-60,19	-66,19	-75,24	-75,24	-73,4	-73,4
-15,08	-37,55	-51,48	-51,48	-60,19	-66,19	-75,24	-75,24	-73,4
-37,55	-51,48	-51,48	-60,19	-66,19	-75,24	-75,24	-73,4	-73,4
-73,4	-51,48	-51,48	-60,19	-66,19	-75,24	-75,24	-73,4	-73,4
0	0	29,42	29,42	51,48	59,75	66,19	75,24	73,4
0	15,63	15,63	41,35	41,35	59,75	66,19	75,24	73,4
0	75,63	45,05	70,77	82,83	111,23	125,94	136,96	143,00

Fig. 185.

-15,63	-41,35	-59,75	-70,77	-74,4
-37,55	-51,48	-51,48	-60,19	-66,19
-73,4	-51,48	-51,48	-60,19	-66,19
0	15,63	41,35	59,75	73,4

Fig. 186.

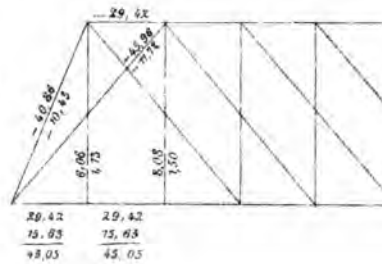
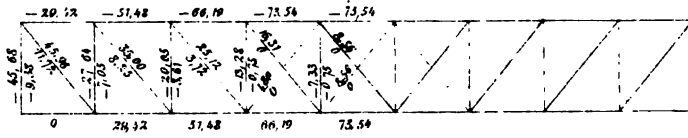


Fig. 184.



33.

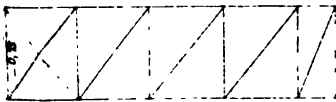
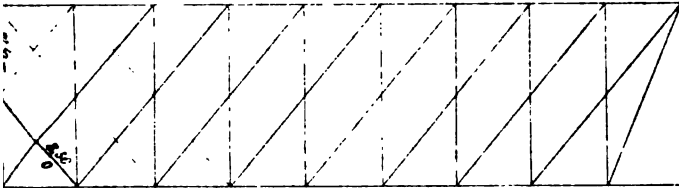


Fig. 187.

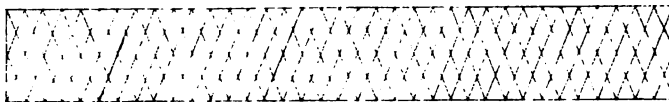




Fig. 18

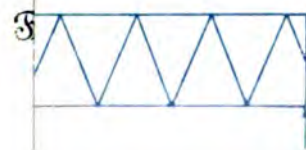
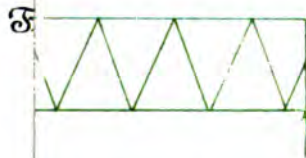
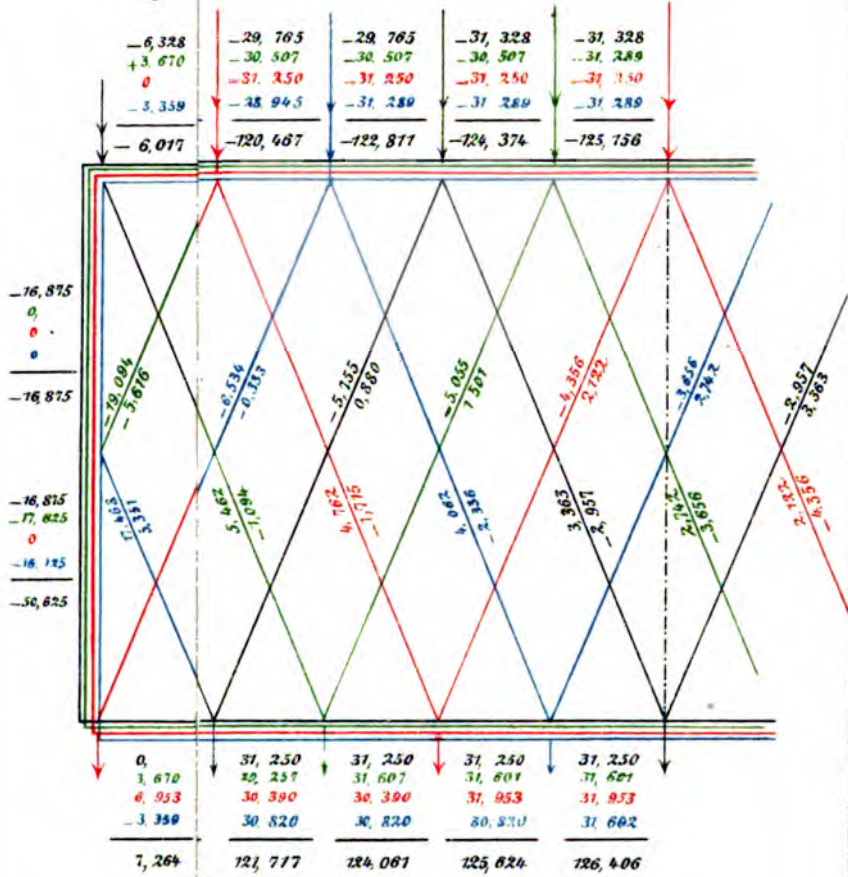








Fig.193. (Salzwasser).

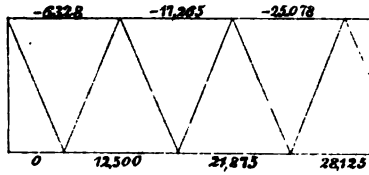


Fig.194. (Grün).

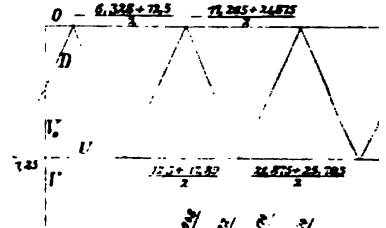


Fig.196. (Blau).

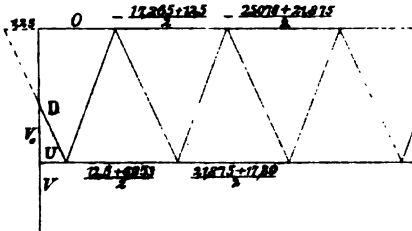


Fig.197.

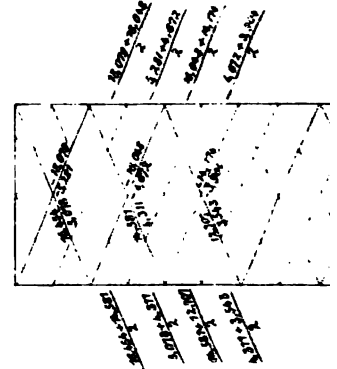


Fig.201.

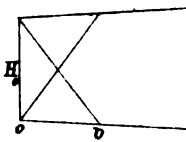


Fig.202.

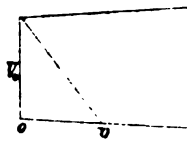


Fig.203.

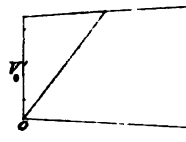


Fig.206.

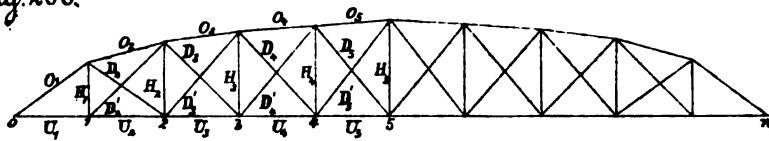


Fig.209.

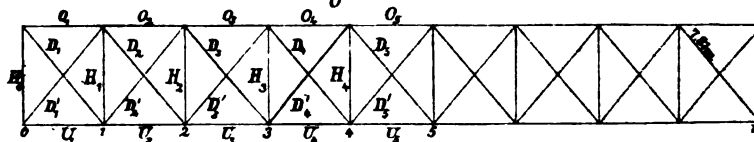


Fig. 195. (Roth.).

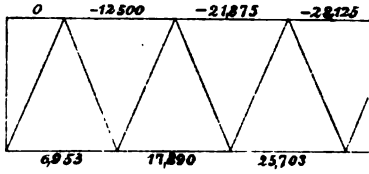
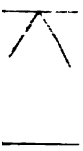


Fig. 199. (Griin.).

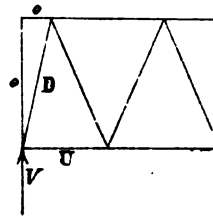


Fig. 198.

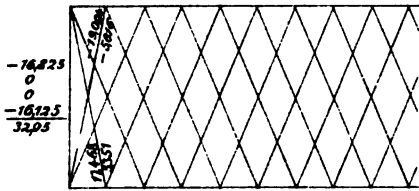
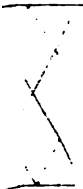


Fig. 200. (Blau.).

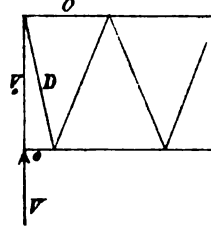


Fig. 204.

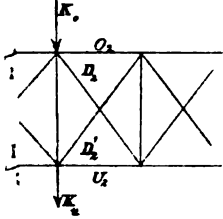


Fig. 205.

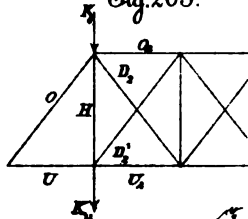


Fig. 210.

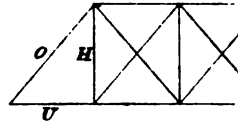


Fig. 207.



Fig. 208.

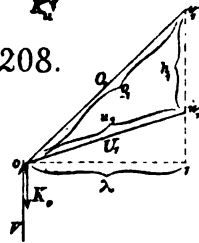


Fig. 211.

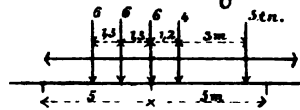


Fig. 212.

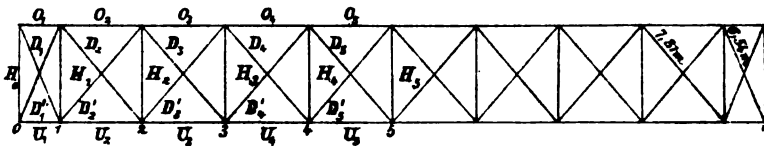






Fig. 213.

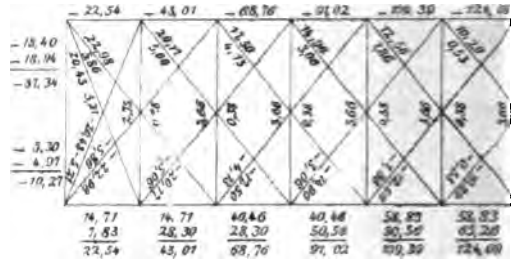
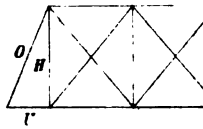


Fig. 214.

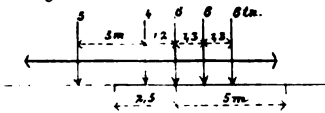


Fig. 216.

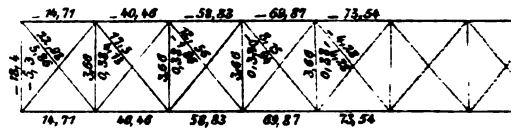


Fig. 218.

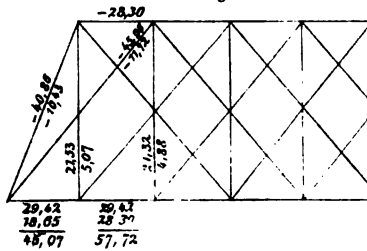


Fig. 219.

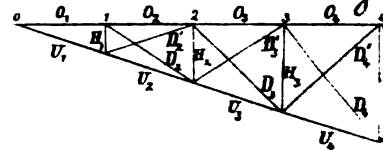


Fig. 221.

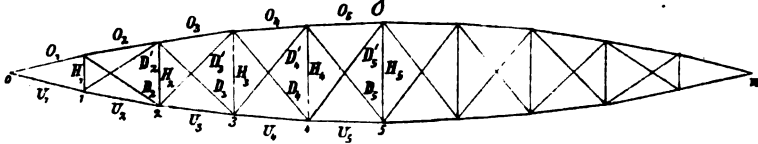


Fig. 215.

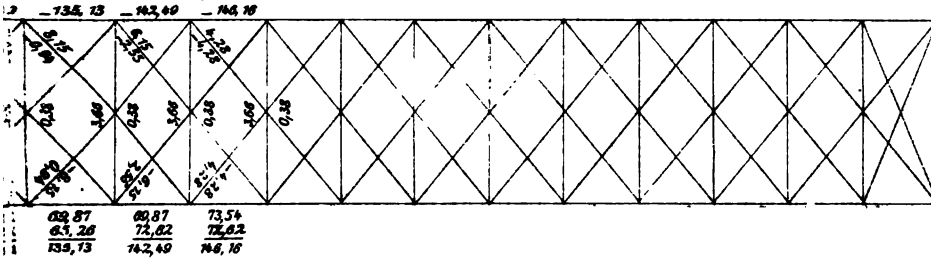
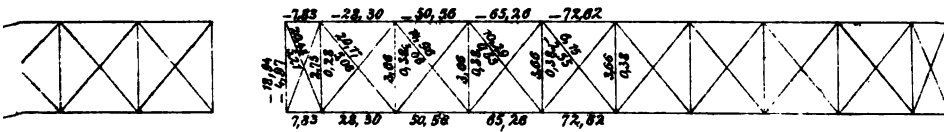


Fig. 217.



219.

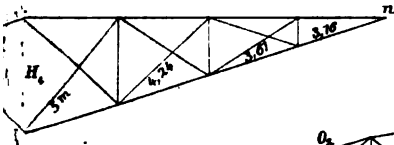


Fig. 220.

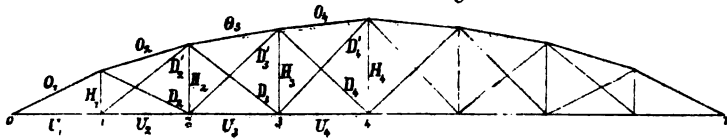
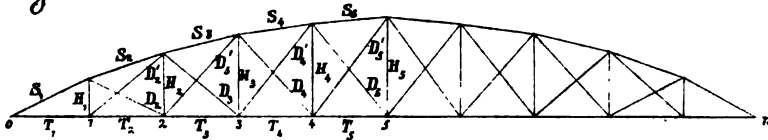


Fig. 222.













89078556818



b89078556818a